

This is a digital copy of a book that was preserved for generations on library shelves before it was carefully scanned by Google as part of a project to make the world's books discoverable online.

It has survived long enough for the copyright to expire and the book to enter the public domain. A public domain book is one that was never subject to copyright or whose legal copyright term has expired. Whether a book is in the public domain may vary country to country. Public domain books are our gateways to the past, representing a wealth of history, culture and knowledge that's often difficult to discover.

Marks, notations and other marginalia present in the original volume will appear in this file - a reminder of this book's long journey from the publisher to a library and finally to you.

#### Usage guidelines

Google is proud to partner with libraries to digitize public domain materials and make them widely accessible. Public domain books belong to the public and we are merely their custodians. Nevertheless, this work is expensive, so in order to keep providing this resource, we have taken steps to prevent abuse by commercial parties, including placing technical restrictions on automated querying.

We also ask that you:

- + Make non-commercial use of the files We designed Google Book Search for use by individuals, and we request that you use these files for personal, non-commercial purposes.
- + Refrain from automated querying Do not send automated queries of any sort to Google's system: If you are conducting research on machine translation, optical character recognition or other areas where access to a large amount of text is helpful, please contact us. We encourage the use of public domain materials for these purposes and may be able to help.
- + Maintain attribution The Google "watermark" you see on each file is essential for informing people about this project and helping them find additional materials through Google Book Search. Please do not remove it.
- + Keep it legal Whatever your use, remember that you are responsible for ensuring that what you are doing is legal. Do not assume that just because we believe a book is in the public domain for users in the United States, that the work is also in the public domain for users in other countries. Whether a book is still in copyright varies from country to country, and we can't offer guidance on whether any specific use of any specific book is allowed. Please do not assume that a book's appearance in Google Book Search means it can be used in any manner anywhere in the world. Copyright infringement liability can be quite severe.

#### **About Google Book Search**

Google's mission is to organize the world's information and to make it universally accessible and useful. Google Book Search helps readers discover the world's books while helping authors and publishers reach new audiences. You can search through the full text of this book on the web at <a href="http://books.google.com/">http://books.google.com/</a>



#### Über dieses Buch

Dies ist ein digitales Exemplar eines Buches, das seit Generationen in den Regalen der Bibliotheken aufbewahrt wurde, bevor es von Google im Rahmen eines Projekts, mit dem die Bücher dieser Welt online verfügbar gemacht werden sollen, sorgfältig gescannt wurde.

Das Buch hat das Urheberrecht überdauert und kann nun öffentlich zugänglich gemacht werden. Ein öffentlich zugängliches Buch ist ein Buch, das niemals Urheberrechten unterlag oder bei dem die Schutzfrist des Urheberrechts abgelaufen ist. Ob ein Buch öffentlich zugänglich ist, kann von Land zu Land unterschiedlich sein. Öffentlich zugängliche Bücher sind unser Tor zur Vergangenheit und stellen ein geschichtliches, kulturelles und wissenschaftliches Vermögen dar, das häufig nur schwierig zu entdecken ist.

Gebrauchsspuren, Anmerkungen und andere Randbemerkungen, die im Originalband enthalten sind, finden sich auch in dieser Datei – eine Erinnerung an die lange Reise, die das Buch vom Verleger zu einer Bibliothek und weiter zu Ihnen hinter sich gebracht hat.

#### Nutzungsrichtlinien

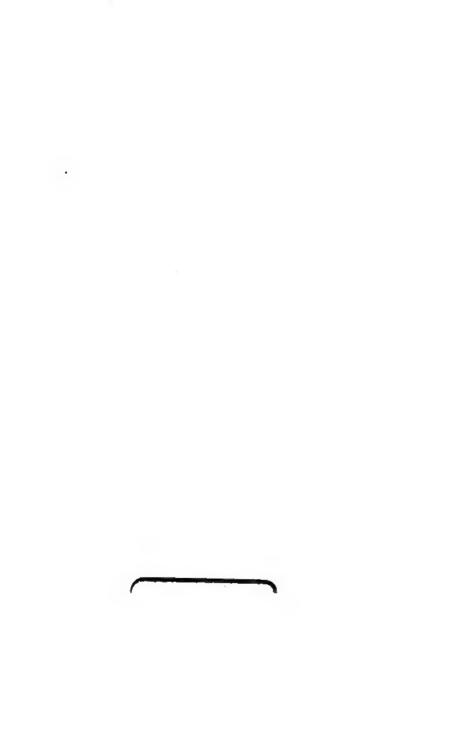
Google ist stolz, mit Bibliotheken in partnerschaftlicher Zusammenarbeit öffentlich zugängliches Material zu digitalisieren und einer breiten Masse zugänglich zu machen. Öffentlich zugängliche Bücher gehören der Öffentlichkeit, und wir sind nur ihre Hüter. Nichtsdestotrotz ist diese Arbeit kostspielig. Um diese Ressource weiterhin zur Verfügung stellen zu können, haben wir Schritte unternommen, um den Missbrauch durch kommerzielle Parteien zu verhindern. Dazu gehören technische Einschränkungen für automatisierte Abfragen.

Wir bitten Sie um Einhaltung folgender Richtlinien:

- Nutzung der Dateien zu nichtkommerziellen Zwecken Wir haben Google Buchsuche für Endanwender konzipiert und möchten, dass Sie diese Dateien nur für persönliche, nichtkommerzielle Zwecke verwenden.
- + Keine automatisierten Abfragen Senden Sie keine automatisierten Abfragen irgendwelcher Art an das Google-System. Wenn Sie Recherchen über maschinelle Übersetzung, optische Zeichenerkennung oder andere Bereiche durchführen, in denen der Zugang zu Text in großen Mengen nützlich ist, wenden Sie sich bitte an uns. Wir fördern die Nutzung des öffentlich zugänglichen Materials für diese Zwecke und können Ihnen unter Umständen helfen.
- + Beibehaltung von Google-Markenelementen Das "Wasserzeichen" von Google, das Sie in jeder Datei finden, ist wichtig zur Information über dieses Projekt und hilft den Anwendern weiteres Material über Google Buchsuche zu finden. Bitte entfernen Sie das Wasserzeichen nicht.
- + Bewegen Sie sich innerhalb der Legalität Unabhängig von Ihrem Verwendungszweck müssen Sie sich Ihrer Verantwortung bewusst sein, sicherzustellen, dass Ihre Nutzung legal ist. Gehen Sie nicht davon aus, dass ein Buch, das nach unserem Dafürhalten für Nutzer in den USA öffentlich zugänglich ist, auch für Nutzer in anderen Ländern öffentlich zugänglich ist. Ob ein Buch noch dem Urheberrecht unterliegt, ist von Land zu Land verschieden. Wir können keine Beratung leisten, ob eine bestimmte Nutzung eines bestimmten Buches gesetzlich zulässig ist. Gehen Sie nicht davon aus, dass das Erscheinen eines Buchs in Google Buchsuche bedeutet, dass es in jeder Form und überall auf der Welt verwendet werden kann. Eine Urheberrechtsverletzung kann schwerwiegende Folgen haben.

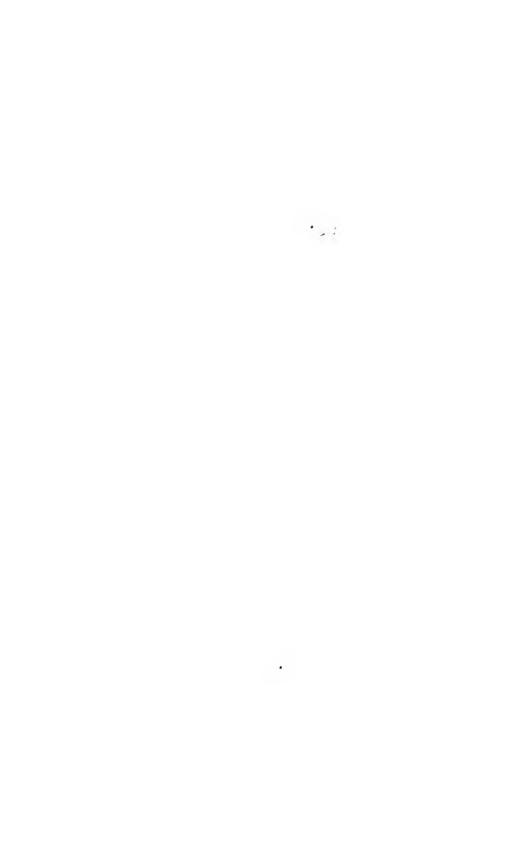
### Über Google Buchsuche

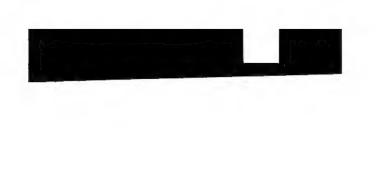
Das Ziel von Google besteht darin, die weltweiten Informationen zu organisieren und allgemein nutzbar und zugänglich zu machen. Google Buchsuche hilft Lesern dabei, die Bücher dieser Welt zu entdecken, und unterstützt Autoren und Verleger dabei, neue Zielgruppen zu erreichen. Den gesamten Buchtext können Sie im Internet unter http://books.google.com/durchsuchen.





PAA





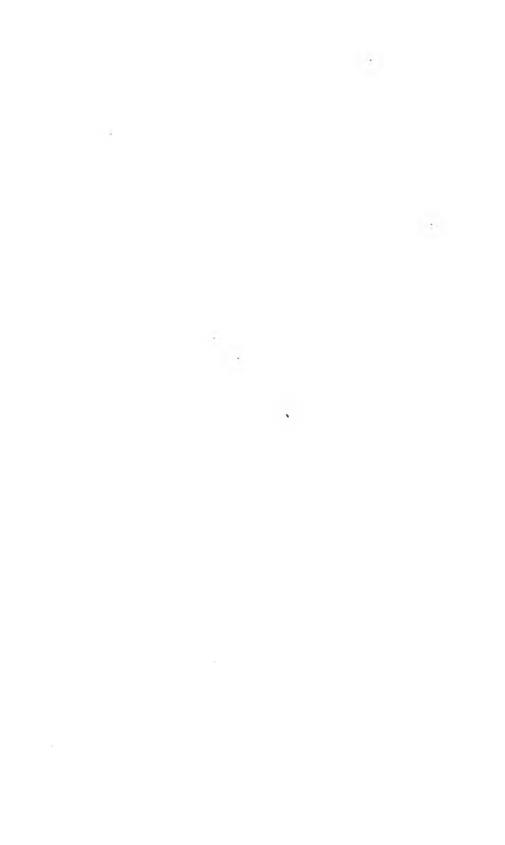
·		

### ANNALEN

DER

# PHYSIK UND CHEMIE.

NEUE FOLGE.
BAND XXV.



# ANNALEN

DER

# PHYSIK UND CHEMIE.

STURCHDET UND POSTGEFCHET DURCH

P. A. C. GREN, L. W. GILBERT, J. C. POGGENDORFF.

NEUR FOLGE.

BAND XXV.

DEN GARREN FOLGE EWEIRUNDERT BINUNDSMINISTER

UNTER MITWIRKUNG

DER PHYSIKALISCHEN GESELLSCHAFT IN BERLIN

LED INSULSONDERE DES RENNE

H. VON HELMHOLTZ

REMAL SORGEREN YOU

### G. WIEDEMANN.

NEBST PUNF PIGURENTAFELN.



LEIPZIG, 1885. ...
VERLAG VON JOHANN AMBROSIUS BARTH.



1

19313 -

## Inhalt.

## Neue Folge. Band XXV.

	Fullios Itelt.	Satte
- 1	L. Lorenz, Bestimming der electrischen Wicherstande von	W / ICE
•	Quecksilbersaulen in absolutem electromagnetischen Masese	- 1
-11	F. Stenger. Beiträge zur Eiertrichtstellertung der Gase .	81
111	H Jahn. Ueber die Gultigheit des Joule'schen Gesetzes für Electrolyte	49
W.		
	tischer Einwirkung	71
- V.	J. J. Balmer. Notiz über die Spectralhulen des Wasserstoffs	80
VI.	F. Vogel. Aenderung der Lichtbrechung in Glas und Kalkspath mit der Temperatur.	54
VII.	W. Voigt. Die optischen Eigenschaften sehr dünner Metall schichten	95
		20
VIII	J. Elster und H. Geitel, Notiz über einen empfindhehen Duplicator	114
IX.	- Bemerkungen über den electrischen Vorgang in den	
	Gewitterwolken	116
X.		121
XI	H. Kayser. Ueher Blitsphotographien	181
XII	G F. Fitzgerald Ucher die Abhandlung des Hrn Kundt	
	über die electromagnetische Drehung der Polarisationsebene	
	des Lichtes durch Eisen, Cobait und Nickel	188
ШХ	H Muraoka. Ueber den japanischen magischen Spiegel.	188
XIV.	K Exner Bemerkung über die Lichtgeschwindigkeit im	
	Oaurze	141

Geschlossen am 15. April 1895.

in linhalt.

	Sechstes Heft.	Seite
I.	E. Wiedemann u. Ch. Ludeking. Ueber die Wasseraufnahme und Losung der Colloide	145
11	A. Blümeke. Ueber die Abhangigkeit der specifischen Wärme einiger Wasser-Acthylalkoholgemische von der Temperatur	154
131.	L. Gractz. Notiz über die Grosse der Maxwell'schen Mole- cularwirbel und über die Dichtigkeit des Lichtathers	185
IV.		173
V.	V. Hausmaninger. Zur Theorie des longitudinalen Stosses cylindrischer Kerper	189
VL		203
VII.		232
VIII.		245
IX.	K Strecker. Ueber eine Reproduction der Siemens'schen Quecksilbereinheit.	258
X.	D. Kreichgauer. Zur Bestimmung von Tragheitsmomenten durch Schwingungsversache	273
XI.	E. v. Fleischl. Die Deformation der Lichtwellenfläche im magnetischen Felde	308
XII.	J. W Giltay. Em neues Electrodynamometer.	325
	Geschlosson am 15. Mai 1685.	
	Siebentes Heft.	
1.	L. Graetz. Ueber die Warmeleitungsfahigkeit von Flüssig-	337
II.		
111.	und mechanischer Adhasion	857
	Sauerstoffs, Stickstoffs, Kohlenoxyds, sowie der atmospha- rischen Luft als Kältemittel	371
IV.	L. Arone. Verdünnungswärme und Warmecapacität von	408

		Ę	
	_		

	Inhalt.	VII
		Sette
V.	A Blumcke Ueber die specifische Warme stark concen-	417
VI	trirter Natronhagen	410
VII	W F Magie Ueber Capillantatsconstanten	421
VIII.		438
LX.		
	auf die Wirkung der physikalischen Kräfte	450
X.	K. Strecker. Ueber eine Reproduction der Siemens schen	
	Quecksiberembert	450
X.I	W. Hempel. Die Hochstruck-Influenz-Electrisirmaschine .	487
XII	J. Elster u. H. Geitel. Notiz über eine Influenzmaschme	400
TIII	E. Riecke. Ueber die electromagnetische Rotation einer	493
AIII.	Flussighert	496
XIV.		
	von Toepler	511
XV.	H. Jahn. Ueber die von dem electrischen Strom bei der	
	Zeraetzung von Electrolyten geleistete Arbeit	525
XVI.	O. E. Meyer. Zwei Modelle zur Erläuterung der Licht-	k 9
V N I I	brechung	539
D 7 44.	ciberiultpump	542
	Geecklossen am 15 Juni 1885.	
	Creenson um 15 ona 1550.	
	Achtes Heft.	
L	C Dieterici. Leber den witheben Verlauf der electrischen	
	Ruckstandsbildung im Paraffin	545
11.	E Budde Leber die Quantität electrischer Elementar-	
***	theileben	582
	- Zur Theorie der thermoelectrischen Kräfte II	564
	- Ueber eine von Gauss angeregte Ableitung electrodynamischer Punktgesetze	567
	G Kirchhoff, Ueber einige Anwendungen der Theorie	
	der Formänderung, welche ein Körper erfahrt, wenn er mag-	
	netisch oder dielectrisch polarisirt wird	601
VI.	W. König. Bestimmung einiger Reibungscoöfficienten und Versuche über den Einfluss der Magnetisarung und Electri-	
	surung auf die Reibung der Flussigkeiten	618

VII.	F. Rudorff. Ueber die Loslichkeit von Salzgemachen	Selte 626
VIII.	E. Lommel. Zur Theorie der Fluorescens	643
IX.	J. B. Messerschmitt. Spectralphotometrische Unter-	
	auchungen einiger photographischer Sensibilisatoren	655
X.	W. Wernicke. Berichtigung zweier Formeln	674
XL	A Elsas. Bemerkungen zu der Abhandlung des Herrn	
	F. Melde: Akustische Experimentaluntersuchungen	67%
XII.	E. Lommel. Abänderung der Influenzmaschine . :	678
XIII.	Th. Habler. Eine Ungenauigkeit in der Theorie des Gold-	
	blatt-lectroskops	1590
	Berichtigungen	650

Geschlossen am 15. Juli 1885.

# Nachweis zu den Figurentafeln.

Taf.	I.	L. Lorenz, Fig. 1-2 Stenger, Fig. 3-3 Jahn,
		Fig 6-7 Elater u. Geitel, Fig. 8 Kayser, Fig. 9.
Taf.	П.	Blumcke, Fig. 1-3 Lehmann, Fig. 4-7.
Taf.	Ш	Wernicke, Fig. 1-7 Pfeiffer, Fig. 8-10 Giltny,
		Fig. 1117.
Taf.	IV.	v. Wroblewski, Fig. 1-2. Blumcke, Fig. 3 K. R.
		Koch, Fig. 4-7 Hempel, Fig. 8-9.
Tnf.	V.	Elster u. Geitel, Fig. 1 Riecke, Fig. 2 Freyberg,

### DER PHYSIK UND CHEMIE.

NEUE FOLGE, BAND XXV.

I. Bestimmung der electrischen Widerstinde von Quecksilberstulen in absolutem electromagnetischen Maasse; von L. Lorenz in Kopenhagen.

Die folgenden experimentellen Untersuchungen sind mit Subvention der dänischen Regierung auf Veranlassung der internationalen Conferenz zur Feststellung der electrischen Maasseinheiten im chemischem Laboratorium der Kriegsschule auf dem Schlosse Friedrichsberg ausgeführt. Ein Theil der Messungen ist vom Vorsteher des Laboratoriums, Hrn. Dr. Topsüe, ausgeführt, welcher mir auch in vielfacher anderer Weise wesentliche Dienste bei dieser Arbeit geleistet hat.

Zur Bestimmung der absoluten Einheiten der Zeit, der Länge und der Masse dienten:

1. ein Pendelchronometer, dessen Gang mittelst des täglichen öffentlichen Zeitsignales des astronomischen Observatoriums bestimmt wurde.

2. ein in Centimeter getheiltes Normalmeter nebst einem Kathetometer, beide von der Société Genevoise bezogen, das erstere mit angegebener, durch Vergleichung mit einem von dem internationalen Bureau in Paris verificirten Meter bestimmter Correction (0,0237 mm, richtig bei – 1,25%).

3. Normalgewichte von Westphal.

L Methoden für die Widerstandsmessungen.

Absolute Messungen. Die angewandte Methode ist im Principe ganz dieselbe, wie in meinen früheren Untersuchungen.<sup>1</sup>) In der Aussthrung der Versuche aber habe

<sup>1)</sup> L. Lorenz, Pogg. Ann. 149, p. 251, 1973, Ann. 4 Phys. a. Chem. N. F. XXV.

ich mehrere Aenderungen gemacht, namentlich in Bezug auf den Rotationsapparut, den ich in Uebereinstimmung mit meinem der internationalen Conferenz gemachten Vorschlage<sup>1</sup>) eingerichtet habe, und über welchen spater näher berichtet werden soll.

Relative Messungen. Die beiden zu vergleichenden Widerstände AB und CD, welche durch die Leitung BC verbunden sind, sowie zwei Drahtrollen, werden in einen Stromkreis eingeschaltet. Diese beiden Rollen sind in passender Entfernung vor und hinter einem Spiegelgalvanometer angebracht. Von zwei der vier Punkte A, B, C, D wird der Strom zum Galvanometer abgeleitet, in der Weise, dass der abgeleitete Strom entgegengesetzt dem durch die Drahtrollen gehenden Hauptstrome auf die Galvanometernadeln wirkt. In die zum Galvanometer führende Leitung ist ferner ein Rheostat eingeschaltet, mittelst welches der Widerstand so lange geändert wird, bis der Galvanometerspiegel auf den Nullpunkt der Scala zurückgeführt ist.

Es sei G der Widerstand des Galvanometers nebst dessen Zuleitungsdrähten, R,  $R_1$  und  $R_2$  die gemessenen Rheostatenwiderstände, jenachdem die Punktpaare AC, BD oder AD abgeleitet sind. Man hat alsdann:

$$k.AC = G + R, \quad k.BD = G + R_1, \quad k.AD = G + R_2,$$

wo 1+1 das constante Verhältniss zwischen den Intensitäten des Hauptstromes und des zum Galvanometer abgeleiteten Stromes bezeichnet. Hieraus ergibt sich:

$$\frac{CD}{AB} = \frac{R_t - R}{R_t - R_t}$$

Die Versuche können durch Ableitung anderer Punktpaare als AB und CD abgeändert werden, wodurch Controlen für die Richtigkeit des Resultates erhalten werden.

Um zugleich die Constante & in bestimmter Weise verkleinern oder vergrössern zu können, war der Draht der beiden Rollen aus einem Kabel von elf voneinander isolirten Drähten gebildet. Das Kabel war schwach gedreht,

<sup>1)</sup> L. Lorenz, Journ. de phys. (2) 1, p. 477, 1882.

und die beiden 1 m langen Enden des Kabels waren zusammesgewunden und seitwärts zu einem Commutator geführt,
we die 22 Drahtenden beliebig miteinander verbunden werden konnten. In dieser Weise konnte hei ungeänderter Stellung der beiden Drahtrollen die Wirkung derselben auf dem
Galvanometer zwei-, drei- bis elfmal verstärkt werden. Selbstverständlich musste, wenn diese Combinationen benutzt wurden, darauf genehtet werden, dass die ganze ausserhalb der
Drahtrollen vorhandene Leitung des Hauptstromes keine
unmittelbare Wirkung auf das Galvanometer ausübte, was
leicht durch Einstellung einer in der Nähe des Beobachters
an der Leitung angebrachten Drahtschleife erreicht werden
konnte.

Das Galvanometer war ein Thomson'sches mit Plansniegel und Fernrohrablesung. Es enthielt zwei Drahtrollen. eine untere mit dickem Drahte und eine obere mit zwei dunnen und langen Drähten, welche letztere Rolle bei diesen Versuchen angewandt wurde. Die Versuche wurden immer in einem nicht erwärinten Locale ausgesührt. Die während einer Versuchsreibe eintretenden Aenderungen des Nullpunktes des Galvanometers wurden mittelst eines in der Nähe des Beobachters angebrachten Magnets aufgehoben. Der Rheostat war ein neuer Stemens'scher mit 1 bis 10000 Einheiten: ausnahmsweise wurde noch dazu ein in Zehntel-Emberten eingetheilter Rheostat eingeschaltet. Durch Calibrirung zeigte sich der erstere Rheostat so genau, dass eine Correctionstafel überilüssig wurde. Dagegen traten ein halbes Jahr spater merkliche Aenderungen hervor, die nicht zu rernachlässigen gewesen wären.

### II. Calibrirung der Glasröhre.

Alle Calibrirangen sind von Hrn. Dr. Topsoe ausgeführt. In kleiner Entfernung von dem auf einem Betonfundamente aufgestellten Kathetometer war auf einem ebenfalls auf Beton ruhenden Tische ein Mahagonibrett vertical aufgestellt. In dieses Brett war das Normalmeter und daneben die zu calibrirende Röhre eingelegt.

Das Calibriren der engeren Röhren wurde in der Weise ausgeführt, dass eine kleine Quecksilbersäule allmählich durch die Röhre verschoben wurde, indem jedesmal das untere Ende der kleinen Saule das obere Ende der Saule in three früheren Lage gerade tangirte. Es liess sich dies sehr bequem und genau durch die folgende Einrichtung ausführen. Auf dem erwähnten Brette war in einer Vertiefung eine Glauröhre von der in der Fig. 1 ungegebenen Form horizontal emgelegt. In das vertical aufateigende Ende des Apparates wurde die zu calibrirende Röhre eingesetzt, während der andere verticale Zweig, nachdem derselbe zum Einfullen des Quecksilbers gedient hatte, mit einem Glasstöpsel verschlossen wurde. Der Apparat war ferner mittelst eines eisernen, mit einer Stopfbuchse versehenen Pfropfens verschlossen, durch welche eine lange und tome Schraube hindurchging. Mittelst dieser Schraube konnte das Quecksilber in der zu calibrirenden Röhre bis zu einer beliebigen Huhe emporgetrieben werden. Diese letztere Röhre war oben doppelt umgebogen und in eine Spitze ausgezogen. Nachdem das Quecksilber bis zu letzterer emporgedrückt war, wurde die Saule wieder in der Weise zurückgezogen, dass eine 2 cm lange Saule von der unteren Saule durch ein Luftbläschen getrennt war. Mit dieser kleinen Saule wurde alsdann das Calibrirea ausgetührt.

Nach beendeter Calibrirung wurde die kleine Säule aus der Röbre ausgetrieben, in einer Schale aufgefangen und gewogen. Nachher wurde eine ebenfalls durch eine Luftblase getrennte Quecksilbersäule von ungefähr derselben Länge wie das calibrirte Stück in die Rohre aufgesogen. Nach beendeter Messung der Länge und der Lage in Bezug auf einen markirten Punkt der Röhre wurde diese Säule ebenfalls aus der Röhre herausgetrieben und gewogen. Endlich wurde die Röhre abgenommen, in der Nähe der Grenzen des calibrirten Stückes abgebrochen, an beiden Enden conisch zugeschliffen, und ihre Länge gemessen.

Es seien λ<sub>1</sub>, λ<sub>2</sub>,...λ<sub>n</sub> die nacheinander gemessenen Längen der kleinen calibrirenden Quecksilbersäule und:

$$\lambda_1 + \lambda_2 + \cdots \lambda_n = I_n.$$

Perper sei L die Länge der nachher eingesührten grösseren Quecksilberskule, während  $\lambda_1$  und  $\lambda_2$  die sehlenden Stücke der ganzen calibrirten Länge sind, sodass man hat:

$$L - \lambda_i - \lambda_n' = L'$$

In gleicher Weise sei L'' die Länge des abgeschnittenen Theiles der Röhre und  $\lambda_1'$ ,  $\lambda_2'$  die fehlenden Stucke der valibrirten Röhre, also:

$$L - \lambda_1' - \lambda_n'' = L'.$$

Es wird alsdann der Widerstand R' dieser mit Queckalber gefüllten Röhre durch:

$$R = r \left( \begin{smallmatrix} \epsilon_1 & -\lambda_1 \\ \epsilon_2 \end{smallmatrix} + \begin{smallmatrix} \lambda_2 \\ \epsilon_4 \end{smallmatrix} + \cdots \begin{smallmatrix} \lambda_{n-1} \\ \lambda_{n-1} \end{smallmatrix} + \begin{smallmatrix} \lambda_n -\lambda_n \\ \epsilon_n \end{smallmatrix} \right)$$

ausgedrückt werden können, indem durch r der specifische Widerstand des Quecksilhers und durch  $s_1, s_2, \ldots, s_n$  die der Mitte der Säulen  $\lambda_1, \lambda_2, \ldots \lambda_n$  entsprechenden Querschnitte bezeichnet werden.

Das auf den leeren Raum bezogene Gewicht der kleinen calibrirenden Säule sei w und dasjenige der Säule L' sei W. Die Volumina dieser beiden Säulen können durch v-2x und V-2x bezeichnet werden, indem x den Raum angibt, welcher von der convexen Endfläche der Quecksilbersäule, von einer die Mitte derselben tangirenden Ebene und von den cylindrischen inneren Wänden begrenzt wird. Wenn also das Gewicht der Raumeinheit des Quecksilbers, die Temperatur der Versuche vorläutig gleich  $U^{\circ}$  angenommen, durch  $\rho$  bezeichnet wird, so hat man:

$$w = \varrho' v - 2x_i, \qquad W = \varrho V - 2x_i,$$
  
$$W - w = \varrho_A V - v_i.$$

Da ferner:

woraus:

$$\Gamma' = -\eta - \frac{\lambda_1}{\lambda_2} - \frac{\lambda_3}{\lambda_4} \Big) v, \quad v = s_1 \lambda_1 = s_2 \lambda_2 \dots$$

ut, so ergibt sich, wenn:

$$\lambda_1 - \frac{L}{n} = \delta_1, \quad \lambda_2 - \frac{L}{n} = \delta_2, \dots \lambda_n - \frac{L}{n} = \delta_n,$$
$$\delta_1^2 + \delta_2^2 + \dots \delta_n^2 = \sum \delta^2$$

gesetzt wird:

$$R'(W'-w) = r_{\mathcal{Q}}\Big(n-1-\frac{\lambda_1}{\lambda_1}-\frac{\lambda_n'}{\lambda_n}\Big) \cdot \frac{LL}{n} - (\lambda_1')\delta_1 - (\lambda_n'')\delta_n + \sum \delta_1^2\Big),$$

Die Correction in Bezug auf die Temperatur wurde mittelst der Formel:

$$R = R^{1 + b t + t - 2l_b} + q 2t - t + 1$$

ausgeführt, indem durch R der auf 0° bezogene Widerstand, durch t' und t'' die Temperaturen, bei welchen die Längen L' und L' gemessen waren, durch  $t_0$  die Temperatur, bei welcher die Normalmaassstabe richtig ist, durch b, g die linearen Ausdehnungscoöfficienten des Messings und des Glases, und durch g der cubische Ausdehnungscoöfficient des Quecksilbers bezeichnet sind. Folgende sind die angenommenen numerischen Werthe dieser Constanten:

$$\ell_{\phi} = -1.25$$
,  $\varrho = 13.5952$ ,  $\gamma = 0.0001795$ ,  $\delta = 0.000018$ ,  $\varrho = 0.0000084$ .

In Betreff des Werthes der Constante r mag bemerkt werden, dass, wenn die Längen in Millimetern, die Gewichte in Milligrammen angeben werden,  $r=\frac{1}{1000}$  gesetzt werden muss, wenn R in gewöhnlichen Quecksilbereinheiten ausgedrückt werden soll.

Als Resultate der Messungen ergaben sich:

#### Röhre Nr. 1.

L = 368,119,  $\lambda_1 = 19,406$ ,  $\lambda_n = 19,315$  mm. L = 857,042,  $\lambda_1' = 4,685$ ,  $\lambda_n' = 6,392$  ... L'' = 364,61,  $\lambda_1'' = -0.87$ .  $\lambda_n'' = 4.38$  ... n = 19, t' + 10,0', t'' = 11,0''. W = 1395,75 mg, w = 75,40 mg,  $\Delta \Delta^2 = 0.4714$ . R = 1,26612 Quecksilbereinheiten.

#### Röhre Nr. 2.

$$L = 445.36$$
,  $\lambda_1 = 19.965$ ,  $\lambda_n = 20.434 \text{ mm}$ ,  $L' = 442.32$ ,  $\lambda_1' = 3.06$ ,  $\lambda_n' = -0.01$  ...  $L'' = 435.30$ ,  $\lambda_1'' = -1.58$ ,  $\lambda_n'' = 11.66$  ...  $n = 22$ ,  $t' = 9.6^\circ$ ,  $t'' = 9.0^\circ$ .  $W = 351.72 \text{ mg}$ ,  $w = 16.05 \text{ mg}$ ,  $\Sigma \delta^2 = 1.1714$ .  $R = 7.42980$  Quecksilbereinheiten.

Die Calibricung der weiten Röhren, namlich dreier ie I m langer. 1. 2 und 3 cm weiter Glasröhren, die für die absoluten Widerstandsmessungen gebraucht werden sollten. wurde in folgender Weise ausgesührt. Die Röhren waren anten durch einen mit einem Hahn versehenen eisernen Deckel verschlosson und oben in eine eiserne Büchse eingefügt. Wenn eine der Röhren mit Quecksilber gefüllt werden sollte. wurde sie zunächst in horizontaler Lage mittelst einer mit Glashahn versehenen Glasröhre mit der Luftpumpe in Verbindung gesetzt und so weit wie möglich luftleer gepumpt, wonach das Quecksilber durch den eisernen Hahn eingesogen wurde. Nach der Fullung der Röhre wurde dieselbe an dem Mahagonistatif vertical aufgestellt, und an der oberen Büchse der in Figur 2 dargestellte Apparat befestigt. Derselbe bestand aus einer durchlöcherten Schraube, durch welche eine oben und unten in eine Spitze verlaufende Stahlstange geschoben und in einer beliebigen Stellung festgehalten werden konnte. Die Stahlstunge wurde bis zur Berührung der unteren Spitze mit der Oberfläche des Quecksilbers binuntergeführt, was mit einem Fernrohre beobachtet wurde. und nach der Einstellung die Höhe der oberen Spitze mittelst des Kathetometers und des Normalmaassstabes gemessen. Das Quecksilber wurde nach und nach in passenden, ungefähr gleichen Mengen ausgelassen, und die Messungen wurden durch die ganze zu calibrirende Lange fortgesetzt.

Die weiteste der drei Röhren war mit vier, die beiden anderen mit zwei conisch gegen die innere Wand zulausenden seinen Löchern versehen. Jedes Loch war mit einer kleinen Platinplatte lustdicht verschlossen, welche durch eine die Röhre theilweise umfassende Uhrseder sestgehalten wurde, indem die umgebogenen Enden der Feder mittelst eines Kupserdrahtes sestgespannt wurden. Wenn das Quecksilber oben unterhalb eines dieser Löcher gesunken war, so wurde der Verband verschoben, die untere Stahlspitze in die Mitte des Loches eingestellt und die Hohe der oberen Spitze gemessen. Ausserdem wurden noch die Entsernungen der Löcher, welche in derselben Verticale lagen, für sich gemessen.

Da kleine Temperaturschwankungen während der Versuche nicht zu vermeiden waren, so wurden die Messungen mittelst kleiner Correctionen auf eine gemeinsame mittlere Temperatur zurückgeführt.

Wenn durch L die bei der mittleren Temperatur t calibritte Länge, durch W das entsprechende Gewicht des Quecksilbers, durch L' die Entfernung zweier Löcher bezeichnet wird, so ergibt sich der in Bezug auf Temperatur nicht corrigirte Widerstand R' der zwischen den beiden Löchern benindlichen Queck-übersäule aus:

$$WR' = ro LL'\mu$$
,

wo  $\mu$  eine von 1 sehr wenig verschiedene Zahl ist, durch welche die aus den einzelnen Messungen berechnete sehr kleine Correction wegen der Conicität der Röhre angegeben ist. Daraus berechnet sich der auf O' reducirte Widerstand R in derselben Weise, wie oben angegeben ist, indem in der Formel t' und t" in t und t' abgeändert wird.

Die Resultate der Messungen waren:

#### Röhre Nr. I.

 $L = 525.93 \text{ mm}, \quad t = 12.49^{\circ}, \quad W = 2.312.197 \text{ mg},$  $L = 499.35 \text{ o}, \quad t = 10.6^{\circ}, \quad u = 1.000.071$ 

woraus: R = 0.00154180 Quecksilbereinheiten.

### Röhre Nr. II.

Diese Röhre enthielt 4 Löcher A, B, C, D. Die Widerstände bei 0° der zwischen diesen Löchern befindlichen Quecksilbersäulen seien durch AB, BC und CD bezeichnet:

- AB. L = 200.45 mm,  $t = 11.70^{\circ}$ , B' = 2.103.229 mg, L = 199.79 m,  $t = 9.0^{\circ}$ ,  $\mu = 1,000.006$ .
- BC. L = 203.19 m,  $t = 10.79^{\circ}$ , W = 1.124.558 mg, L' = 199.97 m,  $t = 9.0^{\circ}$ ,  $\mu = 1,000.021$ .
- CD. L = 201,09 ,  $\ell = 11,22$ , W = 2.082.375 mg, L = 200,45 ,  $\ell = 9.0^{\circ}$ ,  $\mu = 1.000.010$ ,

worsus AB = 0,000 258 38 Quecksilbereinheiten,
BC = 0,000 259 64
CD = 0,000 262 79

Da es sich bei den späteren absoluten Widerstandsmenungen zeigte, dass die genauesten Resultate mit den klausten Widerständen erhalten wurden, so kam die dritte aubrute Röhre, deren Widerstand 0,006 221 5 Quecksilbereinheiten betrug, nicht zur Anwendung.

# III. Thermischer Coifficient des Widerstandes des Quecksilbers.

Das bei allen Versuchen angewandte Quecksilber war von Dr. Topsbe auf zwei verschiedene Weisen dargestellt. Der eine Theil war in gewöhnlicher Weise sorgfältig, jedoch bine Destillation, gereinigt, der andere Theil war in grösserer Menge (16 kg) durch Destillation des aus gereinigtem Quecksilber dargestellten Quecksilberoxyds gewonnen. Beide Praparate zeigten sich jedoch bei wiederholten Versuchen als vollkommen identisch in Bezug auf ihre electrische Leitungsfähigkeit.

Für die gegenwärtigen Versuche wurden zwei nicht calibrirte Röhren mit angeblasenen cylindrischen Behältern angewendet. Die eine, 1 m lange und 1 mm weite Röhre war zu einer Spirale gewunden, die andere, 260 mm lange und 0,1 mm weite Rohre war U-förmig umgebogen.

Nachdem die Röhren mit Quecksilber gefüllt waren, wurden sie zunächst unter die Glocke einer Luftpumpe gebracht und die Aenderungen des Widerstandes während des Evacuirens beobachtet. Wenn nämlich kleine Luftblasen vorhanden waren, so mussten sie sich bei der Luftverdünnung erweitern und dabei den Widerstand der Quecksilbersäule vergrössern. Eine kleine Vergrösserung des Widerstandes batte auch schon durch die Verminderung des Druckes an dom Quecksilber entstehen sollen, ich fand aber im Gegentheil eine constante kleine Abnahme des Widerstandes, welche bei der U-förmigen Röhre nur 0,076 Proc. betrug. Bei anderen. påter zu erwähnenden Versuchen mit geraden und horizontalen, von Queckulber überdeckten Röhren zeigte sich diese Anomalie nicht, weshalb ich die Vermuthung bege, dass dieselbe von dem Aussaugen der zwischen dem Quecksilber und dem Glase in dem oberen Theile der Rohren befindlichen Luftschicht herstamme. Jedenfalls wurde durch die Versuche constatirt, dass keine merkbaren Luftblasen in den Röhren vorhanden sein konnten.

Nachber wurde eine der Röhren, nebst einem in Zehntelgrade eingetheilten Normalthermometer und einem Rübrer in einen mit Alkohol gefüllten Behälter eingesetzt. Derselbe war von einem anderen mit Wasser gefüllten Behälter umgeben.

Die Widerstandsmessungen wurden nach der oben beschriebenen Methode ausgeführt. Es sei AB der Widerstand der Quecksilbersäule bei to, BC der Widerstand eines Platindrahtes, welcher die Röhre mit einem Rheostaten verbindet. In der ersteren Versuchsreihe betrug der Rheostatenwiderstand CD 1 S.-E., in der zweiten 30 S.-E.

### Spiralröhre.

```
k \cdot AB = G + 2464.2, t = 10.00, k \cdot AB = G + 2445.0.
1 = 13.252.
              k \cdot AD = G + 6671.5
                                                      A \cdot AD = G + 6654.0.
              \vdash BD \Rightarrow G + 743,1,
                                                       k \cdot HD = G + 743.0.
worm to G = 3464.2, k \cdot BD = 4207.3, worsus G = 3465.1, k \cdot BD = 4208.1
  A = 5824.4 \text{ (ber 5928.3)}.
                                           k \cdot AB = 5911.0 ber, 5911.0).
             k \cdot AB = G + 2592.6.
( = D).
                                        t = 27.32^{\circ}.
                                                      A \cdot AB = G + 2537 
              k \cdot AD = G - 5600.0
                                                      A \cdot AD = G + 6746.0
             k \cdot BD = G + 741.9
                                                      k \cdot BD = G + 743.5.
woraus G = 8465.6, k \cdot BD = 4207.4. woraus G = 8464.7, k \cdot BD = 4205.2.
                                          k. A B = 6002,5 (ber. 6002.5).
  k, AB = 5858.2 (ber. 5858.2).
```

Die berechneten Werthe sind mittelst der Formel:

$$k \cdot AB = 5858.2 (1 + 0.000 901 3 t_i)$$

hergeleitet und stimmen, wie man sieht, fast vollkommen mit den beobachteten Werthen überein.

U-förmige Röhre. Der doppelte Draht des Galvanometers war hier in einen vereinigt.

```
t=8.32^{\circ}, k \cdot AD = G + 6773.1, t=38.43^{\circ}, k \cdot AD = G + 9682.5

k \cdot BD = G + 3961.2, k \cdot BD = G + 8961.2, woraus k \cdot AB = 4921.6 (ber. 4821.8),
```

```
t = 35.31^{\circ}. k \cdot AD = G + 8831.3. k \cdot BD = G + 8961.0. worana k \cdot AB = 4930.3 (ber. 4980.1).
```

Die Berechnung ist nach der Formel:

k.AB = 4775.611 + 0.00091671

ausgeführt.

Die so gefundenen Coëfficienten der scheinbaren Widertandszunahme des Quecksilbers in Glasröhren bei der Temperaturerhöhung um einen Grad sind also:

0.000 901 3 zwischen 0° und 27,32°, 0.000 916 zwischen 8,32° und 35,31°,

velche Coefficienten um ein wenig grösser eind als die von Lenz gefundenen und ziemlich niche mit den von Siemens and neuerdings von Mascart gefundenen Werthen übereinstimmen.

IV. Einfluss der Capillaritat auf die Leitungsfahigkeit des Quecksilbers.

In einer der Sitzungen der internationalen electrischen Conferenz des Jahres 1882 hat Becquerel die Aufmerksankeit auf obige Fehlerquelle hingeleitet, bei welcher Gelegenheit v. Helmholtz erläuterte, dass Siemens immer die größeste Uebereinstimmung zwischen den mit Quecksilhersaulen, deren Durchmesser von 1 bis 2 mm variirten, ausgelährten Messungen gefunden hatte, während Bosscha mitteilte, dass Rink in Delft vergleichende Messungen mit verschiedenen Röhren angestellt und eine bis auf 1,000 gehende Uebereinstimmung gefunden hatte. Da meine absoluten Widerstandsmessungen mit 2 und 3 cm dicken Saulen ausgestahrt werden sollten, während das Normalmaass auf eine Säule von 1 qmm Querschnitt bezogen werden sollte, so schien es mir unerlässlich, durch eigene Versuche diese Frage aufs neue aufzunehmen.

Die ersten Versuche wurden mit einem von dicken Spiegelglasplatten gebildeten Troge ausgeführt. Zwei 1 cm hohe Glasstreifen waren auf einer Unterlage von Spiegelglas, 2 cm voneinander entfernt, mit Fischleim festgekittet, und 2 Stahlplatten bildeten die Enden des Troges. Derselbe wurde mit Quecksilber gefüllt, und dicht über der Oberfiäche des Quecksilbers war eine Spiegelglasplatte horizontal an-

gebracht. In dieser Platte befanden sich zwei grössere und zwei kleinere Löcher, durch welche letztere 2 Nähnadeln senkrecht hindurchgingen. Dieselben waren mit dem Galvanometer verbunden, während ein starker Strom durch die Endflächen des Troges und die beiden in der Nähe des Galvanometers angebrachten Drahtrollen hindurchgeleitet wurde. Der Widerstand des zwischen den beiden Nadeln betindlichen Theiles der Quecksilbersäule wurde in derselben Weise wie in den früheren Versuchen bestimmt, und die Untersuchung ging darauf hinaus, die Aenderung des Widerstandes, wonn die Deckplatte bis zur Berührung mit der Obertläche des Quecksilbers gesenkt wurde, zu beobachten.

Es zeigte sich auch hierbei immer eine kleine Aenderung des Widerstandes, allein es ergab sich bald, dass dieselbe von dem auf dem Quecksilber und dadurch auf den Wänden des Troges ausgeübten Drucke herstammte. Je nachdem nämlich das Quecksilber in den beiden grösseren Löchern der Deckplatte eine convexe oder eine concave Oberfläche zeigte, war der Widerstand vergrössert oder verkleinert. Es erklärt sich dies ganz einfach aus den Biegungen der Wände des Troges. Aus meinen Messungen folgte, dass, wenn überhaupt eine unmittelbare Wirkung der Capillarität auf den Widerstand stattfände, dieselbe nicht 1 10000 des ganzen Widerstandes betragen konnte.

Da diese Wirkung besonders stark bei engen Röhren hervortreten musste, so habe ich auch Messungen mit solchen angestellt und dabei die oben erwähnten calibrirten Röhren Nr. 1 und 2, deren Durchmesser 0,606 und 0,273 mm betrugen, angewondet.

Die Röhre war in einem Loch in der Mitte einer quadratischen hölzernen Platte (2 cm breit, 1 cm dick) angebracht, welche in einen 2 cm hohen und breiten Trog von Spiegelglasplatten eingesetzt wurde. Der Trog und die Röhre wurden mit Quecksilber gefüllt. Die Versuche begannen damit, den Trog mittelst der Deckplatte luftdicht zu verschliessen und die dabei eintretende Aenderung des Widerstandes der Röhre zu beobachten, um gegen etwa vorhandene Luftblasen in der Röhre sicher gestellt zu sein. Nachher wurde die Deckplatte entfernt und die Messungen in der Weise ausgeführt, dass der Hauptstrom durch die erwähnten Drahtrollen, ferner durch eine Siemens'sche Normaleinheit und durch den Trog, und somit auch durch die Röhre geleitet wurde, während zwei Punkte dieser Leitung mit dem Galvanometer in Verbindung gebracht worden.

Es zeigte sich bei diesen Messungen, dass, wenn die beiden Enden der zum Galvanometer führenden Leitung von der holzernen Platte ab längs der Wände der Röhren bis zu den Endflächen derselben geführt wurden, der gemessene Potentialunterschied unverändert derselbe blieb, wogegen eine merkbare Aenderung sogleich eintrat, wenn die Drahtenden der Nebenschliessung ausserhalb der Endflächen der Röhren angebracht wurden. Wenn also diese Drahtenden sich in der Nähe der hölzernen Platte befanden, so entsprach der gemessene Potentialunterschied genau demjenigen zweier Punkte in den Endflächen der Röhren und in deren ausserem Umfange.

Wenn die Dicke der Glaswand als unendlich gross gegen den inneren Durchmesser der Röhre betrachtet werden kann. so ist der dem so gemessenen Potentialunterschiede entsprechende Widerstand gleich dem Widerstande der Queckalbersäule der Röhre verlängert um 0,82 des inneren Durchmessors. Diese von Lord Rayleigh berechnete Zahl bedarf ber endlicher Dicke der Röhrenwand eine Correction, welche ich sowohl durch Berechnung als durch Versuche zu bestimmen versucht habe. Ich werde mich hier auf die letzteren beschränken. Für dieselben wurde eine 300 mm lange, 2,724 mm inwendig und 4,2 mm auswendig weite Röhre angewendet. Nachdem der Widerstand dieser mit Quecksilber gefüllten Röhre in der oben angegebenen Weise bestimint war, wurde die Röhre in 2 Stücke von 200 und 100 mm Länge zerbrochen und der Widerstand dieser beiden Röhren bestimmt, wonach noch das grössere Stück in zwei gleiche Theile zerbrochen und der Widerstand beider gemessen wurde. Als Resultat dieser Messungen ergab sich, dass an der Stelle der Rayleigh'schen Zahl 0,82 die empirische Formel:

woraus:

angewendet werden muss, indem durch de und de der innere und der äussere Durchmesser bezeichnet werden.

Es war meine Absicht, in derselben Weise die Correction ihr die Röhre Nr. 1 direct zu bestimmen, allein schon bevor die ersten Messungen ausgesührt waren, wurde durch einen Unfall die Röhre in 2 Theile zerbrochen. Die beiden Stücke der Rohre wurden, jedes in seiner quadratischen hölzernen Platte angebracht, in den Trog eingesetzt, welcher demnach in 3 Abtheilungen getheilt wurde. Die Entsernung der beiden gegen einander gewendeten Röhrenenden betrug ungefähr 3 cm.

Es sei R der Widerstand des in den beiden Rühren und dem dazwischen liegenden Raume enthaltenen Quecksilbers, S der Widerstand meiner Siemens'schen Normaleinheit, und x derjenige der zwischenliegenden Leitung. Alsdann ergaben die Messungen, wobei die beiden Galvanometerdrähte in einem vereinigt waren:

$$t = 10.10^{\circ}$$
,  $k/R + S + x) = 9063.3 + G$ ,  
 $k/R + r$ ) = 4766.8 + G,  
 $k/S + xr$  = 3551.0 + G,  
 $R = 1.28297 S$ .

Der durch directe Messungen gefundene Widerstand der zwischen den beiden Röhren befindlichen Quecksilbersäule betrug 0,00009 S. Mittelst des Temperaturcoëfficienten 0,00090, auf 0° zurückgeführt, ergibt sich demnach der Widerstand der beiden Röhren:

bei 0° gleich 1,27182 S.

Meine Siemens'sche Normaleinheit war gezeichnet: Dec. 82, Nr. 2713,  $\alpha = 0.000\,340$ , richtig bei 15,5°. Durch die sich daraus ergebende Reduction geht der obige Werth in 1.26899 S.-E.

über. Durch Vergleichung meiner Normaleinheit mit einer B.-A.-Normaleinheit (verificiet von Lord Rayleigh, Juni 82, Nr. 54,  $\alpha = 0.00025$ , richtig bei 11,5°, ergab sich:

1 S.-E. = 
$$0.95411$$
 B.-A.,

während Lord Rayleigh und Mrs. Sidgwick1) durch

<sup>1</sup> Mrs Sidgwick, Phil. Trans. of the Roy. Soc. 1. p. 173, 1883.

Vergleichungen mit Quecksilbersaulen von 1 bis 2 mm Durchmesser:

I Quecksilbereinheit = 0,95418 B.-A.

gefunden haben.

Der durch Calibrirung gefundene Wigerstand der Röhre p. 6) war 1,26612 Quecksilbereinheiten, und die nach der oltzen Formel berechnete Correction in Bezug auf die 4 Röhrenenden, indem d. = 0,8056 mm und d. = 3,2 mm waren, betrug 0,00315 Quicksilbereinheiten. Der aus der Calibrirung berechnete Widerstand der beiden Röhrenstücke beträgt also: 1,26927 Quecksilbereinheiten.

Der beschachtete Widerstand ist demnach um 0,022 oder 0029 Proc. kleiner als der letztere, je nachdem die Queck-sibereinheit aus meiner Siemens'schen oder aus meiner

B.A.-Normalembeit abgeleitet wird.

Bei den mit der calibriten Rohre Nr. 2 angestellten Messungen wurde wegen des grösseren Widerstandes der Rehre die Methode in der Weise abgeändert, dass verschiesen. Combinationen der in dem Kabel der ausseren Drahttoden enthaltenen Drahte angewendet wurden. Wenn die Witerstande der Siemens schen Normaleinheit und der Rehre durch S und R bezeichnet werden, und ferner das Verhaltniss der Intensität des Hauptstromes zu derjenigen des abgeleiteten Stromes gleich k n gesetzt wird, wo'n der Anzahl von Drähten, welche nach einander in den Drahttellen verhunden waren hier der Reihe nach 9, 5, 2 und 10), augnt, so konnen die Resultate der Messungen durch die logenden Gleichungen ausgedrückt werden:

$$t = 9.32^{\circ}$$
,  $k S = 9.526.50 + G + S)$ ,  
 $k S = 5.(1635.60 + G + S)$ ,  
 $k S = 2.5376.7 + G + S)$ ,  
 $k S = 10.(8504.7 + G + R)$ .

Et kann hier innerhalb der Klammern annäherungsweise f = 1 und R = 7.51 gesetzt werden, wonach:

$$R = 7.51057 \text{ S}$$

gefunden wird.

Der auf 0° reducirte Widerstand der Röhre ist demnach: 7,43243 S.-E.

Der durch die Calibrirung gefundene Widerstand der Röhre betrug 7,42980 Quecksilbereinheiten, während die Correction wegen der beiden Röhrenenden (wobei d. = 0.278 mm. d. = 3,3 mm) gleich 0,00369 Quecksilbereinheiten gefunden wird. Der corrigirte Werth beträgt also:

### 7,43849 Quecksilbereinheiten,

woraus hervorgeht, dass auch für diese Röhre der durch die directen Messungen sich ergebene Widerstand um ein wenig kleiner (0,014 und 0,021 Proc. 1st, als der durch die Calibrirung gefundene Werth desselben. Da die Abweichungen sehr klein sind und in demselhen Sinne gehen, so geht als Resultat dieser Untersuchung hervor, dass die Capillarität kaum messbare Einwirkungen auf die Leitungsfähigkeit des Quecksilbers ausübt.

# V. Leitungswiderstand des Queckarlbere in absolutem Manse.

Der Rotationsapparat bestand aus einem auf einem Fussgestelle besetigten hohlen messingenen Cylinder, dessen Länge 1,068 m. äusserer Durchmesser 0,333 m., innerer Durchmesser 0,322 m betrig. In die äussere Flache des Cylinders war ein Schraubengung eingeschnitten, in welchem ein aus 7, ½, mm dicken, Kupferdrähten bestehendes Kabel eingelegt war; jeder Draht sowohl, wie das ganze Kabel war mit Seide doppelt übersponnen. Dieses Kabel war in 472 Windungen um den Cylinder gewickelt, und die Enden desselben waren wieder zur Mitte des Cylinders zurückgesührt, wo vierzehn auf dem Fussgestell angebrachte Klemmschrauben die Drahtenden aufnahmen. Durch Messungen von je 50 Schraubenwindungen zeigte sich die Schraube vollkommen genau, und 472 Windungen entsprachen einer Hohe von 998,70 mm.

Im Inneren des Cylinders befand sich eine auf einer conisch gegen die Enden verlaufenden Axe besestigte Scheibe von Messing oder Kupfer. Die Axe bewegt sich in zwei in den Endflächen des Cylinders angebrachten isolirten Lagern und konnte mittelst einer Dynamomaschine in schnelle Rotation versetzt werden. Die beiden Axen lagen in derselben Geraden und waren mittelst zwei isolirender Universalglieder

und einer 4.3 m langen, 26 mm dicken Messingröhre, welche von vier festen Lagern gestützt war, miteinander in Verbindung gebracht. Die Dynamomaschine wurde anfangs durch den Strom einer anderen mittelst Dampfkraft getriebenen Dynamomaschine in Bewegung geeetzt, wobei eine Geschwindigkeit von bis 30 Umgängen in der Secunde erreicht werden konnte: da sich aber späterhin die kleinen Rotationegeschwindigkeiten als zweckmässiger zeigten, so wurde bei den endlichen Versuchen allein eine Batterie von Bunsen'schen Elementen als Stromerzeuger für die Dynamomaschine angewendet. 10 bis 20 Elemente genügten, um eine Rotationsgeschwindigkeit von 6 bis 12 Umgängen in der Secunde zu erzeugen. Ein Theil des zur Dynamomaschine führenden Stromes war dorch eine Zweigleitung, in welcher ein Rheostat eingeschaltet war, abgeleitet. Durch die Aenderung des Widerstandes dieses letzteren konnte die Umdrehungsgeschwindigkeit der Maschine leicht regulirt werden.

Die in der rotirenden Scheibe inducirte electromotorische Kraft wurde mittelst zweier Contacte zu einer Leitung übergesthrt. Der eine Contact war an dem Ende der Axe des Rotationsapparates angebracht und bestand aus einer coauchen Messingspitze, welche mittelst einer Feder gegen die Mitte der Axe drückte, wo die umschriebene Fläche kaum onen Quadratmillimeter betrug. Der andere Contact bestand as sinem dannen. I cm breiten Streifen von demselben Metalle wie die Scheibe (Kupfer oder Messing). Dieser an das Ende einer von demselben Metalle gemachten Stange angelöthete Streifen war quer über die 11.8 mm dicke Scheibe geführt und drückte sehr leicht gegen den Rand derselben, undem die Hinterseite des Streifens mit fingerdicken, den Zwischenraum zwischen dem Streifen und dem Cylinder ausfallenden Filze belegt war. Die Stange war ausserhalb des Cylinders befestigt. Durch passenden Schmieren mit Oel var dasur gesorgt, dass die Contacte nicht trocken liesen. In dieser Weise gelang es, die thermoelectrischen Krafte an den Contactstellen genügend schwach und constant zu erhalten and eine merkbare Erwärmung der Scheibe zu vermeiden. Diese Bedingungen zu erfüllen, war von Anfang an mit ziemt lich grossen Schwierigkeiten verbunden.

Die beiden Contacte sind mit der Quecksilbersäule, deres Widerstand gemessen werden sollte, und mit einem Galvano meter in oiner Leitung verbunden. Das Quecksilber war if einer der oben erwähnten calibritten, etwa 1 m langen und 2 oder 3 cm weiten Glasröhren eingeschlossen. Die Röhre war vertical, ganz mit Quecksilber gefüllt, aufgestellt, und die zum Galvanometer führende Ableitung des die ganze Säule durchströmenden Hauptstromes geschah mittelst zweier der die Röhre umspannenden Uhrfedern, welche vermoes der in der Röhrenwand gebohrten Löcher mit dem Quechpiber in leitender Verbindung standen. Man hätte nuch mit demselben Erfolge diese Anordnung in der Weise um kehren können, dass der Hauptstrom durch die Licher geleitet wurde, während der abgeleitete Strom von den Endpunkten der Säule genommen wurde. Da aber diese Anordnung hier keine praktischen Vortheile gewährte, so wurde me nicht benutzt.

Die in dieser Weise in der zum Galvanometer führenden Leitung erzeugten electromotorischen Kräfte müssen selbstverständlich entgegengesetzt gerichtet sein, und bekanntlich sollten die Versuche darauf binausgeben, die Rotationsgeschwindigkeit der Scheibe in dem Augenblicke zu messen wenn die beiden entgegengesetzten electromotorischen Kräfte gerade einander aufhoben.

Das Galvanometer war das oben erwähnte Thomson'sche, dessen untere Rolle mit einem Widerstand von
0,7 Ohm hier allein in Anwendung kam. Der äussere compensirende Magnet dieses Apparates war gewöhnlich bei
diesen Versuchen weggenommen, da es von Belang war, dass
die Schwingungen schnell verliefen. Die Zeit einer einfachen
Schwingung betrug ungefähr 3 Secunden. Ein Milhonstell
Volt entsprach etwa 120 mm der im Fernrohre beobachteten
Scala. Bei den Messungen des Widerstandes einer Queckmibersäule von der Grosse 0.00024 Ohm war die Intensität
des Hauptstromes gleich 2.9 Ampère, und demnach die zu
messende electromotorische Kraft ungeführ gleich 700 Mil-

be unerhalb der kurzen Zeitdauer, während welcher die kotationsgeschwindigkeit gemessen wurde, die Abweichungen im Nullpunkte der Scala gewohnlich nicht 10 mm übertegen, so konnte der wahrscheinliche Fehler einer Messung beitstens zu 1/4. Proc. geschatzt werden.

Der Chronograph. Ausser der schon arwähnten, im laseren des Cylinders angebrachten Scheibe war noch eine mete, ganz abnitche, auf derselben Axe dicht ausserhalb des Chinders angebracht. Von diesen beiden Scheiben war die eine Messing, die andere von Kupfer, und konnten dieselben accessing vertauscht werden. Ein in Millimeter eingetheiltes Papierband war um die äussere Scheibe gelegt, wodurch der Umang der Scheibe in ungefähr 940 Theile getheilt war. In Lener Entfernung von dem Pamerbande befanden sich die Eagen zweier Platindrähte, von welchen während der Zeit, die Rotationsgeschwindigkeit gemessen werden sollte. detrische Funken alle zwei Secunden durch das Papierband auf den Rand der Scheibe übersprangen. Um die so erhalteten Marken der Zeitfolge nach ordnen zu können, wurden in allen Fallen, wo es nöthig war, nach jedem Funken die Phinarahte in eine etwas geänderte Lage gebracht, indem se in einer um ihre Axe beweglichen Robre angebracht varen, sodass das eine Drahtende sich in der Axe der Röhre befand. Auf diese Weise wurde der Bruchtheil der in zwei Secunden ausgetührten Anzahl von Umdrehungen bestimmt, Thrend die ganze Zahl der Umdrehungen entweder direct gemessen oder als bekannt vorausgesetzt werden konnte, ndem überhaupt hier kein Versehen möglich war.

Die beiden Platindrahte waren mit der Inductionsrolle eines Ruhmkorif'schen Apparates verbunden. Die Untertrechung des Hauptstromes dieses Apparates geschab bei den endlichen Versuchen in solgender, sehr einsacher Weise, die sich als die genaueste von den verschiedenen von mir geprüften Methoden zeigte. Vor dem in der Einleitung erwähnten Pendelchronometer war eine zweite einsache Pendeluhr ausgestellt, deren Gang durch Beobachtung der zusammensallende Schläge der beiden Pendel mit dem Gange des

Chronometers während der Messungen bäufig verglichen wurde. An der unteren Spitze des zweiten Pendels war ein 1 bis 11/2 m langer Seidenfaden befestigt, während das andere Ende des Fadens in derselben Höhe und in der Schwingungsebene des Pendels in der Weise befestigt war, dass der Faden bei jeder doppelten Schwingung des Pendels schwach gespannt wurde. An der Mitte dieses Fadens war mittelst eines kurzen Fadens ein kleiner von Kunferdraht gebildeter Bügel aufgehängt. Die beiden Schenkel dieses Bügels tauchten durch zwei Oceen in zwei Cylindergläser, von welchen das eine ganz, das andere zur Halfte mit Ouecksilber, zur Hälfte mit Alkohol gefüllt war. Während der grösseren Zeit der Schwingungen des Pendels wurde der Bügel von den Oesen getragen, und erst wenn der Faden anfing sich zu spannen. wurde der Bugel schnell in die Höhe geworfen, wobei alles so angeordnet war, dass die Spitze des einen Schenkels vom Quecksilber in den Alkohol gerade in dem Augenblicke der grössten Geschwindigkeit gehoben wurde. Durch diese Bewegung wurde der Hauptstrom des Ruhmkorff'schen Apparates unterbrochen, und gleichzeitig schlugen die Inductionsfunken auf die rotirende Scheibe über.

Die Anordnung der Versuche. Die Apparate waren in zwei Zimmern, welche durch ein zwischenliegendes drittes getrennt waren, aufgestellt. In dem grösseren Zimmer befanden sich der Rotationsapparat, die Dynamomaschine und der Chronograph. Die gemeinsame Axe des Rotationsapparates und der Dynamomaschine war ungefähr in der Ostwestrichtung aufgestellt, und alles Eisen aus der Nähe des Rotationsapparates entfernt. Von diesen Apparaten waren alle Leitungen zum underen Zimmer geführt, wo das Galvanometer, 10 m von dem Rotationsapparate und 15 m von der Dynamemaschine ontfernt, aufgestellt war. Ausserdem befanden sich hier in der Nähe des Beobachters verschiedene Commutatoren. Schlüssel und Rhoostaten. Zu dem einen Commutator führte die Leitung von einer am anderen Ende des Gebäude aufgestellten Batterie von 24 Bunsen'schen Elementen. Von dem Commutator war der Strom zu den Drahtwindungen des Rotationsapparates geleitet, von da durch einen in der kaft schwebenden Draht zu der zu messenden Quecksilbersäule und weiter zum Commutator zurück. In der Nähe des Beobachters war diese Leitung durch einen Schlüssel unterbrochen.

Eine andere Batterie von 10 bis 20 Elementen diente als Triebkraft der Dynamomaschine. Mittelet einer Zweigleitung war ein Theil dieses Stromes zu einem in der Nähe die Beobachters aufgestellten Flüssigkeitsrheostaten abgeleitet. Dieser Rheostat bestand aus einem hohen mit einer gesättigten Lösung von schwefelsaurem Kupferoxyd gefüllten Cylinderdase, worin eine als negative Electrode dienende Kupferplatte im Boden angebracht war, während ein dicker Kupferdraht, relcher bequem gehoben und gesenkt werden konnte, als poutive Electrode diente. Bisweilen wurde auch daneben noch ein Stöpselrbeostat angewendet. Durch Einstellung des Rheostaten konnte die Rotation der Dynamomaschine ohne Schwierigkeit regulirt und constant gehalten werden.

Für den Ruhmkorffschen Apparat diente eine Batterie von 4 Elementen, von welchen eine Leitung ebenfalls zum Beebachtungszimmer geführt wurde. Diese Leitung war hier turch einen Schlüssel unterbrochen, um während der Zeitdauer, wo die Rotationsgeschwindigkeit gemessen werden sollte, geschlossen zu werden.

Ferner befand sich im Beobachtungszimmer noch ein Dan tell'sches Element, in dessen Stromkreis ein Siemens'scher Rheostat eingeschaltet war, während ein Theil des Stromes zum Galvanometer abgeleitet war. Dieser abgeleitete Strom diente zur Compensation der an den Gleitstellen der rotirenden Scheibe erzeugten thermoelectrischen Ströme, deren electromotorische Kraft bei den endlichen Versuchen selten 3 Millionstel Volt überstieg. Ausserdem diente der abgeleitete Strom noch dazu, um sich zu vergewissern, dass die zum Galvanometer führende Leitung in Ordnung war, indem der Beobachter bald durch Erfahrung belehrt war, welcher Ausschlag am Galvanometer bei einer gegebenen Aenderung des Rheostatenwiderstandes eintreten sollte.

Endlich war auch ein Commutator in die zum Galvanometer führende Leitung eingeschaltet.

Die Versuche wurden in folgender Weise ausgeführt.

L. Lorenz,

Nachdem die Dynamomaschine in Gang gesetzt war, wurde durch einen Druck auf den einen Schlussel der zu den Drahtwindungen des Rotationsapparates führende Strom geschlossen, wonach der Ausschlag des Galvanometers beobachtet und durch Einstellung des zur Regulirung der Umdrehungsgeschwindigkeit dienenden Flussigkeiterbeostaten zum Nullpunkte zurückgeführt wurde. Jetzt wurde der Batteriestrom unterbrochen und, während die Rotation andauerte, der im Galvanometer beobachtete thermoelectrische Strom in der oben angeführten Weise compensirt. Nachher wurde wiederum der zum Rotationsannarate führende Strom geschlossen und die Rotation mittelst des Flüssigkeiterheostaten genau regulirt. Wenn alsdann die Galvanometernadel mit geringer Geschwindigkeit den Nullpunkt der Scala passirte, wurde durch einen Druck auf den zweiten Schlüssel die zum Ruhmkorff'schen Apparate führende Leitung geschlossen und somit der Chronograph in Wirksamkeit gesetzt. Nach zwei, bisweilen mehreren Entladungen, welche deutlich vom Beobachter gehört wurden, wurden alle Leitungen unterbrochen, die Rotation hörte auf, und die auf dem Papierbande von den Funken geschlagenen Marken wurden notirt. Der Versuch wurde gleich nachher mit abgeänderter Richtung des zum Rotationsapparate führenden Batteriestromes wiederholt, wonach zwei ähnliche Versuche bei commutarter Leitung zum Galvanometer ausgestihrt wurden. Endlich erwies es sich als nothwendig, dieselben Versuche bei entgegengesetzter Rotationsrichtung, indem der zum rotirenden Anker der Dynamomaschine führende Strom umgewendet wurde, zu wiederholen. Zu jeder Versuchsgruppe gehörten demnach acht unmittelhar nacheinander folgende Messungen, von welchen das Mittel genommen wurde.

Während der Versuche wurde häufig die Temperatur der Quecksilbersäule beobachtet. Eine Vertauschung der Pole der verschiedenen Batterien wurde öfters geprüft, zeigte sich aber ohne Einfluss auf das Endresultat.

Noch mag bemerkt werden, dass beim Schliessen und Oeffnen des zum Rotationsapparate führenden Batteriestromes sehr oft in der Galvanometerleitung Inductionsströme entstanden, was für die Beobachtung lästig war. Da sie von dem Theile der zum Galvanometer führenden Leitung, welcher sich in der Nähe der Drahtwindungen des Rotationsspparates befand, herstammten, so konnten sie bei passender Anordnung der Drähte leicht beseitigt werden.

Berechnung der Constante des Rotationsappatates. Der Widerstand der abgeleiteten Quecksilbersäule so durch R. die gemessene Anzahl der Umdrehungen der Scheibe in der Secunde durch n und die Constante des Rotationsapparates durch C bezeichnet. Dann ist:

$$R = nC$$
.

Ich kann mich hier darauf beschränken, die Berechnung deser Constanten für den Fall anzugeben, dass die rottrende scheibe unendlich dünn ist, dass der Mittelpunkt der Scheibe genau mit der Rotationsaxe und der Axe des Cylinders zutammenfällt, und dass ebenfalls der Centralcontact in dieser Aze liegt, indem die vorhandenen Abweichungen von diesen Voraussetzungen so verschwindend kleine Correctionen mit sich bringen, dass ein näheres Eingehen auf die Berechnung derselben ganz überflüssig wird.

Es sei d die Höhe des um den Cylinder gehenden Schraubengunges, in welchen der Draht eingelegt ist, r der Halbmesser der Drahtwindungen,  $\varrho$  der Halbmesser der Scheibe,  $a_1$  und  $a_2$  die Entfernungen der Scheibe von den Endflächen der Drahtwindungen. Alsdann ist die Constante Caus der Formel:

$$C = \frac{2n}{d} \int dx \int d\theta = \frac{r_0 \cos \theta}{1 x^2 + r^2 + \varrho^2 - 2r\varrho \cos \theta}$$

zu berechnen.

Wird hier zur Abkurzung  $\rho = qr$ ,  $r^2 + r^2 = \alpha r^3$  und entsprechend  $\sigma_1^2 + r^2 = \alpha_1 r^2$ ,  $\alpha_2^2 + r^2 = \alpha_2 r^2$ , so wie:

$$Q_{a} = \int_{1}^{a} \frac{do}{a-1} \int_{0}^{2a} \frac{d\Theta}{a+q^{2}-2q\cos\Theta}$$

gesetzt, so erhält man-

$$C = \frac{\pi q r^{\tau}}{d} \left[ Q_{\tau_1} + Q_{\tau_2} \right].$$

Bei der Entwickelung in eine Reibe ergibt sich:

$$Q_{\bullet} = 2\pi q \sqrt{\frac{\pi - i}{\alpha}} \left[ 1 + \frac{8q^2}{8\alpha^2} + \frac{5q^4}{16\alpha^4} \left( \frac{7}{4} - \alpha \right) + \frac{35q^4}{128\alpha^6} \left( \frac{35}{8} - \frac{9}{2}\alpha + \alpha^3 \right) + \dots \right]$$

wo die angegebenen Glieder hier für die numerische Berechnung hinreichten, während die vollständige Entwickelung in folgender Weise ausgedrückt werden kann:

$$Q_{n} = 2\pi \sum_{m=0}^{m-m} q^{2m+1} \frac{1 \cdot 3 \cdot \dots \cdot 2m-1}{2 \cdot 4 \cdot \dots \cdot 2m \cdot 1 \cdot 2 \cdot \dots \cdot m+1} \frac{d^{m}}{d n^{m}} \left( \frac{n-1}{n} \right)^{m+1}.$$

Resultate der Meseungen. Die Messungen mit dem Rotationsapparate konnten erst gegen Ende März (1884) begonnen werden, und das Resultat der ersten Messungen habe ich der den 28. April zusammengstretenen internationalen Conferenz mitgetheilt. Dieses Resultat (1 Quecksilbereinheit = 0,9417 Ohm) habe ich jedoch nur als ein vorläufiges bezeichnet, indem ich die Bemerkung hinzufügte, dass die Gebereinstimmung zwischen den verschiedenen Messungen noch nicht hinlänglich befriedigend war. Auch bei den nächstfolgenden Versuchen zeigten sich die nämlichen Schwankungen, bis ich endlich darauf verfiel, die Rotationsrichtung der Scheibe umzukehren, wodurch die eigentliche Ursache der Fehler enthüllt wurde. Ich werde darauf etwas näher eingehen.

Eine vollkommene Isolation ist bei electrischen Versuchen nicht möglich, doch wird nur ausnahmsweise der Fall eintreten, dass vollständig unvermeidliche Isolationsfehler auf das Resultat einen merklichen Einfluss ausüben. Es trat aber eben dieser Fall hier ein. Die zum Galvanometer führende Leitung war in zwei Punkten A und B mit der Quecksilbersäule, deren Widerstand gemeesen werden sollte, und welche vom Hauptstrome durchflossen war, verbunden. Der Widerstand AB betrug nur 0,00026 bis 0,015 Quecksilbereinheiten. Wenn nun ferner ein Punkt C der Galvanometerleitung mit einem Punkte D der Hauptleitung in schwach leitende Verbindung gesetzt worden ist, so wird der durch diese Nebenleitung abgeleitete Theil des Hauptstromes auf das Galvanometer einen verhältnissmässig grossen Einfluss ausüben können. Es sei der Widerstand dieser Nebenleitung

CD, und serner r der Widerstand desjenigen Theiles der sum Galvanometer sührenden Leitung, welcher von C bis A oder bis B sührt, je nachdem das Galvanometer in den Leitungen CB oder CA enthalten ist. Alsdann kann die zum Galvanometer abgeleitete electromotorische Kraft E, welche während der Versuche von der in derselben Leitung inductren electromotorischen Kraft im Gleichgewicht gehalten wird, durch die Gleichung:

$$E=i\,.\,AB\Big[1\pm\frac{BD}{AB}\cdot\frac{r}{CD}\Big]$$

Intensität des Hauptstromes bezeichnet ist, und vorausgesetzt wird, dass der Widerstand AB gegen BD und r,
und ebenfalls diese letzteren Widerstände gegen CD sehr
klein sind. Das obere Vorzeichen entspricht dem Falle, dass
das Galvanometer in der Leitung CA, das untere demjenigen,
dass das Galvanometer in der Leitung CB enthalten ist.
Wenn die Rotation der Scheibe umgekehrt wird, so müssen
gleichzeitig die Drähte der Galvanometerleitung in A und B
vertauscht werden, wodurch das Vorzeichen des zweiten
Ghedes in das entgegengesetzte übergeht. Es wird hieraus
ersichtlich, dass der von der Nebenleitung CD herrührendo
Fehler dadurch eliminirt werden kann, dass die Messungen
mit entgegengesetzter Rotation wiederholt werden und das
Mittel derselben genommen wird.

Ich werde den ersten der bei entgegengesetzten Rotationen ausgeführten Versuche als Beispiel ansühren. Der Hauptstrom ging fünfmal um den Cylinder des Rotationsapparates, und der Widerstand dieser Leitung, welcher nahezu dem obigen Widerstande BD entsprechen musste, betrug 195 S.-E. Ferner war AB gleich 0,00154 S.-E. Die Zahl der Umdrehungen der Scheibe in 2 Secunden betrug sür die Botation rechts 14,6820 und sür die Rotation links 14,5751. Die Abweichungen vom Mittel betrugen demnach 0,87 Proc. Der obigen Formel zufolge ist also:

$$0.0037 = \frac{195}{0.00154} \cdot \frac{r}{CD}$$

woraus CD = 34.10°r.

Wonn also r = 0.5 S.-E. angenommen wird, was mit den thatsächlichen Verhältnissen ungefähr übereinstimmt, so folgt hieraus, dass ein Isolationsfehler mit einem Widerstande von 17 Millionen Siemens-Einheiten hinreicht, um den aus den beiden entgegengesetzten Rotationen erscheinenden Fehler zu erklären. Da die beiden Leitungen sowohl bei dem Rotationsapparate, als im Beobachtungslocale nabe aneinander entlang geführt werden mussten, so waren solche kleine Isolationsfehler kaum zu vermeiden, und man musste sich darauf beschränken, dieselben durch die Versuche selbst zu eliminiren.

Die Isolation der einzelnen Drähte des Kabels des Rotationsapparates zeigte sich von Anfang ab, namentlich wenn die Luft feucht war, nicht befriedigend, weshalb das Kabel wiederholt mit einer dünnen Schellacklösung getränkt wurde. Nach dem vollständigen Trocknen derzelben betrug der kleinste Widerstand, welcher zwischen zweien der Drähte oder zwischen den Drähten und dem Cylinder gemessen wurde, 500 000 S.-E., welche Isolation hier genügte. Ein Draht bildete jedech dabei eine Ausnahme und musste aus der Leitung ausgeschlossen werden, sowie auch späterhin noch ein zweiter Draht wegen eines eintretenden Isolationsfehlers ausgeschlossen werden musste, weshalb die endlichen Versuche nur mit 5 Drähten angestellt wurden.

Die Messungen der einzelnen Theile des Rotationsapparates ergaben die folgenden Resultate, wobei 1 cm als Längeneinheit angenommen ist.

Der Halbmesser der Drahtwindungen R=16.65, die Höhe des Schraubenganges . .  $d=0.211\,589$ , die Entfernungen von der Mitte der Scheibe bis zu den Endflächen der Drahtwindungen:

 $a_1 = 50.09$ ,  $a_2 = 49.80$ .

Die Messungen des Durchmessers der messingenen Scheibe ergaben vor dem Anfange der Rotationsversuche:

2y = 29,897, 29,909, 29,901, 29,913 M. 29,905, nach Beendigung einer grossen Anzahl von Rotationsversuchen und unmittelbar bevor der endlichen Versuche:

29,889, 29.879, 29.594 M. 29.8938,

und endlich nach der Beendigung aller Versuche:

29,889. 29,894, 29,898, M. 29,8937.

Die beiden letzteren fast identischen Resultate zeigten, dass bei den endlichen Messungen kein merkliches Schleifen ichanden gewesen. Dagegen trat die Wirkung des Schleifens bei der weicheren kupfernen Schoibe deutlich hervor, nach für dieselbe vor und nach den endlichen Versuchen die folgenden Durchmesser gefunden wurden:

29,856, 29,853, 29,859, M, 29,856.

Die mittelst dieser Werthe nach der oben entwickelten Formel berechnete Constante C, vermindert um die ebendaselbst erwähnten Correction, welche nur 0.6 Einheiten beträgt, ist für die messingene Scheibe:

39656,1,

Vorsuchen: 89594.1 und 39556,1

aus welchen beiden Grenzwerthen die einer jeden der drei aut dieser Scheibe angestellten Versuchsreihen entsprechenden Constanten durch Interpolation berechnet sind.

Diese für U' geltenden Werthe der Constante C gehen bei t' in: C(1+bt)

Ober, indem b = 0,00018 den linearen Ausdehnungscoëfficienten des Messings angibt.

1 Q.-E. = 
$$\frac{1}{4} \sigma \left( m + \frac{\pi}{\rho} \right) \frac{C_P (1 + \delta P)}{R (1 + \gamma P)}$$
 abs. Ohm.

Ich beschränke mich darauf, hier die Resultate meiner endlichen Messungen, die alle in den Tagen vom 9. bis 13. Juni (1884) ausgeführt wurden, anzugeben, welche Resultate allein zur Feststellung des nach meinen Messungen wahrscheinlichsten Werthes der Quecksilbereinheit in absoluten Ohms benutzt sind.

Röhre Nr. L. Messingscheibe.

Vier Messungen, wobei die zum Rotationsapparate subrende Leitung zuerst commutirt wurde, und nachher die beiden Versuche bei commutirter Leitung zum Galvanometer wiederholt wurden, ergaben die solgenden Werthe von n:

491,0, 583,7, 514,0, 571,0,

und bei Wiederholung derselben Messungen:

492,6, 581,3, 496,5, 592,6 Mittel 540,34.

Nach Umkehrung der Botation der Scheibe waren die entsprechenden Werthe:

651,1, 676,8, 026,4, 592,5,

663,1, 681,7, 648,2, 586,4, Mittel 640,77.

Es ergibt sich hieraus für diese beiden Fälle, indem m=14, p=939.6 waren:

 $m + \frac{n}{p} = 14,5751$  und 14,6820, .W. 14,6285.

Ferner waren:

s=5,  $\sigma=1,01924$ ,  $t=17,06^{\circ}$ , R=0,0015418, C=39656,1, woraus erhalten wird:

1 Q.-E. = 0,94455 abs. Ohm.

Die folgenden Versuche waren mit jeder der 3 Abtheilungen AB, BC und CD der calibrirten Röhre Nr. II angestellt. Da der Widerstand jeder dieser Quecksilbersäulen ungefähr sechsmal kleiner als derjenige der Röhre Nr. I war, so waren die 5 Drähte des Kabels des Rotationsapparates in einem Drahte vereinigt. Es war dadurch der Widerstand des Kabels fünfundzwanzigmal kleiner, und die Intensität des Hauptstromes zwölfmal grösser geworden. Es geht daraus hervor, dass, obwohl der gemessene Wider-

dennoch die electromotorische Kraft des zum Galvanometer abgeleiteten Stromes doppelt so gross war, weshalb ich auch den Messungen das doppelte Gewicht beilege. Ebenfalls muss auch hier der Unterschied der beiden bei entgegengesetzten Rotationen gewonnenen Resultate bei ungeinderten Isolationsfehlern bedeutend kleiner ausfallen.

Röhre Nr. II, AB, Kupferscheibe. Werthe von ».
249,5, 253,0, 234,1, 239,8
250,8, 258,6, 245,2, — Mittel 246,4.

Bei entgegengesetzter Rotation:

271,6, 280,4, 289,8 277,6 Mittel 258 9, 260,0, 269,6, 270,0, 271.5

Perner waren:

m = 12, p = 939.5, s = 1,  $\sigma = 1.01977$ , t = 17.97°. R = 0.00025836, C = 39578.5.

woraus 1 Q.-E. = 0,94391 abs. Ohm.

Röhre Nr. II, AB, Kupferscheibe. Werthe von n. 351,5, 325,2, 341,4 324,6 Mittel 335,7.

Bei entgegengesetzter Rotation:

349,8, 324,8, 343,8, 321,5 Mittel 335,0.

m = 12, p = 940, s = 1,  $\sigma = 1.01915$ ,  $t = 18.73^{\circ}$ , R = 0.00025964, C = 89571.0.

1 Q.-E. = 0,94410 abs. Ohm.

Röhre Nr. II, CD, Kupferscheibe. Werthe von n. 432,8, 435,9, 436,1, 441,2 Mittel 436,5.  $t = 18,82^{\circ}$ ,  $\sigma = 1,01935$ .

Bei entgegengesetzter Rotation:

487,7, 518,4, 496,0, 518,2,

495,8, 522,0, 484,2, 511,6 Mittel 504,24.

t = 15,36,  $\sigma = 1,01945$ , m = 12, p = 941,5, R = 0,000 262 79, C = 39562,2. 1 Q.-E. = 0,94891 abs. Ohm.

Aus den gesammten Moesungen geht als das wahrscheinlichste Endresultat hervor:

> 1 Q.·E. = 0,9440 abs. Ohm, 1 abs. Ohm = 1,0593 Quecksilbereinkeit.

Es stimmt dieses Resultat sehr nahe mit den vor F. Kohlrausch und Roiti gefundenen Werthen überein während die von uns angewandten Methoden wesentlich ver schieden sind. Ueberhaupt geht aus den sämmtlichen de internationalen Conferenz vorgelegten Resultaten, namentlich nachdem neulich Wild einen wesentlichen Fehler in seine Messungen corrigirt hat, hervor, dass die verschiedene Methoden übereinstimmende Resultate hefern.

Ich hatte selbst einiges Bedenken in Betreff der Anwendung von variablen Strömen gehegt, indem eine Möglichkeit vorhanden war, dass innere thermoelectrische Verschiedenheiten in einem Leiter dieselbe Wirkung wie z. B. die Polarisation in einem Electrolyten ausüben und namentlich den Widerstand bei variablen Strömen kleiner, als bei constanten Strömen machen könnten. Dieses Bedenken kann ich jetzt gunz aufgeben, zumal da ich zu demselben Resultate auch auf anderem Woge gelangt bin.

Sowohl bei meinen relativen, als bei den absoluten Widerstandsbestimmungen, welche mit constanten Strömen ausgeführt wurden, habe ich häufig dieselben Messungen mit intermittirenden Strömen wiederholt, in keinem Fall jedoch irgend einen linterschied im Resultate beobachtet. Ferner dürfte die folgende Betrachtung nicht ganz ohne Interesse sein. Ein Unterschied in dem Leitungsvermögen für constante und variable Strome musste auf die Inductionsconstante des Leiters einigen Einfluss ausüben. In der That habe ich auch bei früheren Versuchen 1) kleine Abweichungen der beobachteten Inductionsconstanten von den berechneten gefunden, indem die ersteren um 5 bis 6 Proc. kleiner, als die letzteren ausfielen. Die Berechnung war auf die gewöhnliche Weise ausgeführt, nämlich ohne dass auf den Umstand, dass bei variablen Strömen die Stromdichtigkeit eine Function der Entfernung von der Centrallinie des Drahtes ist, die gehörige Rücksicht genommen war. Eine genauere Berechnung zeigte mir, dass die berechnete Inductionsconstante um die Lange des Drahtes vermindert werden musste,

<sup>1.</sup> L. Lorenz, Wied, Ann. 7, p. 161, 1879.

und diese Correction entsprach auch am nachsten den gefundezen Abweichungen.

Wenn demnach die Unterschiede der von den verschiedera Forschern erlangten Bestimmungen des Ohms als zufällig betrachtet werden müssen, so darf gewiss auch der sos der Conferenz festgestellte Werth des Ohms, nämlich

1 Ohm = 1,06 Quecksilboreinheiten,

wicher Werth sehr nahe dem mittleren Werthe aller Beobichtungen entspricht, als der für die Gegenwart genaueste bitrachtet werden, und man darf hoffen, dass hiermit auch der ursprünglich erzielte Grad der Genaugkeit, nämlich tines Tausendatels, wirklich erreicht ist.

# II. Beiträge zur Electricitätsleitung der Gase; von Franz Stenger.

(Mieren Taf. | Pig. 8-5.)

Die vorliegende Arbeit verfolgt einen doppelten Zweck. In ersten Theile sucht der Verfasser theils unter Benutzung der ausserordentlich reichhaltigen Literatur, theils auf frund ingener Versuche den Nachweis zu liefern, dass ein in allen Fällen gültiges Unterscheidungsmerkmal zwischen Bogenentladung und Glimmentladung nicht vorhanden ist. Von welchem Factor das Auftreten der einen oder der anderen von beiden Formen abhängt, unter welchen Versuchsbedingungen beide Entladungsarten ineinander übergehen können, soll den Gegenstand des zweiten Theiles bilden.

### I. Theil.

Vor allem sei es mir gestattet, in kürze die wesentlichen Kennzeichen der Bogenentladung im Gegensatz zum Glimmlicht zusammenzustellen; ich beziehe mich dabei ausdrücklich auf die normalen Formen der Entladung.

1) Die Gasschicht besitzt in der Bogenentladung einen weit geringeren Widerstand, als im Glimmlicht.

- 2) Im Bogenlicht wird die Anode stärker erhitzt, als die Kathode, beim Glimmlicht umgekehrt.
- 8) Im Spectrum des Bogenlichtes überwiegt das Licht der Electrodensubstanz über das der swischen ihnen befindlichen Gasschicht, während umgekehrt bei der Glimmentladung das Spectrum nur die Linien der Gasstrecke gibt, und die Natur der Electroden gleichgültig ist.
- 4) Im Bogen werden beide Electroden zerstäubt, allerdings in verschiedenem Maasse, während im Glimmlicht nur an der Kuthode eine Zerstäubung eintritt.
- 5 1. Ueber den Widerstand der Gasetrecke. -Bei der Glimmentladung in verdünnten Gasen sind es nach Hittorf die beiden ersten Schichten des Kathodenlichtes. welche dem Durchgang electrischer Ströme einen Widerstand entgegensetzen, gegen welchen der Widerstand des positivan Büschellichtes sehr klein ist. Da mit abnehmendem Druck beide Schichten eine immer grössere Ausdehnung annehmen, wächst gleichzeitig der Widerstund des Kuthodenlichtes. Als umgekehrt Hittorf zu grösseren Gasdichten überging, nahm die Dicke des Glimmlichtes ab, die Stromstärke zu. Bei einem mit Stickstoff von etwa 17 mm Druck gefüllten Vacuumrohr trat unmittelbar nach Stromschluss. wie bei starken Verdünnungen, auf der 17 mm langen Kathode ein I mm dickes Glimmlicht auf, das in kurzer Zeit den Draht auf starke Gelbgluth erhitzte, die sich an dem der Anode zugewendeten Ende auf Weissgluth steigerte und die starke Iridiumelectrode zur Schmelzung brachte. Wurde die Gasdichte noch mehr gesteigert, so kam auch die Anode zur Weissgluth; ja bei einem Drucke von 53 mm wurde die Anode sogar heisser als die Kathode. Gleichzeitig wuchs die Stromstärke immer mehr an und erreichte schliesslich eine Stärke von 2 Ampère, eine Stromstärke, die sich von den bei Bogenlicht erhaltenen nicht sehr unterscheidet. Besonders deutlich zeigen aber einige andere Beobachtungen von Hittorf? und Goldstein?, dass bei ge-

<sup>1)</sup> Hittorf, Wied. Ann. 21, p. 97, 1884,

<sup>2)</sup> Hittorf, Wied. Ann. 21. p. 138. p. folg. 1884.

<sup>8)</sup> Goldstein, Wied. Ann. 24. p. 81 a. folg. 1885,

ogreter Wahl der Versuchsbedingungen der Widerstand ter Gases beim Glimmlicht von derselben Grössenordnung ot wie im Davy'schen Bogen. Erhitzte nämlich Hittorf use als Kathode verwendete Platinspirale durch Hindurchoten eines kraftigen Stromes, so blieb der Widerstund unemidert, solange das Platin aur rothglübend war; mit dem beibglüben trat plötzlich eine Abnahme des Widerstandes us, die sich mit der Temperaturerhöhung des Platins schnell sterrerte. Wurde der Versuch in ähnlicher Weise mit einem tarre'schen Kohlenstäbchen ausgeführt, so gelang es noch aut 10 kleinen Elementen bei 4 cm Electrodenabstand eine Eatladung zu erzeugen. Bei einem Abstand von 15 cm gaten 40 Elemente einen stetigen Strom von 1/10 Ampère. Wandte Hittori als Kathoden die Kohlen eines Davy'schen Bogens an, so war die Wirkung noch weit grösser. Wurde dagegen die Apode stark erhitzt, so war keine Aenderung in der Stromstärke zu constatiren. Ganz gleiche Resultate hat Goldstein erhalten.

Es kommt nach diesen Untersuchungen also nur auf gesignete Versuchsbedingungen an, um auch bei Glimmettadungen Ströme von derselben Grössenordnung, wie beim Bogenhicht zu erhalten.

§ 2. Existirt eine Abhängigkeit der Temperater der Electroden bei der Bogenentludung vom Druck und der Natur des umgebenden Gases?

Die erste Beobachtung über die verschiedene Temperatur der Electroden rührt von Gassiot her; einige Jahre später stellte Grove!) Untersuchungen über das Verhalten des Hogenlichts in verschiedenen Gasen und in einem Vacuum an, wie es damals zu erreichen war. Seine Resultate stimmen nur zum Theil mit meinen Beobachtungen überein. In Wasserstoff wie auch Stickstoff soll nach ihm die Temperatur heider Electroden dieselbe sein — beurtheilt nach der Färbung und der Schnelligkeit des Erlöschens — ebenso in möglichst vollkommenem Vacuum. Wie er jedoch selbst mittheilt, gelang es ihm in Wasserstoffatmosphäre nur bei

<sup>1)</sup> Grove, Phil. Mag. (3) 16, p. 478, 1840, and it Phys a Chem N P. XXV.

Kohlenelectroden, den Bogen einige Zeit lang constant zuz erhalten, sodass seiner Behauptung, dass dann die Electroden keinen Unterschied in der Temperatur erkennen liessen. kein grosser Werth beigelegt werden kann. Ich habe mich obenfalls vergebens bemüht, ein constantes Bogenlicht in Wasserstoff zwischen Metallelectroden herzustellen: wie auch Liveing und Dewar'l beobachtet haben, ist die Länge des Bogens in Wasserstoff weit kleiner als in Luft, und ruft daher eine geringe Vergrösserung des Electrodenabstandes das Verlöschen des Bogens hervor. Dass aber bei kurzen Stromachluss die Temperatur der Electroden wesentlich auders sein kann, als bei anhaltendem Brennen, geht deuthen aus der Angabe von Moigno? hervor, dass, nachdem der Contact zwischen den Electroden zur Erzeugung des Bogens unterbrochen wird, zunnichst weisses Licht an der Spitze der negativen Electrode aufblitzt, und erst dann die positive zu erglühen beginnt. Bei Kohlenelectroden dagegen habe ich durch eine Reihe von Versuchen sicher constatirt, dass in Wasserstoff wie auch in Stickstoff stets die Anode eine höhere Temperatur besitzt als die Kathode, wenngleich der Unterschied nie so merklich war, wie in Last. Es schent danach allerdings die Vermuthung Grove's nicht unberechtigt, dass in sauerstoffhaltigem Gase secundare Erscheinungen eine Rolle spielen. Dass man bei derartigen Beobachtungen den Bogen erst einige Minuten in Gung erhalten muss, ehe man die Temperaturvergleichung vornimmt, kann aus der Angabe entnommen werden, dass man beide Kohlen häufig gleichzeitig verlöschen sieht, wenn man den Bogen hergestellt hat und unmittelbar darauf unterbricht.

Die meisten dieser Versuche habe ich mit einem ausserordentlich einfachen Apparate angestellt, der gleichwohl das Arbeiten mit reinen Gasen bei den verschiedensten Drucken gestattet, weil die Bewegung der Electroden ohne die nie dichtschliessenden Stopfbüchsen geschieht. Der Apparat (Fig. 3) besteht aus einer mit zwei angeblasenen Röhren

2) Moigno, Compt. rend. 80. p. 359, 1850,

<sup>1)</sup> Liveing u. Dewar, Proc. of the Lond, Roy, Soc. 80. p. 156, 1890

recehenen Kugel; jede der Röhren trägt noch ein seitliches Roar, von denen das eine mit einer Bessel-Hagen'schen Luftpumpe, das andere mit dem Gasentwickelungsapparat communicit. Die Enden der Röhren tragen Schliffstücke, in welche die Electroden eingesetzt sind, und einfach durch Diehen der Schliffe können die Electroden zum Contact gebracht und zur Herstellung des Bogens voneinander entfernt werden.

Wollte ich dagegen mit grösserer Bogenlänge arbeiten. war diese Versuchsanordnung nicht zu gebrauchen. Ich beautzte dann eine andere Vorrichtung, die Fig. 4 in einschen Umrissen darstellen möge. An den mittleren kugel-Ormigen Theil a von etwa 9 cm Durchmesser war eine 1 cm onte Röhre & von 80 cm Länge angehlusen, die durch einen Kaut-chukschlauch mit einer zweiten b' von denselben Dipensionen communicirte. Seitlich war die kurze Röhre c ut der Quecksilberluftpumpe verbunden. Oben war endlich en kurzes ebenfalls 1 cm weites Rohr d aufgeblasen von 10 cm Länge, auf das ein weites Rohr e aufgesetzt war, von velchem endlich ein Rohr f von 80 cm Länge nach unten führte und mit einem anderen q durch einen Schlauch verbunden war. In das Rohr d wurde die eine der beiden Electroden - der Apparat wurde pur mit Kohlenlicht beautzt - eingesetzt, sodass ihr Ende in den Mittelpunkt des kugelförmigen Theiles reichte, und in ihrer Lage durch 4 Kupferstäbe erhalten, welche an einen Kupferring angelöthet waren, der fest an die Kohle angeklemmt war. Sodann wurde die weite Röhre e oben abgeschmolzen. Die Zuführung des Stromes zur oberen Kohle geschah durch Quecksilber, dass das Röhrensystem f. q und den Zwischenraum zwischen c und d ausfüllte und die 4 Kupferdrähte umspulte. Die untere Kohle schwamm im Rohr & auf Quecksilber, sodass einfach durch Heben oder Senken von b' die Distanz der Kohlen sich variiren liess.

Besonders wichtig schien es mir, mit diesem Apparat die Behauptung Grove's zu controliren, dass im Vacuum beide Kohlen entweder keine oder doch nur eine sehr geringe Temperaturdifferenz besitzen. Es wurde zu dem Zwecke

mehrmals sorgialtig getrocknete Luft in den Apparat emgeführt und mit der Luftpumpe auf weniger als 1 10 mm Druck evacuirt, Sobald dann der Strom der Gramme'schen Maschine das Bogenlicht erzeugt hatte, trat eine starke Drucksteigerung ein durch Entwickelung von Gasen an den glühenden Kohlen. Infolge dessen sank das Niveau des Quecksilbers im communicirenden Röhrensystem b b. und der Abstand beider Electroden nahm beträchtlich zu. of: bis zu 2 cm. ohne dass der Bogon erlosch. Im Gegentheil war das Licht ausserordentlich stetig. Die Temperatur der Kohlen war dann nur wenig, aber doch mit Sicherheit erkennbar, verschieden, und bei der Unterbrechung des Stromes erlosch die Kuthode etwas früher als die Anode. Wurde das Bogenlicht mehrmals wieder hergestellt. - pachdem jedesmal soweit als moglich evacuirt war - so nahm allmählich die Gasentwickelung ab, und als schlieselich eine Druckvermehrung kaum mehr zu constatiren war, verschwand gleichzeitig die Temperaturdifferenz der Kohlen. Da jedoch durch das langsame Zerstäubtwerden der Electroden immer neue Theile derselben in Glübbitze versetzt werden, jat es mir nicht gelungen. Drucke unter 1 bis 2 mm zu erreichen, sodass es unentschieden bleiben muss, ob nicht bei noch geringeren Drucken die Kathode sogar stärker glüht als die Anode.

In den gewöhnlichen Formen der Glimmentladung ist stets diese Erscheinung zu beobachten; die Kathode erscheint häufig roth- oder gar weissglühend, während die Anode dunkel ist. Dass jedoch auch Fälle der Glimmentladung existiren, bei denen die Temperatur der Anode höher ist, als die der Kathode, geht aus den bereits im ersten Paragraphen besprochenen Versuchen von Hittorf<sup>1</sup>) hervor.

§ 3. Das Spectrum des Bogens und der Kohlen.— Betrachtet man das Spectrum des Bogenlichtes, wie es in atmosphärischer Luft von gewöhnlichem Drucke sich bildet, so erscheint es continuirlich, nur selten sieht man einige Metalllinien auftreten. Im Moment aber, wo der Strom

<sup>1)</sup> Hittorf, Wied. Ann. 21. p. 112, 1884.

unterbrochen wird, blitzt eine sehr grosse Anzahl heller lamen auf, die ihren Ursprung in den mineralischen Beinengungen der Kohlen haben. Bequemer gelingen spectrale Beobachtungen des Kohlenlichts, wenn man im Vacuum mit verhältnissmässig schwachem Strome operirt; man hat dann siamal den Vortheil, dass der Abstand der Kohlen bis auf iem vergrössert werden kann, ohne dass der Bogen erlischt, und dass man infolge dessen das Spectrum von Kathode, Anode und Bogen leicht trennen kann. Vor allem aber hört dann das ausserordentlich intensive continuirliche Spectrum ver im Bogen auf hoher Weissgluth befindlichen Kohlentheilmen auf, die hellen Linien der im Bogen vorhandenen Metalldämpse zu verdecken.

Stets war man der Ansicht gewesen, dass die Gasatmosphare, in der man das Bogenlicht erzeugte, ohne Einfluss sul das Spectrum des Bogens sei; erst Liveing und Dewar! saten im Bogen einer Wechselstrommaschine von de Meritens in Wasserstoff die Linien Cund F. bei einer Siemens'wien Maschine mit gleichgerichteten Strömen dagegen die Line C nur im Moment der Stromesunterbrechung, die Flime auch dann nicht deutlich. Der Grund dieses Verbiltens liegt allein in der übergrossen Helligkeit des conhaurlichen Spectrums der weissglübenden Kohlentheilchen. denn bei meinen Versuchen im Vacuum waren die Wusserstofflinien sowohl wie die Metalilinien ausserordentlich scharf vom bellen Hintergrund des Bogons abgehoben, ganz unabhängig davon, ob der Apparat vorher mit Wasserstoff gefüllt war oder nur mit trockener Luft. Beobachtete man dagegen das von den Electroden selbst ausgesandte Licht, so war je nach den Umständen die Erscheinung eine wesentlich andere; ich möchte mit wenigen Worten den Vorgang zu schildern versuchen. Waren die Kohlen schon einige Zeit in Gebrauch, sodass die aus ihnen durch die hohe Temperatur freiwerdenden geringen Gasmengen den Druck nicht mehr schnell anderten, wurde von sinem Gehülfen das Bild des Lichtbogens auf dem Spalt des Collimators des Spectroskops mit Hülfe einer achromatischen

<sup>1)</sup> Liveing a. Dewar, Proc. of the Lond Roy. Soc. 35, p. 75, 1883.

Linse entworfen und in wechselnder Reihenfolge durch eine geeignete Blende nur Licht von der oberen oder unteren Kohle ins Spectroskop gelassen. War der benutzte Strom schwach, so war das Spectrum der Kohlen lichtschwach und zeigte zuerst keine hellen Linien; nach kurzer Zeit jedoch waren die Wasserstofflinien, wie auch eine Menge Metalilinien, bald an der einen, bald an der anderen Kohle scharf sichtbar. Der Grund für diese plötzlichen Aenderungen wird wohl zum Theil darin zu suchen sein, dass der Bogen nicht gleichförmig um beide Kohlen herum brennt, sodass die dem Collimator zugewandten Theile der Kohlenspitzen bald intensiv glühen, bald nur schwach leuchten. Ist der Strom stark, so ist das Spectrum der Kohlen ein continuirliches.

Aus den angeführten Beobachtungen geht also hervor, dass an beiden Kohlen Wasserstoff frei wird: wir erhalten damit eine Bestätigung dafür, dass die zur electrischen Beleuchtung verwendeten Kohlen stets Kohlenwasserstoffe enthalten, die durch die hohe Temperatur des Bogens wenigstens partiell zersetzt werden. Ich möchte dabei an die Untersuchungen von Dewar') erinnern, nach welchen es überhaupt unmöglich ist, Kohlen von ihren Wasserstoffverbindungen zu befreien, selbst nicht durch tagelanges Glühen im Chlorstrome. Welche Zusammensetzung diese Verbindungen haben mögen, welche Veränderungen sie bei den hohen Temperaturen des Lichtbogens erleiden, ist allerdinge noch gänzlich unbekannt; einzig sicher ist wohl die von Berthelot nachgewiesene Bildung von Acetylen im Bogenlicht in einem Wasserstoffstrome. Ob man es aber in diesem Falle wirklich mit einer Synthese von Kohlenstoff und Wasserstoff zu C.H. zu thun hat, ob sich nicht auch im Vacuum Acetvlen bildet, man also cher an eine partielle Zersetzung der in den Kohlen vorhandenen Kohlenwasserstoffe zu denken hat. scheint mir noch nicht erledigt.

§ 4. Die Zerstäubung der Electroden. — Unter den üblichen Versuchsbedingungen beschränkt sich bei der Glimmentladung der Process der Zerstäubung auf die

<sup>1)</sup> Dewar, Proc. of the Lond. Roy. Soc. 30, p. 87, 1880,

asthode; soweit diese reicht, ist die Glaswand des Vacuummares mit einem ausserordentlich dünnen spiegelnden Bechag bedeckt, der namentlich bei Anwendung dünner Platintribte sich rasch bildet. Die Oberfläche der Electrode ist ach einigem Gebrauch in feine Spitzen und Haare aufgeschert, wie man es besonders deutlich bei dem schwer flüchbeem Aluminium beobachtet. Als aber Hittorf die Ströme giper Butterie ohne eingeschultete Widerstünde durch ein mit Stickstoff oder Wasserstoff von etwa 50 mm Druck gefuntes Vacuumrohr schickte, wurden beide Iridiumelectroden reissglühend, ja begannen zu schmelzen, und gleichsting verschwand das Glimmlicht auf der Kathode und mit inn der Metallabsatz. Danach scheint es mir nothwendig. en in normalen Fallen gehildeten Metallspiegel nicht einer surch die hohe Temperatur des Glimmlichtes bedingten obersichlichen Verdampfung zuzuschreiben, sondern einer bewageren Einwirkung des Glimmlichtes. Für eine solche pacht auch eine Beobachtung von Dewar, dass ein bei Magnesiumelectroden gebildeter Metallbeschlag einige Zeit nach der Stromunterbrechung wieder verschwunden var: vielleicht besitzen die Gastheilchen, während sie die bammentladung leiten, grossere Affinitäten und bilden Verbudongen mit dem Metall der Kathode, die unter Umstanallmahlich von der Electrode resorbirt werden können. Achaliches fanden Warren de la Rue und H. Müller Palladiumelectroden in Wasserstoffröhren. Unter den Versuchsbedingungen dagegen, wo beide Electroden auf intenwe Weissgluth und sogar bis zur Schmelztemperatur erhitzt vergen, senden beide Metalldämpfe aus, wie es in grösserem Culange ber Bogunlicht zwischen Metallelectroden suitritt.

Dass für diese letztere Entladungsart die Verdampfung im Electroden sowohl in Luft, wie auch anderen Gasen und 2 leeren Raume eintritt, ist schon lange bekannt. Die sobe Temperatur der Electroden ist die Hauptursache ihrer Abnutzung, und nur in zweiter Linie wird durch die Verbrenungsprocesse der Verbrauch grösser. In Luft wird zielge ihrer höheren Temperatur die Anode schneller auf-

gebraucht, als die Kathode, und ferner werden die Electroden um so schneller zerstäubt, je leichter sie verdampfbar sind.

Etwas complicater ist der Vorgang bei Kohlenlicht. Bei sehr kräftigen Strömen (400-500) Buns en 'sche Elemente) wird nach Despretz') der Kohlenstoff der Electroden in Dampf verwandelt, an der Oberfläche der Kohlen sieht man einzelne zusammengeschmolzene rundliche Körner. Bei schwacheren Strömen, wie man sie gegenwärtig zur electrischen Beleuchtung benutzt, kann von einer Verdampfung der Electroden keine Rede sein. Wie schon bemerkt, enthalten alle derartigen Kohlen Kohlenwasserstoffe; bei der hohen Temperatur werden diese zersetzt und lassen die Electrode als poroses Kohlenstoffgefüge zurück, das alimählich abgebrückeit wird. In meinem Fig. 4 abgebildeten Apparat fand ich dem entenrechend zahlreiche grössere Kohlentheilchen in den feinen Beschlag der Glaswände eingebettet, der sich in Salpetersäure leicht löst und daher nicht aus reinem Kohlenstoff, sondern Verbindungen desselben bestehen muss.

Da ferner im Vacuum keine Temperaturverschiedenheit zwischen beiden Electroden mehr zu constatiren war, wird dann auch der Verlust an beiden gleich sein, natürlich abgesehen von Ungleichheiten in der Porosität und Zusammennetzung der Kohlen.

Fassen wir die bisher erhaltenen Resultate noch einmal kurz zusammen: Es gibt kein unbedingt sicheres Kennzeichen dafur, ob man eine gegebene Entladung als Glimmentladung oder Bogenentladung anzusehen hat, sondern is existirt zwischen den so sehr verschiedenen typischen Fällen beider Formen ein stetiger Uebergang

Ehe ich zu den mit dem ersten Theile innig verwachsenen Betrachtungen des zweiten übergebe, mochte ich in § 5 eine Beobachtung mittheilen, die mir nicht ohne Interesse erscheint.

§ 5. Ueber Aenderungen des Druckes im Bogenlicht. — Nach Warren de la Rue und H. Müller<sup>2</sup>) soll bei Stromesschluss im Bogenlicht eine Druckvermehrung ein-

<sup>1)</sup> Despretz, Compt. rend. 28, p. 757, 1849, 29, p. 48, u. 709, 1849

<sup>2)</sup> Warren de la Rue u. Il Müller, Phil Traus 171, p. 65, 1979. Proc. of the Lond. Roy. Soc. 29, p. 286, 1879.

teten, die unmittelbar mit der Stromesunterbrechung wieder eschwindet. Nach ihren Angaben belief sich die Druck-Regerung bei einem ursprünglichen Drucke von 11, bis 28 mm auf 25 bis 50 Proc. Indessen waren Zweifel an der Enstenz der Erscheinung berechtigt, da die Versuchel, es kaum für möglich erscheinen lassen, dass die Verfasser mit sormalem Bogenlicht operirt haben. Durch Zufall habe uh indessen Golegenheit gehabt, ein Phänomen zu beobachten. das mir in der That dafür zu sprechen scheint, dass die Entsing eine momentane Drucksteigerung hervorruft. Ich lutte in den Fig. 4 dargestellten Apparat Wasserstoff einresitet, sodass der Druck sich auf etwa 50 mm behef: sobild ich dann durch Heben des Quecksilbers Contact zwischen besten Kohlen hergestellt hatte, bildete sich der Bogen, das Quecksilberniveau sank und mit ihm die untere Kohle, bis de lange des Bogens 3 cm betrug. Fig. 5 môge bei dieser Länge das Aussehen des Bogons andeuten. Der Kern dessteben ist von einer helmförmigen, stark leuchtenden Hülle ungeben, um welche sich wieder eine lichtschwächere Schicht ngert. Da plötzlich ging die untere Kohle wieder in die Höhe bis zum Contact mit der oberen, und das Spiel begann 100 neuem. Während einer Minute wiederholte sich die Erschenung etwa 50 mal. Offenbar war eine Druckzunahme sagetreten, die den Abstand der Kohlen derartig vergrösstete, dass der Bogen erlosch; sofort aber ging der Druck auf seine frühere Grosse zurück, die Kohlen kamen zur Berthrung etc. Sehr gut würde sich diese Erscheinung aus der Hypothese von A. Schuster<sup>2</sup>) erklären, wonach der lorgang der Electricitätsleitung in Gasen dadurch zu Stande kommen soll, dass die Molecüle dissociirt werden, dass aber, sobald der electrische Strom unterbrochen wird, der alte Zu-Mund des Gases sich wieder herstellt.

#### II. Theil.

Das Endresultat des ersten Theiles unserer Untersuchung unt, dass Bogenentladung und Glimmentladung nicht scharf 1.8 Goldstein's Kritik in den Fortschritten der Physik im Jahre 1880, p. 858.

2 Schuster, Proc of the Lond Roy, Soc 37, p. 317, 1854.

unterschieden werden dürfen, dass insbesondere auch der im allgemeinen ausserordentlich grosse Unterschied im Widerstand der Gasstrecke nicht immer vorhanden ist. Ich möchte in diesem zweiten Thetle den Verauch machen, zu zeigen, wodurch die verschiedene Grösse des Widerstandes bedingt ist, und dass dieselbe Ursache im Spiele ist in allen Fällen der Gasentladung, in welchem der Widerstand des Gases klein ist. Ich halte es für das Zweckmässigste, wenn ich gleich von vornherein meine Ansicht darlege und sie sedann in den einzelnen Fällen (§ 6-11) als richtig nachweise.

Sobald bei einer Gasentludung der Widerstand des Gases gering ist, sind heisse Metalldämpfe zugegen, die die Leitung übernehmen.

§ 6. Zunächst möchte ich an einige Versuche erinnern, welche zeigen, dass glühende Metalldämpfe unvergleichlich besser leiten als Stickstoff, Wasserstoff oder Luft.

De la Rive') benutzte zu dem Zwecke ein kugelförmiges Gefäss mit vier Tubulaturen; zwei einander gegenüberliegende dienten als Electroden einer Inductionsrolle, die beiden anderen zur Erzeugung von Bogenlicht; der Druck des Stickstoffes betrug 2—3 mm. Zunächst wurde durch ein in den Stromkreis des Inductionsstromes eingeschaltetes Galvanometer die Stromstärke gemessen, ohne dass der Voltasche Bogen hergestellt war. Sodann wurde das Bogenlicht hervorgerufen und die neue Stromstärke abgelesen.

Es ergab sich dann ein starkes Anwachsen des Leitungsvermögens, als der Bogen zwischen Silber- und Kupferelectroden überging; weniger gross war die Aenderung bei Aluminiumelectroden, am schwächsten bei Zink-, Cadmium-, Magnesiumpolen. Besonders merklich war die Zunahme des Leitungsvermögens bei Kohlenlicht. Dagegen ergaben Eisen und Platinelectroden keine merkliche Aenderung, woraus hervorgeht, dass die Zunahme des Leitungsvermögens in den übrigen Fällen nicht von der höheren Temperatur des Stick-

<sup>1</sup> de la Rive, Phil. Mag. (4) 29. p. 553, 1865; Compt. rend. 60. p. 1062, 1865.

where unguestig und gestattet keinen Schluss auf das wahre Leitungsvermögen der verschiedenen Metalidämpfe, weil, wie flittorf's Arbeiten zur Genüge gezeigt haben, der Hauptmerstand der Glimmentladung in der Umgebung der Kabode sich befindet, und bei der grossen Entfernung der Electroden in de la Rive's Versuch die Bildung von Metalidämpfen ausschliesslich im Bereich des positiven Buchellichtes geschieht. Ausserdem ist zu bedenken, dass bei verruger Versuchsanordnung es nicht allein darauf ankommt, mit für Metalidämpfe zugegen sind, sondern zweifellos auch ihre Menge, dass ein leichter flüchtiges Metall daher eine seit bessere Leitung erzeugen kunn, als ein weniger flüchtiges, obgleich das wahre Leitungsvermögen im ersten Falle weit schlechter sein kann als im zweiten.

Als zweiten Beleg für das relativ gute Leitungsvermögen sser Metalldämpfe möchte ich einige Beobachtungen von Hittorf', anführen. "Bei den Temperaturen unserer Flammen, für welche die Gase derselben einen so bedeutenden electrischen Widerstand besitzen, haben andere Dampfe ein del grosseres Leitungsvermögen. Von allen Gasen leitet am bisten der Dampf des Kaliums. Nach demselben folgt das Natroum. Die übrigen Metalle, soweit sie hier flüchtig sind, Terändern im gasförmigen Zustande wenig die Ablenkung." An einer anderen Stelle zeigte Hittorf, dass in der nichtleachtenden Bunsen'schen Flamme Quecksilberdampf weit chlechter leitet als Kahumdampf. Dass im Bunsen'schen Brenner die meisten Metalle noch keine merkliche Aenderung des Widerstandes hervorrusen, hat wohl den Grund, dass diese Temperatur zu reichlicher Dampfentwickelung nicht renugt.

Nach diesen Vorbemerkungen will ich nun dazu übergehen, in den einzelnen Fällen, wo Gasstrecken relativ gefingen Widerstand besitzen, das Vorhandensein glühender Metalldampfe und ihren Einfluss nachzuweisen.

§ 7. Was zunächst das Bogenlicht bei Metallelectroden anlangt, ist es allgemein bekannt, dass die Farbe des Lichtes

<sup>1)</sup> Hittorf, Pogg Ann 136, p. 229 1569.

dass im Spectrum des Bogens die betreffenden Metallimen sehr scharf hervortreten. Nach Casselmann') ist der Lichtbogen für verschiedene Metalle verschieden lang, und zwar soll er um so grösser sein, je leichter dieselben verdampfen. In folgende Reihe ordnete er die Metalle an: Ka. Na. Za. Hg. Fe, Sn. Pb. Sb, Bi, Cu, Ag, Au, Pt. sodass Kalium den grössten. Platin den kleinsten Bogen liefert. Wie schonbemerkt, kommen wesentlich zwei Factoren in Betracht, das wahre Leitungsvermögen der Dämpfe und die Menge, in der sie gebildet werden; da ferner das Leitungsvermögen in hohem Maasse von der Temperatur abhängt, ist es nicht zu verwundern, dass die Versuche Hittorf's in der Bunsenflamme und Casselmann's im Bogenlicht verschiedene Resultate ergeben haben.

§ 8. Weniger leicht zu übersehen sind die Verhältnisse im electrischen Kohlenlicht. Dass auch hier Metalldämpfedie man in den Bogen bringt, die Leitungsfähigkeit erhöhen ist nach Obigem selbstverständlich, und brauche ich wohlblos auf einige Angaben von Casselmann zu verweisen. Danach erhält man einen grösseren Lichtbogen zwischen Kohlen, die mit Metallsalzen getränkt sind, als zwischen den Kohlen, wie man sie im Handel bezieht.

Dass aber auch in den Kohlen, wie sie jetzt in so grosser Zahl für electrische Bogenlichter benutzt werden, Metallversbindungen in reichlichem Maasse vorhanden sind, lässt sich mit geringer Mühe zeigen. Wie allgemein bekannt, zeigen sich im Spectrum des Kohlenhogens eine Menge heller Liniendie besonders deutlich werden im Moment der Stromesunterbrechung, wo das continuirliche Spectrum der weissglühenden Kohlentheilchen verblasst. Besonders deutlich ist die Natriumlinie; ausserdem beobachtet man stets Linien von Calcium, Eisen und Magnesium. Das Ergebniss ist stets das gleiche, aus welcher Fabrik auch die Kohlen bezogen sind, und bietet es vielleicht einiges Interesse, damit die verschiedenen Ansichten über die Herstellung guter Kohlen zusam-

<sup>1)</sup> Casselmann, Pogg. Ann. 68. p. 576. 1944.

measustellen. Nach Carré<sup>3</sup>) werden gute Kohlen dadurch ewonnen, dass man Kienruss und gepulverte Steinkohle ung gemischt comprimirt und stark glüht nach einem Zustz von Eisen, Antimon oder Zinn, oder dass man die Kohlen längere Zeit in Metallsalzlösungen kocht. Aehnlich ierfahren Archereau und Gauduin. Ganz entgegengesetzt urtährt Jacquelain<sup>3</sup>), indem er alle Mineralbestandtheile der Kohlen durch Glühen in einem Chlorstrome, durch Bewandlung mit geschmolzener Potasche oder durch Eintauchen Eiluorwasserstoffsäure zu entfernen sucht. Wie jodoch Liveing und Dewar<sup>3</sup>, gezeigt haben, gelingt es nach diesen Methoden durchaus nicht, Eisen, Magnesium, Natrium und Calcium völlig zu entfernen.

§ 9. Während electrische Entladungen in Lust, Wasserstoff, Stickstoff, Kohlensaure grosse electromotorische Kräste
enordern, weil sie einen sehr hohen Widerstand zu übermoien haben, gelingt es bei Gegenwart der gutleitenden
M-talldämpse mit verhältnissmässig wenig Elementen sogar
Bosenentladung zu erreichen. So erhielt Hittors') bei
('jhadern von Retortenkohle, deren Endon in einem Abstande von 3-4 mm in eine Bunsen'sche Flamme mit
Kammsalzperle tauchten. Bogenlicht mit 80 seiner Elemente,
ihne dass es nöthig war, vorher Contact zwischen den Kohlen
bertustellen. Dabei war es ganz unwesentlich, ob beide
spitten oder nur die Kathode sich im Kaliumdamps besand,
weil wie bei der Glimmentladung in verdünnten Gasen auch
a sen reinen Plammengasen die Umgebung der Kathode
met weit grösseren Widerstand darbietet.

Perner beobachtete Gassiot bei Anwendung einer Säule 100 Grove'schen Elementen beim Stromschluss, dass 100 het die Entladung zwischen Coaks- oder Metalikugeln incontinuirlich war, sehr schnell aber in die continuirliche

<sup>1</sup> Carré, Compt. rend 84, p 346, 1877.

<sup>2</sup> Jacquelain, Compt. rend. 84, p. 873, 1882.

<sup>3</sup> Liveing und Dewnr, Proc. of the Lond Roy. Soc. 30, p. 155, 1860 33, p. 406 1882.

t Hattorf, Pogg. Ann. Jubelband. p. 440 u. f. 1874.

Bogenentladung überging, jedenfalls, weil durch den überspringenden Funken Metalldampf sich gebildet hatte, welcher durch seinen geringen Widerstand einen stetigen Stron von grosser Intensität entstehen liess.

Bekannt ist endlich der Kunstgriff von Herschel, die Bogenentladung, statt durch Berührung der Electroden, durch einen Funken einzuleiten, den man zwischen ihnen überspringen lässt.

§ 10. Schon an einer früheren Stelle habe ich Veranlassung gehabt, Beobachtungen von Hittorf' anzufthren, nach welchen er in Stickstoff von 53 mm Druck mit seiner Batterie von 1600 Elementen Strome von bedeutender Grösse erhalten hatte. Es war die beträchtliche Abnahme des Widerstandes der Gasstrecke, wie ich schon hervorhob, von intensiver Weissgluth der Electroden begleitet, sodass mas wohl auch hier die reichliche Bildung von Metalldämpfen als die Ursache der Erscheinung ansehen kann. Noch viel deutlicher zeigt sich der Einfluss der Weissgluth der Electroden in spateren Versuchen von Hittori' und Geldstein"), welche bei sehr geringem Gasdruck angestellt sind Jene älteren Beobachtungen zeigen nämlich die Widerstandiabnahme nicht so eclatant, weil allerdings durch den gebildeten Metalldampf der Widerstand an der Kathode ausserordentlich verringert wird, durch den höheren Gasdruck abet. der Widerstand des positiven Lichtes wächst.

Erwärmt man aber in stark verdünnten Gasen die Kathode durch geeignete Mittel bis zur Verdampfung, so wird
man selbst mit geringen electromotorischen Kräften relativ
grosse Stromstärken erzielen. In der That haben Hittori
und Goldstein diese Erscheinungen beobachtet; von ihren
Resultaten will ich nur das eine anführen, dass bei einem
Electrodenabstand von 6 cm ein kleines Element bei möglichst
weit getriebener Verdünnung und starkem Weissglühen der
Kathode einen stetigen Strom lieferte.

<sup>1)</sup> Hittorf, Wied. Ann. 21, p. 111 u.f. 1884.

<sup>2)</sup> Hittorf, Wied Ann. 21, p. 183 a. f. 1884.

<sup>31</sup> Goldstein, Wied. Ann. 24. p. 81 u. f. 1885.

- § 11. Warren de la Rue und H. Müller!) haben in mper umfangreichen Untersuchung zeigen wollen, dass allein durch die Aenderungen der Gasdichte Glimmentladung und Bogenentladung ineinander übergeben. Ich möchte auch bier unter Hinweisung auf die Kritik von Goldstein? nemen Zweisel wiederholen, ob die Versasser thatanchlich Bogenlicht gehabt haben; es ist ihre Behauptung auch in directem Widerspruch mit der schop vorher erörterten Beobschung Gassiot's über den Uebergang der Glimmentladung te die Bogenentladung bei ungeändertem Drucke. Auch nuch den vorstehenden Entwickelungen ist der Druck von wenig Belang, sondern es kommt vor allem darauf an, eb glühende Metalidämpfe den Raum zwischen den Electroden erfüllen oder gewöhnliche Gase. Ich habe ferner bei meinen Versachen Gelegenheit gehabt, den Uebergang einer Bogenentbidning in eine Glimmentladung zu beobachten, der sich lescht aus demselben Princip erklärt. Verlängerte ich nämlich bei einem Drucke von 10 mm den Bogen in dem Fig. 4 gezeichneten Apparat, bis der Widerstand sich bis zum Erlöschen desselben steigerte, so trat unmittelbar vorher an der Anode eine etwa 1 mm dicke, 10 mm lange Schicht blauen Glimmichtes auf, das nach wenigen Secunden mit dem Licht zwischen den Kohlen verschwand. Während also der Widerstand zu gross wurde, als dass die Begenentladung fortbestehen konnte, reichte das Leitungsvermögen der noch gluhenden Metalldampfe noch kurze Zeit hin, einen weit schwächeren Strom unter Glimmlichterscheinung zu ermoglichen.
- § 12. In diesem Schlussparagraphen möchte ich einige Bemerkungen über das Leuchten der Gase und Dämpfe machen, die sich an einige schon mehrmals angeführte Versuche von Hittorf anknüpfen. Kumen bei electrischen Glimmentladungen die Electroden auf intensive Weissgluth, so verschwand jedesmal das blaue Glimmlicht. Aus diesen,

t) Warren de la Ruc und H. Müller, Phil. Trans. 171. p. 65.

<sup>2)</sup> Goldstein, Fortschritte der Physik im Jahre 1880, p. 858

sowie früheren Beobachtungen von Hittorfi und W. Sit mens2) über das Leuchten der Flammen, ergibt sich, de bis zur Temperatur des schmelzenden fridiums Gase kei merkliches Emissionsvermögen besitzen, wenn sie nicht chemischen Processen oder electrischen Entladunge begriffen sind. Das Aufhören des Leuchtens bei Weissglut der Electroden kann man vielleicht dadurch erklären, da die beissen Metalldämpfe die Leitung übernehmen, und ut ein verschwindender Bruchtheil des Stromes durch den Waserstoff oder Stickstoff geht, der nicht genügt, sie zu Leuchten zu bringen. Die Bedingungen, unter denen Metal dämpfe Licht aussenden, mögen ganz anderer Art sein, a die für die gewöhnlichen Gase gultigen. Dass wenigster Quecksilberdampf in Vacuumröhren, aus denen jede Spa anderer Gase vertrieben ist, wesentlich verschiedene, un zwar einfachere Erscheinungen darbietet, haben die Unter suchungen von Schuster3) gezeigt, wonach die electrisch Entladung dann ohne Glimmlicht, dunklen Raum und Schiel tung geschieht. Ob die Erklärung Schuster's, dass de Grund in der einfacheren Constitution des Quecksilbe dampfes liegt, richtig ist, oder ob nicht Metalldampfe übe haupt diese einfache Entladungsart zeigen, scheint mir ein näheren Untersuchung werth. Da ich selbet bei 3 cm langel Bogen stets eine ungeschichtete, zusammenhängende Lich masse den Zwischenraum zwischen den Electroden ausfüllt sab, scheint mir sogar die zweite Möglichkeit glaubwürdige

Physik. Inst. der Univ. Strassburg i. E.

<sup>1)</sup> Hittorf, Wied. Ann. 7. p. 567-591, 1879.

<sup>2.</sup> W. Siemens, Wied. Ann. 15. p. 311. 153.

<sup>3)</sup> Schuster, Proc. of the Lond. Boy. Soc. 37, p. 317, 1984.

# III. Veber die Gültigkeit des Joule'schen Gesetzes für Electrolyte; von Hans Jahn.

(Mierzu laf. t Fig. 6 u. 7.)

Um bei den durch den galvanischen Strom in einem Esctrolyten hervorgerufenen Wärmeerscheinungen den auf be chemischen Leistungen entfallenden Antheil bestimmen te können, muss man vor allen Dingen die durch die übrigen Arbeitsleistungen des Stromes entwickelten Wärmenengen kennen.

Zwar ist das Joule'sche Gesetz, dessen Gültigkeit für Leiter erster Ordnung keinem Zweifel unterliegt, von Joule wlöst und von E. Becquerel') auch für Leiter zweiter Ordnung als annähernd zutreffend befunden worden. Ebenso haben F. Kohlrausch und W. A. Nippoldt, sowie Cohn, die Gültigkeit des Ohm'schon Gesetzes für Electrolyte bei Ausschluss der Polarisation nachgewiesen, woraus nach den theoretischen Abloitungen von William Thomson und R. Clausius das Joule'sche Gesetz folgt, vorausgesetzt, dass der Strom ausser der L'eherwindung des Leitungswidertsanden keine weitere Arbeit leistet.

Bei vollständigem Ausschluss chemischer Arbeit könnten für etwaige Arbeitsleistungen des Stromes in Electroliten nur noch der Transport der Ionen, sowie der unzersetzten Flüssigkeit in Betracht kommen. Die diesbezüglichen Arbeitsleistungen können aber nach Hittorf und Clausius nur minimale sein, und somit würde die Uebertraung des Joule'schen Gesetzes auf Electrolyte keinem theoretischen Bedenken unterliegen. Nichtsdestowenigerschion et nicht überflüssig, das Gesetz einer neuerlichen experimentellen Prüfung für Electrolyte zu unterziehen, da die von den oben genannten Forschern zu diesem Zweck henutzten Methoden nicht den Grad von Genauigkeit ermöglichen, welcher sich mit den modernen Hülfsmitteln unschwer erzielen lüsst.

Bezüglich der Methode für die Warmebestimmungen

<sup>1)</sup> Wiedemann, Electricität 2. p. 412.

50 H. Jahn.

konnte die Wahl nicht zweiselhaft sein, da das Eiscalorimeter von Bunsen neben der leichten und bequemen Handhabung den Vortheil bietet, dass die Temperatur während des ganzen Versuches nahezu constant bleibt, sodass alle Fehlerquellen eliminirt werden, welche durch die Veränderlichkeit der specifischen Wärme des Wassers, des Widerstandes und der Stromintensität mit der Temperatur bedingt sein können. Für die Bestimmung der electrischen Grössen ferner musste eine Methode gewählt werden, welche genaue und schnelle Messungen gestattete, ohne dass durch Oeffnen des Stromkreises die Vorgänge in demselben irgend welche Veränderung erlitten. Diesen Bedingungen schien eine Methode zu genügen, deren Princip neuerdings vielfach zu Messungen aus Glüh- und Bogenlampen Anwendung gefunden hat.

#### Die Mathode.

In dem nebenstehenden Diagramm bezeichnet I eines Stromkreis, in welchen die Batterie K und der Widerstand:

Fig. 1.

eingeschaltet ist.

Von diesem Stromkreis zweigt sich bei a und b der Stromkreis H ab. Der Widerstand in dem Zweig ab sei r, in dem Zweig  $(a \ c \ b)$  R, während die Stromintensität in dem Zweig  $(a \ K \ b)$  mit J, in dem Zweig ab mit J und in dem Zweig  $(a \ c \ b)$  mit i bezeichnet werden möge. Bedeutet endlich p die electromotorische Kraft der in dem Zweig ab etwa vorhandenen Polarisation, so ist nach dem zweiten Kirchhoff'schen Stromverzweigungsgesetz: p = -Jr + iR oder J'r + p = iR, und für den Fall, dass in dem Zweige

ab keine Polarisation vorhanden ist:

$$J'r = iR$$
.

Das erste Kirchhoff'sche Gesetz ergibt ferner für den Verzweigungspunkt a die Beziehung:

$$J-J-i=o$$

Trägt man nun durch Einschaltung eines hinreichend grossen Widerstandes in die Leitung II dafür Sorge, dass im Vergleich zu Jund J verschwindend klein werde, so ist:

$$J = J$$

and muthin im ersten Falle:

$$Jr + \rho = \epsilon R,$$

an awesten:

$$J_{r}=iR.$$

Die Potentialdisserenz iR lässt sich durch Ablesung mes Galvanometers im Stromkreis II bestimmen, ebenso die Stromintensität J in dem Zweige ab durch Ablesung mes Galvanometers in dem Stromkreis I, sodass also, wenn min von der Polarisation zunächst absieht, sämmtliche sür die vorliegende Untersuchung in Betracht kommenden electrischen Grössen bekannt sind.

Die Anordnung des Apparates as ht das beistehende Diagramm tentandlich.

K bezeichnet die galvanische Battene, ferner seien T und G Galtanemeter, s die Zersetzungszelle oder ein Draht im Eiscalorimeter, s his , Quecksilbernäpfchen, R ein sehr grosser Widerstand und Cl ein Normalelement.

let a mit d, \(\beta\) mit e verbunden, so geht der Hauptstrom durch z und einsehr schwacher Nebenstrom durch det Leitung IL Zum Zweck der Aithung des Galvanometers T löst win die Verbindung der Drähte 1 wi 2 bei a und b und überbrückt ind \(\beta\) durch einen bekannten Wiserstand.

Her der Archung des Galvanometers & wird die Verbindung ad



Fig. 2

und Se aufgehoben, und durch die Verbindung yd einerseits,

52

Als Stromgeber wurden, je nach Bedurinss, ein oder mehrere Bunsen'sche Elemente benutzt.

II. Jahn

Das Eiscalprimeter wurde im wesentlichen in der von Schuller und Wartha, sowie von v. Than vorgeschlagener Anordnung verwendet. Das Calorimeter befand sich in einem mit destillirtem Wasser gefüllten Blechgefäss, un desson Wänden ein Eisevlinder gehildet war, und welches seinerseits in einem geräumigen, mit Pils überzogenen und mit Eis gefüllten Holzhottich stand. Das apontane Abschmelzen des Eises im Calorimeter wurde durch regelmässige Wägungen des eingesaugten Quecksilbers vor dem Schliessen des Stromes und nach dem Warmeausgleich controlirt. Um das Calorimeter unter constantem Druck zu erhalten, war an dem abwarts gerichteten Schenkel der Capillare ein fein zugespitzter Eisenstift befestigt, welcher stets in Contact mit dem Quecksilberniveau in dem Glaseimerchen gehalten wurde. Das letztere befand sich auf einem mittelst einer Schraube leicht auf und ab bewegbaren Stativ. Die zu dem Calorimeter führenden Drähte i und 2 waren, um Wärmeleitungen von Aussen her zu vermeiden, einmal an der inneren Wand des Eisbottichs herumgeführt. Dieselben waren also stets von einer bedeutenden Eismasse umgeben, sodass eine Warmeleitung bis zum Calorimeter hip nicht zu befürchten war. Der Gesammtwiderstand dieser Drahte, auf den ich später poch eineml zurückkommen werde, möge im Folgenden mit o bezeichnet werden.

Bei den Punkten a und b zweigten die Drähte C und D ab, welche zu den Quecksilbernäpschen a und β führten. Diese Drähte waren stark genug gewählt, um, wie durch eigene Versuche erwiesen wurde, ihren Widerstand gegenüber dem des Stromkreises II vernachlässigen zu können.

Der in die Leitung II eingeschaltete Widerstand R bestand aus einem mit nabezu gesättigter Zinksulfatiösung gefülltem Thermometerrohr, in dessen rechtwinking aufwärts gebogene Erweiterungen zwei amalgamirte Zinkstäbchen eintauchten. Die ganze Vorrichtung wurde, um schädliche Temperaturänderungen während der Dauer eines Verauches zu vermeiden, in ein geräumiges, mit Wasser gefülltes Getärs

petaucht. Eine approximative Bestimmung des Widerstandes meer Vorrichtung mit Hülfe der Wheatstone'schen Brücke 1920: 200 000 S.-E.

Für grössere Widerstände im Calorimeter wurde der Widerstand R nach Bedarf auf 400 000 S.-E. erhöht. Dieser Widerstand erfüllte vollkommen den angestrebten Zweck, die Vorgänge in der Leitung I von der Leitung II unabhängig zu machen. Das in die Leitung I eingeschaltete Galvanometer T zeigte keine merkliche Aenderung der Stromintenutät, je nachdem die Leitung II ein- oder ausgeschaltet war.

Das Galvanometer 7 hatte eine kurze, dicke Leitung, die des Galvanometers G dagegen bestand aus langen dünnen Drahtwindungen. Die Dämpfung der beiden Galvanometer war so stark, dass die Magnete nach wenigen Secunden ihre Ruhelagen erreichten. Die Ablesung der Galvanometer geschah mittelst Spiegel und Fernrohr. Um Störungen durch Erschütterungen auszuschliessen, waren die Galvanometer auf in die Mauer eingelassene Marmorsockel gestellt, und war war die Entfernung swischen denselben genügend gross, um, wie durch einige Versuche ermittelt wurde, jeden störenlen Einfluss der beiden Instrumente auf einander unmöglich zu machen. Das Fernrohr, dessen Stativ gleichfalls auf einer soliden Steinunterlage ruhte, war so gestellt, dass sich der Spregel des einen Galvanometers in der Verlängerung seiner Aze befand, der des zweiten dagegen senkrecht darauf. Vor dem Objectiv des Fernrohres besand sich ein Reflexionsprisma, welches die eine Hälfte des Objectives bedeckte, sodass die Bilder der beiden sich rechtwinklig kreuzenden Scalen in dem Gesichtsfeld übereinander erschienen. Auf dem das Fernrohr tragenden Statuy waren zwei Stromwender angebracht, sociass die Ablenkung auf beiden Seiten der Gleichgewichtslage durch Umlegen des Stromes in den Galranometern beobachtet werden konnte. Neben dem einen tromwender besand sich ein Stromunterbrecher, damit ein Beobachter leicht nach dem Schliessen und Oeffnen des Stromes die Galvanometerablesungen ausführen konnte. Die Galvanometer einerseits und das Calorimeter andererseits befanden eich in benachbarten, getrennten Räumen.

121

### Alchung der Apparate

Zur Aichung des Galvanometers G wurde in der oben erläuterten Weise nach Trennung der Leitung I von der Leitung II in die letztere das Normalelement CI eingeschaltet Vorausgesetzt, die Ablenkung des Magnets im Galvanometer G hätte unter dem Einfluss des Normaleiementes & betragen bei dem eigentlichen Versuche dagegen q , so ist:

$$iR:Cl = \operatorname{tg} q:\operatorname{tg} \vartheta_{+}$$
 mathor 
$$iR = Cl \frac{\operatorname{tg} q}{\operatorname{tg} \vartheta_{+}}.$$

在在於公子及 是 明 其 四 二 在 中 日

wenn CI die als bekannt vorausgesetzte, in Volt (Gramm. Centimeter, Secunde) ausgedrückte electromotorische Kraft des Normalelementes, iR, wie aus den Gleichungen (1, und (1, ) ersichtlich ist, die zwischen a und b herrschende Potestialdifferenz bezeichnet.

Als Normalelement wurde ein Clark'sches Elemen benutzt. Die electromotorische Kvast desselben ist durch die Versuche von Lord Rayleigh, sowie von v. Ettingshausen in vollkommen übereinstimmender Weise zu:

1,434, bez. 1,433 Volt

bei 15° bestimmt worden. Prof. v. Ettingshausen hatte die Freundlichkeit, unsere Normalelemente mit den seinigez electrometrisch zu vergleichen. Es ergaben sich für das Verhältniss der electromotorischen Krafte unserer und der Ettingshausen'schen Elemente die Werthe:

	Datur	n		C! E	Datum	C! F
8, .	Januar	1885.		1,0004	7. Januar 1885	1,0000
4.	31	99 .	,	1,0007	B. 11	0,9993
5.	++	ht		0,9998	9. 11 11	0,9393
6.	17	37 4	٠	1,0010	also im Mittel	Stant, I

Es konnte daher für die electromotorische Kraft des Normalelementes unbedenklich der obige Werth angenommen werden.

Angesichts des verhältnissmässig bedeutenden Temperaturcoëfficienten des Clark'schen Elementes war es nöthig, die Temperatur in Rechnung zu ziehen. Durch die Methode de Gegeneinanderschaltens bestimmte ich den Temperaturbeförienten der beiden Normalelemente zwischen 10 und C. zu: 0.053 09 Proc.

Es mag nicht unerwähnt bleiben, dass beim Eintauchen is beiden gegeneinander geschalteten Elemente in dasselbe ad keine merkliche Ablenkung des Galvanometers zu beobitten war, sodass die electromotorische Kraft derselben als beich gross zu betrachten war. Um die Elemente vor allabedeutenden Temperaturschwankungen während der Dauer nes Verauches zu schützen, wurden dieselben in eine kleine, it Baumwolfe ausgepolsterte Kiste gestellt, durch deren schel ein empfindliches Geisaler sches Thermometer gehrt wurde. Um die Elemente schnell ausschalten und geneinander schalten zu können, ohne das Gehäuse zu zuen, war auf dem Deckel desselben ein Umschalter mit becksilbernäpschen angebracht.

Um die Stromintensität in Ampères aus der Ablesung in Galvanometer T zu erhalten, schaltet man anstatt der ersetzungszelle z den bekannten Widerstand N ein und polachtet beide Galvanometer. Dann ist:

$$J N = i'R.$$

Hat man i'R in Volts nach Gl. (2) bestimmt, so ist, ann q den Ablenkungswinkel am Galvanometer T bei dem gentlichen Versuche, q, bei Einschaltung des Widerstan-

$$J_{\text{Amp.}} = \frac{\lg \varphi \cdot R_{\text{Yolt}}}{\lg \varphi_1 \cdot N_{\text{Onm}}}$$

Als Normalwiderstand wurde bei den zunächst zu berechenden Versuchen mit Platindrähten ein mit Guttapercha
zerzogener Kupferdraht benutzt. Derselbe wurde, um seine
emperatur constant zu erhalten, in eine mit Eiswasser geflite Glasschale getaucht. Der Widerstand dieses Drahtes
urde durch Vergleich mit zwei Etalons bestimmt, und zwar
at einem Stopselrheostaten von Siemens und Halske,
elcher nach Versuchen des Hrn. Prof. v. Ettingshausen
i 20° C. richtige Siemenseinheiten enthielt, und einem von
rn. v. Ettingshause nangefertigten und verglichenen
alon. Die Temperatur wurde bei beiden Etalons berück-

sichtigt, und der Widerstand mit Hülfe des von Siemens und Halake angegebenen Temperaturcoëfficienten:

#### 0 000 829

reducirt. Die Bestimmung wurde in der Weise ausgeführt, dass der zu messende Widerstand V und der bekannte Widerstand Q nach Ausschaltung der Zersetzungszelle abwechselnd bei a- \beta eingeschaltet und die Galvanometer T und G abgelesen wurden, bezeichnet:

q d	en	Ablenkungswinkel	im	Galvanometer		
42	68	11	99	Ne	G	d. Widerstandes N
41	19	44	+1	**		bei Einschaltung
$\psi_1$	+-	1+	19	19	G	d. Widerstand 4
50 i	st:	N		QIETIET.		

## Die Beobachtungsresultate waren:

tg q	tg w	tg q <sub>1</sub>	tg w <sub>i</sub>	Q N.B.	N R-E
0,049 427 0,049 548 0,050 255	0,009 067 0,009 113 0,017 495	0,046 08 0,046 673 0,050 555 0,048 688	0,012 084 0,918 270 0,917 936 0,919 654	1,0541 1,9659 0,6997 0,6397	0,721 26 0,725 66 0,722 84 0,724 09
0,047 440	0,016 271	0,047 748 0,048 472	0,018 928 0,017 647	0,6972 0,7968 Mittel	0,721 53 0,719 65 0,722 52

Die vier ersten Beobachtungen sind mit dem Ettingshansen'schen Etalon, die beiden letzten mit dem Siemens'schen Stöpselrheostaten ausgeführt.

Zur Reduction der Siemenseinheiten auf Ohm wurde der auch der oben angeführten Angabe über die electromotorische Kraft des Stromelementes zu Grunde liegende Werth

$$1 \text{ S.-E.} = 0.942 \text{ Ohm}$$

von G. Wiedemann benutzt, mit dem sich die neueste Bestimmung von Wild') in vollkommener Uebereinstimmung findet. Es ergibt sich demgemäss:

<sup>1)</sup> Wild, Wied. Ann. 28. p. 665. 1884.

Zur Bestimmung des Widerstandes e der beiden Zuenungsdrähte 1 und 2 zum Calorimeter wurde eine alsbald alber zu beschreibende Vorrichtung benutzt. Die Beobachtungen ergaben:

24	tg v	tg 93	th At	V Obes	OLEN
-10511 044	0,002 999	0,048 485	0,016 924	0,6906	0.099 33

Der Widerstand der Zuleitung wurde immer rund als  $\rho = 0.1$  Ohm

m Rechnung gebracht.

Als Wärmeeinheit fungirt bei allen folgenden Zahlen die mittlere specifische Wärme des Wassers zwischen 0 und 100° ('., und zwar wurde als Quecksilberwerth der so definitien Calorie der von Bunsen ermittelte Werth:

15.41 mg benutzt.

Versuche mit Leitern erster Ordnung.

Um die bisher erörterte Methode einer Prüfung zu unternschen, wurden einige Versuche mit metallischen Leitern, und war mit Platindrähten ausgeführt.

Es waren bei der Beschaffenheit des Apparates vor ulen Dingen Nebenschlieseungen zu vermeiden, die durch endringende Feuchtigkeit leicht hätten hergestellt werden können, da sich die Vorrichtung in Wasser und die Zuleitung unter Eis befinden musste. Diese Schwierigkeit wurde vollständig durch folgende Einrichtung behoben.

In Fig. 7 bezeichnen AA zwei enge Glasröhrchen, welche durch den doppelt durchbohrten Kautschukstopfen F und den dreifach durchbohrten Kork E geführt waren. Letzterer verschliesst das an beiden Enden offene Glasrohr C. In die beiden Glasröhren AA sind Kupterdrähte von 1 mm Durchmesser eingekittet, deren freie Enden in die Erweiterungen B hineinragen, während die unteren Enden mit den Enden des Platindrahtes D verlöthet sind. Letzterer ist spiralförmig auf das mit paraffinirtem Papier überzogene Glasröhrchen C gewickelt und mit einem parafünirten Papierstreifen bedeckt. Zur vollständigen Isolirung wurde die ganze Vorrichtung in

geschmolzenes Paraffin getaucht, sodass sich eine gleich mässige, nicht zu starke Paraffindecke bildete. Die dritt Bohrung des Korkes E blieb offen, um eine vollkomme freie Circulation des im Calorimeter befindlichen Wasser um die Vorrichtung zu ermöglichen.

Die Erweiterungen B der beiden Glasröhren wurder mit Quecksilber gefüllt, und die Zuleitungsdrähte mittele kleiner Kautschukringe in dieselben eingepresst. Der Stopfei F verschloss das Reagirglas des Calorimeters. Nachdem über die umgebogenen Zuleitungsdrähte das Bechergläschen Gestülpt war, wurde das Ganze mit Eis bedeckt.

Dieselbe Vorrichtung wurde auch benutzt, um der Widerstand der Zuleitungsdrähte zum Calorimeter zu bestimmen. Zu dem Ende hatte man nur das Paraffin von den Löthstellen zwischen Kupfer und Platin zu entfernen, und dieselben in ein in das Calorimeter gestelltes, mit Quecksilber gefülltes Gefäss zu tauchen.

Der Gang eines Versuches war folgender:

Nachdem man sich durch einige Wägungen in regelmässigen Intervallen von 30 Minuten von dem gleichmässigen Abschmelzen des Eises im Calorimeter überzeugt hatte, wurde der Strom auf den Secundenschlag einer gut gehenden Uhr geschlossen, und die Ablenkung der beiden Galvanometer in gleichen Zeitabständen von 5, resp. 10 Minuten ausgeführt Wabrend der Dauer eines Versuches, die je nach den Umständen eine halbe oder ganze Stunde betrug, wurde durch Einschaltung des Normalelementes in der oben beschriebenet Weise die Aichung des Galvanometers G zwei- bis dreims ausgeführt. Die Unterbrechung des Stromes erfolgte mit möglichst grosser Pracision genau nach Ablauf der in Aussicht genommenen Versuchszeit. Zum Schluss wurde det Normalwiderstand nach Ausschaltung des in dem Calorimetes befindlichen Widerstandes eingeschaltet, um die nöthiges Daten für die Bestimmung der Stromintensität und det Widerstandes in absolutem Maasse zu gewinnen.

Die Stromintensität, sowie die electromotorische Kraf blieben bei diesen Versuchen nahezu constant. Die kleines Schwankungen, die hin und wieder eintraten, betrugen nie mehr als 1, bis 1, Proc. des mittleren Werthes.

Um von dem regelmässigen Gang des spontanen Eisschmelzens im Calorimeter ein Bild zu geben, mögen einige mi das Gerathewohl gewählte Beispiele ihren Platz finden. Es betrug die während 30 Minuton eingesaugte Quecksilbernunge:

Datum			Vord Schliessen Nach d Wades Stromes ausgen				
20.	November	1854	0,0184	g	0,0187 g		
22,	.81	**	0,0212	91	0,0219 -		
23,	**	51	0,0235	**	0.0235		
26.	+*	-	0.0250	97	0.0248 11		
28.	Pr Pr	61	0.0234	94	0,0235 "		
Đ.	December	34	0,0243	4-	0.0250 H		

## L den nachfolgenden Tabellen bezeichnet:

y den Ablenkungswinkel im Galvanometer T.

W	15	4+	**	41	G,
42	9.0	**	69	++	T   Sabrend der
$\psi_1$	49	4+	91		G   Normalwider-

Ci die electromotorische Krast des Normalelementes für die beobachtete Temperatur.

9 den Ablenkungswinkel im Galvanometer G während der Einschaltung des Normalelementes.

R die aus der Aichung des Galvanometers G berechaste electromotorische Kraft.

J die Stromintensität,

r den Widerstand des Versuchsobjectes (direct gefundener Widerstand vermindert um  $\rho = 0.1$  Ohm<sub>i</sub>.

G das corrigirte Gewicht des während des Ausgleiches

Wh die G entsprechende Warmemenge.

W die wührend einer Secunde entwickelte Würmemenge.

a die aus dem Joule'schen Gesetz:

$$W_{\rm rec} = \alpha J^2 r$$
.

berechnete Constante.

	Versu	ich I.	Versuchs	dauer 30	Minu	ten.	
ug or	tg y	tg q	tg w	tg 9	C? Volt	i R Volt	J
0,084 292	0,046 749	0,049 208	0,013 092	0,051-65	1,4882	1,8017	0,9175
	Ohm	G Gramm	W <sub>h</sub> Calorien	IF see Calorien	41		1
	1,3167	7,3944	479,85	0,26658	0,2401		
	Versu	ch II.	Versuchs	dauer 30	) Minu	ten.	
tg g	tg w	tg 🕫	ig ψ₁	tg #	Cl Volt	i R Volt	Amp
0,083 087	0,06025	0,046 496	0,016 251	0,067 775	1,4397	1,2798	0,90616
	Ohm	G Gramm	W <sub>b</sub> Calorien	Calorien	12		
	1,3124	7,1691	485,23	0,25846	0,2398	,	
	Versu	ch III.	Versuch	sdauer 3	0 Min	uten.	
tg q	tg ψ	18 m	tg ψ <sub>1</sub>	tg 9	Cl Volt	volt	J Amp.
0,039 919	0,025 908	0,048.551	0,016.825	0,067 350	1,4400	0,6179	7 0,43458
	Ohm	G Gramm	W <sub>h</sub> Calorien	Wase Calorien	eg		
	1,3220	1,6680	108,24	0,060 184	0,2414		
	Vers	uch IV.	Versuc	hadauer	1 Stur	ide.	
tg φ	tg y	tg 🚓	tg ψ <sub>1</sub>	tg 5	C1 Volt	(R Volt	J Amp.
0,040 087	0.020 11	0,048 700	0,016 982	0,087.46	1,4896	0,6212	1-0,48*29
	Olim_	Gramm	H'h Calorien	U nec Calorien	a	1	
	1,3173	3,3528	217,57	0,060 437	0,2388		
	Vers	such V.	Versuc	hsdauer	1 Stun	de.	
tg g	tg y	tg vi	tg $\psi_1$	tg 9	Volt	iR Volt	J
0,042 616	0,030 571	0,052 021	0,017 792	0,066 665	1,4404	0,6588	6-0,4811
	Ohm	G Gramm	R <sub>b</sub> Calorien	Wee Calorien	м		
	1,9275	3,7658	245.89	0,068 287	0,2419		

	Vers	uch VI.	4 05 0 00				
18.4	lg p	tg q <sub>1</sub>	tg ψ <sub>1</sub>	tg &	C1 Volt	, R Voit	J
0,043 582	0.07449	0,050 253	0,017 495		1,4894	1,5951	0,49925
	Ohm	Gramm	H'h Calonen	H'see Calorien	œ		
	8,0949	10,190	661,26	0,18365	0,2851		1
	Verst	ich VII.	Versu	hadauer	1 Stu	nde.	
存在	eti di	tg vi	tg ψ <sub>1</sub>	tg ð	CI Volt	i R Volt	J Amp
0,045 214	0,073 665	0,049 656		0,086.98	1,4896	1,5887	0,49770
	Ohm .	G Gramm	Calorien	H**** Calorien	. a		
	8,0822	10,034	651.14	0,18087	0,2369		
		10,084 ch VIII				ınde.	
18 9						nde.	J Amp
	Versu	ch VIII	Versu	chadauer ek &	1 Ste	volt Volt	
	Versu	ch VIII	Versu	chadauer ek &	1 Ste	volt Volt	
	Versu 16 9 0,040 641	tg v <sub>1</sub>	Versu  8 v.  0,017 406  W <sub>b</sub> Calorien	chadauer ek & 0,087 47	1 Sta Volt 1,6391	volt Volt	
	Versu 0,040 641 Ohm 3,0984	ch VIII  16 41  0,049 666  Gramm	*6 %; 0,017 406  Wh Calorien 169,37	chadauer  tk &  0,087 47  H'acc Calorien  0,21371	1 Sta Ct Volt 1,6391	1 / R Volt 1,7209	
	Versu 0,040 641 Ohm 3,0984	ch VIII  16 91  0,049 866  Gramm  11,857	*6 %; 0,017 406  Wh Calorien 169,37	chadauer  tk &  0,087 47  H'acc Calorien  0,21371	1 Sta Ct Volt 1,6391	1 / R Volt 1,7209	0,58=04
9.045 988 1g. q	Versu  0,090 641  Ohm  3,0984  Vers	ch VIII  tg vi  0,049 666  Gramm  11,887 uch IX.	Versu  We wa  0,017 406  We Calorien  169,37  Versu  We wa	chadauer  tk &  0,087 47  H'oce Catorien 0,21371 chsdauer	1 Stu Ct Volt 1,4381 0,2382 1 Stur Ct Volt	Volt	0,58×04
9.045 988 1g. q	Versu  0,090 641  Ohm  3,0984  Vers	ch VIII  tg vi  0,049 666  Gramm  11,887 uch IX.	Versu  We wa  0,017 406  We Calorien  169,37  Versu  We wa	chadauer  tk &  0,087 47  H'oce Catorien 0,21371 chsdauer	1 Stu Ct Volt 1,4381 0,2382 1 Stur Ct Volt	Volt	0,58×04

Bei dem zuletzt angestihrten Versuch war, um eine Controle sur die richtige Aichung der beiden Galvanometer zu gewinnen, ein Silbervoltameter in den Stromkreis eingeschaltet. Die während einer Stunde ausgeschiedene Silbermenge betrug:

1,9667 g,

mithin die während einer Secunde ausgeschiedene Menge: 0.5468 mg.

Unter Zugrundelegung des von F. und W. Kohlrausch ermittelten Werthes für das electrochemische Aequivalent des Silbers:

1.1183 mg.

berechnet sich mithin die Stromintensität zu:

0,48851 Amp.,

also in sehr befriedigender Uebereinstimmung mit der galvanometrisch ermittelten Strommtensität.

Die Resultate der Versuche sind in folgender Tabelle zusammengestelt,

Stromintensitat in Amp.	Widerstand in Ohm	Warmemerge pro 1 Secunda	$\frac{W}{J^{1}r}$
0,91752	1,3167	0,266 58	0,2401
0,50616	1,8124	0,25x 46	0,2898
0,4/45%	1,3220	0 060 134	0,2414
0,43529	1,3173	0.060.437	0,2858
0.46119 .	1,3275	0,005 257	0,2419
11,499/23	3,0949	15,183,68	0,2381
0,49770	8,0822	0.180 87	0,2569
0.53504	3,6994	0.213 71	0.2982
0,49086	3,0921	0,175 51	0,2400
		Mittel	0,2395

Der Quotient:

$$\frac{W}{\int_{-1}^{1} r} = \alpha$$

ist also in der That, wie das Joule'sche Gesetz verlangt, eine Constante, denn die Abweichungen der obigen Zahlen voneinander, sind wohl in Anbetracht dessen, dass das Endresultat durch die Vereinigung dreier mit unvermeidlichen Versuchssehlern behasteter Daten gewonnen wird, minimale zu nennen. Jedensalls beweisen die Resultate, dass die in Aussicht genommene Methode vollkommen brauchbar ist.

Eine weitere Controle lässt sich auf folgendem Wege gewinnen. Die obige Constante, multiplicirt mit der Intensität der Erdschwere, muss den reciproken Werth des mechanischen Aequivalentes der Wärmeeinheit gehen.<sup>1</sup>)

Nimmt man für die Erdschwere den Werth:

981,1 cm

<sup>1.</sup> Wiedemann, Electr. 2. p. 435.

Resultate für das mechanische Wärmeäquivalent den Werth:
426,56 kgm.

Dieser Werth ist mit den übrigen Bestimmungen des mechaischen Wärmeäquivalentes nicht unmittelbar vergleichbar,
is ihm eine andere Wärmeeinheit zu Grunde liegt. Ich
stzte, wie schon bemerkt, die mittlere specifische Wärme
ise Wassers zwischen 0 und 100° gleich 1, während bei
in übrigen Bestimmungen, namentlich den neuesten von
I. F. Weber die mittlere specifische Wärme des Wassers
inschen 15 und 18° C. als Würmeeinheit fungirt. Nach
in Versuchen von Velten¹) entsprechen der letzteren
Värmeeinheit:

15,616 mg
ingesaugten Quecksilbers, während der von mir augewen-

eten Calorie

15,471 mg

\*\*sprechen. Auf die gewähnliche Calorie hezogen, beträgt

atsprechen. Auf die gewöhnliche Calorie bezogen, beträgt be das Arbeitsäquivalent der Wärmeeinheit nach meinen bestimmungen:

 $426,56 \frac{15,618}{15,471} = 430,56$  kgm.

Beht man von der älteren Angabe von Quintus Icilius b. die, wie H. F. Weber hervorgehoben hat, wegen einer blerhaften Bestimmung des Normalwiderstandes ungenau begefallen ist, so befindet sich der obige Werth in vollbammener Uebereinstimmung mit den von den übrigen Bebachtern ermittelten Werthen.

Joule fand;

429,8 kgm,

d H. F. Weber gibt als Mittelwerth seiner sammtlichen estimmungen; 428,14 kgm

Auch mit dem für ideale Gase berechneten Werthe: 428,95 kgm.

findet sich der obige Werth in befriedigender Ueberein-

Jedenfalls haben die erwähnten Versuche die in Auscht genommene Methode als vollkommen zuverlässig eresen.

<sup>1)</sup> Velten, Wied Ann 21, p 57 1584.

#### Versuche mit Electrolyten.

Dieselbe Methode wurde benutzt, um das Joule'sche Gesetz auch für Electrolyte zu prüfen, und zwar wurde die Untersuchung zunächst auf solche Fälle beschränkt, bei denen die Polarisation thunlichst ausgeschlossen war. Ewurden Lösungen von Kupfer- und von Zinksulfat verwendet, welche zwischen Electroden aus den betreffenden Metallen electrolysirt wurden. Die Electroden bestanden, um alle Zustandverschiedenheiten, die die Ergebnisse der Versuche hätten fraglich erscheinen lassen können, auszuschliessen, aus den electrolytisch abgeschiedenen Metalles. Die Anordnung des Apparates war ganz dieselbe wie bet den früheren Versuchen. Die Zersetzungszelle A (Fig. 6 bestand aus einer dünnwandigen, an dem einen Ende zugeschmolzenen Glasröhre, welche durch einen doppelt durchbohrten Kautschukstopfen verschlossen war. Durch die beiden Bohrungen desselhen wurden die mit Guttapercha überzogenen Zuleitungsdrähte B geführt, deren Enden einerseits mit den Metallplatten C verlöthet waren, andererseits in die Erweiterungen der beiden Glasröhrchen D hinemragten. Diese Erweiterungen waren mit Quecksilher angefullt, und in sie wurden in der schon früher erläutertet Weise die Zuleitungsdrähte eingeführt.

Um den Ausgleich der Concentration zwischen den emzelnen Schichten der electrolysisten Lösung thunlichst zubeschleunigen, wurde die Anode über der Kathode angebracht, sodass die an der ersteren entstehende concentristen Lösung hinabsinken musste. Trotz dieser Vorsicht waren kleine Schwankungen in der Stromintensität nicht zu vermeiden, die bei der ausnahmslos beobachteten relativen Constanz der electromotorischen Kraft auf den Umstand zurückzuführen sind, dass sich Strömungen von verschieden leitenden Lösungen bildeten. Um nun auf möglichst einfache und doch einwurfsfreie Weise die mittlere in der Zeiteinheit geleistete Arbeit bestimmen zu können, wurde für die Berechnung der Versuche folgender Weg eingeschlagen.

Die während des Zeittheilchens de geleistete Arbeit Linn bekanntlich dargestellt werden durch den Ausdruck:

$$dA = V.J.dt.$$

seis l' die electromotorische Kraft. J die Stromintensität beziehnet. Es ist mithin die während der Zeit T geleistete Arbeit:

$$A = \int_{0}^{1} V J dt = V \int_{0}^{1} J dt.$$

de l'. wie schon bemerkt, im wesentlichen constant blieb. En Ausführung der Integration:

$$\int_{0}^{x} J dt$$
.

Litte man eigentlich: J = f(t).

Under Berücksichtigung sämmtlicher Beobachtungsdaten mit Hufe der Methode der kleinsten Quadrate berechnen müssen. Un aber diese langwierige Rechnung zu umgehen, wurde in besagte Integral mit Hulfe der bekannten Simpsonisten Regel bestimmt. Es ist danach angenähert:

$$\int_{0}^{T} J dt = \left\{ \frac{T}{2\pi} \left[ J_{0} + J_{2\pi} + 4(J_{1} + J_{1} + \dots + J_{2\pi-1}) + 2(J_{2} + J_{1} + \dots + J_{2\pi-1}) \right] \right\}$$

to welcher Formel 2n die um 1 verminderte ungerade Antahl der in gleichen Zeitabständen ausgeführten Beobschtungen bezeichnet. Für Jo ist die erste, wenige Secunden nach Schluss des Stromes gemachte Ablesung eingesetzt, was dadurch gerechtfertigt ist, dass infolge der geringen Polarisation die Abnahme der Stromintensität innerhalb der ersten Secunden nach dem Stromschluss eine geringe ist. Die in der Zeiteinheit geleistete mittlere Arbeit ist mithin:

$$A_1 = \prod_{T=0}^{T} J dt = \Gamma J,$$

wenn J die mittlere Stromintensität bezeichnet

In dem gegebenen Falle ist aber:

$$J(r+q)+p=iR$$
, oder:  $Jr+p=iR-Jp$ , within  $dA=JiR-J^2p$ )  $dt$ 

Ann. d. Phys. u. Chem. N. F. XXV

die wahrend des Zeittheilchens de geleistete Arbeit, da:

 $iR - J_{Q}$ 

die Potentialdifferenz zwischen den beiden Electroden is op bezeichnet in diesen Formeln den gesammten Widerstander Drähte 1 und 2. Man erhält demnach für die in des Zeiteinheit geleistete mittlere Arbeit:

$$A_{1} = \frac{1}{T} \int_{0}^{T} JiR dt - \frac{1}{T} \int_{0}^{T} J^{2} \rho dt = \frac{iR}{T} \int_{0}^{T} J dt - \frac{Q}{T} \int_{0}^{T} J^{2} dt$$
$$= JiR - \frac{Q}{T} \int_{0}^{T} J^{2} dt.$$

Die Kleinheit des mit  $\varrho$  multiplicirten Gliedes einerseits, die Geringfügigkeit der Variationen der Stromintensität andererseits gestatten, wie durch eigene Controlrechnungen erhärtet wurde, zur Berechnung der Versuche:

$$A_1 = J/iR - J\varrho)$$

zu setzen, ohne der Genauigkeit der Resultate Abbruch zu thun. Ist nun:

 $\alpha = \frac{W_{\rm ant}}{J\left(i\,R - J_{\varrho}\right)}$ 

constant, so muss auf die Anwendbarkeit des ersten Hauptsatzes der mechanischen Wärmetheorie und die Gultigkeit
des Joule'schen Gesetzes auch in diesem Falle geschlossen
werden. Hierbei ist die Annahme gemacht, dass die gesammte im Electrolyten geleistete Stromarbeit in Wärme
verwandelt wird, also nicht nur J<sup>2</sup>r, sondern auch der auf
die Polarisation entfallende Antheil Jp. Experimentelle Belege
für die Richtigkeit dieser Annahme im vorliegenden Fall sollen
später geliefert werden. Uebrigens kommt für die im Folgenden mitzutheilenden Versuche diese Arbeitsleistung wogen
der Geringfügigkeit der vorhandenen Polarisation nur wenig
in Betracht.

Dor Gang der Versuche war ganz der oben beschriebene, nur wurden die Galvanometer alle 5 Minuten abgelesen, und die Stromintensität in ihrem Mittel durch die soeben besprochene angenäherte Integration erhalten. Uebrigens waren, wie schon bemerkt, die Schwankungen der Stromintensität kene allzu bedeutenden und überschritten in keinem Falle 3-4 Proc. des mittleren Werthes.

In den nachfolgenden Tabellen haben die Bezeichnungen deselbe Bedeutung wie in den früheren. N ist der zur Archung des Galvanometers T benutzte Normalwiderstand. Als solcher wurde der Normalwiderstand von 100 S.-E einer Wheatstone'schen Brücke von Hartmann in Würzburg verwendet. Der Widerstand betrug bei 20° C.

## 99,97 S.-E.

nd hatte einen Temperaturcoëfficienten von 0,05 Proc. endlich bezeichnet die unmittelbar nach dem Ochnen des Stiemes bestimmte electromotorische Kraft der Polarisation.

#### Versuche mit Kupfersulfat.

Die Lösungen von bekannter Concentration wurden, wie schon bemerkt, zwischen Electroden aus electrolytisch niedergeschlagenem Kupfer electrolysist.

#### Versuch I.

Versuchsdauer 1 Stunde. Zusammensetzung der Lösung CuSO, + 200 H,O.

				4			
ft. A	tg w	te q <sub>1</sub>	tg $\psi_1$	tg 3	C! Voit	Volt	J Amp.
4910.25	0,088 577	0,006 856	0,064 866	0,017 328	1,4813	6,9824	0,11171
	$J \cap R = J_Q$	Ohm	Volt	G Gramm	B'a Calor,	West Calor.	rts.
	0,77317	98,654	0,0156	10.224	663,49	0,1843	0,2883
			Versuch	II.			
	Versuch	sdauer 1	Stunde.	Diesel	he Lö	sung.	
tery	tg w	tg q <sub>1</sub>	tg ψ <sub>1</sub>	ig 5	(Y Volt	i R Volt	J Amp.
0,018 744	0,065 807	0,006 812	0,086 003	0,017 819	1,4369	6,8790	0,16594
	JiR Je	V Ohm	Volt	Gramm	Wa Calor.	Galor,	q

0.72761 23.682 0.02618 9.6517 626.33 0.17398 0.2391

Versuch III.

Versuchsdauer	1	Stunde.	Dieselbe	Lösung.
	-			4444

tg or tg op	tg q1	tg w <sub>t</sub>	tg &	CI Volt	Vel.
0,046 119 0,667 53	0,019 718	0,084 545	0,018 121	1,4881	5,8393
$J(iR/J_0)$	N Ohm	Volt	Gramm	Calar,	Free Calor.
0,7263	93,678	0,0189	9,5×86	622,28	0,17294

Versuch IV.

## Versuchsdauer 1 Stunde. Dieselbe Lösung.

tg y tg y	<sup>1</sup> ह का	18 1/1	tg 9	C/ Volt	Volt V
0,045 876 0,067 87	0,019 765	0,069 10	0,018 237	1,4977	5,3505
JiiR Je	Ohm	Vo't	G Gramm	H'h Caior	H sec Calor.
0,71981	93,745	0,0197	9,5111	619,15	0,17198

Für die Versuche III und IV wurde eine neue setzungszelle hergestellt, deren Electroden etwas näht einander gerückt waren, als in der für die Versuche II verwendeten, sodass der Widerstand ein geringerer

Versuch V.

Versuchsdauer 1 Stunde. Zusammensetzung der Lös Cu8O, + 150 H.O.

tg g	tg ψ	tg q t	tg pt	tg 5	Cl Volt	Volt
0,035 104	0,067 285	0,019 578	0,068 718	0,019 285	1,4376	5,2561
	J(iK Je)	N Ohm	Volt	G Gramm	16'h Calor	H'est Calor
	0,63475	98,749	0,0235	11,309	783,41	0,20355

## Versuch VI. Versuchsdauer I Stunde. Dieselbe Lösung.

try	18 4	tg v <sub>t</sub>	tg ψ <sub>t</sub>	tg ir	Ct Volt	Volt	Amp.
351.761	0.066.07	0,019 468	0,067 87	0,018 186	1,4381	5,2246	0,16136
	$J(iR/J_Q)$	V	Volt	Gramm	W <sub>b</sub> Calor.	IF calor.	G
	0,640 44	93,559	0,0124	11,094	719,92	0,1998	0,2377

#### Die Resultate dieser Versuche sind mithin:

Strem- intensität J	Stromarbeit   $J(iR - J\psi)$	Warmeent- wickelung B'	$J(iR-J_{\varrho})$
0.11171	0.77317	0.1843	0.93%3
0,10594	0,72761	0,17395	0,2391
0,13196	0,7203	0,17284	0,2379
0,13456	0,71981	0,17198	0,2359
0.16219	0,85475	0,26385	0,2345
0,16136	0,84044	0,1599	0,2377
		Mittel	0,2884

Diese Werthe, welche sowohl unter sich, als auch mit den früheren für Drähte erhaltenen sehr gut übereinstumen, erweisen die vollständige Gültigkeit des Joule'schen firsetzes für Kupfersulfatlösungen.

Versuche mit Lösungen von Zinksulfat.

Diese Versuche wurden ganz in derselben Weise wie die friheren ausgeführt, nur mussten schwächere Ströme angewendet werden, um das Zusammenwachsen der Electroden uterhindern.

## Versuch I.

Versuchsdauer 1 Stunde. Zusammensetzung der Lösung ZnSO, + 200 H,O.

84	ig p	lg q <sub>1</sub>	tg ψı	fg 9	C! Volt	*R Volt	J Amp.
014 457	0,069 325	0.055 128		0,018 827	1,4376	5,3967	0,050505
	Jak Jo	Ohm	Volt	G Gramm	Wa Calor.	W ree Calor.	4
	0,2723	03,6×2	0,02484	8,5867	232,75	0,064 654	0,2374



H. Jahn.

# Versuch II. Versuchsdauer 1 Stunde. Dieselbe Lösung.

tg φ	tg w	tg q <sub>1</sub>	tg w <sub>1</sub>	tg &	Cl Volt	i R Volt	J Amp.
0,051 488	0,072 061	0,058 020	0,071 998	0,018 958	1,4872	5,4644	0,058 529
	$J(iR \cdot J_Q)$	A Ohm	Volt	Gramm	W <sub>b</sub> Calor.	W <sub>see</sub> Calor.	a
	0,29222	93,71	0,0259	2,8819	187,01	0,069 265	0,2870

#### Versuch III.

# Versuchsdauer 1 Stunde. Zusammensetzung der Lösung ZnSO, + 300 H<sub>2</sub>O.

tg o	tg w	tg qr	tgψι	tg &	Cl Volt	i R Volt	J Amp.
0,085 828	0,069 465	0,055 368	0,069 035	0,018 878	1,4388	5,4888	0,037 852
	J(iR-Jq)	N Ohm	volt Volt	G Gramm	W <sub>h</sub> Calor.	W sec Calor.	a
	0,20299	93,616	0,0244	2,6788	173,51	0,048 198	0,2374

## Versuch IV.

## Versuchsdauer 1 Stunde. Dieselbe Lösung.

<b>t</b> g ም	tg ψ	tg qu	tg ψι	tg &	Cl Volt	i R Volt	J Amp.
0,029 582	0,066 675	0,045 477	0,066 25	0,017 647	1,4891	5,4873	0,097 556
	J(iR J <sub>Q</sub> )	N Ohm	Volt	G Gramm	W <sub>h</sub> Calor.	W <sub>see</sub> Calor.	Ot.
	0,20406	93,597	0,0305	2,6896	174,67	0,048 518	0,2378

## Die Resultate dieser Versuche sind mithin:

Strom- intensität J	Stromarbeit $J(iR-J\varrho)$	Wärmeent- wickelung W	$   \frac{\pi'}{J(iR - J\varrho)} $
0,050 505	0,2723	0,064 654	0,2374
0,053 529	0,29222	0,069 265	0,2370
0.037 952	0,20299	0,048 198	, 0,2374
0,037 556	0,20406	0,048 518	0,2378
•	·	Mittal	0,2374

Auch diese Zahlen stimmen sowohl untereinander, als auch mit den früher erhaltenen genügend überein, um die Gültigkeit des Joule'schen Gesetzes auch für diesen Fall als erwiesen betrachten zu können.

Bemerkenswerth ist übrigens, dass die befriedigende Uebereinstimmung der für die Lösungen von Kupfer- und Zinksulfat erhaltenen Zahlen mit denen, welche die Versuche mit Platindrähten ergaben, den schon eingangs besprochenen Schluss von Hittorf und Clausius bestätigen. dass die bei dem Transport der Ionen und der unzersetzten Lösung geleistete Arbeit eine minimale sein muss.

Vorstehende Untersuchung wurde im chemischen Institut

der hiesigen Universität ausgeführt.

Es sei mir gestattet, Hrn. Prof. v. Pebal für die vielfache Unterstützung, die er mir durch seinen Rath zu Theil werden liess, meinen wärmsten Dank auszusprechen.

Graz, Februar 1885.

## IV. Veber biegsame Stromleiter unter magnetischer Einwirkung; von B. Lamprecht.

Ein Solenoidpol von der Intensität M befinde sich an einer Stelle des Raumes, deren Coordinaten in Bezug auf ein beliebiges rechtwinkliges System a, b, c heissen mögen.

Befindet sich andererseits an der Stelle x, y, z ein Stromelement ds, welches durch einen galvanischen Strom von der Intensität J durchflossen wird und nach den Richtungen der Coordinatenaxen die Projectionen dx, dy, dz besitzt, so sind die Componenten Xds, Yds, Zds derjenigen Kraft, welche der Solenoidpol auf das Element senkrecht zu der durch beide gelegten Ebene ausübt, dargestellt durch:

$$Xds = -AJM^{(c-z)}\frac{dy - (b-y)}{r^2}dz$$

$$Yds = -AJM^{(a-z)}\frac{dz - (c-z)}{r^2}dz$$

$$Zdz = -AJM^{(b-y)}\frac{dz - (a-z)}{r^2}dy$$

Hierin bezeichnet noch r den Abstand zwischen Pund Element; A<sup>2</sup> ist der von der Wuhl der Maasseinheite abhängige constante Factor des Ampère'schen Gesetze statt dessen man 1,2 setzen muss, um letzteres Gesetz in de von Ampère mitgetheilten Fassung zu erhalten.

Das Stromelement möge einem biegsamen, unausdehn baren und schwerelosen linearen Leiter angehören, dessen Endpunkte befestigt sind.

Die Gleichgewichtslage, welche ein biegsamer Faden unter dem Einflusse irgend welcher Kräfte einnimmt, bestimmt sich einerseits durch die Länge des Fadens, andereseits dadurch, dass die auf ein Element in irgend einer Richtung ausgeübte Kraftcomponente durch die Zunahme welche die Componente der Spannung nach jener Richtung erfährt, im Gleichgewichte gehalten wird. Also ist, wenn T die Spannung bedeutet:

(2) 
$$\begin{cases} X + \frac{d}{ds} \left( T \frac{ds}{ds} \right) = 0 \\ \vdots \\ \vdots \\ \vdots \\ \vdots \\ \end{cases}$$

Setzt man hierin:

$$\frac{d}{ds} \left( T \frac{dx}{ds} \right) = \frac{d T dx}{ds ds} + T \frac{d^3 z}{ds^2},$$

multiplicirt man ferner die Gleichungen (2) beziehentlich mid dx, ds, dy, ds, dz ds und addirt sodann unter Berücksicktigung der Relationen:

sowie der aus (1) sich ergebenden:

Die Spannung des Leiters ist längs seiner ganses Ausdehnung constant.

Demzufolge erhalten die Differentialgleichungen (2) die

Potto .

$$T_{ds^{2}}^{d^{2}s} = AJM \frac{(c-z)\frac{dy}{ds} - (b-y)\frac{dz}{ds}}{r^{2}},$$

$$T_{ds^{2}}^{d^{2}y} = AJM \frac{(a-x)\frac{dz}{ds} - (c-z)\frac{dz}{ds}}{r^{2}},$$

$$T_{ds^{2}}^{d^{2}z} = AJM \frac{(b-y)\frac{dz}{ds} - (a-z)\frac{dy}{ds}}{r^{2}}.$$

Wir multipliciren jetzt die zweite Gleichung beiderseits mt c - s, die dritte ebenso mit b - y und subtrahiren dann die dritte von der zweiten:

$$T\left[(c-z)\frac{d^3y}{ds^3} - {}^{t}h - y\right]\frac{d^3z}{ds^3}$$

$$= \frac{dJM}{r^3}\left\{(a-x)\left[(b-y)\frac{dy}{ds} + (c-z)\frac{dz}{ds}\right] - \left[(h-y)^2 + (c-z)^3\right]\frac{dx}{ds}\right\}$$
Num ist:  $r^2 = (a-x)^3 + (b-y)^2 + (c-z)^3$ ,
$$r\frac{dr}{ds} = -(a-x)\frac{dx}{ds} + (b-y)\frac{dy}{ds} - (c-z)\frac{ds}{ds}$$

Die rechte Seite der vorstehenden Gleichung lässt sich daher, nachdem in Minuend und Subtrahend  $(a-x)^2 (dx dx)$  binzugefügt ist, zusammenziehen in:

$$\frac{dJM}{r^{1}}\left\{-\left(a-x\right)r\frac{dr}{ds}-r^{1}\frac{dx}{ds}\right\},$$
ex: 
$$AJM\left\{\left(a-x\right)\frac{d}{ds}\left(\frac{1}{r}\right)+\frac{1}{r}\frac{d}{ds}\left(a-x\right)\right\}.$$

oder:

Jetzt lässt sich die Gleichung integriren:

$$T\left[(c-z)\frac{dy}{ds} - (b-y)\frac{dz}{ds}\right] = AJM\left[\frac{a-x}{r} + A\right].$$
Ebenzo folgt:
$$T\left[(a-z)\frac{dz}{ds} - (c-z)\frac{dz}{ds}\right] = AJM\left[\frac{b-y}{r} + B\right].$$

$$T\left[(b-y)\frac{dx}{ds} - (a-x)\frac{dy}{ds}\right] = AJM\left[\frac{c-z}{r} + F\right].$$

Multiplicirt man beide Seiten dieser Gleichungen beziehentlich mit a-x, b-y und c-z und addırt, so exgibt sich:

(5) 
$$0 = r + A(a - z) + B(b - y) + \Gamma(c - z).$$

Diese Gleichung stellt einen gewöhnlichen Rotationskegel dar.

Die Curve, welche der biegsame Stromleiter unter dem Einflusse des Solenoidpols bildet, liegt auf einem geraden Kreiskegel, dessen Scheitel mit dem Pole zusammenfällt.

Man überzeugt sich leicht, dass die Curve eine kürzeste Linie auf dem Kegel bildet. Schreibt man namlich die Kegelgleichung (5) kurz F=0, so wird:

$$\frac{\partial F}{\partial z} = \frac{\partial r}{\partial z} - A = -\frac{a-z}{r} - A.$$

Aus (3) aber leitet man ab:

$$\begin{split} \frac{d^3y}{dz^3}\frac{dz}{dz} &- \frac{d^3z}{dz^3}\frac{dy}{dz} = \frac{AJM}{Tr^3}\left\{a - x_i\left[\left(\frac{dy}{dz}\right)^3 + \left(\frac{dz}{dz}\right)^3\right] \right. \\ &- \left[\left(b - y\right)\frac{dy}{dz} + \left(c - z\right)\frac{dz}{dz}\right] \cdot \frac{dz}{dz}\right\} \\ &= \frac{AJM}{Tr^3}\left\{\frac{a - x}{r} + \frac{dr}{dz}\frac{dx}{dz}\right\}. \end{split}$$

Diese Ausdrücke nebst den entsprechenden, durch Vertauschung von xyz, abc, ABF zu erhaltenden befriedigen in der That die bekannte Gleichung der kürzesten Linie auf einer Fläche:

$$0 = \frac{\partial F}{\partial z} (d^2y \, dz - d^2z \, dy) + \frac{\partial F}{\partial y} (d^2z \, dz - d^2x \, dz) + \frac{\partial F}{\partial z} (d^2z \, dy + d^2y \, dz).$$

Directen Aufschluss über die Natur unserer Linie erhalten wir durch folgende Betrachtung.

Aus: 
$$\frac{1}{2} \frac{d(r^2)}{ds} = -(n-x) \frac{dx}{ds} - (b-y) \frac{dy}{ds} - (c-z) \frac{dx}{ds}$$

folgt durch nochmalige Differentiation:

$$\frac{1}{2} \frac{d^{3}(p^{3})}{ds^{3}} = \left(\frac{dx}{ds}\right)^{3} + \left(\frac{dy}{ds}\right)^{3} + \left(\frac{dz}{ds}\right)^{3}$$
$$= (a - x) \frac{d^{3}x}{ds^{3}} - (b - y) \frac{d^{3}y}{ds^{3}} - (c - z) \frac{d^{3}z}{ds^{3}}$$

Hierin verschwinden die subtractiven Glieder, wie aus ist ersehen ist. Es bleibt die einfache Differentialgleichung:

$$\frac{1}{2} \frac{d^3(r^3)}{ds^3} = 1,$$

welche zweimalige Integration zulässt:

(i) 
$$\frac{d(r^2)}{ds} = 2s + \gamma,$$

$$r^2 = r^2 + \gamma s + \delta,$$

Man bestimmt die beiden Integrationsconstanten durch Aswendung der Gleichung auf die Endpunkte des biegsamen Leiters, wo s=0 und s=l wird und die Entfernung vom Pole bekannte Werthe  $r_0$  und  $r_1$  annimmt:

$$r_0^2 = \delta$$
,  $r_1^2 = l^2 + \gamma l + r_0^2$ ,  $\gamma = \frac{r_1^2 - r_0^4 - l^4}{l}$ .

Hierdarch wird:

$$(k) r^2 = s^2 - 2 \frac{r_0^3 + l^4 - r_1^3}{2r_4 l} s r_0 + r_0^2.$$

Die Gleichung besagt, dass jeder beliebige Bogen senserer Curve gleich der einen Seite eines ebenen Dreiecks ist, in welchem die Radiivectores vom Solenoidpole nach den Endpunkten des Bogens die beiden anderen Seiten bilden, und in welchem der Winkel zwischen der die Bogenlänge darstellenden Seite und  $r_0$  constant ist, nämlicht gleich dem Winkel, welcher in einem aus  $r_0$ ,  $r_1$  und l gebildeten Dreiecke der Seite  $r_1$  gegenüberliegt; sein Cosinus ist nämlich:  $r_0^n + l^n - r_1^n$ .

Hierin liegt die Eigenschaft der kürzesten Linien auf einem Rotationskegel ausgedrückt, dass sie in Gerade überschen, wenn der Kegel längs einer Kante aufgeschnitten und in eine Ebene abgewickelt wird. Die Curven werden also veranschaulicht durch die Ränder eines conisch zusambengerollten Papierstreifens.

Wenn man die Gleichungen (4) quadrirt und addirt. ethält man zu denjenigen Beziehungen zwischen den Constanten ABF, welche durch Anwendung der Gl. (5, auf die Erdpunkte des Leiters gewonnen werden, nämlich:

$$0 = r_0 + A(a - x_0) + B(b - y_0) + \Gamma(c - z_0)$$
  

$$0 = r_1 + A(a - x_0) + B(b - y_0) + \Gamma(c - z_0)$$

soch oine neue. Die angegebene Operation liefert nämlich:

$$T^{2} \left\{ (a-x)^{3} \left[ \left( \frac{dy}{ds} \right)^{2} + \left( \frac{dz}{ds} \right)^{2} \right] + (b-y)^{2} \left[ \left( \frac{dx}{ds} \right)^{3} + \left( \frac{ds}{ds} \right)^{2} \right] \right.$$

$$\left. + (c-z)^{2} \left[ \left( \frac{dx}{ds} \right)^{2} + \left( \frac{dy}{ds} \right)^{2} \right] - 2(b-y)(c-z) \frac{dy}{ds} \frac{dz}{ds} - 2(c-z)a - x \right] \frac{dz}{ds} \frac{dz}{ds}$$

$$\left. - 2(a-x)(b-y) \frac{dx}{ds} \frac{dy}{ds} \right\}$$

$$= (AJM)^{2} \left\{ 1 + A^{2} + B^{2} + \Gamma^{2} + 2 \left[ A^{\frac{a-x}{r}} + B^{\frac{b-y}{r}} + \Gamma^{\frac{a-z}{r}} \right] \right\}.$$

Auf der linken Seite werden in der Klammer die Glieder:

$$(a-z)^2 \left(\frac{dx}{ds}\right)^2$$
,  $(b-y)^2 \left(\frac{dy}{ds}\right)^3$ ,  $(c-z)^2 \left(\frac{ds}{ds}\right)^2$ 

den additiven und den subtractiven hinzugefügt; gleichzeitig wird auf der rechten Seite Bezug genommen auf Gl. (5):

(10) 
$$T^{2}\left\{r^{2}-\left(r\frac{dr}{ds}\right)^{2}\right\}=(AJM)^{2}\left\{A^{2}+B^{2}+\Gamma^{2}-1\right\}.$$

Diese Gleichung führt, nach de aufgelöst und integrirt, zu (9) und der schon erwähnten Beziehung, welche wir einfacher erhalten, indem wir uns auf (9) stützen:

$$T^{2}\left\{r_{0}{}^{2}-\left(\frac{r_{0}{}^{2}+l^{2}-r_{1}{}^{2}}{2l}\right)^{2}\right\}=(AJM)^{2}\left\{A^{2}+B^{2}+I^{2}-1\right\}.$$

Der Factor von  $T^2$  ist nichts anderee, als das Quadrat des Höhenperpendikels in einem aus  $r_0$ ,  $r_1$  und l gebildetes ebenen Dreieck oder der kürzesten Kegelkante, welche von dem Solenoïdpole aus nach der (vervollständigten) kürzesten Linie gezogen werden kann. Wird diese Strecke durch k bezeichnet, so folgt:

(11) 
$$T^3h^3 = (AJM)^3\{A^3 + B^2 + I^3 - 1\}.$$

 $\sqrt{A^2 + B^2} + \Gamma^2 - 1$  oder Th/AJM ist aber nach (5) die Tangente des Winkels, welchen die Kanten des Kegels mit seiner Axe bilden.

Endlich soll noch der Krümmungsradius der Curve berechnet werden. Man hat:

$$\left(\frac{1}{\varrho}\right)^2 = \left(\frac{d^2x}{dx^2}\right)^2 + \left(\frac{d^2y}{dx^3}\right)^2 + \left(\frac{d^2x}{dx^2}\right)^2.$$

Setzt man hierin die Werthe aus (S) ein, so vereinfacht sich die rechte Seite ebenso wie bei Ableitung von (10):

$$\begin{pmatrix} 1 \\ \varrho \end{pmatrix}^2 = \begin{pmatrix} AJM \\ Tr^2 \end{pmatrix}^2 \left\{ r^2 - \left( r \frac{dr}{ds} \right)^2 \right\}$$

$$\varrho = -\frac{Tr^2}{AJMh} .$$

(12

Die Krümmung ist für diejenigen Theile des Leiters geringer, welche vom Pole weiter abstehen.

Nach Beendigung der vorstehenden Ableitungen wurde der Verfasser mit dem Aufsatze des Hrn. E. Riecke in einem der jüngsten Hefte dieser Annalen! bekannt. Hr. Riecke löst das vorliegende Problem der magnetischen Einwirkung auf einen biegsamen Leiter oder der electrodynamischen Kettenlinie unter der Voraussetzung, dass der Faden sich in einem homogenen magnetischen Felde beinde, und seine Endpunkte auf einer zu der Richtung der Kraftlinien senkrechten Linie gelegen seien. Die Curve ist dann ein Kreis. Im Obigen ist die Lage des Poles beliebig gelassen. Es scheint angezeigt, auch auf die Wirkung eines Hufeisenmagnets etwas einzugehen, welche nach Le Roux' Beobachtungen den Leiter bei äquatorialer Lage gleichfalls kreisförmig biegen soll.

Auf den biegsamen Leiter mögen zwei entgegengesetzte Pole M und -M wirken. Die Endpunkte des Fadens mögen ach in der Ebene befinden, welche auf der Verbindungslinie der beiden Pole im Halbirungspunkte senkrecht steht. Dann übersieht man leicht, dass auch der ganze Leiter in jener Aequatorialehene hegen muss. Wählen wir den Punkt mitten zwischen den Polen als Anfangspunkt der Coordinaten, so sind die Coordinaten der Pole a, b, c und -a, -b, -c. Ferner ist:

$$r^{2} = (a-x)^{2} + (b-y)^{2} + (a-z)^{2} = (a+x)^{2} + (b+y)^{2} + (c+z)^{2},$$

$$ax + by + cz = 0,$$

and die Differentialgleichungen erhalten die Form:

(13) 
$$T \frac{d^3x}{ds^7} = \frac{2AJM}{r^3} \left\{ c \frac{dy}{ds} - b \frac{dz}{ds} \right\}$$

Indem man die mit y multiplicirte dritte Gleichung von in E. Riecke, Wied. Ann. 23, p. 252. 1884.

der mit z multiplicirten zweiten subtrahirt, gelangt man zu der integrirbaren Gleichung:

$$T\left\{z\frac{d^3y}{ds^2} - y\frac{d^4s}{ds^3}\right\} = 2AJMa\frac{1}{r^3}\frac{dr}{ds}$$

Die Integration gibt:

(14) 
$$\left\{ T\left\{z\frac{dy}{dz} - y\frac{dz}{dz}\right\} = 2AJM\left\{-\frac{a}{r} + A\right\} \right.$$

Multiplicirt man diese Gleichungen mit xyz und addirt, so folgt hier:

$$0 = -\frac{ax + by + cz}{r} + Ax + By + \Gamma z,$$
  
$$0 = Ax + By + \Gamma z.$$

oder:

Folglich ist:

(15) 
$$A:B:\Gamma=a:b:c, \quad A=\frac{a}{d}, \quad B=\frac{b}{d}, \quad \Gamma=\frac{c}{d},$$

$$T\left\{z\frac{dy}{ds}-y\frac{dz}{ds}\right\}=2AJMa\left\{\frac{1}{d}-\frac{1}{r}\right\}$$

Wenn man diese drei Gleichungen quadrirt und addirt und dabei wie p. 76 verfährt, so folgt:

$$T^2 \left\{ r^3 - (a^2 + b^2 + c^3) - \left( r \frac{dr}{ds} \right)^2 \right\} = \left( \frac{2 A J M}{A r} \right)^3 (a^2 + b^3 + c^3) (r - A)^3.$$

Löst man nach ds auf, so ergibt sich für die Bogenlänges das Integral:

(16) 
$$s = \int_{r_0}^{r} \frac{r^3 dr}{\sqrt{r^4 - (a^2 + b^2 + c^2)r^3 - \frac{2AJM}{TA} (a^2 + b^2 + c^2)(r - d)^3}}$$

Endlich erhält man für den Krümmungsradius eines analogen Ausdruck wie bei der Einwirkung eines Poles, nämlich:

(17) 
$$\varrho = \frac{Tr^2}{AJM2\sqrt{a^2 + b^2 + c^2}}.$$

So lange die Abstände der einzelnen Theile des biegsamen Leiters von jedem Pole merklich untereinander verschieden sind, weicht die Gestalt des Leiters von der kreisförmigen ab: die Theile, welche den Polon näher liegen, sind stärker gekrümmt, als die entfernteren.

Der Versuch bestätigt dies, wenn man nach dem Vorgange des Hrn. Riecke einen Strom durch ein an beiden Enden sestgeklemmtes Goldblatt führt und diesem die Pole eines constanten oder Electromagnets so nähert, dass die Enden des Goldblattes in der Symmetrieebene der Magnetpole liegen.<sup>1</sup>)

Bringt man einen Magnetpol nahe an das Goldblättchen beran, so ist ausser der wechselnden Krümmung auch die eigenthümlich gewundene Gestalt des Blättchens, welche aus den theoretischen Untersuchungen im ersten Theile dieses Aufsatzes hervorging, nämlich die kürzeste Linie auf einem Rotationskegel, dessen Scheitel im Magnetpole liegt, aut zu beobachten.

Hr. E. Riccke macht die Bemerkung, dass, abgesehen von Constanten Factoren, die Differentialgleichungen für die electrodynamischen Kettenlinien in diejenigen für die Bewegung eines electrischen Theilchens unter der Einwirkung magnetischer Kräfte übergehen, wenn T=ds'dt gesetzt wird. Daher erfolgt diese Bewegung in denselben Curven, welche bei den bier behandelten Problemen sich ergaben.

Es sei noch gestattet, auf den Umstand besonders hinzuweisen, dass die Spannung längs des ganzen Leiters dieselbe ist. Wenn daher der Leiter nicht unausdehnbar, sondern elastisch ist, so erfährt seine Länge eine Vergrösserung, welche der Spannung proportional ist; die Gestalt, welche der Leiter annimmt, muss aber dieselbe sein, wie die eines entsprechend längeren, unausdehnbaren Fadens. Also können auch dann unsere Resultate Anwendung finden.

Mag man nun den galvanischen Lichtbogen, den Electricitätsübergang in verdünnten Gasen, die Lichtbülle des Inductionsfunkens erklären durch Ausstrahlung von mit träger Masse verbundenen electrischen Theilchen 1 oder etwa durch

<sup>1.</sup> Le Roux wandte einen dünnen Platindraht an, welcher durch den hindurchgedeiteten Strom zum Glüben gebracht wurde.

<sup>2:</sup> L. Riecko, Wied. Ann. 18. p. 194. 1851. Wiedemann, Lehre vom Galvaniamus 2 Auft. 2. § 337 und an anderen Orten.

Bildung einer elastischen leitenden Verbindung in dem Gazwischen den Electroden<sup>1</sup>), so könnte in beiden Fällen de Vorstehende als Beitrag zur theoretischen Untersuchung de Wirkung magnetischer Kräfte auf diese Entladungen gelter

Zittau. November 1884.

## V. Notiz über die Spectrallinien des Wasserstoffs von J. J. Balmer.

(Aus den Verhandl, d. Naturforsch, Ges. zu Basel, Bd. 7, p. 548, untgettell vom Hrn. Verfasser.)

Ausgehend von den Messungen von H. W. Vogel und Huggins über die ultravioletten Linien des Wasserston spectrums habe ich versucht, eine Gleichung aufzusuchen welche die Wellenlängen der verschiedenen Linien in befriedigender Weise ausdrückt, ich wurde dazu durch die Aumunterung von Hrn. Prof. E. Hagenhach ermuthigt. Die sela genauen Messungen Angström's der vier Wasserstofflinie ermöglichten es, für deren Wellenlängen einen gemeinschalt lichen Factor aufzusuchen, der zu den Wellenlängen in möglich einfachen Zahlenverhältnissen stand. So gelangte ich der allmählich zu einer Formel, welche wenigstens für diese vie Linion als Ausdruck eines Gesetzes gelten kann, durch we ches deren Wellenlängen mit einer überraschenden Genauf keit dargestellt werden. Der gemeinschaftliche Factor f diese Formel ist, wie er sich aus den Angström'schen B stimmungen ableitet:

$$\left(h = 3645.6 \frac{\text{mm}}{10^3}\right)$$

Man könnte diese Zuhl die Grundzuhl des Wasser stoffs nennen; und wenn es gelingen sollte, auch für ander

<sup>1)</sup> Hittorf, Pogg. Ann. 136, p. 215, 1869. Die von Hittorf bedachteten Spiralen des negetiven Ghamhehtes unter Einwirkung en Magnetpoles scheinen mit unseren kurzesten Linien auf Rotationskegt gut übereinzustimmen.

Ekmente die entsprechenden Grundzahlen ihrer Spectrallanen zu finden, so wäre die Vermuthung gestattet, dass zwischen diesen Grundzahlen und den entsprechenden Atomgewichten bestimmte, wieder durch irgend eine Function ausdruckbare Beziehungen stattfinden.

Die Wellenlängen der vier ersten Wasserstofflinien ergeben sich nun dadurch, dass die Grundzahl h = 3645,6 der Reihe nach mit den Coëfficienten  $^{0}_{-1}$ ;  $^{1}_{-3}$ ;  $^{25}_{-21}$  und  $^{0}$ , multiplicit wird. Scheinbar bilden diese vier Coëfficienten keine gesetzmässige Reihe; sobald man aber den zweiten und den vierten durch vier erweitert, stellt sich die Gesetzmässigkeit her, und die Coöfficienten erhalten zum Zähler die Zahlen  $3^{2}$ ,  $4^{2}$ ,  $5^{2}$ ,  $6^{1}$  und zum Nenner eine je um vier kleinere Zahl.

Es ist mir aus verschiedenen Gründen wahrscheinlich, dass die vier eben genannten Coöfficienten zwei Reiben angehören, sodass die zweite Reibe die Glieder der ersten Reihe noch einmal aufnimmt; und so komme ich dazu, die Formel für die Coefficienten allgemeiner so darzustellen: (m² m² – n²), wobei m und n stets ganze Zahlen sind.

Für n = 1 erhält man die Reihe  $\frac{1}{13}$ ,  $\frac{9}{18}$ ,  $\frac{10}{16}$ ,  $\frac{10}{15}$ , etc., für n = 2 die Reihe  $\frac{9}{16}$ ;  $\frac{10}{12}$ ;  $\frac{26}{21}$ ;  $\frac{35}{32}$ ;  $\frac{60}{16}$ ;  $\frac{61}{16}$ ;  $\frac{71}{72}$ ; etc. In dieser zweiten Reihe ist je das zweite Ghed schon in der ersten Reihe, aber bier in gekürzter Form vorhanden.

Führt man mit diesen Coëfficienten und der Grundzahl 3645,6 die Berochnung der Wellenlängen aus, so erhält man feigende Zahlen in 10<sup>-7</sup> mm für dieselben.

Es wird nach der Formel

	Angstrom hat	Differenz
Ha (C-Lanie) = 0, h = 6502,08	8562,10	+0,02
$H: (F-Lime) = {}^{1}, h = 4860,8$	4860,74	-0,06
$H_Y : V : C : G) = {}^{44}_{11} h = 4340$	4840,1	+0,L
Ho (b-Lanie) = 0 1 b = 4101.3	4101.2	-0.1

Die Abweichung der Formel von der Angström'schen Beobachtung beträgt also im ungünstigsten Falle noch nicht der Wellenlänge, eine Abweichung, welche ganz wohl noch unerhalb der Grenzen der möglichen Beobachtungs-

ernbafta dur, Mabbutbilge für, din Nagaunt ettlengen

sehler liegen dürtte und eher ein glänzendes Zeugni Gadie grosse Gewissenhaftigkeit und Sorgialt ist, mit wa dies
Angström bei seinen Operationen zu Werke gegi deno
sein muss.

Nach der Formel erhielte man für eine fünfte Wasserstofflinie  $^{19}$  3. 3645.6 = 3969.65 .  $10^{-7}$  mm. Von einer solchen füntten Linie, die noch innerhalb des sichtbaren Theiles des Spectrums, ganz nahe vor  $H_{\rm f}$  (welches nach Angström die Wellenlange 3968.1 hat) liegen müsste, war mir nichts bekannt; und ich musste entweder annehmen, dass die Temperaturverhältnisse zur Entwickelung dieser Linie nicht günstig genug seien, oder dass dennoch die Formel keine allgemeine Geltung besitze.

Auf meine Erkundigung theilte mir Hr. Prof. Hagenbach mit, es existire noch eine grössere Anzahl, namentlich von den Herren Vogel und Huggins gemessener Wasserstoffinien im violetten und ultravioletten Theile des Wasserstoffspectrums und des Spectrums weisser Sterne; er war so treundlich, selbst eine Vergleichung der betreffenden Welleslängenbestimmungen mit meiner Formel durchzusühren und mir das Ergebniss mitzutbeilen.

Trotzdem die Formel im allgemeinen etwas grössere Zahlen ergibt, als die Veröffentlichungen Voget's und Huggin's sie enthalten, so ist der Unterschied zwischen den berechneten und den beobachteten Wellenlängen 30 klein, dass die Uebereinstimmung im höchsten Grade überraschen muss. Vergleichungen der Wellenlängebestimmungen verschiedener Forscher zeigen im allgemeinen keine volkommen genaue Lebereinstimmung: doch lassen sich de Beobachtungen des einen auf die des anderen durch eine kleine Reduction in ganz befriedigender Weise zurückführen

Auf umstehender Tabelle sind diese Messungen zusam mengestellt und die Ergebnisse der Wellenläugen nach der Formel damit verglichen worden. Die Angaben von Vogen und Huggins fallen dabei immer noch etwas kleiner aus als wenn man die Grundzahl für Wasserstoff auf 3645.10<sup>-1</sup> mat reducirt.

						,,,,,			
Mittelwerthe der Groundski A		A = 764 , h21	A . 3645,589	A - 3645,232	A = 3644, M2	4 = 3644,460	A Styl3,546	A = 4644,379	
Ψ * <sup>1</sup> H = 0 = 0 = 0 = 0 = 0 = 0 = 0 = 0 = 0 =			,	}			3767,5	6769	## ## 10 ## ###########################
OTHER PH			1	)	1		3795	8799	=
oy" is = #H				1	t		3634	35.75 SH34	4
$h_{i,j} = h$				,	1		3887,5	7885	30;     B
A to e 9 dau		1863,04 1312,80 1103,8 (H <sub>I</sub> = 3911,3)	(310,10 4101,2 (H, -3905,1)		$(H_I = 3967.2)$	4859,74 4938,80 4100,0 (Hz=3966,8)	für die ultrerricketen Willichm wetener Murne	35,089	= =
γ* , = 0 <i>H</i>		8,8011	2,1014	X	+	0,0014	H.Linha		9 11 8
H; ** = 1H	-	1312,20	1310,10		1	095489	brevo detten	1	20 年
$J_{\gamma^{+}, r   \vdash  H}$		1563,94	486Q,74	4860,18	4808F	4859,74	fur die ul	1	\$ 1
$Y^{\dagger}_{\delta} = ^{o}H$		6565.6	6562.10	6561,62	6596,7	6369,5		1	
Fraunhofer's Bezeichnung:	Beebachter.	Van d. Willigen!)	Angstrom	Mendenhadi .	Mastert .	Ditachesuer .	Huggins	Voget	Formel: # m 2 22 h w = 3

1) Wenn man diesen, dare bechnitchen um '1,10, bober stebenden Werthen nur ', soviel Gewicht bedegt, wie den ubergen Brobachtungen, av erhålt man ale genanen Mittedmerth fur A;3645.

3796,875 3769,61h

无元五元.

33160

6239,253,4100,625

4860

3884,84 3884,38 3797,5 25.44.35

31M9,65 - - -

E'1011 0121 3'0981

6562,08 1900

36.15,6 4 - 3645

Ŕ٩

Aus diesen Vergleichungen ergibt sich zunächst, dass die Formel auch für die fünfte, nahe vor der ersten Fraunhofer'schen H-Linie (welche dem Calcium zugehört) liegende Wasserstofflinie zutrifft. Ferner zeigt sich, dass die Vogel'schen Wasserstofflinien und die Ihnen entsprechenden Huggins'schen Linien weisser Sterne durch die Formel sehr befriedigend dargestellt werden. Man dürfte fast als sicher voraussetzen, dass auch die nachfolgenden Linien weisser Sterne, welche Huggins noch weiter im ultravioletten Theile des Spectrums gefunden hat, mit durch die Formel ausgedrückt werden. Eine Kenntniss der betreffenden Wellenlängebestimmungen fehlt mir. Nach der Formel ergeben sich mittelst der Grundzahl 3645,6 folgende Bestimmungen für die neunte und die folgenden bis zur funfzehnten Wasseratofflinie:

$^{131}_{/127}$ , $h = 3770,24$	325 st . h ==	8711.58
$^{36}$ , $h = 8749.76$	61 ns . h =	3703 46
$^{19P}_{/168}$ . $h = 3733.98$	280, 265 . h =	3696,76
h = 3721.55		

Ob die Wasserstofflinien der weissen Sterne auch nech so weit der Formel Recht geben, oder ob allmählich andere Zuhlenverhältnisse an ihre Stelle treten, kann nur durch die Thatsachen selbst entschieden werden.

Ich knüpfe an das Gesagte noch einige Fragen und Folgerungen.

Sollte die obige Formel blos für das einzige chemische Element des Wasserstoffs Geltung haben und sich nicht auch in den Spectrallinien anderer einfacher Stoffe mit einst diesen Stoffen eigenthümlichen Grundzahl wieder finder Wenn nicht, so dürfte man vielleicht annehmen, dass die dem Wasserstoff zukommende Formel ein besonderer Fall einer allgemeineren Formel sei, welche für gewisse Bedugungen eben in die Formel für die Wasserstofflinien übergeht.

Von Wasserstofflinien, welche der Formel für n = 3. 4 etc. entsprächen, und welche man als Linien dritter, vierter Ordnung u. s. w. bezeichnen könnte, finden sich in den bis jetzt bekannt gewordenen Spectren keine vor; sie mussten sch etwa unter ganz neuen Temperatur- und Druckverhält-

Ist die Formel für n = 2 für sämmtliche Hauptlivien des Wasserstoffspectrums richtig, so ginge aus derselben hervor, dass diese Spectrallinien sich nach der ultravioletten Seite hin der Wellenlänge 3645,6 immer mehr und in immer dichterer Folge nähern, aber diese Grenze nicht überschreiten können, während die C-Linie auch zugleich die äusserste mögliche Linie nach der rothen Seite hin darstellt. Nur wenn noch Linien höherer Ordnungen vorkämen, würden sich auch noch weitere Linien nach der infrarothen Seite hin ergeben.

Mit dem aus sehr zahlreichen Linien bestehenden "Zweiten Wasserstoffspectrum", welches Hr. Hasselberg in den M-moires de l'Academie des sciences de St.-Pétersbourg", dahrg. 1882, veröffentlichte, steht die Formel in keinem gendwie nachweisburen Zusammenhang. Es möchte also der Wasserstoff unter gewissen Verhältnissen des Druckes ind der Temperatur sich so verändern, dass das Gesetz der Bildung der Spectrallinien ein vollständig anderes würde.

Das Auffinden einer Grundzahl für andere chemische Elemente, Sauerstoff oder Kohlenstoff etc., vermittelst welcher ach aus der Formel deren Hauptspectrallinien ergäben, ist ent grossen Schwierigkeiten verbunden. Nur die allergenauten und zuverlässigsten Wellenlängebestimmungen der herforragendsten Linien eines Stoffes könnten zur Feststellung eines gemeinschaftlichen grössten Maasses dieser Wellenlagen führen und ohne ein solches Maass scheint alle Mühe des Probirens und Suchens umsonst. Vielleicht findet sich in einer anderen graphischen Construction der Spectraliableaus das Mittel, auf dem Wege solcher Untersuchungen weiter zu kommen.

Nachtrag. Aus einer mir durch gütige Vermittelung 164 Hrn. Prof. Hagenbach zugekommenen Notiz des Hrn. Huggins vom 14. Sept. 1884 ergibt sich, dass allerdings such noch weitere Wasserstofflingen sich im Spectrum weisser Sterne finden. über welche Hr Huggins' berichtet, Auch diese entsprechen sämmtlich der Formel m² (m²-4). ħ, wenn schon eine kleine, mit dem Coefficienten m wachsende Differenz zwischen den beobachteten und den nach der Formel berechneten Wellenlängen sich kundgibt. Hr. Prof. Hugenbach machte mich zuerst auf diesen litzteren Umstand aufmerksam. Er findet bei einer Vergleichung der mit A = 3645 berechneten und der von Hrn. Huggins beobachteten Wellenlängen folgende Differenzen.

	Na	ch der Formel	v Huggine	Differenz
		berechnet	beobachtet	(B — Huggins)
$H_{\bullet}$	m = 5	4334,3	434 1,1	-0%
h.	6	4100,6	4101.2	-0,6
$H_{l}$	7	3869,0	8964,1	+ (1,1)
64	8	3858,0	3557,1	+05
9	9	3534,3	3834 O	+0.4
7 3	10	37,64,9	87 (5,13	+1.9[
3	11	876+,6	8767,5	+*1
- 4	12	8749,1	8745.5	+3.6
- 4	13	3193,3	3730 0	+ 3,3
- 4	14	5720,9	3717,5	+3,4
9	15	3711,0	3707,5	+8,5
1	16	3702.9	8691.0	+8,91

Wenn man die Linien Ho und Ho noch dazu nimmt, so sind es im ganzen 14 Linien, welche durch die vorgeschlagene Formel sich darstellen lassen, wenn man dem midie Werthe aller ganzen Zahlen von 3 bis 16 gibt. Oh nur die obigen Differenzen zeigen, dass die Formel nur annäherungsweise das Gesetz gibt, oder oh dieselben aus Beobachtungsfehlern sich erklären lassen, ist schwer zu beurtheilen. Die Messungen von Huggins sind mit äusserster Sorgfalt angestellt, doch mag die Schwierigkeit der Herstellung absolut gleicher Bedingungen bei der photographischen Aufnahme der Vergleichsspectra und der Sternspectra, von der Hr. Huggins auf p. 675 spricht, vielleicht die Abweichungerklären. — Der Umstand, dass die von Huggins gemessenen Wellenlängen sich auf Luft beziehen, ist nicht von Be-

<sup>1)</sup> Huggius, Phil Trans 171. II p 66 - 1880

uag, denn wenn man mit den nach der Cauchy'schen Dispersionsformel aus den Lorenz'schen Beobachtungen abgeleiteten Brechungsverhältnissen die Wellenlangen auf das Vacuum reducirt, so ergibt sich eine ganz unbedeutende Vergrosserung, z. B. bei der Linie a von 3609.0 auf 3700,1.

Hr. Huggins citirt in einer Anmerkung seiner Abbundlung die ihm von einem seiner Freunde mitgetheilte Berechnung der sogenannten harmonischen Verhältnisse der Schwingungszahlen der Wasserstoftlinien. Dabei ist es nothwendig, für dieselben idrei getrennte Serien solcher harmonischen Reihen anzunehmen, zugleich wird der gemeinschaftliche Factor für jede Serie ziemlich klein, und die ganzmänigen Coöfficienten bilden keine gesetzmässigen Reihenbeides macht es mir zweiselhaft, ob dieser Versuch, so interessant er an sich ist, wirklich einen inneren Zusammenting der Erscheinungen anzugeben hat.

Basel, 30. Januar 1885.

## VI. Aenderung der Lichtbrechung in Glas und Kalkspath mit der Temperatur; von Dr. Friedr. Vogel.

Unter den bisher auf ihre Aenderung der Lichtbrechung untersuchten sesten Körpern bieten Glas und Kalkspath ein entöhtes Interesse, da ihr Brechungsinden mit steigender Temperatur zunimmt, während er bei anderen Körpern abammt. Die bisherigen Untersuchungen von Rudberg!), F.zeau², und Stefan³ beschränken sich auf geringere Temperaturintervalle. Die Berechnung setzt dann voraus, die Aenderungen proportional den Temperaturer-Longen sind. Es war daher nicht ohne Interesse, diese Korper bei verschiedenen und höheren Temperaturen zu

<sup>1.</sup> Rudberg, Pogg And 26, p. 291-1832.

<sup>2</sup> Fizenu, Ann de chim et de phys (8) 66. p 429

<sup>3</sup> Stefan, Wien, Ber 63, Febr. 1971

untersuchen. Ich erwartete eine immer geringer werdende Zunahme des Index mit steigender Temperatur, doch bewahrheitete sich diese Voraussetzung nicht.

Es wurde mittelst eines Meyerstein'schen Spectrometers, das an zwei Mikroskopen Ahlesungen bis auf zwei Secunden erlaubte, untersucht: ein Prisma von weissem Glase, ein von Hartmann und Braun geliefertes grünes, ganz schweres Flintglasprisma, ein Kalkspathprisma, dessen optische Axe senkrecht zur brechenden Kante und zur Halbirungslinie des brechenden Winkels lag (±) und ein Kalkspathprisma, in welchem die brechende Kante parallel der optischen Axe war (1). Beide letzteren waren von Dr. Steeg und Reuter bezogen.

Die Erwärmung geschah in einem messingenen Heizkasten, wie er in Groth's "Physikalischer Krystallographie" p. 484, näher beschrieben ist, in den von oben zwei Phermometer, nach der Mitte hin convergirend, eingeführt waren. Die Oeffnungen zur Durchsicht waren mit planparallelen Glasplatten verschlossen. Die Prismen standen auf in den Kasten geklemmten Bleistegen, von oben her durch eine Schraubvorrichtung leicht gehalten, so vor den Glasplatten. dass man darüber hinweg und daran vorbei stets die Einstellung des Fernrohrs auf den direct geschenen Spalt controliren konnte. Unter den Heizkasten wurden zur Erwärmung desselben kleine, aus Glas gefertigte Bunsen'sche Brenner geführt, die gut functionirten und sich leicht reguliren liessen. Die Messung der Ablenkungswinkel geschab stets im Minimum der Ablenkung. Die brechenden Winkel wurden bei allen Prismen in verschiedenen Temperaturen gepruft. Es ergaben sich keine messbaren Aenderungen mit Ausnahme des Kalkspathprismas . . Im Folgenden sind die Resultate zusammengestellt, wohei auf die drei Wasserstofflinien H., H., H.) und die Natriumlinie eingestellt wurde.

1. Weisses Glas. Brechender Winkel 582 41 20 Die Ablenkungswinkel waren:

Tempe	Н			D			$H_{\beta}$			$\overline{R}_{y}$	
121 C.	45' 25	18	452	51	35	461	5H	12	47"	54	24
126	45 27	25	45	88	49	47	1	2	47	57	58
2589	45 29	3	45	55	35	47	3	- 63	44	- 0	15
2400	45 31	10	45	37	46	47	6	2	49	8	17

Auf eine Correction der Ablenkungswinkel wegen des Durchganges des Lichtes durch Schichten von verschiedenem Brechungsvermögen wurde verzichtet, da die Correctur, die für Luft nur einige Secunden beträgt, durch das Glas noch vermindert wird, dessen Brechung mit der Temperatur zummt. Die Temperatur der Verschlussplatten nimmt nämlich offenbar auch nach aussen ab.

Aus den ohen angesührten Daten berechnen sich die Brechungsindices gegen Lust von derselben Temperatur wie das Glas.

Temp	$H_{\cdot}$	D	$H_A$	$H_{\tau}$
12	1,669.204	1,613 996	1,626 010	1,686 083
128	1,6mm587	1,614 397	1,638.533	1,635,654
190	1,60001931	1.614 718	1,626,498	1 637 (170
260	1,610 270	1,615 111	1,627 414	1,637 608

Diese Zablen bedürsen noch einer Correction, um miteinander vergleichbar zu werden. In der solgenden Tabelle
eind die Indices gegen den leeren Raum zusammengestellt,
wobei die Beobachtungen Mascart's 1) über die Aenderung
der Brechung in Luft zu Grunde gelegt sind, wenn man von
den geringen Aenderungen des Barometerstandes absieht.
Bezeichnet z den Brechungsindex gegen den leeren Raum,

den gegen Lust von der Temperatur t, und  $\mu_t$  den von
Lust von der Temperatur t gegen den leeren Raum, so ist:

$$n = n', u_t = n' \cdot \frac{1,000 \cdot 294 + 0.003 \cdot 2 \cdot t}{1 + 0.003 \cdot 2 \cdot t}$$

Die sich daraus ergebenden Werthe sind:

Pemp.	H.	D	$H_{\pm}$	Н,
12	1,009 856	1,614 440	1.626 467	1,686 486
126	1,601 907	1,614 715	1,026,555	1,636 979
190	1,610 184	1,615 011	1,027,154	1,687,368
280	12/10/517	1,615 349	1,627.658	1,687 519

<sup>1</sup> Mascart, Ann. d'Ecol. norm (2 6, p. 9.

Berechnet man daraus die Aenderungen für 100° in dei verschiedenen Intervallen, so findet man:

$$\frac{n_t - n_t}{r - t} \cdot 100$$

Intervall	$H_{\mu}$	D	$\mathcal{U}_{j}$	Н,	
126-12	0.000 221	0 000 243	0,000 34+	0,000 432	
190-12	296	30%	402	425	
260-12	347	364	470	549	

Diese Zahlen heweisen, dass die Aenderung nicht proportional der Temperaturerhöhung ist, sondern dass man is der Gleichung, die den Zusammenhang der Indices bei verschiedenen Temperaturen darstellt, ein positives quadratisches Glied hinzufügen muss:

$$w_t = w_t + \alpha \cdot t - \ell'_1 + \beta \cdot (t - \ell')^2.$$

2, Schweres Flintglas. Brechender Winkel 59° 24' 5'.

Die Ablenkungswinkel sind:

Temp.		И,			D			$H_{i}$	1		11,	
				*						_		
20	610	2	26	610	58	37	646	23	16	660	34	35
124	61	6	21	62	1	20	64	20	31	86	43	3
194	61	9	3	62	4	30	64	33	53	66	50	8
257	61	11	55	52	7	56	64	35	33	66	58	12

Die Dispersion war hier so stark, dass die beiden Natriumlinien vollkommen getrennt erschienen. Es wurds immer auf die Mitte zwischen beiden eingestellt.

Die uncorrigirten Brechungsindices sind also:

Тетр	Н,	D.	$\mathcal{U}_{,1}$	$H_{\gamma}$
20	1,751 770	1,759 680	1,750 175	1,789:145
124	1,752 367	1,760 307	1,751 036	1,799:281
194	1,752 750	1,760 776	1,781 773	1,800:215
237	1,753 143	1,761 254	1,782 420	1,801:021
Auf den le	eeren Raum	reducirt sind	sie:	
20	1,752 412	1,760-324	1,750,827	1,798 804
124	1,752 717	1,760-659	1,751,392	1,799 641
194	1,753 440	1,761-073	1,752,009	1,800 520
257	1,753 424	1,761-516	1,782,654	1,801 288

Daraus ergibt sich:

$$\frac{n_t - n_t}{t - t}$$
, 100

Intervial	$H_{\star}$		$H_{i}$	$H_4$
124 20	0,000 298	0,000 322	0.000 548	0,000 504
194 20	3/4	429	716	0.935
257-20	427	503	783	1.048

Auch hier zeigt sich, dass die Zunahme der Indices grösser wird, zu je höheren Temperaturen man übergeht. Die Coëfficienten der oben erwähnten Temperaturgleichung berechnen sich für das weisse Glas Nr. 1:

	И.	D	$H_{t}$	$H_{\gamma}$
n. 10°5	96	129	224	327
p. 10 <sup>+10</sup>	10%	106	97	93

für Flintglas Nr. 2:

	H,	D	$H_{\varsigma}$	H,
α.10*	190	199	362	575
8.100	101	147	221	221

Das gleichmässige Verhalten der beiden untersuchten bliser deutet darauf bin, dass ein bei bestimmter Tempetater achromatisches System es nahezu bei allen Temperataten bleibt.

3 Kalkspath L. Die brechende Kante lag senkrecht zur optischen Axe, und zwar, wie oben erwähnt, so, dass das setrochene Licht ohne Doppelbrechung sich in der optischen Axe fortpflanzte. Der brechende Winkel 4 ändert sich mit der Temperatur. Er wurde für jede Beobachtungstemperatur experimentell ermittelt. Es ergaben sich nicht zu vernachtässigende Abweichungen gegen die Werthe, die man mit den Ausdehnungscoöfficienten Fizeau's 1) nach der Formel:

$$tg \frac{q_1}{2} = tg \frac{q_2}{2} \cdot \frac{1 + 0,00002777}{1 + 0,00000357}$$

Fixeau. Ann de chim, et de phys. I. c

erhält, weil bei dem benutzten Prisma die Forderung de Senkrechtstehens der optischen Axe und der Halbirungslich des brechenden Winkels nicht streng genug erfüllt war. Dergab sich für q.

	149	1030	146	194
berechnet		60° 8 46	60° 7 52	600 12 28
beobachtet	59° 55 40	Ø0 2 26	60 6 30	60 11 2

#### Die Ablenkungen waren:

Intervall

103--14

145 - 15 194 - 15 H,

0.000 010 2

042

Temp.	H		$H_{i}$	Н,
18	51° 31 16	51 35 14	52° 54 T	39° 42 85
103	31 42 56	32 6 5A	53 9 8	33 54 54
146	51 40 39	52 18 54	53 18 19	54 2 19
\$144	51 57 60	53 21 36	53 21 12	54 10 18
Die uncor	rigirten Ind	ices sind da	nn:	
19	1,654 487	1,634 398	1,667 948	1,675 719
103	1,654.677	1,655.595	1,685 117	1,675 591
146	1,654 742	1,555 670	1,688 212	1,675 995
194	1,654 763	1,654 756	1,665 298	1,676 056
Die auf d	en leeren Ri	aum bezogei	nen Indices	sind:
18	1,654 939	1,65% %55	1,668 407	1,676 151
1:3	1,655 026	1,655 986	. 1,668 470	1,676 245
146	1,655 (455)	1,678.984	1,66% 527	1,676 812
194	1,655 962	1,689 036	1,669 575	1,676 339
also:		$n_t = n_t$	0.	

9 5

06.9

4) Kalkspath . Brechende Kante parallel av optische Axe. Der brechende Winkel war: 59° 55′ 56″ und anderte sich nicht bei Temperaturänderungen.

103

Für den ordentlichen Strahl waren die Ablenkungen

Temps		$H_{\parallel}$		· ·	D			$\vec{H_t}$			Η,	
150	510	81	89 '	510	55	40	520	54"	26	3.9°	42	53
106	51	12	49	51	36	53	52	5.5	15	3.3	44	12
145	51	38	9	51	57	14	52	503	Fg	53		
198	51	88	32	51	57	40	52	56	97	53		

#### Daraus ergibt sich w1)

Temp.	$H_{i}$	Đ	$H_{\gamma}$	$H_{r}$
13	1,654 492	1,658.407	1,667 932	1,675 (91
106	1,654 678	1,658 (697	1,668 136	1,675 901
143	1,654 727	1,655 670	1,664 206	1,675 379
193	1,654 798	1,65% 738	1,66% 286	1,678 06%
Die corrigit	rten Werth	e sind:		
ps.	1,654 945	1,658.871	1,665 899	1,676,162
106	1,655 01 (	1,65% 954	1,689 495	1,676 254
145	1,655 037	1,658.2077	1,668,521	1,676,295
193	1,655 06%	1,65 > 018	1.6 × 56×	1,671 851

Pelglich sind die Aenderungen  $(n_t - n_t)$  (t - t). 100.

Intervall	$H_{e}$	D	П,	$H_{r}$	
1 16 -18	0,000 079	0,000.085	0,000 092	0,000 100	
145 18	66	Th.	87	096	
198 13	64	75	93	165	

Die Zunahme ist gering, aber merklich constant für den indentlichen Strahl. Diese Zunahmen verlaufen auch regeltässiger als die beim anderen Kalkspathprisma berechneten, da dort geringere Temperaturschwankungen gleichzeitig brechenden Winkel und Ablenkung ändern. Ein Vergleich der auf Luft von gewöhnlicher Temperatur bezogenen Indees gibt auch ein Maass der mit dem Instrument erreichten Genausgkeit. Die Abweichungen betragen im Maximum 2 Einheiten der fünften Decimalstelle.

Für den ausserordentlichen Strahl ist die Zunahme une ausnehmend starke, wie die folgenden Tabellen zeigen. Sie ist gleichfalls proportional der Temperaturerhöhung.

### Die Ablonkungen waren:

1) Fur gewöhnliebe Temperatur sind die Brechungsindices nach.

	$H_{\star}$	D	$H_{i}$	H,
Mascart	1,65452		1,6640%	- '
Rudberg {	1,65440	_	1,06793	-
	1,65452	1,65850	Pot 205	
Glazebrook	1,65441	_	1,66779	1,67558

Town	71	D	27	7.7	
Temp.	И	~	H <sub>1</sub>	$H_{\gamma}$	
13	35' 47 46	35° 56 48	36" 19 33	36" 37 37	
108	35 58 11	36 2 13	36 25 18	30 43 22	
145	85 55 15	36 4 23	36 27 30	36 45 41	
193	85 57 56	36 7 3	36 30 23	36 49 40	
uncorrig	irt1).				
13	1,484 634	1.486 397	1,490 824	1,494 336	
106	1,453 65%	1,487,457	1,491 925	1,495 447	
145	1,45% 09%	1,487 572	1,492 571	1,455 8 22	
193	1,486 618	1,458 39%	1,492 984	1,498 472	
Die corrigi	irten Indices	werden:			
13	1,485 050	1,456 914	1,491 242	1,494 755	
108	1,485 8 49	1,487,767	1,492 237	1,495 759	
145	1,486 379	1,485 154	1,492 953	1,498 175	
193	1,466 969	1,485 650	1.493 186	1,496 726	
also:		$\frac{n_t - n_t}{t - t} \cdot 10$	0.		
		1-1			
Intervall	$H_{\star}$	D	$\overline{H_i}$	H	
106 13	6,001 020	0,001 024	0,001 069	0,001 079	

1 008 1 069 145 - 131 015 1 (75 1 010 1 020 1 (196) Die Brechungsindices des ordentlichen und ausserordentlichen Strahles nähern sich einander im ganzen Spectrum pahezu proportional der Temperaturerhöhung; es nimmt also dieser proportional die Doppelbrechung ab. Fizeau! war schon bei Natriumlicht zu denselben Resultaten gelangt Rudberg<sup>3</sup>) glaubte für die F-Linie (=  $H_3$ ) eine Abnahme des Brechungsindex vom ordentlichen Strahl zu finden, was ich nicht bestätigen konnte. Auffallen könnten vielleicht die

Phys. Inst. d. Univ. Strassburg, Januar 1885.

für die mittlere Temperatur bis 145° berechneten geringeren Zunahmen der Indices, doch fallen die Abweichungen inner-

1) Für gewöhnlich	che Tempere	stur sind die	Indices nac	:b:
	$H_{\omega}$	D	$H_{A}$	$H_{\bullet}$
Mascart	1,44455	_	1,49075	
Rudberg	1,45474	-	1,49054	_
Tournaid	1.4×455	1,48635	1,49075	
Glazebrook	1,48456		1,49074	1,49430
or The comment to a				

<sup>3)</sup> Rodberg, Pogg. Ann 26, p. 291, 1832.

halb der Grenzen der Beobachtungsfehler.

## VII. Die optischen Eigenschaften sehr dünner Metalischichten; von W. Voigt.

Aus den Nachr. d. k. Göttinger Ges. d. Wiss, v. 19, Jan. 1885 mitgetheilt vom Hrn. Verfasser.

Beobachtungen über das optische Verhalten sehr dünner Metallschichten sind hauptsächlich von Hrn. Quincke<sup>1</sup>) angestellt worden. Sie betreffen die elliptische Polarisation der retlectirten und durchgegangenen Wellen, wenn lineärpolarisirtes Licht auffällt, d. h. also das Verhältniss der Amplituden und die Differenz der Verzögerungen der parallel und senkrecht zur Einfallsebene schwingenden Componenten, auch in gewissen Fällen diese Amplituden und Verzögerungen beibst. Hauptsächlich die auf letztere bezüglichen Resultate und so absonderlich und scheinbar in sich widerspruchsvoll, dass sie noch bis in neueste Zeit als unerklärlich angesehen worden sind.<sup>2</sup>)

Die in Betracht kommenden Hauptpunkte sind solgende:
Beobschtungen mit dem Jamin'schen Interferentialrefractors) haben sicher gestellt, dass die Verzögerung,
relche eine Welle beim Durchgang durch dünne Silber- und
Goldblättehen ersährt, geringer ist, als die dem gleichen Wege
in Lust entsprechende. Hieraus schloss Hr. Quincke,
dass in l'ebereinstimmung mit den Resultaten der Cauchyschen Theorie der Metallreslexion für diese beiden Metalle
der Brechungscöfficient kleiner als Eins sein müsste. Aber
an diesem Schlusse wurde er später irre durch die Bemertang, dass der Werth der beobachteten Disserenz der Verregerungen grösser ist, als die ganze Verzögerung in Lust,

<sup>1</sup> Quincke, Pogg Ann 119, p. 868, 1868; 120, p. 509, 1863; 120, p. 177, 1866; 142, p. 186, 1871.

<sup>21 8</sup> z B Walter, Physik, 2, p. 557, 1983,

<sup>1</sup> Quincke, Pogg. Ann. 119, p. 382, 1863; 120, p. 603, 1563

<sup>4</sup> Dass einzelne Priparate eich anders verhielten, ist nach Hrn. Witnicke e werthvollen Untersuchungen nicht durch eine besondere Medeaten, son lern ganz einfach durch ein nicht vollständig dichtes in se des Niederschlages zu erklären (vgl. W. Wernicke, Pogg Aun. 2003 S. p. 78 u. f. 1-76).

woraus man auf einen "unmöglichen, nämlich pegativen Brechungscoëfficienten" schliessen mü-ste 1), wenn man nicht annehmen wollte, "dass beim Eintritt oder Austritt an der Grenze Metall-Luft eine Beschleunigung stattfände. " Hr. W. Wernicke3) hat sich später ebenfalls gegen die Folgerung erklärt, dass die Brechungsindices für Gold und Silber kleiner als Eins wären, und aus Beobachtungen über die Absorption des Lichtes in Silberlamellen einen Werth der Brechungscoëfficienten zwischen 3 und 5 geschlossen. Dieser Schluss ist zwar unrichtig, denn er basirt darauf. dass, wenn bei normalem Durchgang durch eine Schicht die resultirende Amplitude proportional mit e-\* ist, sie bei schiefem proportional mit e- coor ware, wo r den Brechungswinkel bezeichnet, und dies ist eine durchaus willkürliche Annahme, aber jedenfalls ist die grwähnte Quincke'sche Beobachtung hinsichtlich ihrer Deutung noch bestritten, und es scheint an der Zeit, den Vorgang mit der Theorie zu verfolgen und womöglich aufzuklären.

Minder zweiselhaft ist ein anderer Punkt. Hr. Quincke hat an keilförmigen sehr dünnen Metalliamellen sowohl im retlectirten, als im durchgegangenen Lichte abwechselnie Maxima und Minima der Intensität beobachtet und erklärt sie für sogenannte Newton'sche Farbenstreisen.') Geges diese Erklärung nimmt aber schon die blosse Betrachtung der Messungen an diesen Streisen ein, aus welchen Hr. Quincke Brechungscoöfticienten des Silbers zwischen 6 und 12 ableitet; denn dieselbe Farbe zeigte sich an verschiederen Präparaten bei durchaus verschiedenen Dicken der Schicht. die bei Silber für das dritte Minimum von 0,036 bis 0,061 mmm variirten. In der That hat später Hr. Wernicke bei beobachtet, dass bei den chemisch medergeschlagenen keilförmigen Metallschichten dickere und dünnere Stellen miteinander abwechselnd auftreten, dass diese dickeren Stellen wegen ge-

<sup>1)</sup> Quincke, Pogg. Ann. 129. p. 187, 1868.

<sup>2)</sup> Quincke, Pogg. Ann. 142, p. 186, 1871.

<sup>8)</sup> Wernicke, Pogg Ann. 155, p. 94, 1875. 4) Quincke, Pogg. Ann. 129, p. 185 u. f. 1868

<sup>5)</sup> Wernicke, Fortschritte der Physik, 27, p. 420, 1876

ringerer Durchsichtigkeit mehr Licht reflectiren als die dunneren und demgemäss im reflectirten Licht die Maxima, im durchgelassenen die Minima hervorbringen. Was ich durch Hrn. Quincke's Güte von keilförmigen Silberschichten gesehen und untersucht habe, lässt mich dieser Auffassung beistimmen. Für die Theorie bliebe also in dieser Hinsicht nur die Frage zu beantworten, ob und warum die Metalle die Newton'schen Farben nicht zu zeigen vermögen.

Endlich erscheint es wünschenswerth, Gesetze abzuleiten, welche die Beobachfungen über die elliptische Polarisation des durchgegangenen Lichtes mit der Theorie zu vergleichen gestatten, soweit das bei der sehr unsicheren Bestimmung der Dicke der benutzten Metallschichten und dem Mangel an sicheren Constanten für die Substanzen durchführbar ist.

Die früher von mir entwickelte Theorie der Absorption is Lichtes in isotropen Medien<sup>1</sup>) hat u. a. die Resultategeben, dass eine ebene Welle mit durchweg gleicher Amphtude sich nach dem Gesetze für die Verrückung fortpfanzt:

$$u = A e^{-\frac{\pi z}{2w}} \sin \frac{1}{z} \left( t - \frac{z}{\omega_1} + \vartheta_z \right),$$

\*\*o  $\omega_1$  die Fortpflanzungsgeschwindigkeit und x der Aburtionsindex sich durch die Constanten  $A_1$ ,  $M_1$ , b und c im Mediums ausdrücken gemäss den Gleichungen:

$$\begin{cases} M_1 \omega_1^2 = A_1 (1 - \kappa^2) + 2\kappa c_1 \\ b_1 \omega_1^2 = 2\kappa A_1 - c_1 (1 - \kappa^2). \end{cases}$$

worm  $c_1=c$   $\tau$ ,  $b_1=b$ ,  $\tau$  and  $2\pi\tau=T$ , d. i. gleich der Schwingungsdauer ist.

Eine ebene Welle mit nicht constanter, sondern in gewisser Weise variirender Amplitude gibt die allgemeinere Lösung:

$$u = \sqrt{r^{-\frac{\alpha_1}{4}}} \sin \frac{1}{r} \left( t - \frac{\alpha_1 x + \gamma_1 z}{\omega_1} + \vartheta_2 \right),$$

b W Voigt, Gott. Nachr. Nr. 6, p. 137, 1884

2 l c p. 141

Y

fall

gh. Be

M. W. 100 AN

e

23

Ann & Phys. n Chem. N F. XXV

worin gilt:<sup>1</sup>)
(2<sub>b</sub>)
$$\begin{cases} 1 - x^2 = \alpha_1^2 - \beta_1^2 + \gamma_1^2 \\ x = \beta_1 \gamma_1. \end{cases}$$

Die Gesetze der Reflexion und Brechung, im Falle einem durchsichtigen Medium eine ebene Welle auf die e Grenze (gegeben durch z=0) des absorbirenden auf drückten sich bei Einführung der Abkürzungen:

(8) 
$$\begin{cases} \sigma_s = \frac{A_1 \gamma_1 + c_1 \beta_1}{M \omega_1^2 \gamma_1} & \delta_s = \frac{c_1 \gamma_1 - A_1 \beta_1}{M \omega_1^2 \gamma_1} \\ \sigma_g = \frac{\gamma_1 (M_1 \gamma_1 + b_1 \beta_1)}{M (\gamma_1^2 + \beta_1^2)} & \delta_p = \frac{\gamma_1 (M_1 \beta_1 - b_1 \gamma_1)}{M (\gamma_1^2 + \beta_1^2)} \end{cases}$$

bequem durch die Hülfswinkel  $\mu_s$ .  $\nu_s$ ,  $\mu_p$ .  $\nu_p$  aus, die det waren durch<sup>2</sup>):

(4) 
$$\begin{cases} \operatorname{tg} \mu_s = \frac{a_1 \gamma_1 \delta_s}{\alpha \gamma + a_1 \gamma_1 \sigma_s} & \operatorname{tg} \nu_s = \frac{a_1 \gamma_1 \delta_s}{\alpha \gamma - a_1 \gamma_1 \sigma_s} \\ \operatorname{tg} \mu_p = \frac{a_1 \gamma \delta_p}{\alpha \gamma_1 + a_1 \gamma \sigma_p} & \operatorname{tg} \nu_p = \frac{a_1 \gamma \delta_p}{\alpha \gamma_1 - a_1 \gamma \sigma_p}. \end{cases}$$

Hierin ist  $\alpha$  der Sinus,  $\gamma$  der Cosinus des Einfallswin  $\alpha_1$  daraus bestimmt durch  $\alpha:\alpha_1=\omega:\omega_1$ . worin  $\omega$ , die I pflanzungsgeschwindigkeit im durchsichtigen Medium, d dessen Constanten M und A gegeben ist:

$$M\omega^1 = A$$
:

aus  $\alpha_1$  folgt dann nach  $(2_b)$   $\beta_1$  und  $\gamma_1$ . Für die reflect (R) und gebrochenen (D) Amplituden senkrecht (s) parallel (p) der Einfallsebene, welche als XZ-Ebene ged ist, folgten dann die Werthe:

(5) 
$$\begin{cases} R'_s = \frac{\sin \mu_s \cos (\mu_s + \nu_s)}{\sin \nu_s} E_s, & R'_s = -\frac{\sin \mu_s \sin (\mu_s + \nu_s)}{\sin \nu_s} \\ D'_t = \frac{\cos \mu_s \sin (\mu_t + \nu_s)}{\sin \nu_s} E_s, & D''_s = -\frac{\sin \mu_s \sin (\mu_s + \nu_s)}{\sin \nu_s} \\ R_s^2 = R'^2_s + R''^2_s = E_s^2 \left(\frac{\sin \mu_s}{\sin \nu_s}\right)^2 \\ D_s^2 = D'^2_s + D''^2_s = E_s^2 \left(\frac{\sin (\mu_s + \nu_s)}{\sin \nu_s}\right)^2, \end{cases}$$

<sup>1)</sup> l. c. p. 144

<sup>2)</sup> l. c. p. 147 u. 151.

vean gesetzt ist die Verrückung für die einfallende Welle:

$$v_i = E_i \sin \frac{1}{4} \left( t - \frac{nx + \gamma z}{n} \right),$$

the die reflectirte und gebrochene:

$$\begin{aligned} & = R_{\epsilon} \sin \frac{1}{\epsilon} \left( t - \frac{a_{\epsilon} x - \frac{\gamma z}{N}}{N} \right) + R_{\epsilon}' \cos \frac{1}{\epsilon} \left( t - \frac{a_{\epsilon} x - \gamma z}{N} \right) \\ & = e^{-\frac{4 \cdot z}{4 \cdot N}} \left[ D_{\epsilon}' \sin \frac{1}{\epsilon} \left( t - \frac{a_{\epsilon} x + \gamma_{\epsilon} z}{4 \epsilon_{\epsilon}} \right) + D_{\epsilon}' \cos \frac{1}{\epsilon} \left( t - \frac{a_{\epsilon} x + \gamma_{\epsilon} z}{N_{\epsilon}} \right) \right]; \end{aligned}$$

ferner .

$$R_{p} = \frac{\sin u_{p} \cos \mu_{1} + s_{p}}{\sin r_{p}} E_{p}, \quad R'_{p} = -\frac{\sin u_{p} \sin (\mu_{p} + s_{p})}{\sin s_{p}} E_{p}$$

$$D_{p} = \frac{7}{\gamma_{1}} \cdot \frac{\cos u_{p} \sin (\mu_{p} + s_{p})}{\sin r_{p}} E_{p}, \quad D'_{p} = -\frac{7}{\gamma_{1}} \cdot \frac{\sin \mu_{p} \sin (\mu_{p} + r_{p})}{\sin r_{p}} E_{p}$$

$$R_{p}^{2} = R_{p}^{2} + R_{p}^{2} = E_{p}^{2} \left(\frac{\sin \mu_{p}}{\sin s_{p}}\right)^{2}$$

$$D_{p}^{3} = D'_{p}^{3} + D'_{p}^{2} = E_{p}^{2} \left(\frac{7}{\gamma_{1}}\right)^{2} \cdot \left(\frac{\sin (u_{p} + r_{p})}{\sin r_{p}}\right)^{3},$$

wenn ähnlich, wie oben, gesetzt ist für die Componente parallel der X-Axe:

$$u_{i} = b_{p} \gamma \sin \frac{1}{r} \left( t - \frac{\alpha x + \gamma z}{\omega} \right)$$

$$u_{i} = R_{p} \gamma \sin \frac{1}{r} \left( t - \frac{\alpha x - \gamma z}{\omega} \right) + R_{p} \gamma \cos \frac{1}{r} \left( t - \frac{\alpha x - \gamma z}{\omega_{i}} \right)$$

$$u_{i} = e^{-\frac{1}{r} \alpha_{i}} \gamma_{i} \left[ D_{p} \sin \frac{1}{r} \left( t - \frac{\alpha_{i} z + \gamma_{i} z}{\omega_{i}} \right) + D_{p}^{2} \cos \frac{1}{r} \left( t - \frac{\alpha_{i} z + \gamma_{i} z}{\omega} \right) \right]$$

and hieraus w. . w., w, gemäss der Relation:

$$\frac{\partial u}{\partial x} + \frac{\partial w}{\partial z} = 0$$

bestimmt wird.

Diese Formeln sind behufs Vergleichung mit den für eine Schicht eines beliebigen absorbirenden isotropen Medums gultigen vorangestellt, zu deren Ableitung wir aunmehr übergehen,

Das durchsichtige Medium (0), in welchem sich die einfallende Welle befindet (z, B, Luft), erstrecke sich von  $z = -\infty$  his z = 0; auf dasselbe beziehen sich die Buchstaben ohne

Index (z. B.  $\alpha$ ,  $\gamma$ , A,  $\omega$ , u, v,  $\omega$ ). Das zweite, absorbirende (1) erstrecke sich von z=0 bis z=l; für dasselbe gelte der untere Index 1 (z. B. in  $\alpha_1$ ,  $\gamma_1$ , A,  $\omega_1$ , u, v,  $\omega_1$ ). Das dritte, wiederum durchsichtige (2) reiche von z=l bis  $z=\infty$ , und die auf dasselbe bezüglichen Grössen seien durch den oberen Index 'ausgezeichnet (z. B.  $\alpha'$ ,  $\gamma'$ , A',  $\omega'$ , z', v', z').

I. Ich betrachte zuerst die Componenten normal zur Einfalls- d. h. der XZ-Ebene.

Im ersten Medium ist  $v = r_e + v_r$ , im zweiten  $v_1 = v_0 + v_e$ , im dritten  $v' = v_d$ , und zwar sei:

$$\begin{aligned} v_{e} &= E_{s} \sin \frac{1}{t} \left( t - \frac{\alpha s + \gamma z}{\omega} \right) \\ v_{r} &= R'_{s} \sin \frac{1}{t} \left( t - \frac{\alpha s - \gamma z}{\omega} \right) + R'_{s} \cos \frac{1}{t} \left( t - \frac{\alpha x - \gamma z}{\omega} \right) \\ v_{s} &= e^{-\frac{\beta_{s} z}{\tau \omega_{1}}} \left( A'_{s} \sin \frac{1}{t} \left( t - \frac{\alpha_{1} x + \gamma_{1} z}{\omega_{1}} \right) + A''_{s} \cos \frac{1}{t} \left( t - \frac{\alpha_{1} x + \gamma_{1} s}{\omega_{1}} \right) \right) \\ v_{e} &= e^{+\frac{\beta_{s} z}{\tau \omega_{1}}} \left( P'_{s} \sin \frac{1}{t} \left( t - \frac{\alpha_{1} x - \gamma_{1} z}{\omega_{1}} \right) + P''_{s} \cos \frac{1}{t} \left( t - \frac{\alpha_{1} x - \gamma_{1} z}{\omega_{1}} \right) \right) \\ v_{d} &= D'_{s} \sin \frac{1}{t} \left( t - \frac{\alpha_{1} x + \gamma'_{1} (z - I)}{\omega} \right) + D''_{s} \cos \frac{1}{t} \left( t - \frac{\alpha' x + \gamma'_{1} (z - I)}{\omega} \right). \end{aligned}$$

Die Grenzbedingungen sind:

(9) 
$$\begin{cases} \text{ für } z = 0 : \overline{v} = v_1, \quad A \frac{\overline{\partial v}}{\partial z} = A_1 \frac{\partial v_1}{\partial z} + c \frac{\overline{\partial^2 v_1}}{\partial z \partial t}, \\ \text{ für } z = l : v_1 = v', \quad A_1 \frac{\overline{\partial v_1}}{\partial z} + c \frac{\overline{\partial^2 v_1}}{\partial z \partial t} = A' \frac{\overline{\partial v'}}{\partial z}. \end{cases}$$

Die sehr complicirten Resultate dieser Gleichungen schreibe ich unter Anwendung der früheren und einiger neuer Hülfsgrössen:

(10) 
$$\begin{cases}
\sigma_{s} = \frac{c_{1}\beta_{1} + A_{1}\gamma_{1}}{\gamma_{1}M\omega_{1}^{2}}, & \delta_{s} = \frac{c_{1}\gamma_{1} - A_{1}\beta_{1}}{\gamma_{1}M\omega_{1}^{2}}, \\
\operatorname{tg} u_{s} = \frac{a_{1}\gamma_{1}\delta_{s}}{a_{1}\gamma + a_{1}\gamma_{1}\sigma_{s}}, & \operatorname{tg} v_{s} = \frac{a_{1}\gamma_{1}\delta_{s}}{a_{1}\gamma - a_{1}\gamma_{1}\sigma_{s}}, \\
\operatorname{tg} u_{s}' = \frac{a_{1}\gamma_{1}\delta}{a_{1}\gamma + a_{1}\gamma_{1}\sigma_{s}}, & \operatorname{tg} v_{s}' = \frac{a_{1}\gamma_{1}\delta_{s}}{a_{1}\gamma - a_{1}\gamma_{1}\sigma_{s}}, \\
\frac{l\beta_{1}}{l\omega_{1}} = k, & \frac{l\gamma_{1}}{l\omega_{1}} = k.
\end{cases}$$

Man erhält für die beobachtbaren Grössen R und D, deren Worthe ich allein mittheile:

$$\begin{split} R_{s} &= E_{s} \left[ (\sin^{5} r_{s}^{*} e^{+2h} + \sin^{2} \mu_{s}^{*} e^{-2h}) \sin \mu_{s} \sin r_{s} \cos (\mu_{s} + r_{s}) \right. \\ & \left. - (\sin^{2} r_{s} + \sin^{2} \mu_{s}) \sin \mu_{s}^{*} \sin r_{s}^{*} \cos (h + \mu_{s}^{*} + r_{s}^{*}) \right], \\ R_{s} &= - E_{s} \left[ \sin^{2} r_{s} e^{+2h} - \sin^{3} \mu_{s}^{*} e^{-2h} \right] \sin \mu_{s} \sin r_{s} \sin (\mu_{s} + r_{s}) \\ & \left. - (\sin^{3} r_{s} - \sin^{3} \mu_{s}) \sin \mu_{s}^{*} \sin r_{s}^{*} \sin (h + \mu_{s}^{*} + r_{s}^{*}) \right], \\ D_{s} &= - E_{s} \sin (\mu_{s} + r_{s}) \left[ \sin r_{s} \sin r_{s}^{*} \left( \sin \mu_{s}^{*} \cos (h + \mu_{s} + \mu_{s}^{*} + r_{s}^{*}) - \sin r_{s}^{*} \cos (h + \mu_{s}) \right) e^{+h} \end{split}$$

$$\begin{aligned} &+\sin\mu_{s}\sin\mu_{s}'\left\{\sin\nu_{s}'\cos\left(\lambda+\nu_{s}+\mu_{s}+\nu_{s}'\right)-\sin\mu_{s}'\cos\left(\lambda+\nu_{s}^{-1}\right)e^{-\lambda}\right\},\\ &D_{s}=+E_{s}\sin(\mu_{s}+\nu_{s}')\left[\sin\nu_{s}\sin\nu_{s}'\left(\sin\mu_{s}'\sin\left(\lambda+\mu_{s}+\mu_{s}'+\nu_{s}'\right)-\sin\mu_{s}'\sin\left(\lambda+\mu_{s}^{-1}\right)e^{-\lambda}\right],\\ &-\sin\mu_{s}\sin\mu_{s}'\left(\sin\nu_{s}'\sin\left(\lambda+\nu_{s}+\mu_{s}'+\nu_{s}'\right)-\sin\mu_{s}'\sin\left(\lambda+\nu_{s}^{-1}\right)e^{-\lambda}\right],\end{aligned}$$

rin ist:

$$= \sin^{3} \nu_{s} \sin^{3} \nu_{s}^{2} e^{+2\lambda} + \sin^{3} \mu_{s} \sin^{3} \mu_{s}^{2} e^{-2\lambda}$$

$$-2 \sin \mu_{s} \sin \nu_{s}^{2} \sin \nu_{s}^{2} \cos (2\lambda + \mu_{s} + \nu_{s} + \mu_{s}^{2} + \nu_{s}^{2})$$

II. Ebenso nun die Componenten parallel der Einfallsebene.

Es sei wiederum:

$$\begin{split} v &= \gamma (r_{e} + r_{r}), \qquad w = -\alpha (r_{e} - r_{r}), \\ r_{e} &= E_{p} \sin \frac{1}{t} \left( t - \frac{\alpha x + \gamma z}{\omega} \right), \\ r_{e} &= R_{p}' \sin \frac{1}{t} \left( t - \frac{\alpha x - \gamma z}{\omega} \right) + R_{p} \cos \frac{1}{t} \left( t - \frac{\alpha x - \gamma z}{\omega} \right), \\ w_{1} &= u_{d} + u_{e}, \qquad w_{2} = w_{d} + w_{e}, \\ w_{3} &= e^{-\frac{\beta_{1} z}{1 \omega_{1}} \gamma_{1}} \left( \Delta_{p}' \sin \frac{1}{t} \left( t - \frac{\alpha_{1} x + \gamma_{1} z}{\omega_{1}} \right) + \Delta_{p}' \cos \frac{1}{t} \left( t - \frac{\alpha_{1} x + \gamma_{1} z}{\omega_{1}} \right) \right), \\ w_{4} &= e^{-\frac{\beta_{1} z}{1 \omega_{1}} \gamma_{1}} \left( P_{p}' \sin \frac{1}{t} \left( t - \frac{\alpha_{1} x - \gamma_{1} z}{\omega_{1}} \right) + P_{p}' \cos \frac{1}{t} \left( t - \frac{\alpha_{1} x - \gamma_{1} z}{\omega_{1}} \right) \right), \\ w_{4} &= -e^{-\frac{\beta_{1} z}{1 \omega_{1}}} \frac{\alpha_{1} \gamma_{1}}{\beta_{1}^{2} + \gamma_{1}^{2}} \left( (\Delta_{p}' \gamma_{1} - \Delta_{p}, \vec{\gamma}_{1}) \sin \frac{1}{t} \left( t - \frac{\alpha_{1} x + \gamma_{1} z}{\omega_{1}} \right) + (\Delta_{p}, \vec{\gamma}_{1} + \Delta_{p}' \gamma_{1}) \cos \frac{1}{t} \left( t - \frac{\alpha_{1} x + \gamma_{1} z}{\omega_{1}} \right), \end{split}$$

$$\begin{cases} w_{q} = e^{+\frac{\beta_{1}z}{t\cdot\omega_{1}}} \frac{a_{1}\gamma_{1}}{\beta_{1}^{2} + \gamma_{1}^{2}} \left( (P_{p}'\gamma_{1} - P_{p}''\beta_{1}) \sin\frac{1}{\tau} \left( t - \frac{\alpha_{1}'x - \gamma_{1}x}{\omega_{1}!} \right)^{\frac{1}{\tau}} \right) \\ + (P_{p}'\beta_{1} + P_{p}''\gamma_{1}) \cos\frac{1}{\tau} \left( t - \frac{a_{1}x - \gamma_{1}x}{\omega_{1}!} \right)^{\frac{1}{\tau}}, \\ w' = \gamma'r_{d}, \qquad w' = -\alpha'r_{d}, \\ r_{d} = D_{p}' \sin\frac{1}{\tau} \left( t - \frac{\alpha'x + \gamma'(x - l)}{\omega'} \right) + D_{p}'' \cos\frac{1}{\tau} \left( t - \frac{\alpha'x + \gamma'(x - l)}{\omega'} \right). \end{cases}$$

Die Grenzbedingungen sind:
$$\begin{cases}
f \text{tir } z = 0: \quad \overline{u} = \overline{u_1}, \quad M \overline{w} = M_1 \overline{w_1} - b \tau^2 \frac{\overline{\partial w_1}}{\overline{\partial t}}, \\
f \text{tir } z = l: \quad \overline{u_1} = \overline{u}, \quad M_1 \overline{w_1} - b \tau^2 \frac{\overline{\partial w_1}}{\overline{\partial t}} = M' \overline{w}.
\end{cases}$$
Durch Einsetzen von  $M = M_1 - M'$  and  $k = 0$  gib

Durch Einsetzen von  $M = M_1 = M'$  und b = 0 gibt dies die gewöhnliche Neumann'sche Form, die bei der numerischen Berechnung unten vorausgesetzt ist.

Folgende Abkürzungen führe ich wiederum ein:

(14) 
$$\begin{cases} \frac{\gamma_{1} (M_{1} \gamma_{1} + b_{1} \beta_{1})}{M(\gamma_{1}^{2} + \beta_{1}^{2})} = \sigma_{p}, & \frac{\gamma_{1} (M_{1} \beta_{1} - b_{1} \gamma_{1})}{M(\gamma_{1}^{2} + \beta_{1}^{2})} = \delta_{p}, \\ \operatorname{tg} \mu_{p} = \frac{a_{1} \gamma \delta_{p}}{a_{\gamma_{1}} + a_{1} \gamma \sigma_{p}}, & \operatorname{tg} \nu_{p} = \frac{a_{1} \gamma \delta_{p}}{a_{\gamma_{1}} - a_{1} \gamma \sigma_{p}}, \\ \operatorname{tg} \mu'_{p} = \frac{a_{1} \gamma' \delta_{p}}{a' \gamma_{1} + a_{1} \gamma' \sigma_{p}}, & \operatorname{tg} \nu'_{p} = \frac{a_{1} \gamma' \delta_{p}}{a' \gamma_{1} - a_{1} \gamma' \sigma_{p}}, \\ \frac{l \beta_{1}}{z \omega_{1}} = k, & \frac{l \gamma_{1}}{z \omega_{1}} = k. \end{cases}$$

Dann schreiben sich die Resultate:

$$\begin{aligned} &\text{Dann schreiben sich die Resultate:} \\ &H_p R_p' = E_p [(\sin^2 \nu_p' \, e^{+\, 2\, k} + \sin^3 \mu_p' \, e^{-\, 2\, k}) \sin \mu_p \sin \nu_p \cos (\mu_p + \nu_p) \\ &- (\sin^2 \nu_p + \sin^2 \mu_p) \sin \mu_p' \sin \nu_p' \cos (2\, k + \mu_p' + \nu_p') \\ &H_p R_p'' = -E_p [(\sin^2 \nu_p' \, e^{+\, 2\, k} - \sin^2 \mu_p' \, e^{-\, 2\, k}) \sin \mu_p \sin \nu_p \sin (\mu_p + \nu_p) \\ &- (\sin^2 \nu_p - \sin^2 \mu_p) \sin \mu_p' \sin \nu_p' \sin (2\, k + \mu_p' + \nu_p') \\ &H_p D_p' = -E_p \frac{\gamma}{\gamma} \sin (\mu_p + \nu_p) [\sin \nu_p \sin \nu_p' (\sin \mu_p' \cos (k + \mu_p + \mu_p' + \nu_p') - \sin \nu_p' \cos (k + \mu_p)) e^{-k m_p'} \\ &+ \sin \mu_p \sin \mu_p' (\sin \nu_p' \cos (k + \nu_p + \mu_p' + \nu_p') - \sin \mu_p' \cos (k + \nu_p)) e^{-k m_p'} \\ &H_p' D_p'' = E_p \frac{\gamma}{\gamma} \sin (\mu_p + \nu_p) [\sin \nu_p \sin \nu_p' (\sin \mu_p' \sin (k + \mu_p + \mu_p' + \nu_p') - \sin \nu_p' \sin (k + \mu_p)) e^{-k m_p'} \\ &- \sin \mu_p \sin \mu_p' (\sin \nu_p' \sin (k + \nu_p + \mu_p' + \nu_p') - \sin \mu_p' \sin (k + \nu_p)) e^{-k m_p'} \\ &H_p = \sin^2 \nu_p \sin^2 \nu_p' \, e^{+\, 2\, k} + \sin^2 \mu_p \sin^2 \mu_p' \, e^{-\, 2\, k} \\ &- 2 \sin \mu_p \sin \nu_p \sin \mu_p' \sin \nu_p' \cos (2\, k + \mu_p + \nu_p + \mu_p' + \nu_p') + \mu_p' + \mu_p'$$

Die Formeln (11) und (15) enthalten die Lösung des gestellten Problems; sie gehen für verschwindende Absorption in die früher von mir für eine Schicht einer durchsichtigen Substanz aufgestellten über.')

III. Zur Vergleichung mit den an Metallschichten angestellten Beobachtungen bilden wir zunächst die Werthe der Intensitäten beider Componenten des reflectirten lachtes; betrachtet man die einfallenden als durch 5,2 und £,2 gegeben, so sind jene gemessen durch:

$$R^{2} = R^{2} + R^{-2}$$

$$(\sin \mu \sin r e^{+\lambda} + \sin u^{2} \sin r e^{-\lambda})^{2}$$

$$(\sin \mu \sin r \sin u \sin r \sin^{2} + (2\lambda + (\mu + r) - (\mu + r))^{2}$$

$$(\sin r \sin r e^{+\lambda} - \sin u \sin \mu e^{-\lambda})^{2}$$

$$+ 4 \sin \mu \sin r \sin u \sin r e^{2\lambda} \cdot (2\lambda + (\mu + r) + (\mu + r))$$

wo sun rechts und links, jenachdem es sich um Licht parallel der senkrecht zur Einfallsebene polarisirt handelt, die Inlices p oder anzubringen sind.

Diese Formel zeigt — was an sich einleuchtend ist —, lass die an einer Metallschicht reflectirten Intensitäten in derselben Weise mit wachsender Dicke der Schicht abwechselnd Maxima und Minima erreichen, wie die an einer dunnen Schicht einer durchsichtigen Substanz reflectirten, dass also eine keilförmige Schicht eines Metalles das Newton'sche Phänomen zeigen müsste. Indessen ist nicht nothwendig, lass dasselbe stets in einer für die Beobachtung merklichen intensität eintritt, denn das mit der Dicke der Schicht periodische Ghed erhält in Zähler und Nenner den Factor  $e^{-ik}$ , som man den Ausdruck nach Potenzen dieser Grösse ordnet, und also, da  $k = 2\pi l \beta_1 \lambda_1$  ist, mit wachsender Dicke schnell Einfluss verlieren.

<sup>1</sup> W Voigt, Wied, Ann. 22, p. 226, 1884

ferenzstreisen zeigen. Diese Voraussetzung ist aber bei den Metallen, die bis jetzt in dünnen Schichten beobachtet sind, nämlich Gold und Silber, in vollem Maasse erfüllt. Die Grösse  $\beta_1$  fällt bei normalem Einfall mit dem Absorptionsindex z zusammen und ist bei schiesem Einfall von derselhen Ordnung, da  $\gamma_1$  nicht sehr von 1 verschieden ist, z aber hat nach den früher berechneten Quincke'schen Beobachtungen') für Gold den Werth 5,8 für Silber 15,0 —  $2\pi\beta_1$   $\gamma_1$  ist also resp. von der Ordnung 54 und 93, und daher eine keilförmige Schicht aus diesen Substanzen lange vor dem ersten Minimum als undurchsichtig zu betrachten. Dies ist in Uebereinstimmung mit den oben besprochenen Beobachtungen Wernicke's², und den Folgerungen Jochmann's aus der Cauchy'schen Theorie der Metallrestexion.

Um eine Vorstellung von dem Verlauf der durch (16) bestimmten Werthe zu geben, werde ich die reflectirten Amplituden für verschieden dicke Schichten von Silber, welches auf Glas niedergeschlagen ist, und für den Einfallswinkel 72° berechnen, weil Beobachtungen von Hrn. Quincke vorhanden sind, welche einen Theil der Resultate zu vergleichen gestatten. Da sich aus diesen Beobachtungen aber nicht die den betreffenden Silberplatten entsprechenden Constanten n und z berechnen lassen, muss ich diejenigen Werthe derselben benutzen, die ich früher aus anderen Quincke schen Beobachtungen abgeleitet habe 4), nämlich:

$$x = 15,0, \quad n = 0.23,$$

obgleich dadurch die Vergleichung an Sicherheit verhert-Den Brechungscoëfficienten der benutzten Glasplatten gibt Hr. Quincke selbst zu 1,538 an.<sup>5</sup>

4) W Voigt, Le p. 162

<sup>1)</sup> W. Voigt, Gott. Nachr. Nr. 6, p. 162 u. 168, 1884.

<sup>2)</sup> Wernicke, Fortschr. d. Phys. 27, p. 420, 1876.

<sup>3)</sup> Jochmann, Pogg. Ann Ergh. 5, p. 620, 1871

<sup>51</sup> Diese wie die folgenden Berechungen sind säumitheh mit der vortrefflichen Mannhelmer schen Rechenschieher angesteilt, also die Besuitate der complication Operationen in der dritten Zufer meht mehr sieher. Diese Genangkeit genugt indess für den vorliegenden Zweck durchaus

Die in (10) und (14) definirten Hülfsgrössen σ, δ, μ und r crhalten dadurch folgende Werthe:

Nimmt man nun die Dicke / der Silberschicht in Tausendstelmillimetern successive gleich:

I=0 0,014 0,024 0,040 0,047 0,055 0,067 0,075  $\infty$ , so erhält man die reflectirten Intensitäten  $\Re_{\nu}^{1}$  und  $\Re_{\nu}^{2}$ , welche der einfallenden Intensität Eins entsprechen:

 $\Re_4^{-1} = 0.960$  0.224 0.438 0.867 0.780 0.768 0.796 0.903 0.818,  $\Re_4^{-1} = 0.355$  0.788 0.879 0.950 0.968 0.969 0.917 0.978 0.980.

Construirt man diese Werthe, so erhält man zwei stetig ansteigende Curven, die in ihrem ganzen Verlauf weder Maximum noch Minimum zeigen.

Ceber diese Werthe sind nun zwar keine Beobachtungsresultate vorhanden, aber das Verhältniss der Amplituden:

$$\varrho_r = \frac{\Re}{\varphi_r} = \lg \psi_r$$

in von Hrn. Quincke für die angegebenen Werthe der Schichtdicke bestimmt.")

Die obigen Zahlen geben:

\$\rho\_{\circ} = 0.412 \ 0.531 \ 0.702 \ 0.884 \ 0.870 \ 0.890 \ 0.893 \ 0.808 \ 0.914 \, \$\rho\_{\circ} \circ 22^\circ 25 \ 26^\circ 50 \ 33^\circ 5 \ 32^\circ 55 \ 41^\circ 0 \ 41^\circ 40 \ 42^\circ 5 \ 42^\circ 10 \ 42^\circ 80'\.

Hr. Quincke gibt als vollständigste Beobachtungs-

\*, = - 21'1 38'58' 56'32 42'38' 48'57' 42'43 43'18 -

Der erste beobachtete Zahlenwerth ist besonders unsicher, andere unvollständigere Beobachtungsreihen haben statt seiner Werthe bis 32° ergeben. Die mittleren Zahlen beziehen sich auf Emfallswinkel, die etwas grösser als 72° sind und sind cher etwas zu klein berechnet. Die Uebereinstimmung ist also eine sehr bedeutende und kann als eine neue Bestätigung der Theorie gelten.

Sind, wie bisher, die einfallenden Intensitäten durch E,1 und E,2 gemessen, so sind wegen der Verschiedenheit

1) Quincke, Pogg. Ann. 129, p. 214 u. 215, 1866.

des ersten und dritten Mediums die Intensitäten der durchgegangenen Wellen nicht durch  $D_i^2 = D_i^{-1} + D_i^{-2}$  und  $D_p^2 = D_p^{-2} + D_p^{-2}$  gemessen, sondern durch  $a \gamma - a \gamma - D_i^{-2} = D_i)^2$  und  $a \gamma - a \gamma - D_p^{-2} = (D_p)^2$ . Für diese erhält man nach einigen Reductionen die Form:

(17) 
$$\begin{cases} i \ln(\mu + e) \sin(\mu + e) \sin(e - \mu) \sin(e' - \mu) \\ + 4 \sin \mu \sin e \sin \mu \end{cases}$$

$$= E^{2} - \frac{4 \sin \mu \sin e \sin \mu \sin \mu e^{-k}}{(\sin e \sin \mu \sin \mu \sin \mu \sin \mu e^{-k})^{2}}$$

$$+ 4 \sin \mu \sin e \sin \mu \sin \nu \sin^{2} \left( 2k + \mu + e + \mu + e \right)$$

Hierin ist, jenachdem es sich um Licht parallel oder senkrecht zur Einfallsehene polarisirt handelt, auf heiden Seiten der Index p oder sanzufügen.

Man erkennt aus der letzten Formel, dass die Schwächung durch die absorbirende Lamelle (die sowohl in Reflexion als Absorption begründet ist) genau die gleiche ist, oh das Licht die drei Medien in der Reihenfolge 0, 1, 2 oder 2, 1, 0 durchläuft.

Fragen wir nach den Umständen, welche das Unmerklichwerden von  $(D_s)^2$  und  $(D_T)^2$  bedingen, so können wir uns im Nenner auf das grösste Glied beschränken und schreiben:

$$(18) \begin{cases} (D)^2 = E^{\frac{1}{2} \sin (n + r)} \sin (n + r) [\sin (n + u) \sin (n' + u) \\ + 4 \sin v \sin \mu \sin v \sin u] e^{-2k}. \end{cases}$$

Die Grössenordnung dieses Ausdruckes hängt in erster Linie von der Exponentialgrösse ab; ihr Exponent 2k ist  $=4\pi l \beta$ ,  $\lambda_1=4\pi l \kappa \lambda_1 \gamma_1$ , also für  $(D_t)^2$  und  $(D_p)^2$  gleich und von dem bei normalem Durchgang, d. h. von  $4\pi l \kappa \lambda_1$ , nur durch den Nenner  $\gamma_1$  verschieden. Die Grösse  $\gamma_1$  bestimmt sich aus (2k), sie ist also keineswegs, wie Hr. Wernicke angenommen hat, mit dem Cosinus des Brechungswinkels, d. h.  $l = \alpha^2 n^2$  identisch; demgemäss sind alle Folgerungen, welche Hr. Wernicke aus seinen Absorptionsbeobachtungen bei normaler und schiefer Incidenz zicht, hintälig. Dass diese Beobachtungen mit meiner Theorie übereinstummen, habe ich schon früher gelegentlich dargethan. Vorstehen-

<sup>1) 4</sup> oben p +6,

<sup>2)</sup> W. Voigt, L. S. p. 163

der Formel bedarf es zu der Berechnung dieser Beobachtungen an ht, weil sie so angestellt sind, dass die Schwächung durch die Reflexion zu den beiden Grenzen der Metallschicht, welche durch den complicirten Factor der Exponentialgrässe gegeben ist, auf die Resultate nicht influirt.

Dieser Factor bestimmt in zweiter Innie die Grösse on  $(D_i)^2$  und  $(D_p)^2$  und ist für senkrecht und parallel der Einfallsebene polarisirtes Licht verschieden. Für die Beobachtung bietet sich besonders das Verhältniss der beiden Amplituden  $(D_i)(D_p) = \varrho_d$ , welches man direct erhält, wenn man das von einfallendem lineärpolarisirten herrührende, elliptisch polarisirte durchgehende Licht mit Hülfe eines Vompensators wieder lineär macht. Meist wählt man das Aumuth des einfallenden Lichtes = 45°, also  $E_i = E_p$  und hat dann, wenn man sich wiederum, wie in Formel (18) auf tas höchste Glied beschränkt, für dies Verhältniss:

$$\frac{Q_3^2 = \left(\frac{T_s}{T_p}\right)^2 = \left(\frac{\sin \nu_p \sin \nu_p}{\sin \nu_s \sin \nu_s}\right)^2 \sin \left(u_s + v_s\right) \sin \left(\mu_s + v_s\right) \sin \left(\mu_s + v_s\right)}{\sin \left(\nu_p + \nu_p \sin \nu_s + \nu_p\right)}$$

$$\sin \left(\nu_s - \mu_s\right) \sin \left(\nu_s - \mu_s\right) + 4 \sin \nu_s \sin \mu_s \sin \nu_s \sin \mu_s$$

$$\sin \left(\nu_s - \mu_p \sin \left(\nu_s - \mu_s\right)\right) + 4 \sin \nu_s \sin \mu_s \sin \nu_s \sin \mu_s$$

Dabei ist allerdings zu berücksichtigen, dass, weil man acht im dritten Medium selbst beobachten kann, wenn dasselle vom ersten (Luft) verschieden ist, rechts noch ein Factor wegen des Ueberganges durch die letzte Grenze hinzuzufügen ist.

Ist die Metallschicht beiderseits direct mit Lust in Be-

$$Q_d = \frac{\sin^4 \nu_p \sin \left(\mu_s + \nu_s\right)}{\sin^4 \nu_s \sin \left(\mu_p + \nu_p\right)} \left[ \frac{\sin^4 \nu_s - \mu_s}{\sin^4 \nu_p - \mu_p} + 4 \sin^2 \nu_s \sin^4 \mu_p \right]$$

Nach dieser Formel wären z. B. die Quincke'schen Beobachtungen über die elliptische Polarisation des durch ein Goldblättehen gegangenen Lichtes zu berechnen, wenn man annehmen dürfte, dass letzteres so dick gewesen ist, dass die von uns gemachte Vernachlässigung zulässig ist; ware sie es nicht, so müssten die berechneten Werthe grösser als die beobachteten ausfallen. Ich gebe im Folgenden einige

darauf bezügliche Zahlenwerthe un, muss aber freiheh, da Hrn. Quincke's Beobachtungen die Constanten n und x fur das benutzte Goldblättchen nicht abzuleiten gestatten, die bei einem ganz anderen Praparat früher erhaltenen!) a. z. und u. . anwenden, wodurch natürlich die Sicherheit der Vergleichung leidet.

Hrn. Quincke's Beobachtungen's geben für die Ein-

fallswinkel:

a = 0' 251 451

durch Interpolation die Werthe:

ed = 1,017 1,137 1,580 2,269 :

obige Formel hingegen ergibt:

 $q_d = 1,000 - 1,159$ 1.640

Die beobachteten Werthe laufen den berechneten parallel, sind aber kleiner, das Blättchen ist also so dünn gewesen, dasdie gemachte Vernachlässigung nicht zulässig ist; indess ist eine Benutzung der strengen Formel unmöglich, da Hi Quincke die Dicke des benutzten Blättchens nicht angibt Ein ganz ähnliches Resultat erhält man, wenn man die Beoiachtungen Hrn. Quincke's an Licht, welches durch eine auf Glas niedergeschlugene Silberschicht bindurchgeganges ist3, nach der angenäherten Formel (19, berechnet.

Die strenge Formel (17) für die durchgegangenen Amplituden habe ich wiederum nur für die oben (p. 103 schon erwähnten Quincke'schon Beobachtungen berechnet welche sich auf den Durchgung des Lichtes durch ein System verschieden dicker auf Glas niedergeschlagener Silberschich-

ten bezieht.

Für die in Tausendtheilen von Millimetern gegebenen Dicken:

l = 00,014 0,024 0,040 0,047 0,035 0,067 0,075 00 erhält man aus den oben angegebenen Hülfsgrössen die Intensitäten nach dem Durchgang durch das Silber (also im Glas) für die einfallende Intensität Eins:

<sup>1)</sup> W Voigt, I c. p. 166

<sup>2)</sup> Quincke, Pogg Ann 119. p 373 1863.

B) i c. p. 875.

 $T_{\rm p}^{-1} = 0.440$  0.662 0.411 0.154 0.0691 0.0594 0.0213 0.0119 0  $T_{\rm p}^{-1} = 0.045$  0.214 0.0864 0.0293 0.0128 0.00695 0.00288 0.00158 0.

ladessen sind die Beobachtungen erst nach dem Austritt aus der Glasplatte angestellt und beziehen sich daher auf Amplituden T; und T;, welche gegeben sind durch:

$$\begin{split} \mathfrak{T}_{s}^{ij} &= {}^{i}\mathfrak{T}_{s}^{ij} \cdot \frac{\sin 2q \sin 2q}{\sin^{2}(q+q)\cos^{2}(q+q)} \\ \mathfrak{T}_{s}^{ij} &= (\mathfrak{T}_{p})^{2} \cdot \frac{\sin 2q \sin 2q}{\sin^{2}(q+q)}, \end{split}$$

worm  $\varphi = 72^{\circ}$  der Winkel des Strahles gegen das Einfallsloth in Luft,  $\varphi' = 35^{\circ}$  derjenige im Glas ist. Diese Worthe sind:

 $\hat{e}_{s}^{-1} = 0.483$  0.623 0.398 0.145 0.0638 0.0478 0.0203 0.0112 0  $\hat{e}_{s}^{-1} = 0.417$  0.133 0.0557 0.0152 0.00827 0.00448 0.00185 0.00102 0.

Hieraus folgt demnach  $\varrho_d' = \mathfrak{D}_t$ ,  $\mathfrak{D}_p' = \operatorname{tg} w_d'$ :

 $q_2^2 = 1.45$ , 2.12 2.63 3.09 3.18 3.25 9.20 3.31 3.92  $q_4 \approx 35^{\circ}$  30 64'40 60°10 72°4 72°33 73°54 73°6 73°11 73°15.

Für diese Grösse gibt Hr. Quincke in der ohen benutzten

Die letzte Zahl erscheint unsicher, eine andere unvollstängigere Beobachtungsreihe gibt den daruntergestellten Werth, welcher wesentlich besser stimmt. Auch diese Beobzibtungen bestätigen die Theorie, soweit bei den unsicheren Werthen a und zu erwarten.

IV. Die bei der Reflexion stattfindenden Verwerungen e, und e, sind gegeben durch:

21 
$$\operatorname{tg} \frac{s_t}{t} = -\frac{R_t^n}{R_t^n}, \qquad \operatorname{tg} \frac{s_t}{t} = -\frac{R_t^n}{R_t^n};$$

erhalten dieselben Werthe, wie bei einer Metallmasse unendlicher Dicke, sobald e-2\* neben 1 zu vernachläsugen ist, sie erhalten kleinere Werthe, wenn diese Vernachläsugung nicht statthaben dart.

Die Verzögerungen beim Durchgang durch die behacht, e, und e,, d. h. die Phasendifferenz derselben Wellenebens in den beiden Lagen im ersten und dritten Medium, welche durch die Schnittpunkte einer Normalen auf Schicht mit deren beiden Begrenzungsflächen hindurchgeb sind analog gegeben durch:

(22) 
$$\operatorname{tg} \frac{t_i}{r} = -\frac{D_i}{D_i}, \qquad \operatorname{tg} \frac{t_i}{r} = -\frac{D_i}{D_i}.$$

Vernachlässigt man hierin e-24 neben 1, d. h. nimmt dass eine Schicht von doppelter Dicke der benutzten nahe undurchsichtig angesehen werden könne, so erhält m

(23) 
$$\begin{cases} \operatorname{tg}^{\prime} x_{s}^{\prime} = \frac{\sin \mu_{s}^{\prime} \sin (h + \mu_{s} + \mu_{s}^{\prime} + \nu_{s})}{\sin \mu_{s}^{\prime} \cos (h + \mu_{s} + \mu_{s}^{\prime} + \nu_{s}^{\prime})} = \sin \nu_{s}^{\prime} \sin (h + \mu_{s}^{\prime} + \mu_{s}^{\prime} + \nu_{s}^{\prime})} - \sin \nu_{s}^{\prime} \cos (h + \mu_{s}^{\prime} + \mu_{s}^{\prime} + \nu_{s}^{\prime})} - \sin \nu_{s}^{\prime} \sin (h + \mu_{s}^{\prime} + \mu_{s}^{\prime} + \nu_{s}^{\prime})} - \sin \nu_{s}^{\prime} \cos (h + \mu_{s}^{\prime} + \mu_{s}^{\prime} + \nu_{s}^{\prime})} - \sin \nu_{s}^{\prime} \cos (h + \mu_{s}^{\prime} + \mu_{s}^{\prime} + \nu_{s}^{\prime})} - \sin \nu_{s}^{\prime} \cos (h + \mu_{s}^{\prime} + \mu_{s}^{\prime} + \nu_{s}^{\prime})} - \sin \nu_{s}^{\prime} \cos (h + \mu_{s}^{\prime} + \mu_{s}^{\prime} + \nu_{s}^{\prime})} - \sin \nu_{s}^{\prime} \cos (h + \mu_{s}^{\prime} + \mu_{s}^{\prime} + \nu_{s}^{\prime})} - \sin \nu_{s}^{\prime} \cos (h + \mu_{s}^{\prime} + \mu_{s}^{\prime} + \nu_{s}^{\prime})} - \sin \nu_{s}^{\prime} \cos (h + \mu_{s}^{\prime} + \mu_{s}^{\prime} + \nu_{s}^{\prime})} + \sin \nu_{s}^{\prime} \cos (h + \mu_{s}^{\prime} + \mu_{s}^{\prime} + \nu_{s}^{\prime})} - \sin \nu_{s}^{\prime} \cos (h + \mu_{s}^{\prime} + \mu_{s}^{\prime} + \nu_{s}^{\prime})} - \sin \nu_{s}^{\prime} \cos (h + \mu_{s}^{\prime} + \mu_{s}^{\prime} + \nu_{s}^{\prime})} + \sin \nu_{s}^{\prime} \cos (h + \mu_{s}^{\prime} + \mu_{s}^{\prime} + \nu_{s}^{\prime})} + \sin \nu_{s}^{\prime} \cos (h + \mu_{s}^{\prime} + \mu_{s}^{\prime} + \nu_{s}^{\prime})} + \sin \nu_{s}^{\prime} \cos (h + \mu_{s}^{\prime} + \mu_{s}^{\prime} + \nu_{s}^{\prime})} + \sin \nu_{s}^{\prime} \cos (h + \mu_{s}^{\prime} + \mu_{s}^{\prime} + \nu_{s}^{\prime})} + \sin \nu_{s}^{\prime} \cos (h + \mu_{s}^{\prime} + \mu_{s}^{\prime} + \nu_{s}^{\prime})} + \sin \nu_{s}^{\prime} \cos (h + \mu_{s}^{\prime} + \mu_{s}^{\prime} + \nu_{s}^{\prime})} + \sin \nu_{s}^{\prime} \cos (h + \mu_{s}^{\prime} + \mu_{s}^{\prime} + \nu_{s}^{\prime})} + \sin \nu_{s}^{\prime} \cos (h + \mu_{s}^{\prime} + \mu_{s}^{\prime} + \nu_{s}^{\prime})} + \sin \nu_{s}^{\prime} \cos (h + \mu_{s}^{\prime} + \mu_{s}^{\prime} + \nu_{s}^{\prime})} + \sin \nu_{s}^{\prime} \cos (h + \mu_{s}^{\prime} + \mu_{s}^{\prime} + \nu_{s}^{\prime})} + \sin \nu_{s}^{\prime} \cos (h + \mu_{s}^{\prime} + \mu_{s}^{\prime} + \nu_{s}^{\prime})} + \sin \nu_{s}^{\prime} \cos (h + \mu_{s}^{\prime} + \mu_{s}^{\prime} + \nu_{s}^{\prime})} + \sin \nu_{s}^{\prime} \cos (h + \mu_{s}^{\prime} + \mu_{s}^{\prime} + \nu_{s}^{\prime})} + \sin \nu_{s}^{\prime} \cos (h + \mu_{s}^{\prime} + \mu_{s}^{\prime} + \nu_{s}^{\prime})} + \sin \nu_{s}^{\prime} \cos (h + \mu_{s}^{\prime} + \mu_{s}^{\prime} + \nu_{s}^{\prime})} + \sin \nu_{s}^{\prime} \cos (h + \mu_{s}^{\prime} + \mu_{s}^{\prime} + \nu_{s}^{\prime})} + \sin \nu_{s}^{\prime} \cos (h + \mu_{s}^{\prime} + \mu_{s}^{\prime} + \nu_{s}^{\prime})} + \sin \nu_{s}^{\prime} \cos (h + \mu_{s}^{\prime} + \mu_{s}^{\prime} + \nu_{s}^{\prime})} + \sin \nu_{s}^{\prime} \cos (h + \mu_{s}^{\prime} + \mu_{s}^{\prime} + \nu_{s}^{\prime})} + \sin \nu_{s}^{\prime} \cos (h + \mu_{s}^{\prime} + \mu_{s}^{\prime} + \nu_{s}^{\prime})} + \sin \nu_{s}^{\prime} \cos (h + \mu_{s}^{\prime} + \mu$$

Hieraus tolgt, dass, selbst wenn man, wie hierbei geschelist. von mehrfachen inneren Reflexionen absieht, die bedurchgang durch die Metalischicht auftretende Verzögen keineswegs nur von dem zurückgelegten Weg abhängt imm gewöhnlich durch  $\gamma_1 I$  gegeben aussieht,, sondern die Vorgänge beim Eintritt und Austritt durch die Grender Schicht mit bedingt wird und demgemäss für die Geponenten parallel und normal zur Einfallsebene verschen ist.

Da über die absolute Verzögerung beim Durchg durch ein beiderseits mit Luft in Berührung stehen Goldblatt Beobachtungen von Hrn. Quincke vorliegen, will ich einige Werthe für , unter Benutzung der frü berechneten Constanten für Gold:

$$x = 8.8 \qquad n = 0.28$$

und der daraus folgenden Werthe  $\mu$  und  $\nu$  angeben; de ist dabei nochmals daran zu erinnern, dass die verschieden Goldplatten je nach der Herstellung sich wesentlich verhieden verhalten, die Benutzung der an einer erhalten Constanten zur Darstellung der von anderen gezeigten scheinungen also im hohen Grade unsicher ist.

Nehmen wir zunächst normalen Durchgang durch Blättchen, so ist in obigen Formeln  $k = l + rm_1 = 2\pi l$  zu setzen.

Wählt man successive:

311

 $l_{-4_1} = 1.24$  1.12 1.6 1.4  $\pm 0.041$  0.083 0.163 0.250

erhält man für die absolute Verzögerung im Blättelen in beilen von  $2\pi$ , d. h. wegen  $\tau = T/2\pi$  für

 $_{3},\ T=-0.074$  -0.032  $\pm0.087$   $\pm0.135$  ()

hrend zugleich die Verzögerung auf demselben Wege aber Luft wäre:

 $I_A = -0.147 - 0.226 - 0.597 - 0.593.$ 

nadet hiernach in sehr dünnen Metallschichten beim senkhten Durchgang eine Beschleunigung statt. Hrn.
nincke's Beobachtungen mit dem Interferentialrefractor
ben die Differenz der Verzögerungen in Luft und Metall,
des ist nach den vorstehenden Zahlen begreiflich, dass
bei einer Metalldicke, die er auf 1-2 Zehntel Wellenage in Luft schätzte<sup>3</sup>), doch einen Gangunterschied von
össerem Werth als diesem erhalten hat.

Aus diesen Quincke'schen Beobachtungen ist also kein hwand gegon die Theorie zu entnehmen, sie enthalten kimehr eine neue Bestätigung derselben.

Für schiesen Einsall benutzen wir ebensalls die früher rechneten Werthe für die u und v und erhalten für ein attchen von der Dicke  $l=\lambda_1$  12, für Licht senkrecht zur infallsebene polarisirt und für die Einsallswinkel:

a = 0° 25° 45° 654 85°

Verzögerung beim Durchgung durch das Metall-

 $\chi_{af} T = -0.032 -0.002 +0.013 +0.087 +0.250,$ 

wer die bei Zurücklegung des gleichen Weges in Luft:

 $I_{\gamma} \lambda = 0.296 - 0.268 - 0.209 - 0.125 - 0.026,$ 

o die mit dem Interferentiklrefractor beobachtbare Diffenz der Verzögerungen in Streifenbreiten:

 $\zeta_1/T \Rightarrow -0.328 -0.270 -0.196 -0.038 +0.224$ 

Der letztere Werth geht also durch Null hindurch in das Entgegengesetzte über. Für Licht parallel der Einfallsebene Dariert folgt ebenso für:

1 Fur die kleinsten Dicken sind die Werthe nur rohe Annsherungen.

2. Quincke, Pogg. Ann. 119, p. 382 1883; 142, p. 186, 1871.

$$q = 0^{\circ}$$
 25° 45° 65° 65°  $\eta_p/T = -0.032$  -0.048 -0.060 -0.102 -0.157  $\ell_f/\lambda = 0.296$  0.268 0.209 0.125 0.026.

Also die gegenseitige Verzögerung:

$$z_p/T = -0.328 -0.311 -0.289 -0.227 -0.168.$$

Hr. Quincke hat bei einem Goldblättchen diese Werthe leider nicht bestimmt, sondern nur für eine auf Glas niedergeschlagene Silberschicht<sup>1</sup>); auf diese Beobachtungen wird unten eingegangen werden.

Die gegenseitige Verzögerung der beiden durchgegangenen Componenten ist gegeben für:

$$q = 0^{\circ}$$
 25° 45° 65° 85° durch:

$$(\eta_s - \eta_p)$$
  $T = 0$  0,041 0,093 0,189 0,407

sie wächst also mit dem Einfallswinkel und scheint bei streifendem Einfall den Werth 0,5 zu erreichen.

Diese gegenseitige Verzögerung ist durch Beobachtung der elliptischen Polarisation des durchgegangenen Lichtes ebenfalls direct zu bestimmen. Hr. Quincke<sup>3</sup>) hat eine so gewonnene Werthreihe mitgetheilt; da aber die Dicke des benutzten Goldblättchens nicht angegeben ist — sondern nur ein gelegentlich von Warren de la Rue und Faraday mitgetheilter Werth über seine Grössenordnung —, so ist eine numerische Vergleichung nicht möglich; Vorzeichen und Gang der Zahlen ist aber genau der oben vermerkte; man erhält nämlich durch Interpolation aus den beobachteten Zahlen unter der Einführung unserer Einheiten für:

$$q=0$$
 25° 45° 65° (75°)  
 $(\eta_e-\eta_p)$   $T=0$  0,015 0,070 0,165 (0,245).

Dass Hr. Quincke nie grössere Gangunterschiede als 0,25 beobachtet hat<sup>3</sup>), rührt daher, dass er in Luft keine grösseren Einfallswinkel als 75° angewandt hat; die Werthe wachsen nach unseren Formeln nahe 90° sehr schnell mit dem Einfallswinkel.

<sup>1)</sup> Quincke, Pogg. Ann. 120. p. 602. 1863.

<sup>2)</sup> Quincke, Pogg. Ann. 119. p. 373. 1863.

L c. p. 370.

Endlich will ich noch nach der angenüherten Formel (23 die Verzögerungen berechnen, die beim Durchgang durch eine exerseits von Luft, andererseits von Glas vom Brechungscoeftenten 1,54 begrenzte Silberschicht von der Dicke 0,00015 mm ter verschiedenen Einfallswinkeln eintreten, über welche Beobschtungen von Hrn. Quincke<sup>1</sup>) vorliegen. Ich benutze dazu die obigen Werthe der Constanten n = 0.23, x = 1.50 und solche Einfallswinkel. für welche die  $\mu$  und  $\nu$  schon früher bestimmt waren, sodass nur  $\mu'$  und  $\nu'$  neu zu berechnen sind.

Die aus (23) folgenden Werthe sind für die Einfallssinkel:

$$q = 0^{\circ}$$
 | 281 | 45° | 45° | 72° |  $q = -0.014 - 0.065 - 0.018 - 0.010 + 0.015$  |  $q = T = -0.074 - 0.081 - 0.095 - 0.114 - 0.121$ .

Die Beobachtungen beziehen sich auf die Differenz dieser Werthe und der Verzögerung auf dem gleichen Werthe in Luft 17 2, für welche man erhält:

 $t_{7}$ , = 0.250 0.227 0.177 0.106 0.077 Neunt man die Differenzen wieder  $\zeta_p$ , T und  $\zeta_p$ , T, so erbält man:

$$T = -0.324 - 0.294 - 0.225 - 0.116 - 0.062$$
  
 $T = -0.324 - 0.305 - 0.292 - 0.220 - 0.125$ 

Diese Zahlen sind unmittelbar die Bruchtheile der Streifenbreiten, um welche bei Hrn. Quincke's Beobachtagen mit dem Interferentialrefractor durch die Wirkung der eingeschobenen Silberplatte das Interferenzbild verschoten wurde. Die Beobachtungen, welche nach Hrn. Quincke's Bemerkung nicht über 0.1 Streifenbreiten sicher waren, gaben für die Einfallswinkel.

t Quincke, Pogg. Ann. 120. p. 602. 1863, Hr. Quincke gibt die Diche der Silberschi ht auf 0,000 122 bis 0,000 173 mm an, es bleibt da in une betrachtliche Unsicherheit und ist denkbar, dass die verschiedeort Emfallswinkeln entsprechenden Beobachtungen an verschieden dicken Storm angestellt sind.

AM. 4 Phys. u. Chem. N. F XXV

$$T = -0.25 - 0.30 -0.30 -0.23 -0.15 -0.10 -0.00$$
 $T = -0.25 -0.32 -0.35 -0.30 -0.25 -0.15 -0.10$ 

Die Differenz erreicht nie die Grösse der möglichen Beobachtungsfehler: die Uebereinstimmung ist also eine vollkommene.

Göttingen, November 1884.

# VIII. Notiz über einen empfindlichen Duplicator; ron Julius Elster und Hans Geitel.

(Bierry Taf. 1 Fig. 5.)

Es ist eine bekannte Thatsache, dass eich auflösende Wasserstrahlen durch influenzirende Kräfte leicht electrisirt werden können. Man kann diesen Umstand benutzen, mit den einfachsten Mitteln einen Duplicator zu construiren, der gestattet, durch die Influenz der freien Spannung an den Polen eines Daniell'schen Elementes die Ladung eines kleinen Conductors bis zur Funkenerscheinung zu steigern.

In Fig. 8 ist derselbe in 1,0 der natürlichen Grösse dargestellt. Zwei aus den Austlussröhren S und S' austretende, feine Wasserstrahlen treffen die durch die Tischchen TT isolirten Blechgefässe AA. Der Metallring R' ist durch einen Messingbügel leitend mit dem Gefässe A verbunden, der Ring R isolirt und mit dem einen Pole, etwa dem positiven, eines Daniell'schen Elementes, dessen anderer Pol zur Erde abgeleitet ist, durch einen Kupferdraht in Verbindung gesetzt. Die positive Ladung des Ringes R wirkt influenzirend auf die Tropfen des aus S austretenden Strahles, und zwar derartig, dass dieselben, mit negativer Ladung behaftet, in das Geräss A hinabfallen. Dadurch wird das Gefäss A schwach negativ geladen, aber bekanntlich zu einer bei weitem höheren Spannung, als der Ring R besitzt Der mit A verbundene Ring R' wirkt nun influenzirend auf den aus S' austretenden Strahl, und zwar bereits so stark, dass ein mit A' verbundenes Goldblattelectroskop nach kurzer Zeit das Maximum der Divergenz zeigt und eine kleine Leydener Flasche bis auf eine geringe Schlagweite geladen werden kann. Verbindet man R mit dem negativen Pole des Elementes and leitet den positiven zur Erde ab, so nimmt A negative Electricität an. Das Gestiss A besitzt daher stets die zum nichtabgeleiteten Pole gleichnamige Electricität.

Der Apparat functionirt mit grosser Regelmässigkeit, sobald man dafür sorgt, dass nicht zufällig irgend eine wenn auch noch so schwache Electricitätsquelle, z. B. mit der Hand berührte Kautschukschläuche, sich in der Nähe der Strahlen befindet.

Es sei noch bemerkt, dass eine wenn auch bedeutend geringere Divergenz der Goldblättehen auch bei Verwendung nur eines Strahles eintritt, und dass man bei Anwendung von drei oder mehreren Strahlen, die in analoger Weise combinist sind, die Wirkung noch bedeutend verstärken kann. Doch wird der Natur der Sache nach eine Grenze sehr bald ladurch erreicht, dass bei zu starker Influenz der grösste Theil der Tropfen des letzten Strahles das unter der Austausoffnung stehende Gefüss nicht mehr erreicht. Die meisten üngen vermöge ihrer gegenseitigen Abstossung über den kand des Gefüsses heraus und zerstören so die Isolationstangkeit der Tischehen.

Der hier mitgetheilte Apparat ist in seiner äusseren Erscheinung der Thomson'schen Wasserinduenzmaschine sehr ähnlich. Der wesentliche Unterschied besteht darin, ass hier der induenzirende Ring R durch die Verbindung auf dem Daniell auf constantem Potential gehalten wird.

Wir glaubten diese einfache Anordnung hier mittheilen mitten, weil das Princip, nach welchem die Duplication meicht wird, ein sehr übersichtliches ist, und weil ferner ist Apparat den Vortheil bietet, dass man mit seiner Hülfe an einem einfachen Goldblattelectroskop oder einem electrischen Pendel das Vorhandensein einer electrischen Spanbing an den Polen eines galvanischen Elementes auch einem Mosen Zuhörerkreise nachweisen kann. Es dürfte daher et hier beschriebene Apparat zu Unterrichtszwecken sich wohl emptehlen.

Wolfenbüttel, im Januar 1885.

### 1X. Bemerkungen über den electrischen Vorgang in den Gewitterwolken; von Julius Eister und Hans Geitel.

Bei einer Untersuchung, mit der wir schon seit längerer Zoit beschäftigt sind, und welche die Electricitätserregung durch Reibung feinzerstäubter Flüssigkeiten an festen Körpern von verschiedener Temperatur zum Gegenstande hat machte sich die ungemeine Empfindlichkeit der sich aufrosenden Flüssigkeitsstrahlen, sowie überhaupt aller in einem Luftstrom suspendirter fester oder flüssiger Partikelcher gegen electrische Influenz in hohem Grade geltend. Diese Wirkung ist die hauptsächlichste Fehlerquelle, gegen die man bei derartigen Versuchen anzukämpfen hat, sie macht es, wie wir in einer späteren Mittheilung darzulegen gedenken, in hohem Grade schwierig, die Frage zu entscheiden, ob durch Reibung von Wasserstaub an kalten Körnern eine Electricitätserregung eintritt. Die Erscheinung ist übrigens für Flüssigkeitsstrahlen längst bekannt und hat schon ene praktische Anwendung in Thomson's Tropfensammler und Wasserinfluenzmaschine gefunden. Es lag pun nahe, Influentwirkungen analoger Art auch bei den Vorgängen wirksam zu denken, wie sie sich innerhalb einer Gewitterwolke abspielen, d. h. die letztere geradezu als einen selbstthätig wirkenden Duplicator aufzufassen.

Das Princip dieser Aussassung wird sich am besten aus einem Versuch ersehen lassen, der mit den einsachsten Mitteln aussthrbar ist.

Ein beiderseits offenes, cylindrisches Metallrohr A von circa 50 cm Länge und 8 cm Durchmesser, ist an einem seitlich angebrachten, isolirenden Halter in verticaler Richtung freischwebend befestigt. In dasselbe kann von obet an einem isolirenden Handgriffe ein kleines ebenfalls cylindrisches Metallgefäss B von einen löcm Länge und 4cm Durchmesser hineingeschoben werden. Letzteres ist unten verschlossen und mit einer nach unten gerichteten in eine engt Mündung auslaufenden Ausflussröhre versehen. Wird nur

der Röhre A ume kleine electrische Ladung + E mitgetheilt. subrend gleichzeitig das mit Wasser gefüllte Gefäss B isolirt vertical darüber gehalten wird, so werden die von B ausgehenen Wassertropfen negativ electrisch, fallen aber, ohne mit der Röhre A in Berührung zu kommen, durch das Innere Jerselben hinab. Dadurch wird B selbst positiv erregt, und war in ausserordentlich kurzer Zeit zu einer Spannung, die ber nicht zu großer Entfernung zwischen B und A der auf I night riel nachsteht. Senkt man nun an dem isolirenden in ff B schnell in A hinab und lässt B einen Augenblick be Innenwand von A berühren, so geht die Electricität von B nich bekannten electrostatischen Gesetzen nahezu vollstündig ad A uber. Zieht man B in seine ursprüngliche Lage grack, so kann man dieselbe Operation wiederholen. Man slenke nur, dass A jetzt eine grössere Ladung als vorher bestat, sodase demgemäss auch B stärker influenzirt werden wird. Es ergibt sich dempach, dass bei Wiederholung der Veration eine Steigerung der Ladung von A in geometriwaer Progression stattundet. Praktisch ist die Maximalgrenze tald erreicht. Im übrigen lässt sich mit einem derartigen Diplicator leicht eine beträchtliche Verstärkung der Ladung in A sichtbar machen; man braucht nur A während des Versuches mit einem Goldblattelectroskop zu verbinden und the Bewegung von B einigermassen schnell auszuführen. Wir Spachteten fast immer eine Selbsterregung des Apparates. odass nach 40 maliger Oscillation des Gefässes B der Röhre den Funken entzogen werden konnte.

Man kann sich den Vorgang in einer Gewitterwolke dazing vorstellen. Man denke sich der unteren Schicht derwiesen an einer Stelle eine gewisse Ladung + E mitgetheilt. Stange die Wolke nicht regnet, wird diese Electricität titezu an derselben Stelle verharren oder sich langsam mit ahtehmender Spannung über die ganze Wolke verbreiten, nach dem Grade der Leitungsfähigkeit der Dunstmasse. Anderes dagegen tritt ein, sobald die Wolke zu regnen beginnt, wobei wohl mit Recht vorauszusetzen ist, dass die Tropfenbildung in den kalten, d. h. höheren Schichten eintreten muss. Soweit die Wolke regnet, wird sie positive

Electricität annehmen, und zwar, wenn die Regenbildung in nicht zu grosser Höhe über der electrischen Schicht beginnt, von nicht viel geringerer Spannung, als die der letzteren beträgt. Die negativ electrisisten Tropfen fallen durch die untere influenzirende Schicht auf die Erde herab.

Nun aber muss, wie schon öfters (unseres Wissens zuerst von Hermann J. Klein' hervorgehoben worden ist, die mit der Regenbildung verbundene ()bertlä hencontraction eine Steigerung der Spannung hervorbringen. Indem die ganze vorher positiv influenzirte Wolkenmasse sich zusammenballt, und die einzelnen Dunsttheilchen zu grösseren Tropfehen zusammenfliessen, wird die Electricität mit wachsender Spannung auf einen kleineren Raum beschränkt und muss auf die unterdessen neu entstandenen Wolkenmassen von neuem, aber kräftiger influenzirend wirken. Sobald auch in diesen die Regenbildung beginnt, wiederholt sich derselbe Vorgang: durch weiteres Zusammenballen der Wolken tritt eine neue Spannungserhöhung ein. Man kann sich sehr wohl vorstellen, dass auf diese Weise die electrische Spannung einer regnenden Wolke bis zur Blitzentladung gesteigert werden kann

In dem vorher beschriebenen Versuche soll das Gefäss A die untere influenzirende Wolkenschicht. B die oberen regnenden Theile derselben darstellen. Die Oberdächencontraction wird, wenn auch dem Vorgange in der Gewitterwolke wenig entsprechend, durch das Hineinführen des Gefässes B in A wiedergegeben.

Die Frage, woher die ursprüngliche Eigenelectricität der unteren Wolkenschicht stammt, wird nicht so leicht zu entscheiden sein. Jedenfalls reicht schon eine sehr geringe Spannung hin, um bei hinreichend kräftigem Regenfall binnen kurzer Zeit bis zu dem grössten Betrage gesteigert zu werden Vielleicht ist es die gewöhnliche Luftelectricität, die, auf die Wolken übergehend, an irgend einer Stelle eine locale grössere Ladung hervorbringt. Ohne von Regenfall unterstützt zu werden, würde aber auch die stärkste Ladung nicht von Dauer sein können. Die Condensation des Wasserdampfes an sich als Electricitätsquelle anzusehen, scheint uns misslich, da man nicht recht einsieht, in welcher Weise

die Scheidung der Etectricitäten bei diesem Vorgange eintreten kann. Auch Reibungsvorgange konnen wohl nur zur Erklärung der Anfangsladung berangezogen werden; um so ungeheure Electricitätsentwickelungen, wie sie in der Natur stattfinden, zu veranlassen, dürtten sie doch nicht ausreichen. Uebrigens konnte man dabei wohl nur an eine Beibung feinen Wasserdunstes an grosseren Tropfen, resp. Eiskörnern denken. Dass der Unterschied der capitlaren Oberflachenspannung dieser kleinsten und grössten Wassertropten bei der Reibung eine Scheidung der Electriutaten zu Wege bringt, ist an sich nicht unwahrscheinlich. jedentalls ist eine derartige Erregung mit Sicherheit noch moht constatirt. Gesetzt aber auch, sie sei vorhanden, ist dann die bei dieser Reibung verlorene lebendige Kraft wohl hinreichend, das mechanische Aequivalent für die Entstehung such nur eines Blitzes zu geben?

Mun konnte gegen die hier entwickelte Ansicht einvenden. dass die Volumencontraction einer Wolke im wesentlichen in dem Zusammentliessen der Dunsttheilchen zu grosseren Trönschen besteht, dass also auf den letzteren uch die Electricität unhäuten und schliesslich bei ihrem Herabislien auch mit weggeführt werden muss. Dies ist auch unstreitig theilweise der Fall. Man bedenke aber, dass eine gewisse Zeit lang gerade die in der unteren Wolkenschicht sich bildenden Tropfen von dem aufsteigenden Luftstrom, dessen Intensität nach oben hin abnehmen muss, getragen werden, während die von der oberen kommenden Tropfen schon ohnehm mit grösserer Geschwindigkeit in die untere Wolkenschicht gelangen und infolgedessen leichter den Widerstand der aufsteigenden Luft überwinden. Ein Theil der Ladung geht auf diese Weise ohne Frage verloren. aber um so weniger, je kräftiger der aufsteigende Luftstrom ist. Ausgerdem findet in durch die unausgesetzte Verdichtung ein fortwährender Ersatz statt.

Bei feinem Staubiegen, der sofort nach seiner Bildung zur Erde fällt, werden sehr starke Entladungen kaum zu erwarten sein. Jedenfalls kommt sehr viel auf die Schnelligkeit der Wolken- und Regenbildung an. Der einer Wolke entfallende Regen muss also die entgegengesetzte Electricität der Wolke zeigen und kann natürlich auf eine zweite Wolke, die er durchsetzt, und die ebenfalls regnet, influenzirend einwirken.

Im übrigen wird nach jedem Blitzschlag der Rest der Wolkenelectricität bei genügendem Regenfall und der davon untrennbaren Volumencontraction bald wieder zum Maximum vermehrt.

Das Wesentliche der hier entwickelten Ansicht liegt demnach darin, dass sie die Gewitterelectricität als Induenzelectricität, die Gewitterwolke als einen selbstthätigen Duplicator auffasst. Der derselben entströmende Regen spielt die Rolle des Wasserstrahles beim Thomson'schen Tropfensammler, während die Steigerung der Spannung durch die immense Volumen- und Oberflächencontraction bedingt wird.

Diese Theorie dürîte vor den bislang aufgestellten folgende Vorzüge besitzen:

- 1. Sie gestattet, die Wolke aufzufassen als ein Aggregat discreter Wassertröpfehen. Eine derselben mitgetheilte electrische Ladung verbreitet sich daher nicht durch Leitung, sondern, sobald die Wolke zu regnen beginnt, von Punkt zu Punkt durch Influenz.
- 2. Sie bedarf nicht nothwendig der Electrisirung durch Reibung. Es ist zwar nicht ausgeschlossen, dass Reibungvorgänge die erste Erregung herbeitühren, diese werden aber im weiteren Verlaufe der Erscheinung bedeutungsios.

Sollte sich ferner, was nach einer grossen Zahl von uns angestellter Versuche noch nicht mit Sicherheit zu entscheiden ist. eine Electricitätserregung durch Reibung von Wasserstaub an Wasser oder Eis experimentell nicht nachweisen lassen, so genügt das Vorhandensein der Luftelectrcität, um die Erscheinung einzuleiten.

3. Sie findet das Aequivalent für die zur Bildung der Potentialdifierenz verbrauchte Arbeit in der lebendigen Kraft der herabfallenden Wassertropfen.

Wolfenbüttel, December 1884.

### X. Veber die Electricitätsentwickelung bei der Regenbildung; von Julius Elster und Hans Geitel.

In vorstehender Mittheilung haben wir die Möglichkeit ier Entstehung einer kräftigen electrischen Spannung innerhalb iner regnenden Wolke darzulegen gesucht. Das Wesentsche unserer Ansicht ist, dass ihr zufolge eine jede Wolke, ist sich zu Regentropten verdichtet, zu einem selbstthätigen sectrischen Duplicator wird, sobald der unteren Schicht derschen eine beinebige, theoretisch selbst minimale Ladung intgetheilt wird. Es ist vielleicht von Interesse, diese Anschauungsweise eingehender zu begründen und ihre Folgerungen mit den über die Wolkenelectricität vorliegenden Beobachtungen in Vergleich zu setzen.

Es wird zunächst das Vorhandensein einer Anfangssinng der Wolke vorausgesetzt, die ihren Maximalworth a jen unteren Schichten derselben hat. Wie wir in der den citirten Abhandlung schon andeuteten, empfiehlt es sich. un für die folgenden Schlusse ein genügend sicheres Fundament zu behalten, zur Erklärung dieser Anfangsladung den Bogen der zweitellos constaturten Thatsachen nicht zu verwen. Wir gedenken deshalb in dem Folgenden die Mögchiest einer Electricitätserregung durch Reibung des Wasseriner, resp. der Luft an den fallenden Tropfen, sowie eine wiche durch Contact der eigentlichen Regentropfen mit den fansten Dunsttheilchen der Wolke nicht weiter zu berückschugen; obgleich wir dieselbe durchaus nicht für ausgezeschlossen erklären wollen. Diese Beschränkung scheint us in der That möglich zu sein. Diejenige Quelle, die uns namisch immer bleibt, und deren Existenz niemand leugnet, et die gewöhnliche electrische Spannung der Atmosphäre. Man darf in der Heranziehung dieser Ursache keineswegs one petitio principii erblicken. Bekanntlich tritt die atmoschärtsche Electricität bei heiterem Himmel mit volliger Regelmässigkeit auf, die Annahme liegt also sehr nahe, dass ale ihren Ursprung überhaupt nicht in der Electricität der

Regenwolken findet. Es ist vielmehr umgekehrt angezeigt, die letztere aus der ersteren herzuleiten; dabei bleibt ihr eigentlicher Ursprung vor der Hand unaufgeklärt.

Nach den Beobachtungen Palmieri's¹) ist es wahrscheinlich, dass die electrische Ladung der Atmosphäre mit zunehmender Höhe geringer wird, sodass sich in der That eine stärkere Spannung in den tieferen Wolkenschichten von selbst einstellen würde. Wie gross diese Spannung ist, darauf kommt nichts an, da ja eine Verstärkung derselben durch den Regenfall eintritt.

Bedenkt man, wie leicht electrisch erregte Gase ihre Ladung an leitende Körper abgeben, so scheint die Annahme, dass die atmosphärische Electricität wirklich auf die Wassertheilchen der Wolke übergeht, wohl gerechtfertigt.

Hieraus würde unmittelbar folgen, dass die Wolkenelectricität mit der atmosphärischen im Zeichen übereinstimmen, also positiv sein müsste, vorausgesetzt, dass nicht
störende Einflüsse auftreten. Wie Palmieri angibt, ist in
der That die Luftelectricität bei bewölktem Himmel, sowie
die des Nebels, sofern keine Regenbildung stattfindet,
stets positiv, zuweilen sogar stärker, als bei unbewölktem
Himmel.<sup>2</sup>) Diese Verstärkung hat man sich wohl durch eine
beginnende Ballung der Wolken zu erklären, die noch nicht
bis zur Bildung grösserer Tropfen fortgeschritten ist.

Sobald nun der Regenfall beginnt, muss die Wolke als electrischer Duplicator wirken.

Es ist für die ganze hier vertretene Ansicht von grösster Wichtigkeit, die Art des Zustandekommens der hierbei auftretenden Influenzwirkungen möglichst klarzustellen. Eine Vertheilung der Electricität der ganzen Wolke in dem gewöhnlichen Sinne, dass die dem influenzirenden Punkte zugewandte Seite die entgegengesetzte, die abgewandte die gleichnamige Spannung erhält, ist ausgeschlossen. Da nämlich die Wolke aus voneinander isolirten leitenden Partikel-

Die atmosphärische Electricität von Luigi Palmieri, übersetzt von H. Discher, p. 34. 1884.

<sup>2)</sup> Palmieri, l. c. p 35.

chen besteht, so wird die Nachbarschaft eines influenzirenden Korpers zunächst nur auf die neutrale Electricität iedes einzelnen Dunsttheilchens scheidend wirken. Eine wesentliche Aenderung des electrischen Zustandes tritt aber sofort mit Beginn der Regenbildung ein. Bei der letzteren hat man 2 Factoren zu unterscheiden; 68 werden sich größere Tropfen durch Zusammentliessen der feinsten Dunstmassen bilden, und ferner, was für uns von untergeordneter Bedeutong 1st. wird ein Anwachsen der einmal gebildeten Tropfen beim Hernbsinken derselben in Luftschichten stittfinden, unter deren Thaupunkt sie abgekühlt sind. Nun zeigt der Versuch 1, dass nicht in iedem Falle beim Zusammentreffen leinen Wasserstaubes mit grösseren Wasserflächen ein Zusammenfliessen stattfindet; es tritt vielmehr häufig ein Gleiten des ersteren an den letzteren ein. - Hierbei gerathen die gerstäubten Massen mit der Oberfläche wirklich in leitende Berührung; bei genügenden Vorsichtsmaassregeln lässt sich namlich leicht zeigen, dass die Wasserfläche mit der von ihr redectirten Dunstwolke nach Art eines Thomson'schen Tropfensammlers wirkt.

Man darf also annehmen, dass die fallenden Regentropfen mit den feinsten Dunstmassen wirklich in leitende Beruhrung kommen können, ohne jedesmal mit ihnen zusammenzustiessen. Um diesen Vorgang zu übersehen, wollen wir den Durchmesser der letzteren als sehr klein gegen den der ersteren voraussetzen. Man kann dann wohl, wenn man die Compression der Lust durch den Druck des fallenden Tropfens vernachlässigt, in erster Annäherung die Gesetze als gültig ansehen, die Kirchhoff! für die Bewegung einer Kugel (hier des Regentropfens) in einer Flüssigkeit (hier der Lust) ausgestellt hat. Die Stromlinien, d. h. die Bahnen, auf denen sich die nusweichenden Lusttheilehen um den Mittelpunkt des Tropfens bewegen würden, sind in diesem Falle ebene Curven, die symmetrisch in Bezug auf die durch den Mittelpunkt der Kugel gelegte Horizontalebene verlaufen.

<sup>1)</sup> Beschreibung desselben folgt am Schluss der Mittheilung

<sup>2)</sup> G Kirchhoft, Vorl 6b Math., Phys., Mech 18, Voil 62 1976.

Diese Stromlinien umschliessen einander; die innersten setzen sich zusammen aus Meridianen der Kugel, die vom tiefsten zum höchsten Punkte verlaufen, und aus den von diesen Punkten aus nach unten, resp. oben gezogenen Verticallinien.

Findet nun auch, wie an der citirten Stelle des Kirchhoff'schen Werkes nachgesehen werden kann, in diesen aussersten Grenzeurven eine Flüssigkeitsbewegung in endlicher Zeit nicht statt, so doch in den ihnen benachbarten, die sich ihrer Gestalt nach unendlich wenig von ihnen unterscheiden. Durch diese letzteren wird aber die Bahn eines Wasserstäubehens, das mit dem fallenden Tropfen an seiner unteren Hälfte in Berührung tritt, wesentlich bedingt sein; es muss ein Herumgleiten des ersteren an dem letzteren eintreten, durch welches das Stäubehen auf die obere Halite des Tropfens übergeführt wird.

Das Resultat dieser Ueberlegung ist demnach, soweit sich der Vorgang übersehen lässt, folgendes:

Findet ein Zusammentressen eines fallenden grosseren Tropfens mit einem sehr seinen statt, und tritt kein Zusammenstiessen ein, so erfolgt die definitive Trennung stetin einem Punkte der oberen Halbkugelstäche des grösseren.

Hiernach ist es leicht, die Influenzwirkungen zu übersehen.

Befindet sich die intluenzirende Schicht unterhalb der Wolke, so sind im Momente der Trennung die fallenden Tropfen derselben zugewandt; sie nehmen die entgegengsetzte Electricität an und lassen die Dunstmasse gleichnams electrisch zurück. Es ist zu beachten, dass bei dem grossen Oberflächenunterschiede der sich trennenden Körper die Dichtigkeit der Electricität auf den fallenden Tropfen nach einem einmaligen Zusammentreffen noch verschwindend klein sein wird, sodass also ein und derselbe der Reihe nach eine grosse Anzahl der Wolkenpartikelchen treffen und in electrischen Zustand versetzen kann, bevor seine eigene Ladung einem merklichen Worth erreicht. Tritt bei einem Zusammentreffen eine Verschmelzung ein, so ändert sich der electrische Zustand des Tropfens nicht; abgesehen von der durch sein Wachsthum verminderten Spannung auf seiner Oberfläche-

Liegt die influenzirende Schicht oberhalb der regnenden Wolke, so muss die letztere, wie leicht zu ersehen, die entgegengesetzte Electricität annehmen.

Fassen wir die Resultate zusammen, so ergibt sich, sofern die vorher gehenden Schlüsse gültig sind, der einfache Satz:

Jede regnende Wolke nimmt oberhalb einer Electricitätsquelle die gleichnamige, unterhalb die entgegengesetzte Electricität an.

Von diesem Satze machen wir nun eine Anwendung auf den hier angenommenen Fall, dass eine Wolke beim Beginn der Regenbildung eine positive Ladung in ihrer unteren Schicht enthält. Sofort nach Eintritt des Regens wird sich diese über die Wolke verbreiten soweit derselben überhaupt Tropfen entfallen. Diese letzteren führen die negative Electricität zur Erde, resp. neutralisiren zum Theil die Ladung der ursprünglich erregten Schicht. Mit dem Einsetzen der Tropfenbildung tritt aber sofort die Aspiration der umgebenden Luft nach dem Orte des stärksten Regenfalles auf. Hierhin strömen also die positiv geladenen Dunstmassen zusammen, durch ihr Zusammenballen und Zusammenfliessen tritt eine Erhöhung der electrischen Spannung auf, die nun ihrerseits wieder kräftiger influenzirend auf die indessen neugebildeten, regnenden Wolkenmassen wirkt.

Durch diese Vorgänge würde eine thatsächlich ins Unermessliche gesteigerte Spannung hervorgerusen werden, wenn nicht die positiv geladenen Wassertröpfchen nach ihrem Zusammensliessen selbst als Regen herabsielen. Naturhch muss dieser im "Centrum" der Wolke niedergehende Regen, der durch Vereinigung der positiv geladenen Wolkenmassen entstanden ist, selbst positiv sein. Hierdurch wird der Zustand constant herbeigeführt, wie wir ihn anfangs voraussetzten; die stark positiv electrische Regengarbe, die aus dem Wolkencentrum herabhängt, wird das Maximum der Spannung stabil nach unten verlegen.

Anders dagegen verhält es sich mit den Tropfen, die aus den äusseren Schichten der Wolke entfallen. Diese entstehen aus Dunstmassen, die erst eben durch Condeneation von Wassergas gebildet und dann sofort der Influenz des Wolkencentrums ausgesetzt sind. Die feinen Wasserstäubehen, die mit der angesaugten Luft der Mitte zuströmen, werden positiv, die herubfallenden Tropfen negativ geladen; hier bleibt demnach der Zustand bestehen, wie er bei Beginn des Regenfalles für einen Moment in der ganzen Wolke herrschte.

Eine unterhalb einer regnenden Wolke gelegte Horizontalebene würde demnach in der Mitte eine positive Ladung erhalten, von einer negativen Zone umgeben.

Man denke sich nun an irgend einem freien Orte bei auch in weiterem Umkreise heiterem Himmer ein Electroskop aufgestellt. Dasselbe wird positive Electricität anzeigen. Es moge aus der Ferne eine Regenwolke heranziehen. Da die Cumuli derselben, die zunächst am Horizonte auftreten, positiv electrisch sind, so wird durch ihre Influenz zunächet die Ladung des Electroskopes verstärkt werden. Diese Zunahme wird bei grösserer Annüherung der Wolke noch andauern, dann aufhören, bis Abnahme eintritt, un! für einen Augenblick die Wirkung gleich Null ist. Dann zeigt das Electroskop negative Electricität an, ein Zeichen, dass nun die Influenz des äusseren Regengurtels überwiegt. Bei weiterer Annäherung der Wolke muss auch diese Ladung erst anwachsen und dann an Intensität bis zu Null acnehmen. Ist nun die Wolke selbst über dem angenommen-n Orte angelangt, so wird ihre positive Influenz die negative Ladung des ihrer Peripherie entströmenden Regens überwiegen, and schliesslich wird unterhalb des Centrums selber im stärksten Tropfenfalle das Maximum der positiven Ladung eintreten. Beim Voraberziehen der Wolke wiederholen sich die Vorgange in umgekehrter Reihenfolge, die Ladung nimmt ab bis zu Null, wird negativ, nimmt wieder ab, um nach nochmaligem Passiren der Null einen positiven Werth anzunehmen, der bei ganzlichem Verschwinden der atmosplarischen Storung auf den normalen Betrag sich reducirt.

Die hier gegebene Schilderung der Schwankungen des Electrometers vor. in und nach einem Regenfalle stimmt t den Beobachtungen Palmieri's put überein. Natürh wird sich der Verlauf der Ereignisse nicht in jedem
die mit völliger Reinheit zeigen; es wird dies besonders
an zu erwarten sein, wenn eine aussergewöhnliche Dicke
r Wolkenschicht und sehr kräftige Niederschläge die
annung der Electricität bis zur Blitzentladung steigern,
ir diesen Fall lässt sich eine Abweichung mit grosser
abrecheinlichkeit voraussagen.

Da die Influenzwirkung vom Orte der stärksten Spanng aus von Punkt zu Punkt am krästigsten in der Richbg der Verticallinie stattfindet, so wird man sich die rker geladenen Regen - und Wolkenmassen in einem ume eingeschlossen denken konnen, dessen unterer Theil Cylinder ist, der die dem Centrum entströmenden Regenpien einschhesst. An der Stelle, wo dieser Cylinder die tere Grenze der Wolke schneidet, setzt sich auf denselben sich nach oben erweiternder Rotationskörner auf. Inner-Ib desselben nimmt die Spannung mit zunehmender Höhe br und mehr ab. Ist pun der verticale Durchmesser der olke beträchtlich im Vergleich mit ihrer Höhe über dem diboden, so kann man sich wohl vorstellen, dass die Inenz des oberen Theiles dieses körperlichen Raumes auf unteren Wolkeprand die Influenz durch den unteren erwiegt. Die grössere Intensität der Snannung des letzen wird dann aufgehoben, resp. übertroffen durch die beere Ausdehnung des ersteren. Es kommt noch hinzu. s auf die unteren Partien die bindende Kraft der Erde starksten wirkt. Tritt dieser Zustand ein, so befindet th der untere Wolkensaum unterhalb des influenziren-Ortes, es muss also der erstere negativ, die herab-Menden Tropfen positiv erregt werden. Damit tritt ein egensatz zwischen Wolkencentrum und Rand hervor, es erden Blitzentladungen vom ersteren zum letzteren stattwen können, bei deneu eine Zerspaltung und Ausbreitung Fankens nach aussen erfolgen muss, da die negative lalung des Randos auf einen relativ grossen Raum ausgerester set.

Palmieri, l. c. p. 86.

Ferner ist wohl von vornherein nicht ausgeschlossen dass bei einer Regenwolke von grosser Flächenausdehnung sich mehrere positive Centren herausbilden. Dass infolgeiner Bhtzentladung sprungweise Wechsel im Zeichen der Electricität auftreten kann, wie Palmiert hervorhebt, nicht befremden. Eine Ableitung der positiven Spannung der Centrums muss sofort ein Hervortreten der negativen Ladung des Wolkenrandes, resp. der äusseren Regenzone Lerberführen.

Es möge noch des Falles gedacht werden, dass der Ort des stärksten Regenfalles einen abnorm kleinen Durchmesser zeigt, während zuglesch die Höhenentwickelung der Wolke relativ gering ist. Der oben erwähnte Gegensitz zwischen Wolkenrand und Wolkencentrum wird sich nicht ausbilden können. Wie im Falle der normalen Regenwolke wird also der der Mitte entfallende Tropfenstr a positiv, seine Umgebung negativ geladen sein. Es lied sehr nahe, eine electrische Anziehung der inneren Regensitze auf die ausseren entgegengesetzt electrischen Tropfenmassen anzunehmen, wobei die letzteren sich der ersteren nähera, und dieselbe in spiraligen Bahnen umkreisen werden, while rend sie gleichzeitig allmählich herabsinken. 1) Unmöglich scheint es wohl nicht, dass Wettersauten, die bei sonst wagestiller Luft aus einer Gewitterwolke sich herabsenken, auf diese Weise entatehen können. Ihr Inneres müsste demnach eine stark positive Ladung zeigen. Es liegt uns natürlich fern, alle Wettersäulen auf diese Ursache zurückzusuhrens wir haben besonders diejenigen im Auge, deren electrische Natur jedem unbefaugenen Beobachter zweifellos erschie nen ist. 2. -

Die hier vorliegende Abhandlung verfolgt in erste Linie den Zweck, eine tiefere Begründung der in der vorigen Notiz angedeuteten Duplicatorwirkung einer Regerwolke zu geben. Die Annahme, dass die gewöhnlicht atmosphärische Electricität diese Thätigkeit auslöst, legte

<sup>1)</sup> Der diesbezugliche Versuch ist am Schluse der Abhaudlung mit getbeilt.

<sup>2)</sup> Reye, Die Wirhelatume, Tornados u. Wettersäulen p. 24. 187

ner nur deshalb zu Grunde, um uns von vor der Hand noch nicht genügend gesicherten Voraussetzungen unabtängig zu erhalten. Die Lebereinstimmung unserer Schlüsse mit den von Palmieri empirisch gefundenen Gesetzen darf befriedigend genannt werden. Ein Rückschluss auf die Richtigkeit jener Annahme ist aber nicht so zwingend, als es zunächst scheinen möchte. Auch bei Voraussetzung eder anderen Ursache, sofern sie nur eine positive Anfangelndung der Wolke zur Folge hat, würde sich ier im Vorigen entwickelte Verlauf der electrischen Erscheinungen ergeben. —

Eine besondere Bedeutung für die Prüfung der bier tertretenen Anschauung wurde der Beobachtungen der electrischen Natur der Niederschlage zukommen. Electrometrische Bestimmungen der Luftelectricität sind weniger entschejdend, da sie die Resultante aus drei gesonderten schwer utrennenden Eintlüssen! sind:

1. der augenblicklichen electrischen Ladung der Luft an der Stelle der Messung,

2. der Induenz entfernter Luftmassen und Wolken.

3. der Influenz der Niederschläge.

Es moge anhangsweise die Beschreibung zweier Versuche tolgen, welche, um den Zusammenhang nicht zu unterbrechen, un Vorhergehenden nur angedeutet worden sind.

Dass sehr seine Wassertröpschen mit einer grösseren Wassertäche in der That in leitende Berührung kommen tonnen, ohne mit derselben zusammenzushessen, wurde in folgender Weise experimentell bestätigt:

Die metallene Mündung eines Zerstäubers wurde schräg auf eine isohrte Wassertläche gerichtet, die mit einem Thomson'schen Quadrantenelectrometer leitend verbunden war. Ein cylindrisches Metallrohr von 11/2 cm Weite und 2 cm Länge aurde so über die Mündung des Zerstäubers geschoben, dass ach dieselbe in der Mitte des Röhrchens befand. Letzteres ar, zie auch der Zerstäuber selbst, zur Erde abgeleitet

<sup>1</sup> Dufour, Arch. des Scienc, phys. (3) 10, p. 310, 1888,

und verhinderte so, dass irgend welche störende electrische Einflusse erheblich influenzirend auf die die Ausflussottoun verlassenden Tröpfchen einwirkten. Bei dieser Anordnun wird ein grosser Theil des in schräger Richtung auf de Wasserfäche auftreffenden Wasserstaubes von derselben re flectirt. Oberhalb der sich bildenden Dunstwolke wurde ein isolirte Metallkugel von 2 cm Durchmesser aufgestellt, welch je nach Bedürsniss mit dem positiven oder negativen Pol einer Zamboni'schen Säule von 2000 Plattennaaren leiten verbunden werden konnte. Es zeigte sich nun, dass, went der Zerstäuber in Thätigkeit war, das isolirte Gefäss. il welchem sich die reflectirende Wasserfläche befand, steht eine der Ladung der Metallkugel gleichnamige, mi Scala und Fernrohr nicht mehr zu messende Ladung annaha während der reflectirte Wasserstaub entgegengesetzt electrisch wurde. Hieraus folgt, dass nicht etwa ein directe L'ebergang der Electricität durch die Danstwolke zur Flassigkeit stattgefunden hat. Es verhielten sich mithin die vor der Wasserfläche abprallenden Wasserkügelchen genau 50 wie die Tropfen des Thomson'schen Tropfensammlers, und das Gefäss wie der Tropfensammler selbst. Dies ist abet nur möglich, wenn die ahfliegenden Trapfchen bei ihren Aufprallen mit der Wasserfläche in leitende Berührung kommen. Es sei noch bemerkt dass zum sicheren Gelingen des Versuches man darauf zu achten hat, dass die Mündung det Zerstäubers sich in dem electrischen Schatten der Kugel befindet. Anderenfalls kann die influenzirende Wirkung 3et letzteren auf die Ausflussöffnung grösser werden, als auf die Wasserfläche, was die Erscheinung umkehrt. Derselbe Versuch lässt sich übrigens bei genügenden Vorsichtsmaassregeln auch schon mit Hülse eines gewöhnlichen Goldblattelectroskopes mit Erfolg anstellen.

Rotationen electrisirter Flüssigkeitströpfchen um electrisirte feste Körper, resp. electrische Wasserstrablen konnter

in folgender Weise sichtbar gemacht werden:

Ein verticaler, isolirt aufgestellter Holzstab von 2 cm Durchmesser und 1 m Länge wurde mit dem positiven Com ductor einer kräftig wirkenden Holtzischen Influenzmaschin werbunden. In die Nähe seines oberen Endes wurde ein zur Erde abgeleitetes Wassergefüss mit feiner Austlussöffnung angebracht. Der demselben entdiessende Strahl löste sich alstann in eine Tropfengarbe auf, sobald die Maschine in Thätigkeit versetzt wurde. Jedes einzelne Tröpfehen besitzt vermöge der Influenz des positiv electrischen Stabes eine starke begative Ladung. Infolgedessen beschreiben die herabfallenten Tröpfehen Schraubenlinien, deren Axe der electrisirte Stab int.

Ersetzte man den Holzstab durch einen kräftigen, abwärtsgerichteten verticalen Wasserstrahl, dessen continuiricher Theil, trotz der starken Electrisirung immerhin etwa 50 cm betrug, so rotirte jetzt die Tropfengarbe um diesen continuirlichen Theil des Strahles.

Die hier mitgetheilte Anordnung des Versuches zeigt die Erscheinung in relativ grossem Masssstahe. Die von diner Thomson'schen Wasserinfluenzmaschine gelieferte spannung genügt vollständig, um Rotationen von Wassertröpichen um einen verticalen Draht von ca. 25 cm Länge Lervorzubringen.

Wolfenbüttel, im Januar 1885.

XI. Ueber Blitzphotographien; von Dr. H. Kayser. An den Sitzungsber. d. kinigl preuss Acad. d. Wiss, zu Berlin vom 27. Nov. 1864; mitgetheilt vom Bru. Verf.)

(Bleese Tat. I Fig. 9.)

Es ist, soviel mir bekannt, in diesem Jahre zum ersten mil versucht worden und gelungen, Bhtze photographisch zu buren. Die Solche Aufnahmen lassen sich nur bei nächtlichen Gewittern muchen, sind aber dann auch höchst einfach, indem min die vorher auf Unendlich eingestellte Camera gegen die Stelle des Himmels richtet, an der sich das Gewitter befindet. Man kann dann beliebig lange exponiren; jeder Bhtz,

! Wie ich seitdem erfahren stammen die ersten Blitaphotographien ton Haunstell aus dem Jahre 1883.

der an der betreffenden Stelle des Himmels auftritt, markirt sich auf der Platte.

Im Juli dieses Jahres zogen über Berlin einige sehr stark electrische Abendgewitter, welche ich benutzt habe, um eine Reihe von Blitzaufnahmen zu machen Die Platten zeigen. dass, abweichend von der früher verbreiteten Meinung, der Blitz nicht immer eine einfache Entladung zwischen zwei Pankten ist, sondern dass die Entladung sehr häufig zwar von einem Punkte ausgeht, aber in vielen Punkten endet. Es zweigen sich von einem Hauptstamm dünnere Seitenäste nach allen Richtungen ab, welche wieder Seitenzweige haben, sodass em solcher Blitz wie die Karte eines Flusssystems aussieht, wo zahlreiche Bäche und Nebentlüsse zusammenströmen, um schliesslich einen Rauntstamm zu bilden, von welchem man wohl ein bestimmtes Ende, aber keinen solchen Anfang erkennt: pur durchläuft der Blitz den Weg umgekehrt, wie der Fluss. Mitunter ist auch ein deutliches Hauntende des Blitzes zu erkennen, indem ein starker Strahl 2 Punkte verbindet, and von ihm our schwache, kurze Seitenaste abgehen. Endlich kommen viele schwächere unverzweigte Blitze vor.

Diese Erscheinung der verästelten Blitze war schon durch die ersten erschienen Photographien bekannt geworden; ich will daher hier nicht näher darauf eingeben, sondern eine höchst merkwürdige und zum Theil unaufgeklärte Erscheinung besprechen, welche einer von den fixirten Blitzen darbietet. Es war am 16. Juli gegen 10 Uhr abends, als der stärkste Blitz des Gewitters erfolgte, dem sehr schnell, etwa pach einer Secunde, ein gewaltiger Donnerschlag folgte. Etwa 5 Minuten vorber hatto ich eine Platte exponirt, auf welche ausser diesem Hauptblitz noch mehrere andere Entladungen gekommen sind. Der Hauptstrahl besteht nicht aus einer hellen Linie, sondern ist aus vier dicht nehen einander liegenden Linien gebildet. Man sieht links den stärksten Strahl, an den sich nach rechts ein breiteres helles Band anschliesst, welches nachher noch näher zu besprechen sein wird. Dann folgen weiter nach rechts zwei dicht neben einander verlaufende Strahlen. Nach einem etwas grösseren

Abstande folgt endlich ein vierter Strahl. Alle vier laufen im wesentlichen parallel durch alle Zacken und Krümmungen fort und weichen nur in kleinen Details voneinander ab.

Es fragt sich nun, wie dieser vierfache Blitz zu erklären sei : es sind, soviel ich sehe, 4 Annahmen möglich. könnte pämlich erstens annehmen, dass die 4 Strahlen nicht a einer und derselben Entladung gehören, sondern zusällig zu verschiedenen Zeiten an derselben Stelle des Himmels bergeschlagen sind: dem widerspricht aber die Parallehtat der 4 Blitze, welche mit Sicherheit darauf hinweist, dass sie durch denselben Canal erhitzter Luft gegangen sind, also such innerhalb eines sehr kurzen Zeitraumes stattgefunden haben und zusammengehören. - Eine zweite Annahme ware, dass die 4 Entladungen gleichzeitig vorhanden waren, so wie bei reichlichem Electricitätszufluss zwischen den Conductoren emer Electrisirmaschine mehrere Funken gleichzeitig überepringen. Aber auch dieser Annahme widerspricht die Parallelität: denn wie bei der Electrisirmaschine, so müssten auch hier die gleichzeitigen Entladungen sich abstossen und gwergirende Büschel bilden. - Man konnte drittens denken. dass die 4 Entladungen nicht gleichzeitig, sondern sehr rasch hinter einander von der Wolke zur Erde übergeschlagen teren: das setzte aber einen sehr leichten und reichlichen Electricitätszufluse zu der eben entladenen Stelle der Wolke voraus, um das Potential so schnell wieder auf die nothige Höhe zu bringen. Ein so geringer Leitungswiderstand der Wolken scheint aber nicht wahrscheinlich.

Es bleibt endlich als vierte, und wohl zutreffende Erklärung, dass wir es hier mit einer oscillirenden Entladung
zu thun haben, bei welcher in sehr kurzen Zwischenräumen
Entladungen in entgegengesetzter Richtung vorlaufen. Dann
wurde der erste Funke auf seinem Wege von der Wolke
zur Erde einen Canal erhitzter Luft hinterlassen; der nächste
ton der Erde zur Wolke gehende Funke würde denselben
Canal benutzen, der im wesentlichen noch besteht, nur durch
den Wind etwas verschoben ist, u. s. w. So würde man
fon den 4 Entladungen vier neben einander liegende Bilder
wahlten, wenn der Wind senkrecht zur Axe des photogra-

phischen Apparates gerichtet ist; das war er an jenem Abend, wo er von West nach Ost. im Bilde von hinks nach rechts wehte. Dass derartig oscillirende Entladungen bei Blitzen vorkommen, habe ich bei stärkeren Gewittern mehrfach beobachtet; man sieht dann den Blitz auf seinem Wege einige mal hin und ber fahren; dazu müssen freilich die Oscillationen ziemlich langsame sein, sonst ninmt das Auge sie nicht einzeln wahr. — Durch derartige Entladungen wird sich vielleicht auch eine Beobachtung Dove's erklaren lassen, aus der er schloss, die Blitze seien intermittirende Entladungen.

Wenn diese Erklärung richtig ist, so lassen sich einige interessante Rechnungen ausführen. Die Entsernung des Blitzes kann angenähert zu 350 m angenommen werden. kann indessen auch weniger betragen haben, jedoch kaum unter 200 m. Die Brennweite des Objectivs beträgt 0.18 m. eine Länge von 1 mm auf der Platte entspricht daher einer Länge von etwa 2.817 m in der Natur. Danach betragen die Abstände zwischen den 4 Entladungen: 3,08 m; 0,35 m. 0.63 m. Diese Abstände sind durch Verschiebung des Canals in der Zeit zwischen ie 2 Entladungen entstanden. Die Windgeschwindigkeit während des Bhtzes betrug etwa 30 km pro Stunde oder 8,5 m pro Secunde: der Wind würde daher obige Verschiebungen hervorgebracht haben in 0.362 Sec., 0,041 Sec.; 0,074 Sec.; und diese Zeiten wurden den Zwischenraum zwischen den Oscillationen angeben. Die ganze Entladung würde nicht eine halbe Secunde gedauert haben. Es scheint mir, dass diese Grossenverhältnisse durchaus denkhare sind.

Die Bittze zusammen befinden sich in einem Canal, der deutlich viel heller ist, als die Umgebung, und dessen Rander am hellsten sind. Wir haben es hier wohl mit einer Erscheinung zu thun, welche der Aureole entspricht. Der helle Rand entsteht durch die cylindrische Gestalt des leuchtenden Raumes. Von den 4 Theilen des Blitzes geht eine ganze Anzahl schwächerer Seitenentladungen aus, die sich

<sup>1)</sup> Dove, Pogg. Ann. 35. p 378-350, 1835.

um Theil noch weiter verzweigen. Diese Aeste, soweit sie auf der Platte eichtbar sind, und soweit sie zweifelles zum grossen Bittz gehören, endigen in etwa sechszig verschiedenen Punkten, was freilich nur auf dem Negativ selbst zu zählen ist, während im Abdruck viele feinste Aestehen verschwinsen. Die ganze Länge des Bhtzes beträgt etwa 300 m, die Breite der Aureole etwa 28 m.

Die interessanteste und räthselhafteste Erscheinung ist edoch der helle Streif, welcher den ersten Blitzstrahl auf der rechten Seite begleitet. Unter der Lupe zeigt er eine saut eigenthümliche Structur; um dieselbe sichtbar zu machen, ist ein Stück des Blitzes in Fig. 9 vergrößert reproducirt. Hier sieht man deutlich, dass das Band aus hellen horizontalen Schichten besteht, welche durch dunkle Zwischenräume getrennt sind.

Fur diese Erscheinung fehlt mir jede sichere Erklärung. Die Idee, dass wir es mit Schichten zu thun haben, wie wir ue ber Entladung in luttverdünnten Raumen sehen, welche wer auch ber hoben Drucken auttreten, ist zu verwerfen. a alsdann der Blitzstrahl durch die Mitte der Schichten undurchgehen musste, nicht aber dieselben auf der einen Seite begrenzen. Letzterer Umstand macht es vielmehr wahrscheinlich, dass wir in den Schichten irgend welche leuchtende Materie haben, welche durch den Wind von der Blitzbahn aus fortgeweht ist. Da es während des Blitzes ziemach stark regnete, liegt der Gedanke nahe, dass der Blitz se auf seinem Wege befindlichen Regentropfen in leuchtenden Damuf verwandelt, und jeder Tropfen eine Schicht seneiert habe. Dann wurde es sich auch ungezwungen erkikren lassen, warum nur der erste Blitz von Schichten segentet ist: es wurde bei den folgenden Entladungen der sanal noch von heissen Gasen, nicht aber von Wassertropfen willt gewesen sein.

Gegen diese Erklärung sprechen indessen doch einzelne Unstände. Es scheint nicht recht wahrscheinlich, dass die Tripfen in so regelmässiger Weise auf dem Wege des Blitzes tertieilt gewesen sind, wie es die Schichten sind; auch ist bin sprund einzusehen, weshalb jeder Tropfen eine abgegrenzte

Schicht geliefert haben soll, und die Schichten sich nicht vermischt haben, sodass ein leuchtendes Band entsteht. Weiter spricht folgende Ueberlegung dagegen: Die Schichten haben eine Länge von etwa 1,7 m, eine Höhe von 0,35 m; nimmt man eine Tiefe von auch nur 0,35 m an, so ergibt sich das Volumen jeder Schicht zu etwa 0,2 cbm. Nimmt man ferner an, dass je 15 Tropfen 1 g wiegen — was schon recht grosse Tropfen voraussetzt —, so lässt sich leicht die Temperatur berechnen, welche geherrscht haben müsste, um jeden Tropfen durch Verdampfung und Dissociation in eine Schicht zu verwandeln. Man findet etwa 400 000° C. Diese Zahl kann vielleicht auf ein Viertel reducirt werden durch die Annahme, dass die Schicht im Bilde durch Fortbewegung einer kleineren leuchtenden Masse entstanden sei, aber immerhin bleibt die Temperatur unwahrscheinlich hoch.

Es muss daher die Frage nach der Entstehung der Schichten als eine noch offene angesehen werden. Ihre Lösung wird wohl gelingen, wenn häufiger Blitzphotographien hergestellt werden, als das bei den hiesigen Witterungsverhältnissen möglich ist. Es wäre sehr wünschenswerth, wenn in dieser Beziehung begünstigtere Beobachter recht zahlreiche Aufnahmen machen wollten; denn die wenigen bisher ans Licht getretenen Photographien haben schon eine Menge interessanter Erscheinungen bekannt gemacht.

XII. Ueber die Abhandlung des Hrn. Kundt über die electromagnetische Drehung der Polarisationsebene des Lichtes durch Eisen, Cobalt und Nickel; von G. F. Fitzgerald.

Hr. Kundt<sup>1</sup>) hat in seiner oben erwähnten Abhandlang meine theoretische Erklärung der Drehung der Polarisationsebene des Lichtes bei der Reflexion von einem Magnetpel<sup>1</sup>

<sup>1)</sup> Kundt, Wied Ann. 28. p. 228 1884.

<sup>2)</sup> Fitzgerald, Proc. Roy. of the Loud. Soc. 25, p. 647, 1878

satigst erwähnt. Nach der Art, wie er meine Theorie als durch seine Versuche als widerlegt erachtet, dürfte ihm meine Abhandlung über die electromagnetische Theorie der Reflexion und Refraction des Lichtes! entgangen sein, worin (p. 709) ich geschrieben habe: "Vergleicht man diese Ausdrücke mit den Resultaten des Hrn. Kerr. so muss man beachten, wie ich vorher erwähnte, dass die Einsuhrung einer Phasendifferenz zwischen den reflectirten Componenten eme Frage anderer Ordnung wie die hier behandelte ist und bis zu einem gewissen Grade wenigstens von dem Mangel an Plötzlichkeit beim Uebergang von einem Medium zum anderen abhängt. Meine Ausdrücke geben 2. B. keine Aenderung der Polarisationsebene bei der normalen Reflexion des Lichtes ton einem Magnetnol, sie werden aber erwarten lassen, dass die einzige Wirkung eine schwache elliptische Polarisation var. wobei die grössere Axe der Ellipse mit der ursprünglaben Polarisationsebene in der gleichen Ebene läge. Die Versuche von Kerr zeigen aber eine gewisse Rotation dieser Polarisationsebene bei der Beflexion, und eine Annahme, durch velche man schon vor langer Zeit die bekannte elliptische Polamation bei der Metallreflexion zu erklären versucht hat, namheh dass die wirklich reflectirende Oberfläche eine gewisse Kraft but, fuhrt, wie man leicht zeigen kann, zu Kerr's Resultat. Nach deser Hypothe ist der reflectirte Strahl die Resultante der von einer dunnen Schicht an der Trennungsfläche der Medien telectirten Strahlen; und bei normaler Reflexion von einem Magnetpol wurde die Polarisationsebene jeder dieser Comparaten infolge ihres Durchganges durch eine sehr dünne Slacht einer sehr stark drehenden Substanz, eben jener Obertlächenschicht des Magnets, gedreht. Es ist klar, dass thre Resultante nicht mehr in derselben Ebene, wie der cafallende Strahl polarisirt ware. Ich gebe dies nur als ein Benpiel dafür, wie diese Frage nach der Phasendifferenz die Brultate beeinflusst, und wie die aufgestellten Hypothesen får dieselbe auch meine Resultate mit den Versuchen von lim Kerr völlig in Einklang bringen."

b Firegerald, Phil Trans 1880 pt. 2 p 691, vgl. nuch Beiblatter 8, p 819

Aus diesen Worten ist zu ersehen, dass ich den Einwand des Hrn. Kundt anticipirt und angedeutet habe, auf welchem Wege man die Erklärung der noch fehlenden Erscheinungen zu suchen habe, auf deren eine er die Aufmerksamkeit gelenkt hat. Selbst in meiner ersten, von Hrn. Kundt citirten Abhandlung erwähnte ich, dass man nothwendigerweise die Verwickelungen der Metalltheorie berücksichtigen müsste, um zu einer vollständigen Theorie zu gelangen. Ich kann Hrp. Kundt in der Ansicht nicht beistimmen, dass die von ihm jetzt und von mir im Jahre 1880 erwähnte Unvollständigkeit meine Theorie widerlegt. Fresnel's Reflexionstheorie kann nicht als widerlegt angeschen werden, weil sie die allmähliche Aenderung der Phase der Componenten nahe dem Polarisationswinkel unerklärt lasse. Um meine Theorie zu vervollständigen, fehlt nur ein Eingehen in complicirte mathematische Betrachtungen, zu weichem mir leider die Zeit mangelt.

Ich habe meine Formeln oberflächlich mit den Resultaten des Hrn. Kundt verglichen und finde die berechneten Drehungen von derselben Grössenordnung, wie die von ihm beobachteten. Da er nicht Versuche über die Drehunges bei der Reitexion und dem Durchgang unter genau gleiches Umständen mittheilt, muss meine Vergleichung nothwendigerweise nur eine annähernde bleiben.

## XIII. Veber den japanischen magischen Spiegel ; von Hanicht Muraoka in Japan.

Neben meiner Erklärung über die Entstehung der verschiedenen Convexität an der Obertlache des japanischen magischen Spiegels?) wurde von einigen Seiten eine zweite Erklärung gegeben, nämlich die folgende:

"Beim Schleifen werden die hinten dickeren

2) Muraoka, Wied. Ann. 22, p. 246, 1584.

<sup>1)</sup> Auszug aus einer japanischen Zeitschrift "Tokio Gakugeisassi"

Stellen stärker gedrückt und daher mehr abgerieben, als die dunneren, wodurch jene tiefer werden. als drese." Für diese Erklärung liegt aber kein Beweis for, und deshalb wird dadurch meine Erklärung keineswegs maiallig. Trotzdem hielt ich es nicht für überflüssig, mich nach verteren entscheidenden Thatsachen umzusehen. Ehe ich zur Beschreibung der Untersuchung übergehe, will ich der besvren Uebersichtlichkeit wegen meine Erklärung kurz dem Sinne nach wiedergeben: Von der Thatsache der "Mege"-Er-chemung ausgehend, wies ich nach, dass die Metalle die Eigenschaft haben, durch Schleisen nach der geschliffenen seite convex zu werden. Die Convexitüt ist abhängig von der Dicke, und zwar ist die um so grösser, je dünner die Platte. Da der japanische Spiegel hinten erhabene Figuren trägt, also ungleiche Dicke an verschiedenen Stellen hat, und die Spiegeltläche durch Schleisen hergestellt wird, so mussen achwendig die dunneren Stellen sich stärker krümmen, als 46 dickeren, wodurch die Verschiedenheit der Convexität entsteht. Mit anderen Worten, die Entstehung der verebiedenen Convexität liegt in der ungleichen Empfindlichkeit der Mege-Wirkung, welche durch die ungleiche Dicke der Spiegelplatte bedingt ist. biese Erklärung will ich nennen "die Erklärung durch Mege-Wirkung" und die andere "die Erklärung durch bruck". Ich stellte nun zwei Versuche an, die ich bewarethen will.

Versuch I: An eine Messingplatte löthete ich ein Metallkreuz und, um den Rand zu bekommen — der Rand at besonders wichtig zum Gelingen des Versuches —, noch in ausgeschnittenes Quadrat, sodass die Messingplatte eine Beformig erhabene Figur trägt. Um diese besonders stark in arucken, klebte ich sie mit Siegellack an eine dicke Holzwiebe. Wurde so die Messingscheibe zum Spiegel geschliffen, in uar dieselbe, wie erwartet, ein magischer Spiegel.

Nach der Erklärung durch Druck würde man sagen: seil der Druck verschieden ist. Nach der Erklärung er Moge-Wirkung dagegen: weil die Hebung nur an den tot der Holzscheibe freien Stellen stattfinden kann.

Versuch II: Eine Messingplatte versah ich wie vorhit mit M-förmigem Metall. Um den Druck überall gleich zu machen, überzog ich die ganze Figur mit Siegellack, sodasi keine Hohlraume entstehen konnten, und klebte die Holzscheibe daran. Beim Rauhschleifen sprang die Platte iedes mal vom Lack ab durch das Bestreben derselben, conver zu werden. Da das oftmulige Ankleben und Schleifen vielleicht Einwendungen verursachen kann, so bediente ich mich eines anderen Mittela. In heissem Wasser nämlich liess ich Wood'sches Metall auf der Figur schmelzen und langsam abkühlen. An eine zolldicke Masse des Wood'schen Me talles haftete dann die Messingplatte so fest an, dass kein mechanisches Mittel sie voneinander abzutrennen vermochte. Wurde nun die Platte, nachdem sie unter Benutzung von vier verschieden feinen Schleifsteinen geschliffen war, polirt und amalgamirt, so war sie vollkommen eben, d. h. es liess sich keine Convexität erkennen, und in der Projection zeigte sich keine Spur vom Kreuz. Befreite ich die Platte in heissem Wasser vom Wood'schen Metall. so erfolgte eine kleine Krümmung, und in der Projection erschien das Kreuz sammt dem Randquadrat so schön und deutlich, wie man überhaupt wünsches konnte.

Durch Druck ist dieser Vorgang unmöglich zu erklären, weil die nöthige Druckdifferenz nicht vorhanden ist Durch Mege-Wirkung lässt sich alles in ungezwungener Weise erklären, sodass es keiner weiteren Erläuterung bedarf.

## XIV. Bemerkung über die Lichtgeschwindigkeit im Quarze; von Dr. Karl Exner.

Am dem 91. Bde d. Sitzungsber d. kais. Acad. d. Wiss. II Athh. rom 5. Febr. 1885; mitgetheilt vom Hrn. Verf.)

Durch ein sinnreiches Experiment hat Hr. A. Cornu mui aufmerksam gemacht, dass in der Richtung der Axe Uuarzes das Mittel der beiden Fortpflanzungsgeschwingkeiten des Lichtes gleich ist der Fortpflanzungsgeschwingkeit des ordentlichen Strahles senkrecht zur Axe.1)

Dieses von Cornu erkannte Gesetz ist in einem allgeeneren Gesetze enthalten, welches sich aus einer von v. Lang theoretisch abgeleiteten und experimentell veriarten Formel herauslesen lässt?), ebenso wie aus der anagen, sich aus Cauchy's Theorie ergebenden Formel, welche benfalls von V. v. Lang experimentell verificirt ist.

Die Formel, wie sie Cauchy gegeben hat, ist:

$$\int_{0}^{1} \frac{1}{n^{2}} = \frac{1}{n^{3}} - \frac{1}{2} \left( \frac{1}{n^{3}} - \frac{1}{2^{2}} \right) \sin^{2} \rho = \left[ \frac{1}{4} \left( \frac{1}{n^{3}} - \frac{1}{n^{3}} \right)^{2} \sin^{4} \rho + \frac{\cos^{4} \rho}{2^{4}} \right].$$

Brechungsquotient einer ebenen Welle, ω ordentlicher rechungequotient, a ausserordentlicher Brechungsquotient, Winkel der Wellennormale mit der Axe, y Constante der otationspolarisation.

Ist der Kryetall des Rotationsvermögens beraubt, oder

trt man 
$$\chi = 30$$
, so wird:

$$\frac{1}{n^3} = \frac{1}{n^3} - \frac{1}{2} \left( \frac{1}{n^3} - \frac{1}{n^3} \right) \sin^2 \theta \pm \frac{1}{2} \left( \frac{1}{n^3} - \frac{1}{n^3} \right) \sin^2 \theta \,,$$

3) 
$$\frac{1}{n_1} = \frac{1}{\omega^3}$$
 and  $\frac{1}{n_2^3} = \frac{1}{\omega^3} \cos^2 \rho + \frac{1}{\epsilon^3} \sin^2 \rho$ ,

md es ergibt sich die Gleichung:

$$3 \qquad \frac{1}{2} \left( \frac{1}{n_1^{-1}} + \frac{1}{n_1^{-1}} \right) = \frac{1}{2} \left( \frac{1}{\omega^1} + \frac{1}{\omega^1} \cos^2 \rho + \frac{1}{e^1} \sin^2 \rho \right).$$

4 A Cornu, Compt. rend. 92, 1882.

W v Lang, Wien. Ber. 60, 1869; 75, 1877.

n,' und n, die der Richtung o entsprechenden Brechung quotienten des Krystalles ohne Rotationsvermogen.

Andererseits erhalt man aus der Gleichung (1.

(4) 
$$\frac{1}{2} \left( \frac{1}{n_1^3} + \frac{1}{n_2^3} \right) = \frac{1}{2} \frac{1}{\omega^4} + \frac{1}{\omega^2} \cos^2 \varrho + \frac{1}{\epsilon^4} \sin^2 \varrho^{-1}$$

und man hat aus (8) und (4):

$$\frac{1}{2} \left( \frac{1}{n_i^{\pm 2}} + \frac{1}{n_i^{\pm 2}} \right) = \frac{1}{2} \left( \frac{1}{n_i^{\pm 2}} + \frac{1}{n_i^{\pm 4}} \right)$$

n, und n, die der Richtung e entsprechenden Brechunge quotienten des Krystalles, oder:

$$\frac{1}{2}(c_1^2 + r_2^2) = \frac{1}{4}(r_1^{'2} + r_2^{'2})$$

v<sub>1</sub> und v<sub>2</sub> Lichtgeschwindigkeiten in irgend einer Richtung v<sub>1</sub>' und v<sub>2</sub>' Lichtgeschwindigkeiten in derselben Richtung ohne Rotationspolarisation.

Das heisst: Das arithmetische Mittel der Quadrate der beiden, irgend einer Richtung entsprechenden Fortpflanzungsgeschwindigkeiten ist gleich dem arithmetischen Mittel im Quadrate jener Fortpflanzungsgeschwindigkeiten, welche dem Krystalle in derselhen Richtung ohne Rotationspolarisation zukömen.

Nach einer Bemerkung des Hrn. Cornu muss nun dese Satz, wenn er für die Quadrate der Lichtgeschwindigkeitet gilt, auch für jede Function dieser Quadrate, und somit auch für die einfachen Lichtgeschwindigkeiten gelten. Es folgt dies aus der Kleinheit der Differenzen der Grössen  $e_1$ ,  $e_2$ ,  $e_3$ ,  $e_4$ ,  $e_2$ . Es ist also auch:

(6) 
$$\frac{1}{2}(v_1 + v_2) = \frac{1}{2}(v_1' + v_2'),$$

und das heisst: Für irgend eine Richtung ist das srith metische Mittel der heiden Fortpflanzungsgeschwind digkeiten gleich dem arithmetischen Mittel jenes Geschwindigkeiten, welche derselben Richtung obn Rotation entsprechen würden. 1) Insbesondere ergibt sich für die Richtung der Axe:

(7) 
$$\frac{1}{2}(v_1 + v_q) - v_s$$

1) Ein analoger batz für die Lichtfortpflanzung im magneniche Felde wurde von Cornu (l. c.) aufgestellt und begründet.

e ist die ordentliche Fortpflanzungsgeschwindigkeit, und dies ist das Gesetz Cornu's.

Es ist nicht ohne Interesse, die Gleichung (6) mit den Messungsresultaten V. v. Lang's zu vergleichen. Dieser erhielt

ę	M <sub>1</sub> H <sub>1</sub>		h <sub>g</sub>	n <sub>1</sub>	
0" 27,0	1,544 185 7	1,544 260 5	1,54423	1,544 224 3	
1 54.7	192.5	264.9	23		
2 454	1942	276 8	25		
4 4000	204 3	804.3	28		
5 4.8	20% 8	360.9	29		

wo ich jedoch die Zuhlen der vierten Verticalreihe nach Formel (2) hinzugerechnet habe. Beschränkt man sich auch bei den übrigen Zahlen auf 5 Decimalstellen und lässt bei sämmtlichen Zahlen die übereinstimmenden vier ersten Zahlen hinweg, so gelangt man zu der folgenden Tabelle.

9	m <sub>t</sub>		4 (N <sub>1</sub> + N <sub>2</sub> )	$\frac{1}{2}(n_1 + n_2)$	n <sub>1</sub>	n <sub>1</sub>
9* 27.0	19	26	221	224	23	22
1 34,7	19	26	221	224	23	92
2.45,4	19	25	58	294	25	22
1 40,0	20	80	25	25	28	22
5 4,5	21	80	254	254	251	2:2

Dieser Tabelle ist die Gleichung:

$$\frac{1}{2}(n_1 + n_2) = \frac{1}{4}(n_1' + n_2')$$

entnehmen, und diese Gleichung ist nach dem Satze Cornu's, dass an die Stelle der Geschwindigkeiten beliebige Flactionen der Geschwindigkeiten gesetzt werden können, wentsch mit (6).

Die folgende Tabelle V. v. Lang's enthält die nach Cauchy's Formel unter Benutzung der Messungsresultate betechneten Brechungsquotienten, und zwar auch für den Fall dass  $\chi = \infty$  gesetzt wird, wodurch das charakteristische der Circularpolarisation verschwindet.

6	и	Hg	H <sub>2</sub>	<b>A</b> <sub>1</sub>
Ú°	1,544 158 4	1,544 260 2	1,544 224 8	1,544 22
5	209 8	4 308 1	4 929 9	
10	220 0	4 500 9	4 496 5	
15	222 5	4 630 9	4 529 0	
20	223 4	5 281 6	5 280 6	•
25	224 2	5 838 2	5 838 0	

Selbstverständlich müssen die Zahlen dieser Tabelle Satze (5) entsprechen, sie können jedoch zur Prüfun, Genauigkeit jenes anderen Satzes dienen, der gestattet Geschwindigkeiten mit irgend welchen Functionen der schwindigkeiten zu vertauschen. Man erhält in der unter Hinweglassung der übereinstimmenden drei & Ziffern:

ę	a <sub>1</sub>	Ng.	$\frac{1}{2}(n_1+n_2)$	$\frac{1}{2}(n_1'+n_2')$	183	:
00	41984	42602	12243	42243	42243	, 4
5	42093	48081	42587	42586	42929	
10	42200	45009	43604	49604	44965	
15	42225	46309	45267	45267	48290	i
20	42234	52816	47525	47525	52806	
25	42242	58382	50812	50312	58380	i

in sehr vollkommener Uebereinstimmung mit Satz (8).

Druck von Matager & Wittig in Leignig.

## DER PHYSIK UND CHEMIE.

NEUE FOLGE. BAND XXV.

l l'eber die Wärmeentwickelung bei der Quellung und Lösung der Colloide; von E. Wiedemann und Ch. Lüdeking,

Wahrend die Vorstellungen über die Comtitution von tryst die Ausserhaftigen Salzen und Lösungen derselben ziemlich entwickelt sind, ist dies bei den Colloiden nicht der Fall. Wir haben versucht, diesem Gegenstande dadurch etwas näher at kommen, dass wir sowohl die Quellungswärme als auch die Lösungswärme der Colloide bestimmt haben. Die wasserfreien Loronte haben oft die Eigenschaft eine beträchtliche Menge Wassers aufzunchmen, ohne in den flüssigen Zustand überzugehen. Bei erhöhter Temperatur lösen sie sich dann zu einer klasen Flüssigkeit. Vereinzelte Versuche über die dabei auftrebenden Wärmeprocesse lagen von Duvernoy<sup>1</sup>) vor, der indess nicht Queilung und Lösung voneinander getreint hat. Zie Bestimmung der Lösungswärme liessen wir die Colloide est durch langeres Liegen im Wasser vollkommen aufquellen.

the Versuchsanordnung war die folgende.

Das Calorimeter beständ aus einem reagensglasähnlichen Gelasse aus dünnem Messing, von 18 ccm Capacität, in dies s wurde die zu untersuchende Substanz gebracht. An sidem oberen Ende wurde es durch eine ganz dünne durchbidzte Korkscheibe gehalten und an dieser mittelst Drahten fin in einem doppelwandigen Metallgefüss aufgehängt. Der Gepelwandige Mantel desselben wurde mit Wasser von der Temperatur der umgebenden Luft gefüllt. Auf das Gefass wirde ein Holzdeckel gelegt, der drei Durchbohrungen trug, dass welche drei Thermometer eingeführt waren. Ein Thermo-

b Davernoy, Ch m Centralbl (3) 5, p. 428 u. 440, 1874.

In ther a tion, N. F. XXV

meter tauchte in den Wassermantel, ein zweites in das Calori meter, em drittes codhch in das Aufquellungswasser, welche in cinem Reagensglase enthalten war, das, ähnlich wie de Calonmeter und in dessen Nähe, im Wassermuntelgefüss auf gehångt war. Der ganze Apparat wurde in dem Keller de hiesigen physikalisch-chemischen Laboratoriums aufgestellt, in dem die Temperaturschwankungen nur wemge Zehntelgradwährend eines Tages betrugen. Die Temperatur des Wasserun Wassermantel blieb wahrend der Dauer eines jeden Versaches ganz constant. Zu den Versuchen wurde das Colloid hierauf bis auf 5 mg genau in das Calorimeter eingewogen: meist wurden zwei Gramm benutzt, das Wasser wurde genan gemessen aus einer Bürette in das obenerwähnte Reagensgias eingefüllt. Der Apparat blieb stehen, bis die Thermometer gleiche Temperatur zeigten. Dann wurde der Decke rasch gehoben, das Wasser aus dem Reagensglase in da Calorimeter gegossen, der Deckel schnell wieder aufgedeck und das Ganze mittelst des Thermometers kräftig umgerührt Das L'ebergiessen des Wassers nahm nur vier bis fünf Seenn den in Anspruch. Unmittelbar nach der Mischung wurde ein Secundenthr in Bewegung gesetzt und von Minute zu Minute der Stand des Thermometers beobachtet. Zur Correction de beobachteten Temperatursteigerung wurde die Regnault'sch Methode angewandt.

Sollten die Versuche bei böheren Temperaturen ausgeführt werden, so wurde zunächst in ein Wasserbad, das auf der gewünschten Temperatur erhalten wurde, ein weites Messing rohr eingehängt und dann in diesem das Calorimeter befestigt letzteres nahm nach kurzer Zeit fast die Temperatur det Wasserbades an. Die Auflösungsfüssigkeit wurde im Wasserbade selbst durch Einhangen eines damit gefühlten Reagent, glases auf die gewünschte Temperatur gebracht und möglicht sehnell in das Calorimeter eingegossen. Die Bestimmung der Auflösungswärme bei erhöhter Temperatur geschah auch in der Weise, dass die Substanz, in eine Glaskugel eingeschmolzen und in dem mit Wasser gefühlten Calorimeter erhitzt wurde und die Kugel bei der gewünschten Temperatur mittelst des Rührers zerdrückt und so die Reaction eingeleitet wurde.

Da es sich bei den obigen Versuchen wesentlich darum handelte, zu entscheiden, ob eine Wärmeentwickelung oder Budung stattfand, und ein ungefähres Urtheil über die brösse derselben zu gewinnen, so sind die ermittelten Wärmenengen nur auf zwei Stellen angegeben: die dadurch gegebene Grangkeit ist vollkommen genügend. Eine viel grössere dörfte sich auch kaum erreichen lassen. Einmal haben die Tolloide meist nicht ganz constante Zusammensetzung, und kener verläuft die Hydratation und Lösung äusserst langsam, vodurch alle Correctionen sehr gross werden.

Im Folgenden sind die numerischen Ergebnisse mitgetheilt.

1 ist die Menge des angewandten Colloides, y die Menge des benutzten Wassers in Gramm, t die beobachtete Temperaturerhöhung. C die einem Gramm Substanz entsprechende Warmeentwickelung, berochnet unter Berücksichtigung der specifischen Warme der Mischung.

Gelatine. – Es wurde Gelatine verwandt, wie sie in lümen, farblosen Platten in den Handel kommt. Die Platten vanlen zu den Versuchen in kleine Quadrate zerschnitten.

Die Versuche ergaben folgendes:

Temperatur 18,4°.

$$x=2$$
  $y=10$   $t=+0.9$   $C=+6.2$ ,  
 $t=2$   $y=10$   $t=+0.8$   $C=+5.3$ .

$$r=2$$
  $y=10$   $t=+0.9$   $C=+5.6$ 

Im Mittel 5.7.

Die specifische Wärme der resultirenden (fallerte war 0,92. Es ist also, wenn man Gelatine bei gewohnlicher Temperatur mit Wasser aufquellen lässt, die Quellung von einer Wirmeentwickelung begleitet, die etwas weinger als sechs frammealorien pro Gramm beträgt.

Dem entsprechend zeigt sich, dass, wenn man gewässerte bekatne mit Kochsalzlösung übergiesst, die ihr einen Theil des Wassers entzieht, eine Wärmebindung eintritt.

Es wurde nun Gelatine verwandt, die bereits durch Aufjuden Wasser aufgenommen hatte. Sie wurde auf 34° erhitzt, also meht geschmolzen 1), und ihr dann Wasser zugesetzt, sie liste uch.

Der Schmelzpunkt lag bei 35".

Es fanden sich:

$$x = 2$$
  $y = 10$   $t = 0.3$   $C = -3.4$ ,  
 $x = 2$   $y = 10$   $t = 0.4$   $C = -4.1$ ,  
Im Mittel 3.7.

Die Lösung der aufgequollenen Gelatine ist also mit e Wärmeabsorption verbunden. Die Gelatine verhält sieh also analog, wie die sieh hydratisirenden Salze, sie nimmt zunk Wasser unter Wärmeentwickelung auf, sie hydratisirt Bei der Lösung des Hydrats wird dagegen Warme verbrat Zur weiteren Prufung dieses Resultates winde in der W vorgegangen, dass Gelatine von verschiedenem Wasserge mit Wasser übergossen wurde bei Temperaturen, die in je Falle einer raschen Lösung angemessen waren, ohne i Schmelzung vorher eintreten durfte. Das totale Quan Wasser war in jedem Experiment 10 g. Folgendes sind Resultate:

Das erste Experiment gibt uns die Differenz zwie Aufquellungs- und Auflösungswärme. Im zweiten sowohl, im dritten Experiment hat sich die Quellung schon aspielt, und zeigt sich nur die Lösungswärme. Im vie Experiment war das thermische Resultat gleich Null. was Umstande zuzuschreiben ist, dass das Wasser des Colloidseinmer mehr dem flüssigen Zustande nähert, je grösser Procentgehalt an demselben ist. Die specifische Wärme Endzustandes war so nahe gleich Eins, dass dieser Wauch kurzweg zur Berechnung der Calorien eingesetzt wur

Bei einer anderen Reihe von Experimenten wurde trock Gelatine mit steigenden Mengen Wasser bei 48°C, übergei Die Resultate sind in folgender Tabelle angegeben, zust Temperatursteigerung.

Man erkennt auch aus allen diesen Zahlen, dass beim Lösen der Gelatine sich unzweifelhaft zwei einander entgegengesetzte therarsche Processe abspielen.

Anschliessend an olige Versuche bestimmten wir noch die Menge Wasser w., welche 1 g Gelatine hei verschiedenen Temperaturen t in gleichen Zeiten (einer Stunde) aufzunehmen termag. Es war für:

Bei 35° fand vollkommene Lösung statt, und schmolz die Gelatine sehr rasch. Wir funden übrigens, entgegengesetzt der Angaben der Lehrbücher, z. B. von Beilstein, dass sich Gelatine bei gewöhnlicher Temperatur in Wasser, wenn auch dur in sehr geringer Monge löst. Das von Gelatine, über der es längere Zeit gestanden hatte, abgegossene Wasser henterliess beim Verdampfen einen deutlich verkohlenden Rückstund.

Versuche, die zur Bestimmung der latenten Schmelzwärme in der Weise angestellt wurden, dass man entweder die Erwinnungsgeschwindigkeit oder die Abkühlungsgeschwindigkeit ermittelte, wenn ein mit wasserhaltiger Gelatine gefülltes Gefäss in eine Umgebung von constanter höherer oder tieferer Temperatur gebracht wurde, ergaben keine sicheren Resultate. Die Gelatine geht durch einen plastischen Zustand hindurch.

Gummi arabicum — Die Versuche wurden bei gewöhnbeher Temperatur angestellt. Das Gummi arabicum wurde Als Pulver angewandt.

$$x = 2$$
  $y = 10$   $t = +1.4$   $C = +9.0$ ,  
 $x = 2$   $y = 10$   $t = +1.3$   $C = +9.0$ .

Die specifische Wärme der Lösung war 0,93.

.

Se.

3

de.

ń.

Zum Nachweise der negativen Lösungswarme wurde das Experiment so ausgeführt, dass der Hydratationsprocess durch mehrere empirische Versuche vom Lösungsprocess soviel als möglich gesondert wurde. Es stellte sich heraus, dass zur Hydra-

tation auf 2 g Gummi etwa 1 g Wasser zugesetzt werden musste, wobei sich Wärme entwickelte, und dass dann beim ferneren Zusatz von 4 g Wasser eine Temperaturerniedrigung von  $2^{\circ}$  stattfand oder C=-0.6 pro Gramm Gummi war. Die Auflösungswärme ist, wie ersichtlich, sehr gering im Vergleich zur Hydratationswärme.

Traganthgummi. - Er wurde als Pulver angewandt.

$$x = 2$$
  $y = 10$   $t = +1,9$   $C = +10,3$ ,  
 $x = 2$   $y = 10$   $t = +1,8$   $C = +10,3$ .

Specifische Wärme 0,93.

Da der Traganthgummi sich sowohl bei niederen wie bei höheren Temperaturen nur wenig löst, so war es nicht möglich, eine negative Lösungswärme zu constatiren. Jedenfalls vermindert dieselbe die positive Hydratationswärme.

Dextrin. — Das angewandte Dextrin enthielt Spuren von Stärke. Für die Hydratationswärme ergab sich:

$$x = 2$$
  $y = 10$   $t = +1,1$   $C = 7,03$ ,  
 $x = 2$   $y = 10$   $t = +1,2$   $C = 7,65$ .  
Im Mittel 7,34.

Specifische Warme 0,91.

Die negative Lösungswärme wurde wie oben beim Gummi nachgewiesen. Auf 2 g Dextrin kam zur Hydratation weniger als 1 g Wasser, dabei entwickelte sich Wärme, und zeigte sich dann beim Zusatz von weiteren 4 g Wasser  $t=-0.15^{\circ}$  und C=-1.8.

Stärke.

$$x = 2$$
  $y = 10$   $t = +0.8$   $C = 6.90$ ,  
 $x = 2$   $y = 10$   $t = +0.7$   $C = 6.19$ ,  
Mittel  $C = 6.55$ .

Specifische Wärme 0,97.

Um die negative Lösungswärme nachzuweisen, verfuhrenwir ganz wie beim Gummi arabicum. 1 g Stärke erfordertesetwa 2 g Wasser zur Hydratation, und wurde dann auf Zusatz von weiteren 4 g Wasser  $t=-0.2^{\circ}$  beobachtet oder  $C=-1.2^{\circ}$  pro Gramm Stärke.

Gerbsäure. - Duvernoy fand die Lösungswärme dieses Colloids positiv, wir dagegen negativ.

$$x = 2$$
  $y = 10$   $t = -0.4$   $C = -2.2$ .  
Specifische Wärme 0.95.

Gerstenzucker und Rohrzucker. — Gerstenzucker aud durch vorsichtiges Erhitzen und Schmelzen von raffinirtem Rohrzucker erhalten.

Gerstenzucker.

$$x = 2$$
  $y = 10$   $t = +1.4$   $C = +8.6$ ,  
 $x = 2$   $y = 10$   $t = +1.4$   $C = +8.6$ .

Rohrzucker.

$$x=2$$
  $y=10$   $t=-0.5$   $C_1=-2.8$ .

Der Gerstenzucker stellt eine amorphe Modification des Rohrzuckers dar; in der Lösung sind beide in der krystallmischen Form enthalten. Die Wärmemenge  $C + C_1 = 11,5$  ist demnach die Umwandlungswärme von amorphem in krystallinischen Zucker. Diese ist hier wie in allen analogen Fallen positiv. Die krystallmische Modification stellt ja auch die stabilere Anordnung der Molecüle dar. Sie ist auch die dichtere. Der Rohrzucker hat ein specifisches Gewicht 1,5984, der Gerstenzucker 1,5122.

Weinsäure. - at Rechtsweinsäure.

$$x = 1$$
,  $y = 10$   $t = -1.0^{\circ}$   $t = -25.37$ 

b Inactive Weinsäure wurde als amorphe Masse erhalten duch vorsichtiges Erhitzen der Rechtswemsäure auf 170° C.

$$x = 2$$
  $y = 10$   $t = +0.7$   $C = +5.42$ ,  
 $x = 2$   $y = 10$   $t = +0.9$   $C = +6.43$ .  
Im Mittel 5.92.

Auch hier gibt die amorphe Substanz eine positive, die krystalliuische eine negative Wärmetönung. Die Umwandlangswärme beträgt ca. 32,2. Berthelot und Jungfleisch häben die vier Modificationen der krystallisirten Weinsaure untersicht und stets, wie wir, eine negative Wärmetönung bei der leisung gefunden. Wie beim Rohrzucker ist auch hier die krystallisirte Weinsaure mit einem specifischen Gewicht 1,7617 ünkter als die amorphe mit einem specifischen Gewicht 1,6321.

Kieselsaure. — Um zu bestimmen, ob die Coagelation der Kieselsäure unter Wärmeentwickelung vor sich gebt oder nicht, wurde in folgender Weise verlahren. Waswiglas wurde verdünnt; die Verdunnungswarme war negativ. Hieranf wurde durch sorgfaltige Neutralisation mittelst Salzsäuse Kieselsäure freigemacht und durch Zusatz von einer Spur Ammoniak plötzlich coagulirt. Das letztere Phánomen wurde thermisch bestimmt. Es ergab sich bei den Versuchen  $C = \pm 12.2$  und  $\pm 11.3$  Calorien.

Danach ist die Congulation der Kieselsäure mit einer beträchtlichen Wärmeentwickelung verhunden. Diese Wärmeentwickelung lasst sich auch beobachten, wenn man eine Lösung von Natriumsdicat durch Chlorwasserstoffsäure neutralisirt und die Lösung so concentrirt immit, dass die Congulation von selbst eintritt. Auch lierbei steigt bei der Congulation die Temperatur. Hr. Thomsen i konnte bei der Congulation von Kieselsäurelösungen keine Temperaturerholiung constauren. Wir glauben dies dem Umstande zuschreiben zu müssem dass er Lösungen untersuchte, die, im Vergleich mit den vom uns benutzten, sehr verdünnt waren, und dass seine Versuch etwa 20-30 Minuten dauerten, während bei uns die Congulation fast momentan vor sich ging. Die Kieselsäuregelatine, die würerhielten, enthielt deshalb auch viel weniger Wasser als die seinige, was ein schwer wiegender Factor ist.

Fasst man die Coagulation als eine Abscheidung des gelösten Körpers aus der Lösung auf, so hätte die hydratism-te Kieselsaure eine negative Lösungswärme. Ruhrt dieselbe aber, wie Grimaux will, von Condensation zweier Molecule zu einem unter Wasserabscheidung her, der also z. B. bei Kieselsäure dem Process  $2Si(OH_i)_1 = Si_1(OH_2)_1 + H_1O$  entspräche, so stellt die Coagulationswärme die dem angedeuteten chemischen Process entsprechende Wärmeentwickelung dar.

Erweiss. — Es wurden Versuche sowohl mit frischem Biweiss aus Eiern, als auch mit festem, löslichem Erweiss, we es in den Handel kommt, angestellt.

a) Eiweiss frischer Eier. Das Eiweiss eines Etes wo 22 g; die beobachtete Temperaturerhöhung bei der Cosgulation desselben durch Essigskure betrug  $0.5^{\circ}$  oder C=+12.1 Cal

Das Eiweiss eines anderen Eies wog 24 g; die beobachtete Temperaturerhöhung bei der Coagulation betrug  $0.55^{\circ}$  over C=+12.4 Cal.

b) Festes Eiweiss von Trommsdorff:

1. 
$$x = 2$$
  $y = 10$   $t = +0.4$   $C = +2.8$ .

1) J. Thomsen, Thermochem, Untersuch, 1, p. 211, 1882

Specifische Wärme 0,96.

Dieses Eiweiss wurde durch Zusatz von etwas Salpetersäure osgalnt, die Temperaturerhöhung betrug  $0,1^{\circ}$ , also pro Gramm Ewess die Hydratationswärme  $C=\pm 2.3$  Cal.

2. r = 2 y = 10 t = -0.4 C = +2.8 Cal.

Diese Losung wurde coagulirt mit Salpetersäure, die Texperaturerhöhung betrug 0,4°, also pro Gramm Eiweiss 29 Calorien.

Löste man aufgequollenes Eiweiss in Wasser, so trat bei im Lösung eine Temperaturermedrigung von ca. 0,20° ein.

Weichte man trocknes Etweiss mit ganz wenig Wasser "in, sodass der Hydratationsprocess den Lösungsprocess weit überwog, so wurde eine Temperaturerhöhung von 8,0° orzielt,

Der Lösungsprocess des festen Eiweisses ist also nicht ein einfacher Vorgang, sondern er verläuft ähnlich demienigen bei der Gelatine. Erst tritt eine Hydratation mit Wärmeentwickelung ein, der daun die eigentliche Lösung mit negativem Wärmeeffect folgt.

Diese Erscheinung dürfte physiologisch von Bedeutung sein. Guthrie lat angegeben, dass die Tension des Wasserdampfes bei Lösungen von Colloiden gleich derjenigen des reinen Wassers ist. Für höhere Temperaturen würde schon aus seinen eigenen Versuchen folgen, dass dies nicht der Fall ist, indem der Siedepunkt von Gelatinelösung höher liegt als der von reinem Wasser. Für niedrige Temperaturen war die Behtigkeit der Guthrie schen Augabe schon deshalb nicht wahrscheinlich, weil die Vereinigung von Wasser mit Gelatine B. mit einer Wärmeentwickelung verbunden ist. Directe untlichende Versuche mit Lösungen von Gummi arabicum und Wasser ergaben in der That für die Gummilösungen eine keinere Spannkraft als für das reine Wasser.

Passen wir das Resultat der obigen Versuche zusammen, ergibt sich:

Die Lösung des trocknen Colloids setzt sich aus zwei Processen zusammen. 1. der Hydratation, die mit Wärmeentwickelung, 2. der Lösung, die mit Wärmebindung verbunden ist.

Leipzig, im August 1884.

## II. Veber die Abhängigkeit der specifischen Warme einiger Wasser-Aethylalkoholgemische von der Temperatur; von Ad. Blümcke.

(Aus dem physikal, Laborat, der Techn, Hochschule zu Manchen i (literau faf, 11 Fig. 1 v. 2.)

In einer früheren Arbeit: "Ueber den Einfluss des Concentrationsgrades auf die specifische Wärme wasseriger und alkoholischer Lösungen von Metallehloriden" bediente ich mich des Bunsen'schen Eiscalorimeters zur Ermittelung der specifischen Wärme der betreffenden Flüssigkeiten. - Aud bei der verliegenden Arbeit kam dieser Apparat zur Vorwendung, und zwar fast genau in der früher bereits angegebenen Zusammenstellung. Die einzigen unwesentlich-Aenderungen, welche ich aubrachte, bestanden in der Adder Verbindung des Scalenrohres mit dem Calorimeter und der Einrichtung zur Zuruckstellung des Quecksilberfades in demselben nach jedem Versuch. Beide Vorkehrungen sind in Fig. 1a und b im Querschnitt gezeichnet. An dem senkrechten Ende des Scalenrohres ist mit Siegellack ent Buchse B angekittet, welche oben ein Schraubengewinde tragt, auf dem sich die Mutter M bewegt, während untes em Ring R angeschraubt ist; ein zweiter Ring R, von ihr licher Form wie R ist lose über den glatten Theil der Büchet verschiebbar. Zwischen beiden Ringen R und R. sitzt auf der Büchse der Kautschukring K. der durch Anziehen out Schraube M zusammengepresst werden kann. Die Dicke der Kautschukringes ist so zu bemessen, dass derselbe bei nicht angezogener Schraube beguem in den offenen Schenkel de Calorimeters empasst und bei angezogener Schraube eines festen Abschluss ermöglicht. Diese im Princip keineswege neue Vorrichtung gestattet ein schnelles und bequemes Einsetzen des Scalenrohres, ohne dass Gefahr vorhanden wird es könnten Luftblasen im Schenkel des Calorimeters zurück bleiben. Die Vorrichtung zur Zuruckschiebung des Querksilberfadens im Scalenrohr ist im unteren Theile genau die gleiche, nur hat die Büchse oben eine Erweiterung bei &

welche die innen mit einem Gewinde verschene zweite Bichse F eingeschraubt werden kann; in letzterer bewegt uch der oben mit einem Gewinde verschene Stift D, dessen natter unterer Theil quecksilberdicht durch einen Lederring im G gleitet. Es ist klar, dass durch Einschrauben des Suftes D der Quecksilberfaden beliebig eingestellt werden unn. Ich brauche wohl kaum hinzuzufügen, dass alle letztemannten Theile, weil sie mit Quecksilber in Berührung winnen, aus Stahl hergestellt sind.

Ueber das Verhalten der Eiscylinder (Eiskerne) des Calorimeters ist schon viel gesugt worden: nach den Beobechtungen Neesen's 1) hat man es in der Hand, durch Aencerung des auf dieselben ausgeühten Druckes des Queckschers im engen Scheukel ein beliebiges Weiterfrieren oder Abschmulzen zu erzwingen; Verunreinigen des die Calorimeter umgehenden Wassers oder Schnees führen Weiterfrieren herbet. Nach Velten 2) soll die Art und Weise des Entstehens insofern auf ihr späteres Verhalten von Einfluss sein, dass solche Cylinder, welche streng nach Bunsen's Vorschrift, also durch Einführen eines abgekühlten Alkoholstromes in das Proberöhrchen erhalten wurden, ein Weiterfrieren zeigten, sährend diejenigen, welche entstanden, indem die bereits durch Gebrauch abgenutzten durch den durchgeführten Alkoholstrom wieder erganzt wurden, im Abschmelzen begriffen waren.

leh erwähnte in meiner früheren Arbeit, dass sämmtliche von mir hergestellten Eiscylinder im Abschmelzen begriffen varen, welche mit Ausnahme der anfänglichen durch Erganzen des abgenutzten in angegebener Weise erhalten wurden.

Die Bemerkung Velten's veranlasste mich, dem Ver-Lalten des Euseylinder etwas mehr Aufmerksamkeit zu schenken. Ich pflegte dieselben zu Anfang genau nach den Verschriften Bunsen's zu erzeugen, später indem ich das Caterimeter mit einer Kältemischung aus zerstessenem Eisad Kochsalz umgab und zugleich einen Alkoholstrom durch

<sup>1</sup> Neesen, Beibl. 7, p. 587-1883

<sup>2)</sup> Velten, Wied Ann. 21, p. 52 1884.

das Proberöhrchen führte, wodurch es mir leichter gelang, das Wasser zum Gefrieren zu bringen; die erste Eisbildung geschah bei allen meinen Versuchen ohne Ausnahme bei einer Temperatur von ungefähr - 7º C., und zwar erstarrte jedesmal die ganze Masse; eine sofortige Eisbildung rings um das Proberohrchen herum beobachtete ich nie. War die erste Eisbildung eingetzeten, so wurde die umgebende Kältemischung schnell entfernt und das Calorimeter mit Wasser roin abgewaschen und hierauf wieder ganz nach Bunsen verfahren, nur stellte ich das Instrument in einen kleinen Kasten, der mit Eisstücken umgeben war, um nicht das Gefrieren durch die Warme der Umgebung zu beeinträchtigen. - Um das Verhalten der Eiscylinder genauer zu studiren, hatte ich zwei genau gleichmässig eingerichtete Calorimetergefasse: beim ersten stand das Instrument in destillirtem Wasser, hierbei zeigten alle Cylinder, mochten sie entstanden sein, wie sie wollten, ein geringes Abschwelzen. die Höhe des Quecksilbers im engen Schenkel des Calonmeters betrug ungefähr 25 cm. Im zweiten Gefäss hatte ich das Wasser durch Spuren von Kochsalz verunreinigt, die Folge davon war, dass sämmtliche Cylinder ohne alle Autnahme ein allerdings kaum wahrnehmbares Weiterfriere zeigten; nur durch Steigern des Druckes, indem ich an das Scalenrohr einen mit Quecksilber gefüllten Schlauch ansetzte. trat wieder Abschmelzen ein. Nach Vermehrung des Kochsalzzusatzes gelang es mir nicht mehr, durch den Druck einer Quecksilbersäule von ungefähr 50 cm das sehr merklich gewordene Weiterfrieren aufzuheben. Später, pachdem die Calorimeter einige Monate in Gebrauch waren, zeigten bei beiden Apparaten alle Eiscylinder infolge zufällig eingetretener Verunreinigung des Wassers ein so starkes Weiterfrieren, dass ich das Wasser einfach entfernte, sodass die Instrumente nur noch von Luft umgeben im inneren Geiles standen. Dadurch hörte das Weiterfrieren auf: allerdings wurde der Scalengang etwas unregelmässiger, aber keineswege in der Weise, um Beobachtungen unmöglich zu machen. Ich konnte also bei obigen Untersuchungen in keinem Falle die Beobachtung Velten's bestätigen; allerdings muss ich

gehen, dass ich den Druck auf die Eiscylinder nicht hinchend genug veränderte, um mit aller Gewissheit über n Gegenstand entscheiden zu können.

Das im größeren Gesiss nachzulegende Eis versuchte durch Schnee zu ersetzen, allein ich machte dabei die ungenehme Ersahrung, dass derselbe nicht eben sehr vereinigt zu sein braucht, um die Rolle einer Kältemischung übernehmen, was zur Folge hatte, dass die Eiskruste im uneren Gesäss beständig wuchs und täglich verkleinert sich musste, wollte ich nicht das Calorimeter der Gesahr Ansrierens aussetzen, wodurch in der That einmal ein urbrechen desselben herbeigeführt wurde.

Die zu untersuchenden Körper wurden erwärmt eineseits in einem Heizgefäss mit Rückkühlung durch Flüssigeitsdampfe, wie Fig. 2 schematisch zeigt. Der im Kessel F
nwickelte Dampf trat bei A in den inneren Mantel des
m Körper enthaltenden Apparates, verliess denselben bei
h, um durch das Rohr H gehend bei C in den äusseren
hatel zu treten, den es bei D verliess, um nach geschehener
erstüssigung durch die Kühler G wieder nach F zurückkehren. Alle Theile, mit Ausnahme der zur Condensation
enenden, waren mit Filz überzogen.

Gehalten wurden die Körper durch den Schieber E, der in U-förmiger Gestalt war, um einen Wärmeverlust nach aten möglichst zu verhindern; er bewegte sich in passensen, die Mäntel des Apparates durchbrechenden Fuhrungen. Das innere Rohr war oben durch einen Kork verschlossen, ar mit einer Durchbohrung zur Aufnahme des Thermonters versehen war. Im die Körper in das Calorimeter zu ragen, wurde der ganze an einem zweckentsprechenden Gestell angebrachte Apparat an dasselbe herangebracht, odass sich das innere Rohr des ersteren direct über dem Proberöhrchen befand, und dann der Schieber E einfach untekgezogen. Zum Heizen dienten mir die Dämpfe von Nasser (97 – 98° C.), Schwefelkohlenstoft (44 – 46° C.) und Aeiner (30 – 32° C.).

Ich hatte alle Ursache, zufrieden zu sein, was die Conanz der Temperatur im Inneren des Heizgefässes anlangt, dagegen wollte es mir nicht gelingen, ein passendes Materiaur Dichtung des Kesseldeckels beim Heizen mit Schwife kohlenstoff und Aether zu finden; die beim Wasser selbrauchbare Pappe war für die beiden übrigen undicht, so dass immer geringe Mengen entwichen, was beim Schwefe kohlenstoff utwas unangenehm war. Beim Aether entzündete sich einigemal die Dämpfe, weshalb ich denselben spätenicht mehr verwendete.

Ferner bediente ich mich zum Erwärmen der Körpe eines durch eine sich automatisch regulirende Flamme an constanter Temperatur gehaltenen Wasserbades. Dabei be fanden sich die Körper selbst in Wärmeflaschen ganz ähn lich den von Velten angewendeten.

In allen Fällen wurden die Temperaturen mit dem Thermometer bestimmt.

Wie bei meiner früheren Arbeit, wurden die Flüssigkeiten in Glashüllen eingeschlossen.

Was ich über die specifische Wärme des Glases zu sagen habe, ist keineswegs geeignet, demselben zur besonderen Enpfehlung betreffs seiner Verwendbarkeit zu dienen.

Wie ich schon in meiner ersten Arbeit angab, fand ich die specifische Wärme des Glases achwankend, obschon alle von mir verwendeten Sorten von derselben Quelle bezogen und nach demselben Recept hergestellt waren. Ich tand später, dass Stücke von ein und demselben Rohr, wenn schon geringe, so doch merkliche Verschiedenheiten zeigten; fernet erhielt ich für das gleiche Stück bei aufeinanderfolgendet Versuchen verschiedene Werthe, und zwar meist abnehmende z. B. erhielt ich für ein Stück: für ein zweites:

 $C_{0-00} = 0.193$ . 0.190, 0.188.  $C_{0-00} = 0.206$ , 0.204, 0.203. Eine weitere Glassorte ergab zuerst:

 $C_{0-44} = 0.183$ , dann  $C_{0-15} = 0.165$ , dann wieder  $C_{0-44} = 0.175$ 

Diese Verschiedenheit konnte nicht von irgend welchen Unordnungen in den Calorimetern herrühren, denn für ein Stück Kupfer erhielt ich immer die gleiche specifische Wärmen natürlich abgesehen von den Beobachtungsschlern.

Um zu sehen, von welchem Einfluss der Umstand ist

es die Glasbüllen bei der Herstellung, sowie beim Zumelzen einige Zeit der Gobläschumme ausgesetzt werden, alt ich ein Stück, für welches:

$$C_{0-20} = 0.198$$

ar, längere Zeit in die Flamme, ich bekam dann:

$$C_{0-40} = 0.201,$$

schdem es so lange der Flamme ausgesetzt war, bis es matt

$$C_{0-66} = 0.207.$$

Um diese Eintlüsse möglichst zu verringern, verfuhr ich der Weise, dass ich von jeder Reihe von Glashüllen, die meinem Rohr hergestellt wurden, drei entnahm und von der die specifische Wärme bestimmte, das Mittel aus diesen unde dann für die übrigen angenommen. Wurden mit einer zihe von Glashüllen, welche Flüssigkeiten enthiolten, die grsuche wiederholt, so geschah natürlich dasselbe mit den gren Glashüllen.

Die Ursache dieser Erscheinungen dürfte wohl dieselbe in, welche die Aenderungen der Fixpunkte der Thermoster veranlasst, sie wäre also in molecularen Umlagerungen suchen, über die aber alle Anhaltspunkte fehlen.

Was die Abhängigkeit der specifischen Wärme des isses von der Temperatur anlangt, so konnte ich die bisrigen Beobachtungen darüber nur bestätigen, wonach sie allgemeinen mit der Temperatur zunimmt.

Um einen Begriff von der Genauigkeit und Brauchbarit der von mir erhaltenen Zahlen zu geben, wird es vielicht passend sein, wenn ich die Resultate über die spelische Warme des Wassers mittheile.

Tabelle I.

Gewicht du Wassern	Gewicht des Glases	Erhitzungs- Temperatur	Spec. Warme des Wassers	
0,8678 g	1,5354 g	98,48 °C. 98,43 n	1,0129	
12 11 200101 44	1,4978	98 42 · · · 98,45 · · ·	1,0143	Muttel 1,013

Genicht des Wassers des Glases Temperatur des Wassers  0,6342 g					
0,6342 g	G- wicht	Gewicht	Echitzmaga-	Spec Wänne	
0.4202 · 1,1805 · 53,5 · 1,006 · 1,017 · 1,008 · 1,018 · 1,011 · 1,008 · 1,018 · 1,011 · 1,008 · 1,008 · 1,011 · 1,008 · 1,008 · 1,008 · 1,008 · 1,008 · 1,008 · 1,008 · 1,008 · 1,008 · 1,008 · 1,008 · 1,008 · 1,008 · 1,008 · 1,008 · 1,008 · 1,008 · 1,008 · 1,008 · 1,008 · 1,008 · 1,008 · 1,008 · 1,008 · 1,008 · 1,008 · 1,008 · 1,008 · 1,008 · 1,008 · 1,008 · 1,008 · 1,008 · 1,008 · 1,008 · 1,008 · 1,008 · 1,008 · 1,008 · 1,008 · 1,008 · 1,008 · 1,008 · 1,008 · 1,008 · 1,008 · 1,008 · 1,008 · 1,008 · 1,008 · 1,008 · 1,008 · 1,008 · 1,008 · 1,008 · 1,008 · 1,008 · 1,008 · 1,008 · 1,008 · 1,008 · 1,008 · 1,008 · 1,008 · 1,008 · 1,008 · 1,008 · 1,008 · 1,008 · 1,008 · 1,008 · 1,008 · 1,008 · 1,008 · 1,008 · 1,008 · 1,008 · 1,008 · 1,008 · 1,008 · 1,008 · 1,008 · 1,008 · 1,008 · 1,008 · 1,008 · 1,008 · 1,008 · 1,008 · 1,008 · 1,008 · 1,008 · 1,008 · 1,008 · 1,008 · 1,008 · 1,008 · 1,008 · 1,008 · 1,008 · 1,008 · 1,008 · 1,008 · 1,008 · 1,008 · 1,008 · 1,008 · 1,008 · 1,008 · 1,008 · 1,008 · 1,008 · 1,008 · 1,008 · 1,008 · 1,008 · 1,008 · 1,008 · 1,008 · 1,008 · 1,008 · 1,008 · 1,008 · 1,008 · 1,008 · 1,008 · 1,008 · 1,008 · 1,008 · 1,008 · 1,008 · 1,008 · 1,008 · 1,008 · 1,008 · 1,008 · 1,008 · 1,008 · 1,008 · 1,008 · 1,008 · 1,008 · 1,008 · 1,008 · 1,008 · 1,008 · 1,008 · 1,008 · 1,008 · 1,008 · 1,008 · 1,008 · 1,008 · 1,008 · 1,008 · 1,008 · 1,008 · 1,008 · 1,008 · 1,008 · 1,008 · 1,008 · 1,008 · 1,008 · 1,008 · 1,008 · 1,008 · 1,008 · 1,008 · 1,008 · 1,008 · 1,008 · 1,008 · 1,008 · 1,008 · 1,008 · 1,008 · 1,008 · 1,008 · 1,008 · 1,008 · 1,008 · 1,008 · 1,008 · 1,008 · 1,008 · 1,008 · 1,008 · 1,008 · 1,008 · 1,008 · 1,008 · 1,008 · 1,008 · 1,008 · 1,008 · 1,008 · 1,008 · 1,008 · 1,008 · 1,008 · 1,008 · 1,008 · 1,008 · 1,008 · 1,008 · 1,008 · 1,008 · 1,008 · 1,008 · 1,008 · 1,008 · 1,008 · 1,008 · 1,008 · 1,008 · 1,008 · 1,008 · 1,008 · 1,008 · 1,008 · 1,008 · 1,008 · 1,008 · 1,008 · 1,008 · 1,008 · 1,008 · 1,008 · 1,008 · 1,008 · 1,008 · 1,008 · 1,008 · 1,008 · 1,008 · 1,008 · 1,008 · 1,008 · 1,008 · 1,008 · 1,008	des Wassers	des Glases	Temperatur	des Wassers	
0.4202 · 1,1805 · 53,5 · 1,006 · 1,017 · 1,008 · 1,018 · 1,011 · 1,008 · 1,018 · 1,011 · 1,008 · 1,008 · 1,011 · 1,008 · 1,008 · 1,008 · 1,008 · 1,008 · 1,008 · 1,008 · 1,008 · 1,008 · 1,008 · 1,008 · 1,008 · 1,008 · 1,008 · 1,008 · 1,008 · 1,008 · 1,008 · 1,008 · 1,008 · 1,008 · 1,008 · 1,008 · 1,008 · 1,008 · 1,008 · 1,008 · 1,008 · 1,008 · 1,008 · 1,008 · 1,008 · 1,008 · 1,008 · 1,008 · 1,008 · 1,008 · 1,008 · 1,008 · 1,008 · 1,008 · 1,008 · 1,008 · 1,008 · 1,008 · 1,008 · 1,008 · 1,008 · 1,008 · 1,008 · 1,008 · 1,008 · 1,008 · 1,008 · 1,008 · 1,008 · 1,008 · 1,008 · 1,008 · 1,008 · 1,008 · 1,008 · 1,008 · 1,008 · 1,008 · 1,008 · 1,008 · 1,008 · 1,008 · 1,008 · 1,008 · 1,008 · 1,008 · 1,008 · 1,008 · 1,008 · 1,008 · 1,008 · 1,008 · 1,008 · 1,008 · 1,008 · 1,008 · 1,008 · 1,008 · 1,008 · 1,008 · 1,008 · 1,008 · 1,008 · 1,008 · 1,008 · 1,008 · 1,008 · 1,008 · 1,008 · 1,008 · 1,008 · 1,008 · 1,008 · 1,008 · 1,008 · 1,008 · 1,008 · 1,008 · 1,008 · 1,008 · 1,008 · 1,008 · 1,008 · 1,008 · 1,008 · 1,008 · 1,008 · 1,008 · 1,008 · 1,008 · 1,008 · 1,008 · 1,008 · 1,008 · 1,008 · 1,008 · 1,008 · 1,008 · 1,008 · 1,008 · 1,008 · 1,008 · 1,008 · 1,008 · 1,008 · 1,008 · 1,008 · 1,008 · 1,008 · 1,008 · 1,008 · 1,008 · 1,008 · 1,008 · 1,008 · 1,008 · 1,008 · 1,008 · 1,008 · 1,008 · 1,008 · 1,008 · 1,008 · 1,008 · 1,008 · 1,008 · 1,008 · 1,008 · 1,008 · 1,008 · 1,008 · 1,008 · 1,008 · 1,008 · 1,008 · 1,008 · 1,008 · 1,008 · 1,008 · 1,008 · 1,008 · 1,008 · 1,008 · 1,008 · 1,008 · 1,008 · 1,008 · 1,008 · 1,008 · 1,008 · 1,008 · 1,008 · 1,008 · 1,008 · 1,008 · 1,008 · 1,008 · 1,008 · 1,008 · 1,008 · 1,008 · 1,008 · 1,008 · 1,008 · 1,008 · 1,008 · 1,008 · 1,008 · 1,008 · 1,008 · 1,008 · 1,008 · 1,008 · 1,008 · 1,008 · 1,008 · 1,008 · 1,008 · 1,008 · 1,008 · 1,008 · 1,008 · 1,008 · 1,008 · 1,008 · 1,008 · 1,008 · 1,008 · 1,008 · 1,008 · 1,008 · 1,008 · 1,008 · 1,008 · 1,008 · 1,008 · 1,008 · 1,008 · 1,008 · 1,008 · 1,008 · 1,008 · 1,008 · 1,008 · 1,008 · 1,008 · 1,008 · 1,008 · 1,008 · 1,008 · 1,008 · 1,008 · 1,008 · 1,008 · 1,008					-
0.4202 1,1805 53,8 1,006 1	0,6342 g	1,2%27 g			
0.4202 1,1805 0 53,8 1,006 0.0 0.0 0.0 59,8 1.013 0.6789 g    1,4338 g    41,7 °C. 1,005 0.0 0.0 0.0 44,8 1,015 0.0 0.0 0.0 44,8 1,016 0.4339 1,6693 44,5 1,010 0.0 0.0 0.0 44,4 1,006 0.0 0.0 0.0 44,4 1,006 0.0 0.0 0.0 44,7 1,005 0.0 0.0 0.0 44,7 1,005 0.6342 g    1,2827 g    30,1 °C. 1,018 0.0 0.0 0.0 0.0 44,7 1,005 0.6342 g    1,2827 g    30,1 °C. 1,018 0.0 0.0 0.0 0.0 0.0 0.0 0.0 0.0 0.0 0.0					
0.0					
0.0789 g 1,4334 g 41,7 °C. 1,005 0.6789 g 1,4334 g 41,7 °C. 1,005 0.0 0 0 0 44,8 0 1,015 0.0 0 0 44,8 0 1,010 0.0 0 0 44,4 0 1,006 0.0 0 0 44,7 1,005 0.0 0 0 44,7 1,005 0.0 0 0 0 44,7 1,005 0.0 0 0 0 0 0 0 0 0 0 0 0 0 0 0 0 0 0 0	0.4902	1,1805 0			
0,6789 g 1,4330 g 41,7 °C. 1,005  0 0 0 0 448 0 1,015  0 0 0 44,8 0 1,010  0 0 0 44,8 0 1,006  0 0 0 44,4 0 1,006  0 0 0 44,7 0 1,005  0 0 0 0 44,7 0 1,005  0 0 0 0 1,2827 g 30,1 °C. 1,018  0 0 0 0 0 1,005  0 0 0 0 1,005  0 0 0 0 1,005  0 0 0 0 1,005  0 0 0 0 0 1,005  0 0 0 0 0 0 0 0 0 0 0 0 0 0 0 0 0 0	** **	25 11			
0,6342 g 1,2827 g 30,1 °C, 1,018 0,68342 g 1,2827 g 30,1 °C, 1,018 0,5334 n 1,1928 n 30,1 n 1,008 0,5334 n 1,1928 n 30,2 n 1,008 0 n 1 1,1928 n 30,2 n 1,008 0 n 1 1,008	() +)	94 96	51.0 "	1,008	Mitte 1 1.011
0,6342 g 1,2827 g 30,1 °C, 1,018 0,68342 g 1,2827 g 30,1 °C, 1,018 0,5334 n 1,1928 n 30,1 n 1,008 0,5334 n 1,1928 n 30,2 n 1,008 0 n 1 1,008	0.6790	1 1998	41 1/2	1 000	
0,4339 0 1,6693 0 44,8 0 1,004 0,4339 0 1,6693 0 44,5 0 1,010 0 0 0 44,4 0 1,006 0 0 0 44,4 0 1,008 0 0 0 44,7 0 1,005  0,6342 g 1,2827 g 30,1 °C, 1,018 0 0 0 0 30,1 0 1,005 0 0 0 0 0 1,006 0 0 0 0 0 0 1,006 0 0 0 0 0 0 0 0 0 0 0 0 0 0 0 0 0 0				,	
0,4339 1,6693 44.5 1,004 0,4339 1,6693 44.5 1,010 0 0 0 44.4 1,006 0 0 0 44.7 1,005  0,6342 g 1,2827 g 30,1 °C. 1,018 0 0 0 0 0 0 0 0 0 0 0 0 0 0 0 0 0 0 0					
0,4839 1,6693 44.5 1,010 0 0 0 0 44.4 1,006 0 0 0 44.9 1,008 0 0 0 44.7 1,005 Mattel 1,609  0,6342 g 1,2827 g 30,1 °C. 1,018 0 0 0 0 0 0 0 0 0 0 0 0 0 0 0 0 0 0 0					
0 0 0 0 44.4 m 1,006 0 0 0 44.8 0 1,008 0 0 0 0 44.7 1,005 Mattel 1,009  0,6342 g 1,2827 g 30,1 °C, 1,018 0 0 0 0 0 0 0 1,007 0 0 0 0 0 0 1,008 0 0 0 0 0 0 1,008 0 0 0 0 0 0 0 1,008 0 0 0 0 0 0 0 1,008 0 0 0 0 0 0 0 0 1,008 0 0 0 0 0 0 0 0 0 1,008 0 0 0 0 0 0 0 0 0 0 0 1,008 0 0 0 0 0 0 0 0 0 0 0 1,008 0 0 0 0 0 0 0 0 0 0 0 1,008 0 0 0 0 0 0 0 0 0 0 0 1,008					
0,6342 g 1,2827 g 30,1 °C. 1,018					
0,6342 g 1,2827 g 30,1 °C, 1,018  0,6342 g 1,2827 g 30,1 °C, 1,018  0 0 0 0 0 0 0 0 0 0 0 0 0 0 0 0 0 0 0					
0,6342 g 1,2827 g 30,1 °C. 1,018					32 ma - 7 m - 100
0 0 0 0 1,007 0 0 0 0 1,008 0 1,008 0 1,014 0,5334 0 1,1928 0 302 0 1,023 0 0 0 0 0 0 0 0 0 0 0 0 0 0 0 0 0 0 0	() 25	41 11	911,4	1,000	printer 1'ous
0 0 0 0 1,007 0 0 0 0 1,008 0 1,008 0 1,014 0,5334 0 1,1928 0 302 0 1,023 0 0 0 0 0 0 0 0 0 0 0 0 0 0 0 0 0 0 0	0.6342 æ	1.2×27 c	30.1 °C.	1.018	
0. 0. 0. 0. 1,008 0.5334 0. 1,1928 0. 3022 0. 1,023 0. 0. 0. 0. 0. 0. 1,008 0. 0. 0. 0. 0. 0. 1,008 0. 0. 0. 0. 0. 0. 1,005 0. 0. 0. 0. 0. 0. 1,018 Matel 1,012	, Б				
0,5334 n 1,1928 n 30,1 n 1,014 0,5334 n 1,1928 n 30,2 n 1,023 n n 30,1 n 1,008 n n 30,1 n 1,005 n n 30,2 n 1,013 Mittel 1,012					
0,5334 n 1,1928 n 30.2 n 1,023 n n 30.1 n 1,008 n n 30,1 n 1,005 n n 30,2 n 1,018 Mittel 1,012	b4 b1	10 10			
	0.5334 n	1.1928 0			
" " " 30,1 " 1,005 " " " 30,2 " 1,018 Mattel 1,012					
" " 30,2 " 1,018 Mittel 1,012	21 10				
					Mittel 1.012
0,4902 g 1,1805 g 14,8 °C, 1,015		-			
	0,4902 g	1,1805 g	14,5 °C.	1,015	
n n n n n 14,8 n 1,028	+1 +1	50 00	14.8 0	1,028	
14,9 . 1,020		44 64	14,9 "	1.020	
0,6342 - 1,2827 - 14,5 - 1,018	0,6342	1,2527		1,018	
w w 14,5 w 1,030	4/4 44	9% 5%	14,5 %	1,030	
n n n n 14,5 n 1,024	15 15	35 ps	14,5	1,024	
0,5384 - 1,1826 - 14,8 - 1,009	0,5384	1,1828 "	14,8 0	1,009	
in in to 14,9 to 1,014	he se	++ ++			
" " 15,0 " 1,013 Mittel 1,022	hy hy	1" 15	15,0 "	1,0 (3	Mittel 1,022

Wie zu erwarten war, sind die Abweichungen um so grösser, je enger das Temperaturintervall ist; etwas grosser waren die Abweichungen bei den Mischungen, weil bei diesen wegen ihres geringeren specifischen Gewichts das Gewicht des Glases mehr überwog, als beim Wasser. Was die ven mir erhaltenen Werthe für die specifische Wärme des Wassers anlangt, so widersprechen sie denjenigen Velten's keneswegs; es ist nach

memen Beobachtungen	nach Velten.
$\frac{C_{n-15}}{C_{n-10}} = 1,009$	$\frac{C_0}{C_0} = \frac{14,69}{90,69} = 1,011$
$\frac{C_{0.130}}{C_{0.199}} = 0.999$	$\frac{C_{3-27,67}}{C_{9,-106,006}} = 1.007$

Es baben also die Verhältnisse der specifischen Wärme mir ungefähr denselben Gang wie bei Velten; naturlich henen die Zahlen des letzteren grösseres Vertrauen, weil prössere Substanzmengen anwandte, dann auch, weil er Wasser nicht in Glas, sondern in Platin einschloss.

In folgender Tabelle sind die Mittelwerthe der einzelnen nuchsdaten angegeben; es bedeutet p den Procentgehalt Mischung an Alkohol, n die Anzahl der Molecule Wasser, auf ein Molecul Alkohol kommen. Der Gang der Wärmegentäten ist innerhalb sämmtlicher Temperaturintervalle grossen und ganzen derselbe: ein anfängliches Steigen zu einem Maximum, welches bei p=15 bis p=20 ein-n0, dann wieder ein Sinken, also gerade so, wie es von a übrigen Beobachtern<sup>1</sup>) auch gefunden wurde.

Tabelle II.

	n	Co - 15	$C_0 = a_0$	Co - 46	C) 84	C <sub>0 90</sub>
	00	1,022	1,012	1,009	1,011	1,018
4	190	1,034	1,019	_	1,020	
8	43,9	1,066	1,037	_	1,042	
A .	19,9	Approx.	_	1,055	-	1,089
¥	14.6	1,116	080,1	-	1,071	**
1	10.2	1,107	1,070	_	1,071	-
8	9,7	_	_	1,065	_	1,102
8	7,7	_	_	1.054	-	1,086
8	4,5	-		1,038		1,072
6	6,1	1.057	1,086	1,036	1.042	
Ġ	+ 2,4	0,040	0.922	0.920	0.954	0,964
8	0,7	0.717	0.718	0,725	0,758	0.792
3	0,0	0,569	0,579	0.595	0,630	0,683

Ein directes Vergleichen meiner Zahlen mit denen anr Beobachter ist wegen der Verschiedenheit der Temturgrenzen nicht möglich.

Dupré n. Page, Phil. Mag (4) 85. p. 158-162, 1869, Schuller, parakhaseriation. Bonn 1862. Pogg. Ann. Erghd. 5. p. 116-146 2-221, 1871.

d Phys. c. Chem. N. F. XXV.

Schüller macht auf den eigenthümlichen Gang des Verhältnisses der beobachteten zu den berechneten specitischen Wärmen der von ihm untersuchten Wasser-Alkoholgemische aufmerksam, welches mit zunehmender Concerntration bis zu einem bei p=30 liegenden Maximum steig um dann langsam zu fallen; folgende Tabelle zeigt, dass dus auch bei allen meinen Versuchsreihen der Fall ist, num scheint das Maximum der specifischen Wärmen zwischen und 98° näher an p=20 zu liegen.

Tabelle III.

	rapette 111.								
F	C0-15	k <sub>0 18</sub>	0 0	0 - 35 k,	30	C k	C0-41	kn_e	C
10 20 30 40	1,100 1,110 1,058 0,992	0.976 0.930 0,583 0,837	1,194 1 1,199 1	,010 0 ,041 0	,984 1 ,580 1	,089 ,138 ,188 ,161	1 050 1,085 1,085 0,988	0,967 0,925 0,983 0,941	1,1200
50 100	0,992	0,791	1,166 0	,573 0	,792 1	,000	0,909 0,590	0,400	1,04.21
	P	C. 5	ko ta	C k	C <sub>0</sub> 1	H ko.	400	C k	
	10 20 30	1,072	0,935	1,054 1,146 1,161	1,082 1,309 1,063	6. 4	16 1,	104 165 164	
	40 50 180	0,990 0,931	0,859	1,153 1,134 1,000	1,008 0,950 0,690	0,88 ( R)	90 L. 17 L.	143 119 000	

Auf der Figurentsfel ist der Verlauf der specifischen Warmen graphisch dargestellt; die Ordinaten sind die specifischen Warmen, die Abscissen die Concentrationsgrade. Ein Blick auf diese Curven wird erklärlich finden lassen dass es mir nicht gelang, eine Gesetzmässigkeit zwischen specifischer Warme, Concentration und Temperatur der betreffenden Gemische aufzufinden.

Bis ungeführ p=20 liegen die Curven übereinanderdann senkt sich  $C_{0...15}$ , um die übrigen zu schneiden; ebensoschneidet die anfänglich zwischen  $C_{0...15}$  und  $C_{0...15}$  verlunfende  $C_{0...15}$  die letztere.

- J. Thomson benutzt die von Dupre und Page gefen-
- 1) J. Thomaen, Thermochemische Untersuchungen, 1, p. 74, 1882

Wasser-Alkoholgemische zur näherungsweisen Berechnung ber Warmetonung derselben bei ihren Siedepunkten und andet, dass dieselbe gleich Null ist. Ich behalte im Folgenden die Thomsen'sche Bezeichnung bei, es ist also:

q die Aenderung der Wärmetönung, qa die Molecularwärme des Wassers.

96 " Alkohols,

q, das calorimetrische Aequivalent des Gemisches,

P = 46.100 p das Gewicht der Mischung, das einem Mechl Alkohol ontspricht,

s die specifische Warmo der Mischung, ist ierner noch.

σ die specifische Warme des Wassers,

σ<sub>1</sub> ·· ·· ·· ·· Alkohols,

dann ret:

$$q = q_0 + q_k + q_c = P - 4\theta_c + 4\theta \sigma_t = x. P.$$

Folgende Tabellen enthalten die Thomsen'schen Wertbe für  $\gamma$  und diejenigen, welche man erhält, wenn man in diese Beichung die von mir gefundenen Werthe einmal  $s = C_{n-1}$ , dann  $s = C_{n-2}$  einsetzt.

Tabelle IV.

P	P	a	Q <sub>c</sub>	q
100	46	0,0043	27,40	0,0 1
90	31,11	0,6576	33,61	07   5
40	115,00	0,56580	113.3	-145 [ 音
30	153,33	1 11280	157,3	07   584004 -145   484004 -225   684004 -28.2   484004
20	230,00	1,0436	946,0	-28,2 (F
10	480,00	1,635%	476,4	34.6
100	46	0,680	28,98	0,0
50	51,11	Open 7	35,11	- 1.0
40	115.00	(1,984)	113,9	-15,1
30	153,83	1,041	1598	- 22,1
20	2 ++,60	1,072	216.6	-31,6
10	460.00	L <sub>055</sub>	4953	37,8
100	46	(QBSO	81,28	0
30	31,11	0 *30	3731	- 0,9
40	135,00	1,006	145,7	-14.5
30	15338	1.063	16 fat	- 21.0
20	520.00	1303	2537	-86,0
111	460,00	1,082	507.7	- 47.0
				11"

Es nimmt also  $\varphi$  mit der Temperatur zu; die geringei Unregelmässigkeiten für p=40 und p=30 können leicht durch Beobachtungsfehler erklärt werden.

Thomsen berechnet ferner die Wärmeentwickelung Ribei der Siedetemperatur T aus der von Dupre und Page bei der Temperatur t beobachteten nach der Formel:

$$R_T = R_t + \varphi \left(T - I\right),$$

sowie nach der aus den Versuchsdaten dieser Beobachter ab geleiteten Formel:

$$R' = -68,2.\varphi$$
.

Die folgenden Tabellen enthalten die von Thomse erhaltenen Werthe sowie die sich ergebenden, wenn q nac meinen Beobachtungen bestimmt wird.

Tabelle V.

11	T'	1	T-1	_q	q(T-t)	$R_t$	$R_T$	R	$R_i - R^*$
90	78	18,1	59,9	- 0,7	- 42	79	+ 37	48	+ 31 + 46
40	×2,5	17,4	65,1	-11,5	- 943	1032	+ 89	586	
36	84	17,8	86.7	-22,5	- 1481	1471	- 10	1514	
10	86,5 91	16,1 17,8	70,4 73,7	-28,2 -34,6	-1985 -2550	2022 2455	+ 37 - 95	1918 2353	-104 A
90	78	16,1	89,9	- 1,0	- 60	79	+ 19	68	+ 11
60	82,5	17.4	65,1	-15,1	- 983	1032	+ 49	1029	+ 8
30	84	17,8	66,7	-22,1	-1474	1471	- 8	1507	- 36
20	80,5	16,1	70,4	-31,6	-2225	2022	- 203	2155	- 138
10	91	17,3	78,7	-37,8	-2786	2455	- 331	2578	- 128
90	78	18,1	59,9	- 0,9	- 54	79	+ 25	61	+ 18
40	82,5	17,4	65,1	-14.5	- 944	1032	+ 88	989	+ 43
30	84	17,3	66,7	-21,0	- 1401	1471	+ 70	1432	- 30
20	86,5	16,1	70,4	-36,0	- 2584	2022	- 512	2455	- 438
10	91	17,3	73,7	-47,0	- 3464	2455	- 1009	3205	- 706

Wie man sieht, sind bei Anwendung der von mir erbaltenen Werthe der specifischen Wärme zwischen 0 und 54° die Werthe für  $R_1$  weniger in Uebereinstimmung mit der Theorie als bei Thomsen, aber immer noch nicht geeignet, dessen Schlüsse umzustossen. Dagegen erhalte ich bei Anwendung der specifischen Wärme zwischen 0 und 98° für  $R_T$  bei p=20 und p=10 entschieden zu grosse Werthe Im ersten Fall lassen sich die Unterschiede wohl noch durch Brobachtungsfehler erklären, dagegen entschieden nicht mehr

westen, denn die Grenzen derselben sind bei der Veruchsreihe zwischen 0 und 98° dazu zu enge. Es ist aber uns nicht zu vergessen, nämlich dass die Gleichung:

 $R_T = R_t + q \left(T - t\right)$ 

oh sie in dieser Form namentlich dann noch bestehen darf, wenn die Flüssigkeiten über ihre Siedepunkte erhitzt sind.

## III. Notiz über die Größe der Maxwell'schen Molecularwirbel und über die Dichtigkeit des Lichtüthers; von L. Graetz.

Die Maxwell'sche Theorie der Molecularwirbel in Verbandung mit der Beobachtung von Kundt über die Drehung der Polarisationsebene des Lichtes beim Durchgang durch Eisen, gestattet die Berechnung einer oberen Grenze für die Dichtigkeit des Lichtathers, die verhältnissmässig nicht weit abweicht von der unteren Grenze, welche sich aus einer Pomel von Sir W. Thomson entnehmen lässt. Es erziht sich aus beiden, gänzlich von einander unabhängigen Betrachtungen, dass die Dichtigkeit des freien Lichtäthers wischen 10 m und 10 m von der des Wassers ist.

Die Theorie der Molecularwirbel ist bekanntlich von Maxwell zuerst in specieller, dann in allgemeinerer Form susgeinhrt worden. Die allgemeine Behandlung!, setzt nur foraus, dass in einem magnetischen Feld eine Bewegung statt-fadet was Thomson als nothwendige Folgerung aus den Erfahrungsthatsachen hinstellt), dass diese Bewegung den Helmholtz'schen Wirbelgesetzen folgt, und dass magnetische und optische Verschiebungen eines Theilehens sich zusammensetzen können.

Die specielle Behandlung i macht noch weitere Annahmen

Maxwell, Treatise on Fectricity and Magnetism 2, § 822-829.

<sup>2)</sup> Maxwell. Phil. Mag. (4) 21. p 161, 281, 338, 1461; 23. p. 12. 85, 1862.

über Form und Geschwindigkeit der Wirbel, über die Eigenschaften des Medium», in welchem sie stattfinden u. s. w Beide Behandlungen führen zu dem gleichen Ausdruck für die magnetische Drehung der Polarisationsebene des Lichtes. Sie geben nämlich, wenn man von der Dispersion absieht und die Verdet'sche Constante mit ω bezeichnet, die Gleichung:

 $\omega = m \frac{i^1}{A^1}.$ 

Darin ist i der Brechungsindex der Substanz und A die Wellenlänge des Lichtes im freien Aether. Dagegen ist weine Constante, welche in der allgemeinen Theorie keine eintache physikalische Bedeutung hat, welche aber in der spreiellen Theorie sich zusammengesetzt zeigt aus Größen, die Eigenschaften des Mediums und der Wirbel bedingen. Dass die Maxwell'sche Formel von den bisher über die magnetische Drehung der Polarisationsebene aufgestellten am besten mit der Erfahrung übereinstimmt, ist bekannt, wenn auch noch nicht unbedeutende Abweichungen übrig bleiben. Uebrigens ist auch die specielle Theorie der Drehung der Polarisationsebene gänzlich unabhängig von der künstlechen flypothese der frictionsräderartig wirkenden Zwischenpartikelehen, steht und fällt also nicht mit diesen.

Das Medium, in welchem die angenommenen Wirbelbewegungen stattfinden, ist der Lichtather, dessen Dichtigkeit in einer Substanz  $\rho$  sei. Dies folgt aus der Gleichheit der elastischen Eigenschaften, die sich in der Gleichheit der Lichtgeschwindigkeit mit dem Verhältniss der beiden electrischen Einheiten (der kritischen Geschwindigkeit) zeich Nach der Fresnel'schen Anschauung, die Maxwell adoptirt, hängt  $\rho$  mit der Dichtigkeit des freien Lichtäthers zusammen durch die Gleichung.

 $\mu = si^2$ 

wo i der Brechungeindex der Substanz ist.

Von der Dichtigkeit ρ hängt aber auch die magnetische Inductionsconstante μ der Substanz ab, und zwar ist'):

$$\mu = 4\pi C \varrho = 4\pi C si^3,$$

<sup>1)</sup> Maxwell, l. c. 21, p. 186 1861.

theilung der Wirbel, ihrer Gestalt und der Gleichförmigkeit oder Ungleichförmigkeit ihrer Geschwindigkeit. Bei kreisförmigen Wirbeln von gleichförmiger Geschwindigkeit ist:

$$C - 1$$
 also  $\mu = \pi \rho$ ,

und dieser Werth von C muss für Luft angenommen werden hauft nur dadurch die Gleichheit der Lichtgeschwindigkeit mit dem Verhältniss der electrostatischen und electromagnetischen Einheit herauskommt. Da alle diamagnetischen und schwachmagnetischen Körper nahezu dieselbe magnetischen Insuctionsconstante haben, und auch ihre Brechungsexponenten verhaltnissnissig wenig verschieden sind, so hat für sie auch C nahezu deuselben Werth. Fur Eisen, Nickel, Kobaltweicht aber der Werth von C erheblich von f ab.

Die directe Formel nun, zu welcher Maxwell!) für die brebung der Polazisationsebene gelangt, lautet in den ohigen Bezeichnungen:

$$\omega = \frac{\pi}{21 \pi i^2 A^2 I^2}$$

wein r der Radius eines Wirbels. V die Fortpilanzungs-

Durch Einsetzung des Werthes von a wird:

$$\omega = m \frac{\delta^2}{A^2}$$

und es hat m die Bedeutung:

$$m = \frac{2\pi^2}{\sqrt{\pi}} C \frac{r}{r} \frac{1}{r}$$

Aus der Formel (I) erkennt man zunächst, dass man ohne weiteres die relativen Werthe der Rudien der Molecularwickel in verschiedenen Substanzen berechnen kann, wenn man bar die relativen Werthe von  $\omega$ ,  $\mu$  und  $\iota$  kennt. Nehmen wir Wasser als Einheit ( $\omega_1 = 1$ ,  $r_1 = 1$ ,  $u_1 = 1$ ,  $r_1 = 1$ ), so ist:

$$\frac{r}{r_1} = \frac{\omega}{\omega_1} \frac{\mu_1}{\mu} \frac{i_1}{i} \; , \quad$$

and es ist darin  $\mu_1, \mu$  für alle Substanzen = 1, ausser für Eisen, (Nickel und Kobalt).

- 1 Maxwell, L. c. 28, p. 22, 1862.
- 2) Maxwell, I c. 28, p. 95, 1862.

Es zeigt sich nun, dass in allen festen und flüssigen Körpern die Grösse der Molecularwirbel nur verhältnissmässig wenig verschieden ist. Es ist z. B.<sup>1</sup>) für

Wasser . . . . r-1 Faraday's Glas . . r-3,20 Schwefelkohleustoff r=2,23 Creosot . . . r=0,75 Salpetersäure . . r=0,60

Für die Gase unter Atmosphärendruck ist die relative Grösse der Wirbel eine viel kleinere, nämlich (nach Kundt und Röntgen) z. B. für

Wanserstoff r = 0.00057, Sanerstoff r = 0.00047, Kohlenoxyd r = 0.00100

Dagegen ist für Eisen, Nickel und Kobalt der Radius der Molecularwirbel ein ausserordentlich viel grösserer. Für Eisen ist nach den Versuchen von Kundt<sup>3</sup>) die Drehung etwa 35000 mal so gross als bei Glas, also etwa 140 000 mal so gross als bei Wasser. Der Werth von  $\mu$  ist nur angenähert bekannt. Aus Eisenvitriol electrolytisch niedergeschlagenes Eisen hat nach Claus<sup>3</sup>) bei gleichem Gewicht und gleichen magnetisirenden Kräften ein magnetisches Moment, das nur etwa gleich dem dreizehnten Theil von dem ganz weichen Eisens ist. Für ganz weiches Eisen ist  $\kappa=32$ , also für unser Eisen  $\kappa=2,5$  und daher:

 $u=1+4\pi\varkappa=32.$ 

Ich setze also  $\mu_1/\mu = \frac{1}{133}$ .

Auch der Werth der Brechungsexponenten für eine durchsichtige Eisenschicht ist nicht bekannt. Angenührt wird man ihn ebenso gross setzen dürfen, wie für Stahl, den Voigt') aus Jamin's Versuchen zu i = 2 berechnet.

Daraus ergibt sich der Radius der Molecularwirbel im Eisen: r = 3000

den im Wasser gleich 1 gesetzt.

Für Kobalt fand Kundt etwa den gleichen Werth für ω, für Nickel nur etwa 56000 (Wasser = 1). μ kann man.

Die Werthe von ω sind aus der Zusammensteilung in Wede maun's Electricität 3. p. 922 –983 entnommen.

<sup>2)</sup> Kundt, Wied. Ann. 23, p. 237, 1881.

<sup>3)</sup> Claus, s. Wiedemann, Galvanismus 8. p. 568, 1883,

<sup>4)</sup> Voigt, Wied. Ann. 23, p. 128 u. 143, 1884.

Mangel an bekannten Werthen, für beide etwa ebenso gross setzen. i ist nach Voigt für Kobalt = 1,73, für Nickel = 1,6. Daraus ergibt sich für Kobalt r = 3400, für Nickel r = 1510.

Die hervorragenden magnetischen Eigenschaften des Ersons, Nickels und Kobalts sind also, unter consequenter Anwendung der Maxwell'schen Theorie, verbunden mit emer relativ sehr bedeutenden Grösse der Molecularwirbel In allgemeinen befindet sich in einem magnetischen Feld der Aether sowohl innerhalb der einzelnen Molecule als in den Zwischenräumen in wirbelnder Bewegung. Die Grösse der einzelnen Wirhel ist im allgemeinen sehr klein gegen the Grosse eines Molecula, wie Maxwell annimmt. Beim Essen nun fund Kobalt und Nickell, dessen Wirbel eine vrhältnissmässig so bedeutende Grösse haben, hegt es tahe, anzunehmen, dass der Aether der Eisenmolecule als Ganzes wirbelt. Schon Maxwell machte eine äbnliche annahme. Er kannte aber noch nicht das höchst merkvardige und unerwartete Resultat von Kundt, dass das Eisen sebst positive Drehung zeigt, und glaubte daher, dass die Eisenmolecule in entgegengesetzter Richtung wirbeln, wie der Arther. Jedenfalls erhält man durch die Annahme, dass us Elsen die Molecule (resp. ihr Aether) als Ganzes wirbeln, une ohere Grenze für den Radius der Molecularwirbel.

P

R

M

2

1

6

Wi

Die Grösse eines Eisenmoleculs ist nicht direct bekannt. Aus dem Loschmidt'schen Condensationscoöfticienten in Verbindung mit dem Avogadro'schen Gesetz ergibt sich, das sein Radius  $< 1.8 \cdot 10^{-9}$  cm ist, also nicht sehr abweicht von den Radien der anderen Molecule. Für das einzige metallische Molecul, das Quecksilber, dessen Radius aus der moscularen Weglänge berechnet ist, fand Koch<sup>3</sup>) den Radius  $< 0.95 \cdot 10^{-8}$  cm. Nehmen wir diesen Werth als auch answähert für das Eisen gültig an, so wäre der Radius eines Molecularwirbels im Eisen  $r \cong 0.95 \cdot 10^{-8}$  cm und daher der Radius eines Molecularwirbels im Wasser:

r≤3,1.10-11 cm.

<sup>1</sup> Maxwell, L c. 21, p. 345, 1861.

<sup>&</sup>lt;sup>2</sup> Maxwell, L c. 23, p. 90, 1462.

Koch, Wied, Ann 19, p. 587, 1883

Da nun für Wasser C = 1/4i2 ist, so ist:

und darin sind jetzt alle Grössen in absolutem Maasse bekannt, ausser s, der Dichtigkeit des Acthers im freien Raum. Es ist nämlich (für die D-Linie,:

$$\omega = 0.3767 \cdot 10^{-6} \text{ cm}^{-1} \cdot \text{g}^{-1} \cdot \text{sec}^{3}$$
,  $I = 5.591 \cdot 10^{-6} \text{ cm}$ ,  $V = 3.10^{16} \text{ cm sec}^{-1}$ ,  $v = 1.334$ .

Daraus ergibt sich die Dichtigkeit des Aethers (bezogen auf Wasser):  $s < 9.10^{-10}$ .

Es ist von Interesse, diesen oberen Werth für die Dichtigkeit des Aethers zu vergleichen mit dem unteren Grenzwerth, der sich aus einer Formel von Thomson<sup>2</sup>, berechnen lässt. Thomson zeigte aus Beobachtungen von Pouillet, dass die Dichtigkeit des Aethers bezogen auf Wasser grösser ist, als:

Darm ist n das Verhältniss der grössten Geschwindigkeit eines Aethertheilehens zur Fortpflanzungsgeschwindigkeit des Lichtes. Dieses Verhältniss schätzte Thomson höchstes auf 1 1000 (Glan 3) suchte n dadurch zu bestimmen, dass et annahm, der Aether zerreisse bei den Lichtschwingungen nicht, und es sei seine grösstmöglichste Dilatation höchstess so gross wie für Glas oder Wasser oder andere Flüssigkeiten, d. Er setzte also:

$$11 + n^2 - 1 = \delta$$
.

Fur Glas berechnete er  $\delta = \frac{1}{1843}$ , für Wasser  $\delta = \frac{1}{1870}$ , Doch zeigte E. Wiedemann<sup>4</sup>) dass auch für Wasser  $\delta$  nur ungefähr  $\frac{1}{1000}$  sei, und es würde sich daraus im Vergleich mit den verschiedenartigen Körper  $n = \frac{1}{120}$  bis  $\frac{1}{23}$  ergeben.

Indess ist diese Betrachtung von Glan nicht consequent.
Denn das n in seiner Formel enthält die Amplitude von Sonnenlicht in der Nähe der Erdoberfläche, eine far

<sup>1)</sup> Arons, Wied. Ann 24. p. 180, 1885.

<sup>2)</sup> W. Thomson, Trans. Roy. Soc. Edinb. 21. p. 57, 1854.

<sup>3)</sup> Glan, Wied, Ann. 7, p. 658, 1879.

<sup>4)</sup> E. Wiedemann, Wied. Ann. 17, p. 988, 1862.

diese Betrachtung ganz willkürliche Grösse. Dieselbe Forderung, dass der Aether nicht zerreisst, muss aber auch für Sonnenstrahlen in ihrer grössten Intensität gelten, also in der Nahe der Sonnenoberfläche, wo die Intensität 46400 mid so gross ist, als an der Erde. Danach wäre also:

$$V1 + 46400 \, n^2 - 1 = 1000$$

und daher  $n^2 = 4.2 \cdot 10^{-6}$ . Also ergeht sich die untere Grenze für die Dichtigkeit des Aethers:

Durch diese beiden ganz verschiedenen Betrachtungen ist die Dichtigkeit des Aethers in nicht zu weite Grenzen eingeschlossen. Es ist:

$$s < 90.10^{-17} \text{ aber } > 0.1.10^{-17}$$
.

Man wurde danach sagen können, dass die Dichtigkeit des treien Acthers höchstens hundertmal grosser oder kleiner ist, als der 10<sup>17</sup>. Theil von der des Wassers, ein Werth, der wohl viel grosser ist, als man ihn unwilkurlich schätzt. Während die Luft der Atmosphäre über einem Quadratmeter mehr als 10000 kg siegt, wurde der in ihr enthaltene Acther, die Höhe der Atmosphäre zu 30 Meilen gerechnet, nur 0,0022 mg wiegen.

Number man den Werth  $s=10^{-3}$  einmal als angenähert gultig an, so gestattet die Thomson'sche Formel noch einige interessante Folgerungen. Aus diesem Werth von a berechtet sich zunächst:

$$n \ge 0.000087$$
.

Bezeichnen wir also die grösste Geschwindigkeit eines schwingenden Acthertheilchens mit v., die Fortptlanzungsgeschwindigkeit des Lichtes mit 1', so ist:

$$v \le 0.000087 V$$
.

Die Verrückungen der Aethertheilchen in einem geradlinig polarisirten Lichtstrahl lassen sich ausdrücken durch:

$$n = A \sin\left(\frac{t}{t} - \frac{t}{T} + \delta\right) 2\pi$$

anha die Geschwindigkeit durch:

$$\frac{\partial u}{\partial t} = -\frac{2\pi A}{T} \cos\left(\frac{s}{\lambda} - \frac{t}{T} + \delta\right) 2\pi.$$

Die grösste Geschwindigkeit eines Aethertheilchens (absolut genommen) ist also:

 $v = \frac{2\pi A}{T} \,,$ 

wo A die Amplitude der Lichtbewegung ist. Daher haben wir

$$A = \frac{\pi T T}{2\pi} \ge \frac{0,0000007 \lambda}{2\pi}$$
,

also A ≥ 6.10-10 cm.

Danach ist die Amplitude von kräftigem Sonnenlicht an der Erdoberfläche grösser oder gleich 6, 10-15 cm.

Da in festen und tlüssigen Körpern der Abstand der Molecule (und ihre Grösse) kleiner ist, als 10 % cm. so sieht man, dass die Amplituden der Lichtschwingungen höchstens etwa hundertmal geringer sind, als diese Abstände. Mithin müssten Lichtstrahlen von höchstens der 2500 fachen Intensität des Sonnenlichtes (an der Erdoberfläche) in festen und flüssigen Körpern schon wesentlich anderen Absorptionsverhältnissen unterliegen. Für sie wäre die Durchsichtigkeit vermuthlich eine relativ viel geringere. Andererseits ist auch daraus ersichtlich, dass bei den verhaltnissmässig schwachen Intensitäten, mit denen wir es zu thun haben, die Absorptionsfähigkeit der Medien unabhängig von der Intensität des Lichtes ist.

Zum Schluss sei noch an die Bemerkung von W. Thomson erinnert, dass die Dichtigkeit der Luft, wenn sie immer dem Mariotte'schen Gesetz folgte und hei constanter Temperatur bliebe, schon in einer Höhe gleich dem Erdradus nur ungefähr 10-340 von der des Wassers wäre. Der Aether ist also ganz ausserordentlich viel dichter, als soweit verdünnte Luft. Unter dieser Voraussetzung würde schon is einer Höhe von 33 Meilen die Luft dieselbe Dichtigkeit haben, wie der freie Aether.

München, Ende Februar 1885.

## IV. Veber spontane, durch innere Kräfte hervorgerufene Formänderungen krystallisirter fester Körper; von O. Lehmann.

(Mierza Taf. Il Pig. 3 a-a.)

Zu vorliegender Mittheilung veranlassen mich einige Beobachtungen über freiwillige Structuränderungen fester Körper, welche von einer Aenderung der äusseren Form begleitet sind. Die Versuche sind ausgeführt mittelst des vereinfachten Krystallisationsmikroskops, welches ich in der Zeitschrift für Instrumentenkunde!) vor kurzem beschrieben habe.

### L Chinonhy drodicarbons aureester. ')

Aus heisser Lösung in Anden, die zweckmassig durch Zusatz von etwas Colophonium verdickt wird, krystallisiren zunächst weisse (d. h. farblose) Blättchen, deren Begrenzung die Form eines Parallelogrammes von 44° Winkel hat (Fig. 3.). Zuweilen tritt von den kurzeren Seiten noch eine weitere Krystallfläche unter dem stumpferen Winkel von 72° hinzu, oder es erscheint auch letztere allein.

Sobald nun die Temperatur bis zu einem gewissen Punkte, dessen nähere Bestimmung mir noch nicht gelungen ist, sich erniedrigt hat, beginnen die Krystalle ihre Form zu ändern, derart, dass die lagere Diagonale erheblich kürzer, die kürzere lager wird, und die Winkel der Umgrenzung statt 44 und 72° nunmehr 60 und 82° betragen. Gleichzeitig ändert sich die Färbung, welche in ein bluszen, aber sehr deutlich wahrnehmbares Grün übergeht.

Während der Verschiebung bleibt eine Richtung, welche ihr nahe mit der kurzen Seite des Parallelogrammes (von

<sup>1</sup> O Lehmann, Zeaschr f Instrumentenkunde, 4. p. 367-376.

<sup>2</sup> Dargestellt von Dr. Herrinann in Wurzburg, dem ich das Pra-

44") zusammensallt, ungeändert. Dieselbe ist auch nahezu identisch mit einer der Hauptschwingungsrichtungen und Krystalle, welche zwischen gekreuzten Nicols in Dunkelstellung gehracht waren, erscheinen nach der Umwandlung wieder dunkel. Die Hauptschwingungsrichtungen werden somit durch die Umwandlung nicht geändert.

Die längeren Kanten der Krystalle drehen sich gegen die frühere Richtung um 15°, wie dies aus Fig. 35 zu ersehen ist, welche einen zur Hälfte umgewandelten Krystall darstellt Die umgeformte, grün gewordene Hälfte ist schrafürt und

deren frithere Gestalt punktirt angedeutet.

Selten gelingt es, einen so einfachen Fall zu beobachten Gewöhnlich beginnt die Umwandlung in der Mitte (Fig. 3. und oft an verschiedenen Stellen zugleich (Fig. 3d), sodass man nebenemander eine Reihe gruner Lamellen in den weissen Blättchen entstehen sieht. Die Enden der Krystelle verschieben sich dabei mit hinreichender Kraft um kleine Hindernisse oder auch den Krystall selbst in Bewegung setzen zu können. Fig. 3. stellt einen völlig umgewandeltes Krystall dar, dessen fruhere Conturen punktirt angedeutet sind. Erwärmt man, so vollzicht sich die Verschiebung mit gloscher Präctsion in entgegengesetztem Sinne, und zwar bederselben Temperatur, bei welcher sie früher eingetreten war Durch wiederholtes Erwärmen und Abkühlen über resp. unter die Umwandlungstemperatur kann man denselben Krywall beliebig oft diese Verschiebungen ausführen lassen. Mac erhält dabei den Eindruck, als hütte man eine Art Nemberger Scheere vor sich, die abwechselnd aufgezogen unt wieder zusammengeschoben wird.

Wird die Lösung durch Zusstz von Colophonium start vordickt, so tritt leicht Unterkühlung ein. Die Krystallbildung erfolgt erst bei niedriger Temperatur, und die Umwandlung findet dann nicht mehr oder sehr langsam statt Haben sich also bereits mehrere grüne Lamellen in einer weissen Tafel gehildet, so werden dieselben mit fortschreitender Abkühlung an der weiteren Ausdehnung völlig gehindert.

Man sieht in solchem Falle hei langer fortgesetzter

Beobachtung die grünen Lamellen die weissen unter Vormittelung des Lösungsmittels allmählich aufzehren, wie Fig. 3<sub>f</sub> zeigt, wobei die früheren Conturen des Krystalles punktirt angegeben sind. Erwärmt man bis in die Nühe der Verwandlungstemperatur, so erfolgt die Verwandlung wieder durch die feste Masse hindurch.

#### H. Protocatechushure.

Aus der beissen wässerigen (zweckmässig stark mit Phonol versetzten) Lösung scheiden sich beim Erkalten im einfachsten Falle prismatische (asymmetrische) Krystalle mit fast gerader Endfläche aus (Fig. 3.). Während der Abkühlung sicht man plötzlich an den Enden oder auch an beliebigen Stellen in der Mitte Verschiebungen auftreten, derart, dass die kleine Endfläche and die Auslöschungsrichtungen für polarisirtes licht ungeändert bleiben, der Körper aber eine wolche Lage einnimmt, dass die Schiefe der Endfläche aunmehr 55° beträgt (Fig. 8h). Die Verschiebung setzt sich rasch immer weiter fort, bis sich schliesslich das fast gerade (punktirt angedeutete) Prisma in ein sehr schiefes verwandelt hat (Fig. 31). Selten gelingt der Versuch in dieser einfachen Weise, Gewöhnlich ändert sich nach einiger Zeit die Richtung der Vorschiebung in die entgegengesetzte (Fig. 3g). ja es kann selbst eine häufige Wiederholung dieses Wechsels entreten, bis zu solchem Grade, dass sich das Endprodukt von dem früheren scheinbar kaum auders, als durch eine fine Streifung der Oberfläche unterscheidet. Zuweilen spaltet sich der Krystall, und die eine Hälfte verschiebt sich nach techts, die andere nach links (Fig. 31). Die Verschiebung erfolgt so rasch und leicht, dass man glauben könnte, eine füssige Masse vor sich zu haben, durch welche sich momentan one Erschütterung fortpflanzt. Die Kraft genügt, um die Krystalle in Bewegung zu setzen und kleine Hindernisse zu beetigen. Ein bei reinen wässerigen Lösungen sehr oft zu bechachtender Fall ist ferner der, dass zunächst die schief-

I Das Fraparat wurde bezogen aus der chemischen Fabrik von

prismatische Form auftritt, alsdann an einer Ecke ein geradprismatischer Auswuchs sich daran bildet (Fig. 3<sub>m</sub>) und dieser nach einiger Zeit plötzlich umklappt, als wären die Molecule um Charniere mit Anschlag drehbar. Das Gebilde erscheint dann so, wie es Fig. 3<sub>a</sub> zeigt, stellt also dann einen einheitlichen Krystall dar.

#### III. Chlorummonium.

Aus heiss gesättigten, mit etwas Cadmiumchlorid verunreinigten Salmiaklösungen scheiden sich reguläre (aber
schwach doppeltbrechende) Würfel aus, deren Seitenflächen
stark gewölbt sind (Fig. 3.). Man bemerkt ferner auf den
Seitenflächen intensiv ausgeprägte diagonale Linien, welche
die Grenzen von Ebenen bilden, die den Krystall in zwölf
gleiche Sectoren eintheilen und andeuten, dass die Structur
dieser Sectoren nicht ganz die gleiche ist. Nach Analogie
anderer Fälle ist zu vermuthen, dass diese Störung der
Structur darin begründet ist, dass sich in seinster Vortheilung
eine kleine Quantität des monosymmetrischen, doppeltbrechenden Doppelsalzes Cadmiumchlorid-Chlorammonium eingelagert hat, und zwar in den verschiedenen Sectoren in verschiedener Weise.

Ueberlässt man nun einen solchen Krystall sich selbst, so erfolgt nach einiger Zeit plötzlich ein heftiges Zucken, ja häufig zerspringt derselbe in mehrere Theile, welche trotz des immerhin beträchtlichen Widerstandes der Flüssigkeit auf relativ weite Strecken fortgeschleudert werden.

In günstigen Fällen bleiht die Aussere Form ziemlich gut erhalten, allein die Seiten sind nicht mehr ausgebogen wie zuvor, sondern eben oder geradezu eingebogen (Fig. 3,). Meist erscheint nach der Umwandlung allerdings die Oberfläche nicht mehr glatt, sondern rauh und höckerig, und auch das Innere hat infolge von zahlreichen kleinen Sprüngen an Durchsichtigkeit beträchtlich eingebüsst und ist mehr oder minder trübe geworden. Ist selbst nach längerein Warten die Erscheinung nicht eingetreten, so lässt sie sich

<sup>1)</sup> Cf. O. Lehmann, Zeitschr f. Kryst. S. p. 437 d 1883.

unt Sicherheit dadurch bervorrusen, dass man wieder etwas

Nuch dem, was bereits hinsichtlich des Verhaltens von Salmiak bekannt ist 1), darf wohl als sicher angenommen werden, dass hier nicht einfache Ausgleichung innerer Spannungen vorliegt, sondern allotrope Umwandlung, obsehon ich nicht alle Kennzeichen einer solchen wirklich nachweisen lassen.

## Theorien der allotropen Umwandlung.

Wie bereits eingangs erwähnt, sind die beschriebenen Fälle allotroper Umwandlung von anderen ähnlichen dadurch terschieden, dass die Aenderung der Structur nicht, wie gewöhnlich, unter Beibehaltung der früheren äusseren Form tattindet, sondern mit einer deutlichen und im letzten Falle sogar sehr heitigen Verschiebung der Theilchen verhunden ist, welche die Gestalt des Krystalles ganz erheblich beeindusst. Je nach der Theorie, welche wir zur Erklärung der Imwaudlungserscheinung selbet zu Grunde legen, erhält diese Thatsache verschiedene Bedeutung, sodass es zweckmässig erscheint, die zur Zeit herrschenden Theorien hier kurz zusammenzustellen. 3)

## A Theorie der Allotropie, ')

Diese Theorie fasst die beiden Zustände als chemisch isomere Körper auf, die sie nur deshalb mit besonderen Namen bezeichnet, weil die Umwandlung sehr leicht zu bewerkstelligen ist, während bei den eigentlich chemisch isomeren dieselbe überhaupt nicht oder nur mit grossen Schwierigkeiten oder auf indirectem Wege vorgenommen werden kann (ursprünglich wurde die Bezeichnung für chemische Isomerie bei Elementen gebraucht). Je nachdem man sich

Ann. d. Phys n Chem. N F XXY.

12

<sup>1)</sup> Cf O Lehmann, Wiel Ann 24, p 4, 1885.

<sup>2</sup> De Theorie Naquet s. De l'alletoque et de l'aomére . Paris 1950 seb he die Ateme selbst wieder ans kleinen Theilen zusanmen ersetzt denkt, habe ich als von den heutigen Anschauungen zu sehr abaerebend in ht beru krichtigt.

<sup>3</sup> Die Benennung von Berzelius 1841, Rapp. ann. a. l. progr. d. l. chim. p. 7.

die Molecule aus einer verschiedenen Anzahl von Atomen bestehend denkt, wie Fig. 3<sub>q</sub> andeutet, oder aus gleicher Zahl aber in verschiedener Anordnung (Fig. 8<sub>r</sub>), hätte man chemische Polymerie oder Metamerie.

#### B. Theorie des Polymorphismus.

Die Aussere Form eines Krystalles ist wesentlich bedingt durch die innere Structur desselben. Insofern nun zwei Modificationen eines Körpers in verschiedenen Systemen krystallisiren, wäre nach dieser Theorie der Unterschied nicht wie bei der vorigen in einer Verschiedenheit der Molechie, sondern in verschiedener Zusammenlagerung derselben zum Krystall zu suchen. Es könnte z. B. wie Fig. 3. andeutet, in einem Falle die Anordnung in Form eines cubischen Raumgitters stattfinden, im anderen in Form eines hexagonalen. Soweit ich es zu beurtheilen vermag, ist diese Theorie — deren Urheber mir unbekannt ist — die heute verbreitetste, ja nicht selten wird geradezu als Axiom angenommen, dass allotrope Modificationen nur krystallegraphisch, nicht chemisch verschiedene Zustände sind.

#### C. Theorie der Zwillingsstructur. b

Manche in der Natur vorkommenden Krystulle erweisen sich als zusammengesetzt aus vielen kleinen Individuen, die gegenseitig in Zwillingsstellung stehen. Denkt man sich nun die einzelnen Individuen möglichst klein, d. h. als einzelne Molecüle, so gelangt man wieder zu regelmässigen Molecülsystemen, bei welchen weder die chemische Natur der Molecüle geändert ist, noch die Form des Raumgitters, zu welchem sie (d. h. ihre Schwerpunkte) sich zusammenlagern, sondern lediglich deren Orientirung gegen die früheren Axen des Krystalles, etwa so, wie es Fig. 3, andeutet, die Molecüle als kleine Kegol gedacht. Insofern dabei alle Stellungen sich regelmässig wiederholen, betrachtet Mallard jede Poriode als neues Molecül und dehnt seine Theorie is dieser Art auch auf die chemische Polymerisation aus.

Mallard, Ann. d. Min. (7) 10, p. 80, 1876 u. Bull. d. l. sec = min. d. Fr. 7, p. 857, 1884.

#### D. Theorie der physikalischen Isomerie. 14

Dieselbe wurde bedingt durch die moderne chemische Structurtheorie, welche sich gezwungen sieht, falls das Gesetz der festen Werthigkeiten aufrecht erhalten bleiben soll, neben Atomverbindungen noch Molecülverbindungen zu unterscheiden, welche mit den vorigen das gemein haben, dass sie Verbindungen nach festen Verbültnissen, somit eigentliche chemische Verbindungen sind. (A. Naumann's Theorie weicht hiervon ab, insofern er dieselben auf gleiche Stufe stellt mit den Verbindungen nach veränderlichen Verhältnissen, welche gewohnlich als physikalische bezeichnet worden.)<sup>n</sup>)

Ebenso wie nun verschiedene Atomverbindungen zwischen gleichartigen Atomen möglich sind (chemisch isomere, müssen auch verschiedenartige Molecülverbindungen zwischen gleichartigen Molecülen moglich sein, d. h. physikalisch isomere (so genannt, weil die Aenderung in dem sogenannten physikalischen Molecül stattfindet, demjenigen kleinsten Theilchen, welches durch mechanische Theilung entstanden gedacht werden kann. Analog der chemischen Polymerie und Metamerie wären auch physikalische Polymerie (Fig. 3, und Metamerie (Fig. 3, ) zu unterscheiden.

Ich verzichte auf eine Discussion dieser verschiedenen Theorien und bemerke nur, dass mir aus einer Reihe von Gründen, zu welchen namentlich die Consequenzen derselben zählen, die letztere Theorie als die wahrscheinlichste erscheint.

Folgerungen aus der Theorie der physikalischen Isomerie.

Die eben erwähnten Consequenzen beziehen sich auf wischiedene Erscheinungen, die gewohnlich als physikalische Vorgänge aufgefasst werden, nach dieser Theorie aber dem behiete der Chemie zuzuweisen sind, falls man überhaupt

b Zincke, Lab Ann 182, p 244 1876 n O. Lehmann, Zeitschr f Kryst, L. p. 97, 4877.

<sup>2</sup> Cf O Leismann, Ber. d. d. chem. Ges. 17, p. 4743, 1884.

Bildung von Verbindungen nach festen Verhältnissen als chemische bezeichnet. Es sind:

1. Die drei Aggregatzustände eines Körpers

Eis, Wasser, Dampf z. B. sind drei chemisch (über nur hinsichtlich der Constitution der "physikalischen", nicht der "chemischen" Molecule) verschiedene Körper. Dass es gernde drei sind, ist nicht allgemeine Regel. Salpetersaures Ammoniak hat z. B. vier feste und eine füssige Modification, Schwefel drei feste, zwei (oder drei) flüssige und ein oder zwei) gasförmige v. s. w.

Die gewöhnliche Definition der Begriffe gasförmig, flüssig und fest wird dadurch nicht geändert, nämlich:

a, gasförmige Körper sind solche, bei welchen die Evpansivkraft (abstossende Kraft der Wärme, Wirkung der molecularen Stösse die Molecularattraction überwiegt, welche also keinen negativen Druck (Zug) aushalten können. Stark verdichtete Kohlensäure z. B. ist hiernach über der kritischen Temperatur (Andrews) gasförmig, unter derselben flüssig.

b, flüssige Körper sind solche, bei welchen die Molecularattraction der Expansivkraft das Gleichgewicht halten kann und auch ohne Einwirkung äusserer Kraite eine Verschiebung der Theile Diffusion möglich ist. Der negative Druck, welchen sie ertragen können, bildet ein Maass für ihre Cohasion. Der Aggregatzustand einer Losung von Hurz in Terpentinöl z. B. ist hiernach je nach dem Mischungsverhältnisse so lange noch als flüssig zu bezeichnen, als sich noch eine Spur von Diffusion beobachten lässt, vorausgesetzt. dass das Harz wirklich unbeschränkt föslich ist und sich nicht etwa schliesslich gallertartig ausscheidet.

c) feste Körper sind solche, bei welchen die Molecularattraction der Expansivkraft das Gleichgewicht halt, aber obac Einwirkung äusserer Kräfte Verschiebung der Theilchen (Diffusion) nicht möglich ist. 1) Drehung der Theilchen muss zur Erklarung der Erscheinungen der elastischen Nach-

<sup>1</sup> Maxwell's Definition (Theorie d. Warme, übers v. Auerbach p. 288) weicht hiervon durchius ab.

wirkung und der Magnetisirung noch als möglich betrachtet werden. Gallerten sind physikalisch inhomogen.

Nach der Theorie der physikalischen Isomerie kann also che misch ein- und derselbe Korper stets nur in einem Aggregatzustande auftreten. Continuirliche Uebergänge eines Körpers aus einem Aggregatzustand in einen anderen (van der Wawls) sind unmöglich. Wo solche scheinbardoch auftreten, wird angenommen, dass eine Mischung zweier Modificationen vorliege, deren chemisches Gleichgewicht von Temperatur und Druck abhängig ist.

#### II. Anomalien des Mariotte Gay-Lussac'schen Gesetzes,1)

Die Theorie der physikalischen Isomerie rechnot dieselben zu den Dissociationserscheinungen. Sie nimmt an, dass sich in der Nähe des Condensationspunktes bereits die flussige Modification bildet, sich aber nicht ausscheidet, sondern im Gase gelöst bleibt. Je tiefer die Temperatur sinkt, oder je höher der Druck steigt, umsomehr wächst der Procentgehalt dieser Lösung an flüssiger Substanz, bis schliesslich beim Condensationspunkt eine weitere Steigerung unmöglich wird, insofern sich jeder Leberschuss alsbald ausscheidet. Eine wesentliche Stütze erhält diese Ansicht durch die Beobachtung, dass sich Flüssigkeiten in fromden Gasen lösen konnen.<sup>2</sup>,

1) Vgl die Untersichungen von Regnauft, Cahoura, Bineau Leistmann, A. Naumann, Schoop, Natterer, Amagat, Uniffetet u. a. und die Theorien von: Horstmann, Lieb Ann Supplied 5, p. 51–1868; Ricknagel, Pogg Ann Erghd, 6, p. 563, 1874, van it Wanta, 1875. Ueber die Continuitat et., welche die Erscheinung (Grand der Hypothese der Centinuitat erklaren, und diejengen von Feitarri Wanklyn, Lieb Ann 122, p. 247, 1862. A. Naumann, Lieb Am. 186, p. 325–1870; O. Lehmann, Zeitschr. f. Kryst. 1. 197–1877. Rainsay, Proc. of the London Roy, Soc. 30, p. 323, 1880, Vikie entwister chemische oder physikalische Isomerie annehmen, wobei vienann's Theorie, insbesondere in ihrer neuen Form (Thermochemie, wobei eine vermitteliede Stellung einnimmt, insofern sie die Moccular Schindingen nach festen Verhältnissen auf gleiche Stufe stellt mit den Machungen nach veränderlichen Verhältnissen.

2) Of Andrews, Proc. Lond. Roy. Soc. 24, p. 455, 1876; Chilletet, Count rand 90, p. 210, 1880; Heway, Proc. Lond. Roy. Soc. 80, p. 538. III, Anomalien der Ausdehnung und Compressibilität der Flussigkeiten bei hoheren Lemperaturen und Drucken.

Die Erklärung ist ganz analog der vorigen. Mit steigender Temperatur tritt Dissociation der Flüssigkeit ein, der entstehende Dampf gelangt indess nur theilweise zur Ausscheidung und bleibt grösstentheils in der Flüssigkeit gelöst. Es bilden sich somit ähnlich wie beim Vermischen mancher Flüssigkeiten zwei Gleichgewichtszustände aus, eine Lösung von wenig Dampf in viel Flüssigkeit und eine solche von wenig Flüssigkeit in viel Dampf. Die kritische Temperatur ist diejenige, für welche die Zusammensetzung beider Lösungen identisch wird. Eine Stütze findet die Auschauung darin, dass das specifische Volumen von Flüssigkeiten auch mit dem Gehalt an absorbirten fremden Gasen zunimmt. <sup>2</sup>

#### 1V. Anomalien der Capillaritat.

Die Obertlächenspannung wird durch Erhöhung der Temperatur vermindert und erreicht bei der kritischen Temperatur den Werth 0.3,

Es erklärt sich dies durch die steigende Beimischung von Dampf, wie dann auch die gleiche Erscheinung beobachtet wird bei Zumischung eines fremden Gases.

#### V Dichtemaximum des Wassers.

Es wird angenommen, dass sich im Wasser bereits vor dem Gefrieren Eis bildet, welches aber zunächst nicht zur Ausscheidung gelangt, sondern erst bei 0°. Da das Eis geringere Dichte besitzt, als das Wasser, muss diese Beimischung die Concentration der Lösung beim Abkuhlen vermindern, bis sie schliesslich gleich Null wird und in Ausdehnung übergeht. Diejenigen Umstände, welche den Gehalt an Eis vermindern können, d. h. Druck und Beimischung 1850; Kundt, Wied, Ann 12. p. 538, 1851; Strauss, Beibl 4. p. 252 1850; Anadelf. Beibl, 7. p. 257, 1852.

- Cf. Cagniard de la Tour, Ann de chim et de phys. 21, p. 187
   1822; Amagat, Compt. rond. 85, p. 27 u. 189, 1878; Avenarius Beibl. 2, p. 211 1877.
  - 2) Cf. Nichols and Wheeler, Phd. Mag. (5) 11. p. 118, 1881
  - 3) Cf. Hannay, Proc. Lond. Roy. Soc. 38, p. 204, 1882.
  - 4 Cf. Kundt, Wied. Ann. 12, p. 538, 1881.

einer indifferenten Substanz, welche die Lösung verdünnt, mussen das Dichtemaximum erniedrigen, wie dies thatsächlich beobachtet wurde.<sup>1</sup>,

VI Specifische Wärme des Wassers.

Wenn beim Erwärmen von Wasser in der Nähe des Gefrierpunktes Dissociation des noch darin enthaltenen Eises stattundet und in der Nähe des Siedepunktes Dissociation des Wassers in Dampf, d. h. Bildung einer geringen Menge Dampf, die nicht zur Ausscheidung gelangt, so muss die precifische Wärme des Wassers sowohl in der Nähe des Gefrierpunktes, wie in der Nähe des Siedepunktes zunehmen.

Die Messungen von Veiten? bestätigen dies.

VII Schmeizjunkt von Gemengen.

Insofern sich Schmelzflusse in der Nähe des Erstarrungspunktes als Lösungen der festen Modification (oder auch mehrerer festen Modificationen) in der füßsigen auffassen lassen, müssen sich diese Lösungen, falls sie mischbar sind, gegenseitig verdünnen, der Krystallisations-, d. h. Erstarrungspunkt muss somit erniedrigt werden.<sup>3</sup>)

VIII Zunahme der Loslichkeit mit der Temperatur

Körper, welche niedrigen Schmelzpankt besitzen, werden bei höheren Temperaturen zum Theil in der festen, zum Theil in der flüssigen Modification sich in Losung befinden, is schliesslich (bei Temperaturen über dem Schmelzpunkt) is Lösung nur ein Gemisch der beiden Flüssigkeiten darstellt. Die Loslichkeit muss in solchen Füllen rusch ansachsen, wie dies auch die Erfahrung bestätigt.

IX. Existent mehrerer Schmelz- und Sättigungspunkte.

Körper, welche in mehreren featen Modificationen auftreten, besitzen entsprechend mehrere Schmelz- und Sättigungspunkte (festere natürlich nur dann, wenn es möglich ist, die Modification unverändert bis zum Schmelzen zu er-

- Uf Marshall, Smith a Osmond, Proc. Edub. Roy. Soc. 11, 628 u. 99 1882, Nicholz u. Wheeler, Phil. Mag. 5 11, p. 113 1881.
  - 2) Velten, Wied, Ann. 21, p. 81, 1884.
  - 3 Cf O. Lehmann, Wied. Ann. 24, p. 1, 1884.
  - 4 Cf. Tilden a. Shenstone, Proc. Lond. Roy. Soc. 85, p. 345, 1883.

hitzen. Bei welchem dieser Punkte die Erstarrung erfolgt, ist insbesondere davon abhängig, wie stark der Schinelzfluss erhitzt war, und wie rasch die Abkohlung erfolgte. Durch die Annahme der Lösung der festen Modification in der flüssigen schlieset sich diese Erscheinung ganz den analogen Erscheinungen bei chemischer Dissociation an.

# X. Analogien zwischen krystallwasserhaltigen Salzen und allotropen Medificationen.

Das Zerfalien bei der beim Erwärinen in gesättigter Lösung und die Rückbildung beim Erkalten, sowie auch das "Aufzehren" unter Vermittelung des Lösungsmittels sind so ätinliche Erscheinungen, dass bei Substanzen, welche wasserhaltig krystallisiren, die Entscheidung, ob Aufnahme (Abgabe) von Krystallwasser oder Umwandlung in eine allotrope Modification vorhegt, mit beträchtlichen Schwierigkeiten verbunden ist.")

XI Losung fester Korper in Gasen and Sublimation,

Analog wie oben die Condensation eines Gases zu Flüssigkeitströpfehen ist die Subhmation zu erklären. Dass wicklich feste Körper in Gasen sich lösen können, ist dargethan durch die Versuche von Hannay und Hogarth<sup>2</sup>)

XII. Warmstonung beim Schmelzen und Sieden.

Die Schmelz- und Verdamptungswärmen und hinsichtlich der Größenordnung den Wärmetönungen bei Bildung von krystallwasserhaltigen Salzen und Doppelssizen sehr ähnlich, wie dies nach der Theorie zu erwarten steht.

## XIII. Losung und Quellung.

Es ist zu unterscheiden zwischen wahrer und scheinbarer Löslichkeit. Erstere ist die Quantität des festen Körpers in Proc., welche wirklich in der Flüssigkeit (Gase) enthalten ist letztere die Quantität, die sich darin aufgelöst hat. Nur letztere läust sich experimentell bestimmen und hat praktischen Werth, erstere dagegen dient allein der theoretischen Betrachtung

<sup>1)</sup> Cf auch van t'Hoff, Etudes de Dynamique elimique 1884

<sup>2</sup> Hannay n. Hogarth, Proc. Lond Roy Soc. 29, p. 324, 1879 80, p. 178 n. 484, 1889.

und darf nicht mit den beiden anderen verwechselt werden. Dass eine Differenz zwischen beiden besteht, beraht auf der Möglichkeit, dass der aufgelöste Körper zum Theil (molecular, unverladert in Lösung übergeht, zum Theil zerfällt in Molecule einer anderen festen oder flüssigen (gasförmigen) Modification, oder auch mit den Moleculen der Flüssigkeit neue Complexe bildet. Durch letzteren Umstand wären die Anomatien der Löslichkeit, Ausdehnung und specifische Wärme mancher Lösungen zu erklären. Bei der Umwandlungstemperatur zweier physikalisch isomerer Modificationen (oder anderer Molecularverbindungen) ist die scheinbare Lüslichkeit für beide gleich, über oder unter derselben verschieden. Für Temperaturen über oder unter derselben existiren somit zwei verschiedene Sättigungsgrude, je nachdem man die Lösung der einen oder anderen Modification betrachtet. Bei Lösungen in Gasen macht sich die nämliche Erscheinung durch Verschiedenkeit der Dampfspanpungen bemerkbar. Für bestimmten Gehalt der Lösung existiren aus gleichem Grunde zwei verschiedene Sättigungstemperaturen. Man könnte diewiben als normale bezeichnen zum Unterschied von solchen in Bezug auf fremde (z. B. isomorphe) Substanzen, die ebenfalls im Stande and, die Krystallisation einzuleiten. Quellung 2. B. von Krystalloiden) 1) als Diffusion der Flussigkeit in 4m festen Korper autgefasst, ist ebenfalls eine Art Lösung, let welcher aber die Structur des festen Körpers bis zum ogenannten Schmelzpunkt erhalten bleibt. Dieses Schmelzen 1 B von (fallerte) ist somit als eine von dem Schmelzen in gewöhnlichen Sinne (Umwandlung) wesentlich verschiedene Erscheinung zu betrachten.

## XIV. Krystallisationskraft

Auch hier ist zu unterscheiden zwischen wahrer und scheinbarer Krystallisationskraft. Erstere ist als die Resultante sammtlicher auf ein in Anlagerung an den Krystall begriffenes Molecul wirkender Molecularkrafte, also auch der des Lösungsmittels und der dann enthaltenen Modificationen oder fremden Stoffe aufzusassen. Sie ist auf künstlich an-

<sup>1</sup> Cf Schimper, Zeitschr f. Kryst. 5, p 131, 1881.

geschliffenen Flächen grösser als auf den natürlichen, welche somit auch Flächen minimaler Krystallisationskraft genannt werden können, ferner auf den Flächen grösser als auf Kunten und Ecken. So wenigstens lässt sich bis ietzt allein die sogenannte "Erganzung" verletzter Krystalle beim Weiterwachsen und das Auftreten eines bestimmten von Lösungsmittel, Temperatur etc. abhängigen Krystallhabitus erklaren. thre Warkung ist nicht allein eine attraktive, sondern auch rightende. Die letztere kann durch Anwesenheit von Hindernissen, z. B. von Verdickungsmitteln beginträchtigt werden. derart, dass der wachsende Krystall sich mit Zwilling-lamellen besetzt oder gar pinselartig zerfasert und sich schliesslich zu einem kugeligen Aggregat von strahliger Structur, einem sogenannten Sphärelithen ausbildet. Die scheinbare Krystallisationskraft ist diejenige, auf welche wir schlie-sea aus den Arbeitsleistungen, welche wachsende Krystalle auszuführen im Stande sind, z. B. Heben ihres eigenen Gewichts, Deformation plastischer Substanzen, Zersprengen spröder Körper u. dergl. 1)

Analogie zwischen elastischer Verschiebung und allotroper Umwandlung.

Allotrope Umwandlung gleicht äusserlich sehr dem Uebergang elastischer gespannter Korper aus einer Gleichgewichtslage in eine zweite (z. B. Auf- und Zuklappen eines Tuschenmessers und ist ebenso wie diese von Kraftwirkungen begleitet, die erhebliche Arbeitsleistungen auszuführen im Stande sind. Sind nun aber, wie es die Theorie der physikalischen Isomerie annimmt, die Molecule zweier Modificationen chemisch voneimander verschieden, so wären diese Kräfte in bemerkenswerther Weise verschieden von denjenigen, welche die gewöhnlichen elastischen Verschiebungen bedingen, insofern sie wenigstens theilweise chemischer Natur sind.

Unter Elasticität versteht man zwei verschiedene Erscheinungen:

 Volumenelasticität. — Jeder homogene Körper, dessen Volumen verkleinert (vergrössert) worden ist, sucht mit einer gewissen Kraft sein normales Volumen wieder zu erreichen

<sup>1)</sup> Cf O. Lehmann, Zeitschr. f. Kryst. 1. p. 487, 1877.

11. Verschiebungselasticität. — Eine Aenderung der Structur ohne Volumenänderung (z. B. die Dehnung eines Quadrats zu einem inhaltsgleichen Rechteck oder Rhombus, oder eine Torsion wie sie Fig. 3, undeutet) weckt eine Kraft, die die Aenderung wieder rückgängig zu machen sucht, wenigstens bis zu der sogenannten Elasticitätgrenze.

Ginz analog zum Falte I sucht eine durch Aenderung des Druckes bei constantem Volumen bewirkte alletrope Verwandlung iz. B. bei Schwefel!). Jodsilber? mit einer bestimmten Kraft wieder ruckgangig zu werden, und zwar ist diese Kraft von der Temperatur abhängig, entweder posity oder negstiv speciell bei der Verwandlungstemperatur = 0.

Die Analogie zum Falle II bildet die drehende Wirkung, welche (z. B. bei Protocatechusäure, Chinonhydrodicarbonsäurester) die Molecüle der einen Modification an der Grenzfläche auf diejenige der anderen ausüben. Schon eine geringe entgegenwirkende äussere Kraft genügt, um sie zu compensiren, verstärkt man aber die Wirkung durch geeignete Aenderung der Temperatur, so tritt Gieiten der Molecüle ein, d. h. bleibende Deformation<sup>3</sup>) ganz ähnlich wie im Falle zu starker elastischer Verschiebung. Wird eine Substanz, z. B. Pech, Siegellack langsun deformirt, so bleibt der Zusammenhang erhalten, erfolgt die Deformation dagegen rasch, so erfolgt Bruch, der Körper zersplittert. Als Analogie hierzu liesse sich vielleicht die bei Salmak besprochene Erscheinung auffassen, in welchem Falle die Krystalle durch die Umwandlung zertrummert werden.

Tuchitenbildung und Oberflächenspannung fester Körper.

Ist die Anschauung, welche man sich über die Entstehung der Obertlächenspannung bei Flüssigkeiten hildet, richtig, so

<sup>1.</sup> van t'Hoff, Etud. de dynamique chimque. p. 152, 1884.

<sup>2)</sup> Mallard u. Le Chatelier, Comp rend, 99, p 157 1884.

<sup>3</sup> Dass auch bei homogenen Krystallen selbst betrüchtliche bleibende Deformati men ohne Storungen des Zuenamenlanges meglich sind, zeigen he Beobseltungen über das Auftreten von Gleitflichen (ef Reusch, Pogg Ann 132, p 441, 1807, und über die kunstliche Zwillingsbildung be. Kalkspath, wobei die Medecule sich sogar um einen betrachtlichen Winkel diehen, ohne dien Zusammenhang zu verberen. (cf. Reusch, l. c.)

muss eine solche Kratt auch an der Oberfläche fester, selbst krystallisirter Körper vorhanden sein, wenn schon ihre Wirkungen infolge der Starrheit der Masse ganz verschwindende sind. Es gibt pup eine Reihe von Substanzen, welche in Form äusserst temer nukroskopisch kleiner Haare oder sehr dünner Blättchen (Trichiten, 1) krystallisiren, die so ungemein biegsam sind, dass schon Fiüssigkeitsströmungen Krümmungen hervorrusen können, ia. dass man, ohne einen Bruch befürchten zu müssen, ein solches Biättchen wie ein dünnes Papier zur Spirale zusammenrollen kann durch Verschiebung des Deckglases auf dem Objecttrager, z. B. bei Zimmtsäure.) Man könnte vermuthen, dass sich vielleicht bei solchen Trichiten Wirkungen der Oberflächenspannungen nachweisen liessen. etwa Verbiegungen herruhrend von der Differenz der Spannungen an verschieden scharfen Ecken, da ja mit der Schärfe derselben sich entsprechend auch die nach innen gerichtete Resultante der Molecularkräfte ändert.

Thatsache ist, dass sich Trichiton bei ihrer Entstehung in der Regel (falls sie nur hinreichend fein sind) ohne erkennbare aussere Irsache beträchtlich krummen und verdrehen, bei der allmählichen Verdickung aber mit Vehemenz gerade strecken und nicht selten dabei zerspringen. Tritt eine solche Streckung nicht ein, so wächst auch der gebogene Krystall gleichmässig weiter, und die optischen Eigenschaften desselben ändern sich von Stelle zu Stede ganz stetig, durchaus der krystallographischen Orientirung entsprechend. Beispiele zeigen die Figuren 3. A. Ob um diese Erscheinungen wirklich durch Oberflächenspannung bedingt sind oder durch andere Ursachen hervorgerufen werden, liess sich bis jetzt nicht entscheiden. Jedenfalls muss eine Theorie des festen Aggregatzustandes im Stande sein, auch diese eigenthümliche Erscheinung zu erklären.

Aachen, im März 1885.

<sup>1)</sup> cf. O. Lehmann, Zeitschr. f. Kryst. 1, p. 484, 1877.

## V. Zur Theorie des longitudinalen Stosses culindrischer Körver:

von Victor Hausmaninger in Graz.

Aus den bitzungsber, der königt prouss, Acad, d. Wiss zu Berlin, vom 29. Jan. 1885; mitgethedt vom Hrn. Verf i

Eine von der gewöhnlichen Newton'schen abweichende Theorie des elastischen Stosses cylindrischer Stübe wurde bekanntlich zuerst von Cauchy 1) und St. Venant2) entwickelt. Aus Versuchen von Hrn Boltzmann's, Hrn. Voigt's, and mir , geht zweifellos hervor, dass in der That der Erfolg des Stosses zweier cylindrischer Stäbe ausser von den Massen auch von der Zeit der Rückkehr der Longitudinalwells bedingt ist, die in jedem Stab entsteht und an dessen tresem Ende reflectirt wird, und dass demnach immer Ahweichungen von der alten Stosstheorie im Sinne der St. Venant'schen auftreten.

Diese Abweichungen sind jedoch niemals ganz so gross, meist sogar bedeutend kleiner, als sie die St. Venant'sche Theorie erfordert. Eine Vermittelung dieser letzteren und ber alten Theorie schien daher sehr wünschenswerth Eine "iche wurde bisher meines Wissens nur von den Herren W. Voigt und H. Hertz versucht. Hr. Voigt sieht die rache der Abweichung zwischen der Theorie St. Venant's and der Erfahrung in der dieser Theorie zu Grunde liegenden Annahme, wonach beide Stabe von dem Momente an, wo Gerhaupt eine merkliche Wechselwirkung beginnt, sich sofort in thren gesammten Endflächen direct berühren und Renau wie zwei vollkommen fest verbundene Körper aufeinander wirken. In diesem Falle konnen aber die Stäbe nach Hrn. Voigt's Ansicht nicht durch eine beliebig kleine Dilatation getreunt werden, und wenn dieselbe gross genug ware, um die Cohasion eines Stabes selbst zu überwinden, so

<sup>1)</sup> Cauchy, Bull de Sc d l. Sec. Phil. p. 180, 1826.

<sup>2)</sup> St. Venant, Louville & Journ. 12, p. 237 1867.

<sup>3)</sup> I. Boltzmann, Wien. Ber. 84, p. 1225, 1881.

<sup>4)</sup> W. Voigt, Sitzungsber, d. Berl. Acad. 1882, p. 883.

<sup>5)</sup> V. Hausmaninger, Wien. Ber. 88, p. 162, 1883.

wurde - bei gleicher Beschaffenheit der Stabe - eine Trennung des ganzen Systems nicht gerade an der Beruhrungsstelle, sondern dort erfolgen, wo die Dilatation zuerst auttritt. Da nun bei dem Pinnomen, das man gemeiniglich als "Stoss" bezeichnet, die Trennung immer an der Berührungssteile erfolgt, so schliesst Hr. Voigt, dass die beiden Stabe wahrend three Berührung nicht als Ganzes anzusehen sind, sondern dass vielmehr infolge verschiedener Ursachen Krümmong. Unebenheiten und namentlich condensirte Gasschichten an den stossenden Endflächen, ein von zwei der Berührungsstelle unendlich nahen Querschnitten begrenztes Element, die sogenannte "Zwischenschicht", ganz andere Eigenschieften besitzt, als ein Element im Inneren der Stäbe. Den Eintluss dieser Zwischenschicht zieht nun Hr. Vorgt durch Einführung einer gewissen Constanton e in Rechnung, deren Abhangigkeit von der Natur der Zwischensicht durch die Beziehung:

 $c = \frac{e \cdot q}{3}$ 

bestimmt ist. Darin ist q der Querschnitt,  $\delta$  die Dicke und c der während des Stosses als constant vorausgesetzte und darum als der "mittlere" bezeichnete Elasticitätscoefficient der Zwischenschicht. Für  $c=\infty$  geht die Vorgt'sole Theorie in die St. Venant'sehe, für c=0 in die alte Stosstheorie über. Eine Wechselwirkung zwischen beiden Stäben findet so lange statt, als an ihrer Beiührungsstelle eine Compression vorhanden; den Moment, wo die Dilatation sich zu bilden beginnt, bezeichnet Hr. Vorgt als das Ende des Stosses.

Nach Hrn. Hertz') findet infolge der Krummung der Endflächen die Berührung im ersten Momente nur in einem Punkte und im Verlaufe des ganzen Stosses immer nur in einem Kroise statt, dessen Flächeninhalt kleiner als jede der Endflächen ist.

Die beiden genannten Herren leiben jedoch ihre Theorien nur soweit entwickelt, dass sie zeigten, dass diesellen

<sup>1)</sup> H. Hertz, Borchardt's Journ. 92, p. 156, 1852

mit der alten Newton'schen Theorie übereinstimmen, wenn die erzeugte Longitudinalwelle die beiden Stäbe während der Dauer ihrer Wechselwirkung sehr oft durchläuft. Dagegen haben sie gar keine Rechnungen zur Bestimmung der Abweichungen ihrer Theorien von der alten Newton'schen versucht. Eine Annäherungsformel für diese Abweichungen wurde von Hrn. Boltzmann aus der Voigt'schen Theorie entwickelt und von mir in meiner citirten Abhandlung mitgetheilt. Doch auch diese bezieht sich nur auf den Fall, dass der von der Welle während der Stossdauer zurückgelegte Weg 1 gross ist gegenüber der Länge der Stäbe. Da nun sowohl meine Messungen der Stossdauer, als auch die Grösse der experimentell gefundenen Ahweichungen von den alten Stossformeln es mir wahrscheinlich machten, dass obige Bedingung nur in geringem Grade erfüllt ist, so hielt ich es nicht für überflüssig, zunächst die Voigt'sche Theorie gerade im entgegengesetzten Falle, wo 2 nicht viel grösser 18t, als die doppelte Länge des längeren Stalies, für ein Paar Specialfälle zu entwickeln. Denn eine Vergleichung mit der Erfahrung ist nur durch eine quantitative Berechnung der Abweichungen zwischen der alten und den neuen Theorien möglich. Eine analoge Behandlung der Hertz'schen Hypo-'aese behalte ich mir für später vor. (Ein vorläufiger Vereleich der von mir beobachteten mit der nach den Hertz'when Formeln berechneten Stossdauer zeigte eine ganz gute Cebereinstimmung.)

Ich lege mit Hrn. Voigt die Z-Axe in die Mittellinie der beiden Stäbe von ihrer Berührungsstelle aus, bezeichne mit w.  $E_1$ ,  $d_1$ ,  $m_1$ ,  $q_1$ ,  $l_1$  Verschiebung, Elasticitätscoëfficient. Drehte. Masse, Querschnitt und Länge des ersten, mit  $w_2$ ,  $E_2$ ,  $d_2$ ,  $m_2$ ,  $q_2$  und  $l_2$  die analogen Grössen des zweiten Stabes und setze zur Abkürzung:

$$\frac{E_1}{d_1} = a_1^2; \quad E_1 q_1 = b_1, \qquad \quad \frac{E_2}{d_1} = a_2^2; \quad E_2 q_2 = b_2,$$

dann ist die Hypothese des Ern. Voigt in folgenden Gleichangen ausgesprochen:

(1) 
$$\frac{d^{t}w_{t}}{tt^{1}} = a_{1}^{2} \frac{d^{t}w_{t}}{dt^{2}}, \quad \frac{d^{t}w_{t}}{dt^{2}} = a_{2}^{2} \frac{d^{t}w_{t}}{dt^{2}}.$$

(2) 
$$\frac{dw_1}{dz} = 0 \text{ for } z = -l_1, \qquad \frac{dw_2}{dz} = 0 \text{ for } z = l_2.$$

$$b_1 \frac{dw_1}{dz} = b_2 \frac{dw_1}{dz} = c \left(w_2 - w_1\right) \text{ für } z = 0.$$

4) 
$$\frac{w_1 = 0}{w_2 = 0} \text{ for } t = 0 \quad \frac{-l_1 < z < 0}{0 < z < l_2}.$$

$$\begin{cases} \frac{dw_{i}}{dt} = V_{1}^{0} \\ \frac{dw_{2}}{dt} = V_{1}^{0} \end{cases} \begin{cases} -l_{1} < z < 0 \\ t = 0 \\ 0 < z < l_{1}. \end{cases}$$

Für meine Zwecke scheint mir die Integration obiger Gleichungen durch willkurliche Functionen auf übersichtlicherem Wege zum Ziele zu führen, als dies mit Hülle periodischer Reihen möglich ist. Ich setze deskalb:

$$w_1 = f(z + a_1 t) + g(z - a_1 t)$$
  
 $w_2 = q_1(z + a_2 t) + \gamma (z - a_2 t).$ 

Gemäss der Bedingung (2) muss für die freien Stabenden

$$f'(=l_1 + a_1 t) + g'(-l_1 - a_1 t) = 0,$$
  
$$g'(l_2 + a_1 t) + \gamma'(l_2 - a_2 t) = 0$$

und zwar zu allen Zeiten sein; ich führe daher statt at und a,t die willkürliche Variable wein, sodass:

$$f''(-l_1 + u) + g'(-l_1 - u) = 0$$

$$g'(l_1 + u_1 + \gamma)(l_2 - u) = 0$$

wird. Daraus folgt:

$$\theta_1 = g'(-u) = -f'(u-2l_1), \quad q'(u) = -\gamma'(-u+2l_2).$$

Ich beschränke meine Rechnungen auf den wichtigsten Fall, dass das Material beider Stabe dasselbe ist. Dann ist  $a_1 = a_2$ , und aus Gleichung (3) folgt:

$$b_1 f'(u) + b_1 g'(-u) = b_2 g'(u) + b_2 \gamma'(-u)$$

$$b_1 f'(u) + b_1 g'(-u) = c g'(u) + c \gamma(-u) - c f(u) - c g(-u)$$
we want and findet:

8) 
$$f''(u) + \frac{r(b_1 + b_2)}{b_1 b_1} f'(u) = \frac{c(b_2 - b_1)}{b_1 b_1} g'(-u) + \frac{2c}{b_1} g'(u) + g''(-u)$$

Die Gleichungen (6), (7) und (8) gelten für alle u. Gemäss der Bedingung (4) ist, wenn ich für z gleichfalls u schreibe:

(9) 
$$f(u_1 + g(u) = 0) \text{ für } -l_1 < u < 0$$

$$\varphi(u) + \gamma(u) = 0 , 0 < u < l_2$$

und nach (5), wenn ich zur Abkürzung:

setze:

(11) 
$$f'(u) - g'(u) = 2s \quad \text{für } -l_1 < u < 0$$
$$g'(u) - \gamma'(u) = 2\sigma \quad 0 < u < l_1.$$

Durch Ableitungen der Gleichungen (9) folgt in Verbindung mit (11):

(12) 
$$\begin{cases} f'(u) = s \\ g'(u) = -s \end{cases} \text{ for } u = -l_1 \text{ bis } u = 0$$

(13) 
$$\begin{aligned} q'(u) &= \sigma \\ \gamma'(u) &= -\sigma \end{aligned} \text{ von } u = 0 \text{ bis } u = l_3.$$

Das Problem liesse sich allerdings noch weiter in voller Allgemeinheit behandeln, die Rechnung wird jedoch bald so complicit, dass sich schon jetzt eine Specialisirung empfiehlt, nm so mehr, als man es in der Praxis ja doch nur mit gewissen Specialfällen zu thun hat, in denen die Längen- und Querschnitte der Stäbe in einem bestimmten, einfachen rationalen Verhältnisse stehen. Ich werde erstens Stäbe ion gleicher Länge und gleichem Querschnitt, zweitens Stäbe von gleichem Querschnitt, von denen der eine Stab doppelt so lang als der andere, drittens Stäbe, von denen der eine die doppelte Länge oder den halben Querschnitt des anderen besitzt, betrachten.

I. Fall.  

$$l_1 = l_2 = l; \quad b_1 = b_2 = b.$$

Die Gleichungen (6), (7, und (8) gehen für diesen Fall über in:

14 
$$y(-u) = -f(u-2l)$$

(15) 
$$q'(u) = -\gamma'(-u+2l)$$
.

16) 
$$\gamma'(-u) = f'(u + g'(-u) - q'(u).$$

(17) 
$$f'(u) + \frac{2c}{b}f'(u) = \frac{2c}{b}g'(u) + g'(-u).$$

Nun folgt aus (12) und (14):

$$g'(-u) = -s \text{ von } 0 \text{ bis } 2l,$$

chenso aus (13) und (15):

$$g'(u) = \sigma$$
 von 0 his 21.

Setzt man diese Werthe in die Gleichungen (16) und (17, so erhält man:

$$\begin{cases} \gamma' \mid u' = f'(u) & s - \sigma \\ f'(u) + \frac{2c}{b} f'(u) = \frac{2c\sigma}{b} \end{cases}$$
 0 bis 21.

Die Integration der letzten Gleichung liefert, wenn ich zur Abkürzung:

$$\frac{2c}{b} = a$$
 setze:

sodass:

$$f'(u) = (s - \sigma)e^{-u \cdot n} + \sigma = f_1'(u) \gamma'(-u) = f_1'(u) - (s + \sigma)$$
 0 bis 21.

Weiter folgt mit Rücksicht auf die Gleichungen (14) und (15):

$$g'(-u) = -(s-\sigma)e^{-s(u-2l)} - \sigma g'(u) = -(s-\sigma)e^{-u-2l_1} + s$$
 21 bis 41.

Durch Einsetzen dieser Werthe in (17) erhält man:

$$f'(u) = (s-\sigma)e^{-su}\left\{e^{2\pi i}\left[-2\alpha u + 4\alpha l - 1\right] + 1\right\} + s = f_{s}'(u)$$
 von und: 
$$\gamma'(-u) = f_{2}'(u - s + \sigma)$$
 2*l* bis 4*l*.

Analog undet man:

$$\begin{split} g'(-u) &= -f_1'(u-2l) \\ q'(u) &= -f_2'(u-2l) + s + \sigma) \\ f'(u) &= (s-\sigma)e^{-\sigma s} \{e^{s+1}[2\alpha^2n^2 - 16\alpha^3ln + 32\alpha^2l^2 + 1] + \\ &+ e^{2\pi l}[-2\alpha n + 4\alpha l - 1] + 1\} + \sigma = f_3'(u) \\ f'(-n, = f_3'(u) - (s + \sigma) \\ \end{split}$$

$$\begin{aligned} y'(-u) &= -f_3 \left( u - 2 l \right) \\ y'(u) &= -f_3' \left( u - 2 l_1 + (s + \sigma) \right) \\ f'(u) &= (s - \sigma) e^{-\alpha u} \left( e^{\beta u t} \left[ -\frac{1}{3} \alpha^3 u^3 + (24 \alpha^3 l + 2 \alpha^2) u^3 \right. \right. \\ &- \left( 144 \alpha^3 l^3 + 24 \alpha^2 l + 2 \alpha \mu u + 288 \alpha^3 l^3 + 72 \alpha^3 l^3 + 12 \alpha l - 1 \right) \\ &+ e^{\beta u t} \left[ 2 \alpha^3 u^3 - 16 \alpha^2 l u + 32 \alpha^2 l^3 + 1 \right] + e^{2 u t} \left[ -2 \alpha u \right. \\ &+ 4 \alpha l - 1 \right] + 1 \right\} + u = f_4'(u) \\ \gamma(-u) &= f_4'(u) - (s + \sigma). \end{aligned}$$

$$u = \lambda = 2l + \epsilon l,$$

$$0 < \epsilon \le 2.$$

worin:

Als Bedingung für das Ende des Stosses bilde ich:

$$\frac{dw_{t}}{ds} \Big|_{s=2} = (s-\sigma)e^{-s/2t+st} \left\{ e^{2st} \left[ 2u(2l+st) + 4ul-2 \right] + 1 \right\} + s - \sigma = 0,$$

oder:

$$e^{-1at} - 2a\epsilon t + e^{-it} - 2 = 0.$$

Behufs bequemerer Rechnung bezeichne ich die reelle, positive Wurzel der transcendenten Gleichung:

$$e^x = 2x + 2$$

out  $\xi$ , sodass  $\xi = 1.67835$  ist, und setze  $\alpha \in l = \xi - \eta$ . Dann the Gleichung (18) über in:

1s 
$$e^{-2\pi i} = 2(\xi + 1)(1 - e^{-\eta}) - 2\eta$$
.

Für Berechnung einer Tabelle ist es am bequemsten, iem , willkürlich gewählte Werthe zu ertheilen und die zusbörigen Werthe von al aus Gleichung (19) zu bestimmen, vober es von Vortheil ist, die Exponentielle durch ihre Rabe zu ersetzen. Die Schwerpunktsgeschwindigkeit ist:

$$v_1 = \frac{1}{l} \int_{-l}^{l} \left( \frac{dw_1}{dl} \right) dz$$
, d. i.

(20) 
$$v_1 = \int_{z-1}^{a} \int_{z-1}^{0} f'(z+\lambda) dz - \int_{z-1}^{a} \int_{z-1}^{0} g'(z-\lambda) dz.$$

Die Substitution der entsprechenden Functionswerthe liefert mit Berücksichtigung der Gleichung (18) für:

(21) 
$$\beta = \frac{1}{2\alpha l} \{ 2e^{-\alpha l} + \alpha \ell l - 2 \},$$

wenn  $v_1 = \beta V_1^0 + (1 - \beta) V_2^0$  gesetzt wird, und nach Einführung von  $v_i$  folgende Reihenentwickelung:

(22) 
$$\beta = \frac{1}{2\pi i} [0.051714198 - \eta + 0.373364198] \left( \eta + \frac{\eta^2}{2!} + \frac{\eta^2}{3!} + \cdots \right)$$

welche, da selbst für grosse  $\epsilon$  der Werth des  $\eta$  klein ist, auch noch bis  $\epsilon = 2$  ausserordentlich bequem ist.

Mit Hülfe der Formeln (19) und (22) habe ich nun unter Annahme verschiedener η die in der folgenden Tab. I zusammengestellten Werthe berechnet. Es zeigte sich dabei, dass der Verlust an lebendiger Kraft ein Maximum erreicht, wenn λ zwischen 3l und 4l liegt. Zur genaueren Bestimmung desselben ist nach (21) die Function:

$$\frac{n+l+2e^{-n+l}-2}{2nl}$$

unter der Bedingung:

$$e^{-2\pi i} + e^{2ait} - 2ail - 2 = 0$$

zu einem Maximum zu machen. Nach bekannten Regeln findet sich für das Maximum:

$$\alpha \epsilon l = 1,655\,320\,9$$
  $2\alpha l = 2.578\,448\,24$   $\beta = 0.014\,498\,318\,3.$ 

Schliesslich berechnete ich die Schwerpunktsgeschwindigkeit noch für die Fälle, dass der Stoss zu Ende ist, wenn die Welle einen Stab erstens sechsmal, zweitens achtwal durchlaufen hat. Im ersteren Falle hat man:

(23) 
$$\binom{dw}{dz} = (s-a)\{e^{-6\pi i}[e^{4\pi i}(8a^2l^2+4al+2)-e^{2\pi i}(8al+2)]+1\}-(s-a-a)$$

oder, etal = r gesetzt:

$$-x^3 + 2x^2[(\log x)^3 + \log x + 1] - 2x[2\log x + 1] + 1 = 0.$$

Diese Gleichung besitzt die reellen positiven Wurzeln 1 und 1,83508, von denen die erstere unbrauchbar ist. Für die Schwerpunktsgeschwindigkeit hefert die Formel (20) nach Substitution der betreffenden Functionswerthe:

$$r_1 = \int_{-1}^{a} \int_{2}^{0} f_1^{-1}(z+6l) dz,$$

d. i. mit Zuziehung der Gleichung (23):

$$\beta = \frac{1}{2\alpha l} \{ 2e^{-2\alpha l} [e^{-2\alpha l} - 4\alpha l - 3] + 4 \}.$$

Die numerische Auswerthung ergibt:

$$\beta = 0.00165373$$
.

Tabelle L.

8	al	2:1	ð.
-	0,162 868	8	0,000 517 9
-	0,503.514	6	0,001 6547
0.062 216	0,508.087	4	0,008 330 5
0,06	0,826 268	3,958.626	0,008 957 6
0,05	0,911 289	8,756 462	0,011 444 3
0,04	1,019.967	3,606 287	0.019 212 0
0,03	1,159 794	3,421 244	0,014 263 2
0,025	1,245 952	3,323 789	0,014 478 5
0,0232	1,285 594	3,287 460	0,014 498 2
0,023 029	1,289-224	3,288 967	0,014 498 8
0.022 7	1.296 287	8,277 224	01014 497 7
0,02	1,358 523	3,220 701	0,014 448 3
0,010 697	1,067 652	3	0,013 501 6
0,006	1,811 873	2,921 ×91	0.012 890 8
0,004	2,156 850	2,776 294	0,011 40% 0
0,001	2,844 9/10	2,5NN 792	0,009 966 5
0.000 1	3,999 804	2,419 548	0,006 456 7
0,000 01	5,150 989	2,325 829	0,005 019 2
10	10,907.4	2,158 B72	0.002 170 6
10-100	114,524	2.014 655	0,000 225 8
10=1869	1150,69	2,001 459	0,000 022 5
10 100000	1151288	2,000 001	0,000 000 02

Soll die Welle den Stab achtmal durchlaufen, so erhält man die Gleichung:

$$\frac{dw_i}{ds} \Big|_{\substack{s=0\\ u=11}} = (s-a) \left\{ e^{-8ai} \left[ 1 - 2e^{6ai} \left( \frac{1}{1} \alpha u^3 l^3 + 2\alpha l + 1 \right) + 2e^{4ai} \left( 16\alpha^3 l^2 + 4\alpha l + 1 \right) \right. \\ \left. - 2e^{2ai} \left( 6\alpha l + 1 \right) \right] + 1 \right\} = 0,$$

welche für al den Werth 0,16285347 liefert; ferner wird:

$$v_1 = \frac{a}{l} \int_{-\frac{a}{l}}^{0} f_4'(z+8l) dz$$
, d. i.

$$\beta = \frac{1}{2\alpha l} \{ 2e^{-2\alpha l} [e^{-4\alpha l} - 3e^{-2\alpha l} + 5 + 8\alpha^2 l^2 + 8\alpha l - 8\alpha l e^{-2\alpha l}] - 6 \},$$

und die numerische Berechnung dieses Ausdrucks ergibt:  $\beta = 0.000\,517\,889$ .

Es erscheint mir nicht überstüssig, die Annäherungsformel des Hrn Prof. Boltzmann mit meinen Resultaten numerisch zu vergleichen. Dieselbe geht für den hier vorausgesetzten Fall über in:

$$\beta = \frac{4}{45} \frac{e^3 l^2}{b^2}.$$

Dabei ist die Stossdauer =  $\pi \sqrt{\frac{\pi}{2c}}$ . Daher ist:

$$\frac{1}{l} = \frac{a\pi}{l} \sqrt{\frac{\pi}{2\sigma}} = \pi \sqrt{\frac{b}{2cl}} = \frac{\pi}{\sqrt{\alpha l}},$$

und obige Formel lässt sich schreiben:

$$\beta = \frac{1}{45} \frac{\pi^4 l^4}{l^4}.$$

Für  $\lambda = 61$  wird:

$$\beta = 0.001670242$$
.  $\alpha l = 0.274$ ;

für  $\lambda = 8l$ :

$$\beta = 0,000528476, \quad \alpha l = 0,154.$$

Vergleicht man diese Werthe mit den entsprechenden der Tab. I, so zeigt sich bereits eine Uebereinstimmung, wieman bei den der Annäherungsformel zu Grunde liegendem Voraussetzungen nur immer erwarten kann.

II. Fall.  

$$l_1 = 2l_2 = l_3$$
  $b_1 = b_2 = b$ .

Hier lauten die Gleichungen (6), (7) und (8):

$$g'(-u) = -f'(u-2l)$$

$$\varphi'(u) = -\gamma'(-u+l)$$

$$\gamma'(-u) = f'(u) + g'(-u) - \varphi'(u)$$

$$f''(u) + \frac{2c}{b}f'(u) = \frac{2c}{b}\varphi'(u) + g''(-u).$$

Perner ist wieder:

$$\frac{3c}{b} = \alpha,$$

$$\alpha'(a) = a \quad \text{von 0 bis } b$$

$$g'(\cdot n) = \sigma \quad \text{vob } 0 \text{ or } 2l.$$

Man erhält durch eine analoge Behandlung dieser Gleichungen wie im I. Falle folgende Functionswerthe:

$$g' - u = -s$$

$$g'(u) = -f_1'(u - l) + s + \sigma$$

$$f'(u) = (s - \sigma)e^{-su} \left\{ e^{st} \left[ -\alpha u + \alpha l - 1 \right] + 1 \right\} + s = f_2'(u) \right\} \text{ bis } 2l$$

$$f'(u) = f_2'(u) + f_1'(u - l) - 2s - \sigma$$

$$\begin{aligned} g' - u &= -f_1' (u - 2l) \\ q'(u_s = -f_1' (u - l) - f_1' (u - 2l) + 2s + \sigma \\ f'(u) &= (s - \sigma)e^{-su} \left\{ e^{2ut} \left[ \frac{n^2 u^2}{2} + u(2n^2l + u) + 2n^2l^2 + 2nl \right] \right. \\ &+ e^{st} \left[ -\alpha u + \alpha l - 1 \right] + 1 \right\} + s = f_s'(u) \end{aligned}$$

$$\gamma(-u) = f_3'(u) + f_2'(u - \ell) - (2s + \sigma)$$

$$g' - u = -f_2'(u - 2l)$$

$$g'' u_1 = -f_3'(u - l) - f_2'(u - 2l) + 2s + \sigma$$

$$f'' u_2 = (s - \sigma)e^{-su} \left[ e^{2st} \left[ \frac{u^2u^2}{6} + u^2(\frac{3}{2}u^3l + \frac{3}{2}u^2) - u \frac{3}{2}u^3l + 9u^2l - u \right] \right]$$

$$+ \frac{3}{2}u^3l^3 + \frac{3}{4}u^2l^3 - 3ul + 1 + e^{2st} \left[ \frac{u^3u^3}{2} - u(2u^2l + u + 2u^3l^3 + 2ul) \right]$$

$$+ e^{-st} \left[ -uu + ul - 1 \right] + 1 + \sigma - f_4'(u)$$

$$1 - u_1 = f_2'(u) + f_2'(u - l) - (2s + \sigma_1)$$

Ich setze für den Moment des Endes des Stosses \( \lambda = 2l + \ell \) and betrachte den Fall, dass:

$$0 < \epsilon \le 1$$
.

Dann ist:

24) 
$$e^{2\pi i} \left[ e^{\pi i l} + \frac{\alpha^2 s^2 l^2}{2} - \alpha \epsilon l - 1 \right] - e^{\pi i} \left[ \alpha \epsilon l + \alpha l + 1 \right] + 1 = 0.$$

Für die Schwerpunktsgeschwindigkeit ergibt sich mit Rücksicht auf (24):

(25) 
$$v_1 = \frac{V_1^{\circ} - V_2^{\circ}}{2 \alpha l} \{ e^{-\alpha l} [e^{-\alpha l} - \alpha \epsilon l] + \alpha \epsilon l - 1 \} + \frac{V_1^{\circ} + V_2^{\circ}}{2}$$

Ich bestimmte unter Annahme verschiedener  $\alpha I$  das zugehörige  $\epsilon$  aus Gleichung (24) und mit diesen Werthen das  $v_1$  aus Gleichung (25). Die erhaltenen Resultate sind aus Tab. II entnehmen.

Tabelle II.

al	λ: Ι	e <sub>t</sub>
0,9036 2,3026 4,6052 6,9078 9,2103	5,000 000 2,253 266 2,051 418 2,012 853 2,004 657 2,000 002	0,33491 V, 0 + 0,66509 V, 0 0,35093 V, 0 + 0,64907 V, 0 0,39770 V, 0 + 0,60280 V, 0 0,42824 V, 0 + 0,57176 V, 0 0,46493 V, 0 + 0,53507 V, 0 0,49978 V, 0 + 0,50022 V, 0

III. Fall.

$$l_1 = 2 l_2 = l; b_2 = 2 b_1.$$

Für diesen Fall ist:

$$\gamma'\left(-u\right)=\tfrac{1}{4}f'\left(u\right)+\tfrac{1}{4}g'\left(-u\right)-\varphi'\left(u\right),$$

$$f''\left(u\right)+\tfrac{3\,\sigma}{2\,b_{1}}f'\left(u\right)=\tfrac{2\,e}{b_{1}}\,\varphi'\left(u\right)+\tfrac{\sigma}{2\,b_{1}}\,g'\left(-\,u\right)+g''\left(-\,u\right),$$

alles übrige wie im II. Falle.

Setze ich  $(3c/2b_1)=\alpha$ , so ergeben sich folgende Functionswerthe:

$$g'(-u) = -s 
\varphi'(u) = \sigma 
f'(u) = \frac{1}{3}(s - \sigma)e^{-\alpha u} - \frac{1}{3}(s - 4\sigma) = f_1'(u)$$

$$\gamma'(-u) = \frac{1}{3}f_1'(u) - \frac{s}{2} - \sigma$$
von 0 bis  $l$ 

$$\begin{split} g\left(-u\right) &= -s \\ \varphi'\left(u\right) &= -\frac{1}{2}f_{1}'\left(u-l\right) + \frac{s}{2} + \sigma \\ f'\left(u\right) &= \frac{1}{3}(s-\sigma)\,e^{-su}\left\{2\,e^{sl}\left[-\alpha u + \alpha l - 1\right] + 3\right\} + \frac{1}{3}(5s + 4\sigma) = f_{2}'\left(u\right) \\ \gamma'\left(-u\right) &= \frac{1}{4}f_{2}'\left(u\right) + \frac{1}{4}f_{1}'\left(u-l\right) - s - \sigma \\ g'\left(-u\right) &= -f_{1}'\left(u-2l\right) \\ \varphi'\left(u\right) &= -\frac{1}{2}f_{2}'\left(u-l\right) - \frac{1}{4}f_{1}'\left(u-2l\right) + s + \sigma \\ f'\left(u\right) &= \frac{1}{3}(s-\sigma)e^{-su}\left\{\frac{1}{4}e^{2sl}\left[2\,\alpha^{2}u^{2} - u\left(8\,\alpha^{2}l + 14\,\alpha\right) + 8\,\alpha^{3}l^{3} + 28\,\alpha\,l - 5\right]\right\} \\ &+ 2\,e^{sl}\left[-\alpha u + \alpha l - 1\right] + 3\right\} + \frac{1}{27}\left(35\,s - 8\,\sigma\right) = f_{3}'\left(u\right) \\ \gamma'\left(-u\right) &= \frac{1}{4}f_{3}'\left(u\right) + \frac{1}{4}f_{2}'\left(u-l\right) - s - \sigma \,. \end{split}$$

Ich setze wieder  $n = \lambda = 2l + \epsilon l$ , wo  $0 < \epsilon \le 1$ , and bilde:

The sich hieraus ergebende Gleichung:

bildet die Bedingung für das Ende des Stosses. Die Schwerpunktsgeschwindigkeit ist mit Zuziehung obiger Gleichung:

$$27. \begin{cases} v_1 = \frac{3(V_1^* - V_2^*)}{27\pi l} (2e^{-\alpha l}(3e^{-\alpha l} - 2ael + 5) + 11ael - 16) \\ + \frac{1}{4}V_1^* + \frac{1}{4}V_2^*. \end{cases}$$

Ich berechnete wieder unter speciellen Annahmen von al das entsprechende  $\epsilon$  aus Gleichung (26) und mit diesen Werthen das  $v_1$  aus (27, und folgende Resultate:

Tabelle III.

a l	λ:δ	v <sub>1</sub>
1,07105	3,00000	0,00355 F, " + 0,99645 F,"
3. 300274	2,400/29	0,01107 P1° 4 0,96808 P1°
3,91203	2,20575	0,08468 F 9 4-0,865 (2 F 2
6,5078	2,110.20	0.06420772 4-0,9354077
23025	2,000002	0,11109 V 0,88891 V 0

Fasse ich die Ergebnisse meiner Berechnungen zusammen, vkomme ich zu folgendem Schlusse:

Die Abweichungen, welche Hr. Voigt für gleichlunge Mäbe zwischen den nach der alten Theorie berechneten und seinen (allerdings nach Anbringung gewisser Correctionen) beobachteten Resultaten findet, sind kloiner als die grössten Abweichungen, welche in meiner Tab. I vorkommen, woraus über noch kein Schluss gezogen werden darf, ob  $\lambda$  gross oder klein gegenüber 2l ist. Meine in der citirten Abhandlung ingegebenen Beobachtungen über die Stossdauer von gleichtangen Glasstäben ergeben, wenn man für Glas  $\alpha = 5000$  m setzt,  $\lambda = 4l$ , 8l und 12l entsprechend den Anfangsamplituden von 100, 50 und 30 mm (Fadenlänge: 2,5 m). Danach müssten

V. Hausmaninger.

202

also die Abweichungen von der alten Stosstheorie, welche übrigens kaum die Grenzen der Beobachtungsfehler überschreiten dürften, mit wachsender Stossgeschwindigkeit zunehmen.

Was den zweiten der hier betrachteten Fälle betrifft, so dürften schon für  $\lambda=3l$  die kaum zu vermeidenden Beobachtungsfehler größer sein als die Abweichungen des Werthes der Tab. II von  $V_1^{\,\,0}/3+2\,V_3^{\,\,0}/3$ , welches der Grenzwerth für abnehmende  $\alpha$  ist. In allen Fällen, wo Hr. Voigt eine die Grenze der Beobachtungsfehler entschieden übersteigende Abweichung vom aiten Stossgesetze findet, dürfte daher  $\lambda$  noch beträchtlich kleiner als 3l sein, ein Umstand, der die Anwendbarkeit von Annäherungsformeln, welche  $\lambda/l$  grossgegen die Einheit voraussetzen, als sehr zweifelhaft erscheinen lässt.

Auch im dritten Falle bestätigt es sich, dass nach der Voigt'schen Hypothese der den gewöhnlichen Stossformeln entsprechende Grenzwerth sehr rasch erreicht wird, so zwar, dass schon für  $\lambda=3I$  die Beobachtung kaum mehr eine Abweichung von denselben ergeben könnte.

Obwohl die hier mit Hrn. Voigt gemachte Annahme, dass c eine Constante sei, durch Beobachtungen Voigt's durchans nicht bestätigt wird, so ist dieselbe doch schon insofern von theoretischem Interesse, als sich mit ihrer Hülfe bei weitem am leichtesten eine continuirliche Brücke zwischen der alten und der St. Venant'schen Theorie herstellen lässt. Und das war der Zweck der obigen Entwickelungen.

Zum Schlusse sei es mir gestattet, Hrn. Prof. Boltzmann, der die Anregung zu dieser Arbeit gab, für die mir hierbei vielfach gewährte Anleitung und Unterstützung meinen wärmsten Dank auszusprechen. VI. Veber die Phasenänderungen bei der Reflexion und über die Schwingungsebene des polarisirten Lichtes; von W. Wernicke.

(Bluene Tar. 111 Fig. 1-7.)

t.

Die Intensität I des von einer dünnen Schicht eines isotropen durchsichtigen Körpers reflectirten Lichtes ist:

$$I = \frac{(r+\varrho)^2 - 4r\varrho\sin^2\frac{\pi}{A_1}(2d\cos\alpha_1 + d - d + D)}{(1+r\varrho)^2 - 4r\varrho\sin^2\frac{\pi}{A_1}(2l\cos\alpha_1 + d - d + D)}.$$

Es hedeuten darin r die Amplitude des an der oberen Grenzebene der Schicht reflectirten Lichtes, wenn die des einfallenden gleich Eins ist.  $\rho$  die des an der zweiten Grenzebene reflectirten, d die Dicke der Schicht,  $\lambda_i$  die Weltenlänge des Lichtes in der Substanz derselben,  $\alpha_i$  den Winkel zwischen dem Lichtstrahl innerhalb und der Normale; A, A' und D, jedes multiplicirt mit dem Factor  $2\pi_i \lambda_i$ , die Phasenverzögerungen infolge der Reflexion an der ersten und zweiten und der Brechung in der ersten Grenzebene.

Der Ausdrack (1) ist streng richtig für isotrope durchuchtige Substanzen; er ist auf ullgemein gültige und allgemein angenommene mechanische Grundsätze basirt und unabhängig von jeder besonderen Theorie der Reflexion des Lichtes. Er erhält seine kleinsten Werthe, wenn:

2, 
$$(2d \cos u_1 + \Delta - \Delta' + D_1)^{2\pi} = q\pi$$

wird, wo q eine beliebige, von der Dicke der Schicht und der Natur des angewandten Lichtes abhängige ganze Zichl ist; dieselbe ist gerade, wenn der Brechungsindex der Schicht größer oder kleiner als jeder der beiden Grenzmedien ist, ungerade, wenn er zwischen den beiden letzteren liegt.

Die Hauptaufgabe der Retlexionstheorie, nämlich die Bestimmung der Grössen A. A. D durch die optischen Constanten, namentlich den Brechungsindex, für die verschiedenen Lichtarten, konnte bis jetzt nicht ohne Hinzuziehung fremdartiger, aus den Principien der Mechanik

nicht ableitbarer, Annahmen gelöst werden; die Resultate sind daher sehr verschieden, oder, richtiger gesagt, einander widersprechend. Nach Frasnel's und Cauchy's Annahmen und nach Green's Theorie sind alle 3 Grossen für parallel zur Einfallsebene polarisirtes Licht Null; nach Neumann's. Mac-Cullagh's v. A. Hypothesen ergibt sich das Gegentheil, nämlich dass A. A. D nicht für parallel, sondern für senkrecht zur Einfallsebene polarisirtes Licht verschwinden. Auch der dritte noch mögliche Fall hat seine Vertreter gefunden: in der neuesten Zeit haben Einige unter der Voraussetzung des "Mitschwingens der ponderabeln Massentheilchen". Andere durch die Appahme geiner allmählich von einem zum anderen Mittel sich ändernden Aetherdichte" gefunden, dass beide Lichtarten ihre Phasen ändern, ein Resultat, was freilich den Vorzug der Allgemeinheit vor den anderen voraus zu haben scheint.

Im Folgenden will ich durch neue Versuche zu entscherden versuchen, welche von den genannten — überhaupt möglichen — Annahmen die allein zulässige ist.

Der einfuche Grundgedanke zu diesen Versuchen entwickelt sich folgendermassen:

Aus Gl. (2) ergibt sich:

(3) 
$$2d \cos u_1 + \Delta - \Delta' + D = q \cdot \frac{\lambda_1}{2}$$

lat  $\Delta = \Delta' + D$  Null, so ergibt (3) für die Dicke der Schicht:

$$2d = \frac{1}{2} \frac{q \lambda_1}{\cos a_1}.$$

Diese Gleichung ist zufolge der ersten Theorie strent richtig für parallel, nach der zweiten für senkrecht zur Einfallsebene polarisirtes Licht, während sie nach der drittes so wenig richtig ist, dass sich verschiedene Werthe für des verschiedenen Einfallswinkeln ergeben müssen. Für senkrecht zur Einfallsebene polarisirtes Licht dagegen liefert die erste Theorie verschiedene Werthe für de für verachiedene Werthe von a<sub>1</sub>, die zweite constante und die dritte ebenfalts voneinander verschiedene. Da sich nun, wie ich sogland zeigen werde, q. h, und a, mit hinreichender Genauskeit

durch Messungen bestimmen lassen, so kann durch die Versuche entschieden werden, welche von den möglichen drei Hypothesen Gültigkeit hat.

Erst nachdem diese Hauptfrage entschieden ist, können wir an die genauere Prüfung der Formeln gehen, welche uns die den Versuchen entsprechende, allein zulässige Theorie hefert.

# 2. Apparate and Beobachtungsmethoden. (Vgl. Fig. 1.)

Durch den Spalt S des Collimators C oines Spectrometers mit horizontalem Kreise K tritt Sonneplicht ein und fallt auf die in der Mitte des drehbaren Tischchens T vertical sufgestellte Glasplatte P, auf welcher die dunne zu untersuchende Schicht befestigt ist. Dieselbe reflectirt die parallelen Strahlen in das Beobachtungsfernrohr F. welches um he verticale Axe des Instrumentes drehbar und mit den Nunien (oder besser einem dieselbe ersetzenden concentrischen getheilten Kreise) fest verbunden ist. Der abgelesene Winkel, nämlich der Winkel zwischen Collimator- und Ferncohrage, ist der doppelte Einfallswinkel; derselbe kann aut diese Weise mit jeder gewünschten Genauigkeit, wenn man will, his auf einzelne Secunden erhalten werden. Ist ier Emfullswinkel abgelesen, so wird der Tisch T mit der Platte festgeklemmt und vor das Objectiv des Fernrohres auf ein fest mit demselben verbundenes Ansatzstück G mit borizontalem Tischchen das kleine Prismensystem (G) mit gerader Durchsicht gesetzt. Dasselbe zerlegt das durch-Chande, von P reflectirte Lichthundel in ein Spectrum. reiches mit den von der Interferenz an der dannen Schicht berruhrenden dunklon Streifen durchzogen ist, Jetzt drehe sh due Fernrohr ein wenig, bis die im Brennpunkt des Ubjectives angebrachte Spitze auf eine bestimmte Fraunbofer'sche Linie einsteht, und klemme das Fernrohr fest. Die Spitze ist durch eine Mikrometerschraube M mit getheilter Trommel in der Focalebene verschiebbar; ich drebe die Trommel so lange, bis die Spitze in der Mitte des nächsten Interforenzstreifens steht, und lese die Zuhl der Umdrehungen an der Trommel ab; diese Zahl gibt die Lage des Streifens im Spectrum an; sie ist abhängig von der Natur des Lichtes. Um sie für beide Lichtarten zu erhalten, betrachte ich das Spectrum durch ein dicht hinter dem Ocular angebrachtes Nicol'sches Prisma N. Ist die lange Diagonale der Endfläche desselben horizontal, so erhält man die Lage des Streifens für parallel, ist sie vertical, für senkrecht zur Einfallsebene polarisirtes Licht. Die beiden an der Trommel der Mikrometerschraube abgelesenen Zahlen werden notirt und die Spitze auf die zum Ausgangspunkt der Messung dienende Fraunhofer'sche Linie zurückgedreht. Die Messung kann alsdann zur Controle wiederholt werden, wober zu bemerken ist, dass der Einfallswinkel unabhängig von der Drehung des Fernrohres ist und so lange derselbe bleibt, als die Stellung des Tisches Tnicht geändert wird.

Zur Bestimmung der Wellenlängen aus den Ablesungen an der Trommel habe ich aus Angström's Atlas die Wellenlängen einer grösseren Anzahl von Fraunhofer'schen Linien enthommen, dress Linien im Spectrum meines Apparates aufgesucht und ihre Abstände von der nächsten Hauptlinie durch die Zahl der Umdrehungen der Mikrometertrommel bestimmt, Durch graphische Interpolation ergaben sich alsdann die Wollenlängen der Farben zwischen den gemessenen Linien. Fig. 6 stellt die Ausführung und die Resultate dieser Messungen für einen kleinen Pramenkörper mit gerader Durchsicht dar, dessen ich mich am häufigsten bedient habe. Derselbe hat zur Erreichung möglichster Intensität normale Endflächen; die Dispersion wurde durch ein Flüssigkeitsprisma aus mit Alkohol versetztem Zimmtsäuresthylather erzeugt, die Ablenkung durch zwei Flussigkeitsprismen aus oxydirtem Terpentinol (no = 1,492) mit entgegengesetzter brechender Kante aufgehoben; diese Flüssigkeiten waren so gewählt, dass die Empfindlichkeiten derselben sich compensirten und demzufolge bei Temperaturen zwischen 180 und 230 die gegenseitigen Entfernungen der Linien im Spectrum unverändert blieben, wenigstens in weit höherem Maasse, als dies bei einer Prismencombination aus Glas und einer Fittssigkeit der Fall ist.

Für die meisten Versuche habe ich Sonnenlicht benutzt. ins von einem Silberspiegel in den Spalt des Collimators reflectirt wurde. Das einfallende Licht war also elliptisch polarisiri, die relative Intensität und Phase der beiden Componenten vom Stande der Sonne und der Stellung des Apparates abhangig; daher für die einzelnen Beobachtungen aicht constant, anter Umständen recht verschieden. Bemerkenswerth ist deshalb, days die relativen Intensitäten and Phasendifferenzen der beiden Componenten des einfalanden elliptischen Lichtes für die Lage der Interferenzstreifen im Spectrum nach der beschriebenen Methode gleichsaltig, für die Deuthehkeit und Schärfe aber nicht ohne Eintluss sind, Wesentlich ist z. B. für die Messung der interferenzstreifen bei senkrecht zur Einfallsebene polarisir-Em Lichte (Stellung des Ocularnicols) - das bei durchnehtigen Körpern von geringem Brechungsvermögen in der Nihe des Polarisationswinkels ohnehin schon sehr schwach st -, dass die zu benutzende Componente im einfallenden -liptischen Lichte möglichst gross im Vergleich zu anderen semacht wird

Nach der beschriebenen Anordnung der Versuche ist das Fernrohr F auf den Collimatorspalt, also nicht auf die leine Schicht in der Mitte des Kreises eingestellt. Will man dasselbe auf die Schicht selbst einstellen und gleichzeitig ein reines Spectrum haben — eine Anordnung, die ich bei der Untersuchung des Kupferoxyduls und der stark brechenden Körper häufig gewählt habe —, so wird das Bitsigkeitsprisma, austatt mit einer ebenen Glasplatte, mit ber achromatischen Linse von kurzer Brennweite geschlosen und in ihrer Brennehene ein kleiner Spalt ganz nahe der Schicht P angebracht Man erhält so auch bei weit söffnetem Collimatorspalt S zarte Fraunhofer'sche Linien, is die Lichtstrahlen durch zwei Collimatoren sehr parallel geworden sind.

Wenn die Herstellung dünner Lamehen eines Körpers vegen technischer Schwierigkeiten nicht ausführbar ist, so bleibt die beschriebene Untersuchungsmethode doch anwendbar, indem man als dünne Lamelle die Luftschicht zwischen einer planparallen Glasplatte (oder der Hypotenusenfläche eines Reflexionsprismus) und einem ebenen Flächenstück des zu untersuchenden Körpers benutzt. Diese Methode, welche in anderer Beziehung der ersteren nachsteht, hat den nicht unerhehlichen Vorzug, dass für die Bestimmung der Phasen-änderungen die Kenntniss der Brechungsindices nicht nothe wendig ist. Die Hauptschwierigkeit liegt in der Herstellung ebener spiegelnder und reiner Oberflächen; ich werde später bei Beschreibung der einzelnen Substanzen zeigen, wie obene und reine Flächen solcher Körper, die gerade für die Prüfung der Theorie von Interesse sind, in vollkommenerer Weise als durch Schleifen und Poliren erhalten werden.

Bei Anwendung der beschriebenen Untersuchungsarb braucht das ebene Flächenstück nur von geringer Ausdebnung zu sein, 1, gom genugt in den meisten Fallen. Legt man, nuch Entfernung der Staubtheilchen, eine planparallele Platte aus Glas auf die geschliffene Fläche des zu untersuchenden Korpers, so findet man meist eine Stelle der letzteren, für welche die Luftschicht, mit freiem Auge bei Wolkenlicht betrachtet, breite farbige Streifen (Fig. 2) zeigt, von denen der mittlere horizontale dunkle Streifen die dünnste Stelle der Luftschicht anzeigt. Durch geringen Druck auf die Glasplatte kann man die Luftschicht, ohne ihre Gestalt wesentlich zu ändern, dunner machen. Hat dieselbe nahezu die gewünschte Dicke und Gestalt angenommen. so befestige ich die obere Platte in der erhaltenen Lage mittelst einer nicht leicht erhartenden weichen Kittmasse auf der unteren. Dies Verfahren hat sich besser als Schraubenbefestigung bewährt, bei welcher zuweilen die Dicke der Schicht auch durch geringe Temperaturänderungen starke Schwankungen erleidet.

Noch leichter als ein Streifensystem von der Gestalder Fig. 2 orhült man, wenn man in der angegehenen West verfährt, ein Ringsystem, wie Fig. 3; selbst Platten von gewöhnlichem gut geschliffenen Spiegelglase liefern nicht selter an ausgesuchten Stellen ein solches. Erscheint der mittlere dünnste Theil der Luftschicht selbst nur in der Ausdehnung von 1/4 qum gleichmässig gefärbt, so kann das Präparat unter

Anwendung geeigneter Vorsichtsmaassregeln zu den Messungen verwendet werden.

Hierzu stelle ich zunächst das Plattenpaar auf dem mittleren Tische vertical so auf, dass die Ebene der Luftschicht nahezu durch den auf dem Tische markirten Mittelpunkt geht und die Streifen gleicher Newton'scher Farbe (Fig. 2) borizontal, d. h. senkrecht zum Collimatorspalt liegen (parallel gerichtet würden dieselben, wie leicht einzusehen, nicht brauchbare Resultate geben), und lasse mittelst des Colhmators ein vom Heliostatenspiegel reflectirtes Bündel paralleler Lichtstrahlen auffallen. Das an der ersten Fläche der vorderen und das von der zweiten der hinteren Platte reflectirte Lachtbundel wird abgeblendet, indem das Bild des farbigen Ringsystems von einem weissen, vor das Prismensystem aufgestellten Papierschirm aufgefangen wird, welcher einen 1, bis 1 mm breiten verticulen Spalt (a-a, Fig. 2 u. 3 bat. Den Schirm stellt man so, dass der Spall den mittleren elliptischen Fleck das Ringsystems (Fig. 3) nahezu halbirt. Hat man ein Streifensystem von der Gestalt der Fig. 2, so kann man mittelst des Spaltes immer dieselbe Stelle der Luftschicht untersuchen. In beiden Fällen erhält man im Fernrohr des Apparates ein Spectrum, das mit gekrümmten Interferenzstreifen (Fig. 4) durchzogen ist, welche ihre Convexitat nuch dem Violett zu haben. Man stellt die Spitze des Ocularmikrometers stets auf den verticalen, am meisten each dem Violett zu liegenden Theil des Streifens ein, welcher der dünnsten Stelle der Luftschicht entspricht. - Das beste Kriterium - emptindlicher als die Newton'sche Farbe - dafür, dass die untersuchte Stelle der Schicht an allen Punkten dieselbe Dicke hat, ist das, dass der mittlere Theil er Interferenzstreifen (Fig. 4) immer senkrecht, d. h. parallel den Fraunhofer'schen Linien bleibt, auch wenn man die Schicht um eine horizontale Axe dreht.

# 3. Spiegelglas.

Das Glas war eine ungeführ 4 mm dicke Platte von gut geschliffenem, in starken Schichten gelblich grün erscheinendem Spiegelglase, das vor 13 Jahren von einer Berliner

Handlung bezogen wurde. An der Kante eines Stückes der Platte wurde eine Fläche angeschliffen, welche mit der einen Fläche ein Prisma bildete, dessen Winkel 56° 6' 80 betrug. Aus den Minimalablenkungen ergaben sieh die Brechungsindices des Glases:

$$n B = 1.5269$$
  $u E = 1.5343$   
 $n C = 1.5280$   $u E = 1.5373$   
 $n D = 1.5807$   $u E_1 = 1.5431$ 

Schlift und Politur des Glases standen den Planparallelplatten der optischen Institute wenig nach; die beiden Fischen
der mehrere Quadratdecimeter grossen Platte waren schwach
wellenförmig und bildeten Winkel zwischen 1 und 3 Minuten. An einer ausgesichten Stelle wurde ein etwa 2 qum
grosses Stück herausgeschnitten und nach Reinigung der
Obertlächen auf dem grösseren Theile der staubfrei gemachten Platte unter schwachem Drucke soweit herumgeführt,
bis Furbenstreifen von der Gestalt der Fig. 2 erschienen:
an dieser Stelle wurde alsdann ein 2 bis 8 qum grosses
Stück herausgeschnitten, mit dem ersteren in der oben beschriebenen Weise vereinigt und die Luftschicht zwischen
beiden an der gleichmässig gefärbten dünnsten Stelle unter
sucht.

Die folgende Tab. I gibt die bei verschiedenen Einfallswinkeln α gemessenen Wellenlängen λ der Interferenzstreifen nebst ihrer Ordnungszahl m und darunter die aus diesen Zahlen nach der Formel:

$$d = \frac{m \, t}{2 \cos x}$$

d. h. unter der Voraussetzung, dass keine Phasenänderung stattfinde, berechnete Dicke d der Luftschicht an, und zwar für parallel zur Einfallsebene polarisirtes Licht. Die Winkel sind bis auf 20 Secunden genau, die Temperatur betrug 20° C. Die Einheit von λ und d ist das Milliontelmillimeter.

Tabelle I.

Luftschieht zwischen zwei l'latten des Glascs (1) ber + Licht.

- a	= 13" 31					
A + p10.7	619 (12) 8625	571 (13)	581 (14)			
		3522	3525	3×30	8531	3517
	± 50 °	\$19 (0)	140 /10.	446.11		
	511 (8) 3501	3799	3801			
nt.	= 55°					
	624 (7)					
1	38/19	35/11	3803	3801		
	≤ 55° 30°.					
F 1862	616 7)	534 (8)	479 (9)	432 10)		
	3108	3500	3805	3413		
	= 36%	F00 (3)	150 01	100 1		
4 (40)	5812 5812	3803	3503	3804		
	_ 56° 50,		-0.0	000		
	EXIO (T)		467 (9)	420 L01		
	3805			3503		
48	_ 57°.					
	594 (7)					
	3917		3525	8819		
	= 57 90.					
	587 (T) 1928					
	= 38 %	0.00		444		
	577 (7)	565 (K)	450 (9)	_		
	3811		3521	-		
44	= 54 °,					
4 (m)	382 7)	492 (8)	437 (9)	-		
· · ·	3814	3531	, 3418	-		
	= 60%					
6 ( (80) )	545 (7) 1815	477 (8)	424 (9)	_		
-	0.7	0.11	00.10			

Jede der gemessenen Zahlen \( \) ist das Mittel aus 5 Beobschtungen; für die Dicke \( d\) der Luftschicht ergibt die optische Messung in Anbetracht der Mängel des Präparates wen nahezu constanten Werth 3810 mmm; die Abweichungen innerhalb der Grenzen der Beobachtungsfehler; der beinste Werth ist 3799, der grösste 3836.

Die folgende Tab. Il entspricht genau der vorigen Tab. 1; we stellt dieselben Grössen für senkrecht zur Einfallsebene polarisirtes Licht dar. Für Emfallswinkel, kleiner als 55° und grösser als 60° findet keine erhebliche Veranderung in der Lage der Streifen statt, wenn man das Ocularnicol von der Stellung in die Stellung dreht.

Tabelle II.
Luftschicht zwischen den Platten des Glases (I be: 1 Lecht

Designation of the state of			
$\alpha = 55^{\circ}$ .			
2 (m) 630 (7)	549 (8)	480.9,	440 10)
d 3844	3880	3536	3835
or = 55° 30.			
2 (m) 624 (7) d 3873	545 (8) 3549	484 (9) 8845	436 (10) 3849
	3017	0.540	3049
$a = 58^{\circ}$ .	E 44 70.	4-5 433	
A (m) 622 (7) d 8548	541 (8) 3870	481 (9) 8871	_
a = 56° 80.			
1 (m) —	547 (9)	486 (9)	430 10
d -	8964	3.052	3596
er = 51°.			
λ (m)	584 8)	499 (9)	
d , -	4142	4123	-
a = 57° 80.			
λ' (m) -		503 (9)	-
d –	4213	4213	_
$a = 58^{\circ}$ .			
λ <sub>d</sub> (m) –	568 (5)	498 9)	-
	4297	4229	_
e = 59°.			
λ (m)	557 8) 4326	488 (9) 4264	_
a = 60 °.	4050	*20*	
	843 (8)	475 (9)	
λ <sub>d</sub> (m = _	4344	4277	_

Die Zahlen d' für die unter der Voraussetzung, das keine Phasenänderung stattfinde, berechnete Dicke der Luftschicht bieten also für senkrecht zur Einfallsebene polarisitetes Licht in der 6° umfassenden Umgebung des Polarisationswinkels sehr erhebliche Unterschiede, aowohl untereinanderals von den entsprechenden Zahlen für parallel polarisitete Licht (Tab. I) dar. Aus beiden Tabellen folgt daher, dass die Phasenänderung ganz vorzugsweise für senkrecht zur

Emfallsebene polarisirtes Licht eintritt, während sie für parallel polarisirtes entweder Null oder sehr gering ist. Um letzteres zu entscheiden, habe ich an einem vollkommeneren Präparate die folgenden Versuche angestellt.

## 4. Planparalleles Glas ID.

Eine quadratische Planparallelplatte mit sehr ebenen Plächen wurde durchschnitten und beide Theile in der ohen beschriebenen Weise aufeinander befestigt. Obwohl die Luftschacht zwischen beiden fast homogen gefärbt erschien, wurde sich nur stets ein und dieselbe Stelle derselben gemessen. Die Tabellen III und IV geben die Resultate für parallel, resp. senkrecht zur Einfallsebene polarisitetes Licht. Die Temperatur war 20° C., alle Zahlen haben dieselbe Bedeutung wie in Tab. I. und II.

# Tabelle III.

plannarallelen Glasplatten II. bei

ousement agreemen bruthatament	r catagination the per > 170gr
	a = 56°
3 2632 2637 2627 2629	A(m 587)5) 480 (6) 420 (7) — d 2624 2629 2620 —
w = 80°	a = 56° 30
(m) 589 (8) 504 (9) 455 (10)) — 3625 2619 2627 —	λ(m) 179 (5) 483 (6) — — — — — — — — — — — — — — — — — — —
v = 50°	o = 57°
1 565 (6) 483 (7) - ) - 1 - 1 - 1 - 1 - 1 - 1 - 1 - 1 -	λ(m) 573 (δ) 477 (6) — — — — — — — — — — — — — — — — — — —
$n = 52^{4}$	α ≈ 57° BO
d 3827 2086   -	\$\frac{1}{d} \begin{picture}(20,0) & 565 & (5) & 470 & (6) & & & & & & & & & & & & & & & & & & & & & & & & & & & & & & & & & & & & & & & & & & & & & & & & & & & & & & & & & & & & & & & & & & & & & & & & & & & & & & & & & & & & & & & & & & & & & & & & & & & & & & & & & & & & & & & & & & & & & & & & & & & & & & & & & & & & & & & & & & & & & & & & & & & & & & & & & & & & & & & & & & & & & & & & & & & & & & & & & & & & & & & & & & & & & & & & & & & & & & & & & & & & & & & & & & & & & & & & & & & & & & & & & & & & & & & & & & & & & & & & & & & & & & & & & & & & & & & & & & & & & & & & & & & & & & & & & & & & & & & & & & & & & & & & & & & & & & & & & & & & & & & & & & & & & & & & & & & & & & & & & & & & & & & & & & & &
= 52 30	a = 58°
### 840 (\$1588 (6)) — ]	A(m) 557 (5) 465 (6)
e = 55	$n = 59^{\circ}$
1 m 114 5 502 (8) 432 (7) - 2632 2626 2636 -	1(m) 540,5) 450,6)
v = 55 30	$a = 60^{\circ}$
5 4 (5) 496 (6 427 (7) — 5 2622 2627 2688 —	im) 525 (5 438 6)

Tabelle IV.

Luftschicht zwieschen den planparallelen Glasplatten (II) bei J. Licht-

$\alpha = 52^{\circ}$	1	$\alpha = 56^{\circ}$	90'	
1' (m) 850,5 (5) d' 2642	545 (6) 1' (		552 (6) 8000	469 (T) 2981
$a = 52^{\circ} 30^{\circ}$		$\alpha = 57^{\circ}$		
l 645 (5)   645 (1)   2651			558 (6) 3046	466 (7) 2995
$\alpha = 55^{\circ}$	i	$\alpha = 57^{43}$	301	
λ' (m)   622 (5)   d'   2711			550 (6) <b>3071</b>	463 (7) 8016
$\alpha = 55^{\circ} 80^{\circ}$		$\alpha = 58^{\circ}$		
1' (m)   629 (5)   2777			546 (6) + 8079	458 (7) 3025
$\alpha = 55^{\circ}40^{\circ}$		$a = 59^{\circ}$		
<sup>d</sup> , (m)	531 (6) \(\lambda'\) \(\lambda'\) \(\lambda'\) \(\lambda'\)		588 (6) 8105	447 (ĩ) 8041
$\alpha = 55^{\circ} 45^{\circ}$		$\alpha = 60^{\circ}$		
λ' (m)			521 (6) 3126	436 (7) 8052
$\alpha = 56^{\circ}$				
1'(m)   599 (6) d' 2892	468 (7) 2929			

Aus Tab. III geht hervor, dass für parallel zur Einfallsebene polarisirtes Licht für die Dicke d der Luftschicht sie in stets derselbe Werth ergibt, welchen Werth auch der Einfallswinkel haben möge. Die kleinen Verschiedenheiten der Zahlen d sind unregelmässig und liegen innerhalb der Grenzen der Beobachtungsfehler.

Dagegen zeigt Tab. IV, dass die Zahlen d' zwischen 52° und 60° die erheblichsten Unterschiede aufweisen. Wir müssen hieraus schliessen, dass nur die Reflection des senkrecht zur Einfallsebene polarisirten Lichtes unter Phasezänderung stattfindet, die des parallelen dagegen ohne merkliche Aenderung der Phase vor sich geht.

#### 5. Flussepath.

Zwei ungeführ 4 mm dicke Platten, von Hrn. Mechaniker Hänsch aus ganz wasserhellem Flussspath geschliffen, wurden aufeinander befestigt; die Luftschicht zwischen beiden zeigte im Apparat keine sehr deutlichen, zur Messung geeigneten Interferenzstreifen, hauptsächlich wohl infolge kleiner Risse im Inneren der anderen Platte. Dieselbe wurde deshalb durch eine Platte des Glases (1) — vom Brechungsindex n. D) = 1.5307 — ersetzt: die dünne Luftschicht zeigte jetzt bessere Streifen, deren Lage im Spectrum gut zu bestimmen war. Ich habe die Messungen nur für parallel zur Einfallsebene polarisites lacht ausgeführt, und zwar für drei verschiedene unt I, II, III bezeichnete) Dicken der Luftschicht. Die folgende Tab. V gibt die beim Einfallswinkel  $\alpha$  gemessenen Welfonlängen  $\lambda$  nebst der zugehörigen Ordnungszahl m und die aus der Formel  $2d = \lambda \cos \alpha$  (m) berechnete doppelte Dicke der Luftschicht an.

Tabelle V.

Luttsglacht zwischen Glass und Flassspathplatte bei \* Licht

71	131.51	80%	50	55*	58*	605	Temp.
1 1	547-3 1631	489 3 1694	544 (2) 11/42	156,27	459 2. 1709	426 2) 1704	54, C
H / (m)	35813 1511	320 31 1902	577 2) 1736	317 2) 1803	~	454 (9 1816	26 (
111 x 103 23	528 4) 2157	621 (8) 2151 467 (4) 2157	401 (8) 2152	619 (2) 2155	572 (2) 2159	598 (2) 2146	an C

Die Zahlen der vorigen 4 Tabellen haben gezeigt, dass paradel zur Einfallsebene polarisirtes Licht ohne Phasenhaderung am Glase reflectirt wird: eine jede der drei Reihen in Tah. V beweist, dass die Zuruckwerfung dieses Lichtes auch am Flussspath ohne Aenderung der Phase stattfindet. Wurde das Ocularnicol aus der Achten in die Stellung gedreht, so rückten bei Einfallswinkeln zwischen 54 und 57° die Interferenzstreifen nach dem violetten Ende des Spectrums anstatt wie beim Glase nach dem rothen, ein Beweis, dass ansere Flussspathplatte, wie wohl die meisten Varietäten dieses Minerals, negative Reflexion hatten.

#### 6. Jodsilber.

Die dunnen Schichten wurden durch schnelles Jodiren polirter Silberspiegel auf Glas bei Ausschluss wirksamen Lichtes hergestellt. Wenn die letzten Spuren von freiem Jod aus der gebildeten Jodsilberschicht entfernt sind, ist dies Jodsilber nicht mehr lichtempfindlich. Am leichtesten lassen sich homogene Schichten erzeugen, deren Dicke kleiner als zwei Welleplangen ist; die Herstellung dickerer ist schwieriger, beliebig dicker, wofern sie homogen und von ebenen Flächen begrenzt sein sollen, bei gewohnlicher Temperatur nicht möglich. Der Grund hiervon ist der, dass die zuerst gebildeten äusseren Schichten der Lamelle, welche von den Dämpfen des Jods durchdrungen werden, durch die später in grösserer Tiefe entstehenden gehoben und achliesslich infolge der geringen Cohasion, die das AgJ bei gewöhnlicher Temperatur hat, theilweise zertrümmert werden: durch ein gutes Mikroskop lassen sich die Hochebenen. Thåler und Klüfte sehr gut erkennen; dem unbewaffneten Auge erscheinen sie trübe.

Die folgenden Versuche beziehen sich auf zwei Jodsulberschichten, von denen die eine möglichst dick, die andere soweit dies in Rücksicht auf die Genauskeit der Messungen zulässig ist, möglichst dünn war. Die erstere, mit Jodsulber (1) bezeichnet, zeigte nach der prismatischen Zerlegung des reflectirten Lichtes fünf dunkle Interferenzstreifen, deren Ordnungszahlen 6, 7, 8, 9, 10 sind; die dünnere, mit (II) bezeichnet, von smaragdgrüner Farbe bei kleineren Einfallswinkeln, nur die Streifen von der Ordnung 3, 4, 5.

Bestimmt wurden für die Schicht (I) die Lagen zweier Streifen, nämlich der beiden (6) und (7); für die Schicht II nur der erste (3).

In den folgenden Tabellen bedeuten wie früher  $\lambda$  die beim Einfallswinkel  $\alpha$  für  $\mp$  und  $\bot$  zur Einfallsehene polarisirtes Licht gemessenen Wellenlängen, d die aus der Formel  $2d = m\lambda$  ( $n\cos\alpha_1$ ) berechoeten Dicken; in dieser ist m die Ordnungszahl, n der zu  $\lambda$  gehörige Brechungsindex des Jodsilbers,  $\alpha_1$  der mit dem Einfallswinkel  $\alpha$  durch die Glei-

chung  $\sin \alpha_1 = n \sin \alpha$  zusammenhängende Brechungswinkel. Die Brechungsindices des Jodsilbers sind der früher in von mir mitgetheilten Tafel entnommen.

Tabelle VI.

Joisiber (I), xwischen (ibis und
Luft, un reflectirten Lacht.

Tabelle VI<sub>b</sub>.

Jodsiber (1), xwitchen Glas and
Luft, im reflective Light

Steelfen m = 7

	STEERED IN THE					11911			
	12	4 4	2d =	24 1	##	A *	A -	2.7 ±	2d 1
18*51	P18	618	1726	1726	13151	510.5	540.5	1715	1715
30*	1.05	605	1719	1719	30"	534	534	1725	1725
45	365	584	1722	1715	24.35	1211	11%	1730	1723
66-	777	209	1717	1693	See.	513	50%	17.1	1705
651	1774	343	1721	14.79	680	511	503.5	17 (1)	1692
14	177.5	551	1730	1067	640	510	119.11	1700	1678
6 .	172	554	1718	1650	1550	SERN	4147	1723	1667
10.	570,5	550	1715	16/34	66"	\$200	491	1721	1656
3 7 4	103	547 .	1714	1029	Er ii	5009	433	1721	1658
143	1818	544,5	1715	1623	1.5°	507	491	1722	1646
70*	167	511	1713	1613	700	507	459	1723	1640

Tabelle VII.

Jodsilber (II), zwischen Glas und Luft, im reflecturen Licht.

Streifen m = 3.

a	A.*	41	2d +	211
_				-
137 51	602	605	5445	M/\$6
50 ( 4	300	599	H34	\$ 54°
501	17.5	57%	840	510
BEF P	565,5	555	840	818
.3	302	544	HSH	HU4
160	140	538	8703	7114
3.	560	531	жан	744
565 1	109	525	885	771
17.	5.48	519,5	884	763
8%1	5.56	514	1 9/3/5	754
700	134,3	0.09	585	744

Obwohl das Jodsilber das Licht sehr stark bricht - teine Brechungsindices liegen zwischen 2,1 und 2,5, so ist doch in den vorigen 3 Tabellen eine Phasenänderung für parallel zur Einfallsebene polarisirtes Licht nirgends erkennbar: in jeder sind die Zahlen unter  $(2d \pm)$  nahezu constant für die verschiedenen Einfallswinkel; ihre geringen Verschie-

<sup>11</sup> W. Wernicke, Sitzungsber d. Berl. Acad, 1876, p. 187,

denheiten lasson nichts Gesetzmässiges erkennen und sind ohne Zweifel Folgen von Ungenauigkeiten in der Messung der nicht sehr scharfen Streifen.

# 7 Kupferoxydul

Durch electrolytische Zersetzung alkalischer Kupferlösungen kann man, wie ich trüher<sup>1</sup>, gezeigt habe, auf Metalfplatten homogene Schichten von Kupferoxydul in behehiger Dicke erhalten. Von allen Methoden der Herstellung dunner Schichten dürfte diese die vollkommenste sein, denn da man durch Einschaltung eines Galvanometers, eines Rheostaten und hinreichend großer Widerstände die Stromstärke in der Gewalt hat, so kann man die den Körper bildenden Krafte vom ersten bis zum letzten Augenblicke constant halten, ist also sicher, dass die Oberfläche der Schicht keine andere Beschaffenheit hat als das Innere. Eine Oberflächenspannung z. B., wie sie bei geschmolzenen und erstarrten Körpern eintreten kann, ist hier ganz ausgeschlossen.

Obwohl die Brechungsexponenten des Kupferoxyduls zwischen 2.6 und 2.9 liegen, und die Absorption nicht ganz unbedeutend ist - Schichten von 1/1, mm Incke lassen nur noch rothes, von 2,10 mm kaum noch etwas hindurch -, so tindet doch ome bemerkbare Phasenanderung des unter kleinen Emfallswinkeln (nahe Null) reflectirten Lachtes nicht statt. I'm dies zu beweisen, brachte ich auf die zu untersuchende Schicht ein Tropfchen einer Lösung von Kautschuk in Schwefelkohlenstoff, legte auf dieses ein rochteckiges, 5 mm langes und 2 mm breites planparalleles Deckglas und stellte die Platte vor den Spalt des Spectrometers mit der früher3) beschriebenen Einrichtung. Die beiden an der Grenze von Cu,O-Luft und von Cu,O-Kautschuk-Schwefelkohlenstoff reflectirten Lichtbündel bilden nach der prismatischen Zerlegung zwei übereinander hegende, durch eine scharfe Linie getrennte, Streifen-ysteme, nicht die geringste gegenseitige Verschiebung der Streifen war bemerkbar. Dasselbe Resultat erhielt ich, als ich statt der stark brechenden Kautschuk-

<sup>1)</sup> W. Wernicke, Pogg Am 189, p 132, 1870.

<sup>2)</sup> W. Wernicke, Sitzungsber, d. Berl, Akad, 1878, p. 673.

anwandte. Diese Versuche beweisen, dass die Phase des an der Grenze von Kupferoxydul und einer der genannten 4 Substanzen reflectirten lächtes bei kleinen Einfallswinkeln dieselbe ist wie an der Grenze von Cu<sub>2</sub>O und Luft. — Bei einigen anderen Substanzen jedoch, z. B. aufgeschmolzenem Colophonium, erwärmtem Canadabalsam, nicht ganz reiner, namentlich läckmus röthender Gelatine, zeigte sich eine Verschiebung der Interferenzstreifen gegen das violette Ende des Spectrums hin, gleich als ob die von diesen Substanzen bedeckte Cu<sub>2</sub>O-Schicht ein wenig dünner geworden wäre. Dies letztere ist auch wirklich der Fall; denn durch Digestion mit Cu<sub>2</sub>O färben sich jene Substanzen deutlich grün oder bei alkalischer Reaction braun — ein Zeichen, dass Anflösung eingetreten ist.

Um die Untersuchungen der Phasenänderungen des unter beliebigen Einfallswinkeln reflectirten Lichtes möglichst emiach zu gestalten, ist es nothwendig, die dünne Schicht som Metall zu trennen. Die Trennung ist mir durch folgendes Verfahren gelungen. Ich giesse auf die der horizontal gelegten Metaliplatte fest anhaftende Schicht eine frisch bereitete Lösung reiner Gelatine (russischer Hausenblase), sodass dieselbe die Platte gleichmässig bedeckt, und lasse das Loungsmittel schnell bei gewöhnlicher Temperatur, am besten m Vacuum, verdunsten. Bald kann man die feste Gelatineschicht, nachdem man mit einem scharfen Messer oder durch Biegen der Platte an einer Stelle einen Sprung erzeugt hat, ganz oder grösstentheils vom Metall ablösen. Hierdurch gewant man eine Kupferoxydulschicht, welche auf der einen beite von Luft, auf der anderen von einer dünnen Gelatinewhicht begrenzt ist, welche also im durchgehenden wie im reflectirten Lichte, unabhängig von der Metalireflexion, offisch untersucht werden kann. Diese Mothode ist allgemein sawendbar auf metallische und nicht metallische Körper; sie ermöglicht überdies - was für die Bestimmung der Reflexionsconstanten von Bedeutung ist -, die Reflexion an der elben Stelle eines Spiegels in Berührung mit Glas und dann in Berührung mit Luft zu messen.

Die Brechungsindices des Cu<sub>2</sub>O habe ich ganz ähnlich wie die der dünnen Jodsilberschichten durch Messung der Lage der Interferenzminima verschieden dicker Lamellen und graphische Interpolation bestimmt. Tab. VIII gibt die Brechungsindices von der Wellenlänge  $\lambda = 686$  bis  $\lambda = 486$  an, wie sie der die Dispersionscurve des Kupferoxyduls darstellenden Curve in Tafel IV entnommen sind; in dieser bedeuten die Abscissen die Wellenlängen, die Ordinaten die Brechungsindices. Wenngleich der absolute Werth des Brechungsindex wahrscheinlich sehon in der dritten Decimale ungenau ist, so habe ich doch die Zahlen auf 4 Stellen angegeben, weil nämlich die Berechnung der Phasenänderungen nicht sowohl vom absoluten Werthe, als vielmehr von dem Quotienten zweier nicht weit auseinander liegender Brechungsexponenten abhängt.

Tabelle VIII.

Brechungsandices des Kupferoxyduls zwischen z = 686 und 486.

4	,b	À	ш	λ	п	£	#1
68II	2,6640	636	2,6814	386	2,70%9	536	2.7637
684	2,6845	631	2,6×26	584	2.7105	534	27:70
682	2,6651	632	2,6*35	582	2,7120	532	2,7705
680	2,6657	630	2,0546	580	2,7135	5 90	9,7749
67H	2,6663	628	2,6854	578	2,7152	524	27750
676	2,6670	626	2,6862	576	2,7170	526	2,7821
674	2,6676	624	2,6470	574	2,7188	524	2,7860
672	2,6683	622	2,6879	572	2,7205	522	2,7903
670	2,6689	620	2,6888	570	2,7224	520	2,7950
668	2,6096	618	2,0898	568	2,7243	518	27119
066	2,4703	616	2,4908	506	2,7,383	516	2,50345
9834	2.6710	614	2,6910	564	2,7283	514	2,8102
662	2,6717	612	2,5929	562	2.7305	512	2,8162
660	2 6725	610	2,6940	560	2,7326	510	9 49 7
658	2.6732	GUN	8,145-41	558	2,7848	508	2 42 44
618	2,6739	606	2,1.00	356	2,7371	506	2,8352
654	2,6746	604	2,6971	554	2,7395	304	2 4422
652	2,6754	602	2,4482	552	2,7418	502	2 5493
650	2,0761	GOU	2,19614	550	2.7442	500	2,5570
648	2,6170	598	2,7000	548	2,7167	198	2 5840
646	2.6778	596	2,7019	544	2,7492	496	2 5725
644	2,6786	594	2,7032	544	2,7518	494	2,8818
642	2,1794	592	2,7045	542	2,7547	492	2,5630
640	2,6402	390	2,7000	540	2,7575	490	2,44050
635	2,6810	558	2,7074	538	2,7505	485	2,9170

<sup>1)</sup> W. Wernicke, Monatsber, der Berl, Acad. 1876, p. 187

# 8. Acusacro Reflexion an Cu,O.

Mit Hülfe der vorigen Tabelle sind die doppelten Dicken 2d der Kupferoxydulschichten für die verschiedenen Einfallswinkel  $\alpha$  aus der Gleichung  $2d = m\lambda, n\cos\alpha_1$  berechnet, nachdem die Wellenlängen für parallel  $(\lambda \pm)$  und senkrecht zur Einfallsebene polarisirtes Licht  $(\lambda \pm)$  gemessen waren. Die Lamellen wurden hierzu mittelst Canadabalsam mit der Gelatineseite auf Glas gekittet und in der Mitte des Tisches des Spectrometers senkrecht zur Ebene der Collimator- und Fernrohraxe aufgestellt. Eine etwa 20 qmm grosse Lamelle, im Folgenden mit Cu<sub>2</sub>O (1) bezeichnet, zeigte zwei bei allen Einfallswinkeln zwischen 17° und 75° deutliche, zur Messung geeignete, Interferenzminima; Tab. IX stellt die Resultate für den weniger brechbaren Streifen m = 5), Tab. X für den folgenden (m = 6) dar.

## Tabelle IX.

#### Tabelle X.

Ca<sub>1</sub>O 11 awischen Luft und Gelatine im reflectirten Lichte.

m = 5.

Cu<sub>0</sub>() 1) gwischen Luft and Gelatine im reflectirten Lichte.

_	_	_		_					
41	A #	λL	2d #	ga L	α	1+	11	2d +	24 1
35*1h	036	636	1215	1215	35°18	544	544	1213	1213
45.1%	628,5	6,858	1214	1214	45 18	688,5	638.5	1211	1211
50 DK	825	624	1216	1218	50 18	536	535	1212	1208
5' 1h	010,5	613	1209	1195	55 18	538	530	1209	1198
60 1s	615	607	1207	1189	60 18	529	523	1203	1195
65 1h	611	599	1205	1177	65 18	528	520	1206	1181
15 44	610	100	120%	1165	67 48	527	515	1201	1165
69 1M	610	585	1207	1152	60 18	528	518	1202	1159
76 18	610	583	1209	1147	70 18	0.25	512	1201	1150
71 18	F11	591	1212	1143	71 18	0/24	510	1199	1143
72 15	203	578	1211	1137	72 18	524	508	1201	1187
75 IH	FXIH	375	1208	1128	73 18	524	507	1202	1134
75 18	104	571	1206	1122	75 18	523	505	1201	1128

Tab. XI und XII, genau wie die beiden vorigen eingerschtet, geben die entsprechenden Zahlen für zwei Interferenzminima m=8 und m=9 für eine andere, mit (II) bezeichnete Cu,O-Lamelle.

Tabelle XI.

Cu,O (II) zwischen Laft und Gelatine im reflectirten Lichte. w - 8.

Tabelle XII.

Cu,O (II) zwischen Luft und Gelatine im retlectuten Lichte-

m = 9.

					_				
48	1.4	2.1	24+	2d T	est	1+	2.1	24 +	28 1
17711	666	660	2012	2610	17011	594	594	2006	2(6)8)
25 18	658	E-S	2013	2013	25 18	591	591	2005	2028
35 15	455	1,55	2017	20007	35 18	587	597	1934	19969
45 18	650	0.50	2016	2016	45 15	583	583	25.616	2006
50 1s	647	0.00	2018	2015	50.18	551	540	2011	2000
55 18	648	640	2017	2006	35 18	579	577	2015	2016
60 1h	6.4.1	6 14	2016	1926	60 18	676	578	2015	2001
05 18	0.05	626	2013	1981	+5 18	574	.67	2016	1 (87
67 45	683	620	2012	1987	67 48	578	564	2014	1977
69 18	483	616	2010	1952	69 15	572	561	2010	1965
70 18	631	612	2600	1934	70 18	571	559	2011	torn
71 18	620	610	2007	1931	71 18	571	557	2010	14.8
72 18	828	6884	2005	1925	72 18	571	555	20013	1934
73 18	628	15115	2004	1916	78 18	570	553	2009	1 + + 2
75 18	1526	602	2001	1907	75 18	368	551	2007	1933

## 9. Innere Reflexion an Kupferoxydul.

Die Untersuchung der inneren Retlexion lässt sich be-Körpern von selbst nur mässigem Absorptionsvermögen nur durch die Methode der dünnen Schichten bewerkstelligen. jede andere versagt hier ganzlich.

Die planparallele Gelatinelamelle L, welche die Cu. () Schicht trägt, wurde mittelst Canadabalsam mit der Gelstineserte auf der Hypotenusenfläche eines rechtwinklig gleichschenkligen Crownglasprismus (Fig. 5) vorsichtig so betestigt, dass die neue Hypotenusenfläche von Cu.O parallel der Hypotenusentlache des Glases wurde. Ist 2 der Winkel zwischen dem durch die eine Kathetenfläche eintretenden unt dem aus der anderen austretenden Strahle, also der am Kreise des Spectrometers gemessene Winkel, r der Winkel zwischen dem Strahle innerhalb des Glases und der Normale der Kathetentläche, a der Brechungsindex des Prismas für ein bestimmtes \(\lambda\), so ist:

$$\sin r = \frac{\sin (\beta - 45)}{\mu}$$

and wie leight (Fig. 5) zu sehen, der Winkel zwischen dem Strahl im Prisma und der Normale der Kupferoxydulschicht, d. h. der Einfallswinkel von Glas in Kupferoxydul:

ist  $\beta < 45$ ', so ist r negativ.

Die Brechungsexponenten des Crownglases, des Canadalasms und der Gelatine sind durch das Minimum der Abnkung für verschiedene Linien bestimmt und in Tab. XIIIutgeführt.

Tabelle XIII.

	Brechungsindices								
	В	C.	D	E	F	G			
dasprisma .	1,5125	1,5134	1,5159	1,5191	1,5222	1,3278			
4. Analyzissun		-	1,5259	-	_	1,5420			
eralises	1,5295 (.4)	-	1,5854	_	1,5440	1,5521			

Von den bei der inneren Reflexion in Betracht komnenden Winkeln ist besonders der Austrittswinkel J, d. h. ier Winkel zwischen der Normale der Kupferoxydulschicht ind dem austretenden Strahle bemerkenswerth, weil er dem Einfallswinkel bei der äusseren Reflexion entspricht; er hängt mit dem Winkel  $\alpha$  durch die Gleichung sin  $J = \mu \sin \alpha$  zusammen, weil die Gelatineschicht von parallolen Ebenen beerenzt wird.

Die folgenden 4 Tabellen enthalten in der ersten Columne die am Kreise gemessenen Winkel  $\beta$ , in der zweiten die aus diesen berechnoten Austrittswinkel J, in der intten und vierten die am Ocularnikrometer für beide Licharten gemessenen Wellenlängen  $\lambda = \text{und } \lambda \perp \text{und in den beiden letzten die daraus berechneten Dicken <math>d$  der Schicht. — In der zweiten Columne beziehen sich die oberen Zahlen für lie Winkel J auf das parallel, die unteren auf das senkrecht mit Einfallsebene polarisirte Licht; die Unterschiede rühren von der Dispersion des Glasprismas her.

Tab. XIV und XV geben die Zahlen für zwei Interber-pzeumma m=5 und m=6 einer  $\operatorname{Cu}_2\operatorname{O-Schicht}$  (III), Tab. XVI und XVII für die Streifen m=8, m=9 einer auberen mit (IV) bezeichneten an.

# Tabelle XIV.

# Ca<sub>2</sub>O (III) zwischen Gelatine und Luft innere Reflexion).

m = 5.

# Tabelle XV.

Cu.O III zwischen Gelatme ( Lutt unnerv Reflexion)

n= 6

								_	_	
β	J	2+ 4	1 28	6 2d <u>1</u>	4		J	4.4	1	21/4
170 11	431 32	628 0	328 121	0 1210	170	11 43	146	587	537	1205
25 18	53 40	619 6	317 1200	8 1200	25	18 54	0	532	530	1203
27 4H	57 10	616 6	12 120	5 1196	27	45 57	39	529	527	1201
29 18	59 37	614 6	120	3 1198	29	18 - 59	5%	528	125	1201
80 18	G1 14.	618 6	120	6 1192	80	18 61	37	528	524	1203
81 18	62 67	612 6	304 1200	3,1187	31	18 63	21 21	527	322	1202
92 18	64 46	610 6	301 120	1 1180	32	18 65	11	527	521	12.4
83 18	68 39	610 0	95 120	5 1171	38	18 67	11	526	518	1200
84 18	68 44 W	608 5	92 120	2 1160	34	18 69	2.8	526	515	1204
85 18	71 7	607   5	82 120	4 1145	85	16   71		526	512	1206
85 48	72 13	807 5	81 120	B 1138	35	48 73	2	326	511	1207
36 18	78 83	607 8	577 120	7 1130	36	18 74		525	50H	1205
87 18	76 39 48	607 5	572 120	5 1125	37	18 77	au	523	503	1202
88 18	80 IA	607 5	689 120	9 1118	38	18 81	20 51	522	501	1195

# Tabelle XVI.

## Cu,O (IV) zwischen Gelatine und Luft (innere Reflexion).

# Tabelle XVII.

Cu.O IV: zwischen Gelatine u Luft (innere Reflexion:

			m = 8	3.						m) =	9.	
170	11"	43° 30	649	649	2007	2007	170	11	43° 38	583	388	2003
25	18	53 BH	642	641	2010	2004	25	18	58 4H	578	576	2007
27	48	57 14	640	637	2012	2001	27	48	57 25	577	574	2011
80	18	61 10	639		2018	1997	30	18	61 22	576	571	2015
32	48	65 38	637	628	2015	1990	32	48	65 51	575	568	2017
34	18	68 40	685	622	2019	1974	34	18	68 86	574	564,5	2021
35	18	70 67	682	614	2014	1948	25.	15	71 17	572	559	2018
35	48	72 11	680	609	2011	1933	35	48	72 33	571	557	2015
36	18	78 20	629	607	2007	1928	86	18	79 47	570	354	2013
36	48	74 55	629	605*	2004	"une.	37	48	75 82	569	354*	2009
87	18	76 20	627	601	2004	1917	31	19	76 40 77 1	388	550	Stelle
38	18	S0 10	625	598	2001	1905	38	18	80 15	ber	544	2008

In jeder der vorangehenden 4 Tabelien sind die Zahlen unter 2d = nahezu constant, für alle Austritiswinkel J bis 3, 81°, die unter 2d i haben die verschiedensten Werthe. De Unterschiede von die und die worden die Phasenunterschiede beider Lichtarten darstellen, wonn für alle ausseren Einfallswinkel J bis zu 81° bei der Retlexion an der Grenze von Cu.O und Gelatine keine merkliche Ditterenz der Phasen des parallel und senkrecht zur Einfallsebene polarisirten Lichtes stattfande. Einem Winkel J von 81° entspricht ein Einfallswinkel a von Glas in Cu.() von 40 30; jedonfalls durite also für eine Kupferoxydulschicht, welche beiderseitig von Gelatine begrenzt ist, die Lago der Interferenzstreifen im Spectrum eine Verschiedenheit für beide Lichtarten nicht zeigen, wenn der Einfallswinkel kleiper als 40° 30' ist. Um dies zu prüfen, habe ich auf die an der Hapotenusentläche des gleichschenkligen Crownglasprismas befestigte Schicht ein gleiches Prisma mit Canadabalsam aufgesetzt, sodass die Kunferoxydulschicht sich zwischen Gelatine und Canadabalsam befand, welcher bis auf die letzte Decimalstelle mit denen der Gelatine übereinstimmende Brechungsindices hatte.

Die Resultate der Messungen an zwei Interferenzstreifen m=4 und m=5 einer mit  $\|V\|$  bezeichneten Kupteroxydulschicht sind in den folgenden Tabellen XVIII und XIX zusammengestellt.

und
: 2d L
o paso
5 1955
1040
7 1047
h 103%
5 1032
7 1010
6 951
8 361
5 1 54
1 915
7 90
1 1 1 1 1 1 1 1 1 1 1 1 1 1 1 1 1 1 1 1

Die Zahlen der ersten 4 Reihen in jeder der beiden vorangehenden Tabellen zeigen, dass für Einfallswinkel a, kleiner als 45° 10′, keine merkliche Phasendifferenz bei der Reflexion an der Grenze von Cu<sub>2</sub>O und Gelatine stattfindet. Die Unterschiede in den Grössen 2d = und  $2d \perp$  der früheren 4 Tabellen XIV bis XVII rühren also von der Reflexion an der Luftgrenze her.

Alle Tabellen aber zeigen, dass auch für Kupferoxydul das parallel zur Einfallsebene polarisirte Licht ohne Phasen-anderung reflectirt wird, die Reflexion mag an der Grenze von Luft oder Gelatino oder Canadabalsam stattfinden, eine innere oder aussere sein.

# to. Bleisesquihydroxyd.

In Pogg. Ann. 139, p. 132, 1870 u. 141, p. 109, 1871 habe ich die Reindarstellung und Zusammensetzung einer Gruppe von Körpern beschrieben, welche vorzugsweise für die experimentelle Prüfung der Theorie der Lichtreflection geeignet erscheinen, nämlich die Superhydroxyde des Bleies, Mangans, Kobalta u. s. w. Durch electrolytische Zersetzung bestimmter Lösungen jener Metalle lassen sich homogene Schichten dieser Körper auf Metallplatten erhalten; nach den im Vorigen beschriebenen Methoden können dieselben ohne Schwierigkeit von der Metallplatte getrennt und im durchgehenden Lichte untersucht werden. Die Lichtabsorption ist in allen grösser als im Kupferoxydul, besonders im brechbareren Theile des Spectrums; die Interferenzstreifen, welche man nach der prismatischen Zerlegung des reflectirten Lichtes im Spectrum beobachtet, sind deswegen im Grün nur schwach, im Blau nicht mehr zu erkennen; aus diesem Grunde lassen sich die Brechungsindices für Grün und Blau nicht genau bestimmen.

Ich habe in den oben genannten Arbeiten ferner gezeigt, dass der electrolytische Wasserstoff in die Metalle Platin, Kupfer, Nickel, Neusilber eindringt, und wie man die Menge desselben dadurch bestimmen kann, dass man die Metallplatten in bestimmte Metallauflösungen bringt, welche auf die wasserstofffreien Platten nicht die geringste Wirkung

susuben, dieselben aber alsbald mit den Newton'schen Farben überziehen, wenn sie mit Wasserstoff bedeckt sind.

Der electrolytische Wasserstoff dringt nicht nur in iene Metalle, sondern auch in andere Substanzen ein und bringt m diesen chemische Wirkungen hervor. Lässt man denselben auf das Superhydroxyd dadurch einwirken, dass man den Strom eines Daniells, mit dessen Zinkeyhnder die auf Platin medergeschlagene Superhydroxydschicht, und dessen Kupferevlinder eine kleine Platin- oder Bleiplatte verbunden ist, durch reines Wasser schickt - oder einen noch schwächeren Strom durch natronhaltiges Wasser -, so wird das schwarze Superhydroxyd bald röthlich gelb, indem der electrolytische Wasserstoff sich mit einem Theile des Sauerstoffs im Superoxyd verbindet und eine neue Bleiverbindung bildet, welche ich Bleisesquihvdroxyd nenne. Demselben durch längere Einwirkung oder Verstärkung des Stromes mehr Sauerstoff zu entnehen, ist schwierig, weil es dann sofort metallisches Blei gibt; nur durch besondere Vorsichtsmassregeln gelingt die veitere Reduction; man erhält dann stets weisses Bleioxydbydrat, niemals wasserfreies gelbes Oxyd.

Diese einfache Methode der Herstellung lässt sich noch veiter vereinfachen:

- 1. Ist das Bleisuperhydroxyd auf Platin niedergeschlagen, so taucht man die Platinplatte in Wasser und stellt ein Zinkstäbchen hinein, welches das Metall an irgend einer Stelle berührt. In einigen Stunden ist das schwarze Superhydroxyd vollständig in gelbes Sesquihydroxyd verwandelt.
- 2. Hat man eine Superhydroxydschicht auf Neusilber, so verwandelt sich dieselbe unter Wasser scheinbar von selbst, in Wirklichkeit durch die zwischen Neusilber, Superoxyd und Wasser gebildete Kette, in Sesquihydroxyd.
- 3. Bei einiger Vorsicht kann man daher (siehe 2) dünne Schichten von reinem Sesqui hydroxyd auf Gelatineplatten einfach dadurch erhalten, dass man die Gelatinelösung auf die auf Neusilber (Nickel) niedergeschlagene Schicht des Superhydroxyds giesst, trocknen lässt und, wie vordem beschrieben, abzieht.

Auf diese Weise ist es mir gelungen, aus dem Bleisuperhydroxyd jene Verbindung zu erhalten, welche stets von constanter Zusammensetzung und überdies bestandig ist, so dass man selbst die dannsten Schichten, welche die Farben erster Ordnung zeigen. Jahre lang unverandert aufbewahren kann. Sie unterscheidet sich vom Superhydroxyd in ihrer Zusammensetzung dadurch, dass sie eine geringe Menge Sauerstoff weniger enthält, in optischer Beziehung aber hauptsachlich durch den für unseren nächsten Zweck gunstigen Umstand, dass sie die brechbareren Strahlen in erheblich geringerem Mansse absorbirt. Die Absorptionseurven beider Körper steigen vom Roth zum Violett allmählich und stetig an, die des Superhydroxyds schon ziemlich stark von E, die des Sesquihydroxyds erst von G im Violett.

Die Dispersionscurve des Bleisesquihydroxyds konnte wegen seines geringen Absorptionsvermögens wie die des Silberiodids und Kupferoxyduls ermittelt werden. Als Ausgangspunkt diente der Brechungsindex 1.9614 für die Wellenlänge 589, den ich durch Wägungen homogener Schichten des Superhydroxyds nach der früher beschriebenen Methode fur das letztere erhalten hatte. Durch Vergleichung der Interferenzspectra gleich dieker Schichten mit scharfer Trennungslime zeigt sich, dass die Brechungsexponenten des Sesquihydroxyds für Roth und Gelb nur wenig kleiner als die entsprechenden des Superhydroxyds sind; als wahrscheinlichster Werth für n(D. des Sesquihvdroxyds eigals sich 1.9492. Aus dieser Zahl bestimmte ich die Brechungsindices für die anderen Wellenlängen durch Messung der Interferenzstreifen einer grösseren Anzahl verschieden dicker Schichten und Construction der Dispersionscurve 1 Fig. 7

Obwohl die letzten Decimalstellen der Zahl 1,2492 unsicher sind, so habe ich doch nile Brechungsindices au 4 Stellen angegeben, weil die Genauigkeit der Curve dies zulässt und für die Berechnung der Phasenänderungen die Quotienten zweier naholiegender Zahlen mehr von Einfluss sind als die absoluten Werthe derselben.

In Tab. XX and die Brechungsindices des Bleisesquihydroxyds zwischen  $\lambda = 666$  und  $\lambda = 476$  zusammengestellt, ine zwischen je zwei in dieser Tabelle aufgeführten Zahlen hegenden können der Curve II in Fig. 7 entnommen werden.

Tabelle XX.

Brechungsundees des Bleisesquihydroxyds.

_			
à.	9	λ	19
46.6	1,9134	54.85	1,9632
4.78	1,0172	238	1,9708
5.48	1,9212	544	1,9777
1975	1,424	596	1 9853
~26	1,14,23411	326	1,9933
716	19347	516	2 0017
1906	1, 8350	500	2 0108
100	1.9452	4116	2,0200
100	1 500	458	2,0298
576	1,165000	476	2,0402

Bemerkenswerth ist, dass, obwohl der Körper an Metall chenso reich ist als Kupferoxydul, und obwohl sein specifiches Gewicht nicht kleiner ist, dennoch Brechung und Dispersion der Bleiverbindung so sehr viel geringer sind, ahrend die Starke und der Gang der Absorption des Lichtes im ganzen sichtbaren Spectrum wenig Verschiedenheiten arbuiten.

# 11 Accesere Reflexion am Bleisesquil vdroxyd,

The tolgenden Tabellen sind genau wie die entsprechenden für das Kupferoxydul eingerichtet, alles was dort über die Bedeutung, Messung und Berechnung der autgeführten Zahlen gesagt ist, gilt auch hier. Tib. XXI und XXII stellen die Resultate für die beiden laterferenzstreifen m=4 und m=5 einer unt (I) bezeichneten Schicht, Tab. XXIII für den Streifen m=4 einer anderen, mit [I], bezeichneten Schicht von Bleisesquihydroxyd dar.

Tabelle XXI.

Bleisesquiby droxyd 1 - zwischen I, uft und Gelatine im reflectizten Lacht.

## Tabelle XXII.

Bleisesquile droxyd 1) zwischen Luft and Gelatine im is di ctirten Licht

		DR 4						NA (2		
ćr.	4.4	A _	2d #	2d		ee	4 4	k -	24 +	24 _
17" 11	650	610	145)	1459	171	11	569,5	569,5	1461	1461
25 18	678	1479	1460	1.460	25	18	16.3	51.2	1465	1465
30 18	671	671	1463	1463	30	15	354	555	1402	14072
35 14	665,5	1455	1458	1458	35	18	154	554	1460	1460
40 18	(15)	0.60	1461	1481	40	18	550	550	1464	1454
45 18	1,53	653	1463	1463	45	18	50.	(446)	1467	1467
50 18	1,47	1515	1465	1457	See	1%	541	539	1 4 954	1457
55 18	140	6.46	1460	1436	55	16	585	333	1468	1457
57 48	+ 36	631	146+	1441	57	48	745	527	14hb	1447
60 18	+32	6.21	1467	1437	60	18	527	521	1464	1436
62 19	F 231,5	604	1466	13894	62	16	1-27	513	\$460	1407
52 48	627	590	1462	1382	62	48	526	507	1461	1397
1.3 3	626	State	1461	1375	63	8	528	504	1463	1 891
64 14	621	386	1466	1355	64	18	525	496	14661	LINE IS
65 18	623	550	1461	1333	65	15	528	492	1458	1350

#### Tabelle XXIII.

Bleisesquihydroxyd (II) zwiechen Luft und Gelatine im reflectirten Licht m = 4.

n	A. *	λ±	2d #	23 1
170 11	603	603	1236	1256
25 18	395	395	1260	1260
35 18	5369	588	1250	1239
45 18	579	578	1249	1265
50 18	574	571	1267	1279
55 15	569	564	1269	1256
57 48	565	559	1266	1249
€0 18	562	551	1265	12 -4
62 18	560	3/43	1283	1200
62 48	519	537	124-4	1199
63 18	538	585	1 2mile	1194
63 48	558	532	1267	1190
64 18	558	525	12m+	1179
65 18	556	524	1268	1171

# 12. Innere Reflexion an Bleizesquibydroxyd

In Bezug auf Anordnung und Ausführung der Versuche. Bedeutung und Berechnung der in den folgenden Tabellen aufgeführten Zahlen gilt das, was unter 9 bei der inneren Reflexion am Kupferoxydul gesagt ist. Tab. XXIV stellt die Resultate der Messungen eines Interferenzstreifens m = 4

für eine mit (III) bezeichnete Schicht, Tab. XXV für den Streifen m = 3 einer mit (IV bezeichneten, zwischen Gelatine und Canadahalsam betindlichen Schicht dar. In Bezug auf letztere gilt besonders das bei der Erklärung der Tab. XVIII Gesagte.

# Tabelle XXIV.

Bana (mily from fell) zwischen Gehr no und Luft

#### Tabelle XXV.

Bleisesquily Iroxyda W (2 wischen Gelitine and Canadabaisare in refres tirren-Lacht

	A9 \$			m 8.
4 J	* * L	2d + 2d ±	re re	x + x - 2d + 27 -
11 45 34 11 48 57 26 11 48 57 26 11 48 57 26 11 18 61 11 18 63 11 18 6	32 552 573 571 567 560 563 544 513 553 509	1258 1264 1276 1258 1272 1256 1274 1245 1273 1229 1272 1214 1275 1207 1274 1195 1270 1178 1271 1163 1273 1150	17' 12 27' 2 25 18 32 7 30 18 35 20 35 18 88 35 40 19 41 10 50 18 48 28 52 48 50 2 55 18 51 46 57 48 53 23 58 18 73 43 59 16 54 20 60 18 55 1 05 18 55 1 70 18 61 22	865 685 1113 1113 648 648 1112 1112 846 648 1111 1111 625 625 1113 1106 614 610 1114 115 605 614 610 1114 115 605 687 1125 1168 614 561 1126 1126 1126 1126 1126 1126 1126

Die ersten 4 Horizontalreihen der Tab. XXV zeigen, dass für Einfallswinkel  $\alpha$ , kleiner als 38°, das Licht an der Grenze von Bleisesquihydroxyd und Gelatine ohne merklichen Phasenunterschied des parallel und senkrecht zur Einfallsebene polarisirten Lichtes reflectirt wird. Die Differenzen der Zahlen  $2d \Rightarrow$  und  $2d \perp$  in den Tabellen XXI bis XXIV rühren also nur von den Phasenunterschieden des an der Luftgrenze reflectirten Lichtes her, da zu einem Einfallswinkel  $\alpha = 38$ ° von Glas (vom Brechungsindex 1,52) in Sesquisydroxyd ein Einfallswinkel J (aus Luft in denselben Korper, ton 63° 21° gehört.

# Resultate.

Aus den in den vorangehenden 12 Capiteln beschriebenen Versuchen, welche isotrope Körper von den verschiedensten Brechungsexponenten — von 1,4 (Flussspath) bis 2,9

Kupferoxyauli - umtassen, ergibt sien eine Anzahl von Filgerungen, von denen ich zunächst die folgenden hervortebe

- 1. Isotrope Körper von geringem Absorptionsvermögen Absorptionsvermögen Absorptionsvermögen Absorptionsvermögen Absorptionsvermögen Absorptionsvermögen Eintallseiten polarisitte Licht inter allen Eintallswinkeln ohne merkliche Aenderung der Phase, die Redexion mag eine aussere oder innere sein.
- 2. Die Phase des senkrecht zur Einfallsebene polarisirten Lichtes wird allein geändert.
- 3. Alle Theorien des Lichtes, welche den Sätzen 1 und 2 nicht entsprechen, sind unhaltbar

Berlin, im Mai 1883,

# VII Teber die electrische Leitungsjahigkeit der Mischungen von Wasser und Alkohol; von Emanuel Pfeiffer.

Vis den phys. Laboratori in der technischen Hochstellung zu Manchen i

Eine seit mehreren Monaten in Gang befindliche Experimentaluntersuchung, bei der ich mich mit der Ermittelung der electrischen Leitungsfähigkeiten von sehr schlecht leitenden Electrolyten zu befassen habe, veranlasste mich zur Construction eines Widerstandsgefässes von möglichst kleiner Widerstandscapacitat. Der Grund hierzu hegt in dem Umstande, dass ich mich bei den Widerstandsmessungen der bekannten Kohlrausch sehen Messmethode mit altermerenden Strömen bediente, bei der in der Brücke ein Electrodynamometer eingeschaltet ist. Da sich letzteres bekanntlich an Empfindlichkeit mit den Galvanometern nicht me-sen kann, so tritt bei Messung grösserer Widerstände der Uebelstand ein, dass dieselbe nicht mehr mit der nöthigen Schärfausgeführt werden kann. Die folglich wünschenswerthe Verkleinerung der zu ermittelnden Widerstände erreicht man durch Vergrösserung der Capacität des Widerstandsgefässes.

Das von mir benutzte Widerstandsgefüss war in folgen-

der Weine construirt (Fig. 8): Ich nahm 2 Glasröhren von ca. 3 und 3,6 cm ausserer Weite. Das engere Rohr wurde auf eine Länge von 13 cm auf der Aussenseite mit einem Platinblech umhüllt und letzteres durch 3 Platindrähte so lest auf die Röhre gebunden, dass eine Verschiebung oder Durchbiegung des Bleches nicht mehr möglich war. Das weitere Rohr wurde im Inneren ebenfalls auf eine Lange 10 13 cm mit einem Platinblech ausgekleidet. Um auch ber ihm eine etwaige Deformation oder Verschiebung unmoglich zu machen, wurde der Durchmesser des Platincylinters dem inneren Durchmesser der Glasröhre so genau als goglich gleich gemacht und dann die zusammenstossenden Satenkanten des Bleches in der Mitte und an beiden Enden mit Silber gelöthet. Sodann wurden die beiden Glasröhren so memander gesteckt, dass die äussere Platinbelegung P. for inneren Röhre R, und die innere Belegung P der ausseren Rohre R einander genau als concentrische Cylinderflächen genüber standen. Die weitere Fertigstellung des Gefässes prelanke ich der Geschicklichkeit des biesigen Glasbläsers. Hrn. Greiner. Die Robre R, wurde oben geschlossen und unten mit der Röhre R zusammengeschmolzen und eine hier auch unten angesetzte kurze Glasröhre in den schweren Messingfuss F eingekittet, um dom so über 30 cm hohen, schlanken Widerstandsgefüss die nöthige Stabihtät zu verschaffen. Die Glasröhre R wurde oben zu einem engeren Hills zusammengezogen und in diesen ein hohler Glasstöpsel G engeschlitten. Eine kleine Glasglocke II wurde in der aus er Figur ersichtlichen Weise über das geschlossene Gefäss gestalpt, um Staub und andere Verunreitigungen fernzuhalten, die bekanntlich bei manchen schlechtleitenden Electrolyten schr storend wirken. Die Stromzuleitung geschah durch die engeschmolzenen Platindrahte D und D., welche oberhalb der Binschmelzstelle durch ein Gummband B straff an die Röhre gedrückt wurden, um erstere zu schützen.

Ich gehe über zur Bestimmung der Widerstandscapacität des eben beschriebenen Gefässes. Unter den von Kohlrausch empfohlenen, zur Aichung von Gefässen besonders

ti P Kohlrausch, Wied Ann S. p. 49, 1879.

geeigneten Electrolyten wäre wohl Essig-aure wegen ihres grossen specifischen Leitungswiderstandes am vortheilhaftesten gewesen. Weil ich aber dieselbe nicht in der wunschenswerthen Reinheit besass, so wählte ich als Normaliosungen Zinkvitriollosung vom specifischen Gewicht 1,255 und Bittersalzlösung vom specifischen Gewicht 1,157. Mit diesen hess sich aber un Capacität obigen Gefässes nicht direct bestimmen, in is sein die Widerstände zu gering gewesen sären, in ich genau ermitteln zu lassen. Der Wissestande ihre Normalzinkvitriollösung wäre z. B. in meinem tich sie 18° ca. 0,07 Q.-E.

to a musste auf einem Umwege zum Ziele zu kommen weinen; dies geschah in folgender Weise: Es wurden zwei von Kohlrausch?) angegebene Widerstandsgefässe von grösserer und kleinerer Capacität in Anwendung gebracht. Die beiden Normallösungen wurden zunächst im ersten Gefüss untersucht; die Capacität desselben ergab sich:

> bei Zinkvitriollösung k = 0.001114, bei Bittersalzlösung = 0.001106, also im Mittel = 0.001110.

Ich bemerke hierbei nebenher, dass ich vom Zinkvitriol zwei verschiedene Lösungen herstellte. Einmal wurde käuflicher, ehemisch reiner Zinkvitriol einigemal umkrystallisirt und dann sofort zur Lösung verwendet, das andere mal wurde er nach den Vorschriften von v. Beetz mit Zinkcarbonat gekocht und ebenfalls umkrystallisirt. Im letzteren Fall erhielt ich für das grosse Gestiss die obige Capacität 0.001 114.

im ersteren die Capacität: 0,001 110.

Der Unterschied zwischen beiden ist also fast unmerklich, was für die Reinheit der von mir angewandten Substanzen spricht. Der obige Mittelwerth für die t'apacität des grossen Gefässes wurde nun dazu verwandt, um die Leitungsfähigkeit einer nicht ganz reinen Essigsäure zu ermitteln: dieselbe war bei 16°:

 $\lambda_{1d} = 0.000\,000\,155\,2$ 

ti l. e. p. 49

<sup>2)</sup> L e Tail L Fig. 2 and 3,

and bei einem späteren Versuche:

 $\lambda_{14} = 0.00000001555$ .

Mit Hulfe dieser nun bekannten Leutungsfähigkeit der Essigsäurelösung wurde die Capacität des zweiten, kleineren Gefässes bestimmt und ergab:

 $k_1 = 0.00001603$ .

In diesem Gefäss hess sich nun ein noch schlechter leitender Electrolyt, eine ganz verdünnte Kochsalzlösung untersuchen von der Leitungsfähigkeit:

 $\lambda_{14} = 87.71 \times 10^{-10}$ .

Diese Lösung nun wurde zur Ermittelung der Capacität meines Gefässes angewandt, für das ich bei zwei verschiedenen Versuchen fand:

 $k_{\rm s} \cdot 10^{10} = 3305$  und = 3302, im Mittel = 3303.

Diese Capacität wurde ein für alle mal mit 1010 multiplicirt und sind also auch alle in Zukunft anzuführenden Leitungsfähigkeiten in diesem Verhältniss vergrössert.

Bevor ich zur Angabe der von mir erlangten Resultate gehe, muss ich noch einige Bemerkungen vorausschicken. Die Widerstandsbestimmungen wurden, wie ich bereits eingangs erwähnte, nach der Kohlrausch'schen Methode durchgeführt. Ich hatte ebenso wie bei einer früher in diesen Berichten!) erschienenen Abhandlung einen Sinusinductor? und ein Dynamometer3), beide von Kohlrausch construirt, in Verwendung. Die Widerstände wurden wie dort mit einer grossen Siemens'schen Brücke bestimmt.

Da ich vielfach mit reinem Wasser zu thun hatte, so wurden die Bleche meines Widerstandsgefässes nicht platinirt, da die Platinirung die Reinhaltung der Electroden erschwert, umsomehr, als bei der beträchtlichen Grösse meiner Electroden die Möglichkeit der Unmerkharmachung der Polariation auch ohne dieses Hülfsmittel vorauszusehen war. Inwieweit dies eintraf, illustrire ich am besten durch die nachfolgende kleine Tabelle, in der in der ersten Reihe

<sup>1)</sup> Pfeiffer, Sitzungsber, d. k. b. Akad, d. Wiss. 2. p. 293, 1884.

<sup>2)</sup> F Kohlrausch, Pogg. Ann. Jubelbd. p. 292, 1874.

<sup>3)</sup> F. Kohlrausch, Wied. Ann. 15, p. 556, 1882.

verschiedene Tourenzahlen des Inductors, in der zweiten die mit denselben gefundenen Widerstande einer Mischung von Alkohol und Wasser, mit einem Alkoholgehalt von ca. 88 Gewichtsprocenten bei genau constanter Temperatur aufgeführt werden:

Tabelle L.

T us mail pro Sec.	Widerstand in Q. E.
90	1164,0
103	1163.5
110	1163,4

Bei einer Tourenzahl über 100 sind also die Widerstände von derselben unabhängig, welche Zahl bei meinen Versuchen immer beträchtlich über-chritten war.

Bei der bekannten starken Beeinflussung der Leitungsfähigkeit des Wassers durch minimale Verunreinigungen die sich auch bei den Mischungen von Wasser und Alkohol zeigte, musste ich Vorkehrungen treffen, die mir Gewissheit gaben, dass sich während der einige Wochen dauernden Versuche die Leitungsfähigkeiten der Bestandtheile, aus denen die Mischungen bereitet wurden, nicht merklich gefindert habe. Dies geschah, indem Wasser und Alkohol in Gefässez verwendet wurden, in denen sie seit Jahren nur im reinstet Zustand aufbewahrt worden waren. Ich hatte mich durch lange Versuchsreihen überzeugt, dass durch die Aufbewahrung an sich, sowie durch die Manipulationen des Umgiessens u. s. w. die Leitungsfähigkeiten nicht alterirt wurden

Bei Durchsicht der Litteratur fand ich nur einzelne auf mein Thema bezügliche Angaben.

Zunächst erwähne ich eine Stelle einer Abhandlung Herwig's '), in der er gelegentlich die Leitungsfahigkeit son Wasser, Alkohol und zwei Gemischen aus beiden untersucht, aber zu grosse Zahlen erhält.

Said Effendi<sup>2</sup>) schätzte sehr approximativ das Verhältniss der Leitungsfähigkeit des Alkohols zu der des Wassers und fand für dasseibe den Werth 0,0049.

<sup>1</sup> Horwig, Pogg. Ann. 159, p. 65, 1876,

<sup>2)</sup> Said Effendi, Compt. rend. 48, p. 1505, 1869.

Nach einer anderen Methode findet Oberbeck<sup>1</sup>) für dieses Verhaltmiss die Zahl 0,14.

Kohlrausch hat nun in seiner Arbeit "uber die electusche Leitungsfähigkeit des Wassers und einiger anderer chlechter Leiter", einiges Licht in diese widersprechenden Angaben gebracht. Er fand für absoluten Alkohol die Leitungsfähigkeiten 0,3 bis 0,5, für käuflichen absoluten Alkohol 1,8 bis 2,0, was mit den von mit erhaltenen Zahlen, wie aus den spateren Tabellen ersichtlich, gut übereinstimmt. Weiter fand er, dass das Leitungsvermögen von Wasser iste h geringen Alkoholzusatz sich von 5,2 auf 5,6 erhohte, sprach jedoch die Möglichkeit aus, dass die Erhohung auch ion Nebenumständen herruhren könne. In der That stimmt die Beobachtung qualitätiv mit den meinigen überein.

Wenn ich nun zur Darstellung meiner Resultate übergehe, so muss ich zunächst auf die Herstellung und Bestummung der Mischungen eingehen. Unter Procentgehalt ist in Zukanst immer der Gehalt in Gewichtsprocenten verstanden. Der Gehalt der Lösungen an Alkohol wurde aus bem specifischen Gewicht derselben mit Hülfe der Tabellen von Mondelejeff'i bestimmt. Die Ermittelung der specitochen Gewichte geschah mittelst eines Pyknometers. Die chenerwähnten Tabellen enthalten das specifische Gewicht der Lösungen bei 15° bezogen auf Wasser von 15° als Ein-Lett. Auf obige Temperatur musste ich meine Wagungen tezichen. Da letztere immer bei nahe 15° ausgeführt wurden, so genügte mir eine annähernde Kenntniss der cubischen Ausdehnung der Lösungen zur Bestimmung der kleinen Correctionsgrosse. Sie wurde ebenfalls aus den Landolt'schen Tabellen') entnommen, indem aus den Zahlen Recknagel's cine Curve über den Verlauf des Ausdehnungscoefficienten to seiner Abhängigkeit vom Procentgehalt construirt wurde.

Die in den nachfolgenden Tabellen enthaltenen Zahlen für die Leitungsfäligkeit sind aus zwei getrennten Versuchs-

<sup>1)</sup> Oberbeck, Pogg. Ann. 155, p. 601, 1875.

<sup>2.</sup> Kohlrausch, P. ag Ann, Ergzbil, S. p. 12 1876.

<sup>3)</sup> Landoit a. Rornstein, phys. chem. Tab. p. 151.

<sup>41</sup> l c. p. 63.

reihen combinirt; indem einmal von Wasser zu höheren Gehalten aufwärts, das andere mal vom absoluten Aikohol zu geringeren Gehalten vorgeschritten wurde. Unter absolutem Alkohol verstehe ich den Alkohol, wie wir ihn als röllig cein aus der chemischen Fabrik von Perutz dahier beziehen. Eine specifische Gewichtsbestimmung ergab den Gehalt desselben an Alkohol in Gewichtsprocenten zu 99.28 Proc. Die Leitungsfähigkeit bei 15° war ca. 2.4, während Kohlrausch wohl auch bei Zimmertemperatur 1,8 bis 2,0 findet. Wie ein Blick auf die später zu beschreibenden Figuren zeigt, fällt die Curve der Leitungsfühigkeit mit abnehmendem Wassergehalt schnell ab, und ist also die Differenz durch einen geringen Unterschied der beiden Alkohole im Wassergehalt leicht zu erklären. Da ferner Kohlrausch die Leitungsfähigkeit des wasserfreien Alkohols zu 0,3 bis 0,5 fand, so konnte ich auf die weitere Verfolgung der ganz concentrirten Lösungen verzichten und nehme obigen 99,28 procent, Alkohol als Ausgangspunkt für die verdünnteren Lösungen.

. Tabelle II.

J	p	λ	t	AL	$\ell_{\rm k}$
ı	0	1,355	0,68	1,975	13,62
0,99805	2,14	1,378	0.46	2,077	14,54
0.99682	5,24	1,400	0,64	2.195	14,40
0.08598	8,50	1,385	0,74	2,174	14,13
0,97895	13,96	1,332	0.76	1,901	11.46
0,66×3×	22,60	1,190	0,40	2,175	15 ×4
U.565×02	26,52	1,160	0,59	1.940	12 54
0.05542	31,19	1.152	0.63	2.222	16,30
0.92873	45,98	1,256	0,72	2,045	12 61
0,91320	52,49	1,873	0.91	2.410	15,60
0 8 1102	62,20	1,515	0.53	2,542	15,48
0.88078	62,31	1,579	0.80	2,556	14,89
0.57308	69,45	1,727	0.85	2,724	15 46
0.56526	78,12	1,763	0,67	2,792	15,83
0.45572	77,09	1,938	0.93	2,591	11,13
0.84039	83,37	2,039	0,72	2,920	16 12
0,52945	97,50	2,004	0,78	2,760	14 64
0,54831	91,78	1,1005	0,84	2,662	14 74
0.80860	95 94	1,1006	1.20	2 574	18 43
0,79856	09.28	1,597	1,03	2,419	13,22

In vorstehender Tabelle II sind die direct erhaltenen Beobachtungsresultate zusammengestellt. Die Columne J enthält die specifischen Gewichte der Lösungen bei 15° bezogen auf Wasser von 15°, die Columne p die Gewichtsprocente, die Columne  $\lambda$  die Leitungsfähigkeiten bei der niedrigeren Temperatur  $\ell$ , die  $\lambda_1$  dasselbe bei der höheren Temperatur  $\ell$ ,

Für die meisten obigen Lösungen batte ich auch noch die Leitungsfähigkeiten für zwei oder drei Zwischentemperaturen bestimmt, und es wurde dabei constatirt, dues die Leitungsfähigkeit nicht genau dem Temperaturzuwachs proportional ist.

Durch folgende Gleichungen wurde dann die Abhängigkeit der Leitungsfähigkeit von der Temperatur ermittelt.

$$\lambda_t = \lambda_t (1 + \alpha t + \beta t^2)$$
  
$$\lambda_t = \lambda_0 (1 + \alpha t_1 + \beta t_1^2).$$

Hier sind o. t und  $t_1$  die Temperaturen der Lösungen,  $\lambda_r$ ,  $\lambda_t$  und  $\lambda_t$  die zugehörigen Leitungsfähigkeiten. Hieraus wurden jedesmal die Coëfficienten a und  $\beta$  ermittelt. Weitere beobachtete Leitungsvermögen stimmten mit den hieraus berechneten meist sehr gut überein, wie folgendes Beispiel zeigen möge.

Par den Procentgehalt 91,78 Proc. fand sich:

$$t = 7.53$$
  $\lambda_t = 2.300$   
 $\ell_t = 14.74$   $\lambda_t = 2.662$ .

In der Nähe von 0° war gefunden  $\lambda_{0,94} = 1,985$  und hieraus durch lineare Interpolation mit  $\lambda_t$ :  $\lambda_n = 1,925$ ; daraus ergab sich  $\alpha = 0.02880$ ,  $\beta = 0,000149$ .

Eine weitere Leitungsfähigkeit ergab sich direct als:

$$\lambda_{1104} = 2.462$$
, berechnet = 2.461.

Ich habe die Zahlen für die Mitteltemperaturen und die Werthe von a und  $\beta$  nicht angegeben, sondern später die Temperaturcoëfficienten nur mit Hülfe der zwei äussersten angegebenen Temperaturen linear berechnet. Der Coöfficient  $\beta$  zeigt wohl wegen seiner Kleinheit und der daraus entspringenden Ungenauigkeit so starke Schwankungen, dass keine Gesetzmässigkeit zu erkennen war. Nur soviel will sch erwähnen: Derselbe ist für mein reines Wasser negativ, zeht dann bei ganz schwachem Alkoholgehalt durch o hinturch und ist für alle beobachteten Lösungen positiv.

Während also die Leitungsfähigkeit meines reinen Wassers langsamer, als der Proportionalität mit der Temperaturzunahme entsprache, anwachst, findet bei sammtlichen alkoholischen Lösungen ein beschleunigtes Wachsthum statt.

Aus obiger Tabello wurden nun die Leitungsfähigkeiter für genau 0 und 15' berechnet. Dies geschah, wenn die beobachteten Temperaturen nicht zu weit von 0 und 15 abligen, durch lineure Interpolation, bei grosseren Intervallen wurden die Coefficienten  $\alpha$  und  $\beta$  zur Berechnung herangezogen. In der Tab. III. in welcher die Columne p wiede; die Procentgehalte bezeichnet, sind die Ergebnisse zusammengestellt. Die Columne  $\beta\lambda$  enthält die mittlere Zunnhim des Leitungsvermögens pro Grad innerhalb der beobachteten Grenzen. In der Columne  $\alpha$  ist der Temperatureoefficient enthalten, wie er aus den 2 Grenztemperaturen i und 0 durch die Gieichung folgt:

$$\lambda_i = \lambda_i (1 + \alpha_i t).$$

α, ist also die mittlere Zunahme der Leitungsfähigkeit pro-Grad zwischen 0 und 15° dividirt durch λ...

Tabelle III.

p	Aij	A1.0	JA	116
1)	1.323	2.025	0,6474	(1036)
2,14	1,338	2,100	0,04 9 4	(3,02 3,3)
5,24	1,363	2,30	Dan 77	Q1,01423 C
9.50	1,991	5 55 1	0,0589	01-154
13 16	1,384	2,20%	0.0617	0.0451
2200	1,138	2.120	(5,0655)	01-16
24,52	1.100	2 - 78	(1,(1),24	स्थाना सु
31,18	1,109	2.173	0,0680 ,	0 ex et 3
45.3%	1,250	2,324	0,0864	Outside
52.49	1,509	2.368	6,0708	0,0539
Ramin	1,47%	2, 12	0,5859	0.04666
£231	1,723	2. 1954	0,000	0,037.5
6.0%	1,009	2 (182	11/46%2	0.6409
	1,715	2,784	0,0675	(F (1959))
	1,874	2 533	ELIEN EO	(),45-41
	T,Smb,	2,536	0,4172	(1) 24)
চন কম	1,964	2.779	0,0548 >	0,0276
	1,923	2 573	LLOS EL	0.0253
	1,914	5-45	(11)4-[6]	() +( 3.5.0
99,28	1,85%	2,411	11,U395H	0,0198
52.40 62,30 62.31 63.55 74,12 77.09 83.37	1,009 1,478 1,523 1,009 1,715 1,879 1,984 1,984 1,923 1,914	2.368 2.13 2.65 2.62 2.734 2.739 4.758 2.779 1.2775	0,0708 0,0889 0,087 0,0878 0,0078 0,0178 0,0188 1,0518 1,0514	0,0539 0.0005 0,037; 0.0309 0,0541 0.055; 0,0276 0.0276

In Fig. 9 sind auf Grund dieser Tabelle 2 Curven construirt, die die Leitungsfähigkeiten  $\lambda_0$  und  $\lambda_{16}$  als Function es Alkoholgehaltes der Lösung darstellen. Dieselben haben teo gleichen eigenthümlichen Verlauf, dass sie zwei Maxima and ein Minimum besitzen. In Fig. 10 ist ebenso die Abhängigkeit des Temperaturcoëssienten  $\alpha_0$  vom Aikoholgehalt graphisch dargestellt. Letztere Curve zeigt im Gegensatz zu den beiden ersten eine grosse Einfachheit, indem sie in der Nähe von 30 Proc. ein Maximum hat, das mit dem Minimum ler beiden Curven sür die Leitungssähigkeit zusammenzutallen scheint. — Dieselbe Coincidenz des Minimums der Leitungssähigkeit mit dem Maximum des Temperaturcoessiscenten sand auch Kohlrausch!) für Schweselsäure.

Zum Zwecke der weiteren Discussion der vorliegenden Thatsachen mochte ich vorausschicken, dass in neuerer Zeit \*kanntlich vielfach die electrische Leitungsfähigkeit mit der Reibung in Beziehung gebracht worden ist, welche bei der arch den Strom hervorgebrachten gegenseitigen Verschieung der Theile des Electrolyten auftritt. Von G. Wiedemann2) wurde zuerst eine derartige Beziehung aufgestellt. Err omige wässerige Salzlösungen fand er innerhalb gewisser Grenzen die Beziehung bestätigt, dass die Leitungsfähigkeit dem Salzgehalt der Losung p direct und dem Reibungsoefficienten a verkehrt proportional ist. Später hat sich ins-'condere Grotrian') mit dem Zusammenhang zwischen Leitagsfahigkeit und Reibungscoofficienten befasst und namentch die Analogie zwischen dem Verlauf der Temperaturcoefficienten beider Grössen gezeigt. Kohlrausch's wies saf die Wichtigkeit der verdünnten Losungen hin, bei denen sch die mechanischen Vorgänge um einfachsten und überschtlichsten gestalten. Schliesslich möchte ich noch der Arbeit von C. Stephan F Erwähnung thun, der eine Reihe

<sup>1</sup> F. Kohlrausch, Sitzungsber, d. k. baie Acad. d. Wuss. 1875, p. 294,

<sup>2</sup> G. Wiedemann, Pogg. Ann. 99, p. 228, 1856.

<sup>3)</sup> Geotrian, Pogg Ann. 157, p. 130, 237, 1876 u. Pogg. Ann. 160, p. 238, 1477.

<sup>4.</sup> F. Kohlrausch, Wied. Ann. 6. p. 151, 1879,

<sup>5)</sup> C. Stephan, Wied Ann. 17, p. 673, 1882.

verdünnter Salzlösungen hinsichtlich obiger 2 Grössen untersucht und dabei als Lösungsmittel Mischungen aus Wasser und Alkohol benutzt. Er findet folgende Beziehung: Wenn er Leitungsfähigkeit und Reibungscoefficient einer verdünnten alkoholisch-wässerigen Lösung bei constanter Temperatur mit  $\lambda$  und  $\eta$ , die gleichen Grössen für wässerige Lösung mit A und H bezeichnet, dann nähert sich der Ausdruck:

 $q = \frac{AH}{A+1}$ 

mit zunehmender Verdünnung einer Constanten, die von dem gelösten Salz unabhängig ist und nur in Beziehung steht zum Alkoholgehalt der Lösung. Die Constante q ist bis zum Maximum der inneren Reibung (bei 46 Gewichtsprocenten) der Mischungen von Wasser und Alkohol sehr nahe = 1; wird dann mit zunehmendem Alkoholgehalt grösser und grösser. Bei den wasserreicheren Lösungen bis herauf zum Gehalt maximaler, innerer Reibung ist also:

$$\lambda = \frac{c}{\hbar},$$

oder: bei constanter Temperatur sind unter obiger Bedingung Leitungsfähigkeit und Reibungscoefficient einander verkehrt proportional. Diese Gleichung möchte ich nun au E den mir vorliegenden Fall anwenden.

Es ist bekannt, dass die Leitungsfähigkeit sehr reine De Wassers der in demselben enthaltenen Verunreinigung nahe proportional ist. Unter Verunreinigung verstehe ich etwa die Zahl der in 100 g Wasser enthaltenen, electrolysirbaren Molecüle und bezeichne sie mit a. Falls obige Proportionalität genau stattfindet, ist Wasser ein Isolator, was wohl ziemlich viel Wahrscheinlichkeit hat. Ich will nun für einen Augenblick annehmen, dass auch die Mischungen von Wasser und Alkohol Isolatoren sind, und dass auch hier die Leitungsfähigkeit proportional der Verunreinigung zunimmt, was sich bei meinen Versuchen nahe bestätigte. Dann kann ich den obigen Satz, der sich auf den Fall verdünnter Lösungen bezieht, auch bei meinen Lösungen annehmen. Bezeichne ich analog

der Bedeutung der Zahl a für reines Wasser mit b die Verunreinigung des von mir angewandten Alkohols, dann ist die Verunreinigung einer Mischung von p Gewichtsprocenten Alkohol:

$$= \frac{a(100 + p)}{100} + \frac{b \cdot t}{100} = a + p \cdot \frac{b - a}{100}.$$

Dieser Ausdruck ist der obigen Beziehung (1) noch als Factor hinzuzufügen, um auch der Grösse der Verunreinigung Rechnung zu tragen.

Dann erhalte ich.

$$\lambda = \frac{c_1 \cdot 1 + c_2 \, p}{\epsilon} \text{ oder } \lambda \cdot \epsilon = c_1 \cdot 1 + c_2 \, p \ .$$

Mst Worten: Falls obige Annahmen richtig sind, dann muss, venn ich für eine Reihe von Mischungen die Producte \(\lambda.\eta\) bei constanter Temperatur hilde und dieselben in ein Coordinatennetz als Ordinaten mit p als Abscissen eintrage, innertalb der Gehalte 0° und 46 Proc. eine Gerade entstehen. Die Moglichkeit, diese Curve zu construiren, liegt nun in der That für die Temperatur 10° vor, für welche Poiseuille¹) die Reibungscoefficienten einer Auzahl Mischungen von Wasser und Alkohol bestimmt hat. Der Gang der Reibungscoefficienten ist ein einfacher: bei 46° Gewichtsproc., dem Maximum der Contraction, tritt auch ein Maximum der inneren Reibung ein, von hier aus nimmt dieselbe nach geringeren und stärkeren Concentrationsgraden stetig ab. In Fig. 10 ist die Curve mit der Bezeichnung \(\lambda.\text{\text{ij}}\) gezeichnet, um zu zeigen, dass sie erheblich von einer Geraden abweicht.

Schon diese Thatsache deutet darauf hin, dass die Annahme, auf die wir bei obiger Betrachtung fussten, nicht richtig ist, nämlich, dass die Mischungen von Wasser und Alkohol Isolatoren sind.

Dass es in der That speciell die Mischung beider Flüssigkeiten ist, die die Leitungsfähigkeit modificirt, sieht man deutlich, wenn man für die Alkoholgehalte, die den drei ingulären Punkten der Leitungsfähigkeitscurve entsprechen, ausrechnet, in welchem Zahlenverhältniss die Wasser- und

Alkoholmolecüle zu einander stehen. Für das erste Maximum lässt sich wegen der starken Verdünnung ein bestimmtes Zahlenverhältniss nicht angeben. Das Minimum fällt ungefähr auf 30 Proc. Ziemlich genau auf die Stelle fällt der Gehalt einer Mischung aus einem Molecul Alkohol und 6 Molecülen Wasser, nämlich auf 29,9 Proc. Noch auffallender ist das Zusammentreffen des zweiten Maximums mit einem einfachen molecularen Mischungsverhältniss. Zufällig fällt eine direct untersuchte Lösung von 83,4 Proc. mit dem Maximum der Leitungsfähigkeit zusammen und fast auf die gleiche Zahl, nämlich 83,6 Proc., fällt das einfache Mischungsverhältniss von einem Molecul Wasser auf 2 Molecule Alkohol, Besonders dieses letztere Zusammentzeffen halte ich für bedeutsam. es weist mit ziemlicher Sicherheit auf die Thatsache hin. dass wir es bei den Mischungen von Wasser und Alkohol mit Hydratbildungen zu thun haben, also mit wirklichen chemischen Verbindungen, die theils eine grössere, theils eine klemere Leitungsfähigkeit besitzen. als die Constituenten. Das Minimum der Leitungsfähigkeit L bei 30 Proc. liegt nämlich weit tiefer als die Leitungsfährgkeiten meines Wassers und meines Alkohols.

Dass wir es in vorliegendem Fall mit wesentlich anderen Erscheinungen, als bei gewöhnlichen Electrolyten zu thun haben, ergibt sich aus folgendem, hierher gehörigem Umstande. Bei gewöhnlichen Electrolyten, etwa bei wässerigen Salzlösungen, welche Maxima des Leitungsvermögens bei bestimmtem Gehalte zeigen, rücken die Maxima mit wachsender Temperatur nach höheren Gehalten fort, in unserem Falle aber coincidiren die Maxima und Minima bei 0 und 15° ziemlich scharf und sind also an den speciellen Gehalt gebunden.

Ich will schliesslich noch einen Punkt berühren, nämlich den von Grotrian in seiner oben citirten Arbeit gefundenen Parallelismus zwischen dem Temperaturcoëfficienten der Fluidität (reciproker Werth des Reibungscoöfficienten) und Leitungsfühigkeit. Zu einem Vergleich stehen mir nur 3 Zuhlen aus der ebenfalls oben citirten Abhandlung von C. Stephan zur Verfügung. Ich stelle in folgender Tahelle

dieselben mit den aus meinen Versuchen sich ergebenden Temperaturcoëssicienten derselben Lösungen zusummen.

Tabelle IV.

Procent-	df 16	عيد لد
		A10
450.0	0,0108 0.0408	0,0377
70.0	0,6380	0,0290

Man erkennt allerdings qualitativ einen Parallelismus in beiden Reihen und eine Uebereinstimmung in der Grössenordnung, allein zu einem genaueren Zusammenhalt beider Grossen wären ausführlichere Fluiditätsbestimmungen nöthig.

## VIII Veber das electrische Leitungsvermögen und den Temperaturcoëfficienten des festen Quecksilbers; von C. L. Weber.

(A) - dem phys Laboratorium der technischen Hochschole zu München.)

Die umfassenden Untersuchungen, welche A. Matthiessen vor nahezu 25 Jahren über das Leitungsvermögen der Metalle und ihrer Legirungen durchgeführt hat,
ergaben als Resultat, dass sich die Metalle in 2 Gruppen
wönen lassen, sodass die der ersten Gruppe, wenn unter
sich legirt, die Electricität im Verhältniss ihrer relativen
Volumna leiten, während die der zweiten Gruppe, wenn unter
sich oder mit Metallen der ersten Gruppe legirt, eine Leitungsfähigkeit zeigen, welche stets kleiner ist als die, welche sich
aus dem Verhältniss ihrer Bestandtheile berechnen lässt.<sup>3</sup>

Unter diese Eintheilung fügten sich alle von Matthiessen untersuchten Legirungen mit Ausnahme derjenigen des Quecksilbers. W. Siemens?) versuchte, diese Abweichung der Quecksilberlegirungen dadurch zu erklären, dass er annahm, es sei ihre Leitungsfähigkeit gleich der

t. Matthiessen, Pogg. Ann. 110, p. 190 1860.

<sup>2)</sup> W. Siemene, Pogg Ann. 113, p. 98, 1861,

mittleren Leitungsfähigkeit ihrer Bestandtheile — beide Bestandtheile in flüssigem Zustand gedacht; und Sabine<sup>1</sup>) hat auf Grund dieser Annahme aus den beobachteten Leitungsfähigkeiten der flüssigen Amalgame die der Metalle in flüssigem Zustande berechnet. Allein die so gefundenen Zahlen wurden durch directe Beobachtungen nicht bestätigt, sodass jene Annahme, wie Matthiessen gezeigt hat<sup>2</sup>, nicht genügt, um das eigenthümliche Verhalten der Quecksilberlegirungen zu erklären. Vielmehr sah sich Matthiessen genöttigt, das Quecksilber als Reprasentant einer ditten ganz besonderen Gruppe von Metallen hinzustellen.<sup>2</sup>,

Es möchte demnach den Anschein gewinnen, als ob das Quecksilber überhaupt in Bezug auf sein Leitungsvermegen den anderen Metallen gegenüber eine exceptionelle Stellung einnähme, als ob sein abweichendes Verhalten nicht durch den flüssigen Aggregatzustand allein erklärt werden könnte. Hierauf bezugliche Versuche scheinen seit jener Zeit nicht mehr aufgenommen worden zu sein. Weingstens besitzen wir keinerlei Angaben darüber, ob das galvanische Verhalten des Quecksilbers in fester Form sich dem der übrigen Metalle nähert, ob ihm z. B. ein ähnlicher Temperaturcoefficient zukommt, und auch die Beobachtungen über das Leitungsvermögen der bei gewöhnlicher Temperatur festen Metalle in geschmolzenem Zustande sind so spärlich, dass es unmöglich ist, aus ihnen entsprechende Anhaltspunkte zu gewinnen.

Da aber doch jener Frage eine gewisse Bedeutung nicht abzusprechen ist, namentheh im Hinblick auf die Beziehungen zwischen galvanischer Leitungsfähigkeit und anderen physikalischen Eigenschaften der Metalle, so möchte ich im Nuchstehenden einige Versuche bekannt machen, die das galvanische Verhalten des Quecksilbers in festem Zustande betreffen.

Ich wurde bei der Ausführung derselben dadurch unterstützt, dass mir der Vorstand unseres Laboratoriums, Hr.

<sup>1)</sup> Sabine, Phil. Mag. 1862, p. 455.

<sup>2)</sup> Matthiessen u. Vogt, Pogg. Aun. 116. p. 369, 1862.

<sup>3)</sup> Matthiessen, Pogg. Ann. 114, p. 317, 1861.

Prof. Dr. v. Beetz, eine grössere Menge flüssiger Kohlenaure (aus der Fabrik der Actiengesellschaft für Kohlensaureindustrie, Berlin) zur Verfügung stellte. Ich gestatte mir, demselben hierfür, sowie für seine fortwährende freundlichste Förderung meiner Arbeiten meinen wärmsten Dank austusprechen.

Das Quecksilber wurde in U-törmigen Capillarröhren untersucht, an deren Enden weitere Glasröbren von ca 10 mm Durchmesser angeschmolzen waren. Um auf der ganzen Länge des Quecksilberfadens möglichst gleiche Temperatur zu haben. and um meht allzugrosse Mengen Kohlensäure auf einmal zu verbrauchen, durfte man die Capillare nicht zu lang nehmen; andererseits zeigte sich, dass bei Verwendung sehr enger Capillaren das Quecksilber beim Erstarren Risse und Unterbrechungen bekam. Ich wählte schliesslich Röhren von ca. 150 mm Länge und 1 mm Durchmesser im capillaren Theil. Der zu messende Widerstand war infolge dessen sehr klein (bis zu 0.02 Ohm). Von zwei ineinander geschobenen Cylindergläsern enthielt das innere Aether in welchen die U-Rohre eingetaucht war, das aussere einige Tropfen concentrirter Schwefelsäure oder obenfalls etwas Acther, um das Beschlagen der Glaswände mit Reif zu vermeiden: man musste nämlich hindurchsehen können, um zu beurtheilen, ob der Quecksilberfaden beim Erstarren nicht gerissen war: donn auch bei den 1 mm werten Capillaren kam dies noch vor, wenn man die Temperatur zu rasch erpiedrigte. Daher durfte man die feste Kohlensäure nur nach und nach in den Author eintragen, sodass die Temperatur allmählich unter den Gefrierpunkt des Quecksilbers sank. Zur Temperaturmessung dienten Alkoholthermometer, deren Röhren calibrirt waren, der Werth eines Scalentheiles war durch Vergleichung mit einem Geissler'schen Quecksilberthermometer in der Nähe von 0° ermittelt.

War eine hinreichend tiese Temperatur erreicht, so wurde mit dem Hinzusügen weiterer Kohlensäure innegehalten und, während die Temperatur des Aetherkohlensäuregemisches wieder stieg, wurden die Widerstandsmessungen vorgenommen. Die fortwährend sich entwickelnden und im Aether aufsteigenden Kohlensäurebläschen hielten denselben in steter Wallung, sodass ein Rühren unnöthig war.

Man hatte es also mit sehr kleinen Widerständen zu thun und war genöthigt, rasch zu arbeiten. Dementsprechend benutzte ich zur Widerstandsmessung eine Thomson'sche Brückencombination.

4 Zweige derselben bestanden aus 2 Rollen von je 10 Ohm und zwei solchen von je 100 Ohm Widerstand; als Vorgleichswiderstand diente ein ausgespannter Neusilberdraht mit 2 Schleifcontacten. Das Spiegelgalvanometer war stark astasirt.

Die folgende Tab. I gibt eine so erhaltene Beolinchtungsreihe.

Tabelle I.

Тетр.	W in Ohm	Tump.	H' in Ohm	Temp.	W in Olim
55.3	0.02902	~ 45.5	0.02.76	-80,8	6,130(1)
58.9	25.23	-48.9	2994	-18.5	13156
-53,0	264 .	42,4	3021	- 5,0	13300
-51.5	2863	41,0	3013	± 11,0	10372
-30.0	2592	324	3147	415.5	19576
-48,8	2912	hegir nend	e Schmelzung	+45,1	13949
47,0	2941	← 37,3	3362		

Eine graphische Prüfung der Zahlen ergibt, dass schon bei -39,4° eine beginnende Schmelzung eintrat, der Widerstand steigt schnell auf den dem flüssigen Quecksilber zukommenden Werth, welcher viermal so gross ist, als der Widerstand des festen Quecksilbers beim Schmelzpunkt. Die ersten 11 Beobachtungen gestatten die Bestimmung des Temperaturcoöfficienten für das feste Quecksilber. Nimmt man an, dass der Widerstand desselben bei 2 Temperaturen T und 1 gegeben sei durch die einfache Formel:

$$W = w_{\alpha}(1 + \alpha T)$$
 und  $w = w_{\alpha}(1 + \alpha t)$ .

so erhält man:

$$\alpha = \frac{W - w}{w T - Wt}$$

Durch Combination von je 2 der 11 Zahlen, z. B. (1) mit (7); (2) mit (8) etc. ergeben sich für a die Werthe-

Tempera des festen	turcoëfficienten des flassigen Hg
0,004 513	$sw_{\tau} = 30 \text{ m} \pm 10^{4} - 0.000 \text{ for}$
4 037 4 467	+18 m, ±15 932
4 634	-5,6 u. +45 951
final- months	Mintel: 0,000:027

Der Vollständigkeit wegen, und um zugleich ein Urtheil aber den Werth der Beobachtungen zu haben, wurden die Messungen am flüssigen Hg noch bis null Grad und darüber fortgesetzt. Es ergaben sich die in der zweiten Spalte angegebenen Temperaturcoëfficienten, nämlich 0,000 927 als mittlerer Temperaturcoëfficient zwischen -30 und +45°. Die Uebereinstimmung dieser für flüssiges Quecksilber geltenden Zahl mit den von Matthiessen, Siemens, Rink, Lenz und Retzoff u. a. gegebenen Werthen ist ein Beweisfür die Zuverlässigkeit auch der am festen Hg angestellten Messungen.

Mit Hülfe der obigen Formeln findet sich dann auch der Widerstand des festen Hg berechnet für 0°; dividirt man denselben durch den beobachteton des flüssigen bei 0°, so ergibt sich für den specifischen Widerstand des festen Quecksilbers für 0° berechnet:

 $s_0 = 0.2799$  oder für sein Leitungsvermögen  $\lambda = 3.572$ .

Niedrigere Temperaturen als -55° wurden zwar wiederholt mit dem Aetherkohlensäuregemisch erzielt, dieselben waren aber so rasch vorübergehend, dass branchbare Messungen nicht angestellt werden konnten.

Das bei diesen und ähnlich verlaufenden Beobachtungsreihen henutzte Alkoholthermometer hatte ein ziemlich
grosses Thermometergesiss, es war insolge dessen die Möglichkeit nicht ausgeschlossen, dass bei dem raschen Steigen
der Temperatur das Thermometer mit seinen Angaben zurückblieb und zu tiese Temperaturen zeigte. Um hierüber vollständig sicher zu sein, sertigte ich noch ein zweites Alkoholthermometer an, dessen Kugel aus sehr dünnwandigem Glas nur

5 mm Durchmesser hatte, das Thermometerrohr war ausserordentlich eng.

Die folgende Tabelle gibt eine Versuchsreihe, die mit diesem Alkoholthermometer erhalten wurde.

Tabelle II.

Temp.	W in Ohm	Temp.	II' in Ohn	a Te	mperatureosfe teat
57.4	0.02455	-47.5	0,02578		0.00 - 192
77.11	2457	465 %	2 55		4 +135
55,9	2472	45.7	2500		3 270
34.4	24 (1	44,0	3412		154
* 5 11	2503	417	20030		4 311
523	2518	42.6	2646		4 (40)
51,3	2 25	423	2652	Mag n Aer	4.468
50.9	2547	14.1	1300	SARIDATI STA	4 226
4 1 11	2560	31,8	0.10885		
48.3	2568	=0.0	0,11231	,Mr	ttel 0,004 ttl

Spec. Widerstand des festen Hg berechnet für  $0^{o}$ .  $s_{o} = 0.2853$ 

Leitungsvermögen  $\lambda_0 = 8,505$ .

Wie aus den beiden Tabellen zu ersehen ist und aus einer graphischen Darstellung der beobachteten Widerstände noch deutlicher hervorgeht, findet beim Schmelzpunkt des Hg kein plötzlicher Sprung im Widerstand statt, es tritt blos ein allerdings schnelles Steigen ein, sodass man noch mehrere Beobachtungen machen konnte, ehe der Widerstand des füssigen Metalls erreicht war. Man darf jedoch hieraus nicht den Schluss ziehen, dass das Quecksilber durch einen Zustand der Erweichung hindurch von der festen in die füssige Form übergebe; es ist viel wahrscheinlicher, dass die kupfernen Zuleitungsdrähte eine erhebliche Wärmezufuhr von aussen vermittelten, sodass der Schmelzprocess an den Enden derselben begonnen und sich von da durch die ganze Länge der Capillare fortgeftanzt hat.

Hieraus erklärt sich auch der Umstand, dass der beginnende Schmelzprocess, wie er sich durch das rasche Steigen des Widerstandes bemerkbar macht, nicht genau bei derselben Temperatur eintrat; die Besorgniss betreffs des zuerst verwendeten Thermometers erweist sich aus einer Vergleichung der beiden Versuchsreihen als unbegründet, es teigt sogar das zweite Thermometer mit kleinerer Kugel beim Beginn des Schmelzens eine etwas niedrigere Temperatur als das erste

Stellen wir die Resultate beider Beobachtungen zusammen, so sind dieselben in folgenden Zahlen enthalten.

Es ergibt sich für den Temperaturcoëfficienten des festen Quecksilbers

aus Versuch 1:  $\alpha = 0.00455$ ... II:  $\alpha = 0.00411$ ... Mittel  $\alpha = 0.00483$ 

für den specifischen Widerstand, resp. das Leitungsvermögen des festen Quecksilbers berechnet für 0°:

> Versuch 1:  $s_0 = 0.2799$   $\lambda_0 = 3.572$ - II:  $s_1 = 0.2853$   $\lambda_0 = 3.505$ im Mittel  $s_2 = 0.2826$   $\lambda_0 = 3.538$

Die Urbereinstimmung ist grösser, als man bei den obwaltenden Schwierigkeiten erwarten konnte, wenn nämlich in Betracht gezogen wird, dass der ganze zu messende Widerstand den Betrag von einigen Hundertel Ohm nicht überstieg, dass der Temperaturcoefficient innerhalb eines Intervalles von nur 15" zu bestimmen war, dass endlich nur ganz einfache Hülfsmittel zur Verwendung kamen.

Es ergibt sich aus den angeführten Zablen folgendes:

1) Das Quecksilber erfährt beim Festwerden eine bedeutende Erhohung seiner Leitungsfähigkeit, dieselbe ist für
das feste Metall beim Schmelzpunkt etwa viermal so gross,
als für das füssige unmittelbar vor dem Erstarren. Bezieht
man beide Werthe auf 0°, so erhält man für das Leitungsvermögen des festen Quecksilbers die Zahl 3,5.

2. Der Temperaturcoëfficient des festen Quecksilbers nahert sich dem der übrigen festen Metalle und wird demselben vermuthlich gleich werden, wonn man sich hinreichend weit vom Schmelzbunkt pach abwärts entfernt.

Es ist zu vermuthen, dass dieser grosse Unterschied in den Leitungsfähigkeiten des festen und des flüssigen Metalls auch auf die Leitungsfähigkeit der bei gewöhnlicher Temperatur festen Amalgame einen wesentlichen Einfluss ausübt. Ueber die Grösse dieses Einflusses und darüber, ob sich unter Zugrundelegung der obigen Zahlen das abnorme Verhalten der Quecksilberlegirungen aufklären lässt, kann vorläufig nicht geurtheilt werden. Die vorhandenen Angaben über das Leitungsvermögen dieser Legirungen reichen dazu nicht aus, und umfassende Untersuchungen hierüber begegnen grossen Schwierigkeiten; denn die meisten Amalgame, welche nicht bei gewohnlicher Temperatur ganz flüssig sind, entziehen sich den gebräuchlichen Messmethoden infolge ihreseigenthümlichen Aggregatzustandes. — Brauchbare Resultate dürfen vielleicht erwartet werden, wenn man die Inductionswage zur Bestimmung ihrer Leitungsfähigkeiten benutzt.

## IX. Veber eine Reproduction der Siemens'schen Ouecksilbereinheit: von Karl Strecker.

(Aux den Ablan il der k baier Akad d Wiss, II, Cl 15 Bd II Aotimitgetheilt vom Hrn Verf.

Die vorliegende Arbeit habe ich unternommen auf Anregung des Hrn. Prof. Kohlrausch als einen Theil der im Auftrage der königlich baierischen Akademie der Wissenschaften im physikalischen Institut zu Würzburg auszutuhrenden Bestimmung der Quecksilbercapacität des Ohm.

Ich habe mir die Aufgabe gestellt, die Widerstandscapacität einer Anzahl von Glasröhren aus den Dimensionen derselben abzuleiten, und mit Hulfe dieser Rohren, welche ich mit Quecksilber füllte, mehrere Normaldrahtwiderstande herzustellen. Bei diesen Messungen suchte ich eine Genaudkeit von 0.0001 zu erreichen.

Sowohl bei der Bestimmung der Dimensionen der Röhmen als besonders bei einem Theile der galvanischen Messunger hat sich manches Neue orgeben, was mir mittheilenswert

<sup>1)</sup> Im April vorigen Jahres veröffentlichte ich zum Zwecke der Mitheilung unf der ehetrischen Conterenz zu Paris eine kurze Notzenburm ine Untersuchung, welche dannals noch nicht volla ist war in be Sitzungsberichten der physikalisch-medicinischen Gezellschuft zu Wurzbur-1884. Dieselbe ist auch in Exwer's Repert d. Phys. abgedruckt worden

erschien; namentlich glaubte ich, die Erfahrungen, welche ich bei der Vergleichung von Widerständen nach der Kirchhoff'schen Methode des Differentialgalvanometers gemacht habe, etwas austührlich darstellen zu sollen.

Schlesslich habe ich die Gelegenheit benutzt, die von mir hergestellte Quecksilhereinheit mit den gegenwärtig gebräuchlichen Widerstandseinheiten zu vergleichen, nämlich mit der von Siemens und Halske und der von der British Association ausgegebenen Einheit; hierbei standen mir durch die dankenswerthe Güte der Herren Siemens und Frölich, wwie Lord Rayleigh und Glazebrook Stücke zur Verfügung, welche mit besonderer Sorgfalt bestimmt worden waren.

- 1. Berechnung des Wisterstandes einer Quecksilbersaule.
- § 1. Die Normalwiderstände, welche zu meiner Untersuchung dienten, waren gebildet aus mit Quecksilber gefüllten diekwandigen Glasröhren von kleinem Querschnitt. Die Enden dieser Röhren waren eben und senkrecht zur Axologeschliffen; sie wurden mittelst durchbohrter Korkstopfen in den seithehen Tubulaturen passend geformter, oben offener Glaser betestigt, welche die nöthigen Verbindungen vermittelten.
- § 2. Den Widerstand eines solchen Rohres haben wir nun zu berechnen.

Eine Säule Quecksilber von 0°, welche den unveränderlichen Querschnitt Q und die Länge L besitzt, deren Endflie hen Ebenen und Niveauflächen sind, hat den Widerstand:

L

Tucht die Glasröhre, in welche die Quecksilbersäule eingeschlossen ist, zum Zwecke der galvanischen Verbindung in weite Gefasse, welche zugleich mit jener mit Quecksilber gefüllt werden, so sind die Endebenen der Quecksilbersaule mehr Niveauslächen<sup>1</sup>), und der Widerstand wird nicht niehr durch die obige Formel ausgedrückt.

 Kirchhoff, Berl. Monataber, 1880, p. 610. — Wied, Ann. 11. 8 801 1880. Bestimmt man ausserdem den Quecksilberwiderstand zwischen einer Niveaufläche, welche in dem einen angesetzten Electrodengestisse liegt und vom Rohrende ziemlich weit entsernt ist, und einer ebenso gelegenen Niveaufläche im anderen Electrodengestäss, so kommt noch die beiderseitige Stromausbreitung zu obigem Ausdruck hinzu.

Die durch beide Ursachen zugleich bedingte Veränderung des Widerstandes der Röhre entspricht an jedem Ende derselben einer Verlängerung um ein Vielfaches des Radius des Endquerschnittes; also ist der ganze Widerstand:

$$H' = \frac{L + a \left(r_i + r_i\right)}{Q}.$$

Nach Maxwell<sup>1</sup>) liegt a zwischen 0,785 und 0,824, ich habe, wie früher Rink<sup>2</sup>) gethan, den Werth a = 0,80 gewählt.

Lord Rayleigh und Sidgwick<sup>3</sup>) und neuerdings Muscart, Nerville und Benoit<sup>4</sup>) haben den Werth 0.82 für a eingesetzt; die letzteren haben einige Versuche angestellt. welche auf diesen Werth von a ungefähr stimmen.

§ 3. Die letzte Formel setzt noch voraus, dass der Querschnitt der Quecksilbershule überall der gleiche ist, dies ist aber niemals der Fall, wenn man zur Herstellung der letzteren Glasröhren verwendet, welche meistens einen ganz unregelmässig ändernden Querschnitt besitzen.

Um dieser Veränderlichkeit Rechnung zu tragen, denkt man sich die Glassöhre in gleichlange Abschnitte getheilt, welche man als abgestumpfte Kegel ansehen kann. Bedeutet für einen solchen Kegelstumpf q den mittleren Querschnitt. I die Länge und 1. q das Volumen, ferner q1 und q3 die Endquerschnitte, so ist der Widerstand des Kegelstumpfes

$$w = \frac{1}{7} \cdot \frac{1 + \sqrt{\frac{q_1}{q_2}}}{8} + \frac{q_2}{2} = \frac{1}{7} \cdot \left[ 1 + \frac{1}{12} \cdot \left( \frac{q_1 - q_2}{q_2} \right)^{\frac{1}{2}} \left( 1 - \frac{q_1 - q_2}{q_2} \right) \right].$$

1) Maxwell, Electr u. Magnet, 1, § 308-309.

 Rink, Vendagen en Mededsehngen d. ken, Akad van Wete isch. Afdeel, Natuurkunde, 2, (11), p. 299, 1877.

3) Lord Rayleigh and Mrs. Sidgwick, Phil. Trans. 1, p. 173, 1883

4) Mascart, Nerville et Benoit. Resume d'experiences sur la determination de l'ohm etc. 1884.

5) W. Siemens, Pogg Ano, 110, p 1 1860

Den Ausdruck:

$$\frac{1}{12} \cdot \left( \frac{q_1 - q_2}{q_1} \right)^2 \left( 1 - \frac{q_1 - q_1}{q_2} \right).$$

eine sehr kleine Grösse, will ich mit K bezeichnen und schreibe:

$$w = \frac{1}{q} \cdot (1 + K).$$

§ 4. Um die mittleren Querschnitte aller Rohrabschnitte zu vergleichen, calibrirt man das Rohr mit einem Quecksilberfaden, der im Mittel nahezu die Länge 1 besitzt.

Zu diesem Zwecke wurde das zu untersuchende Rohr auf einem in Millimeter getheilten Maassstabe befestigt, dessen Theilfehler kleiner als 0,05 mm waren. Dieser Maassstab diente dazu, das Rohr in Abschnitte zu theilen und die Länge des Quecksilberfadens zu messen. Letzteres geschah mit Hülfe eines auf den Maassstab aufgelegten Spiegels durch Ablesung mit blossem Auge; die Länge 2 des Fadens wurde bestimmt, wenn die Mitte des Fadens mit der Mitte eines Rohrabschnittes zusammenfiel, was leicht und mit Genauigkeit mittelst einer kleinen Luftdruckvorrichtung erreicht werden konnte.

Bedeutet e das constante Volumen des Quecksilberfadens, dessen veränderliche Länge wir mit A bezeichnet haben, r den Querschnitt in der Mitte des Quecksilberfadens und also auch in der Mitte des betreffenden Rohrabschnittes, so ist:

$$\begin{split} q &= \tau \left(1 + \frac{1}{4} K\right), \qquad \tau = \frac{v}{q} \left(1 - \frac{1}{4} \cdot \frac{\lambda^3}{|\Gamma|} \cdot K\right), \\ &= \frac{1}{q} = \frac{\lambda}{c} \left(1 + \frac{\lambda^3 - 1^3}{41^2} \cdot K\right), \\ \kappa &= 1 \cdot \frac{\lambda}{c} \left[1 + \left(1 + \frac{\lambda^3 - 1^3}{41^4}\right) \cdot K\right]. \end{split}$$

und

Der Widerstand des ganzen Rohres ohne den Ausbreitungswiderstand berechnet sich also zu:

$$W = \Sigma w = \frac{1}{v} \cdot \Sigma \lambda \cdot \left[ 1 + \left( 1 + \frac{\lambda^{2} - 1^{2}}{4!^{2}} \cdot \right) K \right]$$

Das Volumen eines Rohrabschnittes ist.

$$1 \cdot q = 1 \cdot \frac{v}{1} \cdot \left[1 - \frac{\lambda^{\tau} - 1^{\tau}}{41^{t}} \cdot K_{\rfloor}\right]$$

also das Volumen des ganzen Rohres:

$$V \approx 1e \cdot \sum_{k=1}^{4} \cdot \left[1 - \frac{k^2 - \ell^2}{4\ell^2} \cdot K\right].$$

Demnach wird:

$$W' = \frac{\mathbb{I}^2}{\mathbb{I}^2} \cdot \Sigma' \lambda \cdot \left[ 1 + \left( 1 + \frac{\lambda^2 - 1^2}{4\mathbb{I}^2} \right) K \right] \cdot \Sigma' \left[ 1 - \frac{\lambda^2 + 1^2}{4\mathbb{I}^2} \cdot K \right],$$

und unter Vernachlässigung des Gliedes, welches in Bezug auf K von der zweiten Dimension ist:

$$\begin{split} W &= \frac{\mathcal{V}}{\mathcal{V}} \left\{ \Sigma \lambda \cdot \Sigma \right\}_{k}^{1} + \Sigma \left\{ \frac{1}{k} \cdot \Sigma \lambda \left( 1 + \frac{\lambda^{2} - \mathcal{V}}{4 \cdot 1^{2}} \cdot K \right) \right. \\ &\left. - \Sigma \lambda \cdot \Sigma \left\{ \frac{1}{k} \cdot \frac{\lambda^{2} - \mathcal{V}}{4 \cdot 1^{2}} K \right\} \right\}. \end{split}$$

§ 5. In den beiden letzten Gliedern dieses Ausdruckes, welche gegen das erste sehr klein sind, setze ich  $\Sigma \lambda = n S$ , wobei n die Anzahl der Messungen der Fadenlänge. S den mittleren Werth der letzteren bedeutet; statt  $\Sigma(1,\lambda)$  setze ich näherungsweise n/S; dann werden die beiden kleinen Glieder;

$$= \frac{n}{S} \cdot \left[ \sum \lambda \left( 1 + \frac{\lambda^2 - 1^2}{44^2} \right) K - S^2 \cdot \sum \frac{1}{\lambda} \cdot \frac{\lambda^2}{44^2} K \right]$$
$$= \frac{n}{S} \cdot \sum \left[ K \left( \lambda + \frac{(\lambda^2 - S^2)(\lambda^2 - 1^2)}{\lambda \cdot 44^2} \right) \right].$$

Diesen Ausdruck kann man unter Vernachlässigung der Glieder höherer Ordnung auf die Form bringen:

$$\frac{1}{S} \cdot \left[ 1 \cdot \sum K + \sum K(\lambda - 1) \left( 1 + \frac{\lambda}{1} \cdot S \right) \right].$$

Von den beiden Theilen des in der eckigen Klammer stehenden Ausdruckes ist der erste nur aus positiven Werthen zusammengesetzt, während der zweite positive und negative Glieder enthält; ausserdem sind die einzelnen Bestandtheile der zweiten Summe an absoluter Grösse weit geringer als die der ersten. Führt man die Rechnung an einem Beispiele aus, so sieht man, dass  $\sum K(\lambda-1)(1+(\lambda-S)/1)$  noch nicht den hundertsten Theil des in der Klammer stehenden Werthes ausmacht; da der letztere überhaupt sehr gering ist und nur bei Röhren von wenig gleichmässigem Querschnitt einige Hunderttausendtel des zu berechnenden Widerstandes aus-

macht, so darf man den zweiten Summanden aus obiger Klammer weglassen.

§ 6. Damit wird unsere Formel1):

$$H'' = \frac{\mathfrak{t}^*}{\mathcal{V}} \cdot \left[ \Sigma \lambda \cdot \Sigma \frac{1}{\lambda} + \frac{\mathfrak{a} \, \mathfrak{t}}{S} \cdot \Sigma K \right] \cdot$$

Dieser Ausdruck ist für die numerische Berechnung noch sehr unbequem; um das Glied  $\Sigma\lambda$ .  $\Sigma(1/\lambda)$  umzugestalten, will ich eine Grösse s einführen, welche bis auf einen im Belieben des Rechners liegenden kleinen Betrag der mittleren Fadenlänge S=(1/n).  $\Sigma\lambda$  gleich ist.

Dann sei:  $\Sigma \lambda = ns + D$ , worin D eine gegen ns kleine Grösse ist. Ferner kann ich schreiben:

$$\frac{1}{4} = \frac{1}{s} \cdot \frac{1}{1 + \frac{\lambda - s}{s}} = \frac{1}{s} \cdot \left[ 1 - \frac{\lambda - s}{s} + \left( \frac{\lambda - s}{s} \right)^2 - \cdots \right]$$

Damit wird:

$$\begin{split} \Sigma\lambda \cdot \Sigma \frac{1}{\lambda} &= \left[ ns + D \right] \cdot \frac{1}{s} \cdot \left[ 1 - \frac{\lambda - s}{s} + \left( \frac{\lambda - s}{s} \right)^2 - \cdots \right] \\ &= n^2 \left( 1 + \frac{D}{ns} \right) \left( 1 - \frac{1}{ns} \Sigma (\lambda - s) + \frac{1}{ns^2} \cdot \Sigma (\lambda - s)^2 - \cdots \right) \\ &= \Sigma (\lambda - s) = \Sigma \lambda - ns = D, \\ \Sigma\lambda \cdot \Sigma \frac{1}{\lambda} &= n^2 \left( 1 + \frac{D}{ns} \right) \left( 1 - \frac{D}{ns} + \frac{1}{ns^2} \cdot \Sigma (\lambda - s)^2 - \cdots \right), \\ \mathcal{W} &= \frac{n^2 \Gamma^2}{V} \left\{ 1 + \frac{1}{ns^2} \cdot \left[ \Sigma (\lambda - s)^2 - \frac{1}{s} \Sigma (\lambda - s)^3 + \frac{1}{s^2} \Sigma (\lambda - s)^4 - \cdots \right] \\ &= \left[ 1 + \frac{D}{ns} \right] - \left( \frac{D}{ns} \right)^2 + \frac{1}{nS} \cdot \Sigma K \right\}. \end{split}$$

Dieser Formel liegt eine Calibrirung zu Grunde, bei welcher man das Rohr in Abschnitte von der constanten Länge I getheilt hatte; indem die Mitte des zur Calibrirung dienenden Quecksilberfadens immer um die Länge I verschoben wurde, mass man die Länge des Fadens in jedem Rohrabschnitt. Der Anfangspunkt für die genannte Eintheilung der Röhre ist durchaus willkürlich; daraus folgt,

<sup>1)</sup> Vgl. Maxwell, Electr. n. Magn. 1. § 361. - Matthiessen, Rep. of electr. standards. p. 128. Third report 1864.

Ann. 4. Phys. a Chem. N. F. XXV.

dass man jede beliebige Strecke der Rohre von der Länge i als Rohrabschnitt ansehen kann; man darf also die obige Formel auch anwenden, wenn die Mitte des Queckulberfadens nicht um 1. sondern um einen beliebigen Theil von i verschoben und in jeder neuen Lage die Länge des Fudens gemessen wird; gefordert ist nur, dass die Punkte, an denen die Rohrquerschnitte verglichen werden, durchaus gleichmässig über das ganze Rohr vertheilt seien, und dass man folgerichtig für die Rohrenden, wo eine Messung des Quecksilberfadens unmöglich wird, die Fadenlänge durch Extrapoliren berechnet.

Für die Länge I habe ich 40 mm gewählt, die Mitte des Quecksilberfadens habe ich immer um 10 mm verschoben,

Der Ausdruck K, welcher in der Formel für W vorkommt, enthält die Endquerschnitte der einzelnen Abtheilungen der Röhre, es genügt, hier die Querschnitte umgekehrt proportional zu setzen den längen i, und i, des Quecksilberfadens, welche beobachtet werden, wenn die Mitte des Fadens mit dem Anfange oder dem Ende eines Rohrabschnittes zusammenfällt. Dadurch wird

$$\mathbf{A} = \frac{1}{12} \cdot \left[ \begin{array}{c} \lambda_1 - \lambda_1 \\ \lambda_1 \end{array} \right]^2 \left[ 1 - \begin{array}{c} \lambda_1 - \lambda_1 \\ \lambda_2 \end{array} \right].$$

Die Längen \(\lambda\_1\) und \(\lambda\_2\) liefert die Calibrirung zugleich mit \(\lambda\_1\), wenn man die Fadenmitte immer um 10 mm verschiebt.

Bei der Berechnung von  $(\Sigma K)$  darf man sich weitere Vernachlässigungen erlauben, indem man in dem Ausdruck für K den Factor  $1-((\lambda_1-\lambda_1-\lambda_1))$  wegläset und statt  $(\lambda_2-\lambda_1-\lambda_1)$  den nahe gleichen Bruch  $(\lambda_2-\lambda_1)$  i setzt. Dann hat man statt  $(\Sigma K)$  den bequem zu berechnenden Ausdruck:

$$\frac{1}{12.4} \cdot \Sigma \lambda_1 + \lambda_2^{-1}.$$

welcher dem richtigen Werth von 1 NK fast immer genau genug gleich ist.

§ 7. Eine Berechnung der Calibercorrection nach der eben entwickelten Formel ist verhältnissmässig einfach; bei recht guten Röhren ist nur die Summe der Quadrate und Cuben zu ermitteln; bei Röhren von weniger gutem Caliber tenzen fortschreiten, doch ist die Berechnung der Summen hiberer Ordnung als der dritten mit nur wenigen Ziffern auszuführen.

Was die bei der Bestimmung der Calibercorrection zu reichende Genauskeit betrifft, so hängt dieselbe wesentlich davon ab, ob die gewählte Länge i klein genug ist, um die Voraussetzung zu rechtfertigen, von der wir ausgegangen und, dass nämlich jedes Stück der Röhre von dieser Länge i as abgestumpfter Kegel betrachtet werden kann. Man darf nicht sehr kurze Quecksilberfäden nehmen, weil man sonst die Aenderungen der Fadenlänge nicht genau genug beobrichen kann; deshalb habe ich i nicht kleiner als 40 mm genommen.

Von der Wahl dieser Länge abgesehen, wird man durch mosse Anzahl der Messungen von  $\lambda$  jedenfalls eine sehr mosse Genauigkeit erreichen können. Bei meinen Röhren letrug die Anzahl der gemessenen Fadenlängen 120 bis 150; ch glaube, aus angestellten Versuchen schliesson zu dürfen, dass die bei der Calibrirung gemachten Beobachtungsfehler aus einen Einfluss von wenigen Hunderttausendteln auf das Resultat haben. Etwas anderes ist die Frage, ob bei allen meinen Röhren die Länge von 40 mm für 1 ausreichend klein auf, um die Calibercorrection richtig zu bestimmen. Ich werde darauf später zurückkommen.

§ 8. Ich setze zur Abkurzung:

$$C = 1 + \frac{1}{ns!} \cdot \left[ \Sigma (\lambda - s)^3 - \frac{1}{s} \sum_{i=1}^{n} \lambda - s^2 + \frac{1}{s} \sum_{i=1}^{n} \lambda - s^3 - \ldots \right].$$

$$\left[ 1 + \frac{D}{ns} \right] - \left[ \frac{D}{ns} \right]^2 + \frac{s \Sigma K}{ns}$$
und habe dann: 
$$W' = C \cdot \frac{n^2 s^2}{T} = C \cdot \frac{L}{T}.$$

Das Volumen der Röhre wird durch Wägung der Masse Quecksilbers gefunden, welche das Rohr bei einer gemessenen Temperatur gerade füllt; ist diese Masse = M. die Inchtigkeit des Quecksilbers bei der beobachteten Temperatur = D. so ist:

 $W = C \cdot \frac{L^{1}D}{M} \cdot$ 

Um auch den Ausbreitungswiderstand richtig hinzuzufügen, bat man zu berücksichtigen, dass in diesem Ausdrucke für W statt des Querschnittes Q:

M

steht; wir baben also den gesammten Widerstand der Quecksilberröhre:

 $W = C \cdot \frac{LD}{M} \cdot [L + a(r_1 + r_2)].$ 

Ist der specifische Leitungswiderstand des Quecksilbers nicht = 1, sondern =  $\sigma_t$  so ist:

$$W = \sigma \cdot C \cdot \frac{LD}{M} \cdot \left[L + a \left(r_1 + r_2\right)\right].$$

Um den Widerstand W als die in Metern ausgedrückte Länge einer Säule Quecksilbers von 0° und von 1 qmm Querschnitt zu erhalten, hat man in diese Formel L und r in Metern und M in Grammen einzusetzen und als Einheit des specifischen Widerstandes denjenigen des Quecksilbers bei 0° zu nehmen.

## II. Normalröhren.

§ 9. Herstellung der Normalröhren. Bei der Auswahl meiner Röhren nahm ich darauf Rücksicht, sowohl solche von möglichst constantem Querschnitt, als auch solche von weniger gutem Caliber zu verwenden; ich wählte schliesslich 5 Röhren, von denen zwei sehr gut, eine von mittlerer und zwei von geringerer Güte des Calibers waren. Die Längen der Röhren betrugen 1,2 und 1.5 m, die Querschnitte zwischen 0,5 und 3,5 qmm. Die Widerstände verhielten sich ungefähr wie 1:3:4:7:9.

Die Enden dieser Röhren wurden mit Schmirgel und Terpentinöl auf einer Kupferscheibe eben und senkrecht zur Axe abgeschliffen; ich benutzte dazu die Drehbank, auf der ich zunächst die Kupferscheibe genau eben und senkrecht zur Drehaxe abdrehte; dann wurde die parallel der Axe in festen Lagern eingeklemmte Glasröhre sanft gegen die rotirende Kupferscheibe gedrückt, während die letztere fortwährend mit einem dünnen Brei von Schmirgel und Terpentinöl benetzt wurde.

Um zu prüsen, ob die Endflächen hinreichend eben geschlisten seien, drückte ich ein Plättchen aus mattem Glase mit ganz wenig Fett auf das Rohrende; wo sich die Glassflächen berührten, wurde das Plättchen durchsichtig. Das Schleisen wurde so lange fortgesetzt, bis die Probe mit dem Glasplättchen zeigte, dass die Endflächen sast genau eben, jedoch noch schwach convex seien; denn ein Vortreten der Ränder gegen die Rohrmitte würde zu Fehlern bei der Längenmessung und Volumenbestimmung der Röhren Veranlassung gegeben haben. Grosse Sorgsalt wurde verwendet, den inneren Rand der Glasröhren beim Schleisen nicht ausspringen zu lassen.

Ausmessung der Dimensionen der Normalrohren.

§ 10. Messung der Rohrlänge. Die Länge der Quecksilbersäule, welche ein Rohr aufnahm, konnte nicht unmittelbar gemessen werden. Man durste nicht den an einer beliebigen Stelle gemessenen Abstand der beiden Endflächen für diese Länge setzen, da ja diese Flächen nicht genau Ebenen und nur nach dem Augenmaass senkrocht zur Aze geschliffen waren.

Ich kittete nun 1,5 mm dicke, runde Milchglasplättehen, welche die Grösse der Endflächen besassen und eben waren, auf die letzteren; wenn man den Abstand der Ränder der aufgekitteten Plättehen auf zwei diametral gegenüberliegenden Seiten der Röhre mass, so lieferte das arithmetische Mittel einen richtigen Werth für die Länge der Quecksilbersäule, welche das Rohr aufnahm.

Die Abstände der Plattenränder wurden gemessen mit Hülfe eines 2 m langen Glasmanssstabes, der auf dem grössten Theil seiner Länge in Centimeter getheilt war und an iedem Ende eine 10 cm lange Theilung in Millimeter trug. Dieser Maassstab, ein Spiegelglasstreifen von 8 cm Breite und 1 cm Dicke, wurde mit der Theilung nach unten auf die Röhre gelegt, durch untergeschobene Holzklötzchen und Keile dafür gesorgt, dass die Röhre gerade lag und die Theilung des Maassstabes auf ihrer ganzen länge berührte. Die Abstände der Ränder der Milchglasplättchen von den

nächstgelegenen Theilstrichen des Maassetabes wurden mit einem Mikroskop mit Ocularmikrometer gemessen; das letztere theilte 1 mm des Maassetabes in Zehntel, und man konnte sicher noch 0,02 mm schätzen. Zugleich überzeugte man sich, dass die Dicke der Kittschicht, welche die Plättchen mit den Röhren verband, so gering war, dass man sie bei der angewandten schwachen Vergrösserung gar nicht wahrnehmen konnte.

Bei jeder Messung wurden beide Ränder jedes Plättchens auf den Maassstab eingeschätzt. Nachdem in einer Lage der Röhre 3 Messungen ausgeführt worden, drehte man dieselbe um 180° und wiederholte die dreimalige Messung. Die zusammengehörigen Bestimmungen lieferten aus etwa 0.03 mm dieselben Werthe.

Die Abstände derselben Plattenränder, gemessen in zwei um 180° verschiedenen Lagen des Rohres, unterschieden sich höchstens um 0,05 mm.

Die Dicke der Milchglasplättehen wurde mit dem Sphärometer bestimmt. Es zeigte sich, dass die mit Hulfe der äusseren Plattenränder hestimmte Rohrlänge ein wenig grösser ausgefallen war, als die mit Hulfe der inneren Ränder ermittelte; doch betrug der Unterschied immer weniger als 0,04 mm.

Schliesslich wurde der benutzte Glasmaassstab mit einem Normalmeter verglichen, das von der Normalaichungscommission in Berlin ausgegeben und mit einem Verzeichniss der Theilfeblor versehen war. Die Vergleichung geschab unter Anwendung des oben benutzten Mikroskopes mit Ocularmikrometer, indem der Glasmaassstab mit der Theilung nach unten auf den Normalmaassstab gelegt wurde.

Die Genauigkeit, mit welcher die Rohrlänge gemessen wurde, ist nach dem eben Gesagten größer als 0.05 mm.

§ 11. Ausbreitungswiderstand. Um die Werthe von  $r_1$  und  $r_2$  zu erhalten, berechnet man aus M. L und D den mittleren Radius des Rohres und benutzt die durch die Calibrirung bekannten Verhältnisse des mittleren Querschnsttes zu den Endquerschnitten. Ist r der mittlere Radius,  $\lambda_n$  und  $\lambda_1$  die erste und die letzte der gemessenen Langen

des Quecksilberfadens,  $S = (1 \text{ n}) \sum \lambda$  die mittlere Länge desselben, so ist:

$$a_1r_1+r_2r=ar\cdot\begin{pmatrix} M\\ L,D,n\end{pmatrix},$$

Der Ausbreitungswiderstand beträgt für meine Röhren zwischen 0,6 und 2 mm, da der Factor a bis auf etwa 3 Proc. bekannt ist, wird man die in Frage kommenden Grössen bis auf 0,02 bis 0,06 mm genau bestimmen können.

Das in der Formel für W stehende Product:

$$L$$
,  $L + a r_1 + r_2$ 

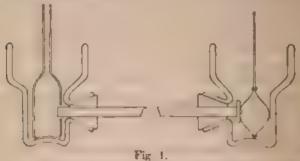
wird also im aussersten Fall um 0,0001 unsicher sein.

§ 12. Auswägung der Röhren. Die Bestimmung der Masso der Quecksiberfüllung einer Röhre wurde auf folgende Art und Weise ausgeführt, welche mir auch erlaubte, jedesmal auch dem Gebrauche eines Normalrohres dassenige Quecksilber zu wägen, welches zur Herstellung des Widerstandes gedient hatte.

Das sorginitig gereinigte und getrocknete Glasrohr war mit Hülfe zweier durchbohrter Korke in den seitlichen Oeffnungen der beiden oben offenen Glasgefässe befestigt, welche zur Aufnahme der Electroden dienten. In das eine dieser Gefässe wurde Quecksilber eingegossen, welches dann langsam durch die Rühre strömte und auch das andere Electrodengefäss anfällte.

Um den Quecksilbermhalt des Rohres zu wägen, verschloss man mach Entfernung der Electroden aus den Endgefässen) das eine Ende des gefüllten Rohres unter Quecksilber mit einem ebenen Eisenplättehen, das an einer Feder befestigt war (vgl. Fig. 1), und saugte das in dem anderen Electrodengefäs befindliche Quecksilber aus. Dabei war nicht zu vermeiden, dass ans dem offenen Rohrende eine kleine Menge Quecksilber mit fortgenommen wurde; um diese zu ersetzen, hob man vorsichtig das verschlossende Eisenplättehen am anderen Ende ein wenig, damit etwas Quecksilber nachtiessen konnte, doch nur so viel, dass an dem

freien Rohrende ein Meniscus entstand. Nun wurde auch das Endgefüss, in welchem sich das verschliessende Eisenplättchen befand, von Quecksilber entleert, darauf der am offenen Rohrende befindliche Meniscus mit einer ebenen Glasplatte weggedrückt und über dieses Rohrende ein Gefäss geschoben. das zur Aufnahme des Quecksilbers diente; dieses Gefass war aus Glas gefortigt und hatte eine seitliche Oeffnung. die gerade gross genug war, das Rohrende durchzulassen,



Nachdem das Gefäss über das offene Robrende geschoben und in seiner Stellung durch etwas weiches Papier, das man in das Electrodengefäss einschob, befestigt worden war, bob man das verschlossene Ende der Röhre ein wenig in die Höhe, entfernte die Eisenplatte und liess die Quecksilberfullung langsam in das zum Auffangen bestimmte Gefüss fliessen; der letzte im Rohr bleibende grössere Tropfen wurde durch vorsichtiges Blasen herausgebracht. Nun hafteten noch manchmal ganz winzige Quecksilbertröpfchen im Robr nahe den Enden: dieselben konnte man mit Hülfe eines feinen Drahtes leicht herausschaffen und der grösseren Menge zufügen.

Die beschriebenen Operationen waren leicht und bequem auszuführen: von etwa 30 Entleerungen der Röhre, welche ich auf diese Weise vornahm, misslangen nur zwei; anfänglich hatte die Schliessfeder eine andere Gestalt, welche weniger günstig war, sodass die Versuche öfter fehlschlugen.

5 13. Das Quecksilber wurde in dem Gefäss gewogen. in dem es aufgefangen wurde. Ich benutzte dazu eine sehr gute Rüprecht'sche Wage, welche auf 1 mg einen Ausschlag von 1 mm gab und sehr constante Einstellungen lieferte.

Der Gewichtsatz bestand aus vergoldetem Messing, war vor diesen Wägungen calibrirt und mit einem 100 g-Stück der Normalnichungscommission in Berlin verglichen worden. Alle meine Wägungen waren Doppelwägungen.

War das gefundene scheinbare Gewicht einer Quecksilbermasse in Grammen gleich M, so wurde zur Reduction auf den leeren Raum davon abgezogen:

M. 0,054 mg.

Von der Bestimmung der Temperatur des Quecksilbers wird weiter unten (§ 14) die Rede sein.

Nachdem ich vorgängig etwa 30 Auswägungen meiner 5 Röhren vorgenommen hatte, um die Uebereinstimmung der Resultate zu prüfen, habe ich im Laufe der spateren Widerstandsbestimmungen nochmals ebenso viele Wägungen ausgeführt. Die Resultate aller dieser Bestimmungen mitzutheilen, dürfte wenig Zweck haben; ich will vielmehr eine Tabelle geben, welche ein Urtheil über die Genauskeit derselben ermöglicht.

Die erste wagerechte Zeile dieser Tabelle enthält die Grösse der vorkommenden Abweichungen der Einzelbestimmungen vom Mittel in Zehntausendteln des Ganzen; die senkrechten Spalten geben für jedes Rohr an, wie viele der Bestimmungen seines Quecksilberinhaltes preducirt auf eine gemeinschaftliche Temperatur, Abweichungen zeigen, welche unnerhalb der in der obersten Zeile gegebenen Grenzen liegen.

Bohr-Nr	0.0-0.25	0,28 0,50	0,51 0,73	0,76-1,00	1,0-1,9	1 3 1,6	1,8	Sun mi
1	0	1	U	2	0	U	0	9
2	- 11	9	1	0	0	1	1	16
3	4	5	1	0	0	1	-0	11
4	6	4	2	0	0	0	0	12
5	8	1	2	2	0	0	0	13
Summe	85	13	6	4	0	2	1	61

lch verfolgte ursprünglich den Zweck, durch die Wägung der Quecksilbermasse, welche die Füllung einer Röhre gebildet und zur Herstellung eines Widerstandes gedient hatte, mich gegen etwaige Veränderlichkeit dieser Masse zu sichern; die angegebene Tabelle zeigt, dass eine solche Veränderlichkeit nicht vorhanden ist; die beobachteten Differenzen der Einzelwerthe vom Mittel, von denen 1/3 kleiner als 0,00005 und nur 1/20 grösser als 0,0001 sind, lassen sich durch Beobachtungsfehler erklären. Man darf also, wie andere hereits gethan haben, die Masse Quecksilbers, welche das Rohr bei einer gegebenen Temperatur aufnehmen kann, als eine Constante des Rohres ansehen. Deshalb habe ich der Berechnung der Widerstände der Röhren die Mittelwerthe aus sämmtlichen Massenbestimmungen zu Grunde gelegt; die einzelne Wagung nach jeder Widerstandsbestimmung dient dann nur zur Controle.

Von den 3 Fällen, in welchen die heobachtete Abweichung vom Mittel die Grösse von 0,0001 übersteigt, entfällt einer auf die vorgängige Auswägung der Röhren, wobei noch keine Widerstandsmessungen vorgenommen wurden, einer wurde bei Untersuchungen von untergeordneter Bedeutung beobachtet (§ 35), und nur der dritte trifft eine Bestimmung von Wichtigkeit (§ 42, 1, 2). Ich werde die Messungen, bei denen die grossen Abweichungen wahrgenommen wurden, besonders hervorheben.

Die der Berechnung der Widerstände der Normalröhren zu Grunde liegenden Mittelwerthe für die Massen der Quecksilberfüllungen sind ohne Zweifel auf einige Hunderttausendtel richtig.

§ 14. Temperaturbestimmung. Um die Temperatur des Quecksilbers zu bestimmen, welches in einer Röhre enthalten war, brachte ich die letztere in ein Wasserbad, welches aus einem 1.6 m langen, 10 cm breiten und 10 cm hohen Troge aus Zinkblech bestand, der auf den Seiten und am Boden mit Filz umhüllt war und mit einem Holzdeckel geschlossen wurde. Das Wasser stand im Troge so hoch, dass alle mit Quecksilber gefüllten Theile der Röhre und der Electrodengefässe von Wasser umgeben waren, und es auch während der beim Entleeren der Röhre nöthigen Manipulationen blieben.

In dem Deckel des Wasserbades befanden sich 2 Löcher. in welchen Thermometer betestigt wurden; wenn der Deckel auf dem Bade lag, waren die Gefüsse der beiden Thermometer in gleicher Höhe mit der Quecksilberröhre.

War die Temperatur des Bades längere Zeit hindurch constant geblieben, so wurde das Mittel aus den Angaben dieser Thermometer als die Temperatur des im Rohre benudlichen Quecksilbere angesehen; die beiden Thermometer stimmten immer bis auf Theile von 0,1° überein. Die Acaderung der Temperatur betrug nie mehr als wenige Hundertelgrade in der Viertelstunde.

Ich benutzte mehrere sogenannte Normalthermometer, vier von O. Wiegand in Würzburg (im Februar 1882) verfertigte, welche in Zehntelgrade getheilt waren, und eines von Geissler in Bonn iseit 1873 in Gebruich), welches Funftelgrade zeigte; bei allen konnte man noch 0,02° mit Sicherheit schätzen. Die Nullpunkte dieser Thermometer bestimmte ich häubg; ausserdem verglich ich die Thermometer unter einander und zwei derselben mit dem Luftthermometer bei 10 und 20°; die letztere Vergleichung war auf mindestens 0,05° genau, sodass die auf das Luftthermometer bezogenen Angaben meiner Quecksilberthermometer als auf 0,05 his 0,08° richtig anzuseben sind; 0,11° bedeutet ein Zehntausendtel des Widerstandes.

§ 15. Reinigung des Quecksilbers, specifischer Widerstand und Dichtigkeit desselben. Das Quecksilber reinigte ich auf folgende Weise:

Eine grössere Menge des Metalles wurde mit sunsprocentiger Salpetersäure und darauf mit Wasser gewaschen, indem es aus seinen Oeffnungen in kleinen Tröpsehen durch eine etwa 1,5 m hohe Schicht der Waschsüssigkeit fiel; dann wurde es unter massigem Erwärmen getrocknet und in einen Destillationsapparat gebracht.

Dieser war dem von L. Weber 1) beschriebenen continuirlich arbeitenden Apparate nachgebildet; er besass oberhalb des Siedegesässes einen seitlichen Ansatz mit Hahn, um den

<sup>1</sup> L. Weber, Carl's Rep. 15, p. 52, 1879.

Apparat mit der Lustpumpe verbinden zu können; das Gesäss, in dem sich das Destillationsproduct sammelte, und aus dem es in eine untergesetzte Glasslasche aussloss, war moglichst klein genommen. Nachdem eine grössere Menge Quecksilber destillirt worden, entsernte ich den Rückstand, reinigte den Apparat und brachte das Product der ersten Destillation nochmals in denselben. Erst nach dieser Wiederholung der Destillation wurde das Quecksilber als rein angesehen.

Dieses Quecksilber zeigte immer das gleiche Leitungsvermögen, einerlei, ob es frisch destillirt, oder ob es schon Monate lang in Glasflaschen aufbewahrt worden, einerlei, ob es luftfrei oder mit Luft geschüttelt war. Die hierzu gehörigen Versuche sollen weiter unten ihre Stelle finden (§ 35, 36).

Um indess jede Unsicherheit, welche in dieser Beziehung entstehen konnte, zu vermeiden, zog ich es vor, zu definitiven Messungen nur Quecksilber zu verwenden, welches noch nicht

gebraucht worden war.

Von der Bestimmung des specifischen Widerstandes des Quecksilbers bei Temperaturen zwischen 0 und 20" wird ebenfalls weiter unten die Rede sein (§ 37). Ich will hier nur angeben, dass ich denselben innerhalb der genannton Grenzen bei der Temperatur & (nuch dem Luftthermometer) zu:

 $\sigma_t = 1 + 0.000\,900\ t + 0.000\,000\,45\ t^3$ 

bestimmt habe, und dass diese Formel meine Beobachtungen bis auf wenige Hunderttausendtel genau wiedergibt.1)

Die Dichtigkeit des Quecksilbers berechnete ich aus den Regnault'schen Zahlen und den von Wüllner<sup>2</sup>) angegebenen Temperaturcoëfficienten.

§ 16. Normaltemperatur. Sämmtliche Messungen wurden bei Temperaturen zwischen 8 und 17° angestellt. Ich reducire alle Angaben auf 10° C., gemessen nach dem Luftthermometer.

Die in meiner früheren Mittheilung angegebenen Werthe für speelfischen Widerstand und Temperaturesöfficienten auch dem Queck ailberthermometer bestimmt.

<sup>2)</sup> Wüllner, Pogg. Ann. 153, p. 440, 1874.

Für diese Temperatur ist:

$$\mathcal{B}_{10}^* = 1,\!00904 \cdot C \cdot \frac{13,\!0717 \cdot L_{14}}{M_{17}} \cdot \left[ L_{10} + a \left( r_1 + r_2 \right) \right]$$

und für irgend eine andere Temperatur t zwischen 0 und 20° unter Berücksichtigung der Ausdehnung des (Hases):

$$W_{t} = W_{10} \cdot \frac{\sigma_{t}}{\sigma_{11}} = W_{10} \cdot [1 + 0,000 \, 892 \, (t - 10) + 0,000 \, 000 \, 45 \, (\ell - 100)],$$

wofur bei kleinen Temperaturintervallen auch genügt:

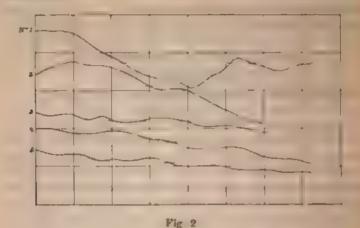
$$W_t = W_{10}$$
,  $[1 + 0.00090(t - 10)]$ .

§ 17. Resultate der Ausmessung der Dimensionen der Normalröhren. Die Constanten meiner 5 Röhren, bezogen auf die Normaltemperatur von 10° C. nach dem Luftthermometer), sind in der nachfolgenden Tabeile vereinigt. Die beigefügte Zeichnung (Fig. 2 a. f. S.) gibt die Querschnittsänderungen der Röhren; die letzteren selbst sind als Abscissenaxen gedacht und die Querschnitte als Ordinaten aufgetragen. Wo der Rohrquerschnitt gleich dem mittleren Querschnitt ist, wird dies durch eine kurze horizontale Linie angezeigt; der mittlere Querschnitt ist bei allen Röhren durch die gleiche Grösse ausgedrückt. Die Abscissenaxen, welche auf der Figur nicht angegeben sind, würden für jede der 5 Curven 63 mm von der dem mittleren Querschnitt entsprechenden Horizontalen entsernt sein.

Tabelle I.

Nr.	C	$L_{\gamma}$	M10	$a(r_1+r_3)$	W <sub>10</sub>
		In	g		mm", Hg von 00
1	1,00464	1.51017	88,5200	0,00195	0,3 (490
2	1,00892	1,20673	20.1113	0,00098	0,99921
3	1,00051	1,23409	15,2109	0,00086	1,87275
4	1,00225	1,50994	12,2647	0,00070	2.55252
5	1,00066	1,56582	9,6908	0,00063	9,20703

Die Röhren Nr. 3 und 5 sind von gutem Caliber, Nr. 4 von mittlerer, Nr. 1 und 2 von geringer Güte; beim Berechnen der Mittelwerthe sollen die Zahlen, welche durch Mesaungen mit den Röhren 3 und 5 erhalten wurden, das dreifache Gewicht, und die von Rohr 4 herrührenden das doppelte Gewicht bekommen, wie die mit Hülfe von Nr. 1 und 2 bestimmten.



III. Drahtwiderstände.

§ 18. Die Widerstände der 5 Quecksilberröhren wurden in Neusilberdraht copirt; von jeder Röhre stellte ich 8 Copien her, wozu ich zwei verschiedene Sorten Neusilberdraht benutzte.

Die eine Sorte wurde gewählt, weil sie schon 1879 ans der Fabrik bezogen worden war; sie hatte freilich einen specifischen Widerstand von nur 0,18 und einen grossen Temperaturcoëfficienten; die Aenderung ihres Widerstandes mit der Temperatur zwischen 0 und 20° wird dargestellt durch die Formel:

$$w_t = w_0 (1 + 0.000666t - 0.00000008t^2).$$

Die andere Sorte ist erst im April 1883 bezogen worden (Obermaier in Nürnberg), hatte einen grossen specifischen Widerstand, 0,41, und den mittleren Temperaturvoëssichenten bei 10° von nur 0,000 247.

Die Einrichtung der Widerstandsrollen war die folgende: Durch eine Holzbüchse, 15 cm hoch und 5 cm im Durchmesser, wurden die Electroden aus dickem Kupferdraht geführt; dieselben wurden mit Guttapercha eingekittet und durch einen aufgeschraubten Holzdeckel festgehalten. Der untere Theil der Holzbüchse war hohl und auf einer längeren Strecke auf geringeren Umfang eingedreht. Auf die letztere Strecke wurden die Widerstandsdrähte bifilar aufgewickelt, nachdem sie in die unteren Enden der Kupferelectroden eingelothet worden waren; die Stelle, an der der Draht geknickt wurde, ist mit einem Seidenfaden an ein kleines Messingschräubehen angebunden, welches in die Holzbüchse eingesetzt ist. Durch den Deckel der Büchse geht eine Durchbohrung, welche gestattet, ein Thermometer in das Innere der Widerstandsrolle einzuführen. Ueber das Ganze wird ein Glas übergekittet.

Der Electrodendraht ist ca. 8 mm dick; sein Widerstand beträgt pro Centimeter 0,00003 Q.-E. Auf den Electroden wird der Widerstand der Rollen durch Feilstriche abgegrenzt.

§ 19. Diese Widerstandsrollen wurden nur in Wasserbädern gebraucht; die letzteren besassen folgende Gestalt:

Ein cylindrisches Gefäse aus Zinkblech von 10 cm Höhe und 13 cm Halbmesser, an Boden und Seiten mit Filz überzogen, war zur Aufnahme von 3 Widerstandsrollen bestimmt. Der Deckel dieses Gefässes enthielt drei 5 cm weite Oeffnungen, durch welche die Widerstandsrollen hindurchgesteckt wurden, und besass nach oben einen 4 cm hohen Rand, auf welchen ein zweiter Deckel aufgesetzt werden konnte; der Raum zwischen beiden Deckeln wurde, soweit er nicht von den oberen Enden der Widerstandsrollen und den Electroden in Anspruch genommen war, sorgfältig mit Filz ausgefüllt.

Durch die Mitte beider Deckel ging eine Durchbohrung, welche dazu diente, ein Thermometer in das Wasserbad einzutühren; den grossen Oeffnungen des unteren Deckels entsprachen kleinere Oeffnungen des oberen, welche erlaubten, auch in das Innere der Widerstandsrollen Thermometer zu bringen. Der Boden der Widerstandsbüchsen befand sich 2 cm hoch über dem Boden des Wasserbades. Die Stellen der Electroden, wo die Widerstände der Rollen durch Feilstriche begrenzt waren, befanden sich noch innerhalb des Filzdeckels, etwa 2-3 cm vom Runde entfernt; nur die

äussersten Enden der Electroden ragten aus der Umhüllung des Bades hervor.

Solche Bäder wurden nur verwendet, wenn das im Gefässe befindliche Wasser nahe die gleiche Temperatur hatte, wie die umgebende Luft. Die Widerstandsrollen wurden immer mehrere Stunden vor den Messungen in die Bäder gebracht. Die Temperatur des Wassers hielt sich sehr constant; sie änderte sich gelegentlich einmal in 3, Stunden um 0.1°, meistens aber nur um wenige Hundertelgrade in derselben Zeit. Ich hielt es deshalb für erlaubt, die Temperatur im Inneren der Widerstandsrollen gleich der des umgebenden Wassers zu setzen, wenn die letztere nahe gleich der Lufttemperatur im Beobachtungsraume war.

§ 20. Die letztere Annahme ist nicht mehr gestattet, wenn die Temperatur des Bades von der der umgebenden Lust erheblich verschieden ist; die Temperatur der in dem Widerstandsgesäss eingeschlossenen Lust ist dann um einige Zehntelgrade von der des Bades verschieden, da die dicken Kupferdrähte einen erheblichen Wärmeaustausch zwischen dem Inneren der Gesässe und der umgebenden Lust vermitteln. Bei den Versuchen, welche ich in dieser Richtung anstellte, erhielt ich das Wasserbad halbe oder ganze Tage lang constant auf einer Temperatur, welche 10 bis 15° höher war, als die der umgebenden Lust; dabei blieb die Temperatur im Inneren der mit Lust oder Petroleum gefüllten Widerstandsbüchsen 0,8 — 0,7° gegen die Temperatur des Bades zurück.

Will man Fehler dieser Art in der Temperaturbestimmung vermeiden, so dürfte es keineswegs zweckmässig sein, den Widerstandsrollen möglichst dieke Kupferelectroden zu geben; bei sehr dieken Drähten wird der Vortheil des grossen galvanischen Leitungsvermögens durch den Nachtheil des grossen Wärmeleitungsvermögens bedeutend überwogen.

Das Umgeben der Widerstandsdrähte mit Paraffin statt mit Luft wird keinen Vortheil bieten.

Sind die Temperaturen des Bades und der umgebenden Luft verschieden, so muss man die Widerstandsdrähte (wie bei den Siemens'schen Normalen) direct mit Flüssigkeit (Petroleum) umgeben und die Temperatur dieser Flüssigkeit, nicht diejenige des äusseren Bades messen.

Dieses Verfahren habe ich bei Bestimmung der Temperaturcoefficienten eingeschlagen; die ausführliche Beschreibung desselben wird weiter unten folgen (§ 38).

(Fortnetzung im nachsten Heft.)

# X. Zur Bestimmung von Trägheitsmomenten durch Schwingungsversuche; von D. Kreichgauer.

## I Verschiedene Arten der Bestimmung

Das Trägheitsmoment eines beliebig geformten Körpers durch Rechnung genau zu ermitteln, ist meht möglich; wohl aber kann dasselbe durch das Experiment mit ziemlicher Schärfe auf einem Wege bestimmt werden, den Poisson'; vorgeschlagen hat. Als Gauss 3) das Trägheitsmoment von Magneten zur Messung der Horizontalintensität des Erdmagnetismus verwendete, führte er jenen Vorschlag in der bekannten, noch gebräuchlichen Form aus, indem er einen Magnet einmal allein, dann mit zwei auf scharfen Spitzen ruhenden Massen von bekanntem Trägheitsmoment schwingen hess. Die Art der Belastung hat mit der Zeit verschiedene Aenderungen erfahren, die Masson wurden von Weber 3, statt sie auf Spitzen aufzusetzen, an Coconfaden gehängt. deren Abstand mit grösserer Genauigkeit und geringerer Mahe gemessen werden konnte, als die Entfernung zweier Spitzen.

Einige Beispiele älterer Bestimmungen nach dieser Methode mögen hier Platz finden.

W. Weber gibt in den Resultaten aus den Beobach-

<sup>1)</sup> Lamont, Handbuch des Erdmagnetismus p 75

<sup>2)</sup> Gausa, Intensitas vis etc.

<sup>3)</sup> Weber, Resultate a. d. Beobachtungen des magnetischen Vereins. 1837, p. 82.

tungen des magnetischen Vereins 1887, p. 82, das Trägheitsmoment eines Stabes, der bei der ersten Bestimmung an einem Seidenfaden, bei der zweiten an einem Metalldrahte von grosser Torsionskraft hing, an als:

1) 49 108 000 [mm² mg], 2) 49 004 000 [mm² mg], während die Berechnung aus den Dimensionen den Werth 48 982 000 [mm² mg] lieferte. Die Schwingungsdauer des unbelasteten Stabes, auf gleiche Umstände reducirt, wird an derselben Stelle als Resultat aus 4 Beobachtungssätzen mitgetheilt; sie beträgt:

6,695 6,695 6,696 6,695 sec.

Der grösste Unterschied zwischen diesen Zahlen ist 3 auf 6700, oder 1 auf ca. 2230.

Nachdem zwei Cylindergewichte an Coconfäden an den Magnet gehängt waren, wurden aus 3 Sätzen die Schwingungsdauern gefunden:

12,058 12,039 12,019 sec.

mit der grössten Differenz von 39 auf 12040 oder 1 auf ca. 309. Gegenüber der guten Uebereinstimmung obiger 4 Werthe ist der Unterschied der drei letzteren ziemlich auffällig.

In der Schrist Intensitas vis etc. von Gauss sindet sich ebenfalls ein Beispiel einer Trägheitsmomentbestimmung. Die Gewichte waren dort in vier verschiedenen Entsernungen nacheinander angehängt, in jeder der verschiedenen Stellungen wurde die Schwingungsdauer der Combination bestimmt, und mit Hülse der Methode der kleinsten Quadrate das Trägheitsmoment berechnet. Der gefundene Werth gestattete nun, rückwärts auszurechnen, wie gross die Schwingungsdauer bei den genannten 4 Stellungen hätte gefunden werden müssen. Das Resultat ist in der solgenden Tabelle enthalten:

Exper.	Tempus calculatum	Tempus observatum	Diff.		
I	24,65884	24.65717	+0,00167		
П	20.75774	20 79238	-0,00454		
111	17,69046	17,88610	+0,00486		
IV	15,82805	15,82958	-0,00153		

Ferner theilt Sartorius von Waltershausen in den Resultaten des magnetischen Vereins 1837, p. 99, eine ganz abnliche Beobachtungsreihe mit, wie folgt:

Exper.	Berechnete Aut in Sec	Beobachtete Zeit In Sec	Differenz Sec.	Gegeniestige Entfernang der Gew
-1	31,0150	81,0120	+0,0040	199,885 0101
- 11	25,6011	25,6317	0.0306	150,0 "
III	20,4744	20,4433	+0,0311	100,0
IV	17,4347	17,4882	0,0035	50,0 "

Auch Hansteen hat, wie er in den Resultaten von 1840 mittheilt, derartige Versuche angestellt, mit deren Ergebniss er gar nicht zufrieden war.

Da anzunehmen ist, dass nur gute Beobachtungen veröffentlicht wurden, so lässt sich aus den mitgetheilten Beispielen schliessen, dass einer oder mehrere principielle Fehler in der Methode liegen. Dieselben zu corrigiren oder zu umgehen, war der Hauptzweck gegenwärtiger Untersuchung.

Infolge der gemachten schlimmen Erfahrungen belastete Lamunt<sup>1</sup>) und (Fauss<sup>2</sup>) den schwingenden Magnet mit einem Ringe, dessen Mittelpunkt in die Aufhängeaze fiel. Dadurch trat nun an Stelle des vermiedenen ein neuer Missstand, die nicht controlirbaren Dichteverschiedenheiten und, da ausserdem der Ring meistens aus Messing bestand, der dieses Metall häufig begleitende Magnetismus. Eine grössere Beobachtungsreihe nach dieser Methode gibt Wild.<sup>3</sup>) Für das Trügheitsmoment desselben Stabes, in längeren Intervallen bestimmt, sind dort die Zahlen angegeben:

71661	71632	71591	71524	71633	71632
71634	71659	71010	71596	71613	71617
71600	71577	71685	71600	71618	

Der grösste Unterschied zeigt sich zwischen dem ersten und vierten Werthe, er beträgt 137 auf 71660, oder 1 auf

<sup>1)</sup> Lamont, Abhandl, d. math.-phys. Cl. d. Kgl. bair. Acad. 3. p. 621-1844 u. Ueber das magnetische Observatorium an der K. Sternwarte bei München 1840.

<sup>2</sup> Gauss, Resultate des magn. Vercins 1841, p. 26.

<sup>3)</sup> Wild, Exper's Rep. d. Physik, 20, 1844, p. 12,

523, aber auch die übrigen Zahlen stimmen nur unvollständig überein, was vielleicht auf eine Unsicherheit in der nicht leichten Orientirung, oder auf Magnetismus des Ringes hinweist. Da überdies das berechnete Trägheitsmoment des Ringes mit einem constanten Fehler behaftet sein könnte, so sind auch in dieser Methode noch nicht alle Schwierigkeiten überwunden. In demselben Aufsatze weist Wild noch auf die Nothwendigkeit weiterer Untersuchungen mit den Worten hin:

"Eine aufmerksame Betrachtung der bezüglichen Gauss'schen, sowie ähnlicher Beobachtungen von Sartorius v. Waltershausen lässt indessen erkennen, dass die Bestimmung für die intermediären Entfernungen auftallend viel grössere Abweichungen zwischen Berechnung und Beobachtung ergeben, als die aus den extremen Stellungen abgeleiteten. Wir lassen es dahingestellt, ob dies auf eine ungenügende Theorie dieser Methode, welche allfällige aerodynamische und Reibungscorrectionen, sowie eigene Schwingungen der angehängten Gewichte nicht berücksichtigt, zurückzuführen sei oder nicht, jedenfalls fordert aber dieser Umstand zu eingehenderen Untersuchungen dieser Methode aus."

Eine andere schon von W. Weber gebrauchte Abänderung des Gauss'schen Verfahrens hat Dorn 1) benutzt, welcher die Belastungscylinder auf Stifte feststeckt und die Schwingungsdauer der Combination bei zwei um 180° verschiedenen Stellungen der Belastung beobachtet. Auf die obere Fläche der Belastungscylinder ist je ein kleiner Kreisgezeichnet, dessen Mittelpunkt in der Umdrehungsaxe liegt. Gemessen wird der Abstand der auf der Centrale liegenden Punkte beider Kreise. Unter den bisher veröffentlichten Bestimmungen von Trägheitsmomenten geben die auf obigem Wege gefundenen Resultate Dorn die grösste Genauigkeit.

Eine von allen genannten verschiedene Methode beschreibt E. Brassine. 1)

<sup>1:</sup> Dorn. Wied, Ann. 17, p 773, 1892.

E. Brassine, Compt. read 95, p. 446 1882. Beibl 7, p. 158

Im Gegensatze zu den früheren, bei denen Magnetismus oder Torsion als Directionskräfte dienen, wird hier die Schwerkraft benutzt. Ein leichtes Pendel ist am unteren Ende mit einer horizontalen Scheibe versehen und dient zur Aufstellung des Körpers, dessen Trägheitsmoment gemessen werden soll. Zu ermitteln sind dann folgende Stücke: die Masse des Pendels, die Lage seines Schwerpunktes, die Schwingungsdauer ohne und mit Belastung, die Masse des Versuchsgegenstandes, die Lage des Schwerpunktes in demselben und dessen Abstand von der Aufhängeaxe des Pendels. Von diesen werden die beiden letzten nur in seltenen Fällen und nur mit äusserster Vorsicht zu einer Genauigkeit gebracht werden können, welche die Sicherheit des Endresultates in gleichem Grade verbürgen, wie eine der anderen Methoden.

In der neuesten Zeit wurden die Bestimmungsarten durch eine von allen früheren ebenfalls principiell verschiedene Methode, die bifilare Methode<sup>2</sup>) von F. Kohlrausch vermehrt, welche den Zweck hat, die Unsicherheiten der Belastungsmethode zu umgehen. Zu bestimmen ist die Directionskraft einer weiten bifilaren Aufhängung, die Schwingungsdauer der Suspension mit und ohne Versuchsobject. Einen Magnet legt man in zwei um 180° verschiedenen Richtungen nacheinander ein.

Angaben über die Sicherheit der Ausmessung bisslarer Directionskräfte und die ganze Theorie der bisslaren Ausbängung sinden sich in der Arbeit über die Bestimmung der Horizontalintensität.<sup>3</sup>) Einen weiteren experimentellen Beitrag liesern die später (p. 300) beschriebenen Versuche, welche zugleich auss neue die Vortheile der Methode gegenüber den früheren erkennen lassen.

In England ist noch eine andere Form der Trägheitamomentbestimmung im Gebrauche, deren Resultate unter sich wohl übereinstimmen mögen, die aber zur Erlangung genauer Werthe wenig geeignet sein dürste. Es wird, nachdem die Schwingungsdauer eines Magnets für sich bestimmt

F. Kohlrausch, Wied. Ann. 22, p. 411, 1884 u. Gött. Nachr. 1883 p. 411.

<sup>2</sup> F Kohlrausch, Wied. Ann 17, p. 765 1882

ist, unter denselben ein Cylinder aus unmagnetischem Metalle horizontal und symmetrisch zur Schwingungsaxe aufgehüngt und abermals die Schwingungsdauer gemessen. Da das Trägheitsmoment des Belastungscylinders durch Rechnung gefunden werden kann, so wird dasjenige des Magnets mit den dazu gehörigen Theilen in bekannter Weise erhalten.

### II. Storungsgrunde.

Die Bestimmung des Trägheitsmomentes eines Magnets nach der Gauss'schen Methode macht vier genaue Messungen erforderlich, eine Wägung, eine Abstandsmessung und zwei Schwingungsdauern. Die Sicherheit der Beobachtung von Schwingungsdauern ist leicht über die geforderte Grenze zu steigern, und der Fehler der Abstandsmessung kann durch sorgfältige Aussührung jedenfalls auch in den meisten Fällen bis zum nöthigen Betrage verringert werden. Obwohl aber gewiss alle Beobachter sämmtliche Stücke mit erforderlicher Genauigkeit gemessen haben, weichen doch die extremen Werthe bis 1/8001 in vereinzelten Fällen noch mehr voneinander ab. Dass das nach dieser Methode bestimmte Tragheitsmoment im Mittel auch noch zu gross aushel1), beachtete man früher nicht, wahrscheinlich weil das Resultat fast nie in anderer Weise controlirt wurde. Als Prof. Kohlrausch?, einen sehr genau cylindrisch gearbeiteten Stabuntersuchte, dessen Trägheitsmoment auch aus der Form berechnete und es ausserdem durch seine Bifilarmethode bestimmte, machte er obige Bemerkung und veranlasste später diese Untersuchung.

Die Uraachen, welche das Trägheitsmoment zunächst ungenau zu machen geeignet sind, beeinflussen alle nur die Schwingungsdauer des belasteten Versuchsobjectes. Eine derselben hat Beling<sup>3</sup>) in einer neueren Schrift untersucht und dann gezeigt, dass die davon herrührenden Storungen, bei kurz aufgehängten Gewichten, mittelst einer einfachen Formel berücksichtigt werden können. Die dort behandel-

<sup>1)</sup> Beispiel p 274 oben.

<sup>2.</sup> F. Kohlrausch, Gott Nachr. 1883, p. 411.

<sup>3)</sup> Beling, Zur Thoorie der Bifilamufnanging, Bredan 185).

ten störenden Kräfte treten infolge der selbständigen Pendelschwingungen der aufgehängten Gewichte auf und sind um
so grosser, je länger die Aufhängefäden sind. Rechnet man
seine Formel, die für die Bewegung eines bifilar aufgehängten Systemes gilt, für den sehwingenden Magnet oder das
Totsionspendel um, so ündet man, dass die beobachtete
Schwingungsdauer T mit einem Factor zu multipliciren ist,
um jene Z zu erhalten, welche mit fest verbundenen Geuichten, also ohne Eigenbewegung derselben, gefunden werden würde.

Bedeutet:

D die Directionskraft.

m die Masse eines Belastungsgewichtes,

2r den Abstand der beiden Gewichte.

¿ die reducirte Pendellänge derselben,

g die Beschleunigung der Schwere,

A das Trägheitsmoment des Schwingungskörpers,

so ist: 
$$\mathfrak{T} = T \left( 1 - \frac{D_M r^{ik}}{g(k + 2mr^{i})^i} \right)$$

Am Schlusse seiner Arbeit stellt Beling in einer Tafel die Kesultate seiner Experimentaluntersuchungen zusammen. wobei eine auffallende Erscheinung auftritt, deren Ursache aus den mitgetheilten Erläuterungen über Messinstrumente und Messmethoden nicht erklärt werden kann. Ein bitilar aufgehängter Körper von bekanntem Trägheitsmoment und bekannter Masse schwingt bei einer Directionskraft, deren Grosse aus den Dimensionen des Apparates berechnet wird. Aus den beobachteten Daten wird dann die Schwerebeschleunigung bestimmt. Der grösste Unterschied zwischen den 47 in Betracht kommenden Resultaten beträgt ca. 0,000 007 des ganzen, zwischen den letzten 20 nur 0.000 002 des ganzen. wahrend der Abstand der beiden Aufhängefäden nur auf ca. 0.00025 des ganzen Abstandes (3,3 mm) bestimmt werden kann. Dadurch allem würde aber schon in der Grösse q eine Unsicherheit von 0,0005 derselben bedingt sein.

Ausser der besprochenen lassen sich noch 2 Störungsursachen nachweisen, von denen die eine wie die frühere in der Besestigung der Gewichte, die andere aber in der Aufhängung des ganzen Systemes begründet ist. Die erstere soll auf mathematischem Wege berücksichtigt, die letztere auf praktischem möglichet beseitigt werden.

In der Formel, welche das Trägheitsmoment darstellt, wird jenes der Hülfsbelastung angenommen als bestehend aus der Masse derselben, multiplicirt mit dem Quadrate ihrer Entfernung, ausserdem vermehrt um das Trägheitsmoment der tjewichte, bezogen auf die verticale Axe durch ihren Aufhängepunkt. Dieser letztere Thoil würde aber nur dann ganz hierher gehören, wenn die Gewichte sich vollständig mit dem Magnete drehen müssten, d. h. wenn die Directionskraft der Aufhängefäden unendlich gross wäre.<sup>1</sup>)

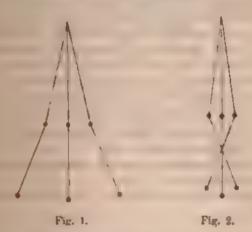
Schwingungen combinirter Pendel.

Die Bewegung des Magnets mit den Gewichten kann dreifacher Art sein, von diesen ist eine bei den wirklich vorkommenden Verhältnissen ausgeschlossen und eine andere oft zu vermeiden.

Um die drei möglichen Arten von Bewegungen anschaulicher zu machen, wollen wir statt des Torsionspendels zunächst zwei gewöhnliche Pendel betrachten, von denen eins am unteren Ende des anderen hängt. Die Schwingungen a solcher Pendel behandelt Daniel Bernoulli in dem Aufsutze: Theoremata de oscillationibus corporum filo flexili connexorum et catenae verticaliter suspensae.<sup>2</sup>)

- 1) Einen ganz ähnlichen Gegenstand behandelt der Aufentz von Lübeck "Notz zu den Bessellschen Pendelversuchen", Posts. Ann 150. p. 476. 1873, wo der Emfluss der in den Bessellschen Pendeln emgeschlossenen Flüssigkeit auf die Schwingungen derselben untersucht und die von Bessel gefundenen unregelmässigen Resultate berichtigt werden.
- 2 D Bernoulli, Comm. Acad. sc. Petropolit. 6. p. 108, 1788. Ein besonderer Fall zolcher Schwingungen hat schon Johann Bernoulli beschäftigt. Comm. Petrop. 3. p. 13. 1782. Später hat Euler die Bernoulli sche Arbeit zweifach erweitert. Comment. Petrop & p. 30. 1741: "De oscillationibus fili flexilis quoteunque pondusculis onusti", und Acta acad. scient. imper. Petrop. 3. 1779: "De m du oscillatorio mixto plurium pendulorum ex codem corpore mobili suspensorum. Dasselbe Thema hat wieder Dumas in der Festschrift zur dritten

Erstens können jede beide Pendel gemeinsame Schwingungen von gleicher Dauer, aber ungleicher, von Masse und Länge derselben abhängiger Amplitude ausführen, wobei beide Pendel stets gleichzeitig die Ruhelage in gleicher Richtung passiren (I) Fig. 1. Die zweite Art unterscheidet sich von der ersten dadurch, dass der Durchgang durch die Ruhelage wohl zu gleicher Zeit, aber in entgegengesetzter Richtung stattfindet (II). Fig. 2. Diese Bewegung hat stets eine kleinere Periode als die erste. Drittens können beide Pendel unregelmässig schwingen /III).



Den drei für gewöhnliche Pendel bestehenden Schwingungsformen ganz analoge lassen sich auch bei Torsionspendeln nachweisen, doch sind die Verhältnisse hierbei intofern allgemeiner, als zwei verschiedene Kräfte zu Direc-

Sacularfeier des Berliner Gymnasiums zum grauen Kloster aus anderen Principien behandelt und mehrfach ausgedehnt.

Ausserdem findet sich noch dieser Stoff in Lagrangen mennique analytique, bei Minding, Crelle's Journ. 50. p 243, 1835, bei E. Sang, Proc. Edinb. Roy. Soc. 1859—60, bei Jackwitz, die unendlich kleinen Schwingungen eines aus zwei Massenpunkten bestehenden Pendels um Raums). Progr. des Posener Gymnasiums 1882, bei Luxenburg, Ueber Las zweigliedrige Pendel (im Raums), Zeitsehr. f. Mathematik 28, p 309, 1883 und bei Résa).

tionskräften verwendet sind, und weil die Ausschläge hier nicht, wie dort, auf sehr kleine beschränkt bleiben,

a, Schwingungen ohne beschrankende Voraussetzungen. – Das Torsionspendel mit zwei an gleichen
unbiegsamen, aber tordirbaren Fäden angehängten gleichen
Belastungen kann man zunächst zu einem zweighedrigen
vereinfachen, indem man z. B. die Belastungen in ihren
Schwerpunkten concentrirt denkt, sie also des Tragheitsmomentes um ihre verticale Axe beraubt und datur die
die jetzt gewichtslos gedachten Massen derselben zusammen
in der Aufhängeaxe des Hauptkörpers an einem Faden befestigt, dessen Directionskraft doppelt so gross ist, als jender beiden ursprünglichen war. Dass die so abgeanderte
Combination ganz dieselben Schwingungen machen muss,
wie die anfängliche, folgt aus dem Satze, dass Kräftepaare
in ihrer Ebene beliebig verschoben werden durfen.

Sind jetzt der Hauptkörper und die Belastung um irgend einen Winkel aus der Gleichgewichtslage gedreht, so wirken auf jenen 2 Kräfte, seine eigene Directionskraft und die Torsion des Fadens. Bedeutet also:

D die Directionskraft (entweder magnetisch oder von Torsion herruhrend).

s die Trägheitsmomentensumme der beiden Belastungen um ihre Axe.

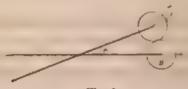


Fig. 3.

a den (für den Fall des Magnets kleinen, Winkel des Hauptkörpers gegen die Ruhelage, Fig. 3.

 $\beta$  den Winkel, um welchen die Belastung B gegen den Magnet gedrebt ist,

# die doppelte Directionskraft eines Aufhängefadens der Gewichte.

K das Trägheitsmoment des Hauptkörpers.

2/ die Entfernung der beiden Aufhängefäden voneinander,

m die Massensumme beider Gewichte,

$$S = K + mP, \qquad q = \alpha + \beta,$$

po kann man, ahnlich wie Euler in der citirten Schrift (p. 280, zur Definition der Bewegung, die Gleichungen aufatellen:

$$\frac{d^2n}{dt^2} = \frac{D}{S}\alpha + \frac{64}{S}\beta.$$

$$\frac{d^{3}q}{dt^{3}} = -\frac{\Theta}{a}\beta = \frac{d^{3}n}{dt^{3}} + \frac{d^{3}\beta}{dt^{3}}$$

Schreibt man statt der zweiten Gleichung die Differenz von 2, und (1), so entstehen die folgenden:

$$\frac{d^{2}u}{dt^{2}} = -\frac{D}{S}u + \frac{\Theta}{S}\beta.$$

$$\frac{d^2\beta}{d\beta} = \frac{D}{S}\alpha - \Theta\beta\left(\frac{1}{S} + \frac{1}{s}\right).$$

Diese beiden Gleichungen haben dieselbe Form wie jene, welche die Bewegung eines Punktes unter dem Eintluss behebig vieler Kräfte in der Ebene darstellen. Die beiden Gleichungen reduciren sich auf eine, wenn man (4) mit dem vorläutig unbestimmten Factor à multiplicirt und dann von 3 aubtrahrt.

$$\frac{d^3a}{dt^2} - \lambda \frac{d^3\beta}{dt^2} = -\frac{D}{S}\alpha(1+\lambda) + \Theta\beta \left[\frac{1}{S} + \lambda \left(\frac{1}{S} + \frac{1}{a}\right)\right]$$

Durch Substitution von  $\alpha = s + \lambda \beta$  folgt hieraus:

$$(\beta - \frac{d^2 a}{dt^2} = -\frac{D}{S}(1+\lambda)z + \beta \left[ -\frac{D}{S}\lambda(1+\lambda) + \Theta\left(\frac{1}{S} + \lambda \left(\frac{1}{S} + \frac{1}{s}\right)\right) \right].$$

Die Grösse  $\lambda$ , über die noch frei verfügt werden kann, werde jetzt so bestimmt, dass der Factor von  $\beta$  in Gleichung (6, verschwindet. Aus dieser Gleichung entsteht so:

(7) 
$$\frac{d^2z}{dt^2} = -\frac{D}{S}(1+\lambda)z, \text{ mit der Lösung:}$$

(8) 
$$z = A \sqrt{\frac{S}{D(1+\lambda)}} \sin \left[ (t-B) \sqrt{\frac{D(1+\lambda)}{S}} \right] = \alpha - \lambda \beta.$$

Der Factor von  $\beta$  in (6) gleich 0 gesetzt, gibt 2 Werthe von  $\lambda$ :

$$\lambda_{1,2} = -\frac{D_{\ell} - \Theta(S+s)}{2D_{\ell}} \left[ 1 \pm \sqrt{1 + \frac{4\Theta Dr^2}{(D_{\ell} - \Theta(S+s))^2}} \right].$$

Infolge der beiden Werthe  $\lambda_1$  und  $\lambda_2$  spaltet sich Gleichung (8) in zwei:

$$\alpha = \lambda_1 \beta = A_1 \sqrt{\frac{S}{D(1+\lambda_1)}} \sin \left[ (t-B_1) \sqrt{\frac{D(1+\lambda_1)}{S}} \right]$$

$$\alpha = \lambda_2 \beta = A_2 \sqrt{\frac{S}{D(1+\lambda_2)}} \sin \left[ (t-B_2) \sqrt{\frac{D(1+\lambda_2)}{S}} \right].$$

Eliminirt man hier a und dann 3, so entstehen die Gleichungen:

(9) 
$$\begin{cases} \alpha = \frac{1}{\lambda_{1} - \lambda_{1}} \bigvee \frac{S}{D} \left\{ \frac{A_{1} \lambda_{2}}{1 + \lambda_{1}} \sin \left[ (t - B_{1}) \bigvee \frac{D (1 + \lambda_{1})}{S} \right] - \frac{A_{2} \lambda_{1}}{1 + \lambda_{2}} \sin \left[ (t - B_{2}) \bigvee \frac{D (1 + \lambda_{1})}{S} \right] \right\} \\ \left[ \beta = \frac{1}{\lambda_{2} - \lambda_{1}} \bigvee \frac{S}{D} \left\{ \frac{A_{1}}{1 + \lambda_{2}} \sin \left[ (t - B_{1}) \bigvee \frac{D (1 + \lambda_{2})}{S} \right] - \frac{A_{2}}{1 + \lambda_{2}} \sin \left[ (t - B_{2}) \bigvee \frac{D (1 + \lambda_{2})}{S} \right] \right\}. \end{cases}$$

Die beiden letzten Gleichungen, welche im allgemeinsten Falle die Elongation des Hauptpendels und die der angehängten Gewichte für jeden Moment anzugeben gestatten, zeigen, dass von einer Schwingungsdauer im gewöhnlichen Sinne nicht die Rede sein kann. Die Bewegung der einzelnen Theile könnte verglichen werden mit jener einer aus 2 Wellen von verschiedener Länge zusammengesetzten Hauptwelle, deren graphische Darstellung die bekannte, oft fast regellos erscheinende Linie gibt. Nur wenn  $\sqrt{1+\lambda_1}$  und  $\sqrt{1+\lambda_2}$  commensurabel sind, entsteht in jedem Falle eine periodische Bewegung, weil dann nach einem gewissen constanten Zeitintervall beide der in (9) oder (10) enthaltenen Sinus wieder den gleichen Werth annehmen. Ertheilt man der Grösse  $\Theta$  den Werth Null, so wird aus Gleichung (9):

$$\alpha = \sqrt{\frac{c_1 \, 8}{D}} \sin \left[ (t - c_2) \, \sqrt{\frac{D}{S}} \right],$$

d. h. die Combination schwingt wie ein einfaches Torsionspendel mit dem Trägheitsmomente S.

Wächst  $\Theta$  über alle Grenzen, dann entsteht ans (9)  $\alpha = \{c_1(N+s) \mid D \sin(\ell-c_1)\} \mid D \mid N+s$ , das System schwingt

schwingt demnach wie ein Pendel mit dem Tragheitsmoment  $K + ml^2 + s$ .

Obgleich weder das Haupt- noch das Nebenpendel, wie die Betrachtung von a und 3 zeigt, eine Periode besitzen, so gibt es doch zwei Punkte in der Combination, die sich wie ein einfaches Pendel verhalten. Die beiden, entsprechend den 2 Werthen von A. erhält man aus Gleichung (8). Da namich 3 den Winkel darstellt, um welchen eines der angehängten Gewichte gegen seine relative Ruhelage, also gegen die Richtung des Hauptkörpers gedreht ist, so gibt es auf dem Faden, an dem es hängt, oder auf dessen Verlängerung jedenfalls 2 Querschnitte. deren Drehung gegen jenen Körper - ka beträgt. Die ununbegrenzte Verlängerung nach oben und unten wird dabei so gedacht, dass der ganze Faden gleichmässig und in allen Theilen gleich dem wirklich vorhandenen Stück tordirt ist. Da die Drehung der genannten ausgezeichneten Querschnitte gegen den Hauptschwingungskörper - id ist, dieser selbst aber gegen die eigene Ruhelage um a abweicht, so sind die Querschnitte im ganzen um a - 23 gedreht, und dieser Ausdruck hat nach 8, eine gewöhnliche Sinusperiode.

Würde man in einem der bezeichneten Querschnitte einen Spiegel mit dem Faden verbinden, so erhielte man die Schwingungsdauer desselben:

(Gi. 8) 
$$T = \pi \sqrt{\frac{8}{D(1+\lambda)}}.$$

ausserdem ist bekannt die Schwingungsdauer ohne Belastung

$$T = \pi \sqrt{\frac{K}{\bar{D}}}$$
.

woraus K durch Elimination von D mittelst einer quadratischen Gleichung berechnet werden kann.

Leichter lässt sich dieselbe Erscheinung bei zwei combinirten ebenen Pendeln verfolgen. Auch hier besteht, wie man aus einer der p. 280 citirten Schriften, z. B. der von Dumas, erschen kann, zwischen dem Winkel des Hauptpendels \alpha (Fig. 3) und dem des Nebenpendels gegen das Hauptpendel \( \beta \) eine Beziehung von der Form.

$$\alpha + m_1 \beta = m_2 \sin m_3 t$$
.

286

wenn m, bis m, Constante sind. In Fig. 4 sei AC zu seiner Zeit die Lage des Hauptpendels, FC für dem

Augenblick die Richtung des angehit Pendels,  $\Leftarrow CAD = \alpha$ ,  $\Rightarrow BCE =$   $\Rightarrow BAD = \alpha + m, \beta$ ,  $\Rightarrow BAC = \delta$ In dem Dreieck ABC verhalt sich dank  $BC: AC = \sin m, \beta: \sin (\beta - m, \beta)$ oder für kleine Winkel  $\beta:$ 

 $BC: AC = m_1: 1 - m_1$ 

d. h. BC ist eine Constante, da samm anderen Glieder der Proportion ebenfalls stante sind; dies gilt für jeden beliebigen punkt während der Schwingungen. D folgt, dass die Linie AB immer den Punkt in der Richtung des Nebenpendel trifft, und da AB nach obiger Gleichung & perioden hat, so hat auch die Bewegun

Schnittpunktes B solche. Der Punkt B kann bei pass Wahl der Dimensionen beider Pendel natürlich auch zwi C und F fallen.

b) Regelmässige Schwingungen. — Der Untern dieser gegen die unregelmässigen besteht, wie aus p. 26 sichtlich ist, darin, dass beide Pendel stets gleichzeit! Ruhelage passiren. Es muss demnach zwischen den Wilder beiden gegen die Ruhelage  $\alpha$  und  $\beta$  eine Beziehungstehen, welche diese Bedingung enthält und zugleich beiden Gleichungen (3) und (4) nicht widerspricht. Die fachste derartige Beziehung ist  $\beta = c\alpha$ , wo c eine vor unbestimmte Constante ist.

Die Bewegung wird jetzt durch die 3 Gleichunge stummt:

$$\frac{d^2u}{dt^2} = \frac{D}{S}u + \frac{\Theta}{S}\beta$$

(b) 
$$\frac{d^{1}\beta}{dt^{1}} = \frac{D}{S}\alpha - \Theta\beta \left[\frac{1}{S} + \frac{1}{\delta}\right], \qquad (c) \quad \beta = c\alpha_{N}$$

Die erste und letzte Gleichung liesern die Beziehung:

$$\frac{m_a}{dt^c} = a \left[ -\frac{D}{S} + \frac{c \Theta}{S} \right]$$

mit der Lösung.

$$a = \sqrt{\frac{n_1 S}{D - c\Theta}} \sin \left[ (t - n_2) \sqrt{\frac{D}{S}} \right]^{cM} \right],$$

und a sind Integrationsconstanten.

Die vorläufig unbestimmte Grösse e folgt aus den Gleichungen (a), b) und (c) durch Elimination von a und 3 als:

(e) 
$$r = \frac{Ds - \Theta(S + s)}{2\Theta s} \left[ 1 \pm \sqrt{1 + \frac{4\Theta Ds^3}{Ds - \Theta(S + s)^2}} \right].$$

Die Constante c ist zugleich das Verhältniss der Ausschlagsweiten beider Pendel. Durch Vergleichung derselben mit der Constanten 2 p. 284 folgt:

$$c\theta = -\lambda D$$
.

Die Dauer der regelmässigen Schwingungen erhält man

$$T = \pi \sqrt{\frac{S}{D + c\Theta}}.$$

Ersetzt man hierin co der Gleichung (f) gemäss durch - \( \lambda D \), so geht die Beziehung für die Dauer der regelmässigen Schwingungen in jene für die ausgezeichneten Punkte bei unregelmässigen p. 255) über. Daraus geht hervor, dass die beiden Punkte unter silen Umständen eine constante Schwingungsdauer hesitzen.

Elenso wie auf p. 285 konnte jetzt das Trägheitsmoment K des Hauptpendels einer beliebig gegebenen Combination aus regelmässigen Schwingungen gefunden werden.

c) Dreigliedriges Pendel. — Bisher war stets vornusgesetzt, dass die beiden an das Hauptpendel angehängten
tiewichte gleiche Schwingungsdauer um ihre Axe besitzen,
und infolge dessen konnten sie als ein einziges betrachtet
werden. In praktischen Fällen ist diese Gleichheit der
Schwingungsdauern nur schwer erfüllbar, und es ist deshalb
von grossem Vortheil, dass auch ohne dieselbe alles Frühere
tieltung hat, wenn man nur aus den beiden Torsionsdirectionskräften der Aufhängefäden das arithmetische Mittel
nimmt. Aus den 3 Differentialgleichungen für das dreigliedrige Pendel kann dieses in einfacher Weise geprüft
werden. Insbesondere ist sofort ersichtlich, dass ungleiche

Schwingungsdauern der beiden Gewichte um ihre Axe unmöglich die Aufhängeaxe des Magnets aus ihrer Lage bringen können, da jedes Drehungsmoment für sich allein schon ein Kräftepaar und zwar unter allen Umständen nur ein solches bedingt.

Nicht so eintsch ist die Sachlage für die gewöhnlichen Pendelschwingungen der angehängten Gewichte, welche Beling (s. p. 278) behandelt hat, indem verschiedene Schwingungsdauern derselben hier zu bedeutenden Störungen Veranlassung geben können, so lange die Drehungsaxe des Hauptschwingungskörpers picht unveränderlich gemucht wird. Solche Schwingungen sind die zweite der auf n. 279 erwähnten Hauptursachen fehlerhafter Bestimmungen des Trägheitsmomentes, indem sie nicht nur direct die Schwingungsdauer beeinflussen, sondern auch den Schwerpunkt des Magnets hin und her stossen. Es ist auch hierdurch besonders die Erscheinung zu erklären, dass unter Beibehaltung der gleichen Verhältnisse verschiedene Schwingungsdauern erhalten werden, insbesondere, wenn man zwischen 2 Beobachtungssätzen den Magnet beruhigt und ihn dann von neuem, etwas rascher oder langsamer wie vorher, wieder anstösst. Warum der Schwerpunkt mit bewegt wird, ist in dem Palle leicht. zu sehen, wo die Pendelschwingungen der Gewichte, auch bei Aufhängung an gleichlangen Fäden, unregelmässig ausgeführt werden. In diesem Falle greifen ja nicht mehr Kraftenaare an dem Magnet an, sondern den unregelmasigen, selbständigen Schwingungen entsprechend greifen an beiden Enden des Magnets in jedem Augenblicke von einander unabhängige verschiedene und verschieden gerichtete Krätte an, die sich immer in ein Kräftepaar und eine einseitig angreifende Kraft zerlegen lassen. Ungleiches Gewicht der beiden angehängten Massen, sowie ungleicher Abstand vom Aufhängepunkte vergrossern das Uebel. Haben die Aufhängefäden auch noch ungleiche Länge, so treten die einseitigen Kräfte in jedem Falle auf, auch bei einer der mit I und II p. 281 bezeichneten Schwingungsformen. Aus den Resultaten der Untersuchungen Euler's (p. 280) geht numbleh hervor, dass die Amplituden zweier ungleich langer n demselben Punkte des Hauptpendels befestigten Nebenpendel von gleicher Masse ungleich sind. Auch aus der
regelmässigen Schwingungsart dreier Pendel lässt sich durch
unfache Schlüsse dieselbe Thatsache folgern. Haben aber
beide angehängte Gewichte verschiedene reducirte Pendelängen, folglich verschiedene Amplituden, so können die
auftretenden Kräfte wieder kein reines Kräftepaar bilden.
Die Störungen wären natürlich am grössten, wenn man
unem der Gewichte die Pendellänge Null, dem anderen eine
endliche zutheilen wurde.

III. Vereinfachung der Gleichungen durch passend gewählte Verhaltnisse.

a) Unregelmässige Schwingungen. - Bestimmt man das Trägheitsmoment eines Magnets, so kann das der angehangten Cylinder um ihre Axe (s) immer bedeutenst kleiner gemacht werden, als die Summe S, und auch die Regulirung der Torsionskraft @ biotet keine Schwierigkeiten. Bei passender Wahl dieser Grössen werden sowohl Beobachtung als Rechnung bedeutend einfacher. Während aus Gleichung 91 im allgemeinen Falle eine einigermassen leicht beobachtbare Schwingungsdauer gar nicht erhalten werden konnte, ist dieselbe für ein kleines & oder & Ausserst einlach. Ist z. B. A, gegen A, klein, was durch die Kleinheit des Ausdruckes  $\Theta Ds^2 [Ds - \Theta(S+s)]^2$  (p. 284) bedingt ist, so hat der zweite Sinus in Gleichung 9) entsprechend einen kleinen Einfluss auf die Periode von a. Die beobachtete mittlere Schwingungsdauer T' des Magnets kann man deshalb gleichsetzen:

$$T = \pi \left[ \begin{array}{c} S \\ D(1 + \lambda_1) \end{array} \right] = \pi \left[ \begin{array}{c} K + m_1^2 \\ D(1 + \lambda_1) \end{array} \right]$$

Die Schwingungsdauer ohne Belastung ist:

$$T=\pi\sqrt{\frac{K}{D}} +$$

sus diesen beiden findet man durch Eliminiren von D:

(13) 
$$K = m \ell^2 \frac{T^2}{T^2 (1 + \kappa_1)^2 + \ell^2},$$

oder angenähert, wenn  $ml^2 + s = k$ :

$$K = (m\,l^2 - \lambda_1\,S)_{-l^2\,1} \frac{T^4}{l^2\,l^2} = (k - \lambda_1\,S - s)_{-l^2\,l^2-l^2} \frac{T^4}{l^2\,l^2-l^2}$$

Wird die Torsionskraft  $\Theta = 0$ , so wird auch  $\lambda_1 = 0$  und  $K = m l^2 T^2 - T^2 - T^2$ ), worin das Trägheitsmoment der Gewichte um ihre Axe (s) ganz fehlt.

Sind  $\Theta$  und D nicht sehr viel voneinander verschieden, so genügt schon zu demselben Zwecke, dass s/S eine kleine Grösse ist. Für beide bezeichneten Fälle wird auch der allgemeine Ausdruck für  $\lambda_1$  zur Ausrechnung bequemer, indem angenähert entsteht:

$$\dot{\lambda}_1 = \frac{\Theta s}{Ds + \Theta (S + s)}.$$

Diese Form von  $\lambda_1$ , sowie die Gleichung (13) sind bei der Berechnung der angestellten Versuche benutzt worden.

b) Regelmässige Schwingungen (p.286). — Dieselben entstehen, wenn man den Ablenkungen a und  $\beta$  von Hauptund Nebenpendel das Verhältniss 1:c ertheilt, beruhigt und von dieser Lage aus die Bewegung beginnen lässt. Du dieses für die Combination, wie sie zur Bestimmung von Trägheitsmomenten dient, kaum auszuführen ist, so scheint es, als ob diese Schwingungsform für solche Messungen keine Bedeutung hätte. Doch hat schon Daniel Bernoulli die Bemerkung gemacht, dass regelmässige Schwingungen auch entstehen — jedenfalls nur infolge der Reibung an den Aufhängepunkten und in der Lust —, wenn die dazu nothwendigen Bedingungen nur annähernd erfüllt sind. Dass das Gleiche auch von Torsionspendeln gilt, davon habe ich mich durch Versuche überzeugt.

Bei der zu Trägheitsmomentbestimmungen gebräuchlichen Pendelcombination ist es nun oft ohne viele Vorbereitungen möglich, die Bedingungen regelmässiger Schwingungen annähernd zu erfüllen, nämlich immer dann, wenn das Verhältniss der Ausschläge des zweiten Pendels zum ersten c:

$$c = \frac{-H \cdot S + s + Ds}{2\Theta s} \left[ 1 \pm \sqrt{1 + \frac{4HDs^2}{(Ds - \Theta \cdot (S + s))^2}} \right]$$

recht klein ist. In diesem Falle ist es hinreichend, nur das Hauptpendel abzulenken und nach Beruhigung des Ganzen wieder loszulassen.

Wie fruher  $\lambda$ , so wird auch hier c sich einfacher darstellen, wenn  $4\Theta Ds^2 [Ds - \Theta(S+s)]^2 = \delta$  eine kleine Zahl wird:

$$c_1 = \frac{-Ds}{Ds - \Theta(S+s)}; \quad c_2 = \frac{-\Theta(S+s) + Ds}{\Theta s} \left[ 1 + \frac{\Theta Ds^2}{\Theta(S+s) - Ds^2} \right].$$

Sind  $\Theta$  und D nicht viel verschieden, so wird für kleines S sowohl  $\delta$  als  $c_i$  eine kleine Zahl.

Das Trägheitsmoment des Hauptpendels findet sich hier. wie auch sonst immer, aus den beiden Gleichungen für die Schwingungsdauer mit und ohne Belastung:

$$T = \pi \int_{-D-C_1}^{/D} \frac{S}{D}$$
 and  $T = \pi \int_{-D}^{/D} \frac{K^2}{D}$ .

durch Eliminirung von D, unter Berücksichtigung der Benehung  $S = K + ml^n$  als:

(14) 
$$K = ml! \frac{T^{s}}{T^{s} \left(1 - c_{t} \frac{G}{D}\right) - T^{s}};$$

mherungsweise findet man auch die Beziehung:

$$K = [mP + s(1 + c_1)] \frac{T^2}{T^2 - T^2} = (k + c_1 s) \frac{T^2}{T^2 - T^2}$$

Die zur Berechnung von c, dienende Grösse S braucht zatürlich nicht genau bekannt zu sein.

#### IV. Versuche.

Gegenstand der vielfachen Versuche waren zwei mögbehst sorgfältig cylindrisch abgedrehte Magnete,

deren Länge . . 16,009 cm und 20,006 cm

" Durchmesser 1,48 " " 1,52 " " Masse . . . 218,13 g " 279,96 g

Ihr magnetisches Moment war im Mittel

5000 [cm, g] und 7240 [cm, g].

Der Umfang des längeren Stabes wurde an vier gleichweit voneinunder entfernten Stellen mittelst eines sehr dünnen Drahtes gemessen, welcher zehnmal um den Magnet geführt war. Dadurch wurde gefunden, dass der Durchmesser desselben vom Südpol gegen den Nordpol wächst, und zwar von der ersten zur zweiten Messstelle um 0,0021 cm., von der zweiten zur dritten um 0,0016 cm, von der dritten zur vierten um 0,0054 cm. Der kürzere Stab war vor einem Jahre nach den Vorschriften von Strouhal und Barus magnetisiert, der längere kurz vor seiner Verwendung in gleicher Weise. Durch die in der Mitte durchbohrten Magnete wurde ein Kupferstift gesteckt, der an einem 265 cm langen, 0,010 cm dicken harten Messingdraht mit dem Torsonscoöfficienten 0,002 angelöthet war.

Die 3 Paare der zur Belastung dienenden Kupfergewichte waren Cylinder:

Nr.	Masse	Radius	Höhe	Triglicism.	
1	98,135 g	0,692 cm	3.7 cm	23,5 cm.g,	
[]	200,437	0,692 ··	7,5 ··	45,0	
[][	19-,105	0,945 ··	3,8 ··	86,2	

Da verarbeitetes eisenfreies Kupfer bis vor kurzem ziemlich selten war, so wurden die sechs Belastungscylinder auch auf Magnetismus geprüft. Als ein zu solchen Prüfungen vorzüglich geeignetes Instrument wurde das transportable Intensitäts-Bihlarvariometer) benutzt, indem ein Magnetende dem vorderen Glasverschluss durch Drehung am Torsionskopfe möglichst genühert, und dann der zu prüfende Körper von aussen bis zum Glase geschoben wurde; dabei ändern die meisten Körper die Einstellung des Magnets. Es gaben die beiden Cylinder I diamagnetische Ablenkung von 0,2 Scalentheilen, die Gewichte III magnetische von 4,4 Scalentheilen, die Gewichte III magnetische von 4 Scalentheilen, während 1 mg Eisen von etwa 1 mm Länge aus derselben Entfernung den Magnet um 800 Sca-

F. Kohlrausch, Wied. Ann. 15, p. 533, 1882.

lentheile ablenkte. Um auch noch das Moment des in den Kupfergewichten während der Trägheitsmomentbestimmung inducirten Magnetismus kennen zu lernen, wurde auf Vorschlag von Prof. Kohlrausch eine Methode benutzt, die her wie bei ähnlichen Zwecken vollständig zum Ziele führt. Eine Magnetnadel wurde durch einen Ablenkungsstab und durch denjenigen Magnet, dessen Trägheitsmoment mittelst der Gewichte gemessen war, senkrecht zum magnetischen Meridian abgelenkt. Darauf wurden die Gewichte II in einem Abstande von 14 cm von der Nadel ungefähr in die Lage gebracht, die sie während der Schwingungsbeobachtangen bei der Bestummung des Trägheitsmomentes einnehwa. Die Nadel änderte dadurch ihre Einstellung um ungefahr 0.1 Scalentheil, indessen ein Stab mit dem Magnetismus 5000 [cm g] aus 1 m Entfernung um 70 Scalentheile atlenkte. Daraus lässt sich das magnetische Moment eines Gewichtes auf 0.02, beider Gewichte zusammen von 0.04 [cm.g] shätzen, ein Betrag, der auf die letzte berechnete Stelle des Traghertsmomentes keinen Einfluss mehr hat. Die Kupfer-Number wurden mittelst verschieden dicker (0,08 bis 0,18 mm wicher Messingdrähte an den Magnet gehängt, über dessen Enden zur Verhütung des Anstreifens der Dräbte vorspringende wehte Kupferkappen steckten.

Der Abstand beider Fäden wurde durch einen Comjurator mit zwei Mikroskopen ermittelt. Die beiden letztzen besassen ca. 0,1 mm Theilungen, und wurden auf die Päden mit bestimmten Strichen eingestellt, deren Abstand tachher durch Visiren nach einem Normalmeter gemessen wurde.

Genauigkeitsgrenzen. Trägheitsmomente von Magacten werden meistens zum Zwecke der Messung der erdmagnetischen Horizontalintensität gesucht. Will man diese
letztere, wie manche beabsichtigen, bis auf ± 0.0001 des
genzen Werthes (ungefähr den Betrag, welcher im Durchwhatt bei Binlarvariometern als Scalenwerth verwendet
wird, genzu kennen, so darf das Trägheitsmoment des
schwingenden Stabes höchstens ± 0.0002 Fehler besitzen.
Dieses Trägheitsmoment wird nun erhalten aus der Gleichung:

$$K = k \frac{t^3}{t^{-1} - t^{3/2}}$$

t ist die Schwingungsdauer des Magnets allein,

& das hinzugefügte Trägheitsmoment,

t' die Schwingungsdauer nach Vermehrung des Trägheitsmoments.

$$k = m(l^2 + \frac{1}{2}r^2),$$

m die Masse beider Belastungscylinder zusammen,

I deren halber Abstand,

r deren Radius.

 $\log K = \log k + \log \ell^2 - \log (\ell'^2 - \ell^2)$ , durch Differentiren:

$$\frac{dK}{K} = \frac{dk}{k} + 2\frac{d\ell}{\ell}\frac{\ell^3}{\ell^3 - \ell^2} - 2\frac{d\ell}{\ell}\frac{\ell^3}{\ell^3 - \ell^2}.$$

Ist noch r klein gegen l, und  $(dm_l m) = 0$ , so wird nahezu:

$$\frac{dK}{K} = 2\frac{dl}{l} + 2\frac{dt}{l}\frac{t^{1}}{l^{2} - l^{2}} - 2\frac{dt}{t^{2} - l^{2}}.$$

Bei den beiden in Frage kommenden Magneten war die Grösse  $2t^2$ ,  $t'^2-t^2$ ) zwischen 2,7 und 3,9. Aus einigen Probebeobachtungen kann dt, t und  $dt'_j t'$  auf etwa  $\pm 0,00003$ , und dt l auf  $\pm 0,00005$  geschätzt werden, wenn dt, dt und dt' die Fehler von t, t und t' bezeichnen. Daraus ergibt sich das Verhältniss des wahrscheinlichen Fehlers von K zu K selbst:

± 0.00015 im günstigeren Falle, und

$$\pm 0.00019$$
 im ungünstigeren Falle (für 2  $\frac{1}{1-\ell^4} = 3.9$ ).

Ausschliessung einiger möglichen Störungsursachen. Da nach Beseitigung der bis auf p. 288 und 289
besprochenen Fehlerquellen durch Aufhängung der Gewichte
an Drähte von grosser Torsionskraft und Berücksichtigung
der selbständigen Schwingungen derselben sowohl um ihre
Axe, als uach um den Aufhängepunkt, die Unterschiede der
einzelnen Werthe grösser blieben, als erwartet worden war,
so wurden mögliche störende Einflüsse für sich untersucht.

Luftstörungen. Um zu entscheiden, ob die niemals ganz zu vermeidenden Luftströmungen die Schwingungsdauer werkbar beeinflussen, liess man den unbelasteten Magnet bei geschlossenem und dann bei ganz offenem Kasten schwingen. Die beiden wiederholt erhaltenen Resultate waren aber nur um die gewöhnlichen Beobachtungsfehler verschieden. Versuche über den Einfluss von Luftströmungen auf einen schwingenden Körper wurden in neuerer Zeit von Braun') angestellt. Die durch den Schwingungskörper verdrängte Luft hat nur bei Schwingungen in nicht horizontaler Ebene einen Einfluss, die durch denselben mitbewegte Luft müsste durch besondere Versuche, wie Bessel in seinem Worke über das Secundenpendel gezeigt hat, eliminirt werden. In den meisten Fällen von Trägheitsmomentbestimmungen, betonders von Magneten, ist der davon herkommende Einfluss vegen der geringen Ausdehnung und der kleinen Geschwindigkeit jedenfalls sehr gering, wie auch aus den Versuchen ton E. Bödeker? hervorgeht. Lamont schliesst aus Beobachtungen, die er gemeinsam mit Kuhn gemacht, dass eme Luftschicht von 4 mm Dicke an dem Magnet hängend gedacht werden müsse. In neuester Zeit hat noch Baille') sich mit dem Eintluss der Luft, - deren Temperatur und Druck variirt wurde - auf einen schwingenden Körper beschäftigt.

Bei den hier mitgetheilten Versuchen wurde der Einfluss der Luft vernachlässigt, da derselbe nicht durch specielle Untersuchung nachgewiesen ward, und da aus den Versuchen Bödoker's auf die Geringfügigkeit desselben geschlossen werden kann.

Logarithmisches Decrement. Ebenso wenig konnte ungleichmässig sich ändernde Dämpfung Störungen von dem erhaltenen Betrage verursschen, indem die vielen, auf längere Zeit ausgedehnten Versuche das logarithmische Decrement des unbelasteten Magnets fast constant erscheinen liessen (0.00040 bis 0.00043). Viel grössere Unterschiede zeigte es aber bei den Schwingungen mit Belastung sowohl innerhalb

<sup>11</sup> Braun, Exper's Report, d. Physik. 20. p. 821, 1884.

<sup>2</sup> E. Bodeker, Versuche zur Bestimmung des Luftwiderstandes bei kleinen Geschwin ligkeiten. Göttingen 1881.

<sup>3)</sup> Lamont, Pogg Ann 71, p. 124, 1847.

<sup>4)</sup> Baille, Compt. rend. 96, p. 1493, 1889.

derselben Beobachtungsreihe, als auch besonders von einer zur anderen. Die einzelnen Bestimmungen mit Gewichten II gaben Werthe zwischen 0,00068 bis 0,00086, mit Gewichten I von 0,00052 bis 0,00065.

Von Interesse sind noch die Erscheinungen, die dann auftreten, wenn die Belastungscylinder ungefähr gleiche eigene Schwingungsdauer um ihre Axe besitzen, wie der belastete Magnet. z. B. wurde mit Gewichten III als logarithmisches Decrement gefunden 0.0035 bis 0.0008, während die Schwingungsdauer von kleineren zu grösseren Werthen anstieg:

Am	23	Seh	wingungen	13,100	Bee
17	28	fulg.	81	13,136	h s
11	28	**	15	18,154	11
11	25	**	++	18,170	
24	64	**	41	13,179	10

Bei diesem Versuche war der Magnet, um ihn in Bewegung zu setzen, durch einen zu ihm senkrechten Stah abgelenkt, dann beruhigt und plötzlich losgelassen worden.

Electricität. Hängen die Gewichte an Seidenfaden, so wäre es nicht unmöglich, dass dieselben während der Bewegung electrisch werden und infolge dessen die Schwingungsdauer beeinflussten, aber auch hier ergab die Untersuchung ein negatives Resultat.

Inconstanz des Stabmagnetismus. Da möglicherweise der Magnetismus des Schwingungsstabes während der mit ihm vorgenommenen Mampulationen etwas variabel sein könnte, besonders wenn er, wie hier, längere Zeit im magnetischen Meridian hängt, und dadurch eine kleine Verstärkung durch Induction erfahren konnte, so ward die Constanz auf zweierlei Weise geprüft. Einmal lenkte der gut befestigte Magnet aus grosser Nähe die Nadel eines Magnetometers ab, während er durch schwache Schläge erschüttert wurde. Dabei blieb die Nadeleinstellung constant. Nachdem der Stab wieder mehrere Tage die Richtung des Meridians hatte, ward seine Schwingungsdauer gemessen und nach einigen kleinen Stössen abermals. Für die gleiche Anzahl Schwingungen, auf gleiche Verhältnisse reducirt, orgaben sich

die Zeiten: 1758,45 und 1758,50 Sec. Die Constanz lässt mehte zu wünschen übrig.

- 1) Trägheitsmoment des kleinen Magnets.
- a Gauss'sche Methode. Die Messungen wurden mit allen von Gauss angegebenen und von Goldschmidt!) mitgetheilten Vorsichtsmaassregeln ausgetuhrt. Die Intensitätsvariationen gab dus transportable Bifilarvariometer (p. 292), die Schwankungen des Stahmagnetismus mit der Temperatur wurden aus dem Temperaturcoöfficienten berechnet, der für den kleinen, resp. grossen Stab 0,00050 und 0,00045 beträgt.

Die Gewichte waren, um einen grossen Werth von 69 und darum geringe Correction zu eizielen, an (weichen Messing-draht von 0,007 bis 0,018 cm Dicke aufgehängt. Das Trägbeitsmoment wurde aus Gleichung (13 p. 289 und (14 p. 291 berechnet, da die Constante 2, sehr klein war.

Tabelle 1. Versnehe mit Gewichten au Metalkirahten.

r m	fs	f ore	$k_{\text{femore}_{s}}$	$K_{(m_i, \mathfrak{e})}$	a	8	l <sub>tem</sub>	Iresht- T done orc	Nr consente
1-47	10,1107	6,5752	6367,9	4671,0	-1.2	+ 3.5	2,0	11,007 1.0	1
4.0"4	10 5216	6,5367	0,161,0	4677,5	+5.3	1.5	21	0.0867 2,00	1
4 100	10 ( 23	6,9399	7,1988	4671.1	1,1	1,4	8,2	0.018 0,4	1
11/17	10,51*0	6,9978	6,049	4664,3	-3,7	1,3	2,1	0.013443	1
475.2	1.3 4357	0,30354	13103,0	4175,6	+1,6	1.3	3,00	0.018 0,5	II
8 - 51	10 6170	0.9364	6392,4	44.73,4	+1,6	1,4	3.2	0,013.0,8	
5,04 25	13,4007	6,8314	1 4/14 2	4670,9	-1,3	1,4		0,013 1,0	
Salto	10 (137)	R, 11377	f	1651.6	-0,8	1.0		1013 0,6	
h=472	13 4140	0.53 47	13 1 0	40 1 1,50	-2,3	1,5		0.013.03	
17711	30,6314	6,9000	6110,6	1075,1	+2.9	1,4		14,01,710,7	
NOSER	13,4104	6,100%	13027,0	44Tet 9	-1.8	1,4	2,5	+,013 1,0	11
		Mit	telwerth.	4762,20					

In der vorstehenden Tab. 1 ist

- r der halbe gemessene Abstand der beiden Drahte, an denen die Gewichte hingen,
  - t' die Schwingungsdauer mit Belastung.
  - t die Schwingungsdauer ohne Belastung.

K das corrigirte Trägheitsmoment des Magnets mit Aufhangestift und Spiegel nach Abzug der Kappen [92,6] p. 298.

<sup>1)</sup> Goldschmidt, Resultate des magnet, Vereins 1840, p. 181

ð die Differenz zwischen dem Trägheitsmomente K und dem aus der gebräuchlichen Rechnungsform hervorgehenden,

d die Abweichung vom Mittelwerthe,

l' die Länge des Aufhängedrahtes beider Gewichte.
T die Schwingungsdauer der Gewichte um ihre Axe.
k p. 294.

Zur besseren Erkenntniss der aus Abänderung verschiedener Bestimmungsmittel hervorgehenden Gesetzmässigkeiten werden die Mittelwerthe gebildet:

			7	l'st	gheitsmoment
					Magnet alielu
Gewie.	hte I		,	٠	4672,40
11	- 11				4671,03
Druht	0,019	em			4672,05
++	0,013	15		٠	4671.27
44	0.007	149	4		4673,95

Versuche mit Gewichten an Seidenfäden. Eine Messung wurde mit an Seidenfäden hängenden Gewichten ausgeführt und gab:

r	t	f	K	K	t em	T	Nr. der Generatio
9890,=	13,1939	6,9360	4701,0	4671,6	3,0	34	Ш

K ist nach der gewöhnlichen Formel ohne Correction (p. 294) berechnet, in K ist der Einfluss der Torsion der Seidenfäden corrigirt.

Der Unterschied zwischen dem uncorrigirten Werthe und denen von Tab. 1 (ungeführ ½000 des Ganzen) zeigt zur Gentige, welch grossen Betrag die Correction bei Aufhängung an Seidenfäden in vielen Fällen erreichen kann. Dass in obiger Bestimmung bei Verwendung von 3 cm langen Seidenfäden der corrigirte Werth dem wahren so sehr nahe kommt, dürfte Zufall sein.

Kurze Aufhängung der Gewichte an Metalidrähten. Um den Einfluss der zweifschen selbständigen Schwingungen noch mehr zurückzudrängen, wurden die freien Längen der Authängedrähte durch Entfernung der auf dem Magnete sitzenden Kappen verkürzt. Statt dieser wurden zwischen das Ende des Magnets und den Draht kleine Messingkeile eingeschoben, deren Trägheitsmoment wegen ihrer Kleinheit leicht mit mehr als genügender Genauigkeit berechnet werden konnte. Die Resultate der folgenden Tab. 2 sind mittelst solcher Keile erhalten. Die Buchstaben haben die Bedeutung von Tab. 1.

Tabelle 2.

r cm	t' see	t see)	k (em. e.	K[em,g]	d	ð	Lon	Draht- gleke em	T	Nr der Gewishte
N1394	13,4977	6,6721	13333,6	4667.4	-8.0	1,1	1,0	0,013	0.6	- 01
S. Freed	13 4393	6,8700	13191.2	4667,6	-2.8	1,0		0,010		П
Streig	10,5#94	6,8696	6448,7	4671,8	+1.4	0,9	1,3	0,010	0,6	1
5,152	13,4695	6,5773	132191	4688,1	- 2,8	1,1	1,4	0.018	0.8	11
H 1 140	14,4652	6,8784	13215,5	4609,1	-1,3	1,1	1,5	0,013	0.5	11
" Charge	10,6047	€ 8734	6447,8	4672,0	+1,6	0,9	1,2	0,010	0,6	1
matterer.	10 - 038	6,8704	6455,8	4672.1	+1,7	0,9	1,2	0,010	n,a	1
5,1381	13,4960	6,K741	13242,7	4670,7	+0,8	1,1	1,2	0,010	1,6	- 11
63140	10,6373	6,KN25	0430,1	4674,1	+8,7	0,8	1,1	0,007	1.9	1
5.1332	13,4506	6,8721	13178,5	4668,1	-2,3	1,0	1.1	0,013	1,5	11
40757	10,6090	6,8715	6457,3	4667,7	-2.7	0,8	1,3	0,007	0.7	
8,14,9	13,4838	6,5721	13190 0	4875,6	-4,8	1,0	1,3	0,010	0,5	11
		Mit	telwerth	4670,36						

Be	stimmi	mge		Mittalworths are Tak 3	Metalwesho		
Gewicht	en II	200	g)			4669,2	4671,0
*>	I i	100	g)			4671,2	4672,4
Draht 0	,018 er	n D	icke			4667,9	4671,8
n 0	,010 P	,	11			4671,3	
н 0	,607 .	,	19			4670,8	4675,9
Gewicht	en II	an i	Drah	t 0,018		4667,9	4671,1
**	11	10	17	0,010		4670,0	
19	1	11	+9	0,010		4671,7	_
11	1	69	19	0,007		4670,6	-
**	1	61	13	0,018			4672,0
Gesamn	tmitte		4 1		. [	4670,1	4671,9

Die vorstehende Zusammenstellung dient zur Vergleichung verschiedener Mittelwerthe aus Tab. 1 und 2. Alle Werthe gelten für den 16 cm langen Magnet ohne Aufhängestift und Spiegel.

Die Uebereinstimmung der Mittelwerthe nus beiden Beobachtungsreihen in Tab. 1 und 2 könnte besser sein. Die Infferenz kommt zum Theil jedenfalls von dem nicht genau zu messenden Trägheitsmoment der beiden Kupferkappen, die bei den Messungen der ersten Tabelle auf dem Magnet sassen. Mit Sicherheit lässt sich ein zweiter Grund aus obigen Werthen feststellen. Infolge der Biegung des Aufhängedrahtes über der Ecke des Keiles oder der Kunferkappe wird derselbe sich nicht senkrecht hängen, sondern je nach der Grosse seines Durchmessers mehr oder weniger geneigt sein. Der gemessene Abstand beider Drahte wird darum kleiner sein als die Entfernung der Schwerpunkte beider Gewichte, was den Werth des berechneten Trächeitsmomentes zu klein erscheinen lässt. Da die Drähte bei den Versuchen der Tab. 1 länger waren, als bei denen der Tab. 2, so zeigt sich dieser Fehler hier auch grösser als dort. Ebendeshalb sind auch die mit den dicken Drähten erhaltenen Werthe im allgemeinen kleiner als die durch Benutzung der dunnen gewonnen. Es lässt demoach auch die bisherige Anwendung von Drähten zum Anhängen der Gewichte, obwohl sie bedeutende Vortheile gegenüber den gebräuchlichen Seidenfäden bietet, manche Unsicherheiten bestehen.

- b) Bestimmung durch bifilare Aufhängung. Dur Controle der erhaltenen Resultate wurde der Magnet mittelst des bifilaren Verfahrens untersucht. Es sei
  - g die Schwerebeschleunigung,

m die ganze aufgehangte Masse vermehrt um die halbe Masse der Aufhängedrähte,

e, und e, der obere und untere Abstand der Aufhängedrähte.

I das Mittel aus beiden Drahtlängen, vermindert um  $v^2 V 2 \pi E m$ ,

e der Radius des Drahtes,

E der Elasticitätsmodul der Substanz,

F Kohlrnusch, Gött. Nachr. 1888. p. 411. - Wied. Ann. 22.
 p. 411. 1884.

D, die Directionskraftsumme beider Drähte. Die vollständige bifilare Directionskraft ist dann:

$$D = g m \frac{e_1 e_2}{4l} + \frac{2\pi \varphi^* E g}{5} = g m \frac{e_1 e_2}{4l} + D_3,$$

und das Trägheitsmoment der angehängten Masse:

$$K = \frac{D\ell^3}{\sigma^3}$$

ist die Schwingungsdauer des Apparates.

$$D_{\text{short Magnet}} = 980.99 \cdot 63,32 \frac{11,972 \cdot 12,086}{4 \cdot 267,3 \cdot 7} + 0.7 = 8371,1 \text{ [cm, g]},$$

$$D_{\text{tot: Magnet}} = 36593.2$$
,  $t_{\text{unbalastet}} = 0,69052 \text{ Sec.}$   
 $t_1 = 1,15008 \text{ Sec.}$ ,  $t_2 = 1,18080 \text{ Sec.}$ 

! und 4 sind die Schwingungsdauern des Apparates, wenn der Nordpol des eingelegten Magnets 1) nach Norden, 2) nach Süden gerichtet ist.

Trägheitsmoment der Suspension 404,4 [cm, g]: K = 4669,7 [cm, g].

c) Trägheitsmoment aus der Form berechnet. Um auch noch ein Urtheil über die Homogenität des untersichten Stahlstabes zu erlangen, wurden die Dimensionen abgemessen und das Trägheitsmoment unter Voraussetzung der Cylinderform berechnet. Als Dicke des Stabes wurde das Mittel aus 8 Messungen, zwei an den Enden und eine in der Mitte, angenommen. Der Unterschied des Durchmessers an beiden Enden beträgt nur ungefähr 0,01 mm.

Länge des Stab	en bei 15°	٠. ٠			16,009 cm
Durchmemer .			0 4 1		1,480 19
Musea					216,13 g
Masee des Sta	hles, der	die A	ufhiinge	offnung	
fillen wurd	le				1,10 "

daraus: K = 4669,4 [cm, g].

Diesem Werthe kommt natürlich bei der Frage nach dem wirklichen Trägheitsmoment nur sehr geringe Bedeutung zu, doch beweist er, dass grössere Dichteschwankungen des Materiales fehlen.

Die Uebereinstimmung der drei früher gefundenen Werthe ist eine befriedigende.

- 2. Trägheitsmoment des 20 cm langen Stabes.
- a) Gauss'sche Methode. Da der gemessene Abstand der Schwerpunkte beider Gewichte nach der in Tab. 1 und 2 angewendeten Art der Aufhängung mit einem einseitigen, unbestimmbaren Fehler behaftet ist, so wurde der neu angefertigte längere Magnet an den Enden mit Messingplatten versehen, um den Draht in senkrechter Stellung befestigen zu können. Die einzelnen benutzten Drähte hatten fast genau gleiches Gewicht im Mittel 0,004 g), und blieben nach Entfernung der Gewichte bei Beobachtung der Schwingungsdauer ohne Belastung an dem Magnet. Das Tragheitsmoment zweier Drähte 0,8 [cm, g] ist deshalb von den Resultaten der Tab. 3, abgezogen worden.

Tabelle 8. .

Gewichte an Metalldrähten Drabte senkrecht festgeklemmt.

r em	t ees	sec.	$K_{[\ell m, g]}$	3	ð	Lem	Deaht- dicke ctn	T	Nr. der Gewichte
10,0063 10,0046 10,0049 10,0065	11,6040 11,6040 14,4720 11,6139	8,1292 8,1288 8,1340 8 1340	9488,8 0456,6 9479.4 9458.8	+0,4 +3,2 -4,0 +0.4	2,0 2,0 2,6 2.0	1,5 1,2 1,3 1,3	700,0 700,0 700,0 700,0	0.9 0,8 1.3 0,8	1 1 11 1
		Mittel	9483,4						

Um dieses Resultat mit den folgenden vergleichbar zu machen, wird davon subtrahirt:

- 1) das Trägheitsmoment von Spiegel und Aufhängestift 0.3
- 2) die Differenz der Trägheitsmomente der Endplatten für die Einklemmung von Draht und Seidenfäden 0.1

K = 9483.0 [cm, g]

0,4

Bei den Versuchen der Tabelle 3b und 3c waren die Drähte durch doppelte Seidenfäden ersetzt, deren Abstand immer nahe 0,1 cm genommen wurde. Diese Aenderung hatte einen doppelten Zweck. Erstens wurden dadurch die selbständigen Pendelschwingungen der Gewichte möglichst gehindert, und zweitens konnte der Abstand der Gewichte wegen der Feinheit des verwendeten Seidenfadens genauer gemessen werden. Ausserdem ist es dadurch möglich, die Schwingungsdauer der Gewichte um ihre Axe auf eine beliebige Grösse zu bringen. Die Buchstaben der Tabelle 3 haben die gleiche Bedeutung wie in Tabelle 1 und 2.

Tabelle 35.
Gewichte an doppelten Seidenstiden.

r ees	f year	trees	$K_{(om,g)}$	ď	ð	l om.	T	Nr der Gewichte
10 0026 10 0023 10 0023 10 0025 10 0015 10 0013 10 0023 10 0023 10 0023 10 0023 10 0023 10 0023 10 0023 10 0023 10 0023 10 0023	11,6195 14,3754 11,6200 11,6243 14,3759 11,6260 14,3879 11,6251 14,3713 11,6141 14,3713 11,6141	8,1394 8,1384 8,1444 8,1401 8,1442 8,1453 8,1453 8,1427 8,1427 8,1361 8,1350 8,1340 8,1430 Mittel	9483,9 9483,0 9477,5 9478,9 9483,1 9483,6 9483,1 9483,6 9480,9 9483,6 9481,9 9481,9 9480,6	+1.4 +0.5 -5.0 -3.6 +4.3 +0.6 +1.1 +3.6 +2.1 -1.6 -0.6 -2.0	1,7	7,0 7,0 7,0 7,0 8,0 8,0 7,0 7,0 7,0 7,0 7,0 7,0 7,0 7,0 7,0	1,0 1,3 1,0 1,0 1,3 1,0 1,3 1,0 1,3 1,0 1,3 1,0	Ciew an picture Faden Ciew an picture Faden Control for Mittal World der Ciewichen

Nach dem viertletzten Vernuche riss der Aufhängedraht des

Von diesem Mittelwerthe ist wieder das Trägheitsmoment des Kupferstiftes und des Spiegels 0,3 [cm, g] abzuzichen:

$$K = 9482,3$$
 [cm, g].

Mittel der Bestimmungen mit Gewicht I [100 g] 9481,5

Die Genauigkeit der Versuchsresultate mit dem grossen Magnet übertrifft, wie vorauszusehen war, jene mit dem kurzen um fast das Doppelte; die Uebereinstimmung der aus der letzteren Anordnung mit bifilaren Seidenfäden gewonnenen Werthe ist wieder grösser, als die durch Benutzung von Draht gefundene.

Es zeigt dies mit Sicherheit einerseits auf die geringere Verwendbarkeit des Drahtes gegenüber der des Seidenfadens bei bitilarer Anwendung, dann ist es aber auch ein Beweis, dass die auf p. 288 und 289 erwähnten, aus selbständigen Pendelbewegungen entstehenden Fehler einen merkbaren Betrag erreichen. Neben den Vortheilen besteht aber auch die Unbequemlichkeit, dass der Abstand der Aufhängefäden von vorne und von rückwärts gemessen werden muss, am besten in der Nähe der (dünnen) Aufhängehacken. Ausserdem ergibt die Vergleichung der Endresultate aus Tab. 3. und 3., dass bei senkrechter Einklemmung die früher beobachteten einseitigen Fehler fortfallen.

Fehler infolge der Beweglichkeit des Aufhangepunktes.

Es wurde jetzt versucht, ob nicht auch noch die aus der Beweglichkeit des Aufhängepunktes eines schwingenden Magnets entstehenden Unsicherheiten (p. 288) theilweise zu heseitigen möglich sei. Zu diesem Zwecke wurde eine weiche Federfahne über dem Schwingungskasten so festgeklemmt, dass der Aufhängedraht an derselben einen geringen Widerstand bei einer vorkommenden Bewegung finden musste. Die hier beobachtete größere Dämpfung war sehr wenig von der früheren verschieden. Die Tab. 3, enthält die gefundenen Resultate unter den gleichen Buchstaben wie früher.

Für die gleiche Combination der Theile wie in Tab. 3, und 3, findet man noch, durch Subtraction von 0,3 (Suspension):

K = 9481,7.

Die beiden vorher gefundenen Werthe waren:

9483,0,

9482,3.

Diese Uebereinstimmung ist eine ganz gute.

Tabelle 3.

Gewichte an doppelten Seidenfäden, Schwingungeaxe des Magnets unveränderlich.

T cra	F 200	f <sub>ine</sub>	K om, g	d	ð	l <sub>iem,</sub>	T	Ne der Gewiebte
100023	11,6924	8,1412	9480,9	-1.1	1,7	0,6	1,0	I
10 14/28	14,3767	8,1349	9443,0	+1,0	1,2	0,6	1,2	II
10,0023	11,6804	8,1467	9482,1	+0,1	1.7	0,0	1,0	
10,4723	11,6825	8,1488 8,1527	9482,6	+0,8	1,7	0,6	1,0	
121003	11,0001	Mittel:	9482.04	-0,4	441	t 044 F	1,0	1 '

b) Bestimmung durch bifilare Aufhängung (p.300).

- Auch dieser Magnet wurde nach der Bifilarmethode in derselben Weise mit dem von der früheren Messung her unveränderten Apparate untersucht. Die Constanten desselben ohne Belastung waren die gleichen, mit Belastung folgende:

$$\ell_1 = 1.48945 \text{ sec}$$
  $\ell_2 = 1.44426 \text{ sec}.$ 
 $K = 9481.9 \text{ [cm, g]}.$ 

Auch hier ist die Uebereinstimmung mit den früheren Werthen befriedigend.

c) Rechnung aus den Dimensionen. — Die Form dieses 20 cm langen Magnetstabes ist zur Bestimmung des Trägheitsmomentes ungünstiger, als die des früher untersuchten 16 cm langen Magnets. Seine cylindrische Gestalt ist weniger vollkommen, an den Enden sitzen Messingplatten, er ist an beiden Enden zur Besestigung der Platten angebohrt und besitzt 2 Nuten für die Suspension des Bifilarapparates. Ausserdem war der Magnet zum Schutze gegen den Rost mit einer Lackschicht versehen, die bei den vorhergehenden Versuchen mit gemessen wurde, sodass das Resultat der jetzigen Rechnung auf geringere Zuverlässsigkeit Anspruch machen kann, als das von p. 301.

Länge des Stabes bei 15°	20,006 cm
Halbmesser	
Gewicht ohne Platten und Schrauben	879,86 g
Gewicht eines Volumens Stahl, das die Auf-	
bangebohrung fullen wurde	0,93 +
Gewicht der Messingplatten und Schrauben.	0,646
Halber Abstand derselben	10,05 cm
Gewicht des Weingristlackes	0,10 g
Tragheitamoment	3,8

Daraus findet man das Trägheitsmoment unter Annahme der völlig cylindrischen Form:

9474,2 [cm, g];

unter Berücksichtigung des ungleichmässigen Durchmessers (p. 291): 9479,2 [cm, g];

unter möglichster Berücksichtigung aller Unvollkommenheiten der Form: 9479,0 [cm, g].

Man kann die Unsicherheit des berechneten Werthes auf etwa 1, 2000 schätzen infolge mangelhafter Messung der Schraubenlöcher, Nuten und der Aufhängebohrung. Die Uebereinstimmung macht die Homogenität des Materiales wahrscheinlich.

Einige Vorbereitungsmaassregeln bei Bestimmung von Trägheitsmomenten.

Eine grössere Anzahl von verschiedenen Verhältnissen, die bei genaueren Messungen des Trägheitsmomentes durch Belastung berücksichtigt werden müssen, stellte Gauss zusammen, und Goldschmidt theilte sie in den "Resultaten des magnetischen Vereine" p. 131. 1840 mit. Ausser ienen ergaben sich, zum Theil durch die veränderte Authängungsweise hervorgerufen, mit der Zeit noch einige Fehlerquellen, deren Beseitigung in den beschriebenen Versuchen angestreht wurde.

Zunächst muss der Magnetismus des zu messenden Stabes möglichst constant gemacht werden, was nach den Vorschriften von Strouhal und Barus!) durch mehrmaliges Magnetisiren mit abwechselndem Kochen erreicht wird. Den Magnet hänge man mittelst eines harten Messingdrahtes von

<sup>1)</sup> Stroubal and Barus, Wied, Ann. 20. p. 688, 1883

solcher Länge auf, dass die möglichen Variationen des Torsionscoöfficienten unter 1 10000 bleiben. Ein zu langer Faden erschwert die Bernhigung und bedroht die Stabilität der Drehungsaxe. Die vorher auf Magnetismus zu prüfenden Belastungscylinder sollen mindestens so schwer sein, dass durch dieselben das Trägheitsmoment um mehr als das Doppelte his zum Dreifachen vermehrt wird. Oft wird ein bedeutend (bis zu zehnmal) grösseres Tragheitsmoment durch Belastung angerathen, doch ist zu berücksichtigen, dass die durch pendelnde Bewegung grosser Belastungsmassen hervorgerufene Inconstanz des Aufhängepunktes meistens vielmehr storen wird, als man an Genauigkeit der Beobachtung da. durch gewinnt. Aus demselben Grunde sind bei gleicher Masse kürzere Cylinder den langen vorzuziehen. Vermindert wird die Störung ferner durch Aufhängung der Belastung an Metalldrähten, statt an den gebräuchlichen Seidenfäden. noch besser durch Anwendung doppelter Seidenfaden, die om spitzwinkliches Trapez bilden. Ein weicher elastischer Körper, durch den der Aufhängedraht in der Nähe des Magnets mit wenig Reibung geht, drängt den Einfluss dieser Störungen noch mehr zurück.

Die Schwingungsdauer mit Belastung wird direct beeinflusst durch die zweisachen selbständigen Schwingungen der Cylinder. Die pendelnden Schwingungen werden durch die von Beling aufgestellte Gleichung berücksichtigt, die Drehangen um ihre Axe lassen sich ebenfalls leicht, wie aus p. 290 ersichtlich, in Rechnung setzen. Unter zweierlei Umständen weicht der deshalb corrigirte Werth von dem auf gewöhnlichem Wege gefundenen wenig ab, und sind zugleich die Schwingungsdauern mit Belastung leicht genau messbar. Einmal bei Anwendung von Gewichten, deren eigenes Trägheitsmoment gegen das des Magnets klein. während zugleich die Torsionsdirectionskraft ihrer Aufhängefaden (Metallfäden, bitilare Seidenfäden) gross ist. Zweitens durch Benutzung von Gewichten mit grossem Trägheitsmoment bei kleiner Torsionskraft der Aufhängefäden idunner Seidenfaden). An der Hand der angestellten Versuche könnte man vielleicht für den ersten Fall Cylinder empfehlen, deren Höbe dem doppelten Durchmesser gleich ist, für den zweiten Fall ist der Durchmesser derselben nur dadurch beschränkt, dass das durch Ausmessung und Rechnung bestimmte Trägheitsmoment der Cylindez um ihre Axe keine den Endwerth beeinflussende Ungenauigkeit enthalten soll. Da Kupfer fast völlig homogen ist, lässt sich die geforderte Grenze ziemlich weit ausdehnen.

Zum Schlusse möchte ich meinem hochverehrten, langjährigen Lehrer Hrn. Prof. F. Kohlrausch, auf dessen Anregung gegenwärtige Untersuchung entstand, meinen besten Dank darbringen für die stetige gütige Förderung vor und während der Arbeit.

Würzburg, phys. Laborat. 1885.

## XI. Die Deformation der Lichtwellenfliche im magnetischen Felde; von Ernst von Fleischl.

(Aus dem 90. Bde. der Sitzungsber. d. kais. Acad. d. Wiss, II. Abth. vom 18. Dec. 1884 mitgetheilt vom IIrn. Verf.).

Durch Außtellung der Gleichung der Weilenoberfläche in einem Medium zeigt die Theorie an, dass sie sich der in diesem Medium auftretenden, optischen Phänomene völlig bemächtigt und ihr analytisches Verständniss erledigt hat. Aber auch das anschauliche Verständniss ist kein vollkommenes, und fühlt sich nicht beruhigt, wenn ihm nicht als Basis für seine Constructionen die Vorstellung von der Gestalt und den räumlichen Eigenschaften der betreffenden Wellenoberfläche zu Gebote steht.

Die Gruppe merkwürdiger optischer Eigenschaften, welche viele an und für sich isotrope, feste und flüssige Substanzen während ihres Aufenthaltes in einem magnetischen oder electrischen Felde zeigen, ist unserem analytischen und anschaulichen Verstäudnisse noch nicht erschlossen, da weder die mathematische Behandlung, noch auch — soviel mir bekannt

ist — eine andere Art der Ueberlegung zur Construction einer Weltenoberfläche geführt hat, aus deren Gestalt die durch das Experiment festgesteilten Thateachen sich erklären.

Wenn in der folgenden Darstellung jene Literatur. velche sich mit der theoretischen Behandlung der Lichtbewegung im magnetischen Felde beschäftigt, ganz und gar unberücksichtigt bleibt, so erklärt sich das, und erscheint selbstverständlich durch den Mangel jeglicher Beziehung zwischen dem, was man in der Optik "Theorie" nennt, und dem, was hier vorgebracht wird. Es handelt sich weder um den Versuch einer Theorie, noch überhaupt um das Bestreben, das Ziel der Theorie auf einem der bisher betretepen oder auf einem anderen Wege zu erreichen, sondern sinzig und allein um die Mittheilung einer Muthmassung tber die Gestatt der Wellenoberfläche des Lichtes im magnetischen Felde, und um die Darlegung der Grunde, welche die gemuthmaasste Gestalt als wahrscheinlich - ja sogar sie. oder eine ihr sehr ähnliche Gestalt als die einzig mögliche erscheinen lassen. Ich denke, es versteht sich von selbst. dass durch einen solchen Nachweis, selbst wenn er gelingt, eine Theorie der betreffenden Lichtbewegung weder dargeboten, noch überflüssig gemacht ist, dass vielmehr ein solcher Nachweis nicht den mindesten Zusammenhang mit einer Theorie, keinerlei Beziehung zu einer solchen besitzt. Für ein anachauliches Verständniss der so eigenthumlichen Phänomene im magnetischen Felde, und für die Beseitigung des Zweifels, ob diese Erscheinungen auf Grund derselben Principien erklärbar seien, wie die übrigen optischen Phäuomene, mag jedoch die von mir ersonnene Muthmasssung einigen Werth besitzen, und ihre ausführlichere Mittheilung glaube ich auch durch eine überraschende Uebereinstimmung rechtfertigen zu dürfen, welche sich zwischen einer, aus meiner Conjectur durch Rechnung abgeleiteten Function, und den Resultaten früherer, von Verdet angestellter Messungen ergeben hat - eine Uebereinstimmung, welche wesentlich weiter geht, als die zwischen jenen Messungen, und der von Verdet selbst aus ihnen abstrahirten Function.

Bekanntlich besteht die charakteristische Eigenthümlich-

keit der Lichtbewegung im magnetischen Felde, durch welche sie geradezu im Gegensatz zu der unter allen übrigen Bedingungen stattindenden Lichtbewegung, und somit ganz isolirt ist, darip, dass in einem magnetischen Felde, in welchem die Verbindungslinie der Magnetpole sich von Nord uach Süd erstreckt, ein linear polarisirter Lichtstrahl, welcher das Feld in dieser Richtung durchzieht, und in dem z. B. die Schwingungsebene anskinglich vertical ist, ob er nun von Nord nach Süd, oder ob er von Süd nach Nord geht, in beiden Fallen in solcher Weise eine Drehung der Polarisationsehene erleidet, als würden die Schwingungsbahnen durch einen, nur deren obere Hälften treffenden Wind, der von Ost nach West streicht, um den Strahl als Axe zur Seite gedreht, so dass nach der üblichen Ausdrucksweise dieses Feld, wenn es von Süd nach Nord durchstrabit wird. gleich einer linksdrehenden Substanz wirkt, aber wenn es von Nord nach Sud vom Strahl durchschritten wird, so wirkt, wie eine ebenso stark rechtsdrehende Substanz. Diese Eigenschaft und thre unmittelbare Consequenz: eine Verdopplung der Drehung beim Hip- und Rückgang eines Strahles durch ein magnetisches Feld. - statt der bei allen, an und für sich drehenden Mitteln in diesem Falle erfolgenden Aufhebung der Drehung - sind zu bekannt, als dass länger bei ihnen 20 verweilen nothig ware.

Bei dem innigen, durch die Fresnel'sche Theorie aufgestellten Zusammenhang zwischen Drehung der Polarisationsebene und Doppelbrechung fragt es sich nun, erstens ob die aus der Drehung im magnetischen Felde folgende Doppelbrechung in der üblichen Weise durch eine Wellenobertläche darstellbar sei, und zweitens, wenn dies der Fall ist, welche Gestalt diese Wellenfläche hat.

Die Beantwortung dieser beiden Fragen ist das Ziel der vorliegenden Schrift. Dass es, wenn die magnetische Drehung der Lichtschwingungen auf Doppelbrechung beruht, einen geometrischen Ort geben muss, an dem die Bewegung zu einer gegebenen Zeit nach der Störung des Gleichgewichtes des Lichtäthers in einem Punkte des magnetischen Feldes anlangt, — darüber kann gar kein Zweifel bestehen.

Solange eine Gestalt im Raume nicht angebbar ist, welche der Bedingung dieses geometrischen Ortes entspricht, kann man etwa vermuthen, dass die magnetische Drehung anders zu Stande komme, als die in circular doppelbrechenden Substanzen. Geht man aber von der Voraussetzung einer magnetischen Doppelbrechung als Grundlage der magnetischen Drehung aus, dann kann man nur mehr fragen, wie die Wellentläche aussieht, aber nicht, ob sie existirt. Von dieser Voraussetzung aber gehe ich in Folgendem aus.

Um die Gestalt der Wellenfläche im magnetischen Felde zu entwickeln, nehmen wir an, ihr Mittelpunkt, also der ()rt. un welchem die Störung im Gleichgewichte des Lachtathers stattfindet, liege auf der Verbindungshnie zweier punktförmiger Magnetpole (oder - um einen den wirklichen Verhältnissen entsprechenden Fall zu betrachten, an einer solchen Stelle eines magnetischen Feldes, an welcher die Kraftlinien antereinander merklich parallel verlaufen). - Die Verbindungslinie der Pole wählen wir zur X-Axe eines rechtwinkbgen Raumcoordinatensystemes, dessen Nullpunkt mit dem Punkte, an welchem die Störung stattfindet, zusammenfällt. Vorderhand sei das Feld noch nicht magnetisch, also etwa der den Eiectromagnet erregende Strom noch nicht geschlossen. Das Licht, dessen Fortpflanzungsweise wir untersuchen, sei linear polaristrtes. Dann ist seine Wellenoberdache im isotropen Medium natürlich eine Kugeloberfläche; oder wenn wir, einer allgemein bekannten Vorstellungsweise uns bedienend, statt des einen linear polarisirten, zwei circular und einander entgegengesetzt polarisirte Strahlen annehmen, treten an die Stelle jener einen Kugelfläche zwei solche aufeinanderfallende, identische Flächen.

Nun stelle man sich vor, diese beiden Kugeloberflächen erleiden eine und dieselbe homogene lineare Deformation längs der X-Axo; das Maass der Deformation sei: n. — Hierdurch bleiben alle Entfernungen zwischen je 2 Punkten, die in einer zur X-Axe normalen Ebene liegen, unverändert; alle Entfernungen zwischen Punkten, die in einer Geraden liegen, welche zur X-Axe parallel ist, werden mit multiplieirt — kurz: es werden aus den beiden iden-

tischen Kugeln: zwei identische Rotationsellipsoide, der gemeinsamer Mittelpunkt der der früheren Kugeln ist. W müssen uns das Maass der Deformation, w. als eine Za denken, die nur um sehr weniges grösser ist als 1, so de die Excentricität der Ellipsoide eine ausserst geringe und ihre Brennpunkte (a. 8) zu beiden Seiten von O. sel nahe an O liegen. Nun denke man sich ferner das eine d beiden Ellipsoide längs der X-Axe um ein ganz kleines Stu aus seiner Anfangslage verschoben; und das zweite Ellipse um ein ebenso grosses Stück nach der entgegengesetzt Richtung auf der X-Axe verschoben, sodass die Mittelpunk der beiden Ellipsoide zu beiden Seiten des O-Punktes gleit weit von ihm entfernt liegen. Man kann noch, um ein möglichst einfachen analytischen Ausdruck für diese Fläch zu bekommen, eine Beziehung aufstellen zwischen der Grod der Deformation, und der Grösse der Verschiebung auf d X-Axe, und zwar folgende: Man schiebe das Ellipsoid e weit, bis sein einer Brennpunkt (a.) mit dem O-Punkt sammenfallt, und das Ellipsoid e so, dass sein Brennpur (8.) auf den O-Punkt fällt. Der analytische Ausdruck d Doppelfläche, welche durch die zum Theil ineinander liegende Oberflächen beider Ellipsoide gebildet wird, enthält des ausser dem Halbmesser r der zu Antang vorhandenen Kugel und ausser dem linearen Maasse n. der Deformation, weld diese erlitten haben, keine benannten Constanten; er laute

(I) 
$$\frac{n^2 x^3 + y^3 + z^2}{p^2 n^2} \pm \frac{2 x \sqrt{n^2 - 1}}{p} = \frac{n^2 + 1}{n^3} - n^2.$$

Ich will nun zeigen, dass die hier entwickelte Dopp fläche alle Eigenschaften der Wellenoberfläche im magne schen Felde hat, und mich hierzu der Fig. 1 bedienen, welc den Durchschnitt der Doppelfläche mit der XY-Ebene de stellt.<sup>1</sup>)

Die mit Cursivbuchstaben (x, p, y, p') bezeichnete Ellip gehört dem Ellipsoide e an, und ist der Theil der Welle

<sup>1)</sup> Der Deutlichkeit halber ist in dieser Figur die Excentricität Ellipsen, ebenso wie ihre Verschiebung auf der X-Aze, im Vergleit mit den wirklich stattfindenden Verhältnissen sohr stark übertrieben.

fiache, welcher sich auf die rechts circular schwingenden Strahlen bezieht, das heisst: Strahlen rechts circular polarisirten Lichtes erreichen, gleichzeitig von O ausgehend, gleich-

zeitig die Punkte der Oberfäche des Ellipsoides e; Strahlen links circular polarisirten Lichtes derselben Farbe, welche gleichzeitig mit den anderen von O ausgehen, erreichen in der gleichen Zeit die Punkte der Oberfläche des Ellipsoides e, dem in der Ebene der Zeichnung die mit griechi-

j

þ

İ

R

D.

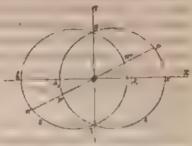


Fig. 1.

zunächst ist ersichtlich, dass in der XZ-Ebene, in welcher die Ellipsoide einander schneiden, liegende Strahlen (z. B. die in der Y-Axe selbst liegenden Strahlen Oy, Oη), nögen sie rechts oder links eireular schwingendem Lichte angehören, die gleiche Geschwindigkeit haben, indem für desse Strahlen die Punkte beider Wellenflächen paarweise zusammenfallen. In Wirklichkeit bleibt die Polarisationsebene von Strahlen linear polarisirten Lichtes, welche in der angegebenen Richtung das magnetische Feld durchsetzen, unverändert.

Ferner geht unmittelbar aus der Figur hervor, dass für Strahlen, welche von O in der Richtung Op ausgehen, die Geschwindigkeit eine verschieden grosse ist, je nachdem sie rechts oder links eircular polarieut sind; erstere gelangen in derselben Zeit bis p, in welcher letztere nur bis z gelangen. Diese Differenz der Fortpflanzungsgeschwindigkeiten der beiden entgegengesetzt schwingenden Hälften des, von O aus in der Richtung nach p gehenden, linear polarisirten Lichtes drückt sich in der Beobachtung (durch einen Analyseur) als Drehung der Polarisationsebene aus; in unserem Falle als Drehung "nach rechte". Der Betrag dieser Drehung hängt von der Grösse der Differenz, also von der Länge z p ab, ist also ein und derselbe für alle Strahlen, die von O aus

nach irgend einem Punkte desjenigen Parallelkreises (auf dem Rotationsellipsoid e) hin gehen, auf dem der Punkt p selbst liegt. — Derselbe, durch die Länge  $\pi'p = -p'\pi$  gemessene Unterschied der Fortptlanzungsgeschwindigkeiten rechts und links eircularen Lichtes wird für Strahlen bestehen, welche von O nach  $\pi$  gehen, oder von O nach einem Punkte des Parallelkreises, auf dem  $\pi$  liegt; nur pflanzen sich in dieser Richtung die links eircularen Strahlen um ebenso viel schneller fort, als im ersten Faile die rechts eircularen.

Nehmen wir nun etwa an, die lineare Bahn des Aethertheilchens in O stände senkrecht auf der Zeichnungsebens. (liege in der Z-Axo) und werde durch den Punkt O halbert. so dass die eine Hälfte dieser Bahn vor der Ebene der Zeichnung liegt. Stelle ich mich in diese Schwingungshahn und blicke dem von () nach p gehenden Strahle nach, so werden, nach dem früher Gesagten, die oberen (vor der Zeichnung liegenden Hälften der Schwingungsbahnen mir um so stärker nach rechts sich zu neigen scheinen, ie weiter gegen p zu das Licht fortschreitet. Bleibe ich zwar in O stehen, drebe mich aber um, und blicke dem von O aus nach a fortechreitenden Strahle nach, so werden mir. dem oben Gesagten zufolge, die Schwingungsbahnen der Aethermolecule mit ihren oberen, vor der Zeichnungsebene gelegenen Hälften sich um so stärker nach links zu neigen scheinen, je weiter sie sich von mir entfernen. Für einen Beobachter jedoch, der nicht, wie ich, im Mittelpunkte der Welle steht, und der sich nicht, wie ich, zwischen den beiden Beobachtungen umdreht, sondern der den ganzen Vorgang von einem irgendwo ausserhalb der Wellentiäche gelegenen Standpunkte aus betrachtet, wird die Drehung der Schwingungsbahnen dem Sinne nach dieselbe sein, beim Fortschreiten des Lichtes von O nach p. wie beim Fortschreiten von O nach n - und wegen der Gleichheit der Längen n'p und p'n, wird auch der Betrag der Drehung sich in beiden Fällen als der gleiche zeigen.

Aus der Voraussetzung dieser Gestalt der Wellenfläche folgt also unmittelbar jene Unabhängigkeit der Drehungs-

richtung der Polarisationsebene von dem Vorzeichen der Richtung des Fortschreitens des Lichtes, welche die churakteristische optische Eigenschaft des magnetischen Feldes ist, da sie die Einwirkung des magnetischen Feldes auf die Schwingungsrichtung des Lichtes in einen Gegensatz bringt zur Einwirkung auf die Schwingungsrichtung des Lichtes von Seiten aller anisotropen Substanzen.

Man sieht leicht ein, dass die Wellenoberfläche, aus deren Voraussetzung diese eben besprochene charakteristische Eigenthümlichkeit folgt, nicht gerade nur die eine Gestalt haben muss, welche der obigen Auseinandersetzung zu Grunde gelegt wurde, sondern dass vielmehr alle geschlossenen Doppeldächen dies leisten, welche aus der Rotation zweier, einander in der FZ-Ebene schneidender Curven um die X-Axe hervorgehen, wenn nur jede der beiden erzeugenden Curven das Spiegelbild der anderen bezüglich der FZ-Ebene ist, und wenn nur jeder ausserhalb der FZ-Ebene liegende Centralstrabl die Doppeltläche viermal schneidet.

Aber nicht blos dieser Verallgemeinerung unterliegt die oben geschilderte Wellenform, wenn sie keiner anderen, als der soeben ausführlich besprochenen Bedingung zu genügen hat, sondern sie lässt auch noch eine Specialisirung und zugleich Vereinfachung zu; indem eine Deformation der, unserer Entwicklung zu Grunde liegenden, identischen Kugeltlachen überhaupt nicht nothwendig ist, sondern eine (kleine) Verschiebung der beiden Kugeln in entgegengesetzten Richtungen auf der X-Axe die gestellte Bedingung ebenfalls erfüllt. Der analytische Ausdruck dieser Doppelfläche:

(iI)  $(z \pm \hat{z})^2 + y^2 + z^2 = r^2,$ 

kann aus der Gleichung, welche oben für die aus Ellipsoiden bestehende Wellenfläche gegeben wurde, nicht abgeleitet werden, da in Gleichung (I) ein Zusammenhang zwischen der Grösse der Deformation und der Grösse der Schiebung vorausgesetzt ist, durch welchen beide gleichzeitig verschwinden, so dass Gleichung (I), wenn man in ihr n=1 setzt, direct in die Mittelpunktsgleichung einer Kugel übergeht, während unsere Fläche (II) aus der früher besprochenen, durch Verschwinden der Deformation allein hervorgeht.

Auf die Frage, welche von allen, der bewussten Bedingung genügenden Doppelitächen die der Lichtbewegung im magnetischen Felde wirklich entsprechende sei, und aus welchen Gründen ich die durch (Heichung (I) dargestellte dafür halte, habe ich folgendes zu antworten:

Die Wellentläche, welche der Lichtbewegung im magnetischen Felde entspricht, muss folgende Eigenschaften besitzen:

- 1. Sie muss durch einen Vorgang von stetiger Natur aus der Kugel ableitbar sein, wegen des Ganges der Erscheinungen bei stetig von Null aus wachsender Intensität des Magnetismus.
- 2. Sie muss die YZ-Ebene nur in einer Curve schneiden, und zwar in einer Kreislinie; also müssen ihre beiden Theile einander ebenfalls in dieser Weise schneiden (oder berühren).
- 8. Sie muss durch Rotation einer ebenen Figur um die X-Axe entstehen.
- 4. Es darf nicht, wie bei einaxigen Krystallen, der eine Theil ganz innerhalb des anderen liegen, sondern jeder Theil muss ein ebenso grosses Stück des anderen einschliessen, als von ihm selbst durch den anderen Theil eingeschlossen wird, so dass um die 1/Z-Ebene nur eine geometrische, aber keine optische Symmetrie besteht.

Durch die Erinnerung an die Rolle, welche des Rotationsellipsoid bei der einaxigen Doppelbrechung spielt, und durch die so nahe liegende Vorstellung, dass Kräfte, die ausschliesslich parallel einer geraden Linie wirken, auch nur Veränderungen an der Gestalt der sinfachen Wellentläche hervorrufen werden, welche durch Bewegungen ihrer einzelnen Punkte in der Richtung dieser Geraden entstehen, wie die lineare Deformation, endlich weil die aus einer solchen Deformation der Kugel hervorgehende Gestalt, nächst dieser selbst, überhaupt die einfachste ist, wurde ich auf die oben vorgetragene Muthmaassung geführt. Warum ich aber, nachdem ich schon dem — so zu sagen unerlaubten — Argumente der "Einfachheit" einen Platz in meiner Betrachtung eingeräumt habe, bei der aus zwei Ellipsoiden bestehenden Wellentläche stehen geblieben bin; weshalb ich überhaupt

mit einiger Bestimmtheit diese als die wirklich vorhandene Wellenstäche bezeichne, das wird sich aus dem Folgenden ergeben.

Es existirt nämlich noch eine, bisher von uns nicht in Betracht genommene Erfahrungsthatsache in diesem Gebiete von Erscheinungen, welche, sowie sie in der theoretischen Behandlung desselben einen der Hauptausgangs- und Anhaltspunkte der Rechnung bildet, so auch für die hier angestellten Betrachtungen dadurch von grosser Bedeutung ist, dass sie eine Wahl unter den verschiedenen möglichen Gestalten der Wellenfläche ermöglicht; indem aich aus jeder Wellenfläche, welche durch ihre Gleichung ausgedrückt ist, eine Beziehung zwischen zwei Variablen durch Rechnung ableiten lässt, welche mit der aus messenden Beobachtungen folgenden, analogen Beziehung derselben Variablen unmittelbar verglichen werden kann.

Bekanntlich hat M. Verdet in zwei kleinen Abhandlungen<sup>1</sup>) Versuche mitgetheilt, die er angestellt hatte, um zu prüsen, in welcher Weise die Grösse der Drehung der Polarisationsebene im magnetischen Felde abhängt von dem Winkel zwischen der Richtung der magnetischen Krast, und der Richtung der Lichtstrahlen.

Für diese Untersuchung war natürlich die übliche Methode<sup>3</sup>), welche angewendet wird, wenn beide Richtungen zusammenfallen, nicht brauchbar. Verdet beobachtete also an einem Apparate, welcher aus einem fixen optischen Theile, und einem beweglichen, electromagnetischen Theile bestand. Letzterer wurde von einem kräftigen Electromagnet mit verticalen Schenkeln gebildet, auf denen Polschuhe aus weichem Eisen, die einander genähert werden konnten, befestigt waren. Der Magnet war um eine verticale, mitten zwischen den Schenkeln durchgehende Axe drehbar, und seine Drehungen wurden mittelst Nonius und Alhidade abgelesen. Bei der Beobachtung wurde durch die zwischen den Polschuhen

<sup>1)</sup> M. Verdet, Compt. rend. 39. p. 548. u. 540. 1854. — Ann. de chim. et de phys. (3) 48. p. 37—44. 1855.

<sup>2)</sup> Durchbohrung der Pole oder Polschuhe.

befindliche Substanz in einer Horizontalebene durchgesehen. weiche der oberen Begrenzungsebene der Polschuhe narallel und möglichst nahe war. Damit die Forderung eines homogenen Feldes, in dem die Substanz liegen soll, möglichst erfüllt werde, mussten die Polschuhe bestimmte Formen und Dimensionen erhalten, und ich verweile bei der Beschreibung der Verdet'schen Versuchsanordnung absichtlich so lange. um auf eine offenbar auf einem Lapsus calami beruhende. irrthümliche Angabe Vordot's aufmerksam zu machen, die einen so wesentlichen Punkt betrifft, dass ihre ausdrückliche Richtigstellung gewiss nicht überhüssig ist. Wenn nämlich solche Messungen, wie Verdet sie vorgenommen hat, einen Werth besitzen sollen, so muss dafür gesorgt sein, dass bei allen Lagen des magnetischen Foldes gegen die Substanz, diese sich in einem Systeme merklich paralleler Kraftlinien befindet. Dafür hat Verdet durch eine passende Wahl der Länge der einander zugekehrten Politächen, im Vergleich zu der Lange ihres Abstandes von einander, und auch zu der Länge des durchstrahlten Cylinders oder Prismas der untersuchten Substanz. Sorge getragen, und dies auch in seinen beiden Mittheilungen erwähnt, und zwar in der ganz kurzen Mittheilung in den Comptes rendus in richtiger Weise: in dem aussuhrlichen Aufsatz aber in den Annales de Chimie et de Physique, in welchem er seinen Apparat sehr genau und mit Angabe aller Dimensionen beschreibt, ist die Rede von "deux lames en fer doux, de 07016 de longueur sur 0m04 de largeur et 0m005 d'épaisseur 1; wahrend die Lange, wie aus der beigegebenen Figur, und aus der entsprechenden Stelle der anderen Abhandlung ganz unzweifelhaft hervorgeht, nicht 16 mm, sondern 16 cm betrug. - Der Abstand der inneren Flächen der Polschuhe von einander war gleich 8 cm, und die geprüften Substanzen wurden in ungefähr 4 cm dicker Schicht von den Lichtstrahlen durchsetzt

Verdet gibt an, dass er mehrere Reihen von Messungen gemacht hat, an fünf verschiedenen Körpern: An einer Sorte von Plintglas, an Schwefelkohlenstoff, und an drei verschiedenen Proben des schweren Faraday'schen Glases. In dem kurzen Aufsatz in den Comptes rendus theilt er jedoch die unmittelbaren Ergebnisse seiner Messungen gar nicht mit, sondern spricht nur das aus ihnen abstrahirte, bekannte Gesetz aus, dass die Drehung der Polarisationsebene dem Cosinus des Winkels zwischen der Richtung der magnetischen Kraft, und der Richtung der Lichtstrahlen proportional sei; aber auch in der ausführlicheren Abhandlung theilt Verdet leider nur 2 Messungsreihen mit, und sagt, die übrigen seien diesen beiden ähnlich gewesen. Die Uebereinstimmung der direct abgelesenen Drehungen mit den aus dem Cosinusgesetze berechneten ist in beiden Reihen bekanntlich eine allgemein als hinreichend angesehene.

Die Wichtigkeit solcher Messungen für die Kritik der von mir vorgeschlagenen Wellenflächen ist unmittelbar ersichtlich. Da die letzteren durch ihre Gleichungen gegeben sind, so lässt sich aus diesen leicht für jede solche Wellenfläche berechnen, welches Gosetz sie für die Abhängigkeit der Drehung vom Winkel zwischen Krastrichtung und Inchtstrahl bedingt. Bei der Berechnung dieses Gesetzes für die aus 2 Rotationsellipsoiden bestehende Wellenfläche habe ich die Annahme, welche der Gleichung (I) zu Grunde

liegt, dass nämlich die Verschiebung mit der Deformation in bestimmter Weise zusammenhängt, nicht gemacht; ferner konnte ich mich auf die Betrachtung des Durchschnittes der Wellentläche mit der XI-Ebene beschränken.



Fig. 2.

Bezeichnet man die kleine Axe der Ellipsen (Fig. 2 1) mit 2b, ihre grosse Axe mit  $2(b + \beta)$ , die Entfernung ihres

<sup>1)</sup> Anch in dieser Figur sind, wie in der ersten, die Excentricität der Ellipsen, und ihre Verschiebung auf der X-Axe sehr stark übertrieben dargesteilt.

Mittelpunktes von O mit e, so ist die Gleichung beider Ellipsen:

I'm zu dem Gesetze, welches wir suchen, zu gelangen, ist zu bemerken, dass der Betrag der Drehung der Polarisationsebene von der Grösse des Unterschiedes der Geschwindigkeit des rechts circularen und des links circularen Strahles abhängt. Diese Geschwindigkeiten werden durch die, in gleichen Zeiten zurückgelegten Wege OR, und OR, für den Strahl, welcher den Winkel α mit der X-Axe einschliesst, gemessen.

Es ist also zu berechnen, wie sich — wenn wir allgemein  $OR_1$  mit  $r_1$ , und  $OR_2$  mit  $r_3$  bezeichnen — die Differenz  $r_1 - r_3$  mit dem Winkel  $\alpha$  ändert.

Die durch Transformation der Gleichung (1) auf Polar-

coordinaten gewonnene Gleichung:

(2) 
$$\frac{(r\cos\alpha\pm s)^2}{(\delta+\beta)^2} + \frac{r^2\sin^2\alpha}{\delta^2} = 1.$$

lässt sich leicht auf die Form einer nach fallenden Potenzen von r geordneten, quadratischen Gleichung bringen:

(8) 
$$\begin{cases} r^3 \{b^2 \cos^2 \alpha + (b+\beta)^2 \sin^2 \alpha\} \pm r \cdot 2a \cos \alpha b^2 \\ + b^2 \{e^2 - (b+\beta)^2\} = 0 \end{cases}$$

Bei der Auflösung dieser Gleichungen nach r braucht man für unseren Zweck blos das eine Vorzeichen der Wurzelgrösse zu berücksichtigen; ferner setzen wir der Kürze wegen: b = 1, und  $b + \beta = a$ .

Wir erhalten dann:

(4) 
$$r = a \sqrt{\cos^2 \alpha + \sin^2 \alpha} (a^2 - e^2) + e \cos \alpha + a^2 \sin^2 \alpha$$

Nennen wir den ersten Theil des Ausdruckes, rechts vom Gleichheitszeichen: A. den zweiten Theil: B, so haben wir:

(5) 
$$r_1 = A + B, \quad r_2 = A - B.$$

Für die von uns gesuchte Differenz der Geschwindigkeiten erhalten wir:

$$r_1 - r_2 = 2 B$$
, somit:

(6) 
$$r_1 - r_2 = \frac{2s \cos \alpha}{\cos^2 \alpha + (1+\beta)^2 \sin^2 \alpha}$$

und durch Reduction im Nenner:

(7) 
$$r_1 - r_2 = \frac{2e\cos \alpha}{1 + 2\sin^2 \alpha + \gamma^2 \sin^2 \alpha}.$$

Aus Gleichung 7)<sup>1</sup>) geht schon hervor, dass für die aus zwei Kugeln bestehende Wellonfläche, für welche (wegen  $\beta = 0$ ) das gesuchte Gesetz durch die Gleichung  $r_1 - r_2 = 2\varepsilon \cos a$  ausgedrückt wird, aus unserer Annahme dieselbe Proportionalität mit dem Cosinus von a folgt, welche von Verdet aus seinen Erfahrungen abstrahirt wurde.

Um zu dem entsprechenden Gesetze für die aus Ellipsoiden bestehende Wellenfläche zu gelangen, muss man die Antangsglieder der Reihe entwickeln, welche aus der in (7) angezeigten Division hervorgeht, und da erhält man:

(b) 
$$[2 \cos \alpha] [1 + 2\beta \sin^2 \alpha + \beta^2 \sin^2 \alpha] = 2 \cos \alpha - 4 \epsilon \beta \cos \alpha \sin^2 \alpha + 2 \epsilon \beta^2 \sin^2 \alpha \cos \alpha + \sin^2 \alpha - 1 - \cdots$$

Die Grösse 2s, durch welche natürlich die ganze Reihe theilbar sein muss, hängt unmittelbar mit der Verschiebung der beiden Theile der Doppeltiäche auf der X-Axe, vom O-Punkte nach beiden Seiten hin, zusammen. Die Grösse  $\beta$ , welche ein Maass der Excentricität der Ellipseide darstellt, wird, der Erfahrung gemäss, ebenso wie s. klein gedacht werden müssen neben der Einheit, und da die späteren Glieder der oscillirenden Reihe immer höhere Potenzen von  $\beta$  enthalten, neben rasch wachsenden Potenzen der echt gebrochenen trigonometrischen Functionen von  $\alpha$ , so wird uns zunächst der Einfluss des zweiten Gliedes der Reihe auf den Gang der Function interessiren, mit welchem wir uns sofort

<sup>1)</sup> Der Betrag dieser Differenz wäre eigentlich streng genommen nicht — wie hier geschehen ist — an der Wedenoberfläche selbet, sondern an der aus dir abzubitenden Hamilton sehen "surface of wave slowness" zu berechnen; jedoch kommt der Unterschied zwischen beiden Resultaten für unseren Fall absolut nicht in Betracht.

beschäftigen wollen.\(^1\)) Betrachten wir also nur die beiden ersten Gheder der Reihe (8), so erhalten wir:

(9)  $r_1 - r_2 = 2\varepsilon\cos\alpha - 4\varepsilon\beta\cos\alpha\sin^2\alpha = 2\varepsilon(\cos\alpha - \beta\sin\alpha\sin2\alpha)$ .

Wie schon oben aus Gleichung (7), so lässt sich auch aus Gleichung (9) das von Verdet aufgefundene Cosinusgesetz ableiten, wenn man  $\beta = 0$  setzt, also die Wellenfläche als aus 2 Kugeln bestehend ansieht.

Wenn man aber den Einfluss näher betrachtet, welchen dan zweite Glied in der Klammer von (9) auf den Gang der Function nimmt, unter der Voraussetzung, dass 7 ein kleiner. echter Bruch sei, so bemerkt man, dass, während a von Null bis 90° wächst, das zweite Glied in der Klammer zwar wegen des Factors sin a stets wachsen wurde, wegen des Factors sin 2 a aber nicht nur für a = 0, den Werth Null hat, sondern auch für  $\alpha = 90^{\circ}$  der Null gleich wird, so dass, wenn man dieses zweite Glied berücksichtigt, nicht die von Verdet angenommene einfache Cosinusfunction, sondern eine Top der Cosmusfunction bei  $\alpha = 0$  und  $\alpha = 90^{\circ}$  gar nicht. zwischen diesen beiden Werthen aber dadurch von ihr verschiedene Function herauskommt, dass von den Werthen. welche nach Verdet's Gesetz zu erwarten wären, noch etwas abgezogen werden muss, um auf die wahren Werthe zu kommen. Die gefundenen Grössen der Drehung müssen also, verglichen mit den aus Verdet's Gesetz berechneten. von  $\alpha = 0$  bei wachsendem  $\alpha$  zu klein werden; und erst wenn a sich 90° nähert, wieder mit dem Cosinusgesetz übereinzustimmen beginnen.

Betrachten wir nun die von Verdet durch Messung gefundenen Werthe. Verdet selbst hat sie mit den von dem Cosinusgesetz geforderten verglichen, indem er, nebst dem Winkel der Drehung der Polarisationsebene, bei jeder Position den Quotienten aus diesem Werthe, dividirt durch den Cosinus des Positionswinkels, angibt. Seine eine Ver-

<sup>1)</sup> Ein besonderer Beweis für die Convergenz dieser Reihe ist nicht nothig, unehdem oben auf den Umstand hingewiesen ist, aus dem sich ihre Convergenz von selbst ergebt; dass sie gier hzeitig fährt und oscillat.

suchreihe, bei welcher das Lacht durch eine 44 inm dicke Schicht Schwefelkohlenstoff ging, lautet!:

ęr	Drehung	Drehang Cos a
Úş.	5º 58 U	855,9
15	5 45 45	300 25
30	3 7 45	255,25
45	4 9 0	302,0
60	2 58 45	427.516

Man sieht, dass der Gang der Abweichungen der Beobachtungen Verdet's von seinem Gesetze ganz der Voraussetzung entspricht, dass in Gleichung (9, \beta einen von Null verschiedenen Werth hat, dass also die Wellenfläche nicht aus 2 Kugeln, sondern aus 2 Ellipsorden besteht; wenn auch die Excentricität derselben nicht gross ist, so reicht sie offenbar aus dafür, dass sich die durch sie bedingten Unterschiede in der Beobachtung deutlich bemerkbar machen.

Auch die zweite von Verdet mitgetheilte Reihe von Messungen, welche an einer 40 mm dicken Schicht schweren Faraday'schen Glases angestellt wurden, entspricht dieser Voraussetzung. Sie lautet 1):

$$\alpha = 0^{5}$$
 15<sup>3</sup> 30<sup>9</sup> 45<sup>5</sup> 60<sup>9</sup> 75<sup>4</sup>,  
Drehung = 535.75 527.25 531.25 537.50 537.50 539.00.

Ich sage: sie entspricht der Voraussetzung, weil der Gang der Abweichungen mit dem, von unserer Function geforderten insofern übereinstummt, als die Werthe des Quotienten: Dechase von einem zwischen den Enden des Viertelkreisbogens gelegenen Punkte, an welchem dieser Werth em Minimum ist, nach beiden Enden zu stetig wachsen.

Eine viel weiter gehende Uebereinstimmung ist wohl nicht zu erwarten, erstens wegen der nothwendigen Beobachtungsfehler, und dann auch, weil Verdet, wenn er schon aus seinen sämmtlichen Messungsreihen blos zwei zur Be-

<sup>1)</sup> Verdet, Ann. de chim. et de phys (8) 13. p. 43, 1855

<sup>2)</sup> Verdet, l. c. p. 43.

stätigung seines Gesetzes mittheilt, gewiss diesenigen, welche am besten mit diesem Gesetze stimmen, gewählt haben wird. Besonders wenn man diesen Umstand berücksichtigt, wird man wohl nicht geneigt sein, die in beiden Beispielen hervortretende Lebereinstimmung der Abweichungen mit den von meiner Formel geforderten für einen blossen Zufall, für das Resultat von Beobachtungsfehlern zu halten. Es wäre doch zu wunderbar, wenn die Beobachtungsfehler allesammt gerade in dem Sinne meiner Formel, und in solcher Regelmässigkeit ihr entsprechend, sich durch blossen Zufall eingefunden hätten.

Nach allem diesem glaube ich wohl, sagen zu dürfen:

- 1. dass die Lichtwellenoberfläche im magnetischen Felde sicher im allgemeinen die von mir beschriebene Gestalt zweier einander schneidender Rotationsflächen hat.
- 2. dass diese beiden Flächen jedenfalls zwar nur äusserst wenig von der Kugelgestalt abweichen, dass aber dessen ungeachtet
- 3. die aus Verdet's Cosinusgesetz abzuleitende, und mit diesem Gesetz allen bisherigen theoretischen Forschungen unbewusst zu Grunde gelegte Kugelgestalt beider Theile der Doppelfläche wahrscheinlich nur eine erste Annaherung an die wirkliche Gestalt ist, und
- 4. dass die Gestalt der Lichtwellenoberfläche im magnetischen Felde eine aus zwei Rotationsellipsorden, die in der Richtung ihrer grossen Axe so gegeneinander verschoben sind, dass sie grösstentheils ineinander liegen, bestehende Doppelfläche ist.

## XII. Ein neues Electrodynamometer; von J. W. Giltay.

Bellatis, hat ein ganz neues Princip für die Construction des Electrodynamometers angegeben.

Wenn man in einem Galvanometer die Magnetnadel durch einen Eisenstab ersetzt und diesen in der Windungsebene aufhängt, so wird er von einem durch die Windungen gehenden Strom nicht abgelenkt werden, weil er nicht magnetisch ist. Wird der Stab in die Meridianebene und zu gleicher Zeit senkrecht auf die Windungsebene gestellt, so wird er von einem durch die Windungen gehenden Strom magnetisirt, aber er wird ebensowenig wie vorher aus seiner Lage abgelenkt werden, da er schon die Maximalausweichung (90°) hat. Wenn man aber den Stab einen Winkel, der kleiner als 90° ist, mit der Windungsebene machen lässt, so wird er von einem durch die Windungen gehenden Strom sowohl magnetisirt als abgelenkt werden. Da mit der Stromrichtung sich auch die Polarität des Eisenstabes umkehrt,

<sup>1)</sup> Ador, La Lumière Électrique 10, p. 159, 1580.

<sup>2)</sup> F Kohlrausch, Wied Ann. 18, p. 556, 1882

<sup>3)</sup> W Siemens, Electrotechn. Zeitschr. 2, p. 14, 1881. Beibl. 6, p 203,

<sup>4)</sup> Bosscha, Arch. Neerland. 13, p. 250, 1878, Beibl 2, p. 518

<sup>5)</sup> Bellati, Atti del R Ist, Ven. (6) 1. p. 563, 1883 Beibl. 7. p. 617

so wird die Abweichung stets nach derselben Seite stattfinden, welche auch die Richtung des Stromes sein möge. Hieraus folgt, dass auch alternirende Ströme eine Bewegung des Eisenstabes verursachen werden.

Bellati hat sein Princip nur an einem sehr provisorisch construirten Apparat probirt. Die von ihm erzielten Resultate sind aber so befriedigend, dass ich mich bemüht habe, einen Apparat nach seinem Systeme zu construiren, wovon ich im Folgenden die Beschreibung geben will. Ich muss noch erwähnen, dass schon Vicentini<sup>1</sup>) sich bei seinen Untersuchungen über die Widerstände von Salzlösungen eines Bellati'schen Dynamometers, welches jedoch ohne Spiegelablesung war, bedient hat.

Auf einer runden Holzscheibe Fig. 11) ist ein Hartgummirahmen a befestigt, ganz übereinstimmend mit demjenigen, welcher beim Nobili'schen Multiplicator gebraucht wird. Um den Rahmen sind 2400 Windungen eines 0,1 mm starken Kupferdrahtes gelegt. Dieser Draht ist in 4 Abtheilungen, jede von 600 Windungen, eingetheilt; die beiden Enden jeder Abtheilung sind mit zwei benachbarten Klemmschrauben verbunden und können dadurch auf verschiedene Weise combinirt werden. Wenn sammtliche Windungen hintereinander verbunden waren, so war der Widerstand meines Instrumentes 405 Ohms.

Der Windungsrahmen wird von einer runden Hartgummiplatte bedeckt, worauf zwei weisse Linien gezeichnet sind; die
eine steht senkrecht auf der Windungsfläche, die andere
macht einen Winkel von 45° damit. Auf dem metallenen
Ring R bennden sich 3 Messingsäulen, welche die runde
Platte P tragen. In diese Platte wird das Messingstuck
geschraubt, worin die Glassohre B festgekittet ist. Um den
Apparat vor Luftstromungen zu schutzen, wird ein metallener
Mantel (Fig. 12) über die Platte P geschoben. Derselbe passt
in den Ring R und ist von einer seitlichen, durch Spiegelglas verschlossenen Oeffnung versehen. Um der lästigen Re-

to Vicentini, Atti della Accad. B. Jelle Sc. di Trenso (2) 36, 1884; Beibl. 9, p. 181.

texion der Spiegelglasplatte zu entgehen, macht diese letztere einen Winkel von einigen Graden mit der Axe des Mantels.

In Fig. 13 ist das Eisenbündel mit dem Spiegel dargestellt, ed ist ein dünnes Hartgummirohr, ein Ganzes bildend mit der Hartgummistange ab. In das Rohr ed ist ein Bündel sorgfältig geglühter Eisendrähte eingeschoben, deren jeder 18 mm lang und 0,4 mm dick ist; ef ist ein aus einem weissem Schweinehaar bestehender leichter der Axe des Eisenbündels paralleler Zeiger. In die obere Seite von ab ist ein Messingdraht gh eingeschraubt, woran der Planspiegel befestigt ist. Dieser hat einen Durchmesser von 20 mm, ist um die Stange gh verstellbar und kann folglich in jede beliebige Verticalebene gebracht werden. Das ganze System hängt an 2 Coconfäden, welche 30 cm lang und etwa 0,3 mm von einander entfernt sind.

Das Instrument wird in der Weise aufgestellt, dass die Windungsebene einen Winkel von 45° mit dem magnetischen Meridian bildet. Der Mantel wird jetzt in eine solche Lage gebracht, dass man durch das Fensterchen diejenige weisse Linie auf der Hartgummiplatte sehen kann, welche einen Winkel von 45° mit den Windungen macht. Durch Drehung des oben in der Glassöhre befindlichen Messingstabes, woran die Cocontaden befestigt sind, kann man Sorge tragen, dass der Zeiger ef (Fig. 13) sich gerade über dieser weissen Linie befindet. In diesem Falle bildet das Eisenbundel einen Winkel von 45° mit der Windungsebene und steht senkrecht zum magnetischen Meridian, ist also der Induction des Erdmagnetismus entzogen. Ist dies alles geschehen, so wird der Mantel soweit gedreht, bis die Glasplatte sich dem Spiegel gegenüber befindet.

Die Schwingungszeit des aufgehängten Systems ist etwa 15', es können also die Umkehrpunkte mit Spiegelablesung sehr bequem wahrgenommen und netirt werden.

Die folgende Messung möge zeigen, dass der Nullpunkt genugend constant ist; der Abstand zwischen Spiegel und Scala war 2 m. In Fig. 14 ist angedeutet, wie die hierzu benutzten Wechselströme erregt wurden. A ist ein kleiner Inductionsapparat, wovon der primäre Draht mit einem Bunsen'schen Elemente B verbunden und der Neeft'sche Hammer in Vibrationen versetzt wird; die secundäre Leitung bleibt ungeschiossen. Einige Centimeter vom Inductor entfernt liegt ein Bell'sches Telephon T¹). Das jedesmalige Hervortreten und Verschwinden des Magnetismus im Eisenkern des Inductors inducirt Aenderungen im Magnetismus des Eisenkernes des Telephons, wodurch in der Telephonspule Wechselströme entstehen, welche zum Dynamometer D geleitet werden. Die auf diese Weise erregten Ströme sind ziemlich constant, wenigstens wenn die Contactschraube des Hammers ordentlich festgesetzt und der Platincontact gehörig gereinigt ist; für Messungen von längerer Dauer ist die Einrichtung aber ungenügend, da der Neeff'sche Hammer zuweilen plötzhoh rascher oder langsamer zu vibriren anfängt, und die Intensität der Inductionsströme sich dadurch ändert.

Es wurden jedesmal fünf aufeinanderfolgenden Umkehrpunkte notirt und daraus der Schwingungsmittelpunkt bestimmt.

Zuerst wurde der Nullpunkt bestimmt, danach wurden die Wechselströme durch das Instrument geschickt; jetzt wurde die Leitung wieder geöffnet und der Nullpunkt abermals bestimmt u. s. w.

In der erste Columne der untenstehenden Tabelle findet man die verschiedenen Werthe, die ich für den Nullpunkt fand; in der zweiten Columne den Mittelpunkt der Schwingungen, welche der Eisencyhnder machte, wenn die Wechselströme durch das Instrument gingen.

Nullponkt	Mittelpuskt der Behwingemen, venn der Strom darab den Apparat Stre
187,06 137,23 186,58 136,78 136,68 136,70	228 47 222 72 222 47 221,44 222,32

<sup>1</sup> Ein Siemens sches Telephon kann für dieses Experiment in it dienen, da dieses einen Hufeisenmagnet mit 2 Drahtspulen enthält. Wenn der Mugnetismus im einen Eisenkern verstärkt wird, wird er gleichzeing im anderen geschwacht, es entstehen also in beiden Spulen entgegengesetzt gerichtete Strome, welche sich ungefähr aufheben

Wie man sieht, ändert sich der Nullpunkt nur sehr wenig, es ist aber dazu nothwendig, dass die Zimmertemperatur ungefähr dieselbe bleibe. Bei einer Temperaturerhöhung von 10° C. änderte sich der Nullpunkt um etwa 80 mm und folgte ziemlich regelmässig den Temperaturänderungen des Zimmers.

Die Empfindlichkeit meines Dynamometers möge durch die folgenden Experimente ins Licht gestellt werden. Der Abstand zwischen Scala und Spiegel war wieder 2 m. sammtliche 2400 Windungen waren hintereinander verhunden. Ein Blake-Mikrophon wurde mit einem Leclanche-Element und dem primären Draht eines kleinen Inductors verbunden, die secundare Leitung wurde mit dem Dynamometer in Verbindung gebracht. Wurde jetzt auf 30 bis 40 cm Distanz von der Mikrophonmembran gesprochen, so zeigte das Dynamometer emen ersten Ausschlag von etwa 30 mm. Wurde ganz leise in ein Stemens'sches Telephon gesprochen, so gab das Instrument einen ersten Ausschlag von 100 mm. Das Sprechen dauerte bei diesen Experimenten stets etwas länger als die halbe Schwingungszeit des aufgehängten Systems. Da die durch das Sprechen in dem Telephon errregten Ströme jeden Augenblick ihre Intensität ändern, konnte ich nur erste Ausschlage und keine constante Ablenkung notiren. Wurde in das Siemens'sche Telephon ein kräftiges O gerufen, so gab das Dynamometer einen ersten Ausschlag von etwa 90°. Dieser Winkel konnte natürlicherweise nicht mit Spiegelablesung gemessen werden, sondern wurde durch das im Mantel befindliche Fensterchen an der Bewegung des weissen Zeigers wahrgenommen.

Wird das Instrument für Wechselströme, die nicht zu kräftig sind, um mit Spiegelablesung gemessen werden zu können, gebraucht, so wird man vom remanenten Magnetismus des Eisenbündels nichts bemerken. Wird aber ein kräftiger, constant gerichteter Strom durch die Windungen geschickt oder ein kräftiger Magnet dem Apparate genähert, so wird es zuweilen vorkommen, dass das Eisenbündel etwas Magnetismus behalt. Dies hat dann stets eine Verschiebung des Nullpunktes zur Folge, weil der Erdmagnetismus

versucht, das Eisenbündel in den magnetischen Meridian zu bringen. Man würde durch Glüben der Eisendrähte ihnen diesen Magnetismus wieder nehmen können, ich habe aber ein einfacheres und ebenso zweckmassiges Mittel dafür ausgedacht. Wir wollen voranssetzen, dass das Eisenbündel durch einen Strom, den wir positiv nennen wollen, remanenten Magnetismus bekommen hat. Wenn wir letzt einen negativen Strom, der ein wenig schwächer als der vorhergehende ist. durch die Windungen schicken, so wird, nachdem dieser aufgehört hat, das Eisen wieder einigen remanenten Magnetismus behalten, das Bundel wird aber jetzt einen Nordpol haben, wo es früher einen remanenten Südpol hatte, und da der negative Strom schwächer war, als der frühere positive, wird auch jetzt der Magnetismus, den das Bundel behält, schwächer als vorher sein. Wenn man also Wechselströme abnehmender Intensität in das Instrument sendet, wird der remanente Magnetismus stets schwächer werden und zuletzt zunz verschwinden. 1: Zu dem Zwecke verbinde ich ein Siemens'sches Telephon mit dem Instrument und rufe anfangs laut, aber stets schwächer werdend, den Vocal O. Wenn der Schall endlich ganz aufgehört hat, so hat auch das Eisenbundel seinen remanenten Magnetismus ungefähr völlig verloren. Das folgende Experiment zeigt die Wahrheit dieser Behaustung.

Der Nullpunkt war beim Anfang der Messung 1813. Jetzt wurde ein kräftiger Inductionsstrom in das Instrument geschickt. Dieser wurde erregt durch das plötzliche Eindrücken der Eisenplatte des Siemens'schen Telephons; bevor die Platte losgelassen, wurde die Leitung schon wieder unterbrochen. Die Scala verschwand ganz aus dem Felde des Fernrohrs; nachdem das Eisenbündel zur Ruhe gekommen, ergab sich, dass der Nullpunkt 126 geworden war, das Eisenbündel zeigte also remanenten Magnetismus. Nun wurde die Leitung wieder geschlossen, und auf die früher beschrie-

<sup>1</sup> Line a f 'asselbe Princip bernhende Methode at von Deprez ung wesele, weeden, in The besulten die der'h die Nabe großsesser Denamen sechinen insgnetiert waren, ebren Magnetismus zu entnetmen. Compt. Reist. 87, p. 41, 1883.

bene Weise der Vocal O in das Telephon hineingerusen. Das Eisenbündel machte Schwingungen von etwa 180°; nachdem es wieder in die Ruhelage gekommen, war der Nullpunkt 178.5 geworden. Das Telephon wurde jetzt in umgekehrtem Sinne mit dem Dynamometer verbunden, wodurch also auch der Inductionsstrom, durch das Eindrücken der Eisenmeinbran erregt, in umgekehrter Richtung durch den Apparat ging. War das Eisenbündel durch diesen Strom remanent magnetisirt, so musste es einen Nordpol zeigen wo es früher einen Südpol hatte; dies war auch wirklich der Fall, was sich aus der Thatsache ergah, dass der Nullpunkt jetzt höher geworden war; der Spiegel zeigte in der Ruhelage auf 300. Nachdem abermals ein schwächer werdendes Ogerufen war, kam der Nullpunkt wieder zurück auf 179.0.

Wie man sicht, wird der remanente Magnetismus des Eisenbundels auf diese Weise sehr vollständig entfernt. Es passirt aber zuweilen, dass man dieses Experiment einige mal wiederholen muss, bevor der ursprüngliche Nullpunkt wieder eintritt. Die Ursache liegt wahrscheinlich darin, dass das Eisenbündel infolge des O-Rufens sehr grosse Schwingungen macht und dadurch während einer kurzen Zeit in eine den Windungen ungefähr parallele Lage komint. Solange das Eisenbündel den Windungen parallel ist oder nur einen kleinen Winkel mit denselben bildet, ist es der magnetisirenden Wirkung der durch das Instrument gehenden Ströme entzogen. Kommt es nun nach einiger Zeit wieder in eine solche Lage, dass es einen bedeutenden Winkel mit den Windungen bildet, und also deren magnetisirenden Wirkung wieder ausgesetzt ist, so kann es vorkommen, dass die durch das decrescirende () in dem Telephon erregten Inductionsströme nicht mehr von genugender Intensität sind, um die remanente Polarität umzukehren. Infolge dessen wird das Bündel also eine gewisse Magnetisirung behalten.

Um ein sicheres Resultat zu erzielen, ist es erwünscht, das Eisenbündel senkrecht zu den Windungen zu stellen und danach die Coconfaden herunter zu lassen, bis der Zeiger auf der Hartgummideckplatte liegt.

Für kleine Abweichungen ist die Theorie des Instruments sehr einfach. Nehmen wir an, dass das Eisenbündel, wenn es senkrecht auf die Windungen gestellt ist, durch einen durch das Instrument gehenden Strom i das magnetische Moment cui bekommt. Wird es um einen Winkel y gedreht, so wird das Moment nur c, iu. cos y sein.

Das Drehungsmoment, welches von einem Strom i ausgeübt wird auf einen Stab des magnetischen Moments 1, welcher Stab einen Winkel von  $90 - \gamma$  mit der Windungsebene bildet, ist proportional  $i \sin \gamma$ . Das von diesem Strom auf unser Eisenbündel des magnetischen Moments  $c_i i u . \cos \gamma$  ausgeübte Drehungsmoment ist also:

(1)  $K = Ci^2 u \cdot \sin \gamma \cos \gamma.$ 

Bei dem Bellati'schen Dynamometer macht das Eisenbündel in der Ruhelage einen Winkel von 45° mit den Windungen. Entsteht nun durch einen durch die Windungen gehenden Strom noch eine Ablenkung a, so wird das Bündel einen Winkel 45 – a mit einer auf der Windungsebene senkrechten Linie bilden. Um also das Drehungsmoment, welches von einem Strom i auf unser Eisenbündel ausgeübt wird, zu kennen, müssen wir in (1) den Winkel y durch 45 – a ersetzen:

$$K = Ci^3\mu \cdot \sin(45 - \alpha)\cos(45 - \alpha).$$

Dieses Drehungsmoment wird durch die Torsion der Aufhängedrähte im Gleichgewicht gehalten, und da diese bei einer Bitilarsuspension dem Sinus der Ablenkung proportional ist:

Const. 
$$i^{3}\mu$$
.  $\sin (45 - \alpha) \cos (45 - \alpha) = \text{Const. } \sin \alpha$ ,

$$i^{2} = C \frac{\sin \alpha}{\sin (45 - \alpha) \cos (45 - \alpha)} = C \frac{\sin \alpha}{\frac{1}{2} \cos 2\alpha}$$

$$i^{2} = C \frac{\sin \alpha}{\frac{1}{2} (1 - 2 \sin^{2} \alpha)}$$

Für kleines  $\alpha$  kann  $\sin^2 \alpha$  vernachlässigt werden, und ist also:  $i^2 = C \sin \alpha$ .

und weil ebenfalls für kleines a sin a proportional tg 2 a ist, so ist die an der Scala abgelesene Abweichung dem Quadrate der Stromintensität proportional.

Für grössere Ablenkungen müsste das Instrument graduirt werden, man würde dazu Wechselströme. wovon das gegenseitige Intensitätsverhältniss bekannt war, durch die Windungen schicken müssen und danach eine Curve construiren. Da mir aber die Hülfsmittel zu diesem Experiment iehlten, habe ich denselben Zweck durch die Anwendung constant gerichteter Strome zu erreichen gesucht, was mir jedoch nicht gelungen ist, weil in diesem Falle der Erdmagnetismus eine noch grössere Wirkung auf das Eisenbündel ausübt als der durch die Windungen gehende Strom selbst. Der Erdmagnetismus strebt das Bündel in die Meridianebene zu bringen und verstärkt die Wirkung der Windungen oder wirkt ihr entgegen, je nach der Richtung des durch das Instrument gehenden Stromes. Es ergab sich nun, dass nicht nur die Grösse, sondern auch die Richtung der Ablenkung sich mit der Stromesrichtung andert. Ein Strom von 1/130 000 Ampère wurde in einer bestimmten Richtung in das Instrument geschickt, die Abweichung war 24.8 mm nach rechts. Jetzt wurde der Strom umgekehrt, die Abweichung war nun 22,8 mm nach links. Hieraus ergibt sich dass der Erdmagnetismus eine bedeutend kraftigere Wirkung auf das Bundel ausübt als der durch die Windungen gehende Strom. Es ist folglich das Graduiren des Instrumentes auf diese Weise nicht möglich.

Man kann das Eisenbündel der erdmagnetischen Wirkung entziehen, wenn man die Windungen so combinirt, dass der Strom in der linken Hälfte des Rahmens in umgekehrter Richtung diesst als in der rechten. Das Eisenbündel bekommt dadurch 3 Pole, z. B. einen Südpol in der Mitte und an iedem Ende einen Nordpol: bei richtiger Lage und Stärke dieser Pole wird das Bündel astatisch sein. In diesem Fall könnte man also den Apparat mittelst gleichgerichteter Strome graduiren. Da sich aber jetzt die magnetisirenden und ablenkenden Wirkungen beider Windungshälften gegenseitig entgegenwirken, so war zu befürchten, dass das Instrument bei dieser Windungscombination viel weniger empfindlich sein würde, was sich auch in der That ergab. Es wurden die auf die in Fig. 14 angedeuteten Weise erregten Wechselströme durch das Instrument geschickt; bei der gewöhnlichen Windungscombination war die Ablenkung 155,3 mm, bei der

astatischen Magnetistrung nur 14,9 mm. Da der Apparat also im letzteren Fall viel weniger empfindlich ist, habe ich diese Idee nicht weiter verfolgt.

Es kann also das Instrument nur mittelst Wechselströme graduirt werden. Selbstverständlich kann die Bestimmung der Constante ebenso wenig mit gleichgerichteten Strömen geschehen; dieselbe kann nur gefunden werden, wenn man das Instrument mit einem Dynamometer, dessen Constante bekannt ist, in eine Leitung bringt und durch beide Apparate dieselben Wechselströme schickt.

Ich habe noch versucht, die Empfindlichkeit des Instruments durch das Einschieben zweier Eisenbündel in zwei dazu befindliche horizontale Löcher des Hartgummigehäuses zu steigern. Aus der gegenseitigen Lage der Pole dieser 3 Bundel (Fig. 15) ist zu ersehen, dass die beiden Bündel BB das Bündel C senkrecht auf die Windungsebene zu bringen suchen, dass sie also der Wirkung des Stromes auf C zu Hulfe kommen. Es ergab sich dennoch, dass die Empfindlichkeit des Instruments durch diese Abanderung etwas kleiner wurde; die Ursache davon ist wahrscheinlich, dass der Pol N. durch die Nähe von N., und ebenso Z., durch die Nühe von Z, etwas schwächer magnetisirt wird als vorher, wo die beiden Bündel BB nicht da waren. Infolge dessen wird auch die ablenkende Wirkung des Stromes auf das Bundel C eine geringere sein als früher. Was man also durch diese Aenderung an der einen Seite gewinnt, wird an der anderen Seite wieder verloren.

Eine bessere Einrichtung, die ich aber bis jetzt noch keine Gelegenheit zu erproben hatte, wäre die in Fig. 16 angegebene. C ist das aufgehängte Eisenbündel. BB sind die festen Bündel. ab ist die Ebene der Windungen, zwischen welchen C aufgehängt ist. Die Bündel BB werden gleichfalls vom Strome umkreist und erhalten die in der Figur angedeutete Magnetisirung. Kehrt die Stromesrichtung um, so ändern sich sämmtliche 6 Pole, und die Richtung der Ablenkung bleibt unverändert dieselbe.

Wie wir früher gesehen, bringt der Erdmagnetismus eine ziemlich grosse Ablenkung hervor, wenn man einen galvanischen Strom geringer Intensität durch die Windungen sendet. Dies brachte mich auf den Gedanken, zu versuchen, inwiefern das Bellati'sche Dynamometer als Galvanometer würde gebraucht werden können. Das Princip dieses Galvanometers ist ein ganz anderes als das aller anderen Galvanometer. Während bei einem gewöhnlichen Galvanometer der Erdmagnetismus der Ablenkung der Nadel entgegenwirkt, und man deshalb versucht, diesen Einfluss durch Astasiren zu verringern, wird bei meinem Instrument der Erdmagnetismus gerade dazu gebraucht, das Eisenbündel abzulenken, während der Strom ausschliesslich dazu dient, das Eisenbündel zu magnetisiren.

Zu diesem Zweck wurde das Instrument um 45° aus der Lage, worin es sich bis jetzt befand, gedreht, wodurch die Windungsebene in den magnetischen Meridian zu liegen kam. Das Eisenbündel wurde um soviel gedreht, dass der weisse Zeiger derienigen Linie, die senkrecht auf der Windungsebene steht, parallel war, das Eisenbündel stand also senkrecht zu den Windungen und auch senkrecht zum magnetischen Meridian. Als ich nun einen Strom von 0.000 001 25 Ampère in das Instrument sandte, ergab sich eine Ablenkung von 6,7 mm, bei 1,9 m Distanz zwischen Spiegel und Scala. Obgleich dies für ein Spiegelgalvanometer keine bedeutende Empfindlichkeit genannt werden kann, ist das Resultat für einen so einfachen Apparat doch ziemlich befriedigend. Wenn man annehmen kann, dass die Steifheit der Coconfaden sich nicht bedeutend andert, so wird die Constante dieses Instruments weniger Aenderungen ausgesetzt sein, als solches bei einem gewöhnlichen Galvanometer der Fall ist, da sich in meinem Instrument keine permanenten Magnete befinden.

Um dieses Galvanometer empfindlicher zu machen, würde man versuchen müssen, der erdmagnetischen Wirkung zu Hülfe zu kommen. Dies könnte auf sehr einfache Weise geschehen durch das Anbringen zweier permanenter Magnete, wie in Fig. 17 angegeben, wo A das aufgehängte Eisenbündel und B und C die festen permanenten Magnete vorstellen. Die Polarität von A hängt natürlicherweise ab von der

Richtung des Stromes, der durch das Instrument geht. Wenn die Magnete B und C kräftig genug sind, wird wahrscheinlich die erdmagnetische Wirkung vernachlüssigt, und das Instrument in jeder beliebigen Lage bezüglich des magnetischen Meridians aufgestellt werden können. Dieses Galvanometer hat jedoch einen Nachtheil: Kupferdämpfung kann man nicht anwenden. Weil das Eisenbündel nur sehr schwach magnetisch ist, kann es durch seine Bewegung nur Dämpfungsströme geringer Intensität induciren.

Ich hatte bis jetzt noch keine Gelegenheit, das Galvanometer mit den Verstärkungsmagneten zu probiren.

Die Theorie dieses Galvanometers ohne Verstärkungsmagnete ist für kleine Ausschläge die folgende: Ist µe der von einem Strom ein dem Eisenbündel inducirte Magnetismus, wenn dasselbe senkrecht auf der Windungsebene steht, so wird bei einer kleinen Ablenkung a der inducirte Magnetismus au. cos a sein. Das vom Erdmagnetismus auf das Eisenbündel ausgeübte Kräftepaar wird dann Const.µ.i.cos² a sein, und da dasselbe durch die Torsion im Gleichgewicht gehalten wird, ist: Const.µ.i.cos² a = Const. sin a.

$$i = C \frac{\sin a}{\cos^2 a} = C \frac{\lg a}{\cos a}$$

Für kleines  $\alpha$  ist  $\cos \alpha = 1$ :  $i = C \lg \alpha$ . Ferner kann man für ein kleines  $\alpha$   $\lg \alpha = \frac{1}{2} \lg 2\alpha$  nehmen, und dann ist also die an der Scala gemessene Ablenkung der Strommtensität direct proportional.

Die richtende Wirkung der Windungen auf das Eisenbündel und der von der Erde im Bündel inducirte Magnetismus sind beide proportional sin a und können für ein kleines a vernachlässigt werden.

Ich kann noch hinzufügen, dass der oben beschriebene Apparat von der hiesigen Firma P. J. Kipp en Zonen zum Preise von 92 M. fabricirt und geliefert wird.

Delft, 13. Februar 1885.

## DER PHYSIK UND CHEMIE.

NEUE FOLGE. BAND XXV

## 1. Veber die Würmeleitungsfähigkeit von Flüssigkeiten; von L. Graetz.

2. Abhandlung

1. In der ersten Abhandlung unter diesem Titel') wurde eine neue Methode zur Untersuchung der Wärmeleitung von Flüssigkeiten beschrieben und ihre Anwendung an einigen Beobachtungen mitgetheilt. Die Benutzung der Methode litt damals noch an einigen Schwierigkeiten, da die mathematische Theorie nicht weit genug geführt werden konnte, um die auftretenden Constanten theoretisch zu bestimmen. Im Folgenden wird die Theorie vollständig entwickelt. Es zeigt sich dabei, dass bei den Heobachtungen gewisse Bedingungen festgehalten werden müssen, die in der ersten Abhandlung noch unberücksichtigt geblieben waren.

Es wurde dann von einer Reihe ganz verschiedenartiger Flüssigkeiten die Würmeleitungsfühigkeit und zum Theil ihre Abhängigkeit von der Temperatur bestimmt. Dabei zeigte es sich bestätigt, was zuerst H. F. Weber? nusgesprochen lat, dass die Temperaturleitungsfähigkeit (a² = k qc) der verschiedenartigsten Flüssigkeiten nur innerhalb verhältnissmässig kleiner Grenzen variirt, dass insbesondere gar kein Zusammenhang zwischen der Leitungsfähigkeit und der Reibung von Flüssigkeiten zu erkennen ist. Eine Glycerinlösung, deren Reibungscoessicient etwa 1000 mal so gross ist, wie der von Aether, eine Chlorcalciumlösung, deren Reibung etwa 100 mal so gross ist, zeigen nahezu dieselbe Temperaturleitungsfähigkeit. In dieser Beziehung unterscheiden sich also die Flüssigkeiten ganz wesentlich von den Gasen. Wäh-

<sup>1,</sup> Graetz, Wied Ann 18, p. 79, 1853.

<sup>2</sup> H. F. Wener W.ed. Ann. 10, p 316, 1880

rend bei den Gasen die Warmeleitungsfähigkeit der Reiburg und der spreifischen Warme) proportional geht, hängt bei den Flüssigkeiten die Warmeleitung in erster Linie nur ab von der specifischen Warme und nur unbedeutend von anderen Eigenschaften. Noch in einer zweiten Hinsicht findet in Beziehung auf Reibung und Wärmeleitung ein Unterschied zwischen Gasen und Flüssigkeiten statt. Bei den Gasen wachsen sowohl die Reibung als die Wärmeleitung mit steigender Temperatur, die Wärmeleitung ungefähr so, wie es die Clausius'sche Theorie verlangt!), die Reibung etwas rascher. Bei den Flüssigkeiten dagegen nimmt die Wärmeleitung mit steigender Temperatur zu, die Reibung ab.

2. Diese Verschiedenartigkeit des Verhaltens von Flussigkeiten und Gasen lässt sich aber, wie es scheint, ganz ungezwungen aus den Vorstellungen über die Art der Bewegung der Molecüle ableiten, auch ohne dass wir eine obenso ausgebildete kinetische Theorie der Flüssigkeiten haben, wie sie für die Gase entwickelt ist. In einem tidssigen Medium bleibt nach Clausius ein Molecül im allgeen in der Anziehungssphäre seiner Nachbarmolecüle und

diese nur, um dafür zu andere n Nachbarmoleculen in eine entsprechende Lage zu kommen. Da die Anziehungskräfte zwischen den Moleculen nur auf sehr geringe Entfernungen wirken, so wird jedes Molecul nur beeinflusst von denjenigen Nachbarmoleculen, welche auf einer kleinen um das Molecul gelegten Kugel liegen, und wenn die Flüssigkeit überall gleich dicht und in Ruhe ist, so heben sich in jeder Lage des Moleculs während seiner Bewegung die Anziehungskräfte sämmtlicher Nachbarmolecule auf jausser bei den Moleculen an der Oberflächej. Aus dieser Betrachtung hat van

<sup>1)</sup> Gractz, Wied Ann. 14. p. 232. 1881; Christiausen, Wied. Ann. 14. p. 29. 1881. Auch Winkelmann Wied Ann 19. p. 648. 1883) kommt durch neuere Versuche zu dem Resultat, dass der Temperaturcoöfficient der Wärmeleltung dem von Clausius geforderten nale steht (0,002.08 und 0,00160 bei verschiedenen Apparatent, bestangt also in dem Hauptdifferenzpunkt mit mir jetzt das Resultat, welches ich gleichzeitig mit Christiausen gefinden hatte. Auf miniche seiner Ausführungen komme ich bei anderer Gelegenheit zurück.

der Waalse) geschlossen, dass auch bei Flüssigkeiten die Geschwindigkeit der Molecüle, wie hei den Gasen, mit einem Oberflächendruck N zusammenhängt durch die Gleichung:

$$\sum_{2}^{1} m V^{2} = \frac{8}{2} Nr$$
,

wenn v das Volumen der Flüssigkeit ist.

Betrachten wir also eine ruhende Flüssigkeit von überall gleicher Temperatur und Dichte, so wird zwar im allgemeinen die Bahn keines Theilchens zwischen 2 Zusammenstössen geradhnig sein, aber wenn wir uns die Bahnen aller Theilchen nuch drei rechtwinkligen Coordinaten zerlegt denken, so werden sich zu jeder Zeit die Componenten für sämmtliche Molecüle zusammen aufheben, und wir können daher für diesen Fall uns eine Flüssigkeit durch ein System von geradlinig fortschreitenden Molecülen mit gewisser mittlerer Geschwindigkeit und gewisser mittlerer Weglänge ersetzt denken. Die Anziehung der Molecüle heht sich im ganzen System auf.

3. Betrachten wir nun die Würmeleitung, die, wie bei den Gasen, als bestehend in der Cebertragung von kinetischer Energie aufgefasst werden soll. Denken wir uns 2 Ebenen senkrecht zur z-Axe, (die in der oberen Ebene anfange), zwischen ihnen Flüssigkeit, oben von der Temperatur  $T_1$ , unten von der Temperatur  $T_0$  ( $T_1 > T_0$ ), und betrachten wir eine Schicht im Abstand z von der oberen Ebene. Zunächst haben die Molecule auf der wärmeren Seite eine grössere Geschwindigkeit als auf der kälteren. Es geht deshalb eine gewisse positive Energiemenge von der wärmeren Seite zur kälteren, ganz wie bei den Gasen, und es wird sich die Würmeleitungsfähigkeit, soweit sie aus diesem Vorgang allein besteht, durch eine ähnliche Formel ausdrücken wie bei den Gasen, nämlich:

$$k = \times Nm \Omega Lc.^2)$$

Zweitens aber sind auf der wärmeren Seite die Molecule weiter auseinander als auf der kälteren. Ein jedes Molecul

<sup>1.</sup> Van der Waals, Ueber die Continuität des flüssigen und gasforungen Zustandes. Deutsch von F. Roth, p. 11. 1881.

<sup>2)</sup> O. E. Meyer, Kmetische Theorie der Gase. p. 887.

der Schicht wird daher durch die Molecularkräfte stärker nach der kälteren Seite gezogen. Es tritt also auch dadarch ein Energiezuwachs in Richtung der positiven x-Axe ein. Zu dem Factor på in der Clausius'schen Ableitung i tritt also noch additiv eine Grösse d, welche zwar abhängt von den Molecularkräften, aber nur insofern, als deren Wirksamkeit durch die Aenderung der Dichtigkeit geändert wird. Es treten also nicht die Molecularkräfte selbst wesentlich bei der Wärmeleitung auf, sondern nur ihre Differenzen infolge der Entfernungsänderung der Molecule bei verschiedener Temperatur.

Ganz anders aber ist das Verhältniss bei der Reibung. Wenn der obersten Schicht in unserem Beispiel eine Geschwindigkeit z. B. nach der w. Richtung ertheilt wird. so wird einerseits zwar auch durch die molecularen Stosse ein positives Bewegungsmoment in Richtung der v-Axe durch die Grenzfläche hindurchgehen und dadurch die zweite Schicht auch in Bewegung kommen. West wirksamer noch aber muss in diesem Falle der Einfluss der Molecularkräfte Durch die Anziehungskräfte muss jedes Molecul der zweiten Schicht den durchschnittlichen Bewegungen der ersten in Richtung der v. Axe folgen und so for: in der dritten u. s. w. Schicht. Da die Molecuie durchschnittlich so nahe bei einander liegen, dass ihre Anziehungskräfte wirksam sind, so wird diese Uebertragung der Bewegung von Schicht zu Schicht den Hauptantheil an der Reibung bilden. Die Reibung der Flüssigkeiten also muss wesentlich abhängen von den Molecularkraften, die Wärmelettung aber nur unwesentlich. Im allgemeinen kann man sagen, dass man bei einer kinetischen Theorie der Flussigkeiten nur dann auf die Molecularkräfte wesentlich wird Rücksicht nehmen müssen, wenn es sich um eine Aenderung des mittleren Abstandes der Molecule salso um Volumenanderung handelt, und wenn von sammtlichen Moleculen, die auf einer um einen Punkt der Flussigkeit gelegten kleinen Kugel hegen, die Resultante der Geschwindigkeit von Punkt

It Clausius, Pogg Ann. 115, p. 14-1861

zu Punkt variert. Dies ist aber bei der Reibung der Fall, bei der Wärmeleitung nicht.

4. Aus dieser Autfassung ergibt sich nun einerseits sofort, dass Reibung und Würmeleitung bei Flüssigkeiten in keiner wesentlichen Beziehung stehen, da sie der Hauptsache nach auf wesentlich verschiedenen Ursachen beruhen. Andererseits erklärt sich auch das Verhalten derselben gegen die Temperatur. Die Geschwindigkeit der Molecule und die mittlere Weglänge wachsen mit der Temperatur und daher auch die übertragene Energie; also muss die Wärmeleitung mit steigender Temperatur wachsen, da sie hauptsächlich von dieser durch die Stösse vermittelten Energieüberführung abhängt. Dagegen nunmt die Wirkung der Molecularkräfte mit steigender Temperatur ab, weil die Molecule durchschnittlich weiter auseinander sind. Daher nimmt auch die Reibung mit steigender Temperatur ab, da bei nicht zu hoben Temperaturen dieser Einfluss überwiegt. Da aber der von den Stössen herrührende Theil der Reibung mit der Temperatur wachst, so muss diese Abnahme bei höherer Temperatur geringer werden, wie es der Versuch zeigt. 1) Ferner stimmt auch damit überein, dass die Reibung mit grösserer Dichte 'her gleicher Temperatur) zunimmt, wie es Warburg und Babo2) bei flüssiger und gas-förmiger Kohlensäure beobachtet haben. Auch dass flüssige Kohlensäure von der Dichte 0,8 bei einer zwischen 20 und 32,6° hegenden Temperatur ein Minimum der Reibung hat 1), lässt sich aus dem Zusammenwirken von molecularem Zug und molecularen Stössen erklären. Uebrigens muss auch bei der Wärmeleitung durch den Uebergang in den gasförmigen Zustand eine Abnahme des Coefficienten stattfinden, da die Warmeleitung der Gase kleiner zu sein scheint als die der Flüssigkeiten, obwohl noch keine Substanz im flüssigen und gasförungen Zustand zugleich untersucht ist.

Ist diese Auffassung richtig, so wird bei einer kinetischen Theorie der Flüssigkeiten die Wärmeleitung uns Aufschluss

<sup>1)</sup> O E. Meyer, Wied, Ann. 2, p. 387-1877.

<sup>2</sup> Warburg and Babo, Wied. Ann. 17, p. 421, 1882

<sup>3)</sup> Warhung and Babo, I e p. 423,

geben hauptsächlich über die moleculare Geschwindigkeit und Weglänge, die Reibung über die molecularen Krafte und Abstände der Molecule. Wenn nun im Folgenden gezeigt wird, dass für die untersuchten Flüssigkeiten:

$$k = Anc$$

ist, wo A von Flüssigkeit zu Flüssigkeit nur wenig variirt, so würde, wenn man in erster Reihe von den Molecular-kräften absieht, daraus nur folgen, dass das Product aus molecularer Geschwindigkeit und molecularer Weglänge für die verschiedenen Flüssigkeiten nur wenig variirt. Das hätte gar nichts Auffallendes, denn auch bei den verschiedensten Gasen, ausser bei Wasserstoff, variirt dieses Product nur etwa zwischen I und 2.1 Das braucht aber durchaus kein allgemeines Resultat zu sein. Es ist deshalb auch nicht nöthig, wie Weber es thut, die Würmeleitung von Quecksilber, bei dem die Constante A etwa 80 mal so gross ist, einen ganz anderen Vorgang, nämlich der inneren Strahlung zuzuschreiben, die für uns ja bis jetzt nur ein Wort ist.

5. Um die Theorie der Versuche zu vervollständigen, führe ich kurz an, dass die Methode darin besteht, dass eine Flüssigkeit von der Temperatur  $T_1$  durch eine enge Röhre, deren Mantel auf der Temperatur  $T_0$  gehalten wird, fliesst, und dass die Mitteltemperatur U und das Volumen B' der in bestimmter Zeit ausfliessenden Flüssigkeit im stationären Zustand gemessen wird. Unter Annahme des Poise uille schen Gesetzes ergab sich daraus die Differentialgleichung:

 $2\,\alpha\Big(1-\frac{r^2}{R^2}\Big)\frac{\partial\,u}{\partial\,z}=a^2\Big(\frac{\partial^2u}{\partial\,r^2}+\frac{1}{r}\frac{\partial\,u}{\partial\,r}\Big)\,.$ 

Die Lösung dieser Gleichung, zusammen mit den Grenzbedingungen, wurde auf die Form gebracht:

$$n = T_1 \sum_i C_i e^{-\frac{a^2 n_i^2 n_i^2}{1 \text{ H}^2}} V_i.$$

die Function I, genügte der Differentialgleichung (r, R = y gesetzt):

Siehe die Zusammenstellung bei O. E. Meyer, Kinotische Theorie der Gase, p. 45 n. 142.

$$\frac{d^2 \Gamma_i}{dy^2} + \frac{1}{y} \frac{d \Gamma_i}{dy} + u_i^2 (1 - y^2, \Gamma_i = 0).$$

die Constanten pt waren die Wurzeln der Gleichung:

$$V(1) = 0.$$

Durch Reihenentwickelung ergab sich  $\mu_1 = 2.7043$ .  $\mu_2 = 6.50$ .

Die Constanten C, konnte ich damals noch nicht theoretisch bestimmen. Sie müssen der Bedingung genügen, dass für alle y ist:

$$1 = \sum_{i} C_i V_i.$$

Um diese Bestimmung auszuführen, müssen von den neuen Functionen V, zwei Sätze bewiesen werden, analog denen bei Kugelfunctionen und Bessel'schen Functionen.

Satz I. Wenn V, und V, zwei Functionen sind, die den Gleichungen genügen:

(1) 
$$\frac{d^{2} V_{i}}{dy^{2}} + \frac{1}{y} \frac{d V_{i}}{dy} + \mu_{i}^{2} (1 - y^{2}) V_{i} = 0,$$
(2) 
$$\frac{d^{2} V_{i}}{dy^{2}} + \frac{1}{y} \frac{d V_{i}}{dy} + \mu_{i}^{2} (1 - y^{2}) V_{i} = 0.$$

so ist, falls  $u_t$  und  $u_s$  Wurzeln der Gleichung I'(1 = 0 sind, und  $u_t \ge u_s$  ist:

$$\int_{0}^{1} V_{i} V_{i} y (1 - y^{2}) dy = 0.$$

Es seien  $u_i$  und  $\mu_x$  zuerst zwei beliebige Zahlen. Multiplicirt man dann (1) mit  $V_x dy$ , (2) mit  $V_x dy$  und integrirt von 0 bis 1, nachdem man sie voneinander subtrahirt hat, so wird:

(8) 
$$(\mu_i^3 - \mu_a^3) \int_0^1 V_i V_a y (1 - y^3) dy = \left( V_i \frac{dV_a}{dy} - V_a \frac{dV_b}{dy} \right)_{3=1}$$

Falls also  $I'_*(1'=0)$  and  $I'_*(1)=0$  sind, also  $\mu_*$  and  $\mu_*$  Wurzeln der Gleichung I'(1)=0 sind, and falls  $\mu_* \gtrsim \mu_*$  and, so ist Satz I bewiesen.

Satz II. Der Werth dieses Integrals für i = x bestimmt sich durch:

$$\int_{0}^{1} V_{i} y_{i} (1-y^{2}) \, dy = \frac{1}{2\mu_{i}} \left( \frac{dV_{i}}{d\mu_{i}} \frac{dV_{j}}{dy} \right)_{y=1}.$$

Seien zuerst wieder  $\mu_i$  und  $\mu_s$  beliebige Zahlen, dann gilt die Gleichung 3. Setzen wir nun:

$$a_s = \mu_t + d\mu_t$$
, also  $V_s = V_t + \frac{\theta V_t}{\theta \mu_t} d\mu_t$ .

so wird unsere Gleichung:

$$2\mu_i\int\limits_{\delta}^{1}V_iV_iy\left(1-y^2\right)dy=(\frac{\partial V_i}{\partial u_i}\frac{\partial V_i}{\partial y}-V_i\frac{\partial^2 V_i}{\partial \mu_i\partial y})_{y=1}.$$

1st nun speciell  $\mu$ , eine Wurzel der Gleichung 1'1) = 0, so folgt:

$$\int_{0}^{1} V_{\gamma} V_{\gamma} y |1-y^{2}\rangle dy = \frac{1}{2} \frac{\partial V_{\gamma} \partial V_{\gamma}}{\partial u_{\gamma} \partial u_{\gamma} \partial y_{\gamma = 1}}, \quad \text{q. e. d.}$$

Mit Hulfe dieser beiden Sätze ergibt sich aus der Gleichung:  $1 = \sum_{i=1}^{n} C_i V_{i,i}$ 

durch Multiplication mit  $V_iy/1 - y^2 dy$  und Integration:

$$\int_{0}^{1} V_{i} y (1 - y^{2}) dy = C_{i} \int_{0}^{1} V_{i} V_{i} y (1 + y^{2}) dy.$$

Das Integral links ist aber, wie sich aus der Differentialgleichung ergibt:

 $=-\left.\frac{1}{\mu_{x}^{2}}\frac{dV_{y}}{dy}\right|_{y=1}.$ 

also folgt:

$$C_i = -\frac{2}{\mu_i} \frac{1}{dV_i} \Big|_{V=1}$$

Es ist:  $(\frac{dV_1}{d\mu_1})_{y=1} = -0.50082, \quad (\frac{dV_2}{d\mu_2})_{y=1} = +1.12290.$ 

Wir erhalten so die Temperatur u im Punkte yz:

$$u = -2T_1 \sum_{i=0}^{1} \frac{1}{dP_i} \int_{|y|=i}^{d^2 p/nz} V_i(y).$$

Beobachtet wird aber nicht die Temperatur jedes einzelnen Punktes des Endquerschnittes z=l), sondern die Mitteltemperatur U der ausfliessenden Flussigkeit. Dieselbe bestimmt sich durch die Gleichung:

$$\begin{split} U &= -T_1 \sum_{i=1}^{|\mathcal{H}|} \frac{1}{|\mathcal{H}_{I_i}|} e^{-\frac{h^2 h_1^4 + 1}{2W}} \int_{0}^{1} V_i y (1 - y^2) dy \\ &= T_1 \sum_{i=1}^{|\mathcal{H}_{I_i}|} \frac{1}{|\mathcal{H}_{I_i}|} e^{\frac{h^2 h_1^4 + 1}{2W}} \\ &= T_1 \sum_{i=1}^{|\mathcal{H}_{I_i}|} \frac{1}{|\mathcal{H}_{I_i}|} e^{\frac{h^2 h_1^4 + 1}{2W}}. \end{split}$$

Es ist:  $\left(\frac{dT_i}{dy}\right)_{y=1} = -1.01213$ ,  $\left(\frac{dT_i}{dy}\right)_{y=1} = 1.25441$ , mithin ergeben sich in der Endgleichung<sup>1</sup>.

$$U = T_1 \sum_{i=1}^{n} p_i e^{-\frac{n^2 \mu_i^2 n^2}{2 \pi i}}$$

die Constanten  $p_1 = 0.81747$ ,  $p_2 = 0.0325$ .

In Wirklichkeit hängt sowohl die Wärmeleitungsconstante als die mittlere Geschwindigkeit a von der Temperatur ab. Doch hat diese Methode den Vorzug, dass diese Abhängigkeit aus den Formeln herausfällt, wenn man nur voraussetzt, was sehr angenähert der Fall ist, dass die Temperaturabhängigkeit von al und a dieselbe ist. Dann wäre nämlich die exacte Differentialgleichung:

$$2u_n + \frac{1}{r} \cdot \left(1 - \frac{r^2}{R^2}\right) \frac{\partial u}{\partial z} = u_n^2 + \frac{1}{r} \cdot \frac{\partial^2 u}{\partial r^2} + \frac{1}{r} \cdot \frac{\partial u}{\partial r}.$$

woraus man erkennt, dass die abgeleitete Gleichung ohne Correction für iede Temperatur angewendet werden kann. Physikalisch beruht das darauf, dass bei höherer Temperatur zwar die Flüssigkeit schneller durch die Röhre fliesst und daher eine geringere Temperaturerniedrigung erleiden wird. Durch die erhöhte Wärmeleitungsfähigkeit bei höherer Temperatur wird aber diese Abnahme wieder ausgeglichen. Aus diesem Grunde ist auch der Umstand ohne Einfluss, dass die einzelnen Flüssigkeitsfäden infolge der Temperaturabhangigkeit der Reibung mit grösserer oder geringerer Geschwindigkeit als der mittleren ihre Wärme durch den Endquerschnitt hindurch transportiren. Dieser Eintluss lässt sich exact berechnen, ist aber nur sehr unbedeutend.

<sup>1)</sup> Graetz, Wied Ann 18, p. 88, 1888

6. Die Formel (4) ist aber geknüpft an die Gültigkeit des Poiseuille'schen Gesetzes. Da nun die Rohren nicht zu eng genommen werden durften, weil geringe Verunremigungen Fluidität und Warmeleitung entgegengesetzt beeinflussen und sich daher in ihrem Resultat verstärken, so 1st die Anwendung der Methode beschränkt auf geringe Druckhöhen. In der That zeigte sich bei Benutzung der Formel (4), dass, wenn man von erheblichen Drucken abwarts ging, der berechnete Werth von a2 zunahm, bis er bei verhältnissmässig geringen Drucken constant wurde. Andererseits darf man aber auch nicht ganz geringe Drucke anwenden, weil dann zwei theoretische und ein experimenteller Uebelstand eintreten, die die Resultate wieder beeinflussen. Erstens wird nämlich dann die Differenz der Ausflusstemperatur L' von der Temperatur des Bades T. so klein, dass die zufälligen Schwankungen zu grossen Einfluss orhalten, andererseits ist Einfluss- und Ausflusstemperatur (T, und U) so verschieden, dass man nicht den Werth des Warmelestungscoësticienten auf die Temperatur (T, + 1 2 beziehen darf. Von der experimentellen Schwierigkeit wird bald die Rede sein. Deswegen ist der Versuch auf ein ziemlich enges Druckintervall beschränkt, welches experimentell für die Flüssigkeiten von verschiedener Zähigkeit zu ermitteln war.

Um diesen Einfluss zu zeigen, führe ich folgende Beobachtungen an Alkohol an, die zum Theil verschiedenen Versuchsreihen angehören. Es bedeutet darin t die Zeit in Secunden, in welcher 100 ccm ausgeflossen sind,  $a^2$  die nach der Formel (4 berechneten Werthe und T die Temperatur, auf welche sich  $a^2$  bezieht. ( $a^2$  ist bezogen auf cm g min.)

Einfluss der Geschwindigkeit der Strömung.

Nr.	- 1	T	, a <sup>2</sup>	Nr.	t	T	a <sup>1</sup>
1	185.0	15.02	0,0542	5	463,6	13,64	0,0839
2	277.2	13,88	0,0603	6	492,8	13,02	(_0635
3	250.6	14,41	6 0031	7	631	13,96	0.0632
4	364	14,57	0,0631	8	743	12,99	0,0838

Man erkennt ein Anwachsen der Zahlen für a<sup>3</sup> mit abnehmender Austlussgeschwindigkeit bis zur Beobachung 5. Von da an hält sich a<sup>3</sup> nahezu constant von t = 465.6 bis t = 743. Die unter Nr. 5 bis 8 stehenden Zahlen geben daher die Temperaturleitungsfähigkeit des Alkohols an. Deutlicher noch als bei diesen Zahlen zeigt sich in der folgenden Tabelle, dass eine zu langsame Strömung wieder Abweichungen in demselben Sinne hervorbringt. Es sind Versuche mit einer etwa fünfprocentigen Lösung von chlorsaurem Kali. Die Bedeutung der Buchstahen ist dieselbe.

Nr.		T	a <sup>4</sup>
1	108	28,61	D <sub>1</sub> (06456
2 3 4 5	282 286 321 878	29,25 24,02 29,3 25,21	0,0785 0,0768 0,0768 0,0753
ь	1005	24,18	0,0832

Die Beobachtungen 2 bis 5 zwischen t = 252 und t = 578 ganen also hier nahezu constante Zahlen.

7. Dass bei sehr langsamer Strömung die berechneten Werthe a' meistens abweichend ausfallen, hat seinen Grund emerseits in der zu kleinen Differenz zwischen der Temperatur des Bades und der Endtemperatur, andererseits auch darin, dass es während einer längeren Beobachtungsdauer nicht leicht möglich ist, den stationären Zustand zu erhalten. und dies namentlich dann nicht, wenn die Versuche bei höherer Temperatur angestellt werden. Der Hauptgrund liegt aber in der Unmöglichkeit, dabei die Mitteltemperatur genau zu hestimmen. Die enge Röhre, in welcher die Abkühlung geschicht, mundet nämlich in ein weiteres Robr von ungefahr 1.5 cm Durchmosser, in welchem das Thermometer so befestigt war, dass sein (enges) Gefäss der Oeffnung der Rubre gerade gegenüber stand. Nun haben aber die einzelnen Flüssigkeitsfäden in der engen Röhre ganz verschiedene Temperaturen, in der Mitte die hochsten, am Rande die niedrigste, und bei den Versuchen in höherer Temperatur be-

trägt diese Differenz oft nahe an 200. Bei schneller Strömung vermischen sich die Faden beim Austritt und gleichen ihre Temperatur aus. Bei langsamer Stromung aber hilden sich in dem weiten Rohr ganz deutlich Schichten von verschiedeper Temperatur, sodass das Thermometer durchaus nicht die Mitteltemperatur angibt. Ich habe diese kaum zu erwartende Störung dadurch zu vermeiden gesucht, dass ich die Flussigkert, sowie sie aus der engen Röhre kam, durch ein umgekehrt s-formig 7) gebogenes Röhrchen erst nach oben fliessen und dann aus dessen Ende in das Austiussrohr abtropfen, resp. abgleiten liess. Dadurch erzielte ich bei nicht zu geringer Geschwindigkeit wohl eine vollständige Mischung der Flüssigkeit. was sich daran erkennen liess, dass das Thermometer in jeder Lage innerhalb des Ausflussrohres dieselbe Temperatur zeigte. Bei ganz langsamer Strömung aber war auch hierdurch die Schichtung noch nicht ganz beseitigt, vielmehr herrschten in einem Querschnitt des Ausfluserohres Temperaturdifferenzen bis nahe zu einem ganzen Grad. Derartige Versuche sind naturlich nicht brauchbar. Es müssen also auch die gane geringen Geschwindigkeiten vermieden werden. Es liesse sich dieser Uebelstand ganz beseitigen, wenn man in die austhessende Substanz ein kleines Rührwerk hineinbrächte, etwa durch die Strömung selbst ein leichtes Schaufelrädchen treiben hesse. Indes habe ich mich mit den Versuchen bei nicht zu geringer treschwindigkeit begnügt, da diese schon in ziemlich weitem Intervall constante Werthe von at geben.

Durch diese Einschränkung des brauchbaren Intervalls der Geschwindigkeiten ist die Methode, die ich in meiner ersten Abhandlung zur experimentellen Bestimmung der Constanten  $p_1$  und  $p_2$  angab, ebenfalls beschränkt. Die Methode beruhte darauf, dass man die Flüssigkeit mit drei möglichst verschiedenen Geschwindigkeiten durch die Röhre strömen hess. Die jetzige Untersuchung zeigt, dass man dadurch nicht genaue Werthe der Constanten  $p_1$ ,  $p_2$  und abekommen kann, weil man entweder auf ein für Differenzbestimmungen zu kleines Intervall beschränkt war oder Beobachtungen verwenden musste, für welche das Porsenillebeche Gesetz nicht mehr gilt. Letzteres war bei meinen

früheren vorläutigen Bestimmungen der Fall, deswegen sind die damaligen absoluten Werthe zu groß, und auch einige liundert Beobachtungen, die ich nach der ersten Publication schon angestellt hatte, liessen sich nicht, oder nur für relative Bestimmungen verwerthen, da sie bei zu grosser Geschwindigkeit der Strömung angestellt wurden.

8. Die Beobachtungen wurden im ganzen in derselben Weise angestellt, wie früher. Statt der Messingröhre bei den früheren Versuchen wendete ich Platinröhren an, die die Wärme besser leiten und dem chemischen Angriff nicht ausgesetzt sind. Sie wurden durch sehr gut gebohrte Kautschukstopfen in das Einfluss- und Ausflussrohr befestigt. Bei den Versuchen mit Schwefelkohlenstoff mussten naturlich Korkstopfen genommen werden. Die Versuche, Platinrohren von mehr als 1 mm äusserer Weite direct in das Glas einzuschmelzen, fielen selbst bei sorgfältiger Kühlung nicht befriedigend aus, da wegen der auf engem Raum herrschenden Temperaturdifterenzen selbst das Emailglas leicht Russe bekam.

Kurz vor Erreichung des stationären Zustandes wurden die Temperaturableaungen an den drei Thermometern begonnen und der Versuch so lange fortgesetzt, his 100 ccm oder 250 ccm der Flüssigkeit ausgeflössen waren. Gewohnlich trat am Ende der Versuchsreihen schon wieder eine Abkühlung ein, sodass nur die mittelsten Ablesungen, gewöhnlich 6 10 an der Zahl, beim stationären Zustand gemacht wurden. Diese charakterisiren sich sehr deutlich und wurden dann der Berechnung zu Grunde gelegt.

Ich gebe im Folgenden als Beispiel eine Beobachtungsreihe an einer Chlornstriumlosung. Ungefähr alle 40 Secunden
wurde eine Ablesung gemacht. Es bedeutet  $T_i$  die Temperatur
der Flüssigkeit vor dem Einstromen in die Röhre. L' die
Mitteltemperatur beim Austluss.  $T_i$  die Temperatur des
Bades.

Die Beobachtungen zwischen den doppelten Strichen geben gut charakteriert den stationären Zustand. Diese Zahlen sind noch nicht mit den Correcturen der Thermometer versehen.) Die Beobachtungen bei niedriger Temperatur konnten gewohnlich ohne jede Herzung des Bades angestellt werden, da das fliessende Wasser der Wasserleitung eine um 7-10° medrigere Temperatur hatte, als das im Zimmer ruling stehende Wasser.

$T_{i}$	ľ	T <sub>o</sub>	$T_{i}$	U	$T_{\sigma}$	$T_1$	U	$T_n$
32,90 32,70 32,75	19,30 15,30 15,30	*,30 8,30 8,31	32,80 82,80 32,80 89,50 32,50 32,50	15.32 15.32 15.35 15.75 18.35 18.35	8,39 8,30 5,30 8,31 5,30	32 50 92,75 32 73 92,70	18:25 18:20 18:20 18:19	8,50 8,81 8,40 8,40

9. In den folgenden Tabellen sind diejenigen Beobachtungen zusammengestellt, aus welchen sich  $a^2$  berechnen lässt. Die Bedeutung der einzelnen Buchstaben ist folgende. Es ist t die Länge der Platinröhre (derjenige Theil der Röhre, der von tliessendem Wasser umspült war; die ganze Länge ist um 1-1.5 cm grösser).  $T_t$  ist die Temperatur der Flussigkeit vor Eintritt in die Platinröhre, U die Mitteltemperatur beim Austritt,  $T_0$  die Temperatur des Bades, t die Zeit in Secunden, in welcher  $100 \text{ cm}^3$  der Flüssigkeit ausgellossen sind.  $a^2$  die Temperaturleitungsfähigkeit, t die Wärmeleitungsfähigkeit, t die Temperatur, auf welche sich t und t beziehen (t = t die Temperatur, auf welche sich t und t beziehen (t = t die Temperatur, auf welche sich t und t beziehen (t = t die Temperatur, auf welche sich t und t beziehen (t = t die Temperatur, auf welche sich t und t beziehen (t = t die Temperatur, auf welche sich t und t beziehen (t = t die Temperatur, auf welche sich t und t beziehen (t = t die Temperatur, auf welche sich t und t beziehen (t = t die Temperatur, auf welche sich t und t beziehen (t = t die Temperatur, auf welche sich t und t beziehen (t = t die Temperatur, auf welche sich t die Temperatur der Flüssigkeit, t die Wärmeleitungsfähigkeit, t di

I. Alkohol.

l	$T_{i}$	U	T,	t	a <sup>3</sup>	k	r
7,53 7,49 6 35 7,20	15,566 14,814 16,149 15,659	11,712 11,229 11,784 10,295	7,420 7,260 6,649 6,480	465,6 492,8 621,0 743,0	0,0659 6,0635 0,0692 0,0558	0,0825 0,0314 0,0848 0,0828	13,64 13.02 13,96 12,99
				Mittel:	0,0661	0,0827	13,40

Die Dichte  $\varrho$  ist = 0,8204 bestimmt, die specifische Wärme c = 0.602 angenommen<sup>1</sup>), daraus ist  $k = a^2 \varrho c$  berechnet.

<sup>1)</sup> Schüller, Pogg. Ann. Ergbd. 5. p. 116, 1871.

#### L. Gruetz.

# II. Glycerin.

t	$T_{i}$	E*	$T_{\circ}$	1	a*	k	T
7,71 7,71	16,540 15,946	9,770 10,259	7,720 7,819	1652 1026	0,6516 0,6529	0,0877	18 25 18,45
				Mittel:	0,0528	0.0332	18.35

Das specifische Gewicht  $\rho$  wurde zu 1,210 bestimmt, die specifische Warme v=0.605 angenommen. Das Glycerin war etwas mit Wasser verdunnt, weil es sonst nicht zum regelmässigen Fliessen gebracht werden konnte.

ı	$\mathcal{L}_{i}$	Ľ	$\mathcal{L}_{o}$	1	:£2	k	T
7,71	37,130	20 035 15,224	7,760 7,920	729 1306	0,0593	0,0440	24,11 16,18
				Mittel:	0,0603	0,0444	27,14

Es wurde gefunden  $\rho = 1,20$ . Aus diesen beiden Gruppen ergebt sich:

 $4_{\ell} = 0.0382 (1 + 0.012 (\ell - 13)).$ 

III. Terpentinol.

1	$T_{i}$	U	Т,		a†	k	Γ
6,145 6,15	15,364 13,725	11 280 10,161	7,758 7,521	943 1106	0,0512	0,0200	13 32
				Mitted:	0.0506	0.0195	12.63

Das specifische Gewicht wurde bestimmt zu  $\varrho=0.8692$ , die specifische Wärme wurde angenommen zu c=0.43 anch Regnault).

1	7'1	U	$T_2$	t	a <sup>3</sup>	k	T
6,145 4,145	30,785 29,653	17,790 12,697	7,520 7,520	1 966	0,0568 0,0%1	0,0210	24,28 21,18
				Mittel:	0,0565	0,0205	22.73

Es wurde gefunden  $\rho = 0.864$ .

Aus beiden Gruppen ergibt sich-

$$k_t = 0.0195(1 \div 0.0067 \ t - 13_t).$$

<sup>1)</sup> Weber, Wied. Ann. 10. p. 318, 1880.

### L. Graetz.

## IV. Aether.

1	$I_i$	U	$T_{\circ}$	1	a <sup>r</sup>	k	1
7,70	15,981 15,210	12 215 11,150	4,303 7,680	407,5 512	0,0568	0,0222	13,44
				Mittel.	0,0375	F,0227	13 %5

p wurde zu 0.529 bestimmt, c zu 0.53 angenommen

# V. Chlornatriumlösung.

l.	$I_1$		$I_a$	t	41	Ā	T
7,70	16,815	11.490	7,967	672	0,0768	1),0566	14.17
7,70	17,089	10,123	7,253	921	0.0726	0,0652	13,60
				Mittes.	0,0717	0,0674	15,57

Die Dichte ist q=1.153, die specifische Warme nach Thomsen c=0.52.

ı	$T_{i}$	ľ	1,	t	d <sup>2</sup>	k	1
7,10	82 516	17 % 1	8 020	629	0,117,635	60720	25-19
7,70	85,146	16,215	7,000	552	0,0759	0,0718	2 hd
				Mittel:	0,0763	0,0717	25,41

Es 15t  $\rho = 1.1506$ .

Aus beiden Gruppen zusammen ergibt sich:

 $k_t = 0.0671, 1 \pm 0.0057, t - 13$ 

# VI. KClO, Losung.

- 1	$I_{i}$	С	$T_{\circ}$	t	u s	Ä	T
7.40	14,260	11 600	7,720	334,7	0,0685	0,0055	12.33
7,40	18,583	12,141	7,720	712	0.0708	10,0708	15 36
				Mittel:	0.0695	0.0635	14.14

Die Dichte wurde bestimmt zu  $\varrho=1.026$ , die specifische Wärme angenommen c=0.98.

1 -	$T_1$	$t^{-1}$	$T_{0}$	ť	a <sup>1</sup>	k	$\Gamma$
7,65	28,157	19,890	7,920	296	0.0763	0.0765	24 02
7,35	35,731	14,660	7,646	474	11,0753	0.0755	25.21
7.40	31 662	23 %12	8,062	292	0.0785	6,6787	21.5
7,40	35 559	24.914	7,900	321	8,076%	0,0770	일N 개성
				Mitter.	0,0767	0,075 (	27,16

Die Dichte ist  $\rho = 1.024$ .

Aus beiden Gruppen zusammen ergibt sich:  $\lambda_t = 0.0692 (1 + 0.0078 t - 13).$ 

VII. Schwefelkoblenstoff.

t	$T_{i}$	υ	T,	ŧ	d <sup>2</sup>	k	T
6.08 7.40	12977	10,689	7,719 7,422	623 912	0,0512	0,0155 0,0164	11,83
				Mittel:	0,0529	0,0160	13,81

Es wurde bestimmt  $\rho = 1,2728$ , und angenommen c = 0.287(nach Regnault).

VIII. Petroleum.

Ž.	$T_1$	U	$T_{o}$	t	a <sup>1</sup>	k	T'
6,74 7,15	13,497 16,270	10,250 10,625	5,760 6,120	506 520	0,0523 0,0543	0,0216	11,87
				Mittel:	0,0584	0,0213	12,66

Die Dichte wurde bestimmt zu  $\rho = 0.7899$ , die specifische Wärme c = 0.5 angenommen.

Ł	$T_1$	U	$T_{\scriptscriptstyle 0}$	1	or <sup>2</sup>	k	T
6,74 7,15	26,850 29,710	17,920 16,434	6,195	485 758	0,0584 0,0808	0,0232 0,0242	22,39 23,07
				Mittel:	0,9596	0,0287	22,73

Es war  $\rho = 0.784$ .

Aus beiden Gruppen zusammen ergibt sich:

$$k_t = 0.0212 (1 + 0.011 (t - 13)).$$

10. Die vorstehenden Beobachtungsreihen von acht ganz verschiedenartigen Flüssigkeiten geben die Bestätigung der Behauptung, dass die Temperaturleitungsfähigkeit nur sehr wenig varurt, sie schwankt bei Flüssigkeiten, die so verschieden sind, wie Glycerin, Schweselkohlenstoff, Aether, Natriumchloridlösung nur zwischen 0.0717 und 0.0523, ist also insbesondere von der Zähigkeit der Flüssigkeiten fast vollständig unabhängig. Dieses Resultat, sowie überhaupt der Verlauf meiner Zahlen mit einer Ausnahme sind, soweit sie sich auf dieselben Flüssigkeiten beziehen, in gutem Einklang mit den von H. F. Weber gefundenen Resultaten.

Ann, d. Phys. u. Chem. N. F XXV.

I'm diese Uebereinstimmung zu zeigen, stelle ich die erhaltenen Werthe für die Wärmeleitungsfähigkeit zusammen mit den Zuhlen von Winkelmann. Beetz und Weber, und zwar alle bezogen auf Chlornatriumlosung gleich 100 Dabei habe ich bei den Zahlen von Winkelmann nur die mit Apparat I erhaltenen genommen, weil der Einwand von Weber gegen die Berechnung Winkelmann's stichhaltig ist.

	Winkelmann	Beetz	Weber	Graetz
NaCl-Listung .	100	100	100	1(n)
Glycerin	61	79	38	57
Aether	-	107	35	34
Alkohol	45	93	43	434
Schwefelkohlenstoff .	54	11%	87	24

Beim Schwefelkohl astoff findet sich also eine erhebliche Differenz zwischen Weber und mir. Die grosse Dmthermansie des Schweselkohlenstoffs2) ist ein Grund, der dieser Richtung wirkt. Bei den Weber'schen Versuchen musbei disthermanen Korpern von der oberen zur unteren Kupferplatte eine gewisse Warmemenge durch Strahlung übergeführt werden. Diese Wärmemenge hätte von der beobachteten abgezogen werden müssen, um die durch Leitung ubergeführte zu ergeben. Daraus ergibt sich, dass bei diathermanen Körpern die Weber'schen Zahlen zu gross sind. Bei meiner Methode findet keine Strahlung zwischen den Wänden statt, weil die Wand der Röhre ringsum auf derselben Temperatur gehalten wird. Indess ist die Diathermansie nicht ausreichend, um die Ahweichung zu erklären. Berechnet man nämlich aus den Weber'schen Versuchen (da für Schwefelkohlenstoff die ausführlichen Zahlen nicht angegeben sind, so nehme ich die Zahlen für das ihm in Bezug auf Wärmeleitung naliestehende Benzin) einerseits die ganze Warmemenge, weiche von der oberen Kupferplatte in der Zeit von 7h 5 bis 7h 6' abgegeben ist  $Q_i = Fd_i \rho_i c_i(n_i - n_i)$ 

<sup>1,</sup> Dass Weber's Einwande gegen Boets's Berechnung ausrei chend sind, um dessen abweichende Resultate zu erklaren, scheint icht aus mehreren Gründen nicht wahrschendich.

<sup>2)</sup> Tyndall, Phil Mag ,4) 28, p. 81 1964,

und andererseits die Wärmemenge, welche durch reine Strahlung in 1 Minute von der oberen zur unteren Kupferplatte übergehen würde, nach dem Stefan'schen Gesetz  $(Q=F\sigma_1(T_1,^4-T_0^4))$ , wobei  $\sigma_1=0.12.1,085.10^{-11}$  (bezogen auf Secunden) ist<sup>1</sup>), so findet man  $Q_1=190$ , Q=3, sodass also die Strahlung doch nur kaum 2 Proc. zur gesammten abgegebenen Wärme beiträgt. Dadurch würde der Werth von k bei Weber sinken auf k=0.0245 und der relative Werth der Leitungsfähigkeit auf 0.37. Die erhebliche Differenz gegen die von mir gefundene Zahl 0.24 ist also dadurch nicht ausgeglichen.

Sind also bis auf eine Ausnahme die relativen Werthe in guter Lebereinstimmung, so weichen auch die absoluten Werthe wenig von den von Weber direct angegebenen ab. Es ist die Würmeleitungstähigkeit von:

	nach Weber	nach Graetz
NaCl-Lösung	0.0802	0,0071
Glyceria	0,0402	11,03:42
Aeiler	0.0543	0.0227
Alkohol	0,0202	0,0327
Schwefelkohlenstoff .	0,0250	0,0160

Indess sind nach den exacten Berechnungen von Lorberg?) die Zahlen von Weber zu vergrössern, und zwar bei
Wasser (ähnlich auch bei NaCl-Lösung, um 10 Proc. Wie
gross die Correction bei den anderen Flüssigkeiten sein
muss, gibt Lorberg nicht an. Die von mir bestimmten absoluten Werthe sind also jedenfalls kleiner, als die
Weber'schen, abgesehen davon, dass sie sich auf eine
um 10 Grad höhere Temperatur beziehen. Mit abnehmender Geschwindigkeit des Strömens werden die Zahlen
bei meiner Methode grösser, bis das Poiseuille'sche
Gesetz gültig ist. Die angeführten Beobachtungen zeigen,
dass bei recht erheblichen Geschwindigkeitsdifferenzen die
Zahlen nahezu constant sind, sodass darin die kleineren
Zahlen meiner Beobachtungen jedenfalls nicht begründet

<sup>1)</sup> Gractz, Word Ann 11, p. 919, 1880,

<sup>2)</sup> Lorberg, Wiei Ann. 14, p. 291, 1881.

sind. Es ware zu wünschen, dass Weber seine Beobachtungen vor allen Dingen mit einer anderen Dicke der Flüssigkeitsschicht wiederholen liesse, da man dadurch den Einfluss der Strahlung erst genau erkennen könnte. Ein Bedenken, das aber jedentalls gegen die Weher'schen Zahlen zu erheben ist, betrifft die Anwendung der ausseren Wärmeleitungsfähigkeit, einer Grösse, die erstens nicht constant ist, sondern von der Beschaffenheit der Luft in dem abgegrenzten Raume abhängt, und deren Bestimmung durch Wober mir ausserdem seinen Versuchen nicht zu entsprechen scheint, selbst wenn man von den Unregelmässigkeiten der strömenden Luft absieht. Weber hängt pambch seine Platte in der auf 0° abgekühlten Hulle auf und beobachtet die Abkühlung. Dabei findet aber ein Unterschied zwischen der oberen Seite der Platte und der unteren statt. Auf der oberen Hälfte müssen starke Luftströmungen entstehen, während in der unteren Hälfte primär die Abkühlung durch Strahlung und Wärmeleitung durch die Luft vor sich geht. Der erhaltene Werth von & muss also zu klein sein, da bei den späteren Versuchen die Pratte sich nur nach oben in der Luft abkühlt, also stets Strömungen austraten. Das wirklich für die Beob achtungen zu benutzende A ist also grösser, als das angege bene, folglich auch q,1 in der Weber'schen Pormel1, und daher muss & kleiner werden, als er es gefunden hat. Diese Correctur dürfte violleicht ausreichen, die Unterschiede zwischen seinen und meinen Zahlen zu beseitigen.

11. Was die Abhängigkeit der Wärmeleitung von der Temperatur betrifft, so ergibt sich bei den darauf hin untersuchten Flüssigkeiten eine Zunahme, und zwar ist der Temperaturcoëfficient in der Nähe von 13° für:

| Glycerin | . 0.012 | KCiO<sub>4</sub>-Lösung | 0.008 | Terpentinol | . 0.007 | Petroloum | . 0.011 | CiNa-Lösung | 0.008 |

Diesen Zahlen lege ich keine weitere Bedeutung bei, als dass sie positiv sind und eine Zunahme der Leitungsfähigkeit zwischen 1, und 1 Proc. pro Grad ergeben. Es ist

<sup>1</sup> Weber I. c. p 127,

in dem Intervall von 13 bis 30° nicht möglich, ausser durch sehr grosse Häufung von Beobachtungen sichere Zahlen für die Temperaturzunahme zu gewinnen. Bei Flüssigkeiten zeigen sich noch mehr wie bei Gasen zuweilen unvermeidbare Schwankungen, die sich nur durch Mittelwerthe aus grossen Keihen von Beobachtungen eliminiren liessen. Mit Wasser habe ich überhaupt keine gut übereinstimmenden Beobachtungen erzielen können. Zum Schluss stelle ich für die untersuchten Flüssigkeiten die gefundenen Zahlen von kund a<sup>3</sup> zusammen, wobei die Ordnung der Flüssigkeiten die der kist. Die Zahlen beziehen sich auf die Temperatur 13° und haben als Einheiten Centimeter, Gramm, Minute.

	À:	a <sup>2</sup>
TOIO FE	0.0007	A
KClO <sub>3</sub> -Lösung	0,0095	0,0632
NaOl-Lösung '	0.0671	0.9714
Glyceria	0,0382	0,0524
Alkohol	0.0327	0.0981
Aether	0,0227	0,0375
Petroleum	0,0213	0,0534
Terpentinol	0,0125	FLOTER.
Schwefeikohlenstoff .	0,0160	0.0520

Die Untersuchungen werden von anderer Seite im hiesigen Laboratorium fortgesetzt.

München, Marz 1885.

11. Die Genauigkeit der Wagungsmethode für die Bestimmung der relativen Dampfspannung und die Anwendung derselben zum Vergleiche von chemischer Affinität und mechanischer Adhasion; von W. Müller-Erzbach.

Aus der Gewichtsabnahme wasserhaltiger Verbindungen im Vergleiche zu der des unverbundenen Wassers konnte ich die relativen Verdampfungsgeschwindigkeiten und daraus die Dampispannungen mit unter einander gut übereinstimmenden Resultaten bestimmen. 1) Die in einer verschlossenen Flasche gegebene Verdampfungsatmosphäre wird durch Schwefelsäure trocken gehalten, und es erschien zur grösseren Genauigkeit erforderlich, den mittleren Gegendruck des während des Vorganges noch unabsorbirt in dem Versuchsgefässe vorhandenen Wasserdampfes zu ermitteln. Nach früheren Beobachtungen war derselbe zwar gering und auf die vorher erwähnten Vergleiche der Dampfspannungen ohne merklichen Einfluss, aber er durfte natürlich von vornherein nicht vernachlässigt werden. Um nun die entsprechende Correctur auszuführen, habe ich die von Regnault2) über die Dampfspannungen der verschieden concentrirten Schwefelsäuren angegebenen Zahlen benutzt. Ich ermittelte die Gewichtsverluste von destillirtem Wasser und verdüngter Schwefelsäure in offenen und gleich grossen Glasröhren, welche in der durch concentrirte Schwefelsäure trocken gehaltenen Luft aufgestellt waren. Die so gefundene relative Spannung der verdünnten Schwefelsäure sei r. die von Regnault für dieselbe Temperatur beobachtete absolute Spannung der Schwefelsaure s, und des Wassers s. der Gegendruck des in der Versuchstlasche nicht absorbirten Wasserdampfes x, so ergibt sich die Gleichung (s, -x), (s-x) = r, aus welcher dann für das benutzte Gefäss und die angewandte Temperatur der mittlere Gegendruck berechnet werden kann. Die nach dieser Rechnung erhaltenen Werthe für z zeigten sich von der Höhe der benutzten Flaschen nur wenig abhängig, aber sie nahmen bedoutend zu wenn durch häufigeres Oeffnen des Versuchsgestässes die Feuchtigkeit der ausseren Lutt öfter eindringen konnte. Bei sechstägigem Verschluss und einer mittleren Temperatur von 6° C. berechnete sich der Gegendruck in einer Flasche von 7 cm Durchmesser auf weniger als 1, mm, während er bei täglichem Oeffnen und einer Temperatur von 20° über 1 mm ausmachte. Nachstehend sind nun zunächst die nach beiden Methoden erhaltenen Beobachtungswerthe ohne Berechnung des Gegendruckes zusammengestellt. Die Concentration der von mir benutzten Schwefelsäure wurde am Anfange des

<sup>1</sup> W Müller-Erzbach, Worl Ann 28, p. 807, 1884.

<sup>2</sup> Regnault Ann de chim et de phys. (3) 15. p. 129, 1845.

Versuches nach dem specifischen Gewichte und zur Controle am Schluss durch chemische Analyse bestimmt, sodass sie als zuverlässig ermittelt angesehen werden darf.

Mittlerer (schall nos. H. 20, fu Proces lon	Versuchedauer	Mittlere Tem- peratur (nunthernd)	Beistere Desept apantung med der Gerrontschnabme	Dieseste nach Begunnin	
19,1	4 Tage	191 , C	0,49	_	
21,4	6	161	11.57	-	
2" 1	7 .	15%	0.42	0,53	
29.1	6 11	137,	0,78	0,79	
41.1	4 1	121,	0.70	0,745	
.5.2	5 m	15	0,66	0,67	
9.1	4	151,	0,59	0,59	
43.4	6 ,	141,	1443	0.48	
14,08	6 +	141,	11, 3	0.40	
53,6	61, ,	141	0.29	0.30	
57.5	53 4 FI	181,	0 195	0.21	
+4.7	7 1	137	0,15	0,16	
64.1	ч .	131	0.09 0.12)	0.135	
Polys S	5 4	181	0,08 (0.11	0,14	
68.2	4	10	0,057 (0,098)	0.09	
7000	7 .	6	0,045 (0.09)	0,075	

Die von mir gefundenen Zahlen sind allgemein etwas kleiner, als die Angaben von Regnault, und das erkläre ich mir durch die Wirkung des Gegendruckes der restirenden Feuchtigkeit, weil dadurch der kleinere Zähler des Bruches für die relative Spannung verhältnissmässig etärker verringert wird als der Nenner. Trotzdem ist die Uebereinstimmung beider Versuchsreihen für die Schwefelsäure bis zu einem tiehalt von 62 Proc. eine ganz befriedigende. Erst bei stärkerer Concentration wird durch die Abnahme der Dampfpannung jener Fehler für eine genaue Bestimmung zu beträchtlich. Nimmt man den nach Regnault's Angabe für den Versuch mit der 66 procentigen Schwefelsaure gefundenen Gegendruck von 0,4 mm für die vier letzten Versuche allgemein an, so erhält man die eingeklammerten Werthe 0.12 - 0.11 - 0.098 und 0.09, welche von den entsprechenden Messungen Regnault's schon nicht stärker abweichen, als die einzelnen Beobachtungen desselben unter einander. Doch lässt die Wägungsmethode wahrscheinlich noch eine grössere Genauigkeit zu, wenn man durch Vergrösserung der Oberflache von der absorbirenden Schwefelsäure den Gegendruck

vermindert, seine mit sinkender Temperatur vermuthlich stattfindende Abnahme bestimmt und mit berücksichtigt. Da von der Schwefelsäure weniger verdunstet als vom Wasser. so muss die Entfernung von der Oberfläche der Flüssigkeiten bis zum offenem Ende der Röhre bei jeder Wägung neu gemessen und in Rechnung gebracht werden, wenn die Röhren am geschlossenen Ende nicht stark erweitert sind. Auch ist es für genaue Versuche sogar bei ganz gleich erscheinenden Röhren unerlässlich, den Wasserverjust durch die Verdunstung wenigstens eine Woche lang zu vergleichen, da bei Unterlassung dieser Vorsichtsmaassregel ziemlich bedeutende Abweichungen entstehen können, selbst wenn die beiden Messröhren unmittelbar hinter einander aus demselben Stuck genommen sind. Das Ausmessen der Röhren mit Quecksilber allein bietet, besonders wegen der Abweichungen im Querschnitt an der geschlossenen Seite, durchaus nicht genügende Sicherheit.

Gewöhnlich habe ich, um den Druck des abströmenden Dampfes gleichmässig zu erhalten, am geschlossenen Ende kugelförmig aufgeblasene Versuchsröhren benutzt. Sind diese Erweiterungen von grösserem Querschnitt, so können die Veränderungen im Abstande der verdunstenden Flüssigkeit von dem offenen Ende der Röhren ganz unberücksichtigt bleiben, weil dann allein die Länge der engeren eigentlichen Röhre entscheidet. So hatte ich, um die Verminderung der Dampfspannung durch aufgelöstes Kochsalz zu bestimmen. 2 Röhren von 8.9 mmDurchmesser und 98 mm Länge lunter der Erweiterung. Die kugelsörmige Erweiterung in der einen war bei einem Durchmesser von 19 mm fast doppelt so gross als in der anderen mit 15 mm Durchmesser, aber trotzdem verloren beide in 26 Tagen fast gleiche Wassermengen, die erste 3891, mg, die zweite 3861, mg, sodass in diesem Fulle nur eine geringe Correctur wegen ungleicher Verdunstung erforderlich wurde. Meine so wesentlich vereinfachte und recht bequeme Methode war von dem Fehler, der die barometrischen Vergleichungen von Salzlösung und Wasser störenden ungleichen Luftabsorption frei, und es erschien mir deshalb von Interesse, nach derselben die von Hrn. Wüllner¹) angegebene Formel für die Verminderung der Dampfspannung einer neuen Prüfung zu unterwerfen. Das Resultat dieser Prüfung ergibt sich aus der nachstehenden Tabelle, in welcher die mittlere Temperatur nach der Verdunstung des reinen Wassers bestimmt ist.

Mittierer lieba i fi b Nor' auf 10 Wasser	Mittlere Temperatur	tarrichte varius) des Vanuers	Gentrhis- rer is der Kichang-	Beobachtete Vremes derung der Dampf spacnang	Nach Will- ner's Fermet berechnet	Nach Wu doer Berbacht led 18,6 für 1 Tondelenden Tong ber
7,98	111,0	102 mg	9" mg	0.49 min	0,47 mm	0.73
5,55	131,	195 "	187 "	0.46	0,57 ;	(1)4(3
9 51	12	116,5	111	0.49	1659	0.98
10.07	80,	72 "	64,5 .	0,38	0,51 "	0.72
10,53	6	9/8 11	90,5	0.53	U.44 H	0.54
11.89	12 ,	179 .	16	0,82 5	0.75 0	1,02
18.42	121	106	98 5	0.97	0,97 0	1,17
(5,10	151	146,5	131,5	1,20 "	1.05 -	1,51
17.55	131	131 .	116 .	1,35 .	1.24	1 143
20.49	141	462,5 4	181	1,70	1.51	0.99
25,25	13* [	115 a	96	1,95	1.78	2,87 542.58
31.75	13	190	144	2,73 6	2.17	2,86
36 peolit	137	181	134 .	3,05	2.58 "	8,24

Aus dieser Vergleichung ergibt sich mit aller Bestimmtbeit, dass die für die Spanpungsverminderung durch Chlornatrium von Hrn. Wüllner für die Spannkraft T und 1 Proc. Salz abgeleitete Formel V = 0.006 T bei niederen Temperaturen mit meinen Beobachtungen besser übereinstimmt als mit denjenigen der barometrischen Methode. Die aus Wüllner's Beobachtungen berechneten Abweichungen sind sämuthch positiv und in keinem einzigen Falle geringer als bei den von mir gefundenen Zahlen, die bald über, bald unter dem Formelwerth stehen. Die Formel erscheint aber noch den Beobachtungen in höherer Temperatur durchaus berechtigt, und man wird desbalb darauf hingewiesen, dass für derartige geringere Spannungsdifferenzen bei gewöhnlicher Lufttemperatur die Wägungsmethode gegenüber der barometrischen nicht nur bequemer ist, sondern auch genauer und zuverlässiger. Für die Messung ganz geringer Spannungen ist sie ausserdem die einzige überhaupt mögliche.

<sup>1)</sup> Williams, Pogg Ann. 108, p. 529-1838.

Dass die Dampfspannung des gebundenen Wassers. welche für die chemische Verwandtschaft desselben einen brauchbaren Maassstab b abgibt, trotzdem nicht direct die Energie der Anziehung nach Quecksilberhöhen bestimmen lasst, folgt schon daraus, dass der die Verdampfung aufhebende Druck des in der Atmosphäre vorhandenen Wassers nicht durch den Druck eines anderen Gases ersetzt werden kann, sondern er muss gerade vom Wasserdampf ausgeubt werden. Daher kann man natürlich auch eine Quecksilbersaule nicht an seine Stelle setzen. Indirect hat Hr. van't Hoff in einer interessanten Weise die Ermittelung des der chemischen Anziehung ännivalenten mechanischen Druckes dadurch versucht, dass er die Verminderung der Spannkraft des Wassers in einer Lösung mit dem endosmotischen Druck des durch eine porose Wand in die Lösung eindringenden Wassers vergleicht. Allerdings geht er dabei von der nicht unbedenklichen Annahme aus, dass bei den zu Grunde liegenden Versuchen von Hrn. Pfeffer bi die besonders hergestellte poróse Scheidewand als ein durch seine chemische Beschaffenheit den Vorgang gar nicht beeinflussendes Sieb angesehen werden konnte, und deshalb ist die Vergleichung nicht einwurfsfrei. Die abgeleitete Gleichung heisst D=10.5 Tlog Sc. Sz. wober D den gesuchten Druck in Atmosphären bedeutet, Se den Dampfdruck des reinen Wasser. Sz den der Salzlösung und T die vom absoluten Nullpunkt an gezählte Temperatur. Für eine einprocentige Zuckerlösung erhält Hr. van't Hoif nach der von ihm aus der Gefrierpunktsermedrigung gefolgerten Dampfspannung dieser Losung für verschiedene Temperaturen nach seiner Formel Zahlenwerthe, welche mit Pfeffer's Beobachtungen hinreichend übereinstimmen, benutzt man jedoch in der Formel die von Hrn. Wüllner an der Zuckerlösung direct beobachtete Dampispannung, so werden die Resultate um 1, hoher. Freilich gehen auch die letztgenannten Abweichungen nicht wesentlich über die

ti Müller-Erzbach Wied Ann. 23, p. 612 1884

<sup>2</sup> Van t Hoff, Etudes de dynamique chimique, p. 181, 1884

<sup>3</sup> Pieffer, Osmonsche Untersuchungen, Lengug, p. 85 1877.

Grenze der Versuchssehler hinaus, aber es ist doch unter solchen Umstanden nicht zu übersehen, dass nach der gegenwärtigen Kenntniss jener Constanten eine genauere experimentelle Prütung der Formel unmöglich ist. Obgleich hiernach der der Dampfspannung entsprechende mechanische Werth der chemischen Verwandtschaft mit Bestimmtheit noch nicht anzugeben ist, so konnte dagegen die relative Grosse der Verwandtschaften bei allen durch Dissociation zersetzbaren Wasserverbindungen aus den Spannungsunterschieden mit Sieherheit abgeleitet werden, weil die Resultate durch die vorhegenden Ertahrungen sowohl bei der Zerlegung der Salze als auch bei ihrer Bildung bestätigt wurden.

In ahnlicher Weise lassen sich die Dampfspannungen benutzen, um die Stärke der Adhäsion bei der Absorption von Wassordampf zu messen, und es wird dadurch möglich, die Kratt der Absorption mit der der Affinität in eigentlichen chemischen Verbindungen direct zu vergleichen. Das Resultat dieser Vergleichung veranschaulicht einerseits das vielfach analoge Verhalten beider Kräfte, und andererseits bestätigt es durch bestimmte Angaben die aus früheren Versuchen abgeleiteten Folgerungen über die starke Anziehung, welche feste Körper auf die sie berührenden Gasschichten ausüben. Meine bisherigen Versuche beschränkten sich zwar hauptsächlich auf die Absorption von Wasserdampf unterhalb seines Stedepunktes, aber die Autnahme desselben erfolgt genau unter den bekannten Erscheinungen der Absorption, anfangs viel lebhatter, wird sie in baldiger Abnahme von einer gewissen Grenze an tast unmerklich, und deshalb liegt kein Grund vor. diese Adhasion des Wasserdampies von der Absorption der für gewöhnlich gasförmigen Stoffe zu unterscheiden. Schwefelkohlenstoff wird unter analogen Erscheinungen unterhalb seines Siedepunktes absorbirt, die Aufnahme seines Dampfes erfolgte nach den bis jetzt angestellten Beobachtungen nur wesentlich schneller und in grösseren Mengen. Auch Aetherdampf verhält sich ähnlich, und alle diese Dampte gewähren inr das Studium der Absorption den grossen Vortheil, dass die Einzelheiten des Vorganges an den Gewichtsveränderun364

gen leicht verfolgt werden können. Wie hei der Bildung und Zerlegung der wasserhaltigen Salze habe ich die Grosse der Absorptionskraft auf zweierlei Weise bestimmt, erstens aus der Geschwindigkeit der Wasseraufnahme in einem mit Wasserdampf nahezu gesättigten Raume, und zweitens aus der Geschwindigkeit der Verdunstung des aufgenommenen Wassers in emer durch concentrirte Schwefelsaure trocken gehaltener Atmosphäre. Bei dieser Verdunstung erwies sich die Dampfspannung nicht constant wie bei der Zersetzung der Salze innerhalb bestimmter Grenzen der Zusammensetzung, sondern sie nahm stetig ab, aber dennoch liessen sich für die nacheinander abgegebenen Wassermengen mittlere Spannungen ermitteln, die denienigen gewisser wasserhaltigen Moleculverbindungen gleich gesetzt werden konnten, Werden aber die auf der einen Seite durch Absorntion und auf der underen durch chemische Verwandtschaft gebildeten wasserhaltigen Stoffe unter gleicher Spannung des verdunstenden Wassers zerlegt, so ist die Annahme begründet, dass die Anziehungskrafte in beiden Fällen sich ebenfalls gleich sind. Die Absorption, welche auf der Anziehung heterogener Stoffe beruht, und welche ich als eine Vorstuse der chemischen Verbindung bezeichnen möchte, lässt sich demnach auch mit der Affinität durch dasselbe Maass messen, und es ist unbedenklich, dieses zunächst der Dampfspannung entnommene Masss durch eine bekannte chemische Verwandtschaft zu ersetzen. Nur muss man, um möglichst zahlreiche Fälle vergleichen zu können, eine Verbindung wählen, die zahlreiche Abstufungen der Verwandtschaft unterscheiden lässt, 2, B, die Verbindung von Schweselsaure mit Wasser. Wenn die relative Spannung einer Schwefelsäure von angegebenem Procentgehalt mit der Spannung eines absorbirten Dampfes oder eines durch Dissociation sich zersetzenden Salzes thereinstimmt, so sind die mit solcher Spannung verdunstenden Wassermengen als durch gleich grosse Anziehungskräfte gebunden anzusehen. Die neun letzten Molecule Wasser der krystallisirten Soda z. B. verdampfen nach meinen Versuchen mit der relativen Spannung 0,67, welche nach Regnault's Messungen auch der 35.4 procentigen Schweselsäure eigenthumlich ist. Daher sehe ich die chemische Affinität jener 9 Molecule Krystallwasser und der aus der 35,4procentigen Schwefelsäure zuerst verdampfenden Wassermenge als gleich gross au. In derselben Weise findet man dann die Verwandtschaft des kohlensauren Natrons mit dem ersten Wassermolecul fast gleich mit der der 85 procentigen Schwefelsäure.

Da der Wasserdampf von einigen Oxyden sehr lebhaft und in beträchtlicher Menge angezogen wird, so möchte ich nach meinen Versuchen vorschlagen, die besonders hygroskopischen Pulver, wie namentlich Thonerde, nur nach dem Erhitzen in einer Glasröhre zu wägen, da sie in einem offenen Tiegel kaum vor der Aufnahme erheblicher Wassermengen geschützt werden können. Ob die einzelnen Metalloxyde den Wasserdampf stärker oder schwächer anziehen, suchte ich zunächst mit Proben, wie ich sie käuflich haben konnte, durch Vorversuche festzustellen, machte sich dabei ein stärkeres Absorptionsvermögen bemerklich, so führte ich dann die weiteren Versuche mit möglichst rein dargestellten Präparaten aus.

0,389 g von schwach ausgeglühtem Kupferoxyd nahmen in einer 65 mm langen Glasröhre von 7 mm Durchmesser in 24 Stunden aus ganz feucht gehaltener Luft 3 mg Wasserdampf auf, am folgenden Tage 11, mg und dann in 3 Tagen noch 1, mg, im ganzen 5 mg. Im Vergleiche mit anderen Oxyden war es weniger, als ich erwartet batte, und bei einer anderen Darstellungsmethode ist das Kupferoxyd auch vielleicht hygroskopischer. In die durch concentrirte Schwefelsäure ausgetrocknete Flasche gebracht, verlor die Röhre in den drei ersten Stunden 2 mg mit einer Spannung, die von der des freien Wassers nicht merklich abwich, in den folgenden 3 Stunden gab sie unter etwas geringerer Spannung 11, mg ab, aber von den letzten 11, mg verdunstete selbst in 4 Tagen keine irgend erkennbare Menge, während sie beim schwichen Glüben leicht verdampften. Der letzte Rest des Wassers ist demnach fester gebunden als das Wasser in 80 procentiger Schwefelsäure oder als das zweite Molecul Wasser in der Verbindung CaCl, + 2 H,O.

1,250 g Bleiglatte nahmen in 2 Tagen nur 21, mg Wasser auf, von denen sich 11, mg fester gebunden erwiesen.

0.260 g Zinkoxyd wurden in dem analogen Versuche selbst bei längerer Berubrung mit ganz feuchter Luft nur 21, mg schwerer, dagegen zeigten sich Eisenoxyd und besonders Thonerde viel hygroskopischer, und sie wurden deshalb einer genaueren Untersuchung unterworfen. Das käuflich erhaltene Aluminiumozyd fand ich nach schwachem Erhitzen viel hygroskopischer als nach vollem Rothglähen, aber dieser Unterschied war fast unmerklich, als ich das möglichst rein dargestellte Oxyd verwandte. Ich hatte dazu das durch kohlensaures Natron gefällte Hydrat sorgfältig ausgewaschen durch Salzsäure gelöst, nach dem Fallen mit Ammoniak wieder gut ausgewaschen und erhitzt. Trotzdem es daber hell rothglühend geworden war, blieb seine Absorptionskraft. nach der Lebhaftigkeit der Aufnahme von Wasserdampf zu schliessen, fast chenso gross wie die eines anderen, das bei einer nicht über 400° C. hinausgebenden Temperatur dargestellt war. Auch hat ja H. Rose1) bereits angegeben. dass die Schwierigkeit, die Thonerde genau zu wägen, erst durch das Glühen im Porzellanofen beseitigt werden konnte. Vielleicht ist bei dem nicht vollständig ausgewaschenen Aluminiumoxyd das an der Obertläche hastende koblensaure Natron oder ein anderes in der Glühbitze schmelzendes Salz die Ursache, dass das von demselben dadurch überzogene Pulver seine Anziehung zum Wasserdampf verloren hat. Die meisten Versuche machte ich mit dem Oxyde, welches eine Stunde lang bei ungefähr 400° erhitzt war, aber doch noch 151/, Proc. Wasser enthielt, welche es beim Erhitzen bis zur vollen Bothgluth verlor. Wurde es mit nachher absorbirtem Wasser nur auf 3000 erwärmt, so war dieses Wasser in kurzer Zeit verschwunden, während, wie bemerkt, das chemisch gebundene zurückblieb. Die Absorptionsgeschwindigkeit konnte nach den für gleiche Zeitabschnitte bestimmten Gewichtszunahmen an gleichmässig seuchter Lust ermittelt werden. Sie nahm im allgemeinen mit zunehmender Dicke der Absorptionsschicht ab. doch war sie ausserdem wie die

1) H. Rose, Pogg. App. 74, p. 480, 1848.

Dichte des in der feuchten Luft vorhandenen Wasserdampfes von der Temperatur innerhalb ziemlich enger Grenzen stark abhängig. Das Absorptionsvermögen scheint in diesen Grenzen der gewöhnlichen Luftwarme mit steigender Temperatur weniger abzunehmen, als die Dampfdichte zunimmt, wenigstens wurde wiederholt bei höherer Temperatur eine relativ grössere Gewichtszunahme beobachtet. Damit nicht durch Temperaturdifferenzen an der Innenwand der tilasrohre oder an der Thonerde selbst Wasserdampi verdichtet würde, war die Versuchsflasche oben blos mit dickem Papier zugebunden. sodass die Luft nur bis ungefähr zu 97 Proc. mit Keuchtigkeit gesättigt war. Diese Vorsichtsmansaregel war vollständig ausreichend, um für die Wasseraufnahme einen bestimmten Abschluss herbeizusühren. Die Gewichtszunahme betrug nun beispielsweise bei 280 mg Thonerde am ersten Tage 71. mg. am zweiten 61. mg. nach 2 Wochen noch täglich 3 mg, nach 4 Wochen 2 mg, nach 5 Wochen 1 mg, nach 54 Tagen 1, mg und nach 59 Tagen war im Laute von 5 Tagen nichts mehr aufgenommen. Im ganzen hatte die wasserhaltige Thonerde 441, Proc. ihres Gewichts an Wasser gehunden, durch stärkeres Glühen mehr entwässert 48,9 Proc., ganz wasserfreies und 1, Stunde rothglühend erhaltenes Aluminiumoxyd aber 47,3 Proc., während in den vorhergehenden Versuchen auf 100 Theile des wasserfrei gerechneten Oxyda über 52 und über 53 Gewichtstheile Wasser absorbirt waren. Man könnte diesen grösseren Procentsatz dem Umstande zuschreiben, dass die absorbirenden Oxyde weniger stark erhitzt waren, aber ich bin der Meinung, dass man nicht so ohne weiteres vergleichen darf, sondern dass es näher liegt, im ersten Falle nicht das Aluminiumoxyd allein, sondern sein Hydrat als absorbirenden Körper anzusehen. Vielleicht wird ein Theil des zuerst absorbirten Wassers bei längerer Berührung fester gebunden 1) und dringt in die oberste Schicht der Thonerde hinem, sodass dadurch nachher eine neue schwachere Absorption möglich ist. Bei einer solchen Annahme liesse sich die auffallend lange Dauer des Absorptionsvorganges erklären, doch hätte man nach dem analogen

<sup>1)</sup> Neesen, Verhandl, d. phys. Ges. in Berlin, 1885, p. 32

Verhalten des Schwefelkohlenstoffes zu Thonerde und Eisenoxyd jedenfalls nur eine geringe Menge von Wasser als in
das Innere der festen Korper eingedrungen anzusehen. Die
Dämpfe des Schwefelkohlenstoffes und des gewöhnlichen
Aethers brauchen ührigens zur Absorption durch Thonerde
viel weniger Zeit, denn das Gewicht wurde bei ähnlicher
Versuchsanordnung schon nach wenigen Tagen ziemlich constant, die Absorption von Schwefelkohlenstoff durch Eisenoxyd dauert dagegen wieder länger, und es scheint demnach
jene Verlängerung des Vorganges von dem chemischen Verhalten der Dampfbestandtheile zu der absorbirenden festen
Substanz abhängig zu sein. Ob dabei, wie in Bunsen's
Versuchen, eine adhärirende Wasserschicht von Einfluss ist,
habe ich bisher nicht untersucht. 1)

Die durch die Ungleichheit in der Geschwindigkeit der Wasseraufnahme schon angezeigte Verschiedenheit in der Stärke der Wasseranziehung erkennt man aus der relativen Dampfspannung in der nachstehenden Tabelle mit voller Bestimmtheit.

a IF		æ	a	M.		11.07
0,280°) 0,124 (0,129°) (0,0568)	0,77 0,80 0,55 0,51 0,47 0,44 0,38 0,29 0,28 0,21 0,11 0,12 0,08 0,05 0,02 0,03	42,5 88,9 35,7 (34,5) 29,4 (29,1) 23,9 19,8 17,2 (17,4) 14,3 13,2 (18,6) 11,4 10,2 9,3 (11,1) 8,6	0.1762)	0,086	0,0017) its 3- Tages itchie vertores) 0,73 0,60 0,55 0,51 0,44 0,22 0,09 0,09 0,014 0,003 0,014 0,003	(7.0)

<sup>1)</sup> Mit 151, Proc. Hydratwasser. 2) Mit 81, Proc. Hydratwasser.

In dieser Tabelle ist a das Gewicht der Thonerde in Grammen, W das Gewicht des absorbirten Wassers in Grammen, die relative Dampispannung und w der der Dampispannung entsprechende mittlere Wassergehalt in Procenten. Der mitt-

<sup>11</sup> R. Bunsen, Wied, Ann. 24, p. 321.

here Wassergehalt ist dabei nach der Formel  $(p_1 + p_2) 2a$  100 berechnet, wenn a das Gewicht der Thonerde,  $p_1$  und  $p_2$  das Anfangs- und Endgewicht des Wassers bezeichnen.

Die uingeklammerten Werthe in der ersten Versuchsrethe beziehen sich auf 0.129 g einer Thonerde von gleichem Gehalt an Hydratwasser (151, Proc.). Das geringere Gewicht lässt stärkere Abweichungen zu, und es sind deshalb die nicht eingeklammerten Zahlen als die genaueren anzusehen. Auch die Abweichungen bei dem letzten Versuche können auf denselben Grund zurückgeführt werden, und so findet sich in allen Versuchsreiben eine ganz befriedigende Lebereinstimmung. Vom letzten Fünftel des absorbirten Wassers un zeigte sich eine rasche Abnahme der Dampfanannung, und die letzten 8 Proc. sind fester gebunden als das letzte Wasser der 84 procentigen Schwefelsaure, sodass unter dieser Grenze die weitere Wasserabscheidung durch concentrarte Schwefelsaure ganz wie bei den festesten chemischen Verbindungen unmöglich wird. Dass die Anziehung zwischen absorbirten Gasen oder Dämpfen und festen Körpern sehr stark ist, konnte nach früheren Versuchen nicht auffallen, nachdem z. B. Jamin und Bertrand 1) festgestellt batten, dass die Luftpumpe einen betruchtlichen Theil des absorbirten Gases dem pulvensirten Glase nicht zu entziehen vermag, dass aber die Wasseranziehung noch über die des Chlorcalciums zum zweiten Wassermolecul hinausgeht, war mir eine unerwartete und interessante Thatsache. Die in meinen Versuchen zuerst beobachtete grosste Dampispannung war ungefähr der der 30 procentigen Schwetelsaure gleich. doch ist dieses Resultat der Durchschnitt unter sich verschiedener Spannungen, sodass man den Anfangswerth jedenfalls höher annehmen muss.

Remes Eisenoxyd absorbarte 3 Proc. an Wasserdampt, von denen 0,3 bis 0,4 Proc. so test gebunden waren, dass in 3 Tagen keine bestimmbare Gewichtsmenge an die ganz trockene Luft abgegeben wurde.

Mit zunehmender Entiernung von der absorbirenden Obertläche nimmt me Anzienung des absorbirten Wassers

<sup>1.</sup> Jamin u Bertrand, Compt. rend. 36. p. 844. 1852.

ab, doch erfolgt diese Abnahme nach einer annähernden Berechnung der Entfernungsverhältnisse, die ich spüter mittheilen will, wenigstens für das letzte Drittel des Wassers nicht schnoller, sondern wesentlich langsamer als nach dem Quadrate der Eutfernung. Absorbirter Schwefelkohlenstoff oder Aether liessen ebenfalls eine zunohmende Dampfspannung in den obersten Schichten erkennen; aber zu weiteren Schlüssen über das Gesetz der Abnahme gaben die bisberigen Versuchsresultate dieser Absorptionen keine Berechtigung.

Allotropische Modificationen derselben Verbindung absorbiren ganz ungleiche Mengen von Dämpfen, ein in Säuren leicht lösliches Eisenoxyd, z. B. das fünffache Gewicht von Schwefelkohlenstoff im Vergleiche zu dem schwer löslichen caput mortuum. Die Absorption hat demnach mit dem chemischen Process grosse Aehnlichkeit, aber sie unterscheidet sich davon wesentlich in zwei Punkten, die durch Absorption vereinigten Stoffe sind in iluren einzelnen Theilen mit sehr ungleicher Festigkeit verbunden, und die verdichteten Gase oder Dämpfe liegen erweislich i wenigstens grösstentheils an der Oberfläche der festen Körper. Die Anziehung ist in beiden Vorgängen anscheinend gleichartig und theilweise von grosser Intensität, aber es fehlt bei der Absorption durch feste Substanzen die leichte Beweglichkert der Molectile, und deshalb ist die wirksame Molecularkratt nicht im Stande, auch in das Innere der festen Körper die Gruppirung der beterogenen Wassertheilchen weiter zu tragen.

Die wichtigsten der vorstehend mitgetheilten Ergebnisse sind demnach die folgenden:

- 1. Durch den Gewichtsverlust bei dem Verdampfen können geringe Unterschiede in der Dampfspannung von unverbundenem und von chemisch gebundenem Wasser sicherer und genauer erkannt werden als durch barometrische Messung.
- 2. Für die Bestimmung ganz geringer Dampfspannungen ist die Wägungsmethode die allein brauchbare.
  - 3. Einzelne Metalloxy de absorbiren beträchtliche Menges

<sup>1</sup> W Matter-Erzbuch, Verhandt, d plays ties in Berl 1882 p to

von Wasserdampf, und die Anziehung derselben kann nach der Dampfspannung mit der der chemischen Verbindung verglichen werden.

4. Von reiner Thonerde werden 8 Proc. an absorbirtem Wasser fester gebunden als das Wasser in der 84 procentigen Schwefelsäure.

Bremen, im April 1885.

111. Ueber den Gebrauch des siedenden Sauerstoffs, Stickstoffs, Kohlenowyds, sowie der atmosphärlschen Luft als Kältemittel; von Sigmund von Wroblewski. 1.

\$ 1 Allgemeine Bemerkungen über das Glessen der verflüssigten Guse.

Die Verstüssigung der sogenannten permanenten Gase und die genaue Ermittelung der Verstüssigungsbedingungen hat die Darstellung dieser Gase als Flüssigkeiten in grösseren Mengen und ihre Benutzung als Kältemittel möglich gemacht. Hiermit war auch die Möglichkeit geboten, die Temperaturerniedrigungen hervorzubringen, die alle bis jetzt erreichbaren Kältegrade bei weitem übertreffen, uns zu dem Temperaturminimum, welches mit den irdischen Stoffen überhaupt zu erreichen ist, führen und uns nur unweit von dem absoluten Nullpunkt stehen lassen

In der vorliegenden Abhandlung will ich einen Theil der Methoden der Darstellung und Benutzung dieses Kältemittels so vollsändig beschreiben, dass jeder im Stande sein wird, diese Versuche nachzumachen und sich dieser neuen Kältequelle zu bedienen.

Zu diesem Zwecke beginne ich mit einigen Bemerkungen

Auszag des Hrn Verf. aus der in der Sitzung am 12. März 1895 der Wiener Akadende der Wissenschaften vorgelegten und im 91. Bande der Wien Bei veröffentlichten Abhandlung.

über das Giessen der verfüssigten Gase im allgemeinen und des Acthylens innbesondere, da die Erscheinungen, die hier auftreten, massgebeud für die mitzutheilenden Methoden sind. Es versteht sich von selbst, dass diese Betrachtungen nur für Gase gelten, welche beim Uebergange aus dem Recipienten!,, in welchem sie flussig gehalten werden, unter dem atmosphärischen Druck, nicht orstarren.

Soll ein verfüssigtes Gas als Kältemittel benutzt werden, und sollen die Vorgänge in dem mit Hulfe dieses Gases abzukuhlenden Apparate direct mit dem Auge verfolgt werden, so muss dieser Apparat in einem Glasgefäss sich befinden, in welches auch das verfüssigte Gas als Kältemittel hineinkommt. Dies bedingt schon eine gewisse Beschränkung dei Aufgabe, da man dem Glasgefässe nicht eine beliebige Grösse geben kann. Je weiter das Gefüss ist, desto grösser ist die Gefähr des Zerspringens beim Giessen des Gases infolge der ungleichmässigen Abkühlung des Glases. Ausserdem vergast in diesem Falle der aus dem Recipienten austretende Strahl des verfüssigten Gases, ehe er die Wand des Gefässes eireicht, auf welcher er herunterfliessen kann.

Die bequemste Form für das Gefäss, welches das verflüssigte Gas als Kältemittel aufnehmen soll, ist die Form eines weiten Reagensglaschens.<sup>7</sup>)

Die Menge des Gases, welche aus dem eine bestimmte Menge Flüssigkeit enthaltenden Recipienten in ein soiches Gefäss hineingegossen werden kann, hangt in erster Laure von der Temperatur ab, his auf welche das verflüssigte Gas in diesem Recipienten abgekahlt ist. Je mehr diese Abkuhlung sich der Temperatur nähert, welche das verflüssigte

<sup>1)</sup> Der Kürze wegen werde ich hier immer nater dem Recipienten die Condensationstlasche der Natterer schen Pumpe verstehen, is weleller (sase, wa Kolmensore, Streketoflosydul and Acthylen it assig gemacht und im flüssigen Zustande gehalten werden komma.

<sup>2)</sup> In der Fig. 1 ist ein solcher Gefras a schwaafisch dargestellt, ist das Kupferrolachen, welches von dem das thissige Gas enthalterden Recipienten ausgeht, e ist eine feine, seitlich angebrachte Geffnung, d.ach welche der Hassige Strahl heraustritt. Der Kautschukpftopten a mit der ist mang e ist punktiet angegeben.

Gas beim Heraustreten aus dem Recipienten unter dem atmosphärischen Druck annimmt, desto größer ist die Menge, welche in das Geläss hineingegossen werden kann. Andererseits hängt diese Menge wesentlich von der Rorm und der Tiefe des Gelässes, sowie von dem Umstande ub, ob das Gefass oben mehr oder weniger offen ist.

Von dem Nachtheil einer zu grossen Breite war schon die Rede. Ist das Gefäss zu eng. so wird die an seinem Boden sich sammelnde Flüssigkeit durch den spiralförmig an der Wand herunterthessenden Strahl herausgeblasen, und dies geschieht auch in dem Falle, wenn der aus dem Recipienten heraustretende Strahl annühernd senkrecht auf die Wand des Gefässes gerichtet ist. Für Versuche mit dem Aethylen ist die heste Weite 5 bis 6 cm. Je tiefer das Gefäss, deste weniger Flüssigkeit wird durch das Herausblasen verloren. Die im Gefäss sich sammelnde Flüssigkeit kann aber ein gewisses Niveau nicht übersteigen. Kommt nämlich das Niveau des hineingegessenen Gases in die Distanz von einigen Gentimetern von der Oeffnung, aus welcher der flüssigk eit herausgeblasen.

Einen sehr wesentlichen Eintluss hat der Umstand, ob das Getäss oben ganz oder nur theilweise offen ist. Bleibt das Getäss oben offen, so ist der Elüssigkeitsverlust beim Gressen infolge der Vergasung und des Herausblasens sehr gross. Ist das Getäss durch einen mit einem Loch versehenen Kautschukpfropfen verschlossen, so ist der Verlust schon geringer. Muss aber das aus der Flüssigkeit entstehende Gas durch eine ein paar Meter lange Bleiröhre hindurchgelten, ehe es in die Atmosphäre kommt, so erreicht der Verlust som Minimum, da in diesem Falle der flüssige Strahl beim Heraustreten aus dem Recipienten unter einem etwas grosseren Druck als der atmosphärische sich befindet.

Auch die Geschwindigkeit, mit welcher der flüssige Strahl aus dem Recipienten heraustritt, ist hier nicht ohne Einfluss, da bei zu geringer Geschwindigkeit die Gefahr der Vergasung, bei zu grosser die Gefahr des Herausgeblasenwerdens eintritt. Diese Geschwindigkeit muss durch das Drehen der Ablassschraube im Recipienten regulirt werden und dies lasst sich nur dann erfolgreich machen, wenn man den heraustretenden Strahl sieht. Aus diesem Grunde ist es fast unmöglich, das verflüssigte Gas in ein Metallgefäss hineinzugiessen, und dieser Umstand bildet eine von den Haupteinschränkungen der Methode.

Gehen wir jetzt zu den sogenannten permanenten Gasen, d. h. zu Sauerstoff, Stickstoff, Kohlenoxyd und atmosphärischer Luft über, so ist ihre Darstellung im flüssigen Zustande fest an die Benutzung des Aethylens als Kältemittel gebunden. Obgleich Raoul Pictet und neulich Dowart, den Sauerstoff in den Zustand einer statischen Flüssigkeit mit Hulfe der im Vacuum verdampfenden Kohlenshure gebracht haben, so wird man doch dazu immer das Aethylen vorziehen, einmal weil man mit diesem Gase bei weitem niedrigere Temperaturen als mit der Kohlenshure erzielt und folglich die Verflüssigung des Sauerstoffs unter bedeutend niedrigerem Drucke zu Stande bringt, und zweitens, weil die Verflüssigung der anderen permanenten Gase mittelst der Kohlensäure unmöglich ist.

Es wird mithin durch die Bedingungen, unter welchen allein das Hineingiessen des Aethylens in ein Glusgefäsmöglich ist, die Menge eines permanenten Gases, welche verflüssigt werden kann, erheblich eingeschränkt.

Andererseits hat der Versuch ergeben, dass, wenn die Verflüssigung eines permanenten Gases in einer Glassühre statthindet, welche von dem unter der Wirkung der Luftpumpe siedenden Aethylen abgekühlt ist, die Säule des flüssigen Gases das Niveau des Aethylens nie mehr als ein paar Centimeter überragen kann. Der Grund dieser Erscheinung liegt darin, dass, während der Theil der Glassöhre, welcher in das Aethylen eingetaucht ist, die Temperatur des Aethylens hat, der oberhalb dieser Flüssigkeit befindliche Theil in dem Grade höhere Temperatur aufweist, in welchem man sich von der Oberfläche des Aethylens entfernt. In der Distanz von ein paar Centimetern hat die Rohre hereits

<sup>11</sup> Dewar, Phil. Mag. (5) 18, p. 210, 1984

die Temperatur, welche für das verflüssigte Gas die kritische ist, und über diese Stelle steigt die Saule des verflüssigten Gases nicht empor.

Wenn man dabei noch berücksichtigt, dass etwa ein Drittel des Aethylens mittelst der Luftpumpe verdampft werden muss, ehe die Verfüssigung eines permanenten Gases beginnt, so kommt man zur Ueberzeugung, dass die verfüssigbare Gasmenge keine sehr grosse ist, und dass bei der zuf diesem Wege erzielten Verfüssigung keine Rede vom Uebergiessen der permanenten Gase aus einem Apparate in den anderen sein kann. Denn man ist nicht im Stande, mit der verfüssigten Gasmenge erst Zuleitungsröhren und den Apparat, in welchen das betreffende Gas als Kältemittel gelangen soll, abzukühlen und dann noch eine hinreichende Menge vom flüssigen Gase hineinzugiessen.

Aus diesem Grunde wurde folgender Weg') gewählt: Der Sauerstoff oder ein anderes permanentes Gas soll in las Gefäss, in welchem es als Kaltemittel benutzt wird, nicht hineingegessen, sondern erst in ihm verflüssigt werden. Dadurch kommen alle Ausgaben für die Abkühlung des Apparates, in welchem er eingeschlussen ist, in Weginil. Datür aber wird der Maass-tab des Versuches in hohem Grade eingeschränkt. Da die Verflüssigung der permanenten tinse bei der Benutzung des Aethylens als Kaltemittel erst bei ziemlich hohen Drucken stattfindet, so ist es unmöglich. sehr weite Glaszöhren zu nehmen, weil sie bei diesen Drucken nicht fest genog wären. Daraus folgt die Nothwendigkeit, oie Verflüssigung der permanenten Gase bei möglichet niedriger Temperatur und demzufolge bei möglichet niedrigem Druck zu bewerkstelligen, damit die Glasrobre möglichst weit und die verflüssigte Gasmenge möglichst gross ist.

§ 2. Eintheilung der Aufgabe. Das Comprimiren, Reinigen und Aufbewahren der comprimirten Gase.

Die Darstellung der permanenten Gase als Flüssigkeiten in grösseren Mengen setzt eine gute Compressionspumpe voraus. Als solche benutze ich die vom Mechaniker A. Schultz

<sup>1.</sup> v. Wroblewski, Compt. rend. 97. p. 1553, 1888.

in Wien construirte Natterer'sche Pumpe. Bei der neuesten im verflossenen Sommer zu Stande gebruchten Construction sind alle im Laufe der letzten Zeit gemachten
Erfahrungen berücksichtigt worden. Mit dem für mich vorzüglich au-geführten Exemplar, welches speciall zum Motorbetrieb und für hohe Drucke eingerichtet ist, wurde im Laufe
dieser Arbeit wiederholt der Wasserstoff in einer auf 300
Atmosphären geprüften Stahlflasche bis auf den Druck von
über 200 Atmosphären gebracht.

Bei den alten Natterer'schen Pumpen hatte der Kolben eine Lederkappe, welche fest an die Wände des Kolbencylinders andrückt. Dieser Umstand führte zu grossen Unannehmlichkeiten, besonders beim Comprimiren des Sauerstoffes. War nämlich die Lederkappe mit Oel befenchtet, so folgte bei höherem Drucke bei jedem Pumpenschlag eine kleine Explosion, da die Oeldämpfe sich in dem comprimirten Sauerstoff entzündeten. Ich musste deshalb fast ganz trockene Lederkappen nehmen, wobei ihre Abnutzung so rasch war — sie wurden ganz schwarz und zerplatzten schliesslich —, dass man oft sechs- bis siebenmal die Lederkappe wechseln musste, wenn der Sauerstoff auf den Druck von 120 Atmosphären gebracht werden sollte.

Die Ersetzung der Lederkappe durch Asbest erwies sich als sehr vortheilhaft und hat die Arbeit wesentlich erleichtert. Der gut eingerichtete Asbestkolben hält sehr hohe Drucke aus. Ist er undicht geworden, so wird die kleine Mutter, welche den Asbest zusammenpresst, etwas losgeschraubt, ein wenig Asbest dazugewickelt und die Mutter nach und nach etwas fester nachgeschraubt. Der Kolben wird sehr wenig mit Knochenöl bescuchtet, beim Sauurstoffcomprimiren sast trocken gehalten.

Die Pumpe wird mittelst einer Transmission durch einen zweipferdigen Gasmotor in Gang gehalten. Für gewöhnlich macht der Kolben 60 bis 65 Hin - und Herbewegungen in einer Minute, beim Comprimiren des Sauerstoffes 45. Der Cylinder der Pumpe ist kurz. Die Hubhöhe beträgt nur 29 cm.

Zur Aufbewahrung der comprimirten Gase dient fol-

gender nach meinen Angaben durch Hrn. Schultz con struirter Apparat: a und b (Fig. 2) sind zwei eiserne auf 150 Atmosphären Druck geprüfte Compressionstlaschen von der Natterer'schen Pumpe, eine jede von ca. 600 com Inhult. Jede Flasche hat ausser dem gewöhnlichen Schraubenhalm c. f noch einen anderen an dem Boden der Flasche angebrachten c. d. Beide Flaschen sind mit dem abschraubharen Kopistück nach unten gekehrt und mittelst des Kupferrobres qu mitemander and mit dem Metallmanometer h verbunden. Sie sind mit Hulfe einer Metallieiste i in einem starken Kasten von Zinkblech & befestigt. Der Boden des Kastens ist mit zwei sechskantigen Oeffnungen versehen, in welche die gleichfalls sechskantig geformten Kopfstücke der Flaschen hineingehen. Soll das Comprimiren des Guses bei medriger Temperatur vorgenommen werden, so kann der Boden durch entsprechend geformte Lederstücke wasserdicht gemacht und dann der ganze Kasten mit Eis gefüllt werden. / ist ein kupternes, etwa 8 m langes Rohr, welches zu der Natterer'schen Pumpe führt. Die Flaschen können mittelst der Schraubenhähne edef nowohl von der Pumpe wie voneinander und von dem Manometer getrennt werden. Der ganze Annarat lässt sich mit grösster Leichtigkeit in einzelne Theile auseinunder nehmen. Als Material zur Dichtmachung dient uberall Blei.

Der Schraubenhahn e ist mittelst der Kupferröhre mit dem Stahlstück a verbunden, welches das Innere des Compressionsapparates sowohl mit dem Apparate, in welchem das permanente Gas verfüssigt wird, wie mit einem Luftmanometer o in Verbindung zu setzen gestattet. Der Schraubenhahn p dient zum Absperren des Manometers, Damit das Stahlstück wunbeweglich bleibt, wird es mittelst einer eisernen Stange q an den Tisch fest angeschraubt.

In die erste Flasche a wird das Gas nur bis zu dem Verflüssigungsdruck gepumpt, welcher für alle permanenten Gase — mit Ausschluss des Wasserstoffes — nicht grösser als 40 Atmosphären zu sein braucht. In der zweiten Flasche

<sup>1)</sup> In der Figur ist nur das Zuleitungsrohr sim Manometer angegeben

6, welche als Vorrathshasche für die erstere dient, wird das thas bis zu dem Drucke von 100 bis 120 Atmosphären comprimirt.<sup>1</sup>)

Atmosphärische Luft und Sauerstoff und besonders der letztere, wenn sie so comprimirt werden, enthalten Spuren von Kohlensaure und Wasserdampf, welche beim langsamen Verbrennen der Oeldämpfe während des Pumpens entstehen. Soll der Sauerstoff zur Abkühlung von Gegenständen, die durchsichtig bleiben mussen, wie z. B. Glasröhren, benutzt werden, so ist die Anwesenheit der Kohlensäure sehr störend, da beim raschen Verdampfen des flüssigen Sauerstoffes auf den abzukühlenden Gegenständen ein undurchsichtiger fester Niederschlag sich bildet. Das Gas muss deshalb noch nach der Compression gereinigt werden. Dies erreiche ich dadurch, dass ich in jede der Flaschen a und d ein kleines cylindrisches, mit Aetzkali und Chlorcalcium gefülltes Gefäss aus Drahtnetz hineinlege und das Gas erst mehrere Stunden nach der Compression zu den Versuchen benutze.

3 d. Temperaturen, die man mit Hülfe des Aethylene hervorbringt.

Aus dem Vorhergehenden ist es klar, dass die ganze Frage sich jetzt um die Erniedrigung der Siedetemperatur des Aethylens dreht. Bei den Versuchen, welche ich in der Abhandlung "Ueber die Verfüssigung des Sauerstoffs, Stickstoffs und Kohlenoxyds") beschrieben habe, diente eine alte nach dem Princip Bianchi's construirte leutpumpe. Mit dieser Pumpe, wenn sie nur mit dem Manometer verbunden war, konnte man im besten Falle die Verdünnung von 1 cm Quecksilberdruck erreichen. Verdampste man das Aethylen, so blieb noch immer die Dampsspannung von 25 bis 3 cm übrig. Die Temperatur, welche dann das Aethylen zeigte, war — wie man weiss -136° C.

<sup>1)</sup> Will man mit sehr grossen Gasmengen operiren, as wird noch eine dritte Flasche als Reserve in der Figur micht angegeben — genom een. Für gewohnliche Versuche reichen aber 2 Flaschen vollstandig uns.

<sup>2)</sup> v. Wroblewski u. Olszewski, Wied. Ann. 20, p. 248-257, 1888.

Bis ich bessere Pumpen erlangen konnte, suchte ich durch die Anwendung der Dämpfe des Aethylens zur Kuhlung der dampferzeugenden Flussigkeit die Siedetemperatur des Aethylens herunter zu bringen.

Wie man sich erinnern wird, bestand das in der bereits entirten Abhandlung beschriebene, zur Aufnahme des Aethylens bestimmte Gesiss aus einem Reagenzgläschen, welches in einem etwas Chlorcalcium enthaltenden Cylinder luftdicht sass. Das verdampsende Aethylen wurde durch eine Glassohre, welche durch den das Reagenzgläschen verschliessenden Kautschukpsropsen hindurchging, herausgepumpt. Es ist klar, dass bei dieser Versuchsanordnung von der niedrigen Temperatur der Aethylendämpse gar kein Gebrauch gemacht wird. Da andererseits das Reagenzgläschen von dem warmen Glascylinder umschlossen bleibt, ist der Einfluss der Wärmestrahlung viel zu groß, um das Sinken des Dampsdruckes des Aethylens über einen gewissen Grad sowie die entsprechende Abnahme der Temperatur zuzulassen.

Die im folgenden Paragraphen beschriebene Form des Apparates gestattet, sowohl die Umhüllung wie das Gefäss mit dem dassigen Acthylen durch die Aethylendampfe abzuküllen. Der Einfluss dieser Abänderung zeigte sich so griss, dass die Siedetemperatur des Aethylens bei der Benutzung der alten Pumpe gleich auf -- 144° C. herunterging.

Unterdessen hat Mechaniker P. Stückrath in Berlin sowohl die alte Pampe, wie eine zweite ebenso mangelliufte, die mir zu den Versuchen diente, als jene den Dienst gänzlich versagte, umgearbeitet, mit Babinet'schen Hähnen verschen und zum Motorbetrieb eingerichtet.

Die beiden Pumpen<sup>1</sup> sind nebeneinander aufgestellt und werden durch den Gasmotor jede besonders in Gang gehalten. Die Transmission ist so eingerichtet, dass die Pumpen mit ungleicher Geschwindigkeit gehen. Auf 20 Umdrehungen einer Pumpe kommen 21 der anderen. Die 13 mm im Lichten haltenden kurzen Schläuche y'z' beider Pumpen vereinigen sich zu einem Rohr unweit vom Apparate.

<sup>1)</sup> Der Durchmesser des Pump nstiefels beträgt 62 cm. die Hubhöhe 26,2 cm.

Am Regulator des Motors habe ich einen Hebel anbringen lassen, welcher mit Gewichten belastet werden kann, wodurch man im Stande ist, die Geschwindigkeit des Motors in sehr weiten Grenzen zu variiren. Sie kann von 120 bis auf 220 Umdrehungen pro Minute gebracht werden. Beim Normalgang macht der Motor 180 Umdrehungen. Dank diesem Umstande kann auch der Gang der Pumpen entsprechend geandert werden.

Bei der Benutzung beider Pumpen zugleich i) sinkt die Dampispannung des Aethylens auf 1 bis 0,95 cm und seine Temperatur bis auf -152° C.

Durch diese Temperaturerniedrigung ist es möglich geworden, Stickstoff, Kohlenoxyd und atmosphärische Luft direct mit Hülfe des Aethylens und ohne Zuhülfenahme eines schwieriger verflüssigbaren Gases, wie z. B. des Sauerstoffs — wie ich es früher gemacht habe?) — zu verflüssigen, da die kritische Temperatur dieser Gase?) oberhalb dieses Minimums sich befindet.

# § 4 Der Verfiffsnigungsapparat

Der Verflussigungsapparat besteht aus einer Glasröhrer, welche etwa 18 mm im Lichten und 4 mm Wandstarke hat. Diese Röhre ist dem Bedürfnisse des Versuches entsprechend 42 bis 46 cm lang, unten zugeschmolzen und oben in eine Messingfassung seingekittet. Die Fassung ist mit einer konischen Vertiefung versehen, zu welcher ein messingener Deckel eint einem konischen Ausatz genau passt und mit Hülfe von 4 Schrauben au luftdicht angelegt werden kann. Der Deckel enthält je nach Bedürfniss zwei oder mehrere Löcher zum Durchlassen des das Gas zuleitenden Rohres, des Thermometers und des abzukühlenden Apparates. In der

<sup>1)</sup> Der Rabinet'sche Hahn erwies sich bei diesen Versuchen denbrauchbar, da das Anwachsen des Druckes durch Versampfung des Aethylens schneller vor sich geht, als die Wirksamkeit der Pumpen, wenn der Hahn nach Babinet's Art gestellt wird.

<sup>2)</sup> v. Wroblewski, Compt. cend. 98, p. 982-985, 1884

<sup>3)</sup> Näheres darüber in § 7

<sup>4)</sup> Solche Rohren halten selten den Druck von 60 Atmosphären aus Die meisten zerplatzen bereits unter dem Druck von 50 Atmosphären

Figur sind der Einfachheit der Zeichnung wegen nur zwei solche Locher angegeben. Das eine e s.zi mittelst des Kupferröhrchens er das Innere des Apparates mit dem Apparate zum Aufbewahren des comprimirten Gases in Verbindung. Das zweite z lässt ein thermoelectrisches Paar hindurch. Die Röhre e ist in den zum Hinsingiessen des Aethylens bestimmten Apparat hineingesetzt, welcher in erster Linie aus einer 55 bis 60 cm langen, 6 bis 6,5 cm im inneren Durchmesser und 0,2 cm in der Wundstärke haltenden Glasröhre y besteht. Diese Röhre ist von beiden Enden ein wenig erweitert und mit schwach konischen, 4,5 cm hohen Pfropfen aus grobkörnigem, wenig weichem Kautschuk z und er luftdicht verschlossen.

Der obere Pfropfen hat 2 Löcher: durch das eine geht das Rohr r luftdicht hindurch, durch das andere ein kurzes Glasrohrchen b', welches dazu dient, das Kupferröhrchen c' aufzunehmen, das aus dem Recipionten d' das flüssige Aethylen zuführt. Soll gleichzeitig mit anderen Versuchen die Temperatur des Aethylens gemessen werden, so gehen die Drähte von dem dazu bestimmten thermoelectrischen Paar zwischen der Glasröhre b' und der Kautschukwand hindurch?

Der untere Ptropfen a hat ebenfalls 2 Löcher Durch das eine seitlich augebrachte Loch e geht das zum Abführen der Aethylendampfe dienende Glasrohr f. Das andere Loch, welches nur gerade eng genug ist, um den starken Stahtdraht g hindurchzulassen, ist durch die Mitte des Pfropfens geführt, erweitert sich oben ein wenig und enthält in der Erweiterung ein dünnes Glasröhrchen a mit ein paar Tropfen Knochenol.

Dieses Röhrchen dient als Schmiervorrichtung für den

1. Die Herstellung dieser Rehren ist mit grossen Schwierigkeiten verburden, da fast alle, nachdem sie abgekühlt worden sind gleich oder einige Tage nachber an der erweiterten Stelle der Lange nach sich ej alten bie wurden zulotzt in der Chashütte ungeferturt, zweimal geglicht, ist glübenden Sand ganz bedeckt und so 2 Tage lang im geschlose ann Raume abgekund.

2 In diesem Falle mass die Stelle, wo die Drichte nus den Plasjeen : her instancen sorgfidig mit dim Kitt zugeschmant werden damit der Verschluss lufteheht bleibt.

Draht of und macht möglich, dass man ihn — obgleich er intidicht durch den Pfropien geht — mittelst des Griffes ohinauf und innunter schieben kann. Unweit von seinem oberen Ende ist dieser Draht mit einem Krouz k aus dünnem aber festem Messingstreifen versehen, welches ihm nicht gestattet, aus der centrischen Lage herauszukommen. An seinem oberen Ende trägt der Draht ein 1 cm langes cylindrisches Stück von Ehomit I. Der Zweck dieses Stückes wird gleich erläutert werden.

Das eigentliche, zur Aufnahme des flussigen Aethylens dienende Gefäss ist das 34 bis 38 cm lange, unten geschlossene Glasrohr m. Es ist von sehr dünnwandigem Glas gemacht, und sein Durchmesser ist so gewählt, dass zwischen ihm und der äusseren Röhre y eine Distanz von 2 mm frei bleiht. Dieses oben sorgfaltig abgeschliftene Rohr ruht nur auf dem soeben beschriebenen Ebonitstück. Damit keine Berührung zwischen dieser Röhre und der Röhre y möglich ist, werden auf die Röhre m an 2 Stellen, welche in der Figur punktirt sind, 2 Ringe aus dünnem Messingblech — jeder Ring mit 4 Flügeln — geschoben.

Damit zwischen dem Rohr m und dem Pfropfen z ein möglichst guter Verschluss sei, hat man in dem Pfropfen eine kreisförmige. 5 mm tiefe und 3 mm breite Rinne ausgebrannt und dann mit Aether ausgewaschen. Das Rohr m passt in diese Rinne genau, und wenn man den Draht g nach oben schiebt, so wird er in ihr festgehalten. Damit die Aethylendampte Platz zum Entweichen haben, ist oben bei n' in dem Glasrohr m ein 9 mm im Durchmesser haltendes Loch ausgebohrt und mit einem 5 mm hohen, aus sehr dünnem Messingblech gemachten Ring versehen.

Der Apparat wird folgender Weise zusammengesetzt Nachdem alle Glastheile mit peinlichster Sorgfalt, gereinigt worden sind, wird zuerst der Pfropfen z mit der Rohre 6 auf die Röhre r hinaufgeschoben und die Röhre r nochmals mit Fliesspapier gereinigt. Dann schiebt man die Röhre wauf denselben Pfropfen, legt die Röhre w und das kleine Drahtgefäss o mit frisch getrocknetem ('hlorcalcium hinein, und zuletzt fügt man den Pfropfen o' mit allem, was er

cathalt, hinzu. Dann wird das Rohr b' mit einem Stöpsel vorläutig geschlossen, f' in Verbindung mit den Luftpumpen gebracht und beide Pfropfen durch Luftdruck in die Rohre glaneingezogen. 1)

Ist alles vollständig luftdicht, so befestigt man deiganzen Apparat auf dem schweren Dreifuss p' und legt um
den Apparat einen aus gefirnisster Pappe angefertigten, mit
zwei langen Glassenstern versehenen und unten und oben
sich eng an die Röhre p anschließenden Kasten q'. Im
unteren Theile des Kastens befinden sich zwei halbkreisförmige Papptröge und in dem oberen 2 Drahtnetzgefasse
mit frischgetrocknetem Chlorcalcium.2, Der Pappkasten hat
zum Zweck, keine Feuchtigkeit auf die äussere Fläche der
Rohre p zuzulassen und die Wärmestrahlung von aussen
abzuhalten. Der Versuch hat gezeigt, dass dieser Zweck
erreicht wird, wenn der Kasten etwa 15 cm im Durchmesser
beträgt.

let man soweit mit der Zusammenstellung, so wird der Deckel i mit allem, was zu ihm gehört, auf seinen Platz gelegt und mit den Schrauben um luftdicht befestigt, der Stöpsel aus der Röhre b' herausgenommen und an seine Stelle das Kupferrohr c' mittelst eines auf ihm befindlichen Stückes von Kautschukschlauch luftdicht befestigt. Dieses Kupferrohr ist 3 m lang und spiralförmig zweimal zusammengewickelt. Es befindet sich in einem mit Doppelwand versehenen, zur Aufnahme der festen Kohlensäure und des Aethers bestimmten Blechgefüsse r'. Das andere Ende dieser Spirale gabelt sich und führt zu den beiden ) das flüssige Aethylen enthaltenden Recipienten d, von denen jeder in einem Blechgefässe mit Eis und Kochsalz sich befindet. Die in den Recipienten enthaltene Menge Aethylen beträgt 500 bis 540 g.

<sup>1)</sup> An der Stelle, wo der Contact zwischen Glas und Kautschuk stattfindet, werden die Pfropfen 7 und o' ein wenig mit Vaseline befeuchtet Damit die Pfropfen beim Gressen des Acthylens aus der Röhre incht hinsesgeworten werden, bindet man sie mittelst eines 0,9 mm dicken, Ings der Rohre e getührten Kufferdrahtes anemander.

<sup>2</sup> In der Figur nicht angegeben.

Si la der Figur ist nur ein Recipient gezeichnet.

Nachdem der Apparat so zusammengestellt werden ist, wird er 20- bis 30-mal ieer gepumpt und mit trockener Luft angefällt. Zum Einlassen der trockenen Luft dient der Hahn d.

Ist man mit allen diesen Vorbereitungen zu Ende, so wird das Blechgefäss r' mit fester Kohlensäure und Aether so gefullt, dass die Kohlensaure wie Brei dick ist. 1 Dann wird durch die passende Stellung des Habnes & das Innere des Apparates in Verbindung mit der Atmosphäre gebracht und das Aethylen zuerst aus dem einen Recipienten und dann aus dem anderen herausgelassen. Die Flüssigkeit sammelt sich im Rohr m, die Dampfe gehen durch die Oeffnung a und dann zwischen den Wünden beider Gefässe ins Rohr f' zu dem Hahn t. Berm zu schnellen Gressen geht auch etwas Flussigkeit durch das Loch w und fällt tropjenweise auf den Pfropfen a. Um diesen Verlust auf das Minimum zu bringen, sitzt im Loch n' der bereits erwähnte Blechring und zwingt die Flüssigkeit, wieder herunterzufliessen. Das Heruntertropfen des Aethylens, hat übrigens keine übeln Folgen, und wenn das Rohr m 84 cm lang ist, so kann mit Leichtigkeit eine Acthylensagle von 25 cm Höhe hinemgegossen werden.

Das flüssige Aethylen in einer solchen Menge zeigt alle Eigenschaften einer sehr stark überhitzten Flüssigkeit, und beim kleinsten Anlass wird es nach oben geworfen und durch das Loch n' herausgegossen. Es genügt die geringste Berührung zwischen dem Rohr m' und der äusseren Röhre num das ganze Aethylen in gewaltsames Kochen zu bringen. Zuerst als der Pappkusten nur 10 cm im Durchmesser hatte, war schon eine Berührung des Glasfensters mit der Hand genügend, um sofort das Emporschleudern des Aethylens in die Höhe zu veranlassen. Die unangenehmsten Folgen hatte jedoch früher der Umstand, dass der Stahldraht g' oben nicht mit Ebenit verschen war. Das Aethylen kam fast nie aus dem heftigen Kochen, und bei der Berührung des Drahtes mit der Hand wurde es in die Hohe geschlendert.

Zu diesem Zwecke reicht ein Recapient von 500 bis 600 g. flusseger Kohlt nauere aus.

Erst die Erweiterung des Kastens bis 15 cm im Durchmesser und die Benutzung des Ebonits setzten den Explosionen ein Ziel.

Es kommt oft vor, dass, wenn das Aethylen hineingegossen worden ist, von der Röhre r Luftbläschen aufsteigen. In diesem Falle wird später beim Pumpen fast alles Aethylen herausgeworfen, da dann die Blasen sehr gross werden und die ganze Flüssigkeit emporschleudern. Um dies zu vermeiden, verfahre ich auf folgende Weise. Es wird zuerst Aethylen nur etwa bis 5 cm Hobe eingegossen, der Apparat durch passende Stellung des Hahnes ( von der Atmosphäre getrennt und die Flüssigkeit vorsichtig gepumpt. Nach ein paur Minuten hört die Blasenbildung auf. Jetzt kann man ruling - nachdem man in dem Apparat durch den Hahn s' die trockene Luft eingelassen und die Verbindung mit der Atmosphare mittelst des Hahnes & wieder hergestellt hat - den ganzen Inhalt aus beiden Recapienten hineungiessen. Die Blasenbildung wird nur im oberen Theil der Flüssigkertssäule eine Zeit fortdauern, was ohne Nachtheil für den Versuch ist.

Das Aethylen wird zuerst nur mit einer Pumpe gepumpt, welche blos ca. 30 Umdrehungen pro Minute macht. Beginnt das Manometer a zu sinken, so wird die zweite Pumpe in Gang gesetzt, und dann durch entsprechende Aenderungen am Regulator des Gasmotors die Geschwindigkeit allmählich bis 60 Umdrehungen pro Minute gesteigert.

Ist ein Drittel von der Aethylenmenge verdampst, so hat man schon eine Abkühlung, welche für Verslüssigung des Sauerstosses hinreichend ist. Will man mit flüssigem Stickstoff operiren, so muss etwa die Hälste des Aethylens verdampst werden.

1 Die Verflussigung des Gases und seine Ueberführung auf den atmosphärischen Druck.

Ist die Temperatur des Aethylens hinreichend gesunken, und kann die Verflüssigung beginnen, so setzt man die Flüsche a in Verbindung mit dem Inneren des Verflüssigungsapparates und lässt das Gas unter dem Drucke von 40 Atmospharen ein. In dem Grade, wie es sich verfüssigt und der Druck abnimmt, wird das Gas aus der zweiten Flasche bzugelassen. Steht das verfüssigte Gas etwas höher oder aut demselben Niveau wie das Aethylen, so wird die Flasche wabgesperrt. Auf diese Weise kann mit Leichtigkeit eine Flüssigkeitssäule von 10 bis 12 cm Höhe erhalten werden.

Jetzt handelt es sich darum, das verflüssigte Gas unter den atmosphärischen Druck zu bringen und es unter diesem Drucke möglichet lange zu erhalten. Oeffnet man den Habn v. so verdunstet die Flüssigkeit sehr schnell, da der Unterschied zwischen der Temperatur des Aethylens und der Siedetemperatur des Gases sehr gross ist. Das veriffissigte Gas muss deshall -- nachdem es auf den atmosphärischen Druck übergefuhrt worden ist - der erwärmenden Einwirkung des flussigen Aethylens entrogen werden. Dies suchte ich zuerst dadurch zu erreichen, dass ich den Draht q' und zugleich die auf ihm ruhende Röhre m' nach unten zog, ohne dabei an der Arbeit der Pumpen irgend etwas zu ändern. und erst dann den Hahn v' aufmachte. Die gewählte Construction des Apparates hatte zum Zweck, diese Manipulation zu ermöglichen. Der Versuch hat aber ergeben, dass dadurch sehr wenig erreicht wird, da die erwärmende Einwirkung der Glasrohre r selbst noch viel zu stark ist. Es musste deshalb noch diese Einwirkung beseitigt werden.

Ich habe dies dadurch erreicht, dass in die Glasröhre eine zweite aus dem dünnsten Reagenzglase geblasene, unten spitzig zugeschmolzene Glasrohre gelegt wurde. Diese Röhre ist 10 bis 15 cm lang, und ihr Durchmesser ist so gewählt, dass sie nirgends an die Wand der Röhre e sich anlegt, wozu der am oberen offenen Ende etwas nach aussen umgebogene Rand beiträgt. Sie ruht deshalb nur auf der Spitze und auf irgend einem Theile des Randes. Verfüssigt man das permanente Gas, so füllt sich mit ihm sowohl diese Röhre, wie der Zwischenraum zwischen ihr und der Rohre e. Wird der Haline vorsichtig aufgemacht, so verdampft zuerst die Flüssigkeit, welche im Zwischenraume zwischen beiden Röhren sich befindet. Dadurch wird die dünnwandige Röhre mit der Flüssigkeit von der Röhre e isoliet. Die Flüssigkeit

wird der erwärmenden Einwirkung der Röhre r entzogen, und, nachdem sie sich abgekühlt hat, verdampft sie jetzt nur sehr langsam.

Auf diese Weise kann die in der dünnwandigen Röhre enthaltene Sauerstoffmenge eine Vierteistunde lang nicht nur unter dem atmosphärischen Druck, sondern — wie man weiter sehen wird — im Vacuum erhalten werden. Bei der Ueberführung auf den atmosphärischen Druck geht gewöhnlich die Hälfte des verflüssigten Gases verloren.

Diese Methode macht das Herunterziehen der Röhre m' mit Acthylen überflüssig.

Ist das verflüssigte Gas verdunstet, so kann der Versuch wiederholt werden, solange, der Vorrath des comprimirten Gases es gestattet. Das einmal abgekühlte Aethylen verdampft nachher sehr langsam und kann als Verflüssigungsmittel 1 bis 2 Stunden dienen.

Zum Schlusse eine Bemerkung als Warnung. Obgleich die Röhre r noch vor dem Gebrauch auf den Widerstand gegen Druck geprüft wird, so ist doch jeder Verfüssigungsversuch in hohem Grade gefährlich und kann bedenkliche Explosionen zur Folge haben. Aus diesem Grunde sind alle Vorsichtsmaussregeln geboten, und sowohl meine Assistenten, die Herren Aleksandrowicz. Kosminski und Novakwie auch ich selbst, bedienen uns stets bei jedem Versuche der den ganzen Kopf bedeckenden Drahtmasken. Ich benutze diese Gelegenheit, um den genannten Herren, die mir bei diesen Untersuchungen geholfen, meinen besten Dank auszusprechen.

# § 6. Die Methode, die niedrigen Temperaturen zu messen

Schon bei den ersten Bestimmungen der Verflüssigungsdrucke bei dem Sauerstoffe zeigte sich, dass das Wasserstoffthermometer bei solchen Versuchen nur im beschränkten
Maasse benutzt werden kann. Die Angaben dieses Thermometers sind nur dann sicher, wenn die Temperatur des zu
untersuchenden Mediums hinreichend lange constant bleibt
Diese Bedingung ist bei den verflüssigten Gasen sehr schwer
zu erreichen. So zum Beispiel zeigt das flüssige Aethylen.

selbst wenn es in beträchtlicher Quantitat in ein Glasgefass hineingegossen worden ist, kleine Temperaturschwankungen. die nicht ohne Einflass auf die vorzunehmende Messung sind and night rasch genug mit einem Wasserstofithermometer verfolgt werden konnen. Noch schwieriger werden die exacten Messungen dort, we die verflussigte Gasmenge klein ist, und we man die Thermometerkugel auch klein machen muss. In diesem Falle treten noch andere Fehlerquellen hervor, wie z. B. die Unsicherheit in der Bestimmung der Temperatur der Capillare, welche die Thermometerkugel mit dem Manometer des Thermometers verbindet, und die Unsicherheit der Einstellung des Quecksilberfadens auf die Marke Man kann drese Thermometer nicht mit einer Giasspitze versehen, auf die man das Quecksilberniveau immer einstellen konnte, wie dies z. B. beim Jolly'schen Luitthermometer der Fall ist Bei den ersten Thermometern, welche ich bei den ersten Versuchen mit dem flüssigen Sauerstoff benutzte, war auf dem mit dem Manometer verbindenen Schenkel der Capillare eine einfache Marke angebracht und der Quecksilberfaden immer auf diese Marke gestellt. Eine solche Einstellung ist sohr unsicher, da man nur mit dem Finger an der Capillare zu klopfen braucht, um die Lage des Quecksilberfadens sofort zu verändern. Ganz unbrauchbar ist das Wasserstoffthermometer dort, we die Temperatur sich rasch andert.

Aus diesem Grunde habe ich mich entschlossen, an die Stelle des Wasserstoflthermometers ein Thermoelement zu setzen

Die von mir gewählte Methode berüht auf der Benutzung eines aperiodischen sehr empfindlichen Spiegelgalvanometers von hohem Widerstande. Ist der Widerstand in dem Schliessungsbogen im Vergleich zu demjenigen des Galvanometers verschwindend klein, so sind die Angaben des Galvanometers direct proportional der durch die Temperaturdifferenz der beiden Lothstellen hervorgerufenen electromotorischen Kraft. Kennt man einmal den Zusammenhang zwischen der electromotorischen Kraft und der Temperatur bei dem gewählten Paure, so hat man ein Mittel zur Messung jeder Temperatur gefunden.

Als thermoelectrisches Paur habe ich galvanoplastisches Kupter und Neusilber gewählt. Zur Wahl dieses Paares hat mich nicht sowohl seine Stellung in der thermoelectrischen Reihe, als vielmehr der Umstand bewogen, dass hier die electromotorische Kraft zwischen + 100 und 0° C. fast genau der Temperaturdisserenz der beiden Löthstellen proportional 1st. Die Versuche ergaben, dass bei den niedrigeren Temperaturen die electromotorische Kraft langsamer als die Temperaturdifferenz wächst. Dessenungeachtet bleibt auch hier der Zusammenhang zwischen diesen beiden Grössen so regelmässig, dass man im Stande ist, wie man es gleich sehen wird, mit Halfe der empirischen Gleichung, welche diesen Zusammenhang zwischen + 100 und - 130° C. darstellt. noch die in der Nähe von - 200° C, befindlichen Temperaturen mit Sicherheit aus den Angaben des Galvanometers abzuleiten.

Bei den ersten Versuchen wurde die Empfindlichkeit des Galvanometers so gewählt, dass, während eine Löthstelle in Eis und die andere in Wasser von der Temperatur von + 99,21° C. sich befand, der Scalenausschlag des Galvanometers im Mittel 14164 cm betrug. Um zu sehen, inwieweit die Angaben des benutzten Galvanometers der electromotorischen Kraft proportional sind, wurde ein dreifaches Paar genommen. Der Scalenausschlag war in diesem Falle genau dreimal so gross, und dadurch wurde die vollständige Proportionalität innerhalb der angegebenen Grenzen zwischen der electromotorischen Kraft und dem Scalenausschlag bewiesen.

Diejenige Stellung des Galvanometerspiegels, bei welcher die beiden Löthstellen sich im Eise besanden, wurde als Null angenommen. Die Aussellüge im Sinne der höheren Temperaturen als 0' wurden positiv, dagegen die entgegengesetzten negativ gerechnet. Als Vergleichstemperaturen zwischen dem Wasserstoffthermometer und Galvanometer zur Feststellung der Temperaturgleichung wurden zueist solgende 4 Temperaturen gewählt: erstens die Siedetemperatur des Wassers; zweitens die Schmelztemperatur des Eises; drittens die Siedetemperatur des Aethylens unter dem atmo-

spharischen, und viertens die Siedetemperatur des Aethylens unter dem Druck von etwa 3 cm Quecksilberdruck.

Das Kugelgefäss des Wasserstoffthermometers hatte cylindrische Form und fasste lei 0° C. 260,838 g Quecksilber, die Capillare dagegen nur 0,66 g. Das Verhältniss des Volumens der Capillare zu demjenigen des Kugelgefässes betrug also nur 0,00253.

Zu den Versuchen mit dem Aethylen wurden zwei thermoelectrische Paare benutzt, von denen das eine an dem
oberen und das untere an dem unteren Theil des Kugelgefässes durch Seidenfäden befestigt war. Ein besonders
dazu eingerichteter Commutator gestattete, die Angaben der
beiden Paare gleich nacheinander abzulesen. Dadurch war
es nöglich, sich zu überzeugen, ob das ganze Kugelgefäss
des Thermometers in einem Medium von derselben Temperatur sich befände.

Um einen Begriff von dem Gange der Beobachtungen zu geben, wird hier ein vollständiges Protocoll eines Versuches, welches sich auf die Siedetemperatur des Aethylens unter dem atmosphärischen Drucke bezieht, mitgetheilt.

	Abgelesen bei beiden des Con	Der A ssehing in em		
Unferen Paar	. 12,88	34 39	10,765	
	12,79	34,41	-10.81	
Oberes Paar	12.90	34 38	10,74	
1 ,	12,50	34.30	-10.745	
Unteres Paar	12,58	34,45	-10,785	
** *	12,97	34,42	-10,775	
Oberes Paar	12,49	34,40	- 10 775	
1	12,90	34,39	10 745	
		Mittel	10.765	

Temperatur am Wasserstoffthermometer = -102,4 °C. Folgende Tabelle enthält die Ergebnisse der vier an vier verschiedenen Tagen angestellten Versuche.

Hier wie in den folgenden Tabellen ist der Ausschlag des Galvanometers in Centimetern mit ic, die Temperaturen mit 0 bezeichnet.

Nachstehende Tabelle enthält die Ergebnisse der Versuche bei der Siedetemperatur des Aethylens unter dem Drucke von etwa 3 cm Quecksilberdruck.

Stellt man alles zusammen, so hat man:

woraus die Lagrange'sche Interpolationsformel liefert:

$$\theta = 7.3256 \text{ sc} - 0.12749 \text{ sc}^3 + 0.007899.8 \text{ sc}^3.$$

Diese Gleichung gilt selbstverständlich zuerst nur für das Temperaturintervall von 230° zwischen +99 und -131°. Die Bestimmung der Siedetemperatur des flüssigen Sauerstoffs und Stickstoffs unter dem atmosphärischen Druck zeigt aber, dass die nach dieser Gleichung gerechnete Temperatur noch bei -193° C. identisch ist mit der am Wasserstoffthermometer abgelesenen.

Dies ergab sich aus folgenden Versuchen. Beobachtete ich den Ausschlag des Galvanometers, während eine Löthatelle im Eis und die andere in dem unter dem atmosphärischen Drucke siedenden Sauerstoff oder Stickstoff sich betand, so lieferte die obige Interpolationsformel folgende Temperaturen:

Die directe Bestimmung dieser Temperaturen mittelst Wasserstoffthermometer ergab genau dieselben Werthe.<sup>1</sup>)

1 Der zu diesen Versuchen benutzte Sauerstoff war durch Luft verunreinigt. Der Siedepunkt des stickstofffreien Sauerstoffs (§ 7) liegt bei etwa - 1\*4.5° C. Diese Thermometerversuche wurden auf folgende Weise ausgeführt.

Durch ein drittes Loch in dem Deckel des Verflussigungsapparates wurde von unten eine sehr feine Capillare von 60 cm Länge durchgeführt. Am unteren Ende war sie zugeschmolzen und zu einem länglichen, starkwandigen Thermometergefäss aufgeblasen. Das Volumen dieses Gefässes betrug 0,355 ccm. Die Wandstärke wurde so gewählt, dass das Thermometer nicht zerdrückt werden konnte. Der obere Theil der Röhre wurde nachher zweimal umgebogen, die ganze Röhre mit Wasserstoff gefullt und dann mit dem Schlauch des Jolly'schen Thermometers verbunden. Einstellung-marken dienten zwei in verschiedener Hohe angebrachte Ringe. Man konnte das Quecksilber auf beide Marken einstellen und daraus den Einfluss der unentbehrlichen Correction auf das Resultat der Messung berechnen Hatte man alle Correctionen angebracht, so stimmte das Resultat überein.

Diese merkwürdige Uebereinstimmung ist aus donneltom Grunde wichtig. Erstens zeigt sie, dass der Wasserstoff bis zur Temperatur von - 193°C, noch als thermometrische Substanz benutzt werden kann. Zweitens ergibt sich, dass wir in einem Kupferneusilberpaar ein ausseist feines Messinstrument besitzen, welches das Wasserstoffthermometer innerhalb der angegebenen Grenzen vollständig ersetzt. Und da diese Uebereinstimmung sich auf ein so grosses Temperaturintervall wie +1006 und -1930 C. erstreckt, so scheint mir die Schlussfolgerung nicht unberechtigt zu sein, dass bei noch niedrigeren Temperaturen, bei welchen das Wasserstoffthermometer seine Dienste zu versagen beginnt1), die aus den Angaben des zwischen +100' und - 193º C. calibrirten Kupferneusilberpaares gerechnete Temperatur den Angaben eines mit einem idealen Gase gefüllten Thermometers entspricht.

Ich benutze jetzt zum Calibriren des Thermoelements folgende 4 Temperaturen: Schmelzpunkt des Eises und Siede-

<sup>1)</sup> Näheres darubet in § 8

punkt des Wassers, Aethylens und Stickstoffes – ulles unter dem atmosphärischen Druck.

§ 7. Der kritische Zustand und die Spannkraftseurven der Dampfe des flüssigen Stickstoffs, Kohlenoxyds und Sauerstoffs, Das Verhalton der atmosphärischen Luft.

Es wurde bereits im § 1 erwähnt, dass die Säule des reritüssigten Gases nicht über eine gewisse, höchstens 1 2 cm von dem Nivenu des Acthylens entfernte Stelle gehen kann, da an dieser Stelle die Glasröhre r eine Temperatur hat, welche für das betreffende Has die kritische ist. Je schwieriger verflüssighar das Gas ist, desto näher an dem Niveau des Aethylens betindet sich diese Stelle. Sucht man durch Vergrösserung des Druckes, unter welchem das Gas sich befindet, die Flüssigkeitssäule zu erhöhen, so wird der Meniscus flacher, dann verschwommen, und zuletzt verschwindet er. Macht man jetzt den Druck durch Herauslassen von Gas etwas kleiner, so kommt der Meniscus nahezu an derselben Stelle, auf welcher er verschwunden war, wieder zum Vorschein.

Da ich in einer besonderen Abhandlung die Erschernungen, welche die Gase beim Uebergange durch den kritischen Punkt darbieten, zu behandeln beabsichtige, so will ich hier nur anführen, dass das Verschwinden des Meniscus in dem soeben beschriebenen Falle lediglich eine optische Erscheinung ist und nur dadurch entsteht, dass die Dichtigkeit des Gases in der unmittelbar auf der Flassigkeit liegenden Schicht sich der Dichtigkeit der obersten Schicht der Plussigkeit nähert. Das Verschwinden des Meniscus ist, wie gesagt, nicht momentan. Er wird zuerst verschwommen und undeutlich, und nachdem er verschwunden ist, kann noch die Stelle, wo er sich befindet, leicht mit blossem Auge erkannt werden, wenn man hinter den Apparat eine angezündete Kerze bringt, dann das Auge etwas unter- oder oberhalb der Meniscusstelle hält und durch diese Stelle nach oben oder nach unten sieht. Wird der Versuch in meinem alten Apparate1) in der engen Glasröhre gemacht, so sieht

Il v Wroblewski u. Olszewski, Wied. Ann. 20, p. 246-1888.

man es noch besser, da infolge der verschiedenen Lichtbrechung die Röhre oberhalb und unterhalb dieser Stelle einen anderen scheinbaren inneren Durchmesser hat. Erst nachdem der Gasdruck um ein paar Atmosphären grösser geworden, ist nichts zu unterscheiden. Wir haben nichtsdestoweniger unten die Flüssigkeit, deren Dichte mit der Hohe der Säule von Schicht zu Schicht abnimmt, dann an einer Stelle der Röhre eine Schicht, wo die Flüssigkeit wahrscheinlich continuirlich in das Gas übergeht und schliesslich das Gas mit der von Schicht zu Schicht abnehmenden Dichtigkeit. Die Abnahme der Dichtigkeit im Gas ist durch die Temperaturvertheilung in der Röhre r veranlasst.

Aus diesem Grunde ist eine exacte Ermittelung des kritischen Druckes von grosser Schwierigkeit und viel schwieriger als diejenige der kritischen Temperatur.

Das zu den definitiven Versuchen benutzte Manometer wurde von Hrn. Alvergniat in Paris nach dem Princip des bei meinen Untersuchungen über das Hydrat der Kohlensaure benutzten Manometers1) geblasen und von mir mit grösster Sorgfalt calibrirt. Die Länge der in Millimeter getheilten Capillare betrug 80,92 cm. Das Volumen des unteren, fünfmal olivenförmig aufgeblasenen Theiles der Röhre entsprach einer Länge von 848.7 cm. Hiermit junctionirte das ganze Manometer wie ein 9,296 m langes Rohr und gestattete, die Messungen von 13 Atmosphären aufwärts vorzunehmen. Als Maass dos Druckes diente der auf 0º reducirte umgekehrte Werth des Volumens einer Luftmenge. indem das Volumen dieser Menge bei dem Druck einer Atmosphäre = 1 gesetzt wurde. Bei der Berechnung des Druckes im Apparat wurde die Höhe der Quecksilberkuppe in der Manometerröhre über dem Quecksilberniveau in dem mit dem Manometer communicirenden Gefäss, sowie die Capillardepression in der Manometerröhre berücksichtigt. Das Manometerrohr war von Wasser umgeben, in welchem ein empfindliches Thermometer hing. Das Manometer gestattete also, unter dem Drucke von 30 Atmosphären noch 1 Atmosphäre direct abzulesen.

<sup>1</sup> v. Wroblewski, Wied. Ann. 17. p. 111, 1882.

Dem Galvanometer wurde eine solche Empfindlichkeit gegeben, dass sein Ausschlag im kochenden Wasser von 99 65°C. +23.305 cm, im Aethylen bei —103,03°C. —17,723 cm und im siedenden Stickstoff —27,944 cm betrug. Die Temperatur des Aethylens wurde direct mit dem Wasserstoffthermometer ermittelt, diejenige des Stickstoffes den früheren Bestimmungen entsprechend gleich —193°C. gesetzt. Sollte sich vielleicht später ergeben, dass diese letzte Temperatur um einen Bruchtheil eines Grades unrichtig ist, so gebe ich hier an, dass diese Messung bei dem Barometerstand von 74.195 cm geschah und damit wird man im Stande sein, alle hier mitzutheilenden Temperaturen zu corrigiren. Zur Berechnung der Temperatur diente die Gleichung:

 $\theta = 4.5749 \, \omega - 0.046 \, 357 \, \omega^3 + 0.001 \, 327 \, 2 \, \omega^3,$ 

wo f die Temperatur und w den Ausschlag des Galvanometers bedeuten. Man konnte also etwa ein Zehntel Grad direct ablesen. Die Messungen geschahen auf folgende Weise.

Dem thermoelectrischen Paar wurde eine solche Länge und Lage gegeben, dass die Löthstelle in der Glasröhre r nur etwa 1, cm vom Boden der Röhre entfernt war und nirgends die Wand berührte. Nachdem man durch Vorversuche eine Vorstellung von der kritischen Temperatur des zu untersuchenden Gases sich verschaftt hatte, wurde der Gang der Pumpen so lange regulirt, bis das Aethylen eine nicht stark davon verschiedene Temperatur hatte. Jetzt wurde das Gas unter etwas grösserem Druck als der kritische eingelassen, und nachdem es sich hinreichend abgekühlt hatte. durch eine kleine Expansion vertlüssigt. War die Flüssigkertssäule um ein Beträchtliches zu hoch, so wurde mittelst des Hahnes v' ein Theil des Gases langsam herausgelassen und die Flüssigkeit dadurch so weit verdampft, dass die ganze Flussigkeitssäule nicht mehr als 1 bis 1,5 cm hoch war, mit anderen Worten, dass die Entfernung des Flüssigkeitsniveaus von der eingetauchten Löthstelle nicht mehr als 1,-1 cm betrug.

Wollte man den unteren Theil der Spannkraftcurve studiren, so wurde entweder der Gang der Pumpen beschleunigt, oder der kleine Hahn v' weniger fest zugemacht, damit das Gas aus dem Apparate sehr langsam entweichen konnte Der Hahn e' wurde gewohnlich so gestellt, dass das Quecksilber im Manometer pro Minute um ein paar Millimeter herunterging, mit anderen Worten, dass der Druck höchstens um ein paar Zehntel Atmosphäre per Minute sich änderte Wollte man den oberen Theil der Curve studiren, so wurde der Hahn e fest zugemacht und der Pumpengang verlangsamt, ja sogar eine Pumpe ausgeschaltet. Genügte dies nicht so wurde das Gas langsam aus der Flasche a zugelassen Es versteht sich von selbst, dass nur denjenigen Bestimmungen Zutrauen geschenkt wurde, bei welchen das Aethylenniveau hoch über dem Niveau des verflüssigten Gases stand.

Der Verlauf des Versuches wurde gleichzeitig von 4 Beobachtern verfolgt, während der Gehülfe die ausgerufenen Zahlen notirte. Während ich dicht am Apparate sitzend die Vorgänge in der Röhre r beobachte und den Commutator umlegte, las Hr. Novak auf ein von mir durch die Glocke gegebenes Zeichen den Galvanometer und Hr. Kusminski das Manometer ab, während Hr. Aleksandrowicz den Druck regulirte.

Jede Ablesung am Galvanometer wurde mit zwei nächstfolgenden combinirt und duraus der Ausschlag berechnet Um einen Begriff von dem Gange der Beobachtung zu geben, schreibe ich hier den Anfang des Protocolls eines Versuches aus. Dazu wähle ich

#### Versuche mit Stickstoff.

Stickstoff wurde aus atmosphärischer Luft mit Hulfe von in Glühhitze erhaltenen Kupferspähnen bereitet. Die ersten Versuche lieferten viel höhere Drucke als die in dieser Abhandlung mitgetheilten, bis mich eine Bemerkung Jolly's belehrte, dass die Fehlerquelle in dem durch die Kupferspähne absorbirten Wasserstoffgase lag. Diese Fehlerquelle wurde beseitigt und das Gas wurde zuerst nur in die dritte (in der Figur nicht angegebene) und zweite Flasche des Condensationsapparates gepumpt, in welche man frisch ge-

<sup>11</sup> t. Jolly, Wied. Ann. 6, p. 529 4879.

trocknetes, noch heisses Chlorcalcium vorher hineingelegt hatte. Nachdem das tras die übrig gebliebene etwaige Feuchtigkeit dort zurückgelassen hatte, wurde es in die erste Flusche a geleitet, welche Natrium in Stücken enthielt. Dort konnte es die etwaigen Spuren von Sauerstoff abgeben.

Aus dem nachfolgenden Anfang des Protocolls eines Versuches kann man sich eine genaue Vorstellung von der ganzen Methode verschaffen.

At esung nam (28 482) (28 482) named in	Attention in there are the control of the control o		Absenting art Mano- meter di om	Eat. spreeheader liriek in Atmo- sphikern	Dur untilere Dru-L in Al no ephkress
5 054 13.25 59.50 13.22 59.51 13.20 59.50 13.18 59.52 13.20 59.52	23,135 21,173 23,148 23,15 23,153 23,155 23,165 23,165 23,16 23,16 23,16 23,16		52.10 52.95 52.90 51.95 51.90 51.44 51.72 51.60 51.34	30,84 30,75 30,75 30,75 30,60 80,58 30,47 1 30,40 30,34 30,30	80,704
14 20 59 55 14 22 59 54 18,15	23 164 23,17 23,163 23,175 28,198	- 147 <i>\$</i> >	51,49 51,49 51,35 51,80 51,24	30,10 30,17 30,19 30,13 23,39	30,102

U. S. W.

Von den nachfolgenden Zahlen bildet eine jede — mit Ausnahme der Zahlen, welche den kritischen Zustand charakterisiren — den Mittelwerth aus zehn nacheinander folgenden Ablesungen -- wo nicht das Entgegengesetzte bemerkt ist — bei sehr langsam sinkendem Drucke. Der horizontale Strich zwischen den Zahlen bedeutet, dass der Versuch an dieser Stelle entweder unterbrochen, oder dass eine neue Früssigkeitsmenge zur Beobachtung genommen wurde, oder auch dass die neue Reihe von einem anderen Beobachtungstage herrührt.

Kritischer Zustand.

Hat man das Gas bei etwa - 146° verfüssigt und dann dur h den höheren Gasdruck die Flüssigkeit unsichtbar gemacht, so wird bei sehr langsamer Abnahme des Druckes der Meniscus sichtbar bei der Temperatur von – 146.25 bis – 146.45" und unter dem Druck von 82,29 bis 32,73 Atmosphären. Beim Hinzulassen des Gases wird der Meniscus undeutlich bei den Drucken von 33 bis 34 Atmosphären. Man erkennt aber das Vorhandensein der Flüssigkeit noch unter dem Drucke von 35 Atmosphären. Die Temperatur steigt dann bis – 145,5°.

In den folgenden Tabellen bezeichnet & die Temperatur.
d den Druck in Atmosphären.

S	pannki	raftecur	ve des	gesättig	gten D	ampfes.	
B	d	0	d	4	-1	at .	1
146 35	32,03	-146,%5 147,3	\$1,47 80,556	-150,9 151,01	24 996 24,465	-154 %5 1% 155,04 1%	
146,45 146,55 146,5 146,7	32,40 32,24 82,14 81,98	147,67 145,02 148,205 148,91 149,15	29,945 29,922 29,65T 21,485 26,96T	151,2 151,85 151,79 151,925	23,578 23,217 23,047 23,877	-157,675 15 158,125 17 158,85 14 159,61 14	15 15 15
- 146,91 147,0 147,45 147,85 147,72	81,25 30,505 30,59 8 (305 30,025	-149,925 150,05 150,4	26,414 25.93 25,098	- 159,24 159,46 158,67 158,95 151,15 154,35	21.452 21.103 20.672 19.521 19.927 18,693	-157.54 15 158,57 11	early (0)

Die Zahlen für Spannkräfte, welche man beim aufstei genden Drucke erhält, das heisst wenn die Flüssigkeit wärmer wird, sind ein wenig grösser, wie man es aus der nachfolgenden Reihe sieht:

Bei einem Versuche konnte die Auflösung der Flüssigkeit in Gas sehr scharf beobachtet werden. Die Flüssigkeit wurde unweit unterhalb — 146° erhalten und dann durch Verlangsamung des Ganges der Pumpen und Hinzulassung des Gases immer wärmer gemacht. Nachdem das Galvanometer — 145.2° und das Manometer 33,7 Atmosphären zeigten und die Flüssigkeit nur durch die Lichtbrechung erkannt werden konnte, wurde der Hahn e' so gelassen, dass der Druck ganz

<sup>1)</sup> Beobschtungen beim ansteigenden Druck

<sup>21</sup> Ebenno.

langsam abnahm, während die Temperatur der Flüssigkeit infolge der erwarmenden Einwirkung des Aethylens noch immer stieg. Nun wurde beobachtet:

> # -143,2 145,15 144,9° C. d 33,67 33,62 33,36 38,47

Von der Flüssigkeit sah man dann nichts. Einen Augenblick nachher ging durch den Theil der Röhre, welcher die Flüssigkeit enthielt, ein Schimmer, der Meniscus wurde deutlich, das Niveau der Flüssigkeit sank tief hinunter, indem der grösste Theil in eine dicke Dampfwolke verwandelt wurde. Das Manometer zeigte 33,33 Atmosphären. Die ganze Umwandlung vollzog sich also ohne Druckänderung. Sofort begonnene Bestimmungen zeigten, dass die Temperatur des übrig gebliebenen Restes der Flüssigkeit sank, und man beobachtete weiter:

θ -- 145.2 145.1 145.2 145.25 145.3 145.55 145.85° C. d 33.3 33.28 33.21 33.34 33.24 33.21 33.34

bis zuletzt gleich nach der letzten Ablesung alle Flüssigkeit verdampft war.

Die kleinen Abweichungen zwischen den einzelnen Versuchen werden wohl ihren Grund — abgesehen von der eventuellen ungleichen Verunreinigung des Gases — in dem Umstande finden, dass man nicht immer mit einer gleich grossen Menge der Flüssigkeit zu thun hat und dass demzufolge die Druckänderung und die Aenderung der Temperatur nicht immer mit der gleichen Geschwindigkeit vor sielt gehen. Die definitive Feststellung der Spannkraftscurve muss deshalb einer künftigen Untersuchung vorbehalten werden.

## Versuche mit Kohlenoxyd

Das Kohlenoxyd wurde durch Erhitzen von Ameisensäure mit concentrirter Schwefelsäure erhalten. Dieses Gas verflüssigt sich leichter als der Stickstoff.

## Der kritische Zustand.

Bei sehr langsamer Abnahme des Druckes wurde der Meniscus sichtbar bei --141.1° und unter dem Drucke von 34,6 bis 35,2 Atmosphären. Beim Hinzulassen des Gases konnte die Fiüssigkeit durch Lichtbrechung erkannt werden und verschwand zuletzt unter dem Drucke von 39 Atmosphären, wober das Galvanometer - 140,2° zeigte.

Spannkraftseurve des gesättigten Damptes.

Pa	4	49	- 1	àc	4	N	1,
- 141 26	34.42	140.08	20.33	-156583	1200	- 150,50	15.34
141 3	33.67	140.53	2113	111 15	19.74	156.31	1 14
1421	32 17	147,50	24.1	151,29	19,39	175.54	14.5
14-63	32. 41	147.73	23,39	151,6	18,91	154,78	14 63
1442	31 31	119.25	22 17	151.95	18.6	157.43	14.55
14 < 55	36 43	144 53	22.35			157.46	12-1
14 57	20 (0	14 1,3	21,32			155 23	13.41
144.47	29,27	149 35	21.6	-154.73	[유발]	138 15	134
14 - 17	25,09	14 1 = 3	211 44	154 %6	16,12	1 1ste, 7	1일 박)
147/75	27.42	1 10 3	2: 50	15 - 10	15.87		
		154-35	20.45	135 13	13,70		

Das Kohlenoxyd siedet unter dem atmosphärischen Druck ber - 1807 C.

### Versuche mit Sauerstoff.

Die exacte Ermittelung der Spannkrastscurve des gesättigten Dampfes beim Sauerstoff ist mit viel grösseren Schwierigkeiten als diejenige des Stickstoffs verbunden, da man reinen Sauerstoff viel schwieriger als reinen Stickatoff erhält. Denn der Sauerstoff wird durch die Spuren der Luft, welche im Wasser des Gasometers bleiben, und durch eventuelle undichte Verschlüsse viel mehr als der Stickstoff verunreinigt. Durch diese Verunreinigung wird die Spannkraft des Dampfes erhöht. Aus diesem Grunde ist auch der Siedepunkt des Sauerstoffs unter dem atmosphärischen Drucke viel größeren Schwankungen als derjenige des Stickstoffs unterworfen und eignet sich viel weniger zur Vornahme der Calibrirung eines Thermoelementes als derjenige des Stickstoffs. Verflüssigt man den durch die Luft auf ungleiche Weise verunreinigten Sauerstoff, so erhält man eine ganze Reihe von Curven, die umsomehr sich derjenigen der Luft nähern, je unreiner das Gas ist.

Die nachstehenden Zahlen beziehen sich auf den Theil der Curve zwischen 123,7 und 145,89° C. Den übrigen Theil werde ich demnächst in einem Nachtrag zu dieser Abhandlung veröffentlichen. Der kritische Druck beim Sauerstoff hegt, wie ich bereits früher angegeben habe, bei 50 Atmosphären, die kritische Temperatur in der Nahe von — 1187. 1)

Spannkraftscurve des gesättigten Dampfes.

н	d		d		ď	h	ď
123,7	43,5	-129,0	38,61	-133,2	31,675	-142,48	19,97
124,3	42,4	129,2	36,22	134,1	30,51	142 97	19,39
124.85	41 47	129,3	35,91	135,1	29,46	143,27	19.10
125,2	41,15	129,5	35 55	135.85	28,395	143,95	18,61
125 4	40,75	129,8	35.28	136,8	27,35	144,17	18,22
125,55	40,34	130,1	34,36	137,65	26 45	144,4	17,98
124,9	39,94	180,05	84,65	138,15	25,65	144,68	17,74
126,3	39,41	130,8	34,32	138.7	25,04	144 97	17,38
126,8	8 (,00	131,1	84,07			145,2	17,20
127,1	3× 68	131,45	93,75	140,46	28,28	145,3	17,02
127,5	3× 25	181,7	33 49	140 69	22.00	145,52	16,48
127,85	37,94	131,8	33,19	141,17	21,21	145.72	16.62
128,0	37 59	132,0	32 94	141,58	20,63	145,89	16.37
128.6	37,03	132,3	32,65				
		132,6	82,4				

Der Sauerstoff siedet unter dem atmosphärischen Druck (beim Barometerstand = 74 cm) bei -181,5° C.

In Bezug auf die Siedetemperatur der permanenten Gase unter dem atmosphärischen Druck ist dieselbe Bemerkung zu machen, welche ich in Bezug auf das Aethylen bereits gemacht habe. 1, Hat man nämlich das verflüssigte permanente Gas unter den atmosphärischen Druck gebracht, so ist die Siedetemperatur im ersten Augenblicke tiefer als im weiteren Verlaufe des Versuches.

Die hier angegebenen Siedetemperaturen beziehen sich immer auf das erste Stadium des Versuches.

v. Wroblewski, Compt. rend 97, p. 309-310 1893. Ich habe dort die kritische Temperatur als erste Nüberung zu - 113° C. angegeben. Die Fehler der Bestimmung lag in dem bereits in Wied. Ann. 20, p. 255
 1883 angegebenen Grunde, und zwar darin, dass das Wasserstofftbermometer ausserhalb des Verfüssigungsapparates im Aethylen sich befind Mit demselben Fehler sind die dort mitgetbeiten Verfüssigungsdrucke behaftet.

<sup>2)</sup> v Wroblewski u Olszewski, Wied Ann. 20. p. 251. 1483. Ann d Phys. u Chem. N F. XXV

Das Verhalten der atmosphärischen Luft.

Bei der obertächlichen Betrachtung verhält sich die atmosphärische Luft wie ein einfaches Gas. Ihr gesättigter Dampf scheint seine eigene Spannkraftscurve zu haben, die der Zusammensetzung der Luft entsprechend viel näher an die Curve des Stickstoffes als an diejenige des Sauerstoffeskommt und sich nur wenig von derjenigen des Kohlenoxydes unterscheidet. Die nähere Betrachtung zeigt aber, dass hier viel complicirtere Erscheinungen auftreten, deren Beschreibung ich mur für eine besondere Publication vorbehalte.

Unter dem atmosphärischen Druck siedet die Luft nicht so ruhig wie Sauerstoff und Stickstoff, und die rasche Aenderung der Siedetemperatur deutet darauf hin, dass die

Flussigkeit immer stickstoffarmer wird.

Dies sieht man am besten aus folgenden 2 Versuchen w; ist die Ablesung am Galvanometer in Centimetern und « der aus 3 Ablesungen berechnete Ausschlag in Centimetern. Barometerstand = 74,11 cm.

Erst	er V	ersuch	Zwe	iter Ve	rsuch
90:	807	er e	m <sub>1</sub>	10	Ð
11,70	-	-	11.60	_	_
67,42	27.79	-191,4	67,20	27,73	-190,8
11,98	27 49	190,4	11.90	27,62	189,7
67,30	27,68	190.3	67,10	27,57	189,2
12,08	27,61	189,6	12 00	27,54	188,9
67,30	27,59	189,4	67,06	27,50	188,5
12,18	27,54	188,9	12,10	27,47	188,15
67,22	27,52	188,7	67,04	27,47	188 15
12,18	27,52	188,7	12,10	27,47	188,15
NT 32	27,51	185,6	87.04	27,47	184,15
12,22	27,49	188,4	12 10	27,46	189.05
57.1%	27,47	188,2	67,60		
12,25	27.45	188,0			
67,10	27,40	187,43			
12.35	27,87	187,1			
67,08		-			

Ist die Luft nicht kohlensäurefrei, oder haben sich bem vorhergehenden Verdampfen der Luft die Kohlensäurekrystalle auf dem Boden der Verflüssigungsröhre gebildet so schäumt die flüssige Luft unter dem atmosphärischen Druck ganz gewaltig und wird infolge der in der ganzen Flüssigkeit stattnindenden Schaumbildung vollständig undurchsichtig.

§ 8. Die Eracheinungen im Vacuum, Erstarrbarkeit der Gase. Die Greuze für die Brauchbarkeit des Wasserstoffthermometers.

Lässt man die permanenten Gase unter der Luftpumpe verdampien, so sinkt ihre Siedetemperatur — wie ich bereits früher gezeigt habe<sup>1</sup>) — unter — 200° C. Zu diesem Zwecke wird zuerst das Luftmanometer o abgesperrt, und dann der kleine Hahn o' mit dem Dreiweghahn o' durch ein weites Bleirohr verbunden. Durch die passende Stellung des Hahnes o' wird die zweite Branchi'sche Pumpe von dem Apparate mit dem Aethylen getrennt.

Während auf diese Weise die erste Pumpe immer das Aethylen verdampft, kann die zweite zum Verdampfen des permanenten Gases benutzt werden. Man hat dazu nur den Hahn e vorsichtig aufzumachen. Nach einigen Pumpenumdrehungen sinkt die Spannkraft des permanenten Gases auf ein paar Centimeter Quecksilberdruck. Zur Messung dieses Druckes dient das zweite kleine Manometer x', welches ganz nahe am Apparate angebracht ist.

Folgende Tabelle, in welcher d — ebenso wie in allen Tabellen des § 8 — die Spannkraft in Centimetern Queck-silberdruck bedeutet, enthält:

#### Versuche mit Sauerstoff.

d	н	d	N	d	Ŋ	d	El
74,0	-151.5	7.8	-192,13	5,9	195,13	4.0	-197.7
16,0	190 0	7,7	192,3	3,8	193,5	3,5	198,0
14,0	190 (6	7,6	192,31	5,6	195,44	3.6	108,3
\$0,0	190,5	7,4	192,58	5,4	195,5	3,2	19h,7
9,0	190,5	7,1	192,71	5,2	196,0	3,0	158,7
6,6	[81,35	6,5	193,1	5,0	190,2	2,8	199,25
F.4	191,6	6,4	193,58	4,7	196,3	2,6	199,4
n,9	191,58	6,2	194,2	4,4	196,6	2,2	199,95
H,O	191,98	8,0	194,4	4,2	197,5	2,0	200,4

Das Gas bis zu diesen Verdünnungen behält den flüssigen Zustand und bleibt, sofern es durch Kohlensäure nicht verunreinigt ist — durchsichtig. Das lebhafte Sieden und Blasenbilden hört bei sehr niedrigen Drucken ganz auf, und die Flüssigkeit verbleibt ganz ruhig. Es unterliegt keinem Zweifel, dass bei weiterer Evacuirung die Temperatur des Sauerstoffes noch um ein paar Grad sinken wird.

<sup>11</sup> v. Wroblewski, Compt. rend. 98, p. 985, 1884,

Diese Versuche schliessen nicht die Möglichkeit der von Pictet behaupteten Erstarrbarkeit des Sauerstoffs aus.\(^1\) Folgende Tabelle enthält die Resultate der

#### Versuche mit Stickstoff

d 74,0 12,0 10,0 8,0 7,0 6,0 4,2 "-193 201 201,25 101,7 202,5 204 206 °C.

Bei dem Drucke von 7 bis 6 cm und bei der Temperatur von etwa – 203° C. erfolgt die Erstarrung des Stickstoffs. Die Erstarrung geht nicht immer auf eine und dieselbe Weise vor sich. Manchmal bilden sich zuerst auf der Oberfläche der Flussigkeit die Krystalle, welche gleich nach dem Boden der Röhre herunter sinken. Ein anderes mai bildet sich auf der Oberfläche auf einmal eine feste Kruste, während der Stickstoff unterhalb dieser Kruste noch flüssig bleibt. Beim weiteren Evacuiren wird die Kruste durch den Dampfdruck von unten zerrissen und die übrig gebliebene Flüssigkeit zerspritzt.<sup>2</sup>)

Noch leichter lässt sich das Kohlenoxyd durch Evscuiren zum Erstarren bringen. Die nachstehende Tabelle gibt eine Hebersicht der Erscheinungen.

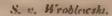
## Versuche mit Kohlenoxyd.

# 73,5 16,0 14,0 12,0 11,2 10,0 6,0 4,0 # +190 197,5 198,4 198,5 198,75 198,83 201,5 201,6

Vor dem Erstarren wird das Kohlenoxyd zähe, dickflüssig und trüb. Bei dem Druck von 10 bis 9 cm und bei

1) Pictet, Ann de chim. et de phys. 45) 13. p. 214, 1878.

<sup>2</sup> Die Stickstoffkrystalle habe ich früher bei einer anderen Gelegenbeit beobachtet. Der Stickstoff wurde in einer sehr dünnwandigen engen Glassohre dem Drucke von 213 Atmosphären ausgesetzt und durch die Sauerstoffexpansion abgekühlt. In dem Augenblicke, wo die Verflassgung vor sich ging, wurde er plötzlich vom Drucke befreit. Ein Thei Stickstoff wurde dabei fest. Die herabfallenden Krystalle konute ich nicht für Wasserdampfkrystalle halten, da die charakteristische Ford des sechsseitigen Sterues fehlte. Bei der Wiederholung des Versucht ging der Apparat durch Explosion in Trümmer. Ich habe diese Versuche der hohen Gefährlichkeit wegen nicht weiter fortgesetzt, meise mehr, als durch an iere Versuche die Erstarrbarkeit des Stickstoffs nusser Zweifel gestellt wurde.



der Temperatur von etwa —199° C. erfolgt die Erstarrung dadurch, dass sich zuerst eine feste Kruste auf der Obertäche der Flüssigkeit bildet. Dann wird die Kruste zerrissen, die ganze Flüssigkeit zerspritzt und in einen Haufen von Krystallen verwandelt. Trennt man jetzt den Apparat von der Pumpe, und lässt man das gasförmige Kohlenoxyd ein, so schmelzen die Krystalle.

Es ist im höchsten Grade interessant, dass das Wasserstoffthermometer, dessen Angaben mit denjenigen des gewählten thermoelectrischen Elements bis — 193° ('. übereinstimmen, hier bereits abzuweichen beginnt. Misst man die Erstarrungstemperaturen des Stickstoffs und Kohlenoxyds mit dem Wasserstoffthermometer, so erhält man viel niedrigere Werthe. Dieser Umstand deutet darauf hin, dass man sich hier der Verflüssigungstemperatur des Wasserstoffs nähert. Das die Thermometerkugel ausfüllende Gas zicht sich stärker zusammen, als es die auf dem Mariotte-(iay-Lussae'schen tiesetze basirte Thermometergleichung voranssetzt.

Der directe Versuch bestätigt diese Folgerung.

Die auf die Ueberführung des Wasserstoffs in den fitssigen Zustand bezüglichen Versuche durch Anwendung des Sauerstoffs und Stickstoffs als Kältemittel, wie auch die zur Ermittelung der Siedetemperatur des flüssigen Wasserstoffs angestellten Versuche werde ich in einer besonderen Abhandlung publiciren und die dazu construirten Apparate beschreiben.

§ 9. Schlussbemerkungen. Die Methoden der Zukunft.

Ich erlaube mir noch ein paar Bemerkungen.

Die in dieser Abhandlung beschriebenen Methoden sollen den Ausgangspunkt für eine Reihe von Untersuchungen auf dem Gebiete der Physik und Chemie bilden. Die Erscheinungen, mit welchen sich diese beiden Zweige der Naturwissenschaften beschäftigen, and bis jetzt nur bei gewohnlichen oder in einzelnen Fällen bei sehr hohen Temperaturen studirt worden. Es eröffnet sich jetzt für die Forschung die Möglichkeit, die meisten dieser Erscheinungen bei niedrigen

Temperaturen zu studiren. Und während die Temperaturscala nach oben uns vorläufig keine Einschränkung bietet, eröffnet sich hier nach unten die Möglichkeit, die Erscheinungen bis zu einem Stadium studiren zu können, welcheidurch die Natur der Stoffe, aus welchen unsere Erdkugelbesteht, eine Grenze für unsere Wissenschaft bildet. In dieser Richtung kann also unser Wissen bis zu einem abgeschlossenen Ganzen gebracht werden. Denn über das Temperaturminimum, welches mit Hülfe des siedenden Wasserstoffes erreicht werden kann, werden wir nie herunterkommen können.

Die in dieser Abhandlung beschriebenen Methoden sind aus der Nothwendigkeit entsprungen, das ganze Gebiet zuerst mit möglichst geringen Mitteln abzusuchen, um erst nach der Feststellung des Sachverhaltes die Versuche in größerem Maassstabe durchführen zu können. Diese Methoden reichen wie gesagt, vollständig aus, um eine Menge von Erscheinungen zu untersuchen. Sie sind aber nicht die Methoden der Zukunft. Sie sind noch viel zu complicirt und an eine Reihe von einschränkenden Bedingungen gebunden. Der in dieser Abhandlung beschriebene Apparat gestattet, unter der Luftpumpe ein paar Cubikcentimeter Sauerstoff eine Viertelstunde lang oder Stickstoff minutenlang zu haben. Durch passende Wahl von Glasröhren wird man diese Menge vielleicht um noch ein paar Cubikcentimeter vergrößeren können. Aber weiter kommt man sicher in dieser Hinsicht nicht.

Im ersten Augenblicke scheint es, dass man einen Schritt vorwärts würde machen können, wenn man das Aethylen durch Sumpfgas ersetzen könnte. Die Siedetemperatur des Sumpfgases unter dem atmosphärischen Druck beträgt nach meinen Messungen — 155 bis — 160° C. Könnte man dieses Gas in so grossen Mengen wie das Aethylen flüssig erhalten so würde man bedeutend weitere Röhren für Sauerstoff oder Stickstoff nehmen können, ohne die Gefahr des Zerspringens der Röhre zu befürchten. Leider ist die Darstellung des Sumpfgases aus Zinkmethyl viel zu theuer, und die Darstellung aus essigsaurem Natron und Natronkalk hefert für Verflüssigungszwecke viel zu unreines Gas. Solange neue

und billigere Methoden, das vollständig reine Sumpigas zu liefern, nicht gefunden worden sind, kann keine Rede von Versuchen in grösserem Maassatabe mit diesem Gase sein. Dazu darf nicht vergessen worden, dass zur Verfütssigung des Sumpigases das flüssige Aethylen oder wenigstens die im Vacuum verdampfende Kohlensäure nöthig ist. Das Verfahren wird deshalb nicht einfacher, sondern noch complicirter.

Der wesentliche Schritt vorwärts, welcher in Hinsicht der Erweiterung der Methode zu thun wäre, ist, sie soweit abzuändern, dass man im Stande wäre, den Sauerstoff so zu gressen, wie man heutzutage das Aethylen giesst. Dass der Sauerstoff gegossen werden kann, dafür sprechen sowohl die Versuche von Pictet, wie die meinigen, die ich in dieser Richtung bis jetzt allerdings nur in allerkleinstem Maassstahe durchführen konnte, und die ich bei einer anderen Gelegenheit beschreiben werde.

Die Sache wird aber meiner Ueberzeugung nach nur dann mit Erfolg durchzuführen sein, wenn man zu den Pictet'schen Methoden zurückkommen wird, d. h., wenn man continuirlich wirkende Apparate benutzen und durch den Kreislauf von mehreren verflüssigten Gasen eine Cascade von den Temperaturen herstellen wird, von denen die letzte Stufe der Strom des flüssigen Sauerstoffes bildet.

Phys. Inst. d. Univ. Krakau.

<sup>1.</sup> Daher kann ich der Empfehlung dieses Mittels durch Caillotet (Con.pt. rend. 98. p. 1565. 1884) nicht besplichten, worauf ich in der demnächst zu publieirenden Abhandlung über die Eigenschaften des flüssigen Sumpfgases zurückkommen werde. Die von Hrn. Caillotet hieran geknupften Angrilfe (Compt. rend. 99. p. 213. 1884), sowie die Bemerkungen des Hrn. Jamin (Revue des deux Mondes vom 1. Sept. 1884) habe ich in meiner Schrift: "Comment Pair a été liquéfié. Reponse à l'article de M. J. Jamin par M. S. de Wroblewski, Paris, Labrairie du Luxembourg, 1885, beantwortet.

# IV. Verdünnungswärme und Wärmecapacität von Salzlösungen; von Leo Arons.

In der folgenden kleinen Mittheilung sind Ueberlegungen enthalten, die sich darbieten, wenn man die von Kirchhoff und v. Helmholtz abgeleiteten theoretischen Formeln für das Verhalten wässeriger Salzlösungen bei weiterer Verdunnung mit den vorliegenden Versuchsdaten vergleicht.

Kirchhoff') bat aus dem Begriff der Wirkungsfunction Formeln sowohl für die bei Lösung von Salzen in Wasser sich entwickelnde Wärmemenge, als auch für die Wärmecapacität solcher Lösungen aufgestellt. Er hat die erstere in einer spateren Arbeith zu verificiren gesucht, indem er aus Thomsen's Beobachtungen über die Verdünnungswärmvon H.SO.-Lösungen mit Hülfe seiner Formel die Damofspannungen über solchen Lösungen berechnete und sie mit den von Regnault gemessenen verglich: freilich musste er eine in die Rechnung eingehende Constante für jede Concentration aus einer der Regnault'schen Beobachtungen berechnen. Gegen dieses Verfahren protestirte Wüllner, der auch darauf aufmerksam machte, dass nach den von ihm aufgestellten empirischen Formeln für die Dampfspannungen über Salzlösungen Kirchhoff's Formel mit den Erscheinungen in Widerspruch stehe.

Die nämliche Formel hat v. Helmholtz<sup>4</sup>) aus dem Begriff der freien Energie abgeleitet, indem er darauf hinweist, dass es vielleicht möglich sei, aus den Verdünnungswärmen auf die Dampfspannungsänderungen mit der Temperatur Ruckschlüsse zu machen.

Hr. Geheimrath v. Helmholtz veranlasste mich nun im Sommer 1888, in dem ich unter seiner gütigen Leitung arbeitete, dieser Frage näher zu treten.

Wir werden uns im Verlauf der Untersuchung auf eine

<sup>1)</sup> Kirchhoff, Abh. p. 454; Pogg. Ann. 108, p. 177, 1858.

<sup>2)</sup> Kirchhoff, Abh. p. 485; Pogg Ann. 104, p. 612 1858

<sup>5:</sup> Wallner, Pogg. Ann. 104. p. 478, 1858.

<sup>4)</sup> v. Holmholtz, Berl. Monatsber. Juli 1882. p. 498. Gesammelte Abb. 2. p. 957.

Reihe empirischer physikalischer Gesetze zu stützen haben und durch die Rechnung auf Schlüsse bezüglich ihrer Genauigkeit geführt werden.

Wir bedürsen zunächst der Kenntniss der Spannungsanderungen des gesättigten Wasserdampfes mit der Temperatur. Es ist bisher nicht gelungen, aus den so gut übereinstimmenden Messungen von Regnault und Magnus eine Formel für diese Grösse aufzustellen, die allen Anforderungen genügte. Wir entnehmen deshalb die Werthe der Differentialquotienten ô P ô & und ô P ô & aus einer durch Interpolation von Grad zu Grad aufgestellten Tabelle, wie war sie z. B. bei Clausius!) finden. Wir werden gelegentlich der Berechnung der Wärmecapacitäten von Salzlösungen sehen, dass für dieselben der Werth von 62 P 8 42 nicht hinlänglich genau feststeht, um Willkürhebkeit bei der Berechnung auszuschliessen. Wir bedürfen ferner eines Gesetzes für die Aenderung der Dampfspannung über Salzlösungen. Ein solches hat zunächst von Babo2) aufgestellt. Sein Gesetz bezieht sich auf die Aenderung der Dampfspapnung mit der Temperatur, und er findet, dass für eine Renhe von Salzlosungen p = AP ist, wenn P und p die Dampfspannungen über reinem Wasser und der Salzlösung bei gleicher Temperatur bezeichnen; A ist eine Constante. Mit diesem Gesetz kommen wir für die Berechnung der Wärmecapacitaten von Salzlösungen aus; für die Verdunnungswärme bedürfen wir eines anderen Gesetzes, welches die Constante A als Function der Concentration der Lösung angibt. Ein solches hat Wüllner3, aufgestellt, der aber gleichzeitig fand, dass nicht alle Salzlösungen dem Babo'schen Gesetz gehorchen. Die allgemeinste Form des Wüllner'schen Gesetzes lautet:

$$(1) P-p=amP+bmP^2.$$

Hierin haben P und p die nämliche Bedeutung wie oben, a und b sind Constanten (b kann auch negativ sein), m ist gleich 100s, w zu setzen, worin s und w die Gewichte des in

<sup>1)</sup> Clausius, Mech. Wärmetheorie, p. 307, 1876,

<sup>2)</sup> von Babo, Ber. d. Preib. Naturf. 17 n. 18.

<sup>8)</sup> Wallner, Pogg. Ann. 106, p. 529, 1858.

der Lösung enthaltenen Salzes und Wassers bezeichnen. Ist b = 0, so erhalten wir das Babo'sche Gesetz, indem wir schreiben:  $p = (1 - am \ P)$ .

Endlich haben sowohl Kirchhoff als v. Helmholtz für den Wasserdampf von niedriger Spannung das Mariotte-Gay-Lussac'sche Gesetz bis zur Maximalspannung als gultig angenommen. Es wird aich zunächst zeigen, dass die so erhaltene Formel von vornherein im Gegensatz zu den von Babo und Wüllner aufgestellten Gesetzen steht; ich habe deshalb auf Veranlassung des Hrn. Geheimrath v. Helmholtz die weiteren Rechnungen mit einer Formel ausgeführt die man erhält, wenn man statt des Mariotte-Gay-Lussacschen Gesetzes eine von Clausius!) aufgestellte Beziehung in die Ableitung einführt. Die ursprüngliche Formel von v. Helmholtz für die Verdünnungswärme lautet:

(2) 
$$W = -R \vartheta^2 \frac{\partial}{\partial \vartheta} \log \frac{P}{p},$$

worin W die Wärmetönung beim Zusatz der Wassermenge I zu einer Salzlösung, über welcher der Druck p herrscht, bezeichnet, und R die Constante des Gasgesetzes ist. Nun hat Wüllner für NaCl und Na<sub>2</sub>SO<sub>4</sub> das Babo'sche Gesetz bestätigt gefunden; demnach ist P/p eine Constante, und die Wärmetönung bei der Verdünnung müsste Null sein, während Thomsen<sup>3</sup>, eine solche gemessen hat. Aber auch für die Salze, bei denen Wüllner Abweichung vom Babo'schen Gesetz gefunden hat, stimmen die zu berechnenden Werthe mit den gemessenen nicht überein. Wir erhalten aus Formel (1):

$$\frac{\partial}{\partial \theta} \log \frac{P}{P} = \frac{1}{P} \frac{\partial P}{\partial \theta} - \frac{1}{P} \frac{\partial P}{\partial \theta} = \frac{\partial P}{\partial \theta} \frac{100 \, eb}{\theta \, \theta \, w - 100 \, eb} \frac{P}{100 \, eb}$$

Wollen wir die Wärmemenge berechnen, die sich bei der Verdünnung einer Lösung von s.g. NaNO<sub>3</sub> in w<sub>1</sub> g. Wasser auf eine solche in w<sub>2</sub> g. Wasser ergibt, so erhalten wir:

(3) 
$$Q = -\frac{R}{k} \mathcal{F}^{2} \frac{\partial P}{\partial \mathcal{F}} 100 sb \log_{10} \frac{w_{1} - 100 \sigma s - 100 \delta s P}{w_{1} - 100 \sigma s - 100 \delta s P}, \frac{1}{\log_{10} e}$$

<sup>1)</sup> Clausius, Wied. Ann. 14, p. 703, 1881.

<sup>2)</sup> Thomsen, Thermochem. Untere, 8. p. 87 u. 108.

worin & das mechanische Wärmeäquivalent bedeutet. Wendet man diese Formel auf die Thomsen'schen Versuche') an, so bat man folgende numerische Einsetzungen zu machen:

R=47.05 (nach Clausius<sup>2</sup>) von der Dimension eines Metera.<sup>3</sup>)

 $\vartheta=291^{\circ}$  entsprechend der Durchschnittstemperatur von 18° bei Thomsen.

$$P = 15.36 \text{ mm}$$

$$\frac{\theta P}{\delta D} = 0.962$$
nach Clausius.

a = 0.00315b = 0.0000000907 nach Wallner.

s=85 g and für die w macheinander

m = 108, 450, 900, 1800, 3600 g.

Die Bestimmung von P und dP de nach Quecksilberhöhen ist in Uebereinstimmung mit den Dimensionen der Wüllner'schen Constanten; auf das Resultat hat diese Ausdrucksweise keinen Einfluss.

A ist für die Verwandlung von Grammmetern in Grammcalorien gleich 424 zu setzen. Die folgende Tabelle ist aus Thomsen entnommen, die eingeklammerten Werthe geben die nach (3) berechneten entsprechenden Grössen. Bei Thomsen sind die Concentrationsverhältnisse in Moleculen gegeben.

tct =	450	900	1800	3600
cc, = 105	-1131 (- 115)	- 1644 ( 166)	-1980 (- 215)	-2096 (- 264)
450	draw .	- 513 (- 50,9)	799 (- 99,9)	- 985 (- 149)
900	_	-	286	- 452 (- 98.2)
1800		-	-	- 166 (- 48,8)

Wie man sieht, sind die Zahlen gar nicht vergleichbar; der berechnete Werth schwankt von 1/10 des beobachteten für die ersten bis fast zu 1/2 für die letzten Zahlen.

<sup>1)</sup> Thomsen, L. c. p. 97.

<sup>2)</sup> Clausius, Wied. Ann. 14. p. 203. 1881.

<sup>3)</sup> Herwig, absolut. Mass. p. 47.

<sup>4)</sup> Clausius, Mech. Warmeth. p. 305.

Hr. Geheimrath v. Helmholtz veraniasste mich nun, zu untersuchen, ob vielleicht die Einführung einer von Clausius') aufgestellten Beziehung an Stelle des Mariotte-Gay-Lussac'schen Gesetzes in die Ableitung der Formel eine bessere Uebereinstimmung zwischen Theorie und Versuch biete. Die Clausius'sche Formel heisst:

$$R = 47.05, \qquad \alpha = 0.000754, \qquad \beta = 0.001315, \\ A = 45.17, \qquad \alpha = 1.24, \qquad B = 0.00737,$$

zu setzen sind, wenn e in Cubikmetern, p in Kilogrammen ausgedrückt werden. Die hieraus für W resultirende Formel (entsprechend p. 410) lautet:

$$(2^{n}) W = vp - VP - B \begin{pmatrix} \partial P & \sigma - \frac{\partial P}{\partial \theta} V \end{pmatrix} - R B^{(1-n)} n A \begin{pmatrix} 1 & 1 \\ v + \beta & V + \delta \end{pmatrix}$$

Diese Formel widerspricht nicht mehr nothwendig dem Baboschen Gesetz. Wollen wir sie aber numerisch prüfen, wie müssen wir die Wüllner'sche Beziehung einführen, um integriren zu können. Die größste Anzahl von Bestimmungen hat Thomsen<sup>2</sup>) für NaCl-Lösungen gemacht. Für NaCl ist nach Wüllner:

$$p = cP = (1 - 0.006 \,\mathrm{m}) \, P, \qquad \frac{\partial p}{\partial \theta} = c \, \frac{\partial P}{\partial \theta}.$$

Im letzten Glied, das ohnehin nur geringen Einfluss hat, vernachlassigen wir 3 gegen v und V und erhalten:

$$W = -\left(\vartheta \frac{\partial P}{\partial \vartheta} - P\right)(v v - V) + \kappa R A \vartheta^{(1+\kappa)} \frac{v - V}{vV}.$$

Für die Integration nach w ist e variabel als Function von m; ebenfalls als Function von w ist e auszudrücken. V könnte man aus den Clausius'schen Tafeln entnehmen, doch ist bei der niedrigen Temperatur (Thomsen stellte seine Vertuche bei 25° an) die Interpolation zu ungenau. Ich habe aus der Clausius'schen Formel für eine Reihe von e das zugehörige p bei 25° berechnet und erhielt, indem ich mittelst der Wüllner'schen Beziehung von Ausdrücken in p zu seichen in m überging, für:

<sup>1)</sup> Clausius, Wied. Ann. 14. p. 708. 1881.

<sup>2)</sup> Thomson, Thermochem. Unters. 1. p. 86.

$$h = 295$$
  
e 48,75 (=1') 45 46 48 50 \$2  
m 0 4,65 8,17 14,77 20,58 26,44

s ist das Volumen von 1 kg in Cubikmetern ausgedrückt.
Aus diesen Werthen berechnet sich:

$$r - V = 0.253 \,\mathrm{m} + 0.00217 \,\mathrm{m}^2$$
;

die Gleichung liefert für die oben angegebenen v:

Es ist ferner  $c = 1 - \{100 s w\}$ , 0,006, und nach Clausius  $\partial (\partial P \partial \partial)$  P = 394.45 mm; wir erhalten hieraus einen Ausdruck in  $\frac{hg}{mr}$ , indem wir mit 13.596 multipliciren. Wählen wir für w und s die Ausdrücke in Grammen, so wird der Ausdruck für Q, welcher durch Integration von  $(2^{\circ})$  nach w entsteht in Grammetern gegeben sein und durch Division mit 424 auf Grammcalorien zurückgeführt. Man erhält folgenden Ausdruck:

$$Q = 12,65 s \left\{ \log \frac{w_1}{w_0} - 6.5 s \frac{w_1 - w_1}{w_1 w_0} \left( 1 - s \frac{w_1 - w_1}{w_1 w_0} \right) \right\}$$

$$= 0.08626 s \left\{ 0.289 \log \left[ \frac{(w_1 + 0.289s)^2 + 0.412 s^2}{(w_2 + 0.289s)^2 + 0.412 s^2} \right] + 0.512 \arg \left( g q \right) \right\}$$

worin: 
$$q = \frac{(w_1 - w_s) \cdot 0.642 s}{(0.642 s)^3 + (w_1 + 0.286 s) (w_n + 0.289 s)}$$

For m, and w, setzen wir mit Thomsen:

$$w_0 = 458 \text{ g}$$
  $w_1 = 908 \text{ g}.$ 

Der erste Theil des Ausdrucks liefert für die von Thomsen bestimmten Lösungen (vgl. die Tabelle auf der folg. S.:

Die Tabelle gibt unter s die Gramme Salz in der Lösung, unter e die von Thomsen gemessene Warmetonung, unter e die soehen berechnete.

Die Abweichungen zwischen c und c' sind nicht nur so gross, dass gegen sie die Unsicherheit der Thomsen'schen Zahlen (die z. B. bei 3 zwischen c = -41 bis -49.5 und bei 4 zwischen -4 und -7 schwanken) verschwindet, sondern der Verlauf der Werthe c und c' untereinander ist so

verschieden, dass er auf eine wesentlich andere Gestalt, se es der Clausius'schen Formel, sei es des Wüllner'schez Gesetzes schliessen lässt.

$t \Rightarrow 25$	8	e	e'
1	117	-408	-262
2	117	165.5	-261
3	111	- 46.5	-184
4	111	- 5,4	-109
5	217	~ 0,4	39

Wir bemerkten schon oben, dass die Formel (2\*) nicht mehr dem Babo'schen Gesetz widerspricht, wie die Formel (2); doch reichte für die numerische Vergleichung die Babo'sche Beziehung nicht aus. Dagegen können wir mit ihrer Hülfe die von Kirchhoff für die Wärmecapacität von Salzlösungen abgeleitete Formel mit Thomsen's Messungen dieser Grösse vergleichen. Kirchhoff's Formel lautet:

$$C = c + m\gamma - \frac{R}{k} \frac{\partial}{\partial S} \frac{\partial}{\partial S} \frac{\partial}{\partial S} \frac{\partial}{\partial S} \log \frac{P}{S}.$$

Setzen wir mit Babo p = aP, so ergibt sich:

$$C = c' + m \left[ \gamma - \frac{R}{k} \frac{\vartheta^{\dagger}}{P} \left[ \frac{\partial^{\dagger} P}{\partial \vartheta^{\dagger}} + 2 \frac{1}{\vartheta} \frac{\partial P}{\partial \vartheta} - \frac{P}{\vartheta^{\dagger}} - \frac{1}{P} \left( \frac{\partial^{\dagger} P}{\partial \vartheta} \right) \right]^{3} \right].$$

Hierin bedeutet of die specifische Wärme des fester Salzes,  $\gamma = 0.364$  die specifische Wärme des hinreichend verdünnten Wasserdampfes bei constantem Volumen. R ist nach Kirchhoff 0,111; Thomsen's Versuche aind auf die Temperatur von 18° bezogen.

Gehen wir von den Gewichtsauedrücken in Grammen zu solchen in Moleculargewichten über, indem wir einführen:

$$m=n\frac{18}{M},$$

<sup>1)</sup> Davon, dass die Acuderungen des Flüssigkeitsvolumens, die bei Ableitung der Formel verunchlässigt sind, auf das Resultat keinen Eisfluss haben, habe ich mich, obgleich es kaum nothig erscheinen kouste, durch eine ausführliche Rechnung überzeugt.

worin .M das Moleculargewicht des Salzes bedeutet, so erhalten wir:

$$C = c' + n \frac{18}{M} \left[ -1 \right],$$

und indem wir mit & = MC die Wärmecapacität einer Lösung von 1 Molecul Salz in a Moleculen Wasser und mit c' diejenige eines Moleculs des Salzes bezeichnen:

$$\mathfrak{T} = \epsilon + 18n \left\{ \gamma - 0.111 \frac{9}{P} \left[ \frac{\partial^{4} P}{\partial \mathcal{P}} + \frac{2}{9} \frac{\partial P}{\partial \mathcal{P}} \cdot \frac{P}{\mathcal{P}^{3}} - \frac{1}{P} \left[ \frac{\partial P}{\partial \mathcal{P}} \right]^{2} \right\}.$$

Hierin ist nach Clausius:

$$\frac{\partial^2 P}{\partial x^3} = \begin{cases} 0.052 \text{ zwischen } 17 \text{ and } 18^3 \\ 0.055 & ... & 18 & ... & 19^6 \end{cases}$$

$$\frac{2 \ \partial P}{\partial \ \partial \beta} = 0,0068, \qquad \frac{1}{P} \left( \frac{\partial P}{\partial \beta} \right)^2 = 0,0603, \qquad \frac{P}{S^4} = 0,0002.$$

Der Werth des Coesticienten von  $0.111 \cdot \theta^2 P$ ) wird, jenachdem man setzt:

$$\frac{\partial^2 P}{\partial \sigma^2} = \begin{cases} 0.052 & -0.0019, \\ 0.055 & +0.0011, \end{cases}$$

diese beiden Werthe würden folgende Formeln liefern':

$$Q = c' + n \cdot 1,527 \cdot 18$$
 and  $Q = c' - n \cdot 0.309 \cdot 18$ .

Letztere Formel wurde & negativ ergeben.

Man sieht hieraus, von welcher Bedeutung eine genaue Bestimmung von  $\partial^2 P/\partial \vartheta^2$  ist. Ich habe umgekehrt aus Thomsen's Beobachtungen für Salpeterlösungen berechnet, welches der günstigste Werth von  $\partial^2 P \partial \vartheta^2$  ist und gefunden  $\partial^2 P \partial \vartheta^3 = 0.0529$ , eine Zahl, die nach dem Verlauf der Werthe von  $\partial^2 P \partial \vartheta^2$  sehr gut als Mittelwerthe für  $\partial^2 P \partial \vartheta^3$  ber 18° passt. Wir erhalten daraus die Formel:

$$\mathfrak{C} = \mathfrak{c}' + 17,604n;$$

die nach dieser berechneten Werthe von & für Salzlösungen können nicht sehr von den Werthen Thomsen's abweichen, der gefunden hat, dass die Wärmecapacitäten der Salzlösungen nicht sehr von derjenigen des in ihnen enthaltenen Wassers verschieden sind; letztere ist 18n. In der folgenden Tabelle habe ich die nach unserer Formel berechneten Werthe von & mit den von Thomsen gemessenen zusammengestellt.

Wesentlich ist. dass für sämmtliche Lösungen angenommen ist. sie gehorchten dem Babo'schen Gesetz, obgleich Wüllner für eine Reihe derselben eine diesem Gesetz widersprechende Formel aufstellen zu müssen glaubte.

KNO, (Molecularwarme t = 23).			NaCl (c = 12.5)				
я	C beob.	berechn.	J	ж	C beob.	berechn.	4
25	459,4	463	+ 5.4	10	165.5	158.5	0
50	902	908	+ 1	20	(M) T	364.5	+ 3.5
100	1791	1793	— 8	30	536	540.5	+ 4
200	3575	3543	-32	50	S92	892,5	0
				100 200	1795 <b>85</b> 75	1772.5 3532.5	16.1 36.1
	KCl (c	= 12.61.			NaNO,	(c' = 22).	
A	beob.	berechn.	4	*	beob.	berechn.	Δ
15	262.4	276,9	+14.4	10	208.9	198	- 5.5
30	522.4	541	+19.4	25	461.7	462	+ 0.5
50	881	693	+12	50	904	902	<b>— 2</b>
100	1775	1773	- 2	100	1791	1792	- 9
200	3565	\$533	-32	200	3598	3542	51
	Na <sub>1</sub> CO	g(c'=26).			Na <sub>2</sub> 80 <sub>4</sub>	(c = 32,2).	
n	beob.	berechn.	٦	21	beob.	berechn.	ı
50	901	906	+ 5	65	1170	1176	+ 6
100	1775	1746	+ 8	100	1757	1792	+ 5
200	3550	3546	- 4	200	3574	3552	-22
			MgSO,	(c'= 27).			
		78	beob.	berechn.	1		
		20	857	379	+ 22		
		50	574	907	+33		
		100	1761	1787	+26		
		200	3541	3547	+ 6		

# V. Veber die specifische Würme stark concentrirter Natronlaugen; von Ad. Blümcke.

Aus den phys Laboratorium der Techn. Hochschule zu Minchen.)

Im Anschluss an meine letzte Arbeit!): "Ueber die Abhangigkeit der spec. Warme einiger Wasser-Aethylalkoholgemische von der Temperatur" unternahm ich es, die specinche Wärme von Natronhugen zu bestimmen, deren Gehalt an Aetznatron mehr als 50°; beträgt, da die Kenntniss derselben für die theoretische Betrachtung der bei den Honigmann'schen Natronkesseln vor sich gehenden Processe von Interesse ist. Allerdings wurden von Guthermuth?, bereits mehrere Versuche gemacht, diese Grössen zu ermitteln, allein seine Resultate sind so schwankend, dass eine Wiederholung der Bestimmungen nicht ungerechtfertigt sein dürfte.

Die Lösungen wurden einestheils wie bei den früheren Versuchen in Glashüllen eingefüllt, dann in kleine Ersen-Mischchen, welche durch eine gut eingepasste Schraube verschlossen wurden. Da die Lösungen bei niederer Temperatur auskrystallisiren, so mussten sie heiss eingefüllt werden, und zwar wurden die Eisentläschehen und die an einer Seite bereits zugeschmolzenen Glashüllen un einem Eisendraht befestigt und in die Lösung eingetaucht, wobei ein Theil der in ihnen enthaltenen Luit entwich; dann wurden sie soweit herausgehoben, dass nur noch die nach unten gekehrte Oeffnung eintauchte. Indem sich nun die noch zurückgebliebene Luft beim Abkühlen zusammenzog, wurde ein Theil der Lösung eingesogen. Hierauf wurde der offene Theil gereinigt und bei den Eisentläschehen einfach die Verschlussschraube eingesetzt, bei den Glashullen der capillare Theil zugeschmolzen. Es gelang mir leider nicht mehr als 0,1 bis 0,2 g Lösung einzuschliessen, infolge dessen ich trotz des grossen Temperaturintervalls (0-98° C., die Erwärmung

<sup>1)</sup> Ad. Blumcke, Wied. Ann. 25, p. 154, 1885.

<sup>2)</sup> Guthermath, Zeitschr. des Vereins deatscher Ingemeure 28. p. 03, 1684.

Ann. d Phys. c. Chem. N. F XXV.

ground carrie Wanterdamp' keens bestoom grows the

I'm tremet des transities betrag expeller 1 g. deter Especialement suggéties 3 g.

Vice Na state für die ternangkeit der Resiliate ist natürsich anne der Umstand dies sowool des teine aus in gene sewoors des Einer von des Löngungen anneghöst werden.

Die erhaltenen Resultate und

Property of the same of the sa	Name Warm	Versien.	Prosition to Louis	Version Carlo	Victorian 201 Euro
211	1000 1000 1000 1001 1001 1001	(1.6) 6, ~0 0, 50	WC	M -24 1 - 25	
, 1	Mine. 55	1 m2 m	*197 ,	1 14 1 15 1 17 1 17 1 17	
2	6-95 6-75 1-97 More, 0.95	(c h) 7 6 07 40,000			

Namt man die von Thomsen' und Hammer!' für sehwach concentrate Natronlaugen gefundenen Werthe Mulie, webei allerdings nicht tergessen werden darf, das sich dieselben auf andere Temperaturintervalle bemehen, weinkt die spec. Wärme derselben mit zunehmender Concentration bis ungefähr zu einem Gehalt von 30°, Actzustrussteigt hierauf his zu einem in der Nähe des Gehalts von 75°, liegenden Maximum, um darauf wieder zu fallen. Die Eintreten dieses Maximums mag auf den ersten Blick über raschend erscheinen, allein es erklärt sich sehr einfach, wen

to Thomsen Pogg Ann 142, p 368 1871

<sup>2)</sup> Hammerl, Compt. rend. 90, p 444 1881

man bedenkt, dass bei den stärker concentrirten Lösungen ein Auskrystallisiren stattfindet, welches für die Lösung von 73°, Gehalt am stärksten ist; es waren nämlich bei der Erwärmung auf 98° C. die Lösungen von 53°, 61°, und 73°, flussig, dagegen die von 90°, nicht.

Da für die Praxis die Kenntniss der spec. Wärme innerhalb solcher Intervalle von Interesse ist, bei denen die Lösungen flüssig sind, so versuchte ich durch Anwendung von Xylol und Amlin im Heizgefäss höhere Temperaturen zu erzeugen, allem es wollte mir nicht gelingen, die Dämpfe in der gewünschten Weise zum Circuliren zu bringen, so dass ich einstweilen von dem Vorhaben abstehen musste.

# VI. Veber eine Verbesserung der Flussigkeits-Thermostaten; von Ad. Blümcke.

(Aus dem phys. Laboratorium der Techu Hichschule zu Munchen)
(Rieran Tat. IV Fig. 3.)

Gelegentlich calorimetrischer Untersuchungen verwendete ich zum Constanthalten der Temperatur eines Wasserbades Flüssigkeitsthermostaten. Dieselben functionirten, einmal eingestellt, in durchaus befriedigender Weise. War es aber nothing die Temperatur um ein grosseres Intervall (10-15° C.) zu Andern, so musste die Füllung des Thermostaten jedesmal der Temperatur entsprechend ausprobirt werden. Diese Operation ist zum mindesten zeitraubend, und es schien mir wunschenswerth, sie durch ein einfaches und bequemes Mittel zu umgehen. Ich glaube, dies in einer sehr einfachen Vorrichtung gefunden zu haben, welche meines Wissens bei Flüssigkeitsthermostaten noch nicht angewendet wurde. Dieselhe besteht einzig und allein darin, dass das Rohr R. welches sich an das Gefass G des Thermostaten anschliesst, nicht wie bisher einfach umgebogen ist, sondern sich weiter nach oben fortsetzt und in ein Gefüss G, einmündet. Bei H befindet sich ein gut schliessender Hahn. Im übrigen bleiht alles ungeändert.

Um den Apparat zum Gebrauch herzurichten füllt man zuerst den U-tormigen Theil des Rohrs R mit dem ein für mal in demselben bleilenden Quecksilber. Hierauf grösst man bei öffenem Hahn die Flüssigkeit ein, etwa sich bildende Luftblasen kann man leicht entfernen. Das Rohr R darf selbstredend nicht zu eng sein. Dann setzt man das Ganze bei immer noch öffenem Hahn in das Bad und schliesst bei Erreichung der gewünschten Temperatur ab. Das Quecksilber ist dabei nur solchen Schwankungen ausgesetzt, wie sie der drückenden Flüssigkeitssaule in R und  $G_1$  entsprechen; diese kann man aber so gering machen, wie man will [x], [x], in solz einfacher Weise durch Saugen oder Einblasen von Luft am oberen Theile des Gefässes  $G_1$ . Das Gaszuleitungsrohr sist also nur um ganz geringe Beträge zu verschieben.

Soll die Temperatur geandert werden, so braucht man nur den Hahn zu öffnen (beim Senken derselben ist darauf zu achten, dass im Gefass  $G_1$  hinreichend Flussigkeit vorhanden ist) und im geeigneten Moment zu schließen. Namentlich scheint es mir von Vortheil zu sein, dass ein Herausnehmen des Thermostaten aus dem Bade absolut unnothig wird.

Man könnte einwenden, dass durch Vergrösserung des das Quecksilber enthaltenden Theils des Rohrs R ein Herausheben des Thermostaten aus dem Bade und Aenderung der Füllung vermieden werden kann, soll aber der Apparat hinteichend empindlich bleiben, so muss man die Menge des Quecksilbers so vermehren, dass die Zerbrechlichkeit zu gross wird, während man bei der oben beschriebenen Einrichtung das Quecksilbers auf wenige Cubikcentimeter beschränkes kann. Auch müsste natürlich dem Rohr eine den grösseren Quecksilberschwankungen entsprechende länge gegeben werden, was ebenfalls mit Bezug auf die Festigkeit des Apparatinicht von Vortheil ist.

# VII. Veber Capillaritätsconstanten: von William Francis Magie.

## § 1. Messungsmethode

Die genaue Bestimmung der numerischen Werthe der spillaritätsconstanten von verschiedenen Flussigkeiten ist in ir Theorie der Capillaritätserscheinungen und überhaupt in ir Theorie der Molecularkräfte von grosser Wichtigkeit. Es deshalb immerhin schon nützlich, die Resultate früherer eobachter zu bestätigen. Zur Zeit ist aber jede neue Messungssthode von besonderer Wichtigkeit, weil die wahren Werthe eser Constanten noch zweifelhaft sind. Die von Hrn. Prof. pincke aus Messungen an Tropfen und Blasen sich erbenden Resultate stehen in Widerspruch zu den früher igenommenen Werthen, und eine neue Methode ist nothspidig, um zwischen den beiden Ergebnissen zu entscheiden.

Wenn eine Flussigkeitsmenge in einem nicht ganz gehlossenen Gefäss von beliebiger Gestalt im Gleichgewicht eht, so gilt die Gleichung:

$$g\,dz = \frac{H}{2} \left( \frac{1}{r} + \frac{1}{r_1} \right).$$

gausgesetzt, dass ein Theil der freien Oberfläche eine bene ist. In dieser Gleichung bedeutet g die Beschleunitig der Gravitation an der Erdoberfläche, d die Dichtigkeit ir Flüssigkeit und H 2 die Oberflächenspannung. Weiter deuten r und r, die Hauptkrümmungsradien irgend eines anktes der freien Oberfläche und z die Ordinate desselben anktes, vorausgesetzt, dass die z-Axe mit der Richtung ir Gravitation und die Ebene z = 0 mit der Ebene der berfläche zusammenfällt

Wenn wir z und die Hauptkrümmungsradien r und rimessen haben, so können wir augenscheinlich den Werth im 1/2 der Obertlächenspannung aofort bestimmen. Die brmel, auf welcher die Methode gegründet ist, ist auf ankte der freien Obertläche anwendbar, und die Beobachngen beziehen sich auch nur auf Punkte der freien Obertläche.

Die Methode, welche ich gebraucht habe, um die Krum-

mungeradien zu bestimmen, wurde mir angegeben von meinen. bochverehrten Lehrer, Hrn. Geheimrath Prof. v Helmholtz Sie 1st im allgemeinen begrundet auf den Gebrauch eines Theiles der Oberfläche der Flüssigkeit als Spiegel, dessen Krummungsradius sich aus den relativen Grössen eines Gegenstandes und seines Bildes bestimmen lässt. Die Gefässe welche die Flüssigkeiten enthielten, waren zusammengesetzt aus zwei verticalen, parallelen Röhren, die durch eine anderhorizontale Robre in Verbindung gebracht wurden. Die eine von diesen verticalen Röhren hatte immer einen Durchmesser von wenigstens 3 cm. Man konnte deshalb die Krümmung der Oberfläche in diesem Theile des Gefässes, und zwar is genügender Entfernung von den Wänden desselben, als Nul. annehmen und die Ebene der Oberfläche als die Ebenz = 0 betrachten. Die andere Röhre war eine Capillarröhrderen Durchmesser in keinem Falle ein Millimeter überstier Diese Camillarröhre hatte einen kreisförmigen Querschnitt. Es folgt aus dieser Thateache, dass die Oberfläche der Flüssigkeitssäule in der Röhre eine Rotationstläche war. und zwar wegen des kleinen Durchmessers der Röhre sehr näherungsweise eine Kugeltläche.

Das Bild eines Gegenstandes in dieser Fläche wurde mit Hülfe eines Mikroskops beobachtet, dessen Objectivglas Nr. I eine Vergrößserung von ungefähr 90 mal, und dessen Objectivglas Nr. II eine Vergrösserung von 140 mal erlaubte Es war mit einem Ocularmikrometer versehen, für welches der Werth eines Theilstriches sehr sorgfältig für beide Objective bestimmt wurde. Als (jegenstand, dessen Bild gemessen wurde, diente zum Theil die Kante einer sehr genau kreisförmigen Runne auf der Oberfläche der Messingfassung des Objectivglases, zum Theil ein kleines Parallelogramm aus weissem Papier, das auf das Objectivglas selbst geklebt worden war. Diese Einrichtung musste getroffen werden. trotz der für die Spiegelung ungünstigen Lage des Gegenstandes in so kleiner Eptfernung von der Oberfläche, weil es wegen der Gestalt der Röhre und der Oberfläche nur möglich war, Gegenstände zu beobachten, die ziemlich nahe der Axe des Mikroskops sich befanden.

Der Höhenunterschied zwischen der ebenen Obertläche und der Kuppe des Meniscus in der Capillarröhre wurde mit Hulfe eines Kathetometers beobachtet. Man konnte mit diesem Kathetometer direct bis ein Zehntel und durch Schätzung bis etwa ein Hundertel Milhmeter ablesen.

## § 3. Formel fur den Spiegel.

Bei den Bestimmungen des Krümmungsradius waren die Grösse des Gegenstandes, die Grösse des Bildes und die Entfernung zwischen Bild und Gegenstand durch Beobachtungen gegeben. Die Grösse des Gegenstandes wurde direct mit dem Kathetometer gemessen. Die Entfernung zwischen der Oberläche des Objectivglases und einem durch das Mikroskop ganz deutlich und im wahren Brennpunkte gesehenen Punkte wurde auch mit dem Kathetometer gemessen und als die constante Entfernung zwischen Bild und Gegenstand angenommen. Die Bestimmung der Grösse des Bildes wurde naturlich bei jeder Beobachtung mit Hulfe des Mikroskops gemacht. Es waren dann zur Bestimmung des Krümmungsradius gegeben die Grösse des Gegenstandes, die Grösse des Bildes und die Entfernung zwischen Bild und Gegenstand.

Die Grösse des Gegenstandes war im Verhältniss zu der Entfernung des Gegenstandes von der spiegelnden Fläche bei vielen Versuchen so gross, dass es nothwendig war, eine Formel abzuleiten, mit welcher die Werthe des Krümmungsradius genauer als bei den gewöhnlichen Annahmen ausgerechnet werden konnten.

Das Bild eines Gegenstandes in einem Spiegel wird bestimmt durch die Durchschnittspunkte von allen Paaren zurückgeworfener Strahlen, die von einem Punkte des Gegenstandes ausgehen und von zwei dicht aneinander liegenden Punkten der Oberfläche zurückgeworfen sind. Im allgemeinen bilden diese Durchschnittspunkte die kaustischen Curven.

Rei einer strengen Betrachtung hätten wir diese Curven bestimmen müssen. Wir dürfen hier aber wegen der Kleinheit des Spiegels eine Annäherungsformel brauchen, welche wir auf ganz einfache Weise ableiten können. Es sei OA in der Fig. 1 die Ave der Röhre, und zu die Coordinaten der Meridiancurve, d. h. der Durchschnittshine der Kuge-fläche mit einer Ebene durch OA. Die halbe Grosse Ab des Gegenstandes sei mit G bezeichnet. Der Anfangspunkt G der Coordinatenaxen sei zugleich der Mittelpunkt der Kuge. Nun nehmen wir an, was näherungsweise richtig ist. d. w.



Fig. 1.

die Limen OB und y = h, sich am Orte des beobachteten Bildes von B schneiden. Die Abscisse dieses Schnittpunktes sei mit x bezeichnet. Die Grösse h ist nach dieser Annahme die halbe Grösse des Bildes. Die Entfernung zwischen Bilden Gegenstand sei mit F bezeichnet. r, der Krümmungsradius, wird bestimmt aus den Gleichungen:

$$Fh = x(G - h), h = r \sin \beta,$$
  
 $G - h = (F + x - r \cos \beta) \lg 2\beta.$ 

Mithin bekommt man:

$$r^2 = \frac{2\,k^2\,G^2\,F^2}{(G^2 + k^2)^2} \bigg\{ L + \big\} \, L - \frac{G\,k}{F^2} \bigg( \frac{1 + 1\,L}{L} \bigg) + \frac{G^2k}{2\,F^2 \mid L} \bigg\} \, .$$

wo die höheren Potenzen von h im Zähler und von F im Nenner vernachlässigt worden sind. Dies ist gestattet weil in meinen Beobachtungen die übrigen Glieder fast verschwindend klein sind. L bedeutet den Ausdruck  $1 + G^2 F^2$ . Für einen gegebenen Gegenstand und eine gegebene Ent fernung lässt sich diese Formel auf die Form  $r^2 = Ph^2(N - Mh)$  bringen, wo P, N, M Constanten sind. Die Berechnung von r ist dann ganz leicht,

## § 3. Kugelförmige Gestalt der Plach-

Bei der Anwendung dieser Formel auf die Beobachtungen ist es wichtig, zu wissen, in wie weit die Annahme, dass die Oberfläche in den Capillarrohren ein Theil einer Kugelfläche ist, gestattet ist. Um die Abweichung von der Kugelform zu bestimmen, habe ich für Quecksilber in 2 Fallen die Entternung des Punktes, von welchem ungefähr die beobachteten Strahlen gurückgeworfen wurden, von der Horizontalebene, die durch die Kuppe des Meniscus gelegt wurde, berechnet. Die Formel, die ich dazu anwendete, ist von Poisson i entnommen. Obgleich die Rechnung nur für Quecksilber gemacht worden ist, so würden doch die Constanten von anderen Flussigkeiten Resultate derselben Grössenordnung geben. Ich verglich mit dieser Entfernung den Sinus versus der Kugelffäche, welche ich als die Oberfläche der Flussigkeit angenommen hatte. Hat die Rohre einen Radius von 1,2 mm, so findet man, wenn man den Contactwinkel gleich 45°, und die Constante of gleich 6.627 samment, für einen Punkt der Obertlache in der Entfernung von 0.4 mm von der Axe der Röhre, dass die Entfernung dieses Punktes von der Horizontalebene. welche durch die Kuppe des Meniscus gelegt wird, gleich 0.0414 mm ist. Wenn man annimmt, dass die Oberfläche eine Kugelfläche ist, so findet man den Werth des Sinus versus des Winkels zwischen der Axe und dem Radius durch diesen Punkt gleich 0.048. Der Unterschied zwischen den beiden Werthen ist, obgleich sein absoluter Werth klein. doch gross genug, um den Gebrauch einer Röhre von dieser Weste auszuschliessen.

Wenn man dieselben Werthe für den Fall, dass die Röhre einen Radius von 0.4343 mm besitzt, für einen Punkt in der Entsernung von 0.11 mm von der Axe der Röhre ausrechnet, findet man für die wirkliche Entsernung des Punktes von der Ebene den Werth 0.01022 mm, und für den Sinus versus 0.01016. Der Unterschied ist hier ganz unbedeutend. Wenn wir in der Poisson'schen Gleichung p' als Constante ansehen und nach t differenziren, so bekommen

<sup>1.</sup> Poisson, Nouv. Théor de l'Act Capill. p. 110. Gl (10).

wir einen Ausdruck für die Tangente des Winkels zwischen der Normalen in dem betrachteten Punkte und der Axe oder der Richtung des reflectirten Strahles. Daraus kann man in dem letzteren Palle den Werth dieses Winkels gleich 10° 27 30 berechnen; und der Werth desselben Winkels wenn die Oberfläche eine Kugelflache ware, ist 10° 40 50

Der Durchmesser der weitesten Röhre, welche ich bei diesen Versuchen gebraucht habe, ist ungefähr 1,2 mm. In diesem Falle ist auch die Annahme der kugelförmigen tiestalt der Obertläche zulässig. Es soll hier bemerkt werden dass die Abweichung von der Kugelform die wahren Werthe des Krümmungsradius ein wenig verkleinert, und zwar a höherem Maasse bei der Spiegelung von grossen als von kleinen Gegenständen. Bei den Beobachtungen mit Flussiekeiten, die Glas benetzen, wurde ein so kleiner Gegenstad gebraucht, dass die Form der Oberfläche ganz genau als Kagel angeschen werden durfte. Diese Bemerkung entlat auch möglicherweise eine Erklärung des Unterschiedes zwischen den Werthen der Spannung für Quecksilber, die mit den beiden Objectiven erhalten worden sind. Andere Messungen aber, welche ich hier nicht mitgetheilt habe, gestatter nach den Schluss, dass dieser Unterschied von einem unvermeidlichen und unbemerkbaren Unterschied in der Reinheit des Quecksilbers oder des Glases oder von verschiedenez atmospharischen Verhältnissen abhängt.

## § 4. Beobschtungen.

Mit Hülfe der oben dargelegten Beobachtungsmethode habe ich die Werthe der Oberflächenspannung einiger Flüssigkeiten bestimmt.

1. Quecksilber. Das benutzte Quecksilber war im Torricelli'schen Vacuum destillirt. Dann wurde es mit einer Lösung von 5 g doppeltchromsaurem Kali in 1000 ccm destillirtem Wasser, zu der einige Cubikcentimeter Schweselsäure hinzugegossen wurden, nach der Methode von Brühl' gereinigt. Es wurde darauf unter Kalilauge stehen gelassen, dann in destillirtem Wasser gewaschen und darauf in

<sup>1</sup> Brabl, Chem. Ber 1876 9.

einer Porcellanschale erhitzt, bis das Wasser ganz ausgetrieben worden war. Es wurde dann durch ein seines Loch in der Spitze eines gut gereinigten getrockneten Glastrichters in eine Flasche gefüllt. Die Flasche war vorher zorgfültig gereinigt und durch einen Strom heisser, mittelst einer Chlorcalciumröhre getrockneter Luft getrocknet worden. Die Flasche war an der Seite mit einem Hahn versehen, durch welchen man das Quecksilber austliessen lassen konnte, ohne die Oberfläche desselben zu beunruhigen.

Um eine Messung zu machen, wurde das oben erwähnte U-törmig gestaltete Gefass an eine geeignete Stelle gesetzt und Mikroskop und Kathetometer an ihren Platz gestellt. Das Quecksilber liess man in das Gefass fliessen und beobachtete danach so schnell wie möglich die Grösse des Bildes in dem Meniscus. Zunächst wurde der Ort der Spitze der Quecksilbersäule in der Capillarröhre und endlich der Ort der Ebene in der grossen Röhre mit dem Kathetometer bestimmt. Bei diesem Verlaufe der Beoblachtung wird die Aenderung der Spannung durch atmosphärische Einflüsse so weit wie möglich vermieden. Die durch die Reibung des Quecksilbers und des Glases möglicherweise erzeugte Electricität wurde abgeleitet.

Die Resultate dieser Beobachtungen sind in folgenden Tabellen zusammengefasst.

Quecksilber, Spec. Gew. 18,546. Temp. 20" C.

1. Objectivglas Nr. I.

F. Entferning zwischen Bild und Gegenstand 12,47 inm.

2 G. Grosse des Gegenstandes 8,927 mm.

Constante des Ocularmikrometers, I Theilstrich = 0,008 9054 mm. 2. Objectivglas Nr. II.

F. Entferning zwischen Bild und Gegenstand 7.11 mm.

2 G, Grisse des Gegenstandes 7.09 mm.

Constante des Oculumikrometers, 1 Theilstrich - 0.005 894 mm.

	Tanaknek	to min	in mm	a	la Tuel etrici
1	15.33	14.66	0.4767	6.989	46
	24	11,20	0,5240	6,989	42
1	22.16	12,16	0.5782	7,607	32
	19	13.18	0,4941	6,524	47,66
	21	12.31	0,5461	6,722	46
	Mar	relwerth	you at	6,006	39,75
		Verth v	on H 2	46,77	36

la Tael strick	in mm	in man	d1
46	11.15	0,5895	6,576
42	12.78	0,53%6	6 444
32	15,90	0.4107	6,550
47,66	10.97	0,6110	6,702
46	11,37	0,5898	6,706
39,75	12.70	0,5100	6,477
Mit	telwerth	Yon at	6,646
1	Verth v	on H 4	FU.CA

Wenn wir diese Resultate als von gleichem Werth an sehen, bekommen wir als Mittelwerth der Constanten für Quecksilber a<sup>2</sup> = 6,764 und H 2 = 45.82. Die Oberflächenspannung von Quecksilber ist so gross, dass alle schädlichen Eintlüsse die Spannung zu vermindern streben. In gleichen Sinne wirkt auch eine eventuell vorhandene Electristrung der Oberfläche. Die Constanten können daher nicht kleiner sondern moglicherweise grösser, aber meiner Ansicht nach nicht viel grosser sein, als die oben angegebenen Werthe.

Die Werthe derselben Constanten von Laplace 1) sind resp. 6,5 und 44,07. Von Poisson2 wurden die Werth  $a^2 = 6.5262$  and H/2 = 44.20 gebraucht. Desains hat de Werthe angenommen, welche seinen Beobachtungen am bester entsprechen; und aus den Beobachtungen von Danger hat er die Werthe  $a^3 = 6.714$  und H/2 = 45.47 berechnet. Die ausserordentliche Schwierigkeit, ganz reines Glas und Quecksilber zu bekommen, die Unsicherheit des Contactwinkels welcher in den angewendeten Methoden durch unabhängige Beobachtungen bestimmt werden muss, und die rasche Aenderung der Spannung dadurch, dass das Quecksilber der gewöhnlichen Atmosphäre eines Laboratoriums ausgesetzt wird. geben leicht eine Erklärung der für solche Messungen sehr kleinen Abweichungen. Der Werth H.2 = 55.03, der von Hrn. Prof. Quincke vorgeschlagen worden ist, weicht aber so weit von den anderen ab, dass der Unterschied nicht m dieser Weise erklärhar ist. Diesen Werth, und überhaupt alle die Werthe, die von Hrn. Prof. Quincke bestimmt worden sind, müssen wir näher betrachten. Es emufichl! sich aber zunächst, die von mir erhaltenen Resultate für andere Flüssigkeiten aufzustellen.

II. Flüssigkeiten, die Glas benetzen. Die Untersuchungen, die ich mit den Flüssigkeiten angestellt habe, welche die Glaswand benetzen, sind mit der Absacht unternommen worden, die Frage zu beantworten, ob der Contact-

<sup>1)</sup> Laplace, Mée. Cél. Suppl. au X\* livre, p. 56.

<sup>2)</sup> Poisson, Nouv. Théor. p. 219.

<sup>3)</sup> Desains, Ann. de chim. et de phys. 3: \$1. p 385, 1857

winkel zwischen der Flüssigkeit und der festen Wand in diesem Falle Null wird oder nicht. Inshesondere ist es interessant, zu untersuchen, ob dieser Werth des Contactwinkels für die Beobachtungen in den Rohren gilt, die bei der Bestimmung der Capillaritätsconstanten gewohnlich gebraucht worden und. Hr. Prof. Quinckel, zieht aus der Unvereinbarkeit der von ihm aus der Gestalt von Tronien und Blasen berechneten Werthe der Constanton mit den für dieselben Flussigkeiten aus der Steighöhe in Capillarröhren bestimmten Werthen die Folgerung, dass der Contactwinkel selten oder niemals Null wird, sogar wenn die Röhren sehr sorgfaltig gereinigt und frisch ausgezogen wurden. Die directen Messungen von Hrn. Prof. Ouincke ' zeigen, dass ottmals dieser Winkel einen grossen und nicht constanten Werth hat. In anderen Fallen war der Winkel aber beinahe Null. Es ist nun zu untersuchen, ob diese Veränderlichkeit des Winkels auch bei den gewöhnlichen Beobachtungsmethoden für die Bestimmung der Capillaritätsconstanten stattfindet. Um diese Frage zu beantworten, werden wir die Resultate aus der hier vorgeschlagenen Beobachtungsmethode mit denjenigen, welche von der Steighöhe in Röhren erhalten worden sind, vergleichen.

Die Werthe, welche hier gegeben sind, wurden mit Hulfe derselben Formel berechnet wie die Werthe für Quecksither. Weil aber bei allen diesen Messungen wegen des kleinen Werthes von 2Å, welcher nie grösser als 0,08 mm war, die Correctionsglieder in der Formel keinen merklichen Eintluss haben, so ist es gestattet, diese Glieder, die h enthalten, zu vernachlässigen. Die sämmtlichen Grössen, die sich in der Gleichung für r² betinden, sind dann selbst Quadrate. Aus dieser Thatsache folgt, dass bei diesen Beobachtungen, wo der Spiegel concav, und deshalb h negativ ist die Formel für r² keine Aenderung erleidet. Streng genommen muss man hier den negativen Werth von r nehmen; woll aber die Grossen z und r ihre Vorzeichen gleichzeitig ündern, so

<sup>1)</sup> Quincke, Pogg. Ann. 139, p. 1, 1870.

<sup>2</sup> Quincke, Wied. Ann. 6, p. 145, 1879.

braucht man nur ihre numerischen Werthe in Betracht zu ziehen.

In den folgenden Messungen wurde immer das Objectivglas Nr. II gebraucht. F. die Entfernung zwischen Bild und Gegenstand, war 7.11 mm. 2G, die Grösse des Gegenstandes war 1.75 mm. Die Constante des Ocularmikrometers war 1 Theilstrich = 0.005 894 mm. In den Tabellen ist A in Theilstrichen, z und r in Millimetern gegeben.

Alkoho!

Spec. Gew offer Temp. 20 C

#### Destillirtes Wasser

Spic Gew 1. Temp. 19:25 C

Ā	٤	ť	ol 1	Ā	z	,	a t
13	2.75	0,0255	5.563	7,75	35 23	Ų,3731	14 212
* 4.75	4,49	0,6321	5 619	16,5	39.79	104578	14 Hm
9,5	12 34	0.4573	5.813	13	28 23	0,6258	14.59"
* 3,5	12.34	0.465%	3,748	11.25	25.85	0,5415	14 4
7.5	15.43	0,5410	5.571	10	82.45	0,4330	14 000
11	10.29	0,5295	5,449	9.5	Sta 1214	0,4578	14 76.
Mi	ttelwerth	Yon at	5.599	18	21,77	0,5254	13 + 21
100			0.101.0	10	31.68	0.4914	15 324
*) 1	lei duese	n Messun	gen war	7,75	37.80	0.8731	14.102
2G = 0	63 tum			Mi	ttelwerth	You at	16,6,0

#### Chlorofora

Spec Gew 1,405. Temp 20 C

#### Chloroform.

Spec. Gew. 1,485, Temp. 20° C.

Ä	2	н	01	Ä	=	r	a <sup>†</sup>
13.5	6.39	0,6405	4,156	13.5	5,58	0.64508	3.55
9.5	8.15	0,4173	3,735	13.25	5 50	0.6375	311
11,75	1.34	0.54.58	3 589	9.5	5.04	0.4573	3.07
7.70	\$6.90%	0.3781	3,689	9.5	N.15	0.4 - 73	5.74
13.5	5.65	D. Signey.	3 675	7,75	9,71	0,3731	To Ta
9,3	8.40	0.4173	3,844	7,75	9,99	0.8781	2 %
11.5	6.63	0.5536	3,684	11.5	6.41	0,5534	3,54
7,75	9 42	0.3731	3.667	11.5	£90	11/55/36	35
	tementh	100 a2	3,755	Mit	telu erth	10h gr	3,60

Petroleum. Spec. Gew. 0,773. Temp. 18 C.			Spec. G		enol. 0. Temp.	191 C.	
A	2	P	σ²	_ A	2	r	o <sup>1</sup>
18,5	9.97	0,6495	6.484	13.5	11.21	0.6498	7,291
13,25	10,00	0,4374	6,384	13,25	11.22	4784.0	7 162
9.25	14,12	0.4431	6.292	11.25	12 49	0,5390	B. SHE.
9,25	14 15	U,4431	6,306	11,25	12,30	0,5390	7,023
7,75	17.35	15,37 51	6,47%	9,25	15.49	0.4431	17,903
7.75	17,40	0.8731	6,497	9,5	13,58	0.4573	7,108
11,25	11,31	0,5300	6,130	7,75	19,17	0,3731	7,157
11,25	11,30	0.25	6,124	1,15	19/20	0.5741	7,16%
13,25	9 49	0.1374	6,313	13,25	11.25	0,6378	7,181
13,25	9,49	(16378	6,313	13,25	11,26	0,6878	2.300
9,5	14.00	0.4573	6.40%	11,25	12,80	0.1300	6,937
8,25	14,03	0,4431	6,252	11,40	12.98	0.5492	7.151
1,1	17,20	0, 1543	8,313	7,75	19.18	0,3731	7,181
7,5	17,20	P322 O	6,215	7,73	19.23	0,3731	7.150
11.5	11,49	0,538	8,.036	9	15.81	0,4845	6'990
11,25	11,59	0.5390	6,282	9,5	15.89	0.4573	7,272
Mit	Mittelwerth son at 6,316 Mittelwerth you at					7,110	
hol	hwafall	cohlenat	off		Terne	ntinöl.	
				e e			41.0.63
Salvio, C	iew, 1,21	s. Temp	. 19 0.	aper G	arm, U,Si	4. Тетр.	51 . C.
			_				
h	-	11	43	ž.			., 7
h	\$	)1	93	Å	*	F	a,
						0.6.00	
13,5	8.11	0,649%	5,270	13.25	9.55	0.6375	4,253
13,5 13,25	8.11 8,11	0,6495	5,270 5,173	13.25 13.25	9.55 9.55	0.6378	6.258
13,5 13,25 9 25	8.11 8,11 11,11	0,6495 0,6875 0,4431	5,270 5,173 4 947	13.25 13.25 11,5	9.55 9.55 11.18	0,6378 0.5336	6.258 6.255 6.14
13,5 13,25 9 25 9 25	8.11 8,11 11,11 11,16	0,6495 0,6375 0,4431 0,4431	5,270 5,173 4 947 4,969	13.25 13.25 11,5 11,5	9,85 9.85 11.18 11,15	0.6378 0.5536 0.5536	6.258 6.258 6.144 6.177
13,5 13,25 9 25 9 25 11,75	8.11 8,11 11,11 11,16 8.99	0,6495 0,6875 0,4431 0,4431 0,1876	5,270 5,173 4 947 4,989 5,085	13.25 13.25 11,5 11,5 7,3	9,85 9,85 11,18 11,15 16,28	0,6378 0,5536 0,5536 0,8533	6,288 6,289 6,14 6,177 3,882
13,5 13,25 9 25 9 25 11,75 11 75	8.11 8,11 11,11 11,16 8.99 8,99	0,6495 0,6375 0,4431 0,4631 0,1876 0,566	5,270 5,173 4,947 4,969 5,085 5,085	13.25 13.25 11,5 11,5 7,3 7,75	9.85 9.85 11.18 11.15 16.28 15.93	0,6378 0,5536 0,5536 0,8533 0,3731	6,258 6,255 6,144 6,177 5,552 5,948
13,5 13,25 2 25 9 25 11,75 11 75 7,75	8.11 8,11 11,11 11,16 8.99 8,99 13,20	0,6495 0,6375 0,4431 0,4631 0,1876 0,5896 0,4731	5,270 5,173 4,947 4,969 5,085 4,924	13.25 13.25 11,5 11,5 7.3 7.75 9.35	9.85 9.85 11.18 11.15 16.28 15.93 13.48	0,6378 0,5546 0,5546 0,8543 0,3734 0,4431	6.255 6.255 6.1 4 6.177 5.552 5.945 6,007
13,5 13,25 9 25 9 25 11,75 11 75 7,75	8.11 8,11 11,11 11,16 8.99 8,99 13,20 13,28	0,649% 0,637% 0,4431 0,4431 0,161% 0,5636 0,3731 0,8851	5,270 5,173 4 947 4,989 5,085 4,924 5,114	13.25 13.25 11,5 11,5 7.3 7.75 9.35 9.25	9.85 9.85 11.18 11.15 16.28 15.93 13.48 13.44	0,6378 0.5536 0.5536 0,85=3 0,3731 0.4431	6,288 6 288 6 1 4 6,177 5 882 5,948 6,007 6,012
13,5 13,25 9 25 9 25 11,75 11 75 7,75	8.11 8,11 11,11 11,16 8.99 8,99 13,20	0,649% 0,637% 0,4431 0,4431 0,161% 0,5636 0,3731 0,8851	5,270 5,173 4,947 4,969 5,085 4,924	13.25 13.25 11,5 11,5 7.3 7.75 9.35 9.25	9.85 9.85 11.18 11.15 16.28 15.93 13.48	0,6378 0.5536 0.5536 0,85=3 0,3731 0.4431	6.255 6.255 6.1 4 6.177 5.552 5.945 6,007
13,5 13,25 9 25 9 25 11,75 11 75 7,75	8.11 8,11 11,11 11,16 8.99 8,99 13,20 14,28 ttelworth	0,649% 0,637% 0,4431 0,4431 0,161% 0,5636 0,3731 0,8851	5,270 5,173 4 947 4,989 5,085 4,924 5,114	13.25 13.25 11,5 11,5 7.3 7.75 9.35 9.25	9.85 9.85 11.18 11.15 16.28 15.93 13.48 13.47 telworth	0,6378 0.5536 0.5536 0,85=3 0,3731 0.4431	6,288 6 288 6 1 4 6,177 5 882 5,948 6,007 6,012
13,5 13,25 9 25 9 25 11,75 11,75 7,75 8	8.11 8,11 11,11 11,16 8.99 8.99 13,20 14,28 ttelwerth	0,649% 0,637% 0,4431 0,4431 0,5656 0,5656 0,5731 0,5851	5,270 5,173 4,947 4,939 5,085 4,924 5,114 5,071	13.25 13.25 11,5 11,5 7,75 9,25 9,25 9,25	9.85 9.85 11.18 11.15 16.28 15.93 13.48 13.47 telworth	0,6378 0,5536 0,5536 0,85=3 0,3734 0,431 0,4431 von a <sup>4</sup>	6.258 6.255 6.14 6.177 5.552 5.948 6,007 6.402 6.100
13,5 13,25 9 25 9 25 11,75 11,75 7,75 8	8.11 8,11 11,11 11,16 8.99 8.99 13,20 14,28 ttelwerth	0.649% 0.637% 0.4431 0.4431 0.56.6 0.56.6 0.731 0.851 0.851 0.861	5,270 5,173 4,947 4,939 5,085 4,924 5,114 5,071	13.25 13.25 11,5 11,5 7,75 9,25 9,25 9,25	9.85 9.85 11.18 11.15 16.28 15.93 13.45 13.45 telworth	0,6378 0,5536 0,5536 0,85=3 0,3734 0,431 0,4431 von a <sup>4</sup>	6.258 6.255 6.147 6.177 5.52 5.948 6,997 6.492 6.106
13,5 13,25 9 25 9 25 11,75 11,75 7,75 8	8.11 8,11 11,11 11,16 8.99 13,20 14,28 ttelwerth Terpo	0.6495 0.6378 0.4431 0.4431 0.5656 0.5656 0.731 0.8651 0.8651 0.8651 0.8651 0.8651	5,270 5,173 4,947 4,947 4,939 5,085 4,924 5,114 5,071	13.25 13.25 11,5 11,5 7.75 9.25 9.25 9.25 Mit	9.85 9.85 11.18 11.15 16.28 15.83 15.48 13.44 Terpe	0,6378 0,5536 0,5536 0,85=3 0,3734 0,431 0,4431 von a <sup>4</sup>	6.288 6.288 6.144 6.177 5.848 6,007 6,007 6,100
13,5 13,25 9 25 9 25 11,75 11,75 7,75 8 Mi	8.11 8.11 11.11 11.16 8.99 13.20 13.28 ttelwerth Terpoten 0.95	0.649% 0.637% 0.4431 0.4431 0.56.6 0.56.6 0.5731 0.851 0.781 0.781 0.781 0.781	5,270 5,173 4,947 4,939 5,085 4,924 5,114 5,071 a. 21 C.	13.25 13.25 11,5 11,5 17,5 7,75 9,25 9,25 Mit	9.85 9.85 11.18 11.15 16.28 15.93 13.49 (telworth Terps 5cm 0.86	0,6378 0 5536 0 5536 0,5538 0,3734 0,4431 0,4431 von a <sup>4</sup> sutinol.	6.288 6.288 6.1 14 6.177 5.88 5.948 6,907 6.402 6.100
13,5 13,25 9 25 9 25 11,75 11,75 7,75 8 Mil	8.11 8,11 11,11 11,16 8 99 8,99 13,20 14,28 ttelwerth Terpe seu 0,93	0.649% 0.637% 0.4431 0.4431 0.56.6 0.56.6 0.731 0.851 0.851 0.731 0.731 0.751	5,270 5,173 4 947 4,939 5,085 4,924 5,114 5,071 a. 21 C.	13.25 13.25 11,5 11,5 7.3 7.75 9.25 9.25 9.25 Mil	9.85 9.85 11.18 11.15 16.28 15.93 13.49 13.49 ttelworth Terps Gen 0.86	0.6378 0.5536 0.5536 0.8553 0.45731 0.4431 von a <sup>1</sup> sutinol.	6.288 6.288 6.144 6.177 5.882 5.948 6,997 6.492 6.100
13,5 13,25 9 25 9 25 11,75 7,75 8 Mil Spec (	8.11 8.11 11,11 11,16 8.99 13.20 14,28 ttelwerth Terpe ieu 0,9	0.6495 0.6375 0.4431 0.4431 0.5856 0.5856 0.5731 0.851 0.851 0.851 0.851 0.851 0.851 0.851	5,270 5,173 4,947 4,969 5,085 5,085 4,924 5,114 5,071 a. 21 C. σ <sup>2</sup> 6,370 6,021	13.25 13.25 11,5 11,5 7,75 9,25 9,27 Mit Spec G	9.85 9.85 11.18 11.15 16.28 15.93 13.48 13.43 ttelworth Terpe 5cm 0.86	0,63% 0,5536 0,5536 0,5533 0,5734 0,4431 0,4431 von a <sup>4</sup> sutinol. S Temp	6.288 6.288 6.14 6.177 5.882 5.248 6,007 6,007 6,100 20 C.
13,5 13,25 9 25 9 25 11,75 11,75 7,75 8 Mills Spec (C	8.11 8,11 11,11 11,16 8.99 13,20 13,29 ttelworth Terpo ieu 0,90	0.6495 0.6375 0.4431 0.4431 0.5656 0.5656 0.731 0.8651 0.8651 0.8731 0.6374 0.6374 0.6374	5,270 5,173 4,947 4,989 5,085 4,924 5,114 5,071 0, 21 C. 0,21 6,170 6,021 5,91	13.25 13.25 11.5 11.5 7.3 1.75 9.25 9.25 9.25 Mit	9.85 9.85 11.18 11.15 16.28 15.93 13.48 13.49 Terpe Sen 0.86	0,6478 0 5546 0 5546 0,8543 0,4544 0 4441 0,4431 von a <sup>1</sup> mutinol. (8 Temp	6.288 6.288 6.14 6.177 5.882 5.948 6,997 6.492 6.100 20 C.
13,5 13,25 9 25 9 25 11,75 11,75 7,75 8 Mill Spec (	8.11 8.11 11.11 11.16 8.99 13.20 14.28 ttelwerth Terpo eu 0.90	0.6495 0.6375 0.4431 0.4431 0.5656 0.531 0.5656 0.6731 0.551 0.6731 0.6731 0.6731 0.6331	5,270 5,173 4,947 4,947 4,989 5,085 4,924 5,114 5,071 5,071 6,170 6,021 5,916 5,976	13.25 13.25 11.5 11.5 7.3 7.75 9.25 9.25 9.25 Mit bpec G	9.85 9.85 11.18 11.15 16.28 15.83 13.48 13.44 rtelworth Terps San 0.86	0,6478 0,5536 0,5536 0,5538 0,4431 0,4431 von a <sup>4</sup> sutinot. S. Timp	6.288 6.288 6.144 6.177 5.882 5.948 6,907 6.402 6.100 20 C.
13,5 13,25 9 25 9 25 9 25 11,75 11,75 7,75 8 Mill Spec (	8.11 8.11 11.11 11.16 8.99 13.20 13.28 ttelwerth Terpo čeu 0.9:	0.649% 0.637% 0.4431 0.4431 0.56.6 0.56.6 0.531 0.851 0.851 0.731 0.6571 0.6571 0.6374 0.7731 0.7731	5,270 5,173 4,947 4,985 5,085 4,924 5,114 5,071  21 C.   6,370 6,021 5,991 5,996 5,909	13.25 13.25 11,5 11,5 7.75 9.25 9.25 9.25 Mill Spec G	9.85 9.85 11.18 11.15 16.28 15.93 13.49 ttelworth Terps 6m 0.86 9.79 9.79 11.09 13.49	0,6478 0,5536 0,5536 0,5536 0,5536 0,4431 von a <sup>4</sup> sutinol. S. Temp 0,6478 0,6478 0,5438 0,4473	6.288 6.288 6.144 6.177 5.882 5.948 6,007 6.402 6.100 20 C. 4.1 6.244 6.244 6.256 6.138 6.138 6.138
13,5 13,25 9 25 9 25 11,75 11,75 7,75 8 Mi Spec ( 4 13,65 15,25 7,76 9 25	8.11 8.11 11.11 11.16 8.99 13.20 13.28 tzelwerth Terpo šeu 0.95 9.44 18.06 16.02 13.26 13.21	0.649% 0.637% 0.4431 0.4431 0.4431 0.56.6 0.56.6 0.5731 0.8531 0.8531 0.6524 0.3731 0.6524 0.3731 0.4431 0.4431	5,270 5,173 4,947 4,969 5,085 5,085 4,924 5,114 5,071 0, 21 C.	13.25 13.25 11,5 11,5 7,75 9.25 9.25 9.27 Min 5pec G	9.85 9.85 11.18 11.15 15.93 13.44 13.44 telworth Terps 5cm 0.86 9.72 11.09 11.09 13.48 13.72	0,6328 0,5536 0,5536 0,5536 0,5538 0,4431 von a <sup>4</sup> sutinol. S. Timp 0,6378 0,6378 0,5386 0,4573 0,4573	6.288 6.288 6.144 6.147 5.248 6,007 6.402 6.100 20 C. 4.1 6.244 6.266 6.158 6.164 6.178

While we do Weitle was of and die daraus betech noted Warfer for H 2 is einer Tabelle rusanimentiere a noted for the interest Temperatur, ungefähr 20 C. the tagen of Hermitian The Weitle of Constitutes of the frequent Floringkeiten, the rote Hermitian Prof. Quin ke aus in Managemen Weitlen, dass der Contactwinkel Nun ware, sind a zen bei der letten Contactwinkel Nun ware, sind a zen bei der letten Contactwinkel Nun ware, sind a zen bei der letten Contactwinkel Nun ware, sind a zen bei der letten Contactwinkel Nun ware, sind a zen bei der letten Contactwinkel Nun ware, sind a zen bei der letten Contactwinkel Nun ware, sind a zen bei der letten Contactwinkel Nun ware, sind a zen bei der letten Contactwinkel Nun ware, sind a zen beschingen herringen Lindwickungt.

	Ny fara	41	H 2	- fork	al
3.5	791	1 1/4	2.35 E	(i Traye.	1.615
that pring \$ 1000	1	14 +53	7.53	Ester	14.87
(L, c f fm	1 405	3 . 23	J Bush	-	
(), t pp	1,455	300,00	27.1	1,4%7%	31.71
Por - m	0.273	5.115	2.441	0.7477	6.434
4 Fresh Streets	GNIE	7.110	335	1-1-55	710
tegen a begen di	1.075	6473	3,240	1.56%	5,273
1 17-11-1	0 -46	6,2107	2 7 2%		
Ton-utile !	(r == 3 *	5,5-0	2714		-
Terpen c. 1 .	(1.76)	6 (~0)	2,552	Cares 4	6,234

Die sehr kleinen Abweichungen zwischen den Werthen von all welche mit den beiden ganz unabhangigen Methoden erhalten worden sind, liegen weit innerhalb der Grenzen der bei wachen Messungen unvermeidlichen Beobachtungstehler. Wir durfen also aus dieser Lebereinstimmung den Schlussziehen, dass der Contactwinkel in den Quincke schen Capillarröhren wirklich Nall oder fast Nutl war

Die einzigen Flüssigkeiten in dieser Reihe, deren Constanten mit den Resultaten von anderen Beobschtern si is vergietehen lassen, sind Wasser und Olivenol. Das specifische Gewicht der anderen Flüssigkeiten, mit Ausnahme von Terpentinol, die son Gay-Lussach und Frankenheim und Sondhaus? untersucht worden sind, ist so ungleich, dass man sie nicht vergleichen darf. Terpentinshat nach den Untersuchungen von Frankenheim und

<sup>1</sup> Gay Lussae, Laplace Mée, Cél, Sappl. an Xe hvre.

<sup>2)</sup> Frankenheim und Sondhaus, Pogg. Ann. 72. p. 211, 1847.

Sondhaus einen grosseren Werth von af als den vorher angegebenen. Die Verhältnisse dieser Flüssigkeit sind wegen ihrer leichten Oxydirbarkeit so eigenthümlich, dass man wenig Gewicht darauf legen sollte. Für Wasser brauchte Laplace, nach Beobachtungen von Gay-Lussac, af=14.80. Frankenheim und Sondhaus geben 14.84 und Brunner!) 14.76. Diese Werthe sind mit Hülfe der Coefficienten von Frankenheim und Sondhaus!) für die Temperatur von 20° C. berechnet.

Für Ohvendl findet Brunner bei 20° C. at = 7,25.

Die Werthe wurden aus der Steighöhe in engen Röhren erhalten, mit Berücksichtigung des Gewichtes des Meniscus, dessen Einfluss Hr. Prof. Quincke in seinen Berechnungen nicht in Betracht gezogen hat. Sie sind deshalb wahrscheinlich ein wenig grösser als die von ihm angegebenen Werthe. Die Folgerung, dass der Contactwinkel Null ist, wird dadurch nicht geandert; weil, wenn er nicht Null wäre, die Werthe aus der Steighöhe kleiner und nicht größer als die Werthe wurden, die durch die hier angewendete Methode erhalten werden. Der Unterschied von 1 bis 3 Proc., der bei Beobachtungen dieser Art sehr gering ist, lässt sich aus der Schwierigkeit der Messungen der Größe des Bildes und der Thatsache, dass es bei meiner Methode nothwendig war, die Obertlache der Atmosphäre auszusetzen, leicht erklären.

# § 3. Betrachtung der Form von Tropfen.

Hr. Prof. Quincke, hat aber eine Reihe von Werthen derselben Constanten gegeben, die aus der Gestalt von Tropfen berechnet sind, welche in Widerspruch mit den vorher gefundenen Werthen stehen. Er zieht diese Werthe den anderen vor, und gerade aus diesen folgert er, weil sie grösser sind als die anderen, dass der Contactwinkel nie Null wird. Meiner Meinung nach hängt dieser Widerspruch nicht von einer unstatthaften Annahme in Bezug auf den Contactwinkel in den Beobachtungen mit Capillarröhren ab, sondern theils von

<sup>1:</sup> Brunner, Berl. Monateber, 1846 p. 181.

<sup>2)</sup> Frankenheim und Sondhaus, Pogg. Ann. 122, p. 177, 1864.

<sup>3)</sup> Quincke, Pogg. Ann. 189, p. 1, 1870.

der Formel, mit welcher von Hrn. Prot Quincke die Spanning aus der trestalt berechnet wird, theils von der nicht genugenden Grosse der Tropten, welche beobachtet wurden.

Die Methode, welche Hr Prof. Quincke anwandte, ist folgende. Bei Quecksilber beobachtete er einen grosse Trouten, der auf einer horizontal gelegten Glasplatte lag und bei den benetzenden Flussigkeiten eine Blase unter der Pratte. Er mass die Entfernung zwischen der Kuppe des Tropfens und der Horizontalebene, die durch den grossteitunchmesser des Troptens gelegt war. Im auch eine Bereitnung des Contactwinkels auszuluhren, mass er die gand Höhe des Tropfens. Der Durchmesser des Tropfens ist in den Tabellen angegeben, aber er ist von Hrn. Prof. Quin. kein der Berechnung nicht gebraucht worden.

Man bekommt die Formel, welche zur Ausrechnung der vorher erwähnten Resultate gedient hat, aurch eine Betraibtung der Grundformel der Capillarität. Es ergibt sich, dass der Höhenunterschied zwischen der Kuppe und dem grossten Querschnitte des Troptens naherungsweise gleich der Umstanten a = 1 H a ist. In der Amenung dieses einfacht Verhaltnisses muss man aber den Krummungsradius der Kuppe und auch den größseren der Hauptkrumm ingsrafien in einem Randpunkte des grössten Querschnittes gegen ihn kleineren als unendlich gross betra hien. Dieses geht aber bei Tropten von der Grösse, welche Hr. Prot Quancke gebraucht hat, nicht an.

Fig. 2

Wenn der Tropfen eine solche Gestalt hat, wie die Figuangibt, und wir den Krümmungsradius / in dem Punkte, als unendlich gross betrachten, so ergibt sich leicht, dass  $ig = H/2.1 \ r$  ist, wo x das specifische Gewicht. H/2 die Oberflächenspannung, q die gemessene Höhe, und r der Krummungsradius des senkrechten Querschnittes in dem Punkte p bedeuten. Daraus haben wir als erste Annäherung für r,  $r = H(s, 1/2q = n^2/1/2q)$ . Es ist aber auch als erste Annäherung  $n^2 = q^2$ , also r = q/2. Aus dieser Formel finden wir die Verhaltnisse der beiden Krümmungsradien r und l in den Messungen von Hrn. Prof. Quincke; für Quecksilber in einigen Fällen ist ungefähr r/l = 1/11, in anderen Fällen l = 1/4/10. Für Wasser ist dieses Verhältniss noch grösser; es ist r/l = 2/10; für Alkohol ist es l = 1/25/15; für Olivenöl l = 1/15/15; s. w. Wenn aber solche Verhältnisse in der ersten Annäherung als versehwindend angesehen werden, so kann die erste Annäherung nicht als genügend erachtet werden.

As ist schon von Prof. Bashforth bemerkt worden, dass dieser Fehler in den Berechnungen von Hrn. Prof. Quincke vorkommt; und Hr. Prof. Quincke hat selbst erwähnt, dass die einfache Formel, die er brauchte, einen zu grossen Werth geben würde. Es scheint aber, dass er die tirösse der Correctionen nicht bemerkt hat.

Fine Formel, welche eine weit grössere Annäherung an a' gibt, rübrt von Poisson! her.

Sie lautet

$$a^2 = q^3 + \frac{2q\,a^4}{r} + \frac{\sigma}{3f} (212 - 1).$$

worin l = l + 1/2 - 1/a ist, und b den Krummungsradius der Kuppe des Tropiens bedeutet. Um diese Formel anzuwenden, setzen wir zuerst  $a^1 = q^2$  und brauchen dann diesen Werth von a in der Berechnung der Correctionsglieder. Eine solche Annäherung ist fast immer genügend. In allen Fallen, in welchen der Gebrauch dieser Formel zulässig ist, hat das Glied  $2qa^2$  b einen sehr kleinen Werth. Die Formel, woraus ich in den Fällen b berechnet habe, in welchen das Glied  $2qa^2$  b eingeführt wurde, findet sich bei Poisson.  $l_1$ 

# § 8. Die Constanten of nach den Quincke'schen Beobachtungen

Mit Hülfe der oben angegebenen Formel berechnete ich aus Hrn. Prof. Quincke's Beobachtungen die folgenden Werthe der Constanten a<sup>2</sup>.

- 1 Porsson, Noavelle That of p 217
- 2. Poincon, Noavelle Théorie p. 20.

45			_	9.	į,	21	5.		_
Q	ш	0	C	F6.	9	ы	U	3	Er.

21	Y	11	27	Ł
25.0	2.934	1,701	}h,	4.112
15516	12 50.08	7.4	27.6	4.069
* 20	13 813	6 +45	222	3 972
3	fittelwe-th	7,276	21,9	4 044
		.,	2 (	4,611
" Matt	chwerthe vor	dres sehr	246 %	4 225
nabe uber-	mstunmende	n Tropten.	80.7	4 0001

Mittelwerth Alkohol.

Wasser.

17.475 14,047 141 2 15 490 1 1,8" 4 17.715 14,25%

15,822

-1	ы	я	v		Die.	X,	
----	---	---	---	--	------	----	--

21	1	a,	21	7	pr.2
+311,	82-01	N+162	31,3	2 %32	0,481
34	2,-50	7.301	+31.4	2,560	5 54%
11	2,543	7.7419	28.3	2611	6,105
33.2	2,909	7,570	253	2.14%	5 824
31.2	2,814	7.111	28.2	2 34	5 744
29.7	2,754	8 575	24.2	2,560	5,550
29.7	2 861	7.234	24.4	2,173	5.44 1
	littelwerth	7,403	2 - 5	2 591	0 020
		*,,,,,,		Mittelwerth	5,926

er In diesem und den folgenden Werthen wird b = 00 angenommen

\*Terpentinol.

'Schwefelk hlenstoff

21	4	a <sup>2</sup>
26,8	2,665	6,302
+29,8	*Steinol. +2,552	7,236

t Mittelwerth aus drei nahe uberemstimmenden Tropfen

"In diesen Rechnungen wird  $b = \infty$  angenommen.

2.7	q	eT <sup>±</sup>
+26 35	*2,205 2,490	4,39% 5,961
	Mittelwerth	4.696

-) Mittelwerth aus zwei nabe übereinstimmenden Tropfen.

In diesen Rechnungen wird  $b = \infty$  angeneinmen.

In der folgenden Tabelle werden die Werthe von a zusammengefasst 1. aus directen Messungen von r. 2. aus den Messungen in Capillarröhren von Hrn. Prof. Quincke, 3. aus den Quincke'schen Messungen an Tropfen, berechnet von Hrn. Prof. Quincke, 4. aus denselben Messungen von Tropfen. berechnet nach der Poisson'schen Formel.

Die Vergleichung der Werthe, welche aus dem Krummungsradius und aus der Steighohe berechnet sind, zeigt



Weithe von at Temp 201 C

	_					
	Grw.	Ame	Spec Gew.	Adn Stong holo	Ann o - y	P m is and
A kotoù	0,591	3.580	0,7 80.	3 659	4.574	5.1020
Destabries Wasser .	1	14,433	1	14,47	16,508	15 522
Cl r form	1.405	3,75%	_			-
Chartel ran	1,485	3,655	1,4575	3,673	4.194	
Petremu.	0,773	6,516	0,7877	6,434	5,116	7 276
Divend	0,910	7.110	0,9136	7,100	8.231	7.403
So towereak-alteristoff	1.274	53071	1,2557	5 278	5,161	4,670%
Terpentinol	0,564	6-100		- March	-	-
Terpentinol	0,233	5 ×26		-		_
Terpentinol	O,Nen	6.150	0.5%67	6,248	6,841	6,302
Quecksilber	13,540	6,764	13,543		5,127	7,275

sofort eine ganz gute l'ebereinstimmung. Die Werthe aus der ersten Annaherung a=q jedoch, und sogar diesenigen, welche aus der Potsson'schen Formel berechnet sind, sind bedeutend grösser. Es ist demnich nicht zu folgern, dass der Contactwinkel von Null verschieden sei, sondern dass die Potsson'sche Formel für Tropfen dieser Grösse keine genügende Genauigkeit ergibt. In der Ableitung der Formel betrachtet Potsson das Verhaltniss a i als sehr klein. Es ist über bei den beobachteten Tropfen nie klein und ist in einem Falle, bei Wasser, fast i., Der Durchmesser des Quecksilbertropfens, welchen Gay Lussach, beobachtete, war ein Decimeter. Hierbei war die Anwendung der Formel zulässig, was aber bei Tropfen von 2 oder 3 cm Durchmesser wohl nicht mehr der Fall 1st.

Zum Schlusse erlaube ich mir, meinem hochverchrten Lehrer Hrn. Geheimrath Prof. v. Helmholtz meinen aufrichtigsten Dank auszusprechen für die freundlichen Rathschlage, die er mir im Verlaufe dieser Untersuchung gegeben hat, und die Theilnahme, welche er an dem Fortgange der Arbeit ständig bewies.

Berlin, Physikal, Institut der Univ. Marz 1885.

<sup>1</sup> Cay Lussac, Méc Cél. Suppl à la Théorie de l'Action Capil-

# VIII. Beitrage zur Kenntniss der Elasticität des Eises; von K. R. Koch.

(Aus den Sitzungeber der naturfersch Gee, en Freiburg, untgette.)
vom Hen. Verf.

(Blerce Tof. 1) Fig. 4-7.1

Wahrend meines Aufenthaltes in Labrador in den Jahr .: 1882 83 habe ich versucht, soweit mir die Arbeiten, welcaich im Auftrage der Deutschen Polarcommission dort aufuhrte. Zeit dazu liessen, den Elasticitätscoefficienten der Eises durch Biegung von prismatischen Stäben zu bestimmen Es schien mir namentlich von Interesse zu sein, zu unter suchen, ob sich die elastischen Kräfte mit der Richtung ist Gefrierfläche andern, da verschiedene andere physikalisca-Eigenschaften des Eises eine solche Abhängigkeit von der Omentirung zeigen, wie aus den Untersuchungen von Brevster', Tyndali2), Bertin's, Reusch's, Klocke's a. a. hervorgeht. Aus den angestellten Beobachtungen ist en Unterschied der Elasticitatscoeincienten für Stabe, deren Langsaxen parallel, und sur solche, deren Längsaxen sentrecht zur Gefrierfläche lagen, nicht erkennbar; der erhalten wahrscheinlichste Werth weicht iedoch von den herkömmlich angenommenen, und besonders von dem neuesten von Hra-Reusch ermittelten so sehr ab, dass ich beschloss, die Veroffentlichung jener Versuche so lange aufzuschieben, bis ich durch Beobachtungen unter weniger unganstigen Versuchsbedingungen im hiesigen physikalischen Institute jene Wertle verificiren konnte. Während des Januars dieses Juhres habe ich diese Versuche ausgeführt.

Zur Messung der Biegung des auf 2 Lagern ruhenden in der Mitte zwischen ihnen belasteten Stabes wandte in

<sup>1)</sup> Brewster, Phil. Trans. 1814, 1818.

<sup>2)</sup> Tyndall, Auszag in Pogg, Ann. 108, p. 157 ft. 1858

<sup>3)</sup> Bertin, Ann. de chim et de phys. (3) 69. p. 87 ff 1868, 4 lp. 240 ff. 1864, (5) 18. p. 283 1878.

<sup>4)</sup> Reusch, Pogg. Ann. 121. p. 573, 1864.

<sup>5;</sup> Klocke, Freib. Ber. 7, p. 417 ff 1879.

einen Fühlhebel mit Spiegelablesung an, dessen Stellung in bekannter Weise mit Fernrohr und Scala beobachtet wurde. Ein solcher Fühlhebel eignet sich speciell für diese Unterauchungen aus zwei terinden; erstens gestattet er, die Beobachtungen aus der Ferne zu machen, sodass der Eisstab während der Messung der Einwirkung der Körperwärme des Beobachters möglichst entzogen ist: ausserdem ist es wegen der grossen Deformationsfähigkeit des Eises nothwendig. möglichst geringe Belastungen anzuwenden; der Fühlhebel gestattet nun, auch diese nur kleinen Beträge der elastischen Biegung noch mit der erforderlichen Genauigkeit zu messen. da man ihn durch Aenderung seiner eigenen Dimensionen und des Abstandes von Spiegel und Scala beliebig empfindlich machen kann. Der Anwendung eines Fühlhebels für absolute Messungen steht bekanntlich die Schwierigkeit der Bestimmung der Dimensionen desselben im Wege. Gibt man dem Fühlbebel die im Folgenden beschriebene Einrichtung, so lässt sich jedoch die Länge desselben mit grosser Genauskeit ausmessen. An ein dreieckig geschnittenes Stück Eisenblech von hinreichender Stärke A Fig. 4) waren drei möglichet kurze Nadelspitzen a a 8 ungelöthet. Dieser Fühlhebel stand mit den beiden Spitzen au in einer Linie, die mit einer Feilenspitze auf einer Glasplatte gezogen war, während die Spitze 3 auf dem zu messenden Gegenstand ruhte. Bei einer Aenderung der Lage der Spitze 3 findet alsdann eine Drehung um uu statt, die in bekannter Weise durch einen Spiegel B. der über au angebracht ist, vermittelst Fernrohr und Scala bestimmt werden kann. Die Ausmessung dieses Fühlhebels konnte nun sehr genau und einfach zugleich dadurch bewirkt werden, dass man denselben mehrere mal nebeneinander auf einem auf ein Brett gespannten Papiere sanft abdrückte. Durch die Spitzen entstehen Dreiecke, markirt durch sehr feine Löcher im Papiere, die ich mit einem feinen Masssstabe (von Dennert und Pape) ausmass. Es lässt sich hieraus die Höhe des Dreiecks aud, mithin also die Länge des Kuhlhebels finden; der mittlere Fehler der Höhe (also der Länge des Fühlhebels) wird hierbei ausserordentlich klein. Bedingung ist nur, dass

die Pestte A und die Spitzen must mogheles starr sind, um den dem Abdrücken auf dem Papier kein- elastische Desimmation zu erleiden, der absonite Werth wird dann nur von der trenauigkeit der Arlesung und der Richtigkeit des angenantiten Maassstades si langig sein, z. B. betrug ier einem Fundschel von 74-562 mm Lange der mittiere Feher willted imm

Die Messungen der Dicke und der Breite der Stille geschaben in Labrador ebenfalls mit einem solchen Spiegelfahliebel. Ich konnte diese Messinzen nicht ühne tremte Huse austühren. Hr. Missionar S. Weiz batte die Gitte mich hierbei zu unterstützen und den zu messenden Stah unter dem Fühlhebel zu verschieben. Die Dicke der Stahe wurde an 30 verschiedenen Punkten bestimmt, von denen is drei in derselben Querlinie des Stabes lagen. Die Breite wurde an zehn verschiedenen Punkten gemessen. Bei der Untersuchungen, die ich in Freiburg anstellte, wurden diem Messungen entweder mit dem Sphärometer oder mit einem feinen Kulibermaussstabe auszeführt

Hauptsächlich drei dem Eise eigenthümliche Eigenschaften geben Anlass zu Fehlerquellen. Diese Eigenschaften sind die folgenden die Verdunstung, die Plasticität, die elastische Nachwirkung. Der Einfluss derselben aus die Resultate soll im Folgenden besprochen werden.

A. Die Verdunstung. Selbst bei tiefen Temperaturen findet bei hinreichender Trockenheit der Lust eine merkiiche Verdunstung des Eises statt; dieselbe wird hei Temperaturen die sich dem Nullpunkte nähern, ausserordentlich stark. Es muss deshalb die Dimensionsbestimmung in unmittelbarem Anschluss an die Beobachtung der elastischen Biegung er folgen. Dies war bei den Versuchen in Labrador wegen der Kürze der Tagesdauer und der Nothwendigkeit, für die Dimensionsbestimmungen einen Gehülten zu haben, in der Regel nicht möglich. Ansänglich entging mir diese Fehlerquelle, bis ich gegen den Schluss der dort (in Labrador) angestellten Versuche bei einer Messung, die sich über mehrer Tage erstreckte, eine stetige Zunahme der Biegung unter sonst gleichen Bedingungen bemerkte. Die Belastung und

die Lange des Stabes blieben dieselhen, die Temperatur des Beobachtungstaumes änderte sich während dieser Zeit um hochstens 1° C.; ich erhielt die folgenden Werthe für die Biegung nach folgenden Zeiten:

Zeit nach 0 17 44 7e h Biegung - 0,124 0,161 0,202 0,240 mm.

Eine am Aniang und am Ende der Verauchsreihe vorgenommene Dimensionsbestimmung zeigte in der That eine starke entsprechende Abnahme der Dicke und Breite des Stabes.

B. Die Plasticität. Eine zweite Fehlerquelle bildet die grosse Deformationsfähigkeit des Eises. Ein Eisstab von 314 mm Länge, 7.8 mm Dicke, 16.0 mm Breite wurde z. B. ber einer Temperatur von - 15° C. durch eine permanente Beliestung von ca. 200 g in ca. 3 Stunden so gebogen, dass der Pteil der Biegung ungefähr 35 mm betrug. Legte man jetzt den Stab um, so konnte er mit Leichtigkeit durch dasselbe Gewicht wiederum gerade gehogen werden. Das Eis verhalt sich also wie ein plastischer Körper: hierdurch werden die Messungen der Biegungen ausserordentlich erschwert: auch bei tiefen Temperaturen z. B. - 25° C. ist diese Deformation noch bedeutend. Es wurde deshalb immer nur die Hebung der Mitte des durchgebogenen Stabes bei der Entlastung als Werth der Biegung genommen; doch sind auch hier die einzelnen Beobachtungen mit Fehlern bis zu 3", behaftet. Da namlich während des Angreifens der Bela-tung ein continuirliches Wandern der Scalentheile durch das Fadenkreuz stattfindet, so ist es schwer, bei dem Angreifen der Arretirung, das zur Verhinderung von Stössen alimählich zu geschehen hat, den Punkt, wo die Hebung wirklich eintritt, aufzufassen. Als praktisch erwies sich, die Belastung möglichst gering zu machen, dafür aber die Dimensionen des Fühlhebels und die Entfernung vom Spiegel und Scala so zu wählen, dass die Biegungen noch mit der nothigen Pracision gemessen werden konnten.

C. Die elastische Nachwirkung. Wenn dadurch, dass nur bei der Entlastung beobachtet wird, der Einfluss der Plasticität möglichst unschädlich gemacht ist, so ist hierdurch der Fehler, welcher durch die elastische Nachwirkung hervorgerusen wird, nicht ehminist. Nach vollständiger Entlastung findet eine weitere Erhebung um mehrere Scalentheile statt. Da bei der gebotenen allmählichen Entlastung auch das scheinbare Wandern der Scalentheile durch das Fadenkreuz allmählich langsamer und langsamer wird, so ist es schwierig und erfordert grosse Ausmerksamkeit und l'ebung, um die eine Erscheinung von der anderen zu trennez im Anhange zu beschreibende Versuche geben eine Vorstellung von der ausserordentlichen Grösse der elastischet Nachwirkung.

Resultate. Als Material dienten in Labrador verschiedene Blöcke von ca. I chm Volumen, die ich durch Eskimos aus dem 2 bis 3 m starken Eise eines benachbarter. Sees herausmeisseln liess. Das von der Oberhäche bis meiner Dieke von 36 cm lufthaltige Eis war von da ab bis zu einer Tiefe von 79 cm vollkommen luttfrei und klar. Aus dieser klaren Schicht wurden die Stäbe in folgender Weithergestellt. Nachdem aus dem Blocke mit einer grobszahnten Säge (die Zähne waren 1 bis 2 cm lang) die Stäbe roh zugeschnitten waren, wurden sie in einem möglicust kalten Raume auf einer erwärmten Platte durch Abschmelzen in die gewünschte Form gebracht. War hierbei die Platte zu heise, so zersprang das Eis ähnlich wie Glas. 1)

Die meisten der in Labrador erhaltenen Werthe liegen sowohl für Stäbe, deren Längsaxen senkrecht, wie für solche bei denen dieselben parallel zur Gefrierfläche lagen, zwischen 800 bis 900  $\frac{kg}{m\pi}$  (Gewicht); dieselben sind jedoch vermuthlich zu gross, da zwischen der Messung der elastischen Biegung und der Dimensionsbestimmung eine Verdunstung, also eine Abnahme der Breite und Dicke stattgefunden hat. Nur bei einem der untersuchten Stabe fällt die Dimensionsbestimmung in die Zeit der Messung der elastischen Biegung. Nimmt mas den so erhaltenen Werth als den wahrscheinlichsten. Werhält man E = 696  $\frac{kg}{mm}$ . An weiteren Untersuchungen

<sup>1)</sup> Ueber die Spiddigkeit des Eues vgl. die Versuche von lim Reusch, Pogg. Ann. 121. p. 573 ff. 1864. Ueber das analoge Verhalten von Ess und Glas vgl. J. Drummond. Phil. Mag. (4) 18. p. 102 ff. 1852.

<sup>2)</sup> Dieser Werth wurde aus fünf voneinander anabhängigen Beob-

wurde ich durch nothwendige Reisen verhindert, die ich im Auftrage der Polarcommission auszuführen hatte. Weil der so erhaltene wahrscheinlichste Werth so ausserordentlich von dem neuesten von Hrn. Reusch gefundenen  $(E=236.3 \frac{M_{\rm min}}{mn})$  Werthe abweicht, so wiederholte ich die Untersuchungen im Freiburger physikalischen Institute.

Das Material für diese Versuche bestand aus Blöcken, die ich aus den benachbarten Eisweihern erhielt; das Eis war nicht luftfrei, wie dasjenige, mit dem die Versuche in Labrador angestellt waren, sondern von Luftkanälen durchzogen. Die Längsaxe der Stäbe lag bei allen parallel zur Gefrierfläche. Eintretendes Thauwetter verhinderte leider die Untersuchung von Stäben, deren Längsaxen senkrecht zur Gefrierfläche lugen. Ich erhielt für 4 Stäbe aus vier verschiedenen Blocken verschiedener Herkunft folgende Werthe:

Stab I Elast. = 
$$646 \frac{M_{min}}{min}$$
; Temperatur =  $-4.0^{\circ}$  C.  
• II • =  $628 \cdot \cdot \cdot \cdot \cdot \cdot = -3.8 \cdot \cdot \cdot \cdot = -6.8 \cdot \cdot \cdot = -7.0 \cdot =$ 

Muttel 541,5 für eine Temperatur von - 5,4 ..

Der Mittelwerth ist also ebenfalls beträchtlich grösser als der von Hrn. Reusch gefundene Werth = 236,3.

Hr. Reusch hat vermittelst eines Sonometers die Schwingungszahl des Tones bestimmt, den eine in der Nähe der äusseren Fünstel ihrer Länge unterstützte transversalschwingende Eislamelle gub, und daraus nach der bekannten Seebeck'schen Formel den Elasticitätscoeshierenten berechnet. Es lag nun nahe, zu vermuthen, dass die grossen Unterschiede in der Verschiedenheit der Methode begründet sind. Nach Analogie der meisten anderen Substanzen ist jedoch zu erwarten, dass die Werthe der Elasticitätscoöfficienten, welche nach einer dynamischen (akustischen) Methode bestimmt sind, grössere sind, als die durch statische Versuche (Biegung) erhaltenen; nach den Versuchen Wertheim's zeigt nur ein achtungsreihen gewonnen; die Mittelwerthe der einzelnen Reihen gaben

achtungsreihen gewonnen; die Mittelwerthe der einzelnen Reihen gaben für den Pfeil der Biegung 0,208 mm, 0,201 mm, 0,205 mm, 0,206 mm, Mittel 0,204 mm. Korper (das Eisen, das entgegengesetzte Verhalten.) Ich wandte die von Hrn. Warburg angegebene Methode? an indem ich die Schallgeschwindigkeit S, in einem Eisstabwerglich mit der bekannten Schallgeschwindigkeit S, in einem Messingstabe, wenn beide durch einen sesten Steg mitein ander verhunden gemeinsame Schwingungen ausführen. Sin dann I, und I, die entsprechenden Längen der schwingender Abtheilungen im Eisstabe und Messingstabe und A, und A, die zugehörigen Dicken derselben, so ist:

$$S_{\epsilon} = S_{\mathbf{m}} \frac{l_{\epsilon}^{-1}}{l_{\mathbf{m}}^{-2}} \cdot \frac{k_{\mathbf{m}}}{\lambda_{\epsilon}}$$

Daraus bestimmt sich in bekannter Weise der Elasticitäts coefficient des Eisstabes  $E = (S_c^2 d) q$ , wenn d die Dichte und q die Intensität der Schwere bezeichnen. Ihe Brobachtung gelang an 3 Stäben, deren Längsaxen parallel der Gefrierfläche lagen, jedoch nur an einem Stabe, dessen Langsaxe senkrecht zu jener Fluche lag. Sieht man von den Werthe ab, der bei der Untersuchung des letzten Stabefder senkrecht zur Gefriertläche orientirt wars gefunden wurde weil nur eine Beobachtungsreihe an einem Stabe gelang, w erhält man als Mittelwerth des Elasticitätscoefficienten ft. einen Stab, dessen Längsaxe parallel zur Gefrierfläche liegt. E = 584 kg Die Werthe des Elasticitätscoëfficienten der 3 Stabe werchen jedoch untereinander mehr ab, als die Werthe welche durch Biegung gefunden wurden; leider machte das eintretende Thauwetter die Fortsetzung der Versuche undie Ermittelung der Ursache jener Abweichungen unmöglich Dieser nach der dynamischen (akustischen) Methode gelundene Coefficient verhält sich zu dem durch statische Verauch-(Biegung) erhaltenen wie 1,37.1. Versuche mit einem Spiegelglasstabe ergaben 1,26 (dynamisch) : 1 (statisch). Aehnlich grosse Abweichungen der nach diesen zwei verschiedenen Methoden erhaltenen Werthe zeigen nach den Versuchen Wartheim's:

ti Werthheim, vgl. Pogg. Ann. Erg. 2, p. 60 ff 1848

<sup>2)</sup> Warburg, Pogg. Ann. 136, p. 285 ff. 1869

	Elisticită	Elasticitătsco-tücient		
	statisch	dymonach	dv	
Blet gezogen	1983	2274	1 26	
· angela-sen	1727	2146	1,24	
Gold angelassen	3585	6872	1,14	
Palladium angelassen .	9789	11281	1,15	
Stabulraht angenassen .	17278	19200	1,11	

Nimmt man mit Hrn. F. Kohlrausch han, dass die Unterschiede in den Elasticitätscoessicienten, je nachdem man sie durch statische oder dynamische Versuche bestimmt, herrühren von der elastischen Nachwirkung, so befremdet das grosse Verhältniss 1,37:1 nicht bei der starken elastischen Nachwirkung, die das Eis zeigt. Jedenfalls sind die nach der akustischen Methode gewonnenen Werthe nach grösser als die durch die Beobachtung der elastischen Biegung erhaltenen; wie es analog dem Verhalten der meisten anderen Korper zu erwarten war. Die Differenz zwischen den Resultaten des Hrn. Reusch und den meinigen ist also nicht durch die Verschiedenheit der angewandten Beobachtungsmethoden zu erklären.

Zum Schlusse gebe ich in folgender Tabelle eine Zusammenstellung der bis jetzt gefundenen Werthe des Elasticitătscoëfficienten des Eises, so weit ich darüber in der mir zugänglichen Literatur directe Angaben gefunden habe.

Beobachter und Beobachtungsjahr	Clast retatementicient des Elses Stabase paració 200 Genternacho,	Temperatur	Methode
1426 Bevan')	59.)	?	Biegung
1571 Reusch's	246,8	Einige Grade unter Null	Schw agunge-
1822 as Koch	696	−9° C.	Biegung
INS6	641,5	-5,4° €.	Biegung
*4 F & y &	854	-7° C. {	Abstand der Knotenlinden bei Transverau- schwingungen

3) Reusch, Wied Ann. 9, p. 831, 1880.

<sup>1:</sup> F. Kobirnusch, Prakt. Physik § 34. 2 Bevan, Phil Trans. 1826. p. 304. Mousson Phys. 1. § 217 gibt als Werth für Bevan's Versuche 541 an. Dieser Werth ist falsch. Bevan selbst gibt die mittlere Dicke seiner Lamelle unrichtig an. Aus diesem .uurichtigen) Werthe wurde folgen 514.

#### Asuase.

Ich will im Forgenien nich einige Bestelltungen mittheilen, die ich wahrend meines Aufrichnites in La rad i gelegentlich über einige andere physikausche Eigenschaftet des Eises gemacht habe.

1 Die elastische Nachwirkung. Ein Stab dessei Längenze paradel zur Getrierfläche lag, von da. 314 ma lange, 10 mm Dicke und 20 mm Breite wurde auf 2 Lagen rübend während einer Zeit vin 6 Stunden mit einem Gwichte von 250 g belastet. Er wir stark gekrumint. Asdann wurde der Stand an der Scala notiert, die Belastung aufgehoben und das Zurückgehen des Stabes beobachtet. Die folgende Tabelle nebst der graphischen Darstellung (Fig. 5 zeigt in Scalentheilen die Grösse und den Vermader elastischen Nachwirkung. Die Temperatur schwankte zwischen – 12,5° und – 15,0° C.

Zen	At raing and a sala	Differenz		Last		A lang	Dinese_
Mani	1	_	is Mi	1 =	311	N. France	1
mit Betactung	518,51	-		- 21	15	561,0	1.1
Mand asteri	1	12.5		21	30	561.5	11
meh Weg				23	U	162,0	0,2
tiali-e les	531.6			- 28	400	State 1	112
Belasting		19.0		3/7 #-1	311	unwit.	0,8
um 11 br 15	1	15,0		- 29	-0	5121 5	0 (
11 11 15	546.0	per Mo		20	30	364,0	11
- 18 27	501,0	2,3		- 3(1	- 31	564,5	(4)7
15 15	854,0	1,7		31	40	560(1)	Out
15 50	555,0	1,5		- 34	40	Dest, is	0.1
16 40	554,0	1,4		9.5	40	District	- 1
17 80	557.0	1,0		;		:	
19 26	55%,0	1.0		211 47	()	576,0**	

<sup>\*</sup> Temperatur der Luft -12,5° C. \*\* Temperatur der Luft -13.0° C.

Der Versuch wurde in Freiburg wiederholt. Das angewandte Gewicht (150 g) wirkte jedoch nur 1<sup>h</sup> 30<sup>m</sup> deformirend ein. Die Deformation selbst (Pfeil der Biegung) betrug nur 2,5 mm. Die Temperatur war dem Nullpunkte nahe; sie betrug im Mittel – 1,5° C. Die Größe der Nachwirkung is

hier eine geringere, weil auch die Deformation des Stalies eine kleinere war, als die des in Labrador untersuchten. Dre erhaltenen Resultate sind in der folgenden Tabelle und in Fig. 6 dargestellt.

Zes	t	Ables ing nu der Senla	Dift is a
115 195	1	belastet 100	
11-13-	44.	entlaster 40 tt	301
11 20	0	47.0	7.01
21	71	გიკი	1,0
22	0	50,×	0,5
- 33	()	51,3	0.5
24	0	61+	0.3
27	0	51,5	0,2
26	į)	51,*	0.5

Der Verlauf beider Curven ist ahnlich; beide zeigen, dass mit Entfernung der Belastung infolge der clastischen Nachwirkung anfänglich mit grosser Geschwindigkeit ein weiteres Zuruckgehen erfolgt, das langsamer werdend den Stab in einen stationären Zustand überführt. Bei dem in Lahrador angestellten Versuche ist dieser Zustand jedoch nach 12 Stunden Dauer scheinbar noch nicht erreicht.

2) Die Plasticität. Die bei den Messungen der elastischen Biegung beobachtete starke Deformation bewog mich, direct die Zählüssigkeit des Eises zu untersuchen, indem ich nach der von Hrn. A. v. Obermayer angewandten Methode'; für einen Eiseylinder den Coefficienten der inneren Reibung durch Pressung in der Richtung der Axe zu bestimmen suchte. Die ersten Versuche lieferten ein negatives Resultat. Ich verkleinerte alsdann den Radius des Cylinders auf 1 cm und beobschtete dann wirklich bei einem in der Richtung der Cylinderaxe wirkenden Drucke von 5 kg pro Quadrateentimeter bei Temperaturen zwischen – 14 bis – 20 °C. eine von Stunde zu Stunde zu verfolgende Abnahme der Höhe des Cylinders. Die Messung wurde folgendermassen ausgeführt. Da die Anwendung eines Spiegelfühlhebels, wie der-

selbe zur Messung der elastischen Biegung benutzt wurde aus verschiedenen Gründen nicht anwendbar war, so vertuhr ich so, dass ich ein leichtes Fernrohr ich benutzte dara das kleine Beobachtungsfernrohr eines Pistor und Murtinschen Reflexionskreises, auf einen Fühlhebel lothete: diese: hatte dieselhe Construction wie der oben beschriebene, sod audie ganze Vorrichtung aus einem auf 3 Nadelspitzen ruherdem Fernrohre bestand; zwei von ihnen a, a, standen aueiner festen Unterlage in einer in Glas geritzten Linie, die dritte Spitze 3 ruhte auf der oberen Platte, an welcher die Gewichte angriffen, mit denen der Eiscylinder gepresst wurde. Das Fernrohr des Fuhlhebels (parallel dem von 3 auf a. a. gefüllten Lothe) war auf eine 20 m entfernte senkrechte Scale gerichtet. Ein auf dieselbe Scala gerichtetes Versicherungsfernrohr gestattete, die Unbeweglichkeit der Unterlage zu controliren. Nimmt jetzt die Höhe des Cylinders ab. 50 sinkt die Spitze 3 des Fühlhebels; es erscheint ein underer Theilstrich der Scala im Fadenkreuz. Aus der Differenz der Ablesungen an der Scala der Entfernung derselben von der Drehungsaxe des Fühlhebels (der auf das Glas geritzten Line und der Länge des Fühlhebels lässt sich dann in einfachet Weise der Werth finden, um welchen die Höhe des Encylinders abgenommen hat. Die Dimensionen des Fühlhebelwurden in der Weise gemessen, wie es oben beschrieben ist.

<sup>1)</sup> Dieser einfache Apparat eignet sich auch mit einigen kleinen Hulb vorrichtungen vorzuglich zu Messungen von Dicken und ersetzt, wie ist mich durch viele Versuche überzeugt habe, vollkommen die Mikromeer schraube. Pür den Gebrauch bequemer ist es, wenn man dem Apparat die folgende Einrichtung gibt. An der horizontalen Drehungsaxe A 1721 Fig. 7) eines Theodoliten joder überhaupt eines um eine horizontale Air drehbaren Fernrohres: ist ein Arm B (der Fernrohraxe parallel ange schraubt der unten eine Spitze C tragt; dieser gegenuber steht auf einer festen Unterlage D (mit den Lagern der Umdrehungsage fest verbunde: eme Vorrichtung B, wie ich dieselbe in Wied. Ann. 3. p. 611 beschriebes habe; es führen also der Arm B und das Fernsohr bei einer Drehne um A die gleichen Bewegungen aus. Die Vorrichtung E ermoglicht & einer Bewegung der Spitze C gegen E den Augenblick des Contacto beider johne merklichen Druck aufemander mit grosser Pracision zu be stimmen. Das Fernrohr ist auf eine in Millimeter getbeilte, entfereit senkrechte Scala gerichtet. Da man den Abstand der Spitze C von or

Die hiermit angestellten Beobachtungen sind leider über das Stadtum der Vorversuche nicht herausgekommen. Erst nachdem der Vorrichtung zum Pressen eine genaue Führung gegeben war, erhielt ich Resultate, welche die Erscheinung rein darstellten. Die Versuche erstrecken sich nur über 3 Tage (vom 16-18. April 1883.) (Von da ab war ich meiner obligatorischen Beobachtungen wegen an der Fortsetzung gehindert.) Der Eiseylinder hatte ursprünglich eine Höhe von 1 cm, der Radius betrug ebenfalls 1 cm. Die Belastung war 15 kg; gefunden wurde folgendes:

Daner les Versichs	Mitthere Temperatur	Abnahme der Hole is Cyliniers im ranson or ter Stando
44,7	-5,7' C	0.041 mm 0,0000 mm
6,2	2,5 .	Cot3 4 0,014 4
3.1	69 .	0.428 - 0.128 -

Man sieht, dass die Plasticität mit Annäherung der Temperatur an den Nullpunkt bedeutend zummmt. Es ist dies bereits von Hrn. Pfast aus seinen "Versuchen über die Plasticität des Eises"," gefögert worden. Dass das Eis auch bei tiefen Temperaturen noch plastisch ist, folgt aus den oben erwähnten directen Versuchen und aus der starken Deformation, welche die Stäbe bei der Bestimmung ihrer Elasticitätscoöfneienten zeigen.

3) Faseriges Eis. Bekanntlich bildet sich auf feuchtem Buden auf etwas geneigtem Terrain eine bestimmte Art Eis

Axe A nicht messen kunn, so graduirt man den Apparat durch einen Kerper eine Ghoplatten, dessen Dicke zwischen swei bestimmten Marken mit dem Spaltrometer gemessen ist. Bringt man zwerst Cimit E in Contact und neurt den durch das Fernre br anvisitea Theilstrich I, bringt dann ein gemessenen Korper zwischen C und E und neurt wiederum den im Fadenkreuz erscheinenden Theilstrich II, so entspricht der bekannten Dicke des Korpers eine bestimmte Anzahl a von Theilstrich ben; durch einfache Interpolation kann man absdann die Dimensionen jedes anderen zwischen C und E gelegten Korpers bestimmen.

1) Pfaff, Sitzungsber, d. phys.-med. Societat zu Erlangen. Heft 7, 1875, p. 72 ff.

das sogenannte faserige Eis.<sup>1</sup>) Dasselbe wuchs während des Winters in der Nähe der Missionsstation "Nain" an der Küste Labradors um 2—3 m. Es zoigte durchweg die faserige Structur; wie weit dasselbe in den Boden sich erstreckte, konnte ich nicht in Erfahrung bringen; jedenfalls verschwindet es während des Sommers nicht.

Phys. Inst. d. Univ. Freiburg i. B., 22. Febr. 1885.

IX. Bemerkungen zu einer Abhandlung von Herbert Tomlinson: Veber den Einfluss von Spannung und Deformation<sup>1</sup>) auf die Wirkung der physikalischen Kräfte; von Dr. Andreas Miller in München.

Unter obigem Titel hat Hr. H. Tomlinson<sup>3</sup>) eine sehr umfangreiche Untersuchung publicirt, von der ich erst kurz nach der Veröffentlichung meiner Abhandlung: "Ein Beitrug zur Kenntniss der Molecularkräfte"), und zwar aus einer Arbeit der Herren H. Götz und A. Kurz<sup>5</sup>) Kenntniss erhalten habe.

Die erstgenannte Arbeit zerfällt in 2 Theile, wovon nur der erste derselben, der vom Elasticitätsmodul handelt, hier in Betracht kommt. Obschon mir die bei meiner Untersuchung gemachten Erfahrungen Anlass geben, einige Punktdes erwähnten Theils der Arbeit von Tomlinson zu berühren, so ist doch nicht dieses der Grund, weshalb ich mu

2) Stress and strain, vgl. Thomson and Tast, theoretische Phys. dentsch, 1, p. XIII u. 1, p. XVI.

3) H. Tomlinson, Phil. Trans. 1883, p. 1.

<sup>1)</sup> Ueber die Structur desselben vergleiche: G. A. Koch im Jahr buch f. Mineralogie 1877 p. 459 und Fr. Klocke in den Ber. uber i Verh. der nat. Ges. in Freiburg. 7. p. 417 ff. 1879

<sup>4)</sup> A. Miller, Sitzungsb d. math-phys. Classe d. k. bayr. Acad Wissensch. Hft 1, 1885, p. 9.

H. Gotz u. A. Kurz, Rep. d. Phys. 21, p. 78, 1885.

gestatte, die genannte Forschung einer kurzen Besprechung zu unterziehen, sondern ich beabsichtige vielmehr, auf einen Punkt hinzuweisen, der nicht über allen Zweifel erhaben sein durfte, gleichwohl aber Tomlinson bei der Deutung seiner Versuchsergebnisse entgangen zu sein scheint.

Tomlinson bestimmt die longitudinale Elasticität verschiedener Metalle durch Anwendung eines Nonius und eines zusammengesetzten Mikroskops, wodurch eine Aenderung der Länge des Drahtes von 0.01 mm geschätzt werden konnte. Dadurch, dass der Nonius an dem zu prüfenden, der Maassstab an einem diesem ganz gleichen, constant belasteten Vergleichungsdraht angebracht war, hat Tomlinson den sonst die Versuche so sehr störenden Temperatureinfluss auf höchst einfache und sinnreiche Weise beseitigt.

Warum dagegen die Temperatur des untersuchten Drahtes von ihm gar nicht berücksichtigt worden ist, obschon er Versuchsergebnisse miteinander vergleicht, die sogar an verschiedenen Tagen erhalten wurden, datur gibt er keinen Grund an. Auch wird nirgends gesagt, dass für constante Temperatur gesorgt gewesen sei. Bedenkt man aber. dass es sich hier um ganz kleine Differenzen handelt, auf welche Tomlinson seine Schlüsse basiren muss, und erwägt ferner, dass die Wärme die Elasticität ziemlich erbeblich, in viel höherem Grade aber die elastische Nachwirkung beeinflusst, so muss das gänzliche ausser Acht lassen dieses Umstandes auffallen. Diese Unterlassung, zusammengehalten mit den Schlüssen, welche er aus seinen Versuchsergebnissen zieht, halte ich für geeignet, principielle Bedenken gegen manchen der ersteren zu erregen.

Weil nämlich Tomlinson die elastische Nachwirkung nicht berücksichtigt, aus diesem Grunde unterlässt er es vermuthirch auch anzugeben, wie lange nach jeder Be- und Entlastung des Drahtes er die Längenveranderung abliest: ob sogleich oder nach einer bestimmten Zeit oder beim Sichemstellen irgend eines Kriteriums. Nur in dem Experiment VI - angestellt mit Kapfer - thut er dies, weshalb Th dieses, weil ein bestimmtes Urtheil zulassend, herausgreife

and es unmittelbar unverandert folgen lasse.

## Experiment VI

Der Draht war einige Minuten mit einem Gewichte vor otwas über 5 kg helastet; nach der Beseitigung desselher wurden folgende Beobachtungen gemacht.

1. Zahi der kg	Zeit nach der perma- nenten Elongstion	3. Scalentheile	Academay by
8	4 Minuten	5,80	
(1	6	19.45	18.6%
왕	25 21	5,95	+1150
0	100 0	19,10	1.13
16	12 .	5.80	4110
0	14	18,80	1,000
ħ	16 .	5.75	4 18 05
0	15 .	18,70	12, 45
14	20	\$ 6h	+19 02
0	22 .	18,60	12,92
14	17"	5,65	
0	171 216	18,50	-12,65
8	4	5,60	+ 12,000

Hierzu bemerkt Tomlinson:

"Ein grosser Theil des hier beobachteten allmählichet Wachsens der Elasticität muss der Be- und Entlastung zugeschrieben werden.... Ein Theil nur rührt augenscheinheit von dem Eintlusse der blossen Ruhe her. Dies wird aubesten gezeigt, indem man für die verschiedenen Zeiten die Unterschiede zwischen den aufeinander folgenden + oder - Aenderungen nimmt.

Es ist auch zu beobachten, dass die + und - Werthsowohl hier, als auch in den Versuchen über das Eisen unter dem Einflusse von Ruhe und der Be- und Entlastung almäblich gleich werden."

An einer früheren Stelle (Seite 6) findet sich: "Die in allen diesen Untersuchungen angewendete Schale (zur Auf nahme der Gewichte) wog 2 kg etc."

Aus der stufenweisen Abnahme der Werthe in Rubrik ischliesst also Tomlinson auf ein stufenweises Wachsen der Elasticität. Nun aber sehen wir aus den Zahlen der Rubrik 3 nach der ersten Ent- und Belastung ein fortgesetztes Längerwerden des Drahtes bei 0 + 2 kg Belastung und ebenso bei 5 + 2 kg, was auf eine Abnahme der Elasti-

cität deutet. Hier steht man augenscheinlich vor einem Widerspruch, denn nur bei der ersten Ent- und Belastung ist die Elasticität gewachsen, was übereinstimmend die Zahlen der Rubrik 3 und 4 bezeugen, dann aber zeigt die Rubrik 3 ein Fallen derselben zu einer hestimmten Grenze. Mit einer kleinen Streckung des Drahtes haben wir es hier nicht zu thun; denn für's erste war derselbe vor dem Versuche schon mit mehr als 5, rosp. 8 + 2 kg belastet, und überdies könnte er, wie in diesem Falle, sich nicht wohl zuerst verkürzen und nachher wieder verlängern. Hier tritt uns höchst wahrscheinlich eine Nachwirkungserscheinung entgegen.

Um diesen Widerspruch zu lösen, ist zu berücksichtigen, dass die Metalle bei longitudinaler Deformation während der letzteren ihre Elasticität undern. Ich habe dies in einer besonderen Abhandlung!) gezeigt und will hier nur einen Versuch daraus, wenn auch verkürzt, anführen. Bei demselben wurde die Dehnung mittelst eines Hebels bewerkstelligt. Die Last liess ich durch Anwendung einer Schraube succ. wirken. Die Messung der Verlängerung und Verkürzung des Drahtes geschah durch eine Spiegelablesung, die noch eine Schätzung von 0.001 mm gestattete. Die ständige Be-Instung des Drahtes während dieses Versuches war  $\pi_1 = 8,117$  kg. (jedelint wurde er mit  $\pi_i = 12.467$  kg so, dass die (jesammtbelastung bei fortgesetzter An- und Abspannung zwischen π, und π, -π, kg auf das Quadratmillimeter des Querschnittes schwankte. Abgelesen wurde beim Eintreten der Maximal- und Minimalspannung jedesmal sogleich. Die Lange des Drahtes war d, = 1,001 m, der Durchmesser d = 0.686 mm. Die Temperatur des Drahtes während des Versuches stieg von 7,680 auf 7,78° C. Der Eintluss der Temperaturanderung auf die Messung eliminirte sich durch die Messungsmethode von selbst. Eine Streckung des Drahtes war sicher nicht vorhanden. a., b., c. bedeuten die aufeinander folgenden (v.) Scalenablesungen. Untersuchte Substanz: Kupfer Nr. IL

<sup>1)</sup> A. Willer, Sitzing-b d. math physik, Classe d k, baye Acad d. Wissenich, 1985, p. 9.

,	2,	6.	r.	l	1, -1,	74 A
3 4 5	-25 7 -25 1 -27 5 -27 5	\$5.2 \$4.1 \$=.2 \$6.3 \$4.4	-251 -27 -27 -27 -27	2 2 2 2 2 2 2 2 2 2 2 2 2 2 2 2 2 2 2	-A4 0 1,1 1,1 1,1 1,1	0 1 6 1 0 1 6 1

L'amittelbar nach Beendigung der ununterbrochenen Be und Entlastung ist also bei der ständigen Spannung n der Draht um  $c_i - a_i = 2.0$  Scalenth, vorübergehend verlängert Die Elasticität muss somit während des Versuches gesunde: tein, obwohl am Schlusse die Verlängerungen und Verkurzungen h. - a. und c. - b., die den Belastungsänderungen augenblicklich folgen und sich beide ein und derselben Grenznühern, kleiner sind als die erste Dehnung  $b_1 - a_2 = 55$ Während der ersten Dehnung schon hat sich nämlich de Elasticität am stärksten vermindert, weshalb ausser a. sicher auch s, eine Verlängerungsmehrung erzeugen musste, son der c, - a, = 1,6 vermuthlich noch ein Rest ist. Diese Verlangerungsmehrung, herrührend von z., ist in b. - a. elenfalls enthalten und höchst wahrscheinlich grösser als c, - a = 1.6; sie ware also von b, a, abzuziehen, um auf die vot z, wirklich erzeugte Debnung zu kommen. Dasselbe andet bel r = 2,3,4... etc. in sich verminderndem Musse statt, bis c. - a. der 0 sich nähert, was sich in dem vorstehenden Versuch wenger als in vielen anderen ausspricht. Man sieht dass bei den Versuchen zur Bestimmung des longstudinalez Elasticitătsmoduls die ständige Belastung noch eine andere Rolle spielt, als die ihr gewöhnlich zugedachte des blosser Geradehaltens des Drahtes. Ich hielt es für falsch anzuzunehmen, die Elasticität habe sich successive erhoht, wei die Werthe der Verlängerungen h. - a, successive abnehmen das gerade Gegentheil, glaube ich, ist der Fall, solange de Werthe c, -a, nur vorübergehend bestehen, also keine Streckungen stattfinden. Ebenso unrichtig hielt ich es, auder Abnahme der Werthe der Verkurzungen c. - b. auf eine Zunahme des Elasticitätsmoduls zu schliessen. Es geht dies echon aus der einfachen Ueberlegung hervor, dass ein Draht der nach Entfernung der Belastung a, seine frühere Langwieder vollkommen appimmt, seine Elasticität während der Gestaltsänderungen nicht geändert hätte, indes ein Draht, der nach Beseitigung von a, sich gar nicht mehr zusammenzöge, entweder schon ursprünglich nicht elastisch, sondern nur ductil gewesen ware oder während der Dehnung all seine Elasticität dauernd verloren hätte. Zieht er sich langsam zusammen, so stellt sich seine Elasticität ganz oder zum Theil wieder her. Aehnliche Erwägungen greifen Platz. wenn der Draht ursprünglich mit  $\pi_1 + \pi_2$  belastet war und dann successive um a, entlustet wird. Wird nicht sogleich abgelesen, wenn die Maximal- oder Minimalspannung erreicht ist, wie Tomlinson in dem angeführten Versuche gethan hat und in anderen gethan zu haben scheint, so kann die Elasticitătsănderung während der Deformation in verschiedenem Sinne verlaufen, und wird nicht mit ausserster Vorsicht verfahren, so können die Versuchszahlen zu ganz unrichtigen Schlüssen verleiten. Dies ist in dem aus Tomlinson's Arbeit angeführten Versuch in der That der Fall, und der Schluss, den er daraus zieht, halte ich für mindestens höchst zweifelhaft. Tomlinson lässt, wie ich glaube mit Unrecht, bei der Bestimmung der Mittelworthe die Dehpung beim Beginne des Versuches, deren Grösse von der der Verkurzungen aus den von mir oben angegebenen Gründen beträchtlich abweicht, vollständig ausser Rechnung. Er beachtet eben nach herkommlicher Art ein Element der Erscheinung, die Nachwirkung, bei der Bestimmung der Elasticität, wie schon einmal erwähnt, gar nicht oder nicht in entsprechender Weise. Wie das nach meiner Ansicht passend geschehen könnte, habe ich in einer hier wiederholt citirten Abhandlung gezeigt.

Es scheint mir dem Begriff der Elasticität überhaupt nicht angemessen, sie, wie Tomlinson es öfters thut, nur aus der Ausdehnung bei der Belastung oder der Zusammenziehung des Drahtes nach der Entlastung desselben allein numerisch bestimmen zu wollen. Zur Beurtheilung des elastischen Verhaltens eines Körpers gehören offenbar beide in die Erscheinung tretenden Vorgänge zusammen. Würde man einen Draht belasten, ohne ihn nachher wieder zu entlasten. so wüsste man gar nicht, ob und in welcher Art er elastisch ist; denn auf der Wiederherstellung der ursprünglichen Längberuht der Begriff der Elasticität.

Die Herren Götz und Kurz haben in der bereits angezogenen Abhandlung andere Punkte der Arbeit Tomlinson's berührt. Ich bin weit entfernt, den honer
Werth seiner umfangreichen Forschung zu unterschätzen
glaubte aber darauf aufmerksam machen zu sollen, das
manche von Tomlinson aus seinen Versuchen im erster
Theil seiner Abhandlung gezogenen Schlüsse aus den her
angegebenen Gründen mit einiger Vorsicht aufzunehmer
sein dürften.

# X Veber eine Reproduction der Siemens'schen Quecksilbereinheit; von Karl Strocker.

Fortsetzung von p. 273 )

IV Methoden der galvanischen Widerstandsvergbrichung Vergleichung von nahe gleichen Widerständen Copirung der Widerstände der Normalrohren.

§ 21. Die Vergleichung der Copien mit den Quecksilberröhren wurde nach der Methode vorgenommen, wektze F. Kohlrausch vor kurzem beschrieben hat.

Ich benutzte dazu das Differentialgalvanometer welches Hrn. Prof. Kohlrausch zu seinen Messungen gedient hatte; im Verlaufe meiner Untersuchung wickelte i.z dasselbe von neuem und mit Sorgfalt, sodass ich Gleichleit der Wirkungen beider Halften auf die Nadel bis auf 0,000 und Gleichheit der Widerstände (von je 760 Q-E.) bis stetwa 9 Q-E. erreichte; einen Widerstand von der letztere Grosse, der aus demselben Kupferdraht wie das Galvan meter bestand und biblar gewickelt war, fügte ich der Zuleitung zum Galvanometer bei und erreichte fast vollig Gleichheit der Widerstände beider Hälften.

<sup>1)</sup> F. Kohlrausch, Berl. Ber. 1883. p 366; Wied. Ann 20 p 76, 1883

Das Galvanometer enthielt zweimal 3000 Windungen in os Lagen; die Isolirung der beiden Galvanometerzweige war eine sehr vollkommene. Die Empfindlichkeit des Instrumentes war so gross, dass ein Strom von einem Daniell'schen Element in 2.107 Q.-E., welcher durch eine Galvanometerhälfte ging, bei dem Scalenabstand von 3,5 m einen Ausschlag von 1 mm hervorbrachte.

Der Rheostat, den ich als Nebenschlessung zu dem größeren der zu vergleichenden Widerstände verwandte, war ein älterer Siemens'scher Stopselrheostat, dessen Correctionen sehr gering waren; seine Normaltemperatur lag nach meiner Messung bei 11'; sein Temperaturcoöfficient war nach meinen Bestimmungen gleich 0,0003. Da dieser Rheostat nur bei Temperaturen zwischen 8 und 17° benutzt wurde, die wichtigeren Messungen zudem zwischen 8 und 14° ausgeführt wurden, so habe ich eine Correction der am Rheostaten abgelesenen Widerstände auf richtige Quecksilbereinheiten unterlussen.

Der Rheostat konnte mittelst eines sechsnapfigen Commutators sowohl ausser jeder Verbindung gebracht, als auch durch einfaches Umlegen des Stromwenders dem einen oder dem anderen der zu vergleichenden Widerstände nebengeschaltet werden.

Um Erwärmung meiner Quecksilber- und Drahtwiderstände durch den Strom zu vermeiden, verwendete ich nur
schwache Strome, meist 1 Daniell oder 1 Smee in einem
Stromkreise von 2 bis 8 Q.E. Ging ein solcher Strom etwa
eine Minute lang ununterbrochen durch die zu vergleichenden
Widerstände Quecksilber und Neusilber), so änderte er das
Verhaltniss derselben um mehrere Zehntausendtel; bei einer
Dauer des Stromes von 8 Sec. betrug die Aenderung noch
0.0001 bis 0.0003; diese Veränderungen verschwanden nach
Unterbrechung des Stromes in einigen Minuten wieder. Bei
meinen Messungen wurde der Strom nur für Augenblicke
geschlossen, auf etwa 0,1 bis 0,2 Sec., während 5 Min., der
Dauer einer Bestimmung, etwa 20- bis 30 mal. Die durch
einmaligen kurzdauernden Stromschluss hervorgerufene Erhohung der Temperatur und damit Aenderung des Wider-

standes des Quecksilbers und des Neusilbers war jedenfalls so gering, dass sie nicht mehr bemerkt werden konnte; auch das häungere Aufeinanderfolgen der Stromschlüsse hatte keinen bemerkbaren Einfluss, was ich durch öfter angestellte Controlbestimmungen nachwies.

§ 22. Die bei den Messungen nöthigen Stromleitungen wurden aus gewöhnlichem übersponnenem Kupferdraht hergestellt. Diejenigen Verbindungen von Drähten unter sich und mit den Commutatoren, welche während der verschiedenen Messungen nicht geandert werden sollten, waren durch Verlöthen hergestellt; die Löthstellen wurden zum Schutze gegen Quecksilber mit Schellack oder Collodium überzogen. Die auswechselbaren Verbindungen waren durch Kupfer- und Messingklemmen hergestellt; erstere wurden da verwendet, wo das Auftreten thermoelectrischer Kräfte zu Fehlern Veranlassung geben konnte.

Für die Drähte, welche die zu vergleichenden Widerstände mit dem Commmutator im Hauptstromkreis verbinden hat F. Kohlrausch!) die Bedingung angegeben, dass die Summe der Widerstände des einen Paares derselben gleich sei der Summe der des anderen; diese Bedingung wurde sorgfältig erfüllt, ausserdem auch darauf geachtet, dass die Widerstände dieser Verbindungsdrähte nicht zu gross wurden gegen die zu vergleichenden Widerstände, und dass durch die Art, wie diese Drähte geführt wurden, sowohl eine Aenderung ihres Widerstandsverhältnisses durch Temperaturschwankungen im Beobachtungsraume als auch eine Fernewirkung des Stromes auf die Nadel des Galvanometers ausgeschlossen waren.

Die Stromzuleitungen zu dem Normalrohr wurdet durch die angesetzten weiten Endgefüsse vermittelt; in dain letzteren enthaltene Quecksilber tauchten je 2 Platinbleche und 1 Platindraht, der auf dem grössten Theile seiner Längemit einem dünnen Glasröhrchen umgeben war und nur untezin einer kurzen Spitze heraustrat; dieser Draht bildete die Verbindung des Quecksilberrohres mit dem Galvanometer

<sup>1</sup>c F. Kohlrausch, I. c. p. 470

Die beiden Platinbleche versahen das eine die Verbindung mit dem Commutator des Hauptstromkreises, das andere die mit dem Rheostaten, wenn derselbe dem Quecksilberrohr zum Nebenschluss gegeben werden sollte.

Die sechs Platinelectroden waren in die aufgeschlitzten Enden von sechs dicken Kupferdrähten eingeklemmt, von denen je drei an einem Brettchen befestigt waren; die beiden Brettchen konnte man auf die Ränder des langen Wasserbades auflegen, und die Kupferdrähte waren so gebogen, dass dann die Platinelectroden in das Quecksilber der Endgefässe der Normalröhre eintauchten.

§ 23. Es genügt wohl auch, zwei solche Platinbleche, resp. Drähte für jedes Endgefäss zu nehmen, indem man die Abzweigung zum Rheostaten mit der Zuleitung des Hauptstromes oder mit der Abzweigung zum Galvanometer vereinigt; man hat dann nur an der beobachteten Differenz der zu vergleichenden Widerstände eine geringe Correction anzubringen. Ist nämlich Hg der Widerstand des Quecksilberrohres, d die Summe der beiden kleinen Widerstände, welche auf jeder Seite zwischen dem Electrodengefäss und der Stelle liegen, wo die Abzweigung zum Rheostaten sich befindet, ist R' der bei dieser Verbindungsart beobachtete Widerstand, welcher dem Quecksilberrohr als Nebenschluss gegeben werden muss, so ist der bei atreng richtiger Verbindung einzuschaltende Nebenschluss:

$$R = R \left( 1 - \frac{\delta}{H\eta} \right) \cdot$$

Die weiter unten (§ 39) anzusührenden Werthe der Copien meiner Normaleinheiten sind zum Theil in dieser Weise corrigirt: die betreffenden Zahlen sind durch Sternchen gekennzeichnet. Die Correctionen waren meist unbeträchtlich; sie betrugen in 5 Fällen bis 0,00002, in 2 Fällen 0,00017 des Widerstandes. Eine Messung indess musste wegen zu hohen Betrages dieser Correction verworsen werden; deshalb sehlt in der genannten Tabelle einer der Werthe sür eine Copie des Rohres Nr. 1. Später habe ich diese Unsicherheit durch Zusügen des dritten Platinbieches vermieden.

§ 24. Die Drahtwiderstände wurden auf folgende Weise in die Aufstellung eingefügt: an die Stellen der Electroden, wo die Widerstände der Rollen abgegrenzt waren, wurden Kupferklemmen angesetzt, welche je zwei 6 cm lange Stücke o.a. 0,7 mm starken: Kupferdraht trugen. Wenn die Widerstandsrollen in das Wasserbad gesetzt wurden, befanden sich die Kupferklemmen noch innerhalb des mit Filz ausgetüllten Raumes zwischen den Deckeln des Bades, wahrend die Enden der Electroden und die der angeklemmten Drantstücke aus der Umhüllung hervorragten. Die Enden der Electroden dienten zur Verbindung im Hauptstromkreis während die dünneren Kupferdrähte die Abzweigungen zum Galvanometer und zum Rheostaten vermittelten.

§ 25. Der Gang einer Messung nach dieser Methoue war der folgende:

Zunächst wurde das Quecksilberrohr durch Korkstopfen in den Endgefässen befestigt, die Korke selbst und die benachbarten Glastheile (zum Schutze gegen das Eindringen des Wassers in die Electrodengefasse, mit Collodium überzogen: darauf fullte man die Röhre mit Quecksilber und setzte sie in das oben \$ 14, beschriebene Wasserbad ein. Dann wurde der erwahnte 1 m lange Holzdeckel mit den beiden Thermometern auf das Bad gelegt, die Brettehen mit den Electroden an die passenden Stellen gebracht und der noch offene Theil des Wasserbades mit Glasscheil en gedeckt. Die mit dem Quecksilberrohr zu vergleichenden Drahtwiderstande waren schon mehrere Stunden verher in das für sie bestimmte Wasserbad \$ 19, gebracht worden, in dem sich ebenfalls ein Thermometer befand. Nachdem nun alle nothigen Verbindungen hergestellt worden, überhess man die ganze Aufstellung mindestens eine Viertelstunde lang der Ruhe. dann wurden die galvanischen Messungen ausgeführt, und schuesslich auf die oben (§ 12 u. 13) beschriebene Weise der Quecksilberinhalt des Robres bestimmt.

Die Genauigkeit der Vergleichung nach dieser Methode war eine sehr grosse; jede einzelne Messung war mindestens auf 0,0001 sicher.

# Als Beispiel gebe ich nachstehend eine vollständige Copirung.

Copirung des Robres Nr. 5.

There exter comput	o) to taker spieste		Nr. 1 on to forutatent fampiosite		ornget a the Rheustat in Nebenschluss		iebenschluss	$W - Hg = \frac{H}{R}W$
Normarchi Capte	A tab	Carried I	Tomps	Widerstand in Q.F.	bei	$\frac{1}{R}$ $\frac{H\sigma}{R}$ $\frac{W}{R}$		
10.80 10.77 10,57	1	11	12,0	3650 5000	Copie (= B'	0,000 274 0,000 200		
	2	11		2340 1085	Cope	0,000 446 0,000 (c2)		
10,51 10,79 10,59	3	1	12.50	1795 8000	49 Ed P1	0.000 50 0,000 100 0,000 100		

Temperatur des Quecksilbers, bezogen auf das (Luftther.) 10.79° ... der Copien ... ... mometer 10.58° Wägung der Quecksilberfullung (als Controlbestimmung an-

zusehen).
Scheinbares Gewicht gegen Messing . . . 9,6904 g | bei 10.79

Absolutes Gewicht regin \$ 13) . . . . . . . . . . . . . . . . . . bei 10.79

Absolutes Gewicht redu int auf .0 (vgl. Tab. 1) 2.6910 ..

Widerstand des Quocksilberrohres nach Tab. I bei 10.79 = 3,20931 Q.-E.

## Widerstände der Copien:

	ber 10.583	bci 1000
Nr. 1	4,20001 ± 0,00034	3,2102 ( 3,20,07)
2	3,20 (0) + 0,00765 =	5,31006 8,21075
3	$3,202.01 \pm 0.00362 \pm$	3,21358 3,21307

Vergleichung von stark ungleichen Widerständen; Herstellung von Normaleinheiten.

§ 26. Von den Copien meiner Normalröhren habe ich eine Anzahl von Normaleinheiten abgeleitet. Die Vergleichung der letzteren mit den Copien geschalt nach der Methode des Differentialgalvanometers, welche von Kirchhoff! herrührt, aber von demselnen nur kurz beschrieben worden ist. Durch dieses Verfahren wird das Verhältniss zweier Wider-

G. Kirchhoff, Berl Monatsber, 1880, p. 601 — Wied Ann. 13.
 150, 1881.

stände mit grosser Schärfe bestimmt. Angesichte der Bedeutung, welche infolge dessen der Methode zukommt, möge es mir gestattet sein, bei der Mittheilung meiner Erfahrungen über dieselbe etwas länger zu verweilen.

Bei der genannten Methode werden die beiden Galvanometerhälften den zu vergleichenden Widerständen zu Nebenschliessungen gegeben und in dieselben Nebenschliessungen zwei Rheostaten eingefügt. Seien die Widerstände der Galvanometerhälften gleich und =G; die beiden zu vergleichenden Widerstände seien W und w, und W=nw. Die Rheostatenwiderstände, welche in die Nebenschliessung zu W eingeschaltet werden, mögen mit R, die im Nebenschluss zu w mit r bezeichnet werden. Seien  $i_1$  und  $i_2$  die Intensitäten in den beiden Galvanometerzweigen, I die Intensität des unverzweigten Hauptstromes, so ist:

$$i_1 = I \cdot \frac{W}{W + G + R}, \quad i_2 = I \cdot \frac{W}{W + G + r}$$

Wenn  $i_1 = i_2$  ist, so bleibt die Nadel in Ruhe; dans ist W: w = G + R: G + r. Einen der Rheostatenwiderstange darf man willkürlich wählen; nehme ich r einmal = 0 und einmal = r, so erhalte ich 2 Gleichungen:

 $W: w = G + R_0: G$   $W: w = G + R_0 + R: G + r$ , W: w = R: r = n.

also auch:

lieferte, war:

Der Widerstand r bleibt noch so zu wählen, dass di-Empfindlichkeit der Methode ein Maximum wird. Bei der Bestimmung, welche die Gleichung:

 $W: w = G + R_0 + R: G + r$   $i_1 = i_2 = I \cdot \underset{m \to G}{\underset{m \to G}{\longrightarrow}} r$ 

Wird einer der Rheostatenwiderstände R und r um einen Bruchtheil geändert, so sind die Intensitäten z nicht mehr gleich; man beobachtet dann am Galvanometer einen Ausschlag, welcher proportional ist der Differenz;

$$i_1 - i_2 = fw \cdot \left[ \frac{1}{w + (i + r)! + 3} - \frac{1}{w + (i + r)!} \right],$$

und r ist so zu wählen, dass der beobachtete Ausschlag der Galvanometernadel ein Maximum wird. Differenzirt man den Inhalt der Klammer nach r, so erhält man:

$$-\frac{1+\delta}{[u+G+r(1+\delta)]^{\frac{1}{2}+r}}\frac{1}{[w+G+r]^{\frac{1}{2}}}$$

und indem dies = Null gesetzt wird:

$$r = G + w$$
.

Wenn G gegen die vergleichenden Widerstände W und er gross ist, so hat man also:

$$r = G$$

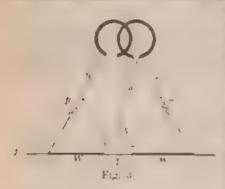
zu wählen, um eine möglichst grosse Empfindlichkeit zu erreichen. Zu demselben Resultate bin 1ch auch auf experimentellem Wege gelangt. Bei meinen Messungen war G = 760, r = 700 Q.-E.

§ 27. Extraströme. Um mit der angegebenen Methode eine grosse Genauigkeit erreichen zu können, musste man ein Differentialgalvanometer von sehr vielen Windungen verwenden; dies brachte aber einen Uebelstand mit sich, welcher den durch Anwendung eines Multiplicators von grosser Windungszahl erstrebten Zweck zu vereiteln drohte.

In den beiden Zweigen des Differentialgalvanometers entstehen beim Schliessen und Oeffnen des Stromes durch wechselseitige und Selbstinduction electromotorische Kräfte, und zwar werden in jeder Galvanometerhälfte zwei electromotorische Kräfte von entgegengesetztem Vorzeichen und nicht ganz gleicher Grösse inductrt; in jedem Zweige bleibt also die Differenz dieser beiden Kräfte übrig, und die beiden übrig bleibenden Kräfte (in jedem Zweig eine) sind einander gleich. Da nun jeder Galvanometerzweig durch den Widerstand, dessen Nebenschluss er bildet, zu einem Stromkreise geschlossen ist, so erzeugen die beiden gleichen inducirten electromotorischen Kräfte Ströme, deren Intensitäten den Widerständen der Stromkreise, also auch den zu vergleichenden Widerständen umgekehrt proportional sind. Für das Verhältniss 1:1 benen sich die Wirkungen auf die Nadel auf, aber schon bei 1,2:1 1st der Inductionsstoss deutlich merkbar.

Ich versuchte, die störende Induction zu compensiren indem ich eine uniblar gewickelte Drahtrolle in die ein Nebenschließung einschaltete, dann auch einen Eisenstab in die Rolle einlegte, u. det mehr. Alle diese Versuche führtet indess zu umständlichen Operationen und gaben nicht genugende Sicherneit für die Richtigkeit der Messung.

§ 28. Aenderung der Kirchhoff'schen Methode Ich musste deshalb zu einer Aenderung der Aufstellung



greifen; durch dieseitwird die Kirchhotfsche Anordnung in eine Brückencombination verwandelt.

Die beiden zu vergleichenden Widerstände Winderstand v. welcher der Bequemlichkeit wegen klein gegen Wind er gewählt werden mag, ver-

bunden; die beiden Galvanometerdrähte, weiche an de einander zugewandten Enden der zu vergleichenden Witterstände angesetzt werden sollen, werden von a an gemeinsam geführt, und das gemeinsame Ende der beiden Drante wird mit Hulfe eines dreinapfigen Commutators einmal an das eine und dann an das andere Ende von 7 angesetzt Die gemeinschattliche Strecke ab die Brucke) enthält einen Unterbrecher.

Ist der letztere offen, und wird der Hauptstromkres geschlossen, so behnden sich die beiden Galvanometerhaliten hinter- und gegeneinander im Nebenschluss zu  $H'+\gamma+w$  dann bleibt, Gleichheit der Wickelung beider Galvanometerzweige vorausgesetzt, die Nadel in Ruhe. Wird nun der Unterbrecher in ab geschlossen, so orfolgt kein Ausschlag der Nadel, wenn die Widerstände der Nebenschliessungezin denen sich die Galvanometerzweige befinden, sich vertauten wie die zu vergleichenden Widerstände, d. h. einmal war

 $W: w + \gamma$  und einmal wie  $W + \gamma: w$ . Wir bestimmen also auf diese Weise:

$$W+\gamma: w=\frac{R}{r}=n_1$$
,  $W: w+\gamma=\frac{R'}{r}=n_2$ .

Setzt man  $(n_1 + n_3)/2 = n$ , so hat man hieraus:

$$W: w = \frac{1}{r} \cdot \left[ \frac{R+R'}{2} + \frac{R-R}{2} \cdot \frac{n-1}{n+1} \right].$$

Der Verbindungswiderstand y wird vollständig eliminirt; man kann ihn aus den gegebenen Gleichungen ebenfalls berechnen zu:

$$\gamma = \frac{R-R}{r} \cdot \frac{\alpha}{n+1}.$$

γ betrug bei meinen Vergleichungen meist 0,00024 bis 0.00036, in mehreren Fällen jedoch bis 0,015 Q.-E.; je grösser man γ nimmt, desto umständlicher werden Beobachtung und Rechnung.

§ 29. Das Differentialgalvanometer, welches ich benutzte, war das oben (§ 21) beschriebene von zweimal 3000 Windungen; ich habe schon hervorgehoben, dass die Wirkung der beiden Galvanometerzweige auf die Nadel fast gleich war; die geringe Ungleichheit von etwa 0,0001 compensiste ich durch 2 Drahtwindungen, welche verschiebbar auf dem Gestell des Galvanometers angebracht waren. Um noch geringere Ungleichheiten der beiden Galvanometerzweige — hervorgerufen durch Verziehen des Holzes, Aenderungen des magnetischen Meridians, welche auf die Wirkung der Correctionswindungen von Einfluss waren — zu eliminiren, diente ein Commutator, der die beiden Galvanometerzweige in Bezug auf die zu vergleichenden Widerstände vertauschte.

Die beiden Rheostaten, welche in die Nebenschliessungen der zu vergleichenden Widerstände eingeschaltet waren, befanden sich der Gleichheit der Temperatur wegen in einem gemeinschaftlichen Kasten; ich hatte nämlich in den Siemens'schen Stöpselrheostaten, von dem schon weiter oben die Rede war (§ 21), noch eine Widerstandsrolle von 700 Q.-E. eingesetzt, welche ebenfalls durch Stöpselung aus- und eingeschaltet werden konnte. Der Draht, aus dem diese Rolle bestand, batte denselben Temperaturcoefficienten, wie die Widerstände des Rheostaten.

Der Siemens'sche Rheostat lieferte Widerstände vor 0,1 bis 11111 Q.-E. Ich führte 3 Calibrirungen desselben aus, zwei bei 12° und eine bei 23°, welche sehr gut übereinstimmten und keine Verschiedenheit in den Temperaturcoëfficienten der Widerstände des Rheostaten erkennen liessen Ich nahm aus den 3 Bestimmungen das Mittel und berech nete eine für alle Temperaturen gultige Correctionstabelle Die Fehler, mit denen infolge der vorhandenen geringen Unsicherheit der Calibrirung die Widerstandsvergleichung behaftet sein kann, betragen höchstens 0,00003.

Die von mir angesertigte Correctionstabelle stimmte fast genau überein mit derjenigen, welche Hr. Prof. Kohlrausch 2 Jahre vorher sestgestellt hatte. Man brauchte also auch nicht zu sürchten, dass die neue Tabelle insolge späterer Aenderungen des Rheostaten unbrauchbar würde.

§ 30. Bestimmung von r. Der Widerstand r wurde häung mit einem ihm nahe gleichen Widerstand aus dem Siemens'schen Rheostaten vergischen; ich benutzte dam sowohl die Wheatstone'sche Brücke, als auch ein anderes Verfahren, welches ich nun beschreiben will.

Vergleicht man usch der Methode, welche ich ehen auseinandergesetzt habe, zwei nahe gleiche Widerstände, so arhält man:

 $\frac{W}{w} = \frac{R+R}{2r} ,$ 

indem das zweite Glied der rechten Seite unserer Formel aus § 28 verschwindet; kann man ausserdem W und w ohn Widerstand verbinden, so wird die Gleichung noch einfacher weil dann R=R' ist.

Nachdem diese Bestimmung ausgeführt ist, vertauscht man die beiden Rheostaten in den Nebenschliessungen miteinander, sodass nun r sich neben abefindet; nun bestimmt man:

 $w = \frac{2r}{R_1 + R_1}$ 

Aus diesen beiden Gleichungen erhält man durch Division:

$$(R+R)(R_1+R_1')=1, r=\frac{1}{2}, V(R+R)(R_1+R_1').$$

Bei der Vorrichtung, welche ich zu dieser Bestimmung von r gebrauchte, waren W und w ohne Widerstand verbunden; also hatte ich die einfachere Formel:

$$r = VR.R_{\gamma}$$

anzuwenden.

Bestimmungen dieser Art führte ich zu verschiedenen Zeiten aus. Die Resultate stimmten vollkommen mit denen, welche ich durch Anwendung der Wheatstone'schen Brücke erhielt. Die Genauigkeit, welche erreicht werden kann, ist schr gross; 7 Bestimmungen, welche ich innerhalb 6 Tagen anstellte, lieferten für r Werthe zwischen 700,10 und 700,14. Dieser Widerstand änderte sich aber langsam mit der Zeit, sodass es nothig war, denselben bei jeder Messung von neuem zu bestimmen; die Veränderungen betrugen indess nur einige Zehntausendtel des Ganzen in einem Zeitraum von mehreren Monaten.

- § 31. Der Stromschlüssel, welchen ich bei diesen Messungen gebrauchte, bestand aus einem federnden Brettchen, in welchem zwei amalgamirte Kupferdrähte befestigt waren. Die letzteren tauchten beim Niederdrücken der Holzfeder in zwei Qecksilbernäpfe. Die beiden Unterbrechungsstellen, welche ich mit Hülfe dieser Einrichtung orhielt, befanden sich im Hauptstromkreis und in der Brücke, und die Stellung der eintauchenden Kupferdrähte, sowie die Menge des Queksilbers in den Näpfen war so gewählt, dass zuerst der Hauptstrom und unmittelbar darauf die Brücke geschlossen wurde; die umgekehrte Folge fand beim Oeffnen des Stromkreises durch Loslassen des federnden Brettchens tatt.
- § 32. Nachstehend gebe ich eine vollständige Vergleichung zweier Widerstände nach dieser Methode. Der Commutator A, B vertauschte die beiden Galvanometerhälften; derjenige dessen Stellungen durch 1. 2 bezeichnet sind. ist der dreinaptige Commutator der Figur in § 28, und der Commutator a, b vertauscht bei der Bestimmung von r die Rheostaten in den Nebenschliessungen. Die in den Neben-

erbliesengen den Galvanometerzweigen zugefügten Wilderetände und in der mit "Rheoskiten" überschriebenen Spalte enthalten.

Besimming you c

(, reseas- tatores	Rheosta	ien	R	•		
4 .	5,9m	0				
6	13,26	U				
ı	716,72		702 46	r = 1703,46 . 596,97		
æ	792.5		696,57	= 700,136		
Ba	(1.16%	0				
8	8,29	-0				
b	711 67		783.39	r = } 703,39 . 696,89		
a	697,57		65%,149	= 700,181		
r = 700,14.						

Vergleichung der Copie Nr. 1 des Normalrobres Nr. 5 (vgl. § 23) unt der Normalembert Nr. 6,

ron W is an	tatoren	Rheostaten		R
11./9°	A 1 A 2 B 2 B 1 B 1 B 2 A 2	3909,19	0 0 0 0 700,14	2249,75   3250,20   R = 2230,00   2250,72
11,09*	4.1		200,14	2249,68 2250,20 2 = 2249,71
R+R =	$2250,20;$ $\frac{7}{100} = \frac{1}{700};$	2		$\frac{W}{\kappa}$ näherungsweise = 3,21. $49 \cdot \frac{2,21}{4,91} = 3,21443$ .

gemeinschaftliche Temperatur von W und  $w = 11.09^{\circ}$ . De Temperaturcoëfficienten sind gleich:

r (Normalemheit Nr. 6) bei 
$$10,00 = \frac{3,20807}{3,21443} = 0,99833 Q.E.$$

§ 33. Prüfungen. Zur Prüfung der abgeänderter Methode verglich ich 3 Widerstände, welche nahe gleich 1 Q. E. waren, auf drei verschiedene Arten miteinunder:

- i. Nach der Methode von Kohlrausch mit übergreifendem Nebenschluss.
  - 2. Nach der ungeänderten Kirchhoff'schen Methode.
- 3. Nach der in eine Brückencombination verwandelten Kirchhoff'schen Methode.

Die drei verglichenen Einheiten seien mit I, II, III bezeichnet; es wurde gefunden:

	Methode 1	Methode 2	Methode 3
I: H	1,00149	1,00151	1,00149
Ц:Ш	1,00181	1,00172	1,00188
1:111	1,60331	1,00339	1,00383

Ausserdem wurden mehrmals nach der mit 3 bezeichneten Methode drei ungleiche Widerstände a, b, c miteinsander verglichen und folgende Verhältnisse gefunden:

	a:6	1,95926	1,38217	1,88163	1,85955
beobachtet:	n:n	1,25595	2,765×3	1.25398	1.25304
	0:6	2,83582	3,62819	2,33483	¥,38026
berechnet:	å . ¢	2,33514	3,82283	2,33495	2,83009

Die Zahlen der letzten Zeile, welche durch Multiplication der in den beiden ersten Zeilen stehenden Grössen erhalten worden sind, sollten mit den Werthen der dritten Zeile identisch sein; die Abweichungen betragen weniger als 0.0001, finden aber grösstentheils im gleichen Sinne statt. Man könnte wohl vermuthen, dass hier ein einseitiger Fehler vorhegt, der in der Methode oder in den verwendeten Instrumenten begründet ist.

Ich habe noch eine grosse Anzahl von Messungen nach dieser Methode ausgeführt, welche etwas anders angeordnet waren. Ich verglich nämlich 3 Paare von Einheiten (meine Normaleinheiten) mit den Copien der Quecksilberröhren nach folgendem Schema: Bedeutet C die Copie und  $I_a$ ,  $I_b$  die zu einem Paare gehörigen Einheiten, so bestimmte ich die Verhältnisse C  $I_a$  und C,  $I_b$  nach der Kirchhoffschen Methode und dann  $I_a:I_b$  mit übergreifendem Nebenschluss. Aus  $C:I_a$  und  $C:I_b$  konnte nochmals  $I_a:I_b$  berechnet werden. Solcher Sätze von je 3 Vergleichungen erhielt ich zwölf. Die Unterschiede zwischen den beobachteten und berechne-

ten Werthen für dieselben Verhältnisse  $I_a$   $I_b$  betrugen meist mehrere Hunderttausendtel und gingen sogar bis zu 0,00013 hinauf. Da bei dieser Anordnung einseitige Fehler in den Bestimmungen nach der Kirchhoffschen Methode die Werthe von  $C: I_a$  und  $C: I_b$  auf gleiche Weise beeinflussen, im Quotienten daher verschwinden müssten, so hat man einen Maasstab für die Genauigkeit an den Differenzen zwischen beobachteten und berochneten Werthen des Verhältnisses  $I_a: I_b$ ; dieselben zeigen, dass der Fehler einer Bestimmung nach dieser Methode etwa die Hälfte des beobachteten grössten Unterschiedes zwischen dem beobachteten und dem berechneten Werthe für  $I_a: I_b$  beträgt, d. i. etwa 0.00007.

Die oben bemerkten Disserenzen zwischen beobachteten und berechneten Werthen desselben Verhältnisses, welche grösstentheils in demselben Sinne aussielen und deshalb zur Vermuthung eines einseitigen Fehlers in der Methode veranlassten, betragen bis 0,00008; jede derselben ist die Summeder Fehler von 3 Einzelbestimmungen, deren jeder 0,000° ausmachen kann; man wird also die Ursache der Erscheinung, dass der grösste Theil jener Disserenzen dasselbe Vorzeichen hat, nicht in einem einseitigen Fehler der Methode, als vielmehr in der zufälligen ('ombination der Fehler der Einzelbestimmungen zu suchen haben.

Nach dem Gesagten glaube ich die Genauigkeit einer einzelnen Messung nach der abgeänderten Kirchhoffscher Methode auf 0.0001 angeben zu dürfen.

§ 34. Commutator. Um bei meinen Widerstandvergleichungen rasch von einer der angewandten Muthodez
zur anderen übergehen zu können, verwendete ich einer
Commutator, welcher mir erlaubte, durch eine einzige Drehunz
ohne Aenderung eines Drahtes, die Aufstellung zur Vergleichung mit übergreifendem Nehenschluss in die zur Vergleichung nach der Kirchhoff'schen Methode zu verwandelz
Ich will mich begnügen, den Zweck dieses Commutators an
zugeben und die Einfachheit seiner Handhabung hervorzuheben; eine Beschreibung würde zu viel Raum bearspruchen.

## V. Hülfsbestimmungen.

§ 35. Einfluss der Art der Aufbewahrung und des Gebrauches des Quecksilbers auf das Leitungsvermögen des letzteren.

Ich verglich wiederholt, meist ohne Wägung des Quecksilberinhaltes, das Normalrohr Nr. 3 mit einer seiner Copien. Ich fand für den Widerstand der letzteren, wenn ich den des Rohrs aus Tab. I entnehme, fast unverändert dieselben Zahlen, obgleich ich gebrauchtes und ungebrauchtes, frisch destillirtes und längere Zeit aufbewahrtes Quecksilber zur Füllung der Röhre verwendete. Folgendes sind die Beobachtungen:

29. - 90. Juni 1883.

Quecksiberfulling des Normatrohra	Widerstand der Copie bei 17°		
Destillat vom 19 Februar 1888, ungebraucht	1,38825 QE.		
dass be Quecksiber aus dem Rohr ausgesaugt und wie-			
der eingefüllt	1,38325 "		
Wiederholung desselben	1,88315 4		
Destulat vom 28. Juni 1883, ungebraucht	1,88317 0		
aus derselben Flasche wie voriges, ungehraucht	1,38317 "		
dieselbe Füllung, nachdem das Rohr 5 St. im Wusser-			
bad gestanden	1,38815 "		
mach weiteren 13 Stunden	1,38317 "		
gleich nachher	1,38322 +		
Destillat vom 20. Februar 1888, augebrancht	1,85315 "		
8. August 1883.			
De-tillat vom 1 August 1883, ungebruucht	1.38817 9		
aus derselben Flasche, ungebraucht	1,38315 "		
Destillat vom Februar 1883, ungebrancht	1.35325		
Destillat rom 25. Juni 1863, ungebraucht	1,383104) 4		

Später füllte ich das Rohr Nr. 2 mit Quecksilber, indem ich das frische Destillat unmittelbar aus dem Destillationsapparat in das eine Endgefäss des Rohrs einfliessen hess; nachdem ich die 3 Copien des Rohrs mit letzterem verglichen hatte, entleerte ich das Rohr auf die gewöhnliche

Bei dieser Bestimmung wurde der Quecksilberinhalt des Rohrs
 Nr. 3 nm 0,00016 geringer gefunden, als in Tab. 1 angegeben. Vgl. § 13.

Weise und wiederholte die Manipulationen des Emfellen und Entleerens zehnmal. Als das Quecksilber zum elften mal in das Rohr eingefüllt worden war, wiederholte ich die Vergleichung. Die Resultate sind:

Copie	Widerstande der ungebrauchtes Hg	
Nr. 1	1,00052	1,00057
n 2	0,99907	0,99911
и 3	0,99747	0,99754

Im Juni 1884 verglich ich das Rohr Nr. 4 mit seinen Copien, indem ich Quecksilber verwandte, welches im Märzdesselben Jahres destillirt worden war; auf der Obertläche des Metalls hatten sich Spuren eines schwärzlichen Häutchens gebildet, und ich wünschte zu erfahren, ob dies einen Einfluss auf das Leitungsvermögen habe. Nach dem älteren Destillat verwandte ich ganz frisch destillirtes Metall. Die Widerstände der Copien waren bei 15°:

Copie	Altes Destillat	Frisches Destillat
Nr. 1	2,56752	2,56741 2,56744
n 2	2,56844	2,56844 2,56855
+- 8	2,56757	2,56759 2,56761

§ 36. Luftgehalt des Quecksilbers. Schliesslich verglich ich noch das Leitungsvermögen von völlig luftfreiem, im Vacuum zum Sieden erhitzten Quecksilber mit demjenigen des mit Luft geschüttelten Metalls auf folgende Weise:

An die Enden eines Rohres von etwa 0,6 qmm Querschnitt und 15 cm Länge waren Erweiterungen angeblasen, durch deren Wände einige Platindrähte als Electroden führten; die eine Erweiterung stand durch eine Röhre in Verbindung mit einem kleinen cylindrischen Glasgefäss, das zur Aufnahme von Quecksilber diente, die andere setzte sich fort in eine Glasröhre, mittelst deren man die ganze Verrichtung mit der Quecksilberluftpumpe verbinden konnte.

Zunächst wurde Quecksilber, welches in einer Glasflasche stark mit Luft geschüttelt worden, in den Apparat gebracht und der Widerstand des Quecksilbers, welches die enge Röhre erfüllte, mit dem eines Neusilberdrahtes verglichen. Darauf pumpte ich die Luft aus dem Apparat aus, erhitzte das Quecksilber in dem am einen Ende der engen Röhre befindlichen Gefäss zum Sieden und schmolz das Metall luftfrei im Apparat ein. Nachdem ich nun die enge Röhre wieder mit dem Quecksilber angefüllt hatte, verglich ich abermals den Quecksilberwiderstand mit dem Neusilberdraht; nach Anbringung der wegen Temperaturänderungen nöthigen Correctionen blieb ein Unterschied von 0,00004 des Ganzen.

Die angeführten Zahlen beweisen, dass das Quecksilber in allen Fällen merklich dasselbe Leitungsvermögen hatte; die beobachteten geringen Differenzen, welche einer kleinen Vergrösserung des Leitungsvermögens durch den Zutritt der Luft entsprechen würden, lassen sich schon durch die Annahme eines Fehlers in der Temperaturbestammung von 0.02 bis 0.04° völlig erklären.

Lenz<sup>1</sup>) findet einen ganz entschiedenen Einfluss des Zutrittes der Lust zum Quecksilber; er beobachtet dabei eine Abnahme des Leitungsvermögens. Seine Wahrnehmungen haben mich zu dem grösseren Theile der eben mitgetheilten Versuche veranlasst, deren Resultat mit dem seinigen nicht übereinstimmt. Auch Mascart, Nerville und Benoit<sup>2</sup>) haben keinen merklichen Unterschied im Leitungsvermögen des lustfreien und des mit Lust gemischten Quecksilbers getunden.

§ 37. Veränderlichkeit des Leitungsvermögens des Quecksilbers mit der Temperatur. Zur Bestimmung der Temperaturcoëfficienten des Quecksilbers verwendete ich ein Glasrohr, dem ich eine für meine Aufstellung passende Gestalt gab. Das Rohr, von ca. 15 cm länge und 1.1 Q.-E. Widerstand, war U-förmig gebogen; an seine Enden waren Erweiterungen angeblasen, in deren jede 3 Glasröhren mündeten, welche als Electroden dienten; diese 6 Röhren,

<sup>1)</sup> R. Lenz, Études électrométrologiques 1, 1886.

<sup>2,</sup> Museurt, Nerville und Benoit, L. c.

von verhältnissmässig grossem Durchmesser, liesen parallel und nahe neben einander und waren etwa 12 cm lang; nabe den oberen offenen Enden derselben waren Platindrähte durch die Glaswände durchgeschmolzen, welche die Verbindung zwischen dem Quecksilber und den kupfernen Leitungsdrähten der Aufstellung vermittelten. Die ganze Vorrichtung kam auf ein kleines Drahtgestell zu stehen, sodass die Biegung des Widerstandsrohres nach unten, die 6 Electrodenröhres senkrecht nach oben verliesen. Daraus wurde Quecksilber eingegossen, bis die erwähnten Platindrähte vollständig is das Metall eintauchten. Die offenen Enden der 6 Röhren wurden mit kleinen Korken verschlossen.

Den Widerstand dieses Rohres verglich ich bei verschiedenen Temperaturen mit einem Neusilberdraht von geringem Temperaturcoëssicienten, dessen Widerstand dem des Quecksilberrohres bei etwa 10° gleich war, nach der Methode des übergreisenden Nebenschlusses. Das Verhältniss der verglichenen Widerstände zu den Widerständen des Rheostaten der als Nebenschluss diente, wurde mit der erforderlichen Genauigkeit bestimmt.

Die Resultate der einzelnen Messungen sind folgende Ist der specifische Widerstand des Quecksilbers bei 0° = 1, so ist derselbe, wenn die Temperaturen mit dem Lufthermometer gemessen werden, bei:

 $\begin{array}{c}
10^{9} = 1,00901 \\
1,00905
\end{array} \right\} 1,00903 \qquad \begin{array}{c}
15^{9} = 1,01361 \\
20 & 1.01818
\end{array}$ 

Die Werthe der letzten Spalte lassen sich bis auf 0,000 015 genau darstellen durch:

 $\sigma_t = 1 + 0,000\,900\,t + 0,000\,000\,45\,t^2$  and auf 0,000 04 gensu durch:

 $\sigma_t = 1 + 0.000\,907\ t.$ 

Unter Uebergehung der älteren Untersuchungen über de Abhängigkeit des specifischen Widerstandes des Quecksilbers von der Temperatur will ich zum Vergleich mit meinen Zahlen die Resultate einiger Bestimmungen aus den letzten zwa Jahren anführen; ich werde mir dabei erlauben, die meisters angegebenen scheinbaren Coëfficienten um den Betrag der Ausdehnung des Glases zu vermehren.

		absol, mittl	. Coëff, bei
		101	15"
1) 1882.	Siemens und Halske	0,000 889	0,000 908
7, 1883.	Lord Rayleigh & Sidgwick (bei ca. 79)	0,000 569	_
1 1884.	Lenz and Restroff	0.000 884	0,000 593
49	Mascart, Nerville und Benoit	0,000 ×115	0,000 908
	Strecker	0,000 909	0,000 914

Nur die Beobachtungen von Lenz und Restzoff und die meinigen beziehen sich auf das Luftthermometer; die anderen Zahlen sind mit einer Unsicherheit<sup>5</sup>, behaftet, welche leicht so viel betragen kann, als die Zahlen obiger Tabelle unter einander abweichen.

§ 38. Veränderlichkeit des Leitungsvermögens des Neusilbers mit der Temperatur. Auch für die von mir verwendeten beiden Sorten von Neusilherdraht habe ich die Temperaturcoefficienten bestimmt. Von ieder Sorte wurde ein Stück von etwa 1 Q.-E. mit den Enden in starke Kupferelectroden eingelöthet; dicht an den Verbindungsstellen von Neusilber und Kupfer wurden an die Electroden je zwei dünnere Kupferdrähte angesetzt, welche die Abzweigung zum Galvanometer und die zum Rheostaten bildeten, sodass von dem Kupferdraht sehr wenig zu dem zu messenden Widerstand gehörte. Die Neusilberdrähte selbst wurden auf Stramincarton aufgenaht und in Form eines aufgeschnittenen Cylindermantels gebogen. Die 6 Electrodendrähte wurden durch einen Kork hindurchgesteckt und mit Siegellack befestigt; vermittelst dieses Korkes wurde die ganze Vorrichtang in ein Glas gesetzt, welches so weit mit Petroleum gefüllt war, dass der Widerstandsdraht völlig untertauchte; der Kork diente zugleich als Verschluss dieses Glases. Durch einen Rührer aus zwei concentrischen Ringen, dessen Stiel durch den Kork hindurchging, konnte die Flüssigkeit inner-

<sup>1.</sup> Siemens a. Halske, Reproduction de l'unité de résistance etc. 1852. - Electrotechn. Zeitschr. S. p. 405, 1862.

<sup>2)</sup> Lord Rayleigh and Mrs. Sidgwick, I. c.

<sup>3</sup> R Long and N. Restzoff, Etudes electrometrologiques. 2, 1884.

<sup>4</sup> Mascart, Nerville and Benoit, L. c.

<sup>5)</sup> R. Lenz and N. Restzoff, L. c. p. 4 and 5.

halb und ausserhalb des Cylindermantels, welchen der aufgenähte Neusilberdraht bildete, in Bewegung versetzt werden. In gleicher Höhe mit dem Neusilberdraht befand sich das Gefäss eines Thermometers, das ebenfalls von dem verschliessenden Kork getragen wurde. Dieses Glas mit dem Drahtwiderstande wurde in ein weites Wasserbad oder in Eis gesetzt; unter allen Umständen aber wurde nur die Temperatur des Petroleums gemessen.

Ich verglich die beiden Widerstände, welche bei mittleter Temperatur einander gleich waren, miteinander nach der Methode des übergreisenden Nebenschlusses bei 0, 10 und 20°. Um die nöthige Genauigkeit zu erreichen, bestimmte ich die Grösse der erforderlichen Nebenschlussung in jedem Falle kurz vor der dehnitiven Messung; zu der letzteren wurde erst geschritten, wenn ich mich überzeugt hatte, dass die Temperaturen der Petroleumbader während der zu einer Beobachtung nöthigen Zeit bis auf wenige Hundertelgrade constant blieben; kurz vor und sofort nach jeder galvanischen Messung wurden nach tüchtigem Ruhren die Thermometer abgelesen und aus beiden Ablesungen für dasselbe Thermometer die Mittel genommen.

Die für dieselben Drahtstucke aus mehreren Messunger erhaltenen Coëfficienten stimmen sehr gut überein. Die für 10° herechnete Veränderung des Widerstandes ist danzeb bis auf mindestens 0,000 02 des ganzen Widerstandes sicher bekannt.

Ich habe darauf von der Drahtsorte, welche den grossen Temperaturcoëfficienten besitzt, eine grössere Anzahl von Stücken untersucht, welche von der Drahtrolle theils vor. theils während und theils nach Anfertigung meiner Drahtwiderstände genommen worden waren; diese Drähte besusset bis auf I Proc. denselben Coëfficienten.

Für die eine Drahtsorte von stark veränderlichem Lettungsvermögen habe ich den ersten und den zweiten Temperaturcoöfficienten ermittelt, für die zweite Sorte habe ich die Bestimmung eines mittleren Coëfficienten für aus reichend gehalten. Die Zahlen habe ich bereits oben (§ 18) angegeben. Auf die kleinen durch Kupfer gebildeten Theile der Widerstände meiner Rollen (vgl. § 18) wurde genügende Rücksicht genommen.

VI. Resultate der galvanischen Messung.

§ 39. Ich gebe nun die Resultate meiner Widerstandsvergleichungen, welche für die Beurtheilung der Genauigkeit, welche in meinen Messungen erreicht worden ist, von Wichugkeit sind.

Von meinen fünf Röhren besass ich im ganzen to Copien, von jeder Röhre S, wovon je eine aus dem Neusilberdraht mit kleinen Temperaturcoëssicienten, zwei aus der alteren Sorte angesertigt waren.

Diese 15 Copien theilte ich in 3 Reihen, sodass jede Reihe von jeder Röhre eine Copie enthielt, und dass die Glieder einer und derselben Reihe aus derselben Drahtsorte bestanden.

Von jeder Reihe von Copien leitete ich ein Paar von Normaleinheiten ab; ich habe oben (§ 33) das Schema angegeben, nach dem ich bei diesen Vergleichungen verfuhr; ein Paar von Normaleinheiten wurde mit einer Copie einer Röhre in dasselbe Wasserbad (§ 19) gebracht; die Copie wurde mit jeder der Einheiten und dann die letzteren untereinander verglichen.

Für die Copirung eines Normalrohrs und für die Vergleichung einer Copie mit einer Normaleinheit habe ich bereits Beispiele mitgetheilt (§ 25 u. 32).

Die definitiven Vergleichungen wurden folgendermassen vorgenommen:

16. bis 18. Januar 1884. Vergleichung der 15 Copien mit den Normalröhren.

23. bis 29. Januar. Vergleichung der Copien mit den Normaleinheiten.

30, Januar bis 2. Februar. Wiederholung der am 16. bis 18. Januar ausgeführten Copirung.

Während sämmtlicher Messungen lagen die beobachteten Temperaturen zwischen 9,6 und 11.2°. Alle angegebenen Widerstände sind auf die Normaltemperatur von 10° reducirt. Der erste Theil der nachfolgenden Tabelle entnatt de Resultate beider Copirungen, ich habe der Berechnung der Werthe der Normaleinheiten die Mittel aus den Resultates der Copirung zu Grunde gelegt; die grosste vorkommenie Abweichung eines einzelnen Werthes für den Widerstand einer Copie vom Mittel beträgt Uisband.

Der zweite Theil enthält die Werthe, welche ich für meine Normaleinheiten erhalten habe, wegen der Berschnung der Mittelwerthe vergieiche man die Bemerkung it Tabelle L

Tabelle II. Widerstände der Copien der Normalröhren bei 10° in Q E.

	E br Xr 1	Nr 2	Nr 2	Nz 4	Nr 1
Eestr Beibe	0,3 =21	1 4402	1 (0/0)	2.13×7×	3,20000°
Zweste Beibe	0.358217	() * (* n n)**	1,4709.	2. 194 2. 194	9,24-71 5,21-75
Datte Babe	0.56.62	(1 Co [] 53°	1.50492	2 1	321 * 1

\* und \*\* exercitate Werthe nach § 24. Die Correctionen betragen bei den mit \* bezeichneten Werthen bis 0.00002, bei den mit \*\* bezeich neten 0,00017 des Waterstandes

Widerstände der Normalemberten ber 10° m Q.E.

	v d t Beck abgenutate embe	- Vanna-	v of it Roths	Norman /	also in to North		
	Nr 4	Nr T	Nr 13	Nr. II	Nr. 24	Nr. 20	
abservatet v							
R er Nr t	0.494(8)	15 F to 47	0.000 3	1 +440	njarinist.	1,000,00	
. 3	() employ	( Contact	4 miles	1 4 - 22	O	1 min	
- 1	Herally	-49	12 9 12 1	1	CARTES	i and	
- 5	(1 paper ) ?	0.99651	13,170,62	1 Filliand	0 (0.0023)	1-12	
Mattel	0 81427	12,000,34	N SHES	1,00406	0,कर्न	Litte	

Eine etwa 50 Tage; nach diesen Messungen angestellte Vergleichung einer Siemena'schen Doseneinbeit mit 3 Normaieinheiten, welche durch unabhängige galvanische Mesn bestimmt worden sind, nämlich Nr. 7, 10, 26 ergab.



dass die Werthe dieser Einheiten bis auf 0,0001 genau in den Verhältnissen zu einander standen, welche durch die Mittelwerthe in der vorigen Tabelle angegeben werden.

§ 40. Um die Bedeutung des zweiten Theiles dieser Tabelle besprechen zu können, müssen wir die Entstehung der einzelnen Werthe dieser Tabelle vor Augen haben.

Die Zahlen einer und derselben wagerechten Zeile sind von demselben Rohr abgeleitet, und es liegen ihnen dieselben Copirungen der Röhre zu Grunde. Gemeinsam sind ihnen also die Fehler, welche bei der Calibrirung und Längenmessung der Röhre, bei der Bestimmung der Masso der Quecksilberfüllung und etwa bei der Füllung der Röhre zum Zwecke der Copirung gemacht worden sind.

Dem ersten Zahlenpaar einer Zeile, ebenso dem mittleren und dem letzten, liegt derselbe für die Copie der Normalröhre gefundene Werth zu Grunde; ein solches Paar von Zahlen hat also ausser den schon genannten Fehlern noch diejenigen gemeinsam, welche bei der Copirung der Röhre in der Temperaturbestimmung und bei den galvanischen Messungen gemacht worden sind.

Auf jede besondere Zahl kommen die Fehler, welche bei der Vergleichung der Copien mit den Normaleinheiten nach der modificirten Kirchhoff'schen Methode begangen worden sind.

Auf diese Weise setzen sich die Abweichungen der in einer und derselben senkrechten Spalte stehenden Zahlen zusammen; dieselben betragen bis 0.0004. Sucht man für die Zahlen der wagerechten Zeilen (d. i. für die von demselben Rohr abgeleiteten Werthe) die mittlere Abweichung der Einzelwerthe vom Mittel, so erhält man folgende Beträge:

1. 2. 3. 4 5. Zeite Mittel-Emzelwerthe +0,00008 +0,00019 -0,00010 +0,00008 -0,00008.

Diese Zuhlen stellen ungefähr die Fehler dar, welche bei der Bestimmung der Dimensionen und der Calibercorrection der Normalrohren gemacht worden sind.

Ich glaube, dass die hauptsächlichste Fehlerquelle die

Bestimmung der Calibercorrection ist. Für die Köhres Nr. 3 und 5, deren Querschnitt sich verhältnissmässig wennt ändert, dürfte die Länge des zur Calibrirung benutzten Quecksilberfadens wohl klein genug sein, aber es scheint als ob die Röhren Nr. 1, 2 und 4 so sehr veränderlichen Querschnitt besitzen, dass man mit den angewandten Mittelt noch immer ein zu kleines C erhält. 1) Die mit den beidet guten Röhren Nr. 3 und 5 gemessenen Widerstände stimmet durchschnittlich auf etwa 0,000 07 überein, während die an meisten abweichenden Werthe (durch Nr. 2 und 3 erhalten durchschnittlich um 0,0003 von einander verschieden sin.

Angesichts der geringeren Zuverlässigkeit der mit Rohr-Nr. 2 (wo die Calibercorrection wahrscheinlich am unsicherster ist, bestimmten Werthe darf man dieselben bei Beurtheilung der Genauigkeit der Endresultate wohl ausser Acht lasser und annehmen, dass die Mittelwerthe für die Normaleinheiter auf 0,0001 richtig bestimmt sind.

§ 41. Fügt man die eben angegebenen Beträge als Correctionen den Werthen der Tabelle als Normaleinheiten zu, so entsteht eine neue Tabelle, in der die Zahlen einer senkrechten Spalte nur noch höchstens um 0.00015 von einander abweichen. Die Hälfte dieser Grösse stellt also ungefähr den Betrag der Fehler dar, welche bei den galvanischen Messungen begangen worden sind.

Die Zufügung dieser Correctionen zu Einzelwerthen sehrich an als eine Reduction auf den Mittelwerth meiner Bestimmungen der Quecksilbereinheit; dieser Mittelwerth ist derselbe, welcher den Mittelwerthen der Tabellder Normaleinheiten zu Grunde liegt.

Indem ich dieselben procentischen Beträge den von einender völlig unabhängig berechneten Widerständen der Normalröhren in der letzten Spalte der Tab. 1 zufüge, erhalte ich die auf eine und dieselbe mittlere Einheit bezogenen Zahlen:

<sup>1)</sup> Man vgl dardber Mascart, Nerville und Benoit 1. c. p. 48 wo durch Versuche nachgewiesen wird, dass durch Wahl eines kurzerst Quecksiberfadens ein grosseres C erhalten wird.

Reducirte Widerstände der Normalröhren:

Nr 1 2 3 4 5

Wto 0,354 93 0,999 40 1,372 61 2,552 67 8,207 54 m Hg von 00.

Die mittlere Einheit, auf welche diese Zahlen bezogen sind, ist auf 0,0001 zichtig.

Diese Einheit liegt den Messungen des folgenden Abschnittes zu Grunde.

VII. Vergleichungen der Einheit der British Association und der von Siemens und Hulske ausgegebenen Einheit mit der von mir bergestellten Quecksilbereinheit.

§ 42. Die zur Vergleichung gelangenden Stücke waren: Ein Widerstand von Neusilberdraht, welcher von Hrn.

Glazebrook, Cavendish Laboratory, Cambridge, zu: 0.999 37 B.-A.-U. bei 17.7° C.

Mittel aus 2 Bestimmungen am 2. und 4. Februar 1884. Temperaturcoëfficient 0,000 294

bestimmt war und:

2 Widerstände aus Neusilberdraht, welche von der Telegraphenbauanstalt Siemens und Halske in Berlin als:

1,000 25 S.-F. bel 20° C. Mittel aus 10 Bestumungen zwischen 19 März und 16. October 1883.
 1,000 38 S.-E. bei 20° C. Mittel aus 2 Bestumungen

zwischen 16. und 21. Februar 1884. Temperaturcoëfficient 0,00033 und

1,999 72 8.E bei 20° C. Mittel aus 3 Bestimmungen

zwischen 17. Marz und 25. October 1888 1,999 71 S.-E. bei 20° C. Mittel aus. 1 Bestimmung

am 16 Februar 1×84.

Temperaturcoëfficient 0,00035

ausgegeben wurden. Ich wähle für meine Vergleichungen die Werthe aus den neuesten Bestimmungen, indem ich annehme, dass kleine zeitliche Aenderungen der Widerstände vorliegen könnten.

Ausser diesen untersuchte ich noch vier Siemens'sche Einheiten in der gewöhnlichen Dosenform.

Im Folgenden theile ich die Resultate aller einzelnen Vergleichungen mit.

Ann d. Phys. a Chem. N. P. XXV.

Die Messungen wurden am 11. bis 17. März 1884 bei Temperaturen zwischen 9,0 und 10,5° angestellt.

1. Die Einheit der British Association, ausgedrückt durch die Länge einer Quecksilbersäule von 0° und 1 qmm Querschnitt, ist gleich:

2. Die von Siemens und Halske ausgegebene Einheit ist ebenso gleich:

1,00010 m	aus der	Vergleichung	des	Rohres	Nr.	21)		
1,00003 +	49 69	41	-	**	44	8	mie 4	
1.00010 ii	12 39	ti.	10			2	Mile 2 54	
1,00012 "	49 49	**	78	T+	14	" ]	mit 1	
1,00017 **	Fry 4-4	4+	4+	**	**	3	mit 2	
1,00080 +	11 11	++	18				mit 2	
1,00034 %	17 15	*1	74	}		٠ ]		

Die mitgetheilten elf Messungen sind Vergleichungen der oben beschriebenen Stücke, des Widerstandes der British Association und der Siemens'schen Normalrollen 1.. und 2... mit meinen Quecksilberröhren.

Durch Vergleichung der beiden Siemensschen Normalrollen fand ich, dass die Widerstände derselben nicht genau in dem Verhältnisse standen, welches ich aus den Angaben der Firma für meine Beobachtungstemperatur (10°) berechnete. Halte ich für die Rolle 1 den Werth 1,00038 S.-E bei 20° C. fest, so wäre nach meinen Messungen der Widerstand von 2 bei 20° C.:

2,00007, 2,00017, im Mittel 2,00012 S.-E.

Unter derselben Voraussetzung lässt sich auch aus den mitgetheilten Vergleichungen der beiden Rollen mit Quecksilberröhren der Widerstand von 2.. berechnen zu

2,00009 S.-E. bei 20° C.

Die Vergleichung der vier Doseneinheiten, zum Theil mit

Bei der zu dieser und der ersten unter 2 folgenden Messung gemeinschaftlich gehörigen Auswägung der Röhre Nr. 2 wurde der Queck silberinhalt um 0,000 18 kleiner gefunden, als in Tab. I angegeben.

Quecksilberröhren, zum Theil mit Normaleinheiten, ergab tolgende Resultate:

Doseneinheit		Ang	gabe	meine Bestimmung richtig bei			
Nr.	2705	December	1882	richtig	bei	15,60	15,30
19	2706	83-	1882	1-3	10	16,1	16,1
*5	2707	**	1882	19	*9	17,1	17.0
*1	2674	Februar	1884	43	-11	19,5	19,4

Die Uebereinstimmung der von Siemens und Halske ausgegebenen Einheit und meiner Quecksilbereinheit befriedigt vollständig.

3. Endlich habe ich durch directe Vergleichung das Verhältniss der Einheit der British Association zu der von Siemens und Halske ausgegebenen Einheit gefunden wie folgt:

#### Resultate:

1 B. A. = 1,04894 | in | Quecksilber von 0°.
1 S.-E. (Berlin) = 1,00017 | mm<sup>3</sup> (Quecksilber von 0°.
1 B. A. = 1,04877 S.-E. (Berlin).

Zum Vergleich gebe ich einige Zahlen aus den in der letzten Zeit angestellten Untersuchungen über denselben Gegenstand. Die Einheit der British Association ist nach:

mm, Hg von 0° S.-E. Berlin)

1) 1882: Lord Rayleigh und Sidgwick = 1,04809 1,04860
7) 1884: Roiti = 1,04859 = 1,04862
9) Mascart, Nerville und Benoit = 1,04850 = 1,04847
Strecker = 1,04877

Hierzu ist zu bemerken, dass Roiti zur Vergleichung der B.-A.-Einheit mit m<sub>i</sub>mm<sup>2</sup>, Hg von 0° einen von mir bestimmten Drahtwiderstand benutzte.

- 1) Lord Rayleigh and Mrs. Sidgwick, l. c.
- 2) Rosti, Nuov. Cim. (8) 15. p. 97. 1884,
- 3) Mascart, Nerville et Benoit, l. c.

## Nachtrag.

Nach Beendigung der vorstehenden Arbeit war es mit durch die Güte der Herren Geh. Reg.-Rath Dr. W. Sie mens und Dr. Frölich ermöglicht, im Laboratorium der Telegraphenbauanstalt von Siemens und Halske in Berhn einige meiner Drahtwiderstände mit den Siemens'schen Quecksilberröhren zu vergleichen.

Ehe ich auf die Resultate meiner Messungen eingehe, will ich darauf hinweisen, dass die Formeln, nach denez Siemens und Halake die Widerstände ihrer Normalröhren berechnen, sich in zwei Punkten nicht unbeträchtlich von der meinigen unterscheiden.

Der Ausbreitungscoöfficient an den Enden der Quecksilberröhren ist dem Radius der Röhre proportional = a.r. Siemens und Halske setzen a = 1, während ich a - 1.6 nahm. $^1$ ) Die Wahl des einen oder des anderen Werther bedingt einen Unterschied von mehreren Zehntausendteln in den berechneten Widerständen.

Ausserdem haben Siemens und Halske für die Aenderung des specifischen Widerstandes des Quecksilbers mit der Temperatur etwas andere Werthe gefunden als ich; setzt man den Widerstand einer mit Quecksilber gefüllten Glavröhre bei 0° = 1, so ist der Widerstand bei t° (scheinbare Aenderung in Glas) nach Siemens und Halske<sup>2</sup>):

 $\sigma_t = 1 + 0.0008523t + 0.000001356t^2$ 

nach Strecker:

 $\sigma_t = 1 + 0.0008915t + 0.000000045t^2.$ 

Die nach diesen beiden Formeln berechneten  $\sigma_t$  zeigen bei etwa 21,5° den grössten Unterschied mit 0,00032, während sie für etwa 40° gleich gross werden.

Um zu erfahren, wie genau die gegenwärtig im Gebrauche der Wissenschaft und Technik befindlichen, von Siemens und Halske ausgegebenen Widerstandseinheiten mit der von mir hergestellten Einheit übereinstimmen, wird mas

<sup>1)</sup> Vgl § 2 der vorstehenden Abhandlung.

<sup>2)</sup> Siemens and Halske, Le.

diese beiden Unterschiede nicht weiter berücksichtigen, wie ich auch in der mitgetheilten Abhundlung gethan habe.

Meine neuerdings angestellten Vergleichungen, über welche ich jetzt berichten will, geben eine gute Bestätigung der am Schlusse meiner Abhandlung mitgetheilten Vergleichungen; ich fand näulich, wenn ich für die Siemens'schen Quocksilberröhren die von der Firma angegebenen Capacitäten für O" ansetzte und die Aenderung des Widerstandes nach der Siemens'schen Formel berechne, dass:

1 S.-E. (gegenwartig im Gebrauch) - 1,00027 m/mm<sup>3</sup>, Quecksilber von 0<sup>6</sup> (Strecker) ist.

Indess scheint es mir von Interesse zu sein, zu untersuchen, welches das Verhältniss der Siemens und Halske'schen Einheit zu der meinigen ist, wenn man von den Dimensionen der Normalröhren ausgehend dieselbe Formel für die Berechnung der Widerstandscapucitäten und dieselbe Formel für die Aenderung des specifischen Widerstandes des Quecksilbers mit der Temperatur anwendet.

Solange es sich nur um das Verhältniss der beiden Einheiten, nicht um den richtigen absoluten Werth der Quecksilbereinheit handelt, brauchen wir uns nicht für die Richtigkeit der einen oder der anderen Formel zu entscheiden. Im vorhegenden Fall, wo die Ausbreitungswiderstände nur einen sehr geringen Theil der gesammten Widerstände ausmachen, erhalten wir his auf 0,0001 dasselbe Resultat, ob wir durchgehends die Siemens schen oder durchgehends meine Formeln anwenden. Es genügt also hier, wenn wir allen Berechnungen dieselben Formeln zu Grunde legen; die Wahl der Formeln selbst bleibt unserer Willkur überlassen. Ich werde der Einfachheit wegen die in meiner Abhandlung angegebenen Formeln (§§ 8. 16. 37) nehmen; nach diesen werden im Folgenden auch die Widerstände der Siemens schen Normalröhren berechnet.

Ich gehe nun zur Beschreibung der angestellten Messungen über.

Vom 29. October bis 4. November 1884 führte ich im physikalischen Institut zu Würzburg die Vergleichung von fünf meiner Normaleinheiten (Nr. 6, 10, 11, 24, 26) unter einander und mit Rohr Nr. 2 aus. Die Methode der Vergleichung war die Kohlrausch'sche des übergreifenden Nebenschlusses. Die fünf Röhren wurden jede mit jeder verglichen, um möglicherweise vorkommende spätere Veränderungen der Widerstände genau nachweisen zu können; bei der Vergleichung mit Rohr Nr. 2 wurde dem letzteren der auf das Mittel meiner Bestimmungen der Quecksilbereinheit reducirte Werth:  $W_{10} = 0.99940$ , nebst der Reductionsformel

 $W_t = W_{10}[1 + 0.000892(t - 10) + 0.00000045(t - 12)]$ , zu Grunde gelegt; die Beobachtungstemperaturen lagen zwischen 11,1° und 11,5°. Bei diesen wie den folgenden Mesungen wurden die Angaben der Quecksilberthermometer auf das Lufthermometer bezogen.

Vom 17. bis 22. November 1884 nahm ich die Messungez im Siemens'schen Laboratorium vor, wobei mich Hr. Sittig in dankenswerther Weise unterstützte. Die befolgte Methode war die der Wheatstone'schen Brücke. Ich verglich wieder meine fünf Rollen jede mit jeder, und dann Nr. 26. 24. 11 mit der Summe der Siemens'schen Quecksilberröhren Nr. 17 und 124. Nr. 10 und 6 mit Rohr Nr. 122; die Beobachtungstemperaturen lagen zwischen 14 und 16. Die Capacitäten der Quecksilberröhren bei 0° sind (nach meiner Formel herechnet-

Rohr Nr. 17 bei 0° 0,34403 Q.-E.

" " 122 1,01381 "
0 " 124 0,78833 "

Die Resultate der Vergleichungen sind folgende:

1. Vergleichung der Einheiten Nr. 6. 10. 11. 24. 26 untereinander; die Tabellen geben die beobachteten Differenzen in Hunderttausendteln der Quecksilbereinheit; die erste senkrechte Spalte jeder Tabelle enthält die Minuenden die erste wagrechte Zeile die Subtrahenden.

ħ.	om <b>e</b> si	en i	ia Wur	aburg,		100		gen	reste	n ta Be	erliu,	
29. Oct			4. Nove -24		1884		17.	Nr		Novemb 24		-
Nr. 11 26 24 6		86	461 374	578 490 115	733 650 277 159		11 20 24 6		жз	471 379	592 493 116	754 905 261 157

Die Widerstände der fünf Rollen wurden gefunden durch Vergleichung mit Queckeilberröhren zu:

		bei 10°:		
	Warzhung	Berlin		
tn	, . Hg von 0°	SE.		
ELEN	, 1 10K 10110	(nach der	Differens	
	Strecker	Unirechnung)		
Nr 11	1,00415	1,00499	0,00094	Vergletoliung mit
· 26	1,00824	1,00418	0,00094	der Summe der Ereren Nr. 17
· 24	0.99949	1,00046	0,00097	und 124.
. 6	0,99837	400000	0,000069	Vergleichung mit
· 10	0,99679	0,90747	0,00068	Bohr Nr. 122.
9 11 + 26 + 24	3,00488	3,00963	Vergleschung n	nt Nr. 17 + 124
n 6 + 10	1,99 (16	1,99652	10	a 122,

## 1 S.-E. (nach der Umrechnung):

# XI. Die Hochdruck-Influenz-Electrisirmaschine; von Walther Hempel.

(Mierau Taf. 17 Fig. 6 a. 9.)

Im Januar 1884 habe ich in den Berichten der deutschen chemischen Gesellschaft einen Aufsatz veröffentlicht "über den Einfluss, welchen die chemische Natur und der Druck der Gase auf die Electricitätsentwickelung der Influenzmaschinen hat". Ich hatte damals gefunden, dass die Electricitätsmenge, welche eine Influenzmaschine erzeugt, sowohl abhängig ist von der Natur als dem Druck des Gases, in welchem sich dieselbe befindet. Die Fortführung dieser Untersuchung ist bedeutungsvoll geworden, weil es sich herausgestellt hat, dass Maschinen, welche die Anwendung höheren Druckes gestatten, ganz beträchtlich mehr Electricität liefern als die jetzt gebräuchlichen.

Fig. 8 zeigt die Anordnung der Maschine, wie ich solche zu meinen anfänglichen Experimenten benutzte. In Bezug auf die Anordnung der Scheiben, Belege und Sauger unter sich, ist die von Töpler gefundene Lonstruction gewählt, nur ist die Are nicht horizontal, sondern vertical gesteut. Die Are ist luftdicht durch einen einernen Teller A geführt, bei a in einer Stopfindelee, bei 8 auf einer Spitze gelagert. Der Antrieb erfolgt durch einen kleinen Schnurlauf e und den Riemen d. Die Polkugein e und f der Maschine sind an alleeting im Raum beweguchen Haitern, welche mittelst gresser Hartgummischeiben in dem eisernen Teller isolitt eingesetzt sind.

An dem eisernen Teller sind an dem äussersten Rande zwei ringsumlaufende Wände gegossen, die eine tiefe Rinne bilden, in welche die Glasglocke B eingesetzt werden kann. Der Eisenteller trägt ausserdem zwei Hähne g und einen Tourenzähler h, um vergleichende Messungen zu ermöglichen

Aller todte Raum unter der Glasglocke, welcher nicht von den Glastheilen der Maschine eingenommen wird, ist möglichst mit Paraffin ausgegossen. Bringt man in die Rinne des Tellers etwas Quecksilber, so ist die Maschine vollkommen gasdicht eingeschlossen, trotzdem lässt sie sich ohne Schwierigkeit öffnen.

Setzt man ferner unter die Glocke concentrirte Schwesel
"Aure, so befindet sich die Maschine nach kurzer Zeit in
einer absolut trockenen und staubireien Atmosphäre, was
den grossen Vortheil bietet, dass sich dieselbe immer solori
anregt und selbst in der schlechtesten Laboratoriumsatmosphäre brauchbar bleibt.

Es hat sich gezeigt, dass die Gläser so hergestellter Maschinen nicht lackirt zu werden brauchen, sodass dann alle Theile der Maschine gegen das Ozon, welches die Maschine bei ihrem Gange in Luft erzeugt, vollkommen widerstandsfähig sind. Man kann ferner, unbeschadet für die Wirkung der Maschine, gewöhnliches Fensterglas, was für die gebräuchliche Construction ganz unbrauchbar sein wurde zur Herstellung der Scheiben benutzen, da dasselbe in vollkommen trockener Luft ganz ausreichend isolirt.

Da die Papierbelege der Maschine bei vollkommener Trockenkeit jedoch die Electricität nicht mehr leiten, so müssen diese mit etwas Graphit eingerieben werden, um sie indurch schwach leitend zu machen.

Die beschriebene Einrichtung gestattet die Anwendung verschiedener Gase, schliesst jedoch die Benutzung höheren Druckes aus.

Fig. 9 zeigt die Anordnung, welche gewählt wurde, um das Verhalten der Maschine unter verschiedenem Druck zu studiren.

Um Messungen zu ermöglichen, die nicht von der Reibung in einer Stopfbüchse beeinflusst wurden, wurde die Maschine auf einem eisernen Teller A unter einer eisernen Glocke B (dieselbe ist in der Zeichnung abgehoben dargestellt) so aufgestellt, dass die Bewegung derselben durch sine kleine Dynamomaschine C erfolgt, welche von aussen durch eine Batterie D in Gang gesetzt werden konnte. war so moglich, die Zapfenreibung bei den wechselnden Drucken constant zu erhalten und eine wirklich vollkommene Dichtung des Hohlraumes unter der geschlossenen Glocke berzustellen. Aller Raum unter der Glocke, welcher nicht für die bewegten Theile der Maschine nöthig war, wurde theils mit Paraffin ausgegossen, theils mit passend hergestellten Paraffinstücken E ausgesetzt. Die eiserne Glocke wurde mit einem zolldicken Mantel von Paraffin im Inneren aberkleidet, dieselbe konnte ferner durch vier eiserne Schrauben F fest auf einem auf dem Teller A autliegenden Gummiring aufgepresst werden. Der eiserne Teller enthielt zwei Ventile q, deren eines mit einer Druckpumpe G, das andere mit einem Manometer H in Verbindung stand.

Die Zuleitungen zu den Polkugeln e, f waren mittelst langer Glastöhren isolirt durch den Teller geführt. Zur Messung diente eine Leydener Flasche I, welche in einem mit Paraffin ausgegossenen Kasten stand. Die Leydener Flasche war durch Drähte mit den Polkugelhaltern verbunden.

Ausserdem befand sich in der Maschine ein Tourenzähler h, welcher durch Drähte in Verbindung mit einem Element K und einer electrischen Klingel L stand und so ningerichtet war, dass alle 100 Umdrehungen durch Schliessen eines Contactes ein Glockensignal erfolgte. Die Verbindung zwischen der Dynamomaschine und der Axe der Intluere maschine war durch Schnurläuse und Riemen hergestellt. Um zu ermöglichen, dass die Dynamomaschine in jeder Stellung durch einsaches Schliessen der Kette in Gang gebracht werden konnte, war dieselbe als Zwillingsmaschine construirt, sodass also zwei kleine Dynamomaschinen einer verbunden waren. Die Anker derselben sassen auf ein und derselben Axe und waren so gegeneinander gestellt dass die eine Maschine im Maximum ihrer Wirkung war wenn die andere sich auf dem todten Punkte befand. Debeschriebene Einrichtung gestattet, die Influenzmaschine unter der Glocke in verschiedenen Gasen unter wechselndem Druckbeliebig in Gang zu setzen, die Tourenzahl der Glasscheiber zu zählen und die producirte Electricitätsmenge zu messen.

#### Versuche mit der Influenzmaschine, Fig. 8 entsprechend.

Die Electricitätsmenge wurde in der Weise gemessen dass man zählte, wie viele Entladungen bei gleicher Tourezzahl der Maschine und gleichem Abstand der in Luft befindlichen Polkugeln eine Leydener Flasche gab.

Die Maschine hatte lackirte Scheiben.

Dabei zeigte sich, dass bei der Benutzung von Wasserstoff die Sauger der Maschine im Dunkeln nicht leuchteten während dies in allen anderen Gasen in sehr auffälliger Weise erfolgte.

- 1. Die Maschine gab mit Wasserstoff bei 850 Umdreh ungen in der Minute neun Entladungen, während sie sich in Luft bei 850 Umdrehungen 45 mal entlud.
- 2. In Kohlensäure erfolgten bei 850 Umdrehungen im Mittel 47 Entladungen, gleichzeitig wurde ein Theil der Kohlensaure in Kohlenoxyd und Ozon zerlegt.
- 3. Die Maschine gab ferner bei 400 Umdrehungen pr Minute beim Laufen in Luft von gewöhnlichem Druck fünfzehn Entladungen bei einer Atmosphäre Ueberdruck 32. Be einer Verminderung des Druckes um 1/2 Atmosphäre unter

den herrschenden Luftdruck konnte die Leydener Flasche überhaupt nicht mehr geladen werden.

Ein Versuch, größere Quantitäten von Electricität dadurch zu erhalten, dass man die Maschine unter Petroleum laufen liess, was ein ausgezeichneter Nichtleiter für Electricität ist, schlug fehl. Möglich, dass unter Anwendung von schleifenden Federn an Stelle der saugenden Spitzen der Influenzmaschine ein Erfolg erzielt werden könnte, da es wohl denkhar ist, dass das Petroleum so gut isolirt, dass die Spitzen nicht mehr im Stande sind, die Electricität zu übertragen.

#### II. Versuche mit der Hochdruckintluenzmaschine. Fig. 9 entsprochend.

Die Leydener Flasche, welche zur Messung verwendet wurde, hatte etwa 1236 qcm Fläche pro Beieg, der Abstand der Polkugeln betrug 15 mm.

# 1. Versuchsreihe in atmosphärischer Luft.

Die Maschine hatte lackurte Glasscheiben.

Ueberdruck in Atmospheren	Zahl der Bussen- elemente, welche zur bewegung d. bynamismasch na direiten	Zah der Umdrehougen	Zeil, in washer \$13 t adretingen erligiet. In re-inden	Ashl d Konasi mges. welche un bezonne Flanche bei im Um- dreh aufen ergab		
0	8	400	54	31	Funken	
i	5	4010	52	14	,-	
2	ñ	400	34	15	-	
3	5	400	62	20		
4	ń	400	7.2	23		
5	43	4000	tin	25		
6	13.	400	77	28		
Е	7	460	19.4	31		
5	6	410	45	27	200	
4	6	4100	79	26	,	
3	5	400	74	24	-	
2	4	400	40	20	F1	
1	4	41 K1	71	15		
0	1	400	68	- 5		

Die nachfolgenden Versuche sind mit unlackirten Glasscheiben ausgeführt.

#### 2. Versuchsreihe in atmosphärischer Luft. Temperatur 15°.

Ueberdruck in Atmost haren	Zahl der Bussen- ster Besterung d. Dynamomaschine die ten	Zahl der Umdrehungen	Left, in welcher 400 t morehungen erfogten In Secunden	Zahi di Entiadonem, washin die Lajdane Fiashio bei 60 Un- drahungan angah
-206 mm	03		-	Planche konstear to
-350 4	6	-	-	geladen merdes
756 4	5	400	74	17 Funken
Der gerade herr- schende Luftdruck				
+ 1 Atm.	5	400	95	31
+ 2 "	6	400	88	42
+ 3	6	400	120	46
9 11	6	400	98	48 11
1	6	400	84	34 5
0 4	6	400	5b	14

#### 3. Versucherethe in Wasserstoff.

Ueberdruck to Atmosphären	Zah der Istaasen- elemente, welche ster Itewegung d. Dynamou oschine dienten	Zahl der Umdrehungen	Zet., lu weiche 600 Umdrehunge gefoorten in Seconden	Placeho	
0	5	400	68	6	Funken
+1	5	400	73	18	**
2	5	40.1	83	27	**
8	5	400	92	34	4"
90,	6	400	24.6	34	++
9: ,	6	40)	56	36	**
B *	6	400	H.L	33	71
2	6	400	72	27	41
1	6	400	Ba	18	*1
0	6	400	58	3	**
- 13	6	E	rfolgte kome	Ladung	mehr

#### 4. Versuchsreihe in Kohlensäure.

Ueberdruck in Atmosphären	Ashl fer linnen e onseite welche sur lierening d Dynaminasch ne die iten	Zald der Umdrehungen	Leit, in weigher 400 Undrehungen erfalgten in becunden	Ash d Ehrafunger es she die Lerdone Flasche be der Un drehungen ergab		
0	5	460	59	8 Funken		
1	5	400	96	35 H		
2	6	400	101	47		
21,	6	400	204	426 to		

Die Gasreibung war bei 2°, Atmosphären so stark, dass die Dynamomaschine die Influenzmaschine kaum noch zu bewegen vermochte

2	6	1 400	96	48 Funken
2	6	400	96	44
1	6	400	76	32 ,,
0	6	400	42	8 11

Diese Versuche lehren, dass die chemische Natur der Gase einerseits einen Einfluss auf die Electricitätsentwickelung der Influenzmaschine ausübt, dass aber andererseits mit wachsendem Druck eine enorme Vermehrung der producirten Electricitätsmengen eintritt.

Zur Verwerthung der durch Influenzmuschinen erzeugten Electricität wird man zweckmässig eine Einrichtung wählen, wie es Fig. 8 zeigt, nur mit dem Unterschied, dass man an Stelle der Glasglocke eine eiserne Haube nimmt, die sich mit starken Schrauben luftdicht aufpressen lässt.

Die vorliegenden Untersuchungen sind mit dem rohen Messapparat, einer Leydener Flasche, angestellt um einen Ueberblick über den Verlauf der Gesammterscheinungen zu erhalten, während die sich hieran anschliessenden rein electrischen Bestimmungen der Dielectricitätsconstanten der Gase bei hohem Drucke weiteren Untersuchungen vorbehalten bleiben muss.

Hr. Oskar Leuner, Mochankus des Polytechnikums in Dresden, hat die sämmtlichen Apparate in ausgezeichneter Weise hergestellt.

> XII. Notiz über eine Influenzmaschine einfachster Form; von Julius Elster und Hans Geitel. (Abem 7st. V Pig. 1.)

Vortheile, die mit der schnellen Herstellung grouper Englichten verknüpft sind, überall Eingang ab i zwichten unteil gefunden. Indessen wird ihr Werth in parte dagere erhebliche Schwer wie in überschliche Schwer wie den, empfiehlt es sich can am überschliches Arparat dung zwies erteren.

WHISE

opposite, de vir and

hier mitzutheilen erlauben, und der in seiner Construction dem Thomson'schen "replenisher" nahe steht, ist nur erforderlich die Bekanntschaft mit der electrischen Influenz und der Thatsache, dass die Electricität ihren Sitz auf der Oberfläche der Leiter hat. Die Einrichtung des Apparutes ist folgende: Um eine mittelst einer Kurbel drehbaren Axe AB sind sechs - in der Figur and nor zwei gezeichnet - cylindrische Metalloonductoren CC, wir verwenden dazu mit Stanniol überzogene Korkstopfen, an isolurenden, radial zur Drehungsaxe verlaufenden Stützen DD T-förmig in einer zur Axe senkrechten Ebene befestigt. Dieselben passiren frei bei der Drehung zwei isolarte. feate, beiderseits offene Metallevlinder EE', die, um den Stützen DD Durchgang zu gewähren, an ihrer der Drehungsaxe zugewandten Seite der Länge nach aufgeschnitten sind. Zugleich sind diese an den Stellen, an welchen bei der Drehung in der Richtung des Pfeiles die beweglichen Cylinder CC austreten, an der der Drehungsaxe zugewandten Seite schräg abgeschaitten, um im Momente des Austretens einen möglichst grossen Zwischenraum zwischen die beweglichen Conductoren CC und die festen EE zu bringen. Diese letzteren tragen an den nicht abgeschrägten Enden zwei metallische. nach Innen gekehrte Federn FF', die soweit vorragen, dass sie die beweglichen Conductoren CC' bei der Drehung be-Ferner führen zwei weitere Contactfedern GG rühren. durch zwei in den festen Conductoren (ungefähr in der Mitteangebrachte, kreisförmige Oeffnungen in das Innere derselben, wo sie ebenfalls mit den beweghehen Conductoren in Berührung kommen. Diese beiden Federn sind unter sich in leitender Verbindung (resp. zur Erde abgeleitet). Das Spiel dieses Apparates ist nun folgendes:

Angenommen dem Cylinder E sei eine bestimmte Ladung + e mitgetheilt. Sobald bei Drehung der Axe einer der beweglichen Conductoren so weit in denselben eintritt, dass er die Ableitungsseder G berührt, so wird derselbe durch Influenz negativ electrisch. Bei weiterer Drehung wird zunächst die Feder G verlassen; dann tritt der Conductor mit negativer Ladung behaftet völlig aus dem ersten Cylinder beraus und berührt die Feder F des zweiten. Er bleibt

mit dieser so lange in Berührung, bis er völlig in das Innere des Cylinders E' eingetreten ist, also seine Ladung fast vollständig an diesen abgegeben hat. Nun ist E' negativ geladen. Kommt jetzt also der bewegliche Conductor mit der Feder G' in Berührung, so wird er durch Influenz positiv electrisch und führt seine Ladung bei fernerer Drebung in gleicher Weise dem Cylinder E zu, dessen Spannung verstärkend. So tritt eine gegenseitige Verstärkung der Ladungen sehr schnell ein bis zum erreichbaren Maximum. Dasselbe kann hier kein sehr hohes sein, da aus den zur Erde abgeleiteten Federn GG sehr bald ein Ausströmen der entgegengesetzten Electricitäten eintritt, was sich durch Ozongeruch, sowie im Dunkeln durch Lichtbüschel zu erkennen gibt. Der Apparat wirkt stets selbsterregend. Befestigt man zwei electrische Pendel an E und E", so ist das rapide Wachsen der Ladung deutlich zu sehen.

Selbatverständlich würde sich der Apparat bedeutend wirksamer gestalten, wenn man statt der radial zur Axe gestellten, beweglichen Metallcylinder eine rotirende Glasscheibe mit Stanniolsectoren benutzte und E und E' durch je zwei parallele Glasplatten, aussen mit Stanniol belegt, ersetzte. Dann wurde man aber im wesentlichen auf die Construction der Töpler'schen Maschine zurückkommen, denn es ist jetzt offenbar nur noch ein Schritt, die Ladungen der festen Conductoren E und E' gar nicht zu benutzen, und statt dessen eine Funkenstrecke in die metallische Verbindung der beiden Federn G und G', (die nun natürlich isolirt sein müssen) einzuschalten. Lässt man schliesslich auch die Stanniolsectoren der rotirenden Scheibe weg und ersetzt die Contactfedern durch Spitzen, so ist damit auch das Wesentliche der Holtz'schen Construction gegeben. Der hierdurch angedeutete Zusammenhang zwischen den verschiedenen Formen der Influenzmaschinen ist übrigens schon vollständig dargelegt und theoretisch begrundet in einer Abhandlung von Veltmann'): "Theorie der Influenzmaschine", auf die wir hiermit verweisen.

Wolfenbüttel, im April 1885.

<sup>1)</sup> Veltmann, Pogg. Ann. 151. p. 518. 1874.

# XIII. Veber die electromagnetische Rotation einer Flünrigkeit;

von Eduard Riecke.

(Aus den Gött, Nachr. vom 30. Dec. 1884: mitgetheilt vom Hrn. Verf. (Hiersa Taf. V Fig. 2.)

I. Bezeichnet man eine aus verschiedenartigen Leiters gebildete, von einem galvanischen Strome durchlaufene Kette. deren Glieder theils fest liegen, theils eine bestimmte Beweglichkeit besitzen, als einen electrodynamischen Kreis, so sind mit Bezug auf die Anordnung eines solchen Kreises verschiedene Fälle zu unterscheiden. Der einfachste Falist der, beim welchem die Stromfäden stets an dieselbe Reibponderabler Theilchen gebunden bleiben; dies findet statt bei allen Kreisen, deren bewegliche Theile aus Drähten oder biegsamen Fäden zusammengesetzt sind, und bei welchen der Ucbergang von den festliegenden zu den beweglichen Theilen der Leitung nicht durch Gleitstellen vermittelt wird. Der zweite Fall ist der, in welchem infolge der Bewegung neue ponderable Elemente als Träger des Stromes zu den schoe früher vorhandenen binzutreten; es ist dies der Fall bei den meisten derienigen Anordnungen, bei welchen die beweglichen Stromtheile durch Gleitstellen mit den ruhenden verbunden sind; forner gehört hierher der Fall einer elastischen Dehnung der vom Strome durchtlossenen Leiter. Der dritte Fall ist dadurch ausgezeichnet, dass eine relative Verschiebung der Stromfäden, welche das Innere von körperlichen Leitern erfüllen, gegen die ponderabeln Theilehen der letzteron eintritt. Dieser Fall findet statt, wenn der vom Strome durchflossene Körper elastische Biegungen erleidet. er kann eintreten bei Kreisen, welche mit Gleitstellen behaftet sind und bei der Bewegung eines von einem galvanschen Strom durchflossenen flüssigen Leiters.

Sind in der Nähe des electrodynamischen Kreises galvanische Ketten oder Magnete fest aufgestellt, so werden die von denselben ausgeübten Kräfte eine Verschiebung der beweglichen Theile jenes Kreises zur Folge haben. Die hierbei geleistete Arbeit ist bei denjenigen Anordnungen, welche wir dem ersten und zweiten Fall unterordnen können, jederzeit bestimmt durch den negativen Zuwachs, welchen das Potential jener Ströme und Magnete auf den electrodynamischen Kreis bei der Verschiebung erleidet. Es gilt dieser Satz daher für die Wechselwirkung geschlossener Spiralen, für die von Zöllner beschriebenen Versuche mit Gleitstellen; es bestimmt derselbe die Gestalt der electrodynamischen Kettenlinie, die Dehnung eines elastischen Leiters unter der Wirkung electrodynamischer Kräfte.

Dagegen unterliegt die Anwendung des Potentialgesetzes gewissen Schwierigkeiten in dem dritten Fall. In diesem lassen sich leicht solche Anordnungen treffen, dass bei einer Verschiebung des Systemes der ponderabeln Stromträger eine entsprechende Verschiebung oder Verlängerung der Stromfäden nicht eintritt, also auch das electrodynamische Potential eine merkbare Aenderung nicht erleidet. Eine Ausdehnung des Potentialgesetzes auf derartige Fälle ist nur möglich auf Grund hypothetischer Hülfsvorstellungen über die molecularen Beziehungen zwischen den Theilchen der leitenden Körper und der sie durchströmenden Electricitäten.

Es ergibt sich bieraus das besondere Interesse, welches sich an die Untersuchung derjenigen electrodynamischen Kreise knüpft, welche dem dritten Falle entsprechen. Wie schon erwähnt wurde, gehört bierher die Bewegung einer Flüssigkeit unter der Wirkung electrodynamischer oder electromagnetischer Kräfte, und es ist daher im Folgenden der Versuch gemacht worden, die Theorie einer derartigen Bewegung zu entwickeln und die Resultate derselben mit der Erfahrung zu vergleichen.

II. Es möge zunächst die Vorrichtung beschrieben werden, mit Hülfe derer die im Folgenden untersuchte Bewegung erzeugt wurde. Auf eine kreistörmige Kupferscheibe von 132 mm Durchmesser wurde ein Kupferring von demselben äusseren Durchmesser, einer Breite von 10 mm und einer Dicke von 1 mm aufgelöthet. Es wurde sodann ein Zinkring abgedreht von 4,02 mm Dicke, einem äusseren

Durchmesser von 132 mm, einem inneren Durchmesser von 80.16 mm. Auf die untere Fläche dieses Ringes wurde eine dünne Glasplatte aufgekittet und sodann der ghen abgeschliffene Ring auf den ebenfalls oben geschliffenen Kunferring aufgeschraubt, so dass eine möglichst unnige Berührung der beiden Ringflächen erzielt wurde. Auf diese Weise wurde eine flache Schale bergestellt, deren Boden durch die Glasplatte, deren Rand durch den Zinkring gebildet wurde. dieselbe wurde mit einer Lösung von Zinkvitriol gefüllt. In ihrer Mitte wurde eine kreissormige Zinkscheibe von 4.08 mm Dicke und 19.48 mm Durchmesser eingesetzt: auf die obere Seite dieser Scheibe war eine Glasplatte aufgekittet, welche sich auf den durch den Zinkring gebildeten Rand auflegte. Es wurde so eine ringförmige Flüssigkeitsplatte hergestellt, welche oben und unten von zwei narallelen Glasplatten, nach innen und aussen von zwei cylindrischen Zinktlächen abgegrenzt wurde: die Dicke der Platte betrag im Mittel 4.05 mm, der innere Halbmesser 9.74 mm, der äussere 40,08 mm. Die Zinktlächen dienten als Electrodes für die Zu- und Ableitung eines radial in der Plüssigkeitsplatte verlaufenden Stromes. Die auf der Zinkscheibe aufgekittete Deckplatte war in der Mitte durchbohrt, soden on Zuleitungsdraht von Kupfer in die Scheibe eingeschraubt werden konnte. Die Kupferplatte, welche die Grundlage der ganzen Vorrichtung bildete, trug in der Mitte einen vertical nach unten gehenden Zuleitungsdraht von Kupfer Die ganze Vorrichtung wurde auf die horizontale Politäche eines in der Axe durchbohrten Electromagnets aufgesetzt. Wurde der Electromagnet erregt, der durch die Zinkvitrielplatte gehende Strom geschlossen, so gerieth die Flüssigkeit in eine rotirende Bewegung, welche mit Hülfe von Schellacktheilchen beobachtet wurde, die in derselben suspendart waren

Unter der Voranssetzung, dass die Theilchen der Flüssigkeit und die Schellacktheilehen concentrische Kreishahnen um den gemeinsamen Mittelpunkt der Zinkelectroden beschriehen, konnte die Winkelgeschwindigkeit in verschiedenen Entfernungen von jenem Mittelpunkt gemessen werden. Zu diesem Zweck wurde auf der die Flüssigkeit bedeckenden Glasplatte ein System von unter Winkeln von 45° gegen einander geneigten Durchmessern mit dem Diamant gezogen, und es wurde dann die Zeit beobachtet, welche ein bestimmtes Schellacktheilchen brauchte, um den halben Umfang seiner Bahn zu durchlaufen. Die Bestimmung der Entfernung des Theilchens von dem Mittelpunkt der Electrodenkreise, d. h. die Bestimmung seines Bahnhalbmessers geschah mit Hülfe sines Glasmanssstabes, der so auf die Deckplatte aufgelegt wurde, dass die Enden der Theilstriche genau mit einem der Diamantstriche auf der Platte zusammenfielen. Der Radius Vector der von dem beobachteten Theilchen durchlaufenen Bahn wurde vor und nach der Bestimmung der Umlaufszeit gemessen und so gleichzeitig eine Prüfung der Annahme gewonnen, der zufolge die ganze Bewegung der Flüssigkeit in concentrischen Kreisen vor sich gehen sollte.

Im Folgenden sind die Resultute dreier verschiedener Beobachtungsreihen mitgetheilt; die beiden ersten Columnen enthulten die Radien Vectoren des betreffenden Schellacktheilchens vor und nach der Bestimmung der halben Umlaufszeit, welche in der dritten Columne angegeben ist; die einzelnen Beobachtungen sind in der Reihenfolge angeführt, in welcher sie der Zost nach gemacht worden sind.

I. Beobachtungsreihe.

		1.	Beoba	chtur	igsrei	he.		
Pt.	, r,	1	7.	P3		P1	F1	,
11.3 11.5 13.3 16.2 16.3 17.8 22.7 20.0 25.7 27.7 27.7 27.8 30,3	11,4 11,8 13,3 16,0 17,0 17,7 22,8 20,7 25,8 27,1 28,3 29,4	8,6 8,4 8,0 10,6 11,1 12,9 20,5 15,9 24,6 25,3 29,8 32,7	19,9 22,0 26,7 33,7 83,8 11,9 13,3 15,5 20,9 23,6 26,8	19,8 22,0 26,7 33,7 33,8 33,8 11,9 13,4 15,6 20,9 23,8 26,8	14,1 18,2 25,0 35,0 35,3 35,5 7,8 7,8 8,8 16,1 21,7 25,6	20,8 27,8 10,8 11,9 13,8 14,1 15,5 21,3 25,3 33,9 34,9 12,5	20,8 27,5 10,8 11,6 13,8 14,3 15,8 21,5 28,6 33,9 34,4 12,3	15,9 27,5 10,3 8,0 7,4 7,8 8,9 16,6 25,0 85,9 50,3 7,7
33.0 37.9 12.0 11.9 12.6 15.3 17.8	99,1 89,3 12,0 11,9 12,7 15,3 17,9	34,0 81,6 8,0 7,9 7,7 9,0 12,9	27,3 34,0 33,9 11,9 18,1 15,2 19,1	27,3 83,9 33,9 11,0 13,1 15,2 19,7	27,9 36,5 36,4 8,1 7,7 8,8 15,2	12,6 15,8 15,8 21,0 91,0 32,7 83,9	12,6 15,8 15,7 21,0 20,9 32,8 33,9	7,0 9,0 9,2 16.5 16,4 32,8 36,1

32 =

II. Beobachtungsreihe.

P <sub>E</sub>	$r_{t}$	t	r <sub>1</sub>	P <sub>2</sub>		$r_{\rm L}$	P2	- 1
18,8	13,8	9,2	17,6	17,6	14,3	95,6	35,9	49
17,3	17,7	11,8	17,9	18,2	14.3	14,6	14,5	3.0
14.5	14,6	9,6	18,9	19,0	15,5	15.7	15,4	11
12.7	12,7	8,1	28.3	28,7	28.6	18,9	18,9	1.5
11.7	11.8	8,7	32.8	82.9	86.4	15.8	15.9	11
17,5	17.7	12,8	15,0	15,0	10.9	25 ( 9	20,9	15
22,3	21,9	17.1	18,2	18,4	15,2	22,0	29.1	27
31,3	91.9	35,1	17,8	18,1	14.6	23,1	23,3	13
32,8	32,9	37,2	26.2	26,4	25.5	28,4	23,4	1
89,6	33,6	87,5	29,6	29 6	29,6	23,6	216	91
16,3	16,7	12,1	33,9	34,4	35,8	10,8	10,8	
18.3	18.5	14,7	85,4	35.8	48.0	12,8	10.9	3
22,4	22.4	19,9	11,0	11,0	8,4	19,0	19,3	12
24,0	25,7	22.9	10,5	10,8	9,0	19.3	19,5	1
21,3	29.5	31,1	11,6	116	5.6	22,6	22.6	17
30.7	30,1	35,5	17,6	17,7	14,0	22.3	22.5	1
36,1	36,8	51,2	16,8	18,8	18,0	21,5	37.0	27
16,2	16.4	12.0	19,8	19,3	18,8	29.8	30,5	3,
15,1	15.4	10.7	25,4	25.7	26,7	93.6	33,4	41
20,1	-0.7	25/11	30,8	31,8	82,0	00/0	-,0,4	

III. Beobachtungsreihe.

		ŧ		41	f		_	٠,
P <sub>3</sub>	Pg		$r_1$	f 2	,	P <sub>1</sub>	F 9	
15,0	15,4	10,2	12,6	12,6	7,7	34.6	85,0	37
10,9	11,1	9.3	12,8	12,8	7,9	10,6	10,7	11
11,9	12,0	7,8	14,9	14,9	9,8	12,6	12.6	3
13,4	13,7	N,0	14,N	14,9	9,5	12,7	12,7	8
15.9	16.4	10,4	18 8	18,9	19,8	14,8	14,8	9
16,9	17,4	12,0	22,9	23.5	18,7	16,7	16,6	11
15,0	18,6	13,6	29,7	80.0	29,4	85,9	85,9	34
18,9	19,0	14,0	85,9	36,7	40,7	12,8	12,8	Ţ,
19,9	19,3	14.9	87,9	88,6	58,8	13,5	18,6	H
20.1	20,2	16,8	11,7	11,8	7,8	13,4	13,5	9
25.7	25,9	21,9	15,1	15,1	10,8	14.7	14,5	,
27,8	28,0	25,4	15.8	13,6	10,2	16,8	17,0	11
10,1	10,5	11,3	17.2	17,5	12,1	24,8	24,8	21
10,6	10,4	9,3	25,3	25,8	22,1	24,0	21,9	30
11.7	11,8	7,8	27.8	28.8	26,5	27,6	24,2	*
12,7	12,7	7,7	30,8	31.1	30,5	33,1	33,8	32
14,5	14,6	9,4	35,4	85,8	38,1	12,8	12,8	7
16,5	16.7	10,2	12,7	12,8	7,9	12.8	12,9	
17,9	18,2	12,1	14,8	14,8	9,7	20,6	20.6	14
8,12	22,0	17.1	15,2	15,6	9,7	21,2	21.5	11
22.2	22.9	18,0	16,6	16,7	10,9	21,2	21.3	10
23,5	24,4	19,5	16,6	16.6	11,1	27.6	27,7	20
28,9	29,4	27,5	17,7	17,8	13,0	31,0	31,2	1
32,8	33.6	32,6	20,0	22,4	18,3	38,0	35,3	30
			35,3	34,9	37,4			

III. Es möge nun die Theorie der im Vorhergehenden beschriebenen Bewegung entwickelt werden. Wir setzen hierbei voraus, dass das magnetische Feld, in welchem die Bewegungen der Flüssigkeit sich vollzichen, ein homogenes ist, und dass die Kraftlinien desselben senkrecht gegen die beiden die Flüssigkeit begrenzenden Ebenen gerichtet sind. Wir nehmen ferner an, dass die Bewegung des galvanischen Stromes von dem inneren nach dem ausseren Electrodenring in radialer Richtung verlaufe, sowie, dass die Dichtigkeit der Strömung in der Richtung der Plattendicke keine Veranderung erleide. Bei der getroffenen Anordnung lag die Flüssigkeitsplatte horizontal, die Bewegung der electrischen Theilchen und der mit denselben beladenen Ionen des Zinkvitriols war demnach als horizontal und die Geschwindigkeit in allen Punkten einer und derselben Verticallinie als gleich zu betrachten.

Die Mittelehene der Flüssigkeitsplatte werde zur zy-Ebene eines rechtwinkligen Coordinatensystems, die Axe der concentrischen Electrodenringe zur z-Axe desselben genommen.

Die Intensität des magnetischen Feldes werde bezeichnet durch J. Es sei ferner  $\epsilon$  diejenige Menge strömender positiver, beziehungsweise negativer Electricität, welche sich in der Volumeneinheit befindet;  $r_p'$ ,  $y_p'$  seien die Geschwindigkeitscomponenten der positiven,  $x_n'$  und  $y_n'$  die der negativen Electricität. Unter diesen Umständen sind die Componenten der Kräfte, welche auf die strömende positive und negative Electricität eines Volumenelementes  $d\tau = dx\,dy\,dz$  ausgeübt werden.

$$X_{p} d\tau = \frac{12}{c} Jey_{p} dx dy dz, \qquad Y_{p} d\tau = -\frac{12}{c} Jex_{p} dx dy dz,$$

$$X_{n} d\tau = -\frac{V^{2}}{c} Jey_{n} dx dy dz, \qquad Y_{n} d\tau = -\frac{12}{c} Jex_{n} dx dy dz.$$

Somit sind die Componenten der auf das ganze Volumenelement ausgetibten ponderomotorischen Wirkung:

$$Xd\tau = \frac{V^2}{c} Je(y_p' - y_n') dx dy dz,$$

$$Yd\tau = -\frac{V^2}{c} Je(x_p' - x_n') dz dy dz.$$

502

Hier sind die Producte  $e(y_p'-y_n')$  und  $e(x_p'-x_n')$  nichtanderes als die Strömungscomponenten; bezeichnen wir diese durch it und v, so ist:

$$Xd\tau = \frac{V^2}{c} Jv \, dx \, dy \, dz$$
,  $Yd\tau = -\frac{V^2}{c} Ju \, dx \, dy \, dz$ .

Ist λ das galvanische Leitungsvermögen der Flüssig keit, so können wir:

$$u = -\lambda \frac{\partial \varphi}{\partial x}, \qquad v = \lambda \frac{\partial \varphi}{\partial y}$$

setzen, wo unter q das electrostatische Potential der freier Electricität zu verstehen ist. In unserem Falle, in welchen die Strömung in dem ringförmigen Zwischenraume zwischer zwei concentrischen cylindrischen Electroden vor sich geht ergibt sich.

$$\varphi = -\frac{i}{2\pi ld} \log r.$$

Hier bezeichnet i die Stromstärke, d die Dicke der Flüssigkeitsplatte und r den Abstand des betrachteten Punktes von der Axe des Ringes, der z-Axe des Coordinatensystems; eist also:  $r^2 = x^2 + v^2$ .

Hiernach ergibt sich:

$$X = \frac{12}{c} \cdot \frac{Ji}{2\pi d} \frac{\partial \log r}{\partial y}, \qquad Y = -\frac{V^2}{c} \cdot \frac{Ji}{2\pi d} \frac{\partial \log r}{\partial x}.$$

Führen wir diese Ausdrücke ein in die Differentialgleichungen für die Bewegung einer Flüssigkeit mit innerer Reibung so ergibt sich, wenn unter u und e die Geschwindigkeitscomponenten in dem Punkte x, y, x, unter p der Druck, unter p die Dichtigkeit, unter h die Reibungsconstante verstatien wird:

$$\frac{\partial u}{\partial t} + u \frac{\partial u}{\partial x} + r \frac{\partial u}{\partial y} - \frac{k}{\mu} \Delta u + \frac{1}{\mu} \frac{\partial v}{\partial x} = \frac{\sqrt{2}}{c} \frac{Ji}{2\pi d\mu} \frac{\partial \log r}{\partial y} ,$$

$$\frac{\partial v}{\partial t} + u \frac{\partial v}{\partial x} + r \frac{\partial r}{\partial y} - \frac{k}{\mu} \Delta v + \frac{1}{\mu} \frac{\partial v}{\partial y} = -\frac{\sqrt{2}}{c} \frac{Ji}{2\pi d\mu} \frac{\partial \log r}{\partial x} ,$$

$$\frac{\partial u}{\partial r} + \frac{\partial v}{\partial y} = 0 .$$

Den früheren Annahmen entsprechend, ist die Geschwindigkeitscomponente in der Richtung der z-Axe gleich Null gesotzt. Um die Gleichungen zu vereinsachen, beschränken wir uns auf den Fall der stationären Bewegung, wir nehmen ferner an, dass die Geschwindigkeiten wund z klein sind. sodass wir die mit denselben multipliciten Glieder vernachlössigen können, und wir setzen endlich den Druck p als constant voraus. Dann ergeben sich, wenn wir zur Abkürzung setzen:

$$\frac{1/2}{c} \cdot \frac{J_1}{2\pi dk} = A$$

die Gleichungen:

$$\Delta u = -A \frac{\partial \log r}{\partial y}, \quad \Delta v = A \frac{\partial \log r}{\partial x},$$

wo  $r^2 = x^2 + y^2$ .

Da durch die Beobachtungen gezeigt ist, dass die Bewegung der Flüssigkeitstheilchen in einer Rotation um den Mittelpunkt des Coordinatensystems besteht, so können wir für w und r den Ansatz machen:

$$u = -\frac{\partial W}{\partial v}, \qquad v = \frac{\partial W}{\partial x}.$$

wo W eine Function, die nur abhängig ist von r und z. Es ist dann die Winkelgeschwindigkeit der Flüssigkeit in verschiedenem Abstande r von der z-Axe gegeben durch:

$$\omega = \frac{1}{r} \cdot \frac{\partial H}{\partial r}.$$

Zur Ermittelung der Function W ergibt sich die Differentialgleichung:

$$\Delta W = A \log r \qquad \text{oder:}$$

$$\frac{\partial^1 W}{\partial r^2} + \frac{1}{r} \cdot \frac{\partial W}{\partial r} + \frac{\partial^1 W}{\partial z^1} = A \log r,$$

Auf der rechten Seite dieser Gleichung ist im allgemeinen noch eine willkürliche Constante hinzuzufügen. Wir setzen dieselbe gleich Null, da sie auf den Verlauf unserer Rechnung ohne Einfluss ist.

Wir setzen:

$$W = U_1 \cos \frac{z\pi}{d} + U_3 \cos \frac{3z\pi}{d} + \dots$$

dann wird die Winkelgeschwindigkeit:

$$\omega = \frac{1}{r} \frac{\partial W}{\partial r} = \frac{1}{r} \frac{dU_1}{dr} \cos \frac{2\pi}{d} + \frac{1}{r} \frac{dU_2}{dr} \cos \frac{32\pi}{d} + \dots$$

oder, wenn wir zur Abkürzung setzen:

$$\omega_1 = \frac{1}{r} \frac{d \Gamma_1}{d r}, \qquad \omega_3 = \frac{1}{r} \frac{d \Gamma_3}{d r}, \dots$$

$$\omega = \omega_1 \cos^{2n} + \omega_3 \cos^{32n} + \dots$$

Es wird somit  $\omega = 0$  für  $z = \pm d/2$ , d. h. für alle Punktder beiden die Flüssigkeit begrenzenden der xy-Ebene parallelen Glasslächen. Setzen wir den für W gemachten Ansatein in der Differentialgleichung, welcher W genügen muss, so ergibt sich:

$$\begin{split} & \left( \frac{d^{2}U_{1}}{dr^{2}} + \frac{1}{r} \cdot \frac{dU_{1}}{dr} - \frac{n^{2}}{d^{1}} U_{1}^{*} \right) \cos \frac{2\pi}{d} \\ & + \frac{d^{2}U_{2}}{dr^{2}} + \frac{1}{r} \cdot \frac{dU_{1}}{dr} - \frac{9\pi^{2}}{d^{2}} U_{1}^{*} \right) \cos \frac{3\pi\pi}{d} + . = A \log r. \end{split}$$

Mit Hülfe der Relation:

$$\frac{\pi}{4} = \cos\frac{\pi\pi}{d} + \frac{1}{4}\cos\frac{3\pi\pi}{d} + \cdots$$

kann auch die rechte Seite der Gleichung nach den Cosmus der ungeraden Vielfuchen von  $z\pi_I d$  entwickelt werden, und wir erhalten dann zur Bestimmung von  $U_n$  die Gleichung:

$$\frac{d^{3}U_{n}}{dr^{2}} + \frac{1}{r} \frac{dU_{n}}{dr} - \frac{n^{2}n^{2}}{dt} U_{n} = s \frac{4A}{n\pi} \log r,$$

wo:  $\epsilon = +1$  für  $n = 1, 5, 9..., \epsilon = -1$  für n = 3, 7, 11.

Durch Differentiation ergibt sich aus der vorstehenden Glechung eine andere zur Bestimmung von:

$$\omega_n = \frac{1}{r} \frac{d\ell_n^*}{dr}$$

$$\frac{d^2\omega_n}{dr^2} + \frac{3}{r} \frac{d\omega_n}{dr} - \frac{n^2\pi^2}{dt} \omega_n = \varepsilon \frac{4A}{n\pi} \cdot \frac{1}{r^4}.$$

Eine Lösung dieser Gleichung ist:

Die allgemeine Lösung ergibt sich, wenn man zu diesem Ausdrucke noch das allgemeine Integral der Gleichung;

$$\frac{d^{4}v_{n}}{dr^{4}} + \frac{3}{r} \cdot \frac{dv_{n}}{dr} - \frac{n^{2}\eta^{2}}{d^{2}}v_{n} = 0$$

hinzufügt. Diese Gleichung kann auf folgende Form gebracht werden:

$$\frac{d^{2}\left(\mathbf{e}_{n}r \mid r\right)}{dr^{2}} - \left(\frac{n^{2}n^{2}}{d^{2}} + \frac{3}{4r^{2}}\right)v_{n}r \mid r = 0,$$

oder für grössere Werthe von r:

$$\frac{d^2(e_nrVr)}{dr^2} \cdot \frac{n^2\pi^2}{d^2}v_nrVr.$$

Hieraus ergibt sich:

$$c_n = A_n e^{n \cdot \frac{r}{d}} + B_n e^{-nn \cdot \frac{r}{d}}$$

und somit:

$$\omega_n = -\frac{4A}{\epsilon_{n^2+1}} \frac{d^2}{r^4} + \frac{A_n e}{r^3 r^4} + \frac{B_n e}{r^3 r^4}$$

Die Integrationsconstanten  $A_n$  und  $B_n$  bestimmen sich durch die Annahme, dass die Winkelgeschwindigkeit an den beiden Electrodentlächen gleich Null werde. Bezeichnen wir durch a und b die Radien der entsprechenden Kreise, so ergibt sich:

$$\omega_{n} - \epsilon \frac{4d}{\pi^{1}} \cdot \frac{1}{\pi^{2}} \frac{d^{1}}{\pi^{4}} \times \begin{cases} 1 - \frac{1}{4} \frac{a^{1}}{\pi^{2}} \frac{a^{1}}{\pi^{3}} - \frac{1}{4} \frac{b^{1} - a}{\pi^{3}} \\ - \frac{1}{4} \frac{a^{1}}{\pi^{3}} \frac{a^{1}}{\pi^{3}} \frac{a^{1}}{\pi^{3}} - \frac{1}{4} \frac{a^{1} - a}{\pi^{3}} \frac{b^{1} - a}{\pi^{3}} \\ - \frac{1}{4} \frac{a^{1}}{\pi^{3}} \frac{a^{1}}{\pi^{3}} \frac{a^{1}}{\pi^{3}} \frac{a^{1} - a^{1}}{\pi^{3}} \frac{a^{1} - a^{1}}{\pi^{3}} \frac{a^{1} - a^{1}}{\pi^{3}} \\ - \frac{1}{4} \frac{a^{1}}{\pi^{3}} \frac{a^{1}}{\pi^$$

Wofür näherungsweise gesetzt werden kann:

$$\omega_n = \varepsilon \frac{4d}{a^2} \cdot \frac{1}{\hat{n}^2} \cdot \frac{d^2}{e^2} \left\{ 1 - \frac{1}{a} \cdot \frac{e^{-nn^2} d}{a} \right\} \cdot \frac{e^{-nn^2} d}{\delta} \right\}.$$

Für die Winkelgeschwindigkeit der Flüssigkeitstheilchen im Abstande r von der Rotationsaxe erhalten wir somit die Reihe

$$\frac{\pi^{1}}{4d} \omega = -\frac{d^{2}}{r^{2}} \left\{ 1 - \left[ \frac{r}{a} e^{-3\pi \frac{r-a}{d}} - \left[ \frac{r}{b} e^{-3\pi \frac{b-r}{d}} \right] \cos \frac{2\pi}{d} + \frac{1}{2^{2}} \cdot \frac{d^{2}}{r^{2}} \left\{ 1 - \left[ \frac{r}{a} e^{-3\pi \frac{r-a}{d}} - \left[ \frac{r}{b} e^{-3\pi \frac{b-r}{d}} \right] \cos \frac{3\pi \frac{a}{d}}{d} + \frac{1}{2^{2}} \right] \right\}$$

IV. Vergleichung der Theorie mit den Beobach tungen. - Aus der im Vorhergehenden gegebenen Formkann die mit dem constanten Factor 78/4 A multiplicite Winkelgeschwindigkeit a berechnet werden, welche in einer bestimmten Entfernung r von der Axe des Flüssigkeitsringer und in einer bestimmten Tiefe z der Flussigkeit vorhander ist. Andererseits geben die früher mitgetheilten Beobach tungen die Winkelgeschwindigkeit der in der Flüssigke. suspendirten Theilchen in verschiedenen Entfernungen vor der Rotationsaxe: die Tiefe aber, in welcher sich die beobachteten Theilchen in der Flüssigkeit befinden, war ohn Zweifel für die einzelnen Theilchen verschieden und war beden im Vorhergehenden beschriebenen Versuchen für keine derselben bestimmt worden. Um trotzdem eine Vergleichung der theoretischen Formel mit den Beobachtungen zu ermöglichen, wurde die Annahme gemacht, dass alle beobachteter Theilchen in der Mitte der Flüssigkeitsschicht sich befundes haben, dass also für alle z = 0 gesetzt werden könne. Dieser Annahme war bei der Ausführung der Messungen dadurch einigermassen entsprochen worden, dass möglichst nur die mit den grössten Rotationsgeschwindigkeiten behafteten Schollacktheilchen beobachtet wurden. Unter dieser Annahme wurde der Werth von ωπ<sup>3</sup>/4 A berechnet mit Benutzung der zwei ersten Glieder der Reihenentwickelung für alle ganzen Werthe von r = 10 bis r = 40 und für r = 11.5 und r = 12.5. Hierbei war nach den früher mitgetheilten Messungen zu setzen a = 40.08; b = 9.74; d = 4.05.

Die den beobschteten Entfernungen der suspendirtes Theilchen entsprechenden Werthe von  $\omega \pi^3/4A$  wurden aus den herechneten Werthen dieser Function mittelst graphischer Interpolation bestimmt. Durch Division der beobschteten Winkelgeschwindigkeiten mit jenen Werthen von  $\omega \pi^3/4A$ 

ergab sich der Werth von  $4A_i\pi^2$ . Aus sämmtlichen für die einzelnen Entfernungen berechneten Werthen dieses Factors wurde das Mittel genommen und durch Multiplication der theoretischen Werthe von  $\omega \pi^3/4A$  mit diesem Mittelwerth sind die berechneten Werthe von  $\omega$  erhalten.

In den folgenden Tabellen sind die verschiedenen in Betracht kommenden Grössen für die früher mitgetheilten Beobachtungsreihen zusammengestellt. Hierbei sind die einzelnen Beobachtungsreihen geordnet nach den Werthen von r. und sind nahe beisammen liegende Werthe von r und wzu einem Mittelwerth vereinigt.

I. Beobachtungsreihe.

_									
-	boob	10 A A	4.d	ber.	r	becb.	ω π <sup>h</sup>	4.d n <sup>3</sup>	ber.
10,8	0,305	0,0675	4.52	0.358	20,4	0,147	0,0367	5,36	0,194
11.3	0,366	0,6833	4,30	0,441	20,4	0.183	0,0362	5.33	0,192
11.8	0.375	0.0872	4.30	0,469	21.4	0,180	0,0345	5.48	11,153
11.9	0,395	0,0975	4,52	0,464	22.0	0.173	0,0328	5,31	0.173
12.0	14,343	0.0877	4,4%	0,465	22,7	0.153	0,0306	5,00	0.162
12.4	0,40%	0,0872	4 60	0.462	23.7	0.145	0,0252	5,14	0.149
12,6	0,429	0.0885	4,95	0,438	25,7	0,129	0,0240	5,33	0,127
23,1	0,409	0,0843	4 %7	0,445	26,5	10,124	0.0228	h 44	0,120
13.4	0, 698	0.0819	4,50	0,434	26.7	0,126	11,07273	5 65	0,119
13,5	10,425	12,0744	5,12	0,415	27.3	0,112	11,0212	3 24	0,112
14.2	0,403	0,0752	5,96	0,398	27,5	0,114	0.0210	5,41	0,111
15.2	16,853	14,00 r.5	5,20	0,852	28,4	0,112	0.0197	5 64	0.104
15,5	0.335	0,0644	5.50	11,342	28,5	0,108	0,0196	5,41	0,104
15,5	10,345	OKINED	5,48	(1,934	29,5	0,096	0,0179	5,38	Option
16,1	11 29%	0.0010	4,85	0,823	33.0	0,091	0,0141	6,50	0,075
16,4	0,283	0,0550	5,15	0.541	33 7	O,UNO	0.0138	0.43	0,073
17,8	0.244	(0.04398	4, 10	0,264	33,9	0.056	0.0138	6.35	0,072
19,4	61,206	0.0410	4,91	0.222	34 5	0,063	0.6430	4 %5	0,009
14.8	0.223	0,0401	5 50	0,212	484,65	0,034	0,0003	5,59	0,000
20,3	0.197	0,0382	5,18	0,202					

Für 4A na ergibt sich im Mittel aus den Beobachtungen

von 
$$r = 10$$
 bits  $r = 15$   $4A n^3 = 4.76$   
 $n = 15$   $n = r = 20$   
 $n = 20$   $n = 25$   $n = 5.20$   
 $n = 20$   $n = 25$   $n = 5.45$   
 $n = 25$   $n = 30$   $n = 5.81$ 

Das Hauptmittel ist:

$$4A/\pi^3 = 5.30$$

der Werth, mit Hülfe dessen die berechneten Werthe von averhalten sind.

H. Beobachtungsreihe.

r	beob	10 11 14 14 14 14 14 14 14 14 14 14 14 14	44	ber	,	bests.	ω (.d	4.A	ber
10.8	6,3338	0.0060	5,13	0,343	20.9	0.204	0,6363	5,62	0.383
11,0	0,375	0,0758	4,98	0,399	22,1	0,184	0,0322	2,55	0,167
11,7	0,364	0,0865	4,20	0,458	22,4	0,177	0,0315	5,62	0,184
12,7	0,340	0,6962	4,51	0,448	22 6	0,170	0,0310	5,50	0 11 1
12,5	0,859	0,0858	4,58	0,446	28,4	0,159	0.0289	5,484	0.1%
13,8	0,342	0,0785	4,86	0,406	25,3	0,138	0,0248	5,56	0 (2)
14,5	0,328	0.0723	4,55	0,876	25,5	0,128	0.0243	15,27	0.126
14.7	0,304	0.0711	4,88	0,370	26,3	0,123	0.0229	5,37	0.11v
15,0	0,2%9	0,0686	4 21	0,357	28,5	0,110	0,0197	5,58	0,102
15,2	0.294	0.6668	4,40	0,347	29,5	0,103	0.0182	5,654	Elj./794
16,3	0.262	0,0592	4,42	0,308	80,3	0,088	0.0172	5,40	0
16,5	0,260	0,0580	4.48	0,301	31,0	0,088	0,0163	8,01	Umrs4
17,6	0,230	0,0509	4,01	0,265	31,6	0,090	0,0.59	5,65	61 KL
0,81	0,217	0,0487	4,43	0,253	32,8	0,085	0,0145	5,50	स्य भी
18,8	0.208	0,0471	4,37	0,245	33,5	0,080	0,0132	5,77	1,012
18,4	0.213	0,0365	4,58	0,242	34,1	0,051	0,0134	6,05	D. right
18,0	0,231	0,0441	5,25	0,229	35,7	0.064	0,0119	5,37	Guide.
18,3	0.228	0,0424	5,38	0,220	36,4	0,082	0,0111	5,63	Q <sub>1</sub> tist
19,4	0,235	0.0419	5,61	0,218					

### Für 4A n3 ergibt sich im Mittel aus den Beobachtungen

von 
$$r = 10$$
 bis  $r = 15 : 4.4 \, n^2 = 4.57$  von  $n = 25 \cdot n \cdot n = 30$   $n = 5.47$   $n = 15 \cdot n \cdot n = 20$   $n = 4.70$   $n = 30 \cdot n = 40$   $n = 5.69$   $n = 20 \cdot n = 25$   $n = 5.55$ 

Im Mittel ist:

 $4A, \pi^3 = 5,20.$ 

#### III. Beobachtungereihe.

-									
,	beob.	10 A A	4.d	ber.	r	besh.	ω η 4 Å	4uf st <sup>a</sup>	ber
10,3	0.278	0.0410	6,78	0,297	19,3	0,219	0.0422	5.19	0.284
10,5	0,338	0,0511	6,62	0,283	20,6	0,210	0.0875	5.60	0.205
10,6	0,283	0.05H3	4,54	0,324	21,2	0,190	0,0352	5, 53	0,195
11.0	0, (38	0,0753	4,49	0.117	21,9	0.184	0,0328	5,61	0,152
11,8	0,404	0.0873	4,62	0,483	22,4	0,178	0,0414	5,52	0,374
12.7	0,400	0,0861	4,65	0.477	28,2	0,165	0,0294	5,71	0,164
13,5	0,379	0,0802	4,73	0,444	24,1	0,161	0.0272	5,112	0.151
14,5	0,342	0,0727	4,70	0,408	24,8	0,142	0,0257	5,52	6.142
14,8	0,330	0,0700	4,71	0,388	25,5	0,142	0.6248	5.54	61.134
15,1	0,305	0,0678	4,10	0,375	25,8	0,144	0,0239	6.03	16,181
15,3	0,316	0.0862	4,77	0,466	27,6	0.118	0,0204	5,67	0,122
15,6	0,305	0,0644	4,78	0,857	28,0	0,119	0,0202	5,91	0 112
16,1	0,302	0,0601	5,03	0,333	20,2	0.114	0,0187	6,10	11,1 13
16,6	0,291	0.0671	5,12	0,816	29,8	0,107	0,0179	6,01	15,020
17,0	0,272	0,0542	5,02	0,300	31,0	0,099	0,0164	6,01	0,091
17.3	0,260	0,0525	4,95	0,291	33,3	0,095	0,0141	6.77	EQ078
17.7	0,242	0.0500	4,84	0,277	35,0	0,084	0,0426	6.67	0.070
18,0	0.260	0.0485	5,38	0,268	35,7	0,082	0,0119	6,88	0.00%
14,3	0.231	0,0470	4.91	0.580	36,3	0.077	0.0112	6,47	0 #2
18,9	0,226	0,0442	5,10	0,245	38,2	0,054	0,0079	6,73	0,014

Für 4A, nº ergibt sich im Mittel aus den Beobachtungen:

von 
$$r = 10$$
 bis  $r = 15:44$   $\pi^{0} = 4.58$   
 $n = n = 15$   $n = n = 20$   $n = 4.98$   
 $n = 20$   $n = 25$   $n = 5.61$   
 $n = 25$   $n = 30$   $n = 5.93$   
 $n = 30$   $n = 40$   $n = 8.65$ 

Hierbei sind die beiden ersten Werthe für r=10.3 und  $r\approx10.5$  nicht mit berücksichtigt.

Das Hauptmittel ist:

$$\frac{4A}{a^3} = 5.54.$$

Die berechneten Werthe der Winkelgeschwindigkeiten sind auf Taf. V Fig. 2 durch die Curven I. II und III durgestellt, während die den beobachteten Werthen entsprechenden Punkte durch gerade Linien miteinander verbunden sind. Die Abweichung der aus den Beobachtungen sich ergebenden gebrochenen Linien von den der theoretischen Formel entsprechenden Curven dürfte vorzugsweise durch die folgenden Umstände bedingt sein.

1. Die Schellacktheilchen, deren Umlaufszeiten beobachtet worden sind, gehören nicht der Mittelebene der Flüssigkeitsplatte an, für welche die theoretischen Werthe berechnet sind, sondern befinden sich in verschiedenen Entfernungen von dieser.

2. Bei der Entwickelung der Theorie wurde die Voraussetzung gemacht, dass in den allgemeinen hydrodynamischen Differentialgleichungen die Glieder, welche die Geschwindigkeiten der Flüssigkeitstheilehen und die ersten Differentialquotienten derselben nach den Coordinaten enthalten, zu vernachlässigen sind. Es ist wahrscheinlich, dass dies für die dem inneren Electrodenrand benachbarten Theile der Flüssigkeit nicht zulässig ist.

3. Die hydrodynamischen Differentialgleichungen werden überdies integrirt nur für grosse Werthe des Radius vectors r. Auch hierdurch kann eine Abweichung des theoretischen Werthes der Geschwindigkeit von dem beobachteten bedingt sein.

Der erste Umstand macht sich ohne Zweifel geltend bei

der zweiten Beobachtungsreihe. Man sieht, dass die Linie welche die beobachteten Werthe der Winkelgeschwindigkeit verbindet bei r=18,3 eine plötzliche Verschiebung erleidet, entsprechend einem Uebergang zu verhältnissmässig grösseren Geschwindigkeiten der Theilchen. Es würde dies darauf hinweisen, dass die von dem inneren Electrodenring bis zu jenem Radius vector beobachteten Theilchen der Mittelebene der Flüssigkeitsscheibe ferner liegen, als die in dem husseren Theil des Flüssigkeitsrings beobachteten. Durct denselben Umstand dürfte auch die dritte Beobachtungsreibentstellt sein.

Der Einfluss des zweiten und dritten Punktes gibt sich deutlich bei der ersten Beobachtungsreihe zu erkennen dadurch, dass von r=11 bis r=13.3 die beobachteten Geschwindigkeiten erheblich hinter den berechneten zurückbleiben. Wenn hierbei der zweite Punkt derjenige ist welcher den grössten Einfluss ausübt, so muss der Anschluss der beobachteten Winkelgeschwindigkeiten an die berechneten ein um so besserer sein, je kleiner die absoluten Werthe dieser Geschwindigkeiten sind. Dies wird bestätigt dunb eine vierte Beobachtungsreihe, bei der die Winkelgeschwindigkeiten nur  $^{2}$ /3 der bisherigen betrugen, und deren Resolute in der folgenden Tabelle zusammengestellt sind.

IV. Beobachtungsreihe.

у.	ω beob.	ω 4.Δ	4.4 n <sup>8</sup>	ber.	j*	beob.	10 4A	4.4	ber
12,3	0,288	0,0876	3,23	0,312	19,5	0,139	0,0414	3,36	0,147
12,5	0,286	0.0569	3,29	0,410	20,0	0,154	0,0353	3,92	0,140
12,9	0,281	0,0850	3,31	0,303	20,8	0,140	0,0005	8,80	0,131
14,0	0,281	0,0840	8,34	0,299	21,5	0,110	0,0340	3,24	0 121
13,7	0,255	0.0789	8,23	0,281	23,7	0,100	0,0281	3,56	0,100
13,8	0,260	0,0784	3,32	0,279	24,9	0,101	0.0256	3,94	160,0
15,6	0,237	0,0645	3,67	0,280	25,5	0,0%0	0,66344	3,25	0.087
15,7	0,283	0,0835	3,67	0,228	26,5	0,080	0,0227	3,52	10,081
15,8	0.224	0,0629	8,56	0,224	31,8	0,063	0,0160	3,514	0.09
16,8	0.222	0,0556	8,99	0.198	31,7	0,058	0,0156	3,19	0,055
37,1	0,209	0,0589	3,57	0,192	38,2	0,081	0,0080	3.37	0,029
18,5	0,145	0,0448	8,24	0,159					

Für 4.4 n3 ergibt sich im Mittel aus den Beobachtungen

#### J. Freyberg.

TOO	r =	10	bis	y	=	16:	4.4	g <sup>3</sup> =	8.29
4.0	=	15	**	49	=	20	2.7	7	3 B2
		20	11	10	=	25	**		3,69
2.5		25	44	0.9	==	30	+1	-	3,40
E-Q	e ==	30	**	++		40	**	=	3,80

Das Hauptmittel ist  $4A n^3 = 3.56$ .

Die für diesen letzteren Werth sich ergehende Geschwindigkeitscurve ist in der Tafel gleichfalls mit den beobachteten Werthen der Winkelgeschwindigkeit zusammengestellt.

# XIV. Beobachtungen mit der magnetischen Wage von Toepler; von J. Freyberg.

(Blerge Taf. T Fig. 8-5.)

Bekanntlich hat Hr. Prof. Toepler in den Sitzungsberichten der Berliner Academie vom 18. October 1883¹) die Einrichtung einer Wage angegeben, welche den Zweck hat, bei Absolutbestimmungen der Horizontalintensität die Schwingungsbeobachtung durch eine Wägung zu ersetzen.

Die von Toepler benutzte Wage wurde von demselben inzwischen mit einigen Abanderungen verschen, namentlich wurde an ihr eine Spiegelablesung angebracht. Da mit Anwendung dieses Hulfsmittels eine grössere Genauskeit der Wagungen zu erwarten war, so schien es nicht unzweckmässig, die Toepler'schen Angaben durch die im Nachfolgenden mitgetheilten Beobachtungen zu ergänzen, bei denen auf den Eintluss der Temperatur besonders geachtet worden ist.

Zunächst will ich mit Ermächtigung von Prof. Toepler an der schematischen Fig. 3 die Einrichtung der benutzten Wage beschreiben. Die Figur ist nur eine Uebersichtszeichnung; die feineren Details der Correctionsvorrichtungen u.s. w. fehlen in derselben.

Auf einem festen eisenfreien Dreifuss D mit Stellschrau-

1) Vgl auch Wied. Ann. 21. p. 158-175, 1881. Auf diese Abhandlung beziehen sich auch alle weiter folgenden Citate. ben lässt sich mittelst eines conischen Zapfens und eine kleinen Kurbel & der ganze obere Theil des Instrumentes (die ganze Wage sammt Tragsäule, Glasgehäuse G und desse: Bodenplatte P) um die Lothlinie drehen. Die Drehungen sind an dem festen Theilkreis t unterhalb der Bodenplatte mit Nomen bis auf Minuten ablesbar. Der Kurbelmechanimus besteht zur Vermeidung von Erschütterungen aus einen Schraubengetriebe.

Die schwingenden Theile der Wage haben eine kreuformige Anordnung, bestehend aus einem ungefähr lothreck stehenden Magneten m (gebildet aus zwei kräftigen Lameller und einem fest mit ihm verbundenen, sehr leichten Messingbalken 6. Dieses System ruht vermittelst einer in der Mitte befestigten Schneide auf ebenen Achatolatten, welche in einer Rahmen am oberen Ende der Tragsaule eingelassen unalsdann zusammen plan geschliffen sind. Letzterer Kahmen kann durch Justirschrauben, welche in der Figur weggelasses sind, so gestellt werden, dass die Schlifffläche der Achatplatten genau senkrecht zur Drehaxe ist, also in die Honzontalebene fällt. Sowohl die Senkrechtstellung der Drebaudes Instrumentes, als auch die vorhergenannte Justirung der Achatunterlage lässt sich nach bekannten Methoden mit der Labelle bis auf wenige Secunden genau herstellen. Die Ender des Balkens tragen nach innen zu geschärste Ringschneider. an welche sehr leichte Aluminiumschalen angehängt werden können, von denen eine in Fig. 3 rechter Hand gezeichnet ist. Das Gewicht einer Schale betrügt nur 0,185 g.

Die Wage ist mit einer Arretirung-vorrichtung versehen welche den Wagebalken mit zwei Korkpolstern von unten berührt und denselben zu beruhigen gestattet, ohne die Mittelschneide von den Achatplatten abzuheben.

Die Wageausschläge werden nach der bekannten Methode der Umkehrheobachtungen mit dem kleinen Fernrohr F in einem Spiegel, der in der Verlängerung der Mittelschneide hegt, abgelesen. Zu dem Ende ist dicht neben dem Fernrohr eine kleine photographirte Scala s am Fernrohrträger befestigt. Fernrohr und Scala nehmen somit an der Umdrehung der Wage theil. Die Wagschalen sind vermittelst kleiner

verschliessbarer Klappen rechts und links am Gehäuse zu-

Im Inneren des Instrumentes wurde ein feines Thermometer angebracht. — Das Glasgehäuse lässt sich von der Bodenplatte P abheben; ist dies geschehen, so kann auch der Magnet sammt Balken von der Mittelschneide gehoben und zu einer Ablenkungsbeobachtung benutzt werden.

Das ganze Instrument ist klein; Fig. 3 ist etwa in 1/0 natürlicher Grösse gezeichnet.

Bezuglich der Benutzung des Instrumentes her Bestimmung der Horizontalintensität verweise ich auf die Toepler'sche Abhandlung. Hier sei nur erwähnt, dass, um das Product aus dem magnetischen Moment M und der Horizontalintensität H zu bestimmen, man die Schwingungsebene der Wage in den Meridian orientirt und sie durch entsprechende Belastung der zu leicht erscheinenden Schale ins Gleichgewicht bringt, wobei irgend ein Theilstrich der Fernrohrscala als Nullpunkt gelten kann. Alsdann dreht man die Wage auf ihrem Zapfen um 180' und äquihbrirt wieder auf derselben Schale. Die Gewicht-differenz  $Q_1 - Q_2$  misst das Product MH nach der Formei:

(1) 
$$MH = \frac{1}{2} (Q_1 - Q_2) . l. g,$$

No.

P

Re

出土出

h

wobei I die Armlänge für diejenige Schale bedeutet, auf welcher die Belastungen  $Q_1$  und  $Q_2$  stattinden. Vorausgesetzt ist bei einer derartigen Doppelwägung, dass die drei Schneiden annähernd in eine Ebene fallen, und die Magnetaxe nahezu senkrecht auf dieser Ebene steht. Abweichungen von letzterer Bedingung haben ungefähr denselben Einfluss, wie kleine Winkelabweichungen des ablenkenden Magnets bei Ablenkungsbeobachtungen. Die Bequemlichkeit der Methode berüht hauptsächlich darin, dass unter angenäherter Erfüllung vorgenannter Bedingungen diejenige Stellung der Magnetaxe, welche bei der Doppelwägung als Nulllage angenommen wird, nicht genau die Verticalstellung zu sein braucht.

Prof. Toepler fund durch Beobachtungen ohne Spiegelablesung, dass das Product MH durch eine einzelne Doppelwägung bis auf etwa ± 1 4000 seines Werthes genau bestimmwurde. Da das Gewicht des Lamellenpaares 332 g betrug und aus den Toepler'schen Beobachtungen für jedes Millegramm Stahl nicht mehr als etwa 183 [mm', mg', sec 3 Stabmagnetismus sich ergibt, so würden sich bei kräftigeren Lamellen die Verhältnisse noch günstiger gestalten. Bei den unten folgenden Beobachtungen, ausschließlich der allerersten, waren die Magnete noch schwächer, und zwar infolgeder stattgehabten Bearbeitung der Wage (specifischer Magnetismus = 154 [mm', mg', sec 3]). Ich habe dieselben nich kräftiger magnetisiren wollen, um die Leistungen der Wägungsmethode selbst unter ungünstigen Umständen zu studiren.

#### I. Declinationsvariationen.

Prof. Toepler hat erwähnt?, dass seine Wage der Eigenschaft eines Declinationsvariometers besitzt, falls mad die Schwingungsebene senkrecht zum Meridian stellt unt das vorher äquilibrirte Instrument sich selbst überlässt. Wenngleich die Wage für diesen Zweck nicht bestimmt ist so sind Beobachtungen der Art doch geeignet, über de Einstellungssicherheit Aufschluss zu geben.

Bezeichnet der eine kleine Declinationsänderung, der die mit Ferorohr und Scala beobachtete gleichzeitige Aenderung des Wagenstandes in Scalentheilen, e denjenigen Ausschlig der Wage, ebenfalls in Scalentheilen, welcher durch die Zulage von Img hervorgebracht wird, so ist:

(2) 
$$\frac{dA}{dT} = \frac{1}{2} |Q_1 - Q_2|, r$$

wenn  $Q_1$   $Q_2$  wie oben die Gewichtsdiff-renz beim Stellungs wechsel im Meridian, selbstverständlich auch in Milligrammen, bedeutet. 2) Die Variationen des Wagenstandes und der

1) Toepler, i. c p. 169.

<sup>2)</sup> Eine einfache Ableitung dieser Beziehung, welche mir Prot Toepler mittheilte, ist folgende. Sei du Wage so eingestellt, ihre die Richtung des magnetischen Meridians mit einem Lothe auf die Schaugungsebene den benebigen Winkel  $\varphi$  bilde, und sei bei dieser Stell Gleichgewicht hergestellt, so hat eine Variation  $d\varphi$  eine Gleichgewichtsstorung zur Folge, welche durch eine entsprechende Variation  $dQ_1$  is

Declination sind also einander proportional, insofern die durch die Gewichtschifferenz Q, - Q, gemessene Grösse MH nur um kleine Bruchtheile ihres Werthes schwankt und e wesentlich nur von der Temperatur des Instrumentes beeinflusst wird. ') Aus den Beobachtungen mit Spiegelableaung lässt sich diese Proportionalität sicher nachweisen. Fig 4 zeigt eine ältere vergleichende Brobachtung vom 28. September 1883 3) Die voll ausgezogene Curve bezeichnet den Gang der Declinationvariation von 6 Uhr morgens bis 6 Uhr abends mit einer Amplitude von etwa elf Minuten, beobachtet an dem Magnet einer gedämpften Spiegelbussole. Die punktirte Curve zeigt den Gang der mit Fernrohrablesung bestimmten Wagenstände. Die nach willkürlichen Einheiten aufgetragenen Ordinaten sind dem Absolutwerth nach nicht vergleichbar, ebensowenig wie genaue Proportionalität erwartet werden konnte, wegen der ungleichen Beobachtungstemperaturen. Nichtsdestoweniger ist das Zusammengehen beider Variationen unverkennbar.

Später habe ich sehr genaue Beobachtungen bei möglichst constanter Temperatur wiederholt, und zwar an einem Tage, an welchem die Amplitude der Declinationsvariation nur etwa 4,5 Minuten betrug (6 Januar 1884). Fig. 5 zeigt den Verlauf der Declination in Minuten von vormittags 9 Uhr bis 4 Uhr nachmittags, desgleichen die zugehörige

da- Gleichgewicht berstellenden Belastung Q, ausgeglichen werden kann. Sind die im vorigen Abschnitte erwähnten Constructi insbedingungen mit hinreichender Annaherung erfüllt, so folgt, wenn man nach dem Schema der Gl. (1) der Toepler'schen Abbandlung den Gleichgewichtsfall ausdruckt, für die genannten Variationen unmittelbar die Beziehung:

Wird die durch die Variationen die bewirkte Genchgewichtsstörung nicht durch die entsprechen is Zulage  $dQ_1$  ausgeglichen, so entsteht der Ausschlag  $dA = dQ_1$ , e. Substituirt man diesen Werth und zugleich aus der oben im Text mit (1) bezeichneten Gleichung den Werth für MH, und beachtet man, dass n und  $\gamma$  kleine Winkei sind, so folgt für kleine Werthe von  $\varphi$ , d. h. für die magnetische West-Oststellung der Wage, das oben unter (2) augegebene Verhältniss  $dA:d\varphi$ .

Siehe die Bemerkung über den Emfluss der Temperatur auf die Empfindlichkeit I. c. p. 166

<sup>2)</sup> Auf diese Beobachtung ist bereits bei Toepler, p. 170 verwiesen,

Variation der Wagenstände in Scalentheilen. Die durch besondere Beobachtung festgestellte Empfindlichkeit der Wagbetrug hierbei sechzehn Scalentheile auf 1 mg Zulage. Die halbstündlichen Einzelbeobachtungen während des Zeitraums der grössten Declinationsschwankungen und der kleinster Temperaturanderungen sind wie folgt:

Zeit	Tem- peratur C*	Ausschlag therien s Bussole	on der	Berechnet. Auszelens der Wage-
12 Uhr 36 Min.	15.4	3,4	1,1	1,2
1 "	15,5	4.3	1,6	1,5
1 > 30 0	15.5	6.1	1,1	1,4
2 44 114	15,4	0,4	1,0	1.0
2 30	15,4	2,3	D %	0,4
3 11	15,3	1,1	0,5	0,4
3 30	13,3	0,9	0,3	0,8

Die Columnen 3 und 4 geben die auf die Zeit von 9 Uhr früh bezogenen Variationen der Bussole und Wage. Bilder man das Verhältniss je zweier zusammengehöriger Werte, und bestimmt man den Mittelwerth dieser Verhaltnisse, so folgt aus den Beobachtungen:

$$\frac{dA}{da} = 0.3553$$
.

Rechnet man dagegen dasselbe Verhältniss aus der obiges Formel (2), wobei für  $d\varphi$  in Minutenmasss  $d\varphi$  (3438 zu setze: ist, so ergibt sich, da  $Q_1-Q_2=151,195$  mg durch Doppelwägung gefunden war, und c=16 betrug:

$$\frac{dA}{dq} = 0.3516.$$

Mit dieser theoretisch berechneten Zahl sind in Columne b diejenigen Wagenausschläge berechnet, welche aus Gl. (2 folgen würden. Die Uebereinstimmung mit den Beobachtungen ist überraschend. Man kann sagen, dass die Abweichungen in die Fehlergrenzen der Scalenablesung fallen Freilich ist so gute Uebereinstimmung nur bei sehr constanter Temperatur zu erreichen. Die Differenz der Zahlen in Columne 4 und 5 beträgt im Mittel 0,1 Scalentheil oder in Gewichten ausgedrückt 1 140 mg. Da das Product MH in Milligrammen durch 151,195, 2 gemessen wird, so lässt sich

schliessen, dass, wenn die Wage in der Meridianstellung des Balkens ägunlibrirt und sich selbst überlassen werden würde. eine Veränderung von H von im Mittel um 1/12000 ihres Werthes unter sonst ungeänderten Umständen zu erkennen sein wurde. Dieses Resultat zeigt, dass die Wage hinsichtlich ihrer Beweglichkeit sehr strengen Anforderungen entsprach. Bei Absolutbestimmungen, bei denen die Wage unter Einflues, wenn auch kleiner Erschütterungen in verschiedene Stellung gebracht wird, treten allerdings noch anderweitige Fehlerquellen hinzu. Auch muss ich erwähnen, dass bei meinen Beobachtungen nur eine Wagschale (siehe Fig. 3) zur Anwendung kam. Bei der Neubearbeitung der Wage waren die festverbundenen Theile (Wagebalken und Magnete) nicht so ausgeglichen worden, dass dieselbe in der West-Ostlage ohne angehängte Schalen einspielte, was bei symmetrischer Massenvertheilung der Fall sein wurde. Die linke Seite (Fig. 3) hatte ein Uebergewicht, sodass rechts eine der sehr leichten Schalen für die Wägung genügte. Drese Ungleichheit wurde belassen, da es nicht ohne Interesse war, bei ihrem Vorhandensein das Instrument zu prüfen.

## Il. Bestimmung des magnetischen Meridians.

Prof. Toepler hat ferner gezeigt h, dass sich die Wage ohne anderweitige Hülfsmittel zum Zweck der Intensitätsbestimmung orientiren, d. h. so einstellen lässt, dass die Schwingungsebene in die Meridianebene fällt. Da Zuhlenangaben hierüber nicht vorliegen, so habe ich nachfolgende Beobachtungen angestellt.

Die in Rede stehende Einstellung wird bewirkt, indem man die Wage in beliebiger Stellung zum Meridian mittelst entsprechender Belastung zum Einspielen bringt und sie hierauf auf dem Horizontalkreise so lange dreht, bis sie bei derselben Belastung wieder einspielt. Die Halbirungslinie des Drehwinkels O gibt sodaun die gewünschte Meridianstellung. Wegen der Genauigkeit ist es zweckmässig, die Ausgangsstellung so zu wählen, dass sie mit dem Meridian

<sup>1)</sup> Torplez, l. c. p. 164.

einen Winkel von beiläufig 90° bildet. Die erwähnten Operationen will ich der Kurze halber eine Meridian bestimmung nennen.

Bei der Ausführung verführ ich folgendermussen. Nachdem die Wage in einer beliebigen, durch Ablesungen an Theilkreis fixirten Stellung durch ein bestimmtes Gewick: soweit aquilibrirt worden war, dass das Fernrohrbild der photographirten Scala ungefähr mit dem mittleren Theistrich um das Fadenkreuz schwang, wurde der Einstellungpunkt durch Rückkehrbeobachtungen genau ermittelt. Mr Hülfe der Arretirungsvorrichtung hinderte man nun die Bewegung des Balkens, ohne densolben jedoch von seiner Unterlage abzuheben, und drehte hierauf durch vorsichtiges Hanchaben der Kurbel & die Wage in eine Lage, in welcher da-Perarohrbild bei der gleichen Belastung wiederum in der Nähe der ursprünglichen Einstellung spielte. War auf die-Weise die der Ausgangsstellung correspondirende zweit-Lage der Schwingungsebene jenseits des Meridians annühert. gefunden, so lies sich dieselbe durch Interpolation leicht genis hestimmen. Ich ermittelte in zwei um einen Grad der Kreis theilung verschiedenen Nachbarpositionen der Schwingungsebene die Einstellungen der Fernrohrscala und berechnet daraus denjenigen Punkt des Theilkreises, bei welchem de Kreuzungspunkt der Faden genau wieder dieselbe Stella: an der Fernrohrscala haben wurde, wie bei der Ausgansposition der Wage. Die kleinen Drehungen innerhalb eie-Grades wurden bei freispielender Wage vorgenommen. Ih hierbei durch Verschiebung der Mittelschneide auf den Achaplatten möglicherweise kleine Verdrehungen der Schwingungchene der Wage auftreten konnten, so waren auf der photgraphirten Scala ausser den horizontalen Theilstrichen nortverticale Linien angebracht, um die erwähnten Verdrehungeerkennbar zu machen.

Eine nach obigem Schema ausgesührte Beobachtungreihe ist in der solgenden Tabelle wiedergegeben. De Lesungen am Theilkreise erfolgten an zwei einander gegen überstehenden Nomen (1 und 2). Die Beobachtungen Ibziehen sich auf die Ausgangsstellung der Schwingungseber II auf die behufs Interpolation benutzten Endstellungen. Die S. Columne gibt den Werth von § 6. d. h. denjenigen Drehwinkel, um welchen die Wage von der Ausgangslage I zu drehen wäre, um in die Mendianebene zu gelaugen. In Columne 9 sind zum Vergleich wegen etwaiger Dechnationsanderungen correspondirende Ablesungen an der Spiegelbassole notirt.

transport		3. (** a a g let.kryb NGA Z	an dee	Auf 1"Oveha gr der Behringungs- ebere kommon v sænth	B Irarch fatery etimines En der B	detellung	8. 10	9, Atlesons am Declina - torium
1 1	95 U 274 O 279 U	273 <sup>3</sup> 1 95 0 99 0	24,5 18,9 38,8	19.9	278° 16,9	9×10,9	57°21,8	465,2
11	93 0 275 0 274 0	97 59 97 59 94 59	24,9 19,1 39,3	20,2	- 278 17,2	98 16,2	B7 21.7	464,8
1 1	93 0 278 0 279 0	213 0 44 0 45 59	25,5 19.5 39,5	20,3	278 17,5	94 17 <sub>1</sub> 8	87 21,1	464,8
11 {	91 H 10 279 H 279 O	275 0 17 59 98 59	24,7 19,1 30,2	20,1	27K 16,7	99 15,7	87 21,9	463,7
11	\$3 0 205 0 279 0	278 0 97 59 49 59	24,6 18,2 39,1	211,9	278 15,3	94 17,8	- 97 21,1	462,7

Zu jeder Meridianbe-timmung bedurste man etwa zwölf bis sunstehn Minuten Zeit. Columne 5 zeigt, dass in den heiden Stellungen diesseits und jenseits des Meridians geringe Verdrehungen am Theilkreise schon bedeutende Wagenausschlage veranlassen. Bei der geringen Dämpfung der Wage dauerte es immerhin einige Minuten, bevor zur Ablesung der Ruckkehrpunkte für die Ruhelagenbestimmung geschritten werden konnte, zumal damit erst begonnen wurde bei einem Schwingungsbogen von etwa acht Scalentheilen, um die durch eine minder vollkommene Schneide bedingten Fehler möglichst zu ehminisen. Die erzielten Werthe sür § 6 zeigen grosse Uebereinstimmung; jedenfalls ist bewiesen, dass die Genauskeit der Einstellung in den Meridian viel grösser ist, als sie für den Zweck der Bestimmung der Horizontal-

intensität nöthig ist, da der Fehler der Winkelstellung mit dem Cosinus in das Resultat eingeht. — Die Ausführung der Meridianbestimmung erweist sich freilich nicht als zegenau, um die inzwischen stattgehabte kleine Aenderung der Declination (2,5 Minuten) festzustellen. Diese Ungenauskeit hat währscheinlich zum größten Theil ihren Grund in kleiner Lagenänderungen der Mittelschneide auf ihrer Unterlage beider Operation II, welche Fehler sich möglicherweise der Wahrnelmung entzogen haben. Es muss bemerkt werder dass bei den Doppelwägungen in der Meridianehene, ihr welche das Instrument bestimmt ist, der Einfluss dieser Fehlerquelle ein Minimum wird. Grössere Declinationsschwankungen würden bei den Meridianbestimmungen übergens auch zu erkennen gewesen sein.

#### III. Wagungen zur Bestimmung von MH

In der mehrfach erwähnten Abhandlung von Pret Toepler findet sich das Kesultat einer Reihe von Doppe, wägungen, wie solche bei Bestimmung der Horizontalinten sität nothwendig und zu Anfang dieser Zeilen erlauter worden sind. Zum Vergleich mit diesem führte ich mit der durch die optische Ablesevorrichtung vervollkommneten Wageine größere Anzahl solcher Wägungen aus, die zu der Angaben nachfolgender Tabelle führten.

Die Stellungen des zu belastenden, abwechselnd nach Norden und Süden gerichteten Armes der Wage sind dabe durch aund gekennzeichnet. Die Empfindlichkeit des Instrumentes betrug bei diesen Wägungen in 3. Mit letzteren Werthe sind die aus Columne 5 in Scalentheilen sich er gebenden Einstellungsdifferenzen in Milligramme umgerechnet worden isiehe Col. 6). Vor jeder Wägung wurde die Temperatur im Inneren des Wagegehäuses, sowie zu gewisset Zeiten der Stand eines Intensitätsvariometers beobachtet. Die Aufstellung der Scala vor letzterem Instrumente war so getroffen, dass der zunehmenden Intensität wachsende Scalentheile entsprechen.

1.	2,	3,	4.	3,	o o	1	8.	9,
Ableur lotous,- farit est Bouleuth	Therma- meter C	High mg des Wages backerse	Belastung	Elimiel- lurga- punkt	D Greens der Fin- etallungen in mg	Weetha voi-	Reductric Westlit	M tiel de Ein stehunger
312,3 311.6 310,3 308,0	18,60 18,60 18,70 18,70 18,70 18,70 18,82 18,86 18,90 19,10 19,20 19,20 19,20 19,45	00 Pr V PP A A A A A A A A A A A A A A A A A	877 425 377 425 377 425 577 425 577 425 577 425	30 85 35,61 31,18 34,41 31,80 34 53 32 40 33,90 33,90 31,45 31,44 31,48 31,48	0,26 0,24 0,21 0,17 0,15 0,12 0,08 0,00 -0.00 -0.08 -0,12 -0,18	152.26 152.24 152.24 152.17 152.15 1512 152.09 152.02 152.00 151.07 181.92 151.98 151.84	152,266,25,29,29,29,29,29,29,29,29,29,29,29,29,29,	83,28 3,37 ,4 04 55,37 54,17 33,47 7,15 38,65 (,44 29,70 4,28 35,61 35,69

Die Zahlen der Columne 1 lassen eine stetige Abnahme der Horizontalintensität während der  $\mathbf{I}^1$  stündigen Beobachtungszeit erkennen. Da für das benatzte Bitilarvariometer der Scalenwerth E=0.00039 gefunden war, so rechnet sich, zugleich mit Rücksicht auf die Temperaturcorrection des Variometermagnets die Gesammtabnahme der Intensität zu hres anfänglichen Werthes. Die Grösse dieser Verminderung ist zweifellos zum Theil localen Umständen zuzuschreiben.

Die Differenzen von  $Q_1-Q_2$  in Columne 7 zeigen gleichfalls eine stetige Abnahme von 152.260 bis 151.542 mg, also bis zu  $^1$  360 des Anfangswerthes, welche hauptsächlich einen zweifachen Grund hat. Einmal ist es die bereits bestimmte Abnahme der Intensität während der Beobachtungszeit, von der aber der localen Umstände halber nicht ausgesagt werden kann, ob dieselbe sm Orte der Wage dieselbe Grösse besass, sodann ist es aber der Einfluss der Temperatur auf den Wagemagnet, welcher das Drehungsmoment MH fortgesetzt verkleinert. Man könnte diesen Coefficienten  $\mu$  aus

Die l. c. p. 170 von Prof. Toepler vrwähnte esseme Heizungsanlage, welche sich unter den Beschachtungslocale b findet, war am Beobachtungstage in Benutzung.

den Doppelwägungen selbst ermitteln, wenn diese bei harreichend grossen Temperaturdifferenzen wiederholt würden Ergeben zwei bei den Temperaturen t und t ausgeführt-Doppelwägungen die Werthe  $Q_1 - Q_2$ , resp.  $Q_1 - Q_2$ , so folg unter Berücksichtigung der inzwischen stattgefundenen Aenderung der Horizontalintensität:

3) 
$$u = \frac{1}{t - t} \left[ 1 - \frac{Q_1 - Q_2}{Q_1 - Q_2} \cdot \frac{1 + at}{1 + at} \cdot \frac{1}{1 - nE} \right],$$

worm a den Ausdehnungscochticienten des Wagebalker,
a die Anzahl der am Bittlarvariometer abgelesenen Scalertheile und E den Scalenwerth bedeutet.

In den allermeisten Fällen, wo es sich um Bestimmus von MH handelt, wird von dessen Aenderung innerhalteiner einzelnen Doppelwägung abgesehen werden könner Zwischen aufeinander folgenden Werthen der Columne besteht sehr gute Uebereinstimmung. Es werden daher zwirasch nacheinander ausgeführte Doppelwägungen, welche der Werthe von MH ergeben, meistens genügen; bei einige Uebung sind dazu nur wenige Minuten erforderlich.

Betrachtet man die vorgekommenen Aenderungen a. gleichförmig vor sich gegangen und reducirt die Angabei der Col. 7 auf den ersten Werth derselben, so ergeben son die Zahlen unter 8. Diese stimmen sehr gut überein; de größste Abweichung vom Mittel beträgt etwa 1,80 mg. als 1,000 der zu wagenden Grösse. — Wenn der gleiche Genaus keitsgrad von der Längenbestimmung des benutzten Balkerarmes verlangt wird, so müsste dieselbe his auf 🛨 1,61 mit richtig ausgeführt werden.

Zur Controle sind in Columne 9 die Mittel der Emstellungen angegeben. Die grosste Abweichung betrücht, Scalentheil, das ist 1 36 mg. woraus zu schließen ist, das die Einstellung der von dem Einfluss der Horizontalcom ponente befreiten Wage inzwischen sich nicht wesentlich geändert hatte.

Man ersicht aus den verschiedenen Resultaten der Wagungen, dass mit Hülfe der optischen Ablesevorrichtung sit erheblich übereinstimmendere Beobachtungen erzielen lasseals früher ohne dieselbe möglich war.

#### VI. Empfindlichkeit der Wage.

Bei der Benutzung der Wage wird die Einstellungssicherheit durch unvermeidliche Erschütterungen der Wagschalen beeinflusst. Das einfachste Mittel die Grösse des bei einer gewissen Gewichtszulage möglichen Fehlers zu ermitteln, ist offenbar eine Reihe von nacheinander vorgenommenen Empfindlichkeitsbestimmungen.

Beobachtungen dieser Art, bei denen die Schwingungsebene der Wage im Meridian stand und das Auflegen und Abnehmen des Zulagsgewichts von 1 mg bei halbarretirter Wage vorgenommen wurde, ergaben bei sehr constanter Temperatur die Daten folgender Tabelle.

Belastung der Schale mg	Emstellungs- punkt der Wage	Empfindlich- keit Scalenth,	Temperatur C°.
377 776 777 776 777 570	30,42 18 05 30,65 18,24 30 51 13,13	17,87 17,00 16,81 17,27 16,88	18,50 18,52 18,64 18,65 19,70 18,70
Mittel		17,07	18,66

Die grösste Abweichung (0,3 Scalentheile) vom Mittel macht 1,7 mg aus. Der Einfluss dieser relativ unsicheren Bestimmung der Empfindlichkeit ist trotzdem gering, weil nur Bruchtheile von Milligrammen damit zu bestimmen sind; unter günstigen Umständen kann dadurch bei der Doppelwägung von MH ein Fehler von ± 1,000 entstehen, was auch in der That den Beobachtungen unter III. entspricht.

Von nicht zu unterschätzendem Einflusse auf die Empfindlichkeit ist die Temperatur. Ein Steigen derselben bewirkt eine Schwächung der Magnete, wodurch eine Zunahme der Empfindlichkeit bedingt wird, und umgekehrt.<sup>1</sup>)

Um diese Abhängigkeit der Empfindlichkeit von der Temperatur zu constatiren, wurde das Beobachtungslocal im Laute eines Tages auf verschiedene Temperaturen gebracht, welche am Thermometer unter dem Glasgehäuse G abgelesen wurden. Die Bestimmung der Empfindlichkeit fund in

<sup>1</sup> Vgl Formel 3 l c. p. 161

Intervallen von etwa zwei Stunden statt, in welcher Zer ein Ausgleich zwischen der Temperatur der Magnete under sie umgebenden Luit angenommen werden konnte.

Belastung der Schule mg	Einstellungs- punkt an der Fernrohrseala	Emplied- lichkeit in Scalerth.	Tempera- tur C°.	Aenderung I Empha Pr k für 1* in Scarenth
347 349	1/050 28/08	11,49	11,50	**
847 315	27,96 13,15	15,15	22,05	(1.35
847 844	81,50 49,61	17,81	28,25	0,34
347 349	25.78 41,50	15,72	22,85	0,39
347 34H	21,55 36,98	} 15,4B	15,30	10,59
347 349	12.58 26.48	18,95	12,40	0,57

Die Aenderung der Empfindlichkeit für einen Grau Temperaturschwankung beträgt hiernach im Mittel 0,4 Scalentheile (etwa 1,0 mg).

Bei genauerem Operiren mit der magnetischen Wagmuss daher auch dieser Einfluss der Temperaturschwankungen in Rücksicht gezogen werden. Inwieweit derseile mit der oben erwähnten unsymmetrischen Massenvertheilung am Balken zusammenhängt, lässt sich aus den vorhegendet Beobachtungen nicht angeben. Immerhin wird man be Temperaturänderungen innerhalb zweier Grade, falls die Wage mit hinreichend kräftigen Magneten versehen ist, vor den Variationen der Empfindlichkeit absehen können, went man sich mit einer Genauigkeit bis auf etwa ± 1/1000, be gnugen will.

Zum Schlusse fühle ich mich veranlasst. Hrn. Geh Hofrath Prof. Dr. Toepler meinen Dank auszusprecher für die freundliche Unterstützung, welche derselbe mir be. Ausführung der Beobachtungen bereitwilligst zu Theil wer

den hess.

Dresden, Mitte Januar 1885.

# XV. Veber die von dem electrischen Strom bei der Zersetzung von Electrolyten geleistete Arbeit; von Huns Jahn.

Vor einiger Zeit<sup>1</sup>) habe ich in l'ebereinstimmung mit den älteren, weniger genauen Versuchen von Joule und E. Becquerel nachgewiesen, dass auch in Electroly ten die gesammte Stromarbeit in Wärme verwandelt wird, wenn der Strom ausser der Ueberwindung des Leitungswiderstandes keine Arbeit leistet. In diesem Falle ist:

$$J\Delta = \frac{W}{a}$$

wenn J die Stromintensität, A die Potentiuldisserenz zwischen den beiden Electroden, W die während der Zeiteinheit entwickelte Wärmemenge, α das Wärmeäquivalent der Arbeitseinheit bezeichnet. Hat der Strom jedoch ausserdem noch Arbeit zu leisten, so muss:

$$JA > \frac{W}{a}$$
, somit  $JA = \frac{W}{a} + X$  sein.

Aus den Versuchen von Favre, Raoult, Berthelot, Woods, Kiechl u. a.<sup>2</sup>) geht mit grosser Wahrscheinlichkeit hervor, dass der grösste Theil der nicht Wärme hefernden Stromarbeit zu chemischer Arbeit verwendet wird. Dann würde X wesentlich nichts anderes bedeuten, als die zur Trennung der Ionen der von dem Strome zerlegten Verbindung nöttige Arbeit, und:  $\alpha X = Z$ ,

d. h. das Wärmenquivalent der von dem Strome geleisteten Arbeit müsste mit der Bildungswärme der betreffenden Verbindung nahe zusammenfallen.

Da die von mir zum Nachweis der Gültigkeit des Joule'schen Gesetzes angewendete Methode einen bisher nicht erreichten Grad von Genauigkeit ermöglicht, schien es mir nicht überflüssig, unter Benutzung derselben Methode, zu untersuchen, inwieweit die obige Schlussfolgerung den Thatsachen entspricht.

Betreffs der Einzelheiten der bei der vorliegenden Untersuchung angewendeten Methode, der Anordnung der Apparate,

<sup>1)</sup> Jahn, Wied Ann 25, p. 40 1885.

<sup>2)</sup> G. Wiedemann, Electricität. 2. p. 863 flgde.

Aichung derselben, sowie des Ganges der Versuche muss auf die eingangs erwähnte Abhandlung verwiesen werden.

Was die Berechnung der Versuche anbelangt, so mögbemerkt werden, dass die beiden Galvanometer zur Bestinmung der Stromintensität, sowie der Potentialdifferenz a regelmässigen Intervallen von 5 Minuten abgelesen wurder. Die mittlere Stromintensität:

$$J = \int_{t}^{1} \int_{0}^{t} J dt,$$

sowie die mittlere Stromarbeit:

$$A = \frac{1}{\ell} \int_{\hat{\rho}} J(iR - J | \rho) dt,$$

unter Beibehaltung der in der erwähnten Abhandlung lenutzten Bezeichnungsweise, wurden mit Hülfe der Simpsonschen Regel berechnet. Die zur Berechnung von Abenutzten
Einzelwerthe der Stromarbeit wurden erhalten durch Mutiplication der dem jeweiligen Zeitmoment entsprechenden
Stromintensität mit der fast gleichzeitig bestimmten Potentialdifferenz. Als J<sub>0</sub>, resp. A<sub>0</sub> wurden in die Simpson'sche
Formel die aus der ersten, wenige Secunden nach Schliessunt
des Stromes ausgeführten Beobachtung gewonnenen Dite eingeführt. Die letzte Beobachtung konnte selbstverstänlich nicht im Moment des Stromöffnens ausgeführt werde-

Wenn die nicht Wärme liefernde Stromarbeit für chemische Arbeit verwendet wird, so muss:

$$\alpha \widetilde{A} = \frac{W_h + Z}{t}$$
 oder  $\alpha = \frac{W_h + Z}{t \cdot A}$ 

sein, wenn Wh die während der Zeit t entwickelte Warmemenge, t die in Secunden ausgedrückte Versuchszeit, Z die der zersetzten Menge der betreffenden Verbindung entsprechende Bildungswärme ist.

Die Menge des während des Versuches ausgeschiedenet Kation, resp. der zersetzten Verbindung, wurde unter Zugrundelegung des von F. und W. Kohlrausch bestimmte electrochemischen Aequivalentes des Kupfers: 0,3241 m.

aus der mittleren Stromintensität berechnet. Für die Bildungswärmen der drei untersuchten Verbindungen wurden die von J. Thomsen ermittelten Werthe angenommen, und

zwar:  $(Cu, O, SO_3aq) = 55 960^4$   $(Zn, O, SO_3aq) = 106 090^3$  $(H_1, O) = 68 357^3$  Calorien.

Die zwei ersten Zahlen beziehen sich auf verdünntere Lösungen, als die für die Electrolyse verwendeten; allem bei der
Geringfügigkeit der Verdünnungswärmen konnten dieselben,
ohne der Genauigkeit der Resultate wesentlichen Abbruch,
zu thun, eingesetzt werden. Ebenso konnte die kleine Correctur vernachlässigt werden, die an den Thomsen'schen
Zahlen wegen der Verschiedenheit der zu Grunde liegenden
Wärmeeinheit noch hätte angebracht werden sollen.

Für die Atomgewichte wurden die von L. Meyer und Seubert berechneten Werthe:

Ca = 63.18, Zn = 64.88, O = 15.96 benutzt.

Es bedarf kaum der ausdrücklichen Erwähnung, dass die in der Zersetzungszelle befindliche Lösung nach jedem Versuch erneuert wurde. Die Zersetzungszelle hatte ganz dieselbe Form wie die in der citirten Abhandlung beschriebene und abgebildete. Die Anode bestand aus Platin, die Kathode bei den Vorsuchen mit Kupfer-, resp. Zinksulfat, aus electrolytischem Kupfer, resp. Zink. Bei den Versuchen über die Zersetzung des Wassers wurden zwei Platinelectroden verwendet. Um das Entweichen der bei der Zersetzung sich entwickelnden Gase zu ermöglichen, wurde durch eine dritte Bohrung des die Zersetzungszelle verschliessenden Kautschukstopfens eine silberne Capillare geführt.

Als Stromgeber fungirten bei allen Versuchen drei Bunsen'sche Elemente.

<sup>1)</sup> J. Thomsen, Thermochem Untersuchungen, 3, p. 810

<sup>2)</sup> l. c. 3, p. 276. 3) l. c. 2, p. 52.

<sup>4)</sup> Mit T wird das zur Messung der Stromintensutät, mit G das zur Messung der Potentialdifferenz bestimmte Galvanometer bezeichnet

- q den Ablenkungswinkel im Galvanometer T bei Einschalting des Normal wider-tandes
- C die electromotorische Kraft des Normalelementes tur die beobachtete Temperatur,
- & den Ablenkungswinkel im Galvanometer G während der Einschaltung des Normalelementes.
- R Jo die Potentialdifferenz zwischen den beiden Electrodes.
- J die Stromintensität,
- die in Minuten ausgedrückte, von dem Moment des Stromschlusses bis zu der entsprechenden Ablesung vertlossene Zeit-
- N den zur Aichung des Galvanometers T benutzten Normalwiderstand,
- G das corrigirte Gewicht des während des Wärmeausgleiches von dem Calorimeter eingesaugten Quecksilbers,
- W's die G entsprechende Wärmemenge.
- A die mittlere Stromarbeit pro Zeiteinheit,
- J die mittlere Strommtensität,
- a das Wärmengurvalent der Arbeitseinheit.

# Versuche mit Kupfereulfat

# Tabelle I. Versuch I. Versuchsdauer 1 Stunde. Zusammensetzung der Lieung CuSO, + 200 H.O.

1	tg q	tg y	J	R Je	$J \leftrightarrow H - J_{\xi}$
0	0.024-031	0.077 800	0,035 008	5,851H	0,1975
5	0.024 -57	0.077 618	0,035 774	5,6384	0,201-71
10	0.025 901	0,077 457	0,037 732	5,6265	11,2123
15	0,027 (52	0,077 413	0,039 991	5,0251	0.224.87
20	0,029 529	0.077 939	0,943-017	5,6189	0,241.71
25	0,031.186	0.077 810	0,045 358	3,6151	0,254 9.9
80	0,032 898	0,077 251	0,047 925	3 61 13	(), 20 h H4
35	0,034 972	0,077 163	0,050 946	5,6039	0,285.5
40	0,036 520	0,077 089	0,053 201	5,5953	0,2 7 K3
45	0,034 358	0,076.981	0,055,579	5,0901	0, 1237
80	0,040.348	0,076 942	0,058 778	5, 4870	0,328.4
33	0,042 547	0,076,907	0,061 982	5,5841	0,34611
59	0,044.5 (T	11,676,425	0,064 48	5,5779	0,381.9
	tg g,	tg (y)	tg ə	C Volt	N Ohn
	0,040 985	0,077 026	0,019 758	1,4362	93,776
		G Gramm.	Wa Calor.	d	J Ampère
		2,796 8	181,49	0,27108	0,046-356

Ausgeschiedene Kupfermenge .	0,65712 g
Zersetzungswärme	50,592
Entwickelte Wärmemenge	181,49
	232,08 Cal.
pro Zeiteinheit	0,064467
n = 0.2378.	,

Tabelle II.

Versuch II. Versuchsdauer 1 Stunde.

Zusammensetzung der Lösung: CuSO, + 200 H.O.

1	tg q	·w	J Amp.	Volt	$J_{ij}R - J_{ij}$
0	0,024 765	0,077 800	0,036 093	5,6115	0,202 55
5	0,025-319	0.077 702	0,036 102	5,6043	0,306 82
10	11,024 654	0,677 677	0,085 116	5,6027	0,196 74
15	0,026 122	0.077 616	0,038 073	5,5980	0,213 13
20	0,028 288	0,077 004	0,041 223	6,5969	0,230 72
25	0,080 541	0,077 555	0,044 514	3,5929	0.248 96
30	0,031 053	0,077 653	0,045.26	3,6000	0,253 46
35	0.088 767	0.077.580	0,049 216	5,5907	0,275 15
40	0,085 732	0,077 604	0'095.08	5,5968	0,291 43
45	0,037 957	0,077 432	0,055 323	5,5830	0,308.97
50	0,040 087	0,077 371	0,05 € 427	5,5753	0,325 92
55	0,041 745	19 19	0,060 844	5,5780	0,939 39
59	0,042 989	29 29	0,062 657	5,5778	0,349 49
	tg u	tg vi	tg 5	C Volt	N Ohm
	0,040 929	0,077 545	0,019 891	1,4356	93,818
		G Gramme	Wh Calor.	4	J Amp.
		2,746 5	178,23	0,26439	0,047 282
	Ausgeschi	edeue Kupfer	rmenge .	0,055 848 g	
	Zersetzung			43,17	
			und 1	The 1919	
	Emitwicker	te Warmeine		27,70	Cal.
	peo Zei	teinheit .		0,06325	
	1		= 0,2392.	,,,,,,,,,,,,,,,,,,,,,,,,,,,,,,,,,,,,,,,	
		41 =	- 0,0004.		

# Tabelle III.

Versuch III, Versuchsdauer 1 Stunde. Zasammensetzung der Lösung: CuSO<sub>4</sub> + 100 H<sub>2</sub>O.

1	tg q	tg w	J Amp.	iR - Je Volt	$J(iR-J\varrho)$
U 5	0,041 675 6,042 228	0,076 677	0,068 748	5,7006 5,6195	0,346 27
10	0,045 477	0,018 314	0,086 284	5,6737	0,376 08
15 Ann.	0,047 827	0,075 226 R. F. XXV.	0,069 709	5,6669	0,395 08

1	tg q	tg w	J Amp	(R Jo	$J \cap R - J_{\phi}$
20 25 30 36 40 45 50	8,050 783 0,053 172 0,057 089 0,081 64 0,064 655 0,068 675 0,072 767	0,078 162 0,678 094 0,078 04 0,077 914 0,077 859 0,077 702	0,074 017 0,078 665 0,083 18 0,088 364 0,084 236 0,100 1 0,106 06	5,6619 5,6565 5,6522 5,6427 5,6374 5,6330 5,6253	0,41,008 0,444 97 0,470 13 0,449 73 0,531 31 0,563 84 0,586 62
55	0,077 016 0,080 598	0,077 619 0,077 563	0,112 25 0,117 48 tg 0	5,6186 5,6186 C Volt	0,65±45 0,65±45 N Ohm
	0,041 565	0,978 849	0,019 798	1,4960	58,505
		G Gramme	W'A Calor.	1	J Amp
		4,965 0	322,20	0,44121	0,095 255
Ausgeschiedene Kupfermenge . 0,1007 g  Zereetzungswärme					
pro Zeiteinbeit 0,11427   a = 0,2375					

Tabelle IV.

Versuch IV. Versuchsdauer 1 Stunde.

Zusammensetzung der Lösung: CuSO<sub>4</sub> + 100 H<sub>2</sub>O

c	tg q	tg w	J Amp	iR-JQ Volt	J(iR-J(
0	0,041.371	0,076 589	0,060 61	5,7775	0.35017
5	0,040.915	0,075 110	0,059 041	5 (1860)	O West
10	0,048 887	0,075 026	0,084 296	5,6592	0,36334
15	0,046 375	0,074 969	0,067 941	5,6544	0.384 D
20	0,048 884	0,074 928	0,071 324	5,6511	0,4040
25	0,051 362	0,074 665	0,075 247	5,6460	0.424.54
30	0,053 771	414 64	0,078 776	5,6456	0.444.74
85	0,055 354	0,074 747	0,081 098	5,6364	0,457 %
40	0,080 295	NY 89	0,084.334	5,6357	0,487 42
45	0,068 755	0,074 649	0,098 408	5,6278	0,125 (2
50	0,066 39	0,074.5%5	0,097 263	5,6226	0,548 87
55	0,071 547	0,074 468	0,104 82	, 5,6131	0,555 %
59	0,074 600	0,074.478 _	0,109 29	5,6134	0,61 - 6
	ty Ti	tg v <sub>t</sub>	tg 9	C Volt	N Ohn
	0,041 399	0,075 257	0.019 086	1,4375	93,701
		G Gramm	W Calor.		J Apr
	31	4,6983	8,0449	0,45431	0,090 3

Ausgeschiedene Kupfermenge Zersetzungswärme		0.095 139 g 84.27	5
Entwickelte Warmemenge	,	St4 8A	Cal
pro Zeiteinheit	٠	389,15 0,1081	1
n = 0.2379			

#### Versuche mit Zinksulfat.

Bei diesen Versuchen wurde, um das Wiederaustösen des Zinks in der durch die Electrolyse sauer gewordenen Flüssigkeit zu verhindern, die Zinkkathode amalgamirt, bei den zwei letzten Versuchen durch eine Quecksilberschicht, in die der Zuleitungsdraht tauchte, ersetzt. Es summirt sich bei diesem Verfahren allerdings die Amalgamationswärme des Zinks zu der entwickelten Wärmemenge; dieselbe ist jedoch nicht bedeutend genug, um auf die Resultate einen nennenswerthen Einflüss auszuüben.

Tabelle V. Versuch I. Versuchsdauer 1 Stunde. Zusammensetzung der Lösung: ZnSO, + 200 H.O.

		mercang an	231100000000000000000000000000000000000	707 1 000 1131	-		
	tg q	ξg ψ	Amp	Volt Volt	$J_{i}(R-J_{\varrho})$		
0	0,029 779	0,079 696	0.028 30	5,7157	0.161 75		
5	0.023 809	0,079 387	0.027 378	5,6936	0.155 87		
10	0.029 813	0,079 824	0.029 813	5,6888	0.169 60		
15	0,032 327	0,079 265	0,030 721	5,6846	0.174 64		
20	0.033 214	19 19	0.031 564	5,6644	0,179 42		
25	0,093 465	W2 81	0.032 183	34 70	0.152 94		
30	0.037 999	0,079 167	0.089.261	3,6773	0,188.63		
85	0,089 505	0,079 142	0,087 548	5,6750	0,213 06		
40	0,040 819	0,079 084	0,038 791	5,6707	0,219 98		
45	0,041 807	0,079 02	0,039 541	5,6660	0.224 64		
50	0,046 514	96 99	0,044 203	5,6656	0,250 44		
85 1	0,049 555	0,078 775	0,047 094	5,6447	0,265 H3		
59	0,051 557	0,078.971	0,048 996	5,6616	0.2774		
	tg p1	tg ψ <sub>1</sub>	tg ð	C Volt	N Ohm		
	0,063 48	0,078 897	0,020 003	1,4953	93,842		
		G Gramme	H' Calor.	A	J		
		1,6153	104,82	0,20337	0,035 846		
Ausgeschiedene Zinkmenge . 0,04348 g Zensetzungswarme 71,10 Entwickelte Warmemenge . 104,82							
	pro Zeiteinheit 0,048 \$7 Cal.						

Tabelle VI.

Versuch II. Versuchsdauer 1 Stunde. Zusammemetzung der Losung ZuM), + 200 H,O.

t	tg g	tg v	J Amp.	Volt	J to R - Jo	
0	0,028 504 0,028 386	0,079 476 ( 079 231	0,027 128 0,026 ⇒7	5,6741 5,6566	0,158 98 0,152 11	
10 15 20	0,030,056 0,081,787 0,034,280	0.079 216	0,025 605 0,030 253 0,032 625	5,6500 5,6500	0,161 77 0,171 93 0,164 38	
23 30 35 40	0,036 161 0,038 152 0,040 046 0,042 297	\$1 27 21 61	0.084 416 0,086 811 0,038 151 0,040 255	5,6496 5,6494 5,6492 5,6490	0.20° b) 0.20° b)	
45 56 55	0,044 778 0,644 778 0,647 698 0,650 589	0,079 079	0,042 611 0,045 388 0,048 148	5,6487 5,6440 5,6437	0,227 41 0,240 7 0,250 16 0,271 78	
59	0,032 944 tg q,	tg er	0,050 349 cg 3	5,8495 C Volt	0,284 St N Ohn	
	0.063 12	0,074 995 G Gramm	0,020 09  W <sub>A</sub> Calor	1,4850	93,567 J Amp	
1,6844 106,06   0,20×11   0,05; 85   Ausgeschiedene Zinkmenge , 0,044 683 g						
Zerz-tzungswärme						

# n = 0,2392.Tabelle VII.

pro Z-iteinheit . . . . . 0,049 778

Versuch III. Versuchsdauer 1 Stunde. Zusammensetzung der Losung ZuSO, + 200 H,O

· ·	tg φ	tg v	J Amp	Volt	Jak-J
0	0,037.460	0,081 279	0.085 512	5,6126	0,20075
5	0,045 939	0,080.911	0,084 07	5,6272	0,19, 73
10	0,036 899	0,040 872	0,034.79	5,6244	0,18557
15	0,039 841	88 65	0,086 821	5,6849	0,207.00
20	0,041 374	49 91	0,659.232	5,8240	0.220 38
25	0,043.879	7.08 080,0	0, 41 407	5,6190	0.23276
80	0.016 189	h4 36	0,643.767	5,6187	0,24 92
35	0,04% 726	0,090 780	0,046 1 42	5,6134	0.2593
40	0,051 487	39 99	0,445.51	5,6131	0,273 97
45	0,053,972	44 99	9.031 165	5,6129	0,287.15
50	0,657 201	0,080.671	0,054 226	5,6085	0,30435
5.5	0.060 71	0,090 607	0 007 552	5,6096	0.52251
59	0,063-69	fn 11	0,060 377	5,6034	0,38 - 32

tg q	tg wi	tg: 37	C Volt	N Ohm
0,083 05.	b 0,0×0 d82	0,0200818	1,4948	93,87
	G Gramm	W Calor	Á	J Amp
	1,9639	127,44	0,250 59	0,044 621
Zenset Entwi	schiedene Zinkm zungswärme . ckelte Würmeme Zeiteinheit		64 Cal	

Tabelle VIII.

Versuch IV. Versuchsdauer 1 Stunde, Zusammensetzung der Löung: ZuSO + 200H.O.

Number of the Post of the State					
1	ig q	tg w	J Amp.	$R - J_{\varrho}$ Volt	$J \cap R - J_Q$
0	0.040 156	0.080 485	0.038 098	5,6482	- 0.215 09
5	0,040 293	0,080 181	0,038 224	5,6248	0,215 01
10	0,042 298	0,080 117	0,040 127	5,6201	0,225 52
15	0,044 508	16 +4	0,042 224	5,6199	0,2373
20	0,045 306	97 11	0,045 306	5,6196	0 254 6
25	0,650,589	0,080 088	0,047 992	5,6170	0,269 57
30	0,054 516	79 89	0,051 717	5,6166	0,290 46
85	0,058 994	0,080 000	0,055.986	5,6104	0,313 99
40	0,061 405	74 55	0.058 253	5,6102	0,326 61
45	0,088 685	0.079 986	0,063 243	5,6051	0,854 48
50	0,070.08	H H	0,066 464	5,6048	0,372 53
55	0,075 073	0,079 876	0,071 221	5,6003	0,398.50
59	0,079 01	09 16	0,074.954	5,5999	0,419 78
	tg qi	tg ψ <sub>1</sub>	tg b	C Volt	N Ohm
	0.068 16	0,080 122	0,020 489	1,4348	93,87
-		G Gramm	Wh Calor.	A	J Amp.
-		2,8406	151,89	0,2981	0,053 119
	Zersetzun Entwicke	ite Warmeme	nge . 151, 257,	99 89	

#### Versuche mit Wasser.

Bei den zwei ersten Versuchen wurde mit Schweselsaure schwach angesäuertes destillirtes Wasser, bei den zwei letzten eine verdünnte Lösung von Natriumsulfat electrolysist.

Tabelle IX. Versuch I. Versuchsdauer 1 Stunde.

t	tg g	Ψy	J Amp.	$R = J_Q$ Volt	$J(vR-J_{\eta})$
0	0,045 477	0,051 148	0,043 171	5,6978	0,245.95
5	0,040 349	0,690.000	0.034.808	5,6550	0,217.67
10	0,089 197	0,080 975	0,037 20	5,6894	0,211 %
15	0,035 773	0,681 097	0,036 807	3,1951	0,209 63
20	0,038-566	0,081 034	0,036.61	5,6905	0,205 34
25	0.035 427	0,081 156	0,0%8 479	5,6992	0,207.1
30	0,038 911	0,041 22	0,034 +38	5,7036	0,210.68
35	0,0 98 685	0,081.279	0,036 876	5,7078	0,209.34
40	0,0 \$8 524	0,001 342	0,056 571	5,7122	0,20%
45	0,036 858	0,081 367	0,036 418	5,7140	0,208.07
50	0,035 950	0,681 279	0,037,004	3,7078	0.21+21
\$5	600 050,0	0,081 465	0,037 03	5,7209	0,211 %
59	0,039 128	55 15	0,037 144	5,7209	0,2125
	tg y <sub>1</sub>	tg yı	tg 5	C Volt	N Ohm
	0,063 96	0,081 097	0,020 424	1,4352	93,956
		G Gramm	W Calor.	Ā	J Amp
		2,0817	135,98	0,21162	0,037 65
	Zersetzte	Wassermeng	0 . 0,012	458 g	
	Zersetzun	grantme .	47,42	1	
		ite Warmen			
	THINICES	in it alman		Cul.	
			182,50		
	pro Ze	iteinheit	0,050	594 J	
		er :	= 0,2396.		

Tabelle X. Versuch II. Versuchsdauer 1 Stunde.

t	tg q	tg ψ	J Amp.	·R−Je Volt	J to R - Jo
0	0,032 687	0.084 271	0,041 263	5,5508	0,220.4
5	0,039 679	0.084 315	0.038 728	5,5670	0,2156
10	0,030 656	PL 91	0.037 942	5.5671	0,211 22
15	0,029 848	20 23	0.087 679	5,5871	0, 209.76
20	0,029 751	+5 19	0.037 557		0.209 08
25	0,029 640	99 99	0,037 417	5,5672	0,205 (1
30	0,030 471	0.084 400	0.084 466	5,5595	0.213 85
35	0,080 609	19 19	0,035 640	5,5594	0.214 -1
40	0,080 679	49 49	(I,03H 72H	19 119	0,215 31
45	0,030 887	15 50	0,034 991	19 94	0,216 77
50	0,031 053	*9 *9 {	0.039 200	13 33	0,217 33
55	0,031 238	24 4	0,03 + 428	19 11	0 219 19
59	0,081 191	0,084 331	0,039 374	5,5549	0,218 78

tg es	tg vs	tg 5	C Volt	.V Ohm
0,046 648	0,0%3 009	0,021 735	1,4327	98,993
	G Gramm	Wh Cal.	A	J
	2.0857	135.35	0.21445	0.038 554

Tabelle XI.

Versuch III. Versuchsdauer 1 Stunde.

		A	J	$iR - J_0$	10 D 7.
	tg q	tg w	Amp,	Volt	$J(iR-J_Q)$
U	0,021 538	0,084 727	0.027 283	5,5857	0,152 12
5	0,020-291	0,085 058	0,025 657	5,6078	0,148 86
10	0,020 014	3 13	0,025 319	5,6074	0,141 97
15	0,019 576	0,084 995	0,025 132	3,6036	0,140 88
20	45 (5	79 12	51 35	95 99	19 11
25	0,019 723	0,084 933	0,024 989	5,5995	0,139 64
30	0,019 945	0,084 899	0,025 220	5,51172	0,141 18
35	0.020 042	0,084 570	0,025 342	5,5954	0,141 30
40	0,020 056	17 19	0,025 360	11 11	0,141 90
45	0,019 945	19 1	0,025 220	पर्ग १प	0,141 76
10	0,019 917	** **	0,025 184	49 94	0,140 91
55	0.020 180	11 31	0,025 517	5,5953	0,142 77
59	0,020 153	+4 1+	0,025 482	49 94	0,142 58
	tg yı	tg ψ <sub>1</sub>	tg &	C Volt	N Ohm
	0,046 638	0,084 028	0,021 723	1,4928	93,954
		G Gramm	W Calor.	Á	1 3
		1,8959	69,94	0,14197	0,025 344

Zersetzte Wassermenge . 0,008 510 g
Zersetzungswärtne . 32,39
Entwickeite Wärmemenge 89,94
122,38
pro Zeiteinheit . . 0,033 981

Cal.

Tabelle XII. Versuch IV. Versuchsdauer 1 Stunde.

1	tg q	tg w	J Amp.	iR-Je Volt	$J(rR - J_{\parallel}$
0	0,022 189	0,083 773	0,028 171	5,61%3	0,154.27
6	0,021 058	0,083 479	0.026 728	5 5989	0,14+64
10	0,020.776	0,083 538	0,028 376	5,6029	0.147.7h
15	0,020.588	24 22	0,025 113	5,5490	0,148.21
20	0.020 360	45 44	0,025 848	5,5990	0,144 72
25	64 94	P5 61	() x	1 14	-0
30	0,020 333	44 11	0,025 914	99 31	0,144.53
85	24 29	0,088 420	69 a4	5,5931	0,144.63
40	0,020 819	34 94	0,025 796	01 01	0,144 35
45	0,020-222	18 41	0,025-673	46 44	0,443.65
30	0,020-291	A4 94	0,025 761	44 34	0,144-13
55	0,020 083	44 34	0,023,497	5,5932	0,14200
59	0,020 22	0,088 356	0,025 673	5,5 ***7	0,145.57
	ig 😙	tg vi	tg 5	C Volt	N Obm
1	0,046.514	0,0%2 656	0,021 366	1,4337	93,922
	~~	G Gramm	Wh Calor.	A	J Amp
,		1,4281	92,35	0,14550	0,025 992
	Zeraetzun Entwicke	lteinheit .	. 33,22	Cal	

Die Resultate der Versuche sind in der nachstehender Tabelle vereinigt.

Tabelle XIII.

Zusammensotsuhr des Electrolyten	Strom- Intensisät	Stromarbelt J (R - J <sub>0</sub>	Entwicholte Whrms- monge Wh	Lerseinungs- wärme Z	H'h+Z	H'_m
CuSO, +200H,O CuSO, +100H,O	0,049 859 0,047 282 0,085 298 0,080 547	0,27108 0,26439 0,48121 0,45431	Cat. 181,49 178,23 322,20 1 304,68	Ca1 50,59 49,47 89,19 84,27	Cel 11,064 467 0,063 25 0,114 27 0,108 1	0,2174 0 2 82 0,2870 0,2974
ZnSO, +200H <sub>2</sub> O	0,035 846 0,036 839 0,044 621 0,059 119	0,20337 0,20811 0,25059 0,2981	104,82 106,06 127,44 181,89	71,10 73,14 86,50 105,85	0,048 867 0,049 778 0,059 954 0,071 455	0.245 0.245 0.245 0.245
H <sub>c</sub> O, mittelet H <sub>c</sub> HO, augeshuert Verdünate Lösung von Na <sub>c</sub> HO.	0,087 103 0,088 554 10,025 844 10,025 992	0,14197	185,08 185,85 89,94 92,35	47,42 49,27 32 39	0,050 894 0,051 293 0,038 991 0,034 961	0.239 0.239 0.234 0.29

Wie aus der Constanz des Werthes a. sowie aus der sehr befriedigenden Uebereinstimmung desselben mit dem früher für Drähte erhaltenen:

#### 0,2395

hervorgeht, bestätigen die Versuche vollkommen die obige Ueberlegung. Es folgt daraus, dass nahezu der ganze Theil der Stromarbeit, welcher keine Wärme liefert, zu chemischen Arbeitsleistungen verwendet wird, und dass somit das Wärmeäquivalent dieser Arbeitsleistung mit der Bildungswärme des entsprechenden Electrolyten fast genau zusammenfällt.

Man kann umgekehrt auch die mitgetheilten Versuchsresultate henutzen, um die betreffenden Bildungswärmen zu berechnen. Unter Zugrundelegung des Werthes:

#### 0.2395

für a erhält man durch Multiplication dieses Werthes mit der gesammten Stromarbeit (Al) die Wärmemenge, die man gefunden hätte, wenn die ganze Stromarbeit zur Wärmentwickelung verwendet worden wäre. Durch Subtraction der wirklich gefundenen Wärmemenge von der so berechneten ergibt sich die Bildungswärme der betreffenden Verbindung bezogen auf die von dem Strom zersetzte Menge derselben. In der nachfolgenden Tabelle bezeichnet:

A die mittlere Stromarbeit,

W<sub>J</sub> = Aat die gesammte aus dem Joule'schen Gesetz berechnete Wärmemenge.

Wh die wirklich entwickelte Wärmemenge,

M die in Grammen ausgedrückte Menge des ausgeschiedenen Kation,

B die aus der Differenz  $W_J - W_A$  berechnete Bildungswärme, bezogen auf das in Grammen ausgedrückte Moleculargewicht der betreffenden Verbindung.

Tabelle XIV.

A	W <sub>J</sub> Calorien	W <sub>A</sub> Calorien	M Gramme	B Calorien	B nach Thomsen
		Kupf	ersulfat		
0.27108	238 72	181,49	0,057 120	57771	
0.26433	227.96	175 23	0,055 %57	\$6250	
0.48121	414,90	322 20	0,100.91	Berri40	
0,45431	391,71	304,88	0,095 199	57563	
			Mittel	57431	35960
		Ziel	tsulfat		
0.20337	175.35	104.82	0.048 40	10544	
0,0811	179,43	106 06	0.044.68	10654	
0,25059	216,06	127,44	0.054 122	10623	
0,2951	257,02	151,69	0,064 43	10586	
			Mittel	10602	10609
		W	asser.		
0.21162	182,46	135,08	0,001 387 5	68293	
0.21445	1h4 90	135 35	0,001 441 5	6HT43	
0.14197	122 40	59,546	0,000 947 62	NA SANT	
11,14 50	125,45	92,35	0 0x10 37 x 55	65117	
			Mattel "	68416	68357

Die für Zinksulfat und Wasser erhaltenen Zahlen stimmen mit den Thomsen'schen in überraschender Weise überein, während die für Kupfersulfat erhaltenen eine grössere Abweichung (2,6 Proc.) zeigen. Die Erklärung dieser Abweichung muss späteren Versuchen vorbehalten bleiben Immerhin ist dieselbe nicht gross genug, um die Richtigkeit der obigen Schlussfolgerung in Frage stellen zu können.

Graz, Chem. Univ.-Laboratorium, Mai 1885.

# XVI. Zwei Modelle zur Erläuterung der Lichtbrechung; von Oskar Emil Meyer.

(Hieras Taf. V Fig. 6-11.)

Brechung ebener Lichtwellen.

Eine ebene Lichtwelle AB Fig. 6, welche, in der Richtung BC fortschreitend, auf die Trennungsfläche AC zweier Medien auffällt, befindet sich nach der Brechung in der Lage DC und schreitet in der Richtung AD fort, wenn die Längen der gegen die Wellen senkrechten Linien BC und AD in dem durch den Brechungsindex n bestimmten Verhältniss der Fortpflanzungsgeschwindigkeiten stehen. Aus dieser bekannten Huygens'schen Construction folgt ein einfacher Satz über die Lage des Punktes E, in welchem sich die beiden verlängerten Richtungen AB und DC schneiden. Dieser Punkt bildet die Spitze der beiden Dreiecke AED und CEB, aus deren Achnlichkeit das Verhältniss:

$$E\check{C}:EA=B\check{C}:AD=n:1$$

folgt. Beziehen wir nun den mit der Grösse des Einfallswinkels veränderlichen Ort des Punktes E durch rechtwinkelige Coordinaten x = AG und y = GE auf den festen Anfangspunkt A, so ist  $EA^2 = x^2 + y^2$ , und ebenso, wenn wir die als unveränderlich angenommene Entfernung AC = a setzen:

$$EC^3 = (x+a)^2 + y^2$$
.

Demnach liefert die obige Proportion die Beziehung:

$$(x+a)^2+y^2=n^2x^2+n^2y^2,$$

zwischen den Coordinaten z und y des Punktes E oder:

$$\left(x - \frac{a}{n^{1}-1}\right)^{2} + y^{2} = \left(\frac{na}{n^{2}-1}\right)^{2}$$

d. h. der Ort des Punktes E ist ein Kreis, welcher mit dem Radius na  $(n^2-1)$  um einen in der Entfernung a  $(n^2-1)$  von A gelegenen Punkt F beschrieben ist.

Auf diesem Satze beruht die Einrichtung eines beweglichen Modelles, welches für die Erläuterung des Brechungsgesetzes der Lachtwellen von demselben Nutzen sein kann, wie das auf der Reusch'schen Construction beruhende Modell von Weinhold') für die Lichtstrahlen. Em Messingstreifen FAC Fig. 7 bezeichnet die Grenze zweier Medien, und zwar denke man sich über demselben Luft unter demselben Glas, sodass n=1.5 gesetzt werden darf. Dieser Annahme entspricht die Wahl der Entfernungen FA=300 mm, AC=375 mm zwischen den Punkten F. A und C, um welche sich drei Stangen FE, BH und CJ drehen. Von diesen Stangen trägt die 450 mm lange Stange FE an ihrem Ende E zwei Schieber, durch welche die beiden anderen hindurchgesteckt sind. Dadurch werden diese gezwungen sich bei einer Drehung des Punktes E um F so zu bewegen wie es das Gesetz der Brechung der Wellen verlangt.

Die Richtung der zugehörigen Lichtstrahlen wird durch Pfeile angedeutet, von welchen drei auf der Schiene AB. drei auf CE angebracht sind. Diese Pfeile sind um ihre Mitte drehbar eingerichtet, damit das Modell auch zur Erläuterung des Ueberganges der Wellen aus einem stärker brechenden Mittel in ein weniger stark brechendes und besonders zur Erklärung der totalen Reflexion benutzt werden könne. Der Punkt, bei welchem die letztere beginnt, wird am Modell dadurch markirt, dass nicht allein AB senkrecht gegen AC, sondern auch EF senkrecht gegen EC steht. (Vgl. die punktirten Linien in Fig. 6). Weiter nach der rechten Seite darf E nicht verschoben werden.

## 2. Breehung in Linsen.

Die von einem leuchtenden Punkte A Fig. 8 auf eine Convexlinse fallenden Lichtstrahlen vereinigen sich jenseits der Linse in einem Punkte, dessen Lage durch die Formel-

$$\frac{1}{\sigma} + \frac{1}{h} = \frac{1}{F}$$

bestimmt wird, wenn a die Entfernung von A bis zur Mitte C der Linse, ebenso b die Entfernung CB und endlich F die Brennweite, also eine constante Grösse bedeutet. Nennen wir c die Entfernung eines beliebigen Punktes D (oder D der Linse, durch welchen die beiden Richtungen eines Licht-

<sup>1)</sup> Weinhold, phys. Demonstrationen, Leipz. 1881, p. 298.

strahles vor und nach der Brechung AD und DC hindurchgehen, so können wir die Gleichung in der Form:

$$tg \, a + tg \, \beta = \frac{c}{a} + \frac{c}{b} = \frac{c}{R}$$

darstellen, we  $\alpha$  den Winkel DAC und  $\beta$  den Winkel DBC bezeichnet. Nach dieser Formel lässt sich die Lage des von einem leuchtenden Punkte A entstehenden Bildes B mittelst eines beliebig gewählten, aber fest angenommenen Punktes D so construiren, dass die Summe der beiden Tangenten einen constanten Werth bildet. Noch einfacher lässt sich diese Bedingung aussprechen, wenn wir BD über D hinaus verlängern, DF parallel der Axe AB ziehen und durch einen festen Punkt F in unveränderlicher Entfernung von D eine zweite Linie EG senkrecht zur Axe legen. Dann ist, da  $\not\sim FDG = \alpha$  und  $\not\sim FDE = \beta$  ist, die Bedingung zu erfullen, dass:

$$EG = EF + F\overline{G} = FD(\operatorname{tg}\alpha + \operatorname{tg}\beta) = \frac{e}{k}FD$$

constant zu erhalten ist. Wir haben also, um je zwei zusammengehörige Punkte A und B zu finden, die Linien ADund DB um den Punkt D so zu drehen, dass das auf der
festen Linie FF' von den Strahlen AD und DB abgeschnittene Stück EG einen constanten Werth beibehält.

Für eine Concavl.nse gilt, wie ein Blick auf Fig. 9 lehrt, die letzte Form des Satzes genau ebense, die vorausgegangenen mit den erforderlichen Aenderungen der Vorzeichen.

Hierauf beruht der Gebrauch, welchen man von dem in Fig. 10 und 11 dargestellten Modell für die Theorie sowohl der Convex- als auch der Concavlinsen machen kann. Ein Stativ trägt in D und D zwei, nach Bedarf verstellbare, Zapfen; um D drohen sich die Stäbe AD und DB, welche die beiden Richtungen eines gebrochenen Lichtstrahles vorstellen, ebenso AD' und DB um D. An dem Stativ ist in C eine horizontale und an dieser in H eine verticale Stange befestigt, welche letztere, wie die erwähnten Stäbe in ihrer Mitte der Länge nach aufgeschlitzt ist. In den Schlitzen bewegen sich die an zwei Schiebern EG und EG befestigten Stifte E und G, sowie E' und G; ebenso bedeutet A

einen auf der horizontalen Stange verschiebbaren Stift, weicher durch die Schlitze der Stäbe greift. Eine Verschiebung dieses Stiftes bewirkt eine Veränderung des Ortes des Punktes B nach demselben Gesetze, wie das Bild B mit dem leucktenden Punkte A seine Lage ändert.

Handelt es sich um convergirend oder parallel einfallende Lichtstrahlen, so wird der Stift A entfornt, ebens wenn der Gang der Lichtstrahlen, welche ein ausserhalb der optischen Axe liegender Punkt aussendet, zur Anschauszigebracht werden soll.

Kürzlich ist zu denselben Zwecken von Haycraft<sup>1</sup>) en ähnliches Modell angegeben worden, dasselbe gibt aber keize genau richtige Vorstellung von der Sache.

Die beiden beschriebenen Modelle sind vom Mechanicus J. Kleinert in Breslau, Kirchstrasse Nr. 16, ausgeführt worden.

## XVII. Veber eine Abinderung der Jolly'schen Quecksilberluftpumpe; von F. Narr in München. (Hiers Int. V 11g. 12 n. 18.)

Die Quecksilberluftpumpe in der Form, die ihr Jolly gegeben hat, zeichnet sich vor allem durch den Umstanaus, dass sie durch eine stärkere Verwendung von Stahtheilen fast ebenso wenig dem Zerbrechen ausgesetzt ist, we die gewöhnlichen Luftpumpen. Die Verbindung der Glatheile mit den Stahltheilen geschah bisher durch Siegel lackkitt, der einige Uebelstände mit sich brachte. Schon izfolge des Auf- und Absteigens des Quecksilbers stiessen sich leicht Partikelchen jenes Kittes ab, und an diese hingen sich wenn sie auch nicht in die feinen Bohrungen gelangten und diese theilweise verstopften, zum mindesten Luftbläschen an die nur schwer zu entfernen waren und das erreichbar Vacuum, also auch die Reinheit der Gase, die durch die

Haycraft, Nature. 86, p. 548. Zeitschr. f Instrumentenk. 5
 p. 97, 1885. Beibl. 9, p. 167.

Vermittelung der Pumpe in den evacuirten Raum eingesührt werden sollten, beschränkten. Dazu kam noch der Uebelstand, dass das so nothwendige zeitweise Reinigen der einzelnen Pumpentheile und des Quecksilbers sehr erschwert war; denn das hierzu erforderliche Ab- und Wiederzusammenkitten der Theile war eine selbst sür geübte Hände mühsame und grosse Vorsicht erheischende Operation. In neuerer Zeit ist nun diese Pumpe einer Umconstruction unterzogen worden, die alle die genannten Missstände beseitigt und sich schon an mehreren Exemplaren bewährt hat. Da die Jolly'sche Pumpe schon mehrsach beschrieben worden ist<sup>1</sup>), so beschränke ich mich auf die Darlegung der Veränderungen, die sie erlitten hat, und die auch für andere physikalische Instrumente nicht ohne Interesse zu sein scheinen.

In der Fig. 12 ist die Verbindung des Glasgesasses A. in dem das Vacuum erzeugt wird, einerseits mit dem Hahnstücke B (C ist das Gewinde für den Pumpenteller), andererseits mit dem Steigrohre D des Quecksilbers dargestellt; da beide Verbindungen genau in der gleichen Weise durchgesührt sind, so begnüge ich mich mit der Beschreibung der ersteren.

Das Glasgefass A endigt in einer Glaswulst a, die auf die Stahlplatte b des Hahnstückes aufgeschliffen ist; durch sehr schwache Fettung wird die Berührung so innig, wie bei den gewöhnlichen Adhäsionsplatten. Diese beiden Theile werden durch zwei, in zwei Hälften getheilte Stahlringe e und d mit den Seitenflantschen e und f zusammengehalten. Zu diesem Behufe sind zunächst die Schraubenpaare q und h angebracht, welche die beiden Hälften der Stahlringe an den Stahltheil h des Hahnstückes, beziehungsweise an den cylindrischen, mit einem Leder umgebenen Theil des Gefässes A unterhalb der Wulst a andrücken. Hierzu kommen noch die Stahlstifte l, welche durch die aneinander liegenden Theile der Seitenflantschen e und f gehen und oben in einem

<sup>1)</sup> Unter anderem im Repertorium für phys. Technik. 1. p. 144. 1866 und in Müller-Pfaundler, Lehrb. d. Physik. 8, Aufl. 1, p. 230

durchbohrten Kopfe m, unten aber in einer Schraubenspinstendigen; durch die Schraube n werden die aufeinander geschiffenen Flächen der Glaswulst und der Endplatte des Hahnstückes aneinander gepresst.

Will man behufs der Reinigung das Glasgetäss A herausnehmen, so löst man sämmtliche Schrauben a leicht,
indem man vermittelst eines Stiftes die Kopfe in festhält
entfernt man dann noch sämmtliche Schrauben A, so kann
man das Gefäss ohne Mühe herunsdrehen. Hat man es
gereinigt, so setzt man es in der gleichen Weise wieder ein
schraubt die Schrauben A, nachdem man das oben erwähnte
Leder wieder eingelegt hat, leicht an, dreht das Gefäss A
sorgfältig ein und zieht endlich die Schrauben n fest an.

Genau in der gleichen Weise ist auch die Verbindung des Quecksilberschlauches der Pumpe mit dem Quecksilberbehälter derselben hergestellt.

Fig. 13 demonstrirt endlich die Verbindung des Steigrohres mit dem Schlauche, die durch die zwei autemander geschliffenen und gefetteten Stahlendplatten der beiden genannten Pumpentheile im Verein mit zwei Schrauben bewerkstelligt wird.

Schliesslich möchte ich nur noch bemerken, dass der Gefrierversuch, den Lommel unlängst beschrieben hat<sup>1</sup>, is einer ausserordentlich überraschenden Weise mit der vorstehend betrachteten Pumpe gelingt.<sup>2</sup>

<sup>1)</sup> Lommel, Wied. Ann. 22, p 614 1884.

<sup>2)</sup> Die in der beschriebenen Weise abgesinderte Pumpe liefert, is gediegener Ausführung und sorgfäling gepruft, der bewährte Praparater des hiesigen physikalischen Instituts, Hr. K. Berberteit.

# DER PHYSIK UND CHEMIE.

NEUE FOLGE. BAND XXV.

# L Veber den zeitlichen Verlauf der electrischen Rückstandsbildung im Paraffin; von C. Diotorici.

I. Die ersten messenden Versuche über den Verlauf der Ruckstandsbildung in Leydener Flaschen hat R. Kohlrausch', angestellt und zugleich aus denselben eine empirische Formel abgeleitet, welche mit hinreichender Genauigkeit die disponible Ladung einer geladenen Flasche zu gegebener Zeit zu berechnen gestattet. Die theoretische Begründung seiner Formel liess aber Kohlrausch unerörtert. Diese hat bald nach der Veröffentlichung jener Versuche Riemann zu geben gesucht, indem er als Ursache der Rückstandsbildung der ponderablen Materie der Dielectrica eine antelectrische Kraft zuschrieb. Er nahm an, dass die ponderablen Körper "nicht dem Electrischwerden oder dem Aufnehmen von Spannungselectricität, sondern dem Electrischsein oder dem Enthalten von Spannungselectricität mit endlicher Kraft widerstrebten." Die aus dieser Hypothese sich ergebenden Formela sind indessen, wie Hr. W. Giese3) gezeigt hat, nicht im Einklang mit der Erfahrung.

Maxwell<sup>4</sup>) hat gezeigt, dass sich die Rückstandsbildung der Dielectrica erklären lasse aus der Annahme, dass diese aus verschiedenartigen Medien zusammengesetzt seien; er gelangt zur Bestimmung der disponiblen Ladung einer geladenen Flasche bei gegebener Zeit zu einem Ausdruck, der

i. R. Kohlrausch, Pogg. Ann. 91, p. 56, 1854.

<sup>2)</sup> Riemann, Gesammelte mathematische Werke, p. 48 u. 345 u. ff.

<sup>3)</sup> W. Grose, Wied, Ann. 0, p. 161, 1880,

<sup>4)</sup> Maxwell, Lehrbuch der Electricität und des Magnetismus. 1. p. 468 u. ff.

aus einer Summe von Exponentialfunctionen gebildet ist, deren soviel verschiedene auftreten, als verschiedene Stoffe in dem Glase vorhanden sind. Dieser Ausdruck ist aber praktisch unbrauchbar, da man, um eine hinreichend genaue Annäherung an die Beobachtung zu erlangen, sehr vieler solcher Exponentialfunctionen bedarf.

Endlich hat Hr. Clausius!) eine Theorie der Dielectrics aufgestellt. Hr. Clausius verfährt in der mathematischen Behandlung der Dielectrica, ebenso wie Poisson und Green in der Theorie des Magnetismus. An diese Theorie soll hier angeknüpft werden. Ich habe mich bemüht, die aus derselben für den zeitlichen Verlauf der Rückstandshildung sich ergebenden Folgerungen zu ziehen, und habe diese mit der Erfahrung verglichen. Es ergibt sich ein Ausdruck der mit voller Genauigkeit den zeitlichen Verlauf der Rückstandsbildung zu berechnen gestattet. Bevor ich jedoch aus die Theorie eingehe, will ich die Beschreibung der Versuche mit ihren Resultaten voranstellen.

II. Zu den Versuchen benutzte ich ein Kirchhoffsches Electrometer und einen Condensator, zwischen dessen horizontal übereinander liegenden Platten das rückstandbildende Dielectricum eingeführt wurde. Diese Apparate waren in folgender Weise miteinander verbunden. Das eine Quadrantenpaar des Electrometers war dauernd mit der Erde in gut leitender Verbindung; von dem anderen führte ein danner. nicht übersponnener Kupferdraht zu einem Quecksilbernapf. in welchen die Drähte zweier Wippen eintauchten. Die Wippe 1 stellte die Verbindung dieses Napfes mit einem zweiten her, von welchem ein Draht zu der oberen Platte des Condensators führte, dessen untere zur Erde abgeleitst war; die Wippe 2 gestattete den mit dem Electrometer verbundenen Napf mit einem dritten, zur Erde abgeleiteten, zu verbinden. Die beiden Wippen wurden durch Faden regurt. deren Enden an die Speichen eines horizontal drehberen Rades befestigt waren. Um die Radperipherie und an derselben mit seinem einen Ende befestigt, war ein Faden ge-

<sup>1</sup> Clausius, Mech. Warmetheorie, 2. Cap. HI. p. 62,

schlungen, an dessen anderes Ende ein Gewicht gebunden war, welches durch sein Fallen das Rud in Bewegung setzte. Vor Beginn des Versuchs stand das Rad so, dass der die Wippe I regierende Faden angezogen, die Verbindung zwischen dem Electrometer und dem Condensator also aufgehoben war, während der zweite Faden lose herabhing, das Electrometer also mit der Erde verbunden war. Bei dieser Stellung der Wippen wurde die obere Condensatorplatte mit der ladenden Batterie in dauernder Verbindung gelassen. Zur Zeit t = 0 wurde diese Verbindung aufgehoben und zugleich das die Wippen regierende Rad ausgelöst. Letzteres. durch das fallende Gewicht in Bewegung gesetzt, liess den die Wippe I regierenden Faden nach, diese fiel und in diesem Momente der Bewegung des Rades waren beide Wippen geschlossen, d. h. Electrometer und Condensator waren mit der Erde in Verbindung.

Gleich danach wurde aber durch die weitere Bewegung des Rades der die zweite Wippe regierende Faden angespannt, diese aufgezogen, d. b. die Verbindung des Electrometers und Condensators mit der Erde aufgehoben, während die erstere Verbindung bestehen blieb. Hiernach schlug das Rad an einen Ausschlag an, und es wurde nun mit Fernrohr und Scala das Potential, zu welchem nach der Entladung der wieder aufgetretene Rückstand das Electrometer und die obere Condensatorplatte mit den verbindenden Drähten lud, von Minute zu Minute am ersteren abgelesen.

Die ganze Zeitdauer, während welcher das Rad in Bewegung war, betrug etwa 1/3 Secunde, und von dieser Zeit warde etwa der zehnte Theil für die Dauer der Entladung in Anspruch genommen.

Sämmtliche Drahtithrungen, Wippen etc. waren durch umgebende, gut zur Erde abgeleitete Hullen sorgiältig vor Busseren Influenzwirkungen geschützt.

Zur Ladung des Condensators benutzte ich eine Batterie von trockenen Daniell'schen Elementen, wie sie Hr. v. Beetz<sup>3</sup>) neuerdings vorgeschlagen hat. Eine etwa 10 cm

<sup>1</sup> W. v Beetz, Wied. Ann. 22 p 4/2 18:4.

lange Glassöhre wird zur einen Hälfte mit Gyps gesülct welcher mit concentrater Zinkvitriollösung, zur anderen Hälfte mit Gyps, welcher mit concentrater Kupfervitriollösung angerührt ist. In die beiden Hälften wird resp. eine Zink- oder Kupferelectrode eingesenkt und dann der Giperstarren gelassen. Die so hergestellten trockenen Daniellschen Elemente haben sich bei meinen Versuchen als dauerns constant erwiesen, wie ein von Zeit zu Zeit vorgenomment Vergleich mit einem Normalelement zeigte. Allerdings wurste auch nie geschlossen gebraucht.

Als rückstandbildendes Dielectricum habe ich Paratin benutzt. Es lässt sich dasselbe, wie Hr. Boltzmann:) ab gibt leicht zwischen plane Glasplatten giessen und nach den Erstarren ohne Schwierigkeit von denselben ablösen, wend diese vorher leicht eingeült waren. Ich benutzte zwer Platten von 1,722 und 2,358 mm Dicke. Dieselben lages bei den Versuchen auf der unteren, stets mit der Erde verbundenen Condensatorplatte, und diese wurde so weit gesenkt, dass die ohere Grenzfläche der Paraffinplatte und die obere isolirte Condensatorplatte sich nicht berührten.

Wie man aus der Beschreibung der Versuchsanordnung ersicht, habe ich den nach der Entladung wieder auftretenden Rückstand gemessen. R. Kohlrausch<sup>2</sup>, und Hr Giese<sup>3</sup>) verführen umgekehrt. Ersterer gab der innerezisolirten Belegung einer Leydener Flasche eine gewisseltadung und bestimmte die nach gegebener Zeit noch vorhandene disponible Ladung; letzterer verband die aussere Belegung einer Leydener Flasche mit einer ladenden Batterie, während die innere mit einem Electrometer und durch dieses zur Erde abgeleitet war. In einem gegebenen Zeitmoment wird das aus Electrometer und innerer Belegung gebildete System isolirt und nun die während einer Minufinfolge der Rückstandsbildung veranlasste Aenderung des

<sup>1)</sup> Boltzmann, Wien. Ber. 65. p. 81, 1878

<sup>2)</sup> R Kohirausch, l. c.

<sup>3)</sup> Giese, I c-

Potentials gemessen. Dadurch wird diejenige Electricitätsmei ge testimmt, welche zur inneren Belegung in einer Minute zuströmen muss, um auf ihr das Potential Null zu erhalten. Im ersten Falle wird der Electricitätsverlust auf der isolirten Belegung gemessen, der sowohl von der Rückstandshildung, wie auch von dem Electricitätsverlust an die Luft berrührt. Der letztere ist aber bei der hohen Ladung der inneren Belegung eine ins Gewicht fallende Fehlerquelle welche sich nur unsicher bestimmen lässt und auch sehr veränderlich ist. Im zweiten Falle wird die Beobachtung infolge der uncontrolirbaren Schwankungen des Potentials der ladenden Batterie unsicher.

Bei der von mir benutzten Versuchsanordnung fällt die letzte Fehlerquelle ganz fort, die erstere ist auf ein Mintmum beschränkt, weil der wieder auftretende Rückstand den Condensator and das Electrometer pur bis zu einem Potential von böchstens 6 Daniell lud, und bei dieser Ladung der Electricitätsverlust an die Luft und durch etwaige mangelhafte Isolation ver-chwindend gering ist. Er betrug bei meinen Versuchen bei 5 Daniell Ladang nach 10 Minuten etwa 1.2 Proc. Allerdings fuhrt die benutzte Versuchsanordnung eine andere Unsicherheit mit sich. Das Electrometer blieb nämlich nach der Entladung des Condensators während der ganzen Zeit, während welcher die Rückstandsbildung beobachtet wurde, mit diesem verbunden, ohne dass der Nullpunkt controlirt wurde. Zahlreiche Messungsreihen mussten auch wegen der Unsicherheit des Nullpunktes verworfen werden. Indessen gelang es, namentlich in den ruhigeren Abendstunden, in denen das Haus und damit das Electrometer nicht den sonst häufigen Erschütterungen ausgrsetzt war. Messungsreihen zu erlangen, bei denen diese L'usicherheit nicht vorhanden war.

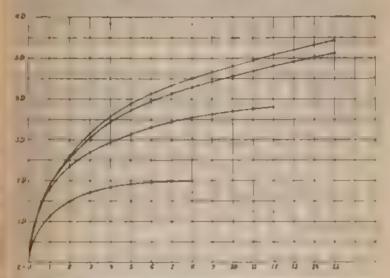
Ich theile im Folgenden vier Beobachtungsreihen mit, welche an derselben Paraftinplatte unmittelbar nacheinander ausgeführt sind. Bei diesen Reihen war die dünnere Paraftinplatte von 1,722 mm Dicke benutzt, der Abstand der beiden Condensatorplatten voneinander 2,646 mm; ihr Durchmesser 148,09 mm. Die Beobachtungsreihen sind angestellt,

nachdem die obere Condensatorplatte, resp. 2 Minuten 10 Minuten, 1 Stunde und 24 Stunden mit dem einen P. einer Batterie von 66 der beschriebenen Daniell'schen Elemente geladen war, deren anderer Pol mit der Erde verbunden war. Die erste Columne enthält die Zeit, gerechnet is Minuten vom Momente der Entladung an, die anderen enthalten das Potential, zu welchem der wieder aufgetreten-Rückstand zu der gegebenen Zeit das aus Electrometer unt oberer Condensatorplatte mit den verbindenden Drähten zu sammengesetzte isolirte System lud, ausgedrückt in der Einheit eines Normaldaniells, welches ich stets zum Vergleict benutzte. Letzteres bestand aus zwei mit gesättigter Zinkresp. Kupfervitriollösung gefüllten Reagensgläschen, in welchbez, amalgamirtes reines Zink und Kupfer eintauchte. De-Verbindung beider Gläschen geschah nur während des Vergleichs mit Hülfe eines U-förmig gebogenen kleinen Cambarrobres, welches mit Wasser gefüllt war. Die Capacität der Electrometers c ist bei jeder Versuchsreihe angegeben, augedrückt in der Einheit der Capacität & des Condensators von den angegebenen Dimensionen. Der Electricitätsverlest an die Luft ist berücksichtigt.

Tabelle I. Ladung 66 Daniell.

	Taben	e r. rangui	z oo Danien.	
t .	I. Ladungszeit 2 Mmuten c = 2,60 k Ruckstand	La langazeit 10 Mmuten e = 2,60 k Ruckstand	III. Lad nigszeit 1 Stun le e = 2,55 k Ruckstand	III Ladungszest 24 Stunden c = 2,424 Ruckstand
1 2	1,23 D. 1,52 ··	1,83 D. 2,37 m	1 95 D. 2.63 "	1,98 D 2,65 m
8 4 5	1,61 ·· 1,79 ·· 1,56 ··	2,66 a 2,30 a 3,09 a	8,41 ··· 9,70 ···	3.12 « 1,56 3,81 »
6	1,92	3,25 m 3,87 m	3.93 ·· 4.15 ··	4,06 #
9 10	2,00 "	3.40 ·· 3.59 ·· 3.68 ··	4,90 ·· 4,45 ·· 4,59 ··	4,46 4,68 4,42
11 12		3 78	4,71 + 4,82 P	4,96 · 5,19 ·
13 14	_		4,92 · 5 02 ·	5,92 5,93
15	-		5,11 -	5,48

Die in dieser Tabelle enthaltenen Zahlen sind in der Figur in der Gestalt von Curven wiedergegeben; die Abscissenaxe gibt die Zeit, die Ordinatenaxe den in der betreffenden Zeit ausgebildeten Rückstand.



Ein Blick auf die Tabelle lehrt, dass, wenn man die Quotienten, aus den zu gleichen Zeiten in zwei Messungsreihen ausgebildeten Rückständen bildet, diese nicht constant sind, oder dass die Curven bei langer Ladungszeit nicht zur Deckung gebracht werden können mit den bei kurzer Ladungszeit erhaltenen durch blosses Verschieben; d. h. der qualitative Verlauf der Rückstandsbildung ist abhängig von der vorangegangenen Ladungszeit.

Beobachtet man jedoch die Rückstandsbildung bei verschiedener Höhe der Ladung, aber gleicher Ladungszeit, so ergibt sich, dass die so erhaltenen Curven einander proportional sind, d. h. der qualitative Verlauf der Rückstandsbildung ist unabhängig von der Grösse der vorhergegangenen Ladung.

Dies sind zwei Satze, die lediglich aus der Erfahrung gefolgert sind, und über die uns die Theorie, zu der wir jetzt übergehen wollen, Aufschluss geben muss. III. Wie schon eingangs erwähnt, soll von derjenigez Behandlungsweise der Theorie der Dielectrica ausgegangen werden, durch welche Poisson das Verhalten magnetischer Körper unter dem Eintlusse magnetischer Kräfte abzuleiten gesucht hat. Diese Theorie der dielectrischen Polarisation ist hinreichend bekannt 1), um ein nur kurzes Auführen der hauptsächlichsten hier in Betracht kommenden Gleichungen zu rechtfertigen.

lch bezeichne mit V das Potential der äusseren Electricität, mit U die Potentialfunction der durch deren Wirkung im Inneren des Dielectricums vertheilten Electricität so sind die in der Volumeneinheit des Dielectricums parakten Axen der xyz erzeugten electrischen Momente:

$$\alpha = -\epsilon \frac{\partial (U+V)}{\partial x}, \quad \beta = -\epsilon \frac{\partial (U+V)}{\partial y}, \quad \gamma = -\frac{\partial (U+V)}{\partial z},$$

wo e eine von der Natur der Substanz abhängige Constante ist. Es ist dann die Potentialfunction des polarisirten Dielectricums:

$$U = \int \left( a \frac{\partial}{\partial x} + \beta \frac{\partial}{\partial y} + \gamma \frac{\partial}{\partial z} \right) dx,$$

wo die Integration auszusühren ist über den ganzen som Dielectricum eingenommenen Raum. Wendet man auf dieses Integral den Green'schen Satz an, so erhält man das Potential U' des polarisirten Dielectricums in Bezug auf einen Busseren Punkt:

$$U = \epsilon \int (U + V) \frac{\epsilon^{-1}}{\delta^{\alpha}} dw,$$

wo die Integration auszuführen ist über die Oberffäche des Dielectricums. Führt man dieses Integral aus für eine Franklin'sche Tafel mit kreisförmigen Belegungen, so erhält man wenn man die Dicke der dielectrischen Schicht als unend-

Vgl Clausius, Mech. Warmetheorie. 2. Abschn III; v Hela holtz. Borchardt's Journ. 72. p. 57. 1870 and ge-sunnelte Aubart lungen; Kirchhoff, Crelle's Journ. 14. p. 848. 1853 and gesummed. Abhandlungen.

<sup>2:</sup> Vgl Clausius, l. c.

lich klein im Vergleich zum Durchmesser der Platte austeht, unter Vernachlassigung unendlich kleiner Glieder, die durch die Polarisirung des Dielectricums hervorgebrachte Potentialdifferenz  $U_1 - U_2$  ausgedrückt durch die Potentialdifferenz  $U_1 - U_2$  der äusseren Electricität durch die Gleichung:

$$U_1 - U_2 = -\frac{4\pi\epsilon}{1 + 4\pi\delta} V_1 - V_2.$$

Ist also ein Condensator in Lust geladen zur Potentialdifferenz  $(V_1 - V_2)$ , also mit einer Electricitätsmenge:

$$Q = k(V_1 - V_2).$$

wo k die Capacität des Condensators bedeutet, und wird nun ein Dielectricum, auf welches sich die Constante a bezieht, zwischen die Platten gebracht, so ist die nun noch auf den Platten bestehende Potentialdifferenz:

$$V_1 - V_2 + U_3 - U_4 = \frac{1}{1 + 4\pi\epsilon} \ell V_4 - V_5^2$$
.

Die Menge der freien Electricitht auf den Platten ist:

$$Q' = k \frac{1}{1 + 4\pi\epsilon} (T_4 - T_2).$$

Es ist also durch die Polarisirung des Dielectricums gebunden die Electricitätsmenge:

$$Q' = Q - Q' = \frac{4\pi\epsilon}{1 + 4\pi\epsilon} Q.$$

Wird der Condensator entladen, während die Polarisirung des Dielectricums noch bestehen bleibt, so wird die Electricitätsmenge Q' fortgenommen, während die Menge Q' noch auf den Platten gebunden bleibt.

Ich nehme an, dass bei den rückstandbildenden Dielectrieis ein Theil jener Polarisirung nach der Entladung noch bestehen bleibt, und bezeichne das Potential des polarisirten Dielectricums mit q. Die Dichtigkeit q der freien Electricität im Inneren des Dielectricums ist dann in bekannter Bezeichnung.

$$v = -\frac{1}{4\pi} J \gamma.$$

Diese Dichtigkeit der geschiedenen Electricität im Innecen des Dielectricums nimmt mit der Zeit ab, weil die aussere Ladung, welche die Polarisation hervorgebracht und aufrecht erhalten hat, nicht mehr vorhanden ist, und es ist diese Abnahme an einem jeden Punkte im Inneren proportional der Strömung. Legen wir die x-Axe des Coordinatersystems senkrecht zu den Platten des Condensators, so findet letztere nur in der Richtung der x-Axe statt, und es ist nach der phoronomischen Gleichung:

$$\begin{array}{ccc} & & & & & & & & & & \\ & & & & & & & \\ & & & & & & \\ & & & & & & \\ & & & & & & \\ & & & & & & \\ & & & & & & \\ & & & & & & \\ & & & & & & \\ & & & & & \\ & & & & & \\ & & & & & \\ & & & & \\ & & & & \\ & & & & \\ & & & \\ & & & \\ & & & \\ & & & \\ & & & \\ & & & \\ & & & \\ & & \\ & & \\ & & \\ & & \\ & & \\ & & \\ & & \\ & & \\ & & \\ & & \\ & & \\ & & \\ & & \\ & & \\ & \\ & & \\ & \\ & \\ & \\ & \\ & \\ & \\ & \\ & \\ & \\ & \\ & \\ & \\ & \\ & \\ & \\ & \\ & \\ & \\ & \\ & \\ & \\ & \\ & \\ & \\ & \\ & \\ & \\ & \\ & \\ & \\ & \\ & \\ & \\ & \\ & \\ & \\ & \\ & \\ & \\ & \\ & \\ & \\ & \\ & \\ & \\ & \\ & \\ & \\ & \\ & \\ & \\ & \\ & \\ & \\ & \\ & \\ & \\ & \\ & \\ & \\ & \\ & \\ & \\ & \\ & \\ & \\ & \\ & \\ & \\ & \\ & \\ & \\ & \\ & \\ & \\ & \\ & \\ & \\ & \\ & \\ & \\ & \\ & \\ & \\ & \\ & \\ & \\ & \\ & \\ & \\ & \\ & \\ & \\ & \\ & \\ & \\ & \\ & \\ & \\ & \\ & \\ & \\ & \\ & \\ & \\ & \\ & \\ & \\ & \\ & \\ & \\ & \\ & \\ & \\ & \\ & \\ & \\ & \\ & \\ & \\ & \\ & \\ & \\ & \\ & \\ & \\ & \\ & \\ & \\ & \\ & \\ & \\ & \\ & \\ & \\ & \\ & \\ & \\ & \\ & \\ & \\ & \\ & \\ & \\ & \\ & \\ & \\ & \\ & \\ & \\ & \\ & \\ & \\ & \\ & \\ & \\ & \\ & \\ & \\ & \\ & \\ & \\ & \\ & \\ & \\ & \\ & \\ & \\ & \\ & \\ & \\ & \\ & \\ & \\ & \\ & \\ & \\ & \\ & \\ & \\ & \\ & \\ & \\ & \\ & \\ & \\ & \\ & \\ & \\ & \\ & \\ & \\ & \\ & \\ & \\ & \\ & \\ & \\ & \\ & \\ & \\ & \\ & \\ & \\ & \\ & \\ & \\ & \\ & \\ & \\ & \\ & \\ & \\ & \\ & \\ & \\ & \\ & \\ & \\ & \\ & \\ & \\ & \\ & \\ & \\ & \\ & \\ & \\ & \\ & \\ & \\ & \\ & \\ & \\ & \\ & \\ & \\ & \\ & \\ & \\ & \\ & \\ & \\ & \\ & \\ & \\ & \\ & \\ & \\ & \\ & \\ & \\ & \\ & \\ & \\ & \\ & \\ & \\ & \\ & \\ & \\ & \\ & \\ & \\ & \\ & \\ & \\ & \\ & \\ & \\ & \\ & \\ & \\ & \\ & \\ & \\ & \\ & \\ & \\ & \\ & \\ & \\ & \\ & \\ & \\ & \\ & \\ & \\ & \\ & \\ & \\ & \\ & \\ & \\ & \\ & \\ & \\ & \\ & \\ & \\ & \\ & \\ & \\ & \\ & \\ & \\ & \\ & \\ & \\ & \\ & \\ & \\ & \\ & \\ & \\ & \\ & \\ & \\ & \\ & \\ & \\ & \\ & \\ & \\ & \\ & \\ & \\ & \\ & \\ & \\ & \\ & \\ & \\ & \\ & \\ & \\ & \\ & \\ & \\ & \\ & \\ & \\ & \\ & \\ & \\ & \\ & \\ & \\ & \\ & \\ & \\ & \\ & \\ & \\ & \\ & \\ & \\ & \\ & \\ & \\ & \\ & \\ & \\ & \\ & \\ & \\ & \\ & \\ & \\ & \\ & \\ & \\ & \\ & \\ & \\ & \\ & \\ & \\ & \\ & \\ & \\ & \\ & \\ & \\ & \\ & \\ & \\ & \\ & \\ & \\ & \\ & \\ & \\ & \\ & \\ & \\ & \\ & \\ & \\ & \\ & \\ & \\ & \\ & \\ & \\ & \\ & \\ & \\ & \\ & \\ & \\ & \\ & \\ & \\ & \\ & \\ & \\ & \\ & \\ & \\ & \\ &$$

wo w die Strömung in Richtung der z-Axe bezeichnet.

Die Strömung w ist nun weiter proportional der an jedem Orte herrschenden electromotorischen Kraft, also proportional mit - ôq ôz. Durch die Abnahme der Polansation der Substanz wird aber auf den Platten des Conden sators ein Theil der dort gebundenen Electricitätsmengwieder frei. Bezeichnen wir mit  $E_{\epsilon}$  die zur Zeit  $\epsilon = 0$  dort gebunden gewesene Electricitätsmenge, mit E die zur Zeit! noch gebundene Menge, so ist E - E die zur Zeit & frei gewordene Electricitätsmenge. Diese frei gewordene Electricitätsmenge. citätsmenge strebt aber in jedem Volumenelemente ein gewisses Moment aufrecht zu erhalten, es ist demnach de Strömungscomponente  $\mu$  proportional  $-\tilde{\sigma}(\phi - \phi') \partial x$ , we q' das Potential der Electricitätsmenge E. - E bedeutet Da nun E, d. i. die zur Zeit t noch gebundene Electricitätsmenge, der noch vorhandenen Polarisation oder der Dichtigo proportional ist, so ist die Strömungscomponente w proportional mit  $-\partial \varphi / \partial z$  und mit  $-\partial \varphi / \partial z$ . Demnach wird

Dieses ist dieselbe Differentialgleichung, zu welcher auch Riemann gelangt, sie ist hier nur aus der Anschauung der dielectrischen Polarisation interpretirt.

Man wird bemerken, dass die abgeleitete Differentisigleichung dieselbe ist, auf welche man in der Theorie der Wärmeleitung unter Berücksichtigung der Strahlung geführt wird. Es ist dies eine bekannte Analogie; die Strahlung wird in unserem Probleme ersetzt durch den Umstand, dass von der auf den Condensatorplatten frei werdende Electricitätsmenge ein Theil der Polarisation im Inneren des Dielectricums aufrecht erhalten wird.

Unsere Differentialgleichung gilt sowohl für das Vergehen, wie auch für das Entstehen der Polarität. Hat nun das Dielectricum vor der Entladung lange Zeit hindurch unter dem Einflusse der äusseren Ladung gestanden, so wird man annehmen können, dass die Polarisirung vollendet sei. also  $\partial \rho \partial t = 0$ . Dann folgt:

$$u^2 \frac{\delta^4 \varrho}{\delta z^3} = \nu \varrho,$$

woraus sich ergibt, dass die Dichtigkeit der freien Electricität im Inneren des Dielectricums länge der x-Axe wie eine Exponentialfunction sich ändert. Es gilt dasselbe also auch für q; demnach haben wir unsere Differentialgleichung, die wir in der Porm;

schreiben wollen, zu lösen unter der Nebenbedingung:

$$(5 \quad t=0 \qquad \qquad q=q_0e^{-ps},$$

wo  $q_0$  das Potential zur Zeit t=0 bedeutet, am Orte s=0, als welchen wir die obere Fläche des Dielectricums annehmen wollen.

Ferner haben wir noch die Nebenbedingung:

$$(6. \quad x = 0) \qquad \qquad \frac{\partial q}{\partial x} = 0$$

zu erfüllen, welche aussagt, dass durch die Oberfläche des Dielectricums, welche bei der benutzten Versuchsanordnung durch eine Luftschicht von der oberen Condensatorplatte getrennt war, Electricität weder ein- noch austritt.

Um die vorliegende Gleichung zu lösen, setzt man 1).

(7) 
$$q = e^{-it} n \text{ and } \frac{\partial u}{\partial t} = \mu^2 \frac{\partial^2 u}{\partial x^2}$$

Die allgemeine Lösung der letzteren Differentialgleichung ist:

1) Fourier. Theorie der Warme, deutsch v. B. Weinstein 1884 § 863 u. S.

8 
$$u = \int_{1/\tau}^{+\infty} \int_{-\infty}^{+\infty} e^{-t^*} dq \cdot F(x + 2qu + t),$$

norin q eine willkurliche Variable und F(x + 2qn)t eine Function bedeutet, die von ihrem Argument ebenso abhängt, wie die Function, welche den Anfangszustand darstellt, von x abhängig ist.

Die allgemeine Lösung 81 haben wir nun so umzeformen, dass den Nebenbedingungen (5) und (6) genügt wird. Um dies zu thun, wollen wir uns das Dielectricum als unendlich ausgedehnt denken, dasselbe sei durchsetzt von einer Ebene am Orte x = 0, welche lange Zeit hindurch vor der Eutladung zu einem gewissen Potential geladen war; wird nun diese Ebene plötzlich entladen, so ist nach Gleichung öder Anfangszustand gegeben durch:

$$t=0 z=0...+\infty F(z'=q_1e^{-pz}, z=0...-\infty F(z'=q_0e^{-pz}, z=0...-\infty)$$

Demnach wird:

$$Fx+2qu(t)=q_0e^{-y(x+2\mu\eta)(t)}q=-\frac{x}{2\mu(t)}\cdots x$$

$$Fx + 2q\mu V t = q_0 e^{+p_0 x + 2\mu q V t} \quad q = -\frac{x}{2\mu V t} \cdots x$$

Führt man diese Ausdrücke in die Gleichung (8) für sein, so wird:

$$n = q_0 \left[ \frac{1}{1} e^{\mu y} \int_{-\infty}^{\infty} e^{-y^2 - 2\mu \mu q y} dq + \frac{1}{1} e^{-y^2} \int_{-\infty}^{+\infty} e^{-q^2 + 2\mu \mu q y} dq \right],$$

oder indem man jedes Integral mit e- \* multiplicirt und dividirt:

$$u = q_{1} \left\{ e^{pz + \mu^{2}p + 1} \int_{0}^{1} e^{-q^{2} - 2\mu p + 1} e^{-\mu^{2}p + 1} dq + e^{-pz + \mu^{2}p + 1} \int_{0}^{1} e^{-q^{2} - 2\mu p + 1} e^{-\mu^{2}p + 1} dq \right\},$$

oder, indem man

$$r = q - up V t$$

$$t = q + up V t$$

setzt:

$$N = q_0 \left\{ e^{px + \mu^* p' + 1} \int_{-r'}^{2} dr + e^{-px + \mu^* p^2 t} \int_{-r'}^{+r} ds \right\}.$$

$$2\mu \gamma + \frac{1}{2\mu \gamma} \int_{-r'}^{2} dr + e^{-px + \mu^* p^2 t} \int_{-r'}^{+r} ds \right\}.$$

$$2\mu \gamma + \frac{1}{2\mu \gamma} \int_{-r'}^{+r} dr + e^{-px + \mu^* p^2 t} \int_{-r'}^{+r} ds ds ds$$

Wenn man in diesem Ausdruck  $\pm x$  in -x (therführt. so indert er sich nicht, d. h. der Ausdruck gilt auch für einen Körper, der sich nach einer Seite hin in die Unendlichkeit orstreckt und an der Grenzlläche x=0 begrenzt ist durch eine Ehene, durch welche Electricität weder ein- noch austritt. Wir haben demnach durch diesen Ausdruck unsere Aufgabe mit den Nebenbedingungen (5) und (6) erfüllt, wenn wir die Dicke der Paraftinplatte als unendlich gross ansehen.

Bilden wir nun den obigen Ausdruck u für den Punkt z= 0, so erhalten wir:

$$n = q^{-\epsilon \rho r p^{2} t} \left\{ \frac{1}{\prod_{r=1}^{n}} \int_{e^{-r}}^{\mu p y-1} dr + \frac{1}{\prod_{r=1}^{n}} \int_{e^{-r}}^{\mu x} ds \right\}.$$

$$\frac{1}{\prod_{r=1}^{\infty}} \int_{e^{-r}}^{x} ds = \frac{1}{\prod_{r=1}^{n}} \int_{e^{-r}}^{x} dr = \frac{1}{3}.$$

Nun ist:

und sehen wir ferner':

$$\int_{V_{n}}^{R} \int_{0}^{R} e^{-rt} dr = m/R$$

als Function der oberen Grenze R an, so folgt:

$$u = q_0 e^{\mu^0 p^0 t} (1 - 2 m_0 \mu p_0)^{\dagger} t).$$

Folglich wird:

$$q = q_0 e^{(\mu^0 p^0 + \nu) t} \left( 1 - 2 \psi \left( \mu p V^{\prime} t \right) \right).$$

Setzen wir noch zur Abkürzung:

$$\mu^2 p^2 - \nu = \beta, \qquad \mu p = \alpha,$$

so folgt:

9) 
$$q = q_0 e^{\beta t} (1 - 2 w (\alpha | \ell)).$$

Wir baben also das Potential des in polarem Zustandbefindlichen Dielectricums in Bezug auf einen Punkt der oberen Grenztläche dargestellt als Function der Zeit. Dieselbe Abhängigkeit von der Zeit hat also auch das Potential des Dielectricums in Bezug auf die obere Condensatorplatte, und demnach ist auf dieser die frei gewordene Electricitätsmenge  $E_o - E$  oder der Rückstand gegeben durch:

$$R = k (\varphi_0 - \varphi) = k \varphi_0 - k \varphi_0 e^{kt} (1 - 2 \psi(\alpha V t)),$$

wobei & die Capacität der oberen Condensatorplatte bedeutet. Folglich muss sich auch das Potential, zu welchem der wieder aufgetretene Rückstand das Electrometer und die obere Condensatorplatte ladet, darstellen lassen in der Form

(1) 
$$P_{t} = P_{0} - P_{0} r^{tt} (1 - 2 \psi(\alpha V t)).$$

IV. Ich wende mich nun zum Vergleich dieses Ausdruckes mit der Erfahrung.

Zur Berechnung der in der Tabelle mitgetheilten Beebachtungsreihen konnten die von Kramp berechneten Tatela für die Function ip benutzt werden. Man hat dann zunächst aus den zu drei verschiedenen Zeiten beobachteten Ruckständen - ich benutzte hierzu stets die zu den Zeiten t = 1, 4, 9 beobachteten Potentiale - die drei Constanten Po, B und a zu bestimmen und mit diesen die übrigen Beobachtungen zu berechnen. Unsere Formel (10) gilt zunachst nur für diejenigen Messungsreihen, bei denen man die Polaristrung des Dielectricums als vollkommen oder doch nahezu vollkommen betrachten kann, also für die nach langer Ladungszeit erhaltenen Beobachtungen. Ich habe sie jed. h auch auf die nach kurzer Ladungszeit beobachtete Ruckstandsbildung angewendet. Auf die angegebene Weise berechnet, ergeben sich die Constanten der vier mitgetheiltes Beobachtungsreihen wie folgt:

#### C. Dieterici.

Tabelle II.

Bec-bachtungsreibe	$P_0$	a	3	$\nu = \alpha^3 - \beta$
von 2 Minuten Ladungszeit	2,10	0,765	0,3966	0,1886
· 10 · · ·	4,40	0,486	0,1718	0,0844
- 1 Stunde	6,00	0,834	0,05572	0,0599
24 Stunden	6,50	0,296	0,03362	0,0540

Um eine Anschauung zu geben, mit welcher Genauigkeit der gefundene Ausdruck die Beobachtung zu berechnen gestattet, sind in der folgenden Tabelle III die Beobachtung und Berechnung zweier Messungereihen, die eine von kurzer, die andere von langer Ladungsdauer, miteinander verglichen. Ich wähle hierzu die erste und dritte Beobachtungsreihe:

Tabelle III.

_							
1	Messungarèthe L			1	Messungsreihe III.		
1	Beobachtet	Berechnet	Differenz	J	Beobuchtet	Berechnet	Differenz
1	1 23 D.	1.23 D.	0.00		1,96 D.	1.96 D.	0.00
2	1,32 %	1,51	-0,01		263	2 62	-0.01
3	1,69 11	1,68 **	0.00		3,07 11	3.07 "	0,00
4	1,79 0	1.79 "	0,00		8 41	3,41	0,00
5	1,96 +	1.66 0	00,00		3.70	3,43 0	-0.01
6	1.92 "	1.02 +	0.00		8.98 -	8,92 -	-0.01
-	1.98 0	1.95 н	-0.01		4,18 ve	4,13 11	0.00
N	2,60	2,00 0	0.00		4,30 m	4,28 /	-0,02
9	_		-		4,45 "	4,45 m	0,00
10		-	_		4,59 9	4,58 11	-0,01
11		_	-		4,71 %	4,71 a	6,00
12		-			4.82	4,81 ++	-0,01
13	-	-	_		4.92 0	4,91 0	-0.01
14					5 02 "	3,00 **	-0.02
15	_	_			5,11 0	5,09 m	- 0.02

Wie man sieht, ist die Uebereinstimmung eine vollkommene. Unsere Formel eignet sich also zur Darstellung des zeitlichen Verlaufes der Rückstandsbildung, sie ergibt ferner, dass der bei gleicher Ladungsdauer, aber verschiedener Grosse der vorangegangenen Ladung ausgebildete Rückstand dieser Ladung proportional ist, du Po derselben proportional ist.

Um den anderen aus der Erfahrung abgeleiteten Satz über den Zusammenhang des qualitativen Verlaufes der Rückstandsbildung mit der vorangegangenen Ladungszeit ab in liebereinstimmung mit unserer Formel zu erkennen, betrachten wir die Werthe, welche die Constante a bei der verschiedenen Messungsreihen hat. Es war nun:

u = up.

u ist nach unseren theoretischen Anschauungen eine Constante der Substanz. Setzen wir also voraus, dass μ bei der verschiedenen Messungsreihen constant sei, so wird μ sich obenso ändern, wie α. also von den Beobachtungen nach kurzer Ladungsdauer zu denen bei langer, vorangegangenei Ladung bin abnehmen, und daraus folgt, dass die Curve-

 $\rho = e^{-\gamma s}$ .

welche die Dichtigkeit der freien Electricität im Inneren der Dielectricums darstellt, bei kurzer vorangegangener Ludungszeit von der Grenztläche an schnell abfällt, während belanger Ladungszeit sie immer flacher wird. Der zweite, etfahrungsmässig gefolgerte Satz findet also aus den verschiedenen Anfangszuständen seine theoretische Erklärung.

Hr. Hopkinson') but zur Berechnung seiner Beobachtungen über die Rückstandsbildung denselben Weg einge schlagen, den Hr. Boltzmann zur theoretischen Erklärung der elastischen Nachwirkung angegeben hat. Boltzmann: nimmt an. dass das Kräftenaar, welches einen tordirte: Draht in seine Gleichgewichtsluge zurückzudrehen strebt nicht nur abhängt von der Grösse des Ablenkungswinkelsondern auch von der Dauer der Ahlenkung, welche der beobachteten elastischen Nachwirkung vorhergeht. licher Weise vorfährt Hopkinson, indem er den electrische: Ruckstand auffasst als bedingt durch die Superposition zweie: Functionen, deren eine abhängt von der Zeit, die seit der der Entladung verflossen ist, während die undere von der vorangegangenen Ladungsdauer abhängt. Das von Her Hopkinson und auch von Hrn. Gieses, angewendet Princip der Superposion ist bei der in dieser Arbeit vor

<sup>1)</sup> Hopkinson, Phil. Trans. Roy. Soc of London. 167, p. 556 18"

<sup>2)</sup> Boltzmann, Wien, Ber, 80, p. 275, 1875.

<sup>3:</sup> Glese, L C.

folgten Auschauung implicite enthalten in der Aenderung der mit n bezeichneten Grösse.

Bei unserer Erklärung des zweiten empirischen Satzes liegt es nahe, die Beobachtungen bei kurzer Ladungszeit zu berechnen unter der Annahme, dass die Dichtigkeit der freien Electricität nur auf der Oberfläche des Dielectricums einen von Null verschiedenen Werth habe. In der That gelingt dies auch; die Formil, zu der man unter dieser Annahme auf dem eingeschlagenen Wege gelangt, ist.

$$P = P_0 - 2P_1 e^{-\epsilon t} \left[ \exp\left(\frac{\epsilon}{2 \int t}\right) - \frac{\int t}{\epsilon \int t} \left(1 - e^{-\frac{\epsilon^t}{4t}}\right) \right].$$

worin e wiederum eine Constante bedeutet. Diese Formel gestattet ebenfalls, die Ruckstandsbeobachtungen zu berechnen bei kurzer vorangegangener Ladung. Die Abweichungen gehen aber über die Beobachtungsfehler hinaus, sobald man sie auf die nach langer Ladungszeit erhaltenen Curven anzuwenden versucht.

Es erübrigt noch ein Wort über die Constanten µ und r. Wenn unsere theoretischen Voraussetzungen sämmtlich richtig wären, so missten diese für sämmtliche Beobachtungen als constant sich ergeben, und es musste gelingen, aus denselben, den Dimensionen des Condensators und den in Betracht kommenden Capacitäten etc. einen Werth für die Dielectricitätsconstante und der Leitungsfähigkeit der Substanz in absolutem Maasssystem abzuleiten.

Wie man aus Tabelle II ersieht, ist r nicht für alle Beobachtungsreiben constant. Der Grund dieser Inconstanz liegt in der vereinsachenden Annahme, die wir gemacht haben, dass wir das Dielectricum als unendlich ausgedehnt betrachtet haben. Führt man die Dieke der dielectrischen Schicht in die Betrachtungen ein, so wird man, ebenso wie beim Durchgang der Warme durch eine planparallele Platte, auf Thetafunctionen geführt. Es ist mir indessen nicht gelungen, die sich so ergebenden Reihen — es sind dies dieselben, zu denen auch Riemann gelangt — in Lebereinstimmung mit der Erfahrung zu bringen.

Phys. Inst. der Univ. Berlin.

## 11. Veber die Quantität electrischer Elementartheilchen; von E. Budde.

Es existirt ein Versuch von Herwig! Größenverhaltnisse electrischer Elementartheilchen zu schätzen; dersellleidet aber an einigen recht willkürlichen Annahmen unausserdem an einer Verwichslung der Begriffe "Masse" un-"Quantität" der Theilchen. Ich glaube, dass man durch folgende einsache Betrachtung zu einem ziemlich sicheren Ergebniss für die Quantität electrischer "Atome" gelangen kann.

In der Welt der ponderablen Massen finden wir, date ein bestimmter Körper, z. B. Kohlenstoff, immer mit einem bestimmten relativen Gewicht, zwölf, in Verbindungen ein geht. Daraus und aus Beobachtungen ähnlichen Charakter an allen anderen Massen schliessen wir: 1) der Kohlenstoff besteht aus Atomen, 2) jedes seiner Atome hat das relative Gewicht zwölf. Wären wir in der Lage, mit einzelnen Atomen zu experimentiren, so würde die Erfahrung sich nicht blos auf das relative Gewicht der Kohlenstoffatome beziehen sondern wir würden sehen, dass Kohlenstoff in alle Verlez dungen mit Multiplen eines bestimmten absoluten Gewicht eingeht; dann würden die beiden obigen Schlüsse sich noch bestimmter gestalten, und das Experiment würde uns direct den absoluten Werth des Atomgewichts von Kohlenstoff ergeben.

Wir legen uns nun die Frage vor: 1) existiren in der Natur discrete Elementartheilehen der Electricität? 2 wegross sind sie? Nach Analogie der eben für den Kohlenstoff gezogenen Schlüsse lässt sich auf diese Frage folgen is antworten: Gibt es in der Natur discrete Elementartheilehen der Electricität, so ist zu erwarten, dass eine absolut bestimmte, sehr kleine Electricitätsmenge in einer grosse: Classe von Processen massgebend auftritt. Zeigt uns du Erfahrung eine solche, so ist jene Electricitätsmenge als dewahrscheinliche Quantität der Electricitätstheilehen anzu-

<sup>1</sup> Herwig, Pogg. Ann. 150, p. 381, 1873

prechen. Das Gebiet, auf dem wir nach den betreffenden Ertahrungen zu suchen haben, ist das derjenigen Processe, in welchen die Electricität mit ponderablen Atomen in Wechnelwirkung steht und das Verhalten dieser ponderablen Atome bestimmt, d. i. das Gebiet der electrolytischen Zersetzungen und Verbindungen.

Da finden wir nun das Faraday'sche Gesetz, welches, auf einzelne Atome bezogen, folgendermassen auszusprechen ist:

Es sei KA ein Electrolyt, der durch den galvanischen Strom in die Theile K und A gespalten wird, von denen jeder die Valenz n besitzt; es sei q die Menge von positiver Electricität, welche mit jedem einzelnen Atome oder Radical iK an die Kathode geht; dann ist qin für alle Körper und für alle Ströme dieselbe, absolut bestimmte Grösse.

Auf Grund des Obigen können wir also sagen: Mit dernelben Wahrscheinlichkeit, womit zwölf das relative Atomgewicht des Kohlenstoffs ist, ist que die absolute Quantität sines electrischen Elementartheilchens.

q n ist leicht zu berechnen. Es sei h die magnetische Intennität desjenigen Stromes, der in der Zeiteinheit ein Milligramm Wasserstoff abscheidet, ch seine Intensität im mechanischen Maass. N die Zahl der Wasserstoffmolecüle im Milligramm; dann enthält das Milligramm 2N Atome, und diese bringen das Quantum ch/2 von positiver Electricität an die Kathode, wobei n=1. Also ist die Quantität, welche einem Atom anhaftet:

$$E = \frac{ch}{4N} .$$

Darin ist angenähert<sup>1</sup>) in mm, mg, sec  $c = 3.10^{11}$ , k = 957, ferner nach der Gastheorie  $N = 14.10^{10}$ . Das gibt:

$$E = 0.000 000 51 \text{ mg}^{-1} \text{ mm}^{-1} \text{ sec}^{-1}$$
.

Dieser Werth ist also die wahrscheinliche "Atomquantität der Electricität". Er kann ein Multiplum derselben hein, aber mit derselben Wahrscheinlichkeit, womit wir C=12

Vgl. G. Wiedemann, Galvanismus 3. p. 450 und O. E. Meyer.
 Kinetische Theorie der Guse, Breslan 1873, p. 234.

und nicht gleich 6 oder 3 setzen, ist E als die Quantit. der electrischen Elementartheilchen selbst anzusprechen. Denz wenn sich die Electricität in kleinere Theile als E zerleget liesse, so ist nicht einzusehen, warum niemals ein derartiger kleinerer Theil in der Erfahrung zum Vorschein kommet sollte.

## III. Zur Theorie der thermoelectrischen Kräfte II: von E. Budde.

Zum Folgenden bitte ich meinen ersten, unter vorstehendem Titel erschienenen Aufsatz<sup>1</sup>) sowie die Abhandlung vor Hrn. F. Kohlrausch "über die Mitführungstheorie der Thermoelectricität"<sup>2</sup>) zu vergleichen.

In meiner ersten Abbandlung ist (Gl. 26) der Nachweit geführt, dass die Mitführungstheorie der Annahme bedart es sei für jeden Leiter:

$$\mathfrak{D}=-cT.$$

wo D die in der Mitführungstheorie auftretende Temperaturfunction des Leiters, — c eine absolute ('onstante, T de absolute Temperatur ist. Ich habe dort diese Gleichung u die Ausdrucksweise der Clausius'schen Contacttheorie über setzt; da lautet sie, wenn α die Temperaturfunction für die-Theorie bezeichnet:

(2) du = odT

und gibt das Integral:

(3) 
$$\alpha = c T + c_o.$$

wo co die Integrationsconstante ist. Aus Gl. (3) habe tu den Schluss gezogen, die Mitführungstheorie sei an die Be-

<sup>1)</sup> Budde, Wied. Ann. 21. p. 277, 1884. Es findet sich p. 287 es störender Druck- oder Schreibschler: Z 14 v. u. lies fk dV statt 1.77 obenso in der darauffolgenden Gleichung. p. 298 Z. 18 v. o. lies sp. derablen" statt pparallelen".

<sup>2)</sup> Kohlrausch, Wied. Ann. 28, p. 477, 1884.

dingung gehunden, dass alle Thermoelemente aus zwei Leitern dem Gesetz von Avenarius gehorchen.

Dieser Schluss ist zwar nicht unrichtig, aber er geht nicht weit genug. Die Integrationsconstante co hat nämlich offenbar für jeden Leiter einen bestimmten Werth, und bei näherer Betrachtung findet man, dass Gl. (1) verlangt, es sei stets co = 0. Daraus ergibt sich, dass die Mitführungstheorie an eine Bedingung geknüpft ist, die zwar mit dem Avenatius'schen Gesetz verträglich, aber weit eingeschränkter ist, als dieses. Man findet dieselbe am einfachsten, wenn man Gl. (1) direct in die Kohlrausch'sche Gleichung für das Thermoelement einführt. Werden zwei Metalle A und B zum Thermoelement verbunden, sind D, und D, ihre Temperaturfunctionen, T, und T, die Temperaturen der Löthstellen, so ist die electromotorische Kraft des Elementes nach der Kohlrausch'schen Theorie:

(4) 
$$E = -\int_{\Gamma_1}^{\Gamma_2} \mathfrak{D}_q dT - \int_{\Gamma_2}^{\Gamma} \mathfrak{D}_q dT.$$

Setzt man darin gemäss (1):

$$\mathfrak{D}_{\sigma} = -aT, \qquad \mathfrak{D}_{\cdot} = -bT.$$

wo a und & Constanten sind, so wird:

(5) 
$$E = \int_{1}^{\tau_1} a T dT + \int_{1}^{\tau_2} b T dT = \frac{1}{4} (a + b) (T_2^2 - T_1^2).$$

Die Mitführungstheorie verlangt also, dass in dem Ausdruck für E nur die Quadrate der Endtemperaturen verkommen. Dies Ergebniss ist nun beim jetzigen Stande der Beobachtung nicht mehr blos unwahrscheinlich, wie das Avenarius'sche Gesetz!), sondern es sieht bestimmt im Widerspruch mit der Erfahrung. Das sieht man ohne alle Rechnung, wie folgt: T, nehme man zum Nullpunkt einer Abscisse, auf welcher die Tomperaturen T, aufgetragen werden, und stelle die zugehörigen E als Ordinaten dar. Dann folgt aus Gl. 5. dass die zweiten Differentialcoefficienten

Vgl übrigens F. Braun, Phil. Mag (5) 19. p. 500 Z. 14 v. a. 1885.

von E stets dasselbe Vorzeichen haben, wie die ersten; e-müssten also für  $T_1 > T_1$  sämmtliche Curven der Abecissez axe ihre convexe Seite zukehren. Ein Blick auf die Restate von Gaugain u. A. zeigt, dass das nicht der Fall ist

Ich glaube hiernach, dass ein näheres Eingehen auf de übrigen von Kohlrausch I. c. berührten Punkte nicht mehr nöthig ist und dass ich bei meinem früheren Schluss, de Mitführungstheorie sei unhaltbar, verbleiben muss.

Als selbständige Theorie, welche von einem Gesichts punkt aus alle Erscheinungen der Thermoelectricität umfasst, kann die Mitführungstheorie nicht bestehen; dann hegt aber auch kein Grund vor, sie neben der Contacttheorie fertzusüthren.

Die Mitführungstheorie erlangte ihre Selbständigken durch die von Kohlrausch gemachte Annahme, die Lothstellen seien unthätig. Wenn man die Formeln, welch-Kohlrausch für die electromotorischen Kräfte gegeben hat auf die Annahme umarbeitet, dass auch die Löthstellen wirksam sind, so erhålt man, wie leicht zu finden, die Theory von W. Thomson. Die "specifische Wärme der Electricität σ dieses Autors ist identisch mit Kohlrausch's D und mat meinem T(da dT). Die Theorie von W. Thomson ut. die von mir erweiterte Clausius'sche Theorie sind aber nu: Ausserlich verschiedene Ausdrücke für eine und dieselbe Sache ihr verschiedenes Aussehen beruht nur darauf, dass in deeinen die Grösse o. in der anderen die Grösse a das Verhalten der Leiter charakterisirt. Die Auswahl zuischer diesen Grössen ist willkürlich; mir scheint aber, dass mein-Darstellung durchsichtiger ist, weil die Gleichartigkeit der an der Lothstelle und der im homogenen Draht auftreten iet Wirkungen bei ihr von vornherein in die Augen fällt.

## IV. Veber eine von Gauss angeregte Ableitung electrodynamischer Punktgesetze; von E. Budde.

§ 1. Historisch-Kritisches. Bekanntlich hat Gauss in einem Briefe an W. Weber vom März 1845 den Gedanken ausgesprochen, man müsse die Zusatzkräfte, durch welche das electrodynamische Punktgesetz sich vom electrostatischen unterscholdet, ableiten "aus der Annahme, dass die electrische Kraftwirkung sich nicht instantan, sondern, ähnlich wie das Licht, in der Zeit fortpflanze." Gauss hat dabei zumächst an das Weber'sche Gesetz gedacht; beim heutigen Stande der Electrodynamik wäre "irgend ein electrodynamisches Punktgesetz" statt "das e. P." zu setzen.

Im Jahre 1868 haben Riemann, Betti, C. Neumann and Laschmidt') sich mit diesem Problem befasst und haben sämmtlich geglaubt, das Weber'sche Gesetz als Ergelmiss ihrer Prämissen zu finden. Die Arbeit von Loschmidt ist jedoch durch eine Kritik C. Neumann's in den Berliner Fortschritten desselben Jahres zu nichte gemacht worden, und gegen die drei anderen Autoren hat Clausius gewichtige Bedenken geltend gemacht. Seine Emwürse gegen Riemann und Betti sind, soviel ich weiss. allgemein angenommen worden; ('. Neumann dagegen hat in einer zweiten Abhandlung erwidert, dass die Clausius'sche Kritik sich nicht an diejenige Vorstellung von der Fortpflanzung des Potentials halte, welche Neumann selbst gegeben hat, dass sie also nicht zutrifft. Man kann diese Replik gelten lassen. Neumann hat daraufhin 1 c. seine Ableitung aufrecht erhalten, und andere Schriftsteller, z. B. Zöllner und Maxwell (Schlusscapitel des Treatise) haben dieselbe als zu Rechte bestehend anerkannt.

Die möglichen Einwände sind aber mit dem von Clausius vorgebrachten nicht erschöpft; Neumann's Ableitung

<sup>1)</sup> Berl Ber 1868, p 476 bis 486 enthalten alle hierber gehörigen Literaturuschweise

enthält verschiedene Mängel, von denen einer das Ergebnieganz evident zwerfelhaft macht. Die Originalschrift and Principien der Electrodynamike, in welcher Hr. Neumann seine Rechnung medergelegt hat, ist mir nicht zugänglich aber das Reterat in den Berliner Berichten von 1868 ist von ihm selbst gezeichnet, also zuverlässig. Nach diesem Referst beweist Hr. Neumann zuerst den Satz: "Kräfte, für welchdas Weber'sche Gesetz gilt, unterhegen dem Humiltenschen Princip," Später fasst er das Newton'sche Potentia. welches zwischen zwei Theilchen m und m' vorhanden ist als einen Betehl, der etwa von m gegeben und von m' rec. pirt wird. Dieser Befehl soll einer gewissen Zeit At bedurfen, um sich von m nach m fortzuptlanzen, und zwar so er sich fortpflanzen auf einem Radiusvector, der sich mit zugleich im Raume bewegt. Zur Zeit to gegeben, hat daze der Befehl die Strecke r, vor sich, welche, auf dem beweglichen Radiusvector gemessen, den Abstand zwischen m ut. m, zur Zeit to darstellt; der Befehl wird nun nach diesem Abstand abgemessen, d. h. er lautet mm ra; bezeichnet r cet Abstand zur Zeit to + At, so ist in erster Annäherung  $r_0 = r + (dr dt) dt$  and, wenn die Fortpflanzungsgeschwingig keit der Action mit e bezeichnet wird, so ist die Strecke. welche der Befehl in der Zeit At zurückzulegen hat, vermoge der Beweglichkeit des Radius r = cAL Aus dieset Annahmen berechnet nun der Verfasser, dass das Potentia. von m auf m ausgedrückt wird durch:

In dieser Gleichung ist w die dem Weber'schon Gesetz entsprechende Potentialgrösse, und:

$$w = m m' \left( \frac{\log r}{\epsilon} - \frac{1}{2\epsilon^2} \frac{dr}{r} \right).$$

Auf die erste dieser Gleichungen wendet nun Hr Neumann das Hamilton'sche Princip an und folgest aus ihm, dass das Glied dw dt ohne Bedeutung ist. In dieser Anwendung des Hamilton'schen Princips liegt em Fehler; denn nach Hrn. Neumann's eigenem Beweis gil das Hamilton'sche Princip erst dann, wenn schon nachgewiesen ist, dass die fraglichen Kräfte dem Weber'schen Gesetz unterliegen; also darf es nicht eher auf unsere Gleichung angewendet werden, als bis — unabhängig vom Hamilton'schen Princip — der Beweis gegeben ist, dass jene Gleichung sich mit dem Weber'schen Gesetz verträgt, oder aber, es muss — unabhängig vom Weber'schen Gesetz — der directe Nachweis geliefert sein, dass die Neumann'schen Grundanschauungen sich mit dem Hamilton'schen Princip vertragen. So lange dieser Beweis nicht erbracht ist, muss das Resultat der Rechnung zweifelhaft bleiben. Ich gehe auf den Punkt nicht näher ein, weil aus dem Referat der Berliner Fortschritte über die Art, wie das Hamilton'sche Princip angewendet wurde, nichts näheres zu ersehen ist.

Wenn man nun aber auch annimmt, Hrn. Neumann's Rechnung sei von diesem Einwurf befreit, so bleibt doch gegen seine Grundanschauungen selbst noch manches einzuwenden. Schon die Hypothese, dass der von mausgehende Appell sich auf einem Rudiusvector fortpflanzt, welcher sich zugleich mit m im Raume fortbewegt, durfte Anstoss erregen. Sie ist indessen nicht so bedenklich, wie sie aussieht: in 5 5 der folgenden Untersuchung wird sich nebenher ergeben. dass the eine emfache physikalische Deutung unterlegt werden kann, wenigstens wenn m keine Beschleunigung hat. Für ganz unzulässig aber halte ich die Punkte der Neumann'schen Grundlagen, nämlich erstens die Annahme, dass der Punkt m zur Zeit & Kenntniss von dem Ort habe, den m zur gleichen Zeit to einnimmt, zweitens die Annahme, dass m seine Emission überhaupt nach einer derartigen Kenntniss einrichtet, drittens die Annahme, dass die von m' recipirte Grösse em Potential sei. 1) Neumann nimmt an, zur Zeit to emittire m einen Besehl mit Rücksicht auf die zur Zeit & vorhandene Entfernung ra. Zur Zeit to hat aber m seine letzte Nachricht über den Ort von m' nicht aus der Entfernung ro bekommen, sondern aus einer anderen Entfernung; denn zur Zeit to langen bei m erst die Wirkungen an, welche zu einer früheren Zeit to - At' von m ausgegangen sind. Consequen-

terweise musste also m seinen Appell nach dieser Entfernung ro - dro beziffera. 2) Wie soli überhaupt in dazu kommen einen abgemessenen Befehl zu emittiren? In der reales Welt steht jedes m mit unzählig vielen m in Wechselwirkung für alle diese m' richtig abgemessene Befehle auszusenden. ist eine Thätigkeit, die von den Leistungen einer unendlichen Intelligenz nicht wohl unterschieden werden kann. 3. Die Wirkung von in auf in tritt schliesslich sichtbar als Beschleunigung von m. resp. als Beschleunigung der ponderablen Massen, mit denen m in Verhindung steht, zu Tage. Beschleunigung ist aber eine wesentlich gerichtete Quantität, ist ein Vector. Potentiale dagegen sind richtungslosescalare Quantităten; nebmen wir also an, m' recipire em Potential, so bleibt unerklärt, woher die an m zu Tage tretende Wirkung ihre Richtung nimmt. Also ist die Annahme, das Recipirte sei eine Grosse von der Dimension Potential, überhaupt ungenügend.

Hiernach geho ich dazu über, das Gauss'sche Problem auf einem anderen Wege in Angriff zu nehmen.

§ 2. Die allgemeinen Grundlagen. a. Wir untersuchen die Wirkung eines electrischen Punktes e auf einen zweiten a'; die Buchstaben a und a' sollen die Individuen. nicht eine messbare Eigenschaft derselben bezeichnen. Das Wort "Punkte" brauchen wir in abgekurzter Redeweise, ohne damit sagen zu wollen, dass e und e keine Ausdehnung haben; sie sollen nur so beschaffen sein, dass thre etwargen Dimensionen nicht direct in den Formeln auftreten; denkt man sie z. B. als Kugeln oder als schnell um schnell varnrende Axen) rotirende Corpuscula, so soll es möglich sein. ihre gegenseitige Relation durch ihre Mittelpunkte auszudrücken; unter der Entfernung des einen vom anderen ist dann der Abstand ihrer Mittelpunkte zu verstehen. Jedenfalls denken wir uns s und s' isotrop, d. h. in der Ruhe nach allen Richtungen gleichwirkend; die Erfahrung gibt in keinen Anhalt für das Gegentheil.

b) Die Wirkung von a auf e' soll sich in der Zeit vom ersten zum zweiten Punkt fortptlanzen. Damit ist nuch gesagt, dass sie durch ein stoftliches Medium vermittelt wird denn ohne einen Träger kann sich nichts fortpflanzen. Die Gauss'sche Aufgabe, vollständig gefasst, hat also von vornherein die Existenz eines kraftvermittelnden Mediums zur Voraussetzung.

- c) Von den Beziehungen dieses Mediums zu a kann man sich von vornherein zwei auf den ersten Blick entgegengesetzte Vorstellungen machen. Namlich: 1) das Medium ist unabhängig von a gegeben, a schwimmt darin etwa so, wie wir uns vorstellen, dass ein leuchtendes ponderables Molecul im Lichtäther schwimmt. 2) & solbst strahlt den stofflichen Trager aus, durch welchen seine Einwirkung auf e ubertragen wird. Im letzteren Fall ist aber klar, dass e eine solche Strahlung nicht ohne Ersatz ins Unendliche leisten kann. Der Ersatz kommt nun offenbar daher, dass die unzählig vielen Punkte s', welche ausser e im Universum existiren, dem & ihre eigenen Kraftträger zurücksenden. Dann aber bilden die vereinigten Ausstrahlungen jener unzähltg violen Punkte dem a gegenüber wieder ein unabhangiges Medium, in welchem a schwimmt, und mit welchem e durch stationären Austausch von Kraftträgern in Wechselwirkung tritt. Also ist die zweite Annahme doch nur ein Specialiall der ersten, und wir können iedenfalls das e in einem allverbreiteten Medium schwimmend denken.
- d) Alle Krafte, die zwischen e und e nuftreten, hüngen dann ab von den Beziehungen jedes einzelnen Punktes zu dem Medium. Um diese Beziehungen einfach und in Uebereinstummung mit der Erfahrung tormuliren zu können, machen wir folgende Annahmen: 1) das Medium ist homogen, (sonst würden zwei Punkte unter übrigens gleichen Umständen an verschiedenen Stellen des Universums verschieden aufeinander wirken); 2) es ist isotrop (sonst würde die Einwirkung zweier ruhenden Punkte aufeinander von der Richtung ihres Abstandes abhängen); 3) locale Strömungen des Mediums in dem untersuchten Bereich sind ausgeschlossen; entweder das Medium stromt als ganzes gleichmässig, oder es ist in Ruhe, wenigstens in dem Sinne, wie ein "ruhendes" Gas in Ruhe ist, d. h. die mittlere Resultante aller im Laufe einer messbaren Zeit an einer bestimmten Stelle vorkommenden

Geschwindigkeiten ist Null. Die zu verwendenden Coordinstensysteme sollen dann relativ zu dem Medium in Rube sein, die Geschwindigkeiten etc., welche wir mit Hülfe der Coordinatensysteme bestimmen, sind also Geschwindigkeiten etc. relativ gegen das Medium. Es ist klar, dass die Einwirkung, welche das Verhältniss von zu dem Medium durch die Bewegung von z erleidet, auf diesen relativ zum Medium bestimmten Größen berühen muss.

- e Nimmt man überhaupt an, dass die Fortpitanzung der Krattwirkungen Zeit erfordert, so ist leicht zu zeigen, dass die bestehenden electrodynamischen Punktgesetze nicht ganz streng, sondern blos in weit gehender Annäherung richtig sind. Ihre Gültigkeit beruht auf der Voraussetzung, dass in der Zeit, in welcher die Kraftwirkung sich von nach e fortpitanzt, der Punkt e selbst nur eine kleine Strecke zurücklegt, deren vierte Potenz gegen re vernachlassigt werden kann. Auch wir nehmen diese Voraussetzung an.
- f) Die Hypothese des kraftvermittelnden Mediums involvirt von selbst die Annahme, dass die Einwirkung von auf e aus drei Acten besteht, nämlich:
- 1) Emission; 4 tritt mit dem Medium in Wechselwirkung und erzeugt in ihm einen besonderen, auf e bezüglichen Zustand.
- 2) Fortpflanzung; dieser Zustand verbreitet sich von der Stelle, wo ε sich gerade befand, über das ganze Medium, wobei er möglicherweise durch die Fortpflanzung selbst abgeschwächt wird.
- 3) Reception; das Medium verpflanzt den genannten Zustand u. a. auch an die Stelle z'y z, wo sich der Punkt e befindet. Dieser steht hier mit dem Medium in Wechselwirkung und entnimmt demselben einen auf z bezüglichen Impuls, der von der Intensität des auf z bezüglichen Zustandes an der Stelle z y z abhängt.
- g) Wir haben nun zunächst die Frage zu entscheiden welche Dimension hat der recipirte Impuls? Die Antwort lautet unbedenklich: er hat die Dimension "(bewegende Kraft". Denn er muss, wie aus den am Schluss von § 1 gemachten Bemerkungen hervorgeht, gerichtet sein. Es kom-

men also für ihn die Vectoren: treschwindigkeit, Quantität der Bewegung. Beschleunigung. Kraft in Betracht. Von allen diesen Grössen hat aber nur eine die Eigenschaft, dass sie sich vollständig durch die Coordinaten. Geschwindigkeiten etc. von a und a ausdrücken lässt, das ist die Kraft; die übrigen hängen theils von der Zeit, theils von der mit a verbundenen ponderablen Masse ab. Also ist in f) Nr. 3 statt des unbestimmten Wortes Impuls das bestimmte Wort, Kraft einzusetzen.

- h) Hätten wir eine bestimmte Vorstellung von dem Vorgang der Emission und der Reception, so würde die Fortprianzung sich wohl leicht behandeln lassen, und unsere Aufgabe ware rein deductiv zu losen. Davon sind wir aber so weit entfernt, dass wir nicht einmal für den einfachen Fall zweier ruhenden Punkte über die Art der Wechselwirkung zwischen ihnen und dem Medium etwas angeben können-Es bleibt also nichts übrig, als das Problem inductiv zu fassen und die Fragestellung zunächst so einzurichten: Welche Annahmen über Emission, Fortntlanzung und Reception sind erforderlich, wenn überhaupt eine mit den Principien der Mechanik und mit der Erfahrung verträgliche Wirkung zwischen e und e herauskommen soll? Da bietet sich nun vorerst eine Annahme dar, die mehr oder weniger deutlich in den Arbeiten meiner Vorgänger eine Rolle spielt, und deren Ergebnisse eben durch ihre offenbare Unzulässigkeit Werth als Fingerzeige bekommen. Dieselbe soll ietzt an einem Specialfall behandelt werden.
- § 3. Die blosse Verspätung. Nehmen wir an, dass der gleichförmig bewegte Punkt e, der zur Zeit e an der Stelle xyz steht, das Medium an dieser Stelle gerade so beeinflusse, wie derselbe Punkt es thun würde, wenn er an derselben Stelle ruhte, nehmen wir ferner an, dass die Fortphanzung des in xyz erzeugten Zustandes für das bewegte e gerade so vor sich gehe, wie sie für das ruhende, so bleibt von der Bewegung von e blos eine Einwirkung übrig, die wir kurz als die "Verspätung der Kraft" bezeichnen können. e und e seien relativ zu einander in Ruhe, sollen aber beide die constante Geschwindigkeit r besitzen. Zur Zeit e habe

s den Ort E. e' den Ort E' inne. Die Einwirkung von s. welche zur Zeit t bei E' anlangt, ist dann nicht von E.



Fig. 1.

sondern von einem anderen Punkt D ausgegangen; dort befand sich e zur Zeit  $t-\Delta t$ , wenn  $\Delta t$  die Zeit ist, deren jene Einwirkung bedurfte, um den Radiuvector  $\rho'$  zu durchlaufen. Offenbar ist  $DE=v\Delta t$ , und wenn wir die nächstliegende Annahme machen, dass die Portpflanzung des von e ausgehenden Zustandes mit der constanten Geschwindigkeit c erfolge, so ist  $\Delta t=\rho'$  c. Dus Entsprechende gilt für a': dieser Punkt wirkt auf a zur Zeit t von der Stelle D aus, wenn  $DE'=v\Delta't$  und  $\Delta't=ac$ 

Ist also keiner der drei massgebenden Acte durch die Bewegung verändert, so bleibt blos der Umstand übrig, dass e zur Zeit e so angezogen wird, als ob e' in D' stände, und e so, als ob e in D befindlich wäre. Die beiden auf e' und e wirkenden Kräfte sind also, wenn e und e die Quantitäten der Punkte:

$$K = \frac{e \sigma}{\varrho^{-1}}$$
 in der Richtung von  $\varrho$ ,  $K = \frac{e \sigma}{\varrho^{-1}}$  in der Richtung von  $\varrho$ .

Bezeichnen wir mit r den Abstand EE, so berechnet sich aus den obigen Bedingungen leicht:

$$e' = \frac{r}{c^2 - v^2} c \left\{ \sqrt{c^2 - v^2 + (v \cos \gamma)^2} + v \cos \gamma \right\}$$

$$e = \frac{r}{c^2 - v^2} c \left\{ \sqrt{c^2 - v^2 + (v \cos \gamma)^2} - v \cos \gamma \right\}.$$

wo y der Winkel zwischen v und r ist. Mit Weglassung höherer Potenzen von r c wird daraus:

$$\varrho' = r \left( 1 + \frac{\sigma}{c} \cos \gamma \right), \qquad \varrho = r \left( 1 - \frac{c}{\sigma} \cos \gamma \right).$$

Nimmt man nun r zur z-Axe und legt senkrecht dazu zwei Axen der z und y, so erhält man für die drei Componenten der Kräfte K' und K bei entsprechender Markirung

$$X = \frac{ee}{\varphi^{3}} \frac{e}{e} \cos \alpha, \quad Y = \frac{ee}{\varphi^{3}} \frac{e}{e} \cos \beta, \quad Z = \frac{ee}{\varphi^{3}} \left( \frac{e}{\varphi} + \frac{e}{e} \cos \gamma \right).$$

$$X = \frac{ee}{\varphi^{3}} \frac{e}{e} \cos \alpha, \quad Y = \frac{ee}{\varphi^{3}} \left( \frac{e}{\varphi} + \frac{e}{e} \cos \gamma \right).$$

wo  $\alpha\beta\gamma$  die Winkel von v mit den Axen. Befestigen wir also beide Punkte aneinander, so wirkt auf das System  $\epsilon + \epsilon'$  blos vermöge der Verspätung der Kräfte eine Resultante, deren Componenten sind X+X', Y+Y', Z+Z', oder mit gleicher Annäherung wie oben:

$$ee'\frac{2e}{cr^2}\cos\alpha$$
,  $ee'\frac{2e}{er^2}\cos\beta$ ,  $-ee'\frac{4e}{cr^2}\cos\gamma$ .

Also "zwei absolut bewegte, relativ ruhende Punkte besitzen durch ihre blosse gegenseitige Einwirkung eine endliche Beschleunigung von der Ordnung ce'v curt", wo u ihre Masse bezeichnet. Das leuchtet auch aus dem Anblick der Fig. 1 sofort ein, wenn man sich die an e und e' wirkenden Kräfte in Componenten nach r und senkrecht zu r zerlegt denkt. Dies Ergebniss ist nun vollkommen unzulässig. Wendet man es auf einen irdischen Körper an, der eine continuirliche Flächenladung besitzt, so findet man, dass die Theilchen, welche seine electrische Ladung ausmachen, einander vermöge der Bewegung der Erde im Raume eine unendlich grosse Beschleunigung ertheilen. Aber man kann von aller Anwendung absehen: die hier berechneten Kräfte machen das Galilei'sche Trägheitsprincip, welches doch im Falle eines kraftvermittelnden Mediums einen ganz bestimmten Sinn hat, hinfällig; sie würden also auch die Definition des Begriffes Kraft hinfüllig machen; d. h. sie können nicht existiren. Ich ziehe also unbedenklich den Schluss:

Die blosse Verspätung der Kräfte ist nicht nur nicht hinreichend, um die Eigenthümlichkeiten der electrodynamischen Wirkungen zu erklären, sondern sie bringt sogar in die gegenseitige Einwirkung zweier Punkte z und z' ein ganz unzulässiges Element, welches nothwendig durch andere, aus der Bewegung hervorgehende Einflüsse aufgehoben werden muss.

Es ist also unbedingt die Annahme erforderlich, dass die Bewegung von e und e' einen Einfluss auf die drei Acte Emission, Fortpflanzung und Reception habe, und wir werden für diesen Einfluss die Bedingung vorschreiben, er müse so beschaften sein, dass das Galifei'sche Princip für zwei relativ ruhende Punkte nicht in Frage gestellt wird.

\$ 4. Zwei ruhende Pankte. Wir massen nun versuchen, von den drei Acten eine etwas nähere Vorstellung zu gewinnen. Das thun wir zunächst unter der Annahme, aund a seien in Ruhe. Der Zustand, den a rings um sier her in dem Medium bildet, wird charakterisirt sein durch eine Grösse Ω, die wegen der Isotropie nur eine Function des Abstandes von a sein kann, übrigens aber individuelle Constanten von a enthält. Wir werden also schreiben können (1)

wenn r der Abstand von einst. An der Stelle von einfür welche r = r, wird 32 einen bestimmten Werth 32 haben, den wuerhalten, wenn wir in f(r) den Werth r für r einsetzen Aus diesem 32 entnimmt nun eine Krast K. und

 $K = q \Omega .$ 

wo q das Symbol einer unbekannten Function ist, von der wir aber aussagen, dass sie ausserhalb & keine Größen enthält, zu deren Bestimmung die Kenntniss von a selbst erforderlich ist; denn die Operation q geht ja aus der Wechselwirkung zwischen a und dem mit & belasteten Medium hervor, kann also nur durch das Verhältniss von zu dem Medium bestimmt sein. Die Erfahrung lehrt nur dass:

(9) 
$$K' = \frac{\text{count.}}{n-1}.$$

und dieser Gleichung können wir durch zwei sehr einfache Functionsformen für f und q Genüge thun. Wir setzen

(4) 
$$\begin{cases} \Omega = \frac{a}{r} \\ K' = -b \frac{d \Omega}{d r} \end{cases} \text{ oder } (5) \qquad K = b \Omega'.$$

wo in beiden Fallen a eine Constante von e, h eine selche von e 1st. Setzen wir e quantitätsgleich e. so ist lad die

Quantität c. Zu dem System der Gleichungen (4) ist zunächst Folgendes zu bemerken: die Operation der sicht
auf den ersten Blick so aus, als sei in ihrer Ausführung die
Kenntniss des Radius r., also einer auf a bezüglichen Grösse
enthalten; das ist aber nur scheinbar der Fall, die der ist
einfach das Maximalgefälle von it, und das ist eine Grösse,
die sich an der Stelle s ganz unabhängig von aller Kenntniss des Ortes s bestimmen lässt, denn:

$$\binom{d\,\mathcal{S}\ell}{\ell\,r}^2 = \binom{d\,\mathcal{S}\ell}{d\,x}^2 + \, \binom{d\,\mathcal{S}\ell}{d\,y}^2 + \binom{d\,\mathcal{Q}}{d\,z}^2 \cdot$$

Also lässt sich d32' dr durch drei Operationen bestimmen, in denen ausser 32 blos die Coordinaten von a' vorkommen. Die Gleichungen (4) können wir hiernach sinngetreuer formuliren, wenn wir sie schreiben:

$$\Omega = \frac{d}{r}, \qquad K' = -b \frac{d\Omega}{dm},$$

wo nunmehr d dm die Differentiation nach der Richtung des Muximalgefälles bezeichnet.

Die Systeme  $(4_b)$  und (5) sind die eintachsten unter den möglichen, welche Gl. (3) befriedigen. Uebrigens ist die Auswahl unter ihnen vorläufig wilkürlich, wir könnten ihre Anzahl noch vermehren, ohne damit etwas Neues zu erzielen. Denn, wenn  $\Omega_1 = f_1(r)$  eine bestimmte, für unseren Zweck brauchbare Functionsform ist, zu der als zweite Operation  $\varphi_1$  gehört, so können wir wilkürlich eine zweite Function  $\Omega_2 = f_1(\Omega_1)$  bilden; ist dann  $F_2$  die inverse Function von  $f_2$ , and setzen wir  $\varphi_2(1) = \varphi_1(F_2(1))$ , so ist  $\varphi_2(\Omega_2)$  offenbar identisch mit  $\varphi_1(\Omega_1)$ . Diese Wilkür bleibt aber nur so lange bestehen, wie die Richtungen m und r zusammenfallen; wenn dus sich im Fall der Bewegung von s ändern sollte, würden wir uns für eins der Systeme  $(4_b)$  und (5) entscheiden müssen.

Den Constanten a und b lässt sich nun eine Deutung geben, die sich in einfacher Weise an den Begriff der Fortptianzung anschließt. Wir wollen annehmen, e sende jederzeit nach allen Richtungen N "Strahlen" aus. Die Naturdieser Strahlen lassen wir unerörtert; das Wort Strahl mag als bildliche Bezeichnung für einen unbekannten stationären

Vorgang gelten, der von e aus in dem Medium inducirt wird N sei so gross, dass es praktisch als unendlich gross behandelt werden kann. Die Strahlen seien rings um des Mittelpunkt a ganz gleichmässig im Raume vertheilt, und jeder einzelne habe eine gewisse Fortpflanzungsgeschwindigkeit, die wir im allgemeinen mit dS dt bezeichnen. Im Falder Ruhe soll d'S dt eine absolute, sehr grosse Constante c sein. Jeder Strahl führe eine gewisse Wirkungsfähigkeit mit sich, die e heisse. In der Entfernung r treffen die N Strablen auf eine Kugeltläche von der Grösse 4 mr2, ihre numerische Flächendichtigkeit, d. h. die Anzahl von Strablen. welche auf die Flächeneinheit trifft, ist also N 4 xr2. Day Product "Flächendichtigkeit mal Wirkungsfähigkeit des einzelnen Strahls", wolches wir kurz die "Wirkungsdichtigkeit" pennen können, ist also Ne  $4\pi r^2$ . Setzen wir Ne  $4\pi = a$ . Se ist damit für a eine ganz bestimmte Bedeutung gewonnen:

a ist die Wirkungsdichtigkeit von ein der Entfernung l. Ebenso einfache Bedeutungen haben die beiden \$2;

a r1 ist die Wirkungsdichtigkeit in der Entfernung r.

a,r ist der mit einer (hier keiner näheren Bestimmung bedürftigen) Constante multiplicirte mittlere Abstand einer Strahls von seinen nächsten Nachbarn. (wegen r=1)  $r^2$ ,

Die Reception wird nun unter allen Umständen bestimmt sein 1) durch den Bruchtheil e' von der Wirkungsfähigkeit des einzelnen Strahles, der bei ihr in Kraft umgesetzt wird. 2) durch eine zweite Constante n', die angibt, auf welchen Bruchtheil der Flächeneinheit sich die receptive Thatigkeit von e' erstreckt. Wir können also b=n'. e' setzen. Diese Grössen, sowie die Constanten  $\Lambda'$  und e, wollen wir jetzt in die Gleichungen  $(4_b)$  und (5) einsetzen; dabei wollen wir aber nun nicht mehr in beiden dasselbe Zeichen M' führen wondern, um Verwechslungen zu vermeiden, dem M' in jeder der beiden eine besondere Bezeichnung geben; in der ersten soll es M', in der zweiten M' heissen. Dann ist:

$$\begin{cases} V = \frac{N\epsilon}{4\pi r} \\ K = -n'\epsilon \frac{dT}{d\pi}, & \text{oder aber} \quad (5_{\bullet}) \end{cases} \quad W = \frac{N\epsilon}{4\pi r^{5}} \\ K = n \epsilon' W$$

der symbolische Ausdruck für die Vorgänge, durch welche die Kraft K' entstehen kann, in einfachster Form.

Ueber die Natur der Constanten e und e' sind wir nicht im Stande, etwas Näheres auszusagen; der Vorgang, durch den sie in die Ausdrücke kommen, bleibt im Dunkeln. Dagegen können wir über das Auftreten von N, n und von r im Nenner Rechenschaft geben, und mit den dadurch gewonnenen Mitteln wenden wir uns nun zu dem

Fall zweier gleichförmig bewegten Punkte.

§ 5. Fortpflanzungsänderung und Strahlenvertheilung. s habe die Geschwindigkeit v, welche in die Componenten dr, dt u. s. w. zerfällt, s' habe v'; die Beschleunigung beider Punkte sei Null. Wir nehmen an, die Bewegung von s habe einen Einfluss auf die Fortpflanzung der von s ausgehenden Strahlen. Dieser Einfluss kann nicht wohl etwas anderes treffen, als die Fortpflanzungsgeschwindigkeit dS dt, die hiernach Function von wird. Wir werden demnach setzen:

(6) 
$$\frac{dS}{d\ell} = f(c, v),$$

Soll die Gleichung homogen werden, so ist keine andere einfache, Form derselben möglich, als:

$$\frac{dS}{dt} = c + + gv.$$

wo g eine Constante, und wo das doppelte Pluszeichen andeuten soll, dass wir noch zu entscheiden haben, ob wir ge geometrisch oder algebraisch zu c addiren wollen. Die geometrische Addition entspricht offenbar besser dem allgemeinen Begriff, den wir von der Einwirkung einer gerichteten Grösse auf eine andere ihresgleichen haben; wir wählen also das geometrische Plus, welches nunmehr durch ++ bezeichnet sei. Ferner bemerke ich vorgreifend, dass, wenn man die Rechnung mit der unbestimmten Constante g durchführt, man schliesslich genöthigt wird, g = 1 zu setzen. Die Daretellung wird aber wesentlich vereinfacht, wenn das sofort geschieht. Wir nehmen also an: "Die Fortpflanzungsgeschwindigkeit eines Strahls, der vom bewegten e ausgeht, ist

590

die Resultante aus der Geschwindigkeit e, welche der gleiche Strahl bei ruhendem a haben würde, und aus e." Oder, wenn wir e in drei Componenten e, e, e, zerlegen, so and die Componenten von dS dt:

$$c_x + \frac{dx}{dt}$$
,  $c_y + \frac{dy}{dt}$ ,  $c_x + \frac{dz}{dt}$ 

Diese Annahme macht offenbar die Vertheilung der Strahlen von e abhängig, aber so, dass alle Zustände der Strahlung rings um e gleichmässig vertheilt sind: irgend eine Fläche gleichen Zustandes (Niveaudläche) ist eine Rotationstläche, deren Axe der an angehestete, passend verlängerte Vector e bildet. Deshalb genügt es, wenn wird durch a, e und a eine Ebene legen und die Zustände in dieser Ebene betrachten.

a, In Fig. 2 sei E der Ort von e zur Zeit e, E der



von  $\ell$  zu derselben Zeit, D sei der Ort, an dem sich  $\epsilon$  befand, als der Strahl  $\varrho$  von ihm ausging, der zur Zent  $\ell$  in E anlangt,  $\Delta \ell$  die Zeit, welche dieser Strahl gebraucht hat, um von D nach E zu gehen, FE gleich und parallel DE, und EE=r. Dann ist  $DE=r\Delta \ell$ , und wenn dS  $d\ell$  aus den beiden Componenten c und r besteht so ist auch  $\varrho$  aus den beiden Componenten c  $\Delta \ell$  und r  $\Delta \ell$  zusammengesetzt. Von diesen ist DE die eine, also r die andere. Demnach ist:

r = eAt,

d. h. der Strahl des bewegten e legt den Weg von D nach E' in derselben Zeit zurück, in welcher der Strahl des ruhenden e von E nach E' gehen würde.

b) Wir fragen nun nach der Flächendichtigkeit der Strahlen in E. Bei ruhendem a würden die von D ausgegangenen Strahlen in E die Dichtigkeit N. 4 x p² haben. Nut ist aber irgend ein Strahl, der jetzt durch E' geht, durch der Eintiuss von e aus der Richtung DF in die Richtung DE gebracht worden. Dieso Verschiebung hat offenbar keines

Eintluss auf die Vertheilung der Strahlen längs einer Richtung, welche in der Nachbarschaft von E' senkrecht auf der Ebene FE'E steht, wohl aber einen solchen auf die Vertheilung längs der Richtung FE', und dieser Eintluss ist derselbe für alle Ranmelemente von gleicher Grösse, die durch zwei sich in DE schneidende Ebenen begrenzt werden. Es genügt also wieder, ihn in unserer Ebene zu betrachten.

Fig. 3. D sei wieder der Punkt, in dem sich & zur Zeit t - At befand. Wäre & damals in Ruhe gewesen, so würde

es irgend einen Strahl nach der Richtung DF ausgesandt haben, und einen zweiten, DG, der dem ersten unendlich nahe steht. DE sei die Richtung von e und FG parallel DE. Infolge der Bewogung von e wird nun der Strahl DF nach DE, und DG nach DH abgelenkt. Es ist nach (a) FE = vAt = GH, also auch:

 $FG = EH = \delta.$ 

Dor unendlich kleine Winkel FDG ist, wenn FJ senkrecht auf DG steht,  $FJ_1DF$ , i. c.:

$$\Rightarrow FDG = \frac{\delta}{r} \sin FGJ = \frac{\delta}{r} \sin FDE$$
.

Ganz ebenso ist:

$$\neq EDH = \frac{\delta}{\varrho} \sin EDE.$$

Ferner ist:  $r \sin FDE = \varrho \sin E'DE$ ,

also:  $\begin{picture}(100,0) \put(0,0){\line(0,0){100}} \put(0,0){\line(0,$ 

Nunverhält sich aber die Flächendichtigkeit der abgelenkten Strahlen in der Umgebung von E zu der Flächendichtigkeit, die ohne Ablenkung da wäre, umgekehrt, wie  $\rightleftharpoons EDH$  au  $\rightleftharpoons FDG$ , d. h., wenn wir wieder zu Fig. 2 zurückkehren:

Die wirkliche Flächendichtigkeit in E':  $\frac{N}{4\pi g^4} = \varrho^2 : r^2$ .

Die wirkliche Flächendichtigkeit ist also:

(9) N 4 m r 2

d. h. sie ist genau so gross, als ob can der Stelle Ein Ruhe wäre.

c) Wir haben nun bisher abkürzend so gesprochen, ale ware der Strahl S wie ein Ganzes aus der Richtung DF in die Richtung DE' gedreht. Der Begriff des Strahls bringt aber die Vorstellung mit sich, dass der einzelne Strahl au-Elementen besteht, welche nacheinander einen Weg von bestimmter Richtung zurücklegen. Sendet a ruhend gedacht. r in kurzen Zwischenräumen aufeinander folgende Elemente von D aus nach der Richtung DF, Fig. 2, so bilden diese v Elemente ein Stück des durch F gehenden Strahls. Wu wollen nun annehmen, die Zeit, welche dem Moment e vorangeht, und während deren der Punkt e die constante Geschwindigkeit e gehabt hat, sei r. Während dieser Zen habe a fortwährend in sehr kurzen Zwischenräumen gewise Strahlenelemente ausgesendet, die alle, wenn e in Ruhe gewesen ware, mit der Geschwindigkeit c in der Richtung parallel DF davon geflogen waren. Diese Elemente wurde also im Fall der Ruhe einen mit DF parallelen Strahl gebildet haben. Da aber e in Bewegung ist, haben sie nicht mehr die Richtung DF, sondern sind parallel mit DE fort geflogen, und zwar mit der Geschwindigkeit cor. Es sei : ein echter Bruch, und wir betrachten irgend ein Element welches zur Zeit t-xr von a ausging. Die Bewegunt dieses Elements hat ihren Anfang genommen von einen Punkt, der auf der geraden Linie ED liegt und von Eur die Strecke var in der Richtung nach D hin absteht. Sein-Bahn ist parallel mit DE' und hat zur Zeit t die Länge  $x \in (\rho/r)$ . Also verhalt sich ihre Länge zu  $\rho = x \in (r-1)$ = xr: At. Andererseits verhält sich vxr: DE = vxr: vJ = x r: At. D. h. das Element befindet sich zur Zeit / x v der geraden Linio EE. Und da dasselbe für alle Element je irgend eines Strahls gilt, so folgt unmittelbar:

Alle diejenigen Strahlenelemente, die bei ruhen dem seinen Strahl S bilden würden, bilden auch be bewegtem seinen Strahl, und zwar liegt jeder vo! diesen Strahlen zur Zeit / genau so, als wäre and der Stelle, die es zur Zeit / inne hat, in Ruhe.

(Dies ist, wie man beim Rückblick auf § 1 sieht, die von C. Neumann für die Fortptlanzung seines "Appelles" angenommene Hypothese, die aber hier physikalisch vollkommen deutlich wird. Sie kann natürlich, so wie sie hier formulirt ist, diesen deutlichen Sinn nur für constantes v behalten.)

Das ausgezeichnet einfache Rosultat, welches die Annahme dS, dt = c + + c liefert, schafft nun offenbar die "Verspätung der Kräfte" des § 3 aus dem Wege, und man sieht leicht, dass dies auf andere Weise nicht erreicht werden kann.

§ 6. Die Reception auf Grundlage von § 5. Legen wir nun der Reception die im System der Gleichungen (4.) symbolisch ausgedrückten, übrigens nicht näher bekannten Verhältnisse zu Grunde, so ergibt sich:

Zur Zeit t ist:

$$(10) V = \frac{Ne}{4\pi r},$$

wo r nunmehr den Radiusvector bezeichnet, der von a zur Zeit e nach a' hinführt. In der Operation, durch welche K' gebildet wird, ist die Richtung m des Maximalgefälles von V identisch mit der von r, denn die Strahlen liegen ja gerade so, als ob e in Ruhe wäre; also:

Hier ist aber sofort hervorzuheben, dass e und e'nicht nothwendig dieselbe Bedeutung haben, die ihnen bei ruhendem e zukommt. Obgleich nämlich der Büschel der sich in e schneidenden Strahlen genau so liegt, als ob e in Ruhe wäre, so kann doch der einzelne Strahl, der vom bewegten e ausgeht, veränderte Wirkungsfähigkeit besitzen, und diese Wirkungsfähigkeit kann vom bewegten e' andere recipirt werden, als wenn e und e in Ruhe wären. Ein Grund für eine derartige Modification von e und e' ist schon in den Entwickelungen des § 5 enthalten. Während nämlich der Strahl die Richtung E.E., Fig. 2, und in dieser die

Geschwindigkeit c hat, besitzen die einzelnen Elemente, uus deren Aufeinanderfolge der Strahl entsteht, die Geschwindigkeit c++v von der Richtung DE. Im Strahl des bewegten s unterscheidet sich also das einzelne Element von dem im Strahl des ruhenden und gleichzeitig von der Bewegung des Strahls als Ganzes durch eine Zuthat, die gleich und gleichgerichtet mit v ist. Da ist nun anzunehmen, dass diese Zuthat das Product ee' modificiren wird. Bezeichnen wir also den Werth, welchen die Grösse ee' haben wurde, wenn jene Zuthat nicht existirte, mit e, e,', so ist anzunehmen, dass

(12) 
$$K = N \kappa' \frac{\epsilon_1 \epsilon_1}{4 \pi r^2} + I^2$$

sein wird, wo P die von der Zuthat v herrührende Correctur ist. Zunächst ist klar, dass P aus der Wirkung je einzelnen Strahls entspringt, dass also der von der reciputen Strahlenzahl abhängige Factor Nu'. 4 n'r unverändert in P eintritt. Also:

$$P = \frac{Nn}{4\pi r^2} Q.$$

wo Q eine neue Unbekannte, welche die in der Reception des einzelnen Strahls auftretenden Besonderheiten enthält.

Vorerst constatiren wir, dass der einzelne Strahl die Zuthat v ganz unabhängig von der Bewegung von é enthält, z. B. auch dann, wenn é in Ruhe ist. Soll also jene Zuthat überhaupt etwas hervorbringen, so muss sie vorerst unabhängig von v in Q auftreten. Diesem Postulat genugez wir auf die einfachste Weise, wenn wir annehmen:

Q enthalt als ersten Factor v,

ganz einerlei, wie e' bewegt ist.

Zweitens aber tritt auch die Bewegung von s' in das Resultat Q ein. Um die Nothwendigkeit und die Art dieses Eintritts einzusehen, brauchen wir nur anzunehmen s' habe die gleiche Geschwindigkeit, wie s, es sei r' = r Dann sind nicht blos die Strahlen als Ganzes gegen s' genav so vertheilt, als oh s und s' beide in Ruhe wären, sondere dann bewegt sich auch jedes Strahlenelement gerade so gegen s', wie im Fall der Ruhe. Also muss Q verschwinden. Dennoch

besteht die Zuthat e im einzelnen Strahl auch in diesem Fall. Also werden wir anzunehmen haben: Q enthält in diesem Fall noch immer den Factor e, aber ausser ihm einen zweiten, durch den Q zum Verschwinden gebracht wird, wenn a relativ zu s in Ruhe ist. Also

Q enthalt einen zweiten Factor, der für r ≡ r' zu Null wird.

Dieser Factor kann sein 1) die relative Geschwindigkeit von  $\epsilon'$  gegen  $\epsilon$  im Weber'schen Sinne, also dr dt, 2) die relative Geschwindigkeit im gewöhnlichen Sinne e' - - v, wenn wir die geometrische Subtraction mit dem doppelten Minuszeichen andeuten, 3) irgend eine einfache Function dieser Grössen. Das Glied Q enthält also das Product:

entweder 
$$v f \begin{pmatrix} dr \\ dt \end{pmatrix}$$
 oder  $v f \langle v - v \rangle$ .

wo f eine unbekannte Function.

Wir werden also setzen können:

$$Q = e_1 e_1' g v f \begin{pmatrix} dr \\ d\bar{t} \end{pmatrix} \text{ oder } Q = e_1 v' g v f (v -- v),$$

wo g eine unbestimmte Constante. Damit die Formel homogen sei, muss der auf  $e_1e_1'$  folgende Factor eine reine Zahl sein; also müssen die auftretenden Geschwindigkeiten eine andere Geschwindigkeit als Divisor haben. Als solche präsentirt sich naturgemäss  $e_1$  weil ja  $e_1e_2$  und  $e_2$  d $e_3$  der körenden Geschwindigkeit zur ungestörten des Strahls ergibt.  $e_3$  hat also die einfachste mögliche Form. wenn wir setzen  $g_3$  und:

(13) 
$$\begin{cases} P = \frac{Nn}{4\pi r^2} e_1 e_1' \cdot \frac{v}{c} f \begin{pmatrix} 1 & dr \\ c & dt \end{pmatrix} \\ \text{oder} \quad P = \frac{Nn}{4\pi r^2} e_1 e_1' \cdot \frac{v}{c} f \begin{pmatrix} v - - v \\ c \end{pmatrix} \end{cases}$$

Zwischen diesen beiden Formeln könnte nur entschieden werden, wenn wir eine bestimmte Vorstellung vom Act der Reception hätten. Die haben wir nicht und wollen grundaätzlich unsere Hypothesen nur analytisch formuliren, soweit sie sich auf Reception und Emission beziehen. Also kann a priori keine Entscheidung gegeben werden. Wir finden aber später, dass die erste der heiden Gleichungen für P

sich ohne Weiteres in ein erfahrungsmässig brauchbares Gesetz fügt, die zweite nicht. Also wollen wir gleich hier:

(14) 
$$K = \frac{Nn}{4\pi r^2} e_1 e_1 \left[ 1 + + \frac{e}{e} f \left( \frac{1}{e} \frac{dx}{dt} \right) \right]$$

setzen. Hierin ist noch eine Unbestimmtheit, die durch dis doppelte Pluszeichen ausgedrückt wird. Die Richtung des ersten Bestandtheils von K' ist nämlich durch das Gefälle des Strahlenabstandes bestimmt, also ist sie die Richtung von r. In den zweiten Theil dagegen geht als richtung gebendes Element nicht das Strahlengefälle, sondern die in einzelnen Strahl enthaltene Störung ein. Es muss als wahrscheinlich erscheinen, dass die Richtung des zweiter Bestandtheils nicht durch r. sondern durch die in Q +nthaltenen Factoren bestimmt ist. Von diesen hat dr de bleein Vorzeichen, es ist blos die Aenderung einer abluten Länge, v dagegen hat eine bestimmte Richtung. Dis Wahrscheinlichste ist also, dass diese Richtung auch de Richtung des ganzen zweiten Theils bestimmt, mit andere Worten, dass P die Richtung von v hat. Nehmen wir der an, so behält das Zeichen + + die Bedeutung der geometrschen Summation, und das Verhältniss der beiden Bestace theile lässt sich am bequemsten ausdrücken, wenn wir tr x-Componente von K' bilden. Sie wird:

(15) 
$$K_{z} = \frac{Nn'}{4\pi r^{2}} e_{1} e_{1} \left[ \frac{\partial r}{\partial x} + \frac{1}{c} \frac{dx}{dt} f' \left( \frac{1}{c} \frac{dr}{dt} \right) \right].$$

§ 7. Die unmittelbare Einwirkung von v und auf Emission und Reception. In der bisherigen Betrachtung wirkt die Bewegung von e nur mittelbar auf de Grösse ee, nämlich insofern die Fortpflanzungsgeschwindie keit der Strahlenelemente von v afficirt wird und ihrerse wieder in Wechselwirkung mit v tritt. Es kann aber gat wohl der Fall sein, dass die Geschwindigkeit e dem einzelne Strahl auch direct ein Increment der Wirkungsfähigkeit verleiht, und dass dementsprechend die Geschwindigkeit direct in den Factor e, eingeht. Ist das eine der Fall, wird auch das andere eintreten, denn Emission und Reception sind ja offenbar reciproke Vorgänge, die auf gleich

artigen Beziehungen zwischen den e und dem Medium beruben. Der einzelne Strahl S bekommt dann gleich bei seinem Ursprung, abgesehen von der grösseren Fortpflanzungsgeschwindigkeit seiner Elemente, noch eine von e abhangige Zuthat zu seiner Wirkungsfähigkeit, es wird also für ihn, wenn jetzt to die Wirkungsfähigkeit des vom ruhenden e ausgehenden Strahls bezeichnet, c, immer noch nicht gleich e, sondern:

(15) 
$$\epsilon_1 = \epsilon_0 \left[ 1 + f'(v) \right]$$
und ehenso wird:

(16) 
$$\mathfrak{e}_1 = \mathfrak{e}_0 [1 + f(r)].$$
 Hier sind twee grandverschiedene l

Hier sind zwei grundverschiedene Fälle denkbar. Namlich 1) das motorische Glied von e,, also en f (r) ist seinem Wesen nach gleichartig mit dem statischen e, und dementsprechend ist das motorische Glied der Receptionsconstante gleichartig mit dem statischen; 2) das Gegentheil ist der Fall; das motorische Glied wird durch eine ganz andere Operation in die Grösse e, gebracht, als das statische, und dementsprechend wird es auch durch eine ganz andere Operation recipirt, als jones.

Erster Fall. Das motorische Glied sei gleichartig mit dem statischen; dann ist f(v) ein gewöhnlicher Zahlenfactor. Wir können also etwa setzen:

(17) 
$$\begin{cases} \epsilon_1 = \epsilon_0 \left( 1 + A \frac{\sigma}{c} + B \frac{\sigma^4}{c^3} \cdots \right) \\ \epsilon_1 = \epsilon_0 \left( 1 + A \frac{\sigma}{c} + B \frac{\sigma^4}{c^3} \cdots \right), \end{cases}$$

oder in den c treten die Componenten von v auf, etwa in der Form:

$$c_{x} + A v_{x} + B \frac{c_{x}^{A}}{c_{x}}$$
 $c_{y} = c_{0}$ 
 $c_{x} + c_{y} = c_{y} + c_{y} = c_$ 

Von derartigen Formeln liesse sich eine Classe einigermassen rationell motiviren. Wir könnten nämlich annehmen, das motorische Element von t, sei eben die Vergrösserung der relativen Geschwindigkeit gegen e oder e', womit sich die Strahlenelemente bewegen; mit anderen Worten, die Wirkung-fähigkeit des einzelnen Strahls sei proportional seiner relativen Geschwindigkeit gegen 4, und die Reception des Strahls sei proportional der relativen Geschwindigkeit seiner Elemente gegen 2.

Man sieht leicht, dass die relative Geschwindigkeit der Strahls gegen das bewegte e einfach gleich e ist, also würde

$$e_i = e_o$$
.

dagegen die relative Geschwindigkeit seiner Elemente gegen s' ist v = -v' + + c, also würde:

$$c_1{'}=c_0\left(1++\frac{e^{-1}-e^{-1}}{e^{-1}}\right)\cdot$$

In dem Product e,e,' wurde also irgendwie die Grosse e, e (c - - v') c austreten. Deren Anwesenheit in einem electrodynamischen Grundgesetz macht dasselbe aber offenbar mit der Erfahrung unvereinbar. Und dasselbe gilt nun für alle anderen Formeln der oben vorgeschlagenen Art: Ertheilt man den A versuchsweise endliche Werthe, so treten im Resultat Gössen von der Form (Ac + A'v') e auf, die sich mit der Erfahrung nicht vertragen; setzt man die A gleich Null. so erhält man ähnliche Glieder (Bv2+Bv2) c2, oder solche von entsprechender Form, in denen v. u. s. w. vorkommen. In allen Fällen aber sind die Formeln, die man bekommt. nicht mit der Erfahrung in Uebereinstimmung zu bringen Ich gehe auf die Rechnungen im einzelnen nicht ein: der erste Fall wurde nur erwähnt, damit das Feld, auf dem sich die Untersuchung bewegt, allseitig beleuchtet sei. Der Leser kann meine Behauptung durch Nachrechnen leicht controliren, vergesse aber dabei nicht, dass t, nur Grössen enthalten darf, die sich auf », und e,' nur solche, die sich auf v' oder v - - r' etc. beziehen.

Zweiter Fall. Anders steht die Sache, wenn wir annehmen, der motorische Theil von e, sei seiner Natur nach von dem statischen wesentlich verschieden, sodass der eine durch eine ganz andere Operation gebildet und recipirt wird als der andere. Das ist durchaus denkbar; der eine kanz sich zum anderen verhalten wie ein Vectorpotential zu einem

gewöhnlichen Potential, oder wie eine Wirkung, die durch Drehung um Sals Axe transmittirt wird, zu einer solchen, die sich durch Fortbewegung längs Sals Richtungslinie überträgt. In diesem Fall wird der statische Theil auch statisch, der motorische motorisch recipirt, d. h. bei der Bildung von K' wirkt der statische Theil von  $\mathfrak{c}_1$  nur auf den statischen Antheil von  $\mathfrak{c}_1'$ , und der motorische nur auf den motorischen. Schreiben wir jetzt abkürzend  $\mathfrak{c}_2$  statt  $\mathfrak{c}_0 f(r)$ , wo wird:

$$\begin{cases} c_1 = c_0 + c_0, \\ c_1 = c_0 + c_0 \end{cases}$$

und a muss sich von e durch einen mit der Zahl 1 ungleichartigen, also imaginären Zahlenfacter unterscheiden. Unabhängig von allem physikalischen Eingehen auf die Natur von Emission und Reception lässt sich nun eine Hypothese, die dem Gesagten genau entspricht, in der Sprache der Quaternionen formuliren:

Es seien p und q zwei Richtungen, die senkrecht auteinander und auf r stehen, i, j, k seien die drei Hamiltonschen Einheitsvectoren, deren Richtung mit p, q, r überein stimmt. Dann wollen wir annehmen, t, und ti seien in Multiplen von i, j, k auszudrücken. Uebrigenschlen beide Grössen so einfach wie möglich formuhrt werden; das ist der Fall, wenn wir annehmen, t, habe t, (v, c) zum Längenfactor und falle in die Richtung von v. Dann wird (Verwechslung des hier auftretenden dr dt mit dem in til. (14) ist wohl nicht zu befürchten):

(18) 
$$t_1 = c_0 \left( 1 + \frac{dp}{d\ell} \frac{i}{c} + \frac{dq}{d\ell} \frac{j}{c} + \frac{dr}{d\ell} \frac{k}{c} \right).$$

Entsprechend sei:

19) 
$$e_1 = e_0 \left( 1 + \frac{dp}{d\ell} \frac{i}{c} + \frac{dq}{d\ell} \frac{j}{c} + \frac{dr}{\ell\ell} \frac{k}{c} \right).$$

wo dp dt die in die Richtung von p fallende Componente von v, dp'/dt die von v' etc. ist  $e_i$  und  $e_i'$  sind also Quaternionen; die aus dem einzelnen Strahl recipirte Kraftmenge wird:

(20) 
$$\begin{aligned} e_{1}'e_{1} &= e_{1}'e_{0} & 1 + \frac{dpdp}{dt} \frac{dt}{dt} + \frac{dq}{dt} \frac{dq}{dt} \frac{dt}{dt} + \frac{dr}{dt} \frac{dt}{dt} \frac{dt}{dt} + \frac{dr}{dt} \frac{dt}{dt} \frac{dt}{dt} + \frac{dr}{dt} \frac{dt}{dt} \frac{dt}{dt} + \frac{dr}{dt} \frac{dt}{dt} \frac{dt}{dt} + \frac{dr}{dt} \frac{dr}{dt} \frac{dr}{dt} \frac{dr}{dt} \frac{dr}{dt} + \frac{dr}{dt} \frac{dr}{$$

Darin, dass die drei letzten Posten in der Klammer imaginär werden, ist ausgedrückt, dass die statische Reception des motorischen e und die motorische Reception destatischen e kein als Kraft ausdrückbares Resultat heferz (es kann dadurch möglicherweise ein Moment erzeugt werden, welches e um eine Axe dreht, aber nichts mit K' gleichartiges.

Ferner sind wegen ij = k u. s. w. auch die sechs vorhergehenden Posten imaginär, und es bleibt wegen  $i^{3} = j^{2}$ =  $k^{2} = -1$  als reelles Ergebniss:

(21) 
$$e_i'e_i = e_i e_i' = e_o e_o' \left[ 1 - \frac{1}{e^i} \left( \frac{dp}{dt} \frac{dp}{dt} + \frac{dq}{dt} \frac{dq}{dt} + \frac{dr}{dt} \frac{dr}{dt} \right) \right]$$

kürzer:

(22) 
$$e_1 e_1' = e_0 e_0' \left[ 1 - \frac{1}{e^{\frac{1}{2}}} v v' \cos(v, v') \right].$$

Die Producte gleichgerichteter Vectoren sind scalars Grössen; dass Zusatzglied in (22) ist also eine reine Zahl und als solche in Gl. (15) einzuführen. Lassen wir dabei die Glieder mit 1 c<sup>4</sup> als zu klein bei Seite, so kommt, da

(28) 
$$K_{z}' = \frac{ee}{r^{z}} \left[ \left( 1 - \frac{1}{e^{z}} r r' \cos \left( v, r' \right) \frac{\partial r}{\partial x} + \frac{1}{e} \frac{dx}{dt} f \left( \frac{1}{e} \frac{dx}{dt} \right) \right].$$

Setzt man darin f(1c,dr)dt gleich 1c,dr)dt selbst so hat man das Clausius'sche Gesetz für zwei Punktohne Beschleunigung. In unserer Darstellung trat dazweite Glied dieser Formel als ein blos denkbares, aber unter den denkbaren als das einfachst mögliche auf. Es ut also eigentlich mit einem unbestimmten Factor  $\lambda$  versehen der die einfachsten Zahlenwerthe, insbesondere auch der Werth Null, haben kann; wenn wir hier nun finden, dass ei

sich mit dem Factor I einem erfahrungsmässig brauchbaren Gesetz anpasst, so haben wir alle Veranlassung, ihm diesen Factor zu geben, auch über die Unsicherheit, welche das letzte Ghed nach &6 trifft, vorläufig hinwegzuschen und mit Gl. (23) weiter zu gehen zur Untersuchung zweier

## Punkte mit Beschleunigung.

5 8. Verspätung durch die Beschleunigung. e und e' sollen endliche Beschleunigungen baben, deren Betrag a und deren Richtungen o und o' seien. i oder de der de zerfalle in die Componenten d'x de etc. Dann sind zwei Fälle moglich: Entweder diese Beschleunigungen gehen, ähnlich wie die Geschwindigkeiten, in die recipirte Wirkungsfähigkeit ce des einzelnen Strahls ein, oder diese Wirkungsfähigkeit wird blos durch die Geschwindigkeiten, nicht durch die Beschleunigungen bestimmt. Dasselbe Dilemma besteht für

die Beziehungen zwischen Beschleunigung und Fortpflanzungsgeschwindigkeit. Können wir mit der Annahme, dass die Beschleunigung keinen Einfluss auf die drei Acte hat, zu einem der Erfahrung genügenden Gesetz gelangen, so ist diese Annahme so viel einfacher, als die gegentheilige, dass sie ohne Zweifel vorgezogen werden muss. Wir machen sie also und untersuchen, was aus ihr folgt.

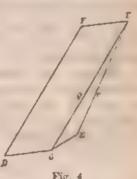


Fig. 4

Zur Zeit t befinde sich s in E. Fig. 4. e' in E'. Die Wirkung, welche zur Zeit e in E recipirt wird, ist zur Zeit t - At von einem Punkt D ausgegangen. Hat E die Coordinaten xyz, so hatte e in D die x-Coordinate (bei sehr kleinem At):

 $x - \frac{dz}{dt} \Delta t + \frac{1}{4} \frac{d^3z}{dt^3} \Delta t^2,$ 

und zugleich hatte es die Geschwindigkeit 23. deren 2-Comnonente lautet:  $\frac{dx}{dt} = \frac{d^4x}{dt^2} Jt.$ 

Hatte aun die zur Zeit t-At vorhandene Beschleungung keinen Einfluss auf Emission und Fortpflanzung. Wahren sich die Strahlen von D aus gerade so fortgepflanzt, als hätte a in D die constante Geschwindigkeit v., gehabt Legen wir also an D eine Gerade DG, welche die Richtung von v., und die Länge  $r_AAt$  hat, so ist deren Endpunkt G zur Zeit t der Mittelpunkt der gerade bei E anlangenden Strahlung (§ 5).  $\epsilon$  verhält sich also gerade so, als würde evon dem in G ruhenden Punkt  $\epsilon$  nach dem Gesetz 29 angezogen. Dieser Punkt  $\epsilon$  hat die r-Coordinate:

$$x = \frac{dx}{dt} At + \frac{d^3x}{dt^3} At^2 + At \left( \frac{dx}{dt} + \frac{d^3x}{dt^3} At \right)$$
, d. i.  $x = \frac{1}{3} \frac{d^3x}{dt^3} At$   
Sein Abstand von  $E$  wird nach thrösse und Richtung durch

- 1.1124 bestimmt.

Die x-Componente der Kraft, mit welcher e auf e wirkt, ist also, wenn wir abkürzend  $\omega^2$  statt vv'  $\cos(v,v')$  schreiben und  $\chi^2$  statt  $dx dt \cdot f'$   $(\partial r dt)$ :

24) 
$$K_{z}' = \frac{ee}{e^{z}} \left( 1 - \frac{e^{z}}{e^{z}} \right) \left( z - z + \frac{1}{2} \frac{d^{z}z}{dt^{2}} \Delta t^{2} \right) + \frac{ee}{e^{z}} \frac{\chi^{2}}{e^{z}} ,$$

wo o den Abstand GE' bezeichnet.

Es tritt also infolge der Existenz von  $d^2x'dt^2$  ein Carrectionsglied zu der Formel (23), welches wir mit  $\gamma$  bezeichnen und für sich allein berstellen wollen. Das geschicht, indem wir  $\rho$  durch r und  $\alpha$  ausdrücken und von dem so erhaltenen Ausdrück die uncorrigirte Componente:

$$\frac{r_e}{r^3}\left(1-\frac{\omega^2}{r^3}\right)(x-x)+\frac{e\,c}{r^3}\frac{\chi^3}{r^3}$$

abziehen. Es ist wegen GE=1 u  $At^2$  und cos  $E'EG^3$ ) = dx to

$$\varrho^2 = r^2 - r \, h \, J t^2 \frac{dr}{d\sigma} + \frac{1}{4} \, h^2 \, \Delta t^4.$$

Hier und im Folgenden lassen wir alle Glieder fort, die Ji' oder AP c2 enthalten; dann bleibt:

$$\begin{split} \varrho^2 &= r^2 \bigg( 1 - \frac{1}{r} \, \, \dot{u} \, \, \dot{M} \, t^3 \frac{d\, r}{d\, \sigma} \bigg), \qquad \varrho^3 &= r^3 \bigg( 1 - \frac{3}{2r} \, \dot{u} \, \, \dot{M} \, t^2 \, \frac{d\, r}{d\, \sigma} \bigg), \\ & \quad \cdot \, \, \frac{1}{\varrho^3} = \frac{1}{r^4} \bigg( 1 + \frac{3}{2r} \, \dot{u} \, \, \dot{M} \, t^3 \, \frac{d\, r}{d\, \sigma} \bigg), \end{split}$$

1 da stellt hier und im Folgenden eine Verrückung von a nach det Richtung von a vor

$$\begin{split} K_1 &= \frac{e\epsilon}{r^2} \left( 1 - \frac{\omega^2}{e^2} \right) \left( 1 + \frac{8}{2r} \hbar \Delta t^2 \frac{dr}{d\sigma} \right) \left( x' - x + \frac{1}{2} \frac{d^2x}{d\tau} \Delta t^2 \right) \\ &+ \frac{e\epsilon}{r^2} \frac{\chi^2}{e^2} \left( 1 + \frac{1}{r} \hbar \Delta t^2 \frac{dr}{d\sigma} \right) \cdot \end{split}$$

Hierin können wir nun bei dem erstrebten Genauigkeitsgrade für At, welches eigentlich = of ist, einfach resetzen, und dann wird das gesuchte Correctionsglied:

(25) 
$$\eta = \frac{ee}{r^4} \left[ \frac{1}{2} \frac{d^3x}{dt^2} \frac{r^4}{c^2} + \frac{3(x-z)}{2r} \hat{u} \frac{r^4}{c^2} \frac{dr}{ds} \right].$$

(25) gibt mit leichter Umformung (der erste Posten in der Klammer dreimal subtrahirt und dreimal addirt):

Hierin ist:

$$\begin{cases} ee \ u \ \left( dx - \frac{\partial r}{\partial r} dr \right) = \begin{cases} ee \ d^2\sigma \ d \ \left( \frac{\partial r}{\partial \sigma} \right). \end{cases}$$

Fugen wir die Correction , in dieser Schreibart in Gl. (23) ezn, so wird mit der dortigen Annahme für f (1 c. dr dt):

(27) 
$$K_x' = \frac{ee}{r^t} \left\{ \left[ 1 - \frac{ee}{e^x} \cos(e, e') \right] \frac{\partial r}{\partial x} + \frac{1}{e^t} \left[ \frac{ds}{dt} \binom{dr}{dt} - r \frac{d^t x}{dt'} \right] \right\} + A,$$

wo zur Ahkürzung:

(2k) 
$$\oint \frac{d\sigma}{dt} \frac{d^4\sigma}{dt^2} \frac{d}{d\sigma} \left( \frac{\partial r}{\partial x} \right) = A$$

gesetzt ist. Ich bemerke vorgreifend, dass das Glied A für alle diejenigen Beziehungen, welche in der Electrodynamik bis jetzt erfahrungsmässig begründet sind, also speciell für Beziehungen zwischen geschlossenen Strömen und Stromkreisen, den Kraftbeitrag Null hefert. Was aber in Gl. (27) dem Glied A vorangeht, das ist das Clausius'sche Gesetz für beliebige Punkte.

Das die Beschleunigung enthaltende Glied des Clausius'schen Gesetzes geht also aus der Verspätung hervor und verlangt keine Nebenannahme des Inhalts, dass auch die Beschleunigung auf die drei Acte der Kraftbildung wirke.

Diese grösste Einfachheit der Grundlagen ist nur dem Clausius'schen Gesetz eigen; man sieht leicht, dass das Ann. 4. Phys. v. Chem. N. P. XXV

Glied a auch in allen anderen Grundgesetzen auftreten würde und nur durch Annahmen über den Eintluss der Beschlennigung auf Emission und Reception wieder herausgeschafft werden kann. Und diese grösste Einfachheit gibt meines Erachtens dem Clausius'schon Gesetz ein sehr bedeutendes Unbergewicht über alle anderen: sie bildet pachträglich eine starke Rechtfertigung der Schritte, die wir gethan haben um zu der Gleichung (23) zu gelangen, um so mehr, da die für e, und e, gemachten Annahmen, wenn sie auch ein etwas fremdartiges Ansehen haben, doch thatsächlich die einfachsten sind, durch die überhaupt der Begriff motorische Emission und Reception hergestellt werden kann. Wieviel :en Emfachheit werth ist, ergibt sich klar, wenn man bedenkt dass meine Behandlung des Gauss'schen Problems auf diweitere Aufgabe führt, zu untersuchen, wie sich den obet blos analytisch formulirten Vorgangen der Emission, Fortpflanzung und Reception eine construirbare, physikalische Deutung unterlegen lässt. Da würde offenbar die Einführung der Beschleunigungen die Schwierigkeit verzehnfachen. Hier soll darauf nicht näher eingegangen werden. Wir habet nun noch erstens einem möglichen Einwand zu begegnen. zweitens das Glied A bis zu einem gewissen Grade zu notersuchen.

§ 9. Die Verspätung aus der Beschleunigung und die Schlüsse des § 3. Zwei Punkte e und 4', die auf der Erde miteinander in sester Verbindung stehen, besitzen nicht blos eine endliche Geschwindigkeit, sondern auch eine endliche Beschleunigung, theils wegen der Erdretation, theils wegen der Revolution um die Sonne. Die Kräfte 4, und 4, die aus dieser Beschleunigung nach Gl. (27) für sie hervorgehen, unterliegen nun einer ganz ähnlichen Betrachtung, wie die Verspätungskräfte in § 3. und man könnte sragen ob sich nicht auch für sie principiell unzulässige Folgerungen, wie für jene, ergeben. Das ist nicht der Fall. Das Tragheitsprincip wird durch die Kräfte 4 und 4' nicht angetastet denn im Falle constanter Werthe von v und v' ist ja 4 = 6 Die Grösse beider Kräfte wollen wir einfach nach dem Clausius'schen Gesetz bestimmen, da das Glied A nur eine Com-

ponente von gleicher Ordnung in das Resultat bringt, wie das letzte Glied des Clausius'schen Gesetzes.

Haben & und & beide die Beschleunigung, deren x-Componente & ist, so bringt diese Beschleunigung in die Kraft, welche auf & wirkt, die Componente:

$$\eta = -\frac{e\sigma}{e^2r}\dot{n}_z$$

und in diejenige, welche auf e wirkt, die Componente:

$$\eta' = -\frac{e\,\theta}{e^2\,r}\,\dot{u}_x\,.$$

Befestigt man e an e, so sind alle Glieder mit Ausnahme der beiden vorstehenden reciprok, es wirkt also auf das System e + e die Kraft, deren x-Componente:

Dieser Ausdruck unterscheidet sich von dem entsprechenden in § 3 wesentlich dadurch, dass er 1/r nur in der ersten Potenz enthält. Da ee'r das Potential des aus beiden Punkten gebildeten Systems auf sich selbst ist, so folgt sofort: ist auf der Erde eine zu ihr ruhende electrische Ladung gegeben, deren Potential auf sich selbst II ist, so erleidet dieselbe eine Kraft von der Ordnung:

$$-\frac{2}{c^3} II \hat{\kappa}$$

wo û die Beschleunigung der Erde ist. Das Glied A ändert, wie gesagt, die Grössenordnung dieses Ergebnisses nicht. Die vorstehende Grösse ist aber für alle beweglichen, electrisch geladenen Körper, die wir experimentell herstellen können, viel zu klein, um der Beobachtung zugänglich zu sein. Uebrigens wäre noch zu fragen, ob sie nicht beim Nordlicht eine Rolle spielen kann.

§ 10. Das Glied A steht und fällt mit dem Glied ce' c²r. d²x/dt²; wenn man also die Ableitung, welche dem Clausius'schen Gosetz gerade die grösste Bedeutung gibt, überhaupt zulässt, so muss A mit in den Kauf genommen werden. Wir hatten:

(28) 
$$A = \frac{1}{4} \frac{e \dot{e}}{e^2} \frac{d^3 \sigma}{dt^4} \frac{d}{d\sigma} \left( \frac{\partial r}{\partial \sigma} \right)$$

Bezeichnet, wie trüher, s die Bahnrichtung von s, und verwenden wir jetzt den Buchstaben o, um den Hauptkrummungsradius der Bahn s zu bezeichnen, so lässt sich die die zwei Componenten zerlegen, welche in leicht verständlicher Bezeichnung sind:

(29) 
$$\frac{d^3s}{dt^3} = \frac{d^3\sigma}{dt^4}, \frac{ds}{d\sigma} \quad \text{und} \quad \frac{d^3\phi}{dt^4} = \frac{d^3\sigma}{dt^7} \frac{d\phi}{d\sigma}.$$

Man beweist nun leicht (durch Ausrechnen) den Satz

$$\frac{d^3s}{dt^2} \frac{d}{ds} \begin{pmatrix} \partial r \\ \partial x \end{pmatrix} + \frac{d^3y}{dt^2} \frac{d}{dy} \begin{pmatrix} \partial r \\ \partial \tilde{x} \end{pmatrix} = \frac{d^3\sigma}{dt^2} \frac{d}{dz} \begin{pmatrix} \partial r \\ \partial \tilde{x} \end{pmatrix}.$$

Also:

(31) 
$$A = \frac{3}{2e^{\gamma}} e e^{\left[\frac{d^{\gamma} x}{dt^{\gamma}} \frac{d}{dt^{\gamma}} \left(\frac{\partial r}{\partial x}\right) + \frac{d^{\gamma} y}{dt^{\gamma}} \frac{d}{dy} \left(\frac{\partial r}{\partial x}\right)\right]}.$$

a) Dieser Ausdruck werde zunächst angewendet auf der Fall, wo e die Electricität  $\pm h \, ds'$  eines Elements ds is welches einem Stromkreis angehört. Da die Bewegung vor e' in A überhaupt nicht auftritt, ist klar, dass  $+h \, ds$  un  $-h' \, ds'$  genau entgegengesetzt gleiche Wirkungen von er leiden, also: für ponderomotorische Wirkungen 11gen: wie hewegter Electricität auf Stromelemente liefer das Glied A den Beitrag Null.

b) Subtrahiren wir dagegen die auf - h' ds' geübte Kra" von der auf + h' ds' geübten, so liefert A dazu den Beitia.

$$\frac{3}{c^4}eh'ds\left[\frac{d^3r}{dt^2}\frac{d}{ds}\left(\frac{\partial r}{\partial x}\right)+\frac{d^3\varrho}{dt^2}\frac{d}{d\varrho}\left(\frac{\partial r}{\partial x}\right)\right].$$

und wenn wir mit 1/2h'. dx' ds' multipliciron, erhalter wir den Antheil der electromotorischen Kraft, welche ein winducirt, und der aus A hervorgeht. Denken wir uns dentsprechenden Ausdrucke in y und z gebildet und address haben wir die ganze Induction von e auf ds', soweit s' uns hier angeht, d. i.:

$$\frac{3}{2\sigma^{4}} \sim \left[ \frac{d^{3}s}{dt^{2}} \frac{d}{ds} \begin{pmatrix} \partial r \\ \partial z \end{pmatrix} + \frac{d^{4}g}{dt^{2}} \frac{d}{dg} \begin{pmatrix} \partial r \\ \partial z \end{pmatrix} \right] \frac{ds}{ds} \frac{ds}{ds} \right].$$

Durch Ausrechnen findet man mit Berücksichtigung de Formel:

$$\cos(s,s') = -r \frac{d^2r}{ds\,ds} - \frac{dr}{ls\,ds},$$

dass die Summe gerade gleich:

$$= \frac{d^2x}{dt^2} \frac{d}{dx} \left( \frac{\partial x}{\partial x} \right) + \frac{d^2y}{dx} \frac{d}{dx} \left( \frac{\partial x}{\partial y} \right)$$

ist, also wird die fragliche Induction:

$$\frac{3\epsilon}{2\epsilon^2} \left[ -\frac{d^2s}{d\ell^2} \frac{d}{ds} \left( \frac{dr}{ds} \right) + \frac{d^2\varrho}{d\ell^2} \frac{d}{ds} \left| \frac{dr}{d\varrho} \right| \right] dx.$$

Da d's de und d'e de nicht von s' abhängen, verschwindet dieser Ausdruck bei der Integration über jeden geschlossenen Stromkreis. Also liefert A auch zur Induction auf geschlossene Stromkreise den Beitrag Null.

c)  $\epsilon$  gehöre einem ruhenden Stromelement an, in welchem die positive Electricität h ds mit der Geschwindigkeit  $\epsilon$ , die negative -h ds mit der Geschwindigkeit  $-v_1$  strömt. Es kann dann an der betrachteten Stelle eine Tangentialbeschieunigung eintreten 1) durch Aenderung der Stromintensität; dieser Bestandtheil des  $d^2s$ ,  $dt^2$  sei mit  $\partial$   $\partial t(ds)$  dt bezeichnet; 2) durch Eigenschaften der Strombahn, vermöge deren die Electricität in s + ds bei gleicher Intensität eine andere Geschwindigkeit hat, als in s; dieser Bestandtheil lüsst sich mit ds/dt.  $\partial$   $\partial s$  (ds,dt) bezeichnen.  $d^2v_1dt^2$  ist einfach Centripetalbeschleunigung und als solche gleich  $1, \varrho$ . (ds) dt zu setzen. Gl. (31) wird also:

$$A = \frac{8}{2c^2} e^{\epsilon} \left[ \frac{\partial}{\partial t} \begin{pmatrix} ds \\ dt \end{pmatrix} \frac{d}{ds} \begin{pmatrix} \partial r \\ \partial z \end{pmatrix} + \frac{ds}{dt} \frac{\partial}{\partial s} \begin{pmatrix} ds \\ dt \end{pmatrix} \frac{d}{ds} \begin{pmatrix} \partial r \\ \partial x \end{pmatrix} + \frac{1}{q} \begin{pmatrix} ds \end{pmatrix}^2 \frac{d}{ds} \begin{pmatrix} \partial r \\ dt \end{pmatrix} \frac{d}{ds} \begin{pmatrix} \partial r \\ \partial z \end{pmatrix} \right]$$

Führen wir hierin nun für e die positive Electricität h ds eines Stromelements ds ein, so ist  $ds_i dt = v$ , und d ds bezeichnet eine Differentiation nach der positiven Stromrichtung. Führen wir aber die negative Electricität -h ds deselhen Stromelements ein, so ist  $ds_i dt = v_1$ , und d ds bezeichnet eine Differentiation nach der negativen Stromrichrichtung. Wollen wir unter d ds in beiden Fällen eine Differentiation nach der positiven Richtung verstehen, so ist im zweiten Fäll jedes d ds mit dem Zeichen -zu versehen. Also wird dann:

für + hila

$$A = \frac{3e}{2e^{2}}h ds \left[ \frac{\partial r}{\partial t} \frac{d}{ds} \begin{pmatrix} \partial r \\ \partial z \end{pmatrix} + v \frac{\partial v}{\partial s} \frac{d}{ds} \begin{pmatrix} \partial r \\ \partial z \end{pmatrix} + \frac{v^{2}}{g} \frac{d}{dg} \begin{pmatrix} \partial r \\ \partial x \end{pmatrix} \right],$$

$$A = -\frac{8e}{2e^2}h ds \left[ -\frac{\partial c_1}{\partial t} \frac{d}{ds} \begin{pmatrix} \partial r \\ \partial x \end{pmatrix} + v_1 \frac{\partial r_1}{\partial s} \frac{d}{ds} \begin{pmatrix} \partial r \\ \partial x \end{pmatrix} + \frac{c_1^2}{\varrho} \frac{d}{d\varrho} \begin{pmatrix} \partial r_1 \\ \partial s \end{pmatrix} \right]$$
Also wird die Gesammtkraft in  $r_1$ , welche  $s'$  erleidet:
$$\left\{ \begin{array}{c} \xi = \frac{3e'}{2e^2}h ds \begin{bmatrix} \partial (r + v_1) \frac{d}{ds} \begin{pmatrix} \partial r \\ \partial s \end{pmatrix} + \frac{1}{2} \frac{\partial (r^2 - v_1^2)}{\partial s} \frac{d}{ds} \begin{pmatrix} \partial r \\ \partial s \end{pmatrix} \right.$$

(32) 
$$\begin{cases} \xi = \frac{3e^{i}}{2e^{i}} h ds \left[ \frac{\partial (e + v_{1})}{\partial t} \frac{d}{ds} \left( \frac{\partial r}{\partial x} \right) + \frac{1}{2} \frac{\partial (e^{i} - v_{1}^{*})}{\partial s} \frac{d}{ds} \left( \frac{\partial r}{\partial x} \right) + \frac{e^{i} - v_{1}^{*}}{e} \frac{d}{ds} \left( \frac{\partial r}{\partial x} \right). \end{cases}$$

d. h. zunächst: Ist  $v = v_1$ , so ist das Glied A vollkommen bedeutungslos, und Gl. (27) stimmt, auch was die electroskopischen Wirkungen des Stromes angeht, mit dem Clausius'schen Gesetz überein. Dens das erste Glied der Klammer verschwindet, wie leicht zu sehen, für geschlossene Stromkreise.

Dieser Satz wird nicht geändert, wenn man auch annimmt, dass de einem bewegten Stromkreis angehöre; dem die Beschleunigung, welche die Bewegung von de in dez Ausdruck Abringt, ist offenbar für hds und - hds dieselbe hebt sich also aus dem Resultat heraus.

Ist aber v, nicht gleich v, so ergeben sich allerdings aus dem Glied A besondere electroskopische Wirkungen des ruhenden Stromelements de, und dieselben verschwinden auch nicht, wenn Gl. (32, auf einen geschlossenen Stromkreis angewendet wird. Dann tritt also Gl. (27) in cinem Punk' in Widerspruch mit dem Clausius'schen Gesetz. den Grundlagen, welche Clausius für sein Gesetz angenemmen hat, findet sich nämlich der Satz1): "dass ein in einen ruhenden Leiter stattfindender geschlossener und constanter Strom auf ein ruhendes Electricitätstheilchen keine bewegende Kraft ausübt", und dem kann Gl. (32) unter Umstärden widersprechen. Ich glaube nicht, dass dieser von Clavsius als sicher angenommene Satz in Wirklichkeit durch de Erfahrung sicher gestellt ist. Da v und vy wahrscheinbel recht kleine Grössen sind, liefert & jedenfalls nur kleine Kräfte, die höchstens von der Ordnung dergenigen Kräfte sind, mit welchen die statische Oberflächenladung der Drähte im Dynamometer sich geltend macht. Bei alle den Ver-

<sup>1)</sup> Clausius, Beibl. 1. p. 145, 1877.

suchen, auf welche sich die electrodynamischen Grundgesetze stützen, ist nun aber die Einwirkung dieser statischen Oberflächenladungen schlechtbin vernachlässigt worden. Erst Herwig1) hat gezeigt, dass man eine solche Einwirkung etwa nachweisen kann. Ich selbst habe eine (nicht veröffentlichte) Versuchsreihe über den gleichen Gegenstand wie Herwig angestellt; das Verfahren war erheblich empfindlicher und bequemer als das von Herwig und gab folgendes Resultat: "die Kraft, mit der die statischen Oberflächenladungen durchströmter Drähte im Dynamometer aufeinander wirken, ist, wenn die Dynamometerdrähte, wie üblich, besponnen sind, nicht constant, sondern wächst stundenlang fortwährend, wenn der Strom in allen Punkten derselbe bleibt. Das liegt offenbar daran, dass die freie Electricität der Oberflächenladungen allmählich auf die Seide der Bespinnung, die Holztheile etc., überkriecht," Dies einfache, von vornherein zu erwartende Ergebniss dürfte so ziemlich allen Lesern fremd sein; ich führe es an, um zu zeigen, wie wenig genau die Versuche sind, welche dem oben citurten Clausius'schen Satz zu Grunde liegen; denn bei keinem derselben ist von einer solchen Wahrnehmung die Rede.

Hiernach würde ich es für verfrüht halten, wenn man, um Gl. (27) auf das Clausius'sche Gesetz zu reduciren, die Annahme machen wollte, es sei allgemein  $v=v_1$ . Da muss erst eine genaue Bearbeitung des Gliedes A und ein Vergleich mit der Erfahrung auf Grund besonders angestellter Experimente vorgenommen werden. Das soll der Zukunft vorbehalten bleiben.

- § 11. Zusammenstellung des Inhalts der Abhandlung. Wir machen die Annahmen:
- 1) Der electrische Punkt e verbreitet um sich einen Zustand & in dem kraftübertragenden Medium. Dieser Zustand pflanzt sich auf Strahlen nach allen Richtungen fort; er ist bestimmt a) durch den mittleren Abstand eines Strahls von seinen nächsten Nachbarn, b) durch die Wirkungsfähigkeit des einzelnen Strahls.

<sup>1)</sup> Herwig, Pogg. Ann. 149. p. 44. 1878.

- Die Strahlen besitzen, wenn ε ruht, die constant-Geschwindigkeit c, wenn ε sich bewegt, die Geschwindigkei' c + + r.
- 8) Der electrische Punkt ε recipirt aus Ω eine Kraft grösse, welche in erster Linie das Maximalgefälle von !. enthält.
- 4) In zweiter Linie ist sie abhängig von der geometrischen Differenz zwischen Geschwindigkeit des Strahls und Geschwindigkeit seiner Elemente; das Correctionsglied ist mit diesem Unterschied und mit dr dr proportional.
- 5) In dritter Linie erhält jeder Strahl von 52 durch de Bewegung von  $\epsilon$  einen motorischen Zusatz, der. wenn pyrdrei auseinander senkrechte Richtungen, und ijk die zu diesen Richtungen gehörigen Hamilton'schen Einheitsvectoren sind, proportional mit  $(dp \ dt)i + (dq \ dt)j + (dr \ dt)ist. dp'dt$  etc. sind hier die drei Componenten von r.
- 6) Dem ontsprechend erhält auch die Receptionscotstante von s' einen analog gebildeten motorischen Zusatz
- 7) Dagegen ist die Aussendung, Fortpflanzung und Aunahme von & ganz unabhängig von den Beschleunigungen

Diese Annahmen sind, mit Ausnahme der vierten, rez nach dem Grundsatz aufgestellt, dass die denkbaren Einflusse der Bewegung so einfach wie möglich formulirt werder sollen; dagegen ist Annahme (4) etwas willkürlich nach dem Bedürfniss, ein erfahrungsmässig brauchbares Gesetz zu produciren, eingerichtet.

Aus den obigen Annahmen folgt ein Gesetz,

welches für alle Wirkungen auf geschlossene Strome vollständig mit dem Clausius'schen übereinstimmt;

welches mit dem Clausius'schen Gesetz identisch wird wenn man annimmt, dass die positive Electricität im galvanischen Strom dieselbe absolute Geschwindigkeit besitzt, wir die negative;

welches, wenn diese Annahme nicht gemacht wird, electroskopische Nebenwirkungen geschlossener Ströme lieferkann, die erst noch einer besonderen Untersuchung bedürfen.

Dabei ist auf das bestimmteste nachgewiesen, dass nur dies Gesetz die einfache Annahme (7) gestattet. Die Annahmen (1) bis (7) haben einstweilen nur, insofern sie die Fortpflanzungsform angeben, einen vorstellbaren Sinn; Emission und Reception sind nicht construirt, sondern blos hypothetisch formulirt; es bleiht die Aufgabe, diese Formulirung physikalisch zu deuten.

# V. Ueber einige Anwendungen der Theorie der Formanderung, weiche ein Körper erfährt, wenn er magnetisch oder dielectrisch polarisirt wird; von G. Kirchhoff.

(Aus den Sitzungsberichten der k. preuss. Acad. d. Wiss. zu Berlin vom 1). Dec. 1884. untgetheilt vom Hrn. Verf.:

Ich erlaube mir, der Academie einige Anwendungen der Theorie der Formanderung vorzulegen, welch ein Körper erfährt, wenn er magnetisch oder dielectrisch polarisirt wird. Ich will anknüpfen an die Darstellung dieser Theorie, die ich in den Sitzungsberichten vom 28. Februar 1854 1 gegeben habe, und die dort gebrauchten Bezeichnungen benutzen. Der betrachtete Körper ist dort als ein fester, elastischer vorausgesetzt; man braucht in den dort abgeleiteten Formeln aber nur die mit k" bezeichnete Constante = 0 zu setzen. um sie auf den Fall anwendbar zu machen, dass der Körper eine Flüssigkeit, eine tropfbare oder gasförmige ist, wodurch man diejenigen Formeln erhält, die für diesen Fall Herr v. Helmholtz in einer Mittheilung an die Academie am 17. Februar 1881 abgleitet hat, und die wiederum in die früher schon von Sir W. Thomson und Cl. Maxwell aufgestellten übergehen, wenn die Constante k'=0 gesetzt wird. was erlaubt ist, wenn die Flüssigkeit als incompressibel betrachtet werden darf, da dann ihre Gleichgewichtstigur von den Werthe von & unabhängig ist. Auf diesen einsachsten Fall kommen die Versuche zurück, deren Beschreibung Hr.

<sup>1)</sup> s. auch Wied. Ann. 24, p. 52, 1885.

Quincke') am 5. April 1883 und am 17. Januar 1884 der Academie vorgelegt, und durch die er die Dielectricitäte constante und die von ihm sogenannte Diamagnetisirungsconstante für eine grosse Zahl von Flüssigkeiten heatimmt hat. Es sollen die nächsten Betrachtungen sich auf eine Anordnung beziehen, wie sie bei diesen Quincke'schen Versuchen stattfand.

1. Man denke sich ein magnetisches Feld, das durch einen electrischen Strom hervorgerufen ist, der nach Willkur erzeugt und unterbrochen werden kann. Bei den Quincke'schen Versuchen war dasselbe mit Hülfe eines kräftigen Electromagnets hergestellt, dessen ebene Polflächen in einem Abstande von einigen Millimetern voneinander sich befanden. In dem grössten Theile des Raumes zwischen den Politächen war die magnetische Kraft nahezu constant, in der Nähe ihrer Rander nahm sie schnell ab und war nahezu = 0 m mässiger Entfernung von diesen Rändern ausserhalb jenes Raumes. In einem solchen magnetischen Felde seien verschiedene Körper, die einander berühren, theils feste, theils flussige, vorhanden; die festen sollen als starr, die flussigen als incompressibel angesehen werden, sowohl wenn sie tropfbar, als wenn sie gasförmig sind; die Aenderungen der Dichtigkeit sollen also vernachlässigt werden, ausser insofern, als sie Aenderungen des Druckes bedingen. Es handelt sich darum, die Bedingungen für das Gleichgewicht der Flüssigkeiten zu bilden; als wirksam sollen dabei neben den magnetischen Kräften die Schwere und die Capillarkräfte angenommen werden. Der Index 1 beziehe sich auf eine der Flüssigkeiten, p. sei der Druck in einem Punkte derselben. der Druck, der abhängig ist von der in unendlich kleinen Grenzen variirenden Dichtigkeit, & das magnetische Gesammtpotential, u. die Dichtigkeit, g die Intensität der Schwere, und die Richtung der z-Axe sei die der Schwere. Aus dem p. 148 meiner citirten Abhandlung für die Kraft A aufgestellten Ausdrucke folgt dann:

(1) 
$$p_1 = \mu_1 g x + \frac{k_1}{2} \left( \frac{\partial g_1}{\partial x} \right)^2 + \left( \frac{\partial g_1}{\partial y} \right)^2 + \left( \frac{\partial g_1}{\partial z} \right)^2 \right) + c_1,$$

<sup>1)</sup> Quincke, Wied. Ann. 19. p. 705; 24. p. 847.

wo c, eine Constante bezeichnet. Eine ähnliche Gleichung gilt für jede der vorhandenen Flüssigkeiten.

Für die Berührungstläche zweier Flüssigkeiten, 1 und 2, hat die Differenz  $p_1-p_2$  einen von Null verschiedenen Werth. Derselbe rührt zum Theil von den Capillarkräften, zum Theil von den magnetischen her. Es seien r' und r'' die Hauptkrümmungsradien eines Elements der Berührungstläche, positiv gerechnet, wenn die Oberfläche der Flüssigkeit 1 eine convexe ist, n die nach dem Inneren der ersten Flüssigkeit gerichtete Normale des Elements, H eine von der Natur der beiden Flüssigkeiten abhängige Constante; dann ist:

$$\begin{cases} p_1 - p_2 = \frac{H}{2} \left( \frac{1}{r} + \frac{1}{r} \right) + \left( \frac{1}{4\pi} + k_1 \right) \left( \frac{\partial q_1}{\partial x} \right)^2 - \left( \frac{1}{4\pi} + k_2 \right) \left( \frac{\partial q_2}{\partial x} \right)^2 \\ - \frac{1}{2} \left( \frac{1}{4\pi} + k_1 - k_1' \right) \left( \left( \frac{\partial q_1}{\partial x} \right)^2 + \left( \frac{\partial q_1}{\partial y} \right)^2 + \left( \frac{\partial q_1}{\partial z} \right)^2 \right) \\ + \frac{1}{4} \left( \frac{1}{4\pi} + k_2 - k_2 \right) \left( \left( \frac{\partial q_2}{\partial x} \right)^2 + \left( \frac{\partial q_2}{\partial y} \right)^2 + \left( \frac{\partial q_2}{\partial z} \right)^2 \right). \end{cases}$$

Man findet diese Gleichung aus den l. c. p. 147 für Az, Ay,... aufgestellten Ausdrücken, wenn man eine der Coordinatenaxen mit der Normale n zusammenfallen lässt und benutzt, dass für die Berührungsfläche:

ist. Subtrahirt man in die Gleichung (2) für  $p_1$  den in (1) anzegebenen Ausdruck, für  $p_2$  den entsprechenden und eliminirt mit Hülfe von (3)  $\varphi_2$ , so erhält man:

$$\begin{cases} c_1 + c_2 = \langle \mu_2 - \mu_1 \rangle \, gx + \frac{H}{2} \left( \frac{1}{r} + \frac{1}{r'} \right) \\ - \frac{2\pi \left( k_2 - k_1 \right)^2}{1 + 4\pi k_2} \left( \frac{\partial g_1}{\partial x} \right)^2 + \frac{k_2 - k_1}{2} \left( \left( \frac{\partial g_1}{\partial x} \right)^2 + \left( \frac{\partial g_1}{\partial y} \right)^2 + \left( \frac{\partial g_1}{\partial z} \right)^2 \right). \end{cases}$$

Stossen drei verschiedenartige Körper in einer Linie zusammen, so wirken auf die Theile dieser Linie noch besondere, von der Capillarität herrührende Kräfte, welche mit einander im Gleichgewicht sein müssen. Fällt die Grenzlinie der Berührungsfläche zweier Flüssigkeiten in die Obertläche eines sesten Körpers, die hier keine scharse Kante darbietet, so ist die Bedingung für dieses Gleichgewicht die dass die Trennungsfläche der beiden Flüssigkeiten die Oberfläche des sesten Körpers unter einem bestimmten Winkel schneidet. Dieser Winkel muss derselbe sein, mögen mignetische Kräfte wirken oder nicht wirken.

2. Es kann der Fall stattfinden, dass das Gleichgewicht beim Eintritt der magnetischen Kräfte dadurch erhalten wird dass man den Druck in geeigneter Weise verändert, ohne dass irgendwo die geometrischen Verhältnisse geändert werden. Sind nur zwei Flüssigkeiten, 1 und 2, vorhanden, und sind de, und de, die Vergrösserungen, welche die Constanter ei und ez erfahren, wenn die magnetischen Kräfte in Wirksamkeit treten und das Gleichgewicht erhalten wird, so muss nach (4) die Berührungstäche:

(5) 
$$\begin{cases} \delta c_1 - \delta c_2 = -\frac{2\pi i (k_1 - k_1)^3}{1 + 4\pi k_2} \left(\frac{\partial q_1}{\partial \pi}\right)^2 \\ + \frac{k_2 - k_1}{2} \left(\frac{\partial q_1}{\partial x}\right)^2 + \left(\frac{\partial q_1}{\partial y}\right)^2 + \left(\frac{\partial q_1}{\partial x}\right)^2 \right) \text{ sein.} \end{cases}$$

Es werde nun angenommen, dass k, und k, als unendlich klein betrachtet werden dürfen. Diese Voraussetzung ist bei den von Hrn. Quincke untersuchten Flüssigkeiten erfüllt. Diejenige von ihnen, bei der k seinen grössten Worth hatte, war eine wässerige Lösung von Eisenchlorse von der Dichtigkeit 1,51, und für diese fand er 1):

$$k = 65 \cdot 10^{-6}$$

wenn für atmosphärische Lust diese Grösse gleich Null gesetzt wird. Ausser den beiden Flüssigkeiten 1 und 2 mogen
in dem magnetischen Felde noch seste polarisirbare Körper
vorhanden sein, für welche die Constante & chensalls unendlich kleine Werthe besitzt. Die Gleichung (5) vereinsacht
sich dann zunächst dadurch, dass das erste Glied ihrer
rechten Seite gegen das zweite vernachlässigt werden kann.

<sup>1)</sup> Hr. Quincke bat and semen Messungen eine Grösse berechnet die er I genannt hat, und die mit dem hier eingeführten k in der Kelstion steht: k = 1.2g.

Ferner darf für q, der Werth gesetzt werden, den das Potential haben würde, wenn überall in dem magnetischen Felde k=0 wäre, oder wenn (was gleichbedeutend hiermit sein soll) atmosphärische Luft das ganze magnetische Feld erfüllte. Bezeichnet man durch q diesen Werth, so wird die genannte Gleichung also:

$$\delta c_1 - \delta c_2 = \frac{k_1 - k_1}{2} \left[ \left( \frac{\partial q}{\partial x} \right)^2 + \left( \frac{\partial q}{\partial y} \right)^2 + \left( \frac{\partial q}{\partial x} \right)^2 \right].$$

Damit diese, für die Berührungssläche von 1 und 2 geltende Bedingung erfüllt werden kann, muss die magnetische Kraft für diese Fläche eine constante Grösse haben.

Die Flüssigkeit 1 sowohl als die Flüssigkeit 2 soll bis zu Orten reichen, in denen die magnetischen Kräfte, wenn sie erregt sind, eine verschwindend kleine Intensität besitzen; der Gleichung (1) zufolge sind dann  $\delta c_1$  und  $\delta c_2$  die Vergrösserungen, die der Druck hier erfährt, wenn die magnetischen Kräfte in Thätigkeit gesetzt werden und das Gleichgewicht erhalten wird. Endlich möge die Anordnung getroffen sein, dass die Druckänderung  $\delta c_2 = 0$  ist; die Druckvermehrung  $\delta c_1$  ist dann:

(6) 
$$= \frac{k_1 - k_1}{2} \left[ \left( \frac{\partial q}{\partial x} \right)^2 + \left( \frac{\partial q}{\partial y} \right)^3 + \left( \frac{\partial q}{\partial z} \right)^2 \right].$$

Nach dieser Formel hat Hr. Quincke seine Versuche herechnet. Die Voraussetzungen, die derselben zu Grunde liegen, waren bei ihnen in zwei verschiedenen Weisen verwirklicht. Bei der einen Methode diente eine gläserne, U-förmige Röhre, die mit der zu untersuchenden Flüssigkeit theilweise gefüllt war, und deren einer Schenkel zwischen den Poltlächen des Electromagnets, deren anderer ausserhalb derselben sich befand. Die zu untersuchende Flüssigkeit ist hier als die Flüssigkeit 1, die atmosphärische Luft als die Flüssigkeit 2 zu rechnen. Bei der anderen Methode erfüllte die zu untersuchende Flüssigkeit den größen Theil des Raumes zwischen den horizontal gestellten Poltlächen, während den Rest eine flache Luftblase einnahm, die beide Poltlächen herührte und mit einem aussen befindlichen Ma-

nometer communicirte. Hier ist die zu untersuchende Flasigkeit die Flüssigkeit 2, und die atmosphärische Luft de Flussigkeit 1.

3. Die hier angestellten theoretischen Betrachtunge: gelten auch, wenn statt der magnetischen Kräfte electrischthätig sind, und Hr. Quincke hat auch die Dielectricus constanten verschiedener isolirender Flüssigkeiten durch Versuche bestimmt, die den zuletzt erwähnten magnetischen Versuchen ganz ahnlich sind. Zwischen zwei horizontale Condensatorplatten, die in einem mit der zu untersuchende: Flüssigkeit gefüllten Gefässe aufgestellt waren, hatte er emflache Luftblase gebracht, die beide Platten berührte uz: durch eine in der oberen mündende Röhre mit einem Ma nometer communicirte, das ausserhalb des Gefässes sic befand. Wurde der Condensator geladen, so zeigte das Ma nometer eine Vermehrung des Druckes an. Auch für dies gilt der Ausdruck (6), obwohl hier die Grössen A, und nicht als unendlich klein zu betrachten sind, wenn nur Dicke der Luftblase (also der Abstand der Condensatorniatten) unendlich klein ist gegen ihre horizontalen Dimensioner

Es seien x=0 und  $x=\alpha$  die Gleichungen der innere Obertlächen der beiden Condensatorplatten,  $\varphi=0$  und q=l die Werthe des Potentials in diesen, wenn sie geladen sie. Alle in Betracht kommenden Grenzflächen heterogener Körpt sollen Rotationsflächen sein, deren gemeinsame Axe x-Axe ist. Welche Function  $\varphi$  von x, y, z in der Nähe de Randes der Luftblase ist, lässt sich mit den jetzigen Hülsmitteln der Analysis allgemein nicht finden, aber man wess Folgendes: Es ist  $\varphi$  überall eine Function von x and  $y^2+z^2$ ; für x=0 und  $x=\alpha$  verschwinden an den (berflächen der Condensatorplatten  $\partial \varphi/\partial y$  und  $\partial \varphi/\partial z$ , und it einer Entfernung vom Rande der Blase, die gross genut gegen  $\alpha$  ist, ist sowohl in ihr, als in der umgebenden Flessigkeit:

 $q = P \frac{x}{a}.$ 

Nun fasse man einen unendlich kleinen Raum ins Augder begrenzt ist durch die Ebenen x = 0 und  $x = \alpha$ . einen Theil der xy-Ebene, in dem y positiv ist.

eine Ebene, die durch die x-Axe gelegt ist. mit der xy-Ebene den unendlich kleinen Winkel & bildet und zwischen den positiven Theilen der y-Axe und der z-Axe sich befindet.

und endlich zwei Cylinderflächen, die um die x-Axe mit den Radien  $\beta_1$  und  $\beta_2$  beschrieben eind.

Diese Radien sollen so gewählt sein, dass die erste Cylinderläche in der Luft, die zweite in der äusseren Flüssigkeit in der Region sich befindet, in der der in (7) für  $\varphi$  angegebene Ausdruck gilt. Es muss dann  $\beta_2 - \beta_1$  unendlich gross gegen  $\alpha$  sein; dabei soll aber diese Differenz noch unendlich klein gegen die Werthe sein, die  $\beta_1$  und  $\beta_2$  selbst besitzen.

Es soll ausgedrückt werden, dass die Summe der y-Componenten der Kräfte verschwindet, welche auf die in dem bezeichneten Raume vorhandene Masse ausgeübt werden. Dabei sollen die electrischen Kräfte, welche hier wirksam sind, ersetzt werden durch die auf die Oberfläche wirkenden Druckkräfte, durch die sie ersetzt werden können, und deren Componenten durch  $A_x$ ,  $B_x$ .... bezeichnet werden mögen.

Fur die Ebenen x = 0 und  $x = \alpha$  ist  $\partial q / \partial y = 0$ , und, da allgemein:

$$B_{i} = -\left(\frac{1}{4\pi} + k\right) \frac{\partial \varphi}{\partial x} \frac{\partial \varphi}{\partial y}$$

ist, so tragen die Theile dieser Ebenen, welche zur Oberfläche des gedachten Raumes gehören, zu der gesuchten Summe nichts bei.

Was zu dieser Summe die Cylinderslächen, deren Radius  $\beta_1$  und  $\beta_2$  genannt sind, hinzubringen, ist, wenn man nur die Grössen der höchsten Ordnung berücksichtigt, den Index 1 auf die Lust und den Index 2 auf die umgebende Flüssigkeit bezieht:

$$= \alpha_1 \gamma_1 i \beta_1 k_1 - k_2 - k_1 + k_2 P^2$$

Der Theil der zy-Ebene, der zur Begrenzung des gedachten Raumes gehört, trägt auch nichts zu der zu bildenden Summe bei, da allgemein:

$$B_t = -\left(\frac{1}{4\cdot \tau} + k\right) \frac{\partial q}{\partial y} \frac{\partial q}{\partial s}$$

and hier  $\partial \varphi \ \partial z = 0$  ist.

Die letzte Begrenzungsfläche des betreffenden Raumehat die Grosse:  $\alpha(\beta_2 - \beta_1)$ ,

and die g-Componente des auf die Einheit ihrer Fläche bezogenen Druckes ist  $=C_1/r$ .

wo C unter der Annahme z=0 zu berechnen ist. Diese-C, ist von der Ordnung von  $P^1$   $a^2$ , und daher ist auch der Beitrag, den diese Fläche zu der in Rede stehenden Sunmliefert, unendlich klein gegen das in (8) angegebene Glied.

Daher ist die Gleichgewichtsbedingung, welche gelaldet

werden sollte:

$$0 = \alpha_1 \beta_1 \vartheta^{-k_1 - k_1 - k_1 + k_2} \frac{p_2}{2} + \beta_1 \vartheta \int_0^1 (p_1 - p_3) ds.$$

Drückt man hier  $p_1$  und  $p_2$  mit Hulfe von (1) aus, zicht von der dann entstehenden Gleichung diejenige ab, in die sie sich verwandelt, wenn man annimmt, dass die electrischen Krafte ausser Thätigkeit gesetzt sind, gibt den Zeichen  $\delta c_1$  und  $\delta c_2$  die entsprechende Bedeutung, wie bei der Discussion der magnetischen Versuche des Hrn. Quincke, und setzt auch hier  $\delta c_2 = 0$ , so erhält man für  $\delta c_1$ :

$$k_1 - k_1 P^1$$

einen Ausdruck, für den auch der Ausdruck (6) geschrieben werden kann.

4. Hr. Quincke brachte zwischen seine, durch eine isolirende Flüssigkeit getrennten Condensatorplatten eine Luttblase, die nur die obere Platte berührte; wurde der Condensator geladen, so verlängerte sich die Blase in der Richtung der Kraftlinien und zog sich zusammen in den auf dieses senkrechten Richtungen. Zwischen den Politächen seine Electromagnets zeigte unter entsprechenden Verhältnisses eine Luftblase diese Erscheinung nicht und auch ein hängen Tropfen verschiedener magnetischer Flüssigkeiten erlitt kein:

Formunderung, wenn der Magnetismus erregt wurde. Eine Anordnung, die ähnlich der eben erwähnten ist und keine Schwierigkeit der Rechnung darbietet, soll hier theoretisch verfolgt werden.

Der Raum, soweit er in Betracht kommt, sei von zwei Flussigkeiten, 1 und 2. erfullt, die, wenn die electrischen der magnetischen Kräfte nicht wirken, durch eine Kugelsische vom Radius R getrennt sind. Damit das der Fallbein kann, muss die Schwere unwirksam sein. Sind die electrischen oder magnetischen Kräfte erregt, so sollen sie ein Potential erzeugen, dass in der äusseren Flüssigkeit, der Flüssigkeit 2. in grosser Entfernung von der Flüssigkeit 1 der Gleichung:

$$q_2 = -a_3 x$$

genügt, wo a<sub>3</sub> eine Constante ist. Es soll die Gestalt beatimmt werden, die dabei die Grenzfläche der beiden Flüssigkeiten annimmt. Für dieselbe ergibt sich aus der Gleichung 4, die Bedingung:

(10) 
$$\delta c_1 = \frac{H}{2} \begin{pmatrix} \frac{1}{r} + \frac{1}{r} - \frac{2}{R} \end{pmatrix} - \frac{2\pi}{1 + 4\pi} \frac{k_1 - k_1}{4\pi} \frac{(\partial \varphi_1)^2}{\partial \pi} + \frac{k_2 - k_1}{2} \frac{(\partial \varphi_1)^2 + (\partial \varphi_1)^2 + (\partial \varphi_1)^2}{\partial x} + \frac{(\partial \varphi_1)^2}{2\pi} \frac{k_2 - k_1}{2\pi} \frac{(\partial \varphi_1)^2 + (\partial \varphi_1)^2}{\partial x} \right).$$

Es hat die Flüssigkeit 1 einen Mittelpunkt; in diesen lege man den Anfangspunkt der Coordinaten. Die gesuchte Fläche ist dann eine Rotationsfläche, deren Axe die x-Axe ist, und für ihren Schnitt mit der xy-Ehene ist daher:

$$\pm \left(\frac{1}{r} + \frac{1}{r}\right) = \frac{1}{y} \frac{dx}{V dx^2 + dy^2} + \frac{1}{dy} d \frac{dx}{V dx^2 + dy^2}$$

Setzt man:

$$x = \rho \cos \theta$$
  $y = \rho \sin \theta$ ,

ainmt & als unabhängige Variable an und macht:

$$\frac{d\varrho}{d\vartheta} = \varrho \,, \qquad \frac{d^{z}\varrho}{d\vartheta}, = \varrho' \,,$$

wird diese Gleichung:

$$\pm \left(\frac{1}{r} + \frac{1}{r}\right) = \frac{e^{-\cos\theta} - e^{\sin\theta}}{e^{\sin\theta} + e^{i}} + \frac{e^{-2}e^{2} - e^{i}}{1e^{2} + e^{i}}$$

Man setze ferner:

$$\varrho = R (1+u)$$

und nehme u als unendlich klein an. Man erhält dann indem man die Zweideutigkeit des Vorzeichens durch die Erwägung hebt, dass, wenn u verschwindet, r=r=R wird

(1) 
$$\begin{cases} \frac{1}{r} + \frac{1}{r} - \frac{2}{R} = -\frac{1}{R} \frac{d^{3}u}{du^{3}} + \operatorname{ctg} \vartheta \frac{du}{du} + 2\pi 1 \text{ oder} \\ = -\frac{1}{R} \left[ (1 - \mu^{3}) \frac{d^{3}\pi}{du^{4}} - 2\pi \frac{d\nu}{d\mu} + 2\pi \right], \end{cases}$$

went:  $\mu = co$ 

Die Functionen  $q_1$  und  $q_2$  sind aus der Differentisleischung dq = 0, der sie genügen müssen, der Bedingung 9 und den Bedingungen 3, zu bestimmen. Die letzten sind da 4 als unendlich klein angenommen ist, zu erfüllen ist q = R. Daraus folgt

$$q_{1} = -a_{1} \varrho \, u_{1} \qquad q_{2} = -\left(a_{2} \varrho + \frac{b_{2} \, k^{2}}{\varrho^{2}}\right) \mu,$$

$$w_{0} \cdot a_{1} = \frac{3}{3 + 4\pi \, (k_{1} + 2 \, k_{2})}, a_{2}, \qquad b_{2} = \frac{4\pi \, (k_{2} + k_{1})}{3 + 4\pi \, (k_{1} + 2 \, k_{2})}, a_{2},$$

$$\left(\frac{\partial q_{1}}{\partial u}\right)^{2} = a_{1}^{2} \, u^{2}, \quad \left(\frac{\partial q_{1}}{\partial u}\right)^{2} - \left(\frac{\partial q_{1}}{\partial u}\right)^{2} + \left(\frac{\partial q_{1}}{\partial u}\right)^{2} = a_{1}^{2}$$

$$(\frac{\partial q_{1}}{\partial u})^{2} = a_{2}^{2} \, u^{2}, \quad \left(\frac{\partial q_{1}}{\partial u}\right)^{2} - \left(\frac{\partial q_{1}}{\partial u}\right)^{2} + \left(\frac{\partial q_{1}}{\partial u}\right)^{2} = a_{1}^{2}$$

Substituirt man diese Werthe, sowie den Ausdruck :11 in die Gleichung (10), so erhält man-

$$A = -\frac{2R}{H} \left[ \delta c_1 + \frac{k_1}{2} - 2u \frac{du}{du} + 2u = A - Bu^2 \right],$$

$$A = -\frac{2R}{H} \left[ \delta c_1 + \frac{k_1}{2} - \frac{k_2}{4} a_1^2 \right],$$

$$B = \frac{R}{H} \frac{4\pi}{1 + 4\pi k_2} a_1^2,$$

Waren A und B=0, so ware diese Gleichung die Differentialgleichung für die Kugelfunctionen erster Ordnung von einem Argument. Ein particuläres Integral der gefundenen Gleichung ist:

$$u = \frac{A}{2} - \frac{B}{4} (1 + u^2)$$

das allgemeine erhalt man, wenn man die Ausdrücke-

$$\mu$$
 und  $\frac{1}{4}\mu \log \frac{1+\mu}{1-\mu} - 1$ ,

mit willkürlichen Constanten multiplicirt, hinzufügt. Diese Constanten sind hier aber gleich Null zu setzen, da  $\mu$  für  $\mu = \pm 1$  und  $\mu = -1$  endlich bleiben und denselben Werth annehmen muss, denselben Werth, da der Anfangspunkt der Coordinaten in den Mittelpunkt der Flüssigkeit 1 gelegt ist. Die Annahme, dass dieselbe incompressibel sei, gibt eine Relation zwischen den Constanten A und B: in der That folgt aus ihr:

$$\int_{-1}^{+1} n du = 0, \text{ d. h. } A = \frac{1}{3}B.$$

sodass sich ergibt:  $u = \frac{B}{4} (u^2 - \frac{1}{2}).$ 

Hiernach erleidet die Flüssigkeit 1 in der Richtung der Krafthmen eine Dilatation, die

$$= \frac{B}{6} \text{ d. h. } = \frac{R}{3H} \frac{2\pi (k_1 - k_2)^2}{1 + 4\pi k_2} a_1^2,$$

in jeder darauf senkrechten Richtung eine Contraction, die halb so gross ist. Die Dilatationen und Contractionen, die stattfinden, sind mit dem Quadrate der Differenz  $k_1 - k_1$  proportional; darauf beruht es, dass sie im electrischen Felde, wo diese Differenz einen erheblichen Werth hat, sich zeigen, während sie im magnetischen Felde, wo dieselbe ungemein klein ist, sich der Beobachtung entziehen.

5. Es soll schliesslich die Formänderung berechnet werden, die eine Kugel von Eisen erfährt, wenn sie durch eine constante magnetische Kraft magnetisirt wird.

Diesem Falle entspricht es, dass in grosser Entfernung von der Kugel:  $\alpha = -Jx$ 

ist, J ist dann die Intensität der magnetisirenden Kraft, die Richtung der x-Axe ihre Richtung. Für die umgebende Luft werde k=0 gesetzt und das Zeichen k auf das Eisen bezogen, dann ist im Inneren der Kugel:

$$\varphi = -\frac{J}{1 + \frac{4\pi}{3}k}x.$$

Daraus folgt, dass die in meiner citirten Abhandlung 1/1 G. Kirchhoff, Sitzungsber d. Berl. Acad. v. 24, Febr. 1884. p. 145.

mit A. B. C bezeichneten Kräfte verschwinden, und die mit A. B. C bezeichneten Druckkräfte, wenn man den Antergepunkt der Coordinaten in den Mittelpunkt der Kugel legt und ihren Radius mit B bezeichnet, diese Werthe annehmen

$$A = \frac{J^{4}}{\left(1 + \frac{4\pi}{3}k\right)^{3}R^{2}} \left(2\pi k^{2}x^{2} + \frac{k - k - k}{2} - R^{2}x\right),$$

$$\tilde{B} = \frac{J^{2}}{\left(1 + \frac{4\pi}{3}k\right)^{3}R^{2}} \left(2\pi k^{2}x^{2}y + \frac{k - k}{2} - R^{2}y\right),$$

$$\tilde{C} = \frac{J^{2}}{\left(1 + \frac{4\pi}{3}k\right)^{3}R^{2}} \left(2\pi k^{2}x^{2}z + \frac{k - k}{2} - R^{2}z\right).$$

Nennt man u. c. w die Componenten der Verrückung welche infolge der Magnotisirung der materielle Punkt der Kugel erfährt, welcher vorher die Coordinaten x, y, z hatte und setzt.

$$(13) \begin{vmatrix} N_{c} = -2K(\frac{\hat{c}u}{\hat{c}x} + \Theta\sigma) & Y_{i} = Z_{y} = -K | \frac{\hat{c}v}{\hat{c}x} + \frac{\hat{c}u}{\hat{c}y} \\ Y_{y} = -2K(\frac{\hat{c}v}{\hat{c}y} + \Theta\sigma) & Z_{z} = N_{z} = -K | \frac{\hat{c}w}{\hat{c}x} + \frac{\hat{c}u}{\hat{c}z} \\ Z_{i} = -2K(\frac{\hat{c}w}{\hat{c}z} + \Theta\sigma) & X_{y} = Y_{z} = -K | \frac{\hat{c}w}{\hat{c}y} + \frac{\hat{c}v}{\hat{c}z} \\ \sigma = \frac{\hat{c}u}{\hat{c}x} + \frac{\hat{c}v}{\hat{c}y} + \frac{\hat{c}w}{\hat{c}z}, \end{aligned}$$

so hat man intolge davon, dass die Kräfte A. B. C giere's Null sind:

(14) 
$$\begin{vmatrix} \frac{\partial X_y}{\partial x} + \frac{\partial X_y}{\partial y} + \frac{\partial X_z}{\partial z} = 0, & \frac{\partial Y_z}{\partial x} + \frac{\partial Y_y}{\partial y} + \frac{\partial Y_z}{\partial z} = 0, \\ \frac{\partial Z_z}{\partial x} + \frac{\partial Z_y}{\partial y} + \frac{\partial Z_z}{\partial z} = 0, \end{aligned}$$

und für  $x^2 + y^2 + z^2 = R^2$  ist:

(15) 
$$RA = -\langle x X_x + y X_y + z X_t \rangle$$
$$RB = -\langle x Y_x + y Y_y + z Y_t \rangle$$
$$RC = -\langle x Z_y + y Z_y + z Z_t \rangle$$

Aus den Gleichungen 12), (13), (14), (15) sind u, v, w zu berechnen. Ihre Ausdrücke lassen sich, wie die in (12), angegebenen Ausdrücke von  $A, \overline{B}, C$  aus je drei Theilen zusammensetzen, von denen der erste den Factor  $2\pi k^2$ , der zweite den Factor (k-k')/2, der dritte den Factor -k'/2 enthalt; man kann daher setzen:

$$16. \begin{cases} u = \frac{J^2}{(1 + \frac{4\pi}{3}k)} (2\pi k^2 u_1 + \frac{k - k}{2} u_2 - \frac{k}{2} u_3), \\ v = \frac{J^2}{(1 + \frac{4\pi}{3}k)} (2\pi k^2 v_1 + \frac{k - k}{2} v_2 - \frac{k}{2} v_1), \\ w = \frac{J^2}{(1 + \frac{4\pi}{3}k)} (2\pi k^2 w_1 + \frac{k - k}{2} w_2 - \frac{k}{2} w_3). \end{cases}$$

 $u_1$ ,  $v_1$ ,  $w_1$  oder  $u_2$ ,  $v_2$ ,  $w_3$  oder  $u_3$ ,  $v_3$ ,  $w_3$  müssen dann den tileichungen genugen, die aus den für u, c, w aufgestellten entstehen, wenn man (12) ersetzt durch:

(17) 
$$\overline{A} = \frac{x^4}{\overline{R}^3}, \quad \overline{B} = \frac{x^4y}{\overline{R}^3}, \quad \overline{C} = \frac{x^4z}{\overline{R}^3},$$

oder durch:

(18) 
$$\overline{A} = \frac{s}{R}$$
,  $\overline{B} = \frac{s}{R}$ ,  $\overline{C} = \frac{z}{R}$ ,

oder durch:

(19) 
$$\vec{A} = \frac{x}{R}$$
,  $\vec{B} = 0$ ,  $C = 0$ .

Den für  $u_1, v_1, w_1$  geltenden Bedingungen kann man durch die Annahme:

(21) 
$$\begin{cases} u_1 = a_1 x^2 + b_1 (y^2 + z^2) x + c_1 R^3 x \\ c_1 = a_1 x^2 y + b_1' (y^2 + z^2) y + c_1' R^2 y \\ w_1 = a_1' x^2 z + b_1' (y^2 + z^2) z + c_1' R^2 z \end{cases}$$

genügen, wenn man die sechs Constanten  $a_1$ ,  $b_1$ ,  $c_1$ ,  $a_1$ ,  $b_1$ ,  $c_1$  passend bestimmt. Bei dieser Annahme geben die Gleichungen (13):

$$\sigma = .3a_1 + 2a_1' \cdot x^2 + b_1 + 4b_1' \cdot (y^2 + z^2 + (c_1 + 2c_1') R^2,$$

$$X_x = -2K \cdot 3a_1 \cdot x^2 + b_1 \cdot (y^2 + z^2) + c_1 R^2 + \Theta\sigma$$

$$Y_y = -2K \cdot (a_1 \cdot x^2 + b_1' \cdot (3y^2 + z^2) + c_1' R^2 + \Theta\sigma$$

$$Z_1 = -2K \cdot (a_1' \cdot x^2 + b_1' \cdot y^2 + 3z^2) + c_1 R^2 + \Theta\sigma$$

$$Y_t = Z_y = -4Kb_1 yz$$

$$Z_z = X_t = -2K a_1' + b_1 zx$$

$$X_y = Y_z = -2K a_1' + b_1) xy.$$

Hiernach reduciren sich die Gleichungen 14 Machen Relationen zwischen den eingeführten Conststate

$$0 = 3a_1 + a_1 + b_1 + \Theta \ 3a_1 + 2a_1 0 = a_1 + b_1 + 8b_1 + 2\Theta(b_1 + 4b_1).$$

Die Gleichungen (15) ergeben bei Rücksicht auf wenn man  $x^2 + y^2 + z^2$  für  $R^2$  in den Ausdrückes  $X_z$ ,  $Y_z$ ,  $Z_z$  setzt:

$$\frac{1}{2KR^3} = 3a_1 + c_1 + \Theta \ 3a_1 + 2a_1 + c_1 + 2c_1$$

$$0 = a_1 + 2b_1 + c_1 + \Theta(b_1 + 4b_1) + c_1 + 2c_1$$

$$\frac{1}{2KR^3} = 2a_1 + b_1 + c_1 + \Theta(3a_1 + 2a_1 + c_1 + 2c_1)$$

$$0 = 3b_1 + c_1 + \Theta(b_1 + 4b_1) + c_1 + c_1.$$

So hat man sechs Gleichungen für die sechs Unleiten  $a_1, b_1, c_1, a_1, b_1', c_1'$ ; ihre Audösung gibt:

$$\begin{aligned} & (21) \left\{ \begin{array}{l} b_1 = (7+8\,\Theta) \frac{\sigma_1}{4\,\Theta}, & a_1 = -\,(7+6\,\Theta) \frac{\sigma_1}{4\,\Theta}, & b_2 = -\,2\,\Theta, \\ c_1 = -\,\frac{7+81\,\Theta+32\,\Theta^2}{1+3\,\Theta} \frac{\sigma_1}{4\,\Theta}, & c_1 = \frac{6\,\Theta+16\,\Theta^4}{1+3\,\Theta} \frac{\sigma_1}{4\,\Theta}, \\ \end{array} \right. \\ & \text{und:} \qquad \qquad \frac{1}{2\,K\,R^3} = -\,(7+19\,\Theta) \frac{\sigma_1}{4\,\Theta}. \end{aligned}$$

Man kann ferner:

(22)  $w_1 = a_2 x$ ,  $v_2 = a_2 y$ ,  $w_2 = a_2 z$  setzen, woraus nach (13) folgt:

$$\alpha = 3 u_2 
X_x = Y_y = Z_z = -2 K(1 + 36) a_2 
Y_z = Z_x = X_y = 0;$$

dabei werden die Gleichungen (14) erfüllt, und die chungen (15) geben mit Hülfe von (18):

(28) 
$$a_2 = \frac{1}{2K_1 1 + 3\Theta}.$$

Endlich mache man:

(24) 
$$u_3 = a_3 x$$
,  $v_4 = b_3 y$ ,  $w_5 = b_3 z$ ;  
dahei wird:  $\sigma = a_3 + 2b_3$   
 $X_z = -2K(a_3 + \Theta(a_3 + 2b_3))$ ,  $Y_y = Z_z - 2K(b_3 + \Theta(a_3 + 2b_3))$   
 $Y_z = Z_z = X_y = 0$ .

Auch hier werden die Gleichungen 14) von selbst er-Ut, und die Gleichungen (15) geben bei Rücksicht auf 19,:

$$a_3 = \frac{1 + 2\Theta}{2K(1 + 3\Theta)}, \quad b_3 = -\frac{\Theta}{2K(1 + 3\Theta)}$$

Substituirt man in die Gleichungen (16) die in (20), (21), (23), (24), (25) gegebenen Ausdrücke, so hat man die sung der vorgelegten Aufgabe.

L'm die Werthe der Verrückungen w. v. w numerisch rechnen zu können, muss man zunächst die Grösse kanen. Es ist dieselbe in der hier zu Grunde gelegten heorie als eine Constante vorausgesetzt, man weiss aber, se sie thatsächlich in hohem Grade veränderlich ist; man hliesst sich, bei beliebiger Gestalt des Eisenkörpers und liebig gegebenen magnetisirenden Krüften, näher an die irklichkeit an, wenn man k als eine durch Beobachtungen bestimmende Function von:

$$\sqrt{\frac{\partial q}{\partial z}^2 + \left(\frac{\partial q}{\partial y}\right)^2 + \left(\frac{\partial q}{\partial z}\right)^2}$$

nimmt. Bezeichnet man dieses Argument durch R und mmt als Einheit dafür:

nuss für magnetische Kräfte eingeführte, so ergeben die under Hrn. Stoletow') ausgeführten Messungen, dass k von 5 bis 174 zunimmt, wenn R von 0.43 bis 3,2 wächst und 42.1 sinkt, wenn R weiter bis 31 vergrössert wird. Für de Eisenkugel, die unter dem Einfluss einer constanten agnetisirenden Kraft J steht, gelten die unter der Anhme, dass k eine Constante ist, abgeleiteten Formeln auch Rucksicht auf die Veränderlichkeit dieser Grösse, nur der Werth derselben verschieden zu setzen je nach dem erthe von J; er ist zu bestimmen aus der Beziehung ischen k und R und der Gleichung:

$$\Re = \frac{J}{1 + \frac{4\pi}{3} k} \cdot$$

1) Stoletow, Pogg. Ann. 146, p. 461, 1872.

Es water

$$4 = 21.4 \text{ oder} = 175 \text{ oder } 42.1$$
 for  $J = 39.1 \text{ oder} = 2340 \text{ oder} 54500$ 

Leter die Werthe von i uni i hat man zur hi Erfahrung Setzt man aber voraus, dass eie nicht z gegen i und und nummt an dass die Kraft J zwischen kleinsten und dem grössten der eben angeführten Wei liegt, so braucht man bei der Berechnung der für die U strikungen u. c. er in (16 gegebenen Ausdrücke i und und auch i, nicht genauer zu kennen, man kann dann i unendlich gross betrachten und schreiben.

(2b) 
$$u = \frac{6}{6\pi}J^2u_1, \quad v = \frac{6}{6\pi}J^2v_1, \quad w = \frac{6}{6\pi}J^2v_2.$$

Ist E der Elasticitätscoesticient des Eisens, so ist

$$E = 2K \frac{1 + 249}{1 - 249}$$

und setzt man mit Poisson

no geben daher die Gleichungen 21,

$$\begin{split} a_1 &= -\frac{5}{33} \frac{1}{ER^4}, \quad b_1 = -\frac{5}{6} \frac{1}{ER^4}, \quad c_1 = -\frac{61}{66} \frac{1}{ER} \\ a_1 &= -\frac{25}{33} \frac{1}{ER^4}, \quad b_1 &= -\frac{5}{66} \frac{1}{ER^4}, \quad c_1 = -\frac{7}{33} \frac{1}{ER^4} \end{split}$$

Aus (20) und (26, folgt hiernach:

$$u = \frac{3}{176\pi} \frac{J^2}{ER^4} \left( -10x^3 - 55 y^2 + z^2 yz + 61R^2 x \right),$$

$$v = \frac{3}{176\pi} \frac{J^2}{ER^2} \left( 50x^2y + 5 y^2 + z^2 yz - 14R^2 y \right),$$

$$w = \frac{3}{126\pi} \frac{J^4}{ER^2} \left( 50x^2z + 5 (y^2 + z^2z - 14R^2z) \right).$$

Für die räumliche Dilatation a ergibt sich daber

$$\sigma = \frac{3}{176\pi} \frac{J^*}{ER^3} (70x^2 - 35(y^2 + z^2) - 33R^3).$$

Ein Radius der Kugel, der die Richtung der mag tistrenden Kraft hat, erleidet die Verlängerung.

em Radius, der senkrecht zu dieser Kraft ist, die Verkurzung

Ein magnetisches Feld, wie es hier vorausgesetzt ist, kann mit Hulfe eines electrischen Stromes hervorgebracht werden, der eine Spirale durchtliesst, welche die Eisenkugel umgibt und so lang ist, dass die magnetische Kraft des Stromes in dem Raume, den die Kugel einnimmt, als constant betrachtet werden kann. Ist n die Zahl der Windungen, die auf ein Centimeter in der Richtung der Länge der Spirale kommen, und i die Intensität des Stromes in Ampères ausgedrückt, so ist dann:

$$J = \frac{4\pi}{10} \, \text{M}_{1} \, \text{g}^{(1)}$$
, sec.

etzt man für den Elasticitätscoëfficienten des Eisens:

$$E = 1.88 \cdot 10^{12} \frac{g}{\text{cm}^{-3} \text{sec}^{1}}$$

so ergiht sich die Verlängerung eines Radius der Kugel, der der Axe der Spirale parallel ist:

$$= n^2 r^2, 2.32, 10^{-18}, R.$$

Schon im Jahre 1847 hat Joule die Verlängerungen gemessen, die Eisenstäbe erfahren, wenn sie in einer Spirale magnetisirt werden, Verlängerungen, welche im Maximum 1.4 Milliontel der Länge betrugen. Achnliche Messungen bei einer Kugel auszusühren, würde wegen der Kleinheit der Formänderungen kaum möglich sein.

<sup>1)</sup> Jonte, Phil Mag. 30, p 76, 225, 1847

"I Bestimmung einiger Leibungsvorzbewiten in Versuche über den Lingtum der Magnetinens und Electrisirung auf die Beibung der Fliumkeiten; von Walter König.

Es cirrie van Interesse sein einige Renaungs eft in ten in interesse sein einigen philadesche leistigen philadesche Institute georgeath in bestimmt habe. Die Messangen Wiener int interesse der Philadesche in nach der des Austresse die interesse der General aus in besten Fallen Affirste und der Form der van Him Grantinan beschriebend benatit. Ich grob innächst die Dimenausen dieser Approxi-

#### I. Schwingangeapparet

	Gr and 500000	Larine Sonatte
Durenmener der Scheibe 2R	12 075 cm	5 1474 00
Theke der tichester 3 .	0.2414 .	estable a
Asusserez Durchmesser des Kinges	11,0994 w	6 mgt -
Inneres " " "	9 pm/2 ==	Spinet,
Gewicht des Ranges	155.4314 g	75 4 m 1 g
Tragtestamoment des linges	4734 550 g cm²	AND NOT EST
Nationagangulaner obne King T	25,2.43	9.1202
· · · · · · · · · · · · · · · · · · ·	34,4509	11555
Traghestemoment M des Apparates .	5478,559 g cm <sup>2</sup>	731,275 g rtt
Logarithmachea Decrement in Luft 1,	0,006 325	Upda Ara

Aus dem logarithmischen Decrement λ, beim Schwinge in der betreffenden Flüssigkeit und aus dem specifischen Ge wichte s der Flüssigkeit berechnet dann Hr. (†rotrian der Renhungscoefficienten η in g-cm-sec, mittelst der Formel:

$$\begin{split} \gamma &= \frac{1}{\pi R_i (R^i + 2R^2 \delta)^3} \frac{1}{\pi} \left[ \lambda_i - \lambda_0 + \left( \lambda_1 - \lambda_0 \right)^2 + \frac{3}{4} \left( \lambda_1 - \lambda_0 \right)^3 + \frac{3}{$$

Grotrian, Pogg. Ann. 157. p. 180-146 237-257, 1876, Wie
 Ann. 8 p. 529-554, 1879.

#### IL Ausflussapparat.

Volumen, das unter dem constanten Drucke P in der Zeit T aussliesst:  $I=38.0003\,\mathrm{ccm}$  bei  $15.9^{\circ}\,\mathrm{C}$ . Kurze Capillar-röhre: Lange  $l=9.87842\,\mathrm{cm}$ ; Radius  $r=0.01977\,\mathrm{cm}$ . Lange Capillarröhre: Länge l=16.0832; Radius r=0.01994. Höhe der Mitte der Ausslussöffnung über der Mitte der Kugel:  $h=12.59\,\mathrm{cm}$ . Ist dann H die Quecksilberhöhe im Manometer, s das specifische Gewicht der Flüssigkeit und g die Beschleunigung durch die Schwere, so lautet die von Hrn. Grotrian zur Berechnung benutzte Gleichung:

$$\label{eq:energy_energy} \gamma_i = \frac{\pi \, r^i \, P \, T}{\pi \, \sigma \, t} - \frac{\sigma \cdot v}{2} \cdot \frac{1}{r_i \, \sigma \, t} \cdot \frac{1}{T} \, ,$$

worm der Druck P gegeben ist durch:

$$P = H.13,5953 - hs.$$

Die Dimension von , ist nach dieser Formel MT L<sup>2</sup>. Hr. Grotrian wählt mg-cm-sec zu Einheiten und gelangt auf diese Weise zu Werthen, welche mit den nach der Formel für schwingende Scheiben berechneten Werthen von , die gleiche Grössenordnung haben. Es wird dadurch leicht der Anschein erweckt, als ob die beiden so erhaltenen Werthe von , miteinander vergleichbar wären. Das sind sie aber in Wirklichkeit nicht, wie schon aus der Verschiedenheit der Dimension hervorgeht. , ist nach der letzten Formel in conventionellem, nach der ersten in absolutem Maasse gegeben. Um diesem Lebelstande abzuhelfen und die Zahlen miteinander vergleichbar zu machen, muss man den Druck P in absolutem Maasse messen, d. h.:

$$P = (H.13,5953 - h \cdot g)$$

und dementsprechend im Nenner des Correctionsgliedes das y fortlassen, weil die Masse der bewegten Flüssigkeit einfach durch das Gewicht der Volumeneinheit, d. h. durch s, gemessen wird. Dadurch wird die Dimension von n auch nach dieser Formel M LT, und man kann den Berechnungen

<sup>11</sup> Vgl. H. Herwig, Physikalische Begriffe und absolute Maasse. Letpzig 1880, p. 18-20, 31-32.

in beiden Fällen die gleichen Einheiten zu Grunde legen. Die I mrechnung der Grotrian'schen Zahlen für den zweiten Fall auf die Maasse des ersten wurde also einfach in einer Multiplication mit q 1000 bestehen. Die sämmtlichen unter mitgetheilten Reibungsconstanten sind in diesem absoliten Maassestem nach giem-see berechnet.

Die Messungen bezogen sich hauptsächlich auf Fiüssigkeiten, welche Hr. Prof. Quincke bei seinen electrischen
Untersuchungen! verwandt hatte. Ich füge zur Vergleichung
der Resultate, die an den von mir henutzten Apparaten erhisten wurden, mit den Beobachtungen anderer die Werth
für destillirtes Wasser hinzu. Die Temperatur t wurde bei
dem Schwingungsapparat vor und nach jedem Versuch in
der Flüssigkeit selbst bestimmt, bei dem Austlussapparat
während des Versuches mehrfach an einem in unmittelbarer
Nähe der Capillarrohre angebrachten Thermometer abgelesen

Schwingungsappi	Amdasapparat					
4,	1 5	_	H	T	1	
	t. Destilli	rtes Wass	er			
Kleine Scheibe 0,095 347 1 Grosie Scheibe 0,301 571 1		Lange   1 Robre	etn 2,49 7,74 0.08 0,02 6,11	253,2" 784 4 884,2 910,8 1546,4	17,0° 15,5 16,9 17,0 18,1	0.011 , 9 0 7 3 (60 38 3 0174 (50)
2. Schwe	felkohlenst	off (e = 1,2	:657 b	ei 16,9°).		
Kleine Scheibe 0,000 582   Grosse Scheibe 0.188 724		Robre   Lange   1	0,12 6,45 6,09 6,11	246,2 990.0 346.6 604,2	17,7 17,5 17,6 17,7	aprox a a ic a a out c
3, Ae	thy litther (	s = 0.7213 b	ei 15.	,9°).		
Kleine Scheibe 0,039 209 1 Grosse Scheibe 0,116 466 1		Rohre   Lange   1	1.455 0,070 9,855 6,000 5,297 0,090 6,115	139,8 170,0 172,8 263,2 285,2 222,2 368,0	17,8 18,0 17,5 18,4 17,5 18,1 17,4	0 +1 %; 6 + , * 0 + , * 0 + , * 1 + , * 1 + , * 0 + , *

<sup>1)</sup> G Quincke, Wied. Ann. 19. p. 725, 1883.

Behwu	ngungs i) j	arat			A isfl-	-8 () 1 HI	at	
		1	4,		H	T	İ	1,
	4. Lei	chte	s Benze	$1 \ (s=0,$	8064 bei	15,4%		
Kleine Scheibe Grosse Scheibe				Kurze Rohre Lange Rohre	14,870 9,870 9,850 5,115 5,085 10,085 6,115	198,8 308,6 257,6 594,4 552,8 424,4 735,0	16.9 16,6 17,1 16,7 16,1 17,8 17,5	0.00545 0.00550 0.00535 0.00535 0.00520 0.00526
	5 Sch	were	es Benze	of $a = 0$	,9792 bei	16,7%),		
Kleine Scheibe Grosse Scheibe				Lange   Rohre	10,05 6,10	558,0 978,0	17,1 17,1	0,00686 0,01691
		- ^		z = 0.871	19 bei 11,	Mal.		
Kleine Scheibe Grosse Scheibe				Lange   Robre	6,07	1486,2 2597,6	13,7	0,01848

Bei den Bestimmungen mit schwingenden Scheiben ergibt die kleine Scheibe stets grössere, zum Theil bedeutend grössere Werthe, als die grosse. Ebenso führt beim Ausflussapparat die Anwendung der kurzen Röhre durchschnittlich zu grösseren Werthen von ,, als die der langen, und ausserdem ist ersichtlich, dass die Stärke des Druckes, unter dem die Flüssigkeit ausströmt, bei der kurzen Röhre einen Einfluss auf das Resultat hat. Besonders auffallend ist dies beim Aethyläther, wo mit der kurzen Röhre der Reibungscoëfficient regelmässig um so grösser austiel, je grösser der Druck war, während mit der langen Röhre für ähnlich verschiedene Drucke nahezu gleiche Resultate erhalten wurden. Offenbar sind die am Anfang und Ende der Röhre im Pliessen auftretenden Unregelmässigkeiten so stark, dass sie bei der kurzen Röhre noch nicht gegen den Einfluss der Röhre selbst verschwinden. Immer jedoch stimmen die Resultate für denselben Apparat unter sich besser überein, als mit denen des anderen Apparates. Hier zeigen sich starke Differenzen, wie die folgende Zusammenstellung der Mittelworthe für die beiden Apparate übersichtlicher erkennen lasst. Es sind in derselben aber nur die zuverlässigeren

Zahlen. d. h. die mit der grossen Scheibe und der langen Röhre erhaltenen berücksichtigt. Die Duferenzen habe ich sowohl absolut als in Procenten der grösseren der beiden Zahlen beigefügt.

	Schwingungs	Apartes	Daffi renz	Dall now in Pric
Agthylather	0,00374	0,00256	0.00018	6,6
Selive felkohlenstoff .	0 +/0451	0,403%8	0,00063	14.0
Leichtes Benzol	0,000327	0,00523	6,00104	16 8
Schweres Benzol .	0.0a862	0,50,654	0.00174	20.2
Describirtes Wasser .	0,01587	0,04096	0,00491	81.2
Terpentinöl	0,02896	0,01865	0,00971	84,2

Die mit schwingenden Scheiben erhaltenen Werthe sied stets grösser als die mit dem Austlussapparat gefundenen und wenn auch die Temperatur bei den Versuchen der ersten Art stets etwas niedriger war als bei denen der zweiten, wie sind die Differenzen der i, doch zu gross, als dass sie davon allein herrühren könnten. Die Tabelle zeigt ferner, dass diese Differenzen, sowohl die absoluten als die procentischen um so grösser sind, je grösser die Reibungsconstante select ist. Uebrigens zeigen die Beobachtungen von Hrn. Grotrian dieselben Differenzen, wie überhaupt die von mir gefundenen Werthe für destillirtes Wasser mit den von Hrn. Grotrian nach denselben Methoden bestimmten Werthen nahezu übereinstimmen.

Die electrischen Untersuchungen, mit welchen Hr. Prof. Quincke zu gleicher Zeit beschäftigt war, legten die Frage nahe, ob magnetische oder electrische Kräfte bei der starken Einwirkung, die sie auf die Theilchen magnetischer oder dielectrischer Flüssigkeiten ausüben, auch die innere Reibung dieser Flüssigkeiten zu beeinflussen im Stande wären, und es möchte nicht unnützlich sein, die hierüber angestellten Versuche zu beschreiben, obwohl sie — um dies vorweg zu nehmen — ein negatives Resultat ergeben haben.

Zur Prüfung des Einflusses magnetischer Kräfte auf die Reibung wurde natürlich eine Flüssigkeit von besonderstark magnetischen Eigenschaften gewählt: concentrirte Lö-

sung von Mangansulfat. Die Magnetisirung wurde mit Hülfe eines Ruhmkorff'schen Electromagnets) in der Weise bewerkstelligt, dass der capillare Theil des Ausflussapparates zwischen die auf ca. 7 mm genäherten Politächen des Magnets gebracht wurde. Um einen verhältnissmässig grossen Theil der Capillarröhre im magnetischen Felde zu haben. wurde die kurze Röhre für diese Versuche gewählt, und um ein möglichst starkes Feld zu erzielen, die zugeschärsten Pole mit rechteckigen Endflächen bei horizontaler Lage der langen Kante benutzt.2) Erregt wurde der Magnet durch 3 und durch 6 Bunsen'sche Elemente. Die Stärke des Feldes wurde nicht bestimmt; doch lässt sie sich aus den in der soeben citirten Abhandlung von Hrn. Prof. Quincke gegebenen Daten abschätzen auf ca. 6300 - 6400 cm-g-sec. fur 3, und auf ca. 7200-7300 cm-g-sec. für 6 Elemente. Ich erhielt folgende Werthe für die Austlusszeiten:

Ohne Magnetisirung	H = 13.99  cm:	$t = 17.8^{\circ}$ ; $T$	= 17 16.8
Magnetisch (3 E)	13.99	17,65	17 19.2
Magnetisch (6 E.)	13,96	15,75	17 34,4
Ohne Magnetisirung .	13.97	15.5	17 57,2

Die Austusszeiten und folglich, da die Drucke gleich waren, auch die Reibungscoefficienten, sind also nahezu gleich: die geringen Verschiedenheiten hängen offenbar mit den Veränderungen der Temperatur zusammen.

Fur die Einwirkung electrischer Kräfte lag es nahe, den Schwingungsapparat zu benutzen und die Scheibe desselben geradezu als die eine zur Erde abzuleitende Platte eines Condensators zu verwerthen, indem man ihr eine andere, auf ein gewisses Potential geladene Platte gegenüberstellte. Es wurde zu diesem Zweck das Glasgefäss, in welchem sich sonst die die Scheibe umgebende Flüssigkeit befänd, durch ein anderes mit geradem, metallenem Boden ersetzt, der auf isolirender Unterlage ruhend, mit einer Leydener Batterie in Verbindung gesetzt werden konnte. Es zeigte sich jedoch, dass es unmoglich war, Scheibe und Boden so zu einander parallel zu stellen, dass die Scheibe beim Electrisiren nicht

<sup>1)</sup> G. Quincke, Wild. Ann. 24. p. 348 ff 414 4885.

<sup>2)</sup> a d. O

aus ihrer tileichgewichtslage herausgebracht worden war Auch das Anbringen einer zweiten durchbohrten Pintte, die mit dem Boden des Gefässes in leitender Verbindung stand und sich in gleichem Abstande über, wie dieser unter deschwingenden Scheibe befand, konnte diesem Vebeistande nicht abhelfen und die Scheibe nicht frei schwingend machen wie in unelectrischem Zustande. Es blieb also nichts über als die Electrisirung in ähnlicher Weise zu bewirken, wie die Magnetisirung, indem man einfach den capillaren Theodes Austussapparates in das Feld eines Condensators brachte Als Flüssigkeit wurde Schwefelkohlenstoff gewählt. Die pewöhnliche Capillarrohre wurde durch eine solche aus Flüsglas ersetzt, die aussen zu noch besserer Isolirung mit Schellack überzogen wurde. Die Dimensionen dieser Röhre waren

l = 25.098 cm r = 0.03393 cm.

Eine zweite, engere Röhre von elliptischem Querschmit, die später auch noch benutzt wurde, hatte die Lange I=24.956 cm und den mittleren Radius r=0.01582 cm.

Die vernickelten Condensatorplatten hatten einen Durchmesser von 15,16 cm und waren in horizontaler Lage oberhalb und unterhalb der Capillarröhre in einem Abstand von 0.75 bis 1 cm voneinander angebracht. Die eine war dauerne zur Erde abgeleitet; die andere mit der inneren Belegung einer Batterie von zwei Leydener Flaschen verbunden, weiche während des Versuchs durch einen Gehülfen mittelst einer Influenzmaschine auf constantem Potential gehalten wurde Um die Grösse und Constanz des Potentials beurtheilen zu können, war mit der inneren Belegung der Leydener Flaschen ausser dem Condensator noch ein Righi'sches Reflexionselectrometer 1) verbunden, das mit Fernrohr und Scala abgelesen wurde. Die Constante desselben wurde in der Weise bestimmt, dass das Instrument mit der inneren Belegung einer Maassflasche mit Messingkugeln von 20 mm Durch messer verbunden und die Abweichungen der Nadel für diejenigen Potentiale gemessen wurden, welche zur Entladung bei 1, 2, 3, 4 und 5 mm Abstand der beiden Kugeln ertor derlich waren. Die Grösse dieser Potentiale wurde der von

<sup>1)</sup> G. Quincke, Wied. Ann. 19, p. 564-568, 1883

Hrn. Prof. Quincke mitgetheilten Tabelle<sup>1</sup>, entnommen. Mittelst der in dieser Weise einmal bestimmten Constanten des Electrometers konnten dann die bei den einzelnen Versuchen benutzten Potentiale berechnet werden. Sie waren bei allen Versuchen nahezu gleich und betrugen im Mittel ungefähr 18000 Daniell oder 48.64 cm-g-sec.

Ich gebe im Folgenden die Resultate in der Reihenfolge, wie die Versuche hintereinander bald ohne, bald mit
Electrisirung angestellt worden waren. Da die Temperatur
und möglicherweise auch der Druck auf den Werth des
Reibungscöfficienten von Eintluss sind, so füge ich die
Werthe für t und P (den corrigirten Druck hinzu.

I. Röhre mit rundem Querschnitt.

	I. KOBE	e mit rana	em Querec	IFFI ( C. No.
Nr.	- 1	P	Ş.	
		on		-
1 2	17,5"	2,876	0,00418	
2	16.8	0.887	0,00447	
3	17,6	0,912	6,00418	Electrisiri
4 5	18,6	1,924	6,00411	
5	17.8	1,515	0,00492	
6	17.8	1.530	0.00 120	Electronit
6	16.2	2,124	0,00410	
8	16,1	2,129	0,09414	Electrisirt
11.	Röhre	mit ellinti	ichem Quer	schnitt
9			0.00455	0 ( 111111 )
	16,7	8,789		
10	17,1	8,949	0,00 417	
11	19,2	4,125	6.01.40.8	I 171
12	19,1	8,923	0,00406	Electrisist
13	18.9	5,925	6,510403	
14	18.7	8.406	0.00 111	931
15	18,7	8,906	0,00412	Electrisir

Abgeschen von der zweiten Beobachtung, welche als fehlerhaft anzusehen ist, liegen die Differenzen der Werthe von , für die electrisirte und die nicht electrisirte Flüssigkeit völlig innerhalb der Grenzen der Beobachtungsfehler.

Trotz der beträchtlichen Stärke der angewandten Krafte ist also durchaus keine merkliche Veränderung des Reibungscoöfficienten durch Magnetisiren oder Electrisiren der betreffenden Flüsugkeiten sestzustellen gewesen.

Heidelberg, Mai 1885.

<sup>1)</sup> G. Quincke, Wied. Ann. 19, p. 568 1883

## VII. Veber die Löslichkeit von Salzgemischen; von Fr. Rüdorff,

(Aus den Sitzungsberichten der 1 hyw-math, Classe der k. preuss, Art. of Wi-s, zu Berlin vom 16. April 1884; mitgetheilt vom Hrn. Vert

I. Im 148. Bde. p. 456 und 555 der Ann. für Pysik a Chemie habe ich die Resultate einer Untersuchung über an Löslichkeit von Salzgemischen in Wasser mitgetheilt. Wern ich auf denselben Gegenstand jetzt nochmals zurückkommso geschieht dieses aus dem Grunde, weil die Fortsetzung der Versuche zu Resultaten geführt hat, welche ein über die Kenntniss der Thatsache hinausreichendes, allgemeiz chemisches Interesse in Anspruch nehmen dürsten.

In der oben citirten Abhandlung habe ich die Sazgemische in Bezug auf ihre Löslichkeit in zwei Gruppezgetheilt, und zwar in

- 1. Gemische, bei welchen eine chemische Umsetzung nicht eintreten kunn, also Salzgemische mit gleichem Metal oder gleicher Säure.
- 2. Gemische, bei welchen eine chemische Umsetzutz eintreten kann, in welchen also Salze zweier Metalle onz zweier Säuren vorhanden sind.

Durch Versuche mit Salzgemischen der ersten Art habe ich gezeigt, dass es Gemische gibt, von welchen sich ge-attigte, und zwar identische Lösungen herstellen lassen, went man nur einen Ueberschuss beider Salze anwendet, gleichgultig, in welchem Mengenverhältniss man im übrigen beid-Salze dem Wasser zum Lösen darbietet. Hierher gehört z. B. ein Gemisch von Kaliumnitrat und Bleinitrat, von Chloranimonium and Chlorbarium, von Chlorammonium and Ammoniumnitrat. Bei anderen Salzgemischen ist es in Bezug auf die Zusammensetzung der resultirenden Lösung von Einfluss, in welchem Verhältniss man beide Salze der ru threr Lösung unzureichenden Wassermenge darbietet; \*\*\* Ceberschuss des einen Salzes verdrängt eine bestimmt Menge des anderen, sodass man von dem Gemisch dieser Salze keine gesättigte, d. h. keine Lösung herstellen kant auf welche das eine wie das andere Salz ohne Eintluss ist.

Hierher gehören die Gemische von Kalium- und Ammoniumsulfat, von Ammonium- und Kupfersulfat und andere. Man muss also bei den Salzgemischen, bei welchen eine chemische I'msetzung nicht eintreten kann, unterscheiden:

- 1. Gemische, von denen sich eine gesättigte Lösung herstellen lässt und
- 2. Gemische, von denen keine gesättigte Lösung zu erhalten ist.

Die für diese beiden Arten von Salzgemischen in der früheren Mittheilung gegebenen Beispiele mögen im Folgenden durch einige neue Salzgemische vermehrt werden. Um aber das Gesammtbild zu vervollständigen, werde ich die Resultate der früheren Versuche hier eintlechten.

II. Die Herstellung der Lösungen der Salzgemische wurde in der früher angegebenen Weise bewirkt. Die beiden Salze wurden in grossem Ueberschuss in gepulvertem Zustande mit einer bestimmten Menge Wasser unter Schütteln erwärmt und dadurch entweder völlig oder zum grosseren Theil gelöst. Dann wurde die Lösung der Abkühlung auf fast Zimmertemperatur überlassen, indem gegen das Ende der Ahkühlung ein Stück beider Salze und hei Doppelsalzen auch noch ein Stück desselben in die Lösungen geworfen wurde, um eine Uebersättigung zu verhüten. Die Lösung wurde von dem ausgeschiedenen Salz abgegossen, und in 15 bis 25 ccm derselben wurden je 3 bis 6 g des einen und ebenso in 15 bis 25 ccm 3 bis 6 g des anderen Salzes unter Erwärmen gelöst. Dann wurden die drei Lösungen unter häutigem Umschütteln abgekühlt und nachdem ein Stück der festen Salze in die Lösungen geworfen war, der völligen Abkühlung während 12 bis 15 Stunden überlassen. Nach wiederholtem Schütteln wurden dann die Lösungen von den ausgeschiedenen Salzen durch ein trockenes Filter getrennt und auf ihren Salzgehalt untersucht.

Bei solchen Salzen, welche wie Lithiumsulfat in warmem Wasser weniger leicht löslich sind, als in kaltem, wurden die herden zu lösenden Salze in sehr fein gepulvertem Zustande in grossem Ueberschuss mit Wasser Tage lang wiederholt geschüttelt. Ein bestimmter Theil dieser Lösung wurde

dann mit je 3 bis 6 g des einen wie des anderen Salzes ebenso behandelt. Die Temperatur des Raumes, in welchen die Lösungen der völligen Abkühlung überlassen wurdez war nur sehr geringen Schwankungen unterworfen,

Es mag aber noch erwähnt werden, dass es bei einigen Salzen, welche sich in beträchtlicher Menge in Wasser losez und deren Lösung eine merklich dickflüssige Beschaffenheit zeigt, sehr schwer hält, eine bei einer bestimmten Temperatur gesättigte Lösung zu erhalten. Bei einigen dieser Lösungen scheidet sich der Ueberschuss des gelösten Salzes selbst bei Berührung mit festem Salz und starkem Schütteln nur sehr langsam, bisweilen selbst bei zwölfstündigem Stehenlassen nicht völlig aus.

III. Die von mir angestellten Versuche beziehen sich zunächst auf das Verhalten solcher Salzgemische, deren Bestandtheile sich zu Doppelsalzen vereinigen. Bei den früher von mir angestellten Versuchen hatte sich herausgestellt dass jeder der Bestandtheile eines Doppelsalzes den anderen aus der gesättigten Lösung verdrängt. Dasselbe zeigte sich auch bei den folgenden Salzpaaren:

- 1. Ammonium- und Aluminiumsulfat.
- Gesättigte Lösung des Ammonium Alummumalauns.
  - II. 20 ccm der Lösung I und 6 g kryst. Aluminiumsulfat
  - III. 20 ccm der Lösung I und 4 g Ammoniumsulfat. 100 Theile der auf 18,5° abgekühlten Lösungen enthielten

I. 1,42 (NH<sub>4</sub>)<sub>2</sub>SO<sub>4</sub> and 3,69 Al<sub>2</sub>3SO<sub>4</sub>

II. 0.45 " 16.60 "

HI. 20.81 " " 0.29 .

In 100 Theilen Wasser sind also in I. 5,35 Theile des wasserfreien Doppelsalzes gelöst.

- 2. Ammonium- und Cadmiumsulfat.
- I. Gesättigte Lösung des Doppelsalzes (NH<sub>1</sub>)<sub>2</sub>SO<sub>4</sub> + CdSO<sub>4</sub> + 6H<sub>2</sub>O.
- II. 20 ccm Lösung I und 3 g Ammoniumsulfat
- III. 20 ccm Lösung I und 4 g kryst. Cadmiumsulfat.

Die auf 20,8° abgekühlten Lösungen enthielten in 100 Theilen:

I. 15.58 (NH<sub>4</sub>)<sub>2</sub>SO<sub>4</sub> and 24,57 CdSO<sub>4</sub>

IL 23,64 " " 15,80 "

HI. 12,56 - 3 32,32 8

In 100 Theilen Wasser lösen sich also bei 20,8° (Lösung I, 112 3 Theile des kryst. Doppelsalzes.

# 3 Ammonium- und Nickelsulfat.

 Gesättigte Lösung des Doppelsalzes NH<sub>4</sub>0,SO<sub>4</sub> + NiSO<sub>4</sub> + 6H<sub>5</sub>O<sub>5</sub>

II. 20 ccm Lösung I und 4 g Ammoniumsulfat.

III. 20 ccm Lösung I und 6 g Nickelsulfat.

In 100 Theilen der auf 14° abgekühlten Lösungen war enthalten:

1. 3,00 (NH<sub>1)4</sub>SO<sub>4</sub> and 3,53 NiSO<sub>4</sub>

II. 15,16 " " 0,89

III. 0,52 " " 13,90 "

In I. waren also in 100 Theilen Wasser 10,2 Theile des kryst. Doppelsalzes gelöst.

Versuche mit den Salzpaaren: Kalium- und Kupfersulfat, Ammonium- und Zinksulfat, Ammonium- und Magnesiumsulfat, Ammonium- und Kupfersulfat, Ammonium- und Kupferchlorid ergaben ein ähnliches Resultat: es findet eine gegenseitige Verdrängung der Bestandtheile statt. Ich habe bereits
früher 1; darauf aufmerksam gemacht, dass, wenn man in
ahnlicher Weise, wie es oben geschehen, auf dieselbe Lösung zu wiederholten malen den einen Bestandtheil wirken
lässt, die Verdrängung des anderen Bestandtheils vollständig
oder fast vollständig gelingt.

IV. Bei den im Vorstehenden mitgetheilten Versuchen über die Lösungen der Bestandtheile der Doppelsalze zeigt sich also eine sehr starke Verdrängung des einen Bestandtheils durch den anderen, oder wohl besser eine Verdrängung des Doppelsalzes durch jeden der Bestandtheile desselben. Da die obigen Versuche in der Weise angestellt waren, dass

<sup>11</sup> F. Rudorff, Pogg. Ann. 148, p. 557, 1973.

in der gesättigten Lösung des Doppelsalzes der eine wirder andere Bestandtheil durch Erwärmen aufgelöst wurde und beim Abkühlen der eine gelöste Theil den anderer aus der Lösung verdrängt, so entseht die Frage, wie sich wohl der eine oder andere Bestandtheil im festen Zustanze gegen die gesättigte Lösung des Doppelsalzes verhalten wurde. Es wurde deshalb ein Theil der gesättigten Lösung des Doppelsalzes mit dem einen, ein anderer mit dem anderen Bestandtheile in höchst fein gepulvertem Zustande tüchtig geschüttelt und dann die Lösungen untersucht. Das Results war ein ganz ähnliches wie in den obigen Versuchen, die Bestandtheile der Lösung wirkten im festen Zustande ebens verdrängend auf das Doppelsalz, indem sie selbst in Lösung gingen.

Es lässt sich auf diesem Wege die gegenseitige Verdrängung der Salze aus ihren Lösungen in sehr auftallender Weise als Vorlesungsversuch zeigen. Man fülle zuer mit Glasstöpseln zu verschliessende Cylinder von angemessener Hohe (oder auch zwei Reagensgläser von gleichen Dimensionen) bis zu zwei Dritttheilen mit der gesättigten Lösung des Doppelsalzes Ammonium-Kupfersulfat, füge zu der einen Lösung einige Messerspitzen voll sehr fein gepulvertes Ammoniumsulfat und schüttele einige Minuten tüchtig. Nach einigen Augenblicken der Ruhe ist die Flüssigkeit fast entfärbt, jedenfalls sehr viel weniger gefärbt, als die zur Probedaneben stehende ursprüngliche Lösung des Doppelsalzes.

V. Bei der Anstellung einiger Versuche über die Löslichkeit von Gemischen isomorpher Salze wurden die mit ibezeichneten Lösungen dadurch erhalten, dass in 100 cm
Wasser unter Erwärmen ein beträchtlicher Ueberschuss des
Gemenges beider Salzes gelöst wurde, und je ein Then
dieser bis auf etwa Zimmertemperatur abgekühlten Losung
mit je 4 bis 6 g der einzelnen Salze erwärmt wurde.

Meistens lösen sich die zugesetzten Mengen der Salznicht völlig auf. Die Lösungen wurden dann unter den ober angegebenen Vorsichtsmaassregeln der völligen Abkühlung überlassen.

- 4 Eisenammoniak- und Aluminiumammoniak-Alaun.
- I. 15 g des einen und 15 g des anderen kryst. Doppelsalzes wurden in 100 ccm Wasser gelöst. Aus der auf Zunmertemperatur abgekühlten Lösung hatten sich Mischkrystalle beider Alaune ausgeschieden.

II. 25 ccm der Lösung I und 3 g Aluminiumulaun.

III. 25 ccm der Lösung I und 3 g Eisenalaun.

In den auf 15.7° abgekühlten Lösungen fand ich:

I. 7.81 Eisenalaun und 7,46 Aluminiumalaun.

II. 7,29 .. .. 9,88 .. III. 13,6 .. .. 6,71 ...

- 5. Ammonium Cadmium sulfat und Ammonium -Kupfersulfat.
- I. 20 g Cadmiumdoppelsalz und 20 g Kupferdoppelsalz in 6 g Wasser gelöst. Aus der Lösung hatten sich beim Abkühlen auf Zimmertemperatur (20°) hellblaue Mischkrystalle ausgeschieden.
  - 11. 20 ccm der Lösung 1 und 5 g Cadmiumdoppelsale.

IIL 20 ccm der Lösung I und 5 g Kupferdoppelsalz.

Die auf 16,6° abgekühlten Lösungen enthielten in 100 Theilen:

I. 7,8 CuSO<sub>4</sub>+(NH<sub>4.7</sub>SO<sub>4</sub> and 16.9 CdSO<sub>3</sub>+(NH<sub>4.72</sub>SO<sub>4</sub> II. 4,7 ... ... ... ... 26,1 ... ...

111. 5,3 .. .. .. 15,0 ..

Die isomorphen Salze Zinksulfat und Magnesiumsulfat, Kupfersulfat und Eisensulfat, Blemitrat und Baryummtrat, Kaliumnitrat und Ammoniumnitrat zeigen ein ganz ähnliches Verhalten. Es zeigt sich also auch bei den Gemischen isomorpher Salze ein Verdrängen des einen durch das andere Salz aus der Lösung des Gemisches.

VI. Die mit den Gemischen einiger anderer Salze angestellten Versuche ergaben folgende Resultate:

- 6. Chlorbarium und Chlornatrium.
- I. 85 g kryst. Chlorbarium und 30 g Chlornatrium wurden mit 50 g Wasser längere Zeit erwärmt.

II. 20 ccm Lösung I und 4 g kryst. Chlorbarium.

III. 20 ccm Lösung I und 4 g Chlornstrium.

In 100 Theilen der auf 19,4° abgekühlten Lösungen fand ich

I. 2,9 BaCl, und 24,9 NaCl.

11. 2,6 " " 25,1

III, 2,9 " " 24,8 "

### 7. Bleinitrat und Natriumnitrat.

- In 50 ccm Wasser wurden 25 g Bleimtrat und 45g Natrumnitrat gelöst.
  - II. 20 ccm Lösung I und 6 g Natriumnitrat

III. 20 ccm Lösung I und 6 g Bleinitrat.

In 100 Theilen der auf 15°g abgekühlten Lösungen fand wh

I. 15.3 PbN<sub>2</sub>O<sub>8</sub> und 388 NaNO<sub>3</sub>.

II. 15.3 " "

III. 15,1 " " 80,0 "

8. Natriumsulfat und Nickelsulfat.

35.6

- I. 40 g kryst. Nickelsulfat und 15 g entwässertes Natriumsulfat in 50 ccm Wasser gelöst.
  - 11. 20 ccm Lösung I und 4 g kryst. Natriumsulfat.
  - III. 20 cem Lösung I und 4 g kryst. Nickelsulfat.

In 200 Theilen der auf 20° abgekühlten Lösungen wurde gefunden:

I. 14,1 Na,80, + 22,4 NiSO,.

II. 14.0 - + 22.7 -

III. 14,2 " + 22,1 "

- 9. Natriumsulfat und Natriumphosphat.
- I. 6 g kryst. Natriumsulfat und 40 g kryst. Natriumphosphat in 100 ccm Wasser gelöst.
  - II. 25 ccm Lösung I und 4 g kryst. Natriumphosphat

III. 25 ccm Lösung I und 4 g kryst. Natriumsulfat.

Bei 14,8° enthielten 100 Theile der Lösungen:

I. 8.81 Na.SO4 und 2,15 Na.HPO4.

II. 8.96 " 2.09

III. 8.83 . . 2.02 .

Aus der früheren Mittheilung gehören hierher Gemische von:

> Chlornatrium und Kupferchlorid, Natriumsulfat und Kupfersulfat, Kaliumnitrat und Bleinitrat. Chlorammonium und Chlorbarium.

Aus diesen Versuchen geht hervor, dass die drei zusammengehörigen Lösungen identisch sind, dass also bei diesen Salzgemischen eine Verdrängung des einen Salzes durch das andere nicht stattfindet,

Da die meisten Salze im Gemisch mit anderen eine Verminderung ihrer Löslichkeit zeigen, so tritt die Verschiedenheit der oben angegebenen Gruppen in Bezug auf ihre gegenseitige Verdrängung am auffallendsten hervor, wenn man in der gesättigten Lösung des einen Salzes steigende Mengen des anderen Salzes unter Erwärmen löst und die auf Zimmertemperatur abgekühlten Lösungen auf den Gehalt des in der gesättigten Lösung enthaltenen Salzes untersucht. Ich wähle als Repräsentanten für die eine Gruppe von Salzen Barium- und Ammoniumchlorid, und für die andere das Doppelsalz Ammonium-Kuptersulfat und Ammoniumsulfat.

Nach der Einwirkung von:

0 10 20 30 35 40 50 g NH<sub>4</sub>Cl

auf 100 ccm einer bei Zimmertemperatur gesättigten Lösung von Chlorbarium fand ich in 100 g der auf 15° abgekühlten Lösungen:

25,6 18,0 11,5 8,16 8,10 8,10 5,20 g BaCl<sub>2</sub>.

Man sieht, wie mit gesteigertem Zusatz von Salmiak der Gehalt an Bariumchlorid sich vermindert, wie das letzte Salz durch das erste aus der Lösung verdrängt wird. Aber diese Verdrängung geht nur bis zu einer bestimmten Grenze, eine über 30 g steigende Menge von Salmiak bewirkt keine weitere Ausscheidung von Bariumchlorid, sondern es scheidet sich die überschüssig zugesetzte Menge Salmiak beim Abkühlen wieder aus.

Dagegen waren nach Einwirkung von:

o 5 10 20 30 50 70 80 100 g (NH, 50, auf je 100 ccm einer gesättigten Lösung von Ammonium Kupfersulfat bei 18,6° in 100 g der Lösungen enthalten

15,6 9,9 5,8 2,9 1,6 1,04 0,68 0,45 0,35 g Doppels.

Es ist klar, dass hier das eine Salz, wenn es in gesteigerter Menge auf die Lösung des anderen einwirkt dieses Schritt für Schritt fast vollständig aus der Losung verdrängt.

VII. Wenn man die unter III, V und VI untersuct ten Salzgemische miteinander vergleicht, so zeigt sich, dan dieselben auch in anderer Beziehung in drei verschiedeze Gruppen zerfallen, die erste Gruppe enthält Salzgemische deren einzelne Bestandtheile sich miteinander zu wohlgeformten Doppelsalzen verbinden.

Die zweite Gruppe enthält Salzpaare, welche unteren ander isomorph sind, und es ist bekannt, dass auch diese wenn auch nicht in Doppelsalzen, so doch in sogenannten isomorphen Mischungen zusammen krystallisiren.

Von den Salzpaaren der dritten Gruppe sind weder Doppelsalze, noch isomorphe Mischungen bekannt; aus der gemischten Lösung dieser Salze krystallisirt jedes derseller neben dem anderen.

Aus den Versuchen mit den oben angeführten Salze gemischen aber geht deutlich hervor, dass die jenigen Salze welche entweder untereinander Doppelsalze oder Krystalle isomorpher Mischungen bilden, also bei ihrem Ausscheiden aus einer gemeinsamen Lösung eine moleculare Attraction aufeinander ausüben sich gegenseitig aus der Lösung verdrängen, während dieses bei den Salzen, die nicht zusammen krystallisiren, nicht der Fall ist.

Es schien mir von Interesse zu sein, diese Beziehung zwischen der gegenseitigen Verdrängung gewisser Sulzpasse und der Eigenschaft derselben, zusammen zu krystallisten an noch einigen anderen Salzpaaren zu erproben. Ich rich tote mein Augenmerk besonders auf Salze solcher Metalle welche von den Metallen, mit welchen sie gewöhnlich in ein Gruppe zusammengestellt werden, in ihren chemischen Eigenschaften nicht unerheblich abweichen. Es sind dies die Metalle Lithium, Natrium, Beryllium und Cadmium. In Betreff des Lithiums und Natriums mag hier nur daran erinnert werden, dass, während das Kalium, Rubidium und Caesium in ihren Sulfaten und Chloriden mit den entsprechenden Verbindungen vieler Schwermetalle gut krystallisirende Doppelsalze bilden, dieses bei den Salzen des Lithiums gar nicht, und bei denen des Natriums in nur wenigen Fällen geschieht. Rammelsberg¹) und Scheibler²) geben an, dass es ihnen nicht gelungen sei, Doppelsalze des Lithiumsulfates mit den Sulfaten des Aluminiums, Zinka, Kupfers und anderer Metalle u erhalten. Ich erhielt folgende Resultate mit einem Gemisch aus

# 10. Lithiumsulfat und Kupfersulfat.

I. Eine gesättigte Lösung von Kupfersulfat wurde mit gepulvertem Kupfersulfat und überschüssigem Lithiumsulfat während mehrerer Tage fleissig geschüttelt.

II. 20 ccm der Lösung I mit 3 g gepulvertem Kupfersulfat.

III. 20 ccm der Lösung 1 mit 3g Lithiumsulfat längere Zeit geschüttelt.

Bei 22e enthielten 100 Theile der Lösungen:

I. 8,87 CuSO, und 21,15 Li,SO,

II. 8,70 .. . 21.47

III. 9,00 .. .. 21,47 .

Die Lösungen sind demnach identisch, eine gegenseitige

Verdrängung der Salze findet nicht statt

Wenn die Lithiumverbindungen in Beziehung auf die Bildung von Doppelsalzen von der entsprechenden Kaliumind Ammoniumverbindung auch erheblich abweichen, so bilden sie doch mit den Salzen der übrigen Alkalimetalle den isomorphen Mischungen ähnliche Krystalle. So sind g. B. Mischungen von Ammonium-Lithiumsulfat bereits von dem Entdecker des Lithiums Arfvedson<sup>3</sup>) in schönen

<sup>1)</sup> Rammelsberg, Berl. Monataber. 1848, p. 885.

<sup>2)</sup> Scheibler, Journ f. prakt. Chem. 67. p. 485 1855.

<sup>3)</sup> Arfredson, Schweigger Jahrb. d. Ch. u. Ph 84, p 217, 1422.

Krystallen dargestellt. Die mit den Mischungen dieser beden Salze angestellten Lösungsversuche hatten folgender Resultat.

- 11. Ammoniumsulfat und Lithiumsulfat.
- I. 30 g kryst. Lithiumsulfat und 40 g Ammoniumsult: in 50 ccm Wasser.
  - II. 15 ccm der Lösung I und 3 g Ammoniumsulfat.
  - III. 15 ccm der Lösung I und 3 g kryst, Lathrumsuhr.

Die Lösungen wurden dadurch erhalten, dass die obiges Salzmengen in feingepulvertem Zustande mit Wasser mehrer-Tage deissig umgeschüttelt wurden. Bei 10,7° enthelter 100 Theile der Lösungen:

I. 25,67 (NH<sub>4</sub>),SO, und 12,16 Li,SO,

H. 82,85 " 9,37

III. 16,67 " " 18,37 "

Die gegenseitige Verdrängung ist eine ebenso starkwie sie unter ähnlichen Verhältnissen die eigentlichen Doppsalze zeigen.

- 12. Chlorammonium und Chlorlithium.
- I. 50 g Chlorlithium und 20 g Chlorammonium in 50 cc... Wasser gelöst.
  - II. 15 ccm der Lösung I und 3 g Chlorummonium.
  - III. 15 ccm der Lösung I und 3 g Chlorlithium.
  - Bei 12.6° enthielten 100 Theile der Lösungen:
    - I. 41,7 LiCl und 5,05 NH,Cl
  - II. 41,1 · · · 5,64 ·
  - III. 44,3 " " 2,88 "

Auch hier zeigt sich eine wenn auch geringe Vrdrängung.

VIII. Es ist bereits oben unter VI. gezeigt worden dass die Sulfate des Nickels und Kupfers mit Natriumsulte sich in den Lösungen nicht verdrängen, während diese Sufate mit Ammonium- und Kaliumsulfat Doppelsalze bilden und sich in den Lösungen mit diesen verdrängen. Doppelsalze von Natriumsulfat mit Nickel- und Kuptersulfat sit-

nicht bekannt. Dagegen sind Doppelsalze des Natriumsulfats mit Zink- und Cadmiumsulfat bekannt. Das Salz-

 $Na_{2}SO_{4} + ZnSO_{4} + 4H_{2}O_{4}$ 

ist von F.C. Bucholz1) und schon von Karsten2, dargestellt.

Das Salz:

$$Na_2SO_4 + CdSO_4 + 2B_2O$$

beschreibt von Hauer.5)

Versuche über die Löslichkeit der Doppelsalze im Gemisch mit den dieselben zusammensetzenden Einzelsalzen ergaben:

#### 13. Natrium- und Cadmiumsulfat.

L 45 g kryst. Cadmiumsulfat und 15 g entwässertes Natriumsulfat in 50 ccm Wasser gelöst.

II. 20 ocm der Lösung 1 und 5 g kryst. Cadmiumsulfat.

III. 20 ccm der Lösung I und 4 g entwässertes Natriumsulfat.

Bei 15.1° enthielten 100 Theile der Lösung:

I. 33,64 CdSO, und 11,59 Na,8O,.

II. 33,56 .. .. 10.34 ...

111, 30,37 · · · 12,48

#### 14. Natrium- und Zinksulfat.

1. 100 g kryst. Zinksulfat und 30 g kryst. Natriumsulfat in 50 cem Wasser gelöst.

II. 15 ccm hösung 1 mit 3 g entwässertem Natriumsulfat,

III. 15 ccm Lösung I mit 3 g entwässertem Zinksulfat.

100 Theile der Lösungen enthielten bei 12.5%:

1. 28.7 ZnSO, und 6.58 Na,SO,.

11. 26.9 . . 7.36

111. 30,2 ·· · · 5,55

Die drei zusammengehörigen Lösungen sind nicht identisch, es findet eine gegenseitige Verdrängung der Salze statt. Aber es ist auffallend, dass diese Verdrängung sehr viel gegeringer ist, als bei den Lösungen der oben angeführten

<sup>1)</sup> F. C. Bucholz, Lieb Ann. (2) 127, p. 66, 1866

<sup>2)</sup> Karsten, Gmelin Hamlbuch (6, Aufl.) 3. p. 47

<sup>3)</sup> v. Hauer, Journ f. prakt Chem 64, p 477 1554

Doppelsalze unter sonst ähnlichen Verhältnissen; es ist aber auch bekannt, dass diese letztgenannten Doppelsalze nur schwierig darzustellen sind und, wie es scheint, nur innerhalb enger Temperaturgrenzen entstehen.

Eine ähnliche geringe Verdrängung zeigen auch einige Salzpitare, welche aus ihrer gemeinsumen Lösung in Mischungen von sehr wechselnder Zusammensetzung krystallisiren, ohne isomorphe Mischungen in der gewöhnlichen Bedeutung der Wortes zu bilden. Es gehören hierber:

#### 15. Kalium- und Silbernitrat,

 1. 110 g Silbernitrat und 20 g Kahumnitrat in 30 cm Wasser gelöst.

II. 10 ccm Lösung I und 3 g Silbernitrat,

III. 10 ccm Lösung I und 3 g Kaliumnitrat.

Bei 14.8° enthielten 100 Theile der Lösungen:

I. 65.1 AgNO<sub>3</sub> and 8.5 KNO<sub>3</sub>.

H. 65,3 .. .. 8,5 ...

Aus einer gemischten Lösung von Kaliumnitrat und Silbernitrat krystallisiren nach H. Rose<sup>1</sup>) Krystalle von der Form des Kaliumnitrats, welche 3KNO<sub>3</sub>+AgNO<sub>3</sub> sind. Das Salz KNO<sub>3</sub>+AgNO<sub>3</sub> wurde von Russel und Maskelyne<sup>3</sup> erhalten.

16. Natriumnitrat und Silbernitrat.

 50 g Silbernitrat und 30 g Natriumnitrat in 30 ccm Wasser.

II. 10 ccm Lösung I und 10 g Silbernitrat.

III. 10 ccm Lösung I und 5 g Natriumnitrat.

In 100 Theilen der auf 16,0° abgekühlten Lösungen fand ich:

I. 42.5 AgNO, und 25,2 NaNO,

H. 43,3 " " 23,5 " HI. 40,4 " " 26,2 "

10 H Rose, Pogg. Ann 196, p. 320, 185 t.

<sup>2)</sup> Russel and Maskelyne, Proc. Roy, See of London 26, p 357, 1877

Nach Angabe von H. Rose<sup>1</sup>, scheiden sich aus gemischer Lösung von Natrium- und Silbernitrat, welche letzteres alz in grossem Geberschuss enthält, zuerst Krystalle des tzteren Salzes aus, dann Krystalle von der Form des Natriumnitrats, welche auf 1 Mol. Silbernitrat und 2 bis 4,2 dol. Natriumnitrat enthalten. Nach Rammelsberg<sup>3</sup>) erällt man aus der gemischten Lösung beider Salze Krystalle, selche auf 1 Ag bis 10 Na enthalten. Wir haben es hier den mit Mischungen von sehr wechselnder Zusammensetzung in thun, sodass die Annahme nahe liegt, dass viele der hier in Frage stehenden Krystalle nur Natronsalpeter seien, welcher wechselnde Mengen von Silbernitrat eingeschlossen entialt. Die obigen Versuche über das Verhalten der Lösungen inn Gemischen dieser Salze lassen eine solche Annahme als über unwahrscheinlich erscheinen.

- 17. Natriumnitrat and Natriumsulfat.
- I. 50 g Natriumnitrat und 20 g entwässertes Natriumulfat in 50 ccm Wasser gelöst.
  - II. 20 ccm der Lösung I und 5 g Natriumnitrat.
- III. 20 ccm der Lösung I und 5 g entw. Natriumsulfat. Die auf 17,5° abgekühlten Lösungen enthielten in 100 Theilen:
  - I. 39 5 NaNO, und 5,41 Na, SO,
  - 11. 43,9 " " 2,69
  - III. 34,5 " " 8,5 "

Es findet also eine sehr merkliche gegenseitige Verzängung dieser beiden Salze statt. Aus der gemischten ösung dieser Salze erhielt Marignac') das Salz 2(NaNO, + Na<sub>2</sub>SO<sub>1</sub>) + 3H<sub>2</sub>O in dünnen zweigliedrigen Tafeln.

- 18. Natriumsulfat und Ammoniumsulfat
- I. 50 g Ammoniumsulfat und 21 g Natriumsulfat in 0 cem Wasser gelöst.
  - II. 20 ccm Lösung I und 3 g Ammoniumsulfat.
  - 111. 20 ccm Lösung I und 5 g kryst. Natriumsulfat.
  - 1) H. Rose, Pogg. Ann. 102, p. 486, 1857.
  - 2. Rammelsberg, Krystallographische Chemie p. 354.
  - 3) Marignac, Ann. des Mines (5) 12. p. 44. 1855.

In 100 Theilen der auf 11.5° abgekühlten Lösungen fand ich:

L 8,9 Na,80, und 30,5 (NH, ,80,

II. 6,5 " " 363 " " III. 12 5 " " 23 8 "

Die Salze verdrängen sich gegenseitig. Aus der gemischten Lösung derselben krystallisirt das Salz Na, SO, +(NH, ,SO, +4H,O, wie schon von Link), beobachtet wurde.

IX. Aus den oben unter V. mitgetheilten Versuchet, geht hervor, dass die Salze, welche in isomorphen Mischongen krystallisiren, sich in gemeinsamer Lösung gegenseitig verdrängen. In Anknüpfung an diese Versuche mögen hier noch einige Versuche Platz finden, welche ich mit den Lösungen einiger Cadmiumsalze im Gemenge mit den Salze: einiger anderer Metalle angestellt habe.

# 19. Cadmiumsulfat und Kupfersulfat.

1. 80 g kryst. Cadmiumsulfat und 20 g kryst. Kuptersulfat in 50 ccm Wasser gelöst.

II. 20 ccm der Lösung I mit 3 g kryst. Cadmiumstaltat

111. 20 ccm der Lösung 1 mit 3 g kryst Kupfersuhat

In 100 Theilen der auf 16.8° abgekühlten Lösunget fand ich:

I. 38,20 CdSO, und 5,42 CuSO,

H. 38.19 .. . 5.59

III. 38,30 " " 5,84

# 20. Cadmiumsultat und Zinksulfat

I. 50 g kryst. Cadmiumsulfat und 60 g kryst. Ziak sulfat in 50 cem Wasser gelöst.

II. 20 ccm der Lösung I mit 3 g kryst. Cadmiumsulist.

III. 20 ccm der Losung I mit 3 g kryst. Zinksulfat

In 100 Theilen der auf 14.7° abgekühlten Losunges fand ich:

I. 29,8 CdSO, und 15,1 ZnSO,

11. 29,3 " " 15,2

III. 29,7 " " 15,2 "

<sup>1:</sup> Link, Crell Chem Ann. 1796, p 30,

Die drei zusammengehörigen Lösungen dieser Salzpaare and also identisch, eine gegenseitige Verdrängung findet micht statt. Mischkrystalle von Cadmium- mit Kupfer- oder Zinksulfat sind nicht bekannt.

Von den Sulfaten des zur Magnesumgruppe gehörenden Berylliums gibt zwar Klatzo<sup>1</sup>) an, isomorphe Mischungen mit den Sulfaten des Zioks, Kupfers, Magnesiums u. s. w. erhalten zu haben. Dieser Angabe widersprechen jedoch die Versuche von Marignac<sup>2</sup>), welcher zeigt, dass aus den gemischten Lösungen des Berylliumsulfats mit den Sulfaten der oben genannten Metalle keine Mischkrystalle, sondern die heiden Sulfate nebeneinander anschiessen. Ich habe Versuche in Bezug auf die Löslichkeit eines Gemisches von

# 21. Borylliumsulfat und Kupfersulfat

angestellt. Sg kryst. Kupfersulfat und 40 g kryst. Berylliumsulfat wurden in 40 ccm Wasser gelöst. In der erkalteten Losung fanden sich Krystalle ausgeschieden, welche schon durch ihre Farbe erkennen hessen, dass beide Salze nebeneinander auskrystallisirt waren, namentlich waren die Krystalle des Berylliumsulfats völlig farblos und enthielten nicht eine Spur Kupfer.

I. Ohige Lösung.

II. 10 ccm der Lösung I und 3 g kryst. Berylliumsulfat.

III. 10 ccm der Losung I und 3 g kryst. Kupfersulfat.

Die auf 17,2° abgekühlten Lösungen enthielten in 100 Theilen:

1. 25,89 BeSO, and 3,65 CaSO,

H. 25,40 .. .. 4,38 ...

HI. 25,80 - - 4,00 -

Die Lösungen sind als identisch zu betrachten, eine Verdrängung des einen Salzes durch das andere inndet nicht statt, eine Thatsache, welche für die Ansient Marignae's spricht.

X. Aus den im Vorstehenden mitgetheilten Versuchen geht als Resultat hervor, dass von den angeführten Salzpaaren

1 Klatzo, Journ. f prakt. Chem. 106, p. 241, 1868

2) Marignac, Ann. de chim, et de phys. 4) 80, p. 45, 1878.

sich einige aus ihren gemeinsamen Lösungen verdrätzt wenn auf diese ein l'eberschuss des einen oder des aniere Salzes einwirkt, dass aber bei anderen Salzpaaren eine solch Verdrängung nur diejenigen Salzpaare zeigen, welche ent weder in Doppelsalzen oder in Mischkrystallen aus der gemeinsamen Lösung sich ausscheiden. Aber es geht aus der Versuchen auch hervor, dass bei diesem Kampfe um aus Gelostsein die Masse der einzelnen Salze eine Rolle spiest

Ich möchte noch darauf hinweisen, dass diese V-z drängung des einen Salzes durch ein anderes weitt bei te genden Erscheinungen mitwirkt.

Bekanntlich wachsen gewisse Krystalle in den Losques isomorpher Salze weiter, ein Octaeder von Chromalium ub-. zieht sich in regelmässiger Weise in einer gesattigten L sung von gewöhnlichem Alaun mit einer farblosen Schilt des letzteren. Wenn man einen Krystall von Chromitais in eine gesättigte Lösung von gewöhnlichem Alaun harso durfte sich wohl zunächst eine wenn auch noch so dun-Schicht des Krystalles auflösen, dadurch wird aber aus de den Krystall unmittelbar berührenden Schicht der Lösung des gewöhnlichen Alauns eine gewisse Menge desselben verdrangt, also ausgeschieden. Dieser Theil setzt sich an den festen Chromalaun ab. überzieht denselben sofort mit eur: für das Lösungsmittel undurchdringlichen Schicht fester Alauns, und es setzt sich nun bei weiterer Abkuhlung ale bei Verdunstung des Lösungswassers Schicht auf Schicht des gelösten Alauns ab.

Die bekannten Pseudomorphosen von Rotheisenstein na.t. Kalkspath verdanken ihre Entstehung wohl einem ähnlichen Vorgange. Die Lösung von Eisencarbonat in kohlensaurhaltigem Wasser kommt mit dem Kalkspath in Beruhrung Es löst sich etwas Kalkcarbonat auf, dadurch wird aber auch der unmittelbar berührenden Lösung ein entsprechen bei Theil des isomorphen Eisencarbonats verdrängt und lagert sich an der Stelle der aufgelösten Kalkverbindung ab. Dit Vebergang von Eisencurbonat in Eisenoxyd wird dann ausecundärer Process durch später hinzutretenden Sauerstell der Luft bewirkt.

Die oft beobachtete Erscheinung, dass gewisse Doppelsalze aus ihrer Lösung besser krystallisiren, wenn ein Ceberschuss des einen Bestandtheils vorhanden ist, findet ihre Erklürung in obigen Versuchen: der eine Bestandtheil verdrängt das Doppelsalz, indem er dasselbe schwerer löslich macht.

Aehnlich bei den Mischkrystallen isomorpher Salze. Aus der gemeinsamen lösung deiselben scheiden sich Mischkrystalle erst dann aus, wenn, sei es durch Abnahme der Temperatur, sei es durch Verdunstung des Lösungswassers, für beide Salze die Lösung eine gesättigte geworden ist. Da aber in einer für ein bestimmtes Paar dieser Salze gesättigten Lösung diese in sehr verschiedenem Verhältniss enthalten sein können, so ist klar, dass auch die sich ausscheidenden Mischkrystalle eine sehr verschiedene Zusammensetzung zeigen.

# VIII. Zur Theorie der Fluorescenz; von E. Lommel.

In seinem "Lehrbuch der Experimentalphysik" hat Hr. Wüllner") gegen meine Theorie der Fluorescenz" einige Einwendungen erhoben.

Die Einwände betreffen folgende drei Punkte: 1) die Theorie erkläre nicht den stationären Bewegungszustand, in welchem sich der fluoreschrende Körper offenbar befindet; 2. die Definition des homogenen Lichts, welche der Theorie zu Grunde liegt, sei unzulässig; 3 die Theorie gebe keine Erklärung von dem Unterschied zwischen Absorption ohne Fluorescenz und Absorption mit Fluorescenz.

Diese Punkte, welche Hr. Wüllner zur Sprache bringt, bedürfen allerdings der Erläuterung, welche zu geben der Zweck der folgenden Zeilen ist.

<sup>1</sup> Wüllner, Lehrbach der Experimentalphysik 4 Auft. 2. p 880 bis 384 1868.

<sup>2</sup> Lommel, Ward, Aun. 3, p. 251, 1878.

Der Differentialgleichung:

$$\frac{\partial^2 s}{\partial t^2} + 2k \frac{\partial s}{\partial t} + p^2 x + f \sin(qt + \varphi) = 0,$$

welche die Bewegung eines unter dem Einflusse eines periodischen Impulses schwingenden Körpertheilchens definitigenügt das vollständige Integral:

$$x = M \sin (qt + \varphi - \alpha) + Ne^{-kt} \sin (rt + \psi),$$

WIRDD V

$$M = -\frac{f \sin \alpha}{2kq}, \quad \text{tg } \alpha = \frac{2kq}{p^1-q^2}, \quad r^4 = p^3 - k^2$$

ist, und N und w willkürliche Constante bedeuten.

Bestimmen wir letztere mit Hülfe der Werthe z' und z', welche die Verschiebung z' und die Geschwindigkeit  $\partial z/\partial t$  zur Zeit t=t' besitzen, so ergibt sich:

$$N^{2}r^{2}e^{-2kt'} = p^{2}x'^{2} + 2kx'v' + v'^{2} + M^{2}q^{2}$$

$$- Mf \sin(qt' + \varphi)\sin(qt' + \varphi - \alpha)$$

$$- 2M(p^{2}x' + kv')\sin(qt' + \varphi - \alpha)$$

$$- 2M(kqx' + qv')\cos(qt' + \varphi - \alpha)^{1}$$

und:

$$\operatorname{tg}\left(rt'+\psi\right) = \frac{rs' - \operatorname{M} r\sin\left(qt' + \varphi - \alpha\right)}{kz' + v' - \operatorname{M} k\sin\left(qt' + \varphi - \alpha\right) - \operatorname{M} q\cos\left(qt' + \varphi - \alpha\right)}$$

Diese Werthe der Constanten N und  $\psi$  bleiben so lange gültig, als der von der Lichtquelle ausgehende periodische Impuls  $f \sin(qt + \varphi)$  ungeändert bleibt.

Tritt aber zu irgend einer Zeit eine plötzliche Aenderung der Amplitude f oder der Phase  $\varphi$  oder beider Grösset zugleich ein, so erfolgt auch eine plötzliche Aenderung der Werthe von N und  $\psi$ , indem nicht nur f und  $\varphi$ , sonders auch x' und v' andere, diesem Zeitpunkt entsprechende Werthe annehmen, und die durch das Glied:

$$Ne^{-kt}\sin\left(rt+\psi\right)$$

ausgedrückte Bewegung des Körpertheilchens beginnt jetzt mit veränderten Werthen von N und w von neuem.

Die Bewegung des Theilchens der Lichtquelle, von wel-

<sup>1)</sup> Der in meiner Abhandlung angegebene einfachste Werth von N:  $N^2 r^2 = M^2 q^2$ 

ergibt sich hieraus, wenn man q=0 und für t'=0 auch x'=0 und q'=0 annimmt.

645

chem der Wellenzug f sin qt+q) ausgeht, darf man sich aun nicht als eine fortdauernd regeimässige einfache Pendelbewegung vorstellen. Es werden vielmehr innerhalb eines sehr kurzen Zeitraumes zahlreiche plötzliche und regellose Aenderungen nicht nur der Schwingungsrichtung, sondern auch der Amplitude und Phase eintreten.

Innerhalb desselben kurzen Zeitraumes muss daher die Bewegung des von diesem Wellenzug erregten Körpertheilchens ebenso oft mit neuen Werthen von N und v einsetzen; oder es werden während dieses kurzen Zeitintervalles in der Gesamintbewegung des Körpertheilchens nacheinander die verschiedensten Werthe von N. von dem grössten, welcher bei der Intensität der Anregung möglich ist, bis zu sehr kleinen herab, und ebenso die verschiedensten Werthe von w vertreten sein.

Die Lichtquelle besteht aber niemals aus nur einem einzigen Theilchen, sondern enthält im engen Raume zahlteiche Theilchen, welche uns bhängig voneinander schwingen und dem betrachteten Körpeitheilchen daher gleichzeitig Wellenzüge von allen möglichen Amplituden, welche unterhalb einer gewissen Grenze liegen, und von allen möglichen Phasen zusenden.

Es müssen daher in der Bewegung des Körpertheilchens in jedem Augenblick gleichzeitig alle moglichen Stadien der Schwingung  $Ne^{-\lambda t}\sin xt + w_t$  vertreten sein, mit allen möglichen Werthen von N, von einem grössten Werthe an abwärts.

Der Bewegungszustand des Körpertheilchens ist daher in jedem Augenblick der nämliche, wie im vorhergehenden oder im nachtolgenden Augenblick, er ist stationär, und bleibt stationär, solange der Bewegungszustand der Lichtquelle ebenfalls stationär bleibt.

Man könnte diesen stationären Zustand ersetzt denken durch eine Bewegung von der Form No-kt sin (rt+w), welche mit einem unverändert bleibenden Werthe von N. den man als stationären Werth bezeichnen könnte, nach sehr kurzen Zeitintervallen immer wieder von neuem beginnt, darum aber

nicht minder in jedem Augenblick dem durch diesen Audruck vorgeschriebenen Bewegungsgesetz geherelit.

Nicht nur die Fluorescenz und Phesphorescenz, denn auch diese wird von der in Rede stehenden Theorie mit umfasst), sondern jedes Selbstleuchten oder überhaupt di-Emission von Strahlen beruht nach meiner Anschapung auf einem derartigen Bewegungszustand der strahlenden Korter theilchen. In einem gluhenden Korper z B. schwirzen dessen Theilehen Molecule) unter dem Einfluss der zwischen den Moleculen thätigen intermolecularen Kraite, wie in Molecul eines duoreschrenden Korpers die Atome unter den Emilyss intramolecularer Kräfte, jedoch micht ohne einer Widerstand zu erleiden, der die Schwingungen nach den obigen Gesetz dampft. Durch immer neue von verschiedene: Seiten kommende Impulse, welche das schwingende Theilchen empfängt durch Wärmezutuhr, chemische und electri sche Processo u. s. w., wird dasselbe in den soeben gesich. derten stationaren Bewegungszustand versetzt, welcher ent dann aufhort, stationar zu sein, wenn jene Impulse erlahnet oder ganz aufhören. Dann erst tritt das Abklingen der ganzen Bewegung ein, welches bei fluorescirenden Korrerin sehr kurzer Zeit es ist nur bei wenigen im Phosphoroskop überhaupt wahrnchmbar, bei phosphorescirenden ut gluhenden Körpern in längerer Zeit verläutt. 1/3

Schreiben wir aber den Theilchen der Lichtquelle eines stationären Bewegungszustund von dieser Beschaftenheit zu so erhellt, dass das Zusammenwirken zahlreicher Theilchet der Lichtquelle, wie es oben vorlaufig angenommen wurde gar nicht einmal nothwendig ist, um den stationären Zustameines fluoreschrenden Körpertheilchens herbeizuführen, wie dem dass hierzu schon die Anregung durch ein einzige Theilchen der Lichtquelle ausreichen würde.

Wir gehon nun über zu dem zweiten Punkte, namlic. zum Begriffe des homogenen Lichtes.

<sup>1)</sup> Ich habe die hier ausführlicher dargelegte Anschauung über de Schwingungszustand strahiender Kirper bereits in nach früh ren A.\* satz (Wied, Ann. 18. p. 440, 1882) durch die Werte "momer neue 3.\* regung" angedeutet.

Homogen nennen wir, unabhängig von jeder Theorie, Licht von ganz bestimmter, ihr ein und dasselbe Mittel unverunderlicher Brechbarkeit.

Im Sinne der Wellentliebrie ist das Licht als periodische Bewegung oder als zusammengesetzt aus periodischen Bewegungen anzuschen. Jede periodische Bewegung aber lässt sich als eine Summe betrachten aus periodischen Bewegungen der einfachsten Art, die nach dem Sinusgesetz erfolgen, oder sie kann hinear in solche einfachste Bewegungen zerlegt werden, deren jede durch die Gleichung:

$$x = A \sin qt + q$$

ausdrückbar ist, wo q 2π die Schwingungszahl, q eine behebige Phase der schwingenden Bewegung bedeutet.

Jede auf dem Boden der Wellenlehre stehende besondere Lichttheorie, wie sie auch sonst geartet sein mag, formuhrt die ihr zu Grunde liegenden Ideen in einem System partieller linearer Differentialgleichungen, welche die Vorgange bei der Fortphanzung des Lichtes in irgend einem Mittel definiren.

Um die Bedingungen dieser Fortpflanzung in einem isotropen Mittel auf welches wir uns hier beschränken) kennen zu lernen, ist es hinreichend, die Fortpflanzung einer aulehen einfachen pendelartigen Bewegung zu verfolgen, indem man.

$$\xi = A r^{-Ky} \sin \left( qt - \frac{q}{r} y - n \right).$$

wo y den Abstand eines schwingenden Theilchens des fortptlanzenden Mittels vom Anfangspunkt, e die Fortptlanzungsgeschwindigkeit und K den Absorptionscoefficienten bedeutet, in die Differentialgleichungen substituirt, und nun die Constanten e, K und ip so bestimmt, dass den Gleichungen genügt wird.

Es ergeben sich alsdann c, K und  $\psi$  als Functionen der willkurlich bleibenden Grösse q.

Die Fortpflanzungsgeschwindigkeit eist demnach einzig von der Schwingungszahl q 2π der fortgepflanzten einfach pendelartigen (Sinus-)Schwingung abhängig. Einer solchen schwingenden Bewegung kommt demnach eine ganz bestimmte Fortpflanzungsgeschwindigkeit und sonsch kraft des H.; gens'schen Princips eine ganz bestimmte Brechbarkeit 2.

Homogenes Licht wird daher nur durch eints, pendelartige, d. i. nach dem reinen Sinusgesetz er folgende Schwingungen hervorgebracht.

Deser Satz ist, wie man aus den vorstehenden Duliegungen ersieht, bisher allgemein, wenn auch stillschweiget als selbstverständlich angenommen worden. Er bildet zu wesentliches Fundament sämmtlicher Lichttheorien, westohne ihn sofort in sich zusammenbrechen

Besteht die von der Lachtquelle ausgehende Bewerung

$$x = \sum A_n \sin y_n t + q_n$$

aus mehreren, oder vielen, oder kogar unendlich vielen en fachen pendelartigen Schwingungen von behehig verschiednen Perioden, so ergibt sich wegen der linearen Natur der Differentialgleichungen deren entsprechendes Integral

$$\xi = \sum A_n e^{-K_n t} \sin \left(q_n t - \frac{q_n}{c_n} y - w_n\right).$$

welches zeigt, dass in einem lichtbrechenden Mittel im Sinusschwingung, deren Schwingung-zahl  $q_n/2\pi$  ist, sich mit der zugehörigen Geschwindigkeit  $c_n$  fortpilanzt.

Durch die Dispersion in einem Prisma wird dicher jenzusammengesetzte Lichtbewegung in einfache pendelartige
Schwingungen zerlegt, welche, wenn die Werthe que eine dis
continuirliche Reihe bilden, als getrennte helle Linien in
Spectrum erscheinen. Die Spectralanalyse ist als Zerlegung
zusammengesetzten Lichts in seine homogenen Bestandtheibgunz analog der Zerlegung eines Klanges in seine einfachen
Partialtöne, nur dass die Optik in der Dispersion (und der
Diffraction) über ein vollkommneres Mittel zu dieser Zerlegung verfügt, als die Akustik, welche, da es keine Dispersion des Schalles gibt, auf die Anwendung der Resonans zu
diesem Zwecke beschränkt ist.

In dem obigen Ausdruck für die Theilehen der Lacht quelle sind  $A_n$ ,  $q_n$  und  $q_n$  willkürliche Grössen, welchen wu ieden beliebigen besonderen Werth beilegen können. Setzet wir z. B.:

$$A_n = \frac{k\delta}{n(k^2 + n^2\delta^2)}, \qquad q_n = r + n\delta, \qquad q_n = q,$$

so entspricht der Bewegung der Lichtquelle.

$$x = \frac{1}{\tau} \sum_{n=-\infty}^{n=+\infty} \frac{\sin\left((n+n\delta)(t+q)\right)}{k^{\tau} + n^{\tau}\delta^{\tau}} \delta$$

die im brechenden Mittel fortgepflanzte Bewegung.

$$\xi = \frac{1}{1 + x} \left( -E_{x,y} \cdot \sin \left( (c + \pi \partial x \xi - \frac{r + \pi \partial}{c_x} y - v_n \right) \right) + \frac{1}{2} \left( \frac{1}{2} + \frac{\pi \partial x}{2} \right) + \frac{1}{2} \left( \frac{1}{2} + \frac{\pi \partial x}{2} \right) + \frac{1}{2} \left( \frac{1}{2} + \frac{\pi \partial x}{2} \right) + \frac{1}{2} \left( \frac{1}{2} + \frac{\pi \partial x}{2} \right) + \frac{1}{2} \left( \frac{1}{2} + \frac{\pi \partial x}{2} \right) + \frac{1}{2} \left( \frac{1}{2} + \frac{\pi \partial x}{2} \right) + \frac{1}{2} \left( \frac{1}{2} + \frac{\pi \partial x}{2} \right) + \frac{1}{2} \left( \frac{1}{2} + \frac{\pi \partial x}{2} \right) + \frac{1}{2} \left( \frac{1}{2} + \frac{\pi \partial x}{2} \right) + \frac{1}{2} \left( \frac{1}{2} + \frac{\pi \partial x}{2} \right) + \frac{1}{2} \left( \frac{1}{2} + \frac{\pi \partial x}{2} \right) + \frac{1}{2} \left( \frac{1}{2} + \frac{\pi \partial x}{2} \right) + \frac{1}{2} \left( \frac{1}{2} + \frac{\pi \partial x}{2} \right) + \frac{1}{2} \left( \frac{1}{2} + \frac{\pi \partial x}{2} \right) + \frac{1}{2} \left( \frac{1}{2} + \frac{\pi \partial x}{2} \right) + \frac{1}{2} \left( \frac{1}{2} + \frac{\pi \partial x}{2} \right) + \frac{1}{2} \left( \frac{1}{2} + \frac{\pi \partial x}{2} \right) + \frac{1}{2} \left( \frac{1}{2} + \frac{\pi \partial x}{2} \right) + \frac{1}{2} \left( \frac{1}{2} + \frac{\pi \partial x}{2} \right) + \frac{1}{2} \left( \frac{1}{2} + \frac{\pi \partial x}{2} \right) + \frac{1}{2} \left( \frac{1}{2} + \frac{\pi \partial x}{2} \right) + \frac{1}{2} \left( \frac{1}{2} + \frac{\pi \partial x}{2} \right) + \frac{1}{2} \left( \frac{1}{2} + \frac{\pi \partial x}{2} \right) + \frac{1}{2} \left( \frac{1}{2} + \frac{\pi \partial x}{2} \right) + \frac{1}{2} \left( \frac{1}{2} + \frac{\pi \partial x}{2} \right) + \frac{1}{2} \left( \frac{1}{2} + \frac{\pi \partial x}{2} \right) + \frac{1}{2} \left( \frac{1}{2} + \frac{\pi \partial x}{2} \right) + \frac{1}{2} \left( \frac{1}{2} + \frac{\pi \partial x}{2} \right) + \frac{1}{2} \left( \frac{1}{2} + \frac{\pi \partial x}{2} \right) + \frac{1}{2} \left( \frac{1}{2} + \frac{\pi \partial x}{2} \right) + \frac{1}{2} \left( \frac{1}{2} + \frac{\pi \partial x}{2} \right) + \frac{1}{2} \left( \frac{1}{2} + \frac{\pi \partial x}{2} \right) + \frac{1}{2} \left( \frac{1}{2} + \frac{\pi \partial x}{2} \right) + \frac{1}{2} \left( \frac{1}{2} + \frac{\pi \partial x}{2} \right) + \frac{1}{2} \left( \frac{1}{2} + \frac{\pi \partial x}{2} \right) + \frac{1}{2} \left( \frac{1}{2} + \frac{\pi \partial x}{2} \right) + \frac{1}{2} \left( \frac{1}{2} + \frac{\pi \partial x}{2} \right) + \frac{1}{2} \left( \frac{1}{2} + \frac{\pi \partial x}{2} \right) + \frac{1}{2} \left( \frac{1}{2} + \frac{\pi \partial x}{2} \right) + \frac{1}{2} \left( \frac{1}{2} + \frac{\pi \partial x}{2} \right) + \frac{1}{2} \left( \frac{1}{2} + \frac{\pi \partial x}{2} \right) + \frac{1}{2} \left( \frac{1}{2} + \frac{\pi \partial x}{2} \right) + \frac{1}{2} \left( \frac{1}{2} + \frac{\pi \partial x}{2} \right) + \frac{1}{2} \left( \frac{1}{2} + \frac{\pi \partial x}{2} \right) + \frac{1}{2} \left( \frac{1}{2} + \frac{\pi \partial x}{2} \right) + \frac{1}{2} \left( \frac{1}{2} + \frac{\pi \partial x}{2} \right) + \frac{1}{2} \left( \frac{1}{2} + \frac{\pi \partial x}{2} \right) + \frac{1}{2} \left( \frac{1}{2} + \frac{\pi \partial x}{2} \right) + \frac{1}{2} \left( \frac{1}{2} + \frac{\pi \partial x}{2} \right) + \frac{1}{2} \left( \frac{1}{2} + \frac{\pi \partial x}{2} \right) + \frac{1}{2} \left( \frac{1}{2} + \frac{\pi \partial x}{2} \right) + \frac{1}{2} \left( \frac{1}{2} + \frac{\pi$$

wo  $K_n$ ,  $c_n$ ,  $c_n$ , bekannte (aus den Differentialgleichungen bestimmte) Functionen von  $r + n\delta$  sind, und  $\delta$  eine beliebige Grösse ist, die man so gross oder so klein annehmen kann, als man nur immer will.

Lassen wir  $\delta$  unendlich klein  $i=dz^{\gamma}$  werden, und setzen wir  $n\delta=z$ , so verwandeln sich die vorstehenden Ausdrücke in die bestimmten Integrale:

$$\tau = \frac{k}{\pi} \int_{0}^{+\infty} \frac{\sin^2(r+z)t+y}{k^2+z^2} dz$$

und:

$$\xi = \frac{\lambda}{\pi} \int_{0}^{\frac{\pi}{2} x} e^{-Ky} \frac{\sin (x+z)t - \frac{x+z}{2}y - y}{\lambda^2 + z^2} dz,$$

von denen das letztere den Differentialgleichungen der Lichtbowegung in dem brochenden Mittel als particuläres Integral genügt, falls c, K und m als Functionen von r+z diesen Gleichungen gemäss bestimmt sind.

1) Man kann den obigen Gedankengang noch allgemeiner fassen Gentigt:

$$\xi = e^{-Ky} \sin \left(qt - \frac{q}{c}y - \psi\right)$$

den linearen partiellen Differentialgleichungen, in iem e. K und wals Functionen von q entsprechend bestammt sind, und betrachtet man nun quals eine behebige Function einer Vertialerlichen z. so genugt auch das Integral:

$$\bar{z} = \int_{0}^{z} e^{-Ky} \sin\left(qt - \frac{g}{c}y - y\right) dz$$

Das erstere Integral ist aber identisch mit dem Ausdruck  $e^{-kt}\sin(rt+q)$ , d. h. man hat, wenn k nicht Null ist

$$\int_{-z}^{+z} \int_{-z}^{+z} \sin(z+z) + r dz = e^{-kt} \sin(z+q).$$

Die nach dem Schwingungsgesetz

$$x = Ne^{-\lambda t} \sin xt + y$$

erfolgende Bewegung stellt demnach kein homogenes Licht dar, sondern sie ist gleichbedeutend mit einer Reihe von unendlich vielen pendelartigen Schwingungen mit unendlich kleinen Amplituden, deren Schwingungszahlen sich in stetiger Aufeinanderfolge der "Hauptschwingungszahl"  $r = \frac{1}{2} p^2 - k^2$  zu beiden Seiten anschliessen, während die Amplituden von dieser mittleren Hauptschwingung nach beiden Seiten hin stetig abnehmen.

In einem brechenden Mittel pflanzt sich jeie dieser pendelartigen Schwingungen mit der zugehörigen Geschwindigkeit  $c = F_1 r + z_1$  fort.

Das jenes Schwingungsgesetz befolgende Licht wird daber durch das Prisma in ein continuirliches Spectrum ausgebreitet, welches sich von der der Hauptschwingungszahl z entsprechenden Stelle ausnach beiden Seiten hin mit abnehmender Intensität erstreckt.

Diese Sätze sind eine unausweichliche Consequenz des obigen, als selbstverständlich allgemein angenommenen Satzes

Sie sind anwendbar nicht blos auf Fluorescenz und Phosphorescenz, sondern auch auf die Strahlung glubender oder überhaupt warmer Korper, von welchen wir, wie oben bereits erwähnt wurde, annehmen, dass ihre intermolecularen Schwingungen, welche nichts anderes als Wärmeschwingungen sind, nach demselben Gesetze vor sich gehen.

jenen Differentialgleichungen, da jedes seiner Elemente ihnen schon für sich Genuge leistet.

Der Fourier'sche Lehrsatz ist, wie man sieht, zur Ableitung dieser Resultate nicht nothwendig.

Die lebendige Kraft dieser Schwingungen der Molecule ist dem Quadrate des stationaren Werthes N proportional, oder N<sup>2</sup> ist proportional der absoluten Temperatur des strahlenden Körpers und nur von dieser abhängig.

Damit die Strahlung auf unsere Sinne oder auf unsere Instrumente wirke und dadurch währgenommen werde, mussie eine gewisse Intensität erreicht haben, bei welcher sie, wie wir sagen wollen, die "Wahrnehmungsschweile" überschreitet.

In dem continuirlichen Strahlencomplex, in welchen jene schwingende Bewegung sich zerlegen lasst, werden, wenn wir zu hoheren Temperaturen, also zu grösseren Werthen des Factors N übergehen, zuerst die intensivsten Bestandtheile, näml: h die Hauptschwingung und die ihr zunächst benachbarten, die Wahrnehmungsschwelle erreichen und überschreiten.

Da wir nun bei einem Körper von relativ niederger Temperatur nur dunkle ultrarothe Strahlen beobachten, so schliessen wir, dass die Hauptschwingung der intermolecularen Wärmebewegung in das ultrarothe Gebiet fällt.

Wächst die Temperatur und mit ihr der stationäre Werth ron N, so dehnt sich das Spectrum von dieser ultrarothen Hauptschwingung an nach beiden Seiten hin aus, indem immer neue Schwingungen über die Wahrnehmungsschwelle sich erheben und die bei niedrigerer Temperatur bereits wahrnehmbar gewordenen ihre Intensität steigern.

Der Körper fängt an, in dunkler Rothgluth sichtbar zu werden, wenn die Temperatur so weit gestiegen ist, dass die Intensität der äussersten rothen Strahlen die Empfindungsschwelle unseres Auges überschreitet. Dann kommen bei den höheren Hitzegraden immer brechbarere Strahlengattungen binzu, bis das Spectrum bei der höchsten Weissgluth bis ins Ultraviolett eich erstreckt.

Dabei bleibt das Maximum der Strahlungsintensität, indem es sich verstärkt, im Ultraroth an der Stelle der Hauptschwingung liegen.

Da der stationäre Werth von N. von dessen Grösse es abhängt, ein wie grosser Theil des Strahlencomplexes über

die Wahrnehmungsschwelle emporragt, nur von der Temperatur abhängig ist, so folgt noch, dass die verschiedener Stadien des tilühens, die dunkle und helle Rothgluth, die Veilsgluth bei allen festen Korpern bei derselben Temperatur eintreten.

Hr. Wüllner meint, "man könne in diesem Fallenämlich wenn man, wie ich es thue, nur die nach dem reiner Sinusgesetz vor sich gehenden Schwingungen als homogene Licht gelten lässt) "überhaupt kein künstliches homogene Licht darstellen, da wir keine Lichtquelle von absolut constanter Intensität besitzen; jede Schwankung in der Lichtstärke müsste sich dann in ähnlicher Weise geltend machen Denn während der Aenderung der Lichtstärke ist die Amplitude eine Function der Zeit, welche sich nach dem Fourier schen Satze in eine Sinusreihe entwickeln lässt. Er müsste daher, wenn man dieser Zerlegung eine physische Bedeutung beilegen durfte, jede Lichtquelle uns ein mehr oder weniger zusammengesetztes, und zwar, da das Gesetz der Schwankung der Lichtstärke nicht immer dasselbe ist ein sehr variables Spectrum liefern".

Als homogene Lichtquellen verwenden wir glühende Gase oder Dämpfe, z. B. die Natrumflamme.

Fur jede der zahlreichen Einzelschwingungen von der Form Ne-21 sin (rt + q , welche die Lichtquelle gleichzeitig aussendet, ist der Factor N, wie die Differentialgleichung der Bewegung es fordert, von der Zeit unabhängig. die Intensität sich andert, z. B. abnimmt, so geschieht dies indem die Schwingungen mit den grossten Werthen von N spärlicher werden oder ganz verschwinden, und dadurch die mittlere lebendige Kraft der Gesammtbewegung, d. i. die Temperatur, sich vermngert. Die Beschaffenheit des Spectrums des ausgestrahlten Lichtes, welche nur von den dem strahlenden Körper eigenthümlichen Werthen von k und r = 1  $p^2 - k^2$ abhängt, ändert sich dabei nicht oder höchstens in der Weise. dass von der Hauptschwingung entferntere Strahlenarten unter die Schwelle der Wahrnehmbarkeit herabsinken oder bei steigender Temperatur sich darüber erheben. Ist insbesondere der leuchtende Körper ein Gas, für welches nach unserer

Annahme', k Null oder nahezu Null ist, so ist das Licht der Einzelschwingung  $N\sin pt + q$  homogen und bleibt homogen, wie auch die Lichtstärke sich ündern mag.

Homogenes Licht erhalten wir ferner, indem wir das von einem glübenden Körper kommende Licht in ein reines continuirliches Spectrum ausbreiten und aus diesem mittelst eines Spaltes eine schmale Partie herausschneiden. Es ist mich dem bereits Gesagten von selbst klar, dass auf diesen spalt stets Licht von der nämlichen Brechharkeit treiten muss, wie auch die Intensität der Lichtquelle sich verandern mag.

Hr. Wüllner fährt fort: "Die Unzulässigkeit dieser Deutung einer verklingenden Weile tritt noch klarer hervor. wenn wir die analogen Erscheinungen des Schulles betrachten. Jeder Ton einer Stimmgabel, jeder Ton einer geschlagenen Sarte, ja jeder durch einen Resonanzboden verstärkte Klang nimmt nach einem abnlichen Gesetze ab. Unser Ohr nimmt nun in der That die einfachen Thoiltone eines Klauges wahr. Wurde demnach die mathematische Zerlegung einer verschwindenden Welle in eine Sinusreihe auch physikalische Wirklichkeit zuzuschreiben sein, so konnte es keinen reinen Stimmgabelton geben: die Stimmgabel, jede schwingende Saite, redes mit einem Resonanzboden verschene Instrument musste bet jeder Erregung das wirreste Tongemisch geben. Wir wissen dagegen, dass der Stimmgabelton bis zum vollen Verschwinden derselbe und ganz rein bleibt, ebenso bleibt die Farbe eines verschwindenden Klanges gleich derjenigen, welche der Klang bei constanter Stärke besass."

Eine in der Luft schwingende Stimmgabel. Saite u. s. w. erführt nur sehr geringe Dämpfung, sie vollführt sehr viele Schwingungen, ehe die Amplitude sich merklich ändert; es ist in diesem Falle h nahezu gleich Null, und wir vernehmen deshalb einen reinen einfachen Ton. Um Verhältnisse herbeizuführen, welche denjenigen der Fluorescenz analog sind, muss man stärkere Dämpfung anwenden, indem man die Stimmgabel in einer Flüssigkeit, in Wasser. Quecksilber u. s. w.

<sup>1)</sup> Lommel, Wied. Ann. 8, p. 268-1878.

schwingen lässt. Dass unter diesen Umständen ein tiefere Ton entsteht, 1st schon mehrfach beobachtet worden. D.c. einen sehr einfachen Versuch kann man sich davon üterzeugen. Taucht man die Zinken einer schwingeniten Stimmgabel in Quecksilber, so sinkt der Ton sofort in die Tiere und verklingt sehr rasch. Man bemerkt aber aussera m dass dieser tiefere Ton ein andere Klangfarbe besitzt, alein reiner Stimmgabelton, er klingt nicht so rein und so weich, wie der einer frei schwingenden Stimmgahol von derselben Trefe. Das Ohr wird naturgemäss die Toplage nach der in dem Klange am stärksten vertretenen Hauptschwingung r=1 p2 k2 taxiren, und die Abweichung von der reinet. Sinusschwingung nur als Aenderung der Klangfarbe wahrnehmen. "Das wirreste Tongemisch." welches Hr. Wullner befürchtet, tritt allerdings nicht ein und ist nach der Theoreauch nicht zu erwarten.

Die aus der Akustik herangezogenen Analogien sprechen also nicht gegen, sondern für meine Theorie.

Wir kommen nun zu dem dritten Einwurf, nämlich, dass die Theorie den Unterschied zwischen Absorption ohne Fluorescenz und Absorption mit Fluorescenz nicht erkläre.

Die Theorie verlangt, dass die Hauptschwingung (r = ) ; 2-42, d. 1. das Intensitätsmaximum des Fluorescenzspectrums, tiefer liege, als das Maximum der Absorption; sie verlangt aber nicht, duss sie nothwendig in das Bereich des sichtbaren Spectrums falle. Sie kann vielmehr, und mit ihr das ganze Fluorescenzspectrum, soweit es über die Wahrnehmungsschwelle reicht, wenn & hinreichend gross ist, in dem Ultraroth liegen und demnach unsichtbar bleiben.

Hr. Linhardt<sup>2</sup>, hat für eine Reihe fluorescirender Substanzen die Werthe von k nach meiner Theorie berechnet indem er den Werth für das Chlorophyll als Einheit annahm Diese Werthe erheben sich von k=1 his k=4.63. Nehmen wir beispielsweise für das stark absorbirende Cyanin, dessen

Linhardt, Erlanger Suzungsber 14, p 128, 1882 Beibl 7
 p, 600, 1888.

<sup>1)</sup> Auerbach, Wied. Ann. 3. p 157, 1875 - Montigny, Bell de l'Ac Roy. Belg 2) 50. p 138 1880. Belbl. 5. p 248, 1881.

Absorptionsstreif bei  $\lambda = 0.590$  liegt, den Widerstandscoëfficienten k = 5 an, also nur wenig höher als der grösste bei duorescirenden Körpern gefundene Werth, so berechnet sich aus der Theorie die Wellenlänge des Fluorescenzmaximums  $\lambda = 0.767$ ; dasselhe würde demnach ins Ultraroth fallen und nicht gesehen werden.

Die absorbirenden Körper, welche kein Fluorescenzlicht zeigen, können hiernach als solche betrachtet werden, deren durch Insolation erregte intramoleculare Strablung ins Ultraroth fällt.

Der Satz, welcher in meiner Abhandlung den Uebergang von der Theorie der Absorption zu derjenigen der Fluorescenz bildet, nämlich: "Werden die Atome eines Körpers durch den periodischen Impuls zum Selbstleuchten gebrachtso nennen wir diesen Leuchtprocess Fluorescenz" ist sonach ganz correct; er sagt durchaus nicht, "dass alle absorbirenden Korper, welche im sichtbaren Spectrum Absorptionsstreifen zeigen, auch fluorescirende (d. i. sichtbare Strahlen emittirende) sein müssen". Er beschränkt nur den Ausdruck Fluorescenz dem herrschenden Sprachgebrauch gemäss auf eine sichtbare Strahlung, während die Theorie selbst eine mit der Fluorescenz dem Wesen nach identische unsichtbare Strahlung keineswegs ausschliesst.

Die Einwände, welche Hr. Wüllner gegen meine Theorie der Fluorescenz erhoben hat, sind demnach nicht haltbar.

# 1X. Spectralphotometrische Untersuchungen einiger photographischer Sensibilisatoren; ron J. B. Messerschmitt.

Zahlreiche Forscher haben die Absorption diaphaner Medien zu ihrem Studium gemacht. Die meisten beschränkten sich darauf, die Lage der Absorptionsstreifen anzugeben, und erwähnten nur nebenbei die Intensität. Es dürfte aber gerade eine genaue Beachtung der Intensität für eine gewisse

Concentration. Schichtdicke und bei einem bestimmten Losungsmittel als sehr wesentlich für die Charakteristik eines
Absorptionsspectrums angesehen werden. Dass hierbei blosse
Schätzungen nicht genugenden Anhalt zu geben im Standsind, möge daraus hervorgehen, dass genaue Messungen des
vielfach untersuchten Absorptionsspectrums des Chlorophylandere Werthe für die Intensitätsvertheilung ergaben, as
blosse Schätzungen. Während nämlich alle Beobachter des
ersten Streiten im Roth für den dunkelsten hielten, ergab
die spectralphotometrische Untersuchung von Wolkeite,
dass die stärkste Lichtabsorption im brechbareren Theildes Spectrums, etwa von F nach H hin stattfindet, und dass
selbst in den helleren Regionen zwischen den Streiten V
und VI einer Chlorophyllosung, die Absorption stärker ist
als in Streifen I.

Wedlen sind nur wenig ältere Untersuchungen vorhanden, so von Beer?) und Glan?, Dieselben beschränkten sich auf die Absorption des durch rothes Glas gegangenen Lichtern Salzlosungen von verschiedenen Concentrationen. Bunsen und Roscoe!, untersuchten Lösungen von rother Tinte, und endlich Zöllner!) dunkelgrau erschiedenen Mischungen verschiedener Salzlosungen. Durch diese Arbeiten wurde festgestellt, dass das Licht bei seinem Durchgange durch jede neue Schicht immer den gleichvielten Theil seiner Intensität verliert. Mit der Einführung des Spectralphotometers durch K. Vierordt!, wurde auch die Photometrie der Absorptionspectra zu einem der wichtigsten Hilfsmittel sowohl der quantitativen chemischen Analyse, als auch zur Losung

<sup>1)</sup> Wolkoff, "Die Lichtabsorption in den Chlorophyllosungen. Heidelberg 15"6.

Beer, Pogg. Ann. 86. p. 78, 1852.
 Glan, Pogg. Ann. 141. p. 58, 1870.

ti Bunsen u. Roscoe, Pogg. Aun. 101. p. 285. 1857.

<sup>5)</sup> Zoliner, Pogg. Ann. 109, p. 244 1880.

<sup>5)</sup> Victordt, Die Anwendung des Spectralapparates zur Messe g farbigen Lichtes. Tübingen 1871. Die Anwendung des Spectralapparate zur Photometrie der Absorptionespectren Tübingen 1873. Die Anwendung des Spectralapparates zur quantitativen Analyse. Tübingen 1876.

mancher wichtiger Fragen auf dem Gebiete der Physik und durch die Arbeiten von Vierordt, Glan, Gouy, Trannien, H. C. Vogel, Govi, Crova, Hennig, Hüfner, Ketteler, Pulfrich u. a. wurde die Brauchbarkeit nach verschiedenen Richtungen genügend festgestellt.

In der vorliegenden Abhandlung beabsichtige ich, aus einer grösseren Reihe von mir im Winter 1884-85 untersuchter Absorptionsspectra cinige Resultate mitzutheilen, und wähle hierzu farbige Lösungen, welche in der Photographie durch ihre sensibilisirende Wirkung von Bedeutung geworden sind. Ich benutzte zur Untersuchung das von Prof. H. C. Vogel modificirte Glan'sche Spectralphotometer1), welches das astrophysikalische Observatorium besitzt und mir von Hrn. Prof. Vogel gütigst zur Verfügung gestellt worden war. Als Lichtquelle bei den Messungen diente eine Petroleumtlamme, deren Licht durch eine matte Scheibe ging. che es die Absorptionsflüssigkeit traf. Die Einstellungen geschahen immer doppelt, und wurde dasselbe Spectrum mehrfach betrachtet. Die Beobachtungen sind graphisch ausgeglichen, und sind die so erhaltenen Werthe auf 1-2 Proc. sicher.

Die photographischen Verfahren beruhen auf der Wirkung des Lichtes auf Silbersalze. Bei den letzteren (besonders bei Bromsilber), wie sie zu photographischen Platten verwendet werden, wirken bei mässig langer Belichtung nur die Strahlen von kürzeren Wellenlängen, nämlich die blauen, violetten und ultravioletten. Durch Zusatz von gewissen Substanzen wird die Lichtwirkung auf Silberhalotde moditert, und sind in dieser Beziehung gewisse Farbstoffe von Interesse, welche die Empfindlichkeit der photographischen Platten (resp. des Bromsilbers) für die Strahlen von längeren Wellenlängen vermehren. Solche Körper sind "optische Sensibilisatoren" genannt worden. Manche Körper zeigen aber die Eigenschaft, dass sie die Zersetzung durch das Licht im allgemeinen beschleunigen, und solchen wurde der Name, chemische Sensibilisatoren" beigelegt. Die optischen Sensibilisatoren" beigelegt. Die optischen Sensibilisatoren" beigelegt. Die optischen Sensibilisatoren beigelegt. Die optischen Sensibilisatoren beigelegt. Die optischen Sensibilisatoren beigelegt.

<sup>1)</sup> H. C. Vogel, Monatsber, der Berl Acad. Mirz 1877. p. 104 Ann. d. Phys. u. Chem. N. F. XXV

sibilisatoren verlangen die Gegenwart eines chemischen Schulbilisatore. Mit Hulfe solcher Sensibilatoren gelingt es. da ganze Spectrum vom Roth bis zum aussersten Violett zu photographiren.

Draper<sup>1</sup>, hat zuerst gezeigt, dass alle Lichtstrahlen welche auf eine Substanz chemisch wirken, von dieser absorbirt werden. Später stellte Schultz-Sellack daract bezügliche Untersuchungen an und gelangte zu demsehet Resultate. Die meisten Untersuchungen auf diesem tiebiete hat puloch H. W. Vogel ausgefahrt, und in neuester Zeitbeschäftigte sich auch Eder eingehend mit diesen Beziehungen.

Um die Emphadhehkeit des Bromsilbers, wie solches z Gelatmetrockenplatten hauptsachlich verwendet wird, für gewisse Farben Grun, Gelb und Roth zu erhohen, bring: man, wie schon oben bemerkt, einen Farbstoff damit in Bethirung, der tenen Theil des Spectrums absorbirt, für welchen man die Schicht empfindlich machen will. Der Farbstoff wird entweder der Bromsilberemulsion zug setzt, wier die fertigen ungefärbten Pratten werden in einer verdungter Lösung desselben einige Minuten gebadet. Früher schon beim t'ollodionverfahren angewandt, ist es erst in neuer r Zeit gelungen, auch Gelatinetrockenmatten in der angegebenen Weise zu sensibilisiren. Merkwardig ist es nun, dass das Maximum der hervorgebrachten photographischen (sens.limareaden) Wirkung nicht genau mit dem Absorptionsstreib a. welchen die Substanz bei durchgehengem Lachte zeigt, zusammentallt, sondern mohr nach Roth hip hegt. Vogel sucht Grose Ergenthumlichkeit auf das Kundt'sche Gesetz zurnekzufuhren, wonach der Absorptionsstreifen nach Rott. hinruckt, wenn das Brechungsvermogen des den Farbston einschliessenden Mediums zunimmt. Auch bei den jolgendez-Versuchen ist der Parbstoff mit dem Bromsilber in Getating. d. h. in einem stark brochbaren Medium eingeschlossen. D. photographischen Versuche habe ich in derselben Weise, wir Dr. Louise's ausgetuhrt, indem ich aaber englische Gelatir-

<sup>1</sup> Draper Phil Mag 19, p 16, 51, p 161

<sup>2)</sup> Luhae, Phys Aresis 25, p. 125.

platten und den von Dr. Lobise construirten Spictrographen benutzte?

#### Eosia.

Eosin gelbstichig, ist in Wasser leicht löslich, gibt eine rangetarbige Flussigkeit und fluorescht grun. Die sensibilisirende Wirkung desselben wurde zuerst von Waterbouse<sup>3</sup>, entdeckt und auf Collodionplatten mehrfach angewendet. In neuerer Zeit benutzt man es auch, um Gelatine-Trockenplatten damit für die weniger brechbareren Theile des Spectrums empfindlich zu machen. Lohse gab hierzu das folgende sehr einfache Verfahren<sup>3</sup>:

Belichtet man eine gewähnliche Bromsilber-Gelatinetrockenplatte in einem Spectrographen, so geht die Wirkung
vom Aussersten Violett bis Grün (zwischen F und b). Badet
man über eine solche Platte in sehr verdünnter wüsseriger
Losung von Eosin ca. 2 Minuten und belichtet dieselbe nach
dem Trocknen, so findet noch eine photographische Wirkung
bis D statt, und zwar ist zwischen D und E (genauer 585
bis 545 Milliontelmillimeter Wellenlänge) die Wirkung so
stark wie im Blau, wahrend zwischen E und F die Wirkung
etwas schwächer ist. Hierbei ist es vortheilhaft, die Platte
nach dem Bade gut abzuwaschen, um etwaige Fleckenbildung
en vermeiden.

to Lorbso, Zeitschr. für Instrumentenkunde 5. Jahrg. p. 11. 1885.

<sup>2)</sup> Ueber die alteren Versuche mit Senaihlbasteren (beim Collodionretakten hat Eder Ueber die chemischen Wirkungen des farbigen
Lichter, Wien 1879 eine umfange iche Zusammenstellung gegeben. Ueber
die neueren Versuche, besondere mit Gelatinetrockenplatten siehe O,
Lober , Liesegung's photograph, Archiv 25. p. 125, 141, 221–1844. –
H W Vogel, Photogr. Mittienungen 1884. – Schumaum, Photogr
Wechenschrift, 1884. auch besonders J. M. Euer, Wich Ber 90.
H Abth. 1884. wosellist über Versiche mit einer gressen Arzahl Senxihilbateren berichtet und der Zusam nenhang zwischen Absorption der
fachst die und deren schibbarende Wirkung für Bronsilbergeotine bespreaden wird.

<sup>5</sup> Waterhouse, Pogg Ann. 150, p. 816, 1878, - Phot. Mitth 14.

<sup>4</sup> Lohse Pher Archiv 25, p. 125, and Phyt. Meth. 21, p. 118
42\*

Betrachtet man das Absorptionsspectrum einer solches Lösung direct, so fällt sofort auf, dass die photographische Wirkung des Eosins im Gelb nicht an der Stelle erscheint wo der Absorptionsstreifen in wässeriger Lösung sich betindet, sondern mehr gegen Roth verschoben ist. Ein durch ein mit Eosin gefärbtes Golatineplättichen geschenes Spectrum zeigt auch den Absorptionsstreifen nach Roth hin verschoben, jedoch nicht so weit, wie die photographische Wirkung auf der Platte. Man ersieht dies deutlich aus folgender Zahlen, welche Milliontelmillimeter der Wellenläugen angeben

					36 150
Senatelbur	inde 1	Wirkur	· K	auf der Platte	3/3
Absorption	durch	Eosin	in	Gelatine	536
49	94	15	1/0	Glycern in 1 mm Schichtdicke	531
44	94	**	27	Wasser in 1 mm. Schichtdicke	517

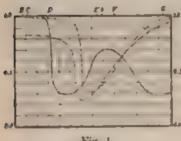


Fig. 1.

Am deutlichsten sieht man die Verschiebung bei Betrachtung von Fig. 1, in welcher die photometrisch gemessene Absorption von Euse in wässeriger Lösung (Curve---) und in Gelatine (Curve-----), nebst der photographischen Wirkung auf det Platte (Curve---) gegeben ist

Um zu zeigen, in welcher Weise die Absorption von der Concentration der Farbstofflosung abhängt, möge folgende Tabelle dienen:

Concentra-	Selicht	10 mm	Schicht	1 com	Gelstmet at		
tion in Proc	Aufang	Ende	Anlaug	Eule	Anfang	Ende	
£ 2	575		557	+			
	571	-	551	-	-	-	
	313		542				
10	555		5.43	452	551	214	
42	352	447	5 17	4 14	5474	7.20	
601	549	460	3.46	500	545	122	
1 628	392	474	535	501	547	521	
376	587	4500	533	502	545	1,25	

<sup>1)</sup> Die von mar benutzten Plattchen besassen eine D., ke von ca. 0.04 mm

Hierin begrenzen die dreistelligen Zahlen Anfang und Ende des Absorptionsstreisens im Spectrum durch Angabe der Wellenlänge in Milliontelmillimetern. Die Werthe sind, wie nicht anders zu erwarten stand, bis zu drei Einheiten unsicher (namentlich im Blau), wo die Absorption nur allmählich beginnt. Bei starker Concentration verschwand das Violett fast ganz, es entstand dann ein völlig dunkler Absorptionsstreisen, der sich bei zunehmender Verdünnung der farbigen Lösung verschmälerte und allmählich selbst die Farbe hervortreten liess.

Zur Erläuterung der Helligkeitsvertheilung in einem solchen Absorptionsspectrum moge die nachfolgende Tabelle dienen:

Lichtabsorption von Eosin.

Wellen- lange MillMm.	bei t mm	in Wasser Schicht- ke	in Gela	Proc. innefolia	in Glycerin ber 1 mm Schicht- dicke	
19911 - 1101111	Lichtstärke	EstCidfi.	Lichtstarko	Est. Coeff.	Lichtstärko	Est,-Coeff
66 0	0,990	9,0044	0,830	0,0800	0,990	0,0044
198	0,978	0,0038	0,818	0,0873	0,972	0,0128
574	0,473	0,0123	0,800	0,0869	0,952	0,0214
552	0,965	0,0200	0,730	0,1367	0,800	0,0969
545	0,925	0,033 (	0,479	0,3279	0,600	0,2219
589	0,886	0,0528	0,286	0,5850	0,410	0,3872
525	0,718	0,1489	0,226	0,6478	0,470	0,4818
517	0,580	0,2368	0,315	0,5017	0,883	0,4145
500	0,605	0,2153	0,470	0,3279	0,487	0,8125
455	6,700	0,1549	0,610	0,2147	0,600	0,2219
460	0,880	0.6555	0,870	0,0605	0,782	0,1068
439	0, 80	0,0088	0,938	0,0278	0,867	0,0820

Hierin bedeuten die Zahlen in der Columne der "Lichtstärken" die Intensitäten des durchgelassenen Lichtes, wenn die Intensität des ursprünglichen Lichtes gleich Eins gesetzt wird. Die Extinctionscoëfficienten sind die negativen Logarithmen der Lichtstärken. Die Zahlen berühen auf mehreren Beobachtungen und sind graphisch ausgeglichen.

Eosin ist einer der charakteristischsten Sensibilisatoren, indem es die Wirkung sehr deutlich zeigt. Eder untersuchte ausser Eosin gelbstichig noch verschiedene ihm verwandte Eosinfarben und fand, dass sie sämmtliche gute Sensibilisatoren für Grün. Gelbgrün und eventuell für Gelb sind, und

dass die Wirkung derselben leicht nachzuweisen ist. diesen Farbstoffen gehört auch das Cyanosin und das Ithyleosin, von welchen ich ebentalls spectralphotometr. Messungen gemacht habe.

#### Cyanosin

ist in Alkohol leicht löslich. Die rosaturbene Flusseglituoreseirt ohvenbraun und zeigt einen krattigen Absorptionstreifen im Anfang des Grun. Durch Ammoniakzusatz keine Aenderung des Absorptionsstreitens zu bemerk. Photographisch wirkt Cyanosin ohne Ammoniak nur wosensibilisirend, nach Zusatz von Ammoniak dagegen in eine ausgesprochene Wirkung von F bis D statt, mit ein Maximum bei 570 Milliontelmillimeter W. L. Zwischen F und 494 Milliontelmillimeter W. L. ist die Wirkung it schwächer. Das Maximum im Gelb ist jedoch nicht so zu wie bei Eosin.

Spectralphotometrische Messungen ergaben folger Werthe:

Lichtabsorption von Cyanosin.

Wellen- lange Mill, Mm.	Alkohol (ami	yerdanatein nomakalisch) lächtdieke	Alkoh d and make et a in Gelatine		
	Lichtstacke	Ext. Coeff.	Lichtetarke	Ext. Con	
686	0,974	0,0114	UAGO	0.0.41	
508	0,907	0,0424	0,764	0,101	
573	0,733	10,1349	61,540	6,2 0	
559	0,505	0,2967	0,255	0.1445	
552	0,400	0,8979	0,260	0,5%	
345	0,290	0,5378	0,310	OSHOW	
533	0,145	0,556	0,100	0,3979	
517	0,163	0,7747	0.464	0.400	
*AH1	0,300	(4,5229)	B.022	0.252	
4%6	0,500	0,3010	0,570	0.2441	
460	0,770	0.1135	0,647	0,15-4	
439	0,914	0,0351	0,710	0,14nh	

Auch hier liegt das Maximum der sensibilisirenden Wirang weiter gegen Roth, als der Absorptionsstreifen, wie us folgenden Zahlen hervorgeht

nnosm in verduuntein	A.kohol	Maximum der			
Almospitan			530	Milli-Ma	. W L
asselbe in Gelatine -	Михипина	der Absorption	305	** **	,
lit demellen puparet	e Platte -	- Maximum der			
Semidimenting	,		570		

# Methyleosin.

Methyleosin (Methylerithrin) ist in Wasser leicht löslich hit rosarother Farbe und grüngelber Fluorescenz und zeigt ihren Absorptionsstreisen im Gelb. Durch Gelatine wird das hisorptionsband nach Roth verschoben. Durch Zusatz von aure wird die Farbe hellgelb und zeigt zwei Absorptionstreisen. Eine ½, proc. Lösung ergab für das erste Band 30 bis 509 und für das zweite schwächere 492 bis 472 Miltontelmillimeter W. L. Bis zum solgenden Tage hatte sich liese Lösung vollständig entfärbt, und lag auf dem Boden les Gesässes ein rother slockiger Niederschlag. Durch Zufatz von Ammoniak erhielt man die ursprüngliche Lösung bit Fluorescenz und einem Absorptionsstreisen wieder.

Eine 1 100 proc. Lösung in verdünntem Alkohol wirkt ensibilisirend von F bis D (ca. 590 Milliontelmillimeter. Fon 550 bis 480 Milliontelmillimeter W. L. ist die Wirkung fieder etwas schwächer. Nach Ammoniakzusatz ist die Wirtung ähnlich, nur etwas intensiver.

Die Verschiebung des Maximums der Sensibilisation egen den Absorptionsstreifen ersicht man aus folgenden lablen:

Jethylcosm in wässeriger Losung - Maximum der	
Absorption	525 MillMm W. L.
basselle in Gelatine	343
manit gefitrite photographische Platte - Maxumum	
der Sensibilisirang	50.5

# Lichtabsorption von Methyleusin.

Wellen- lange Mill -Mm.	Cone, m 1 mm Sch	Wasier uehtdieke	Burriem Wasser to mm Schieltdicke		', Pro , in Wasser und Gelatine	
PARTOR - INCHES	1 chtatáche	Est-Cosff	Lochtetärke	Est Coeff	Linametarke	Enco
ries6	0,=65	0,0630	0.504	0,0438	0,895	0.1412
Filters.	0,818	44,0570	0,544	10/015	0,650	63 7 0
- 200	0.786£	0,1013	0.619	tip1716	0,820	0112
Name :	0.528	0,2774	C) All H	11,2457	0,540	(> Jain
581	0.270	0 55 311	0.321	0,4 835	0,270	O. Car
533	0,110	0,95%8	0,210	0,677%	0.210	Opple
5.29	0,008	1,7447	0,109	640823	49,000	Communica .
522	1991	-	050	1 (1963)	0.344	G.Cont
517			0,075	1,1070	0,344	13 41145
511	Olmaii	2,0457	0,680	1,0308	0,430	· Union
500	0 11193	1,4137	0,1=0	0.0865	f (\$Mf)	C. PAG
490	(Justil)	1,0569	0,105	0,4924	0,519	1
4.5	0.117	0.0018	0,120	61 (57) 644	11,5 5%	1 200
174	0.500	15 0 - 0()	0,149	0,8539	0.576	111265
160	0,400	0,3970	0.5540	0.5529	0.034	0.145
439	0,600	0,1612	0, 50	0,4513	(1,15-10)	0,1442

#### Fluorescein.

Das dem Eosin chemisch nahe verwandte Fluoresseta zeigt in ammoniakalischer Lösung eine ziemlich kraftige Sensibilisirung für Grün (von F bis ca. 550 Milliontelmilimeter W. L.) mit einem Maximum bei E. Dasselbe ist aber nur nach ziemlich langer Belichtung bei noch nassen Plattez zu erhalten, während die trockenen Platten kein Maximum erkennen lassen.

Fluorescein ist in Wasser ziemlich schwor löslich, gibt eine gelbliche Flüssigkeit, welche lebhaft grün fluorescert. Die Absorption ist nur eine einseitige, d. h., es wird die eine Halite des Spectrums (hier die blaue) ganz ausgelöscht. Durch Zusatz von Ammoniak wird die Lösung orange und fluores eint lebhafter. Es zeigt sich dann in genügend dünner Schicht ein Absorptionsstreifen. In Alkohol ist Fluorescein leicht mit rothlicher Farbe löslich.

Die Verschiebung des Sensibilisirungsmaximums gegen den Absorptionsstreifen ersicht man aus folgenden Zahlen

Alkoholische Lesnug mit Ammoniak - Maximum				
der Absorption	497	Mill.	·Mm '	W. L.
Wasserige Losung mit Ammoniak - Maximum der				
Absorption	491	- 11	+1	69
Mit derselben praparirte photographische Platte -				
Maximum der Sensibilisirung	528	11	**	*4

Spectralphotometrische Messungen ergaben folgende Werthe:

# Lichtabsorption von Fluorescein.

Parallange Is Mis	in All		hol u. A)	amoniak	Cone. in u. Amn I mm Sch	noniak	Cone, in und Ge	
- E	Lichtetärke	Est Coart	Lichtstärke	Est Colf	Lichtstärke	EttCooff	Lichistärke	Esta-Coeff
2 32	0.720	0,1427	0,880	0,0555	0,535	0.0783	0.978	0,0005
2:17	0,3H0	0,4202	0,300	0,5229	0,530	0.2940	0,955	0,0200
1216	0,280	0,5529	0,101	0,1957	0,285	0,6299	0,947	0,023%
26.8	0,230	0,6376	0.025	1,6021	0,140	0,653.4	0,932	0.0308
3 %	0,175	0.7570	0,020	1,6000	0,100	1,0000	0,918	0,0372
385	0,675	1,1243	0,072	1,1427	0,110	0,9556	(4,455.4	0,0516
150.	6,47,00	1,0458	0,270	0.5686	0,405	0,3926	0 804	0,0048
454	0,182	0,7899	0,510	0,2924	0,700	0,1549	0.784	0,1057

#### Cyanin.

Cyanin ist in Alkohol leicht mit blauer Farbe löslich und sehr lichtempfindlich. Die Lösung bleicht nach wenigen Tagen vollständig aus. Sie zeigt einen Absorptionsstreifen im Gelb. In Gelatine ist die Absorption schwach. In Wasser ist Cyanin sehr schwer löslich (in 40 ccm noch nicht 0.002 g und bleicht noch rascher als die alkoholische Lösung aus.

Schumann<sup>2</sup>) und Eder<sup>2</sup>) fanden ziemlich gleichzeitig die sehr günstig sensibilisirende Wirkung des Jodcyanins auf Gelatinetrockenplatten für Orange und Roth. Auf Collodionplatten ist dasselbe schon früher angewendet worden<sup>3</sup>). Eder versuchte noch andere Cyaninverbindungen, welche ähnliche Resultate ergaben. Bei allen ist mit grosser

<sup>1)</sup> Schumann, Photogr, Wochenschrift, 1884,

<sup>2)</sup> Eder, Ueber das Verhalten der Haleidverbindungen etc. p. 1120.

<sup>3)</sup> Eder, Ueber die cheunschen Wirkungen des Lichtes etc. p. 32.

Vorsicht bei sehr gedämpftem Lichte zu arbeiten, da vost die Platten leicht Schleier bilden.

Eine Platte prapariet mit einer i proc. Losuzg in verdünntem Alkohol gibt eine bedeutende photographie bewirkung im Roth, und zwar bis B. Das Maximum besensibilisirenden Wirkung ist zwischen D und C 620 Mi

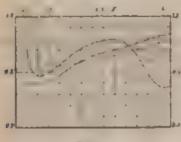


Fig 2

liontelmillimeter W. I. h. Zmochen b und Fist die Wirkung auf der Platte ein Minimst. Achnliche Wirkung erhält match bei Zusatz von Ammnick, nur tritt hierbei leicht Schleier auf. — Die Curiez auf Fig 2, welche ähnlich wezeichnet sind, wie für das Eosin, geben diese Verlägtnisse. Benutzt man eine be

sung, die schon etwas verblichen ist, so findet keine Seasbilistrung statt. —

Spectralphotometrische Messungen i ergaben:

Lichtabsorption von Cyanin.

Wed as large Md. Mm.		in Alkabol ichtdicke		Wasser sichtdicke	Verdinister A v 20. mit Amin tonk at Gelating		
4-111	Linksplann	Faterell	Inchtstänke	Est con.	Lotaticka	Ex - +3	
47-6-6	0,586	U. 625	0,450	0,0035	0,840	tonis.	
640	0.140	44, 098	0,914	0, 5001	0,747	0.1267	
1 2 t	0.143	0.9447	(5.550)	DIEG	0,000	1 ( 1 % 5	
FUE NS	0,060	1,2210	0,7=0	0,1233	0,540	0,2 70	
69		-	6.510	6.2 17	0,433+	1 22	
573	_	0.0	0.515	4) 空气料型	0.540	BEIDE TA	
Seets	0.005	2,01864	0.520	0,2546	0,780	15, 10	
5742	0,020	1	0,752	0.2741	0 / 2),	10.2 7	
539	0.135	(5.8(pt(**	0.551	0.2 × 0	0,670	0.173	
517 .	0,360	45,4457	0,570	0,2441	0,705	40.51=	
4+5	0.723	0,1 = 7	Ogeom	0.2353	0,751	1.1244	
400	0.870	0 505	0,448	44 1914	0.767	4+31-2	
439	0,950	0,0223	0,672	0,1720	0.374	5.11	

<sup>1)</sup> Pultrich hat in Wied Ann. 14. p. 177, 1881 cine Rede up traphot metrischer Bechachtungen für Cyanin in verselneiteren Certrationen in Alkahol gegeben auf welche hier noch verwiesen sen usg

Der Unterschied zwischen dem Sensibilisationsmaximum und dem Absorptionsstreifen derselben Lösung in Gelatinist auch hier vorhanden.

Maximana der Abscaption. . Sies Mili Mir. W. L

#### Anilinschwarzblau

ist in Wasser leicht löslich, färbt intensiv schwarzblau und gibt einen Absorptionsstreifen im Gelb. Durch Ammoniakzusatzwird die Lösung riolett, und verschiebt sich der Streiten nach Grun, wie aus der unten folgenden Tabelle hervorgeht. Durch Säurezusatz wird die Lösung goldgelb, und es entsteht ein Absorptionsstreifen im Gelb. Eine Platte mit ammoniakalischer Lösung präparirt, zeigte nur eine sehr schwache photographische Wirkung bis D.

#### Lichtabsorption von Anilinschwarzblau.

Weren- lange		in Wass r uchtdicke	Proc in Wasser nebst 4 Proc. Ammontak		
Mait Min.	Lichtstärke	ExtCodtf	Lichtstärke	Ext-Coets.	
1,66	0,790	0.1024	0,700	0,1549	
629	0,655	0,143%	0,645	6,1905	
598	الاحق الا	0.2536	D <sub>1</sub> C <sub>1</sub> C <sub>2</sub>	0,2277	
519	0,560	0,2518	1,516	0,2874	
517	0,652	0,1558	0.502	1) Least	
485	167.84	0,1343	0,41	1,214	
450	0.792	0,1 3	0.840	642.47	
4 531	Dyant 1	n,cosido	0,574	0,1714	

#### Curcums.

Curcumalösung erhöht nach Lohse ebenfalls die Emfindlichkeit der Gelatinetrockenplatten für Grün und Gelb, und zwar geht die Wirkung bis ca. 615 Milhontelmillimeter W. L., jedoch wird die Wirkung von D ab schwächer. Die sensibilisirende Wirkung schliesst sich hierbei so eng an das normale Spectrum auf Bromsilber un, dass keinerlei Unterbrechung zu bemerken ist.

Die Absorption der Lösung ist eine einseitige (für blau), wie man aus nachstehenden spectralphotometrischen Meskungen sieht:

# Lichtabsorption von Curcumalösungen.

Wellen- linge Mill-Min.	Cone. 2 1 mm Sch Lichtstärke	Alkohol uchtdicke EttCost	Cone, Alkohol mit Ammoniak I mm Schicht lick bishisticke Excelent		Cone. in Ge	
666	0,935	0,0292	0.860	0,0855	0,675	0,17=7
569	0,586	0,0526	0.780	0,1979	0.660	0,3805
552	0,795	0,0896	0,433	0,3835	0,640	0.1 058
517	0,543	0,2452	0,140	0,7447	0,616	0.21 4
455	0,165	0,9688	0,080	1,2219	0,560	0,4718
460	0,086	1,4437	0,026	1,5×50	0,460	0 375
439	0,008	2,0969	0,007	2,1549	0,385	0,4750

# Chrysanilin nitricum

absorbirt einseitig den violetten Theil des Spectrums. Eine 1, Proc. starke wässerige Lösung absorbirt in einer 10 mm dicken Schicht von 518 und in Gelatine von 498 Milliontelmillimeter W. L. ab alle kürzeren Wellenlängen. Photographisch wirkt das salpetersaure Chrysanilin sowohl beschleunigend auf die Entwickelung, als auch sensibilisirend für Grün (bis E), und erstreckt sich die Wirkung bis D. Die sensibilisirende Wirkung für Grün schliesst sich hierbei so eng an das normale Spectrum für Bromsilber (wie bei Curcumal an, dass kein Uebergang bemerklich ist. Daber verschiebt sich das Maximum der photographischen Wirkung im Blau etwas gegen Grün, und erscheint die Curve derselben (wie auch Eder fand), verglichen mit joner der ungefarbten Bromsilbergelatine, weiter nach Grün verschoben. Nach Lohse ist 1:2000 die beste Verdünnung, und ist es gleichgultig, ob die Platte vor oder nach dem Belichten (wie bet unterschwedigsaurem Natron)1) in dieser Lösung gebadet wird. Es ist dies sehr bemerkenswerth, da von einer Absorption des Farbstoffes bei der belichteten ungefärbten Platte doch noch nicht die Rede sein kann.

Ich photographirte auch das Absorptionsspectrum einer 1 mm dicken Schicht einer  $\frac{1}{I_0}$  proc. Lösung. Hierbei erstreckt sich das Spectrum auf der Platte von E (genauer 527 Milliontelmillimeter W. L.) bis fast nach L.

<sup>1)</sup> Für unterschweiligsaures Natron scheint 1 . 10000 die beate Verdünnung zu sein.

Die Lichtabsorption spectralphotometrisch gemessen, ergibt sich, wie folgt:

## Lichtabsorption von Chrysanilin nitrium.

Wellen- lange Mill Mm.	bei 1 mm S		in Gelatine	
	Lichtstärke	ExtCoeff	Lichtstärke	Ext. Coeff
552 517 485	0,890 0,440 0,030	0,0006 0,3566 1,5229	0,745 0,276 0,056	0.1279 0.5+50 1.259e

#### Amidoazobenzol

ist in Wasser schwer löslich. 0,02 g in 10 ccm Alkohol und 90 ccm Wasser gibt eine Lösung von goldgelber Farbe, welche in 10 mm dieker Schicht von 466 Milliontelmillimeter W. L. ab alles gegen Violett absorbirt. Bei 1 mm dieker Schicht ist das ganze Spectrum zu sehen. Photographisch ist es ohne besondere Wirkung.

## Amidoazobenzol hydrochloratum

ist in Wasser mit röthlichbrauner Farbe löslich. 1,80 proc. wüsserige Lösung absorbirt in einer 10 mm dieken Schicht das Spectrum von 460 Milliontelmillimeter W. L. ab., in einer 1 mm dieken Schicht von 417 Milliontelmillimeter W. L. das Violett. Durch Zusatz von Ammoniak wird die Lösung goldgelb und absorbirt in 10 mm dieker Schicht das Violett von 472 Milliontelmillimeter W. L. und in 1 mm dieker Schicht von 406 Milliontelmillimeter W. L. Durch Zusatz von Saure wird die Lösung orange, und es erscheint ein Absorptionsstreiten bei 518 bis 460 Milliontelmillimeter W. L. — Photographisch erhöht dieser Stoff nur schwach die Empfindlichkeit für Grün.

### Diamidoazobenzol

ist in Wasser mit orangener Farbe löslich und absorbirt einseitig die violette Seite des Spectrums. Bei 1 30 proc. wässeriger Lösung geht das Spectrum in 10 mm Dicke bis 548 Milliontelmillimeter W. L. und in 1 mm Dicke bis is Milliontelmillimeter W. L. Bei 1/10 proc. wässeriger 1/2011. in 10 mm Dicke bis 519 Milliontelmillimeter W. L. und 11 mm Dicke ist das ganze Spectrum zu sehen. Durch Z. satz von Ammoniak wird die Losung gelb und absorbeine 1/11 proc. wässerige Lösung in 10 mm Dicke das Violet von 528 Milliontelmillimetern W. L. ab. In 1 mm Dicke ist das ganze Spectrum sichtbar.

Photographisch sensibile irt Diamidoazobenzol für Grand zeigt eine Wirkung bis D. Das Maximum der Sensibilisation ist bei b, und zwar von ca 550 bis 500 Milliontelinkmeter W. L. Bei F ist die Wirkung ein Minimum, und set 470 Milliontelmillimeter W. L. beginnt die Wirkung, wie alder ungefürbten Platte.

# Diamidoazobenzol hydrochloratum

ist in Wasser mit orangener Färbung löslich und absorbit einseitig das Violett. Eine <sup>1</sup> zu proc, wasserige Lösung "bsorbirt in 10 mm dicker Schicht das blaue Ende des Spectrums von 520 Milliontelmillimeter W. L. ab. Bei 1 n.a. Dicke ist das ganze Spectrum zu sehen. Durch Zusatz soz Ammoniak wird die Lösung gelb. und das Spectrum enze in 10 mm Dicke bei 513 Milliontelmillimeter W. L., währet i es in 1 mm dicker Schicht ganz siehtbar ist.

Photographisch wirkt Diamidoazobenzel hydrochloratum ohne Ammoniak nur wenig schohlstrend, mit Ammoniak hingegen für Grün und Gelb. Dabei tritt ein Maximum 1 ir Wirkung zwischen D und b auf, und erstreckt sich die Wirkung selbst über D hinaus. Die Wirkung im Gelb ist etwa halb so stark wie im Blau. Zwischen F und 470 Milliontelmillimeter W. L. liegt ein Minimum der Wirkung. Es ist sehr bemerkenswerth, dass hierbei ein Maximum im Gelb auftritt, da doch der Furbstoff selbst keinen Absorptionsstreifen zeigt

Spectralphotometrische Messangen der letzten vier Farbstone ergaben für eine 1 mm dicke Schiele folgende Wertle-

# Inchtabsorption emiger Azorarbstoffe.

Weben orac Mill Men	Amiliaz b und		Amid ageb aged hydrochler "Froc in angesauert Was-		Drasaf nobenzel	
11.07	L'ensike	ES! - Fæर्षी	Limiterature	Santal	telitata an	Ext Capt
552	11,300	0.45h	0,370	0,17 0	0.841	0,6732
517	17.411	0 ∈ 757	0.514	1,2000	17,113	0.1785
3.15	48,7544	11,11079	0.430	0.3174	0.410	0.4872
155	11,7411	0,1-00	0,474	44,527+2	10251	U 2011 s
	5,545	0,2635	17, 375	11,2/5	0,124	0,7912
130	11/20/11	0.5850	0,775	0,1107	-	-

Well to lange Mill Mro.	Dominitoration and by trouble ration  1 a. Proc in Wasser m.d., Proc Aumort				
	Little a solve	Ext. Lord	* - * 1.74	Eat. Cast	
352	11,7412	0,1537	0,514	0,0994	
517	11 .95	0,2733	0,710	0,1488	
610	1 45%	0,4464	0 (1)	0,2110	
\$ F 5	especific	0,5129	0.650	0 25 6	
93,81	0,242	0,6162	0, 358	0,1312	
451			144		

#### Chinin sulfurioum.

Schweielsaures Chinin gibt in etwas angestuertem Wasser bekanntlich eine schön blau fluoreseirende Flussigkeit, ta iet man in einer solchen Losung eine Bromsilier-trelametrockenplatte, so scheint sich die Empindlichkeit derwitten zu erhohen. Eine mit saurem schweielsauren Chinin praparnte Pintte braucht zum Entwickeln nur den dritten Theil der Zeit, als eine gewohnliche Platte, und die Wirkung wiht, wie beim salpetersauren Chrysanilin und unterschweigsnuren Natron dieselbe, ob man die Platte vor oder nach tem Belichten badet. Am gunstigsten wirkt eine Lösung von 1:300. Es ist dieses Resultat darum so interessant, als mer der Säurezusatz die Empfindlichkeit der Platte nicht hangt, was doch sonst der Fall ist.

1 Eins sensitometrische Pritting mittelst einer Histoffen Papier is da Ricchtung in Seen den Entleerung der Lichtquebe deuerb vergab unt mit mit die riese Patte ist Nr. 12 ha in Mission Lutwick bing auf ha ji pastrian Platte ist Nr. 13 hei i Mission Entsickelung zu einen Die Platte ichr hierben in einer i proc Chambosing zu einen bie gepadet worden.

Nach meinen Versuchen beginnt die Absorption beiner 1 proc. Lösung in 19 mm dicker Schicht bei ca. 40 Milliontelmillimeter W. L. merklich zu werden und erstreckt sich über das ganze Ultraviolett.

Sensibilisirend wirkt das saure schwefelsaure Chinin für die längeren Wellenlängen (Roth, Gelb und Grün) nicht, dagegen scheint es die Empfindlichkeit für Ultraviolett zu erhöhen. Es hängt dies vielleicht bei diesem bisher noch nicht untersuchten Stoffe mit der Fluorescenz zusammen, vermittelst welcher es ja auch möglich ist, die ultravioletter Strahlen dem blossen Auge sichtbar zu machen.

Aus den hier gegebenen Beobachtungen geht herrordass die Farbstoffe, welche sensibilisirend wirken, sich

- 1. in solche theilen lassen, welche das Spectrum vom Violett her allmählich fortschreitend absorbiren, und deren sensibilisirende Wirkung sich so eng an die gewohnliche photographische anschliesst, dass kein Unterschied bemerkhat ist Curcuma.
- 2. in solche, welche nur eine gleichmässige, über grösser-Theile des Spectrums, vom violetten Ende an, sich erstreckend absorbirende Wirkung, aber photographisch ein Sensibunstionsmaximum im Gelb zeigen — Diamidoazobenzol.
- 3. in solche, welche einen Absorptionsstreisen im Spectrum und eine demselhen örtlich entsprechende Steigerung der Lichtempfindlichkeit zeigen. Hierbei ist jedoch zu constatiren, dass ein genaues Zusammensallen des Absorptionsstreisens mit dem Orte, wo im Spectrum die Farbenempinclichkeit erhöht wird, bisher noch nicht beobachtet werder konnte. Es ist nur erwiesen, dass der Absorptionsstreiten keine genaue fixirte Lage im Spectrum einnimmt, und dar hierbei das den Farbstoff umschliessende Medium von Einfluss ist, dass eine Zunahme der Dichtigkeit des Mediumgleichbedeutend ist mit einer Verschiebung des Absorptionsstreisens nach Roth. Man kann sich hiernach vorstellen dass es einen Stoff gibt, der den Absorptionsstreisen so wet verschiebt, dass er mit dem Orte der photographischen Seasibilisirung zusammensällt. Experimentell ist dies noch nicht

gelungen festzustellen, aber man vermuthet, dass das Bromniber, als Medium gedacht, diese Bedingung erfüllt, wodurch allerdings auch erst dann der definitive Beweis erbracht wäre, dass die Erscheinungen der Absorption und der dissociirenden Wirkung miteinander verknüpft sind, wenn die oben unter 2. aufgeführte Ausnahme erklärt ist.

Die Farbstofflösungen sind ferner meist in sehr starker Verdünnung am besten sensibilisirend. Betrachtet man z. B. das Spectrum einer solchen Lösung in einer 1 mm dünnen Schicht oder in dünner Gelatinefolie, so ist das Absorptionsband bereits sehr matt, und die gemessenen Zahlen der Intensitäten zeigen, dass der Unterschied zwischen der Intensität des Absorptionsstreifens und der übrigen Lichtstrahlen nur sehr gering ist. Bedenkt man nun, dass die photographischen Platten nach der Färbung gut abgewaschen werden können, so bleibt auf den Platten nur eine äusserst geringe Menge Farbstoff zurück<sup>1</sup>).

Ich möchte nach alledem den Zusammenhang zwischen der Absorption der Farbstoffe und deren sensibilisirender Wirkung auf Bromsilber nicht als erwiesen ansehen. Ganz besonders scheint mir das Verhalten des einfachen und des salzsauren Diamidoazobenzols dagegen zu sprechen. Beide haben - wie oben bemerkt - kein Absorptionsband, sondern absorbiren nur nach Maassgabe der Concentration und der Schichtdicke ein mehr oder minder grosses Stück vom brechbareren Theile des Spectrums, trotzdem zeigt sich auf der Platte im Gelb ein secundares Maximum der photographischen Wirkung. Ebenso muss hier auf die Wirkung des salpetersauren Chrysanilins Rücksicht genommen werden, welches das gewöhnliche Maximum der photographischen Wirkung im Blau gegen Roth verschiebt. Da dieser Farbstoff nur einseitig absorbirt, so kann die erwähnte Eigenthümlichkeit nicht in Zusammenhang mit einem Absorptionsband gebracht werden.

April 1885.

<sup>1)</sup> Lohse, Photogr. Archiv. Nr. 501 p. 125, 1884 Eder, Ueber das Verhalten der Haloidverbindungen etc. p. 1132 ff.

## X. Berichtigung zweier Formein; von W. Wernicke.

In seiner Arbeit über "Zurückwerfung und Brechtz. des Lichtes durch dünne Metallschichten") hat Jochmann eine Gruppe von Formeln ohne Beweis und ohne Andeutung desselben mitgetheilt, welche in neuester Zeit durch die eingehenden theoretischen Untersuchungen von Hrn. W. Vorgteine erhöhte Bedeutung erhielten. Damals, vor zehn oder ell Jahren, hatte ich in den Fortschritten der Physik ein Referat über jene Arbeit veröffentlicht, aber die Formels selbst nicht abdrucken lassen, weil ich die erste Hauptforme anders herausbekam. Durch eine sogleich zu erwähnend äussere Voranlassung habe ich jetzt meine alten Rechnungen durchgesehen und gefunden, dass wirklich die erste Hauptformel von Jochmann nicht richtig ist. Es fehlt nämlich im Zähler dieser Formel, welche die Intensität des durch gegangenen Lichtes angibt, der Factor:

$$q_3^2 = \frac{\sin^4 a_3 \cos^2 a_1}{\cos^4 a_2 \sin^2 a_3}.$$

Alle anderen Formeln Jochmunn's habe ich vollkommen identisch bekommen, sodass dieselben von denjenigen welche sie anwenden wollen, als richtig betrachtet und benutzt werden können.

Die Jochmann'schen Formeln habe ich dadurch algeleitet, dass ich zuerst die von den unendlich vielen parallelen Strahlen herrührenden Vibrationsgeschwindigkeiten summirte und aus dem erhaltenen Ausdrucke in bekanntet Weise die Formeln für Intensität und Phase bildete. It die so erhaltenen allgemeinen — von einer besonderen Theore der Reflexion unabhängigen — Ausdrücken wurden dann aus Cauchy's Formeln abgeleiteten Werthe der Amplituden und Phasenünderungen eingesetzt.

Für die Intensität des von einer dünnen, zwischen zweidurchsichtigen Körpern befindlichen Metallschicht reflectieter

<sup>1.</sup> Jochmann, Pogg. Ann. Erghd. 5, p. 620, 1871.

<sup>2)</sup> Voigt, Wied. Ann. 25, p. 95, 1883.

Lichtes ergab sich so die allgemeine, von jeder besonderen Reflexionstheorie unabhängige Formel:

$$I = \frac{r^3 + 2r_0 K^3 \int \delta \sin f \sin g - (d\delta + r^3) \cos f \cos r}{1 - 2r_0 K^3 \cos g + r^3 \int \delta \cos f + r^3}$$

In derselben bedeuten r. e; d, d die Amplituden des miectirten, resp. durchgegangenen Lichten:

$$\begin{split} f &= d_1 + d_1 - 2 \, \delta_1 & \qquad r_t &= 2 \, I_t + \delta_1 + \delta_2 \\ K &= e^{-2 \, r_t \, \frac{\cos \alpha_t}{4} \, J_t} & \qquad L &= 2 \, \pi \, \frac{\cos \alpha_t}{\lambda_1} \, J_t. \end{split}$$

worm d,  $d_1$ ,  $d_1$  und  $d_2$  die Verzögerungen der Phasen durch die Brechung und Reflexion, d die Dicke der Metallschicht,  $d_1$  und  $d_2$  die (Cauchy'schen) Brechungswinkel und Wellentangen im Inneren der Schicht bedouten.

Sutzt man in dieser Formel K=1, so orhält man die son einer durchsichtigen Schicht zwischen zwei durchsichtigen Medien reflectirte Lichtintensität.

In meiner letzten Arbeit<sup>1</sup>) ist durch einen Lapsus calami der Zähler der Formel (1) unrichtig geworden, worauf mich Hr. Prof. Voigt gütigst aufmerksam gemacht hat. Für die naselbst<sup>2</sup>, stehende ist also die obige Formel mit der erwähnten Specialisirung für durchsichtige Körper zu setzen. — Auf die Methoden und Resultate der Beobachtungen, sowie auf die später aus denselben gezogenen Schlüsse hat jener Fehler nicht den geringsten Einfluss, und ist auch für die theoretische Verwerthung der Beobachtungsresultate ganz ohne Belang.

Berlin, den 10. Juni 1885

<sup>11</sup> W. Wernicke, Wied Ann 25, p. 208 1885

<sup>2)</sup> L c. Formel (1) p. 203.

Lie i

# X1. Bemerkungen zu der Abhandlung des Herrn F. Melde: Akustische Experimentaluntersuchungen ; von Adolf Elsas.

Im 5. Abschnitt meiner Abhandlung: Zur Theore der erzwungenen Schwingungen gespannter Saiten und in einem Aufsatz: Ueber einen neuen Fadenschwingungsapparat? habe ich eine Methode beschmeben, Transversalschwingungen einer Saite, resp. eines fadez förmigen Körpers durch die Rotationsbewegung einer Sieze zu unterhalten. Auf diese Methode gründete ich einen Apparat, der zu Demonstrationszwecken, nämlich zur Siehtbarmachung der Partialschwingungen der Saite und zun Nachweise der Mersenne'schen Gesetze, dienen soll. Ich bezeichnete denselben als Fadenschwingungsapparat, um anzudeuten, dass er mit den bekannten Melde'schen Einrichtungen verwandt ist.

Die neueste Abhandlung des Hrn. Melde veranlasst meh durch eine Kritik meiner oben eitirten Veröffentlichungen und durch den Vorwurf, dass sich in den zur Orientirung über die Braucharkeit meines Apparates mitgetheilten Versuchsreihen Unrichtigkeiten befinden, zu folgenden Bemerkungen.

Es liegt nicht in dem Zwecke meines Apparates, "die Impulse des Wellenerregers in jeder beliebigen Richtung auf den Faden einwirken zu lassen") oder "eigentlich exacte Messungen") damit auszuführen. Es kann deshalb auch nicht als ein Mangel meiner Einrichtung bezeichnet werden, dass der Faden horizontal ausgespannt und nicht, wie beim Weber'schen Monochord, vertical aufgehängt wird. L'ebrigens braucht man, wenn die Saite durchaus vertical ausgespannt werden soll, nur die Hebelvorrichtung etwas anders

<sup>1)</sup> F. Melde, Wied. Ann. 24, p. 497-522, 18-5.

<sup>2:</sup> A. Elsas, Wied Ann. 23. p. 178 - 202, 1854.
3) A. Elsas, Zeitschr. f. Instrumentenk. 4. p. 338 - 338, 1854; Ph.,
Mag. 5: 19. p. 68, 1854.

<sup>4)</sup> F. Melde, I. c. p. 500.

<sup>5)</sup> F. Melde, l. c. p. 501.

das Hebelchen in der Ebene des Rädchens liegt, und seine Axe der Sirenenaxe parallel ist.

Ich bedaure sehr, dass zwei Errata meines Manuscriptes zu Missverständnissen Anlass gegeben haben. Da ich nur zeigen wollte, dass und wie meine Einrichtung zur Demonstration der Saitenschwingungen benutzt werden kann, labe ich nicht daran gedacht, meine Beobachtungszahlen zur Bestimmung der absoluten Tonhöhe zu benutzen. Dadurch es mir entgangen, dass durch eine Verschiebung des Decimalkommas die Gewichte p der Tabelle IV zehnmal zu gross angegeben sind. Die Grösse p bedeutet übrigens, wie aus der Definition derselben deutlich hervorgeht, das Gewicht der Saite, nicht aber eines Drahtes von 4 m Länge. Benchtigt man mein Versehen, so stimmen meine Angaben sehr gut mit Hrn. Melde's Messungen überein, wie die folgende Zusammenstellung zeigt, die sich auf einen Messingdrabt bezieht. In derselben bedeutet p das Gewicht der Saite in Grammen, P die Spannung in Grammen, n die Schwingungszahl:

	p	P	n (berechn.)	и (beob.)
M.	9,1787	200	53,1	54,5
E.	0,1604	200	53,3	56,5 resp. 57,2

In meiner Abhandlung in den Annalen p. 197 Z. 18 v. u. sollte nach dem Worte nur stehen: (wozu ich bei der Anwendung kurzer Fäden meist gezwungen war). Das Ausfallen dieses Zwischensatzes wirkt nicht sinnentstellend, weshalb es mir beim Lesen der Correcturbogen entgangen ist. Die zweite Anfrage Hrn. Melde's erledigt sich nun wohl von selbst: ich musste bei vielen Versuchen ein Radmit vier Zähnen anwenden. Es ergibt sich ferner aus dem Zusammenhang der betreffenden Satzconstruction von selbst, dass man stets mit dem excentrischen Rade ausreichen kann, wenn man weiche, schwach gespannte Fäden von mehreren Metern Länge anwendet.

Marburg, im Mai 1885.

### XII. Abünderung der Influenzmaschine: von E. Lommel.

Eine kleine Aenderung, die ich an der Holtz'schr Influenzmaschine vornahm, ergab so günstige Resultate, dae ich eine Mittheilung darüber für gerechtfertigt halte.

Die feststehende Glasscheibe hat keine Ausschnitte Die links und rechts auf ihre Hinterseite geklebten Papier belege Aund Bumfassen je etwas mehr als einen Quadrazten und haben die in der beigegebenen Skizze<sup>1)</sup> angedeutete



Lage. Jeder Beleg, der links an seinem unteren, der rechts an seinem unteren. der rechts an seinem oberen Ende, ist mit einem auf die Scheibe gekitteten Metalestreifen in leitender Verbindung deren jeder sich nach vorn unbeide Scheiben herumbiegt unthier einen gegen die Vorderseite der drehbaren Scheibe gekehrten messingenen Spitzenkamm (aund f

trägt. Diese beiden Spitzenkämme vertreten die Papiersputzen der Holtz'schen Maschine, unterscheiden sich aber dadurch, dass die Spitzen sich nicht gegen die hintere, sondern gegen die vordere Fläche der drehbaren Scheibe wenden.

Der horizontale Conductor mit den Spitzenkämmen aund bund den Electroden aund p. sowie ein schräger Conductor mit den neutralen Kämmen pund beind in bekanster Weise wie bei der Holtzischen Maschine angebracht. Die sechs Kämme stehen links und rechts symmetrisch zur

<sup>1)</sup> Die Zeichnung ist weniger schematisch, als die Figuren, weiche nach Bertin's Vorgang an die Stelle der Scheiben Cylinder setzen, sie gibt vielmehr ein Bihl von der wirklichen Ausführung der Maschine Ich zog diese Zeichnungsweise der Bertin'schen vor, weil bei letzterer der radiale Stellung der Kamme, welche doch wesentlich ist, nicht zum Ausdruck gebracht werden kann. Die Spitzen, welche in Wirklichkeit seiner der gegen die Scheibe stehen, sind in der Figur so gezeichnet dass as durch ihre Richtung zugleich die Drehungsrichtung snieuten,

verticalen Mittellinie und haben jederseits unter sich einen Abstand von etwa 45°.

Die Maschine wird bei offenen Electroden durch einen Beleg, z. B. den zur Linken, gehaltenen geriebenen Kautschukstreisen erregt, während die vordere Scheibe sich rechtläufig in der Richtung des Pfeiles) dreht. Die Erregung geringt leichter, als bei der Holtz'schen Einrichtung, und selbst unter weniger günstigen äusseren Umständen. Die einmal vorhandene Ladung hält sich mehrere Stunden auf der ruhig stehenden Maschine; man kann sie daher im geladenen Zustand in andere Räume bringen, in welchen wegen ungünstiger Feuchtigkeitsverhättnisse die Erregung vielleicht nicht gelingen würde, und sie daselbst zu Versuchen benutzen.

Wurde der Beleg A ursprünglich negativ geladen, so strömt aus den Kämmen a und a positive, aus den Kämmen b und  $\beta$  negative Electricität auf die Vorderfläche der drehbaren Scheibe, wie man an den Lichtbüscheln im Dunkeln leicht erkennt. Entfernt man die Electroden über die Schlagweite, so kommen die Kämme  $\gamma$  und  $\delta$  in Thätigkeit, indem der erstere positive, der letztere negative Electricität gegen die Scheibe ausströmt.

Die Maschine kehrt bei rechtläufiger Drehung ihre Polarität nicht um. Man kann aber die Umkehrung willkürlich bewirken, wenn man einige rückläufige Drehungen ausführt; man sieht alsdann im Dunkeln aus dem Spitzenkamm y positive Electricität gegen die Scheibe strömen, welche von dem Kamm a aufgenommen und dem negativen Beleg zugeführt wird, der sich damit zunächst neutralisirt und sodann positiv ladet. Dreht man jetzt wieder rechtlaufig, so wirkt die Maschine sofort wieder, jedoch mit umgekehrten Ladungen. Man kann diese Umkehrungen beliebig oft wiederholen.

Mit der Holtz'schen Verstärkungsröhre armirt, liesert die Maschine Funken bis zu 12 cm Länge, während die nämliche Maschine, als Holtz'sche montirt, nur eine Funkenlänge von 6 bis 7 cm gibt.

# XIII. Eine Ungenauigkeit in der Theorie des Goldblattelectroskops; von Dr. Th. Habler.

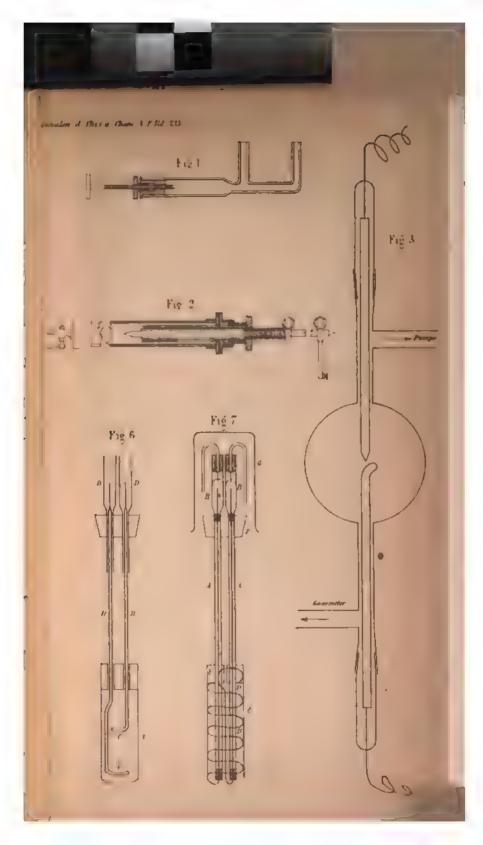
In den Beschreibungen des Ladens eines Electroskom mittelst Influenz wird ganz allgemein behauptet, dass, wenn man einen electrischen Körper dem Electroskop nähert und den Pinger an die Kugel legt, die Goldblätteben zusammensfallen. Wenn dies in der That zutrifft, so liegt es nur daran, dass die Blätteben von Leitern (theilweiser Metanbülle oder Stanniolstreifen oder auch nur der Tischplatte umgeben sind, welche auch influenzirt werden, weshalb die Blätteben keine Electricität enthalten können.

Stellt man aber — was doch in den Erklärungen der Vorgangs beim Laden vorausgesetzt wird — ein Electroskop mit Glashülle weit entfernt von allen Leitern auf und benutzt eine nicht gar zu schwache Electricitätsquelle, so sitzt nach Anlegen des Pingers Intluenzelectricität erster Art nicht nur im Knopf des Instruments und im Finger, sondern auch in den Goldblättchen, und diese zeigen oft einen grösseren Ausschlag als vor der Verbindung mit der Erde.

Grimma, Mai 1845.

### Berichtigungen.

- Bd. XXIV. Bunsen p. 325 in Formel 1) fallt s vor dem Gleichungs zeichen fort.
  - p. 832 Z. 19 v. o. lies der Wanne statt des Wassers.
  - p. 335 Z. 3 v. u. hes ihnen statt ihrer.
  - p. 336 Z. 13 v. u. hes etwa statt nur etwa.
- Bd. XXV. (Jahn) p. 38 Z. 6 v. u. lies Normalelement statt Stromelement
  - p. 58 Z. 23 hes Ablesung statt Ablenkung
  - p. 64 Z. 31 lies Potentiakhifferenz statt electromotorische Kraft
  - p. 65 Z. 4 hes Potentraldifferenz statt electromotorische Kraft
  - p. 65 Z 18 lies  $(J_2 + J_4 + \cdots + J_{2n-2})$  statt  $(J_2 + J_4 + \cdots + J_{2n-2})$





,

